**UVz.Nr. 0978/2022**
(Stammurkunde/Teilungserklärung)

Verhandelt zu Bad Münstereifel am 3. August 2022.

Vor mir,

**NOTAR**
**MARC C. LEHMANN**

mit dem Amtssitz in
**BAD MÜNSTEREIFEL**

erschien:

Herr Guido Metzen, geboren am 9. November 1976,
geschäftsansässig Unter den Linden 11, 53902 Bad Münstereifel,
mir, Notar, von Person bekannt;

hier handelnd nicht im eigenen Namen, sondern als Geschäftsführer, einzelvertretungsberechtigt und von den Beschränkungen des § 181 BGB befreit, der und für die

**Guido Metzen Vermögensverwaltungs-GmbH**

mit dem Sitz in Düren, Geschäftsanschrift: Unter den Linden 11, 53902 Bad Münstereifel, eingetragen im Handelsregister des Amtsgerichts Düren unter der Registernummer HRB 5970,

der Notar bescheinigt aufgrund heutiger elektronischer Einsichtnahme in das Handelsregister des Amtsgerichts Düren zu HRB 5970, dass dort die Guido Metzen Vermögensverwaltungs-GmbH mit dem Sitz in Düren und Herr Guido Metzen, vorgenannt, für diese als Geschäftsführer, einzelvertretungsberechtigt und von den Beschränkungen des § 181 BGB befreit, eingetragen stehen.

Die Guido Metzen Vermögensverwaltungs-GmbH wird nachstehend auch nur kurz **„Eigentümer"** oder **„Verkäufer"** genannt.

Der Erschienene erklärte, handelnd wie angegeben, zur Beurkundung folgende:

# STAMMURKUNDE UND TEILUNGSERKLÄRUNG

## (BOENERSTRAßE 36, EUSKIRCHEN)

## 1 BESCHREIBUNG

1.1 Der Verkäufer ist Alleineigentümer der im Grundbuch des Amtsgerichts Euskirchen von Euskirchen, Blatt 16269, verzeichneten Grundbesitzes:

| lfd. Nr. | Gemarkung | Flur | Flur-stück | Wirtschaftsart und Lage | Größe |
|---|---|---|---|---|---|
| 4 | Euskirchen | 2 | 716 | Gebäude- und Freifläche Boenerstraße 36 | 729 m² |

1.2 Dieses Grundstück wird mit einem Sechs-Familienwohnhaus bebaut. Die einzelnen Wohnungseinheiten sollen verkauft werden. Zudem sind sechs KFZ-Stellplätze auf dem Grundstück geplant.

Die Baugenehmigung ist bereits erteilt; mit den Arbeiten ist bereits begonnen.

Das Grundstück wird in Wohnungs- und Teileigentum aufgeteilt. Die amtliche Bescheinigung der Abgeschlossenheit liegt bereits vor. Die Teilungserklärung ist noch nicht beurkundet; dies soll jedoch bereits hiermit erfolgen.

1.3 Die Wohnungseinheiten nebst Stellplätzen werden an Dritte verkauft. Der Verkauf beginnt bereits vor Vollzug der Aufteilung in Wohnungs- und Teileigentum im Grundbuch. Deshalb werden die anliegenden Schriftstücke und Pläne hiermit beurkundet, so dass in den Kaufverträgen darauf verwiesen werden kann, ohne dass sie bei Beurkundung der Kaufverträge nochmals notwendig mit vorgelesen und/oder zu deren Anlage genommen werden müssen.

## 2 VERWEISUNG

Die Beteiligten nehmen Bezug und verweisen auf folgende Urkunden, Unterlagen und Pläne zu dem Bauvorhaben, die als Anlage zu dieser Urkunde genommen werden und die damit Teil dieser Urkunde sind; die Hinzunahme als Anlage erfolgt lediglich aus Gründen der Übersichtlichkeit.

Die verlesbaren Anlagen wurden vorgelesen, genehmigt und unterschrieben, nicht verlesbare Anlagen (insbesondere Pläne und Zeichnungen) wurden zur Durchsicht vorgelegt, genehmigt und unterschrieben.

Folgende Bestandteile dieser Urkunde werden zur Anlage genommen bzw. in Ergänzungsurkunde niedergelegt:

2.1 generelle Baubeschreibung (**Anlage 1**) nebst darin genannter Anlagen einschließlich der technischen Gebäudeausstattung, sonstiger Ausstattung und Qualitätsmerkmalen, wobei hinsichtlich jeder verkauften Wohnungseinheit eine konkretisierte Baubeschreibung der betreffenden Wohnungseinheit dem betreffenden Kaufvertrag beigefügt werden soll; hierzu wird auch auf die Baugenehmigung (**Anlage 3**) ergänzend verwiesen, die als Bestandteil der Baubeschreibung anzusehen ist;

2.2 Teilungserklärung mit Anlagen (**Anlage 2**), enthaltend auch die Abgeschlossenheitsbescheinigung;

2.3 Baugenehmigung mit Anlagen (**Anlage 3**),

2.4 Berechnungsnachweis Gebäudeenergie (**Anlage 4**),

2.5 Statische Berechnung nebst geotechnischem Bericht und Anlagen (**Anlage 5**).

## 3 VORBEHALTE, VOLLMACHTEN

3.1 Der Eigentümer behält sich vor, zur Fertigstellung und Abwicklung des Baus und des Verkaufs des Wohnungs- und Teileigentums:

3.1.1 Dienstbarkeiten und Baulasten zu bestellen und nachbarrechtliche Vereinbarungen zu treffen, die für den Bau, zur Erfüllung behördlicher Auflagen oder für Versorgungs- oder Entsorgungsleitungen oder -anlagen erforderlich sind,

3.1.2 die anliegende Teilungserklärung mit Gemeinschaftsordnung sowie den Aufteilungsplan anders zu beurkunden und auch später zu ändern. Dabei können insbesondere auch Miteigentumsanteile anders festgesetzt werden; Sondereigentum und Gemeinschaftseigentum können anders bestimmt werden; Sondernutzungsrechte können anders begründet und zugewiesen, übertragen, geändert und zurückgenommen werden.

3.2 Jeder Erwerber von Wohnungs- und Teileigentum erklärt sein Einverständnis mit diesen Vorbehalten und bevollmächtigt den Verkäufer, unwiderruflich, befreit von § 181 BGB, mit Befugnis zur Erteilung von Untervollmacht, alle dazu erforderlichen Erklärungen abzugeben und entgegenzunehmen und Rechtshandlungen vorzunehmen. Insbesondere kann der Eigentümer ferner:

3.2.1 Miteigentumsanteile, Sondereigentum und Gemeinschaftseigentum sowie Sondernutzungsrechte gegenüber dieser Teilungserklärung ändern, unterteilen, vereinigen, übertragen und auflassen, neu bilden und aufheben,

3.2.2 Miteigentümer-Vereinbarungen treffen und Miteigentümer-Beschlüsse fassen,

3.2.3 gegenüber allen Behörden und sonstigen Dritten, insbesondere gegenüber dem Grundbuchamt, alle Bewilligungen geben und Anträge stellen.

3.3 Jeder Erwerber/Käufer stimmt mit diesen Maßgaben allen Dienstbarkeiten, Baulasten, nachbarrechtlichen Vereinbarungen und Änderungen der Teilungserklärung bereits jetzt vorsorglich zu und bewilligt, soweit dann bereits eine Vormerkung im Grundbuch für ihn eingetragen ist, bereits jetzt ihren Rangrücktritt. Er verpflichtet sich, auf Verlangen und Kosten des Eigentümers jede dazu etwa noch erforderliche Erklärung oder Bewilligung zu geben.

3.4 Der Eigentümer und jeder Erwerber von Wohnungs- und Teileigentum bevollmächtigen die Mitarbeiterinnen des Notars, Frau Jenny Kucia, Frau Sylvia Müller und Frau Christina Heeger, alle büroansässig bei dem amtierenden Notar, jede allein, unwiderruflich, befreit von § 181 BGB, ohne Auftrag und Haftung, die Eigentümer sich auch gegenseitig:

3.4.1 diese Stammurkunde zu berichtigen, zu ändern und zu ergänzen, alle dazu erforderlichen Erklärungen abzugeben und entgegenzunehmen und Rechtshandlungen vorzunehmen, insbesondere gegenüber dem Grundbuchamt Bewilligungen zu geben und Anträge zu stellen,

3.4.2 die anliegende Teilungserklärung mit Gemeinschaftsordnung jeweils anders zu beurkunden und auch später zu berichtigen, zu ändern und zu ergänzen, alle dazu erforderlichen Erklärungen abzugeben und entgegenzunehmen und Rechtshandlungen vorzunehmen, insbesondere Miteigentumsanteile, Sondereigentum und Sondernutzungsrechte zu ändern, zu unterteilen, zuzuordnen, zu übertragen und aufzulassen, neu zu bilden und aufzuheben, Miteigentümer-Vereinbarungen zu treffen oder -Beschlüsse zu fassen sowie gegenüber dem Grundbuchamt Bewilligungen zu geben und Anträge zu stellen,

3.4.3 alle zur Durchführung des Kaufvertrags zwischen dem Eigentümer als Verkäufer und dem Erwerber als Käufer etwa noch erforderlichen Erklärungen abzugeben und entgegenzunehmen, insbesondere alle Löschungen und Rangänderungen zu bewilligen und zu beantragen, weiter insbesondere alle Erklärungen abzugeben und entgegenzunehmen, die vorstehend im Einzelnen beschrieben sind.

3.5 Die vorstehenden Vollmachten können alle nur zur Erklärung vor dem amtierenden Notar oder seinem Vertreter verwendet werden. Sie erlöschen sämtlich zwei Jahre nach Anlegung der Wohnungs- und Teilgrundbücher. Sie stehen zudem im Innenverhältnis unter folgendem, dem Grundbuchamt und anderen Dritten nicht nachzuweisendem Vorbehalt: Die Änderungen müssen dem jeweiligen Erwerber/Käufer zumutbar sein. Sie dürfen bei wirtschaftlicher

Betrachtung das betreffende erworbene Wohnungs- und Teileigentum nicht und das Gemeinschaftseigentum nicht wesentlich beeinträchtigen. Die Kosten trägt der Verkäufer.

Diese Niederschrift nebst verlesbaren Anlagen wurden dem Erschienenen vom Notar vorgelesen; die Pläne zur Durchsicht vorgelegt; die Niederschrift und alle Anlagen wurden von dem Erschienenen genehmigt und diese Niederschrift von ihm und dem Notar unterschrieben:

MARC C. LEHMANN * NOTAR IN BAD MÜNSTEREIFEL *

Anlage zur Urkunde des Notars
Marc C. Lehmann in Bad Münstereifel
UVz. Nr. 0978/2022

Anlage 1

Vermögensverwaltung GmbH
Guido Metzen

# Allgemeine Baubeschreibung 53879 Euskirchen, Boenerstraße 36, Neubau 6 Wohneinheiten

**Im Folgenden wird das Bauvorhaben Boenerstraße 36 als Neubau von 6 Wohneinheiten mit 6 Freistellplätzen sowie Nutzflächen und Außenanlagen beschrieben.**

Dieser Teil bezieht sich auf den allgemeinen, baulichen Zustand des gesamten Baukörpers. Die Leistungen erfolgen gemäß den einschlägigen Richtlinien DIN-Normen und dem Stand der Technik.

**Vorbemerkungen:**
Die aufgeführten Leistungen umfassen die komplette Erstellung des Wohngebäudes einschließlich der Außenanlage und aller erforderlichen Nebenleistungen. Der Urkunde werden folgende Unterlagen beigefügt:

- Baugenehmigung
- Statik/ Prüfstatik
- Wärmeschutznachweis
- Abgeschlossenheit/Teilungserklärung
- Bodengutachten

**Ausführungsgrundlagen sind die zum Zeitpunkt der Baugenehmigung gültigen Vorschriften der Landesbauordnung und der Baubehörde sowie die genehmigten Bauantragszeichnungen 1:100, Lageplanzeichnungen Maßstab 1:200, der Statik und der Wärmebedarfsberechnung.**

Erforderliche Änderungen im Grundriss bedingt durch die Statik, Ver- und Entsorgungsplanung oder durch die behördlichen Auflagen sind zulässig.

**Technische Daten:**

| | | |
|---|---|---|
| 1. | Flurstück | 716 |
| 2. | Flurnummer | 2 |
| 3. | Grundstücksfläche | 729 m² |

**Gebäudeflächen:**

| | | |
|---|---|---|
| 4. | Nutzflächen | 69,51 m² |
| 5. | Wohnflächen Wohnungen 1-6 | 554,56 m² |
| 6. | Freistellplätze | 6 Stück |

**Leistungsbeschreibung Mehrfamilienwohnhaus:**

**1. Erdarbeiten**

Aushub der gesamten zu bebauenden Fläche, der Kanalisations- und Wasserleitungsgräben einschließlich der Abfuhr des übrigen Erdmaterials. Schichtweise Wiederverfüllung der Gräben und der Arbeitsräume bis zum Grobplanum. Herstellung des geplanten Geländeprofils.

Ausführung erfolgt nach statischen Erfordernissen und unter Beachtung der am 22. Februar 2022 erteilten Baugenehmigung, gültigen Vorschriften und Verordnungen.

**2. Gründung des Bauwerks**

Die Gründung und das Tragwerk erfolgt gemäß den statischen Berechnungen (der am Datum der Baugenehmigung gültigen Vorschriften und Verordnungen), diese finden in Abstimmung mit dem Bodengutachten statt. Die Bodenplatte wird als massive Fundamentplatte in Ortbeton (Betongüte nach Statik) entsprechend den statischen Berechnungen und Zeichnungen ausgeführt. Ein Fundamenterder wird in die Fundamente eingelegt, nach den VDE-Richtlinien. Alle Arbeiten werden von einem Prüfstatiker begleitet und abgenommen.

**3. Bodenplatte**

Die Bodenplatte wurde in der Stahlbetongüte C 25/30, in WU-Beton gemäß Statik auf einem tragfähigen Untergrund errichtet. Als zusätzlicher Wärmeschutz wurde eine PU-Dämmung unter der Bodenplatte verarbeitet.

**4. Außenwände**

Außenmauerwerk, Ziegelmauerwerk aus wärmegedämmten Bimsstein bzw. wenn konstruktiv erforderlich, in Stahlbeton entsprechend der statischen Berechnung und des Wärmeschutznachweises.
Die Außenfassade erhält einen mineralischen Außenputz. Auf diesen wird eine Egalisationsbeschichtung aufgebracht. Die Fassadenfarbgestaltung erfolgt in Absprache mit den Bauherren, Architekten und den zuständigen Behörden und wird in einer Gesamtkonzeption festgelegt. Hier besteht kein Mitspracherecht der Teileigentümer.

**5. Innenwände tragend**

Stahlbeton oder Mauerwerk. Wohngeschosse: Ziegelmauerwerk (Bims) bzw., wenn statisch erforderlich, in Stahlbeton. Wohnungstrenn- und Treppenhauswände werden entsprechend den schalltechnischen Anforderungen nach DIN, Wandstärke 17,5 cm - 24 cm gefertigt. Die Aufzugswände kommen als Fertigbetonteile nach statischen Angaben.

**6. Innenwände nicht tragend:**

Ziegelmauerwerk aus HBL2 Vollstein bestehend aus Bims, Wandstärke 11,5/17 cm.

**7. Geschoßdecken**

Die Geschossdecken werden als Fertigbetondecken nach statischen Angaben erstellt.

**8. Treppen und Treppenhaus**

- Geschosstreppen: Treppenläufe mit betonierten Stufen aus Stahlbeton als Ortbetontreppe nach Statik- und Schallschutz- und Brandschutzanforderungen.
- Das Treppenhaus erhält einen hochwertigen, Natursteinbelag bestehend aus Granit.
- Die Treppenläufe und Podeste bestehen aus Padang Crystal.
- Materialwahl und Optik bestimmt der Bauträger.

## 9. Balkone und Terrassen

- Die Balkone im Obergeschoss und Dachgeschoss werden aus einem Lerchebelag oder Douglasiebelag geriffelt in feiner oder grober Zahnung ausgeführt.
- Die Balkonplatten im Obergeschoß und Dachgeschoß werden als Stahlbeton-Massivplatten hergestellt.
- Sonderwunschoptionen
- Der Belag kann alternativ aus Natursteinplatten in zementgrau 40/40/2 cm montiert werden und auf Platten-Stelzenlagern oder Kiessäcke gelagert werden.
- Hier erhöht sich dann für das Obergschoss/ pro Wohnung um 1500 € pauschal die Ausführung
- Hier erhöht sich dann für das Dachgeschoss/pro Wohnung um 2.000 € pauschal die Ausführung.
- Terrassen im Erdgeschoß erhalten einen Belag aus Rechteckpflaster Beton anthrazit 20x10x8.

## 10. Schächte/ Steigleitungen

Abweichend von den bereitgestellten Bauzeichnungen müssen in den einzelnen Teilbereichen der Wohnungen/ Räumen/ Abkofferungen/ Installationsschächte für die Hausversorgung hergestellt werden. Die Position dieser Schächte und Abkofferungen wird mit den einzelnen Gewerken und Planern in der Bauphase festgelegt. Diese stellen keinen Mangel dar und bedürfen keiner Preisminderung oder Nachbesserung, wegen zu wenig verkauften Quadratmetern.
Die Isolation im Bereich vom Brandschutz und Schallschutz wird gemäß, zum Ausführungszeitraum herrschenden, Vorschriften und anerkannten Regeln und Richtlinien erstellt.

## 11. Zimmermannsarbeiten

Alle Dachstuhlhölzer werden aus Fichte- Tanne/ S10 Konstruktionsvollholz oder in GL24H Brettschichtholz in zimmermannsmäßiger Ausführung als Satteldach hergestellt. Alle statischen Erfordernisse werden eingehalten. Die Dachüberstände werden am Hauptdach / Sparrenköpfe sichtbar hergestellt, an den Dachgauben werden die Dachüberstände von unten Geschlossen als Gesims hergestellt. Dachüberstände werden im RAL-Farbton 7016 und in Weiß gemischt beschichtet. Sparrenköpfe Anthrazit, Profilbretter in Weiß, Gesims-Platten in Anthrazit oder weiß hergestellt. Optik bestimmt der Bauträger.

## 12. Dachdeckerarbeiten

Das Satteldach findet ihre Eindeckung mit einer schwarzen Tondachziegel. Hier kann zum jetzigen Zeitpunkt nicht genau bestimmt werden, welcher Hersteller der Dachziegel genommen wird, da zum jetzigen Zeitpunkt Lieferengpässe in ganz Deutschland gelten.
(jeder dritte Dachziegel wird geklammert).
Die Entwässerungsprodukte werden aus walzblankem Zink hergestellt. Alle Stirn-, Gauben und Wangenübergänge werden in Aluminium RAL 7016 verkleidet.
Alle Balkonflachdächer, werden im oberen Dachgeschossbereich mit
Gefälledämmung und einer zweilagigen bituminösen Abdichtung versehen,
im Obergeschoß mit einer dreilagigen Abdichtung ohne Gefälledämmung.

## 13. Innenputz

Im Treppenhausbereich sowie im Hauswirtschaftsraum und Fahrradraum werden alle Wandflächen mit einem Gips Putz in der Oberflächenqualität Q2 hergestellt. In allen Wohnbereichen werden die Wandflächen mit einem Gips Putz in der Oberflächenqualität Q2 hergestellt, ausgenommen Bäder, diese werden mit einem Zementputz für den anschließenden Fliesenwandbelag verputzt und gefilzt.
Bei den Deckenflächen werden nur die Stöße gespachtelt, da es sich um eine Fertigbetondecke handelt.

- **Definition Q2- Oberfläche,** Quelle: Bundesverband der Gipsindustrie e.V. Industriegruppe Bau Gipse:

  Q2 Qualitätsstufe 2 (Q2 – geglättet)
  Diese Oberfläche entspricht der Standardqualität z.B. entsprechend Abschnitt 3 ATV DIN18350 bzw. Abschnitt 6.4.10 ÖNORM B 3346, Empfehlung SIA V 242/1, EN 13914-2 und genügt den üblichen Anforderungen an Wand- und Deckenflächen.
  Putzoberflächen der Qualitätsstufe Q 2 – geglättet sind geeignet für: Oberputze, Körnung > 1,0 mm mittel- bis grobstrukturierte Wandbekleidungen, z.B. Raufasertapeten mit Körnung RM oder RG nach BFS-Info 05-01 matte, gefüllte Anstriche/Beschichtungen (z.B.: quarz - gefüllte Dispersionsbeschichtung), die mit langfloriger Farbrolle oder mit Strukturrolle aufgetragen werden.

## 14. Gipskartonoberflächen

Im Dachgeschoss und bei etwaigen Abkofferungen von Installationen. Die Oberflächen werden in der Oberflächenqualität Q2 hergestellt. Anschluss Fugen sind unterhaltungsbedürftig, sie unterliegen der Temperatur und Raumklimaschwankung. Schwundrisse, die hieraus resultieren bedürfen nicht der Nachbesserung. Die WEG mit Ihren Erwerbern haben hierüber eigenständig Wartungsarbeiten zu übernehmen.

**Definition Q2- Oberfläche,** Quelle: Bundesverband der Gipsindustrie e.V. Industriegruppe Gipsplatten
*(Auszug)* Q2 Qualitätsstufe 2 (Standardverspachtelung)
Die Verspachtelung nach Qualitätsstufe 2 (Q2) ist die Standardverspachtelung. Sie genügt den üblichen Anforderungen an Wand und Deckenflächen. Ziel der Verspachtelung ist es, den Fugenbereich durch stufenlose Übergänge der Plattenoberfläche anzugleichen. Gleiches gilt für Befestigungsmittel, Innen- und Außenecken sowie Anschlüsse.

Die Verspachtelung nach Qualitätsstufe 2 umfasst:

- die Grundverspachtelung (Q1)
- das Nachspachteln (Feinspachteln, Finish) bis zum Erreichen eines stufenlosen Übergangs zur Plattenoberfläche.

Dabei dürfen keine Bearbeitungsabdrücke oder Spachtelgrate sichtbar bleiben. Falls erforderlich, sind die verspachtelten Bereiche zu schleifen. Diese Oberfläche kann beispielsweise geeignet sein für: mittel und grob strukturierte Wandbekleidungen, z.B. Tapeten wie Raufasertapete (mit mittlerer oder grober Körnung) stumpfmatte, bis matte Anstriche/ Beschichtungen (z.B. Dispersionsanstriche) nach DIN EN 13300 dekorative Oberputze und Beschichtungen mit putzartigem Aussehen, soweit sie vom Putz-/ Beschichtungshersteller für das jeweilige Gipsplattensystem freigegeben sind.

Wird die Qualitätsstufe 2 (Standard Verspachtelung) als Grundlage für Wandbekleidungen, Anstriche und Beschichtungen gewählt, sind Abzeichnungen – insbesondere bei Einwirkung von Streiflicht – nicht auszuschließen.

## 15. Fußbodenaufbau

Fußböden in Wohnungen als schwimmender Heizzementestrich (Fußbodenheizung) mit Dämmungsaufbau (Trittschalldämmung bzw. Wärmeisolierung EPS) nach DIN verlegt. Umlaufender Isolierstreifen zu aufgehenden Bauteilen zur Vermeidung von Schallbrücken.
Im Hausanschlussraum und Hauswirtschaftsraum ebenso, nur ohne Fußbodenheizung. Der Fahrradraum erhält keinen Zementestrich. Die Bodenplatte wird mit einem Anstrich versehen.

## 16. Fenster, Nebeneingangstüren und Balkontüren

Alle Fenster und Fenstertüren im gesamten Gebäude sind als Qualitätskunststoff-Fenster vorgesehen, die Isolierverglasung wird nach ENEV-Richtlinie als Dreifachverglasung hergestellt. Alle nach außenliegenden Räume erhalten mindestens einen Lüftungsflügel mit einem Dreh-Kipp Beschlag. Die Balkontüren werden als Dreh/Kipptüren ausgeführt.

Farbgestaltung der Fenster: innen weiß, außen anthrazit grau RAL 7016 foliert. Badezimmerfenster enthalten keine Rollladen, diese sind mit einem satinierten Glas versehen. Die Fenster im Fahrradraum und im Treppenhaus enthalten ebenfalls keine Rollläden. Materialwahl, Optik und Drehrichtung der Fenster und Türen bestimmt der Bauträger.

**17. Außenfensterbänke**
Aluminiumfensterbänke werden in RAL 7016 matte Ausführung hergestellt. Ein Anti-Dröhn-Band wird zur Minimierung der Regengeräusche verarbeitet. Gleitendstücke werden mit anthrazitfarbenen Aluputzendkappen hergestellt.

**18. Sonnenschutz**
Nicht vorhanden.

**19. Innenfensterbänke in den Wohnungen**
Nicht vorhanden

**20. Innenfensterbänke im Treppenhaus**
Granit, Padang Crystal

**21. Rollläden**
Fenster und Fenstertüren in den Wohnungen (ausgenommen die Bäder) erhalten Rollläden mit einem Single Elektroantrieb (Einzelsteuerung). Die Rollladenführung und der Rollladenpanzer werden mit der Führungsschiene in RAL 7016 als Alu-Panzer hergestellt.
Alle Nutzflächen und das Treppenhaus erhalten keine Rollläden.

**22. Hauseingangstür**
Aluminiumhauseingangstür, außen Griffstange aus Edelstahl, innen Drückergarnitur, elektr. Türöffner, Farbe nach Farbkonzept. Im Bereich der Hauseingangsanlage im Erdgeschoss befindet sich freistehend die Klingel- und Sprechanlage zu den einzelnen Wohnungen sowie die Briefkastenanlage. Materialwahl, Optik und Drehrichtung der Hauseingangstür bestimmt der Bauträger.

**23. Wohnungszugangstüren**
Schallschutztür gem. DIN 68706 und DIN 18101, 45 WE-SK3, farbig weiß lackiert, Edelholz furniert, lackiert weiß. Das Türblatt besteht aus Hartfaser/ HDF-Platte, Rahmenaufbau der Tür aus Massivholz, mit Spezialdämmender Einlage, Klimaklasse 2, Beanspruchungsklasse S inkl. Bänder und PZ-Schloss, nach DIN 18251, Klasse 3. Edelstahl Drückergarnitur ohne Spion.

**24. Brandschutzabschnittstüren (Hausanschlussraum)**
Alle Türen, die eine erhöhte Brandschutzanforderung laut DIN 4102 und der gültigen Landesbauordnung in Mehrfamilienhäusern aufweisen werden in T30 RS ausgeführt. Die Oberflächenqualität ist werkseitig weiß pulverbeschichtet.

**25. Aufzug**
Die Aufzugsanlage wird als Homeliftanlage mit der Tragkraft von 385 kg und drei Haltestellen, einer Schachtschiebetür als zweiblättrige Kabienentüre pulverbeschichtet nach RAL 9010 geliefert und montiert. Die Steuerung (NEW_Lift) regelt die Anfahrten der jeweiligen Haltestellen. Zur Erstinbetriebnahme wird vom Bauträger eine TÜV-Zertifizierte DEKRA-Abnahme veranlasst. Materialwahl, Optik bestimmt der Bauträger.

**26. Schließanlage**
Nicht vorhanden

**27. Beschilderungen**
Nicht vorhanden

**28. Heizungsanlage**

Die Heizungsanlage besteht aus einem 35 kW Gasbrennwertgerät mit einer Heizpatrone zur Unterstützung

- Zusätzliche Solaranlage mit 8m2 Bruttokollektorfläche
- Erzeugung: Zentrale Wärmeerzeugung
- Buderus W42S GB 182-20 i H
- Kessel-Wirkungsgrad bei Volllast 97,0%
- Dämmung der Leitungen nach EnEV
- Umwälzpumpe leistungsgeregelt

Übergabe: Flächenheizung Fußbodenheizung elektronische Regeleinrichtung

Die vorrausgegangene Beschreibung wurde aus dem Angebot des Installateurs entnommen. Die abschließende Wahl der einzelnen Komponenten/ Lieferanten können von dieser Beschreibung abweichen. Jedoch werden alle technischen Voraussetzungen gemäß Energieausweis erfüllt.

Die gesamte Heizungstechnik wird entsprechend den derzeitig herrschenden Richtlinien wie DIN-Normen und anerkannten Regeln der Technik geplant.

**Ob eine Luftwärmepumpe Heizungsanlage eingebaut wird bestimmt der Bauherr**
Als Fabrikat wählt der Bauherr die Luftwärmepumpe der Firma :
Daikin Altherma 3 H MT, 10kW Waermepumpen-Aussengeraet, 3-phasig/400V

*Als Option kann eine Luftwärmeheizung eingebaut werden.*

- Der Mehrpreis für die Heizungsanlage beträgt pro Wohnung 3000 €

**29. Wärmedämmung Haustechnik**

Die Wärmedämmung der Rohrleitungen erfolgt gemäß der Heizungsanlagenverordnung HeizAnlV in der derzeit gültigen Fassung. Sichtbar verlegte Leitungen (z. B. im Hauswirtschaftsraum) werden mit einer Kunststofffolie ummantelt. In Steigschächten verlegte Leitungen werden mittels alukaschierter Mineralfasermatten wärmegedämmt. In Wandschlitzen wird eine Schlauchisolierung eingesetzt. Die jeweilige Dämmstärke richtet sich nach den Erfordernissen.

**30. Sanitär Versorgungsinstallation**

Die gesamte Sanitärtechnik wird von einem Fachprojektanten geplant. Die Projektierung erfolgt entsprechend den derzeitig gültigen Richtlinien wie DIN-Normen etc. sowie den anerkannten Regeln der Technik.
Schmutzwasserleitungen im Gebäude, Sammelleitungen im Untergeschoss sowie Fallleitungen werden bis zum Grundleitungsanschluss in Kunststoff Schallschutzrohren ausgeführt.
Objektanschluss- und Sammelleitungen bis zum Fallstrang innerhalb der Wohnungen werden in HT-Rohr ausgeführt. Schmutzwasserentlüftungen über Dach werden aus HT- oder PE-Rohr hergestellt.

**31. Trinkwasserversorgung (Kaltwasser)**

Die Trinkwasserversorgung erfolgt aus dem Netz des zuständigen Wasserversorgungsunternehmens mittels Hausanschlusses in erforderlicher Größe (Dimension). Es werden die nachfolgenden Zapfstellen innerhalb der Wohnungen mit Kaltwasser versorgt: Badewanne (wenn vorhanden), Duschwanne, Waschtisch, Waschmaschinenanschluss und Geschirrspülbecken, Gäste-WC (wenn vorhanden). Jede Wohneinheit erhält einen Kaltwasserzähler.

**32. Warmwasserversorgung**

Zentral aus Warmwasserbereiter. Es werden die nachfolgenden Zapfstellen innerhalb der Wohnungen mit Warmwasser versorgt: Badewanne (wenn vorhanden), Duschwanne, Waschtisch und Geschirrspülbecken, Gäste-WC (wenn vorhanden). Jede Wohneinheit erhält einen Warmwasserzähler.

- Zentrale Warmwasserbereitung,
- Speicherung: Indirekt beheizter Speicher – 1000Liter, Dämmung nach EnEV
- Verteilung mit Zirkulation
- Dämmung der Leitungen nach EnEV
- Die abschließende Wahl der einzelnen Komponenten/ Lieferanten können von dieser Beschreibung abweichen. Jedoch werden alle technischen Voraussetzungen gemäß Energieausweis erfüllt.

**33. Dezentrale Be- und Entlüftung**
Nicht vorhanden

In folgenden Räumen wird eine Entlüftung über Maico-Lüfter vorgesehen:

- Hauswirtschaftsraum
- 4 Gäste-WC´s im EG und OG
- 2 Badezimmer im DG
- Materialwahl, Optik bestimmt der Bauträger.

**34. Brandbekämpfung mit Brandmeldeanlagen**
Nicht vorhanden

**35. Elektroinstallation Allgemeineigentum (Beschreibung)**
Die Stark- und Schwachstrominstallation wird entsprechend den VDE- Vorschriften und den Vorschriften der örtlichen Elektrizitätswerke nach ausschließlichen Festlegungen des Elektro-Projektanten ausgeführt. Leitungsverlegungen in Wohnungen und im Treppenhaus nicht sichtbar, in den Nebenräumen sichtbar angebracht. Unterverteilungen in den Wohnungen mit Sicherungsautomaten. Es obliegt dem ausführenden Gewerk, ob die Installation in Kabel oder Drähte in Leerrohr ausgeführt wird. Sämtliche erforderlichen Erdungen werden erstellt.
Beleuchtungskörper in Treppenhäusern, im Fahrradraum und im Außenbereich werden über Sensor gesteuert. Abdeckungen sämtlicher Schalter und Steckdosen in UP-Ausführung sind weiß und sämtliche Aufputz Elemente grau.

Materialwahl, Optik bestimmt der Bauträger.

Berker S1 Schaltermaterial

**36. Elektroinstallation Fernmeldeanlage**
Amtsanschluss im Hauswirtschaftsraum

**37. Beschreibung der Elektroinstallationen im Nutzbereich**

- **Fahrradraum**
  1 x Deckenbrennstelle mit Sensor

- **Freistellplätze**
  Ohne Steckdose, ohne Beleuchtung, ohne Bewegungsmelder. Jedoch Vorbereitung für E-Anschluss Autoladeoption vorhanden (Kabel).

- **Hausanschlussraum**
  1 Ausschaltung mit 1 Brennstelle und 1 Steckdose

- **Hauswirtschaftsraum**
  1 Ausschaltung mit 1 Brennstelle und 1 Steckdose

- **Treppenhaus**
  10 x Decken- oder Wandbrennstellen mit Sensorlampen

- **Außenbeleuchtung**
  4 x Wandbrennstellen mit Sensorlampen

**38. Elektroinstallation Erdungsanlage**
Ein Fundamenterder wird in die Fundamente eingelegt, nach den VDE-Richtlinien

**39. Elektroinstallation äußere Blitzschutzanlage**
Nicht vorhanden

**40. Elektroinstallation innere Blitzschutzanlage**
Potentialausgleich vorhanden

**41. Antennenanlage**
SAT-Anlage für 20 Teilnehmer

**42. Maler- und Tapezierarbeiten Allgemeineigentum**

- **Hausanschlussraum, Hauswirtschaftsraum und Fahrradraum**
  Decken- und Wandflächen werden mit einer Dispersionsfarbe, matt, weiß beschichtet. Bodenflächen der Nutzbereiche, außer Treppenhaus, abwischbar mit einer 1K-Bodenfarbe in betongrau beschichtet.

- **Treppenhaus**
  Wandflächen mit einer Glasfasertape tapeziert, mit einer Latexfarbe seidenglänzend, abgetönt beschichtet.
  Treppenuntersichten und Treppenwangen in Oberflächenqualität Q2- Verputzt und mit einer Dispersionsfarbe weiß, matt beschichtet.

- **Fassadenbeschichtung**
  Egalisierungsbeschichtung gem. Herstellerangaben des Putzherstellers. Die Grundbeschichtung der Fassade ist weiß mit einzelnen Farbakzenten in RAL 7016.

**43. Schlosserarbeiten Allgemeineigentum**
Treppenhaus: An den Wänden / einseitig werden Edelstahl-Handläufe verbaut.

**44. Balkonbrüstungen**

**Allgemein**
Die Balkonbrüstungen an den Balkonen im OG und DG werden laut Landesbauordnung zur Absturzsicherung ca. 90 cm ab Oberkante Balkonbelag gemessen. Die Balkonbrüstungen werden außen und innen genauso verputzt und beschichtet wie die restliche Fassade, die Brüstungsabdeckung wird aus Granit hergestellt. Farbe: padang Christallo, die Höhe kann variieren.
Alternativ wird die Abdeckung ggf in einem anthrazit farbigen Aluminiumblech hergestellt.
Art und Optikwahl bestimmt der Bauherr.

## 45. Gartenanlage, Einfriedungen, Außengestaltung

- **Pflaster**
  Die Zuwegungen und Einfahrten finden ab der öffentlichen Bordsteinkante in einem Rechteckpflaster Beton anthrazit 20x10x8 statt. Die Entwässerung der nicht zu versickernden Pflasterflächen erfolgt an die öffentliche Kanalisation.
  Materialwahl, Optik, bestimmt der Bauträger.

- **Kantensteine/ Pflasterbegrenzungen**
  Die seitlichen Begrenzungen der Pflasterfläche finden je nach örtlichen, baulichen Gegebenheiten statt. Sie könnten z.B. eine Betonaufkantung, ein Kantenstein, ein Bordstein, ein Kiesbett, eine ACO-Rinne oder ein L-Stein sein.
  Materialwahl, Optik bestimmt der Bauträger.

## 46. Einfriedung

Eine Einfriedung findet zu benachbarten Grundstücken nicht statt.

## 47. Außenanlage

- **Gartenbereich**
  Auf der Nordseite des Hauses befindet sich rückseitig eine Gartenfläche. Die Fläche wird begradigt und ein Feinplanum erstellt inkl. Einsähen einer Rasenfläche.

- **Spielplatz**
  Baurechtlich bedingt wird im Gartenbereich eine Spielplatzfläche bestehend aus einer Rasenfläche, einer Schaukel und einer Sitzbank hergestellt. Die Wartung und Pflege dieser Fläche obliegt der WEG.
  Materialwahl, Optik bestimmt der Bauträger.

- **Sonstiges/Außenbereich**
  Vom Bauträger werden keine Blumenkübel und sonstige Außenbepflanzung bereitgestellt.

## 48. Stellplätze

Alle sechs Stellplätze werden über die Boenerstraße angefahren. Sie befinden sich nebeneinander gereiht, an der Südseite des Hauses zwischen Mülltonnenplatz und Hauseingangsbereich.

## 49. Mülltonnenplatz

Es wird ein Mülltonnenplatz vorgesehen, linksseitig des Grundstückes neben den Stellplätzen. Eine Einhausung der Mülltonnen wird nicht hergestellt. Es werden keine Unterstellbehältnisse, Verwahrcontainer oder ähnliches für die Mülltonnen gebaut. Diese offenen Mülltonnenplätze befinden sich ohne Unterstand und sind für die Größe der Müllbehältnisse bis max. 240L geeignet. Eine gepflasterte Fläche mit Rechteckpflaster 20/10/8 Beton in anthrazit, in der Größe ca. 4mx5m wird hergestellt

## 50. Briefkästen

Die Briefkästen mit der Einzelgrösse von 32 cm x 21,5 cm werden in einer Briefkastenbatterie waagerecht montiert. Briefkastenfarbe anthrazit.

**51. Klingelanlage**
Die Klingelanlage befindet sich im Eingangsbereich an der Hauswand

**52. Fahrradständer**
Nicht vorhanden

**53. Überladebrücken**
Nicht vorhanden

**54. Abwasserdichtigkeitsprüfung durch Fachunternehmer**



**Anlage 2** zur Urkunde des Notars Marc C. Lehmann in Bad Münstereifel vom 03. August 2022, UVz.Nr. 0978/2022

# TEILUNGSERKLÄRUNG UND GEMEINSCHAFTSORDNUNG

## 1 AUFTEILUNG

1.1 Der „Eigentümer" ist Alleineigentümer der im Grundbuch des Amtsgerichts Euskirchen von Euskirchen, Blatt 16269, verzeichneten Grundbesitzes:

| lfd. Nr. | Gemarkung | Flur | Flurstück | Wirtschaftsart und Lage | Größe |
|---|---|---|---|---|---|
| 4 | Euskirchen | 2 | 716 | Gebäude- und Freifläche Boenerstraße 36 | 729 m² |

1.2 Dieses Grundstück (in dieser Urkunde auch nur kurz „**Grundbesitz**" genannt) wird mit einem Sechs-Familienwohnhaus bebaut.

1.3 Der Eigentümer teilt das Eigentum an dem Grundbesitz in Miteigentumsanteile gemäß § 8 Wohnungseigentumsgesetz in der Weise auf, dass unter Beschränkung dieser Miteigentumsanteile Sondereigentum an dem vorbezeichneten Grundbesitz entsteht und dass mit jedem Miteigentumsanteil das Sondereigentum an einem jeweiligen Wohnungseigentum, dessen betreffende Räume im Aufteilungsplan mit der jeweils gleichen Nummer versehen sind, zugewiesen wird, und zwar wie folgt (wobei die nachgenannte Lage von vor dem Hauseingang stehend in das Gebäude blickend bestimmt ist):

| Miteigentumsanteil | Lage (Sondereigentum) | Nr. Aufteilungsplan |
|---|---|---|
| 180/1.000 | Wohnung im Erdgeschoss links | 1 |
| 180/1.000 | Wohnung im Erdgeschoss rechts | 2 |
| 175/1.000 | Wohnung im Obergeschoss links nebst Balkon | 3 |
| 175/1.000 | Wohnung im Obergeschoss rechts nebst Balkon | 4 |
| 145/1.000 | Wohnung im Dachgeschoss links nebst Balkon | 5 |
| 145/1.000 | Wohnung im Dachgeschoss links nebst Balkon | 6 |

Es wird lediglich klargestellt: Die Bemessung der Miteigentumsanteile erfolgte unter Zugrundelegung der Wohnflächen der Wohnungen unter pauschaler Einbeziehung auch der nachstehend begründeten Sondernutzungsrechte. Die Richtigkeit dieser Annahmen ist jedoch keine Bedingung für die vorstehende Bemessung der Miteigentumsanteile; Anpassung kann nicht verlangt werden.

1.4 Die Aufteilung erfolgt auf der Grundlage der Aufteilungspläne, die mit der Abgeschlossenheitsbescheinigung der Stadt Euskirchen vom 15. Juni 2022 (Bauschein 00558-22-04, Akten-Nr. 11047) versehen sind. In diesen Aufteilungsplänen sind alle zur gleichen Einheit gehörenden Räumen mit den entsprechenden Nummern bezeichnet.

Auf die vorbezeichnete Abgeschlossenheitsbescheinigung nebst der Aufteilungspläne, die bei Beurkundung im Original vorlagen und zur Durchsicht vorgelegt wurden, wird hiermit verwiesen. Die Abgeschlossenheitsbescheinigung nebst Plänen wird dieser Urkunde in hiermit beglaubigter Abschrift als **Anlage 2/1.4** beigefügt, wobei die Pläne teilweise verkleinert und daher nicht maßstabsgetreu sind.

Die Aufteilungspläne wurden zur Durchsicht vorgelegt, genehmigt und unterschrieben.

## 2 GEMEINSCHAFTSORDNUNG

Für das Verhältnis der Wohnungs- und Teileigentümer untereinander gelten die Bestimmungen des Wohnungseigentumsgesetzes, soweit nicht nachstehend etwas anderes vereinbart ist. Gemäß § 10 Abs. 1 Satz 2 WEG wird als Inhalt des Wohnungs- und Teileigentums Folgendes bestimmt:

## 3 SONDEREIGENTUM UND GEMEINSCHAFTLICHES EIGENTUM

3.1 Gemeinschaftliches Eigentum sind insbesondere alle Räume und Grundstücksteile, die im Aufteilungsplan nicht als Sondereigentum ausgewiesen sind, sowie das vorhandene Verwaltungsvermögen der Gemeinschaft. § 5 Abs. 2 WEG bleibt unberührt.

Gemeinschaftliches Eigentum sind insbesondere der Grund und Boden sowie die Teile des Gebäudes, die seine äußere Gestalt bestimmen oder für Bestand und Sicherheit erforderlich sind. Gemeinschaftliches Eigentum sind weiter insbesondere:

(a) die Räume und Gebäudeteile, die nicht Sondereigentum sind,

(b) die Trennwände zwischen Sondereigentum und gemeinschaftlichem Eigentum oder anderem Sondereigentum,

(c) die Fenster und Fensterrahmen sowie die Wohnungsabschlusstüren, jeweils mit allen Bestandteilen, sowie etwa vorhandene Lüftungseinrichtungen,

(d) alle Steigleitungen und Steigrohre sowie Fallleitungen und Fallrohre zur Versorgung und Entsorgung, jeweils bis zu der Abzweigung der Leitungen und Rohre, die nur der Versorgung oder Entsorgung eines bestimmten Sondereigentums dienen, insbesondere hinsichtlich der Elektroleitungen jedoch bis zu der Unterverteilung im Sicherungskasten im Sondereigentum,

(e) die konstruktiven Balkon-Bauteile, Geländer/Brüstungen und konstruktive Bestandteile einschließlich der Dichtungs-, Isolier- und Dämmschichten und Estrichs einschließlich etwaiger Entwässerungsabläufe und -einrichtungen,

(f) die Aufzugsanlage samt aller zugehöriger Einrichtungen.

Eigentum der Wohnungseigentümergemeinschaft als Verband sind alle bei der Verwaltung des gemeinschaftlichen Eigentums erworbenen Sachen und Rechte, beispielsweise Einrichtungsgegenstände, sowie die dabei entstandenen Verbindlichkeiten. Zum Verwaltungsvermögen zählen insbesondere die Forderungen, die dem Verband zustehen, wie Wohngeldschulden der Eigentümer aus Abrechnungen, Wirtschaftsplänen und Sonderumlagen, aber auch alle Forderungen aus vertraglichen Beziehungen, bei denen die Wohnungseigentümergemeinschaft Vertragspartner ist.

3.2 Zum Sondereigentum zählen insbesondere:

(a) der Fußbodenbelag, der Deckenputz, der Wandputz, die Tapeten und die Wandverkleidung aller Räume im Sondereigentum, auch soweit die Wände nicht zum Sondereigentum gehören,

(b) die nicht tragenden Zwischenwände und die Innentüren der Räume im Sondereigentum,

(c) die Anlagen und Einrichtungen der Räume im Sondereigentum, insbesondere Waschbecken, Dusche, sanitäre Anlagen,

(d) alle Leitungen und Rohre, die der Versorgung und Entsorgung und des Sondereigentums dienen, jeweils ab der Abzweigung von den Steigleitungen und Steigrohren sowie Fallleitungen und Fallrohren, einschließlich Leitungsöffnung, Stecker und Schalter in der Wand im Sondereigentum, insbesondere hinsichtlich der Elektroleitungen jedoch erst ab der Unterverteilung im Sicherungskasten im Sondereigentum,

(e) Heizungssteuerung und Ventile sowie die Heizungsanlagenbestandteile innerhalb der jeweiligen Wohnung einschließlich Leitungen bis zur Anschlussstelle an gemeinsame Leitungen,

(f) der gesamte Sicherungskasten einschließlich der Unterverteilung für die Elektroleitungen im Sondereigentum,

(g) der Oberflächenbelag der Balkone (bis hinunter zur obersten Dämm-, Isolier- oder Dichtungsschicht).

Näheres wünscht der Eigentümer nicht zu bestimmen, vielmehr sollen im Übrigen die gesetzlichen Bestimmungen gelten.

## 4 UMFANG UND ART DER NUTZUNG

4.1 Jeder Wohnungs- und Teileigentümer hat das Recht zur alleinigen Nutzung seines Sondereigentums, soweit sich nicht Beschränkungen aus dem Gesetz oder dieser Teilungserklärung ergeben.

Das Haus ist zu Wohnzwecken bestimmt. Die Wohnungen dürfen auch als Büros oder freiberufliche Praxen verwendet werden, wenn hierdurch keine negativen Auswirkungen auf die übrigen Wohnungen entstehen, die den Wohncharakter der übrigen Wohnungen unzumutbar beeinträchtigen. Jede andere Nutzung bedarf der Zustimmung der übrigen Wohnungs- und Teileigentümer. Soweit Räume im Aufteilungsplan sonst für eine bestimmte Nutzung gekennzeichnet sind, ist die Kennzeichnung nicht verbindlich.

4.2 Jeder Wohnungs- und Teileigentümer hat ferner das Recht zur Mitbenutzung der zum gemeinschaftlichen Gebrauch bestimmten Anlagen und Einrichtungen des Gebäudes und des Grundstücks, soweit sich nicht Beschränkungen aus dem Gesetz oder dieser Teilungserklärung ergeben.

4.3 Alle Eigentümer sind verpflichtet, ihr Sondereigentum so auszuüben, dass niemand über das unvermeidliche Maß hinaus belästigt oder beeinträchtigt wird.

4.4 Die zur gemeinschaftlichen Benutzung bestimmten Anlagen, Einrichtungen und Teile des Grundstücks und der Gebäude sind schonend und pfleglich zu behandeln.

4.5 Jeder Wohnungs- und Teileigentümer ist verpflichtet, alle Maßnahmen zu dulden, die zur Errichtung einer gemeinsamen Fernseh-, Rundfunk-, Fernsprechanlage erforderlich sind. Ein hierdurch an seinem Sondereigentum entstehender Schaden ist zu ersetzen.

## 5 SONDERNUTZUNGSRECHT

### 5.1 Stellplätze

5.1.1 Der jeweilige Eigentümer der Wohnungseigentumseinheit ist berechtigt, den betreffenden Kraftfahrzeugstellplatz auf dem Grundbesitz, die in dem dieser Teilungserklärung als **Anlage 2/1.4** beigefügten Lagepläne mit „STP“ und der gleichen Nummer der betreffenden Einheit gemäß Aufteilungsplan eingezeichnet sind, unter Ausschluss der jeweiligen übrigen Sondereigentümer als Stellplatz zu nutzen.

5.1.2 Der jeweilige Sondernutzungsberechtigte ist auch ohne Zustimmung der übrigen Sondereigentümer berechtigt, auf der dem Sondernutzungsrecht (Stellplätze) unterliegenden jeweiligen Freifläche alle Maßnahmen, auch bauliche Veränderungen (z.B. Veränderung oder Errichtung eines Carports, E-Ladesäule etc.) auf eigene Kosten und auf eigenes Risiko durchzuführen, auch wenn dafür eine Baugenehmigung erforderlich ist. Die Beschaffung erforderlicher behördlicher Genehmigungen erfolgt auf Veranlassung und Kosten allein des betreffenden Sondernutzungsberechtigten. Die baulichen Veränderungen, insbesondere die Errichtung bzw. Änderung von Carports, darf jedoch die Zugänglichkeit und insbesondere die Einfahrtsmöglichkeit zu den und der übrigen Sondernutzungsbereiche nicht unzumutbar beeinträchtigen; angemessene Fahrwege und -radien sind für die übrigen, insbesondere angrenzenden Sondernutzungsbereiche freizuhalten. Gemeinschaftlich errichtete bzw. verbundene Carports bzw. Carportanlagen über mehrere Stellplätze unterliegen jedoch nicht dieser Regelung; sie bleiben gemeinschaftliches Eigentum aller Miteigentümer und unterliegen der Instandhaltungs- und Kostenlast derjenigen Sondernutzungsberechtigten, welche sie nutzen.

### 5.2 Terrassen

5.2.1 Der jeweilige Eigentümer der Einheit Nr. 1 des Aufteilungsplanes ist berechtigt, die Terrassenfläche auf dem Grundbesitz, die in dem dieser Teilungserklärung als **Anlage 2/1.4** beigefügten Aufteilungsplan mit der Bezeichnung „Terrasse“ dargestellt und unmittelbar vor seinem Sondereigentum belegen ist, unter Ausschluss der übrigen Eigentümer zu nutzen.

5.2.2 Der jeweilige Eigentümer der Einheit Nr. 2 des Aufteilungsplanes ist berechtigt, die Terrassenfläche auf dem Grundbesitz, die in dem dieser Teilungserklärung als **Anlage 2/1.4** beigefügten Aufteilungsplan mit der Bezeichnung „Terrasse“ dargestellt und unmittelbar vor seinem Sondereigentum belegen ist, unter Ausschluss der übrigen Eigentümer zu nutzen.

5.3 Es wird klargestellt, dass die Brüstungen und Umwehrungen, auch Innenseiten der Brüstungen, sowohl auf Balkonen als auch auf Terrassen, nicht dem jeweiligen Sondernutzungsrecht unterfallen. Diese Teile sind Gemeinschaftseigentum und unterfallen daher der Entscheidungs-, aber auch Instandhaltungs- und Kostenkompetenz der Eigentümergemeinschaft.

5.4 Der gemeinschaftlichen Versorgung des Hauses etwa dienende Anlagen und Einrichtungen (z.B. Ver- und Entsorgungsleitungen jeder Art) sowie insbesondere auch baurechtlich, baupolizeilich und/oder brandschutztechnisch erforderliche Rettungswege dürfen auch durch bzw. über die Sondernutzungsbereiche verlaufen. Diesbezügliche Wartungs-, Reparatur- und Erneuerungsarbeiten sind vom Sondernutzungsberechtigten zu dulden; Rettungswege hat der Sondernutzungsberechtigte stets im rechtlich gebotenen Umfange freizuhalten.

5.5 Soweit Sondereigentümern Teile des gemeinschaftlichen Eigentums zur alleinigen Nutzung zugewiesen sind, tragen sie die hieran entstehenden Unterhaltungs- und Instandhaltungs- sowie Instandsetzungslasten, die dafür anfallenden Kosten und die Bewirtschaftungskosten für diese Bereiche unter Ausschluss der übrigen Sondereigentümer allein.

## 6 BAULICHE VERÄNDERUNGEN, WIEDERAUFBAU

6.1 Bauliche Veränderungen sind dem Sondereigentümer an seinem Sondereigentum sowie an dem ihm zur ausschließlichen Nutzung zugewiesenen gemeinschaftlichen Eigentum gestattet (soweit vorstehend nicht abweichend bestimmt), soweit dadurch nicht das Sondereigentum anderer, das sonstige Gemeinschaftseigentum oder die äußere Gestaltung des Gebäudes berührt wird.

Das Anbringen von privaten Antennenanlagen am Gemeinschaftseigentum für Fernsehen, Amateurfunk und Rundfunk ist nicht zulässig.

Ein Sondereigentümer ist zudem nicht berechtigt, Fenster, Fensterrahmen, Rollläden, Lüftungseinrichtungen und Wohnungseingangstüren eigenmächtig zu verändern, auch soweit sie sich in seinem Sondereigentum befinden.

6.2 Keiner Zustimmung der Eigentümergemeinschaft oder einzelner Sondereigentümer bedarf das Anbringen von Markisen oder sonstigen Konstruktionen zur Beschattung und Überdachung von Freiflächen oder Balkonen/Terrassen am Gemeinschaftseigentum bzw. an überliegenden Konstruktionen; das Anbringen hat durch eine Fachfirma zu erfolgen und ist den übrigen Eigentümern bzw. dem Verwalter vorher anzuzeigen. Die Gestaltung soll für alle Einheiten einheitlich sein und ist daher vorab mit dem Verwalter abzustimmen.

6.3 Sind Gebäude ganz oder teilweise zerstört, so ist die Gemeinschaft der Sondereigentümer zum Wiederaufbau verpflichtet, wobei die nicht durch die Versicherung gedeckten Kosten nach dem Verhältnis der Miteigentumsanteile zu tragen sind. Steht dem Wiederaufbau ein unüberwindliches Hindernis im Wege, so kann jeder Eigentümer die Aufhebung der Gemeinschaft verlangen.

## 7 VERÄUßERUNG/VERMIETUNG DES SONDEREIGENTUMS, ENTZIEHUNG

7.1 Jeder Sondereigentümer kann sein Wohnungs- und Teileigentum frei veräußern und vermieten. Eine Veräußerungsbeschränkung nach § 12 WEG wird nicht vereinbart.

7.2 Der Anteil am jeweils vorhandenen Verwaltungs- und Vorratsvermögen geht im Falle der Veräußerung auf den Erwerber über. Der Veräußerer hat keinen Anspruch auf Auseinandersetzung hinsichtlich des Verwaltungsvermögens und Auszahlung seines Anteils. Eine etwaige Auseinandersetzung im Innenverhältnis zwischen Veräußerer und Erwerber bleibt diesen überlassen.

7.3 Der rechtgeschäftliche Erwerber haftet nicht neben dem Veräußerer gesamtschuldnerisch für etwaige Rückstände des Veräußerers hinsichtlich fälliger Zahlungen an die Wohnungseigentümergemeinschaft, insbesondere nicht bezüglich etwa rückständigen Hausgeldes.

7.4 Steht das Sondereigentum mehreren Personen gemeinschaftlich zu, so kann die Entziehung des Sondereigentums (§ 17 WEG) zu Ungunsten sämtlicher Mitberechtigter verlangt werden, sofern auch nur in der Person eines Mitberechtigten die Voraussetzungen für das Entziehungsverlangen begründet sind.

## 8 INSTANDHALTUNG UND INSTANDSETZUNG

8.1 Jeder Wohnungseigentümer ist verpflichtet, sein Sondereigentum und die seinem Sondernutzungsrecht unterliegenden Teile des Gemeinschaftseigentums ordnungsgemäß instand zu halten und instand zu setzen.

8.2 Die Instandhaltung und Instandsetzung des gemeinschaftlichen, nicht zur Sondernutzung zugewiesenen Eigentums obliegt den Wohnungseigentümern gemeinschaftlich. Die erforderlichen Maßnahmen sind vom Verwalter zu veranlassen. Die Behebung von Schäden am gemeinschaftlichen Eigentum ist vom Verwalter zu veranlassen. Schäden am gemeinschaftlichen Eigentum hat jeder Wohnungseigentümer dem Verwalter unverzüglich anzuzeigen. Jeder Wohnungseigentümer hat, soweit ihm möglich und zumutbar, bis zur Abhilfe

durch den Verwalter durch vorläufige Maßnahmen für die Abwendung unmittelbarer Gefahren zu sorgen.

## 9 LASTEN UND KOSTEN, VERSICHERUNG

9.1 Jeder Wohnungseigentümer trägt die Kosten für die Instandhaltung und die Instandsetzung seines Sondereigentums und der seinen Sondernutzungsrecht unterliegenden Flächen und Gebäudeteile sowie folgender Gebäudeteile, gleichgültig ob es sich um Sonder- oder Gemeinschaftseigentum handelt:

9.1.1 Nichttragende Innenwände, Bodenbeläge sowie Wand- und Deckenverputz innerhalb des Sondereigentums,

9.1.2 Fensterrahmen und –stöcke, Fensterscheiben, Wohnungseingangstüren, Rollläden, Rollladenkästen, Außenjalousien,

9.1.3 Sanitär- und Heizungseinrichtungen samt Thermostatventilen, Heiz- und Warmwassermessgeräte jeweils innerhalb des Sondereigentums.

9.2 Jeder Eigentümer trägt die Kosten des Gebrauchs seines Sondereigentums alleine, für die besondere Messvorrichtungen vorhanden sind (z.B. Strom-, Wärme- oder Wasserzähler) oder die sonst einwandfrei gesondert festgestellt werden können, soweit nicht unter Ziffer 9.4 etwas anderes bestimmt ist.

9.3 Die Lasten des gemeinschaftlichen Eigentums sowie die Kosten der Instandhaltung, Instandsetzung, Verwaltung und des gemeinschaftlichen Gebrauchs des Gemeinschaftseigentums tragen die Sondereigentümer im Verhältnis ihrer Miteigentumsanteile. Ein besonderer Stockwerksschlüssel für die Kosten des Aufzugs wird nicht bestimmt.

Die Wohnungseigentümer sind zur Ansammlung einer Instandhaltungsrücklage für das gemeinschaftliche Eigentum verpflichtet. Zu diesem Zweck ist jeweils ein angemessener Betrag an den Verwalter zu entrichten. Ist kein Verwalter bestellt, so ist der Betrag jeweils auf ein gesondertes Konto der Eigentümergemeinschaft einzuzahlen. Über die Höhe und Fälligkeit des Betrages beschließt jeweils die Eigentümerversammlung.

9.4 Die Kosten für eine zentrale Heizungs- und Warmwasserversorgung, sofern vorhanden, werden nach der Heizkosten-VO in der jeweils gültigen Fassung zu 70 % nach Verbrauch und zu 30 % nach dem Verhältnis der beheizbaren Flächen der Einheiten zueinander verteilt. Die Sondereigentümer können eine andere der Heizkosten-VO entsprechende Regelung beschließen.

9.5 Die Sondereigentümer sind verpflichtet, eine verbundene Gebäudeversicherung zum gleitenden Neuwert für das Sondereigentum und das gemeinschaftliche

Eigentum als Ganzes sowie eine Versicherung gegen eine Inanspruchnahme aus der gesetzlichen Haftpflicht der Eigentümergemeinschaft aus dem gemeinschaftlichen Eigentum abzuschließen.

## 10 EIGENTÜMERVERSAMMLUNG UND VEREINBARUNGEN

10.1 Die Wohnungseigentümer entscheiden über ihre gemeinsamen Angelegenheiten durch Beschluss in der Eigentümerversammlung. Auch ohne Versammlung ist ein Beschluss gültig, wenn alle Eigentümer ihre Zustimmung erklären (Umlaufverfahren).

10.2 Die Eigentümerversammlung ist ohne Rücksicht auf die Zahl der in ihr vertretenen Stimmen beschlussfähig. Stellvertretung ist zulässig, die Vollmacht ist in Textform nachzuweisen.

10.3 Das Stimmrecht richtet sich nach Miteigentumsanteilen. Das Stimmrecht kann für jedes Wohnungseigentum nur einheitlich ausgeübt werden.

Ein Letztentscheidungsrecht wird nicht bestimmt. Bei Stimmengleichheit gilt der Antrag als abgelehnt.

Beschlüsse werden vorbehaltlich abweichender Vereinbarungen oder zwingender gesetzlicher Bestimmungen mit der einfachen Mehrheit der in der Miteigentümerversammlung vertretenen Stimmen gefasst.

10.4 Von dieser Teilungserklärung/Gemeinschaftsordnung abweichende Regelungen können durch Beschluss getroffen werden, und zwar so weitgehend und in dem weitesten Umfange, wie eine gesetzliche Bestimmung dem nicht zwingend entgegensteht.

Ist ein entsprechender Beschluss rechtsbeständig geworden, ist jeder Wohnungseigentümer verpflichtet, eine etwa zum grundbuchlichen Vollzug erforderliche Erklärung in notariell beglaubigter Form unverzüglich auf Kosten der Gemeinschaft abzugeben.

## 11 BEZEICHNUNG DER GEMEINSCHAFT, VERWALTER

11.1 Die Eigentümergemeinschaft führt die Bezeichnung „WEG Boenerstraße 36, Euskirchen".

11.2 Die Sondereigentümer beschließen mit Stimmenmehrheit über die Bestellung eines Verwalters.

11.3 Ist ein Verwalter nicht bestellt, werden dessen Rechte und Pflichten, gesetzlich und gemäß dieser Teilungserklärung und Gemeinschaftsordnung, von allen Eigentümern gemeinsam wahrgenommen.

11.4 Jeder Sondereigentümer hat im Falle der gänzlichen oder teilweisen Veräußerung seines Sondereigentums den Erwerber zum Eintritt in den mit dem jeweiligen Verwalter geschlossenen Vertrag zu verpflichten.

## 12 GRUNDBUCHERKLÄRUNGEN

12.1 Der Eigentümer bewilligt und beantragt, in das Grundbuch einzutragen:

12.1.1 die Teilung des vorgenannten Grundstücks in Sondereigentumsrechte gemäß Ziffer 1 dieser Urkundsanlage,

12.1.2 die Bestimmungen nach Ziffern 2 bis mit 11 dieser Urkundsanlage als Inhalt des Sondereigentums.

12.2 Alle Eintragungen aus dieser Urkunde sollen erfolgen nach Maßgabe der Anträge des Notars, der ermächtigt ist, diese auch getrennt und eingeschränkt zu stellen und in gleicher Weise zurückzunehmen sowie die Erklärungen der Beteiligten gegenüber dem Grundbuchamt zu ergänzen, zu ändern und zu berichtigen.

## 13 BESTELLUNG DES ERSTEN VERWALTERS

Ein Verwalter soll heute noch nicht bestellt werden.

## 14 ALLGEMEINES

14.1 Vorkaufsrechte zwischen den Sondereigentumseinheiten sollen heute nicht begründet werden.

14.2 Alle erforderlichen Genehmigungen und Zustimmungserklärungen sollen vom Notar herbeigeführt und mit Eingang beim Notar allen Beteiligten gegenüber unmittelbar wirksam werden.

14.3 Alle mit dieser Urkunde und ihrer Durchführung verbundenen Kosten trägt der Eigentümer.

14.4 Jeder Eigentümer bevollmächtigt den beurkundenden Notar, dessen Vertreter und die Mitarbeiter des Notars, Frau Jenny Kucia, Frau Sylvia Müller und Frau Christina Heeger, alle büroansässig bei dem amtierenden Notar, jeden allein, unwiderruflich, die Mitarbeiter ohne Auftrag und unter Ausschluss jeder Haftung und nur zur Erklärung vor dem Notar oder dessen Vertreter, alle mit der

Durchführung und Abwicklung dieser Urkunde verbundenen Erklärungen abzugeben und Anträge zu stellen, die zum Vollzug dieser Urkunde erforderlich sind, sowie diese Urkunde zu ändern, zu ergänzen, zu berichtigen und/oder zu wiederholen.

Im Außenverhältnis – insbesondere gegenüber dem Grundbuchamt – sind diese Vollmachten unbeschränkt. Im Innenverhältnis soll von ihnen nur Gebrauch gemacht werden, soweit dies für den Vollzug im Grundbuch erforderlich oder zweckmäßig ist.

Die Bevollmächtigten sind von den Beschränkungen des § 181 BGB befreit und dürfen Untervollmacht(en) erteilen.

14.5 Ist eine Bestimmung dieser Urkundsanlage unwirksam, wird die Gültigkeit der übrigen Bestimmungen davon nicht berührt. Die unwirksame Bestimmung wird durch die wirksame Bestimmung ersetzt, die dem angestrebten wirtschaftlichen Erfolg der unwirksamen Bestimmung möglichst nahe kommt. Entsprechendes gilt für Lücken.

Als Anlage zur Urkunde des Notars Marc C. Lehmann in Bad Münstereifel vom 03. August 2022, UVz.Nr. 0978/2022, genommen, dem Erschienenen vom Notar vorgelesen; die anliegenden Pläne und Zeichnungen zur Durchsicht vorgelegt; diese Urkundsanlage und alle Anlagen wurden von dem Erschienenen genehmigt und diese Niederschrift von ihm und dem Notar eigenhändig wie folgt unterschrieben:



Anlage 2 / 1.4

Anlage zur Urkunde des Notars
Marc C. Lehmann in Bad Münstereifel
UVz. Nr. 0978/2022

euskirchen
stadt mit gesicht

Bauschein: **00558-22-04** eingegangen: **16.05.2022**

**Der Bürgermeister**

Fachbereich 9
Abteilung Bauordnung

Guido Metzen Vermögensverwaltung GmbH
vertr. d.
Herrn Guido Metzen
Unter den Linden 11
53902 Bad Münstereifel

Ansprechpartner: Herr Menden

Zimmer: 177
Telefon: 02251-14-0
Durchwahl: 02251 / 14556
Telefax: 02251 / 1458556
e-Mail:
pmenden@euskirchen.de

Sprechzeiten:
siehe unten

Abgeschlossenheitsbescheinigung

15.06.2022

Akten-Nr. : **11047**

Grundstück: **Euskirchen, Boenerstraße 36**

Gemarkung: **Euskirchen**
Flur: **2**
Flurstück/e: **716**

**Bescheinigung**

aufgrund des § 7 Abs. 4 Nr. 2 / § 32 Abs. 2 Nr. 2 des Wohnungseigentumsgesetzes vom 15. März 1951 (Bundesgesetzblatt I S. 175)

Sehr geehrter Herr Metzen,

die im beiliegenden Aufteilungsplan mit Ziffer 1 bis 6 bezeichneten Wohnungen sowie die mit Ziffer 1 bis 6 bezeichneten dazugehörigen nicht zu Wohnzwecken dienenden Räume in dem zu errichtenden Gebäude auf dem v. g Grundstück mit v.g. Katasterbezeichnung sind in sich abgeschlossen.

Sie entsprechen daher dem Erfordernis des § 3 Abs. 2 / § 32 Abs. 1 des Wohnungseigentumsgesetzes.

**Gebührenbescheid**

Nach dem Gebührengesetz für das Land Nordrhein-Westfalen (GebG NW) in Verbindung mit der Allgemeinen Verwaltungsgebührenordnung für das Land NW (AVwGebO NW) und des Allgemeinen Gebührentarifs zur AVwGebO NW in der jeweils gültigen Fassung ist eine Gesamtgebühr von

**400,00 €**

zu entrichten.

Die genaue Ermittlung der Gebühr entnehmen Sie bitte der anliegenden **Gebührenberechnung**.

Ich bitte Sie, die Gebühr innerhalb von **14 Tagen nach Empfang** dieses Bescheides an die Stadtkasse Euskirchen unter **Angabe des Kassenzeichens und Verwendungszweckes** zu überweisen.

**KASSENZEICHEN** (bei Zahlung bitte angeben): **061427325/0067**

Konten:

| | | |
|---|---|---|
| KSK Euskirchen: | IBAN: DE64 3825 0110 0002 6070 00 | BIC: WELADED1EUS |
| Postbank | IBAN: DE58 3701 0050 0016 3005 07 | BIC: PBNKDEFFXXX |
| Volksbank | IBAN: DE05 3826 0082 0100 4490 13 | BIC: GENODED1EVB |
| Raiffeisenbank Euskirchen eG | IBAN: DE16 3706 9627 2000 2000 10 | BIC: GENODED1RBC |

Sollten Sie den Fälligkeitstermin nicht einhalten, bin ich leider gezwungen, die Beitreibung des Betrages im Wege des Verwaltungszwangsverfahrens kostenpflichtig zu veranlassen. Außerdem müssen bei verspäteter Zahlung Säumniszuschläge erhoben werden.

**Rechtsbehelfsbelehrung**

Gegen diesen **Bescheid** sowie gegen den **Gebührenbescheid** kann innerhalb eines Monats nach **Bekanntgabe** Klage beim Verwaltungsgericht Aachen, Adalbertsteinweg 92, 52070 Aachen erhoben werden.

Die Klage ist schriftlich oder mündlich zur Niederschrift des Urkundsbeamten der dortigen Geschäftsstelle zu erheben.

Die Klage muss den Kläger, den Beklagten und den Gegenstand des Klagebegehrens bezeichnen. Sie soll einen bestimmten Antrag enthalten. Die zur Begründung dienenden Tatsachen und Beweismittel sollen angegeben und der angefochtene Bescheid in Urschrift oder in Abschrift beigefügt werden.

Der Klage und allen Schriftsätzen sollen Abschriften für die übrigen Beteiligten beigefügt werden (gilt nicht im Falle der Übermittlung eines elektronischen Dokuments).

Die Klage kann auch durch Übermittlung eines elektronischen Dokuments an die elektronische Poststelle des Gerichts erhoben werden. Das elektronische Dokument muss mit einer qualifizierten elektronischen Signatur der verantwortenden Person versehen sein oder von der verantwortenden Person signiert und auf einem sicheren Übermittlungsweg gemäß § 55a Absatz 4 VwGO eingereicht werden. Es muss für die Bearbeitung durch das Gericht geeignet sein. Die technischen Rahmenbedingungen für die Übermittlung und die Eignung zur Bearbeitung durch das Gericht bestimmen sich nach näherer Maßgabe der Elektronischer-Rechtsverkehr-Verordnung vom 24. November 2017 (BGBl. I S. 3803) in der jeweils geltenden Fassung.

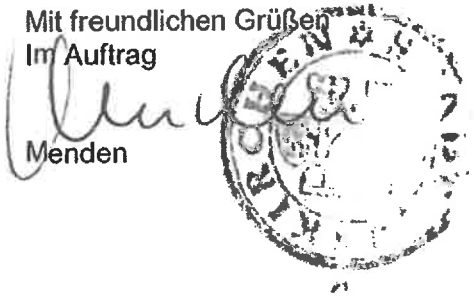
Wird die Klage durch einen Rechtsanwalt, eine Behörde oder eine juristische Person des öffentlichen Rechts einschließlich der von ihr zur Erfüllung ihrer öffentlichen Aufgaben gebildeten Zusammenschlüsse erhoben, muss sie nach § 55d Satz 1 VwGO als elektronisches Dokument übermittelt werden. Dies gilt nach § 55d Satz 2 VwGO auch für andere nach der VwGO vertretungsberechtigte Personen, denen ein sicherer Übermittlungsweg nach § 55a Absatz 4 Satz 1 Nummer 2 VwGO zur Verfügung steht.

Ist eine Übermittlung als elektronisches Dokument aus technischen Gründen vorübergehend nicht möglich, bleibt auch bei diesem Personenkreis nach § 55d Satz 1 und 2 VwGO die Klageerhebung mittels Schriftform oder zu Protokoll des Urkundsbeamten der Geschäftsstelle zulässig. Die vorübergehende Unmöglichkeit ist bei der Ersatzeinreichung oder unverzüglich danach glaubhaft zu machen; auf Anforderung ist ein elektronisches Dokument nachzureichen.

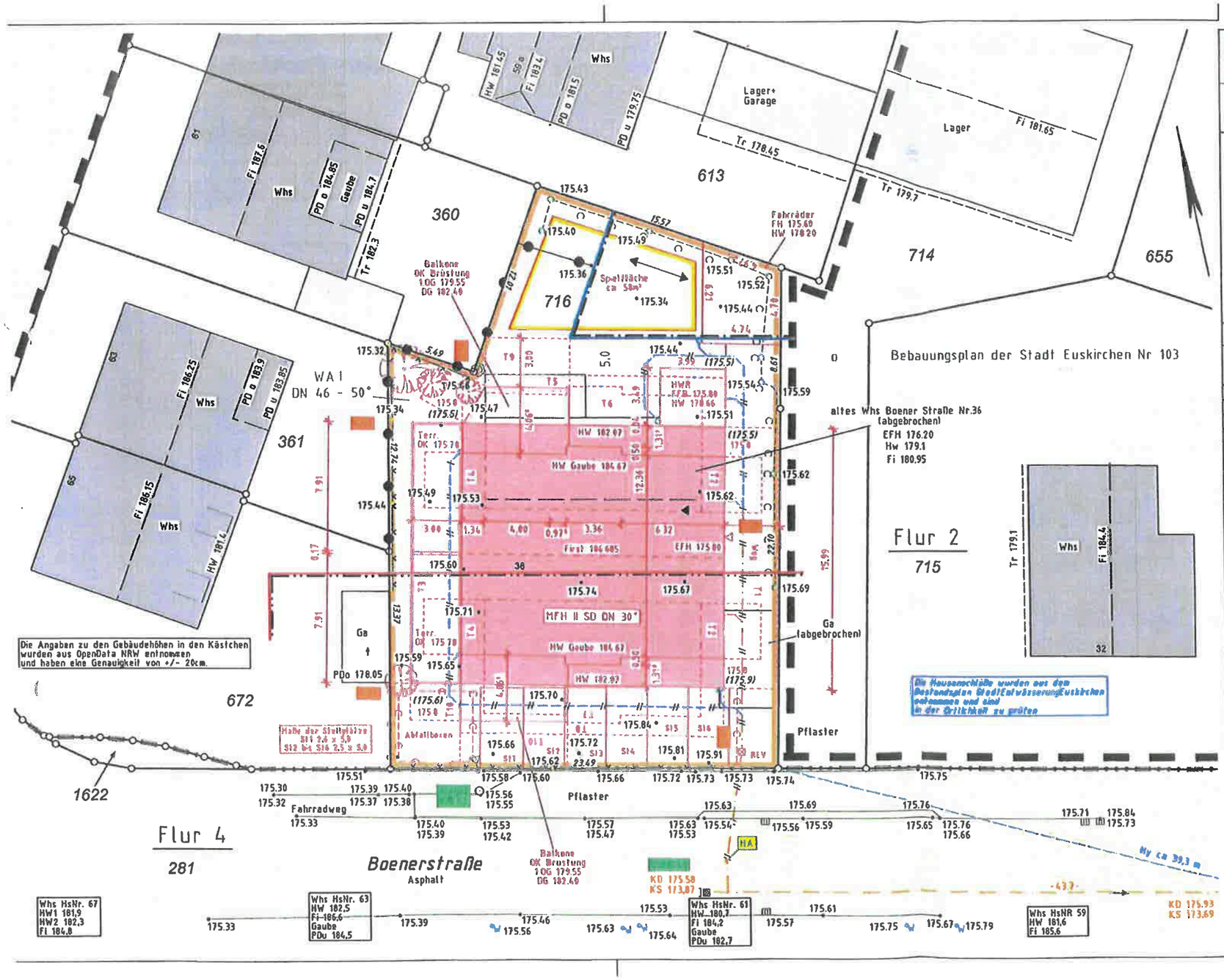
Gemäß § 80 Abs. 2 Ziff. 1 VwGO hat die Klage keine aufschiebende Wirkung. Insbesondere wird die Verpflichtung zur Zahlung hierdurch nicht berührt.

Soweit die sofortige Vollziehung angeordnet ist oder die Anordnung kraft Gesetzes sofort vollziehbar ist, hat die Klage gegen diese Anordnung keine aufschiebende Wirkung. Beim Verwaltungsgericht Aachen kann die Anordnung oder Wiederherstellung der aufschiebenden Wirkung beantragt werden. die Verpflichtung zur Zahlung hierdurch nicht berührt.

Mit freundlichen Grüßen
Im Auftrag



Menden




Vermessungsbüro
**Dipl.-Ing. Andreas Kluß**
Beraten Vermessen Bewerten
Öffentlich bestellter Vermessungsingenieur

Carmenstraße 40 53879 Euskirchen
Tel. 02251/2726 und (02251/52788
Fax 02251/74493 info@akluss.de
www.vermessung-euskirchen.de

# Lageplan

Maßstab 1:200

Orientierung 1:5000 (ABK) siehe Beiblatt

| Index | Datum | Änderung | Bear |
|---|---|---|---|
| A | 06.05.2021 | Vorabzug | Kr |
| B | 30.06.2021 | Ergänzung Gebäudehöhen aus DOM | Gi |
| C | 13.07.2021 | Aktualisierung Koordinaten Baugrundstück | Me |
| D | 03.12.2021 | Projekt | Me |
| E | 08.12.2021 | Projekt, 1.Änderung | Me |
| F | 15.02.2022 | Projekt, 2.Änderung (Änderung Stellplätze u. | Me |
| | | Abfallboxen; Berechnungen zum Maß der | |
| | | baulichen Nutzung gem. BauNVO 1968) | |

| | |
|---|---|
| Baugenehmigungsbehörde: | Stadt Euskirchen |
| Gesch.B.Nr.: | 21 M334 LP |
| Bauvorhaben: | Neubau eines Mehrfamilienhauses mit 6 WE |
| Bauherr: | Guido Metzen Vermögensverwaltung GmbH |
| Gemeinde: | Euskirchen |

Gemarkung: Euskirchen Flur 2

| Flurstück | Fläche ha | a | m² | Eigentümer | Baulasten (siehe Anlag |
|---|---|---|---|---|---|
| 716 | | 7 | 29 | Guido Metzen VERMÖGENSVERWALTUNGS GmbH | |
| 281 | | | | STADT EUSKIRCHEN | |

Diese Anlage gehört zur Abgeschlossenheitsbescheinigung 558/22
Euskirchen, den 15. Juni 2022
Stadt Euskirchen
Der Bürgermeister
Amt für Bauaufsicht
Im Auftrag

## Art und Maß der baulichen Nutzung

(Berechnung n. § 3 Abs. 2 BauPrüfVO)

Bebauungsplan Nr. 26
Baugebiet WA
Anzahl der zulässigen Vollgeschosse I

| | | Grundflächen-Geschoßflächen-Baumassenzahl (1) | | bauliche Nutzung (m²) bzw. (m³) | | | |
|---|---|---|---|---|---|---|---|
| | | zulässige | beanspruchte | zulässig | vorhanden bzw. verbleibend | geplant | beanspruchte |
| Fläche des Flurstücks | 729 m² | | | | | | |
| + Zuschlag n. § 21a Abs 2 Bau NVO | m² | | | | | | |
| - Fläche vor der Straßenbegrenzungslinie | m² | | | | | | |
| - Teilflächen des Flurstücks, die nicht im Bauland liegen (§ 19 Abs 3 BauNVO) | m² | | | | | | |
| ± Baulastenfläche | m² | | | | | | |
| Fläche des Baugrundstücks | 729 m² | | | | | | |
| Grundfläche (gem. BauO NRW 1968) | | 0,3 | 0,35 | 219 | | 255,7 | 255,7 |
| Geschoßfläche | | 0,4 | 0,70 | 291,6 | | 511,5 | 511,5 |

Den Inhalt des Lageplans habe ich zur Kenntnis genommen. Mit dem Bauvorhaben bin ich einverstanden

Bauherr.

(Unterschrift)

Für die Übereinstimmung von Projekteintragung und Bauzeichnung

Entwurfsverfasser den 17.05.22

(Stempel) (Unterschrift)

Der Lageplan wurde auf Grund amtlicher Unterlagen und eigener örtlicher Aufnahme vom 31.03.2021 hergestellt. Die Richtigkeit der Eintragung des geltenden Planungsrechts wird gewährleistet. Des weiteren sind ggf. die textlichen Festsetzungen des Bebauungsplanes vom 23.02.1962 zu beachten. Der Projekteintragung lagen Bauzeichnungen im Maßstab 1:100 vom 10.11.2021 zugrunde

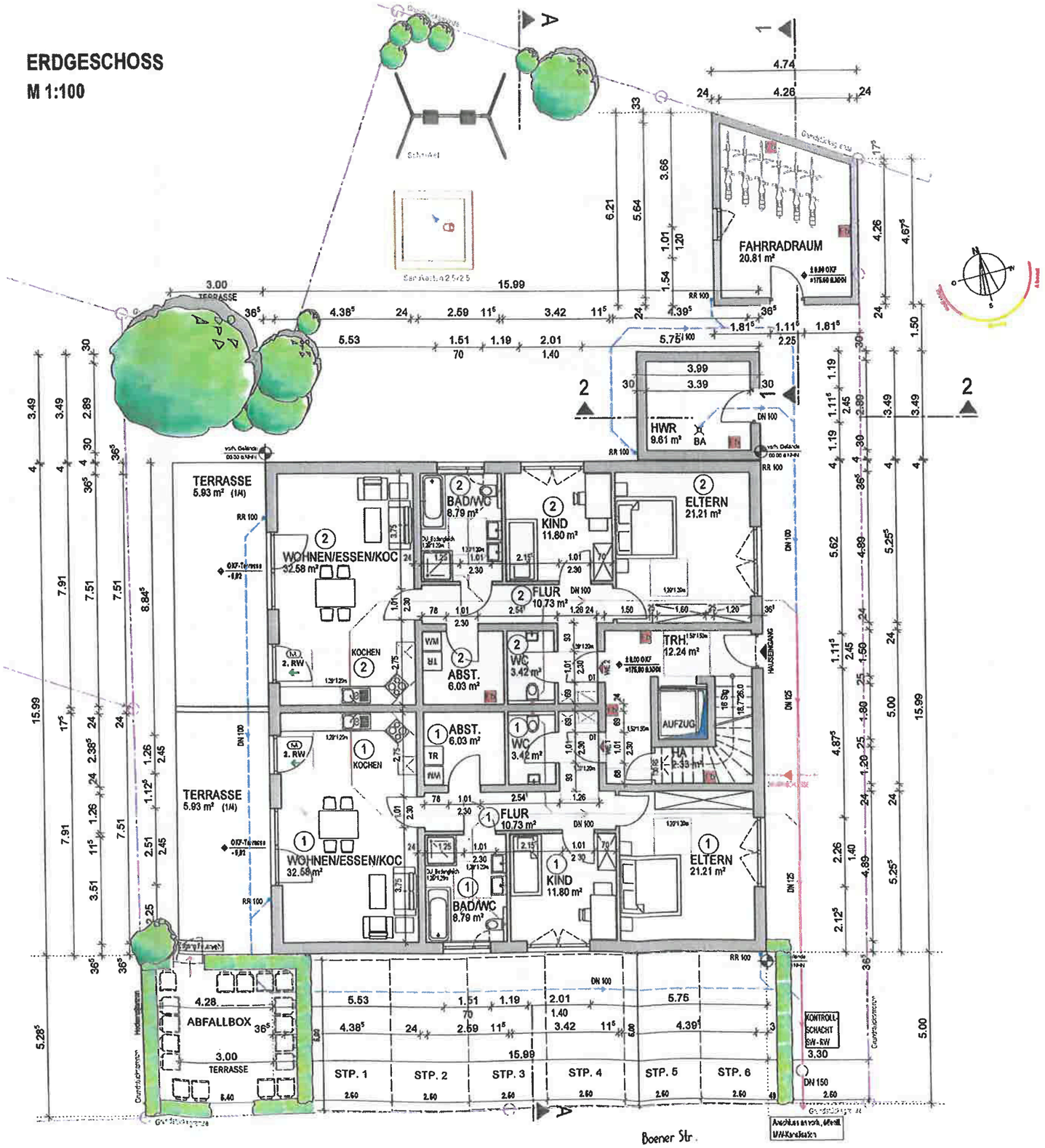
Euskirchen, den 15.02.2022

Dipl.-Ing. A. Kluß
Öffentl. best. Vermessungsingenieur
Carmenstraße 40 53879 Euskirchen
Tel 02251/2726 und 02251/52788
Fax 02251/74493 info@akluss.de
www.vermessung-euskirchen.de

(Stempel)

Öffentl. best. Verm. Ing

## ERDGESCHOSS
M 1:100




Diese Anlage genehmigt zur Abgeschlossenheitsbescheinigung
Az. 558/22
Euskirchen den 15. Juni 2022
Stadt Euskirchen
Der Bürgermeister
Amt für Bauaufsicht
Im Auftrag

N

## Bauantragszeichnung

Gemeinde Euskirchen
Gemarkung Euskirchen
Flur 2
Flurstück 716

Legende:

- Notausgang
- 2.RW Zweite Rettungsweg
- Feuerbeständig (Fb)
- Hochfeuerhemmend (hfh)
- DN 100 RW-Regenwasserleitung
- DN 100 SW-Schmutzwasserleitung


ARCHITEKTURBÜRO HORST BELTER
Bendengasse 22
53879 Euskirchen
Tel. 02251 - 9550-0
Fax 02251 - 9550-18
Dipl. Ing. (FH)
Architekt + Stadtplaner
info@architekt-belter.eu
www.architekt-belter.eu


Bauvorhaben: Neubau eines Mehrfamilienhauses mit 6 WE
Boenerstraße 36, 53879 Euskirchen

Bauherr: Guido Metzen Vermögensverwaltung GmbH
vertreten durch Guido Metzen
Unter der Linden 11
53902 Bad Münstereifel

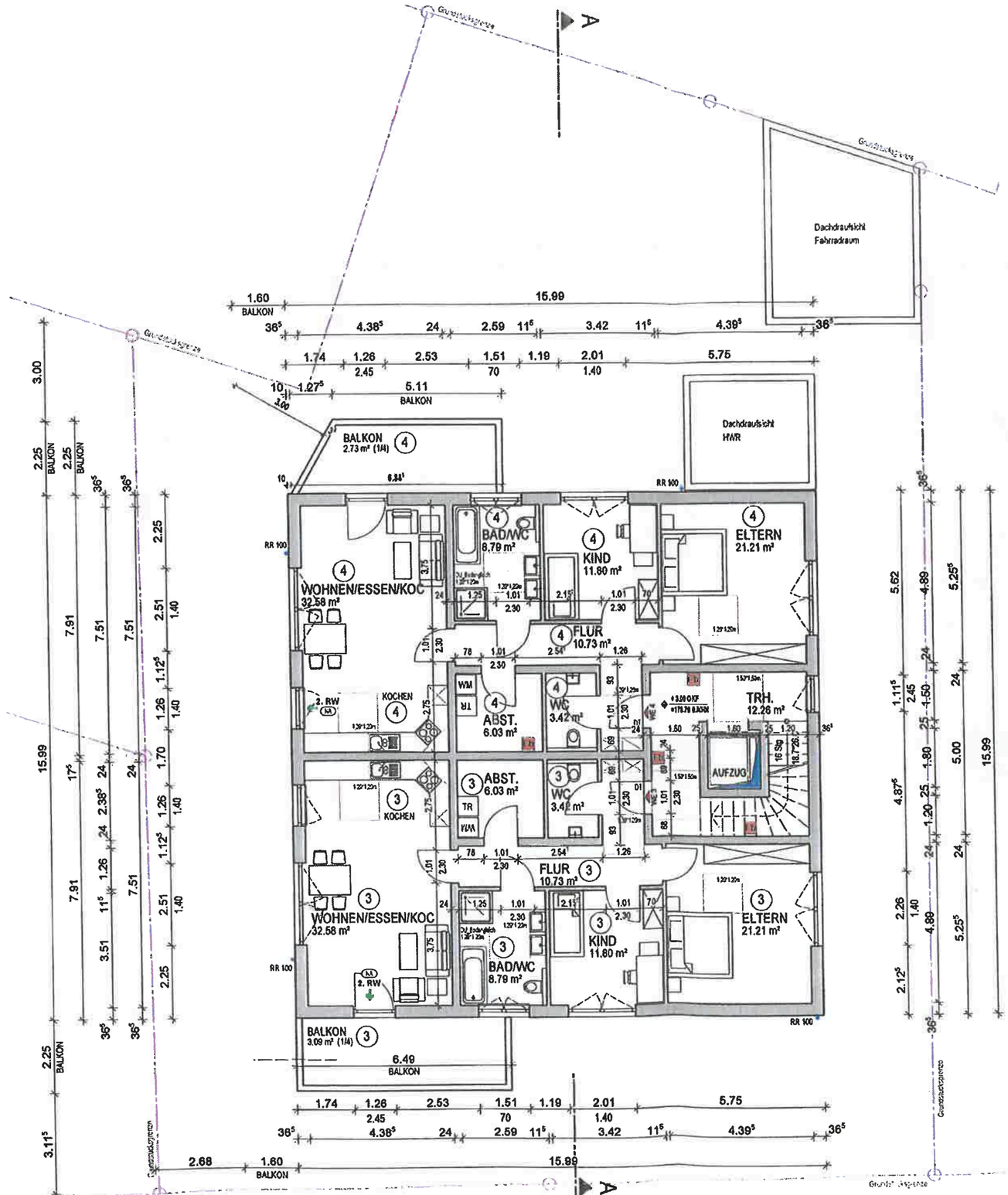
Planinhalt: ERDGESCHOSS

| Auftrags-Nr. | Maßstab | bearb. | Datum | Blattformat | Planlfd. Nr. |
|---|---|---|---|---|---|
| 410/500 | 1:100 | JS | 10.11.2021 | 01 | 1-21 |

Bauherr: Metzen
Architekt: Belter

H/B = 410 / 500 (0.21m²)

Allplan 2020




OBERGESCHOSS

M 1:100

Diese Anlage genehmigt zur Abgeschlossenheitsbescheinigung

Euskirchen den 15. Juni 2022

Stadt Euskirchen
Der Bürgermeister
Amt für Bauaufsicht
Im Auftrag

# Bauantragszeichnung

Gemeinde Euskirchen
Gemarkung Euskirchen
Flur 2
Flurstück 716

Legende:

- Notausgang
- 2. RW — Zweite Rettungswg
- Feuerbeständig (FB)
- Hochfeuerhemmend (HH)
- DN 100 — RW-Regenwasserleitung
- DN 100 — SW-Schmutzwasserleitung


ARCHITEKTURBÜRO HORST BELTER
Dipl. Ing. (FH) Architekt + Stadtplaner
Bendengasse 22 53879 Euskirchen
Tel. 02251 - 9550-0 Fax 02251 - 9550-19
info@architekt-belter.eu www.architekt-belter.eu


Bauvorhaben: Neubau eines Mehrfamilienhauses mit 6 WE
Boenerstraße 36, 53879 Euskirchen

Bauherr: Guido Metzen Vermögensverwaltung GmbH
vertreten durch Guido Metzen
Unter der Linden 11
53902 Bad Münstereifel

Planinhalt: OBERGESCHOSS

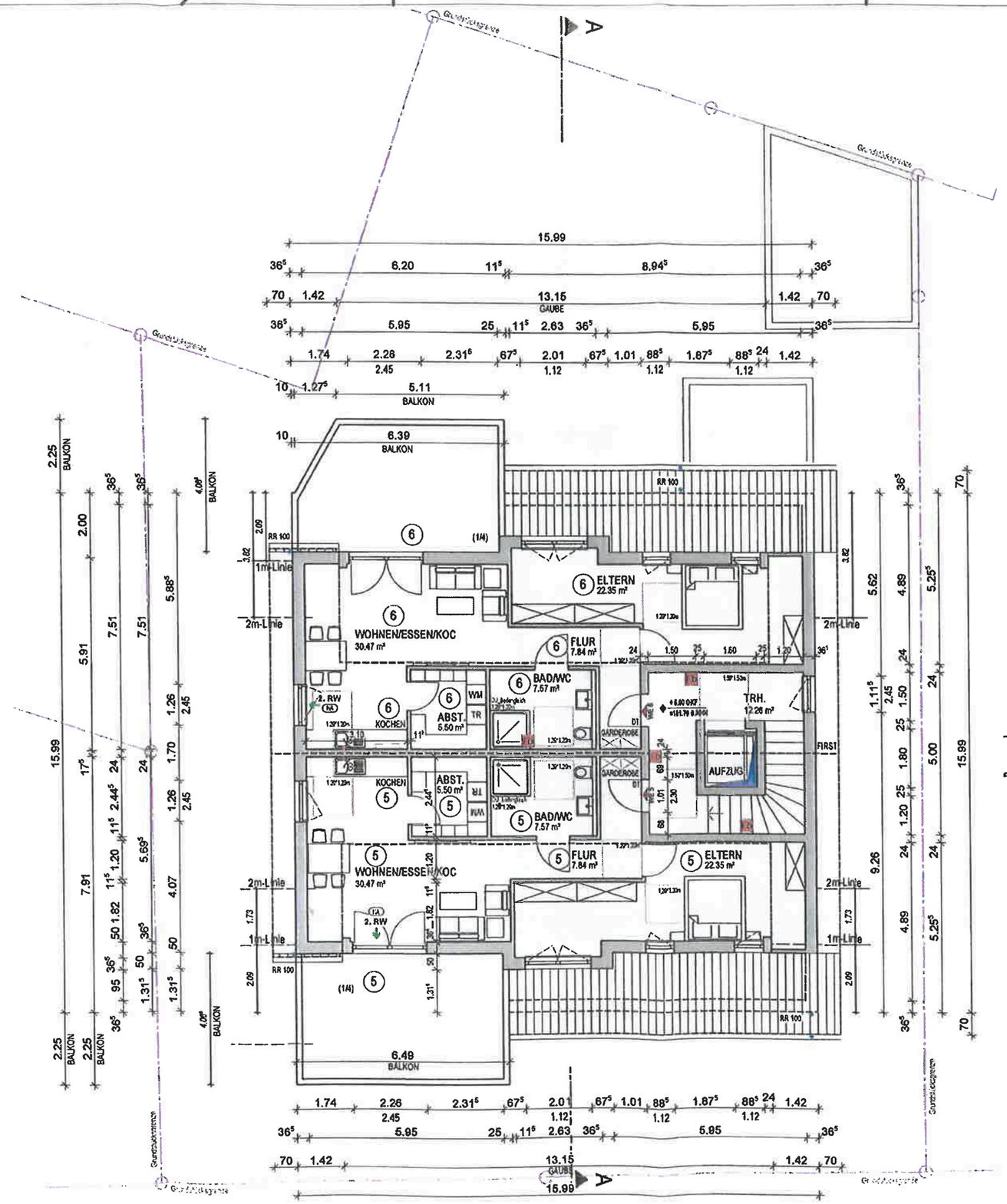
| Blattgröße | Maßstab | gez. | Datum | Blattnummer | Projekt |
|---|---|---|---|---|---|
| 410/500 | 1:100 | JS | 10.11.2021 | 02 | 2021-13 |

Bauherr: Jeds

Architekt:

H/B = 410 / 500 (0.21m²)

Allplan 2020




**DACHGESCHOSS**

**M 1:100**

H/B = 410 / 500 (0.21m²)

Diese Anlage genehmigt
zur Abgeschlossenheitsbescheinigung
Az. 578/22
Euskirchen den 15. Juni 2022
Stadt Euskirchen
Der Bürgermeister
für Bauaufsicht
i. A.

# Bauantragszeichnung

Grundstücksdaten
Gemeinde Euskirchen
Gemarkung Euskirchen
Flur 2
Flurstück 716

Legende:

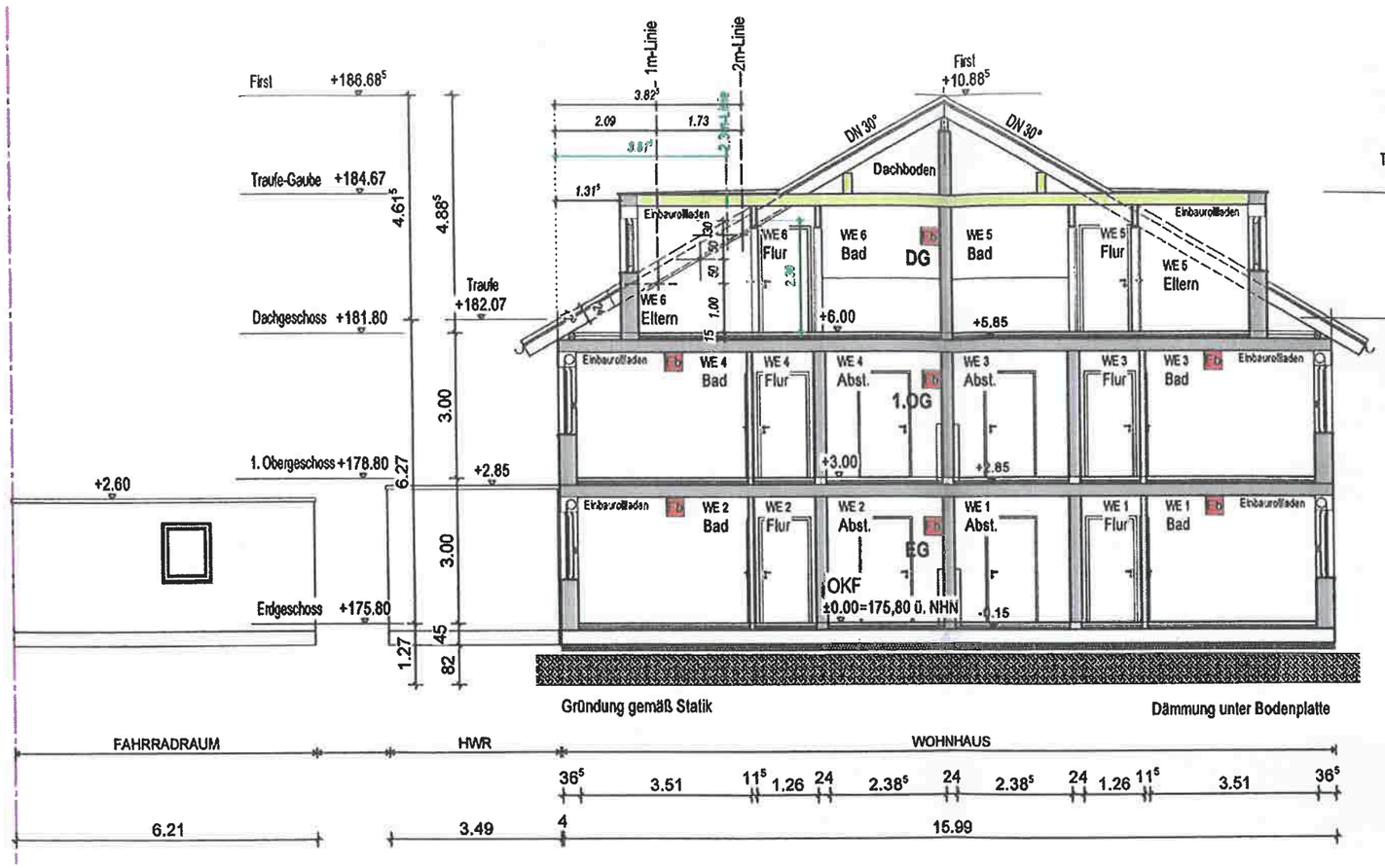
- NA Notausgang
- 2. RW Zweite Rettungsweg
- Feuerbeständig (Fb)
- Hochfeuerhemmend (hfh)
- DN 100 RW-Regenwasserleitung
- DN 100 SW-Schmutzwasserleitung

| | |
|---|---|
| ARCHITEKTURBÜRO HORST BELTER | Bendengasse 22, 53879 Euskirchen; Tel. 02251 - 9550-0; Fax 02251 - 9550-19; info@architekt-belter.eu; www.architekt-belter.eu |
| Dipl. Ing. (FH) Architekt + Stadtplaner | |
| Bauvorhaben | Neubau eines Mehrfamilienhauses mit 6 WE<br>Boenerstraße 36, 53879 Euskirchen |
| Bauherr | Guido Metzen Vermögensverwaltung GmbH<br>vertreten durch Guido Metzen<br>Unter der Linden 11<br>53902 Bad Münstereifel |
| Planinhalt | DACHGESCHOSS |

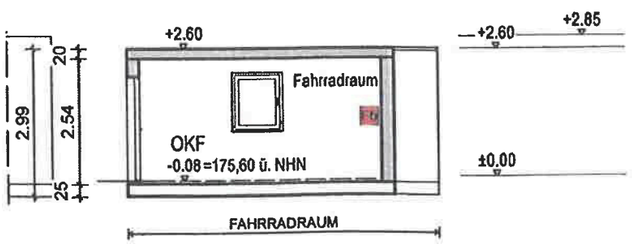
| Planmaße | Maßstab | gez. | Datum | Bauherrnnr. | Projekt-Nr. |
|---|---|---|---|---|---|
| 410/500 | 1:100 | JS | 10.11.2021 | 03 | 2021-13 |

Bauherr: Architekt:

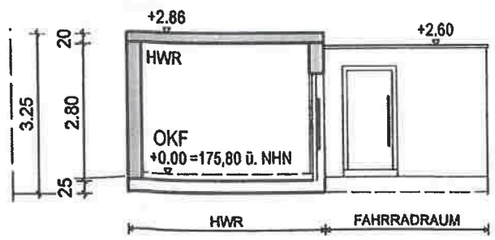
Allplan 2020




## SCHNITT A-A
M 1:100




## SCHNITT 1-1 (Fahrradraum)
M 1:100




## SCHNITT 2-2 (HWR)
M 1:100

# Bauantragszeichnung

Gemeinde Euskirchen
Gemarkung Euskirchen
Flur 2
Flurstück 716

Legende:

- NA Notausgang
- 2. RW Zweite Rettungsweg
- Feuerbeständig (Fb)
- Hochfeuerhemmend (hfh)
- DN 100 RW-Regenwasserleitung
- DN 100 SW-Schmutzwasserleitung

Diese Anlage genehmigt zur Abgeschlossenheitsbescheinigung
Az. 53-8/22
Euskirchen den 15. Juni 2022
Stadt Euskirchen
Der Bürgermeister
Amt für Bauaufsicht
Auftrag

ARCHITEKTURBÜRO HORST BELTER
Dipl. Ing. (FH)
Architekt + Stadtplaner
Bendengasse 22
53879 Euskirchen
Tel. 02251 - 9550-0
Fax 02251 - 9550-19
info@architekt-belter.eu
www.architekt-belter.eu

Bauvorhaben: Neubau eines Mehrfamilienhauses mit 6 WE
Boenerstraße 36, 53879 Euskirchen

Bauherr: Guido Metzen Vermögensverwaltung GmbH
vertreten durch Guido Metzen
Unter der Linden 11
53902 Bad Münstereifel

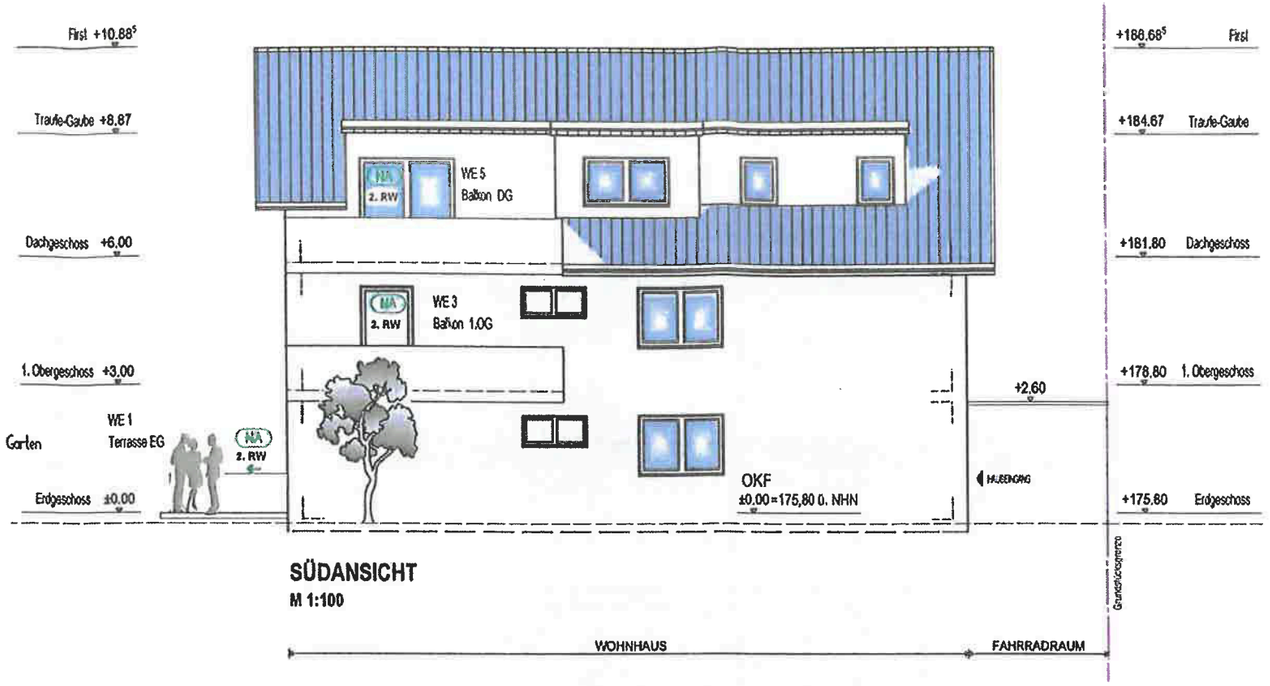
Planinhalt: SCHNITT A-A, 1-1, 2-2

| Bauvorhaben | Plan-Nr. | gez. | Datum | Blattnummer | Projekt-Nr. |
|---|---|---|---|---|---|
| 410/500 | 1:100 | JS | 10.11.2021 | 08 | 2021-13 |

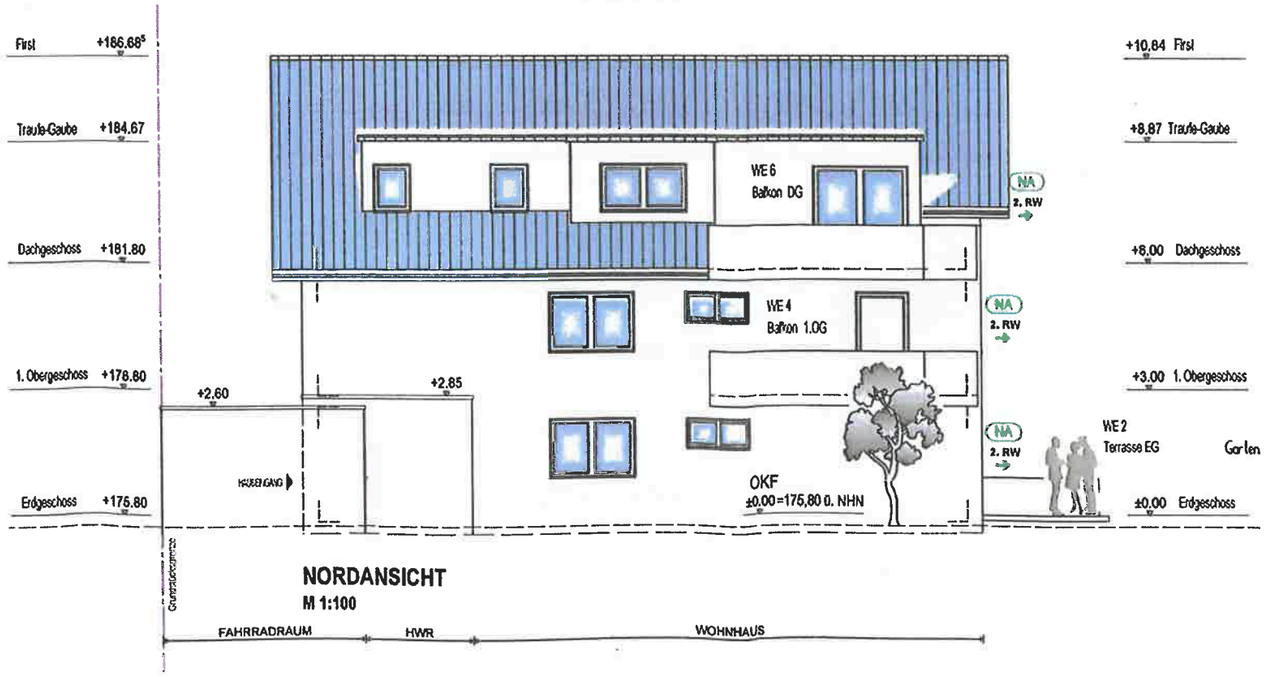
Bauherr: Architekt:

H/B = 297 / 500 (0.15m²)

Allplan 2020




**SÜDANSICHT**
**M 1:100**




**NORDANSICHT**
**M 1:100**

Diese Anlage genehmigt zur Abgeschlossenheitsbescheinigung
AZ: 538/22
Euskirchen den 15. Juni 2022
Stadt Euskirchen
Der Bürgermeister
Amt für Bauaufsicht
Im Auftrag

N

# Bauantragszeichnung

Gemeinde Euskirchen
Gemarkung Euskirchen
Flur 2
Flurstück 716

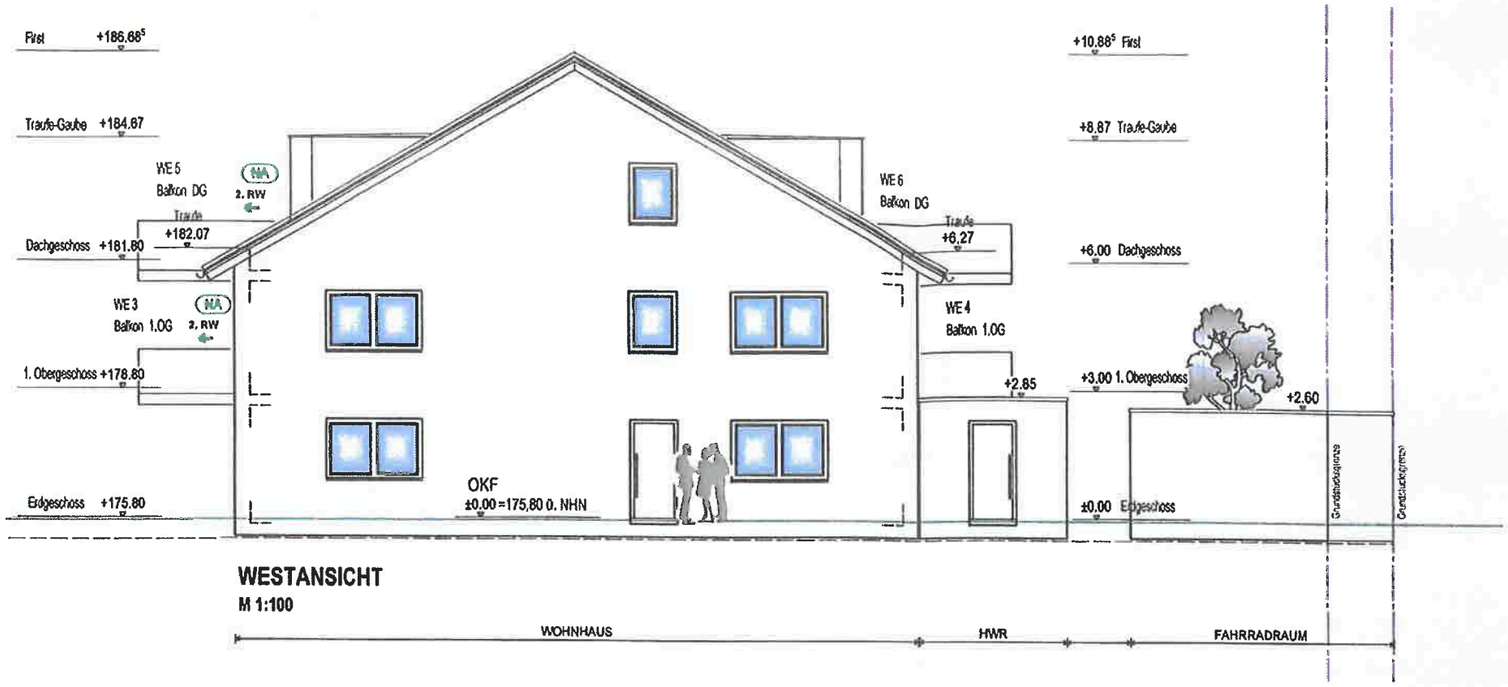
Legende:

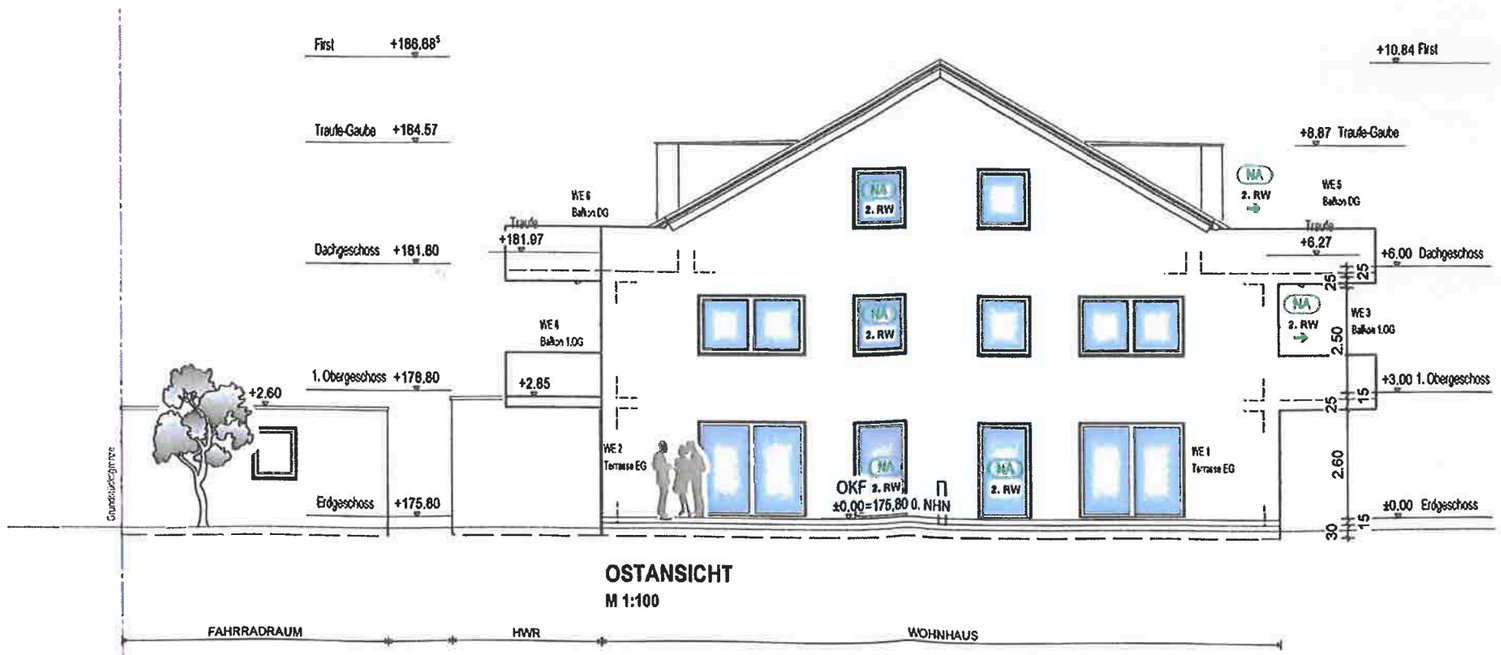
- NA — Notausgang
- 2. RW — Zweite Rettungsweg
- Feuerbeständig (FB)
- Hochfeuerhemmend (hfh)
- DN 100 — RW-Regenwasserleitung
- DN 100 — SW-Schmutzwasserleitung

| | |
|---|---|
| ARCHITEKTURBÜRO HORST BELTER | Bendengasse 22, 53879 Euskirchen; Tel. 02251 - 9550-0; Fax 02251 - 9550-18; info@architekt-belter.de; www.architekt-belter.de |
| Dipl. Ing. (FH) Architekt + Stadtplaner | HORST BELTER |
| Bauvorhaben | Neubau eines Mehrfamilienhauses mit 6 WE, Boenerstraße 38, 53879 Euskirchen |
| Bauherr | Guido Metzen Vermögensverwaltung GmbH, vertreten durch Guido Metzen, Unter der Linden 11, 53902 Bad Münstereifel |
| Planinhalt | ANSICHT |
| Blattgröße 410/500 | Maßstab 1:100 |
| gez. JS | Datum 10.11.2021 |
| Plannummer 04 | Projekt-Nr. 2021-13 |
| Bauherr | Architekt |

6.49

H/B = 410 / 500 (0.21m²)




Diese Anlage genehmigt zur Abgeschlossenheitsbescheinigung
Az. 58/22
Euskirchen den 15. Juni 2022
Stadt Euskirchen
Der Bürgermeister
Amt für Bauaufsicht
Auftrag

N

# Bauantragszeichnung

Grundstücksdaten
Gemeinde Euskirchen
Gemarkung Euskirchen
Flur 2
Flurstück 716

Legende:

- NA Notausgang
- 2. RW Zweite Rettungsweg
- Feuerbeständig (Fb)
- Hochfeuerhemmend (hfh)
- DN 100 RW-Regenwasserleitung
- DN 100 SW-Schmutzwasserleitung


ARCHITEKTURBÜRO HORST BELTER
Dipl. Ing. (FH) Architekt + Stadtplaner
Bendengasse 22 53879 Euskirchen
Tel. 02251 - 9550-0 Fax 02251 - 9550-19
info@architekt-belter.eu www.architekt-belter.eu


Bauvorhaben: Neubau eines Mehrfamilienhauses mit 6 WE
Boenerstraße 36, 53879 Euskirchen

Bauherr: Guido Metzen Vermögensverwaltung GmbH
vertreten durch Guido Metzen
Unter der Linden 11
53902 Bad Münstereifel

Planinhalt: ANSICHT

| Maßstab | gez. | Datum | Planstand | Blatt-Nr. |
|---|---|---|---|---|
| 410/500 | 1:100 | JB | 10.11.2021 | 05 | 2021-13 |

Bauherr: Architekt:

H/B = 410 / 500 (0,21m²)

Allplan 2020

Anlage 3

Anlage zur Urkunde des Notars
Marc C. Lehmann in Bad Münstereifel
UVz. Nr. 0978/2022

Architekturbüro Horst Belter · Bendengasse 22 · 53879 Euskirchen

Guido Metzen Vermögensverwaltung GmbH
z.H. Herrn Metzen
Unter den Linden 11
53902 Bad Münstereifel

Dipl. Ing. Architekt
Horst Belter

Tel. 0 22 51 - 95 50-0
Mobil 0 17 2 – 3 47 65 84
info@architekt-belter.eu

Euskirchen, den 25.03.2022

| | |
|---|---|
| **Projekt-Nr.:** | **11-21** |
| **Bauvorhaben:** | **Neubau eines MFH** |
| **Bauherr:** | **Guido Metzen Vermögensverwaltung GmbH** |
| | **Bauschein 49-22, Akten-Nr.: 11047** |
| **Bezug:** | **Baugenehmigung** |

Sehr geehrter Herr Metzen,
sehr geehrte Damen und Herren,

anbei erhalten Sie die Baugenehmigung, bitte beachten Sie den Gebührenbescheid. Sobald Sie die geforderten Nachweise haben, senden Sie diese bitte als PDF an Herrn Menden, dann können Sie den Baubeginn anzeigen und mit den Arbeiten beginnen. Für Rückfragen stehen wir Ihnen gern zu Verfügung.

Mit freundlichen Grüßen

Horst Belter

Anlage: s.o.
Verteiler: z.d.A.

\\dcbelter\Daten\Projekte\Projekte 000\11-21\Schriftverkehr\Anschreiben\K003 Metzen.doc

euskirchen
stadt mit gesicht

Bauschein: **00049-22-04** eingegangen: **13.12.2021**

**Der Bürgermeister**

Herrn
Horst Belter
Bendengasse 22
53879 Euskirchen

Fachbereich 9
Abteilung Bauordnung

Ansprechpartner: Herr Menden

Zimmer: 177
Telefon: 02251-14-0
Durchwahl: 02251 / 14556
Telefax: 02251 / 1458556
e-Mail:
pmenden@euskirchen.de

Sprechzeiten:
Mo, Mi und Do
9:00 - 11:30 Uhr
oder nach telefonischer
Vereinbarung

Neubau eines Mehrfamilienwohnhauses mit 6 Wohnungen

Akten-Nr. : **11047**

Antragsteller: **Guido Metzen Vermögensverwaltung GmbH**
**Unter den Linden 11 in 53902 Bad Münstereifel**

Grundstück: **Euskirchen, Boenerstraße 36**

Gemarkung: **Euskirchen**
Flur: **2**
Flurstück/e: **716**

22.02.2022

Sehr geehrter Herr Belter,

aufgrund Ihrer Bevollmächtigung übersende ich Ihnen als Anlage den an Ihre Mandantschaft bzw. Ihren Auftraggeber gerichteten Bescheid vom heutigen Tage.

Mit freundlichen Grüßen
Im Auftrag

gez. Menden

- Bitte in Klarsichthülle an der Baustelle anbringen -

# Baustellenschild

## für die Ausführung eines genehmigungspflichtigen Vorhabens

| | | |
|---|---|---|
| **Bauvorhaben** | **genaue Bezeichnung des Vorhabens**<br>Neubau eines Mehrfamilienwohnhauses mit 6 Wohnungen | |
| | **Bauort (Straße, Hausnummer, Ortsteil)**<br>Euskirchen, Boenerstraße 36 | |
| | **Baugrundstück (Gemarkung, Flur, Flurstück)**<br>Euskirchen<br>2<br>716 | |
| Entwurfsverfasserin/<br>Entwurfsverfasser | Name, Vorname:<br>Horst Belter | |
| | Anschrift:<br>Bendengasse 22, 53879 Euskirchen | |
| | Telefon: | Telefax: |
| Unternehmerin/<br>Unternehmer<br>für den Rohbau | Firma: | |
| | Anschrift: | |
| | Telefon: | Telefax: |
| Bauleiterin/<br>Bauleiter | Name, Firma: | |
| | Anschrift: | |
| | Telefon: | Telefax: |
| **Bauschein:** | Bauschein-Nr.<br>00049-22-04 | erteilt am: |
| | Bauaufsichtsbehörde: Kreisstadt Euskirchen - Tel. 0 22 51 - 14 -0 | |
| Für die Richtigkeit der Angaben | **Bauherrin/Bauherr:**<br>Guido Metzen Vermögensverwaltung GmbH | |
| | **Anschrift**<br>Unter den Linden 11, 53902 Bad Münstereifel | |
| | Telefon: | Telefax: |

Bei der Ausführung genehmigungsbedürftiger Vorhaben hat die Bauherrin/der Bauherr gem. § 11 Abs. 3 BauO NRW an der Baustelle ein Schild, das die Bezeichnung und die Namen und Anschriften der Entwurfsverfasserin/des Entwurfsverfassers und der Bauleiterin/des Bauleiters sowie der Unternehmerin/des Unternehmers für den Rohbau enthalten muss, dauerhaft und von der öffentlichen Verkehrsfläche aus sicher anzubringen.

euskirchen
stadt mit gesicht

Bauschein: **00049-22-04** eingegangen: **13.12.2021**

**Der Bürgermeister**

Fachbereich 9
Abteilung Bauordnung

Guido Metzen Vermögensverwaltung GmbH
Herrn Guido Metzen
Unter den Linden 11
53902 Bad Münstereifel

Ansprechpartner: Herr Menden

Zimmer: 177
Telefon: 02251-14-0
Durchwahl: 02251 / 14556
Telefax: 02251 / 1458556
e-Mail:
pmenden@euskirchen.de

Sprechzeiten:
Mo, Mi und Do
9:00 - 11:30 Uhr
oder nach telefonischer
Vereinbarung

Neubau eines Mehrfamilienwohnhauses mit 6 Wohnungen

Akten-Nr.: **11047**
Grundstück: **Euskirchen, Boenerstraße 36**
Gemarkung: **Euskirchen**
Flur: **2**
Flurstück/e: **716**

23.03.2022

# Baugenehmigung

**gem. § 74 der Bauordnung für das Land Nordrhein-Westfalen - Landesbauordnung (BauO NRW) - in der zur Zeit gültigen Fassung**

Die Prüfung der Bauvorlagen erfolgte im Baugenehmigungsverfahren nach § 64 BauO NRW. *)
*): Bei Prüfung von Bauvorlagen im einfachen Baugenehmigungsverfahren nach § 64 BauO NRW beschränkte diese sich auf den Umfang nach § 64 Abs. 1 BauO NRW.

Auf Ihren Antrag erteilen wir Ihnen, unbeschadet privater Rechte Dritter, die Genehmigung, das vorgenannte Vorhaben entsprechend der beiliegenden Bauvorlagen und nach Maßgabe den nachfolgenden Bedingungen, Auflagen und Hinweisen zu errichten.

**Geltungsdauer:**

Die Baugenehmigung erlischt, wenn nicht innerhalb von drei Jahren nach ihrer Erteilung mit der Ausführung des Bauvorhabens begonnen oder die Bauausführung ein Jahr unterbrochen wird. Die Frist kann auf schriftlichen Antrag jeweils bis zu einem Jahr verlängert werden. (§ 75 BauO NRW)

**Bei der Bauausführung sind zu beachten:**

a) die Landesbauordnung NRW in der zur Zeit gültigen Fassung
b) die anerkannten Regeln der Bautechnik, insbesondere die eingeführten DIN-Vorschriften
c) die mit Genehmigungsvermerk gekennzeichneten Bauvorlagen unter Einhaltung der Bedingungen,
Auflagen, Hinweisen und evtl. in grün eingetragenen Prüfungsbemerkungen.

**Folgende beiliegende Unterlagen sind Bestandteil der Baugenehmigung :**

- - Antrag auf Befreiung vom Bebauungsplan 1 Seite
- - Lageplan M 1 : 200
- - Berechnung GRZ/GFZ 1 Seite
- - Grundriss Erdgeschoss M 1 : 100
- - Grundriss Obergeschoss M 1 : 100
- - Grundriss Dachgeschoss M 1 : 100
- - Ansichten Süd – und Nord M 1 : 100
- - Ansichten West – und Ost M 1 : 100
- - Schnitte A-A , 1-1, 2-2 , M 1 : 100
- - Dachdraufsicht M 1 : 100
- - Ergänzende Baubeschreibung Barrierefreiheit 1 Seite
- - Technische Anlage S. 1 + 2
- - Baubeschreibung S. 1 + 2

**Befreiungen gem. § 31 Abs. 2 BauGB:**

**Vorhaben: Errichtung eines Mehrfamilienhauses mit 6 Wohneinheiten**

Das Bauvorhaben liegt im Geltungsbereich des Bebauungsplanes Nr. 26 Ortsteil Euskirchen, der hier ein Wohngebiet mit I-geschossiger, offener Bauweise festsetzt. Das Bauvorhaben widerspricht den Festsetzungen in folgenden Punkten:

- 1. Überschreitung der Geschossigkeit
- 2. Überschreitung der Baulinie
- 3. Überschreitung der GRZ

Gemäß § 31 Abs. 2 BauGB kann von den Festsetzungen des Bebauungsplanes im Einzelfall befreit werden, wenn die Grundzüge der Planung nicht berührt werden und
1. Gründe des Wohls der Allgemeinheit die Befreiung erfordern oder
2. die Abweichung städtebaulich vertretbar ist oder
3. die Durchführung zu einer offenbar nicht beabsichtigten Härte führen würde
und wenn die Abweichung auch unter Würdigung nachbarlicher Interessen mit den öffentlichen Belangen vereinbar ist.

Zu 1.) In direkter Nachbarschaft setzt der Bebauungsplan II-Geschosse fest. Dies ist auch im Bestand vorhanden. Der neue Baukörper fügt sich somit in die Umgebung ein.

Zu 2.) Die Baulinie ist unzeitgemäß zurückversetzt. Durch die Überschreitung wird die Bauflucht der Umgebung aufgenommen und das Straßenbild komplettiert.

Zu 3.) Eine Überschreitung der GRZ liegt in der Umgebung bereits vor. Die Befreiung ist städtebaulich vertetbar.

Die erforderlichen Befreiungen werden gem. § 31 Abs. 2, Nr. 2 und 3 BauGB erteilt.

**Folgende Auflagen/Hinweise sind zu beachten:**

**Auflagen**

Bautechnische Nachweise

Spätestens bei Baubeginn sind der Bauaufsichtsbehörde folgende Nachweise vorzulegen:

- **Schallschutznachweis**
- **Nachweis gemäß Gebäudeenergiegesetz (GEG in der aktuellen Fassung)**
- **Nachweis über die Standsicherheit**

Die Nachweise müssen von einer oder einem staatlich anerkannten Sachverständigen oder einer sachverständigen Stelle geprüft sein.
**Ohne diese Nachweise darf mit der Bauausführung nicht begonnen werden.**

Kampfmittel

die Bezirksregierung Düsseldorf hat für die o.a. Fläche eine Luftbildauswertung vorgenommen. Luftbilder aus den Jahren 1939 -1945 und andere historische Unterlagen liefern Hinweise auf vermehrte Bombenabwürfe im beantragten Bereich. Die Bezirksregierung Düsseldorf empfiehlt daher eine Überprüfung der zu überbauenden Fläche auf Kampfmittel im ausgewiesenen Bereich.

Als Voraussetzung für die Kampfmittelüberprüfung wäre es notwendig, jegliche Infrastruktur (Gebäude, Fundamente, Leitungen, Anfüllungen etc.) in einem Umkreis von mindestens fünf Metern zu entfernen.
Für den Fall das eine Überprüfung durchgeführt werden soll, ist es unabdingbar die Infrastruktur bis zum sauberen gewachsenen Boden zu entfernen.

**Eine Kampfmitteluntersuchung ist jedoch im vorliegenden Fall aktuell aus technischen Gründen nicht möglich.**

Mit den Bauarbeiten kann daher begonnen werden. **Es ist allerdings nicht auszuschließen, dass Kampfmittel im Boden vorhanden sind. Daher kann diese Mitteilung nicht als Garantie der Freiheit von Kampfmitteln gewertet werden.** Der Erdaushub ist vorsichtig in Lagen von jeweils maximal 30 cm Tiefe durchzuführen. Hierbei ist umsichtig vorzugehen, bei nicht zuzuordnenden Störstoffen sind die Arbeiten einzustellen und über Polizei bzw. Ordnungsamt ist der Kampfmittelräumdienst zu verständigen.

Erfolgen Erdarbeiten mit erheblichen mechanischen Belastungen wie Rammarbeiten, Pfahlgründungen etc. wird von der Bezirksregierung Düsseldorf eine Sicherheitsdetektion empfohlen. Die weitere Vorgehensweise ist dem beiliegenden Merkblatt für Baugrundeingriffe zu entnehmen. Darüber hinaus finden Sie Informationen auf der Homepage der Bezirksregierung Düsseldorf Kampfmittelbeseitigung | Bezirksregierung Düsseldorf (nrw.de).

Entwässerung / Erschließung

Die bauliche Anlage ist mit dem Schmutzwasser an die öffentliche Kanalanlage über den bestehenden Grundstücksanschluss anzuschließen. Auch das Niederschlagswasser ist der öffentlichen Kanalanlage zuzuführen.

Gegen Rückstau des Abwassers aus der öffentlichen Abwasseranlage in das angeschlossene Grundstück haben Sie sich als Anschlussnehmer entsprechend den Bestimmungen der DIN

1986 selbst zu schützen. Als Höhe der Rückstauebene wird die Straßenoberkante über der Anschlussstelle der Anschlussleitung festgesetzt. Für Schäden, die durch Rückstau entstehen, haftet die Stadt nicht.

Bei der Bauausführung der Entwässerungsanlagen ist die Entwässerungssatzung der Stadt Euskirchen in der jeweils geltenden Fassung und die DIN 1986 in der jeweils gültigen Fassung zu beachten.
Spätestens mit Beantragung der Schlussabnahme ist die **Anschluss- und Betriebsgenehmigung** für die Grundstücksentwässerungsanlage gemäß § 13 der Entwässerungssatzung der Stadt Euskirchen (EWS) **vorzulegen.**

Spätestens mit Beantragung der Schlussabnahme ist die **Zustands- und Funktionsprüfung** gemäß Selbstüberwachungsverordnung Abwasser (SüwVO Abw) **vorzulegen.**
Gemäß § 12 Abs. 8 der Entwässerungssatzung der Stadt Euskirchen (EWS) vom 15.12.2010 in der aktuellen Fassung hat der Grundstückseigentümer bei der Neuerrichtung von Anschlussleitungen einen geeigneten Einsteigschacht mit Zugang für Personal auf seinem Grundstück einzubauen. Wird die Anschlussleitung erneuert oder verändert, so hat der Grundstückseigentümer nachträglich einen Einsteigschacht mit Zugang für Personal auf seinem Grundstück einzubauen, wenn dieser zuvor nicht eingebaut war. Der Einsteigschacht muss jederzeit frei zugänglich und zu öffnen sein. Eine Überbauung oder Bepflanzung des Einsteigschachtes ist unzulässig. In Ausnahmefällen kann auf Antrag des Grundstückseigentümers von der Errichtung eines Einsteigschachtes außerhalb des Gebäudes abgesehen werden.

Rechtzeitig vor Baubeginn ist *Herr Liebertz vom Fachbereich 8, Sachgebiet 3 - Verkehrsflächen, unter der Rufnummer 02251/14-411* zu informieren, damit eine gemeinsame Beweissicherung durchgeführt werden kann. Unterbleibt eine Beweissicherung aus Gründen, die der Bauherr zu vertreten hat, gelten die öffentlichen Verkehrsflächen als mangelfrei und es obliegt dem Bauherrn zu beweisen, dass schon vor Baubeginn Mängel vorhanden waren.

Notwendige Änderungen an der öffentlichen Verkehrsfläche, sowie die Beseitigung von Schäden, die im Rahmen des Bauvorhabens an öffentlichen Flächen entstehen, gehen zu Lasten des Antragstellers.

Sämtliche Arbeiten sind vorher mit dem o.g. Ansprechpartner im *Fachbereich 8 – Tiefbau und Verkehr* abzustimmen und so zu planen und auszuführen, dass alle öffentlich-rechtlichen Vorschriften eingehalten, alle anerkannten Regeln der Technik beachtet und alle sicherheitstechnischen Erfordernisse erfüllt werden. Dabei ist insbesondere sicherzustellen, dass nach Abschluss der Arbeiten eine barrierefreie Benutzung des öffentlichen Straßenlandes möglich ist. Während der Ausführung sind Einschränkungen der Barrierefreiheit auf das unvermeidliche Minimum zu beschränken.

Anfallendes Oberflächenwasser auf dem Grundstück des Antragstellers darf nicht auf die öffentliche Verkehrsfläche (Gehweg, Radfahrweg, Parkstreifen/ Parkbucht, Fahrbahn) geleitet werden.

Alle herzustellenden/ zu ändernden Zufahrten (Gehwegüberfahrten) im öffentlichen Straßenland sind in Betonsteinpflaster 10/20/8 grau in L-Verband zu pflastern. Der Aufbau im Bereich der Grundstückszufahrt muss aus mind. 30 cm Frostschutzkies 0-32 mm oder Schotter 0-56 mm, 15 cm Beton C12/15 und 4 cm Splittbett 2/ 5 mm bestehen. Die Fugen sind mit Basaltsand 0-2 mm einzuschlämmen. Vorhandene Hochbordsteine sind im Bereich der Grundstückszufahrt gegen passende Rundbordsteine in Basalt durch und durch mit gewaschner Oberfläche und 2 Schenkelsteine auf Betonfundament C12/15 von mind. 10 cm Stärke mit Rückenstütze in gleicher Stärke zu ersetzen. Nicht mehr benötigte Überfahrten sind rückzubauen. Sollten Signalanlagen von dem Vorhaben betroffen sein, sind die erforderlichen Änderungen grundsätzlich mit dem *Fachbereich 8, Rufnummer 02251/14-365, Herrn Yanik, abzustimmen.*

Diese Arbeiten, werden von der Stadt selbst **nicht** durchgeführt. Für sämtliche Baumaßnahmen in öffentlichen Flächen sind ausschließlich die vom Fachbereich 8 zugelassenen Fachfirmen zu beauftragen. Der Bauherr hat daher **mindestens 4 Wochen** vor Beginn der Arbeiten die Ausführung unter Angabe des Unternehmers beim Tiefbauamt (s.o.) schriftlich zu beantragen.

Versäumnisse des Antragstellers, die sich aus Nichtbeachtung dieser Forderungen ergeben, insbesondere der Beweissicherung, gehen ebenfalls zu dessen Lasten.

**Hinweise**

Rettungswege

Die als 2. Rettungswege erforderlichen anleiterbaren Stellen der gartenseitigen Wohneinheiten werden in der seitlichen Fassade entsprechend den folgenden Bestimmungen errichtet. Im Bereich der Abfallboxen ist ein entsprechender Zugang für Rettungskräfte einzuplanen und jederezeit freizuhalten.

Die als Rettungsweg vorgesehenen Fenster müssen im Lichten mindestens 0,90 m x 1,20 m ausgeführt werden. Die Fensteröffnung darf nicht höher als 1,20 m über der Fußbodenoberkante angeordnet werden. Von diesem Fenster müssen sich Menschen zu öffentlichen Verkehrsflächen oder zu Flächen für die Feuerwehr bemerkbar machen können. (§ 37 Abs. 5 BauO NRW 2018).

Wenn elektrische Rollläden oder anderen Elemente wie z.B. Jalousien und Verschattungselemente ausgeführt werden, dürfen diese bei dem 2. Rettungsweg nicht ohne Zusatzmaßnahme wie eine Handkurbel bzw. –gurt oder eine Akkupufferung eingebaut werden. (§ 33 Abs.2 und § 37 Abs.5 BauO NRW 2018).

Bauanzeigen

Der Ausführungsbeginn genehmigungsbedürftiger Vorhaben, die Fertigstellung des Rohbaues und die abschließende Fertigstellung des Bauvorhabens ist durch die Bauherrin/den Bauherrn oder die Bauleiterin/den Bauleiter jeweils 1 Woche vorher der Bauaufsichtsbehörde anzuzeigen, um der Bauaufsichtsbehörde eine Besichtigung des Bauzustandes zu ermöglichen. Entsprechende Formulare liegen der Baugenehmigung bei.

Baugenehmigung und Bauvorlagen müssen an der Baustelle von Baubeginn an vorliegen

Die Unterlassung der erforderlichen Anzeigen und die Nichtvorhaltung von Baugenehmigung und Bauvorlagen an der Baustelle stellt gemäß § 86 Abs.1 Ziff. 14, 15 und 17 BauO NRW eine Ordnungswidrigkeit dar, die mit einer Geldbuße bis zu 50.000 EURO geahndet werden kann.

Werden Bauüberwachungen sowie Bauzustandsbesichtigungen bei Fertigstellung des Rohbaues und/oder bei abschließender Fertigstellung des Bauvorhabens durchgeführt, sind diese jeweils gebührenpflichtig. Die Gebühren werden nach Besichtigung des Bauzustandes erhoben.

**Gebührenbescheid**

Nach dem Gebührengesetz für das Land Nordrhein-Westfalen (GebG NW) in Verbindung mit der Allgemeinen Verwaltungsgebührenordnung für das Land NW (AVwGebO NW) und des Allgemeinen Gebührentarifs zur AVwGebO NW in der jeweils gültigen Fassung ist eine Gesamtgebühr von

**2.700,00 €**

zu entrichten.

Die genaue Ermittlung der Gebühr entnehmen Sie bitte der anliegenden **Gebührenberechnung**.

Ich bitte Sie, die Gebühr innerhalb von **14 Tagen nach Empfang** dieses Bescheides an die Stadtkasse Euskirchen unter **Angabe des Kassenzeichens und Verwendungszweckes** zu überweisen.

**KASSENZEICHEN** (bei Zahlung bitte angeben): **061424601/0067**

Konten:

| | | |
|---|---|---|
| KSK Euskirchen: | IBAN: DE64 3825 0110 0002 6070 00 | BIC: WELADED1EUS |
| Postbank | IBAN: DE58 3701 0050 0016 3005 07 | BIC: PBNKDEFFXXX |
| Volksbank | IBAN: DE05 3826 0082 0100 4490 13 | BIC: GENODED1EVB |
| Raiffeisenbank Euskirchen eG | IBAN: DE16 3706 9627 2000 2000 10 | BIC: GENODED1RBC |

Sollten Sie den Fälligkeitstermin nicht einhalten, bin ich leider gezwungen, die Beitreibung des Betrages im Wege des Verwaltungszwangsverfahrens kostenpflichtig zu veranlassen. Außerdem müssen bei verspäteter Zahlung Säumniszuschläge erhoben werden.

**Rechtsbehelfsbelehrung**

Gegen den **Bescheid** sowie gegen den **Gebührenbescheid** können Sie innerhalb eines Monats nach
**Bekanntgabe** Klage beim Verwaltungsgericht Aachen, im Justizzentrum, Adalbertsteinweg 92, 52070 Aachen, erheben.

Die Klage ist schriftlich oder mündlich zur Niederschrift des Urkundsbeamten der dortigen Geschäftsstelle zu erheben.

Die Klage muss den Kläger, den Beklagten und den Gegenstand des Klagebegehrens bezeichnen. Sie soll einen bestimmten Antrag enthalten. Die zur Begründung dienenden Tatsachen und Beweismittel sollen angegeben, die angefochtene Verfügung/der angefochtene Bescheid soll in Urschrift oder in Abschrift beigefügt werden.

Der Klage und allen Schriftsätzen sollen Abschriften für die übrigen Beteiligten beigefügt werden.

Gemäß § 80 Abs. 2 Ziff.1 VwGO hat die Klage keine aufschiebende Wirkung. Insbesondere wird die Verpflichtung zur Zahlung hierdurch nicht berührt.

Soweit die sofortige Vollziehung angeordnet ist oder die Anordnung kraft Gesetzes sofort vollziehbar ist, hat die Klage gegen diese Anordnung keine aufschiebende Wirkung. Beim Verwaltungsgericht Aachen kann die Anordnung oder Wiederherstellung der aufschiebenden Wirkung beantragt werden.

Die Klage kann auch durch Übertragung eines elektronischen Dokuments an die elektronische Poststelle des Gerichts erhoben werden. Das elektronische Dokument muss für die Bearbeitung durch das Gericht geeignet sein. Es muss mit einer qualifizierten elektronischen Signatur der verantwortenden Person versehen sein oder von der verantwortenden Person signiert und auf einem sicheren Übermittlungsweg gemäß § 55a Absatz 4 VwGO eingereicht werden. Die für die Übermittlung und Bearbeitung geeigneten technischen Rahmenbedingungen bestimmen sich nach näherer Maßgabe der Verordnung über die technischen Rahmenbedingungen des elektronischen Rechtsverkehrs und über das besondere elektronische Behördenpostfach (Elektronischer-Rechtsverkehr-Verordnung-ERVV) vom 24. November 2017 (BGBl. I S. 3803).

**Hinweise der Verwaltung**

Durch die Bürokratieabbaugesetze I und II ist das einer Klage bisher vorgeschaltete Widerspruchsverfahren abgeschafft worden. Zur Vermeidung unnötiger Kosten empfehlen wir Ihnen, sich vor Erhebung einer Klage zunächst mit uns in Verbindung zu setzen. In vielen Fällen können so etwaige Unstimmigkeiten bereits im Vorfeld einer Klage behoben werden.

Die Klagefrist von einem Monat wird durch einen solchen außergerichtlichen Einigungsversuch jedoch nicht verlängert !

Informationen über die Möglichkeit der elektronischen Kommunikation mit dem Verwaltungsgericht entnehmen Sie bitte der Internetseite **www.justiz.nrw.de** .

Mit freundlichen Grüßen
Im Auftrag

Menden

Stadt Euskirchen
- Fachbereich 9 -
Abteilung Bauordnung

Bauschein: 49-22-04

Euskirchen, 23.03.2022

**Allgemeine Verwaltungsgebührenordnung (AVerwGebO NRW) vom 3. Juli 2001 (GV. NRW. S. 262) in der zurzeit geltenden Fassung**

| | | | | |
|---|---|---|---|---|
| 2.1.2 | **Berechnung des Rohbauwertes** für Wohngebäude | | | |
| | umbauter Raum (nach DIN 277-1:2016-01) | 2.193,00 m³ | | |
| | Berechnung: 146 * 2193 | | | |
| | Rohbauwert | 146,00 €/m³ | | |
| | Rohbausumme, errechnet | | 320.178,00 € | |
| | Rohbausumme, errechnet | | 320.178,00 € | |
| 2.1.2 | **Berechnung des Rohbauwertes** für Schuppen, offene Feldscheunen, Kaltställe und ähnliche Gebäude | | | |
| | umbauter Raum (nach DIN 277-1:2016-01) | 106,00 m³ | | |
| | Berechnung: 45 * 106 | | | |
| | Rohbauwert | 45,00 €/m³ | | |
| | Rohbausumme, errechnet | | 4.770,00 € | |
| | Rohbausumme, errechnet | | 4.770,00 € | |
| 2.4.1.1 | **Entscheidung über die Erteilung der Baugenehmigung für die Errichtung und Erweiterung von Gebäuden im Sinne von § 64 der Landesbauordnung 2018** | | | |
| | (6 Tausendstel der Rohbausumme; jedoch mindestens 50,00 €) | | | |
| | Rohbausumme | 324.948,00 € | | |
| | auf volle 500 € aufgerundet | 325.000,00 € | | |
| | 6 Tausendstel der Rohbausumme, mind. 50 € | 1.950,00 € | | |
| | **Gebühr** | | | 1.950,00 € |
| 2.5.3.1 | **Entscheidung über die Erteilung von Befreiungen nach § 31 Absatz 2 oder § 34 Absatz 2 des Baugesetzbuches in der Fassung der Bekanntmachung vom 3. November 2017 (BGBl. I S. 3634), Abweichungen sowie Ausnahmen und Befreiungen nach den §§ 69, 88 der Landesbauordnung 2018** | | | |
| | (je Befreiungs- oder Abweichungstatbestand 50 bis 5.000 €) | | | |
| | 1. **Befreiung gemäß § 31 Abs. 2 BauGB** | | | |
| | - Wohngebäude mit mehr als zwei Wohneinheiten | | | |
| | 3 Tatbestände zu je 300 € (Hinweis beachten!) | | | |
| | **Gebühr für Befreiung** | | 750,00 € | |
| | **Gebühr** | | | 750,00 € |

**HINWEIS:**
Sollte über mehr als eine Befreiung oder Abweichung entschieden werden, so ist für den jeweils ersten Befreiungs-/Abweichungstatbestand die o.g. Gebühr in voller Höhe und ab dem zweiten Befreiungs-/Abweichungstatbestand eine Ermäßigung um 25 % anzusetzen.

| | |
|---|---|
| **Gebührensumme ungerundet** | **2.700,00 €** |
| **Gebührensumme gerundet** | **2.700,00 €** |
| **(abgerundet auf 0,50 €) und Auslagen** | **2.700,00 €** |

**Reichen Sie bitte diese Anzeige eine Woche vor dem betreffenden Termin der Bauaufsichtsbehörde ein (§ 63 Abs. 8 i.V.m. § 74 Abs. 9 BauO NRW)**

Bauschein: **00049- 22-04** **Datum:**

Guido Metzen Vermögensverwaltung GmbH
Herrn Guido Metzen
Unter den Linden 11
53902 Bad Münstereifel

**Neubau eines Mehrfamilienwohnhauses mit 6 Wohnungen**

**Akten-Nr.: 11047**

**Grundstück:** **Euskirchen, Boenerstraße 36**
**Gemarkung:** Euskirchen
**Flur:** 2
**Flurstück/e:** 716

## Benennung Bauleiter/-in bzw. Fachbauleiter/-in

(Architekt/-in oder Bauingenieur/-in) oder Techniker/Meister des Bauhauptgewerbes

(Anzeige ist **vor Baubeginn** der Bauaufsichtsbehörde vorzulegen; das Versäumnis der Vorlage stellt gem. § 86 Abs. 1 Ziff. 8 BauO NRW eine Ordnungswidrigkeit dar und kann mit einer Geldbuße bis zu 50.000 € geahndet werden)

**Gem. § 53 Abs. 1 BauO NRW in Verbindung mit § 56 a Abs. 2 benenne ich namentlich als Bauleiter/in und falls erforderlich als Fachbauleiter/-in:**

| **Bauleiter/-in:** | **Fachbauleiter/-in:** |
|---|---|
| **Herrn / Frau** | **Herrn / Frau** |
| _____ | _____ |
| _____ | _____ |
| _____ | _____ |
| _____ | _____ |
| **(Unterschrift / Stempel Bauleiter/-in)** | **(Unterschrift / Stempel Fachbauleiter/-in)** |

Durch meine Unterschrift bestätige ich die Übernahme der Funktion als Bauleiter/in - Fachbauleiter/in - im Zusammenhang mit der Ausführung des oben bezeichneten Bauvorhabens. Mir ist bekannt, dass ich im Rahmen meines Wirkungskreises dafür verantwortlich bin, dass die öffentlich-rechtlichen Vorschriften eingehalten werden, insbesondere die Baumaßnahme dem öffentlichen Baurecht entspricht und nach den allgemein anerkannten Regeln der Technik durchgeführt und auf die Einhaltung der Arbeitsschutzbestimmungen geachtet wird.

**zurück an:**

Kreisstadt Euskirchen
Fachbereich 9 – Bauordnung
Kölner Str. 75
53879 Euskirchen

_____
**Unterschrift Bauherr/-in**

**Reichen Sie bitte diese Anzeige eine Woche vor dem betreffenden Termin der Bauaufsichtsbehörde ein (§ 63 Abs. 8 i.V.m. § 74 Abs. 9 BauO NRW)**

Bauschein: **00049- 22-04** **Datum:**

Guido Metzen Vermögensverwaltung GmbH
Herrn Guido Metzen
Unter den Linden 11
53902 Bad Münstereifel

**Neubau eines Mehrfamilienwohnhauses mit 6 Wohnungen**

**Akten-Nr.: 11047**

**Grundstück:** **Euskirchen, Boenerstraße 36**
**Gemarkung:** Euskirchen
**Flur:** 2
**Flurstück/e:** 716

## Mitteilung Baubeginn

Mit den Bauarbeiten wird **begonnen** am: _____
( Datum )

**Bei Genehmigungsvorhaben nach § 64, 65 BauO NRW und genehmigungsfreien Vorhaben nach § 63 BauONRW:**

| 1. Entwurfsverfasser/-in: | 2. Unternehmer/-in: | 3. Bauleiter/-in: | 4. Vermesser/-in |
|---|---|---|---|
| _____ | _____ | _____ | _____ |
| _____ | _____ | _____ | _____ |
| _____ | _____ | _____ | _____ |

☐ Die Grundrissfläche, die erforderlichen Grenzabstände sowie die Höhenlage des Gebäudes wurden gemäß der Baugenehmigung abgesteckt.
☐ Die Absteckung der Grundrissfläche und die Angabe der festgelegten Höhenlage habe ich vornehmen lassen durch den **Vermessungsingenieur/-in**_____
☐ Der amtliche Nachweis über die Einhaltung ist als Anlage beigefügt.

**Reichen Sie bitte diese Anzeige <u>eine Woche vor dem betreffenden Termin</u> der Bauaufsichtsbehörde ein (§§ 63 Abs. 3, 74 Abs. 9, 84 Abs. 1 Satz 1 BauO NRW)**

**Bei Wohngebäuden mittlerer Höhe und Wohngebäuden geringer Höhe mit mehr als 2 Wohnungen:**

Folgende(r) **staatl. anerkannte(r) Sachverständige(r) oder sachverständige Stelle** wurde beauftragt, sich durch stichprobenhafte Kontrollen während der Bauausführung davon zu überzeugen, dass die baul. Anlagen entsprechend den in § 63 Abs. 4 bzw. § 68 BauO NRW genannten Nachweisen errichtet oder geändert worden sind: (Standsicherheit; Schallschutz; Wärmeschutz)

(bitte Beauftragung beilegen) _____

**Bei Genehmigungsverfahren nach § 64 und § 65 BauO NRW:**
Folgende(r) **staatl. anerkannte(r) Sachverständige(r) oder sachverständige Stelle** wurde für die Durchführung von Baukontrollen sowie für die Bauüberwachung und Bauzustandsbesichtigungen beauftragt:

(bitte Beauftragung beilegen) _____

**<u>zurück an:</u>**

_____
**Unterschrift Bauherr/-in**

Kreisstadt Euskirchen, Fachbereich 9 – Bauordnung
Kölner Str. 75, 53879 Euskirchen

**Reichen Sie bitte diese Anzeige eine Woche vor dem betreffenden Termin der Bauaufsichtsbehörde ein (§ 63 Abs. 8 i.V.m. § 74 Abs. 9 BauO NRW)**

Bauschein: **00049- 22-04** **Datum:**

Guido Metzen Vermögensverwaltung GmbH
Herrn Guido Metzen
Unter den Linden 11
53902 Bad Münstereifel

**Neubau eines Mehrfamilienwohnhauses mit 6 Wohnungen**

**Akten-Nr.: 11047**

**Grundstück:** **Euskirchen, Boenerstraße 36**
**Gemarkung:** Euskirchen
**Flur:** 2
**Flurstück/e:** 716

## Anzeige über die Rohbaufertigstellung

Hiermit zeige ich gem. § 84 Abs. 2 BauO NRW die Fertigstellung des Rohbaus bis zum

_____an.

Reichen Sie bitte diese Anzeige **eine Woche vor dem betreffenden Termin** der Bauaufsichtsbehörde ein. (§§ 63 Abs. 3, 74 Abs. 9, 84 Abs. 1 Satz1 BauO NRW)

_____
Unterschrift (Bauherr/-in)

**********

**Bei Wohngebäuden mittlerer Höhe und Wohngebäuden geringer Höhe mit mehr als 2 Wohnungen:**

Folgende(r) **staatl. anerkannte(r) Sachverständige(r) oder sachverständige Stelle** wurden beauftragt und haben sich durch stichprobenhafte Kontrollen während der Bauausführung davon zu überzeugt, dass die baulichen Anlagen, entsprechend den in § 67 Abs. 4 bzw. § 68 Abs. 2 BauO NRW genannten Nachweisen, errichtet oder geändert worden sind: (Standsicherheit; Schallschutz; Wärmeschutz)
(bitte entsprechende Bescheinigung beilegen)

Als Bauleiter/-in bestätige ich, dass das Vorhaben im Einklang mit dem öffentlichen Baurecht, insbesondere den allgemein anerkannten Regeln der Technik und den genehmigten Bauvorlagen entsprechend ausgeführt und auf die Einhaltung der Arbeitsschutzbestimmungen geachtet wurde. (§§ 56 Abs. 1, 84 Abs. 2 BauO NRW)

_____
Unterschrift **Bauleiter/-in**

zurück an:
Kreisstadt Euskirchen
Fachbereich 9 - Bauordnung
Kölner Str. 75
53879 Euskirchen

**Reichen Sie bitte diese Anzeige eine Woche vor dem betreffenden Termin der Bauaufsichtsbehörde ein (§ 63 Abs. 8 i.V.m. § 74 Abs. 9 BauO NRW)**

Bauschein: **00049- 22-04** **Datum:**

Guido Metzen Vermögensverwaltung GmbH
Herrn Guido Metzen
Unter den Linden 11
53902 Bad Münstereifel

**Neubau eines Mehrfamilienwohnhauses mit 6 Wohnungen**

**Akten-Nr.: 11047**

**Grundstück:** **Euskirchen, Boenerstraße 36**
**Gemarkung:** Euskirchen
**Flur:** 2
**Flurstück/e:** 716

## Anzeige über die abschließende Fertigstellung

Hiermit zeige ich gem. § 84 Abs. 1 BauO NRW die abschließende Fertigstellung des Bauvorhabens bis zum _____ an.

Reichen Sie bitte diese Anzeige **eine Woche vor dem betreffenden Termin** der Bauaufsichtsbehörde ein (§§ 63 Abs. 3, 74 Abs. 9, 84 Abs. 1 Satz 1 BauO NRW)

### Folgende Unterlagen sind beigefügt:

- ☐ Bescheinigung über eine stichprobenhafte Kontrolle der Ausführung energiesparender Maßnahmen auf der Baustelle – gemäß Anlage 1 EnEV-UVO

Bei wesentlichen Änderungen nach § 9 EnEV ist lediglich die Erklärung über die Begrenzung des Wärmedurchgangskoeffizienten bei erstmaligem Einbau, Ersatz und Erneuerung von Bauteilen - gemäß Anlage 3 EnEV-UVO – beizufügen

- ☐ Fachunternehmererklärung zur Energieeinsparverordnung 2007 (TGA) über die Technische Gebäudeausrüstung - gemäß Anlage 2 EnEV-UVO
- ☐ Die Abwasserbeseitigungsanlage ist fertig gestellt (§ 84 Abs. 3 BauO NRW) Dichtigkeitsprüfung liegt vor
- ☐ Die Bescheinigung eines Bezirksschornsteinfegermeisters über die Tauglichkeit der Schornsteine (§ 42 Abs. 7 BauO NRW)

Mir ist bekannt, dass die bauliche Anlage erst benutzt werden darf, wenn sie sicher benutzbar ist, frühestens jedoch nach dem oben genannten Zeitpunkt der Fertigstellung. Eine frühere Benutzung bedarf der gesonderten Gestattung durch die Bauaufsichtsbehörde (§ 84 Abs. 8 BauO NRW)

_____
Unterschrift (Bauherr/-In)

Als Bauleiter/-In bestätige ich, daß das vorhaben im Einklang mit dem öffentlichen Baurecht, insbesondere den allgemein anerkannten Regeln der Technik und den genehmigten Bauvorlagen entsprechend ausgeführt wurde (§§ 59a Abs. 1, 82 Abs. 2 BauO NRW)

_____
Unterschrift (Bauleiter/-In)

**zurück an:**
Kreisstadt Euskirchen
Fachbereich 9 - Bauordnung
Kölner Str. 75
53879 Euskirchen

# Befreiung von den Festsetzungen des Bebauungsplans (§ 31 Abs. 2 BauGB)

**Anlage zum Bauantrag vom** 10.12.2021

| **Bauherrschaft** | | **Entwurfsverfassende** | |
|---|---|---|---|
| Name, Vorname, Firma<br>Guido Metzen Vermögensverwaltung GmbH<br>vertreten durch Guido Metzen | | Name, Vorname, Büro<br>Belter, Horst<br>Architekturbüro | |
| Straße, Hausnummer<br>Unter den Linden 11 | | Straße, Hausnummer<br>Bendengasse 22 | |
| PLZ, Ort<br>53879 Euskirchen | | PLZ, Ort<br>53879 Euskirchen | |
| Telefon (mit Vorwahl)<br>02253-5434795 | Telefax | Telefon (mit Vorwahl)<br>02251-9550-0 | Telefax<br>9550-19 |
| E-Mail<br>info@vw-Metzen.de | | E-Mail<br>info@architekt-belter.eu | |

**Angaben zum Baugrundstück**

Ort, Straße, Hausnummer, ggf. Ortsteil
53879 Euskirchen, Boenerstraße 36

| Gemarkung(en) | Flur(e) | Flurstück(e) | Größe in m² |
|---|---|---|---|
| Euskirchen | 2 | 716 | |

**Bezeichnung des Bauvorhabens**

Neubau eines 6 Familienhauses

Gehört zum Bauschein
Nr. 4-9/22 vom 23. März 2022

**Bei vorgenanntem Bauvorhaben wird die Befreiung von folgender/n Festsetzung(en) des Bebauungsplans beantrag**

gemäß Durchführungsplan Nr. 26 aus dem Jahr 1962 wäre nur 1 Vollgeschoss zulässig und der Baukörper zur Straße durch eine Baulinie weit zurück festgesetzt

**Begründung:**

☐ Das Wohl der Allgemeinheit erfordert diese Befreiung.

☒ Die Abweichung ist städtebaulich vertretbar und die Grundzüge der Planung werden nicht berührt.

☒ Die Durchführung des Bebauungsplans würde zu einer offenbar nicht beabsichtigten Härte führen.

Die Abweichung ist auch unter Würdigung nachbarlicher Interessen mit den öffentlichen Belangen vereinbar

In der unmittelbaren Umgebung sind mehrere Gebäude mit 2 Vollgeschossen vorhanden, deshalb soll der Baukörper auch mit 2 Vollgeschossen errichtet werden. Die Baulinie ist in der Örtlichkeit nicht mehr nachvollziehbar, im angrenzenden B-Plan 103 wurde eine Baugrenze mit 5,0 m Abstand von der öffentlichen Verkehrsfläche festgesetzt. Deshalb passt sich der Baukörper der umliegenden Baukörpern und dem B-Plan 103 in der Straßenflucht an. Auch die Festsetzung der GRZ und GFZ entsprechen nicht der Örtlichkeit und den heutigen städtebaulichen Zielen und werden überschritten.

| Ort, Datum | Ort, Datum |
|---|---|
| Bad Münstereifel, den 10.12.2021 | Euskirchen, den 10.12.2021 |
| Für die Bauherrschaft:<br>Unterschrift | Die/Der bauvorlageberechtigte Entwurfsverfassende:<br>Unterschrift |

ARCHITEKTENKAMMER NRW
ARCHITEKT
15982
KÖRPERSCHAFT DES ÖFFENTLICHEN RECHTS

| | |
|---|---|
| **Bauvorhaben:** | Neubau eines Mehrfamilienhauses mit 6 WE<br>53879 Euskirchen, Boenerstraße 34 |
| **Bauherr:** | Guido Metzen Vermögenverwaltung GmbH<br>53902 Bad Münstereifel, Unter den Linden 11 |

# TECHNISCHE ANLAGE

## BERECHNUNG DER NUTZFLÄCHE

| | | | | | |
|---|---|---|---|---|---|
| Hauswirtschftsraum | laut CAD | | | 9,61 m² | |
| Fahrradraum | laut CAD | | | 20,81 m² | |
| Treppenhaus EG | laut CAD | | | 12,24 m² | |
| Hausanschlüsse | laut CAD | | | 2,33 m² | |
| Treppenhaus OG | laut CAD | | | 12,26 m² | |
| Treppenhaus DG | laut CAD | | | 12,26 m² | |
| | | | | | **69,51 m²** |

## BERECHNUNG DER WOHNFLÄCHE

### Erdgeschoss

**Wohnung 1**

| | | | | | |
|---|---|---|---|---|---|
| Flur | laut CAD | | | 10,73 m² | |
| WC | laut CAD | | | 3,42 m² | |
| Abstellraum | laut CAD | | | 6,03 m² | |
| Wohnen/Küche | laut CAD | | | 32,58 m² | |
| Bad | laut CAD | | | 8,79 m² | |
| Kind | laut CAD | | | 11,80 m² | |
| Eltern | laut CAD | | | 21,21 m² | |
| Terrasse | 23,73 | x | 1/4 | 5,93 m² | |
| | | | | | **100,49 m²** |

**Wohnung 2**

| | | | | | |
|---|---|---|---|---|---|
| Flur | laut CAD | | | 10,73 m² | |
| WC | laut CAD | | | 3,42 m² | |
| Abstellraum | laut CAD | | | 6,03 m² | |
| Wohnen/Küche | laut CAD | | | 32,58 m² | |
| Bad | laut CAD | | | 8,79 m² | |
| Kind | laut CAD | | | 11,80 m² | |
| Eltern | laut CAD | | | 21,21 m² | |
| Terrasse | 23,73 | x | 1/4 | 5,93 m² | |
| | | | | | **100,49 m²** |

### Obergeschoss

**Wohnung 3**

| | | | | | |
|---|---|---|---|---|---|
| Flur | laut CAD | | | 10,73 m² | |
| WC | laut CAD | | | 3,42 m² | |
| Abstellraum | laut CAD | | | 6,03 m² | |
| Wohnen/Küche | laut CAD | | | 32,58 m² | |
| Bad | laut CAD | | | 8,79 m² | |
| Kind | laut CAD | | | 11,80 m² | |
| Eltern | laut CAD | | | 21,21 m² | |
| Balkon | 12,36 | x | 1/4 | 3,09 m² | |
| | | | | | **97,65 m²** |

**Wohnung 4**

| | | | | | |
|---|---|---|---|---|---|
| Flur | laut CAD | | | 10,73 m² | |
| WC | laut CAD | | | 3,42 m² | |
| Abstellraum | laut CAD | | | 6,03 m² | |
| Wohnen/Küche | laut CAD | | | 32,58 m² | |

| | | | | | |
|---|---|---|---|---|---|
| Bad | laut CAD | | | 8,79 m² | |
| Kind | laut CAD | | | 11,80 m² | |
| Eltern | laut CAD | | | 21,21 m² | |
| Balkon | 10,92 | x | 1/4 | 2,73 m² | |
| | | | | | **97,29 m²** |

**Dachgeschoss**

**Wohnung 5**

| | | | | | |
|---|---|---|---|---|---|
| Flur | laut CAD | | | 7,84 m² | |
| Bad | laut CAD | | | 7,57 m² | |
| Abstellraum | laut CAD | | | 5,50 m² | |
| Wohnen/Küche | laut CAD | | | 30,47 m² | |
| Eltern | laut CAD | | | 22,35 m² | |
| Balkon | 23,16 | x | 1/4 | 5,79 m² | |
| | | | | | **79,52 m²** |

**Wohnung 6**

| | | | | | |
|---|---|---|---|---|---|
| Flur | laut CAD | | | 7,84 m² | |
| Bad | laut CAD | | | 7,57 m² | |
| Abstellraum | laut CAD | | | 5,50 m² | |
| Wohnen/Küche | laut CAD | | | 30,47 m² | |
| Eltern | laut CAD | | | 22,35 m² | |
| Balkon | 21,56 | x | 1/4 | 5,39 m² | |
| | | | | | **79,12 m²** |
| | | | | | **554,57 m²** |

**BERECHNUNG DES UMBAUTEN RAUMES**

| | | | | | | | |
|---|---|---|---|---|---|---|---|
| **Wohnhaus** | | 15,99 | x | 15,99 | x | 6,27 | 1.603,11 m³ |
| | + | 15,99 | x | 15,99 | x | 4,615/2 | 589,98 m³ |
| | | | | | | | **2.193,10 m³** |
| **Hauswirtschaftsraum** | | 3,99 | x | 3,49 | x | 2,86 | 39,83 m³ |
| **Fahrradraum** | | 4,74 | x | 5,44 | x | 2,60 | 67,04 m³ |
| | | | | | | | **106,87 m³** |

**BAUKOSTEN**

**Rohbaukosten**

| | | | | |
|---|---|---|---|---|
| Wohnhaus | 2.193,10 | x | 138,00 | 302.647 € |
| Nebengebäude | 106,87 | x | 96,00 | 10.259 € |
| | | | | **312.907 €** |

**Herstellungskosten**

| | | | | |
|---|---|---|---|---|
| Wohnhaus | 2.193,10 | x | 420,0 | 921.100 € |
| Carports | 106,87 | x | 200,0 | 21.374 € |
| | | | | **942.474 €** |

**STELLPLATZNACHWEIS**

| | | | | | |
|---|---|---|---|---|---|
| PKW | 6 WE | x | 1 | erforderich | **6 Stck** |
| Fahrräder | BGF 703m² | : | 100m² | erforderich | **7 Stck** |

Aufgestellt: Euskirchen, den 10.12.2021

ARCHITEKTURBÜRO
HORST BELTER

Dipl. Ing. (FH)
Architekt + Stadtplaner

Beldengasse 22
53879 Euskirchen

Tel. 02251 - 9550-0
Fax 02251 - 9550-19

info@architekt-belter.eu
www.architekt-belter.eu

HORST BELTER

Vermessungsbüro
**Dipl.-Ing. Andreas Kluß**
Beraten Vermessen Bewerten
Carmanstraße 40 ▯ 53879 Euskirchen
Fax.: 02251/74493 ▯ info@akluss.de

Öffentlich bestellter
Vermessungsingenieur
in Nordrhein-Westfalen
▯ Tel.:02251/2726 und 02251/52788
▯ www.akluss.de

**Aktenz.** 21M334LP **BauNVO 1968**

| Gemarkung | Flur | Flurstück | anrechenbare Grundstücksfläche |
|---|---|---|---|
| Euskirchen | 2 | 716 | 729 m² |

**Bebauungsplanfestsetzungen**

**GRZ** 0,3 **GFZ** 0,4

## Berechnung von GRZ und GFZ

| | | vorhanden m² | geplant m² | |
|---|---|---|---|---|
| Grundfläche | Wohnhaus | | 255,73 | 255,73 m² |
| | Terrassen | | | 0,00 m² |
| | Balkone | | | 0,00 m² |
| | gesamt | 0 | 255,73 | 255,73 m² |

| | |
|---|---|
| GRZ ist | 0,35079561 |
| GRZ zul. | 218,7 |

| | | vorhanden m² | geplant m² | |
|---|---|---|---|---|
| Geschoßfläche | Wohnhaus EG | | | 255,73 m² |
| | Wohnhaus 1.OG | | | 255,73 m² |
| | Wohnhaus 2.OG | | | 0,00 m² |
| | Wohnhaus 3.OG | | | 0,00 m² |
| | Wohnhaus 4.OG | | | 0,00 m² |
| | Wohnhaus 5.OG | | | 0,00 m² |
| | Wohnhaus DG | | | 0,00 m² |
| | gesamt | 0 | 0 | 511,46 m² |

| | |
|---|---|
| GFZ ist | 0,701591221 |
| GFZ zul. | 291,6 |

Die Flächen sind aus Koordinaten ermittelt.

| | |
|---|---|
| **Bauvorhaben:** | Neubau eines Mehrfamilienwohnhauses mit 6 Wohnungen<br>53879 Euskirchen, Boenerstraße 34 |
| **Bauherr:** | Guido Metzen Vermögensverwaltung GmbH<br>53902 Bad Münstereifel, Unter den Linden 11 |

# Ergänzende Baubeschreibung zur Barrierefreiheit

Gemäß DIN 18040-2 i.V. mit § 49 (1) BauO NRW wird das Mehrfamilienhaus barrierefrei gestaltet:

**4.2. Äußere Erschließung**: die Zuwegung von der Straße Boenerstraße erfolgt stufenlos in mehr als 1,50 m Breite bis zum Hauseingang. Längs- und Querneigung liegen unter 2,5%.

**4.3.2 Flure**: alle Flure sind mindestens 120 cm breit, stufenlos und kürzer als 15 m, so dass eine Begegnungsfläche nicht erforderlich ist.

**4.3.3 Türen**: alle Wohnungseingangs- und Kellertüren haben ein Rohbaumaß von 1.01 x 2,135 m, so dass sie der Norm entsprechen.

**4.3.3.4 Bewegungsflächen vor Türen**: vor jeder Wohnung ist die Bewegungsfläche der Eingangstür breiter als 150 cm und tiefer als 120 cm. Die Türgriffe haben einen Abstand bis zur Seitenwand von mehr als 50 cm.

**4.3.5 Aufzugsanlagen**: Das Haus ist mit einem 8 Personen Aufzug mit einer Kabinengröße 110 x 140 cm und Türen 90 x 210 ausgestattet. Jedes Geschoss ist mit Rollstuhl erreichbar.

**4.3.6 Treppen**: alle Treppenläufe sind mindestens 120 cm breit und sind mit Handläufe ausgestattet. Die Podeste sind mindestens 120 x 120 cm groß.

**4.3.8 Rollstuhlabstellplätze**: in jeder Wohnung sind Abstellbereiche für Rollstuhl oder Rollator vorgesehen.

**5.2 Flure innerhalb von Wohnungen**: alle Flure in den Wohnungen sind mindestens 120 cm breit.

**5.3.1.2 Wohnungstüren**: die Wohnungsinnentüren sind alle 2,135 m hoch und überwiegend 1.01 m im Rohbau breit. Nur sehr wenige Innentüren für kleine Nebenräume sind 0,885 m breit.

Weitere Angaben sind den Bauzeichnungen zu entnehmen.

**5.4 Wohn-, Schlafräume und Küchen**: die Wohnungen sind so geplant, dass die erforderlichen Bewegungsflächen gegeben sind, dies ist jedoch bei der Möblierung auch einzuhalten.

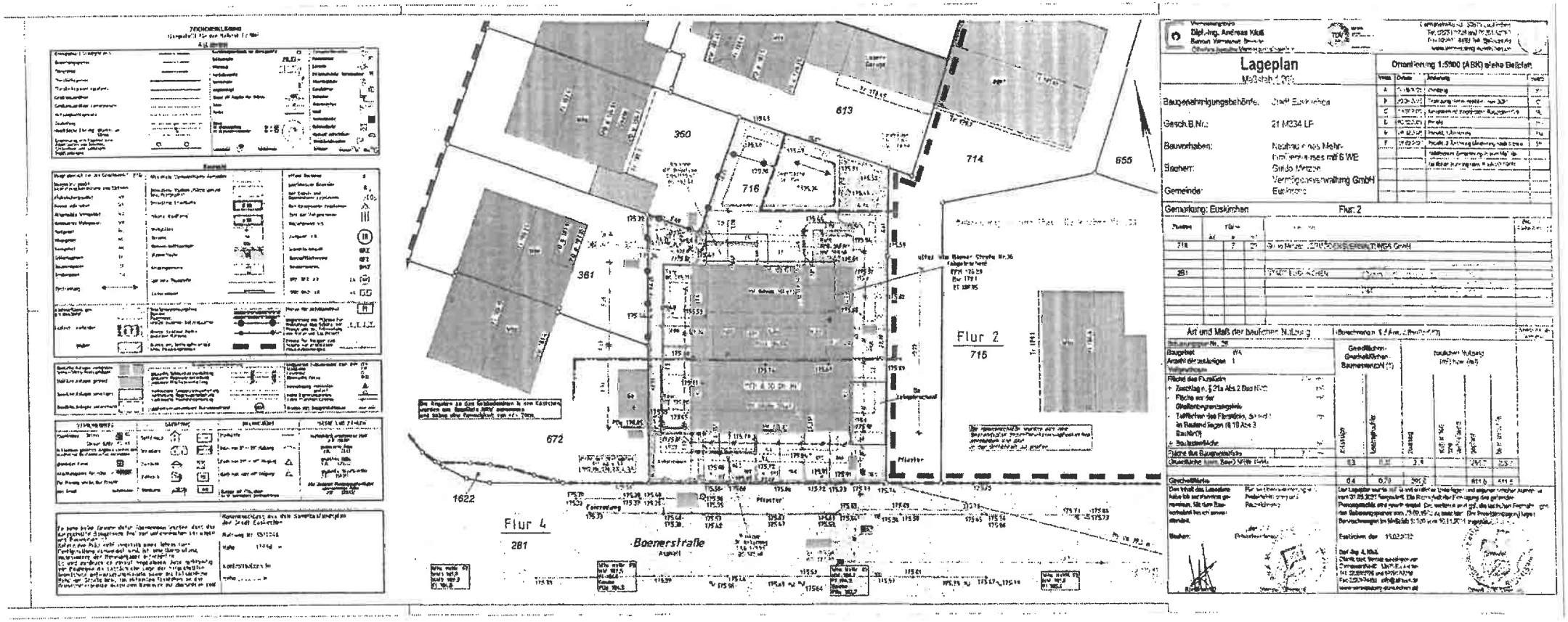
**5.5 Sanitärräume**: alle Türen öffnen sich nach außen und haben einen Durchgang von mindestens 90 cm. In den Bädern sind Bewegungsflächen von 120 x 120 cm vorgesehen, auch dies ist bei der Möblierung einzuhalten.

**5.6 Freisitz**: Jede Wohnung besitzt eine Terrasse oder einen Balkon, der barrierefrei zugängig ist und eine Bewegungsfläche von mehr als 150 x 150 cm besitzt.

Euskirchen, den 10.12.2021

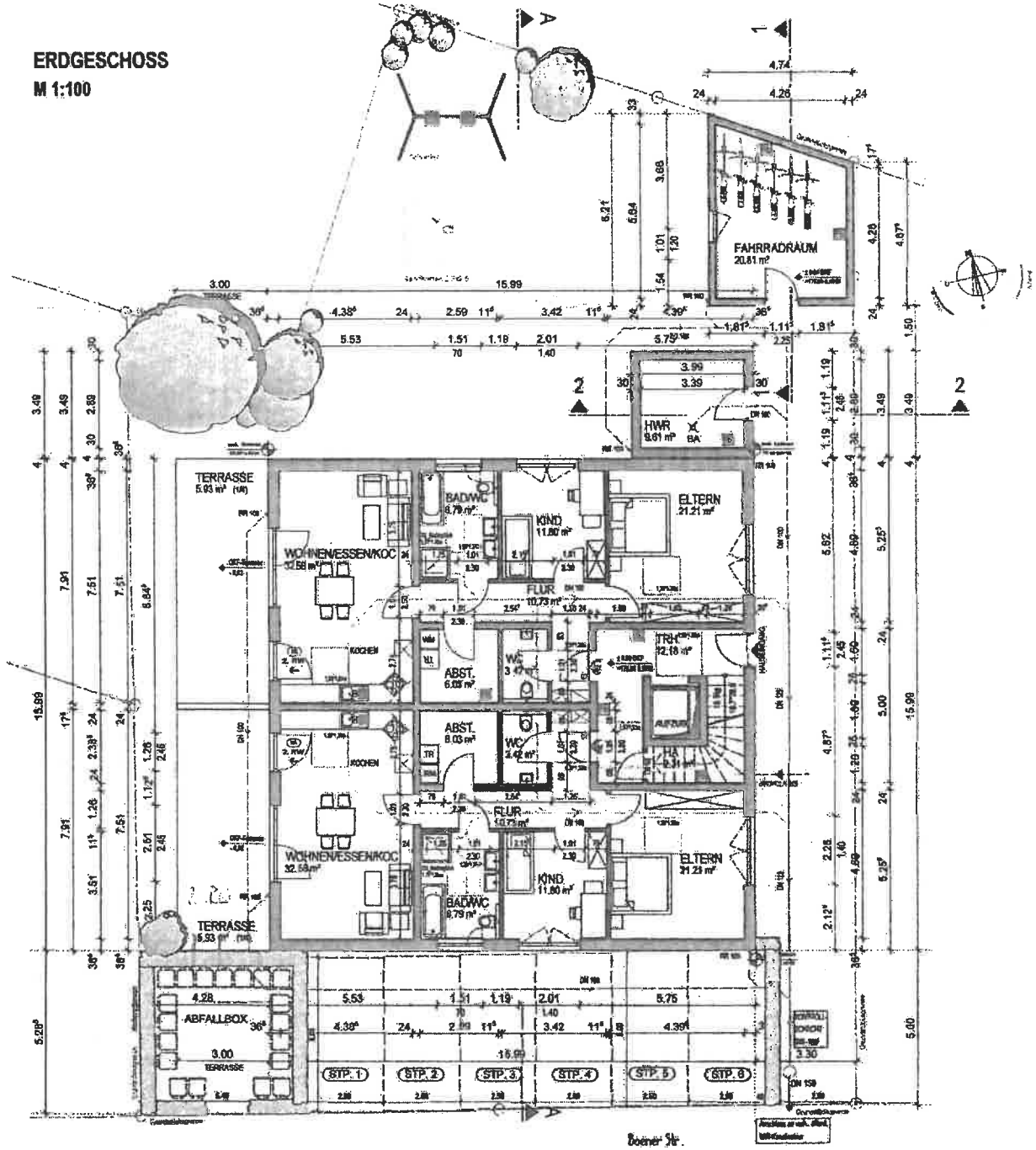
Architekt:

Gehört zum Bauschein
Nr. 9112/6 vom 23. März 2022


Lageplan
Maßstab 1:500
Bauvorhaben: Neubau eines Mehr-Familienhauses mit 6 WE
Gemeinde: Eusk
Gemarkung: Euskirchen
Flur 2
Flur 4
Boernerstraße
613
714
655
350
716
361
672
1622
281
715

## ERDGESCHOSS

**M 1:100**




## Bauantragszeichnung

Gemeinde Euskirchen
Gemarkung Euskirchen
Flur 2
Flurstück 716

Legende:

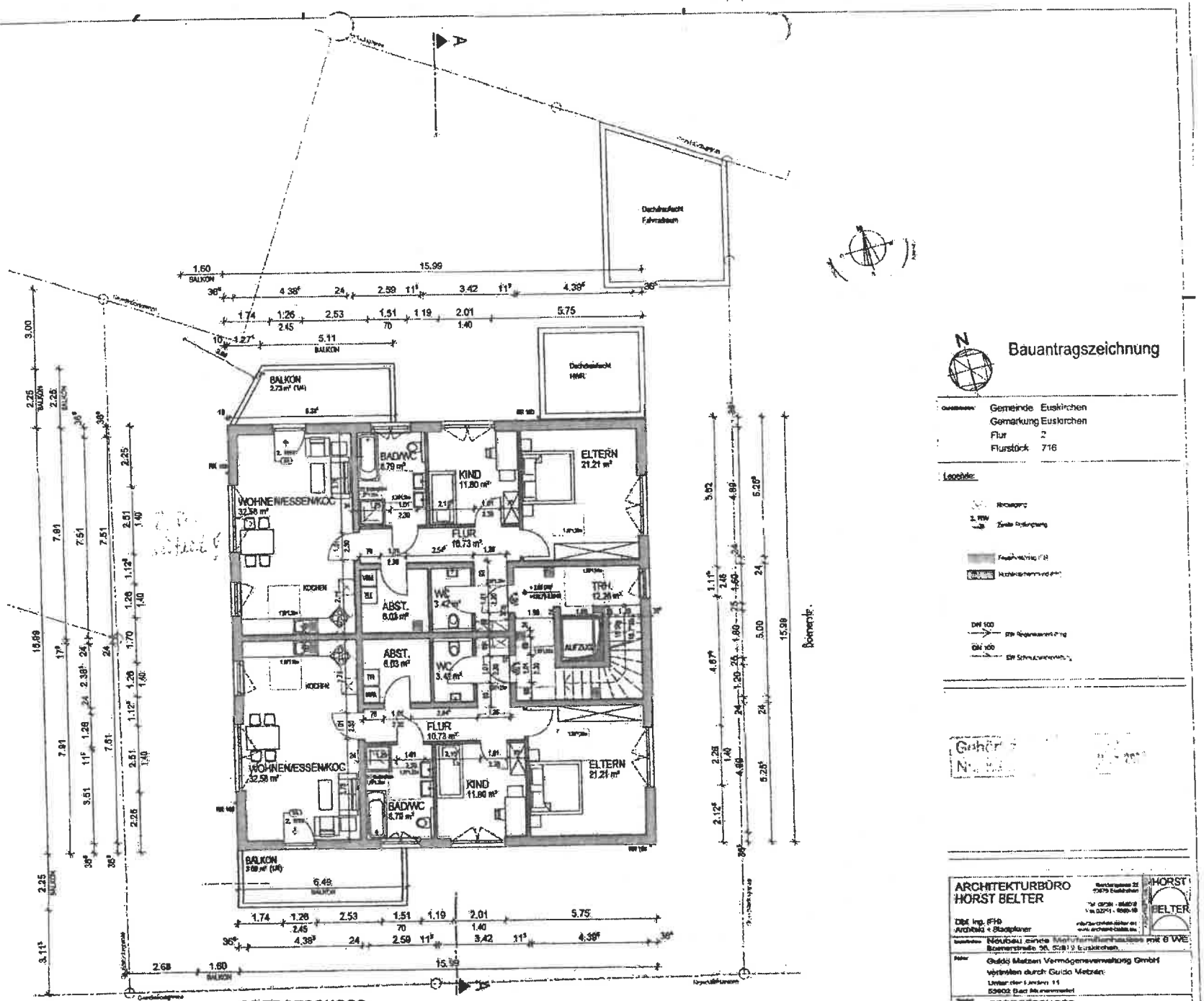
Gehört zur Bauvorlage Nr. [illegible] vom 2022

| | |
|---|---|
| ARCHITEKTURBÜRO HORST BELTER | Dipl.-Ing. (FH) Architekt + Stadtplaner |
| Neubau eines Mehrfamilienhauses mit 6 WE | Boenerstraße 53879 Euskirchen |
| Guido Mötzen Vermögensverwaltung GmbH | vertreten durch Guido Mötzen, Unter der Linden 14, 53902 Bad Münstereifel |
| ERDGESCHOSS | |
| 4198500 | 1:100 |
| 10.11.2021 | 1/421 |

HORST BELTER

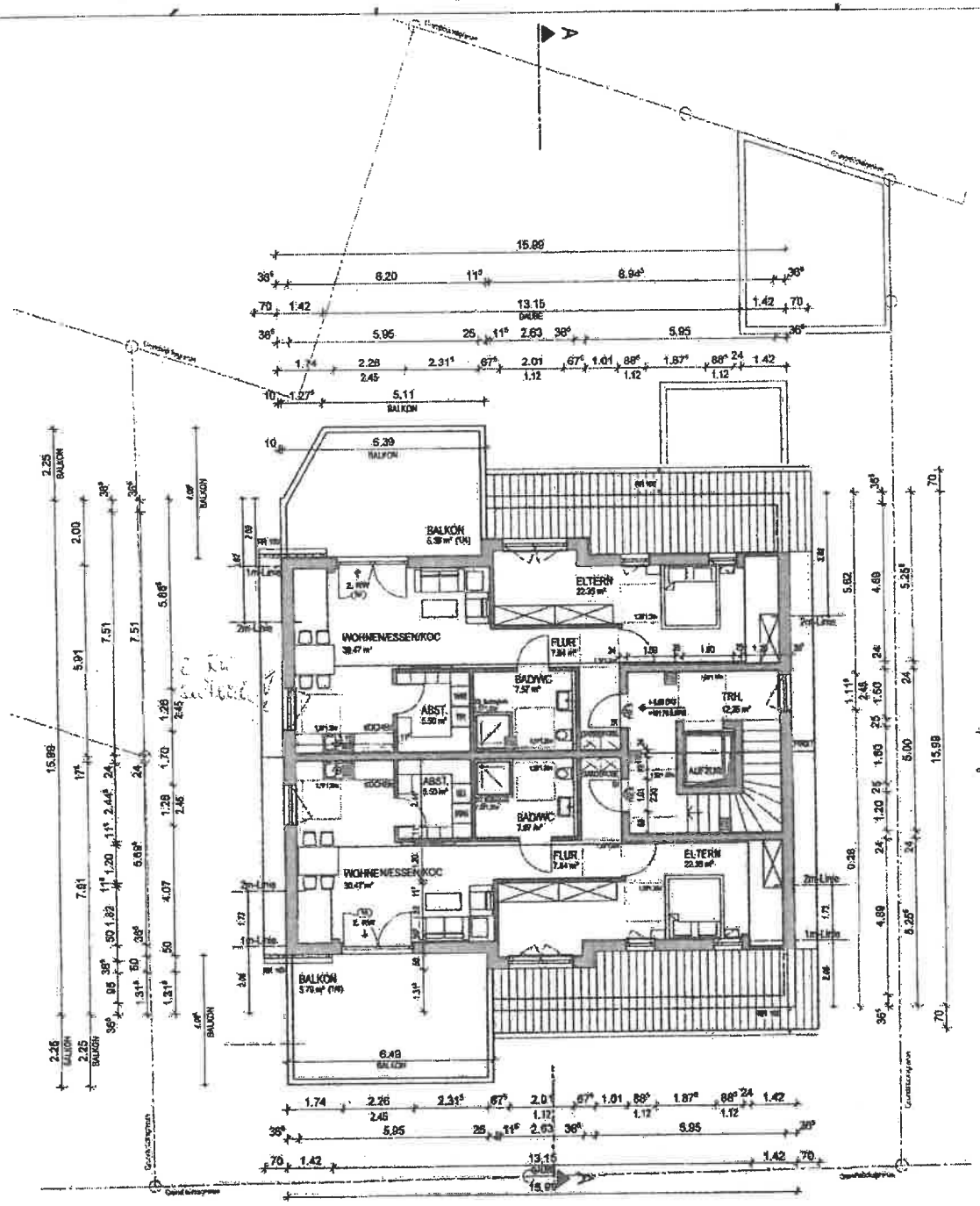
HNB = 410 / 50. ..2(m²)

Allplan 2020




H/B = 410 / 500 (0,21m²)

Allplan 2020




**DACHGESCHOSS**

**M 1:100**

# Bauantragszeichnung

Gemeinde Euskirchen
Gemarkung Euskirchen
Flur 2
Flurstück 716

Legende:

ARCHITEKTURBÜRO
HORST BELTER

Dipl.-Ing. (FH)
Architekt + Stadtplaner

Neubau eines Mehrfamilienhauses mit 6 WE
Boenerstraße 36, 53879 Euskirchen

Guido Metzen Vermögensverwaltung GmbH
vertreten durch: Guido Metzen
Unter der Linden 11
53909 Bad Münstereifel

DACHGESCHOSS

| | | | | |
|---|---|---|---|---|
| 410/800 | 1:100 | JR | 01.11.2021 | 2021-13 |

H/B = 410 / 5

Allplan 2020

## NACHWEIS DER NICHTVOLLGESCHOSSIGKEIT

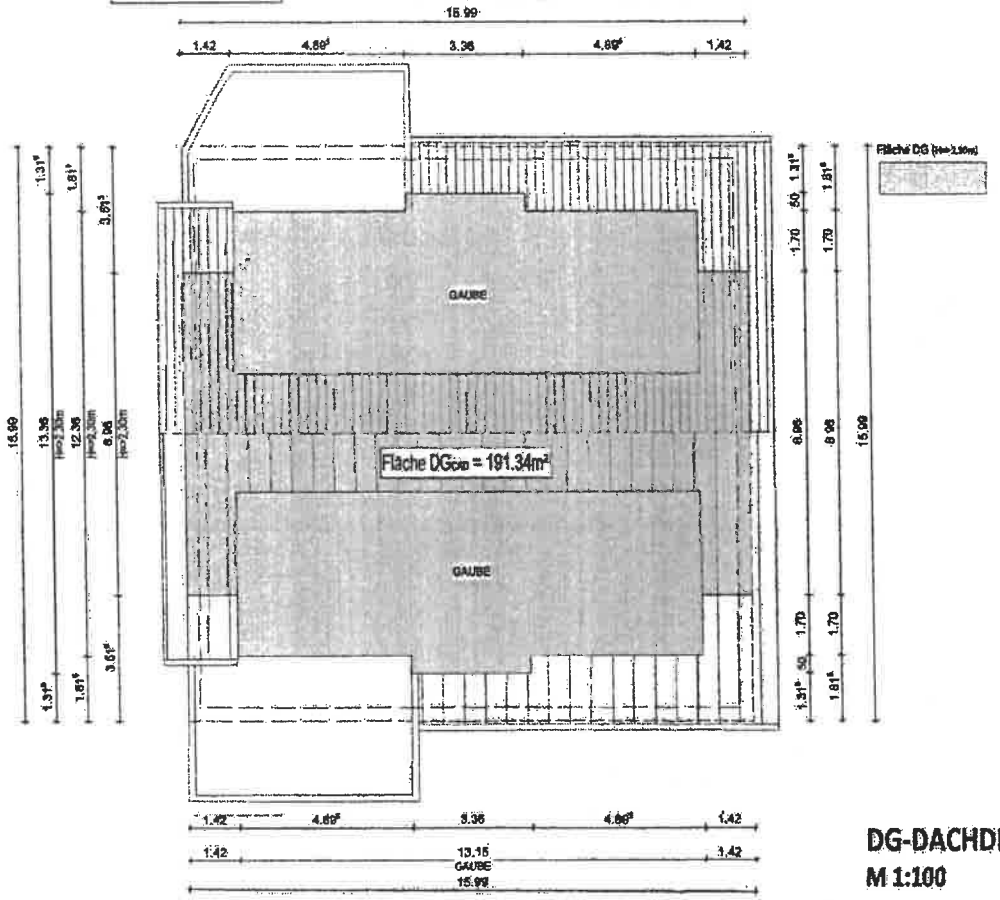
Vollgeschossfläche aus 1. OG (OKF Erdreich) = 255,68 m²

Hiervon 75%

255,68 m² * 0,75 = 191,76 m² ⟶ Fläche DG (H>1,50m) = 191,34 m² < 191,76 m²

Fläche DG(H>1,50m) = 191,34m²

Damit ist das Dachgeschoss kein Vollgeschoss




## DG-DACHDRAUFSICHT
## M 1:100

## Bauantragszeichnung

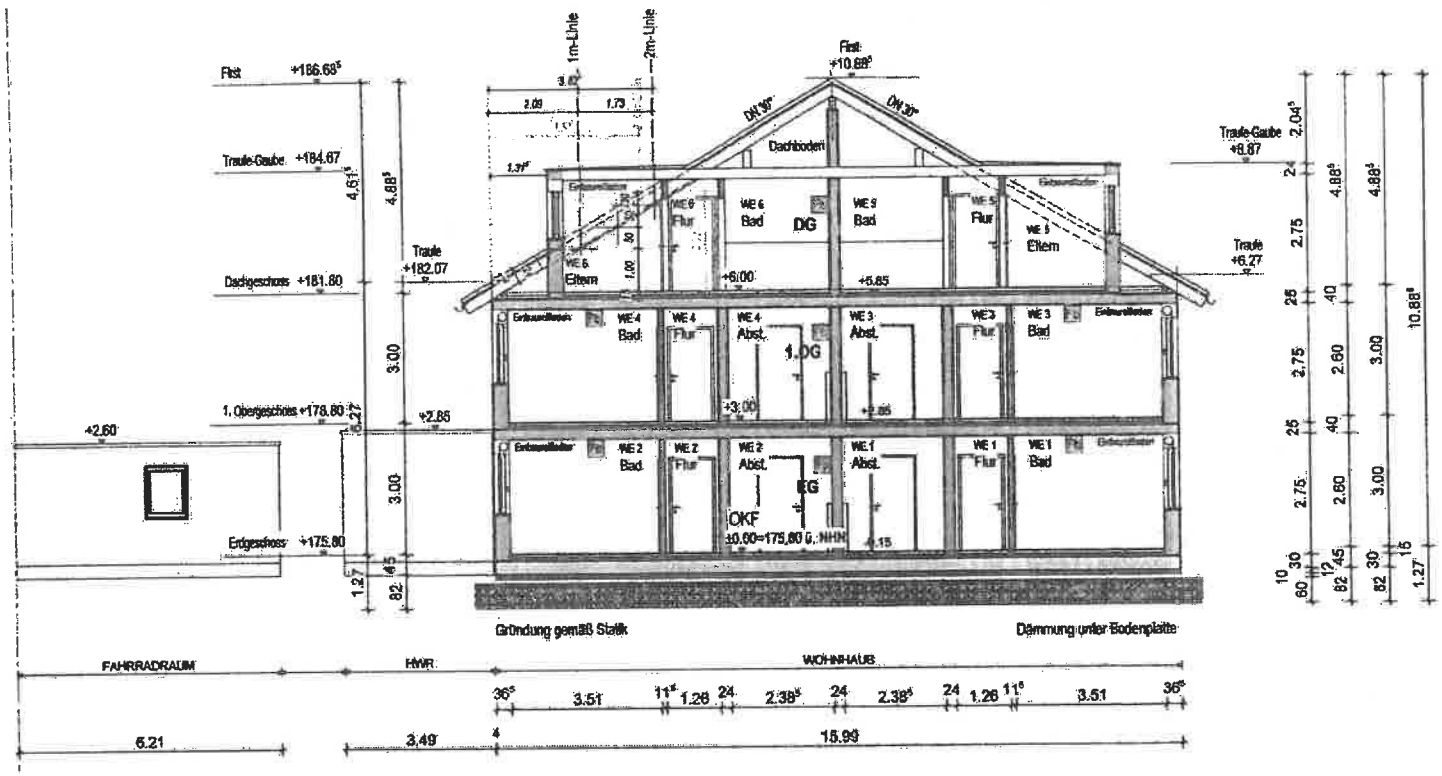
Gemeinde Euskirchen
Gemarkung Euskirchen
Flur 2
Flurstück 718

Legende:

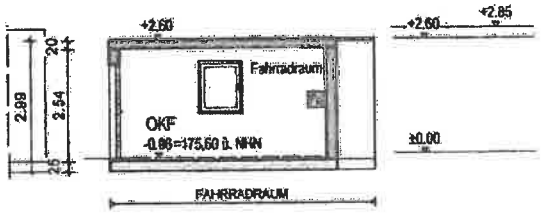
| ARCHITEKTURBÜRO HORST BELTER | HORST BELTER |
|---|---|
| Dipl. Ing. (FH) Architekt + Stadtplaner | |
| Neubau eines Mehrfamilienhauses mit 6 WE | |
| Bauherr: Guido Metzen Vermögensverwaltung GmbH vertreten durch Guido Metzen | |
| Plan-Inhalt: DACHDRAUFSICHT-Nachweis der Nichtvollg. | |

HB = 410 / 500 (0,21m²)

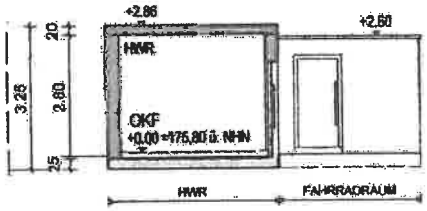
Aachen 2020




## SCHNITT A-A
M 1:100




## SCHNITT 1-1 (Fahrradraum)
M 1:100




## SCHNITT 2-2 (HWR)
M 1:100

# Bauantragszeichnung

Gemeinde Euskirchen
Gemarkung Euskirchen
Flur 2
Flurstück 716

Legende:

2 RW Zweifach Rohrgang

Brandwandtrennung (FH)

Hochfeuerhemmend (HH)

DN 100 SW Regenwasserleitung

DN 100 SW Schmutzwasserleitung

ARCHITEKTURBÜRO HORST BELTER
Dipl. Ing. (FH) Architekt + Stadtplaner

Bauvorhaben: Neubau eines Mehrfamilienhauses mit 6 WE
Boenenstraße 38, 53879 Euskirchen

Bauherr: Guido Metzen Vermögensverwaltung GmbH
vertreten durch Guido Metzen
Unter der Linden 11
53902 Bad Münstereifel

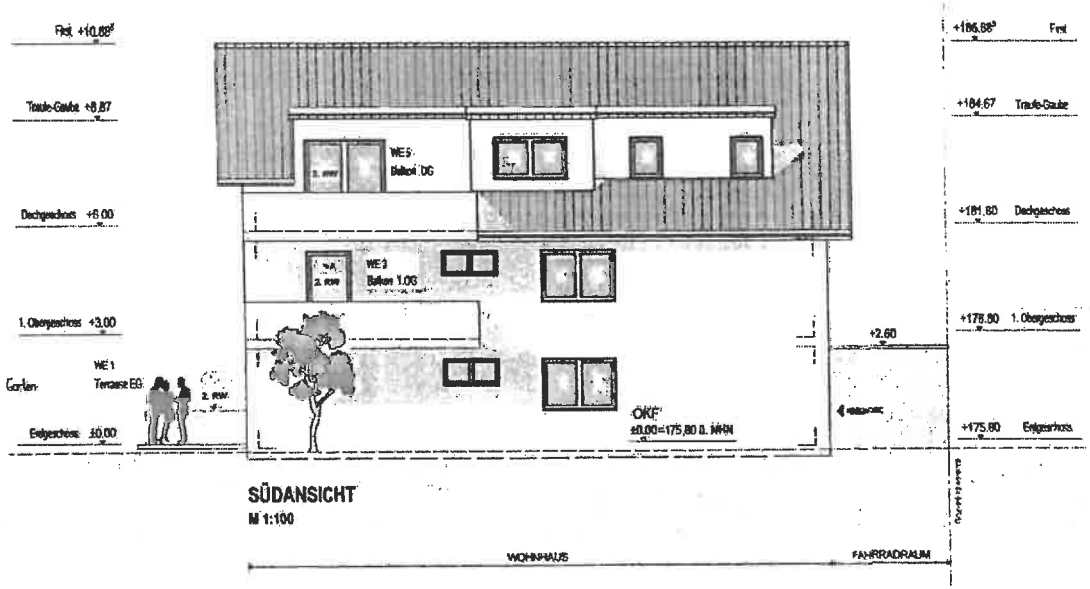
Planinhalt: SCHNITT A-A, 1-1, 2-2

| Datum | Maßstab | Gez. | Geprüft | Nachtrag | Projekt |
|---|---|---|---|---|---|
| 410/500 | 1:100 | JB | 10.11.2021 | 06 | 2021-13 |

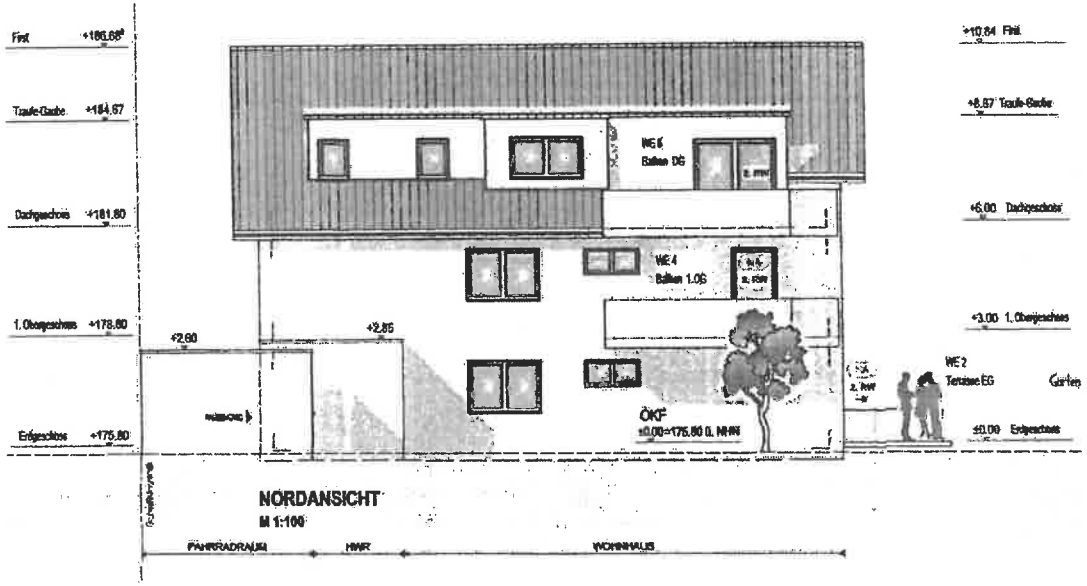
Bauherr: Architekt:

H/B = 297 / 500 (0.15m²)

Allplan 2020




**SÜDANSICHT**
M 1:100




**NORDANSICHT**
M 1:100

# Bauantragszeichnung

Gemeinde Euskirchen
Gemarkung Euskirchen
Flur 2
Flurstück 716

Legende:

Gepr.
Nr.

ARCHITEKTURBÜRO
HORST BELTER
Dipl. Ing. (FH)
Architekt + Stadtplaner

Neubau eines Mehrfamilienhauses mit 6 WE
Boenenstraße 36, 53879 Euskirchen

Guido Metzen Vermögensverwaltung GmbH
vertreten durch Guido Metzen
Unter der Linden 11
53902 Bad Münstereifel

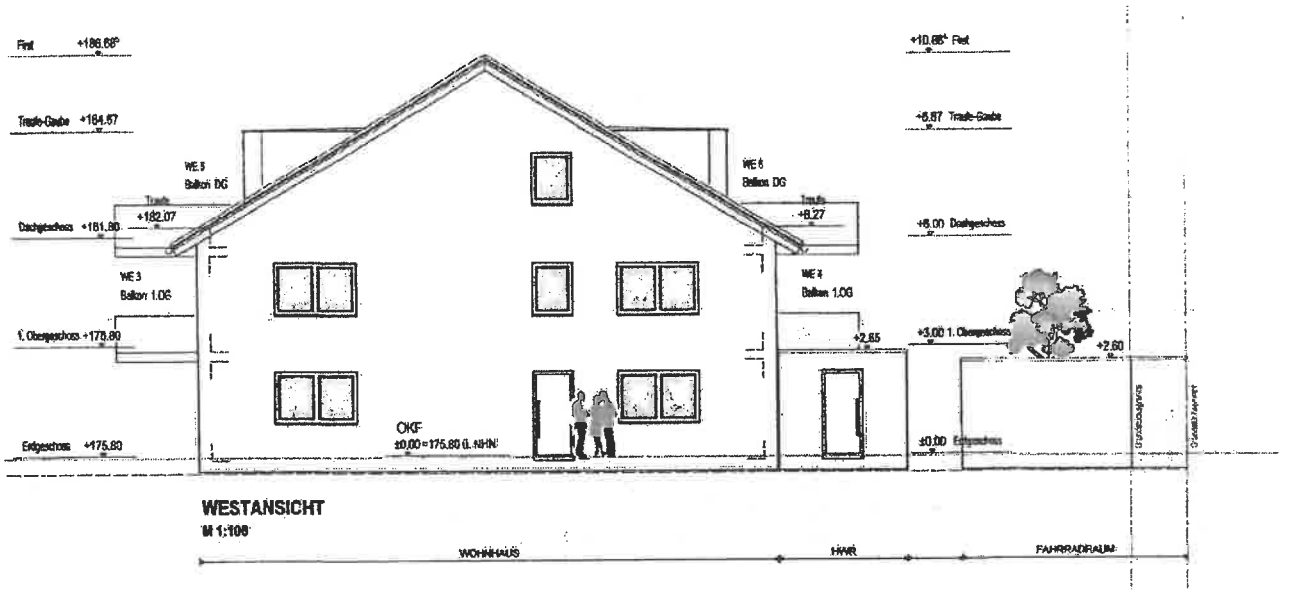
ANSICHT

1:100 | 1:100 | 05 | 11.11.2021 | Dat. | 20/21-13

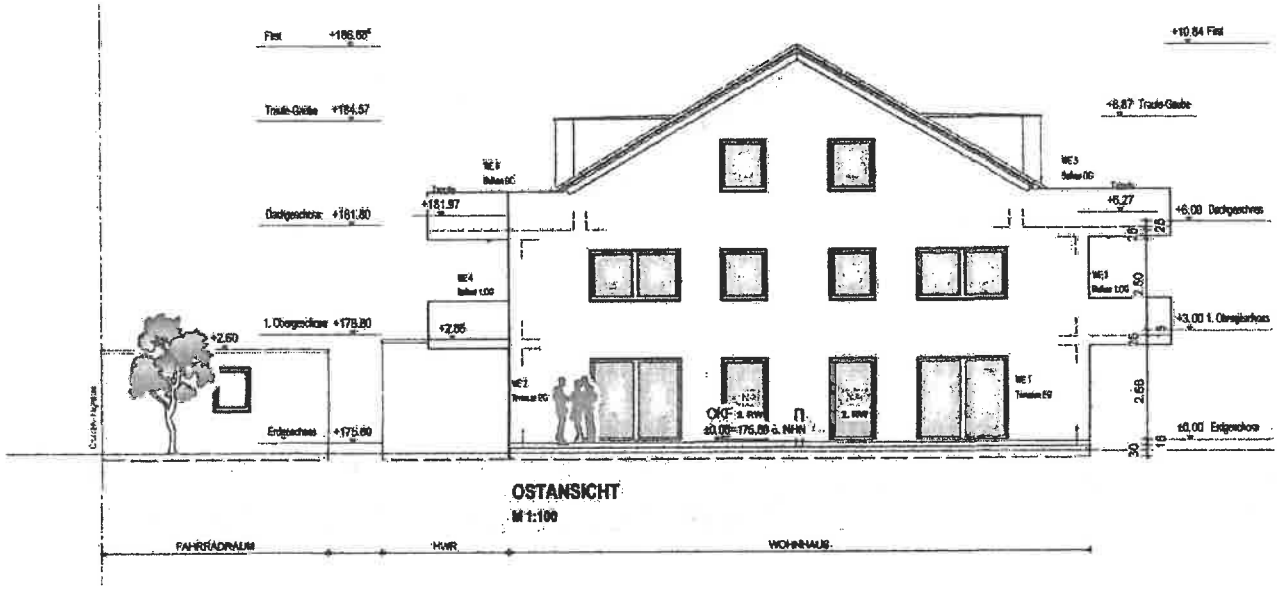
8,49

HB = 410 / 800 (0,21m²)

Allplan 2020




**WESTANSICHT**
M 1:100




**OSTANSICHT**
M 1:100

N

## Bauantragszeichnung

Gemeinde Euskirchen
Gemarkung Euskirchen
Flur 2
Flurstück 716.

Legende:

2 RW

DN 500

DN 500

Gehört zu Nr.

ARCHITEKTURBÜRO
HORST BELTER

Dipl. Ing. (FH)
Architekt + Stadtplaner

Neubau eines Mehrfamilienhauses mit 6 WE
Bonnstraße 96, 53879 Euskirchen

Guido Metzen Vermögensverwaltung GmbH
vertreten durch Guido Metzen
Unter der Linden 11
53902 Bad Münstereifel

JUNSICHT

| | | | | |
|---|---|---|---|---|
| 410/508 | 1:100 | JS | 10.11.2021 | 05 | 2021-43 |

H/B = 410 / 6

1m²

Allplan 2020

**Bauantrag / Antrag auf Vorbescheid vom** 10.12.2021

Im einfachen Baugenehmigungsverfahren sind Angaben zu den gekennzeichneten Ziffern 7 bis 9 nicht erforderlich.

# Baubeschreibung

Bauherrschaft

Guido Metzen Vermögensverwaltung GmbH, vertreten durch Guido Metzen
Unter den Linden 11, 53902 Bad Münstereifel

Gehört zum Bauschein

Grundstück (Ort, Straße, Haus-Nr.)

53879 Euskirchen, Boenerstraße 36

| | | | |
|---|---|---|---|
| 1 | **Bezeichnung des Vorhabens** | Neubau eines Mehrfamilienhauses mit 6 WE | |
| 2 | **Art der Nutzung**<br>☐ Betriebsbeschreibung ist beigefügt | Wohnen | |
| 3 | **Angaben zum Grundstück** | | |
| | geschützter Baumbestand | ☐ ja | |
| | Trinkwasserversorgung | ☒ durch zentrale Wasserversorgung | ☐ durch Brunnen |
| | Löschwasserversorgung<br>(Art und Entfernung zur Entnahmestelle) | Boenerstraße | |
| | Grundstücksentwässerung | ☒ durch öffentliche Sammelkanalisation | ☒ vorhanden |
| | | ☐ durch Kleinkläranlage | ☐ fertiggestellt bis zum |
| | | ☐ durch sonstige Anlage; Art: | |
| | Sonstiges | | |
| 4 | **Barrierefreies Bauen** | ☒ eingehalten bei:<br>☒ Gebäudeklasse 3 bis 5 mit Wohnungen<br>☐ öffentlich zugänglichen baulichen Anlagen | |
| | | ☐ unverhältnismäßiger Mehraufwand aufgrund von:<br>☐ schwierigen Geländeverhältnissen oder<br>☐ ungünstiger vorhandener Bebauung<br>(Nachweis ist beigefügt) | |
| 5 | **Anzahl der notwendigen Stellplätze**<br>Bedarfsermittlung gegebenenfalls als Beiblatt | insgesamt auf<br>dem Baugrundstück: in Garagen + 6 im Freien = | 6 |
| | | fremden Grundstück mit Baulast: = | |
| | | durch Ablösung = | |
| | | Summe: | 6 |
| | | davon für Menschen mit Behinderungen: | |
| 6 | **Anzahl der notwendigen Fahrradstellplätze**<br>Bedarfsermittlung gegebenenfalls als Beiblatt | insgesamt auf<br>dem Baugrundstück: 7 in Garagen + im Freien = | 7 |
| | | fremden Grundstück mit Baulast: = | |
| | | durch Ablösung = | |
| | | Summe: | 7 |
| | | davon für Menschen mit Behinderungen: | |
| 7 | **Schutz gegen schädliche Einflüsse** | | |

Fortsetzung Blatt 2

| Bauboschreibung Blatt 2 | Bauherrschaft: Guido Metzen Vermögensverwaltung GmbH, vertreten durch Guido | Bauantrag vom: 10.12.2021 |
|---|---|---|
| 8 Angaben zur Aufstellung von Feuerstätten | Gesamt-Nennwärmeleistung | kW |
| | ☐ Heizraum | |
| | ☐ Aufstellraum | |
| Angaben zur Brennstofflagerung | ☐ fester Brennstoff ☐ Heizöl | m³ |
| | ☐ Gas ☐ Flüssiggas | m³ |
| | ☐ unterirdischer Lagerbehälter ☐ Lagerraum ☐ sonstiger Raum: | |
| 9 Lüftung<br>Lüftungsanlage für Mittel- oder Großgarage | ☐ ja | Art der Anlage: |
| sonstige genehmigungspflichtige Lüftungsanlage | ☐ ja | Art der Anlage: |
| | ☐ Lüftungsanlage überbrückt Gebäudetrennwände oder Geschossdecken:<br>☐ Schematische Darstellung entsprechend den Bildern der Lüftungsanlagenrichtlinie und Beschreibung der Lüftungsanlagen mit Angabe der Feuerwiderstandsdauer und Baustoffklasse der Bauteile und Lüftungsabschnitte ist beigefügt. | |
| 10 weitere Angaben, sofern wegen Ortsatzungen oder Denkmalschutz erforderlich | | |
| äußere Gestaltung | Wände: Putzfassade | |
| | Dachflächen und Dachaufbauten: Betondachsteine antrazit | |
| | Türen und Fenster: Kunststoff mit 3-fach Verglasung | |
| Spielplatz für Kleinkinder (Größe und Ausstattung) | Garten | |
| Befestigung, Gestaltung und Eingrünung<br>- der Zufahrten<br>- der Stellplätze im Freien | Betonpflaster | |
| Gestaltung und Bepflanzung der nicht überbauten Flächen | Zier- und Nutzgarten | |
| 11 Sonstiges | | |

| Ort, Datum | Genehmigungsvermerk |
|---|---|
| Euskirchen, den 10.12.2021 | |
| Die/Der Entwurfsverfassende: | |
| Unterschrift | |

Vermessungsbüro
**Dipl.-Ing. Andreas Kluß**
Beraten Vermessen Bewerten
Carmanstraße 40 ▪ 53879 Euskirchen
Fax.: 02251/74493 ▪ info@akluss.de

Öffentlich bestellter
Vermessungsingenieur
in Nordrhein-Westfalen
▪ Tel.:02251/2726 und 02251/52788
▪ www.akluss.de

**Aktenz.** **21M334LP** **BauNVO 1968**

| Gemarkung | Flur | Flurstück | anrechenbare Grundstücksfläche |
|---|---|---|---|
| Euskirchen | 2 | 716 | 729 m² |

**Bebauungsplanfestsetzungen**

**GRZ** 0,3 **GFZ** 0,4

## Berechnung von GRZ und GFZ

| | | vorhanden m² | geplant m² | |
|---|---|---|---|---|
| Grundfläche | Wohnhaus | | 255,73 | 255,73 m² |
| | Terrassen | | | 0,00 m² |
| | Balkone | | | 0,00 m² |
| | gesamt | 0 | 255,73 | 255,73 m² |

GRZ ist 0,35079561
GRZ zul. 218,7

| | | vorhanden m² | geplant m² | |
|---|---|---|---|---|
| Geschoßfläche | Wohnhaus EG | | | 255,73 m² |
| | Wohnhaus 1.OG | | | 255,73 m² |
| | Wohnhaus 2.OG | | | 0,00 m² |
| | Wohnhaus 3.OG | | | 0,00 m² |
| | Wohnhaus 4.OG | | | 0,00 m² |
| | Wohnhaus 5.OG | | | 0,00 m² |
| | Wohnhaus DG | | | 0,00 m² |
| | gesamt | 0 | 0 | 511,46 m² |

GFZ ist 0,701591221
GFZ zul. 291,6

Gehört zum Bauschein
Nr. 4-1/22 vom 23. März 2022

Die Flächen sind aus Koordinaten ermittelt.

Sachverständigenbüro für Bauphysik
und Schäden an Gebäuden

Norbert Komsthöft

Norbert Komsthöft Dr. Gottfried-Cremer-Allee 29 50226 Frechen

Sachverständigenbüro für
Bauphysik und Schäden an
Gebäuden

Norbert Komsthöft
Dipl.-(Inform.) Dipl.-Ing.
(IVTA, VDI, IKBau, NRW, Hessen)

Gerichtsgutachter

staatlich anerkannter
Sachverständiger für
Schall- und Wärmeschutz
(IKBau, NRW, Hessen)

Sachverständiger für
Schäden an Gebäuden
(HTWG Konstanz, BBauSV)

Energieeffizienzberater
der KFW

Bauingenieur
Maschinenbauingenieur
(Technische
Gebäudeausrüstung)

fon 02234 99013-70
fax 02234 99013-99
Dr.-Gottfried-Cremer-Allee 29
50226 Frechen

Niederlassung Zülpich
fon 02252 835 796
fax 02252 835 798
Moselstraße 77
53909 Zülpich

info@komsthoeft.koeln
www.komsthoeft.koeln

Steuernummer
219/5180/3165

**Berechnung und Nachweis für den**
**Baulichen Schallschutz**
Nach DIN 4109 Ausgabe Juli 2018
- Schallschutz im Hochbau –

| | |
|---|---|
| Projekt | 772807__Metzen Boenerstraße Euskirchen |
| Adresse | Boenerstr. 36<br>53879 Euskirchen |
| Auftraggeber | Guido Metzen Vermögensverwaltung GmbH |
| Adresse | Unter den Linden 11<br>53902 Bad Münstereifel |
| Aussteller | Sachverständigenbüro für Bauphysik<br>und Schäden an Gebäuden<br>Norbert Komsthöft |
| Adresse | Dr.-Gottfried-Cremer-Allee 29<br>502226 Frechen |
| Telefon | : +49 2234 99013-70 |
| Telefax | : +49 2234 99013-99 |
| e-mail | : norbert@komsthoeft.de |

18.03.2022
(Datum)

(Unterschrift)

Dipl.-Ing. Norbert Komsthöft
KÖLN

Bankverbindung
Kreissparkasse Euskirchen
IBAN: DE98 3825 0110 0001 5926 41 • BIC: WELADED1EUS

## Situation und Aufgabenstellung

Auf dem Grundstück in Euskirchen, Bönerstrasse 36 wird ein Mehrfamilienhaus geplant. Nachfolgend wird der Nachweis geführt.
Es wird der baurechtliche Schallschutznachweis für Wohnhäuser > 2 WE gefordert.

In der vorliegenden Bearbeitung werden folgende Anforderungen zusammengestellt:

- Anforderungen an den baulichen Schallschutz innerhalb des Gebäudes nach DIN 4109-1 – Schallschutz im Hochbau- Ausgabe Juli 2018

**Hinweise:**

Die vorliegende Bearbeitung versteht sich nicht als eine Beschreibung im Sinne einer Ausschreibung. Die angegebenen Materialstärken sind Mindestanforderungen, die aus bauphysikalischer Sicht notwendig und einzuhalten sind. Diese Angaben sind jedoch gegebenenfalls in Abhängigkeit von der Planung und den Belangen der anderen Fachbereiche zu prüfen und können nach entsprechender Abstimmung geändert werden. Änderungen oder Alternativausführungen sind möglich, wenn sichergestellt ist, daß diese schalltechnisch gleichwertig sind. Der Schallschutz von Einzelbauteilen und des Bauwerkes insgesamt, sowie die zulässigen Schalldruckpegel müssen bei der Planung und Ausführung von Alternativen berücksichtigt werden. Bei der Festlegung von Alternativen ist darüber hinaus zu beachten, daß die einzelnen Konstruktionen schalltechnisch aufeinander abgestimmt sein müssen (Einfluss der Schalldämmung trennender Bauteile durch Nebenwege und flankierende Bauteile).

**Anforderungen an den baulichen Schallschutz**

Mit den schalltechnischen Anforderungen nach DIN 4109 soll sichergestellt werden, daß Menschen in Aufenthaltsräumen vor unzumutbaren Belästigungen durch Schallübertragung aus fremden Bereichen ausreichend geschützt werden. Ausreichender Schutz gegen außerordentlich laute Geräusche (z.B. laute Geräusche aus Gewerbebetrieb) erfordert in der Regel besondere Maßnahmen. Insbesondere weisen wir darauf hin, dass bei besonders niedrigem Grundgeräuschpegel z.B. aufgrund schalltechnisch überdimensionierter Außenbauteile Geräusche innerhalb des Gebäudes verstärkt wahrgenommen werden.

Bei der Definition von Aufenthaltsräumen handelt es sich um Räume, die dem ständigen Aufenthalt von Personen dienen. Hierunter fallen keine Flure und WC-Räume.

Nachweise:
Grundlage für die Bemessung des baulichen Schallschutzes ist die DIN 4109-02 –Schallschutz im Hochbau- Ausgabe Juli 2016

**Anforderungen an den Schallschutz aus haustechnischen Anlagen**

Max. zulässiger Schalldruckpegel aus Wasserversorgungs- und Abwasseranlagen
in Wohn-, Schlafräumen und sonstigen schutzbedürftigen Räumen **=➔ < 35 dB.**

Max. zulässiger Schalldruckpegel aus sonstigen haustechnischen Anlagen
in Wohn-, Schlafräumen und sonstigen schutzbedürftigen Räumen **=➔ < 30 dB.**

**Wichtig:**
**Anforderungen zum Schallschutz der Gebäudehülle aufgrund äußerer Emissionen sind unberücksichtigt. Hierzu liegen dem Verfasser keine Angaben bezüglich Strassen- Bahn- und Luftverkehr vor.**

## Übersicht der Bauteile

| Pos. Nr. | Bauelement | Lage | Raumsituation | R'w | | L'n,w | |
|---|---|---|---|---|---|---|---|
| | | | | vorh. | > erf. | vorh. | < erf. |
| 1 | Trennwand | Dachgeschoss | Wohnung / Wohnung | 55,7 | 53 | 0 | 0 |
| 2 | Trennwand | 1. Obergeschoß | Wohnung / Wohnung | 55,6 | 53 | 0 | 0 |
| 3 | Trennwand | Dachgeschoss | Wohnung / TH | 56,4 | 53 | 0 | 0 |
| 4 | Tür | Tür zum Treppenhaus | Dachgeschoss | 37,0 | 37 | 0 | 0 |
| 5 | Tür | Tür zum Treppenhaus | Obergeschoss/Erdgeschoss | 32,0 | 27 | 0 | 0 |
| 6 | Trenndecke | Wohnung / Wohnung | 1.OG / DG | 60,2 | 54 | 43,4 | 50 |
| 7 | Trenndecke | EG / 1 OG | Wohnung / Wohnung | 61,0 | 54 | 43,9 | 50 |
| 8 | Treppe | Treppenhaus | Schlafraum / Treppenhaus | 0 | 0 | 36,2 | 53 |
| 9 | Treppe | Treppenhaus | Schlafraum / Treppenhaus | 0 | 0 | 39,0 | 53 |
| | | | | | | | |

**Zusammenfassung der Ergebnisse:**

1. **Wohnungstrennwände**
   Die Wohnungstrennwände werden in Vollsteinen ausgeführt. Sie haben eine Wandstärke von 24 cm und eine Rohdichte von mindestens 2000 kg/m³. Die Nachweise werden für die ungünstigen Räume geführt und gelten für alle Wohnungstrennwände in diesem Gebäude

2. **Treppenhauswände**
   Die Treppenhauswände müssen zu den Aufenthaltsräumen eine Wandstärke von 24 cm haben und eine Rohdichte von mindestens 2000 kg/m³.

3. **Nichttragende Trennwände**
   Die nichttragenden Trennwände sind als Trockenbauwände berücksichtigt. Ohne Rücksprache mit dem Ersteller des Schallschutznachweises dürfen keine massiven nichttragenden Wände eingebaut werden.

4. **Geschossdecken**
   Die Geschossdecken sind mit einer Dicke von 22 cm als Betondecken in der Berechnung berücksichtigt. Für die Erfüllung der Anforderungen aus dem Trittschall ist ein schwimmender Estrich mit einer Trittschalldämmung erforderlich. In der Berechnung ist eine Trittschalldämmung mit einer Stärke von 25 mm und einer dynamischen Steifigkeit von 20 MN/m³ berücksichtigt.

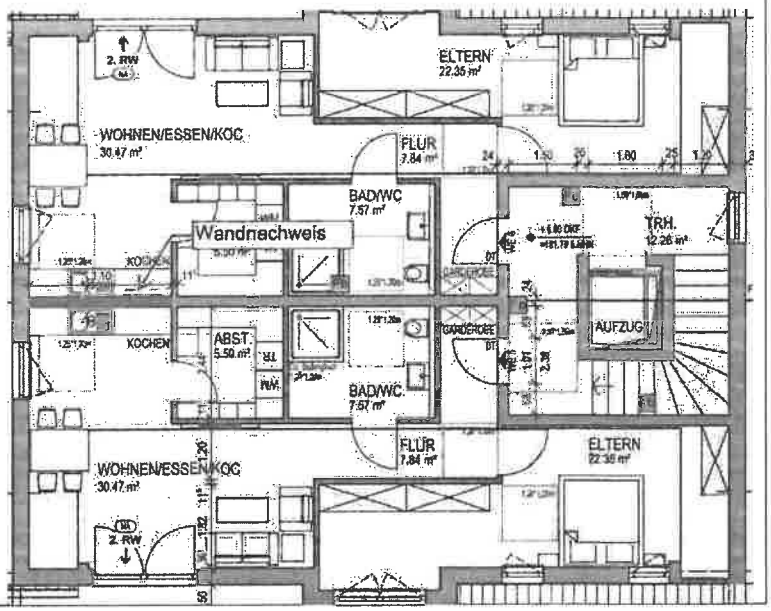
5. **Wohnungseingangstüren**
   Die Wohnungseingangstüren im Dachgeschoss stellen eine Öffnung vom Treppenhaus zum Wohnungsflur dar. Es handelt sich um offene Flure zum Wohnraum. Die Türen müssen ein Schalldämmmaß von 42 dB (- 5dB) = 37 dB besitzen
   Die Wohnungseingangstüren im EG und OG stellen eine Öffnung vom Treppenhaus zum Wohnungsflur dar. Es handelt sich um geschlossene Flure zum Wohnraum. Die Türen müssen ein Schalldämmmaß von 37 dB (- 5dB) = 32 dB besitzen

6. **Treppenpodeste**
   Die Hauptpodeste sind bezüglich des Trittschalls mit einem schwimmenden Estrich berechnet. In der Berechnung ist eine Trittschalldämmung mit einer Stärke von 25 mm und einer dynamischen Steifigkeit von 20 MN/m³ berücksichtigt.

7. **Treppenlauf**
   Der Treppenlauf ist von den TH- Wänden getrennt auszuführen. Die Auflagerung auf den Podesten ist mit Tronsolen zu erfolgen.

## Allgemeine Daten

| | |
|---|---|
| Positionsnummer | 1 |
| Bauteil | Trennwand |
| Lage | Dachgeschoss |
| Raumsituation | Wohnung / Wohnung |
| Einbauzustand | Wohnungstrennwand |

| | |
|---|---|
| Lage: |  |



## Gesamtergebnis

| Standard Schallschutz DIN 4109 | Vorhanden | Zulässig | Anforderungen |
|---|---|---|---|
| Luftschall $D'_{n,w} \geq$ erf. $R'_w$ | 55,7 | 53,0 | Anforderungen erfüllt! |

| Erhöhter Schallschutz DIN 4109, Beiblatt 2 | Vorhanden | Zulässig | Anforderungen |
|---|---|---|---|
| Luftschall $D'_{n,w} \geq$ erf. $R''_w$ | 55,7 | 55,0 | Anforderungen erfüllt! |

## Ausführungsmerkmale

| Trennbauteil | |
|---|---|
| Grundkonstruktion | Trennwand Vollsteine_2000 NM ,d= 240,00mm |
| Vorsatzschale | keine Vorsatzschale vorhanden |
| Vorsatzschale | keine Vorsatzschale vorhanden |
| **Flanken** | |
| Flanke 1 - Wand | Massiv, keine Vorsatzschale, Stoß entkoppelt |
| Flanke 2 - Decke | keine Vorsatzschale, Stoß entkoppelt |
| Flanke 3 - Wand | Massiv, keine Vorsatzschale, Stoß nicht entkoppelt |
| Flanke 4 - Boden | Massiv, keine Vorsatzschale, Stoß nicht entkoppelt |

## Gesamtergebnis im Detail

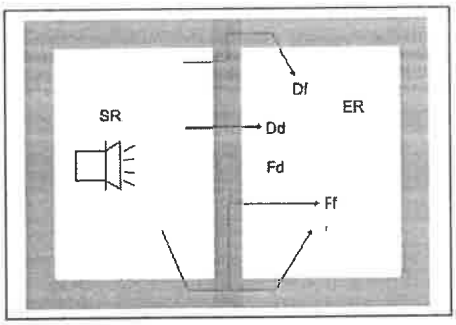
| DIN 4109 | |
|---|---|
| $R'_w$ | 56,6 dB |
| $u_{prog}$ | 2,0 dB |
| $R'_w - u_{prog}$ | 54,6 dB |
| $D_{n,w} - u_{prog}$ | 55,7 dB |
| **VDI 4100** | |
| Raum 1 > Raum 2 $D_{nT,w} - u_{prog}$ | 57,2 dB |
| Raum 2 > Raum 1 $D_{nT,w} - u_{prog}$ | 57,2 dB |

## Trennbauteil Ergebnis

| Luftschall | |
|---|---|
| $R_w$ | 61,0 dB |
| $\Delta R_{Dd,w}$ | 0,0 dB |
| $K_E$ | 3,0 dB |
| $R_{,Dd,w}$ | 58,0 dB |

## Flanken Ergebnisse

Flankenwege Grafik




| Weg Ff | F1 | F2 | F3 | F4 |
|---|---|---|---|---|
| $\Delta R_{Ff,w}$ | 0,0 dB | 0,0 dB | 0,0 dB | 0,0 dB |
| $K_{Ff}$ | 33,6 dB | 0,0 dB | 12,7 dB | 8,0 dB |
| $R_{Ff,w}$ | 91,5 dB | 79,5 dB | 69,8 dB | 74,2 dB |
| **Weg Fd** | **F1** | **F2** | **F3** | **F4** |
| $\Delta R_{Fd,w}$ | 0,0 dB | 0,0 dB | 0,0 dB | 0,0 dB |
| $K_{Fd}$ | 17,5 dB | 0,0 dB | 7,0 dB | 5,7 dB |
| $R_{Fd,w}$ | 79,4 dB | 0,0 dB | 68,5 dB | 71,3 dB |
| **Weg Df** | **F1** | **F2** | **F3** | **F4** |
| $\Delta R_{Df,w}$ | 0,0 dB | 0,0 dB | 0,0 dB | 0,0 dB |
| $K_{Df}$ | 17,5 dB | 0,0 dB | 7,0 dB | 5,7 dB |
| $R_{Df,w}$ | 79,4 dB | 0,0 dB | 68,5 dB | 71,3 dB |

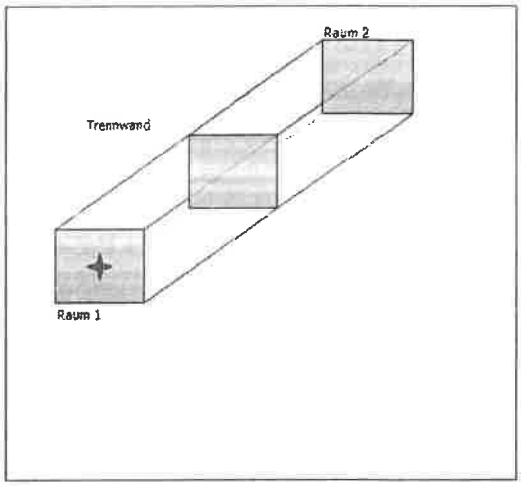
## Trennbauteil – WTW VS_24

### Geometrie

| | |
|---|---|
| Raum 1 | Wohnen / Essen / Kochen |
| Breite | 3,10 m |
| Länge | 5,65 m |
| Höhe | 2,50 m |
| Volumen | 43,79 m² |

| | |
|---|---|
| Raum 2 | Wohnen / Essen / Kochen |
| Breite | 3,10 m |
| Länge | 5,65 m |
| Höhe | 2,50 m |
| Volumen | 43,79 m² |

| | |
|---|---|
| Versatz Breite | 0,00 m |
| Versatz Länge | 0,00 m |




| | |
|---|---|
| Breite Trennbauteil | 3,10 m |
| Höhe Trennbauteil | 2,50 m |
| Fläche | 7,75 m² |

### Konstruktionsmerkmale

| | |
|---|---|
| Bauweise | Massiv |
| Mörtelart | mit Normalmörtel gemauert |
| Masse der Grundkonstruktion | 492,0 kg/m² |
| $R_w$ | 61,0 dB |
| $\Delta R_w$ - Raum 1 | 0,0 dB |
| $\Delta R_w$ - Raum 2 | 0,0 dB |

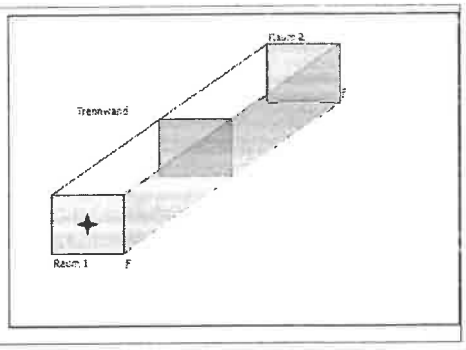
### Bauteilaufbau

| Pos. Nr. | Bezeichnung | s mm | Dichte kg/m³ |
|---|---|---|---|
| 1 | Gipsputz | 15,00 | 1200,00 |
| 2 | Vollsteine_2000 NM | 240,00 | 1900,00 |
| 3 | Gipsputz | 15,00 | 1200,00 |
| | | | |
| | | | |
| | **+ Vorsatzkonstruktion 1** | | |
| | keine Vorsatzschale vorhanden | | |
| | | | |
| | | | |
| | **+ Vorsatzkonstruktion 2** | | |
| | keine Vorsatzschale vorhanden | | |
| | | | |

## Flanke 1 – Flankenwand

### Geometrie / Eigenschaften

| | | |
|---|---|---|
| Fläche Raum 1 | 14,1 m² | |
| Fläche Raum 2 | 14,1 m² | |
| Gemeinsame Kantenlänge | 2,5 m | |
| Flankenanbindung | X- Stoß | |
| Entkoppelt |  | Beide Flanken entkoppelt |
| Stoßstellenverbesserung | 6,0 dB | |




### Flanke Raum 1 – IW_TW_TB_125

| | |
|---|---|
| Bauweise | Massiv |
| Mörtelart | mit Normalmörtel gemauert |
| Masse der Grundkonstruktion | 40,0 kg/m² |
| $R_w$ | 53,0 dB, Eigene Eingabe |
| $\Delta R_w$ | 0,0 dB |

### Bauteilaufbau

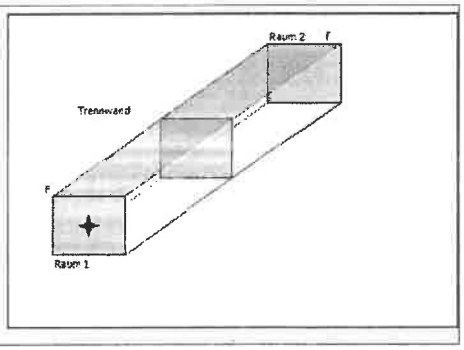
| Pos. Nr. | Bezeichnung | s mm | Dichte kg/m³ |
|---|---|---|---|
| 1 | Gipskartonplatten | 12,50 | 900,00 |
| 2 | Gipskartonplatten | 12,50 | 900,00 |
| 3 | Mineralfaser_040 | 80,00 | 8,00 |
| 4 | Gipskartonplatten | 12,50 | 900,00 |
| 5 | Gipskartonplatten | 12,50 | 900,00 |
| | | | |
| | | | |
| | **+ Vorsatzkonstruktion** | | |
| | keine Vorsatzschale vorhanden | | |
| | | | |

**Flanke 1 (Raum 2) ist identisch mit Raum 1!**

## Flanke 2 – Flankendecke

### Geometrie / Eigenschaften

| | | |
|---|---|---|
| Fläche Raum 1 | 17,5 m² | |
| Fläche Raum 2 | 17,5 m² | |
| Gemeinsame Kantenlänge | 3,1 m | |
| Flankenanbindung | T- Stoß | |
| Entkoppelt |  | Trennbauteil entkoppelt |
| Stoßstellenverbesserung | 6,0 dB | |




### Flanke Raum 1 – Dach EnEV2013

| | |
|---|---|
| Bauweise | Massiv |
| Mörtelart | mit Normalmörtel gemauert |
| Masse der Grundkonstruktion | 40,0 kg/m² |
| $R_w$ | 79,5 dB |
| $\Delta R_w$ | 79,0 dB |

### Bauteilaufbau

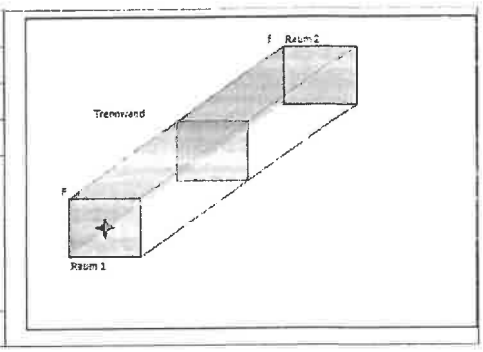
| Pos. Nr. | Bezeichnung | s mm | Dichte kg/m³ |
|---|---|---|---|
| 1 | Gipskartonplatten | 12,50 | 900,00 |
| 2 | Gipskartonplatten | 12,50 | 900,00 |
| 3 | Mineralfaser_040 | 80,00 | 8,00 |
| 4 | Gipskartonplatten | 12,50 | 900,00 |
| 5 | Gipskartonplatten | 12,50 | 900,00 |
| | | | |
| | | | |
| | **+ Vorsatzkonstruktion** | | |
| | keine Vorsatzschale vorhanden | | |
| | | | |

**Flanke 2 (Raum 2) ist identisch mit Raum 1!**

## Flanke 3 – Flankenwand

### Geometrie / Eigenschaften

| | | |
|---|---|---|
| Fläche Raum 1 | 14,1 m² | |
| Fläche Raum 2 | 14,1 m² | |
| Gemeinsame Kantenlänge | 2,5 m | |
| Flankenanbindung | X- Stoß | |
| Entkoppelt |  | Stoß nicht entkoppelt |
| Stoßstellenverbesserung | 0,0 dB | |




### Flanke Raum 1 – AW Thermstein_365_009

| | |
|---|---|
| Bauweise | Massiv |
| Mörtelart | mit Dünnbettmörtel |
| Masse der Grundkonstruktion | 255,0 kg/m² |
| $R_w$ | 52,2 dB |
| $\Delta R_w$ | 0,0 dB |

### Bauteilaufbau

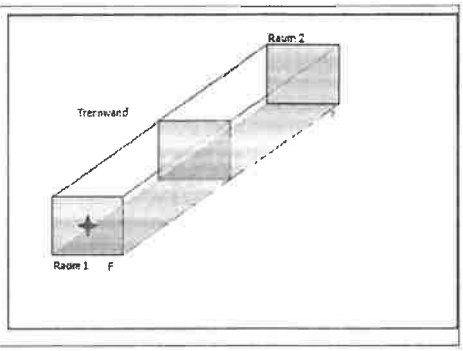
| Pos. Nr. | Bezeichnung | s mm | Dichte kg/m³ |
|---|---|---|---|
| 1 | Gipsputz | 15,00 | 1200,00 |
| 2 | Thermstein 009 | 365,00 | 550,00 |
| 3 | Gipsputz | 15,00 | 1200,00 |
| | | | |
| | | | |
| | **+ Vorsatzkonstruktion** | | |
| | keine Vorsatzschale vorhanden | | |
| | | | |

### Flanke 3 (Raum 2) ist identisch mit Raum 1!

## Flanke 4 – Flankendecke

### Geometrie / Eigenschaften

| | | |
|---|---|---|
| Fläche Raum 1 | 17,5 m² | |
| Fläche Raum 2 | 17,5 m² | |
| Gemeinsame Kantenlänge | 3,1 m | |
| Flankenanbindung | | |
| Entkoppelt |  | Stoß nicht entkoppelt |
| Stoßstellenverbesserung | 0,0 dB | |




### Flanke Raum 1 – Betondecke 22

| | |
|---|---|
| Bauweise | Massiv |
| Masse der Grundkonstruktion | 540,0 kg/m² |
| $R_w$ | 62,2 dB |
| $\Delta R_w$ | 0,0 dB |

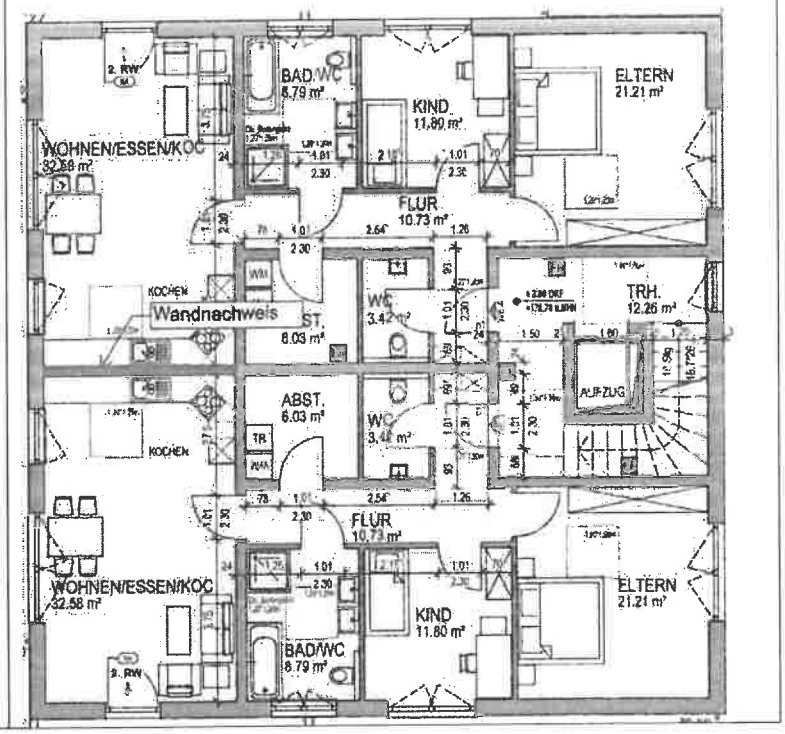
### Bauteilaufbau

| Pos. Nr. | Bezeichnung | s mm | Dichte kg/m³ |
|---|---|---|---|
| 1 | Gipsputz | 10,00 | 1200,00 |
| 2 | Beton_2400 | 220,00 | 2400,00 |
| | | | |
| | | | |
| | **+ Vorsatzkonstruktion** | | |
| | keine Vorsatzschale vorhanden | | |
| | | | |

**Flanke 4 (Raum 2) ist identisch mit Raum 1!**

## Allgemeine Daten

| | |
|---|---|
| Positionsnummer | 2 |
| Bauteil | Trennwand |
| Lage | 1. Obergeschoß |
| Raumsituation | Wohnung / Wohnung |
| Einbauzustand | Wohnungstrennwand |




## Gesamtergebnis

| Standard Schallschutz DIN 4109 | Vorhanden | Zulässig | Anforderungen |
|---|---|---|---|
| Luftschall $R'_w \geq$ erf. $R'_w$ | 55,6 | 53,0 | Anforderungen erfüllt! |

| Erhöhter Schallschutz DIN 4109, Beiblatt 2 | Vorhanden | Zulässig | Anforderungen |
|---|---|---|---|
| Luftschall $R''_w \geq$ erf. $R''_w$ | 55,6 | 55,0 | Anforderungen erfüllt! |

## Ausführungsmerkmale

| Trennbauteil | |
|---|---|
| Grundkonstruktion | Trennwand Vollsteine_2000 NM ,d= 240,00mm |
| Vorsatzschale | keine Vorsatzschale vorhanden |
| Vorsatzschale | keine Vorsatzschale vorhanden |
| **Flanken** | |
| Flanke 1 - Wand | Massiv, keine Vorsatzschale, Stoß nicht entkoppelt |
| Flanke 2 - Decke | Massiv, keine Vorsatzschale, Stoß nicht entkoppelt |
| Flanke 3 - Wand | Massiv, keine Vorsatzschale, Stoß nicht entkoppelt |
| Flanke 4 - Boden | Massiv, keine Vorsatzschale, Stoß nicht entkoppelt |

## Gesamtergebnis im Detail

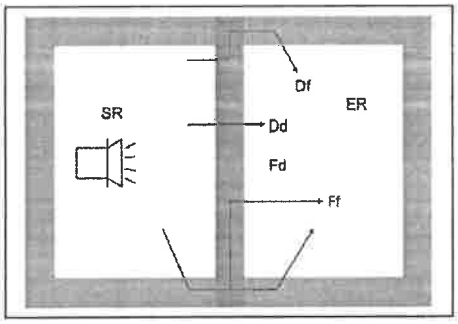
| DIN 4109 | |
|---|---|
| $R'_w$ | 57,6 dB |
| $u_{prog}$ | 2,0 dB |
| $R'_w - u_{prog}$ | 55,6 dB |
| $D_{n.w} - u_{prog}$ | 55,2 dB |
| **VDI 4100** | |
| Raum 1 > Raum 2 $D_{nT,w} - u_{prog}$ | 59,4 dB |
| Raum 2 > Raum 1 $D_{nT,w} - u_{prog}$ | 59,4 dB |

## Trennbauteil Ergebnis

| Luftschall | |
|---|---|
| $R_w$ | 61,0 dB |
| $\Delta R_{Dd,w}$ | 0,0 dB |
| $K_E$ | 0,0 dB |
| $R_{,Dd.w}$ | 61,0 dB |

## Flanken Ergebnisse

Flankenwege Grafik




| Weg Ff | F1 | F2 | F3 | F4 |
|---|---|---|---|---|
| $\Delta R_{Ff,w}$ | 0,0 dB | 0,0 dB | 0,0 dB | 0,0 dB |
| $K_{Ff}$ | 8,9 dB | 5,1 dB | 12,7 dB | 8,0 dB |
| $R_{Ff,w}$ | 72,8 dB | 71,3 dB | 71,3 dB | 74,2 dB |
| **Weg Fd** | **F1** | **F2** | **F3** | **F4** |
| $\Delta R_{Fd,w}$ | 0,0 dB | 0,0 dB | 0,0 dB | 0,0 dB |
| $K_{Fd}$ | 5,7 dB | 4,7 dB | 7,0 dB | 5,7 dB |
| $R_{Fd,w}$ | 72,6 dB | 70,3 dB | 70,0 dB | 71,3 dB |
| **Weg Df** | **F1** | **F2** | **F3** | **F4** |
| $\Delta R_{Df,w}$ | 0,0 dB | 0,0 dB | 0,0 dB | 0,0 dB |
| $K_{Df}$ | 5,7 dB | 4,7 dB | 7,0 dB | 5,7 dB |
| $R_{Df,w}$ | 70,1 dB | 70,3 dB | 70,0 dB | 71,3 dB |

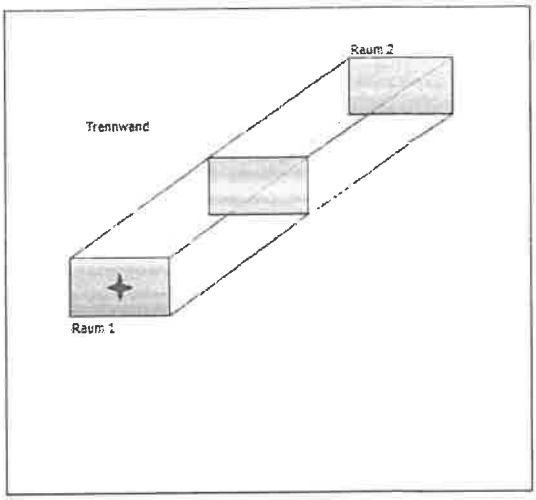
## Trennbauteil – WTW VS_24

### Geometrie

| | |
|---|---|
| Raum 1 | Wohnen / Essen / Kochen |
| Breite | 4,38 m |
| Länge | 7,51 m |
| Höhe | 2,50 m |
| Volumen | 82,23 m³ |

| | |
|---|---|
| Raum 2 | Wohnen / Essen / Kochen |
| Breite | 4,38 m |
| Länge | 7,51 m |
| Höhe | 2,50 m |
| Volumen | 82,23 m³ |

| | |
|---|---|
| Versatz Breite | 0,00 m |
| Versatz Länge | 0,00 m |




| | |
|---|---|
| Breite Trennbauteil | 4,38 m |
| Höhe Trennbauteil | 2,50 m |
| Fläche | 10,95 m² |

### Konstruktionsmerkmale

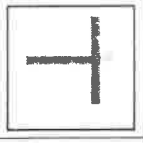
| | |
|---|---|
| Bauweise | Massiv |
| Mörtelart | mit Normalmörtel gemauert |
| Masse der Grundkonstruktion | 492,0 kg/m² |
| $R_w$ | 61,0 dB |
| $\Delta R_w$ - Raum 1 | 0,0 dB |
| $\Delta R_w$ - Raum 2 | 0,0 dB |

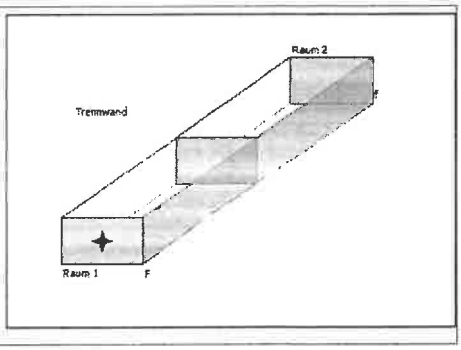
### Bauteilaufbau

| Pos. Nr. | Bezeichnung | s mm | Dichte kg/m³ |
|---|---|---|---|
| 1 | Gipsputz | 15,00 | 1200,00 |
| 2 | Vollsteine_2000 NM | 240,00 | 1900,00 |
| 3 | Gipsputz | 15,00 | 1200,00 |
| | | | |
| | | | |
| | **+ Vorsatzkonstruktion 1** | | |
| | keine Vorsatzschale vorhanden | | |
| | | | |
| | | | |
| | **+ Vorsatzkonstruktion 2** | | |
| | keine Vorsatzschale vorhanden | | |
| | | | |

## Flanke 1 – Flankenwand

### Geometrie / Eigenschaften

| | | |
|---|---|---|
| Fläche Raum 1 | 18,8 m² | |
| Fläche Raum 2 | 18,8 m² | |
| Gemeinsame Kantenlänge | 2,5 m | |
| Flankenanbindung | X- Stoß | |
| Entkoppelt |  | Stoß nicht entkoppelt |
| Stoßstellenverbesserung | 0,0 dB | |




### Flanke Raum 1 – IW Bims 24-1,8

| | |
|---|---|
| Bauweise | Massiv |
| Mörtelart | mit Normalmörtel gemauert |
| Masse der Grundkonstruktion | 454,8 kg/m² |
| $R_w$ | 59,9 dB |
| $\Delta R_w$ | 0,0 dB |

### Bauteilaufbau

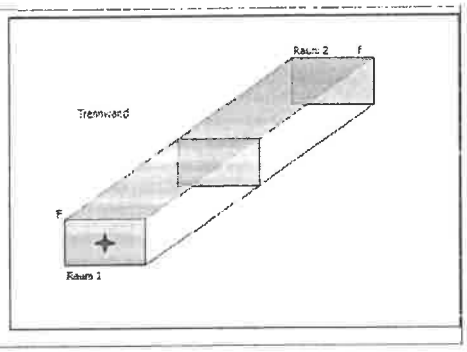
| Pos. Nr. | Bezeichnung | s mm | Dichte kg/m³ |
|---|---|---|---|
| 1 | Kalkgipsputz | 15,00 | 1400,00 |
| 2 | Vollblöcke_1800 mit NM | 240,00 | 1720,00 |
| 3 | Kalkgipsputz | 15,00 | 1400,00 |
| | | | |
| | | | |
| | **+ Vorsatzkonstruktion** | | |
| | keine Vorsatzschale vorhanden | | |
| | | | |

**Flanke 1 (Raum 2) ist identisch mit Raum 1!**

## Flanke 2 – Flankendecke

### Geometrie / Eigenschaften

| | | |
|---|---|---|
| Fläche Raum 1 | 32,9 m² | |
| Fläche Raum 2 | 32,9 m² | |
| Gemeinsame Kantenlänge | 4,4 m | |
| Flankenanbindung | T- Stoß | |
| Entkoppelt |  | Stoß nicht entkoppelt |
| Stoßstellenverbesserung | 0,0 dB | |




### Flanke Raum 1 – Betondecke 22

| | |
|---|---|
| Bauweise | Massiv |
| Masse der Grundkonstruktion | 540,0 kg/m² |
| $R_w$ | 62,2 dB |
| $\Delta R_w$ | 0,0 dB |

### Bauteilaufbau

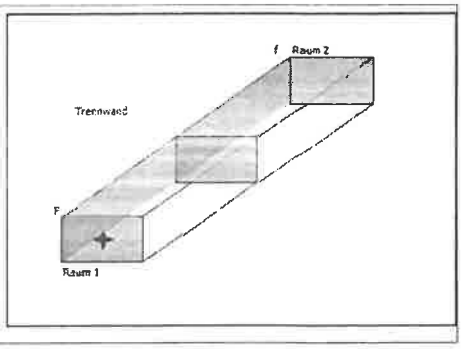
| Pos. Nr. | Bezeichnung | s mm | Dichte kg/m³ |
|---|---|---|---|
| 1 | Gipsputz | 10,00 | 1200,00 |
| 2 | Beton_2400 | 220,00 | 2400,00 |
| | | | |
| | | | |
| | **+ Vorsatzkonstruktion** | | |
| | keine Vorsatzschale vorhanden | | |
| | | | |

**Flanke 2 (Raum 2) ist identisch mit Raum 1!**

## Flanke 3 – Flankenwand

### Geometrie / Eigenschaften

| | | |
|---|---|---|
| Fläche Raum 1 | 18,8 m² | |
| Fläche Raum 2 | 18,8 m² | |
| Gemeinsame Kantenlänge | 2,5 m | |
| Flankenanbindung | X- Stoß | |
| Entkoppelt |  | Stoß nicht entkoppelt |
| Stoßstellenverbesserung | 0,0 dB | |




### Flanke Raum 1 – AW Thermstein_365_009

| | |
|---|---|
| Bauweise | Massiv |
| Mörtelart | mit Dünnbettmörtel |
| Masse der Grundkonstruktion | 255,0 kg/m² |
| $R_w$ | 52,2 dB |
| $\Delta R_w$ | 0,0 dB |

### Bauteilaufbau

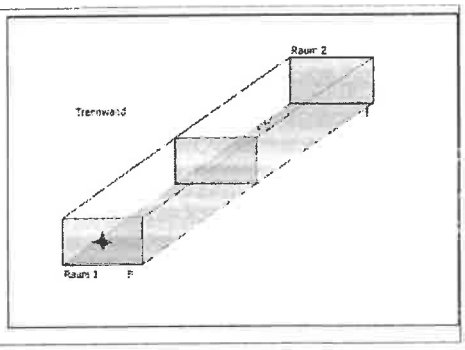
| Pos. Nr. | Bezeichnung | s mm | Dichte kg/m³ |
|---|---|---|---|
| 1 | Gipsputz | 15,00 | 1200,00 |
| 2 | Thermstein 009 | 365,00 | 550,00 |
| 3 | Gipsputz | 15,00 | 1200,00 |
| | | | |
| | | | |
| | **+ Vorsatzkonstruktion** | | |
| | keine Vorsatzschale vorhanden | | |
| | | | |

**Flanke 3 (Raum 2) ist identisch mit Raum 1!**

## Flanke 4 – Flankendecke

### Geometrie / Eigenschaften

| | | |
|---|---|---|
| Fläche Raum 1 | 32,9 m² | |
| Fläche Raum 2 | 32,9 m² | |
| Gemeinsame Kantenlänge | 4,4 m | |
| Flankenanbindung | X- Stoß | |
| Entkoppelt |  | Stoß nicht entkoppelt |
| Stoßstellenverbesserung | 0,0 dB | |




### Flanke Raum 1 – Betondecke 22

| | |
|---|---|
| Bauweise | Massiv |
| Masse der Grundkonstruktion | 540,0 kg/m² |
| $R_w$ | 62,2 dB |
| $\Delta R_w$ | 0,0 dB |

### Bauteilaufbau

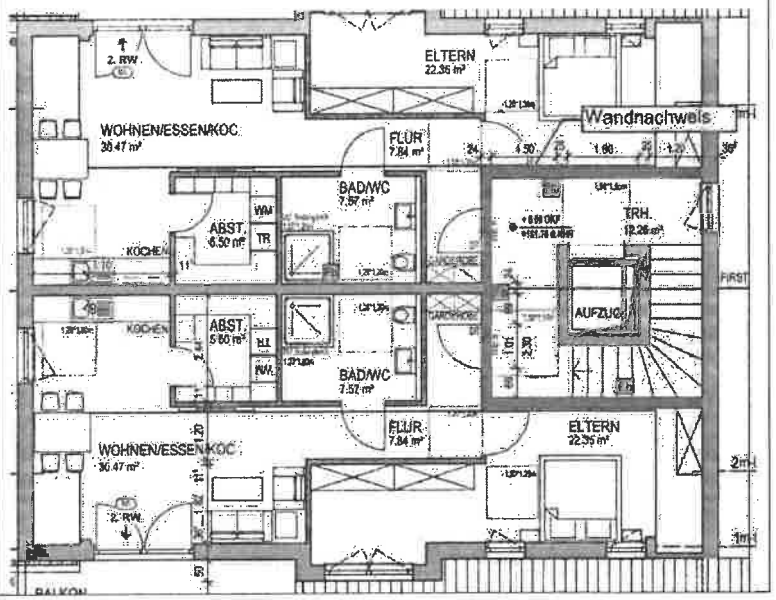
| Pos. Nr. | Bezeichnung | s mm | Dichte kg/m³ |
|---|---|---|---|
| 1 | Gipsputz | 10,00 | 1200,00 |
| 2 | Beton_2400 | 220,00 | 2400,00 |
| | | | |
| | | | |
| | **+ Vorsatzkonstruktion** | | |
| | keine Vorsatzschale vorhanden | | |
| | | | |

**Flanke 4 (Raum 2) ist identisch mit Raum 1!**

## Allgemeine Daten

| | |
|---|---|
| Positionsnummer | 3 |
| Bauteil | Trennwand |
| Lage | Dachgeschoss |
| Raumsituation | Wohnung / TH |
| Einbauzustand | Treppenraumwand |

Lage:




## Gesamtergebnis

| Standard Schallschutz DIN 4109 | Vorhanden | Zulässig | Anforderungen |
|---|---|---|---|
| Luftschall R'w ≥ erf. R'w | 56,4 | 53,0 | Anforderungen erfüllt! |

| Erhöhter Schallschutz DIN 4109, Beiblatt 2 | Vorhanden | Zulässig | Anforderungen |
|---|---|---|---|
| Luftschall R''w ≥ erf. R''w | 56,4 | 55,0 | Anforderungen erfüllt! |

## Ausführungsmerkmale

| Trennbauteil | |
|---|---|
| Grundkonstruktion | Trennwand Kalkgipsputz ,d= 15,00mm |
| Vorsatzschale | keine Vorsatzschale vorhanden |
| Vorsatzschale | keine Vorsatzschale vorhanden |
| **Flanken** | |
| Flanke 1 - Wand | Massiv, keine Vorsatzschale, Stoß nicht entkoppelt |
| Flanke 2 - Decke | keine Vorsatzschale, Stoß entkoppelt |
| Flanke 3 - Wand | Massiv, keine Vorsatzschale, Stoß nicht entkoppelt |
| Flanke 4 - Boden | Massiv, keine Vorsatzschale, Stoß nicht entkoppelt |

## Gesamtergebnis im Detail

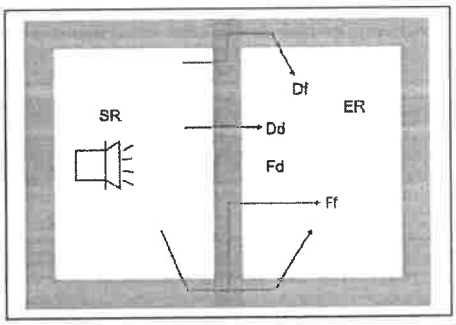
| DIN 4109 | |
|---|---|
| $R'_w$ | 58,4 dB |
| $u_{prog}$ | 2,0 dB |
| $R'_w - u_{prog}$ | 56,4 dB |
| $D_{n,w} - u_{prog}$ | 55,4 dB |
| **VDI 4100** | |
| Raum 1 > Raum 2 $D_{nT,w} - u_{prog}$ | 58,4 dB |
| Raum 2 > Raum 1 $D_{nT,w} - u_{prog}$ | 56,2 dB |

## Trennbauteil Ergebnis

| Luftschall | |
|---|---|
| $R_w$ | 61,1 dB |
| $\Delta R_{Dd,w}$ | 0,0 dB |
| $K_E$ | 0,0 dB |
| $R_{,Dd,w}$ | 61,1 dB |

## Flanken Ergebnisse

Flankenwege Grafik




| Weg Ff | F1 | F2 | F3 | F4 |
|---|---|---|---|---|
| $\Delta R_{Ff,w}$ | 0,0 dB | 0,0 dB | 0,0 dB | 0,0 dB |
| $K_{Ff}$ | 10,0 dB | 0,0 dB | 8,7 dB | 8,1 dB |
| $R_{Ff,w}$ | 69,2 dB | 79,5 dB | 76,8 dB | 74,3 dB |
| **Weg Fd** | **F1** | **F2** | **F3** | **F4** |
| $\Delta R_{Fd,w}$ | 0,0 dB | 0,0 dB | 0,0 dB | 0,0 dB |
| $K_{Fd}$ | 5,2 dB | 0,0 dB | 5,7 dB | 5,7 dB |
| $R_{Fd,w}$ | 68,8 dB | 0,0 dB | 73,8 dB | 71,3 dB |
| **Weg Df** | **F1** | **F2** | **F3** | **F4** |
| $\Delta R_{Df,w}$ | 0,0 dB | 0,0 dB | 0,0 dB | 0,0 dB |
| $K_{Df}$ | 5,2 dB | 0,0 dB | 5,7 dB | 5,7 dB |
| $R_{Df,w}$ | 68,8 dB | 0,0 dB | 73,8 dB | 71,3 dB |

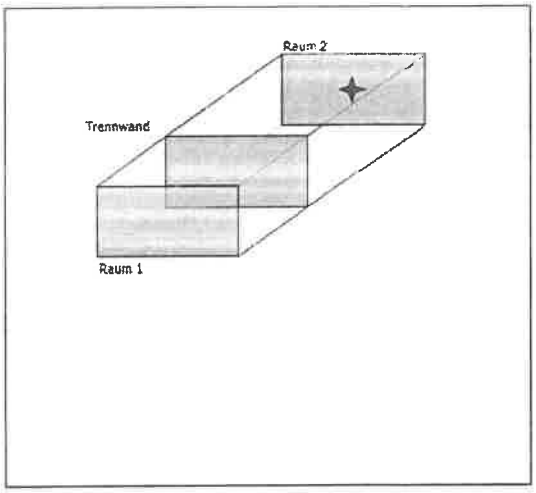
## Trennbauteil – TH_Wand VS 24

### Geometrie

| | |
|---|---|
| Raum 1 | Wohnen |
| Breite | 5,00 m |
| Länge | 3,00 m |
| Höhe | 2,50 m |
| Volumen | 37,50 m² |

| | |
|---|---|
| Raum 2 | TH |
| Breite | 5,00 m |
| Länge | 5,00 m |
| Höhe | 2,50 m |
| Volumen | 62,50 m² |

| | |
|---|---|
| Versatz Breite | 0,00 m |
| Versatz Länge | 0,00 m |




| | |
|---|---|
| Breite Trennbauteil | 5,00 m |
| Höhe Trennbauteil | 2,50 m |
| Fläche | 12,50 m² |

### Konstruktionsmerkmale

| | |
|---|---|
| Bauweise | Massiv |
| Mörtelart | mit Dünnbettmörtel |
| Masse der Grundkonstruktion | 498,0 kg/m² |
| $R_w$ | 61,1 dB |
| $\Delta R_w$ - Raum 1 | 0,0 dB |
| $\Delta R_w$ - Raum 2 | 0,0 dB |

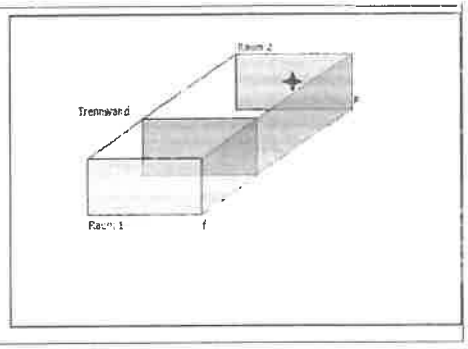
### Bauteilaufbau

| Pos. Nr. | Bezeichnung | s mm | Dichte kg/m³ |
|---|---|---|---|
| 1 | Kalkgipsputz | 15,00 | 1400,00 |
| 2 | Vollsteine_2000 NM | 240,00 | 1900,00 |
| 3 | Kalkgipsputz | 15,00 | 1400,00 |
| | | | |
| | | | |
| | **+ Vorsatzkonstruktion 1** | | |
| | keine Vorsatzschale vorhanden | | |
| | | | |
| | | | |
| | **+ Vorsatzkonstruktion 2** | | |
| | keine Vorsatzschale vorhanden | | |
| | | | |

## Flanke 1 – Flankenwand

### Geometrie / Eigenschaften

| | | |
|---|---|---|
| Fläche Raum 1 | 7,5 m² | |
| Fläche Raum 2 | 12,5 m² | |
| Gemeinsame Kantenlänge | 2,5 m | |
| Flankenanbindung | T- Stoß | |
| Entkoppelt |  | Stoß nicht entkoppelt |
| Stoßstellenverbesserung | 0,0 dB | |




### Flanke Raum 1 – AW Thermstein_365_009

| | |
|---|---|
| Bauweise | Massiv |
| Mörtelart | mit Dünnbettmörtel |
| Masse der Grundkonstruktion | 255,0 kg/m² |
| $R_w$ | 52,2 dB |
| $\Delta R_w$ | 0,0 dB |

### Bauteilaufbau

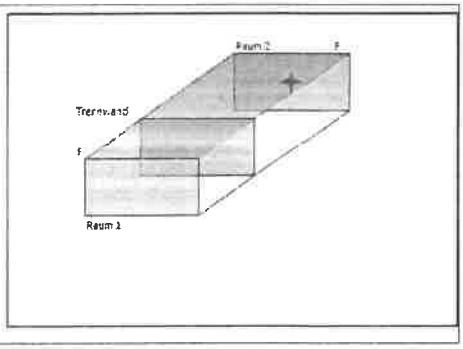
| Pos. Nr. | Bezeichnung | s mm | Dichte kg/m³ |
|---|---|---|---|
| 1 | Gipsputz | 15,00 | 1200,00 |
| 2 | Thermstein 009 | 365,00 | 550,00 |
| 3 | Gipsputz | 15,00 | 1200,00 |
| | | | |
| | | | |
| | **+ Vorsatzkonstruktion** | | |
| | keine Vorsatzschale vorhanden | | |
| | | | |

**Flanke 1 (Raum 2) ist identisch mit Raum 1!**

## Flanke 2 – Flankendecke

### Geometrie / Eigenschaften

| | | |
|---|---|---|
| Fläche Raum 1 | 15,0 m² | |
| Fläche Raum 2 | 25,0 m² | |
| Gemeinsame Kantenlänge | 5,0 m | |
| Flankenanbindung | T- Stoß | |
| Entkoppelt |  | Beide Flanken entkoppelt |
| Stoßstellenverbesserung | 6,0 dB | |




### Flanke Raum 1 – Dach EnEV2013

| | |
|---|---|
| Bauweise | Massiv |
| Mörtelart | mit Dünnbettmörtel |
| Masse der Grundkonstruktion | 255,0 kg/m² |
| $R_w$ | 79,5 dB |
| $\Delta R_w$ | 79,0 dB |

### Bauteilaufbau

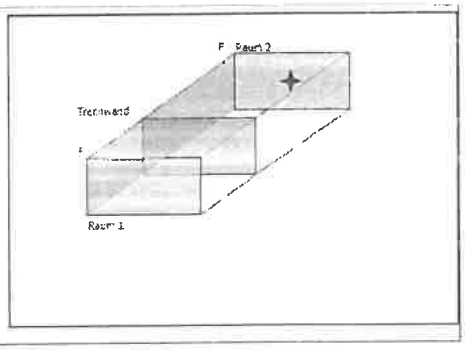
| Pos. Nr. | Bezeichnung | s mm | Dichte kg/m³ |
|---|---|---|---|
| 1 | Gipsputz | 15,00 | 1200,00 |
| 2 | Thermstein 009 | 365,00 | 550,00 |
| 3 | Gipsputz | 15,00 | 1200,00 |
| | | | |
| | | | |
| | **+ Vorsatzkonstruktion** | | |
| | keine Vorsatzschale vorhanden | | |
| | | | |

**Flanke 2 (Raum 2) ist identisch mit Raum 1!**

## Flanke 3 – Flankenwand

### Geometrie / Eigenschaften

| | | |
|---|---|---|
| Fläche Raum 1 | 7,5 m² | |
| Fläche Raum 2 | 12,5 m² | |
| Gemeinsame Kantenlänge | 2,5 m | |
| Flankenanbindung | X- Stoß | |
| Entkoppelt |  | Stoß nicht entkoppelt |
| Stoßstellenverbesserung | 0,0 dB | |



### Flanke Raum 1 – TH_Wand VS 24

| | |
|---|---|
| Bauweise | Massiv |
| Mörtelart | mit Dünnbettmörtel |
| Masse der Grundkonstruktion | 498,0 kg/m² |
| $R_w$ | 61,1 dB |
| $\Delta R_w$ | 0,0 dB |

### Bauteilaufbau

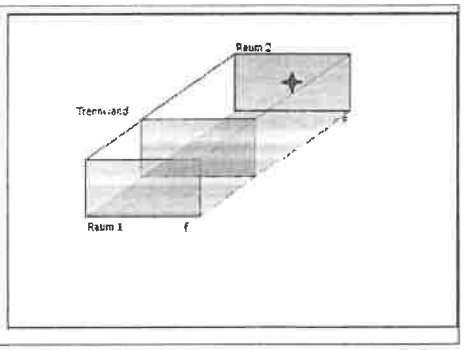
| Pos. Nr. | Bezeichnung | s mm | Dichte kg/m³ |
|---|---|---|---|
| 1 | Kalkgipsputz | 15,00 | 1400,00 |
| 2 | Vollsteine_2000 NM | 240,00 | 1900,00 |
| 3 | Kalkgipsputz | 15,00 | 1400,00 |
| | | | |
| | | | |
| | **+ Vorsatzkonstruktion** | | |
| | keine Vorsatzschale vorhanden | | |
| | | | |

**Flanke 3 (Raum 2) ist identisch mit Raum 1!**

## Flanke 4 – Flankendecke

### Geometrie / Eigenschaften

| | | |
|---|---|---|
| Fläche Raum 1 | 15,0 m² | |
| Fläche Raum 2 | 25,0 m² | |
| Gemeinsame Kantenlänge | 5,0 m | |
| Flankenanbindung | X- Stoß | |
| Entkoppelt |  | Stoß nicht entkoppelt |
| Stoßstellenverbesserung | 0,0 dB | |




### Flanke Raum 1 – Betondecke 22

| | |
|---|---|
| Bauweise | Massiv |
| Masse der Grundkonstruktion | 540,0 kg/m² |
| $R_w$ | 62,2 dB |
| $\Delta R_w$ | 0,0 dB |

### Bauteilaufbau

| Pos. Nr. | Bezeichnung | s mm | Dichte kg/m³ |
|---|---|---|---|
| 1 | Gipsputz | 10,00 | 1200,00 |
| 2 | Beton_2400 | 220,00 | 2400,00 |
| | | | |
| | | | |
| | **+ Vorsatzkonstruktion** | | |
| | keine Vorsatzschale vorhanden | | |
| | | | |

**Flanke 4 (Raum 2) ist identisch mit Raum 1!**

## Tür

### Aufbau

| | |
|---|---|
| Positionsnummer | 4 |
| Lage im Objekt | Tür zum Treppenhaus im Dachgeschoss |
| Konstruktionsart | Wohnungstüre zum Aufentha |
| Einbauzustand | Wohnungstür zum Aufenthaltsraum |

### Ergebnis

| **Luftschall** | |
|---|---|
| $R'_w$ | 42,0 dB |
| $u_{prog}$ | 5 dB |
| $R'_w - u_{prog}$ | 37,0 dB |

| **Standard Schallschutz DIN 4109** | **Vorhanden** | **Zulässig** | **Anforderungen** |
|---|---|---|---|
| Luftschall vorh. $R'_w \geq$ erf. $R'_w$ | 37,0 | 37,0 | Anforderungen erfüllt! |

| **Erhöhter Schallschutz DIN4109, Beiblatt 2DIN4109, Beiblatt 2** | **Vorhanden** | **Zulässig** | **Anforderungen** |
|---|---|---|---|
| Luftschall vorh. $R'_w \geq$ erf. $R'_w$ | 37,037,0 | 37,0 | Anforderungen erfüllt! |

## Tür

### Aufbau

| | |
|---|---|
| Positionsnummer | 5 |
| Lage im Objekt | Tür zum Treppenhaus Erdgeschoss / Obergeschoss |
| Konstruktionsart | Wohnungseingangstür erh. |
| Einbauzustand | Wohnungstür zum Wohnungsflur |

### Ergebnis

| **Luftschall** | |
|---|---|
| $R'_w$ | 37,0 dB |
| $u_{prog}$ | 5 dB |
| $R'_w - u_{prog}$ | 32,0 dB |

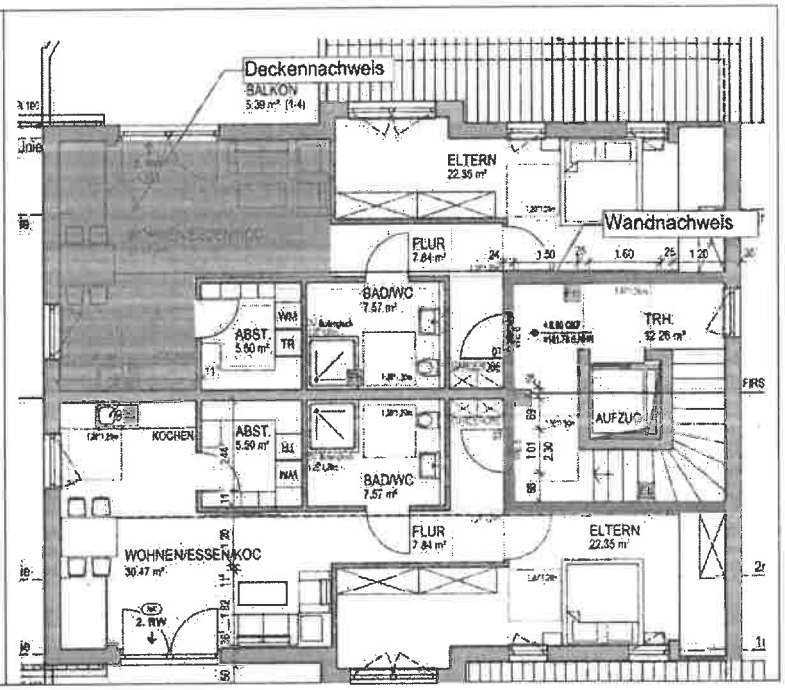
| **Standard Schallschutz DIN 4109** | **Vorhanden** | **Zulässig** | **Anforderungen** |
|---|---|---|---|
| Luftschall vorh. $R'_w \geq$ erf. $R'_w$ | 32,0 | 27,0 | Anforderungen erfüllt! |

| **Erhöhter Schallschutz DIN4109, Beiblatt 2DIN4109, Beiblatt 2** | **Vorhanden** | **Zulässig** | **Anforderungen** |
|---|---|---|---|
| Luftschall vorh. $R'_w \geq$ erf. $R'_w$ | 32,032,0 | 37,0 | Anforderungen nicht erfüllt! |

## Allgemeine Daten

| | |
|---|---|
| Positionsnummer | 6 |
| Bauteil | Trenndecke |
| Lage | Wohnung / Wohnung |
| Raumsituation | 1.OG / DG |
| Einbauzustand | Wohnungstrenndecken |

Lage:




## Gesamtergebnis

| Standard Schallschutz DIN 4109 | Vorhanden | Zulässig | Anforderungen |
|---|---|---|---|
| Luftschall $R'_w \geq$ erf. $R'_w$ | 60,2 | 54,0 | Anforderungen erfüllt! |
| Trittschall $L'_{n,w} \leq$ erf. $L'_{n,w}$ | 43,4 | 50,0 | Anforderungen erfüllt!! |

| Erhöhter Schallschutz VDI 4100 | Vorhanden | Zulässig | Anforderungen |
|---|---|---|---|
| Luftschall $D'_{nT,w} \geq$ erf. $D'_{nT,w}$ | 60,8 | 59,0 | VDI SSt2 erreicht! |
| Trittschall $L'_{nT,w} \leq$ erf. $L'_{nT,w}$ | 39,2 | 44,0 | VDI SSt2 erreicht! |

## Ausführungsmerkmale

| Trennbauteil | |
|---|---|
| Grundkonstruktion | Trenndecke Beton_2400 ,d= 220,00mm |
| Vorsatzschale | Mineralische Estrich (CA/MA/CT) 65mm, dyn. Steifigkeit: 20,0 MN/m³ |
| Vorsatzschale | keine Unterdecke vorhanden |
| **Flanken** | |
| Flanke 1 - Wand/Decke | Massiv, keine Vorsatzschale, Stoß entkoppelt |
| Flanke 2 - Decke/Wand | Massiv, keine Vorsatzschale, Stoß nicht entkoppelt |
| Flanke 3 - Wand/Wand | Massiv, keine Vorsatzschale, Stoß nicht entkoppelt |
| Flanke 4 - Wand/Wand | Massiv, keine Vorsatzschale, Stoß nicht entkoppelt |

## Gesamtergebnis im Detail

| DIN 4109 | |
|---|---|
| $R'_w$ | 62,2 dB |
| $u_{prog}$ | 2,0 dB |
| $R'_w - u_{prog}$ | 60,2 dB |
| $D_{n,w} - u_{prog}$ | 57,3 dB |
| $L'_{n,w} + u_{prog}$ | 43,4 dB |
| **VDI 4100** | |
| Raum 1 > Raum 2 $D_{nT,w} - u_{prog}$ | 61,5 dB |
| Raum 2 > Raum 1 $D_{nT,w} - u_{prog}$ | 60,8 dB |
| $L'_{nT,w}$ | 39,2 dB |

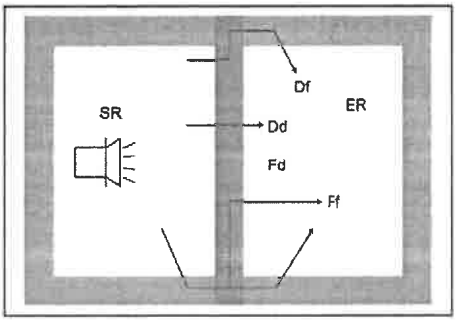
## Trennbauteil Ergebnis

| Luftschall | |
|---|---|
| $R_w$ | 62,2 dB |
| $\Delta R_{Dd,w}$ | 6,4 dB |
| $K_E$ | 0,0 dB |
| $R_{,Dd,w}$ | 68,6 dB |

| Trittschall | |
|---|---|
| $L_{,n,eq,0,w}$ | 68,4 dB |
| $\Delta L_w$ | 29,8 dB/ Korrekturwert = 1,8 |
| $L'_{n,w}$ | 40,4 dB |

## Flanken Ergebnisse

Flankenwege Grafik




| Weg Ff | F1 | F2 | F3 | F4 |
|---|---|---|---|---|
| $\Delta R_{Ff,w}$ | 0,0 dB | 0,0 dB | 0,0 dB | 0,0 dB |
| $K_{Ff}$ | 17,1 dB | 6,2 dB | 13,2 dB | 13,2 dB |
| $R_{Ff,w}$ | 81,2 dB | 73,7 dB | 71,9 dB | 71,8 dB |
| **Weg Fd** | **F1** | **F2** | **F3** | **F4** |
| $\Delta R_{Fd,w}$ | 0,0 dB | 0,0 dB | 0,0 dB | 0,0 dB |
| $K_{Fd}$ | 11,1 dB | 4,7 dB | 7,3 dB | 7,3 dB |
| $R_{Fd,w}$ | 75,2 dB | 73,3 dB | 71,0 dB | 70,9 dB |
| **Weg Df** | **F1** | **F2** | **F3** | **F4** |
| $\Delta R_{Df,w}$ | 6,4 dB | 6,4 dB | 6,4 dB | 6,4 dB |
| $K_{Df}$ | 11,1 dB | 4,7 dB | 7,3 dB | 7,3 dB |
| $R_{Df,w}$ | 86,2 dB | 78,6 dB | 77,4 dB | 77,3 dB |

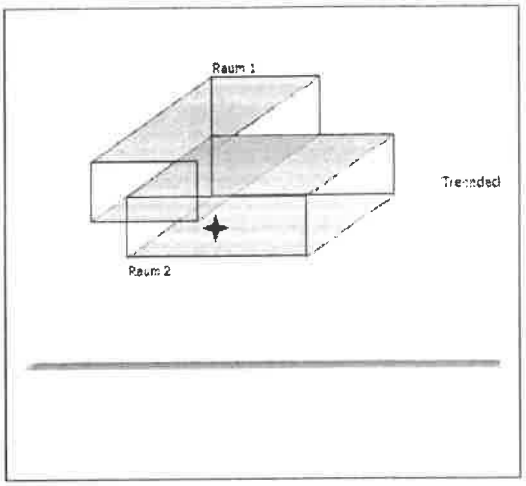
## Trennbauteil – Betondecke 22

### Geometrie

| | |
|---|---|
| Raum 1 | Wohnen / Kochen / Essen |
| Breite | 4,50 m |
| Länge | 6,22 m |
| Höhe | 2,50 m |
| Volumen | 69,97 m² |

| | |
|---|---|
| Raum 2 | Wohnen / Kochen / Essen |
| Breite | 7,51 m |
| Länge | 4,38 m |
| Höhe | 2,50 m |
| Volumen | 82,23 m² |

| | |
|---|---|
| Versatz Breite | 0,00 m |
| Versatz Länge | 0,00 m |




| | |
|---|---|
| Breite Trennbauteil | 4,50 m |
| Höhe Trennbauteil | 4,38 m |
| Fläche | 19,71 m² |

### Konstruktionsmerkmale

| | |
|---|---|
| Bauweise | Massiv |
| Masse der Grundkonstruktion | 540,0 kg/m² |
| $R_w$ | 62,2 dB |
| $\Delta R_w$ - Raum 1 | 6,4 dB |
| $\Delta R_w$ - Raum 2 | 0,0 dB |

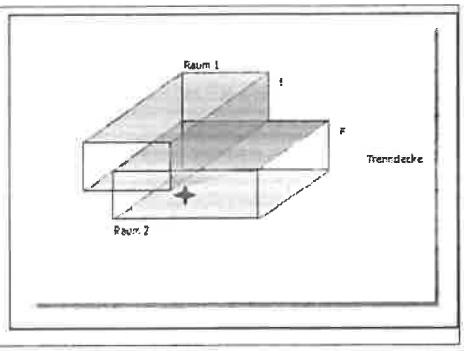
### Bauteilaufbau

| Pos. Nr. | Bezeichnung | s mm | Dichte kg/m³ |
|---|---|---|---|
| 1 | Gipsputz | 10,00 | 1200,00 |
| 2 | Beton_2400 | 220,00 | 2400,00 |
| | | | |
| | | | |
| | **+ Vorsatzkonstruktion 1** | | |
| | Mineralische Estrich (CA/MA/CT) 65mm | | 130,00 kg/m² |
| | Dynamische Steifigkeit | | 20,0 MN/m³ |
| | | | 0,0 dB |
| | **+ Vorsatzkonstruktion 2** | | |
| | keine Unterdecke vorhanden | | |
| | | | |

## Flanke 1 – Flankenwand/Flankendecke

### Geometrie / Eigenschaften

| | | |
|---|---|---|
| Fläche Raum 1 | 15,6 m² | |
| Fläche Raum 2 | 13,2 m² | |
| Gemeinsame Kantenlänge | 4,4 m | |
| Flankenanbindung | T- Stoß | |
| Entkoppelt | | Beide Flanken entkoppelt |
| Stoßstellenverbesserung | 6,0 dB | |




### Flanke Raum 1 – IW_TW_TB_125

| | |
|---|---|
| Bauweise | Massiv |
| Mörtelart | 540,0 kg/m² |
| Masse der Grundkonstruktion | 40,0 kg/m² |
| $R_w$ | 53,0 dB |
| $\Delta R_w$ | 0,0 dB |

### Bauteilaufbau

| Pos. Nr. | Bezeichnung | s mm | Dichte kg/m³ |
|---|---|---|---|
| 1 | Gipskartonplatten | 12,50 | 900,00 |
| 2 | Gipskartonplatten | 12,50 | 900,00 |
| 3 | Mineralfaser_040 | 80,00 | 8,00 |
| 4 | Gipskartonplatten | 12,50 | 900,00 |
| 5 | Gipskartonplatten | 12,50 | 900,00 |
| | | | |
| | | | |
| | **+ Vorsatzkonstruktion** | | |
| | keine Vorsatzschale vorhanden | | |
| | | | |

### Flanke 1 Raum 2 – Betondecke 22

| | |
|---|---|
| Bauweise | Massiv |
| Masse der Grundkonstruktion | 540,0 kg/m² |
| $R_w$ | 62,2 dB |
| $\Delta R_w$ | 0,0 dB |

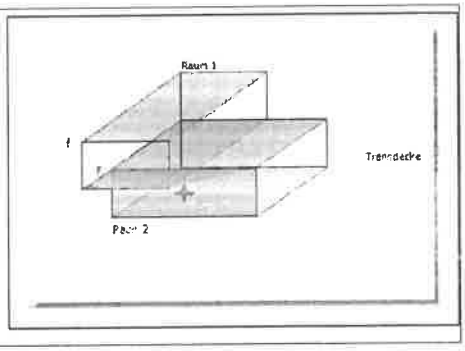
### Bauteilaufbau

| Pos. Nr. | Bezeichnung | s mm | Dichte kg/m³ |
|---|---|---|---|
| 1 | Gipsputz | 10,00 | 1200,00 |
| 2 | Beton_2400 | 220,00 | 2400,00 |
| | | | |
| | | | |
| | **+ Vorsatzkonstruktion** | | |
| | keine Vorsatzschale vorhanden | | |
| | | | |

## Flanke 2 – Flankendecke/Flankenwand

### Geometrie / Eigenschaften

| | | |
|---|---|---|
| Fläche Raum 1 | 8,3 m² | |
| Fläche Raum 2 | 18,8 m² | |
| Gemeinsame Kantenlänge | 4,5 m | |
| Flankenanbindung | T- Stoß | |
| Entkoppelt |  | Stoß nicht entkoppelt |
| Stoßstellenverbesserung | 0,0 dB | |




### Flanke Raum 1 – Betondecke 22

| | |
|---|---|
| Bauweise | Massiv |
| Masse der Grundkonstruktion | 540,0 kg/m² |
| $R_w$ | 62,2 dB |
| $\Delta R_w$ | 0,0 dB |

### Bauteilaufbau

| Pos. Nr. | Bezeichnung | s mm | Dichte kg/m³ |
|---|---|---|---|
| 1 | Gipsputz | 10,00 | 1200,00 |
| 2 | Beton_2400 | 220,00 | 2400,00 |
| | | | |
| | | | |
| | **+ Vorsatzkonstruktion** | | |
| | keine Vorsatzschale vorhanden | | |
| | | | |

### Flanke 2 Raum 2 – IW Bims 24-1,8

| | |
|---|---|
| Bauweise | Massiv |
| Mörtelart | mit Normalmörtel gemauert |
| Masse der Grundkonstruktion | 454,8 kg/m² |
| $R_w$ | 59,9 dB |
| $\Delta R_w$ | 0,0 dB |

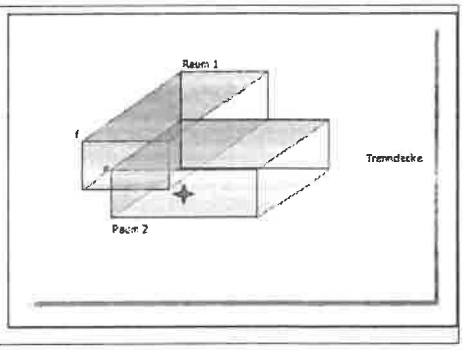
### Bauteilaufbau

| Pos. Nr. | Bezeichnung | s mm | Dichte kg/m³ |
|---|---|---|---|
| 1 | Kalkgipsputz | 15,00 | 1400,00 |
| 2 | Vollblöcke_1800 mit NM | 240,00 | 1720,00 |
| 3 | Kalkgipsputz | 15,00 | 1400,00 |
| | | | |
| | | | |
| | **+ Vorsatzkonstruktion** | | |
| | keine Vorsatzschale vorhanden | | |
| | | | |

## Flanke 3 – Flankenwand/Flankenwand

### Geometrie / Eigenschaften

| | | |
|---|---|---|
| Fläche Raum 1 | 15,6 m² | |
| Fläche Raum 2 | 11,0 m² | |
| Gemeinsame Kantenlänge | 4,4 m | |
| Flankenanbindung | X- Stoß | |
| Entkoppelt |  | Stoß nicht entkoppelt |
| Stoßstellenverbesserung | 0,0 dB | |




### Flanke Raum 1 – AW Thermstein_365_009

| | |
|---|---|
| Bauweise | Massiv |
| Mörtelart | mit Dünnbettmörtel |
| Masse der Grundkonstruktion | 255,0 kg/m² |
| $R_w$ | 52,2 dB |
| $\Delta R_w$ | 0,0 dB |

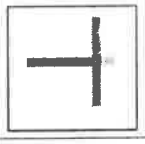
### Bauteilaufbau

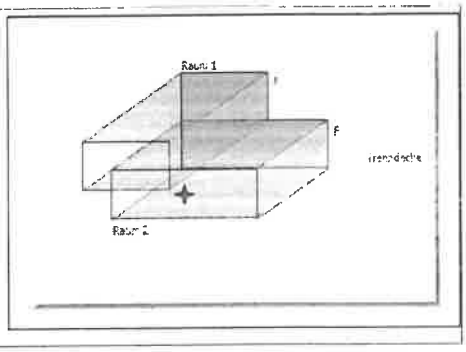
| Pos. Nr. | Bezeichnung | s mm | Dichte kg/m³ |
|---|---|---|---|
| 1 | Gipsputz | 15,00 | 1200,00 |
| 2 | Thermstein 009 | 365,00 | 550,00 |
| 3 | Gipsputz | 15,00 | 1200,00 |
| | | | |
| | | | |
| | **+ Vorsatzkonstruktion** | | |
| | keine Vorsatzschale vorhanden | | |
| | | | |

**Flanke 3 (Raum 2) ist identisch mit Raum 1!**

## Flanke 4 – Flankenwand/Flankenwand

### Geometrie / Eigenschaften

| | | |
|---|---|---|
| Fläche Raum 1 | 11,3 m² | |
| Fläche Raum 2 | 18,8 m² | |
| Gemeinsame Kantenlänge | 4,5 m | |
| Flankenanbindung | X- Stoß | |
| Entkoppelt |  | Stoß nicht entkoppelt |
| Stoßstellenverbesserung | 0,0 dB | |




### Flanke Raum 1 – AW Thermstein_365_009

| | |
|---|---|
| Bauweise | Massiv |
| Mörtelart | mit Dünnbettmörtel |
| Masse der Grundkonstruktion | 255,0 kg/m² |
| $R_w$ | 52,2 dB |
| $\Delta R_w$ | 0,0 dB |

### Bauteilaufbau

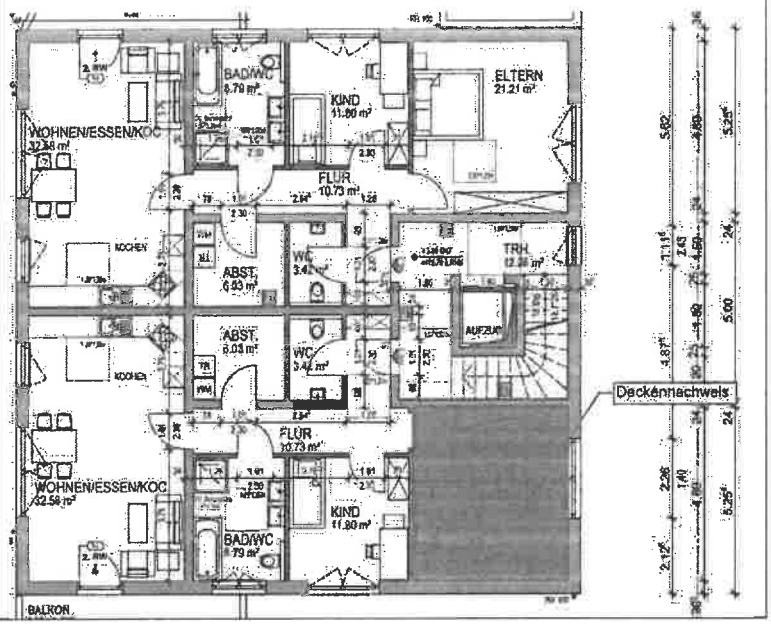
| Pos. Nr. | Bezeichnung | s mm | Dichte kg/m³ |
|---|---|---|---|
| 1 | Gipsputz | 15,00 | 1200,00 |
| 2 | Thermstein 009 | 365,00 | 550,00 |
| 3 | Gipsputz | 15,00 | 1200,00 |
| | | | |
| | | | |
| | **+ Vorsatzkonstruktion** | | |
| | keine Vorsatzschale vorhanden | | |
| | | | |

**Flanke 4 (Raum 2) ist identisch mit Raum 1!**

## Allgemeine Daten

| | |
|---|---|
| Positionsnummer | 7 |
| Bauteil | Trenndecke |
| Lage | EG / 1 OG |
| Raumsituation | Wohnung / Wohnung |
| Einbauzustand | Wohnungstrenndecken |

Lage:




## Gesamtergebnis

| Standard Schallschutz DIN 4109 | Vorhanden | Zulässig | Anforderungen |
|---|---|---|---|
| Luftschall $R'_w \geq$ erf. $R'_w$ | 61,0 | 54,0 | Anforderungen erfüllt! |
| Trittschall $L'_{n,w} \leq$ erf. $L'_{n,w}$ | 43,9 | 50,0 | Anforderungen erfüllt!! |

| Erhöhter Schallschutz VDI 4100 | Vorhanden | Zulässig | Anforderungen |
|---|---|---|---|
| Luftschall $D'_{nT,w} \geq$ erf. $D'_{nT,w}$ | 60,0 | 59,0 | VDI SSt2 erreicht! |
| Trittschall $L'_{nT,w} \leq$ erf. $L'_{nT,w}$ | 41,0 | 44,0 | VDI SSt2 erreicht! |

## Ausführungsmerkmale

| Trennbauteil | |
|---|---|
| Grundkonstruktion | Trenndecke Beton_2400 ,d= 220,00mm |
| Vorsatzschale | Mineralische Estrich (CA/MA/CT) 65mm, dyn. Steifigkeit: 20,0 MN/m³ |
| Vorsatzschale | keine Unterdecke vorhanden |
| **Flanken** | |
| Flanke 1 - Wand/Wand | Massiv, keine Vorsatzschale, Stoß nicht entkoppelt |
| Flanke 2 - Wand/Wand | Massiv, keine Vorsatzschale, Stoß entkoppelt |
| Flanke 3 - Wand/Wand | Massiv, keine Vorsatzschale, Stoß nicht entkoppelt |
| Flanke 4 - Wand/Wand | Massiv, keine Vorsatzschale, Stoß nicht entkoppelt |

## Gesamtergebnis im Detail

| DIN 4109 | |
|---|---|
| $R'_w$ | 63,0 dB |
| $u_{prog}$ | 2,0 dB |
| $R'_w$ - $u_{prog}$ | 61,0 dB |
| $D_{n,w}$ - $u_{prog}$ | 57,1 dB |
| $L'_{n,w}$ + $u_{prog}$ | 43,9 dB |
| **VDI 4100** | |
| Raum 1 > Raum 2 $D_{nT,w}$ - $u_{prog}$ | 60,0 dB |
| Raum 2 > Raum 1 $D_{nT,w}$ - $u_{prog}$ | 60,0 dB |
| $L'_{nT,w}$ | 41,0 dB |

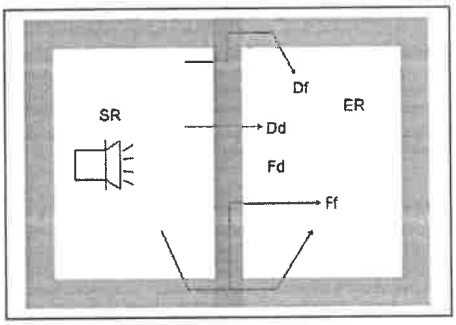
## Trennbauteil Ergebnis

| Luftschall | |
|---|---|
| $R_w$ | 62,2 dB |
| $\Delta R_{Dd,w}$ | 6,4 dB |
| $K_E$ | 0,0 dB |
| $R_{,Dd,w}$ | 68,6 dB |

| Trittschall | |
|---|---|
| $L_{,n,eq,0,w}$ | 68,4 dB |
| $\Delta L_w$ | 29,8 dB/ Korrekturwert = 2,3 |
| $L'_{n,w}$ | 40,9 dB |

## Flanken Ergebnisse

Flankenwege Grafik




| Weg Ff | F1 | F2 | F3 | F4 |
|---|---|---|---|---|
| $\Delta R_{Ff,w}$ | 0,0 dB | 0,0 dB | 0,0 dB | 0,0 dB |
| $K_{Ff}$ | 13,2 dB | 34,0 dB | 9,3 dB | 13,2 dB |
| $R_{Ff,w}$ | 72,4 dB | 93,9 dB | 77,4 dB | 72,3 dB |
| **Weg Fd** | **F1** | **F2** | **F3** | **F4** |
| $\Delta R_{Fd,w}$ | 0,0 dB | 0,0 dB | 0,0 dB | 0,0 dB |
| $K_{Fd}$ | 7,3 dB | 18,0 dB | 5,7 dB | 7,3 dB |
| $R_{Fd,w}$ | 71,5 dB | 82,5 dB | 74,3 dB | 71,4 dB |
| **Weg Df** | **F1** | **F2** | **F3** | **F4** |
| $\Delta R_{Df,w}$ | 6,4 dB | 6,4 dB | 6,4 dB | 6,4 dB |
| $K_{Df}$ | 7,3 dB | 18,0 dB | 5,7 dB | 7,3 dB |
| $R_{Df,w}$ | 77,9 dB | 88,9 dB | 80,7 dB | 77,8 dB |

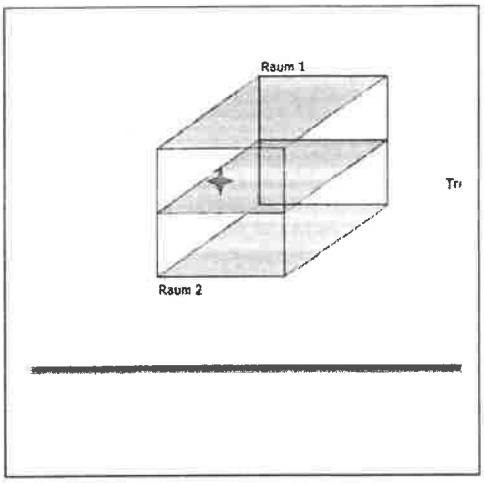
## Trennbauteil – Betondecke 22

### Geometrie

| | |
|---|---|
| Raum 1 | Schlafen |
| Breite | 4,99 m |
| Länge | 4,89 m |
| Höhe | 2,50 m |
| Volumen | 61,00 m² |

| | |
|---|---|
| Raum 2 | Schlafen |
| Breite | 4,99 m |
| Länge | 4,89 m |
| Höhe | 2,50 m |
| Volumen | 61,00 m² |

| | |
|---|---|
| Versatz Breite | 0,00 m |
| Versatz Länge | 0,00 m |




| | |
|---|---|
| Breite Trennbauteil | 4,99 m |
| Höhe Trennbauteil | 4,89 m |
| Fläche | 24,40 m² |

### Konstruktionsmerkmale

| | |
|---|---|
| Bauweise | Massiv |
| Masse der Grundkonstruktion | 540,0 kg/m² |
| $R_w$ | 62,2 dB |
| $\Delta R_w$ - Raum 1 | 6,4 dB |
| $\Delta R_w$ - Raum 2 | 0,0 dB |

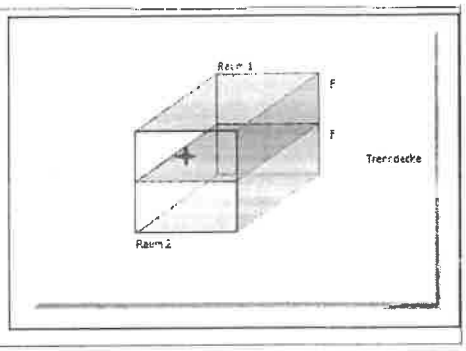
### Bauteilaufbau

| Pos. Nr. | Bezeichnung | s mm | Dichte kg/m³ |
|---|---|---|---|
| 1 | Gipsputz | 10,00 | 1200,00 |
| 2 | Beton_2400 | 220,00 | 2400,00 |
| | | | |
| | | | |
| | **+ Vorsatzkonstruktion 1** | | |
| | Mineralische Estrich (CA/MA/CT) 65mm | | 130,00 kg/m² |
| | Dynamische Steifigkeit | | 20,0 MN/m³ |
| | | | 0,0 dB |
| | **+ Vorsatzkonstruktion 2** | | |
| | keine Unterdecke vorhanden | | |
| | | | |

## Flanke 1 – Flankenwand/Flankenwand

### Geometrie / Eigenschaften

| | | |
|---|---|---|
| Fläche Raum 1 | 12,2 m² | |
| Fläche Raum 2 | 12,2 m² | |
| Gemeinsame Kantenlänge | 4,9 m | |
| Flankenanbindung | X- Stoß | |
| Entkoppelt |  | Stoß nicht entkoppelt |
| Stoßstellenverbesserung | 0,0 dB | |




### Flanke Raum 1 – AW Thermstein_365_009

| | |
|---|---|
| Bauweise | Massiv |
| Mörtelart | mit Dünnbettmörtel |
| Masse der Grundkonstruktion | 255,0 kg/m² |
| $R_w$ | 52,2 dB |
| $\Delta R_w$ | 0,0 dB |

### Bauteilaufbau

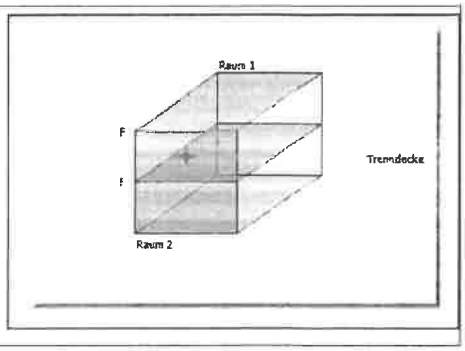
| Pos. Nr. | Bezeichnung | s mm | Dichte kg/m³ |
|---|---|---|---|
| 1 | Gipsputz | 15,00 | 1200,00 |
| 2 | Thermstein 009 | 365,00 | 550,00 |
| 3 | Gipsputz | 15,00 | 1200,00 |
| | | | |
| | | | |
| | **+ Vorsatzkonstruktion** | | |
| | keine Vorsatzschale vorhanden | | |
| | | | |

**Flanke 1 (Raum 2) ist identisch mit Raum 1!**

## Flanke 2 – Flankenwand/Flankenwand

### Geometrie / Eigenschaften

| | | |
|---|---|---|
| Fläche Raum 1 | 12,5 m² | |
| Fläche Raum 2 | 12,5 m² | |
| Gemeinsame Kantenlänge | 5,0 m | |
| Flankenanbindung | X- Stoß | |
| Entkoppelt |  | Beide Flanken entkoppelt |
| Stoßstellenverbesserung | 6,0 dB | |




### Flanke Raum 1 – IW_TW_TB_125

| | |
|---|---|
| Bauweise | Massiv |
| Mörtelart | mit Dünnbettmörtel |
| Masse der Grundkonstruktion | 40,0 kg/m² |
| $R_w$ | 53,0 dB, Eigene Eingabe |
| $\Delta R_w$ | 0,0 dB |

### Bauteilaufbau

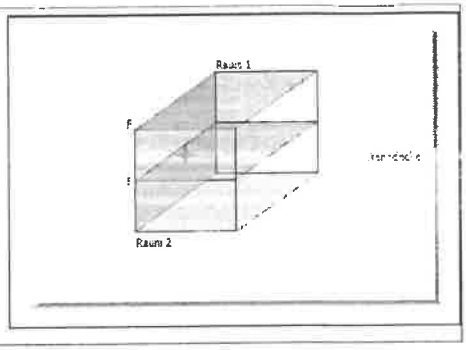
| Pos. Nr. | Bezeichnung | s mm | Dichte kg/m³ |
|---|---|---|---|
| 1 | Gipskartonplatten | 12,50 | 900,00 |
| 2 | Gipskartonplatten | 12,50 | 900,00 |
| 3 | Mineralfaser_040 | 80,00 | 8,00 |
| 4 | Gipskartonplatten | 12,50 | 900,00 |
| 5 | Gipskartonplatten | 12,50 | 900,00 |
| | | | |
| | | | |
| | **+ Vorsatzkonstruktion** | | |
| | keine Vorsatzschale vorhanden | | |
| | | | |

**Flanke 2 (Raum 2) ist identisch mit Raum 1!**

## Flanke 3 – Flankenwand/Flankenwand

### Geometrie / Eigenschaften

| | | |
|---|---|---|
| Fläche Raum 1 | 12,2 m² | |
| Fläche Raum 2 | 12,2 m² | |
| Gemeinsame Kantenlänge | 4,9 m | |
| Flankenanbindung | X- Stoß | |
| Entkoppelt |  | Stoß nicht entkoppelt |
| Stoßstellenverbesserung | 0,0 dB | |




### Flanke Raum 1 – TH_Wand VS 24

| | |
|---|---|
| Bauweise | Massiv |
| Mörtelart | mit Dünnbettmörtel |
| Masse der Grundkonstruktion | 498,0 kg/m² |
| $R_w$ | 61,1 dB |
| $\Delta R_w$ | 0,0 dB |

### Bauteilaufbau

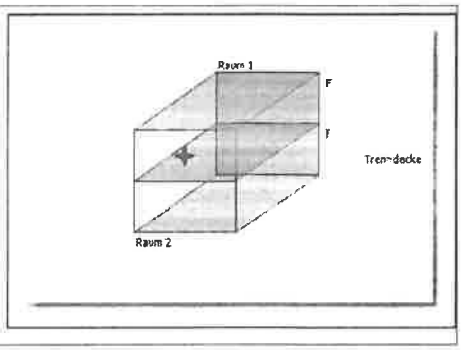
| Pos. Nr. | Bezeichnung | s mm | Dichte kg/m³ |
|---|---|---|---|
| 1 | Kalkgipsputz | 15,00 | 1400,00 |
| 2 | Vollsteine_2000 NM | 240,00 | 1900,00 |
| 3 | Kalkgipsputz | 15,00 | 1400,00 |
| | | | |
| | | | |
| | **+ Vorsatzkonstruktion** | | |
| | keine Vorsatzschale vorhanden | | |
| | | | |

**Flanke 3 (Raum 2) ist identisch mit Raum 1!**

## Flanke 4 – Flankenwand/Flankenwand

### Geometrie / Eigenschaften

| | | |
|---|---|---|
| Fläche Raum 1 | 12,5 m² | |
| Fläche Raum 2 | 12,5 m² | |
| Gemeinsame Kantenlänge | 5,0 m | |
| Flankenanbindung | X- Stoß | |
| Entkoppelt |  | Stoß nicht entkoppelt |
| Stoßstellenverbesserung | 0,0 dB | |




### Flanke Raum 1 – AW Thermstein_365_009

| | |
|---|---|
| Bauweise | Massiv |
| Mörtelart | mit Dünnbettmörtel |
| Masse der Grundkonstruktion | 255,0 kg/m² |
| $R_w$ | 52,2 dB |
| $\Delta R_w$ | 0,0 dB |

### Bauteilaufbau

| Pos. Nr. | Bezeichnung | s mm | Dichte kg/m³ |
|---|---|---|---|
| 1 | Gipsputz | 15,00 | 1200,00 |
| 2 | Thermstein 009 | 365,00 | 550,00 |
| 3 | Gipsputz | 15,00 | 1200,00 |
| | | | |
| | | | |
| | **+ Vorsatzkonstruktion** | | |
| | keine Vorsatzschale vorhanden | | |
| | | | |

**Flanke 4 (Raum 2) ist identisch mit Raum 1!**

## Treppenpodest

### Aufbau

| | |
|---|---|
| Positionsnummer | 8 |
| Konstruktionsart | Treppenpodest, Schlafraum / Treppenhaus |
| Einbauzustand | fest verb. mit einschal. biegest. Wand |
| Volumen des schutzbedürftigen Raumes | - |
| Schwimmender Estrich vorhanden | Ja |
| Bodenbelag vorhanden | Nein |

### Trittschall Verbesserung

| | |
|---|---|
| Mineralische Estrich (CA/MA/CT) 65mm | 130 kg/m² |
| EPS 25-2, s'=20MN/m³,zul.Verkehrsl.4kN/m² | 20 MN/m³ |
| kein Bodenbelag vorhanden | |
| | |

### Ergebnis

| **Trittschall** | |
|---|---|
| $L_{,n,eq,0,w}$ | 63,0 dB |
| $\Delta L_w$ | 29,8 dB |
| $L'_{n,w}$ | 33,2 dB |
| $u_{prog}$ | 3 dB |
| $L'_{n,w} + u_{prog}$ | 36,2 dB |
| $L'_{nT,w} + u_{prog}$ | 0,0 dB |

| **Standard Schallschutz DIN 4109** | **Vorhanden** | **Zulässig** | **Anforderungen** |
|---|---|---|---|
| Trittschall vorh. $L'_{n,w} \leq$ erf. $L'_{n,w}$ | 36,2 | 53,0 | Anforderungen erfüllt!! |

| **Erhöhter Schallschutz VDI 4100** | **Vorhanden** | **Zulässig** | **Anforderungen** |
|---|---|---|---|
| Trittschall $L'_{n,w} \leq$ erf. $L'_{n,w}$ | 0 | 37,0 | VDI SSt3 erreicht! |

## Treppenlauf

### Aufbau

| | |
|---|---|
| Positionsnummer | 10 |
| Konstruktionsart | Treppenlauf mit Tronsole, Wohnraum / Treppenhaus |
| Einbauzustand | abgesetzt von einschal. biegest. Wand, Schöck Tronsole Typ T und Typ B und Typ |
| Volumen des schutzbedürftigen Raumes | - |
| Schwimmender Estrich vorhanden | Nein |
| Bodenbelag vorhanden | Nein |

### Trittschall Verbesserung - eigene Vorgabe

### Ergebnis

| Trittschall | |
|---|---|
| $L_{,n,eq,0,w}$ | 64,0 dB |
| $\Delta L_w$ - eigene Eingabe | 24,0 dB |
| $L'_{n,w}$ | 40,0 dB |
| $u_{prog}$ | 3 dB |
| $L'_{n,w} + u_{prog}$ | 43,0 dB |
| $L'_{nT,w} + u_{prog}$ | 0,0 dB |

| Standard Schallschutz DIN 4109 | Vorhanden | Zulässig | Anforderungen |
|---|---|---|---|
| Trittschall vorh. $L'_{n,w} \leq$ erf. $L'_{n,w}$ | 43,0 | 53,0 | Anforderungen erfüllt!! |

| Erhöhter Schallschutz VDI 4100 | Vorhanden | Zulässig | Anforderungen |
|---|---|---|---|
| Trittschall $L'_{n,w} \leq$ erf. $L'_{n,w}$ | 0 | 37,0 | VDI SSt3 erreicht! |

**Produktmerkmale**

- Bewertete Podest-Trittschallpegeldifferenz $\Delta L'_{wR,w}$ ≥ 28 dB, geprüft nach DIN 7396 bei Maximallast; Prüfberichte Nr. 91386-10 und 91386-11; (Erläuterung des Wertes $\Delta C_{wR,w}$ siehe Seite 14)
- Hochwertiges und effizientes Elastomerlager Elodur® für punktförmigen Anschluss
- Mit allgemeiner bauaufsichtlicher DIBt-Zulassung unter der Nr. Z-15.7-311
- Feuerwiderstandsklasse R 90 bis maximal 65 mm Fugenbreite durch optional erhältliche Brandschutzmanschetten (Brandschutzgutachten Nr. GS 3.2/13-390-1)
- Fugenbreiten bis maximal 100 mm realisierbar
- Drehbares Tragelement ermöglicht die Ausrichtung der Laufhülse parallel zur Laufbewehrung

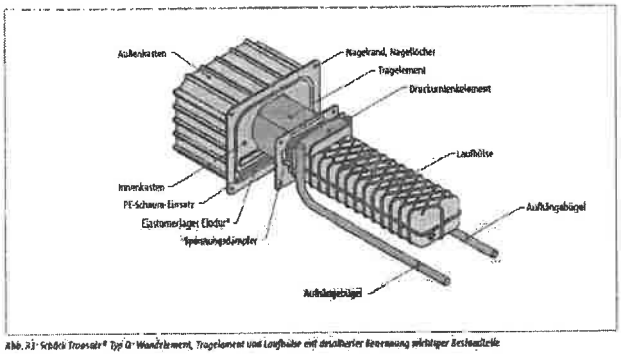



Abb. 23: Schöck Tronsole® Typ D: Wandelement, Tragelement und Laufhülse mit drallfester Bewehrung mitliefer Bestandteile

## Produktmerkmale | Produktdesign

**Produktmerkmale Tronsole® Typ B**

- Bewertete Lauf-Trittschallpegeldifferenz $\Delta L^*_{w,Lauf} \geq 26$ dB bei Typ B-V2; $\Delta L^*_{w,Lauf} \geq 28$ dB bei Typ B-V1, geprüft nach DIN 7396 bei Maximallast; Prüfberichte Nr. 91386-04 bis 91386-06; (Erläuterung des Wertes $\Delta L^*_{w,Lauf}$ siehe Seite 14)
- Hochwertiges und effizientes Elastomerlager Elodur® für linienförmigen Anschluss
- Sichere Befestigung am Fertigteiltreppenlauf durch Montageklebeband
- Hochwertige und leicht zuschneidbare PE-Schaum-Platte

**Produktmerkmale Tronsole® Typ D**

- Einfluss auf die Trittschalldämmung ist bereits in den akustischen Kennwerten von Typ B enthalten
- Dorn zur konstruktiven Lagesicherung zwischen Treppenlauf und Bodenplatte
- Aus hochwertigem Edelstahl mit Elastomerkappe
- Optionale Einbauhülse

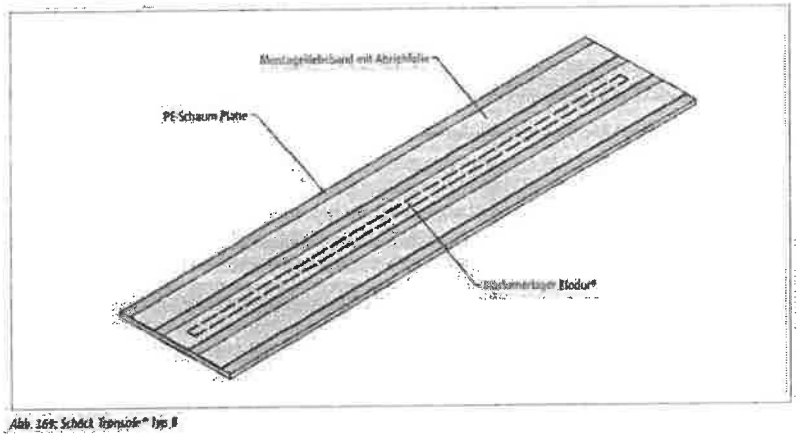



*Abb. 19: Schöck Tronsole® Typ B*

## Produktmerkmale | Produktdesign

**Produktmerkmale**

- Bewertete Lauf-Trittschallpegeldifferenz $\Delta L^*_{w,Lauf} \geq 25$ dB bei Typ T-V8; $\Delta L^*_{w,Lauf} \geq 28$ dB bei Typ T-V2, geprüft nach DIN 7396 bei Maximallast; Prüfberichte Nr. 91386-07 und 91386-08; (Erläuterung des Wertes $\Delta L^*_{w,Lauf}$ siehe Seite 14)
- Elastomerlager Elodur® in den Tragkonsolen zur akustischen Entkopplung
- Mit allgemeiner bauaufsichtlicher DIBt-Zulassung Nr. Z-15.7-310
- Feuerwiderstandsklasse R 90
- Einfacher, schneller und sicherer Einbau mittels Nagelleisten ermöglicht ein gerades Fugenbild

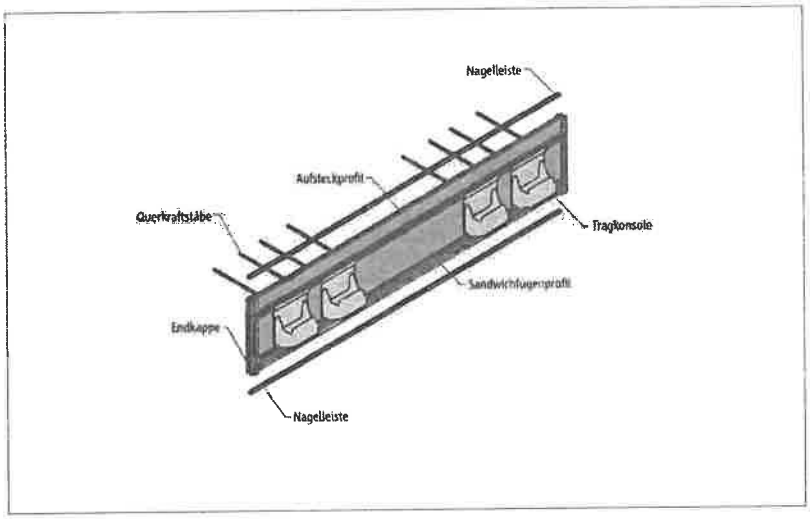



*Abb. 20: Schöck Tronsole® Typ T*

Anlage 4

Anlage zur Urkunde des Notars
Marc C. Lehmann in Bad Münstereifel
UVz. Nr. 0978/2022

**info@vm-metzen.de**

| | |
|---|---|
| **Von:** | Rosing <rosing@komsthoeft.de> |
| **Gesendet:** | Dienstag, 18. Januar 2022 12:37 |
| **An:** | info@vm-metzen.de |
| **Betreff:** | Metzen Boenerstr. BEG55ee |
| **Anlagen:** | 20220115_BEG55ee_Metzen_Boenerstr_EU.pdf |

Sehr geehrter Herr Koch,

anbei erhalten Sie unseren GEG-Berechnungsnachweis zur weiteren Verwendung.

--
Mit freundlichen Grüßen


Jutta Rosing

Norbert Komsthöft

**Sachverständigenbüro für Bauphysik und Schäden an Gebäuden**

**Moselstrasse 77**
**53909 Zülpich**
**Tel.:+49 2252 9549541**
**Fax:+49 2252 835798**

**Dr.Gottfried-Cremer-Allee 29**
**50226 Frechen**
**Tel.:+49 2234 99013-70**
**Fax:+49 2234 99013-99**

E-Mail: info@komsthoeft.koeln
Internet: www.komsthoeft.de

St.Nr.: 219/5180/3165



Der Inhalt dieser E-Mail ist vertraulich und ausschließlich für den bezeichneten Adressaten bestimmt. Wenn Sie nicht der vorgesehene Adressat dieser E-Mail oder dessen Vertreter sein sollten, so beachten Sie bitte, dass jede Form der Kenntnisnahme, Veröffentlichung, Vervielfältigung oder Weitergabe des Inhalts dieser E-Mail unzulässig ist. Wir bitten Sie, sich in diesem Fall mit dem Absender der E-Mail in Verbindung zu setzen.

The contents of this email is confidential and solely intended for the indicated addressee. Access to this email by anyone else is unauthorized. If you are not the intended recipient, please note, that any form of notice, disclosure, reproduction, in part or whole or circulation of the contents of this email is prohibited and may be unlawful. In this case, please immediately inform the sender of the email.

Sachverständigenbüro für Bauphysik
und Schäden an Gebäuden

Norbert Komsthöft

Norbert Komsthöft · Dr.-Gottfried-Cremer-Allee 29 · 50226 Frechen

Sachverständigenbüro für Bauphysik und Schäden an Gebäuden

Norbert Komsthöft
Dipl. (mach.) Dipl.-Ing.
(WTA Dtl., IKBau, ANS Bonn)

Gerichtsgutachter

staatlich anerkannter Sachverständiger für Schall- und Wärmeschutz
(SGS, SHS, IFBau)

Sachverständiger für Schäden an Gebäuden
(DIBt, Frechen, EnEV)

Energieeffizienzberater der KFW

Bauingenieur
Maschinenbauingenieur
(Technische Gebäudeausrüstung)

fon 02234 99013-70
fax 02234 99013-99
Dr.-Gottfried-Cremer-Allee 29
50226 Frechen

Niederlassung Zülpich
fon 02252 835 796
fax 02252 835 798
Moselstraße 77
53909 Zülpich

info@komsthoeft.koeln
www.komsthoeft.koeln

Steuernummer
219/5180/3165

# GEG-Berechnungsnachweis für den Bauantrag

- für Gebäude mit normalen Innentemperaturen -



| | |
|---|---|
| Projekt | 772807__Metzen Boenerstraße Euskirchen |
| Adresse | Boenerstr. 36<br>53879 Euskirchen |
| Auftraggeber | Guido Metzen Vermögensverwaltung GmbH |
| Adresse | Unter den Linden 11<br>53902 Bad Münstereifel |
| Aussteller | Sachverständigenbüro für Bauphysik<br>und Schäden an Gebäuden<br>Norbert Komsthöft |
| Adresse | Dr.-Gottfried-Cremer-Allee 29<br>502226 Frechen |
| Telefon | : +49 2234 99013-70 |
| Telefax | : +49 2234 99013-99 |
| e-mail | : norbert@komsthoeft.de |

Dipl.-Ing. Norbert Komsthöft

15.01.2022

(Datum) (Unterschrift)

## 1. Allgemeine Projektdaten

| | |
|---|---|
| Projekt : | 772807__Metzen Boenerstraße Euskirchen<br>Boenerstr. 36<br>53879 Euskirchen |
| Gebäudetyp: | Wohngebäude |
| Innentemperatur: | normale Innentemperatur |
| Anzahl Vollgeschosse: | 2 |
| Anzahl Wohneinheiten: | 6 |

## 2. Berechnungsgrundlagen

| | |
|---|---|
| Berechnungsverfahren: | Jahres-Heizwärmebedarf des Gebäudes mittels Monatsbilanzierung<br>Jahres-Primärenergiebedarf mittels ausführlichem Berechnungsverfahren |
| Berechnungsprogramm: | - Energieberater 18599 3D PLUS 11.4.3 - Hottgenroth Software - |

Folgende Normen und Verordnungen wurden im Rechenprogramm berücksichtigt:

**Gesetz zur Einsparung von Energie und zur Nutzung erneuerbarer Energien zur Wärme- und Kälteerzeugung in Gebäuden (Gebäudeenergiegesetz – GEG)**

| | |
|---|---|
| DIN EN 832 | Wärmetechnisches Verhalten von Gebäuden – Berechnung des Heizenergiebedarfs – Wohngebäude |
| DIN V 4108-6 | Wärmeschutz und Energieeinsparung in Gebäuden<br>Teil 6: Berechnung des Jahresheizwärme- und des Jahresheizenergiebedarfs |
| DIN V 4108-6 Ber 1 | Wärmeschutz und Energieeinsparung in Gebäuden<br>Teil 6: Berechnung des Jahresheizwärme- und des Jahresheizenergiebedarfs<br>Berichtigung zur DIN V 4108-6:2003-06 |
| DIN V4701-10 | Energetische Bewertung heiz- und raumlufttechnischer Anlagen<br>Teil 10 : Heizung, Trinkwasser, Lüftung |
| DIN SPEC 4701-10/A1: 2012-07 | Energetische Bewertung heiz- und raumlufttechnischer Anlagen<br>Teil 10 : Heizung, Trinkwassererwärmung, Lüftung; Änderung A1 |
| DIN EN ISO 13370 | Wärmeübertragung über das Erdreich – Berechnungsverfahren |
| #DIN_EN_ISO_6946 | Bauteile – Wärmedurchlasswiderstand und Wärmedurchgangskoeffizient – Berechnungsverfahren |
| DIN EN ISO 10077 - 1 | Wärmetechnisches Verhalten von Fenstern, Türen und Abschlüssen<br>Berechnung des Wärmedurchgangskoeffizienten – Teil 1 : Vereinfachtes Verfahren |
| DIN V 4701 - 12: | Energetische Bewertung heiz- und raumlufttechnischer Anlagen im Bestand –<br>Teil 12: Wärmeerzeuger und Trinkwassererwärmung |
| DIN 4108-2 | Wärmeschutz und Energie-Einsparung in Gebäuden, Teil 2 : Mindestanforderung an den Wärmeschutz |
| DIN 4108-3 | Wärmeschutz und Energie-Einsparung in Gebäuden Teil 3 : Klimabedingter Feuchtschutz, Anforderungen, Berechnungsverfahren und Hinweise für Planung und Ausführung |
| DIN V 4108 - 4 | Wärmeschutz und Energie-Einsparung in Gebäuden, Teil 4 : Wärme und feuchteschutz-technische Bemessungswerte |
| DIN V 4108 - 5 | Wärmeschutz im Hochbau – Berechnungsverfahren |
| DIN 4108 Bbl. 2 | Wärmeschutz und Energie-Einsparung in Gebäuden – Wärmebrücken – Planungs- und Ausführungsbeispiele |
| DIN EN 12524 | Baustoffe und – produkte – Wärme- und feuchteschutztechnische Eigenschaften<br>Tabellierte Bemessungswerte |

# Angaben zum Energiebedarfsausweis nach EnEV

## 3.1 Objektbeschreibung

**Objekt**

| | | | |
|---|---|---|---|
| Gebäude/- teil | Wohngebäude | | |
| Straße, Haus-Nr. | Boenerstr. 36 | | |
| PLZ, Ort | 53879 Euskirchen | | |
| Nutzungsart | [x] Wohngebäude | | |
| | [ ] | | |
| Baujahr | 2022 | Jahr der baulichen Änderung | |

**Geometrische Angaben**

| | |
|---|---|
| Wärmeübertragende Umfassungsfläche A | 900,1 m² |
| beheiztes Gebäudevolumen | 1928,1 m³ |
| Verhältnis A/ $V_e$ | 0,47 m⁻¹ |
| Bei Wohngebäuden: | |
| Gebäudenutzfläche $A_N$ | 617,0 m² |
| Wohnfläche (Angabe freiwillig) | m² |

**Beheizung und Warmwasserbereitung**

| | | | |
|---|---|---|---|
| Art der Beheizung | VIESSMANN Vitocal 300-A, Typ AWO 302.A60 | | |
| Art der Warmwasser-bereitung | --- | | |
| Art der Nutzung erneuerbarer Energien | | Anteil am Heiz-wärmebedarf | % |

## 3.2 Energiebedarf

| Jahres-Primärenergiebedarf | Zulässiger Höchstwert | | Berechneter Wert |
|---|---|---|---|
| | 40,74 kWh/m² | ⟺ | 28,02 kWh/m² |

**Energieendbedarf nach eingesetzten Energieträgern**

| | Energieträger1<br>Strom-Mix | Energieträger2<br>Hilfsenergie (Strom) | Energieträger3 |
|---|---|---|---|
| Jahres-Endenergiebedarf (absolut) | 8749 kWh | 855 kWh | kWh |
| Jahres-Endenergiebedarf bezogen auf die Gebäudenutzfläche $A_N$ (für Wohngebäude) | 14,18 kWh/m² | 1,39 kWh/m² | kWh/m² |
| die Wohnfläche (für Wohngebäude, die Angaben ist freigestellt) | - kWh/m² | - kWh/m² | kWh/m² |
| das beheizte Gebäudevolumen (für nicht Wohngebäude) | 4,54 kWh/m³ | 0,44 kWh/m³ | kWh/m³ |

**Hinweis**

Die angegebenen Werte des Jahres-Primärenergiebedarfs und des Endenergiebedarfs sind vornehmlich für die überschlägig vergleichende Beurteilung von Gebäuden und Gebäudeentwürfen vorgesehen. Sie wurden auf der Grundlage von Planungsunterlagen ermittelt. Sie erlauben nur bedingt Rückschlüsse auf den tatsächlichen Energieverbrauch, weil der Berechnung dieser Werte auch normierte Randbedingungen etwa hinsichtlich des Klimas, der Heizdauer, der Innentemperatur, des Luftwechsels, der solaren und internen Wärmegewinne und des Warmwasserbedarfs zugrunde liegen. Die normierten Randbedingungen sind für die Anlagentechnik in DIN V 4701-10 : 2003-08 Nr. 5 und im Übrigen in DIN V 4108-6 : 2003-06 Anhang D festgelegt. Die Angaben beziehen sich auf Gebäude und sind nur bedingt auf einzelne Wohnungen oder Gebäudeteile übertragbar.

## 3.3 Weitere energiebezogene Merkmale

| Transmissionswärmeverlust | Zulässiger Höchstwert | | Berechneter Wert |
|---|---|---|---|
| | 0,38 W/(m²K) | ⟺ | 0,26 W/(m²K) |

**Anlagentechnik**

Anlagenaufwandszahl $e_p$ #EPZAHL#

Berech☐gsblätter beigefügt

☒ Die Wärmeabgabe der Wärme- und Warmwasserverteilungsleitung wurde nach GEG Anlage 8 begrenzt.

**Berücksichtigung von Wärmebrücken**

☐ pauschal mit 0,10 W / (m² K)

☐ pauschal mit 0,05 W / (m² K) bei Verwendung von Konstruktionen nach DIN 4108 Bbl. 2: Kategorie A + B

☐ pauschal mit 0,03 W / (m² K) bei Verwendung von Konstruktionen nach DIN 4108 Bbl. 2: Kategorie B

☐ pauschal mit 0,15 W / (m² K) bei überwiegender Innendämmung

☒ mit differenziertem Nachweis

☐ Berechnungen sind beigefügt

**Sommerlicher Wärmeschutz**

☐ Nachweis nicht erforderlich

☒ Nachweis der Begrenzung des Sonneneintragskennwertes wurde geführt

☒ Berechnungen sind beigefügt

☐ das Nichtwohngebäude ist mit Anlagen nach GEG § 14 ausgestattet.
Die innere Kühllast wird minimiert.

**Dichtheit und Lüftung**

☐ ohne Nachweis

☒ mit Nachweis nach GEG § 26

☐ Messprotokoll ist beigefügt

**Mindestlüftung erfolgt durch**

☐ Fensterlüftung

☐ mechanische Lüftung

☐ Freie Lüftung

**Einzelnachweise, Ausnahmen und Befreiung**

☐ Einzelnachweis nach GEG wurde geführt für

☐ eine Ausnahme nach GEG wurde zugelassen. Sie betrifft

☐ eine Befreiung nach GEG wurde erteilt. Sie umfasst

☐ Nachweise sind beigefügt

Besche☐ sind beigefügt

# 4. Gebäudegeometrie

## 4.1 Gebäudegeometrie - Flächen

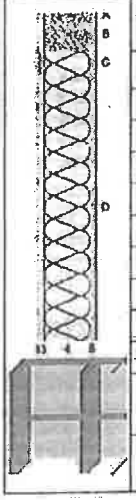
| Nr. | Bezeichnung | Orientierung Neigung | Berechnung | Fläche brutto | Fläche netto | Flächen-anteil |
|---|---|---|---|---|---|---|
| | | | | m² | m² | % |
| 1 | Gaubendach | 0,0° | | 76,01 | 76,01 | 8,4 |
| 2 | Satteldach - 24- ZSD_032 | N 30,0° | | 53,25 | 53,25 | 5,9 |
| 3 | Satteldach - 24- ZSD_032 | N 30,0° | 5,69 * 1,00 | 5,69 | 5,69 | 0,6 |
| 4 | Satteldach - 24- ZSD_032 | S 30,0° | | 57,29 | 57,29 | 6,4 |
| 5 | AW_Thermstein_36,5_0,09 | N 90,0° | | 111,92 | 98,64 | 11,0 |
| 6 | F 021 | N 90,0° | 2,26 * 2,45 | - | 5,54 | 0,6 |
| 7 | F 001 + F 012 | N 90,0° | 2 * 1,51 * 0,70 | - | 2,11 | 0,2 |
| 8 | F 002 + F 013 | N 90,0° | 2 * 2,01 * 1,40 | - | 5,63 | 0,6 |
| 9 | AW_Thermstein_36,5_0,09 | W 90,0° | | 140,59 | 97,47 | 10,8 |
| 10 | F 008 + F 009 + F 019 + F 020 + F 029 + F 030 | W 90,0° | 6 * 1,26 * 2,45 | - | 18,52 | 2,1 |
| 11 | F 007 + F 010 + F 018 + F 011 | W 90,0° | 4 * 2,61 * 2,45 | - | 24,60 | 2,7 |
| 12 | AW_Thermstein_36,5_0,09 | W 90,0° | 3,86 * 1,00 | 3,86 | 3,86 | 0,4 |
| 13 | AW_Thermstein_36,5_0,09 | S 90,0° | | 111,97 | 98,69 | 11,0 |
| 14 | F 028 | S 90,0° | 2,26 * 2,45 | - | 5,54 | 0,6 |
| 15 | F 006 + F 017 | S 90,0° | 2 * 1,51 * 0,70 | - | 2,11 | 0,2 |
| 16 | F 005 + F 016 | S 90,0° | 2 * 2,01 * 1,40 | - | 5,63 | 0,6 |
| 17 | AW_Thermstein_36,5_0,09 | O 90,0° | | 83,58 | 70,92 | 7,9 |
| 18 | F 004 + F 003 + F 015 + F 014 | O 90,0° | 4 * 2,26 * 1,40 | - | 12,66 | 1,4 |
| 19 | Decke zu Balkon/Flachdach | 0,0° | | 25,87 | 25,87 | 2,9 |
| 20 | EG Boden gegen Erdreich | 0,0° | | 230,03 | 230,03 | 25,6 |

## 4.2 Gebäudegeometrie - Zusammenfassung

| | |
|---|---|
| **Gebäudehüllfläche :** | **900,06 m²** |
| **Gebäudevolumen :** | **1928,05 m³** |
| **Beheiztes Luftvolumen :** | **1465,32 m³** |
| **Gebäudenutzfläche :** | **616,98 m²** |
| **A/V. - Verhältnis :** | **0,47 1/m** |
| **Fensterfläche :** | **82,33 m²** |

## 6. U - Wert - Ermittlung

**Bauteilbezeichnung :** Gaubendach — **Fläche :** 76,01 m²

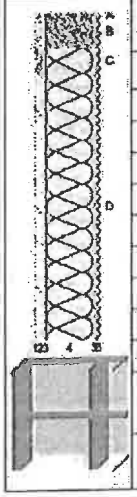


| Nr. | Baustoff | Dicke | Lambda | Dichte | Wärmedurchlass-widerstand |
|---|---|---|---|---|---|
| 1 | Gipskartonplatten nach DIN 12524 | 1,25 | 0,250 | 900,0 | 0,05 |
| 2 | Konstruktionsholz (DIN 12524 - 500 kg/m³) | 2,40 | 0,130 | 500,0 | 0,18 |
| | ruhende Luftschicht (vertikal) bis 300mm Dicke | | | 1,3 | 0,16 |
| 3 | Polyethylenfolie nach DIN 12524 | 0,05 | 0,330 | 960,0 | 0,00 |
| 4 | Konstruktionsholz nach EN 12524 | 24,00 | 0,130 | 500,0 | 1,85 |
| | Mineral. und pflanzl. Faserdämmstoff (DIN 18165-1 - WLG 032) | | 0,032 | 260,0 | 7,50 |
| 5 | Konstruktionsholz nach EN 12524 | 2,00 | 0,130 | 500,0 | 0,15 |
| 6 | Bitumendachbahn (DIN 52128) | 1,50 | 0,170 | 1200,0 | 0,09 |
| Anforderung nach DIN 4108 Teil 2 ist erfüllt! | | | $R_{m,zul}$ = 1,0 | | $R_m$ = 6,10 |

| Bauteilfläche | | spezif. Bauteil-masse | spezif. Transmissions-wärmeverlust | | wirksame Wärme-speicherfähigkeit | | Wärmedurchlass-widerstand | |
|---|---|---|---|---|---|---|---|---|
| 76,01 m² | 8,4 % | 109,9 kg/m² | 12,19 W/K | 5,7 % | 10cm-Regel :<br>3cm-Regel : | 411 Wh/K<br>262 Wh/K | $R_i$ = 0,10<br>$R_e$ = 0,04 | U-Wert = 0,16 W/(m²K) |

**Bauteilbezeichnung :** Satteldach - 24- ZSD_032
Satteldach - 24- ZSD_032
Satteldach - 24- ZSD_032

**Fläche / Ausrichtung :** 53,25 m² N
5,69 m² N
57,29 m² S



| Nr. | Baustoff | Dicke | Lambda | Dichte | Wärmedurchlass-widerstand |
|---|---|---|---|---|---|
| 1 | Gipskartonplatten nach DIN 12524 | 1,25 | 0,250 | 900,0 | 0,05 |
| 2 | Konstruktionsholz (DIN 12524 - 500 kg/m³) | 4,80 | 0,130 | 500,0 | 0,37 |
| | ruhende Luftschicht (vertikal) bis 300mm Dicke | | | 1,3 | 0,16 |
| 3 | Polyethylenfolie nach DIN 12524 | 0,05 | 0,330 | 960,0 | 0,00 |
| 4 | Konstruktionsholz nach EN 12524 | 24,00 | 0,130 | 500,0 | 1,85 |
| | Mineral. und pflanzl. Faserdämmstoff (DIN 18165-1 - WLG 032 | | 0,032 | 260,0 | 7,50 |
| 5 | Konstruktionsholz nach EN 12524 | 2,00 | 0,130 | 500,0 | 0,15 |
| 6 | Dachziegelsteine aus Ton nach DIN 12524 | 2,00 | 1,000 | 2000,0 | 0,02 |
| Anforderung nach DIN 4108 Teil 2 ist erfüllt! | | | $R_{m,zul}$ = 1,0 | | $R_m$ = 6,16 |

| Bauteilfläche | | spezif. Bauteil-masse | spezif. Transmissions-wärmeverlust | | wirksame Wärme-speicherfähigkeit | | Wärmedurchlass-widerstand | |
|---|---|---|---|---|---|---|---|---|
| 116,23 m² | 12,9 % | 132,4 kg/m² | 18,44 W/K | 8,7 % | 10cm-Regel :<br>3cm-Regel : | 0 Wh/K<br>0 Wh/K | $R_i$ = 0,10<br>$R_e$ = 0,04 | U-Wert = 0,16 W/(m²K) |

| Bauteilbezeichnung : | AW_Thermstein_36,5_0,09 | Fläche / Ausrichtung : | 98,64 m² | N |
|---|---|---|---|---|
| | AW_Thermstein_36,5_0,09 | | 97,47 m² | W |
| | AW_Thermstein_36,5_0,09 | | 3,86 m² | W |
| | AW_Thermstein_36,5_0,09 | | 98,69 m² | S |
| | AW_Thermstein_36,5_0,09 | | 70,92 m² | O |




| Nr. | Baustoff | Dicke | Lambda | Dichte | Wärmedurchlass-widerstand |
|---|---|---|---|---|---|
| 1 | Gipsputz ohne Zuschlag | 1,50 | 0,510 | 1200,0 | 0,03 |
| 2 | Thermstein - 0,09 | 36,50 | 0,090 | 350,0 | 4,06 |
| 3 | Leichtputz ( < 700 kg/m³) | 2,00 | 0,250 | 700,0 | 0,08 |
| Anforderung nach DIN 4108 Teil 2 ist erfüllt! | | $R_{tot}$ = 1,20 | | | R = 4,16 |

| Bauteilfläche | | spezif. Bauteil-masse | spezif. Transmissions-wärmeverlust | | wirksame Wärme-speicherfähigkeit | | $R_{si}$ = 0,13<br>$R_{se}$ = 0,04 |
|---|---|---|---|---|---|---|---|
| 369,59 m² | 41,1 % | 159,8 kg/m² | 85,26 W/K | 40,1 % | 10cm-Regel : 0 Wh/K<br>3cm-Regel : 0 Wh/K | | U-Wert = 0,23 W/(m²K) |

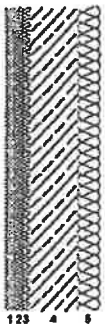
| Bauteilbezeichnung : | Decke zu Balkon/Flachdach | Fläche : | 25,87 m² |
|---|---|---|---|




| Nr. | Baustoff | Dicke | Lambda | Dichte | Wärmedurchlass-widerstand |
|---|---|---|---|---|---|
| 1 | Putzmörtel aus Kalkgips, Gips, Anhydrit und Kalkanhydrit | 1,50 | 0,700 | 1400,0 | 0,02 |
| 2 | Beton nach EN 12524, armiert mit 2% Stahl | 18,00 | 2,500 | 2400,0 | 0,07 |
| 3 | Bitumendachbahn (DIN 52128) | 0,50 | 0,170 | 1200,0 | 0,03 |
| 4 | PUR/PIR-Hartschaum mit gasdiffusionsdichter Schicht (DIN 13165 - WLG 022) | 14,00 | 0,022 | 30,0 | 6,36 |
| 5 | Bitumendachbahn (DIN 52128) | 0,04 | 0,170 | 1200,0 | 0,00 |
| Anforderung nach DIN 4108 Teil 2 ist erfüllt! | | $R_{tot}$ = 1,20 | | | R = 6,49 |

| Bauteilfläche | | spezif. Bauteil-masse | spezif. Transmissions-wärmeverlust | | wirksame Wärme-speicherfähigkeit | | $R_{si}$ = 0,10<br>$R_{se}$ = 0,04 |
|---|---|---|---|---|---|---|---|
| 25,87 m² | 2,9 % | 463,7 kg/m² | 3,90 W/K | 1,8 % | 10cm-Regel : 0 Wh/K<br>3cm-Regel : 0 Wh/K | | U-Wert = 0,15 W/(m²K) |

| Bauteilbezeichnung : | EG Boden gegen Erdreich | Fläche : | 230,03 m² |
|---|---|---|---|




| Nr. | Baustoff | Dicke | Lambda | Dichte | Wärmedurchlass-widerstand |
|---|---|---|---|---|---|
| 1 | Zement-Estrich | 6,00 | 1,400 | 2000,0 | 0,04 |
| 2 | Trittschalldämmung | 3,00 | 0,040 | - | 0,75 |
| 3 | Polystyrol PS -Partikelschaum (WLG 035 - > 30 kg/m³) | 4,00 | 0,035 | 30,0 | 1,14 |
| 4 | Beton armiert mit 2% Stahl (DIN 12524) | 25,00 | 2,500 | 2400,0 | 0,10 |
| 5 | Polystyrol PS -Extruderschaum (WLG 035) | 12,00 | 0,035 | 25,0 | 3,43 |
| Anforderung nach DIN 4108 Teil 2 ist erfüllt! | | $R_{tot}$ = 0,90 | | | R = 5,46 |

| Bauteilfläche | | spezif. Bauteil-masse | spezif. Transmissions-wärmeverlust | | wirksame Wärme-speicherfähigkeit | | $R_{si}$ = 0,17<br>$R_{se}$ = 0,00 |
|---|---|---|---|---|---|---|---|
| 230,03 m² | 25,6 % | 724,2 kg/m² | 40,83 W/K | 19,2 % | 10cm-Regel : 7668 Wh/K<br>3cm-Regel : 3834 Wh/K | | U-Wert = 0,18 W/(m²K) |

| Fenster : | F 021 | Anzahl : 1 | Ausrichtung : N |
|---|---|---|---|
| | F 028 | 1 | S |



| | | | |
|---|---|---|---|
| Verglasung: | 3-Scheiben-Wärmeschutzverglasung | $A_g$ = 4,41 m² | $U_g$ = 0,60 W/m²K |
| Rahmen: | Kunststoffrahmen, 3 Kammern | $A_f$ = 1,13 m² | $U_f$ = 1,20 W/m²K |
| Randverbund: | Kunststoff | $l_g$ = 12,92 m | $\Psi_g$ = 0,05 W/m K |
| | | Fläche $A_w$ =5,54 m² | U-Wert $U_w$ = 0,83 W/m² K |

| Fenster : | F 001 + F 012<br>F 006 + F 017 | Anzahl : | 2<br>2 | Ausrichtung : | N<br>S |
|---|---|---|---|---|---|
| | Verglasung: 3-Scheiben-Wärmeschutzverglasung | $A_g$ = 0,61 m² | | $U_g$ = 0,60 W/m²K | |
| | Rahmen: Kunststoffrahmen, 3 Kammern | $A_f$ = 0,45 m² | | $U_f$ = 1,20 W/m²K | |
| | Randverbund: Kunststoff | $l_g$ = 4,42 m | | $\Psi_g$ = 0,05 W/m K | |
| | | Fläche<br>$A_w$ =1,06 m² | | U-Wert<br>$U_w$ = 1,04 W/m² K | |

| Fenster : | F 002 + F 013<br>F 005 + F 016 | Anzahl : | 2<br>2 | Ausrichtung : | N<br>S |
|---|---|---|---|---|---|
| | Verglasung: 3-Scheiben-Wärmeschutzverglasung | $A_g$ = 2,05 m² | | $U_g$ = 0,60 W/m²K | |
| | Rahmen: Kunststoffrahmen, 3 Kammern | $A_f$ = 0,76 m² | | $U_f$ = 1,20 W/m²K | |
| | Randverbund: Kunststoff | $l_g$ = 8,22 m | | $\Psi_g$ = 0,05 W/m K | |
| | | Fläche<br>$A_w$ =2,81 m² | | U-Wert<br>$U_w$ = 0,89 W/m² K | |

| Fenster : | F 008 + F 009 + F 019 + F 020 + F 029 + F 030 | Anzahl : | 6 | Ausrichtung : | W |
|---|---|---|---|---|---|
| | Verglasung: 3-Scheiben-Wärmeschutzverglasung | $A_g$ = 2,16 m² | | $U_g$ = 0,60 W/m²K | |
| | Rahmen: Kunststoffrahmen, 3 Kammern | $A_f$ = 0,93 m² | | $U_f$ = 1,20 W/m²K | |
| | Randverbund: Kunststoff | $l_g$ = 10,92 m | | $\Psi_g$ = 0,05 W/m K | |
| | | Fläche<br>$A_w$ =3,09 m² | | U-Wert<br>$U_w$ = 0,94 W/m² K | |

| Fenster : | F 007 + F 010 + F 018 + F 011 | Anzahl : | 4 | Ausrichtung : | W |
|---|---|---|---|---|---|
| | Verglasung: 3-Scheiben-Wärmeschutzverglasung | $A_g$ = 4,97 m² | | $U_g$ = 0,60 W/m²K | |
| | Rahmen: Kunststoffrahmen, 3 Kammern | $A_f$ = 1,18 m² | | $U_f$ = 1,20 W/m²K | |
| | Randverbund: Kunststoff | $l_g$ = 13,42 m | | $\Psi_g$ = 0,05 W/m K | |
| | | Fläche<br>$A_w$ =6,15 m² | | U-Wert<br>$U_w$ = 0,81 W/m² K | |

| Fenster : | F 004 + F 003 + F 015 + F 014 | Anzahl : | 4 | Ausrichtung : | O |
|---|---|---|---|---|---|
| | Verglasung: 3-Scheiben-Wärmeschutzverglasung | $A_g$ = 2,35 m² | | $U_g$ = 0,60 W/m²K | |
| | Rahmen: Kunststoffrahmen, 3 Kammern | $A_f$ = 0,81 m² | | $U_f$ = 1,20 W/m²K | |
| | Randverbund: Kunststoff | $l_g$ = 8,72 m | | $\Psi_g$ = 0,05 W/m K | |
| | | Fläche<br>$A_w$ =3,16 m² | | U-Wert<br>$U_w$ = 0,88 W/m² K | |

## 6. Jahres-Heizwärmebedarfsberechnung

### 6.1 spezifische Transmissionswärmeverluste der Heizperiode

| Nr. | Bauteil | Orientierung Neigung | Fläche A | $U_i$-Wert | Faktor $F_x$ | $F_x * U * A$ | |
|---|---|---|---|---|---|---|---|
| | | | m² | W/(m²K) | | W/K | % |
| 1 | Gaubendach | 0,0° | 76,01 | 0,160 | 1,00 | 12,19 | 2,3 |
| 2 | Satteldach - 24- ZSD_032 | N 30,0° | 53,25 | 0,159 | 1,00 | 8,46 | 1,6 |
| 3 | Satteldach - 24- ZSD_032 | N 30,0° | 5,69 | 0,159 | 1,00 | 0,90 | 0,2 |
| 4 | Satteldach - 24- ZSD_032 | S 30,0° | 57,29 | 0,159 | 1,00 | 9,09 | 1,7 |
| 5 | AW_Thermstein_36,5_0,09 | N 90,0° | 98,04 | 0,231 | 1,00 | 22,75 | 4,3 |
| 6 | F 021 | N 90,0° | 5,54 | 0,827 | 1,00 | 4,58 | 0,9 |
| 7 | F 001 + F 012 | N 90,0° | 2,11 | 1,045 | 1,00 | 2,21 | 0,4 |
| 8 | F 002 + F 013 | N 90,0° | 5,63 | 0,894 | 1,00 | 5,03 | 0,9 |
| 9 | AW_Thermstein_36,5_0,09 | W 90,0° | 97,47 | 0,231 | 1,00 | 22,48 | 4,2 |
| 10 | F 008 + F 009 + F 019 + F 020 + F 029 + F 030 | W 90,0° | 18,52 | 0,939 | 1,00 | 17,40 | 3,3 |
| 11 | F 007 + F 010 + F 018 + F 011 | W 90,0° | 24,60 | 0,813 | 1,00 | 20,00 | 3,8 |
| 12 | AW_Thermstein_36,5_0,09 | W 90,0° | 3,86 | 0,231 | 1,00 | 0,89 | 0,2 |
| 13 | AW_Thermstein_36,5_0,09 | S 90,0° | 98,09 | 0,231 | 1,00 | 22,77 | 4,3 |
| 14 | F 028 | S 90,0° | 5,54 | 0,827 | 1,00 | 4,58 | 0,9 |
| 15 | F 006 + F 017 | S 90,0° | 2,11 | 1,045 | 1,00 | 2,21 | 0,4 |
| 16 | F 005 + F 016 | S 90,0° | 5,63 | 0,894 | 1,00 | 5,03 | 0,9 |
| 17 | AW_Thermstein_36,5_0,09 | O 90,0° | 70,92 | 0,231 | 1,00 | 16,36 | 3,1 |
| 18 | F 004 + F 003 + F 015 + F 014 | O 90,0° | 12,66 | 0,878 | 1,00 | 11,11 | 2,1 |
| 19 | Decke zu Balkon/Flachdach | 0,0° | 25,87 | 0,151 | 1,00 | 3,90 | 0,7 |
| 20 | EG Boden gegen Erdreich | 0,0° | 230,03 | 0,177 | 0,50 | 20,41 | 3,8 |
| | | $SA_i$ = | 900,06 | | $S(F_x * U * A)$ = | 212,35 | |

| Wärmebrückenzuschlag DU Absolutwerteingabe mit separatem Nachweis | $DU_{WB}$ = 22,00 W/K | 4,1 % |
|---|---|---|

Bild 1 : Diagrammdarstellung der spezifischen Wärmeverluste der Heizperiode

| Nr. | Bauteil | |
|---|---|---|
| 1 | Gaubendach | 2,3 % |
| 2 | Satteldach - 24- ZSD_032 | 3,5 % |
| 3 | AW_Thermstein_36,5_0,09 | 16,0 % |
| 4 | F 021, F 028 | 1,7 % |
| 5 | F 001 + F 012, F 006 + F 017 | 0,8 % |
| 6 | F 002 + F 013, F 005 + F 016 | 1,9 % |
| 7 | F 008 + F 009 + F 019 + F 020 + F 029 + F 030 | 3,3 % |
| 8 | F 007 + F 010 + F 018 + F 011 | 3,8 % |
| 9 | F 004 + F 003 + F 015 + F 014 | 2,1 % |
| 10 | Decke zu Balkon/Flachdach | 0,7 % |
| 11 | EG Boden gegen Erdreich | 3,8 % |
| | Wärmebrückenzuschlag | 4,1 % |
| | Lüftungswärmeverluste | 56,1 % |

### 6.2 Lüftungsverluste

| | | | |
|---|---|---|---|
| Lüftungswärmeverluste | n = 0,60 h$^{-1}$ | 298,93 W/K | 58,1 % |

## 6.3 Daten transparenter Bauteile

| Nr. | Bezeichnung | Orientierung Neigung | Fläche brutto | Faktor Rahmenanteil | Faktor Verschattung | Faktor Sonnenschutz | Faktor Nichtsenkrechter Strahlungseinfall | Gesamtenergiedurchlassgrad | effektive Kollektorfläche |
|---|---|---|---|---|---|---|---|---|---|
| | | | m² | | | | | | m² |
| 1 | F 021 | N 90,0° | 5,64 | 0,80 | 0,90 | 1,00 | 0,9 | 0,50 | 1,79 |
| 2 | F 001 + F 012 | N 90,0° | 2,11 | 0,57 | 0,90 | 1,00 | 0,9 | 0,50 | 0,49 |
| 3 | F 002 + F 013 | N 90,0° | 5,63 | 0,73 | 0,90 | 1,00 | 0,9 | 0,50 | 1,66 |
| 4 | F 008 + F 009 + F 019 + F 020 + F 029 + F 030 | W 90,0° | 18,52 | 0,70 | 0,90 | 1,00 | 0,9 | 0,50 | 5,25 |
| 5 | F 007 + F 010 + F 018 + F 011 | W 90,0° | 24,60 | 0,81 | 0,90 | 1,00 | 0,9 | 0,50 | 8,06 |
| 6 | F 028 | S 90,0° | 5,64 | 0,80 | 0,90 | 1,00 | 0,9 | 0,50 | 1,79 |
| 7 | F 006 + F 017 | S 90,0° | 2,11 | 0,57 | 0,90 | 1,00 | 0,9 | 0,50 | 0,49 |
| 8 | F 005 + F 016 | S 90,0° | 5,63 | 0,73 | 0,90 | 1,00 | 0,9 | 0,50 | 1,66 |
| 9 | F 004 + F 003 + F 015 + F 014 | O 90,0° | 12,66 | 0,74 | 0,90 | 1,00 | 0,9 | 0,50 | 3,81 |

## 6.4 Monatsbilanzierung

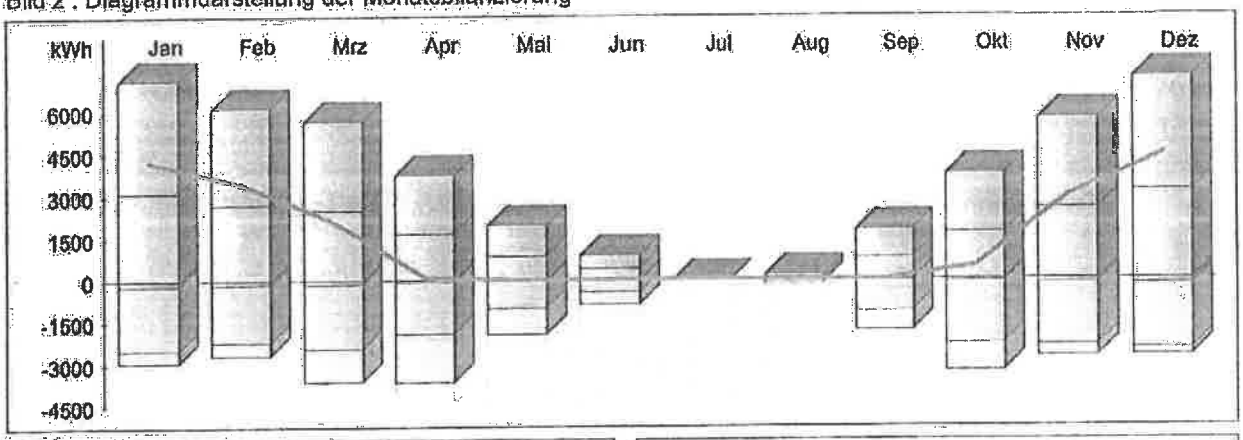
| Wärmeverluste in kWh/Monat | | | | | | | | | | | | |
|---|---|---|---|---|---|---|---|---|---|---|---|---|
| **Monat** | **Jan** | **Feb** | **Mrz** | **Apr** | **Mai** | **Jun** | **Jul** | **Aug** | **Sep** | **Okt** | **Nov** | **Dez** |
| **Transmissionswärmeverluste** | | | | | | | | | | | | |
| Transmissionsverluste | 2844 | 2440 | 2259 | 1498 | 774 | 352 | 0 | 63 | 719 | 1501 | 2278 | 2860 |
| Wärmebrückenverluste | 295 | 253 | 234 | 155 | 80 | 36 | 0 | 7 | 74 | 155 | 236 | 296 |
| Summe | 3138 | 2693 | 2493 | 1654 | 854 | 388 | 0 | 70 | 793 | 1656 | 2514 | 3156 |
| **Lüftungswärmeverluste** | | | | | | | | | | | | |
| Lüftungsverluste | 4003 | 3435 | 3180 | 2109 | 1090 | 495 | 0 | 89 | 1012 | 2113 | 3207 | 4025 |
| **reduzierte Wärmeverluste durch Nachtabschaltung, -senkung** | | | | | | | | | | | | |
| reduzierte Wärmeverluste | -188 | -157 | -136 | -85 | -44 | -20 | 0 | -4 | -41 | -85 | -139 | -190 |
| **Gesamtwärmeverluste** | | | | | | | | | | | | |
| **Gesamtwärmeverluste** | 6954 | 5971 | 5538 | 3678 | 1900 | 863 | 0 | 155 | 1764 | 3684 | 5582 | 6992 |

| Wärmegewinne in kWh/Monat | | | | | | | | | | | | |
|---|---|---|---|---|---|---|---|---|---|---|---|---|
| **Monat** | **Jan** | **Feb** | **Mrz** | **Apr** | **Mai** | **Jun** | **Jul** | **Aug** | **Sep** | **Okt** | **Nov** | **Dez** |
| **Interne Wärmegewinne** | | | | | | | | | | | | |
| Interne Wärmegewinne | 2295 | 2073 | 2295 | 2221 | 2295 | 2221 | 2295 | 2295 | 2221 | 2295 | 2221 | 2295 |
| **Solare Wärmegewinne** | | | | | | | | | | | | |
| Fenster N 90° | 13 | 22 | 41 | 75 | 100 | 107 | 108 | 76 | 53 | 33 | 17 | 9 |
| Fenster N 90° | 4 | 6 | 11 | 20 | 27 | 29 | 30 | 21 | 14 | 9 | 5 | 3 |
| Fenster N 90° | 12 | 20 | 38 | 69 | 93 | 99 | 100 | 70 | 49 | 31 | 16 | 9 |
| Fenster W 90° | 86 | 85 | 234 | 431 | 498 | 514 | 457 | 410 | 299 | 184 | 72 | 43 |
| Fenster W 90° | 102 | 130 | 380 | 661 | 761 | 789 | 701 | 629 | 458 | 282 | 110 | 66 |
| Fenster S 90° | 76 | 56 | 130 | 189 | 175 | 159 | 150 | 169 | 158 | 141 | 50 | 39 |
| Fenster S 90° | 22 | 15 | 36 | 52 | 48 | 44 | 41 | 46 | 43 | 39 | 14 | 11 |
| Fenster S 90° | 73 | 52 | 121 | 176 | 163 | 148 | 140 | 157 | 147 | 131 | 47 | 36 |
| Fenster O 90° | 71 | 74 | 193 | 368 | 386 | 412 | 391 | 326 | 228 | 156 | 55 | 34 |
| Solare Wärmegewinne | 441 | 461 | 1185 | 2041 | 2252 | 2301 | 2118 | 1904 | 1449 | 1005 | 384 | 248 |
| **Gesamtwärmegewinne in kWh/Monat** | | | | | | | | | | | | |
| **Gesamtwärmegewinne** | 2736 | 2534 | 3480 | 4262 | 4547 | 4522 | 4413 | 4200 | 3671 | 3300 | 2605 | 2544 |

| Heizwärmebedarf in kWh/Monat | | | | | | | | | | | | |
|---|---|---|---|---|---|---|---|---|---|---|---|---|
| Monat | Jan | Feb | Mrz | Apr | Mai | Jun | Jul | Aug | Sep | Okt | Nov | Dez |
| Ausnutzungsgrad Gewinne | 1,000 | 1,000 | 0,999 | 0,840 | 0,418 | 0,191 | 0,000 | 0,037 | 0,480 | 0,965 | 1,000 | 1,000 |
| Heizwärmebedarf | 4217 | 3437 | 2082 | 96 | 0 | 0 | 0 | 0 | 0 | 499 | 2977 | 4448 |
| Heizgrenztemperatur in °C und Heiztage | | | | | | | | | | | | |
| Heizgrenztemperatur | 12,62 | 12,46 | 10,94 | 8,73 | 8,40 | 8,11 | 8,71 | 9,21 | 10,16 | 11,31 | 12,72 | 13,07 |
| Mittl. Außentemperatur | 1,00 | 1,90 | 4,70 | 9,20 | 14,10 | 16,70 | 19,00 | 18,60 | 14,30 | 9,50 | 4,10 | 0,90 |
| Heiztage | 31,0 | 28,0 | 31,0 | 12,8 | 0,0 | 0,0 | 0,0 | 0,0 | 0,0 | 24,1 | 30,0 | 31,0 |

## 6.5 Monatsbilanzierung - Zusammenfassung

Bild 2 : Diagrammdarstellung der Monatsbilanzierung




**Ergebnisse des Monatsbilanzverfahrens:**

**Jahres-Heizwärmebedarf = 17.756 kWh/a**

**flächenbezogener Jahres-Heizwärmebedarf = 28,78 kWh/(m²a)**

**volumenbezogener Jahres-Heizwärmebedarf = 9,21 kWh/(m³a)**

**Zahl der Heiztage = 188,0 d/a**
**Heizgradtagzahl = 2.843 Kd/a**

- Heizwärmebedarf
- Lüftungswärmeverluste
- Transmissionswärmeverluste
- Reduzierung der Wärmeverluste (Heizungsunterbrechung, etc.)
- nutzbare interne Wärmegewinne
- nutzbare solare Wärmegewinne
- nicht nutzbare Wärmegewinne

## 7. Anlagenbewertung nach DIN 4701-10

### 7.1 Anlagenbeschreibung

**Heizung:**

| | |
|---|---|
| Erzeugung | Zentrale Wärmeerzeugung, 2 Wärme-Erzeuger, bivalent-parallel<br>Wärmeerzeuger 1 - 95% Deckungsanteil<br>Luft-Wasser-Wärmepumpe - Strom<br>Jahresarbeitszahl: 3,9<br>VIESSMANN - Vitocal 300-A, Typ AWO 302.A60<br>Wärmeerzeuger 2 - 5% Deckungsanteil<br>elektrischer Heizstab - Strom |
| Speicherung | Pufferspeicher - 359 Liter, Dämmung nach EnEV |
| Verteilung | Auslegungstemperaturen 35/28°C<br>Dämmung der Leitungen: nach EnEV<br>optimierter Betrieb (optimale Heizkurve, hydraul. Abgleich)<br>Umwälzpumpe leistungsgeregelt |
| Übergabe | Flächenheizung (z.B. Fußbodenheizung)<br>Einzelraumregelung mit Zweipunktregler 0,5 K Schaltdifferenz |

**Warmwasser:**

| | |
|---|---|
| Erzeugung | Zentrale Warmwasserbereitung<br>Luft-Wasser-Wärmepumpe - Strom |
| Speicherung | Indirekt beheizter Speicher - 540 Liter, Dämmung nach EnEV |
| Verteilung | Verteilung mit Zirkulation<br>Dämmung der Leitungen: nach EnEV |

## 7.2 Ergebnisse

Gebäude/ -teil: Wohngebäude

Straße, Hausnummer: Boenerstr. 36

PLZ, Ort: 53879 Euskirchen

**Eingaben:** $A_N$ = 617,0 m² | $t_{HP}$ = 185 Tage

| | TRINKWASSER ERWÄRMUNG | | | HEIZUNG | | | LÜFTUNG | | |
|---|---|---|---|---|---|---|---|---|---|
| absoluter Bedarf | $Q_{tw}$ = | 7712 | kWh/a | $Q_h$ = | 17756 | kWh/a | | | |
| bezogener Bedarf | $q_{tw}$ = | 12,50 | kWh/(m²a) | $Q_h$ = | 28,78 | kWh/(m²a) | | | |

**Ergebnisse:**

| | | | | | | | | | |
|---|---|---|---|---|---|---|---|---|---|
| Deckung von $q_h$ | $q_{h,tw}$ = | 3,61 | kWh/(m²a) | $q_{h,H}$ = | 25,17 | kWh/(m²a) | $q_{h,L}$ = | 0,00 | kWh/(m²a) |

| | | | | | | | | | |
|---|---|---|---|---|---|---|---|---|---|
| S WÄRME | $Q_{TW,E}$ = | 3825 | kWh/a | $Q_{H,E}$ = | 4924 | kWh/a | $Q_{L,E}$ = | 0 | kWh/a |
| S HILFS-ENERGIE | | 209 | kWh/a | | 646 | kWh/a | | 0 | kWh/a |
| S PRIMÄR-ENERGIE | $Q_{TW,P}$ = | 7262 | kWh/a | $Q_{H,P}$ = | 10026 | kWh/a | $Q_{L,P}$ = | 0 | kWh/a |

| | | | | |
|---|---|---|---|---|
| ENDENERGIE | $Q_E$ = | 8749 | kWh/a | S WÄRME |
| | | 855 | kWh/a | S HILFSENERGIE |
| PRIMÄRENERGIE | $Q_P$ = | 17289 | kWh/a | S PRIMÄRENERGIE |
| | $q_P$ = | 28,02 | kWh/(m²a) | |
| ANLAGEN-AUFWANDSZAHL | $e_P$ = | 0,68 | [-] | |

ENDENERGIE nach eingesetzten Energieträgern

| | | | | |
|---|---|---|---|---|
| | $Q_{E,e}$ = | 8749 | kWh/a | S Strom-Mix |

## 7.3 Detailbeschreibung

**Berechnungsverfahren:**

Die Berechnung des Primärenergiebedarfs $q_P$ und der Anlagenaufwandszahl $e_P$ erfolgt nach dem Berechnungsverfahren der DIN 4701-10 : 2003-08. Soweit nicht anders angegeben werden hierbei die von der DIN 4701-10 vorgegebenen Standardwerte für die Berechnungsparameter verwendet. Diese werden nach Abschnitt 5 unter den dort angegebenen Randbedingungen berechnet.

Nutzfläche des Gebäudes : 617,0 m²

**Heizung und Lüftung:**
Das Gebäude enthält **einen** Heizungsbereich

**Heizungs-Bereich Nr. 1 :**
Bezeichnung : VIESSMANN Vitocal 300-A, Typ AWO 302.A60
Nutzfläche : 617,0 m²
Bereich **ohne** Lüftungsanlage
Der Bereich enthält **einen** Zentralheizungs-Verteilstrang
**Zentralheizungs-Verteilstrang Nr. 1**
max. Vor-/Rücklauftemperatur : 35 / 28 °C
Innenverteilung (Strangleitungen an den Innenwänden)
Verteil-Leitungen innerhalb der thermischen Hülle
leistungsgeregelte Umwälzpumpe
Übergabe-Komponente : Flächenheizung (z.B. Fußbodenheizung)
Regelung : Einzelraumregelung mit Zweipunktregler 0.5 K Schaltdifferenz
Der Bereich enthält **keinen** dezentralen Wärmeerzeuger
**Zentralheizungs-Gruppe des Bereiches:**
**Pufferspeicher :**
Aufstellort : außerhalb der therm. Hülle, Keller
Die Beladung des Speichers erfolgt über eine separate Ladepumpe.
Die Gruppe enthält einen bivalent-parallel betriebenen Grundlast-Wärmeerzeuger und einen Spitzenlast-Wärmeerzeuger
Die Berechnung der Deckungsanteile erfolgt abhängig von der Bivalenztemperatur
Bivalenztemperatur : -2,0 °C ( Standardwert )
**Grundlast-Wärmeerzeuger :**
Hersteller : VIESSMANN
Bezeichnung : Vitocal 300-A, Typ AWO 302.A60
Wärmeerzeuger-Typ : Luft-Wasser-Wärmepumpe
Die Wärmepumpe ist leistungsgeregelt.
Abweichend von den Standardwerten aus DIN 4701-10 wurden folgende Werte vorgegeben :
* Arbeitszahl bei A-7/W35 : 2,90 -
* Arbeitszahl bei A 2/W35 : 3,60 -
* Arbeitszahl bei A10/W35 : 4,20 -
**Spitzenlast-Wärmeerzeuger :**
Wärmeerzeuger-Typ: elektrischer Heizstab
Brennstoff : Strom-Mix

**Trinkwarmwasser :**
Das Gebäude enthält **einen** Trinkwasserbereich

**Trinkwasser-Bereich Nr. 1 :**
Nutzfläche : 617,0 m²
Die Versorgung des Bereiches erfolgt zentral
**zentraler Trinkwasser-Strang :**
Lage der Verteilleitungen : innerhalb der thermischen Hülle
mit Zirkulation
Standardverrohrung ( keine gemeinsame Installationswand )
Verteilleitungen innerhalb der thermischen Hülle.
**Warmwasser-Bereiter :**
Art : indirekt beheizter Speicher
Aufstellort : innerhalb der thermischen Hülle
Die Beheizung des Speichers erfolgt durch einen Wärmeerzeuger (monovalent)
**Wärmeerzeuger Nr. 1 ( monovalent ) :**
Wärmeerzeuger-Typ : Luft-Wasser-Wärmepumpe

## 7.4 Ergebnisse Heizung

| | |
|---|---|
| Bereich: | Bereich 1 - zentral - |
| Heiz-Strang: | VIESSMANN Vitocal 300-A, Typ AWO 302.A60 |

| | | | |
|---|---|---|---|
| $Q_h$ | 17756 kWh/a | Wärmebedarf | |
| $A_N$ | 617,0 m² | Fläche | |
| $q_h$ | 28,78 kWh/m²a | $Q_h$ / $A_N$ | |

### WÄRME (WE)

| | Bezeichnung/Quelle | Dimension | | |
|---|---|---|---|---|
| $q_h$ | Heizwärmebedarf | [kWh/m²a] | | 28,78 |
| $q_{h,TW}$ | aus Berechnungsblatt Trinkwasser | [kWh/m²a] | - | 3,61 |
| $q_{h,L}$ | aus Berechnungsblatt Lüftung | [kWh/m²a] | | - |
| $q_{ce}$ | Verluste Übergabe | [kWh/m²a] | + | 1,10 |
| $q_d$ | Verluste Verteilung | [kWh/m²a] | | 0,47 |
| $q_s$ | Verluste Speicherung | [kWh/m²a] | | 0,33 |
| S | $(q_h - q_{h,TW} - q_{h,L} + q_{ce} + q_d + q_s)$ | [kWh/m²a] | | 27,08 |

| | | | Erzeuger 1 | Erzeuger 2 | Erzeuger 3 |
|---|---|---|---|---|---|
| $a_g$ | Wärmeerzeuger-Deckungsanteil | [-] | 95,00 % | 5,00 % | |
| $e_g$ | Wärmeerzeuger-Aufwandszahl | [-] | 0,26 | 1,00 | |
| $q_E$ | $q \times (e_g \times a_g)$ | [kWh/m²a] | 6,83 | 1,35 | |
| $f_p$ | Primärenergiefaktor | [-] | 1,80 | 1,80 | |
| $q_p$ | $Sq_{E,i} \times f_p$ | [kWh/m²a] | 11,93 | 2,44 | |

7,98 kWh/m²a Endenergie

14,37 kWh/m²a Primärenergie

### HILFSENERGIE (HE)

| | Bezeichnung/Quelle | Dimension | | |
|---|---|---|---|---|
| $q_{ce,HE}$ | Hilfsenergie Übergabe | [kWh/m²a] | + | - |
| $q_{d,HE}$ | Hilfsenergie Verteilung | [kWh/m²a] | | 0,91 |
| $q_{s,HE}$ | Hilfsenergie Speicherung | [kWh/m²a] | | 0,14 |

| | | | Erzeuger 1 | Erzeuger 2 | Erzeuger 3 |
|---|---|---|---|---|---|
| $a_g$ | Wärmeerzeuger-Deckungsanteil | [-] | 95,00 % | 5,00 % | |
| $q_{g,HE}$ | Hilfsenergie Erzeugung | [kWh/m²a] | - | - | |
| $a \times q_{g,HE}$ | | [kWh/m²a] | - | - | |

| | | | | |
|---|---|---|---|---|
| $Sq_{HE,E}$ | $q_{ce,HE} + q_{d,HE} + q_{s,HE} + Sq_{g,HE}$ | [kWh/m²a] | 1,06 | 1,06 kWh/m²a Endenergie |
| $f_p$ | Primärenergiefaktor | [-] | 1,80 | |
| $q_{HE,p}$ | $Sq_{HE,E} \times f_p$ | [kWh/m²a] | 1,88 | 1,88 kWh/m²a Primärenergie |

| | | | | | |
|---|---|---|---|---|---|
| $Q_{H,E}$ | $Sq_E \times A_N$ | WÄRME | 4924 | kWh/a | ENDENERGIE |
| | $Sq_{HE,E} \times A_N$ | HILFS-ENERGIE | 646 | kWh/a | |
| $Q_{H,p}$ | $(Sq_p + Sq_{HE,p}) \times A_N$ | | 10026 | kWh/a | PRIMÄRENERGIE |

## 7.5 Ergebnisse Trinkwassererwärmung

**Bereich:** Bereich 1 - zentral -
**TW-Strang:**

| | | |
|---|---|---|
| $Q_{TW}$ | 7712 kWh/a | Wärmebedarf |
| $A_N$ | 617,0 m² | Fläche |
| $q_{TW}$ | 12,50 kWh/m²a | $Q_{TW}/A_N$ |

### WÄRME (WE)

| | Rechenvorschrift/Quelle | Dimension | | |
|---|---|---|---|---|
| $q_{TW}$ | Trinkwasser-Wärmebedarf | [kWh/m²a] | | 12,50 |
| $q_{TW,ce}$ | Verluste Übergabe | [kWh/m²a] | + | - |
| $q_{TW,d}$ | Verluste Verteilung | [kWh/m²a] | | 6,72 |
| $q_{TW,s}$ | Verluste Speicherung | [kWh/m²a] | | 1,90 |
| S | ( $q_{TW}$ + $q_{TW,ce}$ + $q_{TW,d}$ + $q_{TW,s}$ ) | [kWh/m²a] | | 20,53 |

| | | | Erzeuger 1 | Erzeuger 2 | Erzeuger 3 |
|---|---|---|---|---|---|
| $n_{TW,g}$ | Wärmeerzeuger-Deckungsanteil | [-] | 100,00 % | | |
| $e_{TW,g}$ | Wärmeerzeuger-Aufwandszahl | [-] | 0,30 | | |
| $q_{TW,E}$ | $S q_{TW} \times ( e_{TW,g} \times \alpha_{TW,g} )$ | [kWh/m²a] | 6,20 | | |
| $F_{PE,i}$ | Primärenergiefaktor | [-] | 1,80 | | |
| $q_{TW,P}$ | $S_i q_{TW,Ei} \times f_{p,i}$ | [kWh/m²a] | 11,16 | | |

6,20 kWh/m²a Endenergie

11,16 kWh/m²a Primärenergie

### Heizwärmegutschriften

| | | |
|---|---|---|
| $q_{h,TW,d}$ | 3,02 [kWh/m²a] | Verteilung |
| $q_{h,TW,s}$ | 0,89 [kWh/m²a] | Speicherung |
| $q_{h,TW}$ | 3,61 [kWh/m²a] | Σ $q_{h,TW,d}$ + $q_{h,TW,s}$ |

### HILFSENERGIE (HE)

| (Strom) | Rechenvorschrift/Quelle | Dimension | | |
|---|---|---|---|---|
| $q_{TW,ce,HE}$ | Hilfsenergie Übergabe | [kWh/m²a] | | - |
| $q_{TW,d,HE}$ | Hilfsenergie Verteilung | [kWh/m²a] | + | 0,30 |
| $Q_{TW,s,HE}$ | Hilfsenergie Speicherung | [kWh/m²a] | | 0,04 |

| | | | Erzeuger 1 | Erzeuger 2 | Erzeuger 3 |
|---|---|---|---|---|---|
| $n_{TW,g}$ | Wärmeerzeuger-Deckungsanteil | [-] | 100,00 % | | |
| $q_{TW,g,HE}$ | Hilfsenergie Erzeugung | [kWh/m²a] | - | | |
| a X $q_{g,HE}$ | | [kWh/m²a] | 0,00 | | |
| $Sq_{TW,HE,E}$ | ( $q_{TW,ce,HE}$ + $q_{TW,d,HE}$ + $Sq_{g,HE}$ ) | [kWh/m²a] | | 0,34 | |
| $f_p$ | Primärenergiefaktor | [-] | | 1,80 | |
| $q_{TW,HE,p}$ | $Sq_{TW,HE,E} \times f_p$ | [kWh/m²a] | | 0,61 | |

0,34 kWh/m²a Endenergie

0,61 kWh/m²a Primärenergie

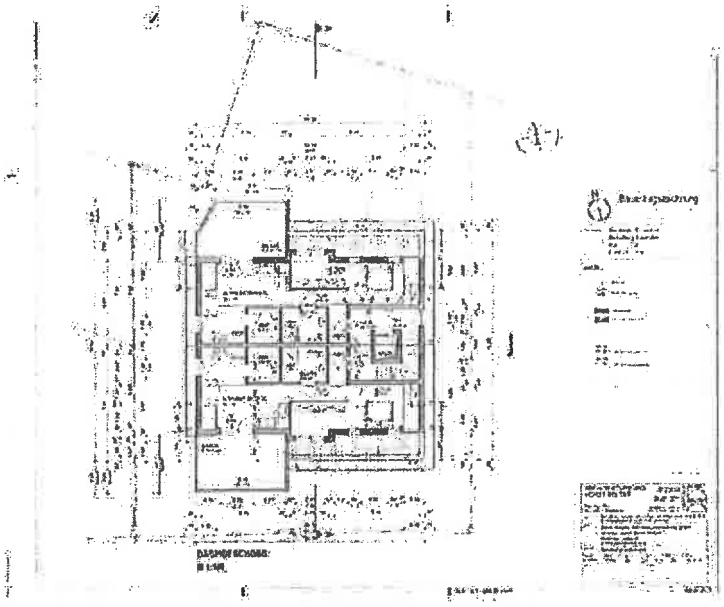
| | | | | |
|---|---|---|---|---|
| $q_{TW,E}$ | $Sq_{TW,E} \times A_N$ | WÄRME | 3825 | kWh/a |
| | $Sq_{TW,HE,E} \times A_N$ | HILFS-ENERGIE | 209 | kWh/a |
| $Q_{TW,P}$ | ( $Sq_{TW,P}$ + $Sq_{TW,HE,P}$ ) x $A_N$ | | 7262 | kWh/a |

ENDENERGIE

PRIMÄRENERGIE

# Sommerlicher Wärmeschutznachweis

nach DIN 4108-2: 2013-02 Abschnitt 8



| | |
|---|---|
| Gebäude: | Boenerstr. 36<br>53879 Euskirchen |
| Auftraggeber: | Guido Metzen Vermögensverwaltung GmbH<br>Unter den Linden 11<br>53902 Bad Münstereifel |
| Variante: | - |
| Erstellt von: | Sachverständigenbüro für Bauphysik<br>und Schäden an Gebäuden<br>Norbert Komsthöft<br>Dr.-Gottfried-Cremer-Allee 29<br>502226 Frechen<br>+49 2234 99013-70<br>+49 2234 99013-99<br>norbert@komsthoeft.de |
| Erstellt am:<br>Geändert am: | 15.01.2022<br>15.01.2022 |

**Zusammenfassung:**

**Alle Räume, die dem ständigen Aufenthalt von Personen dienen benötigen einen außenliegenden Sonnenschutz. In unserer Berechnung wurden außenliegende Rollläden berücksichtigt.**

## 1. Nachweis für Raum "Kind"

### Erfassungsdaten

Raum: Kind
Grundfläche $A_G$: 11,80 m²

Fenster:

| Nr. | Bezeichnung | Orientierung Neigung | dauerhaft verschattet | $F_c$* | Sonnenschutz permanent | $F_s$ | g | $g_{total}$ | Fläche [m²] |
|---|---|---|---|---|---|---|---|---|---|
| 1 | Fenster 1 | > 60° | nein | 0,30 | nein | 0,90 | 0,55 | 0,149 | 2,81 |

Berechneter Sonneneintragskennwert 0,035

### Maximal zulässiger Sonneneintragswert

| Zuschlagswerte: | | | |
|---|---|---|---|
| Klimaregion | ( Klimazone C - sommerheiß ) | | |
| Gebäudebauart | ( mittlere Bauart - 50 bis 130 Wh/(Km²) ) | | |
| Nachtlüftung | ( ohne Nachtlüftung ) | : | 0,054 |
| Fensterflächenanteil | | : | 0,005 |
| Sonnenschutzverglasung | ( Nein ) | : | 0,000 |
| Fensterneigung | | : | 0,000 |
| Orientierung | | : | 0,000 |
| Einsatz passiver Kühlung | ( Nein ) | : | 0,000 |

Maximal zulässiger Sonneneintragskennwert : 0,059

### Ergebnis

| | |
|---|---|
| **Anforderung erfüllt !** | **0,035 < 0,059** |

* Legende:

| | | (Sonnenschutzglas) zweifach | dreifach | zweifach |
|---|---|---|---|---|
| $F_c$ | = Sonnenschutzfaktor | | | |
| | Ohne Sonnenschutzvorrichtung | $F_c = 1,00^a$ | $F_c = 1,00^b$ | $F_c = 1,00^c$ |
| | Innenliegend oder zwischen den Scheiben | | | |
| | weiß oder hoch reflektierende Oberfläche mit geringe Transparenz | $F_c = 0,65^a$ | $F_c = 0,70^b$ | $F_c = 0,65^c$ |
| | helle Farben oder geringe Transparenz | $F_c = 0,75^a$ | $F_c = 0,80^b$ | $F_c = 0,75^c$ |
| | dunkle Farben oder höhere Transparenz | $F_c = 0,90^a$ | $F_c = 0,90^b$ | $F_c = 0,85^c$ |
| | Außenliegend | | | |
| | Fensterläden, Rollläden | $F_c = 0,35^a$ | $F_c = 0,30^b$ | $F_c = 0,30^c$ |
| | Fensterläden, Rollläden, 3/4 geschlossen | $F_c = 0,15^a$ | $F_c = 0,10^b$ | $F_c = 0,10^c$ |
| | Fensterläden, Rollläden, geschlossen | | | |
| | Jalousien und Raffstore, drehbare Lamellen | $F_c = 0,30^a$ | $F_c = 0,25^b$ | $F_c = 0,25^c$ |
| | Jalousien und Raffstore, drehbare Lamellen, 45° Lamellenstellung | $F_c = 0,20^a$ | $F_c = 0,15^b$ | $F_c = 0,15^c$ |
| | Jalousien und Raffstore, drehbare Lamellen, 10° Lamellenstellung | $F_c = 0,30^a$ | $F_c = 0,25^b$ | $F_c = 0,25^c$ |
| | Markisen, parallel zur Verglasung | $F_c = 0,55^a$ | $F_c = 0,50^b$ | $F_c = 0,50^c$ |
| | Vordächer, Markisen allgemein, freistehende Lamellen | | | |
| | mit a = g ≤ 0,40 - Sonnenschutzglas, zweifach; b = g > 0,40 - dreifach; c = g > 0,40 - zweifach | | | |
| $F_s$ | = Verschattung (Teilbestrahlungsfaktor) | | | |
| g | = Durchlassgrad Verglasung | | | |
| $g_{tot}$ | = Gesamtdurchlassgrad | | | |

## 2. Nachweis für Raum "Wohnen"

### Erfassungsdaten

Raum: Wohnen
Grundfläche $A_g$: 32,58 m²

Fenster:

| Nr. | Bezeichnung | Orientierung Neigung | dauerhaft verschattet | $F_c$* | Sonnenschutz permanent | $F_s$ | g | $g_{total}$ | Fläche [m²] |
|---|---|---|---|---|---|---|---|---|---|
| 1 | Fenster 1 | > 60° | nein | 0,30 | nein | 0,90 | 0,55 | 0,149 | 8,36 |

Berechneter Sonneneintragskennwert 0,038

### Maximal zulässiger Sonneneintragswert

Zuschlagswerte:

| | | | |
|---|---|---|---|
| Klimaregion | ( Klimazone C - sommerheiß ) | | |
| Gebäudebauart | ( mittlere Bauart - 50 bis 130 Wh/(Km²) ) | | |
| Nachtlüftung | ( ohne Nachtlüftung ) | : | 0,054 |
| Fensterflächenanteil | | : | 0,001 |
| Sonnenschutzverglasung | ( Nein ) | : | 0,000 |
| Fensterneigung | | : | 0,000 |
| Orientierung | | : | 0,000 |
| Einsatz passiver Kühlung | ( Nein ) | : | 0,000 |

Maximal zulässiger Sonneneintragskennwert : 0,055

### Ergebnis

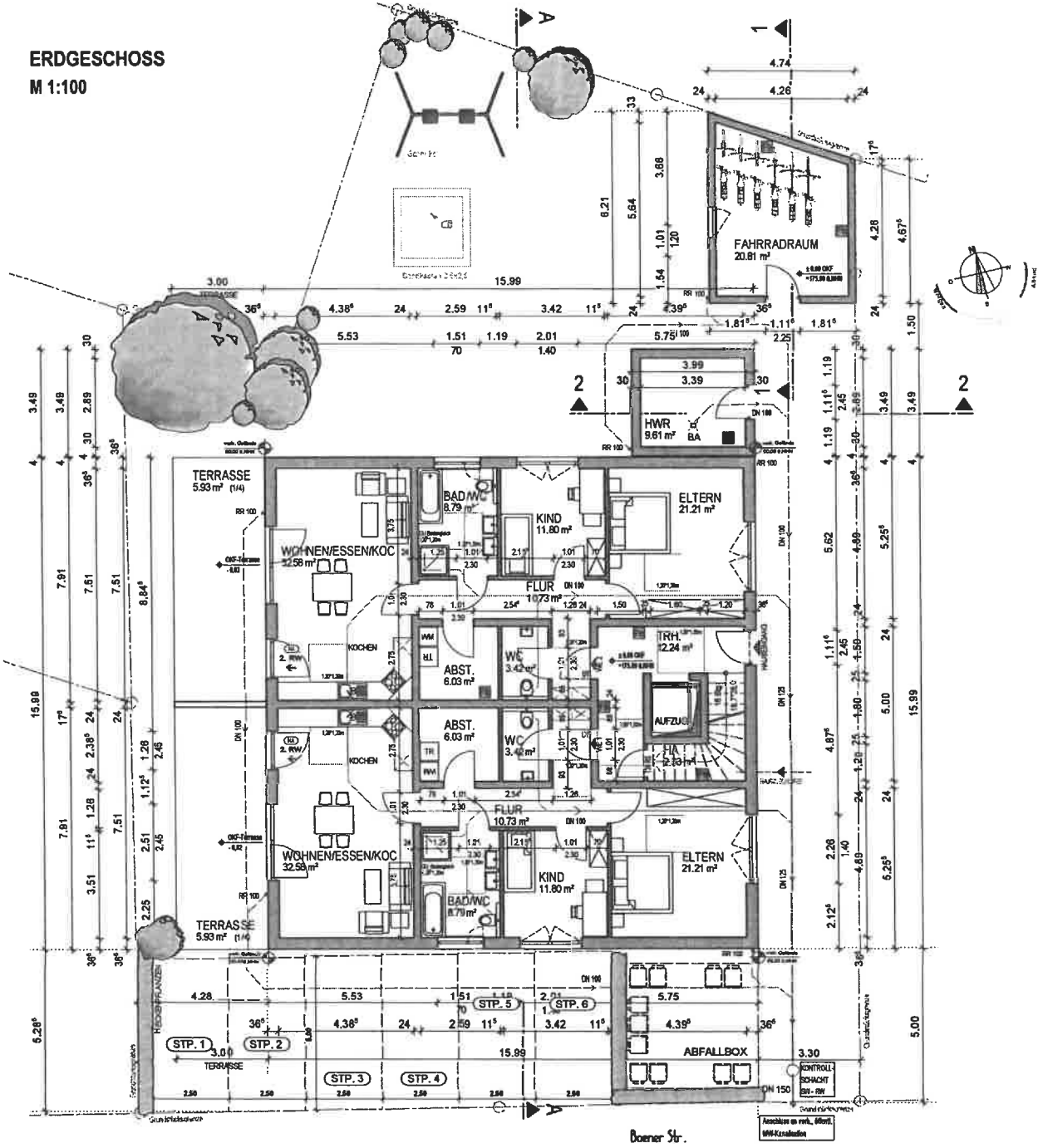
**Anforderung erfüllt !** **0,038 < 0,055**

* Legende:

| | | (Sonnenschutzglas) zweifach | dreifach | zweifach |
|---|---|---|---|---|
| $F_c$ | = Sonnenschutzfaktor | | | |
| | Ohne Sonnenschutzvorrichtung | $F_c = 1,00^a$ | $F_c = 1,00^b$ | $F_c = 1,00^c$ |
| | Innenliegend oder zwischen den Scheiben | | | |
| | weiß oder hoch reflektierende Oberfläche mit geringe Transparenz | $F_c = 0,65^a$ | $F_c = 0,70^b$ | $F_c = 0,65^c$ |
| | helle Farben oder geringe Transparenz | $F_c = 0,75^a$ | $F_c = 0,80^b$ | $F_c = 0,75^c$ |
| | dunkle Farben oder höhere Transparenz | $F_c = 0,80^a$ | $F_c = 0,90^b$ | $F_c = 0,85^c$ |
| | Außenliegend | | | |
| | Fensterläden, Rollläden | | | |
| | Fensterläden, Rollläden, 3/4 geschlossen | $F_c = 0,35^a$ | $F_c = 0,30^b$ | $F_c = 0,30^c$ |
| | Fensterläden, Rollläden, geschlossen | $F_c = 0,15^a$ | $F_c = 0,10^b$ | $F_c = 0,10^c$ |
| | Jalousien und Raffstore, drehbare Lamellen | | | |
| | Jalousien und Raffstore, drehbare Lamellen, 45° Lamellenstellung | $F_c = 0,30^a$ | $F_c = 0,25^b$ | $F_c = 0,25^c$ |
| | Jalousien und Raffstore, drehbare Lamellen, 10° Lamellenstellung | $F_c = 0,20^a$ | $F_c = 0,15^b$ | $F_c = 0,15^c$ |
| | Markisen, parallel zur Verglasung | $F_c = 0,30^a$ | $F_c = 0,25^b$ | $F_c = 0,25^c$ |
| | Vordächer, Markisen allgemein, freistehende Lamellen | $F_c = 0,55^a$ | $F_c = 0,50^b$ | $F_c = 0,50^c$ |
| | mit a = g ≤ 0,40 - Sonnenschutzglas, zweifach; b = g > 0,40 - dreifach; c = g > 0,40 - zweifach | | | |
| $F_s$ | = Verschattung (Teilbestrahlungsfaktor) | | | |
| g | = Durchlassgrad Verglasung | | | |
| $g_{tot}$ | = Gesamtdurchlassgrad | | | |

# ERDGESCHOSS

**M 1:100**




## Bauantragszeichnung

Gemeinde Euskirchen
Gemarkung Euskirchen
Flur 2
Flurstück 716

Legende:

- Notausgang
- 2. RW — Zweite Rettungsweg
- Feuerbeständig (Fb)
- Hochfeuerhemmend (hfh)
- DN 100 — RW-Regenwasserleitung
- DN 100 — SW-Schmutzwasserleitung

ARCHITEKTURBÜRO
HORST BELTER
Dipl. Ing. (FH)
Architekt + Stadtplaner
Sendergasse 22
53879 Euskirchen
Tel. 02251 - 9560-0
Fax 02251 - 9560-19
info@architekt-belter.eu
www.architekt-belter.eu

Bauvorhaben: Neubau eines Mehrfamilienhauses mit 6 WE
Boenerstraße 36, 53879 Euskirchen

Bauherr: Guido Metzen Vermögensverwaltung GmbH
vertreten durch Guido Metzen
Unter der Linden 11
53902 Bad Münstereifel

Plantitel: ERDGESCHOSS

| Maßstab | Maßstab | gez. | Datum | Plannummer | Projekt |
|---|---|---|---|---|---|
| 410/500 | 1:100 | JS | 10.11.2021 | 01 | 11-21 |

Bauherr: Architekt:

H/B = 410 / 500 (0.21 m²)

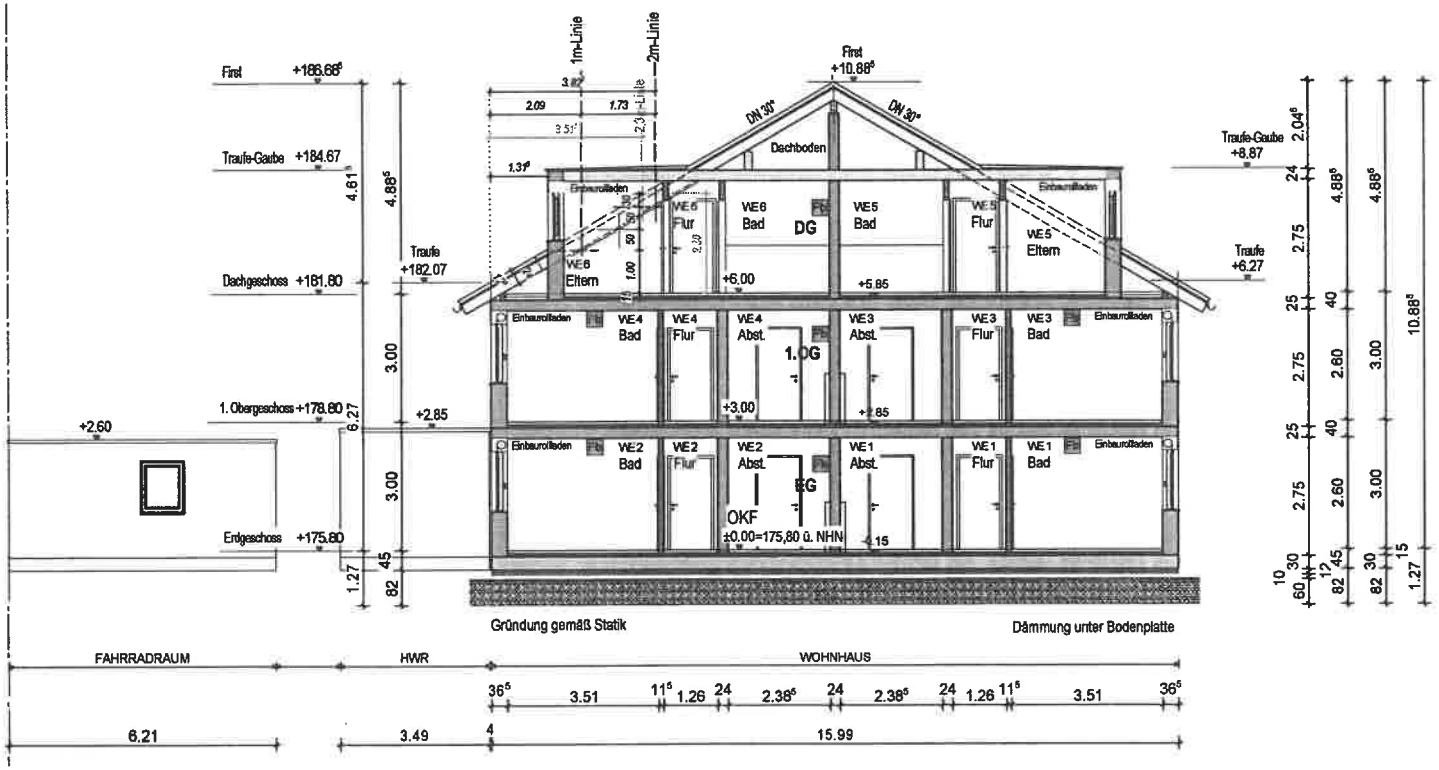
Allplan 2020

# Bauantragszeichnung

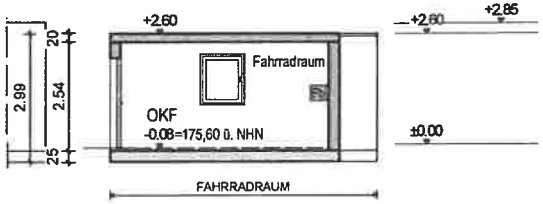
Grundstücksdaten:
Gemeinde Euskirchen
Gemarkung Euskirchen
Flur 2
Flurstück 716

Legende:

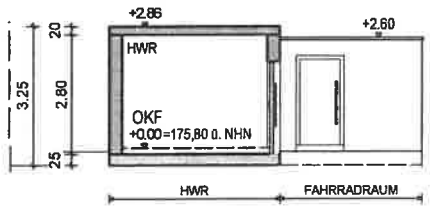
- Notausgang
- 2. RW – Zweite Rettungsweg
- Feuerbeständig (Fb)
- Hochbeuarhemmend (hfh)
- DN 100 – RW-Regenwasserleitung
- DN 100 – SW-Schmutzwasserleitung




## SCHNITT A-A
M 1:100




## SCHNITT 1-1 (Fahrradraum)
M 1:100




## SCHNITT 2-2 (HWR)
M 1:100

ARCHITEKTURBÜRO
HORST BELTER
Dipl. Ing. (FH)
Architekt + Stadtplaner
Bendengasse 22
53879 Euskirchen
Tel. 02251 - 9550-0
Fax 02251 - 9550-19
info@architekt-belter.eu
www.architekt-belter.eu

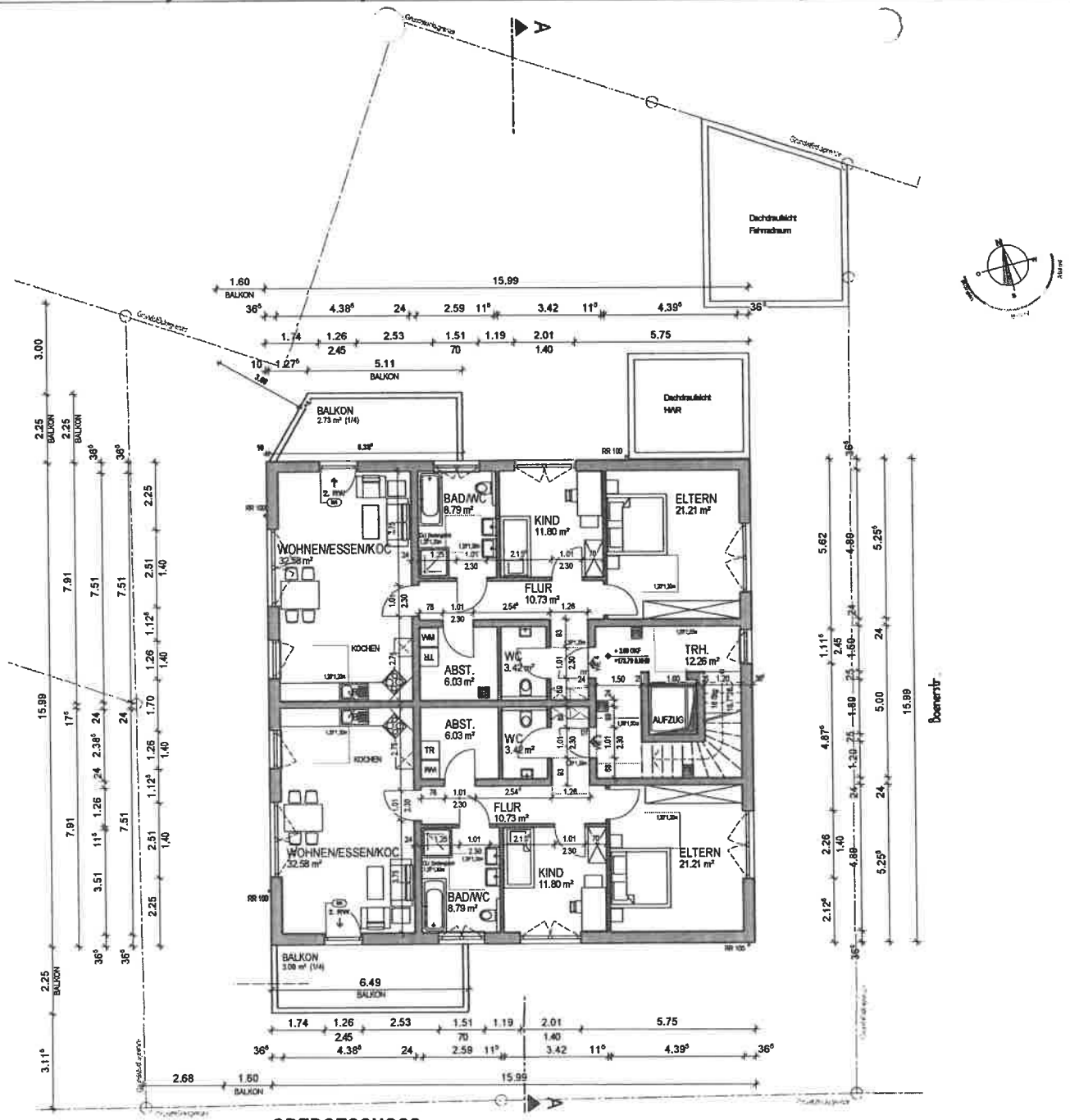
Baumaßnahme: Neubau eines Mehrfamilienhauses mit 6 WE
Boenerstraße 36, 53879 Euskirchen

Bauherr: Guido Metzen Vermögensverwaltung GmbH
vertreten durch Guido Metzen
Unter der Linden 11
53902 Bad Münstereifel

Planinhalt: SCHNITT A-A, 1-1, 2-2

| Gezeichnet | Maßstab | gez. | Datum | Bearbeitungsstand | Projekt-Nr. |
|---|---|---|---|---|---|
| 410/500 | 1:100 | JS | 10.11.2021 | 06 | 2021-13 |

Bauherr: Architekt:




**OBERGESCHOSS**

**M 1:100**

# Bauantragszeichnung

Gemeinde Euskirchen
Gemarkung Euskirchen
Flur 2
Flurstück 716

Legende:

- Notausgang
- 2. RW — Zweite Rettungsweg
- Feuerbeständig (Fb)
- Hochfeuerhemmend (hfh)
- DN 100 — RW-Regenwasserleitung
- DN 100 — SW-Schmutzwasserleitung

ARCHITEKTURBÜRO HORST BELTER
Dipl. Ing. (FH)
Architekt + Stadtplaner
Bendelgasse 22
53879 Euskirchen
Tel. 02251 - 9550-0
Fax 02251 - 9550-19
info@architekt-belter.eu
www.architekt-belter.eu

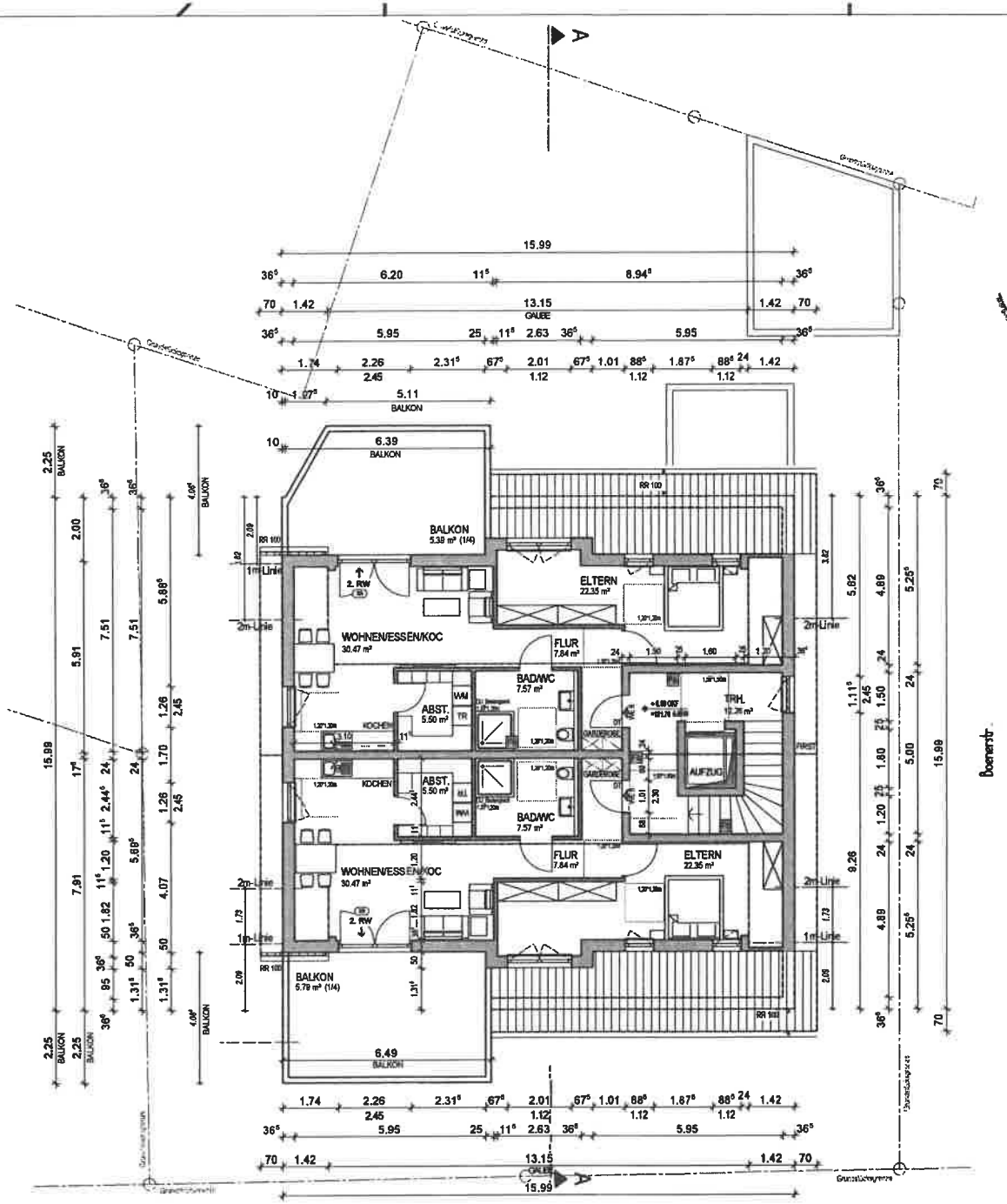
Neubau eines Mehrfamilienhauses mit 6 WE
Boenerstraße 36, 53879 Euskirchen

Bauherr: Guido Metzen Vermögensverwaltung GmbH
vertreten durch Guido Metzen
Unter der Linden 11
53902 Bad Münstereifel

Planinhalt: OBERGESCHOSS

| Maßstab | Datum | gez. | Datum | Änderung | Projekt |
|---|---|---|---|---|---|
| 410/500 | 1:100 | JS | 10.11.2021 | 02 | 2021-13 |

Bauherr: Architekt:




**DACHGESCHOSS**
**M 1:100**

## Bauantragszeichnung

Gemeinde Euskirchen
Gemarkung Euskirchen
Flur 2
Flurstück 716

Legende:

Notausgang
2. RW Zweite Rettungsweg
Feuerbeständig (Fb)
Hochfeuerhemmend (hfh)
DN 100 RW-Regenwasserleitung
DN 100 SW-Schmutzwasserleitung

Anlage
zur geprüften statischen Berechnung
Prüf-Nr.: 211566 01PS
zum Prüfverzeichnis von 21
Zugehöriger Prüfbericht Nr.: 1
Bonn, den 10.01.22
Prüfingenieur für Baustatik
Staatlich anerkannter Sachverständiger
Dipl.-Ing. Wulf Zillinger

S. HZI-1 bis HZI-8

ARCHITEKTURBÜRO
HORST BELTER
Dipl. Ing. (FH)
Architekt + Stadtplaner
Sonnenglanz 22
53879 Euskirchen
Tel. 02251 - 8550-0
Fax 02251 - 8550-19
info@architekt-belter.eu
www.architekt-belter.eu

Bauvorhaben: Neubau eines Mehrfamilienhauses mit 6 WE
Boenerstraße 36, 53879 Euskirchen

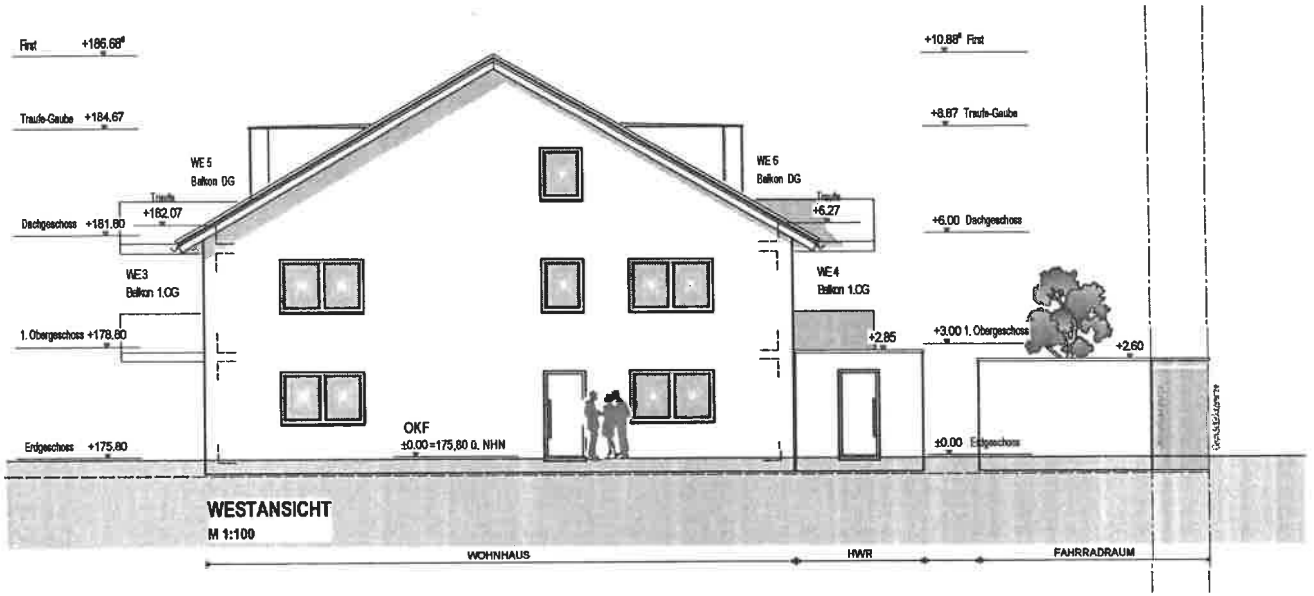
Bauherr: Guido Metzen Vermögensverwaltung GmbH
vertreten durch Guido Metzen
Unter der Linden 11
53902 Bad Münstereifel

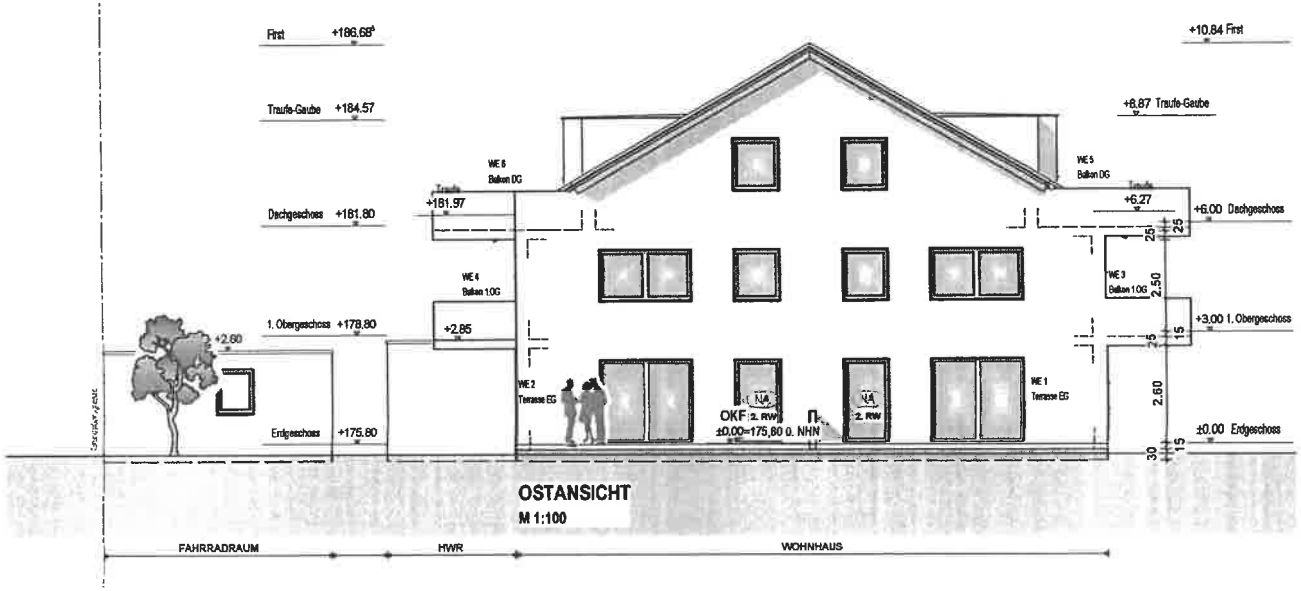
Produkt: DACHGESCHOSS

| Maßstab | Format | gez. | Datum | Referenz | Projekt-Nr. |
|---|---|---|---|---|---|
| 410/500 | 1:100 | JB | 10.11.2021 | 03 | 2021-13 |

H/B = 410 / 500 (0.21 m²)

Allplan 2020







# Bauantragszeichnung

Gemeinde Euskirchen
Gemarkung Euskirchen
Flur 2
Flurstück 716

Legende:

Notausgang
2. RW Zweite Rettungsweg
Feuerbeständig (Fb)
Hochfeuerhemmend (fhh)
DN 100 RW-Regenwasserleitung
DN 100 SW-Schmutzwasserleitung

ARCHITEKTURBÜRO
HORST BELTER
Sonderngasse 22
53879 Euskirchen
Tel. 02251 - 9550-0
Fax 02251 - 9550-19
Dipl. Ing. (FH)
Architekt + Stadtplaner
info@architekt-belter.eu
www.architekt-belter.eu

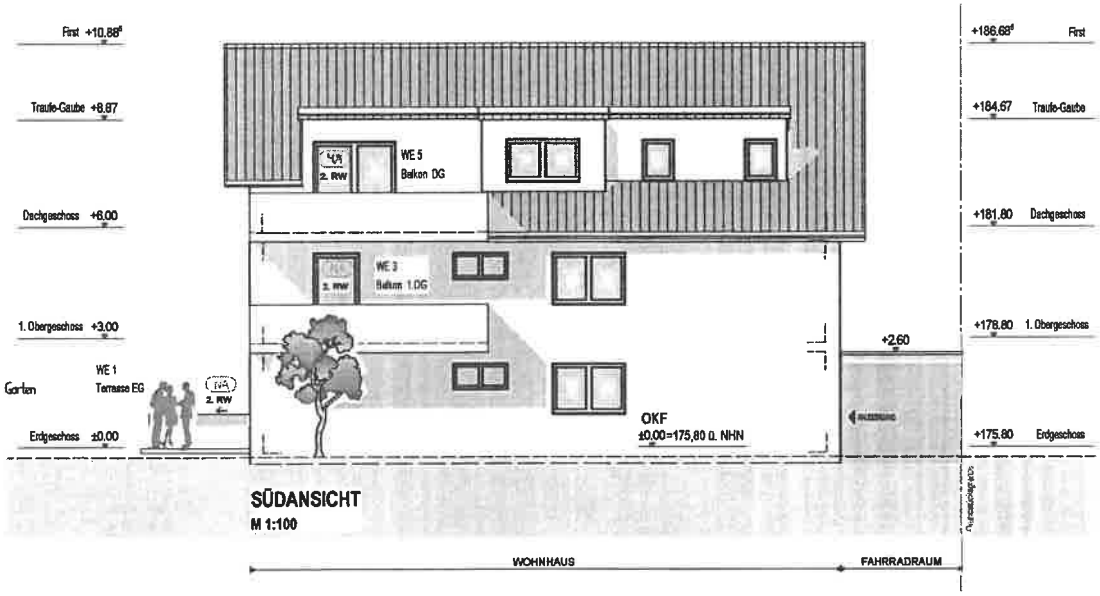
Neubau eines Mehrfamilienhauses mit 6 WE
Boenerstraße 36, 53879 Euskirchen

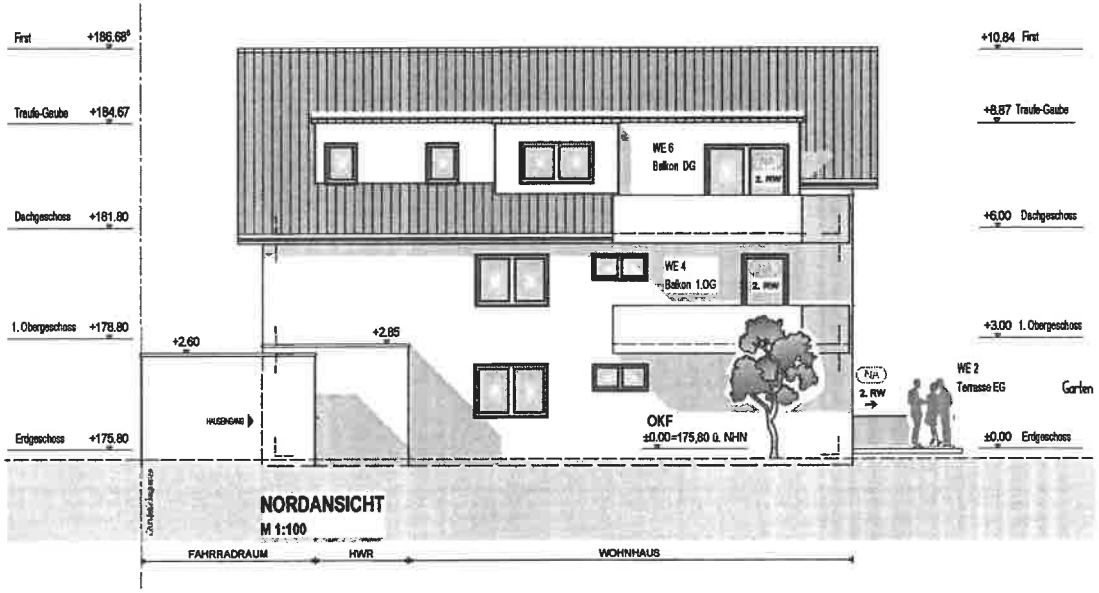
Bauherr:
Guido Metzen Vermögensverwaltung GmbH
vertreten durch Guido Metzen
Unter der Linden 11
53902 Bad Münstereifel

Planinhalt: ANSICHT

| Maßstab | Maßstab | gez. | Datum | Änderungsnr. | Projektnr. |
|---|---|---|---|---|---|
| 410/500 | 1:100 | JS | 10.11.2021 | 05 | 2021-13 |

Bauherr: Architekt:




# Bauantragszeichnung

Gemeinde Euskirchen
Gemarkung Euskirchen
Flur 2
Flurstück 716

Legende:

- Notausgang
- 2. RW – Zweite Rettungsweg
- Feuerbeständig (fb)
- Hochfeuerhemmend (hfh)
- DN 100 – RW-Regenwasserleitung
- DN 100 – SW-Schmutzwasserleitung

ARCHITEKTURBÜRO
HORST BELTER
Dipl. Ing. (FH)
Architekt + Stadtplaner
Bendengasse 22
53879 Euskirchen
Tel. 02251 - 9550-0
Fax 02251 - 9550-19
info@architekt-belter.eu
www.architekt-belter.eu

Bauvorhaben: Neubau eines Mehrfamilienhauses mit 6 WE
Boegnerstraße 38, 53879 Euskirchen

Bauherr: Guido Metzen Vermögensverwaltung GmbH
vertreten durch Guido Metzen
Unter der Linden 11
53902 Bad Münstereifel

Planinhalt: ANSICHT

| Maßstab | Blattgröße | gez. | Datum | Änderungsindex | Projekt-Nr. |
|---|---|---|---|---|---|
| 410/500 | 1:100 | JS | 10.11.2021 | 04 | 2021-13 |

Bauherr | Planinhalt



H/B = 410 / 500 (0.21 m²)

Allplan 2020

Anlage zur Urkunde des Notars
Marc C. Lehmann in Bad Münstereifel
UVz. Nr. 0978/2022

Anlage 5

HZI-1

KomPlan GmbH

Ingenieurbüro für Tragwerksplanung
Technische Planung für Betonfertigteile


Ing. Büro für Tragwerksplanung
Technische Planung für
Betonfertigteile

fon 02234 99013-10
fax 02234 99013-99
Dr.-Gottfried-Cremer-Allee 29
50226 Frechen

info@komplan.koeln
www.komplan.koeln

Gesellschafter:
Norbert Komsthöft

Geschäftsführer:
Norbert Komsthöft
Joachim Komsthöft

HRB 71403

Steuernummer
219/5823/2109


# Statische Berechnung

**Auftrag-Nr.:** 9-21-222

**Bauvorhaben:**
Neubau eines Mehrfamilienhauses mit 6 WE
Boenerstraße 36
53879 Euskirchen
Deutschland

**Bauherr:**
Guido Metzen Vermögensverwaltung GmbH
Guido Metzen
Unter der Linden 11
53902 Bad Münstereifel

**Tragwerksplanung:**
KomPlan GmbH
Joachim Komsthöft
Dr. Gottfried-Cremer-Allee 29
50226 Frechen

**Architekt:**
Architekturbüro Horst Belter
Horst Belter
Bendengasse 22
53879 Euskirchen

in bautechnischer Hinsicht geprüft
Standsicherheit x - statisch konstruktiver Brandschutz
Prüf-Nr.: 211566 01PS
des Prüfverzeichnisses von 21
Zugehöriger Prüfbericht Nr.: 1
**Dr.-Ing. Wulf Zillinger**
Beratender Ingenieur
von der Ingenieurkammer-Bau NRW
staatlich anerkannter Sachverständiger
für die Prüfung der Standsicherheit,
Fachrichtung Massivbau
Bonn, den 10.03.2022
(Unterschrift)

S. HZI-1 bis HZI-458

Frechen, den 16.02.2022

Joachim Komsthöft

Inhaltsverzeichnis


| Position | Beschreibung | Seite |
|---|---|---|
| TB | Titelblatt | 1 |
| | Inhalt | 2 |
| 0.01 | Vorbemerkungen | 3 |
| 0.02 | Wind- und Schneelastzonen | 5 |
| 0.03 | Wind- und Schneelasten | 6 |
| 0.06 | Erdbebennachweis | 9 |
| 0.08 | Konstruktiver Brandschutznachweis | 15 |
| Dach | | 16 |
| 1.01 | Holz-Dach | 17 |
| 1.02 | Holz-Dach | 33 |
| 1.03 | Holz-Dach | 45 |
| 1.04 | Holz-Firstpfette | 63 |
| 1.05 | Holz-Firststütze | 71 |
| Dachgeschoss | | 73 |
| 2.01 | Holz-Kehlbalkenlage | 74 |
| 2.02 | Holz-Kehlbalkenlage | 78 |
| 2.03 | Stb-Decke | 87 |
| 2.04 | Holz-Mittelpfette | 120 |
| 2.05 | Stb-Ringbalken | 126 |
| 2.07 | Stb-Unterzug | 129 |
| 2.08 | Stb-Ringbalken | 129 |
| 2.09 | Stahlstütze | 130 |
| Obergeschoss | | 133 |
| 3.01 | Stb-Treppe | 134 |
| 3.02 | Stb-Decke | 142 |
| 3.03 | Stb-deckengl. Balken | 217 |
| 3.04 | Stb-Ringbalken | 217 |
| 3.05 | Stb-Unterzug | 217 |
| 3.06 | Mauerwerk | 218 |
| 3.07 | Mauerwerk | 220 |
| 3.08 | Mauerwerk | 222 |
| 3.09 | Stb-Aufzugswände | 224 |
| 3.10 | Stb-Zugstütze | 224 |
| Erdgeschoss | | 225 |
| 4.01 | Stb-Treppe | 226 |
| 4.02 | Stb-Decke | 227 |
| 4.03 | Stb-deckengl. Balken | 320 |
| 4.04 | Stb-Ringbalken | 320 |
| 4.05 | Stb-Unterzug | 320 |
| 4.06 | Mauerwerk | 321 |
| 4.07 | Mauerwerk | 323 |
| 4.08 | Mauerwerk | 325 |
| 4.09 | Stb-Aufzugswände | 327 |
| 4.10 | Stb-Decke | 328 |
| 4.11 | Mauerwerk | 352 |
| 4.12 | Stb-Decke | 354 |
| 4.13 | Mauerwerk | 378 |
| Gründung | | 380 |
| 5.01 | Stb-Bodenplatte | 381 |
| 5.02 | Stb-Bodenplatte | 430 |
| 5.03 | Stb-Bodenplatte | 444 |
| SB | Schlussblatt | 458 |


√

## Pos. 0.01 Vorbemerkungen

Dem Standsicherheitsnachweis liegen zugrunde:

- die Bauantragspläne
- die zur Zeit gültigen DIN-Normen und Vorschriften

Allgemein:
Nachfolgend wird der Neubau eines Mehrfamilienhauses in Euskirchen gerechnet. Die Decken werden in Stahlbeton und die Wände mit Bims-Mauerwerk ausgeführt. Gegründet wird das Gebäude mittels tragender Bodenplatte.

Aussteifung:
Das Gebäude verfügt über eine ausreichende Anzahl und Länge aussteifender Wände in beiden Richtungen. Auf einen Detailnachweis kann daher verzichtet werden.

Erdbeben:
Das Gebäude befindet sich in Erdbebenzone 2 in der Untergrundklasse T und Baugrundklasse C. Nachweis siehe Pos 0.06.

Mauerwerk:
**Bei der Erstellung der Mauerwerkswände/Flachstürze sind die Verarbeitungshinweise der Hersteller zu beachten.**
**So ist z.B. bei Hochlochziegelmauerwerk zwischen Mauerwerk und Stb-Decke eine Bitumenpappe einzulegen.**

Gründung:
Es lag ein Bodengutachten von GfB Baustoffprüfstelle Erft-Labor GmbH vom 31.01.2022 vor. Demnach kann mit einem Bettungsmodul von 10 MN/m3 gerechnet werden.

Sonstiges:
Alle nachfolgend nicht aufgeführten Bauteile werden von anderer Seite nachgewiesen. Bauteile und Anschlüsse der Konstruktion, die im Rahmen dieser Statik nicht nachgewiesen wurden, sind konstruktiv ausreichend zu dimensionieren und den allgemein anerkannten Regeln der Baukunst entsprechend auszubilden. Für die Standsicherheit während der Montage haftet der ausführende Unternehmer.
**Änderungen, die das statische System betreffen dürfen nur mit Genehmigung des Aufstellers dieser Statik vorgenommen werden!**
Bei Bauvorhaben, die der Prüfpflicht unterliegen (s. Baugenehmigung), ist die Statik nur in Verbindung mit dem aktuellen Prüfbericht gültig. Eventuelle Grüneintragungen sind bei der Ausführung zu beachten!

√

## Angaben zu vertikalen Schlitzen und Aussparungen nach DIN EN 1996-1-1/NA Tabelle NA.19

**Tabelle NA.19 — Ohne Nachweis zulässige Größe $t_{ch,v}$ vertikaler Schlitze und Aussparungen im Mauerwerk**

| 1 | 2 | 3 | 4 | 5 | 6 | 7 |
|---|---|---|---|---|---|---|
| Wanddicke mm | Nachträglich hergestellte Schlitze und Aussparungen[c] | | Mit der Errichtung des Mauerwerks hergestellte Schlitze und Aussparungen im gemauerten Verband | | | |
| | maximale Tiefe[a] $t_{ch,v}$ mm | maximale Breite[b] (Einzelschlitz) mm | Verbleibende Mindest-wanddicke mm | maximale Breite[b] mm | Mindestabstand der Schlitze und Aussparungen | |
| | | | | | von Öffnungen | untereinander |
| 115 bis 149 | 10 | 100 | --- | --- | ≥ 2fache Schlitzbreite bzw. ≥ 240 mm | ≥ Schlitzbreite |
| 150 bis 174 | 20 | 100 | --- | --- | | |
| 175 bis 199 | 30 | 100 | 115 | 260 | | |
| 200 bis 239 | 30 | 125 | 115 | 300 | | |
| 240 bis 299 | 30 | 150 | 115 | 385 | | |
| 300 bis 364 | 30 | 200 | 175 | 385 | | |
| ≥ 365 | 30 | 200 | 240 | 385 | | |

a Schlitze, die bis maximal 1 m über den Fußboden reichen, dürfen bei Wanddicken ≥ 240 mm bis 80 mm Tiefe und 120 mm Breite ausgeführt werden.

b Die Gesamtbreite von Schlitzen nach Spalte 3 und Spalte 5 darf je 2 m Wandlänge die Maße in Spalte 5 nicht überschreiten. Bei geringeren Wandlängen als 2 m sind die Werte in Spalte 5 proportional zur Wandlänge zu verringern.

c Abstand der Schlitze und Aussparungen von Öffnungen ≥ 115 mm.

## Angaben zu nachträglich hergestellten horizontalen und schrägen Schlitzen nach DIN EN 1996-1-1/NA Tabelle NA.20

**Tabelle NA.20 — Ohne Nachweis zulässige Größe $t_{ch,h}$ horizontaler und schräger Schlitze im Mauerwerk**

| Wanddicke mm | Maximale Schlitztiefe $t_{ch,h}$[a] mm | |
|---|---|---|
| | Unbeschränkte Länge | Länge ≤ 1 250 mm [b] |
| 115-149 | - | - |
| 150-174 | - | 0 [c] |
| 175–239 | 0[c] | 25 |
| 240–299 | 15[c] | 25 |
| 300-364 | 20[c] | 30 |
| über 365 | 20[c] | 30 |

a Horizontale und schräge Schlitze sind nur zulässig in einem Bereich ≤ 0,4 m ober- oder unterhalb der Rohdecke sowie jeweils an einer Wandseite. Sie sind nicht zulässig bei Langlochziegeln.

b Mindestabstand in Längsrichtung von Öffnungen ≥ 490 mm, vom nächsten Horizontalschlitz zweifache Schlitzlänge.

c Die Tiefe darf um 10 mm erhöht werden, wenn Werkzeuge verwendet werden, mit denen die Tiefe genau eingehalten werden kann. Bei Verwendung solcher Werkzeuge dürfen auch in Wänden ≥ 240 mm gegenüberliegende Schlitze mit jeweils 10 mm Tiefe ausgeführt werden.

**Horizontale und schräge Schlitze in Langlochziegeln sind jedoch nicht zulässig!**

√

## Pos. 0.02 Wind- und Schneelastzonen

**Gebäude**

| | | | | | |
|---|---|---|---|---|---|
| Gebäudestandort | Postleitzahl | PLZ | = | 53881 | |
| | Ortsname | Ort | = | Euskirchen | |
| Gemeinde | Gemeindeschlüssel | AGS | = | 05366016 | |
| | Bundesland | Nordrhein-Westfalen | | | |
| Geodätische Daten | Geogr. Breite | $\phi$ | = | 50.64900 | ° |
| | Geogr. Länge | $\lambda$ | = | 6.78400 | ° |
| Geograf. Daten | Geländehöhe ü. NN | $H_S$ | = | 179.00 | m |
| | Windzone | WZ | = | 2 | |
| | Schneelastzone | SLZ | = | 2 | |
| | char. Schneelast | $s_k$ | = | 0.85 | kN/m² |

## Pos. 0.03 Wind- und Schneelasten

**System** — Gebäudedaten

**Abmessungen**

| | | | |
|---|---|---|---|
| Gebäudebreite | B = | 16.00 | m |
| Gebäudelänge | L = | 16.00 | m |
| Gebäudehöhe | H = | 10.89 | m |

**Geograf. Angaben**

| | | | |
|---|---|---|---|
| Geländehöhe über NN | A = | 179.00 | m |
| Windzone | WZ = | 2 | |
| Schneelastzone | SLZ = | 2 | |
| Standort | | Binnenland | |

**Geometrie** — Satteldach

| | | | |
|---|---|---|---|
| Neigung links | $\alpha_l$ = | 30.00 | ° |
| Neigung rechts | $\alpha_r$ = | 30.00 | ° |

**Wandöffnungen** — geschlossene Außenwände

**Einwirkungen** — Einwirkungen nach DIN EN 1990:2010-12

**Qk.S** — Schnee
Schnee- und Eislasten für Orte bis NN + 1000 m
Qk.S min/max Werte

**Qk.W** — Wind
Windlasten
Qk.W min/max Werte

**Windlasten** — Windlastermittlung nach DIN EN 1991-1-4:2010-12

Ermittlung im Regelfall nach NA.B.3.3
Anströmrichtung 0° auf Traufe links

| | | | |
|---|---|---|---|
| Basiswindgeschwindigkeit | $v_{b,0}$ = | 25.00 | m/s |
| Basisgeschwindigkeitsdruck | $q_{b,0}$ = | 0.39 | kN/m² |
| Bezugshöhe | $z_e$ = | 10.89 | m |
| Geschwindigkeitsdruck | $q_p$ = | 0.68 | kN/m² |
| Lasteinflussfläche | A ≥ | 10.00 | m² |

**Qk.W.000** — Bereichsgröße

**Richtung Θ=0°**

| | | |
|---|---|---|
| $e_D$ = | 16.00 | m |
| $e_W$ = | 16.00 | m |

| Bereich | d,b [m] | h [m] | $c_{pe,1}$ [-] | $c_{pe,10}$ [-] | $w_{e,10}$ [kN/m²] |
|---|---|---|---|---|---|
| A | 3.20 | 10.89 | -1.40 | -1.20 | -0.82 |
| B | 12.80 | 10.89 | -1.10 | -0.80 | -0.55 |
| D | 16.00 | 10.89 | 1.00 | 0.76 | 0.52 |
| E | 16.00 | 10.89 | -0.50 | -0.41 | -0.28 |

| Bereich | d [m] | b [m] | $c_{pe,1}$ [-] | $c_{pe,10}$ [-] | $w_{e,10}$ [kN/m²] |
|---|---|---|---|---|---|
| F- | 1.60 | 4.00 | -1.50 | -0.50 | -0.34 |
| F+ | 1.60 | 4.00 | 0.70 | 0.70 | 0.48 |
| G- | 1.60 | 8.00 | -1.50 | -0.50 | -0.34 |
| G+ | 1.60 | 8.00 | 0.70 | 0.70 | 0.48 |
| H- | 6.40 | 16.00 | -0.20 | -0.20 | -0.14 |
| H+ | 6.40 | 16.00 | 0.40 | 0.40 | 0.27 |
| I | 6.40 | 16.00 | -0.40 | -0.40 | -0.27 |
| J | 1.60 | 16.00 | -0.50 | -0.50 | -0.34 |

√

Qk.w.090
Richtung Θ=90°

Bereichsgröße

$e_D$ = 16.00 m
$e_W$ = 16.00 m

| Bereich | d,b [m] | h [m] | $c_{pe,1}$ [-] | $c_{pe,10}$ [-] | $w_{e,10}$ [kN/m²] |
|---|---|---|---|---|---|
| A | 3.20 | 10.89 | -1.40 | -1.20 | -0.82 |
| B | 12.80 | 10.89 | -1.10 | -0.80 | -0.55 |
| D | 16.00 | 10.89 | 1.00 | 0.76 | 0.52 |
| E | 16.00 | 10.89 | -0.50 | -0.41 | -0.28 |

| Bereich | d [m] | b [m] | $c_{pe,1}$ [-] | $c_{pe,10}$ [-] | $w_{e,10}$ [kN/m²] |
|---|---|---|---|---|---|
| F | 1.60 | 4.00 | -1.50 | -1.10 | -0.75 |
| G | 1.60 | 8.00 | -2.00 | -1.40 | -0.96 |
| H | 6.40 | 16.00 | -1.20 | -0.80 | -0.55 |
| I | 8.00 | 16.00 | -0.50 | -0.50 | -0.34 |

Qk.w.180
Richtung Θ=180°

Bereichsgröße

$e_D$ = 16.00 m
$e_W$ = 16.00 m

| Bereich | d,b [m] | h [m] | $c_{pe,1}$ [-] | $c_{pe,10}$ [-] | $w_{e,10}$ [kN/m²] |
|---|---|---|---|---|---|
| A | 3.20 | 10.89 | -1.40 | -1.20 | -0.82 |
| B | 12.80 | 10.89 | -1.10 | -0.80 | -0.55 |
| D | 16.00 | 10.89 | 1.00 | 0.76 | 0.52 |
| E | 16.00 | 10.89 | -0.50 | -0.41 | -0.28 |

| Bereich | d [m] | b [m] | $c_{pe,1}$ [-] | $c_{pe,10}$ [-] | $w_{e,10}$ [kN/m²] |
|---|---|---|---|---|---|
| F- | 1.60 | 4.00 | -1.50 | -0.50 | -0.34 |
| F+ | 1.60 | 4.00 | 0.70 | 0.70 | 0.48 |
| G- | 1.60 | 8.00 | -1.50 | -0.50 | -0.34 |
| G+ | 1.60 | 8.00 | 0.70 | 0.70 | 0.48 |
| H- | 6.40 | 16.00 | -0.20 | -0.20 | -0.14 |
| H+ | 6.40 | 16.00 | 0.40 | 0.40 | 0.27 |
| I | 6.40 | 16.00 | -0.40 | -0.40 | -0.27 |
| J | 1.60 | 16.00 | -0.50 | -0.50 | -0.34 |

Qk.w.270
Richtung Θ=270°

Bereichsgröße

$e_D$ = 16.00 m
$e_W$ = 16.00 m

| Bereich | d,b [m] | h [m] | $c_{pe,1}$ [-] | $c_{pe,10}$ [-] | $w_{e,10}$ [kN/m²] |
|---|---|---|---|---|---|
| A | 3.20 | 10.89 | -1.40 | -1.20 | -0.82 |
| B | 12.80 | 10.89 | -1.10 | -0.80 | -0.55 |
| D | 16.00 | 10.89 | 1.00 | 0.76 | 0.52 |
| E | 16.00 | 10.89 | -0.50 | -0.41 | -0.28 |

| Bereich | d [m] | b [m] | $c_{pe,1}$ [-] | $c_{pe,10}$ [-] | $w_{e,10}$ [kN/m²] |
|---|---|---|---|---|---|
| F | 1.60 | 4.00 | -1.50 | -1.10 | -0.75 |
| G | 1.60 | 8.00 | -2.00 | -1.40 | -0.96 |
| H | 6.40 | 16.00 | -1.20 | -0.80 | -0.55 |
| I | 8.00 | 16.00 | -0.50 | -0.50 | -0.34 |

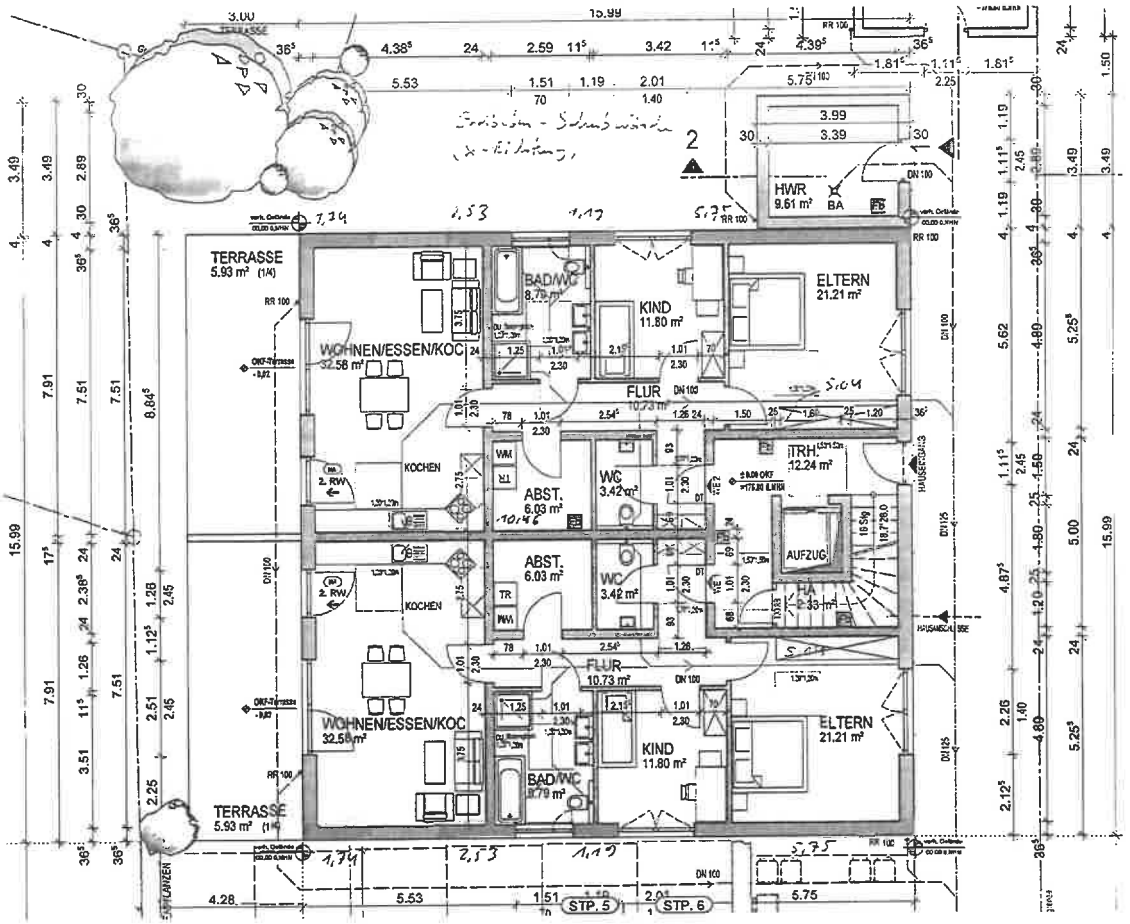
Schneelasten

Schneelastermittlung nach DIN EN 1991-1-3:2010-12

char. Schneelast auf Boden $s_k$ = 0.85 kN/m²
Formbeiwert für Schneelast $\mu_2(\alpha_1)$ = 0.80 -
$\mu_2(\alpha_r)$ = 0.80 -

| | | | | |
|---|---|---|---|---|
| Qk.S.A | Fall (i): unverwehte Lastverteilung | | | |
| | Schneelast auf dem Dach | $s_1$ = | 0.68 | kN/m² |
| | | $s_r$ = | 0.68 | kN/m² |
| Qk.S.B | Fall (ii): verwehte Lastverteilung | | | |
| | Schneelast auf dem Dach | $s_1$ = | 0.34 | kN/m² |
| | | $s_r$ = | 0.68 | kN/m² |
| Qk.S.C | Fall (iii): verwehte Lastverteilung | | | |
| | Schneelast auf dem Dach | $s_1$ = | 0.68 | kN/m² |
| | | $s_r$ = | 0.34 | kN/m² |
| Schneeverwehung | Höhe des Aufbaus | h = | 1.00 | m |
| | Länge des Verwehungskeils | $l_s$ = | 5.00 | m |
| | Formbeiwerte | $\mu_1$ = | 0.80 | - |
| | | $\mu_2$ = | 2.00 | - |
| | maximale Schneelast | $s_A$ = | 1.70 | kN/m² |
| | minimale Schneelast | $s_E$ = | 0.68 | kN/m² |

## Pos. 0.06 Erdbebennachweis




durch Vergleichsrechnung geprüft

x Richtung

| | |
|---|---|
| Gebäudegrundrissform kompakt und annähernd rechteckig ($b/\ell \geq 0{,}25$) | ⊗ Ja / ○ Nein |
| Keine sprunghafte Steifigkeits- und Masseänderung über die Geschosse | ○ Ja / ○ Nein |
| Alle Geschosse sind durch Decken mit Scheibenwirkung ausgesteift | ⊗ Ja / ○ Nein |
| Aussteifende Wände (Schubwände) gehen über alle Geschosse durch (außer Dachgeschoss, wenn durch andere Maßnahmen ausgesteift) | ⊗ Ja / ○ Nein |
| Schubwände tragen den überwiegenden Teil der vertikalen Lasten | ⊗ Ja / ○ Nein |
| Geschosshöhen ≤ 3,50 m | ⊗ Ja / ○ Nein |

Mindestanforderung an die Schlankheit $h_k/t$, Dicke t und Länge $\ell$ von Schubwänden

| Erdbeben-zone | $h_k/t$ [–] | t [mm] | $\ell$ [mm] |
|---|---|---|---|
| 1 | nach DIN 1053-1 | | ≥ 740 |
| 2 | ≤ 18 | ≥ 150*) | ≥ 980 |
| 3 | ≤ 15 | ≥ 175 | ≥ 980 |

*) Wände der Wanddicke ≥ 115 mm dürfen zusätzlich berücksichtigt werden, wenn $h_k/t \leq 15$ ist.

Mindestanforderungen an Schubwände erfüllt: ⊗ Ja / ○ Nein

| | |
|---|---|
| mindestens 2 Schubwände mit $\ell \geq 1{,}99$ m vorhanden | ⊗ Ja / ○ Nein |

Bemessungswert der Bodenbeschleunigung $a_g$

| Erdbebenzone | 1 | 2 | 3 |
|---|---|---|---|
| $a_g$ = | ○ 0,4 m/s² | ⊗ 0,6 m/s² | ○ 0,8 m/s² |

$a_g = 0{,}6$ ✓

Bedeutungsbeiwert $\gamma_I$

| Gebäudebedeutungskategorie*) | I | II | III | IV |
|---|---|---|---|---|
| $\gamma_I$ = | ○ 0,8 | ⊗ 1,0 | ○ 1,2 | ○ 1,4 |

*) siehe DIN 4149, Tabelle 3

$\gamma_I = 1{,}0$

zulässige Anzahl Vollgeschosse zul $n_{Vollg}$

| Erdbebenzone | 1 | | | 2 | | 3 | |
|---|---|---|---|---|---|---|---|
| Gebäudekategorie | I | II | III | I | II | I | II |
| zul. $n_{Vollg.}$ | 4 | | | 3 | | 2 | |

zul. $n_{Vollg}$ = 3

vorhandene Anzahl Vollgeschosse $n_{Vollg}$

| $n_{Vollg.}$ | ○ 1 | ⊗ 2 | ○ 3 | ○ 4 |
|---|---|---|---|---|

$n_{Vollg.}$ = 2

Untergrundparameter S

| Untergrundklasse | R | | | T | | S |
|---|---|---|---|---|---|---|
| Baugrundklasse | A | B | C | B | C | C |
| S = | ○ 1,00 | ○ 1,25 | ○ 1,50 | ○ 1,00 | ⊗ 1,25 | ○ 0,75 |

S = 1,25 ✓

**durch Vergleichsrechnung geprüft**

X-Richtung

**Faktor k zur Berücksichtigung eines erhöhten Anteils langer Schubwände**

| Anteil Schubwände mit l ≥ 1,99 m | ○ < 50 % | ◔ < 70 % | ○ ≥ 70 % |
|---|---|---|---|
| k = | 1 | | $1+\frac{\ell_{ay}-2}{4} \le 2$ |

$\ell_{ay}$ = mittlere Wandlänge der betrachteten Schubwände in m

k = 1

$a_g \cdot S \cdot \gamma_I$ =

$\frac{a_g \cdot S \cdot \gamma_I}{9{,}81 \cdot k}$ = 0,075

| Anzahl der Vollgeschosse (siehe unter 7.1 (4)) | $a_g \cdot S \cdot \gamma_I \le 0{,}06\ g \cdot k^a$ | | | $a_g \cdot S \cdot \gamma_I \le 0{,}09\ g \cdot k^a$ | | | $a_g \cdot S \cdot \gamma_I \le 0{,}12\ g \cdot k^a$ | | |
|---|---|---|---|---|---|---|---|---|---|
| | Steinfestigkeitsklasse nach DIN 1053-1[b,c] | | | | | | | | |
| | 4 | 6 | ≥ 12 | 4 | 6 | ≥ 12 | 4 | 6 | ≥ 12 |
| 1 | 0,02 | 0,02 | 0,02 | 0,03 | 0,025 | 0,02 | 0,04 | 0,03 | 0,02 |
| 2 | 0,035 | 0,03 | 0,02 | 0,055 | 0,045 | 0,03 | 0,08 | 0,05 | 0,04 |
| 3 | 0,065 | 0,04 | 0,03 | 0,08 | 0,065 | 0,05 | Kein vereinfachter Nachweis zulässig (KvNz) | | |
| 4 | KvNz | 0,05 | 0,04 | KvNz | | | | | |

[a] Für Gebäude, bei denen mindestens 70 % der betrachteten Schubwände in einer Richtung länger als 2 m sind, beträgt der Beiwert $k = 1 + (\ell_{ay} - 2)/4 \le 2$. Dabei ist $\ell_{ay}$ die mittlere Wandlänge der betrachteten Schubwände in m. In allen anderen Fällen beträgt $k = 1$. Der Wert $\gamma_I$ wird nach 5.3 bestimmt.

[b] Bei Verwendung unterschiedlicher Steinfestigkeitsklassen, z. B. für Innen- und Außenwände, sind die Anforderungswerte im Verhältnis der Flächenanteile der jeweiligen Steinfestigkeitsklasse zu wichten.

[c] Zwischenwerte dürfen linear interpoliert werden.

Stfkl. 4: 54,5 %
+ 12: 45,5 %
0,545 · 0,045 = 0,0245 ✓
0,455 · 0,025 = 0,0114

$a_{Schub}$ = 0,036

Grundrissfläche A [m²]: A = 256

erforderliche Schubwandfläche in die betrachtete Richtung erf $A_{Schub}$
erf $A_{Schub} = A \cdot a_{Schub}$ [m²]: erf $A_{Schub}$ = 9,22 ✓

vorhandene Schubswandflächen in die betrachtete Richtung vorh $A_{Schub}$

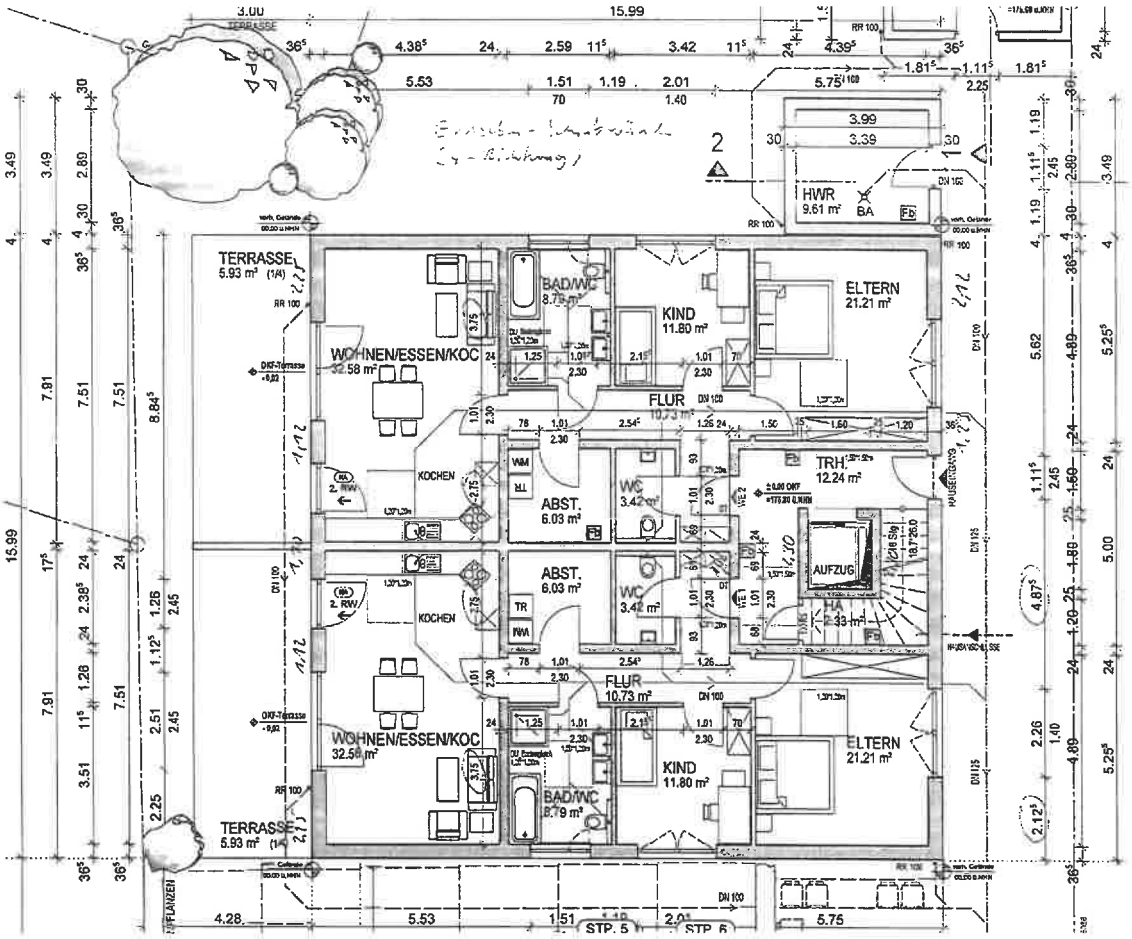
| Anzahl n | Länge ℓ [m] | Dicke t [m] | Schubwandfläche n · ℓ · t [m²] |
|---|---|---|---|
| | 1,74 + 2,53 + 1,19 | 0,365 | 1,97 |
| | 5,75 + 5,75 + 1,19 | " | 4,63 |
| | 2,53 + 1,74 | " | 1,56 |
| | 5,04 + 5,04 + 10,46 | 0,24 | 4,93 |
| | 2,36 + 2,44 + 3,06 | " | 1,87 |
| | | vorh $A_{Schub}$ | 15,00 |

vorh $A_{Schub}$ = 15,00 ✓

Alle Voraussetzungen zum Verzicht auf einen rechnerischen Nachweis nach Abschnitt 11.6 der DIN 4149 sind erfüllt: ◉ Ja / ○ Nein

Die Mindestschubwandflächen nach Tabelle 15 der DIN 4149 sind in der betrachteten Richtung vorhanden (vorh $A_{Schub} \ge$ min $A_{Schub}$): ◉ Ja / ○ Nein

**durch Vergleichsrechnung geprüft**




durch Vergleichsrechnung geprüft

Y Richtung

| | |
|---|---|
| Gebäudegrundrissform kompakt und annähernd rechteckig ($b/\ell \geq 0{,}25$) | ⊗ Ja / ○ Nein |
| Keine sprunghafte Steifigkeits- und Masseänderung über die Geschosse | ⊗ Ja / ○ Nein |
| Alle Geschosse sind durch Decken mit Scheibenwirkung ausgesteift | ⊗ Ja / ○ Nein |
| Aussteifende Wände (Schubwände) gehen über alle Geschosse durch (außer Dachgeschoss, wenn durch andere Maßnahmen ausgesteift) | ⊗ Ja / ○ Nein |
| Schubwände tragen den überwiegenden Teil der vertikalen Lasten | ⊗ Ja / ○ Nein |
| Geschosshöhen ≤ 3,50 m | ⊗ Ja / ○ Nein |

Mindestanforderung an die Schlankheit $h_k/t$, Dicke t und Länge $\ell$ von Schubwänden

| Erdbeben-zone | $h_k/t$ [–] | t [mm] | $\ell$ [mm] |
|---|---|---|---|
| 1 | nach DIN 1053-1 | | ≥ 740 |
| 2 | ≤ 18 | ≥ 150*) | ≥ 980 |
| 3 | ≤ 15 | ≥ 175 | ≥ 980 |

*) Wände der Wanddicke ≥ 115 mm dürfen zusätzlich berücksichtigt werden, wenn $h_k/t \leq 15$ ist.

| | |
|---|---|
| Mindestanforderungen an Schubwände erfüllt | ⊗ Ja / ○ Nein |
| mindestens 2 Schubwände mit $\ell \geq 1{,}99$ m vorhanden | ⊗ Ja / ○ Nein |

Bemessungswert der Bodenbeschleunigung $a_g$

| Erdbebenzone | 1 | 2 | 3 | |
|---|---|---|---|---|
| $a_g$ = | ○ 0,4 m/s² | ⊗ 0,6 m/s² | ○ 0,8 m/s² | $a_g$ = 0,6 |

Bedeutungsbeiwert $\gamma_I$

| Gebäudebedeutungskategorie*) | I | II | III | IV | |
|---|---|---|---|---|---|
| $\gamma_I$ = | ○ 0,8 | ⊗ 1,0 | ○ 1,2 | ○ 1,4 | $\gamma_I$ = 1,0 |

*) siehe DIN 4149, Tabelle 3

zulässige Anzahl Vollgeschosse zul $n_{Vollg}$

| Erdbebenzone | 1 | | | 2 | | 3 | | |
|---|---|---|---|---|---|---|---|---|
| Gebäudekategorie | I | II | III | I | II | I | II | |
| zul. $n_{Vollg.}$ | 4 | | | 3 | | 2 | | zul. $n_{Vollg}$ = 3 |

vorhandene Anzahl Vollgeschosse $n_{Vollg}$

| $n_{Vollg.}$ | ○ 1 | ⊗ 2 | ○ 3 | ○ 4 | $n_{Vollg.}$ = 2 |
|---|---|---|---|---|---|

Untergrundparameter S

| Untergrundklasse | R | | | T | | S | |
|---|---|---|---|---|---|---|---|
| Baugrundklasse | A | B | C | B | C | C | |
| S = | ○ 1,00 | ○ 1,25 | ○ 1,50 | ○ 1,00 | ⊗ 1,25 | ○ 0,75 | S = 1,25 |

✓

**durch Vergleichsrechnung geprüft**

Y - Richtung

Faktor k zur Berücksichtigung eines erhöhten Anteils langer Schubwände

| Anteil Schubwände mit l ≥ 1,99 m | ○ < 50 % | ◔ < 70 % | ○ ≥ 70 % |
|---|---|---|---|
| k = | 1 | | $1+\frac{\ell_{ay}-2}{4} \le 2$ |

$\ell_{ay}$ = mittlere Wandlänge der betrachteten Schubwände in m

k = 1,0

$a_g \cdot S \cdot \gamma_1$ =

$\frac{a_g \cdot S \cdot \gamma_1}{9{,}81 \cdot k}$ = 0,075

| Anzahl der Vollgeschosse (siehe unter 7.1 (4)) | $a_g \cdot S \cdot \gamma_1 \le 0{,}06\,g \cdot k^a$ | | | $a_g \cdot S \cdot \gamma_1 \le 0{,}09\,g \cdot k^a$ | | | $a_g \cdot S \cdot \gamma_1 \le 0{,}12\,g \cdot k^a$ | | |
|---|---|---|---|---|---|---|---|---|---|
| | Steinfestigkeitsklasse nach DIN 1053-1[b,c] | | | | | | | | |
| | 4 | 6 | ≥ 12 | 4 | 6 | ≥ 12 | 4 | 6 | ≥ 12 |
| 1 | 0,02 | 0,02 | 0,02 | 0,03 | 0,025 | 0,02 | 0,04 | 0,03 | 0,02 |
| 2 | 0,035 | 0,03 | 0,02 | 0,055 | 0,045 | 0,03 | 0,08 | 0,05 | 0,04 |
| 3 | 0,065 | 0,04 | 0,03 | 0,08 | 0,065 | 0,05 | Kein vereinfachter Nachweis zulässig (KvNz) | | |
| 4 | KvNz | 0,05 | 0,04 | KvNz | | | | | |

[a] Für Gebäude, bei denen mindestens 70 % der betrachteten Schubwände in einer Richtung länger als 2 m sind, beträgt der Beiwert $k = 1 + (l_w - 2)/4 \le 2$. Dabei ist $l_w$ die mittlere Wandlänge der betrachteten Schubwände in m. In allen anderen Fällen beträgt $k = 1$. Der Wert $\gamma_1$ wird nach 5.3 bestimmt.

[b] Bei Verwendung unterschiedlicher Steinfestigkeitsklassen, z. B. für innen- und Außenwände, sind die Anforderungswerte im Verhältnis der Flächenanteile der jeweiligen Steinfestigkeitsklasse zu wichten.

[c] Zwischenwerte dürfen linear interpoliert werden.

Anteil Stfkl 4: 60 %
" 12: 40 %
0,6 · 0,045 = 0,027
0,4 · 0,065 = 0,010

$a_{Schub}$ = 0,037 ✓

Grundrissfläche A [m²] — A = 256

erforderliche Schubwandfläche in die betrachtete Richtung erf $A_{Schub}$
erf $A_{Schub} = A \cdot a_{Schub}$ [m²] — erf $A_{Schub}$ = 9,47 ✓

vorhandene Schubswandflächen in die betrachtete Richtung vorh $A_{Schub}$

| Anzahl n | Länge ℓ [m] | Dicke t [m] | Schubwandfläche n · ℓ · t [m²] |
|---|---|---|---|
| | 2,75 + 1,12 + 1,7 | 0,365 | 1,85 |
| | 1,12 + 2,75 + 2,12 | " | 2,00 |
| | 1,87 + 1,23 + 2,12 | " | 3,00 |
| | 3,75 + 2,75 + 2,75 | 0,24 | 2,22 |
| | 3,75 + 1,62 + 2,3 + 2,3 | " | 2,39 |
| | | vorh $A_{Schub}$ | 11,47 |

vorh $A_{Schub}$ = 11,47 ✓

Alle Voraussetzungen zum Verzicht auf einen rechnerischen Nachweis nach Abschnitt 11.6 der DIN 4149 sind erfüllt — ◔ Ja / ○ Nein

Die Mindestschubwandflächen nach Tabelle 15 der DIN 4149 sind in der betrachteten Richtung vorhanden (vorh $A_{Schub} \ge$ min $A_{Schub}$) — ◔ Ja / ○ Nein

durch Vergleichsrechnung geprüft

## Pos. 0.08 Konstruktiver Brandschutznachweis

Die Einteilung in die Gebäudeklasse sowie die Klassifizierung der Bauteile erfolgt nach der BauONRW (GVBl. Nr.45 vom 28.12.2016 S.1162)

**Gebäudeklasse 3:** sonstige Gebäude
Höhe OKF ≤ 7m √

**Trennwände in allen Geschossen:**

1* Erforderliche Ausbildung der Trennwände: feuerhemmend F30-AB, gemäß DIN 4102-2.

| vorhanden: | erforderliche min. Wanddicke: (nach DIN EN 1996-1-2:2011-04 + NA) |
|---|---|
| Bimsmauerwerk Rohdichte 2,0 t≥ 24,0 cm √ | ≥ t = 17,5 cm √ |

Forderung erfüllt

**Sonstige tragende Wände/ Stützen:**

Erforderliche Ausbildung der tragenden Wände: feuerhemmend F30-AB, gemäß DIN 4102-2.

| vorhanden: | erforderliche min. Wanddicke: (nach DIN EN 1996-1-2:2011-04 + NA) |
|---|---|
| Bimsmauerwerk Rohdichte ≥1,8 t≥ 24,0 cm | ≥ t = 17,5 cm |

Forderung erfüllt

**Decken EG+Obergeschoss+Dachgeschoss:**

1* Erforderliche Ausbildung der Decken: feuerhemmend F30-AB, gemäß DIN4102-2.

| vorhanden: | max. Anforderung an Deckendicke + a: (nach DIN EN 1992-1-2:2010-12 + NA) |
|---|---|
| Stb.-Decke t≥ 20 cm , a≥2.0cm √ | ~~≥t = 6,0 cm; a = 1,0cm (Achsabstand)~~ Anforderung ≥t = 10,0 cm; a = 2,0cm (Achsabstand) |

Forderung erfüllt

**Treppen:**

Erforderliche Ausbildung der Treppen: aus nicht brennbaren Stoffen.
vorhanden: Stb.- Treppenlauf und Podest: Baustoffklasse A1

Forderung erfüllt

1* gemäß Bauantragsplan F90

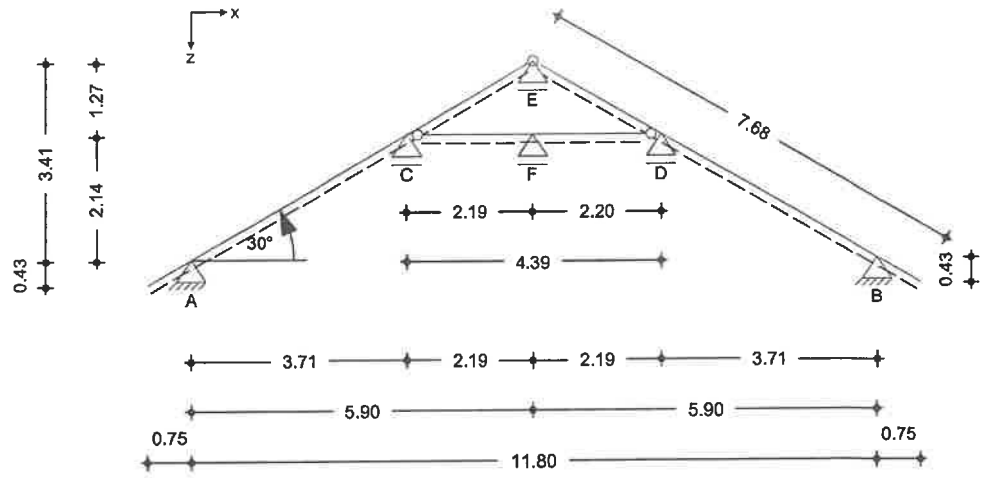
**statisch geprüft**

# Dach

## Pos. 1.01 Holz-Dach

System
M 1:125

allgemeines Pfettendach mit Firstgelenk und Kehlbalken




Abmessungen Mat./Querschnitt

| Bauteil | l [m] | Material | b/h [cm] |
|---|---|---|---|
| Sparren links | 7.68 | *NH C24* | 8.0/24.0 |
| Sparren rechts | 7.68 | *NH C24* | 8.0/24.0 |
| Kehlbalken | 4.39 | *NH C24* | 8.0/24.0 |

Auflager

| Lager | x [m] | z [m] | $K_{T,z}$ [kN/m] | $K_{T,x}$ [kN/m] |
|---|---|---|---|---|
| A | 0.75 | 0.43 | fest | fest |
| B | 12.55 | 0.43 | fest | fest |
| C | 4.46 | 2.57 | fest | frei |
| D | 8.84 | 2.57 | fest | frei |
| E | 6.65 | 3.84 | fest | frei |
| F | 6.65 | 2.57 | fest | frei |

Dachneigung

Dachneigungswinkel
$\delta_{li}$ = 30.00 °
$\delta_{re}$ = 30.00 °

Dachhöhe
$h_{li}$ = 3.84 m
$h_{re}$ = 3.84 m

Sparrenabstand

Abstand
a = 0.75 m

Kehlbalken

Kehlbalkenhöhe $h_{KB}$ = 2.14 m
Abstand Kehlbalkenunterstützung $a_{KB}$ = 2.19 m
Kehlbalken horizontal verschieblich
Kehlbalkenanschluss überträgt Horizontalkräfte

durch Vergleichsrechnung geprüft

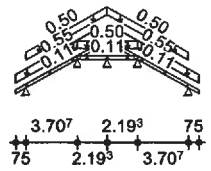
Belastungen — Belastungen auf das System

Grafik — Belastungsgrafiken (einwirkungsbezogen)

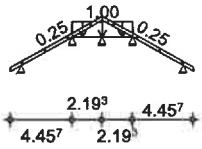
Einwirkungen

* wird als richtig vorausgesetzt

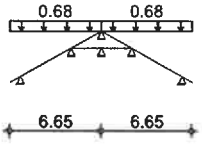
Gk *



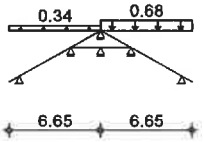

Qk.N



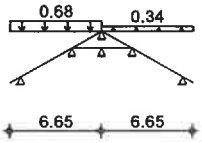

Qk.S.A



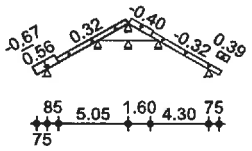

Qk.S.B




Qk.S.C

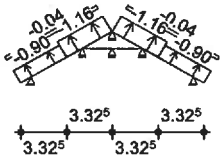



Qk.W.000

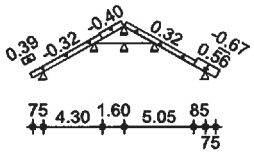



√

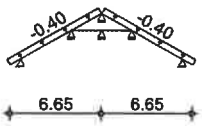
Qk.W.090




Qk.W.180




Qk.W.270




√

Flächenlasten in z-Richtung — Gleichflächenlasten

| | | Ort | Richt. | Komm. | a [m] | s [m] | $q_a$ [kN/m²] | $q_e$ [kN/m²] |
|---|---|---|---|---|---|---|---|---|
| Einw. *Gk* | | SpLi | vert.DF | Eigengew | -0.75 | 6.65 | | 0.11 |
| | | SpRe | vert.DF | Eigengew | -0.75 | 6.65 | | 0.11 |
| | | Kehl | global | Eigengew | | 4.39 | | 0.11 |
| | | SpLi | vert.DF | Eindeck. | -0.75 | 6.65 | | 0.55 |
| | | SpRe | vert.DF | Eindeck. | -0.75 | 6.65 | | 0.55 |
| | | SpLi | vert.DF | Ausbau | 0.00 | 5.90 | | 0.50 |
| | | SpRe | vert.DF | Ausbau | 0.00 | 5.90 | | 0.50 |
| | | Kehl | global | Ausbau | 0.00 | 4.39 | | 0.50 |
| Einw. *Qk.N* | | Kehl | global | Nutzlast | 0.00 | 4.39 | | 1.00 |
| | (a) | SpLi | vert.DF | | -0.75 | 6.65 | | 0.25 |
| | (a) | SpRe | vert.DF | | -0.75 | 6.65 | | 0.25 |
| Einw. *Qk.S.A* | | SpLi | vert.GF | Volllast | -0.75 | 6.65 | | 0.68 |
| | | SpRe | vert.GF | Volllast | -0.75 | 6.65 | | 0.68 |
| Einw. *Qk.S.B* | | SpLi | vert.GF | Halblast | -0.75 | 6.65 | | 0.34 |
| | | SpRe | vert.GF | Volllast | -0.75 | 6.65 | | 0.68 |
| Einw. *Qk.S.C* | | SpLi | vert.GF | Volllast | -0.75 | 6.65 | | 0.68 |
| | | SpRe | vert.GF | Halblast | -0.75 | 6.65 | | 0.34 |
| Einw. *Qk.W.000* | | SpLi | lokal | Unterwind | -0.75 | 0.75 | | -0.67 |
| | | SpRe | lokal | Unterwind | -0.75 | 0.75 | | 0.39 |
| | | SpLi | lokal | Ber. F | -0.75 | 1.60 | | 0.56 |
| | | SpLi | lokal | Ber. H | 0.85 | 5.05 | | 0.32 |
| | | SpRe | lokal | Ber. I | -0.75 | 5.05 | | -0.32 |
| | | SpRe | lokal | Ber. J | 4.30 | 1.60 | | -0.40 |
| Einw. *Qk.W.090* | | SpLi | lokal | Ber. F | -0.75 | 3.33 | | -0.90 |
| | | SpRe | lokal | Ber. F | -0.75 | 3.33 | | -0.90 |
| | | SpLi | lokal | Ber. G | 2.58 | 3.33 | | -1.16 |
| | | SpRe | lokal | Ber. G | 2.58 | 3.33 | | -1.16 |

**durch Vergleichsrechnung geprüft**

| | Ort | Richt. | Komm. | a [m] | s [m] | $q_a$ [kN/m²] | $q_e$ [kN/m²] |
|---|---|---|---|---|---|---|---|
| | SpLi | lokal | Ber. H | -0.75 | 6.65 | | -0.04 |
| | SpRe | lokal | Ber. H | -0.75 | 6.65 | | -0.04 |
| Einw. *Qk.W.180* | SpRe | lokal | Unterwind | -0.75 | 0.75 | | -0.67 |
| | SpLi | lokal | Unterwind | -0.75 | 0.75 | | 0.39 |
| | SpRe | lokal | Ber. F | -0.75 | 1.60 | | 0.56 |
| | SpRe | lokal | Ber. H | 0.85 | 5.05 | | 0.32 |
| | SpLi | lokal | Ber. I | -0.75 | 5.05 | | -0.32 |
| | SpLi | lokal | Ber. J | 4.30 | 1.60 | | -0.40 |
| Einw. *Qk.W.270* | SpLi | lokal | Ber. I | -0.75 | 6.65 | | -0.40 |
| | SpRe | lokal | Ber. I | -0.75 | 6.65 | | -0.40 |
| (a) | Photovoltaik | | | | 0.25 = | 0.25 | kN/m² |

global: Belastung bezogen auf das globale Koordinatensystem
lokal: lokale Belastung orthogonal zur Dachfläche
vert.DF: vertikale Belastung bezogen auf die Dachfläche
vert.GF: vertikale Belastung bezogen auf die Grundfläche

## Kombinationen

Kombinationsbildung nach DIN EN 1990
Darstellung der maßgebenden Kombinationen

| | Ek | KLED | Σ (γ*ψ*EW) | | |
|---|---|---|---|---|---|
| ständig/vorüberg. | 2 | mi | 1.35*Gk | +1.50*Qk.N (1,2) | |
| | 23 | ku | 1.35*Gk | +1.05*Qk.N (1,2) | +1.50*Qk.S.A |
| | 37 | ku | 1.35*Gk | +1.05*Qk.N (1,2) | +1.50*Qk.S.B |
| | 51 | ku | 1.35*Gk | +1.05*Qk.N (1,2) | +1.50*Qk.S.C |
| | 138 | ku/sk | 1.35*Gk +0.90*Qk.W.000 | +1.05*Qk.N (1,2) | +1.50*Qk.S.A |
| | 166 | ku/sk | 1.35*Gk +0.90*Qk.W.180 | +1.05*Qk.N (1,2) | +1.50*Qk.S.A |
| | 222 | ku/sk | 1.35*Gk +0.90*Qk.W.180 | +1.05*Qk.N (1,2) | +1.50*Qk.S.B |
| | 250 | ku/sk | 1.35*Gk +0.90*Qk.W.000 | +1.05*Qk.N (1,2) | +1.50*Qk.S.C |
| quasi-ständig | 612 | | 1.00*Gk | +0.30*Qk.N (1,2) | |
| | 613 | | 1.00*Gk | +0.30*Qk.N (1) | |
| | 614 | | 1.00*Gk | +0.30*Qk.N (2) | |
| st./vor. Auflagerkr. | 1251 | ku | 1.35*Gk | +1.05*Qk.N (1,2) | +1.50*Qk.S.A |
| | 1366 | ku/sk | 1.35*Gk +0.90*Qk.W.000 | +1.05*Qk.N (1,2) | +1.50*Qk.S.A |
| | 1387 | ku/sk | 1.35*Gk +1.50*Qk.W.090 | +1.05*Qk.N (1,2) | +0.75*Qk.S.A |
| | 1394 | ku/sk | 1.35*Gk +0.90*Qk.W.180 | +1.05*Qk.N (1,2) | +1.50*Qk.S.A |
| | 1452 | ku/sk | 1.35*Gk | +1.05*Qk.N | +1.50*Qk.S.B |

durch Vergleichsrechnung geprüft

| Ek KLED Σ (γ*ψ*EW) | | | |
|---|---|---|---|
| | | (2) | |
| | +0.90*Qk.W.180 | | |
| 1479 | ku/sk 1.35*Gk | +1.05*Qk.N | +1.50*Qk.S.C |
| | | (1) | |
| | +0.90*Qk.W.000 | | |
| 1557 | ku/sk 1.00*Gk | +1.50*Qk.W.000 | |
| 1561 | ku/sk 1.00*Gk | +1.50*Qk.W.180 | |
| 1702 | ku/sk 1.00*Gk | +1.05*Qk.N (1) | +1.50*Qk.W.090 |
| 1703 | ku/sk 1.00*Gk | +1.05*Qk.N (2) | +1.50*Qk.W.090 |

mi: mittel
ku: kurz
ku/sk: kurz/sehr kurz

## Nachweise (GZT)

Nachweise im Grenzzustand der Tragfähigkeit nach DIN EN 1995-1-1

### Biegung Abs. 6.1

Nachweis der Biegetragfähigkeit

| | x [m] | Ek | $k_{mod}$ [-] | $N_d$ / $M_{yd}$ [kN, kNm] | $\sigma_{0,d}$ / $\sigma_{my,d}$ [N/mm²] | $f_{0,d}$ / $f_{my,d}$ [N/mm²] | η [-] |
|---|---|---|---|---|---|---|---|
| SpLi KrUn | *(L = 0.87 m, $k_{c,y}$ = 0.97)* | | | | | | |
| | 0.87 | 51 | 0.90 | 0.66 | 0.03 | 10.04 | |
| | | | | -0.50 | 0.64 | 16.62 | 0.04* |
| SpLi Feld 1 | *(L = 4.28 m, $k_{c,y}$ = 0.65)* | | | | | | |
| | 4.28 | 250 | 1.00 | 3.04 | 0.16 | 11.15 | |
| | | | | -3.31 | 4.30 | 18.46 | 0.25* |
| SpLi Feld 2 | *(L = 2.53 m, $k_{c,y}$ = 0.91)* | | | | | | |
| | 0.00 | 250 | 1.00 | -1.54 | 0.08 | 16.15 | |
| | | | | -3.31 | 4.30 | 18.46 | 0.24* |
| SpRe KrUn | *(L = 0.87 m, $k_{c,y}$ = 0.97)* | | | | | | |
| | 0.87 | 23 | 0.90 | 0.66 | 0.03 | 10.04 | |
| | | | | -0.50 | 0.64 | 16.62 | 0.04* |
| SpRe Feld 1 | *(L = 4.28 m, $k_{c,y}$ = 0.65)* | | | | | | |
| | 4.28 | 222 | 1.00 | 3.04 | 0.16 | 11.15 | |
| | | | | -3.31 | 4.30 | 18.46 | 0.25* |
| SpRe Feld 2 | *(L = 2.53 m, $k_{c,y}$ = 0.91)* | | | | | | |
| | 0.00 | 222 | 1.00 | -1.54 | 0.08 | 16.15 | |
| | | | | -3.31 | 4.30 | 18.46 | 0.24* |
| Kehl Feld 1 | *(L = 2.19 m, $k_{c,y}$ = 0.94)* | | | | | | |
| | 2.19 | 2 | 0.80 | -0.31 | 0.02 | 12.92 | |
| | | | | -1.05 | 1.36 | 14.77 | 0.09* |
| Kehl Feld 2 | *(L = 2.20 m, $k_{c,y}$ = 0.94)* | | | | | | |
| | 0.00 | 2 | 0.80 | -0.31 | 0.02 | 12.92 | |
| | | | | -1.05 | 1.36 | 14.77 | 0.09* |

### Querkraft Abs. 6.1.7

Nachweis der Querkrafttragfähigkeit

| | x [m] | Ek | $k_{mod}$ [-] | $V_{z,d}$ [kN] | $\tau_d$ [N/mm²] | $f_{v,d}$ [N/mm²] | η [-] |
|---|---|---|---|---|---|---|---|
| SpLi KrUn | 0.87 | 51 | 0.90 | -1.14 | 0.18 | 2.77 | 0.06* |
| SpLi Feld 1 | 4.28 | 138 | 1.00 | -4.91 | 0.77 | 3.08 | 0.25* |
| SpLi Feld 2 | 0.00 | 138 | 1.00 | 3.81 | 0.59 | 3.08 | 0.19* |
| SpRe KrUn | 0.87 | 37 | 0.90 | -1.14 | 0.18 | 2.77 | 0.06* |
| SpRe Feld 1 | 4.28 | 166 | 1.00 | -4.91 | 0.77 | 3.08 | 0.25* |
| SpRe Feld 2 | 0.00 | 166 | 1.00 | 3.81 | 0.59 | 3.08 | 0.19* |
| Kehl Feld 1 | 2.19 | 2 | 0.80 | -2.38 | 0.37 | 2.46 | 0.15* |
| Kehl Feld 2 | 0.00 | 2 | 0.80 | 2.39 | 0.37 | 2.46 | 0.15* |

durch Vergleichsrechnung geprüft

Stabilität
Abs. 6.3

Nachweis der Stabilität

Sowohl Sparren als auch Kehlbalken werden in Dachebene als gehalten betrachtet.
Der Einfluss der Stabilität ist im Nachweis der Biegetragfähigkeit enthalten. Folgende Ersatzstablängen werden berücksichtigt.

Ersatzstablängen

| | l [m] | $l_{ef,cy}$ [m] |
|---|---|---|
| SpLi KrUn | 0.87 | 1.73 |
| SpLi Feld 1 | 4.28 | 4.28 |
| SpLi Feld 2 | 2.53 | 2.53 |
| SpRe KrUn | 0.87 | 1.73 |
| SpRe Feld 1 | 4.28 | 4.28 |
| SpRe Feld 2 | 2.53 | 2.53 |
| Kehl Feld 1 | 2.19 | 2.19 |
| Kehl Feld 2 | 2.20 | 2.20 |

Biegung
Abs. 6.1

Nachweis der Biegetragfähigkeit (geschwächter Querschnitt)

| | t [cm] | Ek | $k_{mod}$ [-] | $N_d$ / $M_{yd}$ [kN, kNm] | $\sigma_{0,d}$ / $\sigma_{my,d}$ [N/mm²] | $f_{0,d}$ / $f_{my,d}$ [N/mm²] | η [-] |
|---|---|---|---|---|---|---|---|
| Auflager A | 3.0 | 51 | 0.90 | 0.66 | 0.04 | 10.04 | |
| | | | | -0.50 | 0.84 | 16.62 | 0.05 |
| Auflager B | 3.0 | 37 | 0.90 | 0.66 | 0.04 | 10.04 | |
| | | | | -0.50 | 0.84 | 16.62 | 0.05 |
| Auflager C | 3.0 | 250 | 1.00 | 3.04 | 0.18 | 11.15 | |
| | | | | -3.31 | 5.62 | 18.46 | 0.32 |
| Auflager D | 3.0 | 222 | 1.00 | 3.04 | 0.18 | 11.15 | |
| | | | | -3.31 | 5.62 | 18.46 | 0.32 |

Querkraft
Abs. 6.1.7

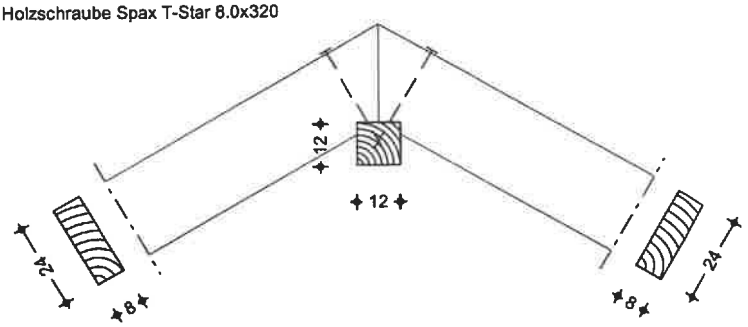
Nachweis der Querkrafttragfähigkeit (geschwächter Querschnitt)

| | t [cm] | Ek | $k_{mod}$ [-] | $V_{z,d}$ [kN] | $\tau_d$ [N/mm²] | $f_{v,d}$ [N/mm²] | η [-] |
|---|---|---|---|---|---|---|---|
| Auflager A | 3.0 | 250 | 1.00 | 3.70 | 0.66 | 3.08 | 0.21 |
| Auflager B | 3.0 | 222 | 1.00 | 3.70 | 0.66 | 3.08 | 0.21 |
| Auflager C | 3.0 | 138 | 1.00 | -4.91 | 0.88 | 3.08 | 0.28 |
| Auflager D | 3.0 | 166 | 1.00 | -4.91 | 0.88 | 3.08 | 0.28 |

Anschlüsse
Firstpunkt
M 1:20

Nachweis der Anschlüsse der Sparren
Stumpfstoß mit tragender Firstpfette

Firstpfette 12/12
je Seite
1 Holzschraube Spax T-Star 8.0x320




durch Vergleichsrechnung geprüft

| | | | | | |
|---|---|---|---|---|---|
| | Einschnitttiefe Sparren | t = | 3.00 | cm |
| | Pfette (NH C24) | b/h = | 12/12 | cm |
| Kontaktanschluss | Sparren links auf Pfette | | | |
| | für Ek 1394 (KLED kurz/sehr kurz) | $k_{mod}$ = | 1.00 | - |
| | vertikale Druckkraft | $F_{v,d}$ = | 1.62 | kN |
| | Aufstandslänge | $l_A$ = | 6.00 | cm |
| Druck Sparren | Winkel Kraft-/Faserrichtung | $\alpha$ = | 60.00 | ° |
| | wirksame Kontaktlänge | $l_{ef}$ = | 8.60 | cm |
| | wirksame Kontaktfläche | $A_{ef}$ = | 68.78 | cm² |
| | Druckspannung unter Winkel | $\sigma_{c,a,d}$ = | 0.24 | N/mm² |
| | Druckfestigkeit unter Winkel | $f_{c,a,d}$ = | 3.63 | N/mm² |
| (6.16) | 0.24 / 3.63 | = | 0.07 | ≤ 1 |
| Druck Pfette | Winkel Kraft-/Faserrichtung | $\alpha$ = | 90.00 | ° |
| | wirksame Kontaktlänge | $l_{ef}$ = | 14.00 | cm |
| | wirksame Kontaktfläche | $A_{ef}$ = | 84.00 | cm² |
| | Druckspannung | $\sigma_{c,90,d}$ = | 0.19 | N/mm² |
| | Querdruckbeiwert ($l_1$<2h) | $k_{c,90}$ = | 1.00 | - |
| | Druckfestigkeit | $f_{c,90,d}$ = | 1.92 | N/mm² |
| (6.3) | 0.19 / ( 1.00 * 1.92) | = | 0.10 | ≤ 1 |

Lagesicherh. Sparr. Keine abhebende Kraft vorhanden. Der Nachweis der Lagesicherheit ist nicht erforderlich.

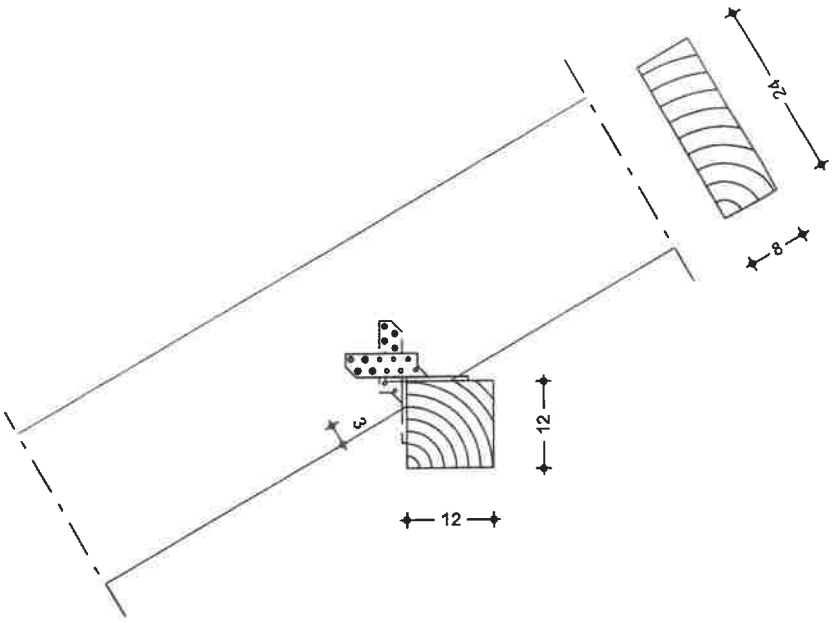
| | | | | | |
|---|---|---|---|---|---|
| | Einschnitttiefe Sparren | t = | 3.00 | cm |
| | Pfette (NH C24) | b/h = | 12/12 | cm |
| Kontaktanschluss | Sparren rechts auf Pfette | | | |
| | für Ek 1366 (KLED kurz/sehr kurz) | $k_{mod}$ = | 1.00 | - |
| | vertikale Druckkraft | $F_{v,d}$ = | 1.62 | kN |
| | Aufstandslänge | $l_A$ = | 6.00 | cm |
| Druck Sparren | Winkel Kraft-/Faserrichtung | $\alpha$ = | 60.00 | ° |
| | wirksame Kontaktlänge | $l_{ef}$ = | 8.60 | cm |
| | wirksame Kontaktfläche | $A_{ef}$ = | 68.78 | cm² |
| | Druckspannung unter Winkel | $\sigma_{c,a,d}$ = | 0.24 | N/mm² |
| | Druckfestigkeit unter Winkel | $f_{c,a,d}$ = | 3.63 | N/mm² |
| (6.16) | 0.24 / 3.63 | = | 0.07 | ≤ 1 |
| Druck Pfette | Winkel Kraft-/Faserrichtung | $\alpha$ = | 90.00 | ° |
| | wirksame Kontaktlänge | $l_{ef}$ = | 14.00 | cm |
| | wirksame Kontaktfläche | $A_{ef}$ = | 84.00 | cm² |
| | Druckspannung | $\sigma_{c,90,d}$ = | 0.19 | N/mm² |
| | Querdruckbeiwert ($l_1$<2h) | $k_{c,90}$ = | 1.00 | - |
| | Druckfestigkeit | $f_{c,90,d}$ = | 1.92 | N/mm² |
| (6.3) | 0.19 / ( 1.00 * 1.92) | = | 0.10 | ≤ 1 |

Lagesicherh. Sparr. Keine abhebende Kraft vorhanden. Der Nachweis der Lagesicherheit ist nicht erforderlich.

durch Vergleichsrechnung geprüft

Sparrenauflager A  Kontaktanschluss durch Aufklauung
M 1:10

2 gekreuzte Sparrenpfettenanker 170




Einschnitttiefe Sparren  t = 3.00 cm
Pfette (Nadelholz C24)  b/h = 12/12 cm

Querdruck
Abs. 6.1.5, Abs. 6.2.2

vertikale Druckkraft

| | Ek | kmod [-] | Fd [kN] | α [°] | σc,α,d [N/mm²] | kc,90 [-] | fc,α,d [N/mm²] | η |
|---|---|---|---|---|---|---|---|---|
| Sparren | 1251 | 0.90 | 5.09 | 60.0 | 0.57 | 1.50 | 3.27* | 0.17 |
| Pfette | | | | 90.0 | 0.61 | 1.50 | 1.73 | 0.23 |

* Wert mit $k_{c,90}$ modifiziert

horizontale Druckkraft

| | Ek | kmod [-] | Fd [kN] | α [°] | σc,α,d [N/mm²] | kc,90 [-] | fc,α,d [N/mm²] | η |
|---|---|---|---|---|---|---|---|---|
| Sparren | 1557 | 1.00 | 1.28 | 30.0 | 0.25 | 1.50 | 7.51* | 0.03 |
| Pfette | | | | 90.0 | 0.26 | 1.50 | 1.92 | 0.09 |

* Wert mit $k_{c,90}$ modifiziert

Verankerung

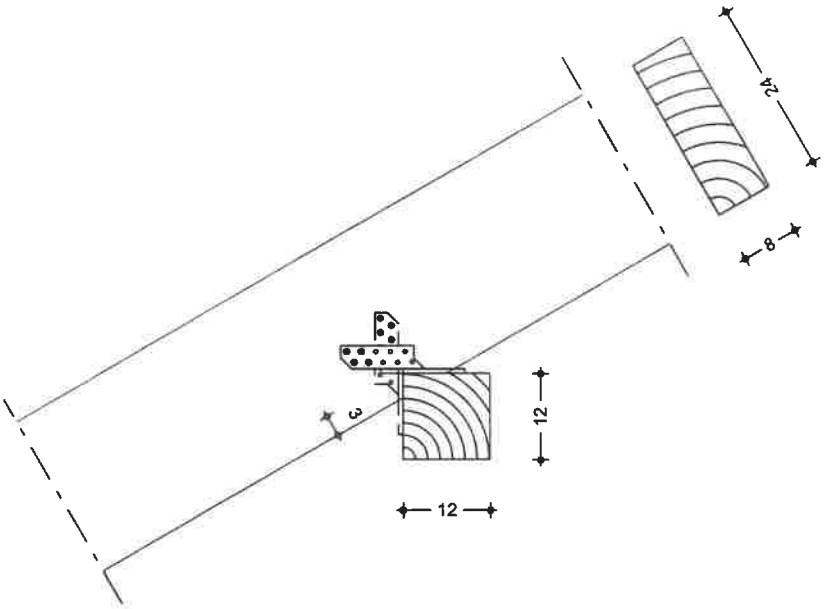
mit 2x Sparrenpfettenanker Simpson Strong-Tie SPF 170 (außen, gekreuzt), jeweils 4 CNA Kammnagel 4.0x60 pro Schenkel.*
*: Es wird empfohlen, die Verbindungsmittel an den äußeren Enden anzuordnen.

| EK | kmod | Fz,d [kN] | Rz,d [kN] | Fx,d [kN] | Rx,d [kN] | η |
|---|---|---|---|---|---|---|
| 1387 | 1.00 | | | -2.06 | 5.64 | 0.37 |
| 1559 | 1.00 | -0.19 | 5.64 | | | 0.03 |
| | | -0.19 | 5.64 | -2.01 | 5.64 | 0.36 |

durch Vergleichsrechnung geprüft

Sparrenauflager B  Kontaktanschluss durch Aufklauung
M 1:10

2 gekreuzte Sparrenpfettenanker 170




Einschnitttiefe Sparren  t = 3.00 cm
Pfette (Nadelholz C24)  b/h = 12/12 cm

Querdruck
Abs. 6.1.5, Abs. 6.2.2

vertikale Druckkraft

| | Ek | $k_{mod}$ [-] | $F_d$ [kN] | α [°] | $\sigma_{c,\alpha,d}$ [N/mm²] | $k_{c,90}$ [-] | $f_{c,\alpha,d}$ [N/mm²] | η |
|---|---|---|---|---|---|---|---|---|
| Sparren | 1251 | 0.90 | 5.09 | 60.0 | 0.57 | 1.50 | 3.27* | 0.17 |
| Pfette | | | | 90.0 | 0.61 | 1.50 | 1.73 | 0.23 |

* Wert mit $k_{c,90}$ modifiziert

horizontale Druckkraft

| | Ek | $k_{mod}$ [-] | $F_d$ [kN] | α [°] | $\sigma_{c,\alpha,d}$ [N/mm²] | $k_{c,90}$ [-] | $f_{c,\alpha,d}$ [N/mm²] | η |
|---|---|---|---|---|---|---|---|---|
| Sparren | 1561 | 1.00 | 1.28 | 30.0 | 0.25 | 1.50 | 7.51* | 0.03 |
| Pfette | | | | 90.0 | 0.26 | 1.50 | 1.92 | 0.09 |

* Wert mit $k_{c,90}$ modifiziert

Verankerung

mit 2x Sparrenpfettenanker Simpson Strong-Tie SPF 170 (außen, gekreuzt), jeweils 4 CNA Kammnagel 4.0x60 pro Schenkel.*
*: Es wird empfohlen, die Verbindungsmittel an den äußeren Enden anzuordnen.

| EK | $k_{mod}$ | $F_{z,d}$ [kN] | $R_{z,d}$ [kN] | $F_{x,d}$ [kN] | $R_{x,d}$ [kN] | η |
|---|---|---|---|---|---|---|
| 1387 | 1.00 | | | -2.06 | 5.64 | 0.37 |
| 1559 | 1.00 | -0.19 | 5.64 | | | 0.03 |
| | | -0.19 | 5.64 | -2.01 | 5.64 | 0.36 |

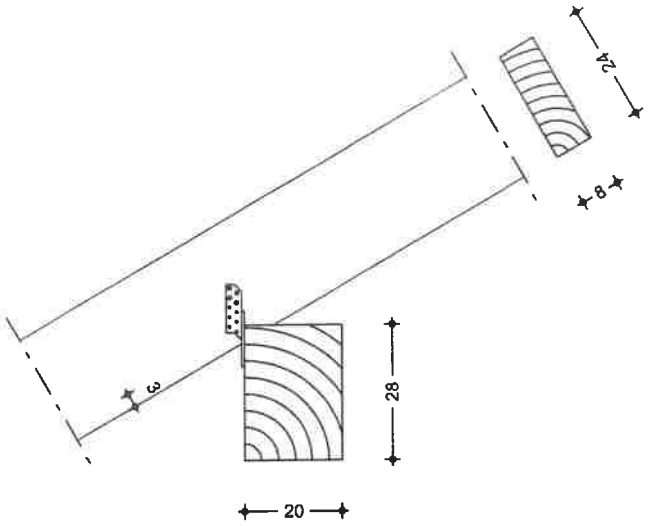
durch Vergleichsrechnung geprüft



mb-Jasper Version 2022.4 (Version 2021 - mb AEC Software GmbH

Sparrenauflager C  Kontaktanschluss durch Aufklauung
M 1:15

1 vertikaler Sparrenpfettenanker 170




Einschnitttiefe Sparren  t = 3.00 cm
Pfette (Nadelholz C24)  b/h = 20/28 cm

**Querdruck**
Abs. 6.1.5, Abs. 6.2.2
Sparren
Pfette

vertikale Druckkraft

| Ek | $k_{mod}$ [-] | $F_d$ [kN] | α [°] | $\sigma_{c,\alpha,d}$ [N/mm²] | $k_{c,90}$ [-] | $f_{c,\alpha,d}$ [N/mm²] | η |
|---|---|---|---|---|---|---|---|
| 1479 | 1.00 | 11.10 | 60.0 | 1.24 | 1.50 | 3.63* | 0.34 |
| | | | 90.0 | 1.32 | 1.50 | 1.92 | 0.46 |

* Wert mit $k_{c,90}$ modifiziert

**Verankerung**

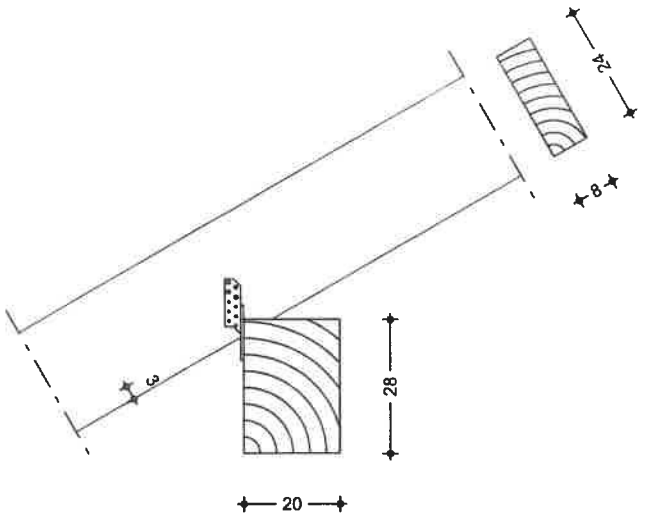
mit 1x Sparrenpfettenanker Simpson Strong-Tie SPF 170 (außen), jeweils 4 CNA Kammnagel 4.0x60 pro Schenkel.*
*: Es wird empfohlen, die Verbindungsmittel an den äußeren Enden anzuordnen.

| EK | $k_{mod}$ | $F_{z,d}$ [kN] | $R_{z,d}$ [kN] | $F_{x,d}$ [kN] | $R_{x,d}$ [kN] | η |
|---|---|---|---|---|---|---|
| 1703 | 1.00 | -1.51 | 4.24 | | | 0.36 |

durch Vergleichsrechnung geprüft

Sparrenauflager D  Kontaktanschluss durch Aufklauung
M 1:15

1 vertikaler Sparrenpfettenanker 170




Einschnitttiefe Sparren  t = 3.00 cm
Pfette (Nadelholz C24)  b/h = 20/28 cm

**Querdruck**
Abs. 6.1.5, Abs. 6.2.2

vertikale Druckkraft

| | Ek | $k_{mod}$ [-] | $F_d$ [kN] | α [°] | $\sigma_{c,\alpha,d}$ [N/mm²] | $k_{c,90}$ [-] | $f_{c,\alpha,d}$ [N/mm²] | η |
|---|---|---|---|---|---|---|---|---|
| Sparren | 1452 | 1.00 | 11.10 | 60.0 | 1.24 | 1.50 | 3.63* | 0.34 |
| Pfette | | | | 90.0 | 1.32 | 1.50 | 1.92 | 0.46 |

* Wert mit $k_{c,90}$ modifiziert

**Verankerung**

mit 1x Sparrenpfettenanker Simpson Strong-Tie SPF 170 (außen), jeweils 4 CNA Kammnagel 4.0x60 pro Schenkel.*
*: Es wird empfohlen, die Verbindungsmittel an den äußeren Enden anzuordnen.

| EK | $k_{mod}$ | $F_{z,d}$ [kN] | $R_{z,d}$ [kN] | $F_{x,d}$ [kN] | $R_{x,d}$ [kN] | η |
|---|---|---|---|---|---|---|
| 1702 | 1.00 | -1.50 | 4.24 | | | 0.35 |

**Nachweise (GZG)**

Nachweise im Grenzzustand der Gebrauchstauglichkeit nach DIN EN 1995-1-1

**Verformungen**
Abs. 7.2

Nachweise der Verformungen

| | x [m] | Ek | Norm | $w_{vorh}$ [mm] | | $w_{zul}$ [mm] | η [-] |
|---|---|---|---|---|---|---|---|
| SpLi Feld 1 | *(L= 4.28 m, NKL 1, $k_{def}$ = 0.60)* | | | | | | |
| | 1.95 | 612 | $w_{net,fin}$ | 2.8 | l/300= | 14.3 | 0.20* |
| SpLi Feld 2 | *(L= 2.53 m, NKL 1, $k_{def}$ = 0.60)* | | | | | | |
| | 0.00 | 612 | $w_{net,fin}$ | - | l/300= | 8.4 | 0.00* |
| SpRe Feld 1 | *(L= 4.28 m, NKL 1, $k_{def}$ = 0.60)* | | | | | | |
| | 1.95 | 612 | $w_{net,fin}$ | 2.8 | l/300= | 14.3 | 0.20* |
| SpRe Feld 2 | *(L= 2.53 m, NKL 1, $k_{def}$ = 0.60)* | | | | | | |
| | 0.00 | 612 | $w_{net,fin}$ | - | l/300= | 8.4 | 0.00* |
| Kehl Feld 1 | *(L= 2.19 m, NKL 1, $k_{def}$ = 0.60)* | | | | | | |
| | 0.97 | 613 | $w_{net,fin}$ | 0.2 | l/300= | 7.3 | 0.02* |
| Kehl Feld 2 | *(L= 2.20 m, NKL 1, $k_{def}$ = 0.60)* | | | | | | |
| | 1.22 | 614 | $w_{net,fin}$ | 0.2 | l/300= | 7.3 | 0.02* |



durch Vergleichsrechnung geprüft

Negative Verformungen wurden zur Bemessung nicht berücksichtigt.

Auflagerkräfte

je lfd. m (Windlasten mit $c_{pe,10}$)

Char. Auflagerkr.

| | Aufl. | $F_{x,k,min}$ [kN/m] | $F_{x,k,max}$ [kN/m] | $F_{z,k,min}$ [kN/m] | $F_{z,k,max}$ [kN/m] |
|---|---|---|---|---|---|
| Einw. *Gk* | A | -0.08 | -0.08 | 2.70 | 2.70 |
| | B | 0.08 | 0.08 | 2.70 | 2.70 |
| | C | | | 5.46 | 5.46 |
| | D | | | 5.46 | 5.46 |
| | E | | | 1.60 | 1.60 |
| | F | | | 1.67 | 1.67 |
| Einw. *Qk.N* | A | -0.01 | 0.00 | 0.00 | 0.69 |
| | B | 0.00 | 0.01 | 0.00 | 0.69 |
| | C | | | -0.14 | 2.01 |
| | D | | | -0.14 | 2.02 |
| | E | | | 0.00 | 0.36 |
| | F | | | 0.00 | 2.74 |
| Einw. *Qk.S.A* | A | -0.03 | -0.03 | 1.62 | 1.62 |
| | B | 0.03 | 0.03 | 1.62 | 1.62 |
| | C | | | 2.49 | 2.49 |
| | D | | | 2.49 | 2.49 |
| | E | | | 0.84 | 0.84 |
| | F | | | 0.00 | 0.00 |
| Einw. *Qk.S.B* | A | -0.02 | -0.02 | 0.81 | 0.81 |
| | B | 0.02 | 0.02 | 1.61 | 1.61 |
| | C | | | 1.23 | 1.23 |
| | D | | | 2.50 | 2.50 |
| | E | | | 0.63 | 0.63 |
| | F | | | 0.00 | 0.00 |
| Einw. *Qk.S.C* | A | -0.02 | -0.02 | 1.61 | 1.61 |
| | B | 0.02 | 0.02 | 0.81 | 0.81 |
| | C | | | 2.50 | 2.50 |
| | D | | | 1.23 | 1.23 |
| | E | | | 0.63 | 0.63 |
| | F | | | 0.00 | 0.00 |
| Einw. *Qk.W.000* | A | 1.21 | 1.21 | 0.10 | 0.10 |
| | B | 1.11 | 1.11 | 0.08 | 0.08 |
| | C | | | 1.73 | 1.73 |
| | D | | | -1.75 | -1.75 |
| | E | | | -0.09 | -0.09 |
| | F | | | 0.00 | 0.00 |
| Einw. *Qk.W.090* | A | -1.59 | -1.59 | -1.80 | -1.80 |
| | B | 1.59 | 1.59 | -1.80 | -1.80 |
| | C | | | -4.44 | -4.44 |
| | D | | | -4.44 | -4.44 |
| | E | | | -0.52 | -0.52 |
| | F | | | 0.00 | 0.00 |
| Einw. *Qk.W.180* | A | -1.11 | -1.11 | 0.08 | 0.08 |
| | B | -1.21 | -1.21 | 0.10 | 0.10 |
| | C | | | -1.75 | -1.75 |
| | D | | | 1.73 | 1.73 |
| | E | | | -0.09 | -0.09 |
| | F | | | 0.00 | 0.00 |
| Einw. *Qk.W.270* | A | -0.71 | -0.71 | -0.85 | -0.85 |
| | B | 0.71 | 0.71 | -0.85 | -0.85 |
| | C | | | -1.76 | -1.76 |
| | D | | | -1.76 | -1.76 |
| | E | | | -0.12 | -0.12 |



durch Vergleichsrechnung geprüft

| Aufl. | $F_{x,k,min}$ [kN/m] | $F_{x,k,max}$ [kN/m] | $F_{z,k,min}$ [kN/m] | $F_{z,k,max}$ [kN/m] |
|---|---|---|---|---|
| F | | | 0.00 | 0.00 |

Zusammenfassung — Zusammenfassung der Nachweise

Nachweise (GZT) — Nachweise im Grenzzustand der Tragfähigkeit

| Nachweis | Feld | x [m] | | η [-] |
|---|---|---|---|---|
| Biegung | SpRe Feld 1 | 4.28 | OK | 0.25 |
| Querkraft | SpRe Feld 1 | 4.28 | OK | 0.25 |
| Biegung | Auflager D | | OK | 0.32 |
| Querkraft | Auflager D | | OK | 0.28 |
| Firstpunkt | Auflager E | | OK | 0.00 |
| Sparrenauflager | Auflager D | | OK | 0.46 |

Nachweise (GZG) — Nachweise im Grenzzust. der Gebrauchstauglichkeit

| Nachweis | Feld | x [m] | | η [-] |
|---|---|---|---|---|
| ges. Enddurchbiegung | SpLi Feld 1 | 1.95 | OK | 0.20 |



durch Vergleichsrechnung geprüft

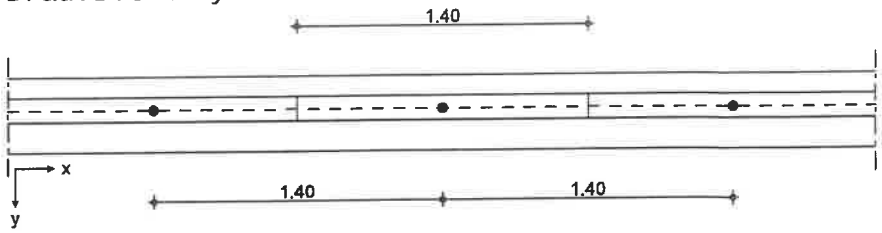
## Pos. 1.01.1 Nachweis Fußpfette und Befestigung

System

Holz-Schwelle an Beton-Decke, kontinuierlich gelagert

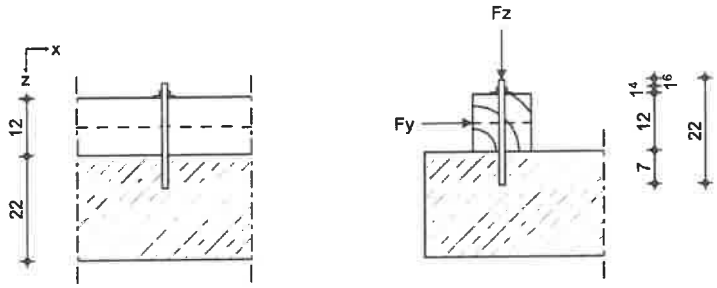
Draufsicht System

M 1:35



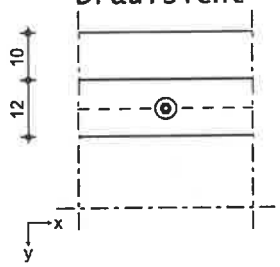

Vorderansicht Schnitt

M 1:15




Draufsicht

M 1:15




Abmessungen Mat./Querschnitt

| Bauteil | Material | b [cm] | h [cm] | t [cm] | NKL |
|---|---|---|---|---|---|
| Schwelle | *KVH C24* | 12.0 | 12.0 | | 1 |
| Betondecke | *C 25/30* | | | 22.0 | |

Betonzustand: gerissen

Bewehrung: Unbewehrter oder normal bewehrter Beton ohne Randbewehrung keine Spaltbewehrung vorhanden

Verbindungsmittel

| | |
|---|---|
| Würth Bolzenanker W-FAZ/S[1] | 125-M12X220 |
| Kontinuierliche Lagerung | a = 140 cm |
| Unterlegscheibe[2] | Typ 44/14 |
| Exzentrizität $e_{y,Bolt}$ | 0 cm |

1: ETA-99/0011
2: DIN EN ISO 7094

Anordnung

| Bezugspunkt Betondecke | Bezugspunkt Schwelle | $a_{links}$ [cm] | $a_{rechts}$ [cm] |
|---|---|---|---|
| Rand | Rand | 10.0 | |
| Rand | Schwerpunkt | 16.0 | |



durch Vergleichsrechnung geprüft

## Belastungen

Belastungen auf das System

### Linienlasten

| | | Komm. | $q_y$ [kN/m] | $q_z$ [kN/m] |
|---|---|---|---|---|
| Einw. *Gk* | (a) | | 0.08 | 2.70 |
| Einw. *Qk.N* | (a) | | 0.00 | 0.69 |
| Einw. *Qk.S.A* | (a) | | 0.03 | 1.62 |
| Einw. *Qk.S.B* | (a) | | 0.02 | 0.81 |
| Einw. *Qk.S.C* | (a) | | 0.02 | 1.61 |
| Einw. *Qk.W.000* | (a) | | -1.21 | 0.10 |
| Einw. *Qk.W.090* | (a) | | 1.59 | -1.80 |
| Einw. *Qk.W.180* | (a) | | 1.11 | 0.08 |
| Einw. *Qk.W.270* | (a) | | 0.71 | -0.85 |

(a) aus Pos. '1.01', Lager 'A' (Seite 27)

### Kombinationen

Kombinationsbildung nach DIN EN 1990
Darstellung der maßgebenden Kombinationen

ständig/vorüberg.

| Ek | KLED | Σ (γ*ψ*EW) | | |
|---|---|---|---|---|
| 11 | ku | 1.35*Gk | +1.05*Qk.N | +1.50*Qk.S.A |
| 27 | ku/sk | 1.35*Gk | +0.75*Qk.S.A | +1.50*Qk.W.090 |
| 78 | ku/sk | 1.00*Gk | +1.50*Qk.W.090 | |

ku: kurz
ku/sk: kurz/sehr kurz

### Bem.-schnittgrößen

Bemessungsschnittgrößen je Anker

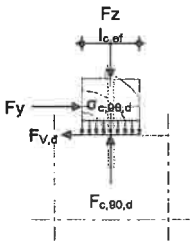
| Ek | $l_{c,ef}$ [cm] | $b_{c,ef}$ [cm] | z [cm] | $F_{c,90,d}$ [kN] | $F_{v,d}$ [kN] | $F_{ax,d}$ [kN] |
|---|---|---|---|---|---|---|
| 11 | 12.00 | 140.00 | | 9.50 | 0.20 | 0.00 |
| 27 | 0.97 | 16.40 | 5.51 | 3.83 | 3.52 | -0.83 |
| 78 | 0.95 | 16.40 | 5.52 | 3.75 | 3.45 | -3.77 |

### Grafik

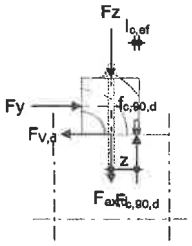
Spannungsverteilung der maßgebenden Einwirkungskombinationen

M 1:15

Ek 11

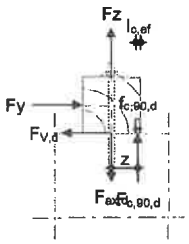



Ek 27




M 1:15

Ek 78




### Mat./Querschnitt

Material nach DIN EN 1995-1-1 und DIN EN 1992-1-1




durch Vergleichsrechnung geprüft

Schwelle

| Material | $f_{t,90,k}$ [N/mm²] | $f_{c,90,k}$ [N/mm²] | $\rho_k$ [kg/m³] |
|---|---|---|---|
| *KVH C24* | 0.4 | 2.5 | 350 |

Betondecke

| Material | $f_{ck}$ [N/mm²] | $f_{ck,cube}$ [N/mm²] | $f_{ctm}$ [N/mm²] | $E_{cm}$ [N/mm²] |
|---|---|---|---|---|
| *C 25/30* | 25 | 30 | 2.6 | 31000 |

Verbindungsmittel

| Bolzenanker | ø [mm] | L [mm] | $h_{ef}$ [mm] | $t_{fix}$ [mm] | U-Scheibe |
|---|---|---|---|---|---|
| Würth W-FAZ/S 125-M12X220 | 12 | 220 | 70 | 120 | Typ 44/14 |

## Nachweise (GZT)

### Verbindungsmittel Beton Zugbeanspruchung Abs. 7.2.1

Nachweise im Grenzzustand der Tragfähigkeit nach DIN EN 1992-4
Nachweise der Tragfähigkeit bei Zugbeanspruchung nach DIN EN 1992-4

| Nachweis | Anker | Ek | $N_{Ed}$ [kN] | $N_{Rd}$ [kN] | η [-] |
|---|---|---|---|---|---|
| Stahlversagen | 1 | 78 | 3.77 | 26.67 | 0.14 |
| Herausziehen | 1 | 78 | 3.77 | 10.67 | 0.35 |
| Betonausbruch | 1 | 78 | 3.77 | 14.06 | 0.27 |
| Betonspalten | | | | | ok |

### Querbeanspruchung Abs. 7.2.2

Nachweis der Tragfähigkeit bei Querbeanspruchung nach DIN EN 1992-4

| Nachweis | Anker | Ek | $V_{Ed}$ [kN] | $V_{Rd}$ [kN] | η [-] |
|---|---|---|---|---|---|
| Stahlversagen | 1 | 27 | 3.52 | 24.00 | 0.15 |
| Pryout-Versagen | 1 | 27 | 3.52 | 33.73 | 0.10 |
| Betonkantenbruch | 1 | 27 | 3.52 | 16.67 | 0.21 |

### Zug- und Querbelastung Abs. 7.2.3

| Anker | Ek | $\eta_N$ | $\eta_V$ | α | η |
|---|---|---|---|---|---|
| 1 | 78 | 0.35 | 0.21 | 1.5 | 0.30 |

### Abstände Beton

Mindestabstände Betondecke

| | $C_{cr}$ [mm] | $C_{ucr}$ [mm] |
|---|---|---|
| erf | 60 | 75 |
| vorh | 160 | |

$C_{cr}$: minimaler Randabstand bei gerissenem Beton
$C_{ucr}$: minimaler Randabstand bei ungerissenem Beton

### Verbindungsmittel Holz

Nachweise im Grenzzustand der Tragfähigkeit nach DIN EN 1995-1-1

| Ek | $k_{mod}$ [-] | $F_{1a,d}$ [kN] | $R_{1a,d}$ [kN] | $F_{ax,d}$ [kN] | $R_{ax,d}$ [kN] | η [-] |
|---|---|---|---|---|---|---|
| 78 | 1.00 | 3.45 | 10.90 | 3.77 | 7.88 | 0.79 |

### Abstände Holz

Mindestabstände Schwelle

| | $a_1$ [mm] | $a_{4t}$ [mm] | $a_{4c}$ [mm] |
|---|---|---|---|
| erf | 58 | 48 | 36 |
| vorh | 1400 | 60 | - |

$a_1$: Abstand der Verbindungsmittel in Faserrichtung des Holzes
$a_{4t}$: Abstand der Verbindungsmittel vom beanspruchten Rand des Holzes
$a_{4c}$: Abstand der Verbindungsmittel vom unbeanspruchten Rand des Holzes



durch Vergleichsrechnung geprüft

Querzug

Nachweis Querzug in Holz-Schwelle

Queranschluss $h_e/h = 0.50 \leq 0.70$

unverstärkt

| Ek | $k_{mod}$ [-] | $F_{v,Ed}$ [kN] | $F_{90,Rd}$ [kN] | η [-] |
|---|---|---|---|---|
| 27 | 1.00 | 3.52 | 4.77 | 0.74 |

Querdruck

Nachweis der Holzspannung infolge Kontaktpressung

| Ek | $k_{mod}$ [-] | $F_d$ [kN] | $M_d$ [kNm] | $A_{ef}$ [cm²] | $k_{c,90}$ [-] | $\sigma_{c,90,d}^{m}$ [N/mm²] | $f_{c,90,d}^{*}$ [N/mm²] | η [-] |
|---|---|---|---|---|---|---|---|---|
| 11 | 0.90 | 9.50 | 0.01 | 1680 | 1.25 | 0.06 | 2.16 | 0.03 |

*: Werte mit $k_{c,90}$ modifiziert
m: mittlere Spannung der Druckzone

Die Festigkeitsnachweise der Druckbereiche werden beim Kräftepaarmodell mit vollplastischer Druckzone und Zuganker automatisch eingehalten.

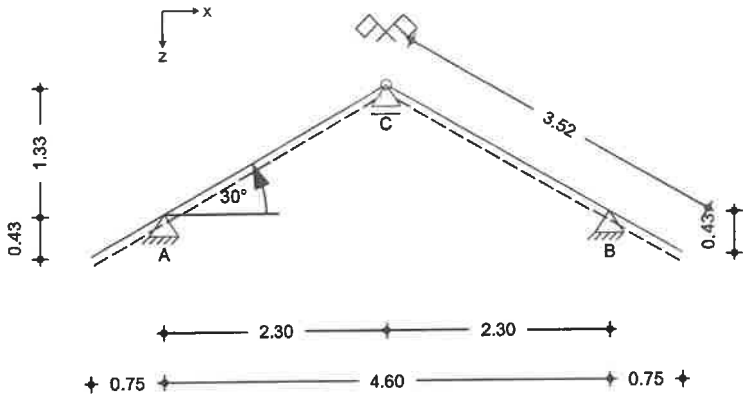


durch Vergleichsrechnung geprüft

## Pos. 1.02 Holz-Dach

System
M 1:75

allgemeines Pfettendach mit Firstgelenk




Abmessungen Mat./Querschnitt

| Bauteil | l [m] | Material | b/h [cm] |
|---|---|---|---|
| Sparren links | 3.52 | *NH C24* | 8.0/24.0 |
| Sparren rechts | 3.52 | *NH C24* | 8.0/24.0 |

√

Auflager

| Lager | x [m] | z [m] | $K_{T,z}$ [kN/m] | $K_{T,x}$ [kN/m] |
|---|---|---|---|---|
| A | 0.75 | 0.43 | fest | fest |
| B | 5.35 | 0.43 | fest | fest |
| C | 3.05 | 1.76 | fest | frei |

Dachneigung

Dachneigungswinkel
$\delta_{li}$ = 30.00 °
$\delta_{re}$ = 30.00 °

Dachhöhe
$h_{li}$ = 1.76 m
$h_{re}$ = 1.76 m

Sparrenabstand

Abstand
a = 0.75 m

√

Belastungen

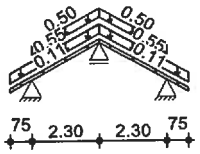
Belastungen auf das System

Grafik

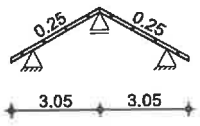
Belastungsgrafiken (einwirkungsbezogen)

Einwirkungen

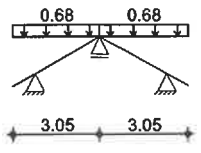
Gk




Qk.N

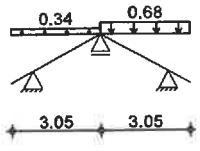



Qk.S.A

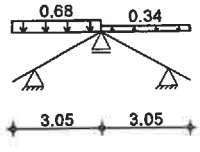



√

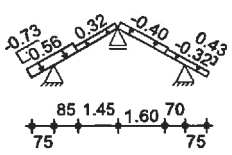
Qk.S.B




Qk.S.C



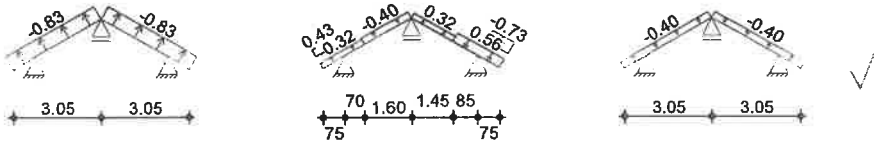

Qk.W.000






durch Vergleichsrechnung geprüft

Qk.W.090 Qk.W.180 Qk.W.270




## Flächenlasten in z-Richtung

Gleichflächenlasten

| | | Ort | Richt. | Komm. | a [m] | s [m] | $q_a$ [kN/m²] | $q_e$ [kN/m²] |
|---|---|---|---|---|---|---|---|---|
| Einw. *Gk* | | SpLi | vert.DF | Eigengew | -0.75 | 3.05 | | 0.11 |
| | | SpRe | vert.DF | Eigengew | -0.75 | 3.05 | | 0.11 |
| | | SpLi | vert.DF | Eindeck. | -0.75 | 3.05 | | 0.55 |
| | | SpRe | vert.DF | Eindeck. | -0.75 | 3.05 | | 0.55 |
| | | SpLi | vert.DF | Ausbau | 0.00 | 2.30 | | 0.50 |
| | | SpRe | vert.DF | Ausbau | 0.00 | 2.30 | | 0.50 |
| Einw. *Qk.N* | (a) | SpLi | vert.DF | | -0.75 | 3.05 | | 0.25 |
| | (a) | SpRe | vert.DF | | -0.75 | 3.05 | | 0.25 |
| Einw. *Qk.S.A* | | SpLi | vert.GF | Volllast | -0.75 | 3.05 | | 0.68 |
| | | SpRe | vert.GF | Volllast | -0.75 | 3.05 | | 0.68 |
| Einw. *Qk.S.B* | | SpLi | vert.GF | Halblast | -0.75 | 3.05 | | 0.34 |
| | | SpRe | vert.GF | Volllast | -0.75 | 3.05 | | 0.68 |
| Einw. *Qk.S.C* | | SpLi | vert.GF | Volllast | -0.75 | 3.05 | | 0.68 |
| | | SpRe | vert.GF | Halblast | -0.75 | 3.05 | | 0.34 |
| Einw. *Qk.W.000* | | SpLi | lokal | Unterwind | -0.75 | 0.75 | | -0.73 |
| | | SpRe | lokal | Unterwind | -0.75 | 0.75 | | 0.43 |
| | | SpLi | lokal | Ber. F | -0.75 | 1.60 | | 0.56 |
| | | SpLi | lokal | Ber. H | 0.85 | 1.45 | | 0.32 |
| | | SpRe | lokal | Ber. I | -0.75 | 1.45 | | -0.32 |
| | | SpRe | lokal | Ber. J | 0.70 | 1.60 | | -0.40 |
| Einw. *Qk.W.090* | | SpLi | lokal | Ber. H | -0.75 | 3.05 | | -0.83 |
| | | SpRe | lokal | Ber. H | -0.75 | 3.05 | | -0.83 |
| Einw. *Qk.W.180* | | SpRe | lokal | Unterwind | -0.75 | 0.75 | | -0.73 |
| | | SpLi | lokal | Unterwind | -0.75 | 0.75 | | 0.43 |
| | | SpRe | lokal | Ber. F | -0.75 | 1.60 | | 0.56 |
| | | SpRe | lokal | Ber. H | 0.85 | 1.45 | | 0.32 |
| | | SpLi | lokal | Ber. I | -0.75 | 1.45 | | -0.32 |
| | | SpLi | lokal | Ber. J | 0.70 | 1.60 | | -0.40 |
| Einw. *Qk.W.270* | | SpLi | lokal | Ber. I | -0.75 | 3.05 | | -0.40 |
| | | SpRe | lokal | Ber. I | -0.75 | 3.05 | | -0.40 |

(a) Photovoltaik 0.25 = 0.25 kN/m²

lokal: lokale Belastung orthogonal zur Dachfläche
vert.DF: vertikale Belastung bezogen auf die Dachfläche
vert.GF: vertikale Belastung bezogen auf die Grundfläche

## Kombinationen

Kombinationsbildung nach DIN EN 1990
Darstellung der maßgebenden Kombinationen

| | Ek | KLED | Σ (γ*ψ*EW) | | |
|---|---|---|---|---|---|
| ständig/vorüberg. | 11 | ku | 1.35*Gk | +1.05*Qk.N | +1.50*Qk.S.A |
| | 15 | ku | 1.35*Gk | +1.05*Qk.N | +1.50*Qk.S.C |
| | 48 | ku/sk | 1.35*Gk +0.90*Qk.W.000 | +1.05*Qk.N | +1.50*Qk.S.A |
| | 52 | ku/sk | 1.35*Gk +0.90*Qk.W.180 | +1.05*Qk.N | +1.50*Qk.S.A |
| | 60 | ku/sk | 1.35*Gk +0.90*Qk.W.180 | +1.05*Qk.N | +1.50*Qk.S.B |
| quasi-ständig | 144 | | 1.00*Gk | +0.30*Qk.N | |



durch Vergleichsrechnung geprüft

st./vor. Auflagerkr.

| Ek | KLED | Σ (γ*ψ*EW) | | |
|---|---|---|---|---|
| 299 | ku | 1.35*Gk | +1.05*Qk.N | +1.50*Qk.S.B |
| 301 | ku | 1.35*Gk | +1.05*Qk.N | +1.50*Qk.S.C |
| 335 | ku/sk | 1.35*Gk +1.50*Qk.W.000 | +1.05*Qk.N | +0.75*Qk.S.A |
| 336 | ku/sk | 1.35*Gk +0.90*Qk.W.090 | +1.05*Qk.N | +1.50*Qk.S.A |
| 339 | ku/sk | 1.35*Gk +1.50*Qk.W.180 | +1.05*Qk.N | +0.75*Qk.S.A |
| 371 | ku/sk | 1.00*Gk | +1.50*Qk.W.090 | |

ku: kurz
ku/sk: kurz/sehr kurz

## Nachweise (GZT)

Nachweise im Grenzzustand der Tragfähigkeit nach DIN EN 1995-1-1

### Biegung Abs. 6.1

Nachweis der Biegetragfähigkeit

| | x [m] | Ek | $k_{mod}$ [-] | $N_d$ / $M_{yd}$ [kN, kNm] | $\sigma_{0,d}$ / $\sigma_{my,d}$ [N/mm²] | $f_{0,d}$ / $f_{my,d}$ [N/mm²] | η [-] |
|---|---|---|---|---|---|---|---|
| SpLi KrUn | *(L = 0.87 m, $k_{c,y}$ = 0.97)* | | | | | | |
| | 0.87 | 15 | 0.90 | 0.66 | 0.03 | 10.04 | |
| | | | | -0.50 | 0.64 | 16.62 | 0.04* |
| SpLi Feld 1 | *(L = 2.66 m, $k_{c,y}$ = 0.90)* | | | | | | |
| | 1.43 | 48 | 1.00 | 0.31 | 0.02 | 11.15 | |
| | | | | 1.56 | 2.03 | 18.46 | 0.11* |
| SpRe KrUn | *(L = 0.87 m, $k_{c,y}$ = 0.97)* | | | | | | |
| | 0.87 | 11 | 0.90 | 0.66 | 0.03 | 10.04 | |
| | | | | -0.50 | 0.64 | 16.62 | 0.04* |
| SpRe Feld 1 | *(L = 2.66 m, $k_{c,y}$ = 0.90)* | | | | | | |
| | 1.43 | 52 | 1.00 | 0.31 | 0.02 | 11.15 | |
| | | | | 1.56 | 2.03 | 18.46 | 0.11* |

### Querkraft Abs. 6.1.7

Nachweis der Querkrafttragfähigkeit

| | x [m] | Ek | $k_{mod}$ [-] | $V_{z,d}$ [kN] | $T_d$ [N/mm²] | $f_{v,d}$ [N/mm²] | η [-] |
|---|---|---|---|---|---|---|---|
| SpLi KrUn | 0.87 | 15 | 0.90 | -1.14 | 0.18 | 2.77 | 0.06* |
| SpLi Feld 1 | 0.00 | 48 | 1.00 | 2.92 | 0.46 | 3.08 | 0.15* |
| SpRe KrUn | 0.87 | 11 | 0.90 | -1.14 | 0.18 | 2.77 | 0.06* |
| SpRe Feld 1 | 0.00 | 60 | 1.00 | 2.92 | 0.46 | 3.08 | 0.15* |

### Stabilität Abs. 6.3

Nachweis der Stabilität

Die Sparren werden in der Dachebene als gehalten betrachtet.
Der Einfluss der Stabilität ist im Nachweis der Biegetragfähigkeit enthalten. Folgende Ersatzstablängen werden berücksichtigt.

Ersatzstablängen

| | l [m] | $l_{ef,cy}$ [m] |
|---|---|---|
| SpLi KrUn | 0.87 | 1.73 |
| SpLi Feld 1 | 2.66 | 2.66 |
| SpRe KrUn | 0.87 | 1.73 |
| SpRe Feld 1 | 2.66 | 2.66 |



durch Vergleichsrechnung geprüft

**Biegung**
Abs. 6.1

Nachweis der Biegetragfähigkeit (geschwächter Querschnitt)

| | t [cm] | Ek | $k_{mod}$ [-] | $N_d$ / $M_{yd}$ [kN, kNm] | $\sigma_{0,d}$ / $\sigma_{my,d}$ [N/mm²] | $f_{0,d}$ / $f_{my,d}$ [N/mm²] | η [-] |
|---|---|---|---|---|---|---|---|
| Auflager A | 3.0 | 15 | 0.90 | 0.66 | 0.04 | 10.04 | |
| | | | | -0.50 | 0.84 | 16.62 | 0.05 |
| Auflager B | 3.0 | 11 | 0.90 | 0.66 | 0.04 | 10.04 | |
| | | | | -0.50 | 0.84 | 16.62 | 0.05 |

**Querkraft**
Abs. 6.1.7

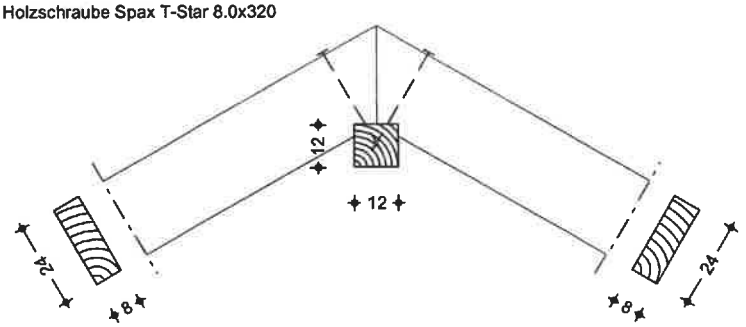
Nachweis der Querkrafttragfähigkeit (geschwächter Querschnitt)

| | t [cm] | Ek | $k_{mod}$ [-] | $V_{z,d}$ [kN] | $\tau_d$ [N/mm²] | $f_{v,d}$ [N/mm²] | η [-] |
|---|---|---|---|---|---|---|---|
| Auflager A | 3.0 | 48 | 1.00 | 2.92 | 0.52 | 3.08 | 0.17 |
| Auflager B | 3.0 | 60 | 1.00 | 2.92 | 0.52 | 3.08 | 0.17 |

**Anschlüsse**
Firstpunkt
M 1:20

Nachweis der Anschlüsse der Sparren
Stumpfstoß mit tragender Firstpfette

Firstpfette 12/12
je Seite
1 Holzschraube Spax T-Star 8.0x320




| | | | | | |
|---|---|---|---|---|---|
| | Einschnitttiefe Sparren | t = | 3.00 | cm | |
| | Pfette (NH C24) | b/h = | 12/12 | cm | |
| Kontaktanschluss | Sparren links auf Pfette | | | | |
| | für Ek 336 (KLED kurz/sehr kurz) | $k_{mod}$ = | 1.00 | - | |
| | vertikale Druckkraft | $F_{v,d}$ = | 3.11 | kN | |
| | Aufstandslänge | $l_A$ = | 6.00 | cm | |
| Druck Sparren | Winkel Kraft-/Faserrichtung | α = | 60.00 | ° | |
| | wirksame Kontaktlänge | $l_{ef}$ = | 8.60 | cm | |
| | wirksame Kontaktfläche | $A_{ef}$ = | 68.78 | cm² | |
| | Druckspannung unter Winkel | $\sigma_{c,a,d}$ = | 0.45 | N/mm² | |
| | Druckfestigkeit unter Winkel | $f_{c,a,d}$ = | 3.63 | N/mm² | |
| (6.16) | 0.45 / 3.63 | = | 0.12 | ≤ 1 | |
| Druck Pfette | Winkel Kraft-/Faserrichtung | α = | 90.00 | ° | |
| | wirksame Kontaktlänge | $l_{ef}$ = | 14.00 | cm | |
| | wirksame Kontaktfläche | $A_{ef}$ = | 84.00 | cm² | |
| | Druckspannung | $\sigma_{c,90,d}$ = | 0.37 | N/mm² | |
| | Querdruckbeiwert ($l_1$<2h) | $k_{c,90}$ = | 1.00 | - | |
| | Druckfestigkeit | $f_{c,90,d}$ = | 1.92 | N/mm² | |
| (6.3) | 0.37 / ( 1.00 * 1.92) | = | 0.19 | ≤ 1 | |



durch Vergleichsrechnung geprüft

Lagesicherh. Sparr. Keine abhebende Kraft vorhanden. Der Nachweis der Lagesicherheit ist nicht erforderlich.

| | | | | |
|---|---|---|---|---|
| Einschnitttiefe Sparren | $t$ = | 3.00 | cm |
| Pfette (NH C24) | b/h = | 12/12 | cm |

Kontaktanschluss — Sparren rechts auf Pfette

| | | | | |
|---|---|---|---|---|
| für Ek 336 (KLED kurz/sehr kurz) | $k_{mod}$ = | 1.00 | - |
| vertikale Druckkraft | $F_{v,d}$ = | 3.11 | kN |
| Aufstandslänge | $l_A$ = | 6.00 | cm |

Druck Sparren

| | | | | |
|---|---|---|---|---|
| Winkel Kraft-/Faserrichtung | $\alpha$ = | 60.00 | ° |
| wirksame Kontaktlänge | $l_{ef}$ = | 8.60 | cm |
| wirksame Kontaktfläche | $A_{ef}$ = | 68.78 | cm² |
| Druckspannung unter Winkel | $\sigma_{c,a,d}$ = | 0.45 | N/mm² |
| Druckfestigkeit unter Winkel | $f_{c,a,d}$ = | 3.63 | N/mm² |
| (6.16) 0.45 / 3.63 | = | 0.12 | ≤ 1 |

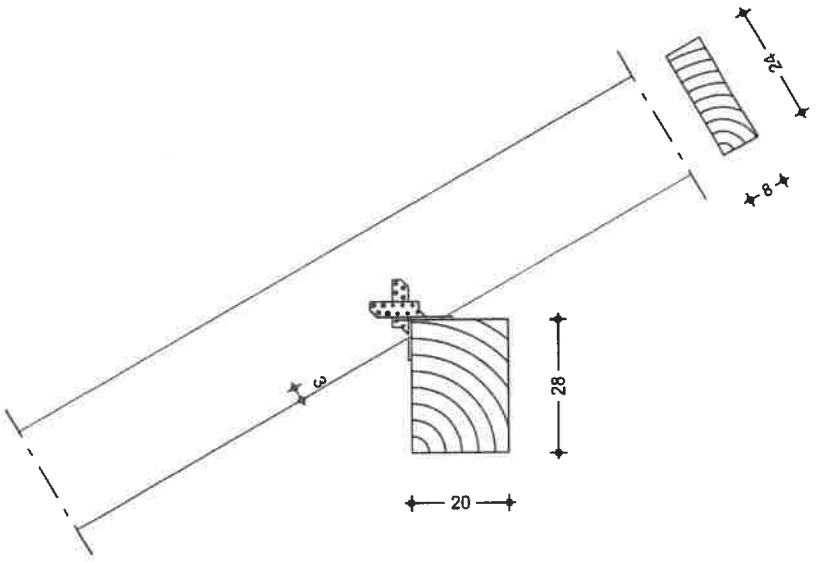
Druck Pfette

| | | | | |
|---|---|---|---|---|
| Winkel Kraft-/Faserrichtung | $\alpha$ = | 90.00 | ° |
| wirksame Kontaktlänge | $l_{ef}$ = | 14.00 | cm |
| wirksame Kontaktfläche | $A_{ef}$ = | 84.00 | cm² |
| Druckspannung | $\sigma_{c,90,d}$ = | 0.37 | N/mm² |
| Querdruckbeiwert ($l_1$<2h) | $k_{c,90}$ = | 1.00 | - |
| Druckfestigkeit | $f_{c,90,d}$ = | 1.92 | N/mm² |
| (6.3) 0.37 / ( 1.00 * 1.92) | = | 0.19 | ≤ 1 |

Lagesicherh. Sparr. Keine abhebende Kraft vorhanden. Der Nachweis der Lagesicherheit ist nicht erforderlich.

Sparrenauflager A — Kontaktanschluss durch Aufklauung
M 1:15

2 gekreuzte Sparrenpfettenanker 170




| | | | |
|---|---|---|---|
| Einschnitttiefe Sparren | $t$ = | 3.00 | cm |
| Pfette (Nadelholz C24) | b/h = | 20/28 | cm |



durch Vergleichsrechnung geprüft

Querdruck
Abs. 6.1.5, Abs. 6.2.2
Sparren
Pfette

vertikale Druckkraft

| Ek | $k_{mod}$ [-] | $F_d$ [kN] | α [°] | $\sigma_{c,\alpha,d}$ [N/mm²] | $k_{c,90}$ [-] | $f_{c,\alpha,d}$ [N/mm²] | η |
|---|---|---|---|---|---|---|---|
| 301 | 0.90 | 4.19 | 60.0 | 0.47 | 1.50 | 3.27* | 0.14 |
| | | | 90.0 | 0.50 | 1.50 | 1.73 | 0.19 |

* Wert mit $k_{c,90}$ modifiziert

horizontale Druckkraft

| Ek | $k_{mod}$ [-] | $F_d$ [kN] | α [°] | $\sigma_{c,\alpha,d}$ [N/mm²] | $k_{c,90}$ [-] | $f_{c,\alpha,d}$ [N/mm²] | η |
|---|---|---|---|---|---|---|---|
| 335 | 1.00 | 0.61 | 30.0 | 0.12 | 1.50 | 7.51* | 0.02 |
| | | | 90.0 | 0.13 | 1.50 | 1.92 | 0.04 |

* Wert mit $k_{c,90}$ modifiziert

Verankerung

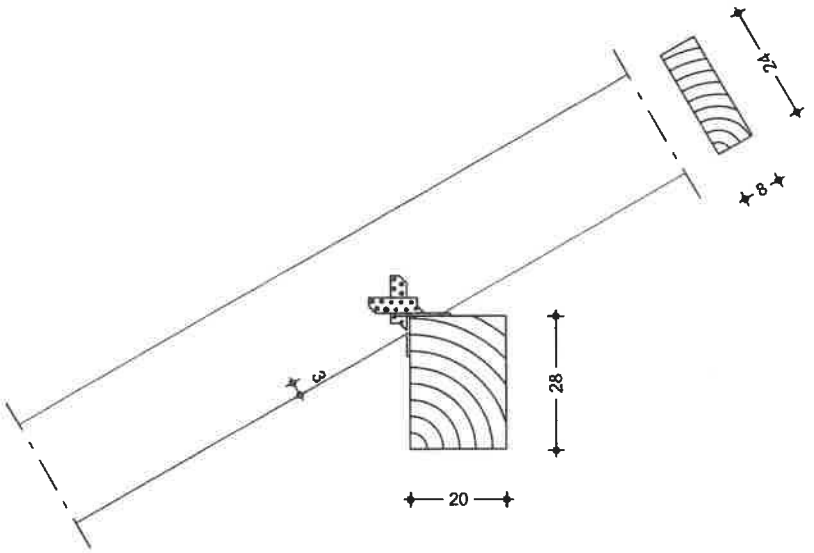
mit 2x Sparrenpfettenanker Simpson Strong-Tie SPF 170 (außen, gekreuzt), jeweils 4 CNA Kammnagel 4.0x60 pro Schenkel.*
*: Es wird empfohlen, die Verbindungsmittel an den äußeren Enden anzuordnen.

| EK | $k_{mod}$ | $F_{z,d}$ [kN] | $R_{z,d}$ [kN] | $F_{x,d}$ [kN] | $R_{x,d}$ [kN] | η |
|---|---|---|---|---|---|---|
| 371 | 1.00 | -0.24 | 5.64 | | | 0.04 |
| | | | | -1.05 | 5.64 | 0.19 |
| | | -0.24 | 5.64 | -1.05 | 5.64 | 0.19 |

Sparrenauflager B
M 1:15

Kontaktanschluss durch Aufklauung

2 gekreuzte Sparrenpfettenanker 170




Einschnitttiefe Sparren t = 3.00 cm
Pfette (Nadelholz C24) b/h = 20/28 cm

Querdruck
Abs. 6.1.5, Abs. 6.2.2
Sparren

vertikale Druckkraft

| Ek | $k_{mod}$ [-] | $F_d$ [kN] | α [°] | $\sigma_{c,\alpha,d}$ [N/mm²] | $k_{c,90}$ [-] | $f_{c,\alpha,d}$ [N/mm²] | η |
|---|---|---|---|---|---|---|---|
| 299 | 0.90 | 4.19 | 60.0 | 0.47 | 1.50 | 3.27* | 0.14 |




durch Vergleichsrechnung geprüft

Pfette

| Ek | $k_{mod}$ [-] | Fd [kN] | α [°] | $\sigma_{c,\alpha,d}$ [N/mm²] | $k_{c,90}$ [-] | $f_{c,\alpha,d}$ [N/mm²] | η |
|---|---|---|---|---|---|---|---|
| | | | 90.0 | 0.50 | 1.50 | 1.73 | 0.19 |

* Wert mit $k_{c,90}$ modifiziert

Sparren
Pfette

horizontale Druckkraft

| Ek | $k_{mod}$ [-] | Fd [kN] | α [°] | $\sigma_{c,\alpha,d}$ [N/mm²] | $k_{c,90}$ [-] | $f_{c,\alpha,d}$ [N/mm²] | η |
|---|---|---|---|---|---|---|---|
| 339 | 1.00 | 0.61 | 30.0 | 0.12 | 1.50 | 7.51* | 0.02 |
| | | | 90.0 | 0.13 | 1.50 | 1.92 | 0.04 |

* Wert mit $k_{c,90}$ modifiziert

Verankerung

mit 2x Sparrenpfettenanker Simpson Strong-Tie SPF 170 (außen, gekreuzt), jeweils 4 CNA Kammnagel 4.0x60 pro Schenkel.*
*: Es wird empfohlen, die Verbindungsmittel an den äußeren Enden anzuordnen.

| EK | $k_{mod}$ | $F_{z,d}$ [kN] | $R_{z,d}$ [kN] | $F_{x,d}$ [kN] | $R_{x,d}$ [kN] | η |
|---|---|---|---|---|---|---|
| 371 | 1.00 | -0.24 | 5.64 | | | 0.04 |
| | | | | -1.05 | 5.64 | 0.19 |
| | | -0.24 | 5.64 | -1.05 | 5.64 | 0.19 |

Nachweise (GZG)

Nachweise im Grenzzustand der Gebrauchstauglichkeit nach DIN EN 1995-1-1

Verformungen
Abs. 7.2

Nachweise der Verformungen

| | x [m] | Ek | Norm | $w_{vorh}$ [mm] | | $w_{zul}$ [mm] | η [-] |
|---|---|---|---|---|---|---|---|
| SpLi Feld 1 | *(L= 2.66 m, NKL 1, $k_{def}$ = 0.60)* | | | | | | |
| | 1.36 | 144 | $w_{net,fin}$ | 0.7 | l/300= | 8.9 | 0.08* |
| SpRe Feld 1 | *(L= 2.66 m, NKL 1, $k_{def}$ = 0.60)* | | | | | | |
| | 1.36 | 144 | $w_{net,fin}$ | 0.7 | l/300= | 8.9 | 0.08* |

Negative Verformungen wurden zur Bemessung nicht berücksichtigt.

Auflagerkräfte

je lfd. m (Windlasten mit $c_{pe,10}$)

Char. Auflagerkr.

| | Aufl. | $F_{x,k}$ [kN/m] | $F_{z,k}$ [kN/m] |
|---|---|---|---|
| Einw. *Gk* | A | 0.04 | 2.18 |
| | B | -0.04 | 2.18 |
| | C | | 2.93 |
| Einw. *Qk.N* | A | 0.02 | 0.57 |
| | B | -0.02 | 0.57 |
| | C | | 0.61 |
| Einw. *Qk.S.A* | A | 0.04 | 1.35 |
| | B | -0.04 | 1.35 |
| | C | | 1.44 |
| Einw. *Qk.S.B* | A | 0.03 | 0.67 |
| | B | -0.03 | 1.36 |
| | C | | 1.08 |
| Einw. *Qk.S.C* | A | 0.03 | 1.36 |
| | B | -0.03 | 0.67 |
| | C | | 1.08 |
| Einw. *Qk.W.000* | A | 0.52 | 0.32 |
| | B | 0.45 | -0.20 |
| | C | | -0.05 |



durch Vergleichsrechnung geprüft

| | Aufl. | $F_{x,k}$ [kN/m] | $F_{z,k}$ [kN/m] |
|---|---|---|---|
| Einw. *Qk.w.090* | A | -0.75 | -1.29 |
| | B | 0.75 | -1.29 |
| | C | | -1.32 |
| Einw. *Qk.w.180* | A | -0.45 | -0.20 |
| | B | -0.52 | 0.32 |
| | C | | -0.05 |
| Einw. *Qk.w.270* | A | -0.47 | -0.81 |
| | B | 0.47 | -0.81 |
| | C | | -0.82 |

Zusammenfassung

Zusammenfassung der Nachweise

Nachweise (GZT)

Nachweise im Grenzzustand der Tragfähigkeit

| Nachweis | Feld | x [m] | | η [-] |
|---|---|---|---|---|
| Biegung | SpRe Feld 1 | 1.43 | OK | 0.11 |
| Querkraft | SpLi Feld 1 | 0.00 | OK | 0.15 |
| Biegung | Auflager A | | OK | 0.05 |
| Querkraft | Auflager A | | OK | 0.17 |
| Firstpunkt | Auflager C | | OK | 0.00 |
| Sparrenauflager | Auflager A | | OK | 0.19 |

Nachweise (GZG)

Nachweise im Grenzzust. der Gebrauchstauglichkeit

| Nachweis | Feld | x [m] | | η [-] |
|---|---|---|---|---|
| ges. Enddurchbiegung | SpRe Feld 1 | 1.36 | OK | 0.08 |

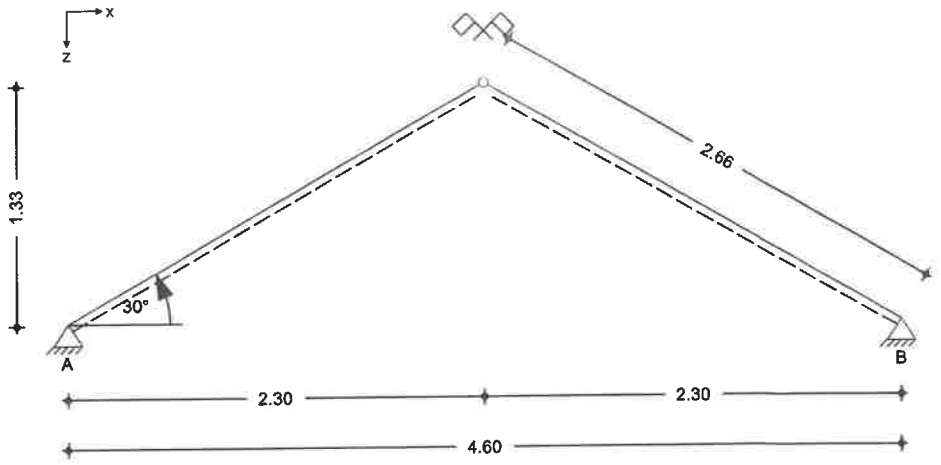


durch Vergleichsrechnung geprüft

## Pos. 1.02.1 Nachweis Windrispenband

System
M 1:40

Sparrendach




| | | | | |
|---|---|---|---|---|
| Gebäudeabmessungen | Gebäudebreite (Giebelseite) | B = | 4.60 | m |
| | Gebäudelänge (Traufenseite) | L = | 16.00 | m |
| | Gebäudehöhe (über OKG) | H = | 10.88 | m |
| | Geländehöhe über Meeresniveau | A = | 179.00 | mü.NN |
| Satteldach | Dachneigungswinkel | δ = | 30.00 | ° |
| | Dachhöhe | h = | 1.33 | m |
| | Stützweite | l = | 2.30 | m |
| | Sparrenabstand | a = | 0.75 | m |

Nutzungsklasse 1

Einwirkungen

Einwirkungen nach DIN EN 1990:2010-12

Qk.W

Wind
Windlasten
Qk.W min/max Werte
Qk.W.090 Anströmrichtung Θ = 90°

Belastungen
Wind auf den Giebel

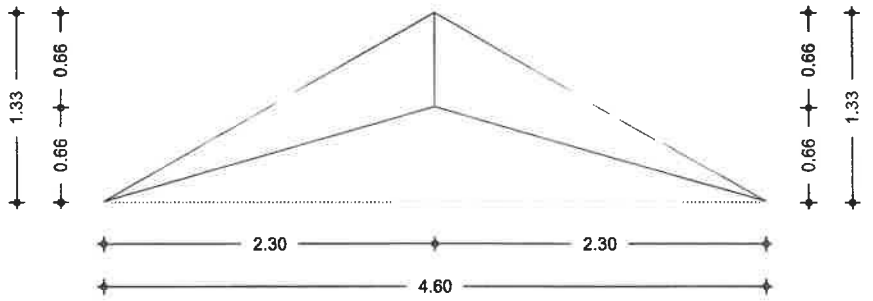
Einwirkung Qk.W.090
Windlast nach DIN EN 1991-1-4:2010-12
Windzone 2, Binnenland
Regelfall
Geschwindigkeitsdruck q = 0.68 kN/m²

Wind auf den Giebel
Windangriffsfläche links = 0.76 m²
rechts = 0.76 m²

| Bereich | q [kN/m²] | $c_{pe,10}$ [-] | w [kN/m²] |
|---|---|---|---|
| D | 0.68 | 0.76 | 0.52 |
| E | 0.68 | -0.41 | -0.28 |



durch Vergleichsrechnung geprüft




Kombinationen

Kombinationsbildung nach DIN EN 1990
Darstellung der maßgebenden Kombinationen

| | Ek | KLED | Σ (γ*ψ*EW) |
|---|---|---|---|
| ständig/vorüberg. | 1 | ku/sk | 1.50*Qk.W.090 |

ku/sk: kurz/sehr kurz

Horizontalkräfte

| Dachseite | Ek | $k_{mod}$ | $H_{Sp,d}$ [kN] | $H_{Gie,d}$ [kN] | $H_d$ [kN] |
|---|---|---|---|---|---|
| links | 1 | 1.00 | - | 0.92 | 0.92 |
| rechts | 1 | 1.00 | - | 0.92 | 0.92 |

Nachweise (GZT)

Sparren

Nadelholz C24

| | | | |
|---|---|---|---|
| links | b/h = | 8/24 | cm |
| rechts | b/h = | 8/24 | cm |
| | e = | 0.75 | m |

Windrispenband

Simpson Strong-Tie 40,0 x 1,5 mm

| | | |
|---|---|---|
| Anzahl links | 1 | Band |
| Anzahl rechts | 1 | Band |

| Dachseite | Überspannte Felder | Neigung [°] | Ek | $F_d$ [kN] | $R_d$ [kN] | η [-] |
|---|---|---|---|---|---|---|
| links | 4 | 41.5 | 1 | 1.23 | 13.70 | 0.09 |
| rechts | 4 | 41.5 | 1 | 1.23 | 13.70 | 0.09 |

Verbindungsmittel

CNA Kammnagel 4.0x40 mm

| | | | |
|---|---|---|---|
| char. Tragfähigkeit | $F_{v,Rk}$ = | 1.85 | kN |
| | $\gamma_M$ = | 1.30 | - |

erf. Anzahl der Nägel je Verankerungspunkt

| Dachseite | Ek | $k_{mod}$ | $F_{v,Ed}$ [kN] | Fuss $n_{erf}$ | Feld $n_{erf,Sp}$ |
|---|---|---|---|---|---|
| links | 1 | 1.00 | 1.23 | 4 | 2 |
| rechts | 1 | 1.00 | 1.23 | 4 | 2 |

| | | | | |
|---|---|---|---|---|
| links: | anordbare Nägel pro Sparren für 1 Band | = | 4 | Nägel |
| rechts: | anordbare Nägel pro Sparren für 1 Band | = | 4 | Nägel |

Auflagerkräfte

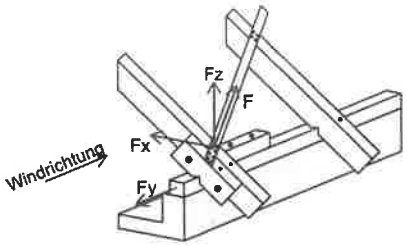
je Verankerungspunkt




durch Vergleichsrechnung geprüft

| Lager | Dachseite | EW | $F_k$ [kN] | $F_{x,k}$ [kN] | $F_{y,k}$ [kN] | $F_{z,k}$ [kN] |
|---|---|---|---|---|---|---|
| A | links | Qk.W.090 | 0.82 | 0.47 | 0.61 | 0.27 |
| B | rechts | Qk.W.090 | 0.82 | 0.47 | 0.61 | 0.27 |

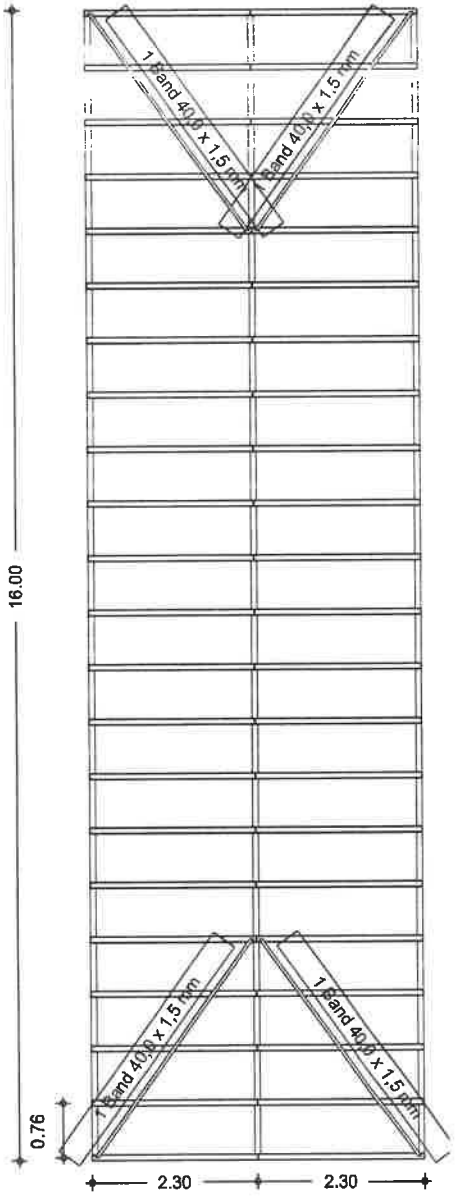
Skizze Fußpunkt






durch Vergleichsrechnung geprüft

## Verlegeplan
M 1:100

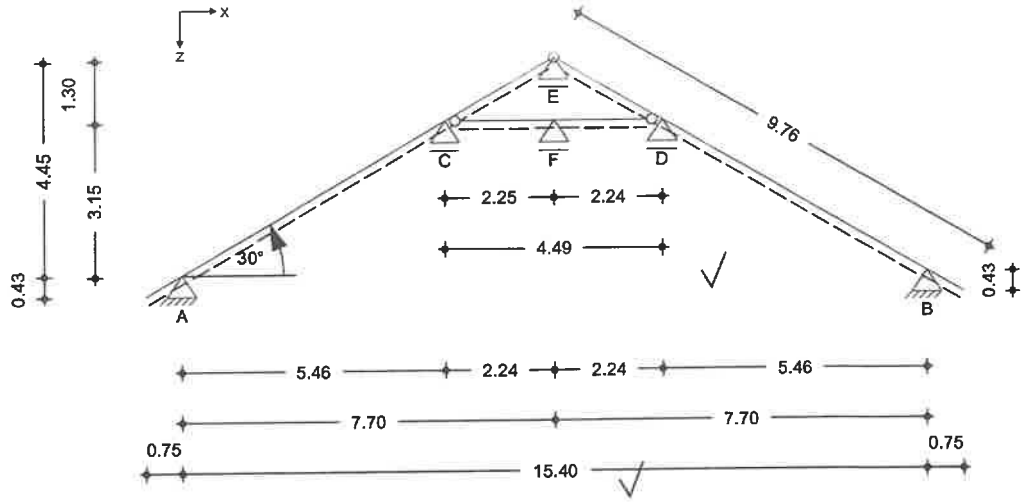



√

## Pos. 1.03 Holz-Dach

System
M 1:150

allgemeines Pfettendach mit Firstgelenk und Kehlbalken




Abmessungen Mat./Querschnitt

| Bauteil | l [m] | Material | b/h [cm] |
|---|---|---|---|
| Sparren links | 9.76 | *NH C24* | 8.0/24.0 |
| Sparren rechts | 9.76 | *NH C24* | 8.0/24.0 |
| Kehlbalken | 4.49 | *NH C24* | 8.0/24.0 |

Auflager

| Lager | x [m] | z [m] | $K_{T,z}$ [kN/m] | $K_{T,x}$ [kN/m] |
|---|---|---|---|---|
| A | 0.75 | 0.43 | fest | fest |
| B | 16.15 | 0.43 | fest | fest |
| C | 6.21 | 3.58 | fest | frei |
| D | 10.69 | 3.58 | fest | frei |
| E | 8.45 | 4.88 | fest | frei |
| F | 8.45 | 3.58 | fest | frei |

Dachneigung

Dachneigungswinkel $\delta_{li}$ = 30.00 °
$\delta_{re}$ = 30.00 °

Dachhöhe $h_{li}$ = 4.88 m
$h_{re}$ = 4.88 m

Sparrenabstand

Abstand a = 0.75 m

Kehlbalken

Kehlbalkenhöhe $h_{KB}$ = 3.15 m
Abstand Kehlbalkenunterstützung $a_{KB}$ = 2.25 m
Kehlbalken horizontal verschieblich
Kehlbalkenanschluss überträgt Horizontalkräfte

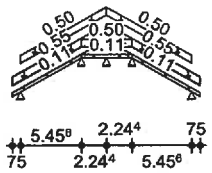
durch Vergleichsrechnung geprüft

Belastungen — Belastungen auf das System

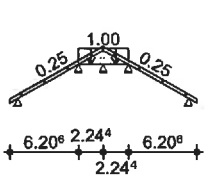
Grafik — Belastungsgrafiken (einwirkungsbezogen)

Einwirkungen

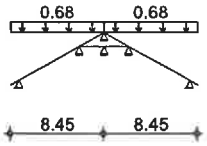
Gk



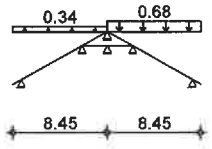

Qk.N



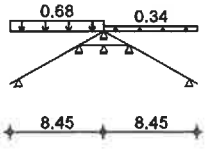

Qk.S.A



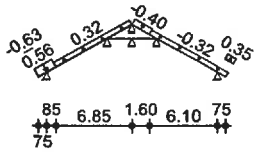

Qk.S.B



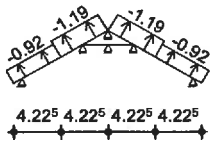

Qk.S.C



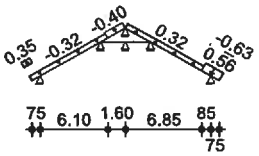

Qk.W.000



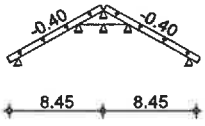

Qk.W.090




Qk.W.180




Qk.W.270




Flächenlasten in z-Richtung

Gleichflächenlasten

| | | Ort | Richt. | Komm. | a [m] | s [m] | $q_a$ [kN/m²] | $q_e$ [kN/m²] |
|---|---|---|---|---|---|---|---|---|
| Einw. *Gk* | | SpLi | vert.DF | Eigengew | -0.75 | 8.45 | | 0.11 |
| | | SpRe | vert.DF | Eigengew | -0.75 | 8.45 | | 0.11 |
| | | Kehl | global | Eigengew | | 4.49 | | 0.11 |
| | | SpLi | vert.DF | Eindeck. | -0.75 | 8.45 | | 0.55 |
| | | SpRe | vert.DF | Eindeck. | -0.75 | 8.45 | | 0.55 |
| | | SpLi | vert.DF | Ausbau | 0.00 | 7.70 | | 0.50 |
| | | SpRe | vert.DF | Ausbau | 0.00 | 7.70 | | 0.50 |
| | | Kehl | global | Ausbau | 0.00 | 4.49 | | 0.50 |
| Einw. *Qk.N* | | Kehl | global | Nutzlast | 0.00 | 4.49 | | 1.00 |
| | (a) | SpLi | vert.DF | | -0.75 | 8.45 | | 0.25 |
| | (a) | SpRe | vert.DF | | -0.75 | 8.45 | | 0.25 |
| Einw. *Qk.S.A* | | SpLi | vert.GF | Volllast | -0.75 | 8.45 | | 0.68 |
| | | SpRe | vert.GF | Volllast | -0.75 | 8.45 | | 0.68 |
| Einw. *Qk.S.B* | | SpLi | vert.GF | Halblast | -0.75 | 8.45 | | 0.34 |
| | | SpRe | vert.GF | Volllast | -0.75 | 8.45 | | 0.68 |
| Einw. *Qk.S.C* | | SpLi | vert.GF | Volllast | -0.75 | 8.45 | | 0.68 |
| | | SpRe | vert.GF | Halblast | -0.75 | 8.45 | | 0.34 |
| Einw. *Qk.W.000* | | SpLi | lokal | Unterwind | -0.75 | 0.75 | | -0.63 |
| | | SpRe | lokal | Unterwind | -0.75 | 0.75 | | 0.35 |
| | | SpLi | lokal | Ber. F | -0.75 | 1.60 | | 0.56 |
| | | SpLi | lokal | Ber. H | 0.85 | 6.85 | | 0.32 |
| | | SpRe | lokal | Ber. I | -0.75 | 6.85 | | -0.32 |
| | | SpRe | lokal | Ber. J | 6.10 | 1.60 | | -0.40 |
| Einw. *Qk.W.090* | | SpLi | lokal | Ber. F | -0.75 | 4.23 | | -0.92 |
| | | SpRe | lokal | Ber. F | -0.75 | 4.23 | | -0.92 |
| | | SpLi | lokal | Ber. G | 3.48 | 4.23 | | -1.19 |
| | | SpRe | lokal | Ber. G | 3.48 | 4.23 | | -1.19 |



durch Vergleichsrechnung geprüft

| | Ort | Richt. | Komm. | a [m] | s [m] | $q_a$ [kN/m²] | $q_e$ [kN/m²] |
|---|---|---|---|---|---|---|---|
| Einw. *Qk.W.180* | SpRe | lokal | Unterwind | -0.75 | 0.75 | | -0.63 |
| | SpLi | lokal | Unterwind | -0.75 | 0.75 | | 0.35 |
| | SpRe | lokal | Ber. F | -0.75 | 1.60 | | 0.56 |
| | SpRe | lokal | Ber. H | 0.85 | 6.85 | | 0.32 |
| | SpLi | lokal | Ber. I | -0.75 | 6.85 | | -0.32 |
| | SpLi | lokal | Ber. J | 6.10 | 1.60 | | -0.40 |
| Einw. *Qk.W.270* | SpLi | lokal | Ber. I | -0.75 | 8.45 | | -0.40 |
| | SpRe | lokal | Ber. I | -0.75 | 8.45 | | -0.40 |
| (a) | Photovoltaik | | | | 0.25 = | 0.25 | kN/m² |

global: Belastung bezogen auf das globale Koordinatensystem
lokal: lokale Belastung orthogonal zur Dachfläche
vert.DF: vertikale Belastung bezogen auf die Dachfläche
vert.GF: vertikale Belastung bezogen auf die Grundfläche

## Kombinationen

Kombinationsbildung nach DIN EN 1990
Darstellung der maßgebenden Kombinationen

| | Ek | KLED | Σ (γ*ψ*EW) | | |
|---|---|---|---|---|---|
| ständig/vorüberg. | 2 | mi | 1.35*Gk | +1.50*Qk.N (1,2) | |
| | 23 | ku | 1.35*Gk | +1.05*Qk.N (1,2) | +1.50*Qk.S.A |
| | 138 | ku/sk | 1.35*Gk +0.90*Qk.W.000 | +1.05*Qk.N (1,2) | +1.50*Qk.S.A |
| | 166 | ku/sk | 1.35*Gk +0.90*Qk.W.180 | +1.05*Qk.N (1,2) | +1.50*Qk.S.A |
| | 222 | ku/sk | 1.35*Gk +0.90*Qk.W.180 | +1.05*Qk.N (1,2) | +1.50*Qk.S.B |
| | 250 | ku/sk | 1.35*Gk +0.90*Qk.W.000 | +1.05*Qk.N (1,2) | +1.50*Qk.S.C |
| quasi-ständig | 612 | | 1.00*Gk | +0.30*Qk.N (1,2) | |
| | 613 | | 1.00*Gk | +0.30*Qk.N (1) | |
| | 614 | | 1.00*Gk | +0.30*Qk.N (2) | |
| st./vor. Auflagerkr. | 1251 | ku | 1.35*Gk | +1.05*Qk.N (1,2) | +1.50*Qk.S.A |
| | 1387 | ku/sk | 1.35*Gk +1.50*Qk.W.090 | +1.05*Qk.N (1,2) | +0.75*Qk.S.A |
| | 1443 | ku/sk | 1.35*Gk +1.50*Qk.W.090 | +1.05*Qk.N (1,2) | +0.75*Qk.S.B |
| | 1452 | ku/sk | 1.35*Gk +0.90*Qk.W.180 | +1.05*Qk.N (2) | +1.50*Qk.S.B |
| | 1479 | ku/sk | 1.35*Gk +0.90*Qk.W.000 | +1.05*Qk.N (1) | +1.50*Qk.S.C |
| | 1499 | ku/sk | 1.35*Gk +1.50*Qk.W.090 | +1.05*Qk.N (1,2) | +0.75*Qk.S.C |
| | 1557 | ku/sk | 1.00*Gk | +1.50*Qk.W.000 | |



durch Vergleichsrechnung geprüft

| Ek | KLED | Σ (γ*ψ*EW) | | |
|---|---|---|---|---|
| 1561 | ku/sk1.00*Gk | +1.50*Qk.W.180 | | |
| 1702 | ku/sk1.00*Gk | +1.05*Qk.N (1) | +1.50*Qk.W.090 | |
| 1703 | ku/sk1.00*Gk | +1.05*Qk.N (2) | +1.50*Qk.W.090 | |

mi: mittel
ku: kurz
ku/sk: kurz/sehr kurz

## Nachweise (GZT)

Nachweise im Grenzzustand der Tragfähigkeit nach DIN EN 1995-1-1

### Biegung Abs. 6.1

Nachweis der Biegetragfähigkeit

| | x [m] | Ek | $k_{mod}$ [-] | $N_d$ / $M_{yd}$ [kN, kNm] | $\sigma_{0,d}$ / $\sigma_{my,d}$ [N/mm²] | $f_{0,d}$ / $f_{my,d}$ [N/mm²] | η [-] |
|---|---|---|---|---|---|---|---|
| SpLi KrUn | *(L = 0.87 m, $k_{c,y}$ = 0.97)* | | | | | | |
| | 0.87 | 23 | 0.90 | 0.66 | 0.03 | 10.04 | |
| | | | | -0.50 | 0.64 | 16.62 | 0.04* |
| SpLi Feld 1 | *(L = 6.30 m, $k_{c,y}$ = 0.36)* | | | | | | |
| | 6.30 | 250 | 1.00 | 4.32 | 0.23 | 11.15 | |
| | | | | -7.28 | 9.48 | 18.46 | 0.53* |
| SpLi Feld 2 | *(L = 2.59 m, $k_{c,y}$ = 0.90)* | | | | | | |
| | 0.00 | 250 | 1.00 | -2.05 | 0.11 | 16.15 | |
| | | | | -7.28 | 9.48 | 18.46 | 0.52* |
| SpRe KrUn | *(L = 0.87 m, $k_{c,y}$ = 0.97)* | | | | | | |
| | 0.87 | 23 | 0.90 | 0.66 | 0.03 | 10.04 | |
| | | | | -0.50 | 0.64 | 16.62 | 0.04* |
| SpRe Feld 1 | *(L = 6.30 m, $k_{c,y}$ = 0.36)* | | | | | | |
| | 6.30 | 222 | 1.00 | 4.32 | 0.23 | 11.15 | |
| | | | | -7.28 | 9.48 | 18.46 | 0.53* |
| SpRe Feld 2 | *(L = 2.59 m, $k_{c,y}$ = 0.90)* | | | | | | |
| | 0.00 | 222 | 1.00 | -2.05 | 0.11 | 16.15 | |
| | | | | -7.28 | 9.48 | 18.46 | 0.52* |
| Kehl Feld 1 | *(L = 2.25 m, $k_{c,y}$ = 0.94)* | | | | | | |
| | 2.25 | 2 | 0.80 | -0.64 | 0.03 | 12.92 | |
| | | | | -1.10 | 1.43 | 14.77 | 0.10* |
| Kehl Feld 2 | *(L = 2.24 m, $k_{c,y}$ = 0.94)* | | | | | | |
| | 0.00 | 2 | 0.80 | -0.64 | 0.03 | 12.92 | |
| | | | | -1.10 | 1.43 | 14.77 | 0.10* |

### Querkraft Abs. 6.1.7

Nachweis der Querkrafttragfähigkeit

| | x [m] | Ek | $k_{mod}$ [-] | $V_{z,d}$ [kN] | $\tau_d$ [N/mm²] | $f_{v,d}$ [N/mm²] | η [-] |
|---|---|---|---|---|---|---|---|
| SpLi KrUn | 0.87 | 23 | 0.90 | -1.14 | 0.18 | 2.77 | 0.06* |
| SpLi Feld 1 | 6.30 | 138 | 1.00 | -7.31 | 1.14 | 3.08 | 0.37* |
| SpLi Feld 2 | 0.00 | 138 | 1.00 | 5.37 | 0.84 | 3.08 | 0.27* |
| SpRe KrUn | 0.87 | 23 | 0.90 | -1.14 | 0.18 | 2.77 | 0.06* |
| SpRe Feld 1 | 6.30 | 166 | 1.00 | -7.31 | 1.14 | 3.08 | 0.37* |
| SpRe Feld 2 | 0.00 | 166 | 1.00 | 5.37 | 0.84 | 3.08 | 0.27* |
| Kehl Feld 1 | 2.25 | 2 | 0.80 | -2.44 | 0.38 | 2.46 | 0.15* |
| Kehl Feld 2 | 0.00 | 2 | 0.80 | 2.44 | 0.38 | 2.46 | 0.15* |

### Stabilität Abs. 6.3

Nachweis der Stabilität

Sowohl Sparren als auch Kehlbalken werden in Dachebene als gehalten betrachtet.
Der Einfluss der Stabilität ist im Nachweis der Biegetragfähigkeit enthalten. Folgende Ersatzstablängen werden berücksichtigt.



durch Vergleichsrechnung geprüft

Ersatzstablängen

| | l [m] | $l_{ef,cy}$ [m] |
|---|---|---|
| SpLi KrUn | 0.87 | 1.73 |
| SpLi Feld 1 | 6.30 | 6.30 |
| SpLi Feld 2 | 2.59 | 2.59 |
| SpRe KrUn | 0.87 | 1.73 |
| SpRe Feld 1 | 6.30 | 6.30 |
| SpRe Feld 2 | 2.59 | 2.59 |
| Kehl Feld 1 | 2.25 | 2.25 |
| Kehl Feld 2 | 2.24 | 2.24 |

Biegung
Abs. 6.1

Nachweis der Biegetragfähigkeit (geschwächter Querschnitt)

| | t [cm] | Ek | $k_{mod}$ [-] | $N_d$ / $M_{yd}$ [kN, kNm] | $\sigma_{0,d}$ / $\sigma_{my,d}$ [N/mm²] | $f_{0,d}$ / $f_{my,d}$ [N/mm²] | η [-] |
|---|---|---|---|---|---|---|---|
| Auflager A | 3.0 | 23 | 0.90 | 0.66 | 0.04 | 10.04 | |
| | | | | -0.50 | 0.84 | 16.62 | 0.05 |
| Auflager B | 3.0 | 23 | 0.90 | 0.66 | 0.04 | 10.04 | |
| | | | | -0.50 | 0.84 | 16.62 | 0.05 |
| Auflager C | 3.0 | 250 | 1.00 | 4.32 | 0.26 | 11.15 | |
| | | | | -7.28 | 12.39 | 18.46 | 0.69 |
| Auflager D | 3.0 | 222 | 1.00 | 4.32 | 0.26 | 11.15 | |
| | | | | -7.28 | 12.39 | 18.46 | 0.69 |

Querkraft
Abs. 6.1.7

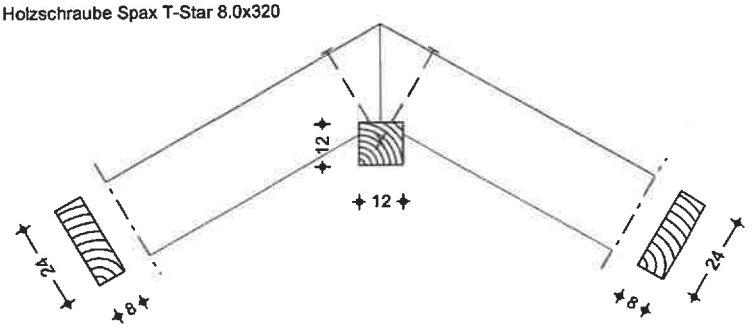
Nachweis der Querkrafttragfähigkeit (geschwächter Querschnitt)

| | t [cm] | Ek | $k_{mod}$ [-] | $V_{z,d}$ [kN] | $T_d$ [N/mm²] | $f_{v,d}$ [N/mm²] | η [-] |
|---|---|---|---|---|---|---|---|
| Auflager A | 3.0 | 250 | 1.00 | 5.29 | 0.94 | 3.08 | 0.31 |
| Auflager B | 3.0 | 222 | 1.00 | 5.29 | 0.94 | 3.08 | 0.31 |
| Auflager C | 3.0 | 138 | 1.00 | -7.31 | 1.31 | 3.08 | 0.42 |
| Auflager D | 3.0 | 166 | 1.00 | -7.31 | 1.31 | 3.08 | 0.42 |

Anschlüsse
Firstpunkt
M 1:20

Nachweis der Anschlüsse der Sparren
Stumpfstoß mit tragender Firstpfette

Firstpfette 12/12
je Seite
1 Holzschraube Spax T-Star 8.0x320




| | | | | |
|---|---|---|---|---|
| Einschnitttiefe Sparren | t = | 3.00 | cm |
| Pfette (NH C24) | b/h = | 12/12 | cm |

Kontaktanschluss

| | | | |
|---|---|---|---|
| Sparren links auf Pfette | | | |
| für Ek 1443 (KLED kurz/sehr kurz) | $k_{mod}$ = | 1.00 | - |
| vertikale Druckkraft | $F_{v,d}$ = | 0.79 | kN |




durch Vergleichsrechnung geprüft

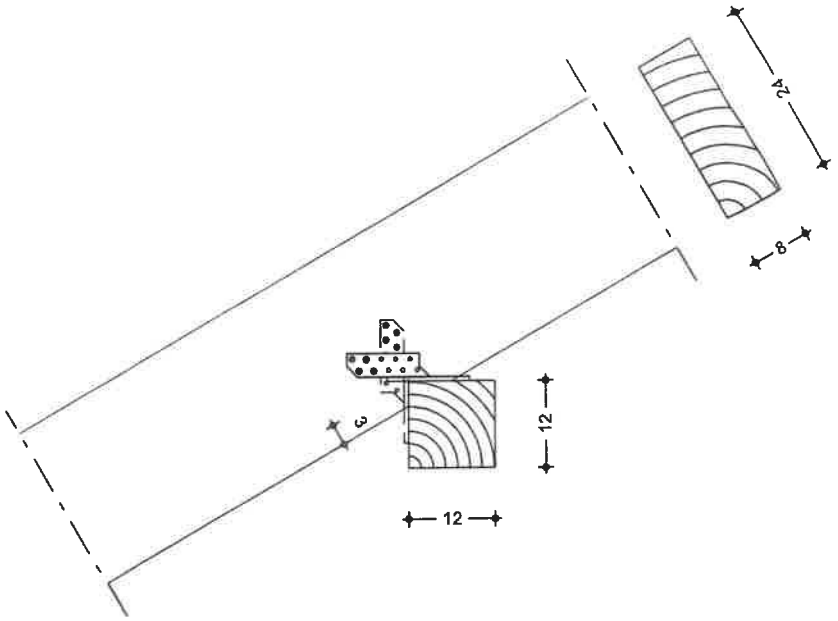
| | | | | | |
|---|---|---|---|---|---|
| | Aufstandslänge | $l_A$ = | 6.00 | cm | |
| Druck Sparren | Winkel Kraft-/Faserrichtung | $\alpha$ = | 60.00 | ° | |
| | wirksame Kontaktlänge | $l_{ef}$ = | 8.60 | cm | |
| | wirksame Kontaktfläche | $A_{ef}$ = | 68.78 | cm² | |
| | Druckspannung unter Winkel | $\sigma_{c,a,d}$ = | 0.11 | N/mm² | |
| | Druckfestigkeit unter Winkel | $f_{c,a,d}$ = | 3.63 | N/mm² | |
| (6.16) | 0.11 / 3.63 | = | 0.03 | ≤ 1 | |
| Druck Pfette | Winkel Kraft-/Faserrichtung | $\alpha$ = | 90.00 | ° | |
| | wirksame Kontaktlänge | $l_{ef}$ = | 14.00 | cm | |
| | wirksame Kontaktfläche | $A_{ef}$ = | 84.00 | cm² | |
| | Druckspannung | $\sigma_{c,90,d}$ = | 0.09 | N/mm² | |
| | Querdruckbeiwert ($l_1$<2h) | $k_{c,90}$ = | 1.00 | - | |
| | Druckfestigkeit | $f_{c,90,d}$ = | 1.92 | N/mm² | |
| (6.3) | 0.09 / ( 1.00 * 1.92) | = | 0.05 | ≤ 1 | |
| Lagesicherh. Sparr. | Keine abhebende Kraft vorhanden. Der Nachweis der Lagesicherheit ist nicht erforderlich. | | | | |
| | Einschnitttiefe Sparren | t = | 3.00 | cm | |
| | Pfette (NH C24) | b/h = | 12/12 | cm | |
| Kontaktanschluss | Sparren rechts auf Pfette | | | | |
| | für Ek 1499 (KLED kurz/sehr kurz) | $k_{mod}$ = | 1.00 | - | |
| | vertikale Druckkraft | $F_{v,d}$ = | 0.79 | kN | |
| | Aufstandslänge | $l_A$ = | 6.00 | cm | |
| Druck Sparren | Winkel Kraft-/Faserrichtung | $\alpha$ = | 60.00 | ° | |
| | wirksame Kontaktlänge | $l_{ef}$ = | 8.60 | cm | |
| | wirksame Kontaktfläche | $A_{ef}$ = | 68.78 | cm² | |
| | Druckspannung unter Winkel | $\sigma_{c,a,d}$ = | 0.11 | N/mm² | |
| | Druckfestigkeit unter Winkel | $f_{c,a,d}$ = | 3.63 | N/mm² | |
| (6.16) | 0.11 / 3.63 | = | 0.03 | ≤ 1 | |
| Druck Pfette | Winkel Kraft-/Faserrichtung | $\alpha$ = | 90.00 | ° | |
| | wirksame Kontaktlänge | $l_{ef}$ = | 14.00 | cm | |
| | wirksame Kontaktfläche | $A_{ef}$ = | 84.00 | cm² | |
| | Druckspannung | $\sigma_{c,90,d}$ = | 0.09 | N/mm² | |
| | Querdruckbeiwert ($l_1$<2h) | $k_{c,90}$ = | 1.00 | - | |
| | Druckfestigkeit | $f_{c,90,d}$ = | 1.92 | N/mm² | |
| (6.3) | 0.09 / ( 1.00 * 1.92) | = | 0.05 | ≤ 1 | |
| Lagesicherh. Sparr. | Keine abhebende Kraft vorhanden. Der Nachweis der Lagesicherheit ist nicht erforderlich. | | | | |



durch Vergleichsrechnung geprüft

Sparrenauflager A  Kontaktanschluss durch Aufklauung
M 1:10

2 gekreuzte Sparrenpfettenanker 170




Einschnitttiefe Sparren  t = 3.00 cm
Pfette (Nadelholz C24)  b/h = 12/12 cm

Querdruck
Abs. 6.1.5, Abs. 6.2.2

vertikale Druckkraft

| | Ek | kmod [-] | Fd [kN] | α [°] | σc,α,d [N/mm²] | kc,90 [-] | fc,α,d [N/mm²] | η |
|---|---|---|---|---|---|---|---|---|
| Sparren | 1251 | 0.90 | 6.76 | 60.0 | 0.76 | 1.50 | 3.27* | 0.23 |
| Pfette | | | | 90.0 | 0.81 | 1.50 | 1.73 | 0.31 |

* Wert mit $k_{c,90}$ modifiziert

horizontale Druckkraft

| | Ek | kmod [-] | Fd [kN] | α [°] | σc,α,d [N/mm²] | kc,90 [-] | fc,α,d [N/mm²] | η |
|---|---|---|---|---|---|---|---|---|
| Sparren | 1557 | 1.00 | 1.63 | 30.0 | 0.31 | 1.50 | 7.51* | 0.04 |
| Pfette | | | | 90.0 | 0.34 | 1.50 | 1.92 | 0.12 |

* Wert mit $k_{c,90}$ modifiziert

Verankerung

mit 2x Sparrenpfettenanker Simpson Strong-Tie SPF 170 (außen, gekreuzt), jeweils 4 CNA Kammnagel 4.0x60 pro Schenkel.*
*: Es wird empfohlen, die Verbindungsmittel an den äußeren Enden anzuordnen.

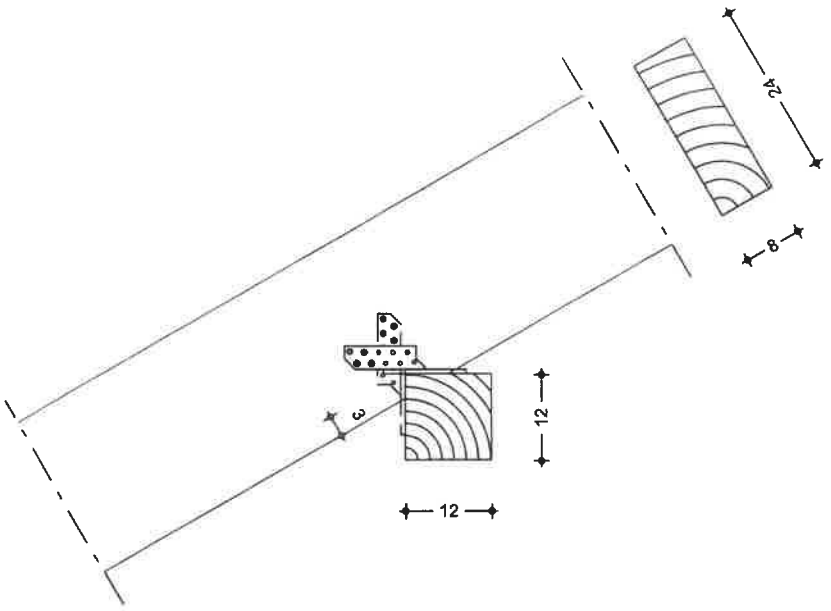
| EK | kmod | Fz,d [kN] | Rz,d [kN] | Fx,d [kN] | Rx,d [kN] | η |
|---|---|---|---|---|---|---|
| 1387 | 1.00 | | | -2.58 | 5.64 | 0.46 |
| 1559 | 1.00 | -0.14 | 5.64 | | | 0.02 |
| | | -0.14 | 5.64 | -2.49 | 5.64 | 0.44 |



durch Vergleichsrechnung geprüft

Sparrenauflager B  Kontaktanschluss durch Aufklauung
M 1:10

2 gekreuzte Sparrenpfettenanker 170




Einschnitttiefe Sparren  t = 3.00 cm
Pfette (Nadelholz C24)  b/h = 12/12 cm

Querdruck
Abs. 6.1.5, Abs. 6.2.2

vertikale Druckkraft

| | Ek | $k_{mod}$ [-] | $F_d$ [kN] | α [°] | $\sigma_{c,\alpha,d}$ [N/mm²] | $k_{c,90}$ [-] | $f_{c,\alpha,d}$ [N/mm²] | η |
|---|---|---|---|---|---|---|---|---|
| Sparren | 1251 | 0.90 | 6.76 | 60.0 | 0.76 | 1.50 | 3.27* | 0.23 |
| Pfette | | | | 90.0 | 0.81 | 1.50 | 1.73 | 0.31 |

* Wert mit $k_{c,90}$ modifiziert

horizontale Druckkraft

| | Ek | $k_{mod}$ [-] | $F_d$ [kN] | α [°] | $\sigma_{c,\alpha,d}$ [N/mm²] | $k_{c,90}$ [-] | $f_{c,\alpha,d}$ [N/mm²] | η |
|---|---|---|---|---|---|---|---|---|
| Sparren | 1561 | 1.00 | 1.63 | 30.0 | 0.31 | 1.50 | 7.51* | 0.04 |
| Pfette | | | | 90.0 | 0.34 | 1.50 | 1.92 | 0.12 |

* Wert mit $k_{c,90}$ modifiziert

Verankerung

mit 2x Sparrenpfettenanker Simpson Strong-Tie SPF 170 (außen, gekreuzt), jeweils 4 CNA Kammnagel 4.0x60 pro Schenkel.*
*: Es wird empfohlen, die Verbindungsmittel an den äußeren Enden anzuordnen.

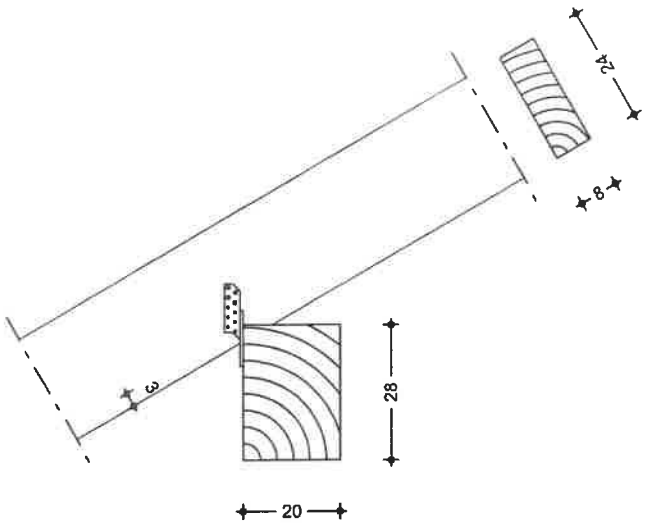
| EK | $k_{mod}$ | $F_{z,d}$ [kN] | $R_{z,d}$ [kN] | $F_{x,d}$ [kN] | $R_{x,d}$ [kN] | η |
|---|---|---|---|---|---|---|
| 1387 | 1.00 | | | -2.58 | 5.64 | 0.46 |
| 1559 | 1.00 | -0.14 | 5.64 | | | 0.02 |
| | | -0.14 | 5.64 | -2.49 | 5.64 | 0.44 |




durch Vergleichsrechnung geprüft

Sparrenauflager C  Kontaktanschluss durch Aufklauung
M 1:15

1 vertikaler Sparrenpfettenanker 170




Einschnitttiefe Sparren  t = 3.00 cm
Pfette (Nadelholz C24)  b/h = 20/28 cm

Querdruck
Abs. 6.1.5, Abs. 6.2.2

vertikale Druckkraft

| | EK | $k_{mod}$ [-] | $F_d$ [kN] | α [°] | $\sigma_{c,\alpha,d}$ [N/mm²] | $k_{c,90}$ [-] | $f_{c,\alpha,d}$ [N/mm²] | η |
|---|---|---|---|---|---|---|---|---|
| Sparren | 1479 | 1.00 | 15.46 | 60.0 | 1.73 | 1.50 | 3.63* | 0.48 |
| Pfette | | | | 90.0 | 1.84 | 1.50 | 1.92 | 0.64 |

* Wert mit $k_{c,90}$ modifiziert

Verankerung

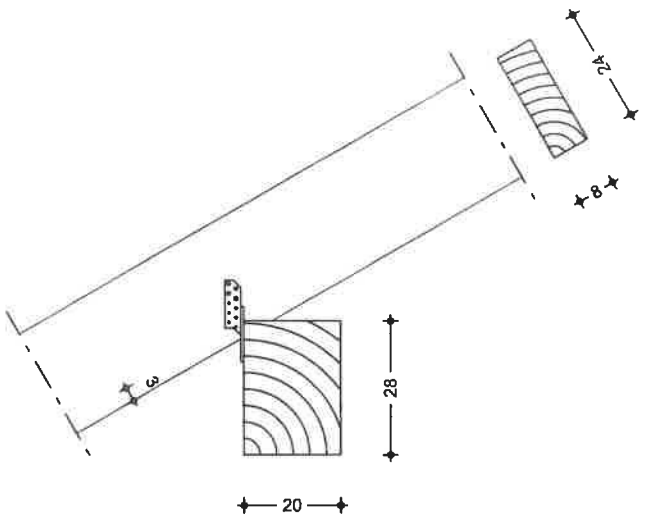
mit 1x Sparrenpfettenanker Simpson Strong-Tie SPF 170 (außen), jeweils 4 CNA Kammnagel 4.0x60 pro Schenkel.*
*: Es wird empfohlen, die Verbindungsmittel an den äußeren Enden anzuordnen.

| EK | $k_{mod}$ | $F_{z,d}$ [kN] | $R_{z,d}$ [kN] | $F_{x,d}$ [kN] | $R_{x,d}$ [kN] | η |
|---|---|---|---|---|---|---|
| 1703 | 1.00 | -2.19 | 4.24 | | | 0.52 |

durch Vergleichsrechnung geprüft

Sparrenauflager D  Kontaktanschluss durch Aufklauung
M 1:15

1 vertikaler Sparrenpfettenanker 170




Einschnitttiefe Sparren  t = 3.00 cm
Pfette (Nadelholz C24)  b/h = 20/28 cm

**Querdruck**
Abs. 6.1.5, Abs. 6.2.2

vertikale Druckkraft

| Ek | $k_{mod}$ [-] | Fd [kN] | α [°] | $\sigma_{c,\alpha,d}$ [N/mm²] | $k_{c,90}$ [-] | $f_{c,\alpha,d}$ [N/mm²] | η |
|---|---|---|---|---|---|---|---|
| 1452 | 1.00 | 15.46 | 60.0 | 1.73 | 1.50 | 3.63* | 0.48 |
| Sparren | | | 90.0 | 1.84 | 1.50 | 1.92 | 0.64 |
| Pfette | | | | | | | |

* Wert mit $k_{c,90}$ modifiziert

**Verankerung**

mit 1x Sparrenpfettenanker Simpson Strong-Tie SPF 170 (außen), jeweils 4 CNA Kammnagel 4.0x60 pro Schenkel.*
*: Es wird empfohlen, die Verbindungsmittel an den äußeren Enden anzuordnen.

| EK | $k_{mod}$ | $F_{z,d}$ [kN] | $R_{z,d}$ [kN] | $F_{x,d}$ [kN] | $R_{x,d}$ [kN] | η |
|---|---|---|---|---|---|---|
| 1702 | 1.00 | -2.19 | 4.24 | | | 0.52 |

**Nachweise (GZG)**

Nachweise im Grenzzustand der Gebrauchstauglichkeit nach DIN EN 1995-1-1

**Verformungen**
Abs. 7.2

Nachweise der Verformungen

| | x [m] | Ek | Norm | $w_{vorh}$ [mm] | | $w_{zul}$ [mm] | η [-] |
|---|---|---|---|---|---|---|---|
| SpLi Feld 1 | *(L= 6.30 m, NKL 1, $k_{def}$ = 0.60)* | | | | | | |
| | 2.86 | 612 | $w_{net,fin}$ | 13.9 | l/300= | 21.0 | 0.66* |
| SpLi Feld 2 | *(L= 2.59 m, NKL 1, $k_{def}$ = 0.60)* | | | | | | |
| | 0.00 | 612 | $w_{net,fin}$ | - | l/300= | 8.6 | 0.00* |
| SpRe Feld 1 | *(L= 6.30 m, NKL 1, $k_{def}$ = 0.60)* | | | | | | |
| | 2.86 | 612 | $w_{net,fin}$ | 13.9 | l/300= | 21.0 | 0.66* |
| SpRe Feld 2 | *(L= 2.59 m, NKL 1, $k_{def}$ = 0.60)* | | | | | | |
| | 0.00 | 612 | $w_{net,fin}$ | - | l/300= | 8.6 | 0.00* |
| Kehl Feld 1 | *(L= 2.25 m, NKL 1, $k_{def}$ = 0.60)* | | | | | | |
| | 0.99 | 613 | $w_{net,fin}$ | 0.2 | l/300= | 7.5 | 0.02* |
| Kehl Feld 2 | *(L= 2.24 m, NKL 1, $k_{def}$ = 0.60)* | | | | | | |
| | 1.25 | 614 | $w_{net,fin}$ | 0.2 | l/300= | 7.5 | 0.02* |



durch Vergleichsrechnung geprüft

Negative Verformungen wurden zur Bemessung nicht berücksichtigt.

## Auflagerkräfte

je lfd. m (Windlasten mit $c_{pe,10}$)

Char. Auflagerkr.

| | Aufl. | $F_{x,k,min}$ [kN/m] | $F_{x,k,max}$ [kN/m] | $F_{z,k,min}$ [kN/m] | $F_{z,k,max}$ [kN/m] | |
|---|---|---|---|---|---|---|
| Einw. *Gk* | A | -0.14 | -0.14 | 3.66 | 3.66 | |
| | B | 0.14 | 0.14 | 3.66 | 3.66 | |
| | C | | | 7.64 | 7.64 | |
| | D | | | 7.64 | 7.64 | |
| | E | | | 0.14 | 0.14 | √ |
| | F | | | 1.70 | 1.70 | |
| Einw. *Qk.N* | A | -0.03 | 0.00 | 0.00 | 0.89 | |
| | B | 0.00 | 0.03 | 0.00 | 0.89 | |
| | C | | | -0.14 | 2.51 | |
| | D | | | -0.14 | 2.51 | |
| | E | | | 0.00 | 0.04 | √ |
| | F | | | 0.00 | 2.81 | |
| Einw. *Qk.S.A* | A | -0.06 | -0.06 | 2.10 | 2.10 | |
| | B | 0.06 | 0.06 | 2.10 | 2.10 | |
| | C | | | 3.60 | 3.60 | |
| | D | | | 3.60 | 3.60 | |
| | E | | | 0.10 | 0.10 | |
| | F | | | 0.00 | 0.00 | |
| Einw. *Qk.S.B* | A | -0.05 | -0.05 | 1.06 | 1.06 | |
| | B | 0.05 | 0.05 | 2.09 | 2.09 | |
| | C | | | 1.76 | 1.76 | |
| | D | | | 3.64 | 3.64 | |
| | E | | | 0.07 | 0.07 | |
| | F | | | 0.00 | 0.00 | |
| Einw. *Qk.S.C* | A | -0.05 | -0.05 | 2.09 | 2.09 | |
| | B | 0.05 | 0.05 | 1.06 | 1.06 | |
| | C | | | 3.64 | 3.64 | |
| | D | | | 1.76 | 1.76 | |
| | E | | | 0.07 | 0.07 | |
| | F | | | 0.00 | 0.00 | |
| Einw. *Qk.W.000* | A | 1.55 | 1.55 | 0.24 | 0.24 | |
| | B | 1.46 | 1.46 | -0.08 | -0.08 | |
| | C | | | 2.45 | 2.45 | |
| | D | | | -2.47 | -2.47 | |
| | E | | | -0.09 | -0.09 | |
| | F | | | 0.00 | 0.00 | |
| Einw. *Qk.W.090* | A | -2.02 | -2.02 | -2.44 | -2.44 | |
| | B | 2.02 | 2.02 | -2.44 | -2.44 | |
| | C | | | -6.58 | -6.58 | |
| | D | | | -6.58 | -6.58 | |
| | E | | | 1.14 | 1.14 | |
| | F | | | 0.00 | 0.00 | |
| Einw. *Qk.W.180* | A | -1.46 | -1.46 | -0.08 | -0.08 | |
| | B | -1.55 | -1.55 | 0.24 | 0.24 | |
| | C | | | -2.47 | -2.47 | |
| | D | | | 2.45 | 2.45 | |
| | E | | | -0.09 | -0.09 | |
| | F | | | 0.00 | 0.00 | |
| Einw. *Qk.W.270* | A | -0.88 | -0.88 | -1.11 | -1.11 | |
| | B | 0.88 | 0.88 | -1.11 | -1.11 | |
| | C | | | -2.55 | -2.55 | |
| | D | | | -2.55 | -2.55 | |
| | E | | | 0.57 | 0.57 | |

durch Vergleichsrechnung geprüft

| Aufl. | $F_{x,k,min}$ [kN/m] | $F_{x,k,max}$ [kN/m] | $F_{z,k,min}$ [kN/m] | $F_{z,k,max}$ [kN/m] |
|---|---|---|---|---|
| F | | | 0.00 | 0.00 |

Zusammenfassung — Zusammenfassung der Nachweise

Nachweise (GZT) — Nachweise im Grenzzustand der Tragfähigkeit

| Nachweis | Feld | x [m] | | η [-] |
|---|---|---|---|---|
| Biegung | SpLi Feld 1 | 6.30 | OK | 0.53 |
| Querkraft | SpLi Feld 1 | 6.30 | OK | 0.37 |
| Biegung | Auflager C | | OK | 0.69 |
| Querkraft | Auflager C | | OK | 0.42 |
| Firstpunkt | Auflager E | | OK | 0.00 |
| Sparrenauflager | Auflager C | | OK | 0.64 |

Nachweise (GZG) — Nachweise im Grenzzust. der Gebrauchstauglichkeit

| Nachweis | Feld | x [m] | | η [-] |
|---|---|---|---|---|
| ges. Enddurchbiegung | SpRe Feld 1 | 2.86 | OK | 0.66 |

durch Vergleichsrechnung geprüft

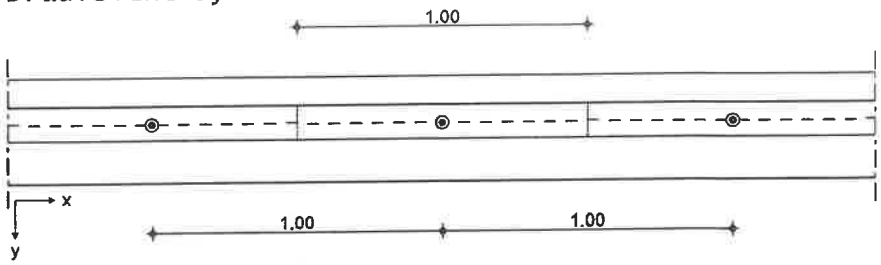
## Pos. 1.03.1 Nachweis Fußpfette und Befestigung

System

Holz-Schwelle an Beton-Decke, kontinuierlich gelagert

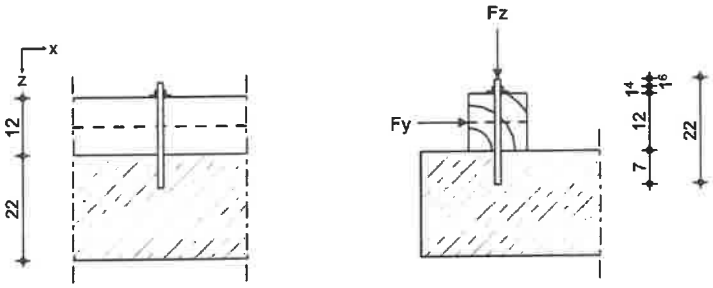
Draufsicht System

M 1:25



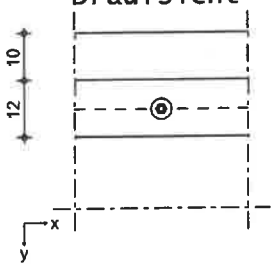

Vorderansicht Schnitt

M 1:15




Draufsicht

M 1:15




Abmessungen Mat./Querschnitt

| Bauteil | Material | b [cm] | h [cm] | t [cm] | NKL |
|---|---|---|---|---|---|
| Schwelle | *KVH C24* | 12.0 | 12.0 | | 1 |
| Betondecke | *C 25/30* | | | 22.0 | |

Betonzustand: gerissen

Bewehrung: Unbewehrter oder normal bewehrter Beton ohne Randbewehrung, keine Spaltbewehrung vorhanden

Verbindungsmittel

| | |
|---|---|
| Würth Bolzenanker W-FAZ/S[1] | 125-M12X220 |
| Kontinuierliche Lagerung | a = 100 cm |
| Unterlegscheibe[2] | Typ 44/14 |
| Exzentrizität $e_{y,Bolt}$ | 0 cm |

1: ETA-99/0011
2: DIN EN ISO 7094

Anordnung

| Bezugspunkt Betondecke | Bezugspunkt Schwelle | $a_{links}$ [cm] | $a_{rechts}$ [cm] |
|---|---|---|---|
| Rand | Rand | 10.0 | |



durch Vergleichsrechnung geprüft

| Bezugspunkt Betondecke | Bezugspunkt Schwelle | $a_{links}$ [cm] | $a_{rechts}$ [cm] |
|---|---|---|---|
| Rand | Schwerpunkt | 16.0 | |

## Belastungen

Belastungen auf das System

### Linienlasten

| | Komm. | $q_y$ [kN/m] | $q_z$ [kN/m] |
|---|---|---|---|
| Einw. *Gk* | (a) | 0.14 | 3.66 |
| Einw. *Qk.N* | (a) | 0.00 | 0.89 |
| Einw. *Qk.S.A* | (a) | 0.06 | 2.10 |
| Einw. *Qk.S.B* | (a) | 0.05 | 1.06 |
| Einw. *Qk.S.C* | (a) | 0.05 | 2.09 |
| Einw. *Qk.W.000* | (a) | -1.55 | 0.24 |
| Einw. *Qk.W.090* | (a) | 2.02 | -2.44 |
| Einw. *Qk.W.180* | (a) | 1.46 | -0.08 |
| Einw. *Qk.W.270* | (a) | 0.88 | -1.11 |

(a) aus Pos. '1.03', Lager 'A' (Seite 55)

## Kombinationen

Kombinationsbildung nach DIN EN 1990
Darstellung der maßgebenden Kombinationen

ständig/vorüberg.

| Ek | KLED | Σ (γ*ψ*EW) | | |
|---|---|---|---|---|
| 11 | ku | 1.35*Gk | +1.05*Qk.N | +1.50*Qk.S.A |
| 27 | ku/sk | 1.35*Gk | +0.75*Qk.S.A | +1.50*Qk.W.090 |
| 78 | ku/sk | 1.00*Gk | +1.50*Qk.W.090 | |

ku: kurz
ku/sk: kurz/sehr kurz

## Bem.-schnittgrößen

Bemessungsschnittgrößen je Anker

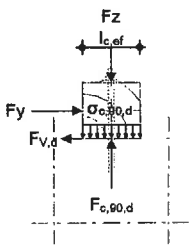
| Ek | $l_{c,ef}$ [cm] | $b_{c,ef}$ [cm] | z [cm] | $F_{c,90,d}$ [kN] | $F_{v,d}$ [kN] | $F_{ax,d}$ [kN] |
|---|---|---|---|---|---|---|
| 11 | 12.00 | 100.00 | | 9.02 | 0.28 | 0.00 |
| 27 | 0.89 | 16.40 | 5.55 | 3.52 | 3.26 | -0.67 |
| 78 | 0.87 | 16.40 | 5.57 | 3.41 | 3.17 | -3.41 |

## Grafik

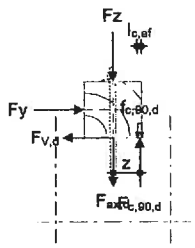
Spannungsverteilung der maßgebenden Einwirkungskombinationen

M 1:15

Ek 11

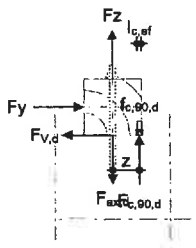



Ek 27




M 1:15

Ek 78






durch Vergleichsrechnung geprüft

Mat./Querschnitt
Material
Schwelle

nach DIN EN 1995-1-1 und DIN EN 1992-1-1

| Material | $f_{t,90,k}$ [N/mm²] | $f_{c,90,k}$ [N/mm²] | $\rho_k$ [kg/m³] |
|---|---|---|---|
| *KVH C24* | 0.4 | 2.5 | 350 |

Betondecke

| Material | $f_{ck}$ [N/mm²] | $f_{ck,cube}$ [N/mm²] | $f_{ctm}$ [N/mm²] | $E_{cm}$ [N/mm²] |
|---|---|---|---|---|
| *C 25/30* | 25 | 30 | 2.6 | 31000 |

Verbindungsmittel

| Bolzenanker | ø [mm] | L [mm] | $h_{ef}$ [mm] | $t_{fix}$ [mm] | U-Scheibe |
|---|---|---|---|---|---|
| Würth W-FAZ/S 125-M12X220 | 12 | 220 | 70 | 120 | Typ 44/14 |

## Nachweise (GZT)

Verbindungsmittel Beton Zugbeanspruchung Abs. 7.2.1

Nachweise im Grenzzustand der Tragfähigkeit nach DIN EN 1992-4
Nachweise der Tragfähigkeit bei Zugbeanspruchung nach DIN EN 1992-4

| Nachweis | Anker | Ek | $N_{Ed}$ [kN] | $N_{Rd}$ [kN] | η [-] |
|---|---|---|---|---|---|
| Stahlversagen | 1 | 78 | 3.41 | 26.67 | 0.13 |
| Herausziehen | 1 | 78 | 3.41 | 10.67 | 0.32 |
| Betonausbruch | 1 | 78 | 3.41 | 14.06 | 0.24 |
| Betonspalten | | | | | 0k |

Querbeanspruchung Abs. 7.2.2

Nachweis der Tragfähigkeit bei Querbeanspruchung nach DIN EN 1992-4

| Nachweis | Anker | Ek | $V_{Ed}$ [kN] | $V_{Rd}$ [kN] | η [-] |
|---|---|---|---|---|---|
| Stahlversagen | 1 | 27 | 3.26 | 24.00 | 0.14 |
| Pryout-Versagen | 1 | 27 | 3.26 | 33.73 | 0.10 |
| Betonkantenbruch | 1 | 27 | 3.26 | 16.67 | 0.20 |

Zug- und Querbelastung Abs. 7.2.3

| Anker | Ek | $\eta_N$ | $\eta_V$ | α | η |
|---|---|---|---|---|---|
| 1 | 78 | 0.32 | 0.19 | 1.5 | 0.26 |

Abstände Beton

Mindestabstände Betondecke

| | $C_{cr}$ [mm] | $C_{ucr}$ [mm] |
|---|---|---|
| erf | 60 | 75 |
| vorh | 160 | |

$C_{cr}$: minimaler Randabstand bei gerissenem Beton
$C_{ucr}$: minimaler Randabstand bei ungerissenem Beton

Verbindungsmittel Holz

Nachweise im Grenzzustand der Tragfähigkeit nach DIN EN 1995-1-1

| Ek | $k_{mod}$ [-] | $F_{la,d}$ [kN] | $R_{la,d}$ [kN] | $F_{ax,d}$ [kN] | $R_{ax,d}$ [kN] | η [-] |
|---|---|---|---|---|---|---|
| 78 | 1.00 | 3.17 | 10.90 | 3.41 | 7.88 | 0.72 |



durch Vergleichsrechnung geprüft

## Abstände Holz

Mindestabstände Schwelle

| | $a_1$ [mm] | $a_{4t}$ [mm] | $a_{4c}$ [mm] |
|---|---|---|---|
| erf | 58 | 48 | 36 |
| vorh | 1000 | 60 | - |

$a_1$: Abstand der Verbindungsmittel in Faserrichtung des Holzes
$a_{4t}$: Abstand der Verbindungsmittel vom beanspruchten Rand des Holzes
$a_{4c}$: Abstand der Verbindungsmittel vom unbeanspruchten Rand des Holzes

## Querzug

Nachweis Querzug in Holz-Schwelle

Queranschluss $h_e/h = 0.50 \leq 0.70$

unverstärkt

| Ek | $k_{mod}$ [-] | $F_{v,Ed}$ [kN] | $F_{90,Rd}$ [kN] | η [-] |
|---|---|---|---|---|
| 27 | 1.00 | 3.26 | 4.77 | 0.68 |

## Querdruck

Nachweis der Holzspannung infolge Kontaktpressung

| Ek | $k_{mod}$ [-] | $F_d$ [kN] | $M_d$ [kNm] | $A_{ef}$ [cm²] | $k_{c,90}$ [-] | $\sigma_{c,90,d}^{m}$ [N/mm²] | $f_{c,90,d}^{*}$ [N/mm²] | η [-] |
|---|---|---|---|---|---|---|---|---|
| 11 | 0.90 | 9.02 | 0.02 | 1200 | 1.25 | 0.08 | 2.16 | 0.03 |

*: Werte mit $k_{c,90}$ modifiziert
m: mittlere Spannung der Druckzone

Die Festigkeitsnachweise der Druckbereiche werden beim Kräftepaarmodell mit vollplastischer Druckzone und Zuganker automatisch eingehalten.

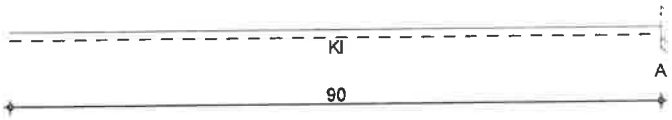



durch Vergleichsrechnung geprüft

## Pos. 1.03.2 Nachweis auskragende Fußpfette

System: Holz-Kragträger

M 1:10




Abmessungen / Nutzungsklassen

| Feld | l [m] | $l_{ef,m}$ [m] | NKL |
|---|---|---|---|
| Kl | 0.90 | 1.80 | 1 |

Auflager

| Aufl. | x [m] | b [cm] | Transl. [kN/m] | Rotat. [kNm/rad] |
|---|---|---|---|---|
| A | 0.90 | 20.00 | starr | starr |

Material: *NH C24*

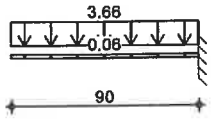
Querschnitt: b/h = 12/12 cm

Belastungen: Belastungen auf das System

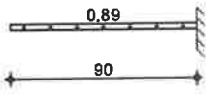
Grafik: Belastungsgrafiken (einwirkungsbezogen)

Einwirkungen

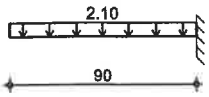
Gk



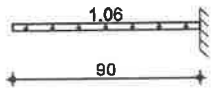

Qk.N



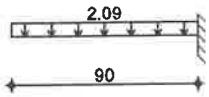

Qk.S.A



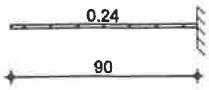

Qk.S.B



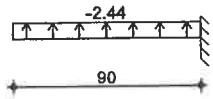

Qk.S.C



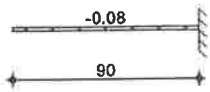

Qk.W.000




Qk.W.090




Qk.W.180




Qk.W.270




Streckenlasten in z-Richtung

Gleichlasten

| | Feld | Komm. | a [m] | s [m] | $q_{li}$ [kN/m] | $q_{re}$ [kN/m] |
|---|---|---|---|---|---|---|
| Einw. *Gk* | Kl | Eigengew | 0.00 | 0.90 | | 0.06 |
| Einw. *Qk.N* | (a) Kl | | 0.00 | 0.90 | | 3.66 |
| Einw. *Qk.S.A* | (a) Kl | | 0.00 | 0.90 | | 0.89 |
| Einw. *Qk.S.B* | (a) Kl | | 0.00 | 0.90 | | 2.10 |
| Einw. *Qk.S.C* | (a) Kl | | 0.00 | 0.90 | | 1.06 |
| Einw. *Qk.W.000* | (a) Kl | | 0.00 | 0.90 | | 2.09 |
| Einw. *Qk.W.090* | (a) Kl | | 0.00 | 0.90 | | 0.24 |
| Einw. *Qk.W.180* | (a) Kl | | 0.00 | 0.90 | | -2.44 |
| Einw. *Qk.W.270* | (a) Kl | | 0.00 | 0.90 | | -0.08 |
| | (a) Kl | | 0.00 | 0.90 | | -1.11 |



durch Vergleichsrechnung geprüft

(a) aus Pos. '1.03', Lager 'A' (Seite 55)

Kombinationen — Kombinationsbildung nach DIN EN 1990
Darstellung der maßgebenden Kombinationen

| | Ek | KLED | Σ (γ*ψ*EW) | | |
|---|---|---|---|---|---|
| ständig/vorüberg. | 2 | ku | 1.35*Gk | +1.05*Qk.N | +1.50*Qk.S.A |
| selten | 144 | | 1.00*Gk | +0.70*Qk.N | +1.00*Qk.S.A |
| | | | +0.60*Qk.W.000 | | |
| quasi-ständig | 146 | | 1.00*Gk | +0.30*Qk.N | |

ku: kurz

Mat./Querschnitt — nach DIN EN 1995-1-1

Materialien

| Holz | $f_{m,k}$ | $f_{t0k}$ | $f_{c0k}$ | $f_{c90k}$ | $f_{vk}$ | $E_{0mean}$ |
|---|---|---|---|---|---|---|
| | [N/mm²] | | | | | |
| *NH C24* | 24.0 | 14.5 | 21.0 | 2.5 | 4.0 | 11000 |

Querschnittswerte

| b | h | A | $I_y$ |
|---|---|---|---|
| [cm] | [cm] | [cm²] | [cm⁴] |
| 12.0 | 12.0 | 144.0 | 1728.0 |

Auflagerkräfte — Charakteristische Auflagerkräfte

Char. Auflagerkr.

| | Aufl. | $F_{z,k}$ [kN] | $M_{y,k}$ [kNm] |
|---|---|---|---|
| Einw. *Gk* | A | 3.35 | 1.51 |
| Einw. *Qk.N* | A | 0.80 | 0.36 |
| Einw. *Qk.S.A* | A | 1.89 | 0.85 |
| Einw. *Qk.S.B* | A | 0.95 | 0.43 |
| Einw. *Qk.S.C* | A | 1.88 | 0.85 |
| Einw. *Qk.W.000* | A | 0.22 | 0.10 |
| Einw. *Qk.W.090* | A | -2.20 | -0.99 |
| Einw. *Qk.W.180* | A | -0.07 | -0.03 |
| Einw. *Qk.W.270* | A | -1.00 | -0.45 |

Zusammenfassung — Zusammenfassung der Nachweise

Nachweise (GZT) — Nachweise im Grenzzustand der Tragfähigkeit

| Nachweis | Feld/Auflager | x [m] | | η [-] |
|---|---|---|---|---|
| Biegung | Kragarm links | 0.90 | OK | 0.77 |
| Querkraft | Kragarm links | 0.71 | OK | 0.49 |
| Auflagerpressung | Auflager A | | OK | 0.17 |

Nachweise (GZG) — Nachweise im Grenzzust. der Gebrauchstauglichkeit

| Nachweis | Feld | x [m] | | η [-] |
|---|---|---|---|---|
| Anfangsdurchbieg. | Kragarm links | 0.00 | OK | 0.47 |
| gesamte Enddurchb. | Kragarm links | 0.00 | OK | 0.46 |



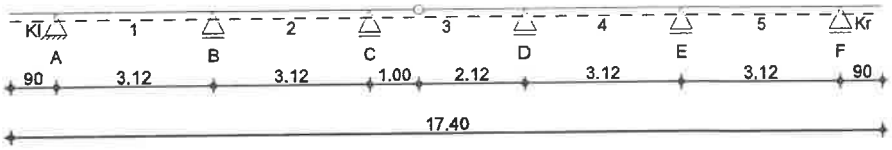
durch Vergleichsrechnung geprüft

## Pos. 1.04 Holz-Firstpfette

System

Holz-Mehrfeldträger mit Kragarmen

M 1:145




Abmessungen / Nutzungsklassen

| Feld | l [m] | $l_{ef,m}$ [m] | NKL |
|---|---|---|---|
| Kl | 0.90 | 1.80 | 1 |
| 1 | 3.12 | 3.12 | 1 |
| 2 | 3.12 | 3.12 | 1 |
| 3 | 3.12 | 3.12 | 1 |
| 4 | 3.12 | 3.12 | 1 |
| 5 | 3.12 | 3.12 | 1 |
| Kr | 0.90 | 1.80 | 1 |

Auflager

| Aufl. | x [m] | b [cm] | Transl. [kN/m] | Rotat. [kNm/rad] |
|---|---|---|---|---|
| A | 0.90 | 24.00 | starr | frei |
| B | 4.02 | 24.00 | starr | frei |
| C | 7.14 | 24.00 | starr | frei |
| D | 10.26 | 24.00 | starr | frei |
| E | 13.38 | 24.00 | starr | frei |
| F | 16.50 | 24.00 | starr | frei |

Gelenke

| Feld | a [m] | Transl. [kN/m] | Rotat. [kNm/rad] |
|---|---|---|---|
| 3 | 1.00 | starr | frei |

Material *NH C24*

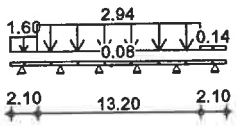
Querschnitt b/h = 12/16 cm

Belastungen Belastungen auf das System

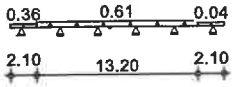
Grafik Belastungsgrafiken (einwirkungsbezogen)

Einwirkungen

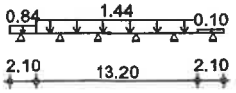
Gk ✓



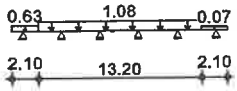

Qk.N



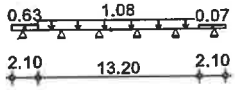

Qk.S.A ✓



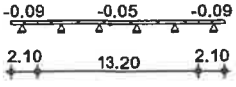

Qk.S.B




Qk.S.C



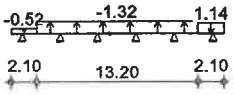

Qk.W.000



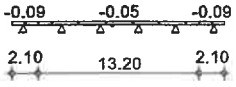



durch Vergleichsrechnung geprüft

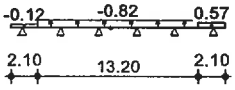
Qk.W.090




Qk.W.180




Qk.W.270




Streckenlasten in z-Richtung

Blocklasten

| | Feld | Komm. | a [m] | s [m] | $q_{li}$ [kN/m] | $q_{re}$ [kN/m] |
|---|---|---|---|---|---|---|
| Einw. *Gk* | Kl | Eigengew | 0.00 | 17.40 | | 0.08 |
| (a) | Kl | | 0.00 | 2.10 | | 1.60 |
| (b) | Kl | | 2.10 | 13.20 | | 2.94 |
| (c) | Kl | | 15.30 | 2.10 | | 0.14 |
| Einw. *Qk.N* (a) | Kl | | 0.00 | 2.10 | | 0.36 |
| (b) | Kl | | 2.10 | 13.20 | | 0.61 |
| (c) | Kl | | 15.30 | 2.10 | | 0.04 |
| Einw. *Qk.S.A* (a) | Kl | | 0.00 | 2.10 | | 0.84 |
| (b) | Kl | | 2.10 | 13.20 | | 1.44 |
| (c) | Kl | | 15.30 | 2.10 | | 0.10 |
| Einw. *Qk.S.B* (a) | Kl | | 0.00 | 2.10 | | 0.63 |
| (b) | Kl | | 2.10 | 13.20 | | 1.08 |
| (c) | Kl | | 15.30 | 2.10 | | 0.07 |
| Einw. *Qk.S.C* (a) | Kl | | 0.00 | 2.10 | | 0.63 |
| (b) | Kl | | 2.10 | 13.20 | | 1.08 |
| (c) | Kl | | 15.30 | 2.10 | | 0.07 |
| Einw. *Qk.W.000* (a) | Kl | | 0.00 | 2.10 | | -0.09 |
| (b) | Kl | | 2.10 | 13.20 | | -0.05 |
| (c) | Kl | | 15.30 | 2.10 | | -0.09 |
| Einw. *Qk.W.090* (a) | Kl | | 0.00 | 2.10 | | -0.52 |
| (b) | Kl | | 2.10 | 13.20 | | -1.31 |
| (c) | Kl | | 15.30 | 2.10 | | 1.14 |
| Einw. *Qk.W.180* (a) | Kl | | 0.00 | 2.10 | | -0.09 |
| (b) | Kl | | 2.10 | 13.20 | | -0.05 |
| (c) | Kl | | 15.30 | 2.10 | | -0.09 |
| Einw. *Qk.W.270* (a) | Kl | | 0.00 | 2.10 | | -0.11 |
| (b) | Kl | | 2.10 | 13.20 | | -0.82 |
| (c) | Kl | | 15.30 | 2.10 | | 0.57 |

(a) aus Pos. '1.01', Lager 'E' (Seite 27)

(b) aus Pos. '1.02', Lager 'C' (Seite 39)

(c) aus Pos. '1.03', Lager 'E' (Seite 55)

Kombinationen

Kombinationsbildung nach DIN EN 1990
Darstellung der maßgebenden Kombinationen

ständig/vorüberg.

| Ek | KLED | Σ (γ*ψ*EW) | | |
|---|---|---|---|---|
| 4 | ku | 1.35*Gk | +1.05*Qk.N (Kl,1,3,5) | +1.50*Qk.S.A |
| 16 | ku | 1.35*Gk | +1.05*Qk.N (1,2,4,Kr) | +1.50*Qk.S.A |
| 24 | ku | 1.35*Gk | +1.05*Qk.N (Kl,2,3,5) | +1.50*Qk.S.A |
| 32 | ku | 1.35*Gk | +1.05*Qk.N (1,3,4,Kr) | +1.50*Qk.S.A |
| 40 | ku | 1.35*Gk | +1.05*Qk.N (Kl,2,4,5) | +1.50*Qk.S.A |
| 56 | ku/sk | 1.35*Gk | +1.05*Qk.N (1,3,5,Kr) | +1.50*Qk.S.A |




durch Vergleichsrechnung geprüft

| | | Ek KLED Σ (γ*ψ*EW) | | |
|---|---|---|---|---|
| | | +0.90*Qk.W.090 | | |
| | 60 | ku/sk 1.35*Gk | +1.05*Qk.N (Kl,2,4,Kr) | +0.75*Qk.S.A |
| | | +1.50*Qk.W.090 | | |
| | 68 | ku/sk 1.35*Gk | +1.05*Qk.N (1,3,5,Kr) | +0.75*Qk.S.A |
| | | +1.50*Qk.W.090 | | |
| | 69 | ku 1.35*Gk | +1.05*Qk.N (Kl,1,5) | +1.50*Qk.S.A |
| | 79 | ku/sk 1.35*Gk | +1.05*Qk.N (1,2,3,5,Kr) | +0.75*Qk.S.A |
| | | +1.50*Qk.W.090 | | |
| selten | 1031 | 1.00*Gk | +0.70*Qk.N (1,3,5) | +1.00*Qk.S.A |
| | 1037 | 1.00*Gk | +1.00*Qk.N (Kl,2,4,Kr) | +0.50*Qk.S.A |
| quasi-ständig | 1033 | 1.00*Gk | +0.30*Qk.N (Kl,2,4,Kr) | |
| | 1034 | 1.00*Gk | +0.30*Qk.N (1,3,5) | |
| st./vor. Auflagerkr. | 1061 | ku 1.35*Gk | +1.05*Qk.N (Kl,1,3,5) | +1.50*Qk.S.A |
| | 1062 | ku 1.35*Gk | +1.05*Qk.N (Kl,2,3,5) | +1.50*Qk.S.A |
| | 1063 | ku 1.35*Gk | +1.05*Qk.N (Kl,2,4,5) | +1.50*Qk.S.A |
| | 1064 | ku 1.35*Gk | +1.05*Qk.N (1,2,4,Kr) | +1.50*Qk.S.A |
| | 1065 | ku 1.35*Gk | +1.05*Qk.N (1,3,4,Kr) | +1.50*Qk.S.A |
| | 1085 | ku/sk 1.35*Gk | +1.05*Qk.N (1,3,5,Kr) | +0.75*Qk.S.A |
| | | +1.50*Qk.W.090 | | |
| | 1091 | ku/sk 1.00*Gk | +1.05*Qk.N (Kl,2,4) | +1.50*Qk.W.000 |
| | 1092 | ku/sk 1.00*Gk | +1.05*Qk.N (Kl,2,5) | +1.50*Qk.W.090 |
| | 1093 | ku/sk 1.00*Gk | +1.05*Qk.N (Kl,3,5) | +1.50*Qk.W.090 |
| | 1094 | ku/sk 1.00*Gk | +1.05*Qk.N (1,3,Kr) | +1.50*Qk.W.090 |
| | 1095 | ku/sk 1.00*Gk | +1.05*Qk.N (1,4,Kr) | +1.50*Qk.W.090 |
| | 1096 | ku/sk 1.00*Gk | +1.05*Qk.N (2,4,Kr) | +1.50*Qk.W.090 |

ku: kurz
ku/sk: kurz/sehr kurz

Mat./Querschnitt nach DIN EN 1995-1-1

Materialien

| Holz | $f_{m,k}$ | $f_{t0k}$ | $f_{c0k}$ | $f_{c90k}$ | $f_{vk}$ | $E_{0mean}$ |
|---|---|---|---|---|---|---|
| | | | | [N/mm²] | | |
| *NH C24* | 24.0 | 14.5 | 21.0 | 2.5 | 4.0 | 11000 |

Querschnittswerte

| b [cm] | h [cm] | A [cm²] | $I_y$ [cm⁴] |
|---|---|---|---|
| 12.0 | 16.0 | 192.0 | 4096.0 |



durch Vergleichsrechnung geprüft

## Nachweise (GZT)

Nachweise im Grenzzustand der Tragfähigkeit nach DIN EN 1995-1-1

### Biegung
Abs. 6.1

Nachweis der Biegetragfähigkeit

| | x [m] | Ek | $k_{mod}$ [-] | $M_{yd}$ [kNm] | $\sigma_{m,d}$ [N/mm²] | $f_{m,d}$ [N/mm²] | η [-] |
|---|---|---|---|---|---|---|---|
| Kragarm links | *(L = 0.90 m, $k_{crit}$ = 1.00)* | | | | | | |
| | 0.90 | 4 | 0.90 | -1.58 | 3.09 | 16.62 | 0.19* |
| Feld 1 | *(L = 3.12 m, $k_{crit}$ = 1.00)* | | | | | | |
| | 3.12 | 16 | 0.90 | -5.76 | 11.24 | 16.62 | 0.68* |
| Feld 2 | *(L = 3.12 m, $k_{crit}$ = 1.00)* | | | | | | |
| | 3.12 | 24 | 0.90 | -8.02 | 15.66 | 16.62 | 0.94* |
| Feld 3 | *(L = 3.12 m, $k_{crit}$ = 1.00)* | | | | | | |
| | 0.00 | 24 | 0.90 | -8.02 | 15.66 | 16.62 | 0.94* |
| Feld 4 | *(L = 3.12 m, $k_{crit}$ = 1.00)* | | | | | | |
| | 0.00 | 32 | 0.90 | -6.33 | 12.36 | 16.62 | 0.74* |
| Feld 5 | *(L = 3.12 m, $k_{crit}$ = 1.00)* | | | | | | |
| | 0.00 | 40 | 0.90 | -5.85 | 11.43 | 16.62 | 0.69* |
| Kragarm rechts | *(L = 0.90 m, $k_{crit}$ = 1.00)* | | | | | | |
| | 0.00 | 79 | 1.00 | -0.86 | 1.68 | 18.46 | 0.09* |

### Querkraft
Abs. 6.1.7

Nachweis der Querkrafttragfähigkeit

| | x [m] | Ek | $k_{mod}$ [-] | $V_{z,d}$ [kN] | $\tau_d$ [N/mm²] | $f_{v,d}$ [N/mm²] | η [-] |
|---|---|---|---|---|---|---|---|
| Kragarm links | 0.62 | 69 | 0.90 | -2.42 | 0.38 | 2.77 | 0.14* |
| Feld 1 | 0.28 | 4 | 0.90 | 5.62 | 0.88 | 2.77 | 0.32 |
| | 2.84 | 16 | 0.90 | -9.50 | 1.48 | 2.77 | 0.54* |
| Feld 2 | 0.28 | 16 | 0.90 | 8.39 | 1.31 | 2.77 | 0.47 |
| | 2.84 | 24 | 0.90 | -9.72 | 1.52 | 2.77 | 0.55* |
| Feld 3 | 0.28 | 24 | 0.90 | 9.53 | 1.49 | 2.77 | 0.54* |
| | 2.84 | 32 | 0.90 | -8.35 | 1.30 | 2.77 | 0.47 |
| Feld 4 | 0.28 | 32 | 0.90 | 9.10 | 1.42 | 2.77 | 0.51* |
| | 2.84 | 40 | 0.90 | -8.87 | 1.39 | 2.77 | 0.50 |
| Feld 5 | 0.28 | 40 | 0.90 | 9.14 | 1.43 | 2.77 | 0.52* |
| | 2.84 | 56 | 1.00 | -3.17 | 0.50 | 3.08 | 0.16 |
| Kragarm rechts | 0.28 | 60 | 1.00 | 1.32 | 0.21 | 3.08 | 0.07* |

### Stabilität
Abs. 6.3

Nachweis der Stabilität

Der Einfluss der Stabilität ist im Nachweis der Biegetragfähigkeit enthalten. Folgende Ersatzstablängen werden berücksichtigt.

Ersatzstablängen

| | l [m] | $l_{ef,m}$ [m] |
|---|---|---|
| Kragarm links | 0.90 | 1.80 |
| Feld 1 | 3.12 | 3.12 |
| Feld 2 | 3.12 | 3.12 |
| Feld 3 | 3.12 | 3.12 |
| Feld 4 | 3.12 | 3.12 |
| Feld 5 | 3.12 | 3.12 |
| Kragarm rechts | 0.90 | 1.80 |

### Auflagerpressung
Abs. 6.1.5

Nachweis der Auflagerpressung

| | Ek | $k_{mod}$ [-] | $F_d$ [kN] | $A_{ef}$ [cm²] | $k_{c90}$ [-] | $\sigma_{c90d}$ [N/mm²] | $f^*_{c90d}$ [N/mm²] | η [-] |
|---|---|---|---|---|---|---|---|---|
| Auflager A | 4 | 0.90 | 10.23 | 360.0 | 1.00 | 0.28 | 1.73 | 0.16 |
| Auflager B | 16 | 0.90 | 21.74 | 360.0 | 1.00 | 0.60 | 1.73 | 0.35 |
| Auflager C | 24 | 0.90 | 23.10 | 360.0 | 1.00 | 0.64 | 1.73 | 0.37 |
| Auflager D | 32 | 0.90 | 21.29 | 360.0 | 1.00 | 0.59 | 1.73 | 0.34 |
| Auflager E | 40 | 0.90 | 21.86 | 360.0 | 1.00 | 0.61 | 1.73 | 0.35 |



durch Vergleichsrechnung geprüft

| | Ek | $k_{mod}$ [-] | $F_d$ [kN] | $A_{ef}$ [cm²] | $k_{c90}$ [-] | $\sigma_{c90d}$ [N/mm²] | $f^*_{c90d}$ [N/mm²] | $\eta$ [-] |
|---|---|---|---|---|---|---|---|---|
| Auflager F | 68 | 1.00 | 5.56 | 360.0 | 1.00 | 0.15 | 1.92 | 0.08 |

$f^*_{c90d}$: $k_{c90} * f_{c90d}$

Nachweise (GZG)

Nachweise im Grenzzustand der Gebrauchstauglichkeit nach DIN EN 1995-1-1

Verformungen
Abs. 7.2

Nachweise der Verformungen

| | x [m] | Ek | Norm | $w_{vorh}$ [mm] | | $w_{zul}$ [mm] | $\eta$ [-] |
|---|---|---|---|---|---|---|---|
| Feld 1 | *(L= 3.12 m, NKL 1, $k_{def}$ = 0.60)* | | | | | | |
| | 1.48 | 1031 | $w_{inst}$ | 5.2 | l/300= | 10.4 | 0.50 |
| | 1.48 | 1034 | $w_{net,fin}$ | 5.3 | l/300= | 10.4 | 0.51 |
| Feld 2 | *(L= 3.12 m, NKL 1, $k_{def}$ = 0.60)* | | | | | | |
| | 1.47 | 1037 | $w_{inst}$ | 1.7 | l/300= | 10.4 | 0.17 |
| | 1.47 | 1033 | $w_{net,fin}$ | 1.2 | l/300= | 10.4 | 0.12 |
| Feld 3 | *(L= 3.12 m, NKL 1, $k_{def}$ = 0.60)* | | | | | | |
| | 1.00 | 1031 | $w_{inst}$ | 8.4 | l/300= | 10.4 | 0.81 |
| | 1.00 | 1034 | $w_{net,fin}$ | 8.4 | l/300= | 10.4 | 0.81 |
| Feld 4 | *(L= 3.12 m, NKL 1, $k_{def}$ = 0.60)* | | | | | | |
| | 1.56 | 1037 | $w_{inst}$ | 2.6 | l/300= | 10.4 | 0.25 |
| | 1.56 | 1033 | $w_{net,fin}$ | 2.5 | l/300= | 10.4 | 0.24 |
| Feld 5 | *(L= 3.12 m, NKL 1, $k_{def}$ = 0.60)* | | | | | | |
| | 1.66 | 1031 | $w_{inst}$ | 4.1 | l/300= | 10.4 | 0.39 |
| | 1.66 | 1034 | $w_{net,fin}$ | 4.1 | l/300= | 10.4 | 0.40 |

Negative Verformungen wurden zur Bemessung nicht berücksichtigt.

Auflagerkräfte

Charakteristische und Bemessungsauflagerkräfte

Char. Auflagerkr.

| | Aufl. | $F_{z,k,min}$ [kN] | $F_{z,k,max}$ [kN] |
|---|---|---|---|
| Einw. *Gk* | A | 4.37 | 4.37 |
| | B | 9.33 | 9.33 |
| | C | 9.98 | 9.98 |
| | D | 9.21 | 9.21 |
| | E | 9.49 | 9.49 |
| | F | 1.43 | 1.43 |
| Einw. *Qk.N* | A | -0.13 | 1.04 |
| | B | -0.45 | 2.34 |
| | C | -0.34 | 2.36 |
| | D | -0.29 | 2.15 |
| | E | -0.23 | 2.15 |
| | F | -0.11 | 0.39 |
| Einw. *Qk.S.A* | A | 2.16 | 2.16 |
| | B | 4.46 | 4.46 |
| | C | 4.76 | 4.76 |
| | D | 4.40 | 4.40 |
| | E | 4.53 | 4.53 |
| | F | 0.66 | 0.66 |
| Einw. *Qk.S.B* | A | 1.62 | 1.62 |
| | B | 3.34 | 3.34 |
| | C | 3.57 | 3.57 |
| | D | 3.30 | 3.30 |
| | E | 3.39 | 3.39 |
| | F | 0.50 | 0.50 |
| Einw. *Qk.S.C* | A | 1.62 | 1.62 |
| | B | 3.34 | 3.34 |



durch Vergleichsrechnung geprüft

| | Aufl. | $F_{z,k,min}$ [kN] | $F_{z,k,max}$ [kN] |
|---|---|---|---|
| | C | 3.57 | 3.57 |
| | D | 3.30 | 3.30 |
| | E | 3.39 | 3.39 |
| | F | 0.50 | 0.50 |
| Einw. *Qk.w.000* | A | -0.19 | -0.19 |
| | B | -0.15 | -0.15 |
| | C | -0.15 | -0.15 |
| | D | -0.14 | -0.14 |
| | E | -0.16 | -0.16 |
| | F | -0.19 | -0.19 |
| Einw. *Qk.w.090* | A | -1.49 | -1.49 |
| | B | -4.04 | -4.04 |
| | C | -4.34 | -4.34 |
| | D | -4.06 | -4.06 |
| | E | -3.95 | -3.95 |
| | F | 1.82 | 1.82 |
| Einw. *Qk.w.180* | A | -0.19 | -0.19 |
| | B | -0.15 | -0.15 |
| | C | -0.15 | -0.15 |
| | D | -0.14 | -0.14 |
| | E | -0.16 | -0.16 |
| | F | -0.19 | -0.19 |
| Einw. *Qk.w.270* | A | -0.51 | -0.51 |
| | B | -2.50 | -2.50 |
| | C | -2.72 | -2.72 |
| | D | -2.53 | -2.53 |
| | E | -2.49 | -2.49 |
| | F | 0.86 | 0.86 |

Bem.-auflagerkräfte ständig/vorüberg.

| Aufl. | $F_{z,d,min}$ [kN] | EK | $F_{z,d,max}$ [kN] | EK |
|---|---|---|---|---|
| A | 2.01 | 1096 | 10.23 | 1061 |
| B | 2.79 | 1093 | 21.74 | 1064 |
| C | 3.11 | 1095 | 23.10 | 1062 |
| D | 2.82 | 1092 | 21.29 | 1065 |
| E | 3.32 | 1094 | 21.86 | 1063 |
| F | 1.02 | 1091 | 5.56 | 1085 |

## Zusammenfassung

Zusammenfassung der Nachweise

## Nachweise (GZT)

Nachweise im Grenzzustand der Tragfähigkeit

| Nachweis | Feld/Auflager | x [m] | | η [-] |
|---|---|---|---|---|
| Biegung | Feld 3 | 0.00 | OK | 0.94 |
| Querkraft | Feld 2 | 2.84 | OK | 0.55 |
| Auflagerpressung | Auflager C | | OK | 0.37 |

## Nachweise (GZG)

Nachweise im Grenzzust. der Gebrauchstauglichkeit

| Nachweis | Feld | x [m] | | η [-] |
|---|---|---|---|---|
| Anfangsdurchbieg. | Feld 3 | 1.00 | OK | 0.81 |
| gesamte Enddurchb. | Feld 3 | 1.00 | OK | 0.81 |



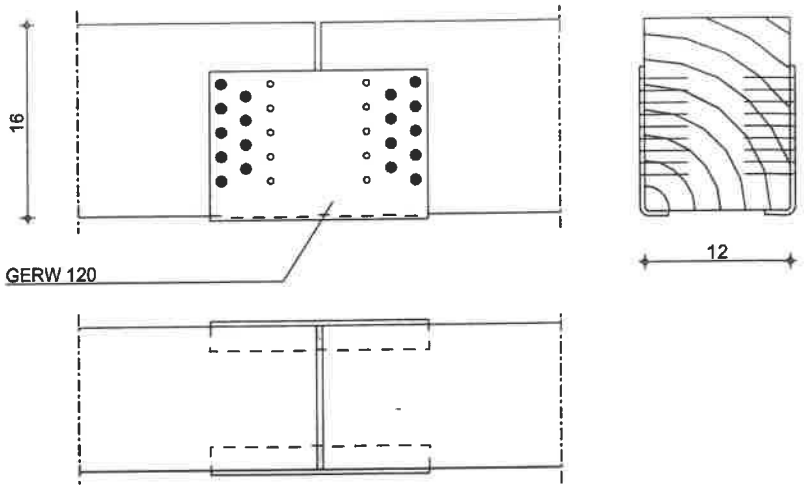
durch Vergleichsrechnung geprüft

## Pos. 1.04.1 Gerbergelenk

Geometrie

M 1:6

Bemessung einer Gerberverbindung mit Stahlblechformteilen




Mat./Querschnitt

| Material | Querschnitt [cm] |
|---|---|
| *NH C24* | 12.0/16.0 |

√

Nutzungsklasse 1 nach DIN EN 1995-1-1, Abs. 2.3.1.3

Gerberverbinder: Gerberverbinder Simpson Strong Tie *CNA Kammnägel 4.0x40mm* — GERW 120 *(TEILAUSNAGELUNG)*

Belastungen: Belastungen für den Anschluss √

Schnittgrößen

| | | Komm. | $V_z$ [kN] |
|---|---|---|---|
| Einw. *Ed.1* | (a) | G0 | 1.94 |
| Einw. *Ed.2* | (a) | G0 | 2.61 |
| Einw. *Ed.3* | (a) | G0 | 1.69 |
| Einw. *Ed.4* | (a) | G0 | 3.45 |
| Einw. *Ed.5* | (a) | G0 | 2.21 |
| Einw. *Ed.6* | (a) | G0 | 4.58 |
| Einw. *Ed.7* | (a) | G0 | 0.51 |
| Einw. *Ed.8* | (a) | G0 | 4.56 |

(a) aus Pos. '1.04', Ort 'G0' (Seite 63)

Kombinationen: Kombinationsbildung nach DIN EN 1990 √
Darstellung der maßgebenden Kombinationen

ständig/vorüberg.

| Ek | KLED | Σ (γ*ψ*EW) |
|---|---|---|
| 6 | ku | 1.00*Ed.6 |
| 7 | ku/sk | 1.00*Ed.7 |

ku: kurz
ku/sk: kurz/sehr kurz



durch Vergleichsrechnung geprüft

Zusammenfassung — Zusammenfassung der Nachweise

Nachweise (GZT) — Nachweise im Grenzzustand der Tragfähigkeit

| Nachweis | | η [-] |
|---|---|---|
| Gerberverbinder | OK | 0.64 |
| Querzug | OK | 0.25 |




durch Vergleichsrechnung geprüft

## Pos. 1.05 Holz-Firststütze

**System** Pendelstütze aus Holz nach DIN EN 1995-1-1

System

M 1:100




**Abmessungen Mat./Querschnitt**

| l [m] | Material | $b_y/b_z$ [cm] |
|---|---|---|
| 1.65 | *NH C24* | 12/12 |

Nutzungsklasse 1 beheizte Innenräume

**Belastungen** Belastungen auf das System

**Streckenlasten in x-Richtung**

| Komm. | a [m] | s [m] | $q_u$ [kN/m] | $q_o$ [kN/m] |
|---|---|---|---|---|
| Einw. *Gk* Eigengew | 0.00 | 1.65 | | 0.06 |

**Punktlasten in x-Richtung**

Einzellasten

| Komm. | | a [m] | $F_x$ [kN] | $e_y$ [cm] | $e_z$ [cm] |
|---|---|---|---|---|---|
| Einw. *Gk* | (a) | 1.65 | 9.33 | 0.0 | 0.0 |
| Einw. *Qk.N* | (a) | 1.65 | 2.34 | 0.0 | 0.0 |
| Einw. *Qk.S.A* | (a) | 1.65 | 4.46 | 0.0 | 0.0 |
| Einw. *Qk.S.B* | (a) | 1.65 | 3.34 | 0.0 | 0.0 |
| Einw. *Qk.S.C* | (a) | 1.65 | 3.34 | 0.0 | 0.0 |
| Einw. *Qk.W.000* | (a) | 1.65 | -0.15 | 0.0 | 0.0 |
| Einw. *Qk.W.090* | (a) | 1.65 | -4.04 | 0.0 | 0.0 |
| Einw. *Qk.W.180* | (a) | 1.65 | -0.15 | 0.0 | 0.0 |
| Einw. *Qk.W.270* | (a) | 1.65 | -2.50 | 0.0 | 0.0 |

(a) aus Pos. '1.04', Lager 'B' (Seite 67) ✓

**Kombinationen** Kombinationsbildung nach DIN EN 1990
Darstellung der maßgebenden Kombinationen

| | Ek | KLED | Σ (γ*ψ*EW) | | |
|---|---|---|---|---|---|
| ständig/vorüberg. | 11 | ku | 1.35*Gk | +1.05*Qk.N | +1.50*Qk.S.A |

ku: kurz

**Nachweise (GZT)** Nachweise im Grenzzustand der Tragfähigkeit nach DIN EN 1995-1-1

- Die Berücksichtigung des Kriechens ist nach DIN EN 1995-1-1/NA NCI NA.5.9 für NKL 1 nicht erforderlich.

**Biegung Abs. 6.1** Nachweis der Biegetragfähigkeit



durch Vergleichsrechnung geprüft

| | x | Ek | $k_{mod}$ | $N_d$<br>$M_{yd}$<br>$M_{zd}$ | $\sigma_{0,d}$<br>$\sigma_{my,d}$<br>$\sigma_{mz,d}$ | $f_{0,d}$<br>$f_{my,d}$<br>$f_{mz,d}$ | η |
|---|---|---|---|---|---|---|---|
| | [m] | | [-] | [kN, kNm] | [N/mm²] | [N/mm²] | [-] |
| *(L = 1.65 m)* | | | | | | | |
| | 0.00 | 11 | 0.90 | -21.87 | 1.52 | 14.54 | |
| | | | | 0.00 | 0.00 | 16.62 | |
| | | | | 0.00 | 0.00 | 16.62 | 0.13 |

## Stabilität
Abs. 6.3

Nachweis der Stabilität

Der Einfluss der Stabilität ist im Nachweis der Biegetragfähigkeit enthalten. Folgende Ersatzstablängen werden berücksichtigt.

Ersatzstablängen

| l [m] | $l_{ef,cy}$ [m] | $l_{ef,cz}$ [m] | $l_{ef,m}$ [m] |
|---|---|---|---|
| 1.65 | 1.65 | 1.65 | 1.65 |

## Auflagerkräfte

Char. Auflagerkr.

| | Aufl. | $F_{x,k}$ [kN] | $F_{z,k}$ [kN] | $M_{y,k}$ [kNm] | $F_{y,k}$ [kN] | $M_{z,k}$ [kNm] |
|---|---|---|---|---|---|---|
| Einw. *Gk* | A | 9.43 | 0.00 | 0.00 | 0.00 | 0.00 |
| | B | | 0.00 | | 0.00 | |
| Einw. *Qk.N* | A | 2.34 | 0.00 | 0.00 | 0.00 | 0.00 |
| | B | | 0.00 | | 0.00 | |
| Einw. *Qk.S.A* | A | 4.46 | 0.00 | 0.00 | 0.00 | 0.00 |
| | B | | 0.00 | | 0.00 | |
| Einw. *Qk.S.B* | A | 3.34 | 0.00 | 0.00 | 0.00 | 0.00 |
| | B | | 0.00 | | 0.00 | |
| Einw. *Qk.S.C* | A | 3.34 | 0.00 | 0.00 | 0.00 | 0.00 |
| | B | | 0.00 | | 0.00 | |
| Einw. *Qk.W.000* | A | -0.15 | 0.00 | 0.00 | 0.00 | 0.00 |
| | B | | 0.00 | | 0.00 | |
| Einw. *Qk.W.090* | A | -4.04 | 0.00 | 0.00 | 0.00 | 0.00 |
| | B | | 0.00 | | 0.00 | |
| Einw. *Qk.W.180* | A | -0.15 | 0.00 | 0.00 | 0.00 | 0.00 |
| | B | | 0.00 | | 0.00 | |
| Einw. *Qk.W.270* | A | -2.50 | 0.00 | 0.00 | 0.00 | 0.00 |
| | B | | 0.00 | | 0.00 | |

## Zusammenfassung

Zusammenfassung der Nachweise

## Nachweise (GZT)

Nachweise im Grenzzustand der Tragfähigkeit

| Nachweis | x [m] | | η [-] |
|---|---|---|---|
| Biegung | 0.00 | OK | 0.13 |



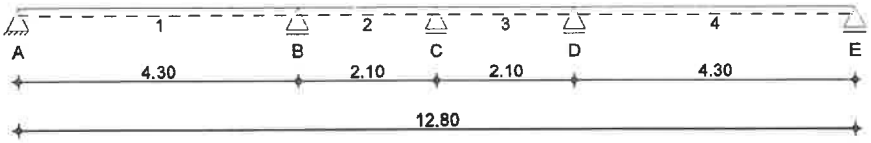

durch Vergleichsrechnung geprüft

# Dachgeschoss

## Pos. 2.01 Holz-Kehlbalkenlage

**System** Holz-Mehrfeldträger

M 1:110




**Abmessungen / Nutzungsklassen**

| Feld | l [m] | $l_{ef,m}$ [m] | NKL |
|---|---|---|---|
| 1 | 4.30 | 4.30 | 1 |
| 2 | 2.10 | 2.10 | 1 |
| 3 | 2.10 | 2.10 | 1 |
| 4 | 4.30 | 4.30 | 1 |

**Auflager**

| Aufl. | x [m] | b [cm] | Transl. [kN/m] | Rotat. [kNm/rad] |
|---|---|---|---|---|
| A | 0.00 | 20.00 | starr | frei |
| B | 4.30 | 20.00 | starr | frei |
| C | 6.40 | 20.00 | starr | frei |
| D | 8.50 | 20.00 | starr | frei |
| E | 12.80 | 20.00 | starr | frei |

**Material** *NH C24*

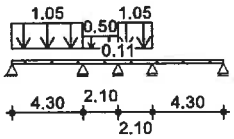
**Querschnitt / Balkenabstand** b/h = 8/24 cm; a = 0.75 m √

**Belastungen** Belastungen auf das System

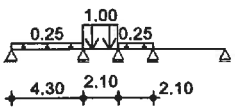
**Grafik** Belastungsgrafiken (einwirkungsbezogen)

**Einwirkungen**

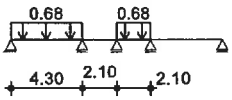
Gk




Qk.N √




Qk.S




**Flächenlasten in z-Richtung** Gleichflächenlasten

| | | Feld | Komm. | a [m] | s [m] | $q_{li}$ [kN/m²] | $q_{re}$ [kN/m²] |
|---|---|---|---|---|---|---|---|
| Einw. *Gk* | | 1 | Eigengew | 0.00 | 12.80 | | 0.11 |
| | | 2 | | 0.00 | 2.10 | | 0.50 |
| | | 1 | | 0.00 | 4.30 | | 1.05 |
| | | 3 | | 0.00 | 2.10 | | 1.05 |
| Einw. *Qk.N* | | 2 | | 0.00 | 2.10 | | 1.00 |
| | | 1 | | 0.00 | 4.30 | | 0.25 |
| | | 3 | | 0.00 | 2.10 | | 0.25 |
| Einw. *Qk.S* | (a) | 1 | | 0.00 | 4.30 | | 0.68 |
| | (a) | 3 | | 0.00 | 2.10 | | 0.68 |



durch Vergleichsrechnung geprüft

(a) aus Pos. '0.03' Schnee, Dach, pL, Qk.S

0.680 = 0.68 kN/m²

Kombinationen

Kombinationsbildung nach DIN EN 1990
Darstellung der maßgebenden Kombinationen

| | Ek | KLED | Σ (γ*ψ*EW) | | |
|---|---|---|---|---|---|
| ständig/vorüberg. | 1 | st | 1.35*Gk | | |
| | 3 | ku | 1.35*Gk | +1.05*Qk.N (1,3) | +1.50*Qk.S |
| | 9 | ku | 1.35*Gk | +1.05*Qk.N (2,1) | +1.50*Qk.S |
| | 12 | ku | 1.35*Gk | +1.05*Qk.N (1) | +1.50*Qk.S |
| | 15 | ku | 1.35*Gk | +1.05*Qk.N (2,3) | +1.50*Qk.S |
| | 34 | mi | 1.35*Gk | +1.50*Qk.N (2,3) | |
| selten | 42 | | 1.00*Gk | +0.70*Qk.N (1,3) | +1.00*Qk.S |
| quasi-ständig | 44 | | 1.00*Gk | +0.30*Qk.N (1,3) | |

st: ständig
ku: kurz
mi: mittel

Mat./Querschnitt

nach DIN EN 1995-1-1

Materialien

| Holz | $f_{m,k}$ | $f_{t0k}$ | $f_{c0k}$ | $f_{c90k}$ | $f_{vk}$ | $E_{0mean}$ |
|---|---|---|---|---|---|---|
| | | | | [N/mm²] | | |
| *NH C24* | 24.0 | 14.5 | 21.0 | 2.5 | 4.0 | 11000 |

Querschnittswerte

| b [cm] | h [cm] | A [cm²] | $I_y$ [cm⁴] |
|---|---|---|---|
| 8.0 | 24.0 | 192.0 | 9216.0 |

Nachweise (GZT)

Nachweise im Grenzzustand der Tragfähigkeit nach DIN EN 1995-1-1

Biegung Abs. 6.1

Nachweis der Biegetragfähigkeit

| | x [m] | Ek | $k_{mod}$ [-] | $M_{yd}$ [kNm] | $\sigma_{m,d}$ [N/mm²] | $f_{m,d}$ [N/mm²] | η [-] |
|---|---|---|---|---|---|---|---|
| Feld 1 | *(L = 4.30 m, $k_{crit}$ = 0.91)* | | | | | | |
| | 4.30 | 9 | 0.90 | -3.59 | 4.67 | 16.62 | 0.31* |
| Feld 2 | *(L = 2.10 m, $k_{crit}$ = 1.00)* | | | | | | |
| | 0.00 | 9 | 0.90 | -3.59 | 4.67 | 16.62 | 0.28* |
| Feld 3 | *(L = 2.10 m, $k_{crit}$ = 1.00)* | | | | | | |
| | 0.87 | 3 | 0.90 | 1.05 | 1.36 | 16.62 | 0.08* |
| Feld 4 | *(L = 4.30 m, $k_{crit}$ = 0.91)* | | | | | | |
| | 0.00 | 3 | 0.90 | -0.60 | 0.78 | 16.62 | 0.05* |

Querkraft Abs. 6.1.7

Nachweis der Querkrafttragfähigkeit

| | x [m] | Ek | $k_{mod}$ [-] | $V_{z,d}$ [kN] | $T_d$ [N/mm²] | $f_{v,d}$ [N/mm²] | η [-] |
|---|---|---|---|---|---|---|---|
| Feld 1 | 0.31 | 3 | 0.90 | 3.13 | 0.49 | 2.77 | 0.18 |
| | 3.96 | 9 | 0.90 | -4.70 | 0.73 | 2.77 | 0.26* |
| Feld 2 | 0.34 | 9 | 0.90 | 2.76 | 0.43 | 2.77 | 0.16* |
| | 1.76 | 12 | 0.90 | 1.36 | 0.21 | 2.77 | 0.08 |
| Feld 3 | 0.34 | 15 | 0.90 | 1.26 | 0.20 | 2.77 | 0.07 |
| | 1.76 | 3 | 0.90 | -1.92 | 0.30 | 2.77 | 0.11* |
| Feld 4 | 0.34 | 1 | 0.60 | 0.29 | 0.05 | 1.85 | 0.02* |



durch Vergleichsrechnung geprüft

| x [m] | Ek | $k_{mod}$ [-] | $V_{z,d}$ [kN] | $\tau_d$ [N/mm²] | $f_{v,d}$ [N/mm²] | η [-] |
|---|---|---|---|---|---|---|
| 3.99 | 1 | 0.60 | -0.11 | 0.02 | 1.85 | 0.01 |

## Stabilität
Abs. 6.3

Nachweis der Stabilität

Der Einfluss der Stabilität ist im Nachweis der Biegetragfähigkeit enthalten. Folgende Ersatzstablängen werden berücksichtigt.

Ersatzstablängen

| | l [m] | $l_{ef,m}$ [m] |
|---|---|---|
| Feld 1 | 4.30 | 4.30 |
| Feld 2 | 2.10 | 2.10 |
| Feld 3 | 2.10 | 2.10 |
| Feld 4 | 4.30 | 4.30 |

## Auflagerpressung
Abs. 6.1.5

Nachweis der Auflagerpressung

| | Ek | $k_{mod}$ [-] | $F_d$ [kN] | $A_{ef}$ [cm²] | $k_{c90}$ [-] | $\sigma_{c90d}$ [N/mm²] | $f^*_{c90d}$ [N/mm²] | η [-] |
|---|---|---|---|---|---|---|---|---|
| Auflager A | 3 | 0.90 | 3.78 | 184.0 | 1.00 | 0.21 | 1.73 | 0.12 |
| Auflager B | 9 | 0.90 | 8.65 | 208.0 | 1.00 | 0.42 | 1.73 | 0.24 |
| Auflager C | 34 | 0.80 | 2.42 | 208.0 | 1.00 | 0.12 | 1.54 | 0.08 |
| Auflager D | 3 | 0.90 | 3.02 | 208.0 | 1.00 | 0.15 | 1.73 | 0.08 |
| Auflager E | 1 | 0.60 | 0.14 | 184.0 | 1.00 | 0.01 | 1.15 | 0.01 |

$f^*_{c90d}$: $k_{c90} * f_{c90d}$

## Nachweise (GZG)

Nachweise im Grenzzustand der Gebrauchstauglichkeit nach DIN EN 1995-1-1

## Verformungen
Abs. 7.2

Nachweise der Verformungen

| | x [m] | Ek | Norm | $w_{vorh}$ [mm] | | $w_{zul}$ [mm] | η [-] |
|---|---|---|---|---|---|---|---|
| Feld 1 | *(L= 4.30 m, NKL 1, $k_{def}$ = 0.60)* | | | | | | |
| | 1.96 | 42 | $w_{inst}$ | 3.9 | l/300= | 14.3 | 0.27 |
| | 1.95 | 44 | $w_{net,fin}$ | 3.7 | l/300= | 14.3 | 0.26 |
| Feld 2 | *(L= 2.10 m, NKL 1, $k_{def}$ = 0.60)* | | | | | | |
| | 0.80 | 42 | $w_{inst}$ | -0.5 | l/300= | -7.0 | 0.08 |
| | 0.80 | 44 | $w_{net,fin}$ | -0.5 | l/300= | -7.0 | 0.07 |
| Feld 3 | *(L= 2.10 m, NKL 1, $k_{def}$ = 0.60)* | | | | | | |
| | 0.99 | 42 | $w_{inst}$ | 0.3 | l/300= | 7.0 | 0.04 |
| | 0.96 | 44 | $w_{net,fin}$ | 0.3 | l/300= | 7.0 | 0.04 |
| Feld 4 | *(L= 4.30 m, NKL 1, $k_{def}$ = 0.60)* | | | | | | |
| | 1.24 | 42 | $w_{inst}$ | -0.2 | l/300= | -14.3 | 0.01 |
| | 0.72 | 44 | $w_{net,fin}$ | -0.1 | l/300= | -14.3 | 0.01 |

## Auflagerkräfte

Charakteristische Auflagerkräfte

Char. Auflagerkr.

| | Aufl. | $F_{z,k,min}$ [kN/m] | $F_{z,k,max}$ [kN/m] |
|---|---|---|---|
| Einw. *Gk* | A | 2.04 | 2.04 |
| | B | 4.53 | 4.53 |
| | C | 0.66 | 0.66 |
| | D | 1.77 | 1.77 |
| | E | 0.14 | 0.14 |
| Einw. *Qk.N* | A | -0.03 | 0.45 |
| | B | -0.04 | 1.90 |
| | C | -0.30 | 1.55 |
| | D | -0.15 | 0.32 |
| | E | -0.01 | 0.01 |



durch Vergleichsrechnung geprüft

| | Aufl. | $F_{z,k,min}$ [kN/m] | $F_{z,k,max}$ [kN/m] |
|---|---|---|---|
| Einw. *Qk.S* | A | 1.21 | 1.21 |
| | B | 2.28 | 2.28 |
| | C | 0.02 | 0.02 |
| | D | 0.87 | 0.87 |
| | E | -0.03 | -0.03 |

Zusammenfassung — Zusammenfassung der Nachweise

Nachweise (GZT) — Nachweise im Grenzzustand der Tragfähigkeit

| Nachweis | Feld/Auflager | x [m] | | η [-] |
|---|---|---|---|---|
| Biegung | Feld 2 | 0.00 | OK | 0.31 |
| Querkraft | Feld 1 | 3.96 | OK | 0.26 |
| Auflagerpressung | Auflager B | | OK | 0.24 |

Nachweise (GZG) — Nachweise im Grenzzust. der Gebrauchstauglichkeit

| Nachweis | Feld | x [m] | | η [-] |
|---|---|---|---|---|
| Anfangsdurchbieg. | Feld 1 | 1.96 | OK | 0.27 |
| gesamte Enddurchb. | Feld 1 | 1.95 | OK | 0.26 |

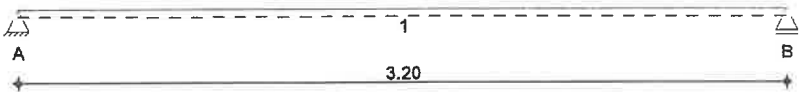


durch Vergleichsrechnung geprüft

## Pos. 2.02 Holz-Kehlbalkenlage

**System** Holz-Einfeldträger

M 1:30




√

**Abmessungen / Nutzungsklassen**

| Feld | l [m] | $l_{ef,m}$ [m] | NKL |
|---|---|---|---|
| 1 | 3.20 | 3.20 | 1 |

**Auflager**

| Aufl. | x [m] | b [cm] | Transl. [kN/m] | Rotat. [kNm/rad] |
|---|---|---|---|---|
| A | 0.00 | 20.00 | starr | frei |
| B | 3.20 | 20.00 | starr | frei |

**Material** *NH C24*

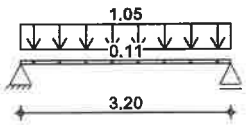
**Querschnitt / Balkenabstand** b/h = 8/24 cm; a = 0.75 m

**Belastungen** Belastungen auf das System

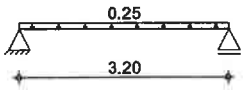
**Grafik** Belastungsgrafiken (einwirkungsbezogen)

**Einwirkungen**

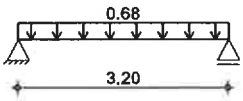
Gk




Qk.N




Qk.S




√

**Flächenlasten in z-Richtung**

Gleichflächenlasten

| | | Feld | Komm. | a [m] | s [m] | $q_{li}$ [kN/m²] | $q_{re}$ [kN/m²] |
|---|---|---|---|---|---|---|---|
| Einw. *Gk* | | 1 | Eigengew | 0.00 | 3.20 | | 0.11 |
| | | 1 | | 0.00 | 3.20 | | 1.05 |
| Einw. *Qk.N* | | 1 | | 0.00 | 3.20 | | 0.25 |
| Einw. *Qk.S* | (a) | 1 | | 0.00 | 3.20 | | 0.68 |

(a) aus Pos. '0.03' Schnee, Dach, pL, Qk.S

0.680 = 0.68 kN/m²

**Kombinationen** Kombinationsbildung nach DIN EN 1990
Darstellung der maßgebenden Kombinationen

| | Ek | KLED | Σ (γ*ψ*EW) | | |
|---|---|---|---|---|---|
| ständig/vorüberg. | 3 | ku | 1.35*Gk | +1.05*Qk.N | +1.50*Qk.S |
| selten | 12 | | 1.00*Gk | +0.70*Qk.N | +1.00*Qk.S |
| quasi-ständig | 14 | | 1.00*Gk | +0.30*Qk.N | |

ku: kurz

**Mat./Querschnitt** nach DIN EN 1995-1-1



durch Vergleichsrechnung geprüft

Materialien

| Holz | $f_{m,k}$ | $f_{t0k}$ | $f_{c0k}$ | $f_{c90k}$ [N/mm²] | $f_{vk}$ | $E_{0mean}$ |
|---|---|---|---|---|---|---|
| *NH C24* | 24.0 | 14.5 | 21.0 | 2.5 | 4.0 | 11000 |

Querschnittswerte

| b [cm] | h [cm] | A [cm²] | $I_y$ [cm⁴] |
|---|---|---|---|
| 8.0 | 24.0 | 192.0 | 9216.0 |

## Nachweise (GZT)

Nachweise im Grenzzustand der Tragfähigkeit nach DIN EN 1995-1-1

### Biegung Abs. 6.1

Nachweis der Biegetragfähigkeit

| | x [m] | Ek | $k_{mod}$ [-] | $M_{yd}$ [kNm] | $\sigma_{m,d}$ [N/mm²] | $f_{m,d}$ [N/mm²] | η [-] |
|---|---|---|---|---|---|---|---|
| Feld 1 | *(L = 3.20 m, $k_{crit}$ = 1.00)* | | | | | | |
| | 1.60 | 3 | 0.90 | 2.73 | 3.56 | 16.62 | 0.21* |

### Querkraft Abs. 6.1.7

Nachweis der Querkrafttragfähigkeit

| | x [m] | Ek | $k_{mod}$ [-] | $V_{z,d}$ [kN] | $\tau_d$ [N/mm²] | $f_{v,d}$ [N/mm²] | η [-] |
|---|---|---|---|---|---|---|---|
| Feld 1 | 0.31 | 3 | 0.90 | 2.76 | 0.43 | 2.77 | 0.16* |
| | 2.89 | 3 | 0.90 | -2.76 | 0.43 | 2.77 | 0.16 |

### Stabilität Abs. 6.3

Nachweis der Stabilität

Der Einfluss der Stabilität ist im Nachweis der Biegetragfähigkeit enthalten. Folgende Ersatzstablängen werden berücksichtigt.

Ersatzstablängen

| | l [m] | $l_{ef,m}$ [m] |
|---|---|---|
| Feld 1 | 3.20 | 3.20 |

### Auflagerpressung Abs. 6.1.5

Nachweis der Auflagerpressung

| | Ek | $k_{mod}$ [-] | $F_d$ [kN] | $A_{ef}$ [cm²] | $k_{c90}$ [-] | $\sigma_{c90d}$ [N/mm²] | $f^*_{c90d}$ [N/mm²] | η [-] |
|---|---|---|---|---|---|---|---|---|
| Auflager A | 3 | 0.90 | 3.41 | 184.0 | 1.00 | 0.19 | 1.73 | 0.11 |
| Auflager B | 3 | 0.90 | 3.41 | 184.0 | 1.00 | 0.19 | 1.73 | 0.11 |

$f^*_{c90d}$: $k_{c90} * f_{c90d}$

## Nachweise (GZG)

Nachweise im Grenzzustand der Gebrauchstauglichkeit nach DIN EN 1995-1-1

### Verformungen Abs. 7.2

Nachweise der Verformungen

| | x [m] | Ek | Norm | $w_{vorh}$ [mm] | | $w_{zul}$ [mm] | η [-] |
|---|---|---|---|---|---|---|---|
| Feld 1 | *(L= 3.20 m, NKL 1, $k_{def}$ = 0.60)* | | | | | | |
| | 1.60 | 12 | $w_{inst}$ | 2.0 | l/300= | 10.7 | 0.19 |
| | 1.60 | 14 | $w_{net,fin}$ | 2.0 | l/300= | 10.7 | 0.19 |

### Auflagerkräfte

Charakteristische Auflagerkräfte

Char. Auflagerkr.

| | Aufl. | $F_{z,k}$ [kN/m] |
|---|---|---|
| Einw. *Gk* | A | 1.85 |
| | B | 1.85 |
| Einw. *Qk.N* | A | 0.40 |
| | B | 0.40 |
| Einw. *Qk.S* | A | 1.09 |
| | B | 1.09 |

## Zusammenfassung

Zusammenfassung der Nachweise

### Nachweise (GZT)

Nachweise im Grenzzustand der Tragfähigkeit

| Nachweis | Feld/Auflager | x [m] | | η [-] |
|---|---|---|---|---|
| Biegung | Feld 1 | 1.60 | OK | 0.21 |
| Querkraft | Feld 1 | 0.31 | OK | 0.16 |
| Auflagerpressung | Auflager A | | OK | 0.11 |

### Nachweise (GZG)

Nachweise im Grenzzust. der Gebrauchstauglichkeit

| Nachweis | Feld | x [m] | | η [-] |
|---|---|---|---|---|
| Anfangsdurchbieg. | Feld 1 | 1.60 | OK | 0.19 |
| gesamte Enddurchb. | Feld 1 | 1.60 | OK | 0.19 |

### Detailnachweis

| Name | Ort | Detail |
|---|---|---|
| A | Lager A | Balkenschuh/Balkenträger |




durch Vergleichsrechnung geprüft

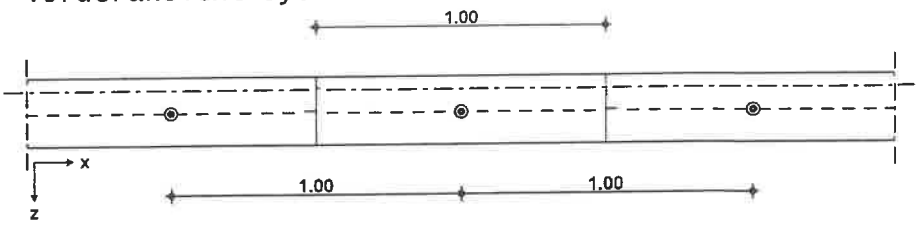
## Pos. 2.02.1 Nachweis Streichbalken

System

Holz-Streichbalken an Beton-Decke, kontinuierlich gelagert

Vorderansicht System

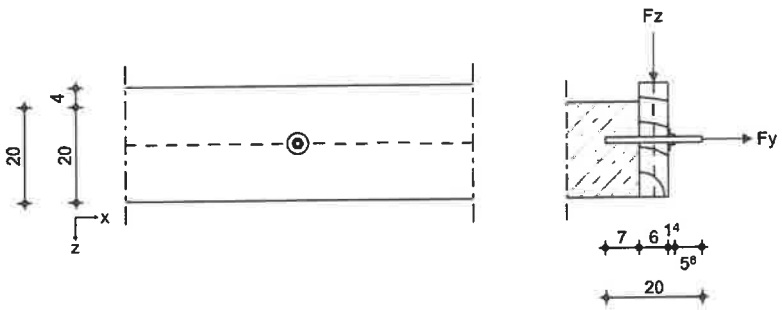
M 1:25




Vorderansicht

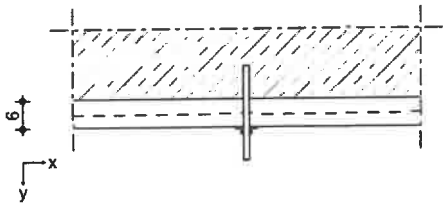
Schnitt

M 1:15




Draufsicht

M 1:15




Abmessungen Mat./Querschnitt

| Bauteil | Material | b [cm] | h [cm] | t [cm] | NKL |
|---|---|---|---|---|---|
| Streichbalken | *NH C24* | 6.0 | 24.0 | | 1 |
| Betondecke | *C 25/30* | | | 20.0 | |

Betonzustand: gerissen

Bewehrung: Unbewehrter oder normal bewehrter Beton ohne Randbewehrung
keine Spaltbewehrung vorhanden

Verbindungsmittel

| | |
|---|---|
| Würth Bolzenanker W-FAZ/S[1] | 105-125-M12X200 |
| Kontinuierliche Lagerung | a = 100 cm |
| Unterlegscheibe[2] | Typ 44/14 |
| Exzentrizität $e_{z,Bolt}$ | 0 cm |

1: ETA-99/0011
2: DIN EN ISO 7094

Anordnung

| Bezugspunkt Betondecke | Bezugspunkt Streichbalken | $a_{oben}$ [cm] | $a_{unten}$ [cm] |
|---|---|---|---|
| Rand | Rand | -4.0 | 0.0 |
| Rand | Schwerpunkt | 8.0 | 12.0 |



durch Vergleichsrechnung geprüft

**Belastungen** — Belastungen auf das System

**Linienlasten**

| | | Komm. | $q_y$ [kN/m] | $q_z$ [kN/m] |
|---|---|---|---|---|
| Einw. *Gk* | (a) | | 0.00 | 1.85 |
| Einw. *Qk.N* | (a) | | 0.00 | 0.40 |
| Einw. *Qk.S* | (a) | | 0.00 | 1.09 |

(a) aus Pos. '2.02', Lager 'A' (Seite 79)

**Kombinationen** — Kombinationsbildung nach DIN EN 1990
Darstellung der maßgebenden Kombinationen

| | Ek | KLED | Σ (γ*ψ*EW) | | |
|---|---|---|---|---|---|
| ständig/vorüberg. | 5 | ku | 1.35*Gk | +1.05*Qk.N | +1.50*Qk.S |

ku: kurz

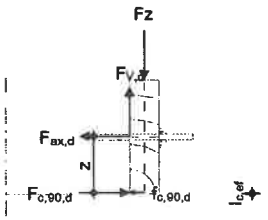
**Bem.-schnittgrößen** — Bemessungsschnittgrößen je Anker

| Ek | $l_{c,ef}$ [cm] | $b_{c,ef}$ [cm] | z [cm] | $F_{c,90,d}$ [kN] | $F_{v,d}$ [kN] | $F_{ax,d}$ [kN] |
|---|---|---|---|---|---|---|
| 5 | 0.19 | 28.40 | 11.91 | 1.15 | 4.55 | -1.15 |

**Grafik** — Spannungsverteilung der maßgebenden Einwirkungskombinationen

Ek 5

M 1:15




**Mat./Querschnitt** — nach DIN EN 1995-1-1 und DIN EN 1992-1-1

**Material Streichbalken**

| Material | $f_{t,90,k}$ [N/mm²] | $f_{c,90,k}$ [N/mm²] | $\rho_k$ [kg/m³] |
|---|---|---|---|
| *NH C24* | 0.4 | 2.5 | 350 |

**Betondecke**

| Material | $f_{ck}$ [N/mm²] | $f_{ck,cube}$ [N/mm²] | $f_{ctm}$ [N/mm²] | $E_{cm}$ [N/mm²] |
|---|---|---|---|---|
| *C 25/30* | 25 | 30 | 2.6 | 31000 |

**Verbindungsmittel**

| Bolzenanker | ø [mm] | L [mm] | $h_{ef}$ [mm] | $t_{fix}$ [mm] | U-Scheibe |
|---|---|---|---|---|---|
| Würth W-FAZ/S 105-125-M12X200 | 12 | 200 | 70 | 60 | Typ 44/14 |

**Nachweise (GZT)**

**Verbindungsmittel Beton Zugbeanspruchung Abs. 7.2.1** — Nachweise im Grenzzustand der Tragfähigkeit nach DIN EN 1992-4
Nachweise der Tragfähigkeit bei Zugbeanspruchung nach DIN EN 1992-4



durch Vergleichsrechnung geprüft

| Nachweis | Anker | Ek | $N_{Ed}$ [kN] | $N_{Rd}$ [kN] | η [-] |
|---|---|---|---|---|---|
| Stahlversagen | 1 | 5 | 1.15 | 26.67 | 0.04 |
| Herausziehen | 1 | 5 | 1.15 | 10.67 | 0.11 |
| Betonausbruch | 1 | 5 | 1.15 | 11.42 | 0.10 |
| Betonspalten | 1 | 5 | 1.15 | 13.34 | 0.09 |

## Querbeanspruchung Abs. 7.2.2

Nachweis der Tragfähigkeit bei Querbeanspruchung nach DIN EN 1992-4

| Nachweis | Anker | Ek | $V_{Ed}$ [kN] | $V_{Rd}$ [kN] | η [-] |
|---|---|---|---|---|---|
| Stahlversagen | 1 | 5 | 4.55 | 24.00 | 0.19 |
| Pryout-Versagen | 1 | 5 | 4.55 | 27.42 | 0.17 |
| Betonkantenbruch | 1 | 5 | 4.55 | 6.84 | 0.67 |

## Zug- und Querbelastung Abs. 7.2.3

| Anker | Ek | $\eta_N$ | $\eta_V$ | α | η |
|---|---|---|---|---|---|
| 1 | 5 | 0.11 | 0.67 | 1.5 | 0.58 |

## Abstände Beton

Mindestabstände Betondecke

| | $C_{cr}$ [mm] | $C_{ucr}$ [mm] |
|---|---|---|
| erf | 60 | 75 |
| vorh | 80 | |

$C_{cr}$: minimaler Randabstand bei gerissenem Beton
$C_{ucr}$: minimaler Randabstand bei ungerissenem Beton

## Verbindungsmittel Holz

Nachweise im Grenzzustand der Tragfähigkeit nach DIN EN 1995-1-1

| Ek | $k_{mod}$ [-] | $F_{la,d}$ [kN] | $R_{la,d}$ [kN] | $F_{ax,d}$ [kN] | $R_{ax,d}$ [kN] | η [-] |
|---|---|---|---|---|---|---|
| 5 | 0.90 | 4.55 | 7.11 | 1.15 | 7.10 | 0.80 |

## Abstände Holz

Mindestabstände Streichbalken

| | $a_1$ [mm] | $a_{4t}$ [mm] | $a_{4c}$ [mm] |
|---|---|---|---|
| erf | 58 | 48 | 36 |
| vorh | 1000 | 120 | 120 |

$a_1$: Abstand der Verbindungsmittel in Faserrichtung des Holzes
$a_{4t}$: Abstand der Verbindungsmittel vom beanspruchten Rand des Holzes
$a_{4c}$: Abstand der Verbindungsmittel vom unbeanspruchten Rand des Holzes

## Querzug

Nachweis Querzug im Holz-Streichbalken

Queranschluss $h_e/h = 0.50 \leq 0.70$

unverstärkt

| Ek | $k_{mod}$ [-] | $F_{v,Ed}$ [kN] | $F_{90,Rd}$ [kN] | η [-] |
|---|---|---|---|---|
| 5 | 0.90 | 4.55 | 6.46 | 0.70 |

## Querdruck

Nachweis der Holzspannung infolge Kontaktpressung

Die Festigkeitsnachweise der Druckbereiche werden beim Kräftepaarmodell mit vollplastischer Druckzone und Zuganker automatisch eingehalten.



durch Vergleichsrechnung geprüft

Zusammenfassung

Zusammenfassung der Nachweise

Nachweise (GZT)

Nachweise im Grenzzustand der Tragfähigkeit

| Nachweis | Bauteil | | η [-] |
|---|---|---|---|
| Zugbeanspruchung | Betondecke | OK | 0.11 |
| Querbeanspruchung | Betondecke | OK | 0.67 |
| Zug- und Querbelastung | Betondecke | OK | 0.58 |
| Verbindungsmittel | Streichbalken | OK | 0.80 |
| Querzug | Streichbalken | OK | 0.70 |

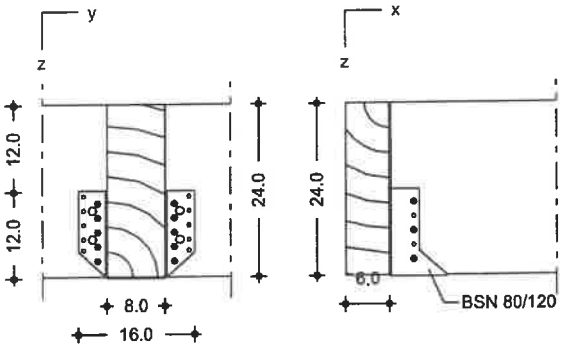


durch Vergleichsrechnung geprüft

## Pos. 2.02.2 Nachweis Balkenschuh

Geometrie — Balkenschuhnachweis

Grafik
M 1:10




Mat./Querschnitt

| Bauteil | Material | Querschnitt [cm] |
|---|---|---|
| Hauptträger | *NH C24* | 6.0/24.0 |
| Nebenträger | *NH C24* | 8.0/24.0 |

Nutzungsklasse 1

Verbindungsmittel

| | |
|---|---|
| Balkenschuh Simpson Strong Tie | **BSN 80/120mm** |
| CNA Kammnägel, Teilausnagelung | **(10+6)x 4.0x40mm** |
| (Europäische Technische Zulassung ETA-06/0270) | |

Belastungen — Belastungen für den Anschluss

- Für die Wirkungslinie der Kraft $F_y$ wird angenommen, dass sie an der Oberkante des Balkenschuhs angreift.

Auflagerlasten

| | | Komm. | $F_z$ [kN] |
|---|---|---|---|
| Einw. *Ed.1* | (a) | A | 1.39 |
| Einw. *Ed.2* | (a) | A | 1.88 |
| Einw. *Ed.3* | (a) | A | 1.84 |
| Einw. *Ed.4* | (a) | A | 2.33 |
| Einw. *Ed.5* | (a) | A | 2.45 |
| Einw. *Ed.6* | (a) | A | 3.41 |

(a) aus Pos. '2.02', Ort 'A' (Seite 78)

Kombinationen — Kombinationsbildung nach DIN EN 1990
Darstellung der maßgebenden Kombinationen

| | Ek | KLED | Σ (γ*ψ*EW) |
|---|---|---|---|
| ständig/vorüberg. | 6 | ku | 1.00*Ed.6 |

ku: kurz

Zusammenfassung — Zusammenfassung der Nachweise

Nachweise (GZT) — Nachweise im Grenzzustand der Tragfähigkeit

| Nachweis | | η [-] |
|---|---|---|
| Balkenschuh | OK | 0.53 |
| Querzug | OK | 0.44 |



durch Vergleichsrechnung geprüft

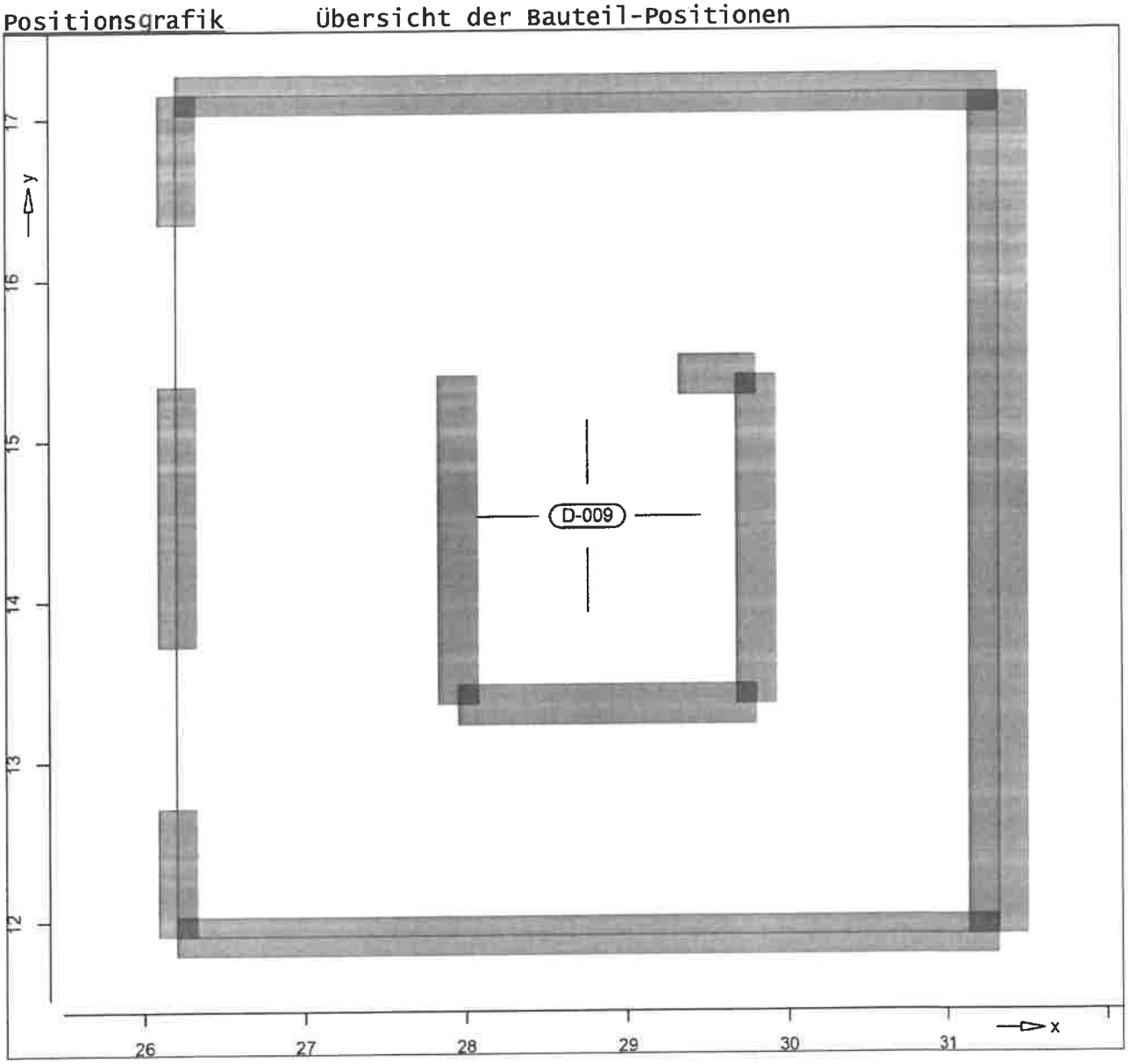
## Pos. 2.03 Stb-Decke

### System

Positionsplan — Positionsplan

Bauteile — Bauteil-Positionen

Positionsgrafik — Übersicht der Bauteil-Positionen




Platten — Platten-Positionen

Stahlbeton

| Position | Winkel [°] | Art | Material Längs | Material Quer | Dicke [cm] |
|---|---|---|---|---|---|
| D-009 | 0.0 | iso | C 25/30 Q<br>B 500MA | B 500SA | 20.0 |

Winkel: Bewehrungsrichtung r
iso: isotropes Material
Q: Gesteinskörnung Quarzit




durch Vergleichsrechnung geprüft

**Expositionsklasse** gemäß DIN EN 1992-1-1, Tab. 4.1

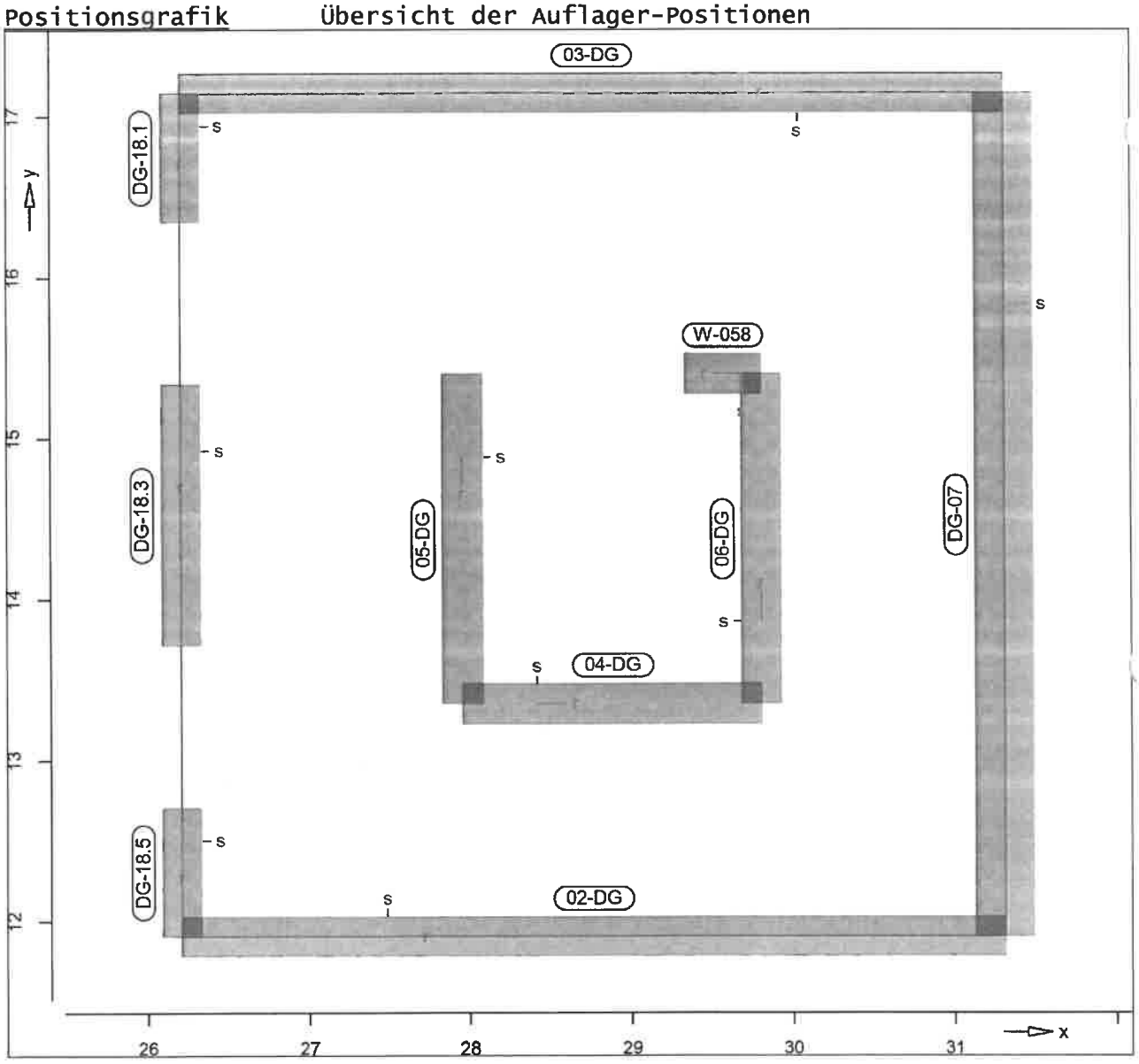
| Position | Seite | Kl | Kommentar |
|---|---|---|---|
| D-009 | umlaufend | XC1 | trocken oder ständig nass |

**Koordinaten**

| Position | x [m] | y [m] |
|---|---|---|
| D-009 | 31.31 | 17.15 |
| | 26.21 | 17.15 |
| | 26.21 | 11.91 |
| | 31.31 | 11.91 |

**Auflager** Auflager-Positionen

**Positionsgrafik** Übersicht der Auflager-Positionen




√



durch Vergleichsrechnung geprüft

## Wandlager

Wandlager-Positionen

### Stahlbeton

| Position | Höhe [m] | Länge [m] | Material | Dicke [cm] |
|---|---|---|---|---|
| 02-DG, 03-DG | 3.00 | 5.10 | C 25/30 Q B 500MA | 24.0 |
| 04-DG | 3.00 | 1.85 | C 25/30 Q B 500MA | 25.0 |
| 05-DG, 06-DG | 3.00 | 2.05 | C 25/30 Q B 500MA | 25.0 |
| DG-18.1 | 3.00 | 0.80 | C 25/30 Q B 500MA | 24.0 |
| DG-18.3 | 3.00 | 1.62 | C 25/30 Q B 500MA | 24.0 |
| DG-18.5 | 3.00 | 0.80 | C 25/30 Q B 500MA | 24.0 |
| W-058 | 3.00 | 0.47 | C 25/30 Q B 500MA | 25.0 |

Q: Gesteinskörnung Quarzit

### Mauerwerk

| Position | Höhe [m] | Länge [m] | Material | Dicke [cm] |
|---|---|---|---|---|
| DG-07 | 2.98 | 5.24 | Z-17.1-844-I 2 DM | 36.5 |

### Federsteifigkeiten

| Position | $K_{R,r}$ [kNm/rad/m] | $K_{R,s}$ [kNm/rad/m] | | $K_{T,t}$ [kN/m/m] |
|---|---|---|---|---|
| 02-DG, 03-DG | frei | frei | +/- | 2480000 |
| 04-DG, 05-DG, 06-DG | frei | frei | +/- | 2583333 |
| DG-07 | frei | frei | +/- | 186174 |
| DG-18.1, DG-18.3, DG-18.5 | frei | frei | +/- | 2480000 |
| W-058 | frei | frei | +/- | 2583333 |

### Koordinaten

| Position | x [m] | y [m] |
|---|---|---|
| 02-DG | 26.21 | 11.91 |
| | 31.31 | 11.91 |
| 03-DG | 31.31 | 17.15 |
| | 26.21 | 17.15 |
| 04-DG | 27.96 | 13.35 |
| | 29.81 | 13.35 |
| 05-DG | 27.96 | 15.40 |
| | 27.96 | 13.35 |
| 06-DG | 29.81 | 13.35 |
| | 29.81 | 15.40 |
| DG-07 | 31.31 | 17.15 |
| | 31.31 | 11.91 |
| DG-18.1 | 26.21 | 17.15 |
| | 26.21 | 16.35 |
| DG-18.3 | 26.21 | 15.34 |
| | 26.21 | 13.72 |
| DG-18.5 | 26.21 | 12.71 |
| | 26.21 | 11.91 |
| W-058 | 29.81 | 15.40 |
| | 29.33 | 15.40 |



durch Vergleichsrechnung geprüft

## Material

Materialkennwerte

### Stahlbeton
DIN EN 1992-1-1

| Position | Material | Wichte [kN/m³] | $E_{cm}$ G [N/mm²] | $f_{ck}$ $f_{ctm}$ [N/mm²] |
|---|---|---|---|---|
| 02-DG, 03-DG, 04-DG, 05-DG, 06-DG, D-009, DG-18.1, DG-18.3, DG-18.5, W-058 | C 25/30 Q | 25.00 | 31000 | 25.00 |
| | | | 12900 | 2.60 |

Q: Gesteinskörnung Quarzit

### Betonstahl
DIN EN 1992-1-1

| Position | Material | Wichte [kN/m³] | $E_s$ G [N/mm²] | $f_{yk}$ $f_{tk,cal}$ [N/mm²] |
|---|---|---|---|---|
| 02-DG, 03-DG, 04-DG, 05-DG, 06-DG, D-009, DG-18.1, DG-18.3, DG-18.5, W-058 | B 500MA | 78.50 | 200000 | 500.00 |
| | | | 77000 | 525.00 |
| D-009 | B 500SA | 78.50 | 200000 | 500.00 |
| | | | 77000 | 525.00 |

### Mauerwerk
DIN EN 1996-1-1

| Position | Material | Wichte Dichte [kN/m³] [kg/dm³] | E G [N/mm²] | $f_k$ [N/mm²] |
|---|---|---|---|---|
| DG-07 | Z-17.1-844-I 2 DM | 5.50 | 1520 | 1.60 |
| | | 0.45 | 608 | |

## Auswertung

Geometrische Auswertung der Positionen

## Flächen

Flächenförmige Bauteil-Positionen

### Stahlbeton

| Position | Dicke [cm] | Fläche [m²] | Volumen [m³] |
|---|---|---|---|
| D-009 | 20.0 | 26.74 | 5.35 |

### Wandlager

Wände der Wandlager-Positionen

### Stahlbeton

| Position | Dicke [cm] | Höhe [cm] | Fläche [m²] | Volumen [m³] |
|---|---|---|---|---|
| 02-DG, 03-DG | 24.0 | 300.0 | 15.31 | 3.67 |
| 04-DG | 25.0 | 300.0 | 5.55 | 1.39 |
| 05-DG, 06-DG | 25.0 | 300.0 | 6.15 | 1.54 |
| DG-18.1 | 24.0 | 300.0 | 2.40 | 0.58 |
| DG-18.3 | 24.0 | 300.0 | 4.86 | 1.17 |
| DG-18.5 | 24.0 | 300.0 | 2.40 | 0.58 |
| W-058 | 25.0 | 300.0 | 1.42 | 0.36 |

### Mauerwerk

| Position | Dicke [cm] | Höhe [cm] | Fläche [m²] | Volumen [m³] |
|---|---|---|---|---|
| DG-07 | 36.5 | 298.0 | 15.62 | 5.70 |

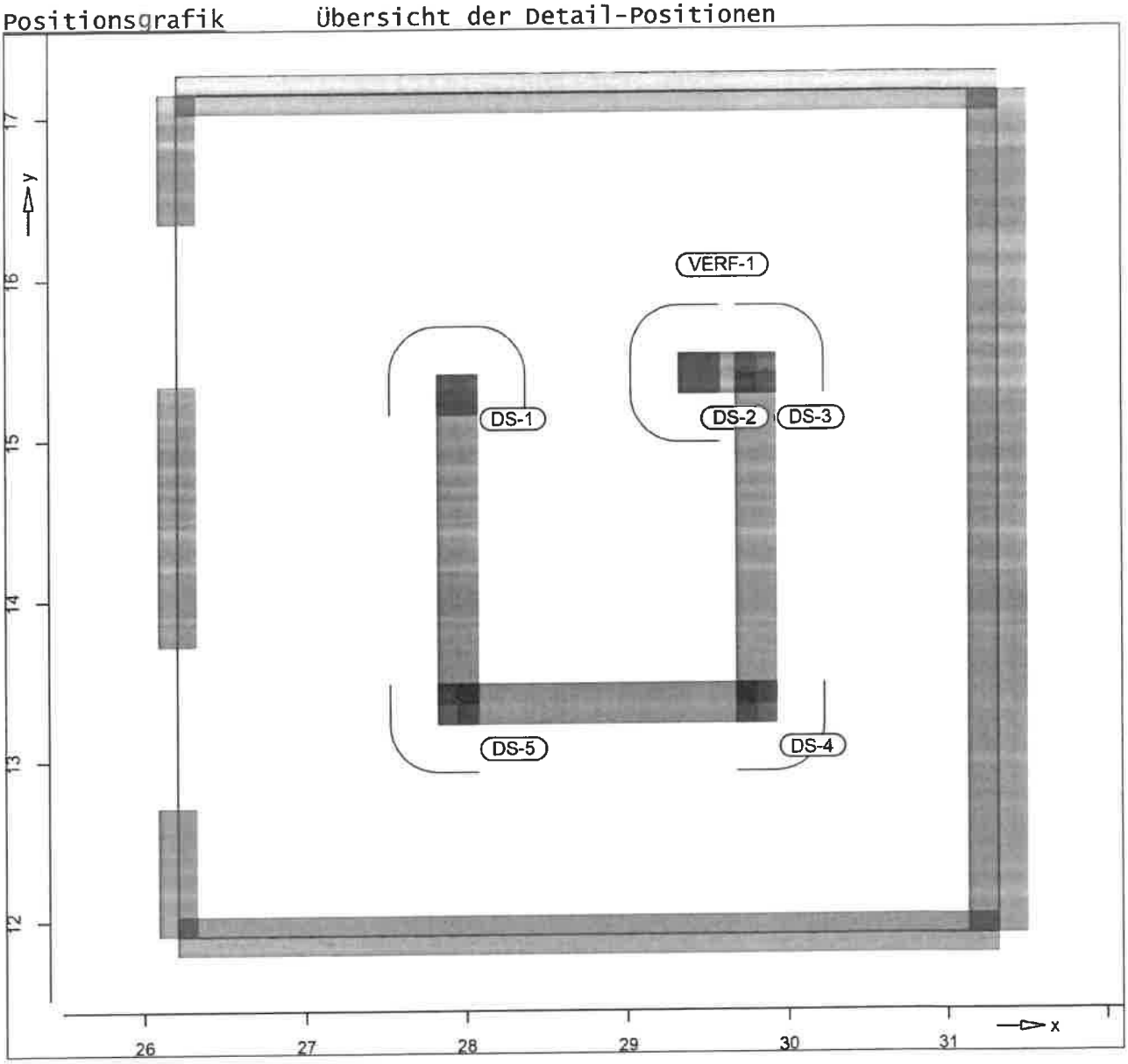


durch Vergleichsrechnung geprüft

Detailplan — Detailplan

Details — Detail-Positionen

Positionsgrafik — Übersicht der Detail-Positionen




Verf.nachw.bereiche

| Position | zul.$f_\infty$ [cm] | zul.$f_\infty$-$f_0$ [cm] |
|---|---|---|
| VERF-1 | 0.7 | 0.3 |

Koordinaten

| Position | x [m] | y [m] |
|---|---|---|
| VERF-1 | 26.21 | 17.15 |
| | 31.31 | 17.15 |
| | 31.31 | 11.91 |
| | 26.21 | 11.91 |

Durchstanzstellen



durch Vergleichsrechnung geprüft

| Position | Lel von | MinBew | Rundsch | beta |
|---|---|---|---|---|
| DS-1 | unten | ja | nein | 1.35 |
| DS-2 | unten | ja | nein | 1.35 |
| DS-3 | unten | ja | nein | 1.20 |
| DS-4 | unten | ja | nein | 1.20 |
| DS-5 | unten | ja | nein | 1.20 |

unten: Lasteinleitung erfolgt von unten
MinBew: Mindestbewehrung nach NCI Zu 9.4.3(2)?
Rundsch: Rundschnitt am Rand erweitern?

## Geometrie

Geometrie der Lasteinleitungsfläche

| Position | Typ | Winkel2 [°] | Winkel [°] | Breite [cm] | Länge [cm] |
|---|---|---|---|---|---|
| DS-1 | We | | 270.00 | 25.0 | 25.0 |
| DS-2 | We | | 0.00 | 25.0 | 25.0 |
| DS-3 | Wk | 180.00 | 270.00 | 25.0 | 25.0 |
| DS-4 | Wk | 180.00 | 90.00 | 25.0 | 25.0 |
| DS-5 | Wk | 0.00 | 90.00 | 25.0 | 25.0 |

We: Wandende
Wk: Wandecke

## Koordinaten

| Position | X [m] | Y [m] |
|---|---|---|
| DS-1 | 27.96 | 15.40 |
| DS-2 | 29.33 | 15.40 |
| DS-3 | 29.81 | 15.40 |
| DS-4 | 29.81 | 13.35 |
| DS-5 | 27.96 | 13.35 |

## Belastungen



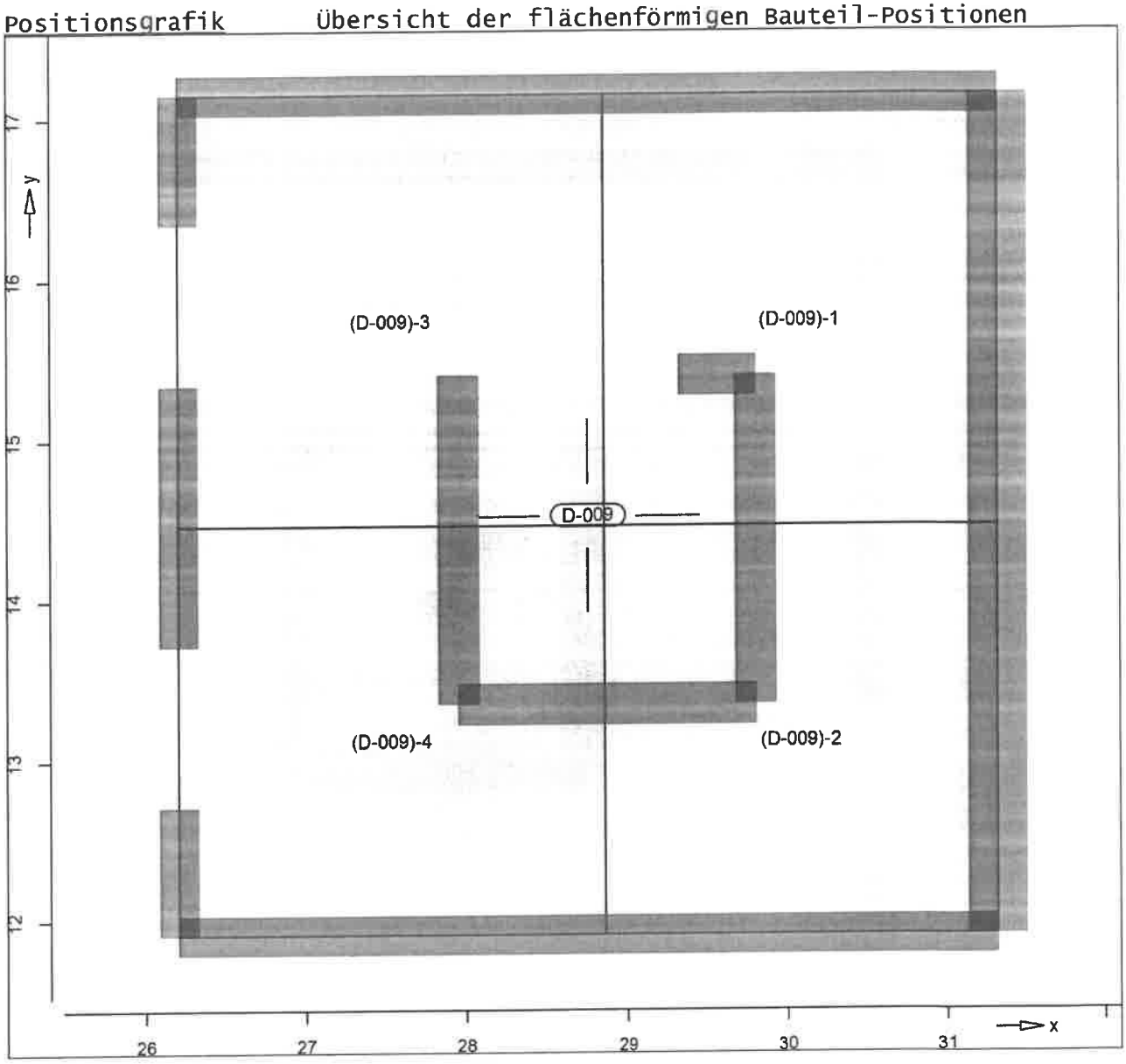
durch Vergleichsrechnung geprüft

Lastplan — Lasten des FE-Modells

Bauteillasten — Bauteilbezogene Lasten

Flächenpositionen — Flächenförmige Bauteil-Positionen

Positionsgrafik — Übersicht der flächenförmigen Bauteil-Positionen




Eigengewicht

| Position | EW | Lastfall | Art | g [kN/m²] |
|---|---|---|---|---|
| D-009 | Gk | LF-1 | PGr | 5.00 |

PGr: Gravitationslast; positive Lasten wirken senkrecht nach unten ✓

Sonstige ständige Last

| Position | EW | Lastfall | Art | g [kN/m²] |
|---|---|---|---|---|
| D-009 | Gk | LF-1 | PGr | 1.00 |

PGr: Gravitationslast; positive Lasten wirken senkrecht nach unten ✓



durch Vergleichsrechnung geprüft

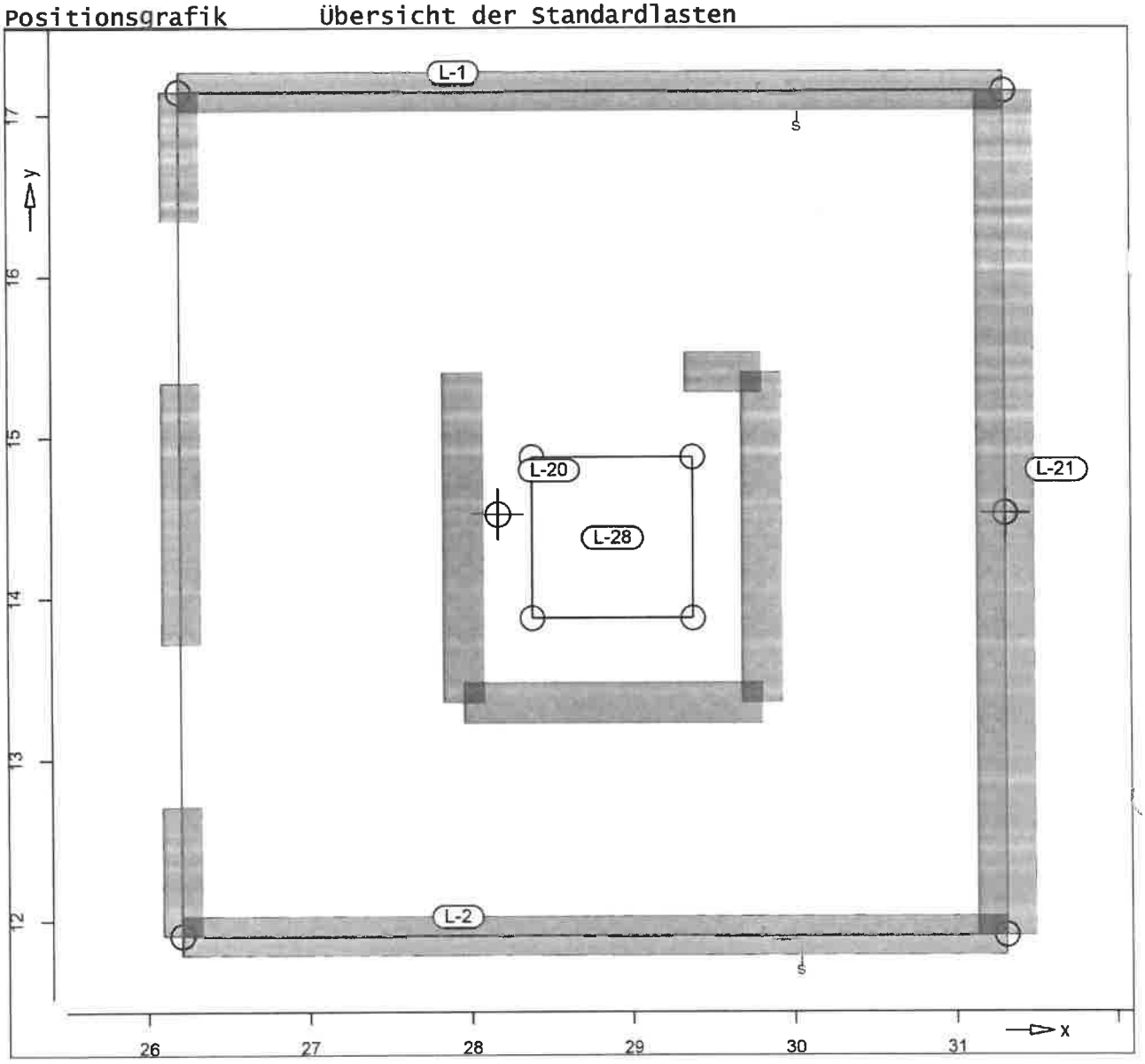
**Nutzlast**

| Position | EW | Lastfall je Lastfeld | Art | p [kN/m²] |
|---|---|---|---|---|
| D-009 | Qk.N | (D-009)-1..(D-009)-4 | PGr | 1.00 |

PGr: Gravitationslast; positive Lasten wirken senkrecht nach unten

**Standardlasten** Standardlasten im FE-Modell

**Positionsgrafik** Übersicht der Standardlasten




**Punktlasten**

| Position | EW | Lastfall | Art | P,M [kN],[kNm] |
|---|---|---|---|---|
| L-20 | *Punktlast* | | | |
| (a) | Gk | BS-Gk | PGr | 9.49 |
| (a) | Qk.N | BS-Qk.N | PGr | 2.15 |
| (a) | Qk.S | (Qk.S)-A | PGr | 4.53 |
| (a) | Qk.S | (Qk.S)-B | PGr | 3.39 |
| (a) | Qk.S | (Qk.S)-C | PGr | 3.39 |



durch Vergleichsrechnung geprüft

| | Position | EW | Lastfall | Art | P,M [kN],[kNm] |
|---|---|---|---|---|---|
| (a) | | Qk.W | (Qk.W)-000 | PGr | -0.16 |
| (a) | | Qk.W | (Qk.W)-090 | PGr | -3.95 |
| (a) | | Qk.W | (Qk.W)-180 | PGr | -0.16 |
| (a) | | Qk.W | (Qk.W)-270 | PGr | -2.49 |
| | L-21 | *Punktlast* | | | |
| (b) | | Gk | BS-Gk | PGr | 1.43 |
| (b) | | Qk.N | BS-Qk.N | PGr | 0.39 |
| (b) | | Qk.S | (Qk.S)-A | PGr | 0.66 |
| (b) | | Qk.S | (Qk.S)-B | PGr | 0.50 |
| (b) | | Qk.S | (Qk.S)-C | PGr | 0.50 |
| (b) | | Qk.W | (Qk.W)-000 | PGr | -0.19 |
| (b) | | Qk.W | (Qk.W)-090 | PGr | 1.82 |
| (b) | | Qk.W | (Qk.W)-180 | PGr | -0.19 |
| (b) | | Qk.W | (Qk.W)-270 | PGr | 0.86 |

PGr: Gravitationslast; positive Lasten wirken senkrecht nach unten

(a) aus Pos. '1.04', Lager 'E'

(b) aus Pos. '1.04', Lager 'F'

Linienlasten

| | Position | EW | Lastfall | Art | $p_A, m_A$ [kN/m],[kNm/m] | $p_E, m_E$ |
|---|---|---|---|---|---|---|
| | L-1 | *Linienlast* | | | | |
| (a) | | Gk | BS-Gk | pGr | 1.85 | 1.85 |
| (a) | | Qk.N | BS-Qk.N | pGr | 0.40 | 0.40 |
| (a) | | Qk.S | BS-Qk.S | pGr | 1.09 | 1.09 |
| | L-2 | *Linienlast* | | | | |
| (a) | | Gk | BS-Gk | pGr | 1.85 | 1.85 |
| (a) | | Qk.N | BS-Qk.N | pGr | 0.40 | 0.40 |
| (a) | | Qk.S | BS-Qk.S | pGr | 1.09 | 1.09 |

pGr: Gravitationslast; positive Lasten wirken senkrecht nach unten

(a) aus Pos. '2.02', Lager 'A'

Gleichflächenlasten

| Position | EW | Lastfall | Art | p [kN/m²] |
|---|---|---|---|---|
| L-28 | *Flächenlast* | | | |
| | Qk.N | #SE-LF-2 | PGr | 20.00 |

PGr: Gravitationslast; positive Lasten wirken senkrecht nach unten

Einwirkungen

DIN EN 1990

Einwirkungen nach DIN EN 1990

| Kürzel | Beschreibung<br>Typisierung |
|---|---|
| Gk | Eigenlasten<br>Ständige Einwirkungen |
| Qk.N | Nutzlasten<br>Kategorie A - Wohn- und Aufenthaltsräume |
| Qk.S | Schnee<br>Schnee- und Eislasten für Orte bis NN + 1000 m |
| Qk.W | Wind<br>Windlasten |

Lastfälle

Lastfälle und deren Zuordnung zu den Einwirkungen

| | |
|---|---|
| Gk | LF-1, BS-Gk |
| Qk.N | BS-Qk.N, (D-009)-1, (D-009)-2, (D-009)-3, (D-009)- |



durch Vergleichsrechnung geprüft

| | |
|---|---|
| | 4, #SE-LF-2 |
| Qk.S | BS-Qk.S |
| | *LG-(Qk.S)* ((Qk.S)-A, (Qk.S)-B, (Qk.S)-C) |
| Qk.W | (Qk.W)-000, (Qk.W)-090, (Qk.W)-180, (Qk.W)-270 |

## Bemessung (GZT+GZG)

**Biegung Pl-As-erf-Iso**
**D-009**

Plattenbiegebemessung nach DIN EN 1992-1-1

Bemessung für Platte (Stahlbeton) D-009

**Mat./Querschnitt**

Beton *C 25/30*
Gesteinskörnung Quarzit
Betonstahl *B 500MA*

Dicke konstant h = 20.00 cm

**Expositionsklasse**

gemäß DIN EN 1992-1-1, Tab. 4.1

| Position | Seite | Kl | Kommentar |
|---|---|---|---|
| D-009 | umlaufend | XC1 | trocken oder ständig nass |

**Bewehrung**

Vorgaben zur Bewehrungsdefinition

| | | | | |
|---|---|---|---|---|
| Betondeckung | $c_{min,u}/c_{min,o}$ = | 10/ | 10 | mm |
| | $\Delta c_{def,u}/\Delta c_{def,o}$ = | 10/ | 10 | mm |
| | $c_{nom,u}/c_{nom,o}$ = | 20/ | 20 | mm |
| Bewehrungsabstand | $d'_{ru/su}$ = | 24/ | 31 | mm |
| | $d'_{ro/so}$ = | 24/ | 31 | mm |
| Bewehrungsrichtung | $w_{ru/su}$ = | 0.0/ | 90.0 | ° |
| | $w_{ro/so}$ = | 0.0/ | 90.0 | ° |

**Grundbewehrung**

| Seite | | Matte, Stäbe Ø[mm]/s[cm] | $d'_r$ [mm] | $a_{sg,r}$ [cm²/m] | $d'_s$ [mm] | $a_{sg,s}$ [cm²/m] |
|---|---|---|---|---|---|---|
| Unten | r | Q 257A | 24 | 2.57 | 31 | 2.57 |
| Oben | r | Q 257A | 24 | 2.57 | 31 | 2.57 |

**Nachweisparameter**

nach DIN EN 1992-1-1

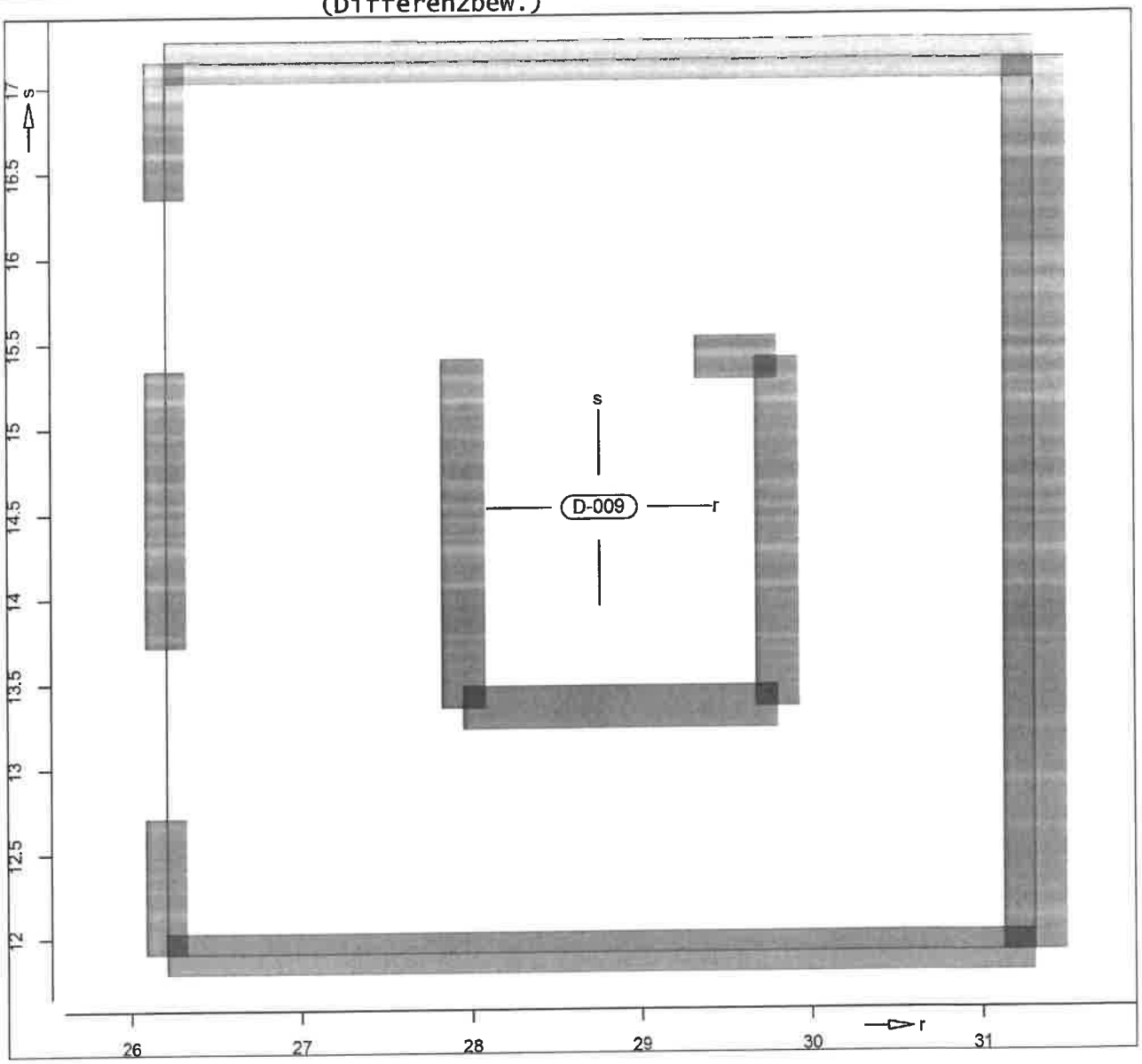
Mindestbewehrung (9.2.1.1) wurde berücksichtigt.



durch Vergleichsrechnung geprüft

as,r,unten — Längsbewehrung in r-Richtung in unterer Lage

Erf. Bewehrung — Erforderliche untere Bewehrung as,ru [cm²/m] (Differenzbew.)




Isolinienstufen = 1.00 cm²/m

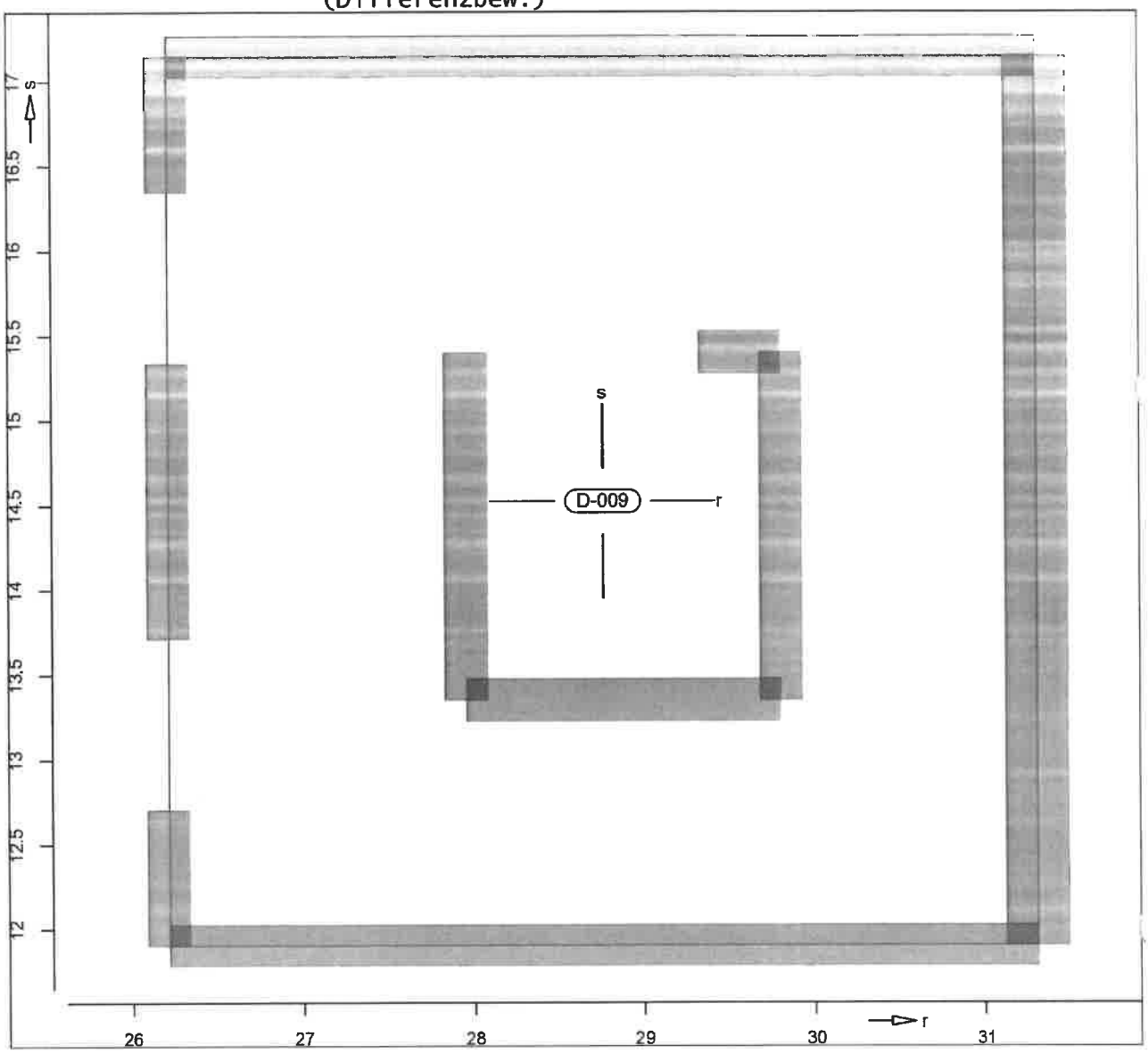
Achsabstand erf. Bewehrung: $d'_{ru}$ = 24 mm
Achsabstand vorh. Bewehrung: $d'_{ru}$ = 24 mm
Grundbewehrung: asg,ru = 2.57 cm²/m



durch Vergleichsrechnung geprüft

as,s,unten — Längsbewehrung in s-Richtung in unterer Lage

Erf. Bewehrung — Erforderliche untere Bewehrung as,su [cm²/m] (Differenzbew.)




Isolinienstufen = 1.00 cm²/m

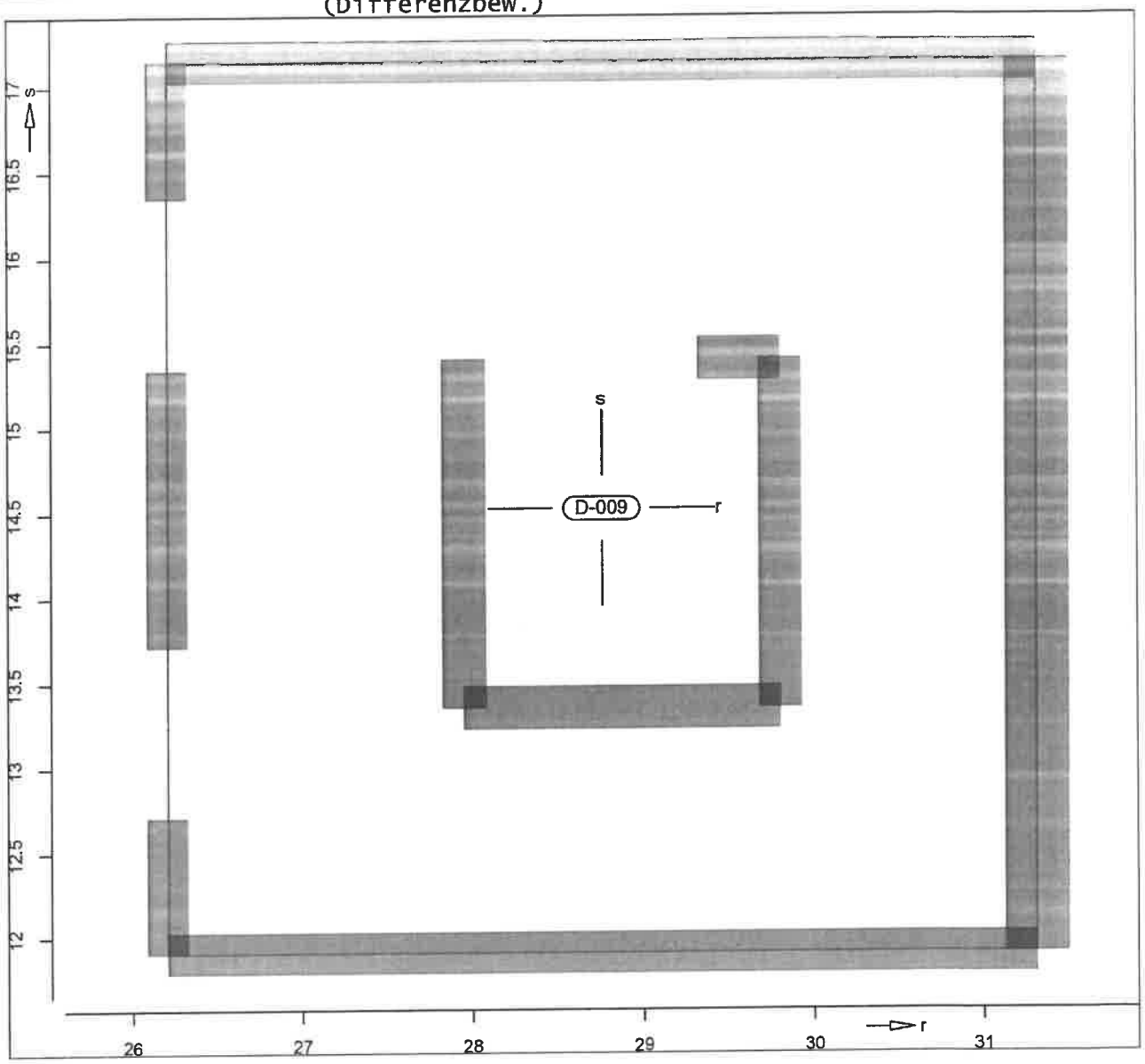
Achsabstand erf. Bewehrung: $d'_{su}$ = 31 mm
Achsabstand vorh. Bewehrung: $d'_{su}$ = 31 mm
Grundbewehrung: asg,su = 2.57 cm²/m



durch Vergleichsrechnung geprüft

as,r,oben — Längsbewehrung in r-Richtung in oberer Lage

Erf. Bewehrung — Erforderliche obere Bewehrung as,ro [cm²/m] (Differenzbew.)




Isolinienstufen = 1.00 cm²/m

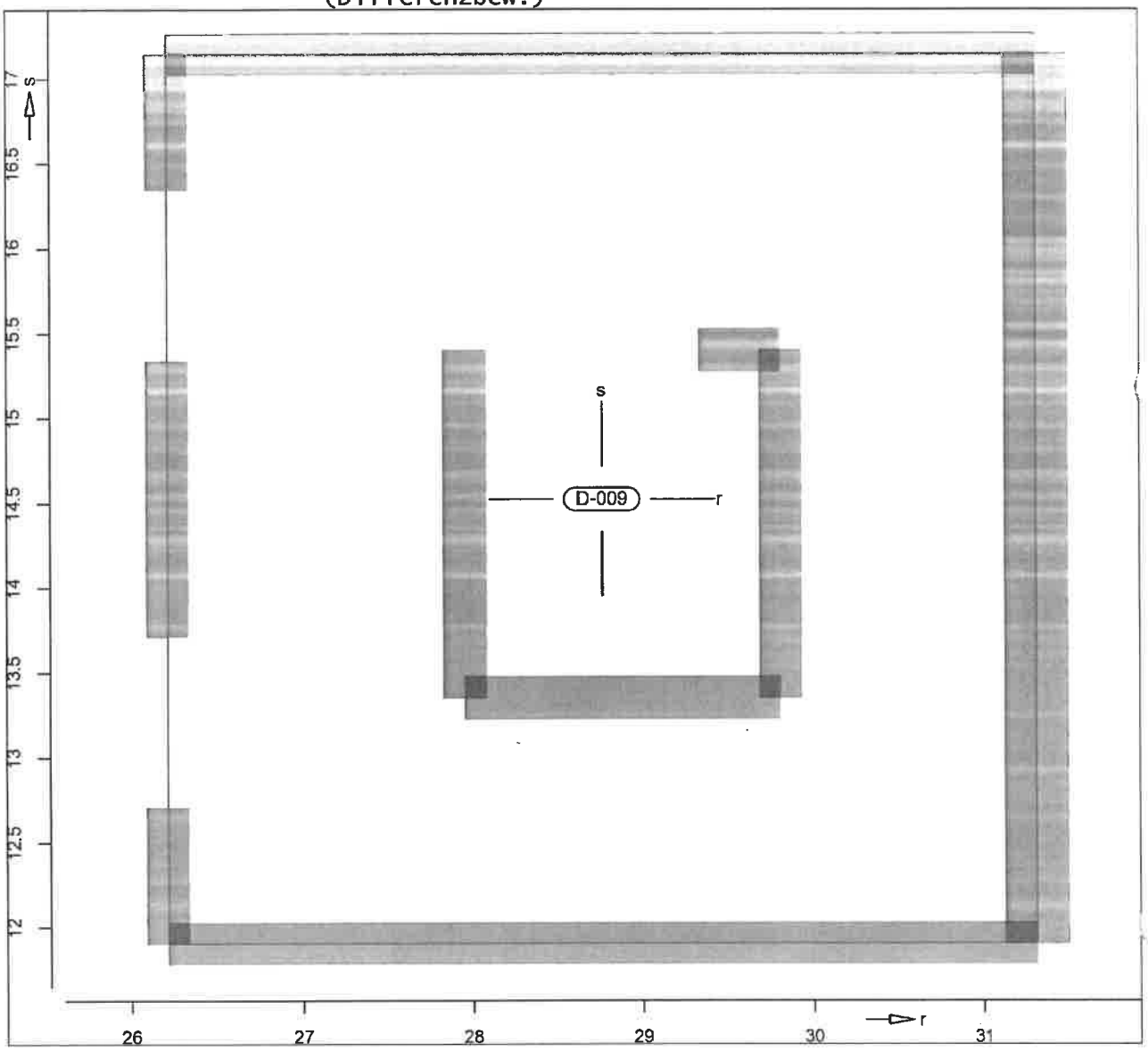
Achsabstand erf. Bewehrung: $d'_{ro}$ = 24 mm
Achsabstand vorh. Bewehrung: $d'_{ro}$ = 24 mm
Grundbewehrung: asg,ro = 2.57 cm²/m



durch Vergleichsrechnung geprüft

as,s,oben — Längsbewehrung in s-Richtung in oberer Lage

Erf. Bewehrung — Erforderliche obere Bewehrung as,so [cm²/m] (Differenzbew.)

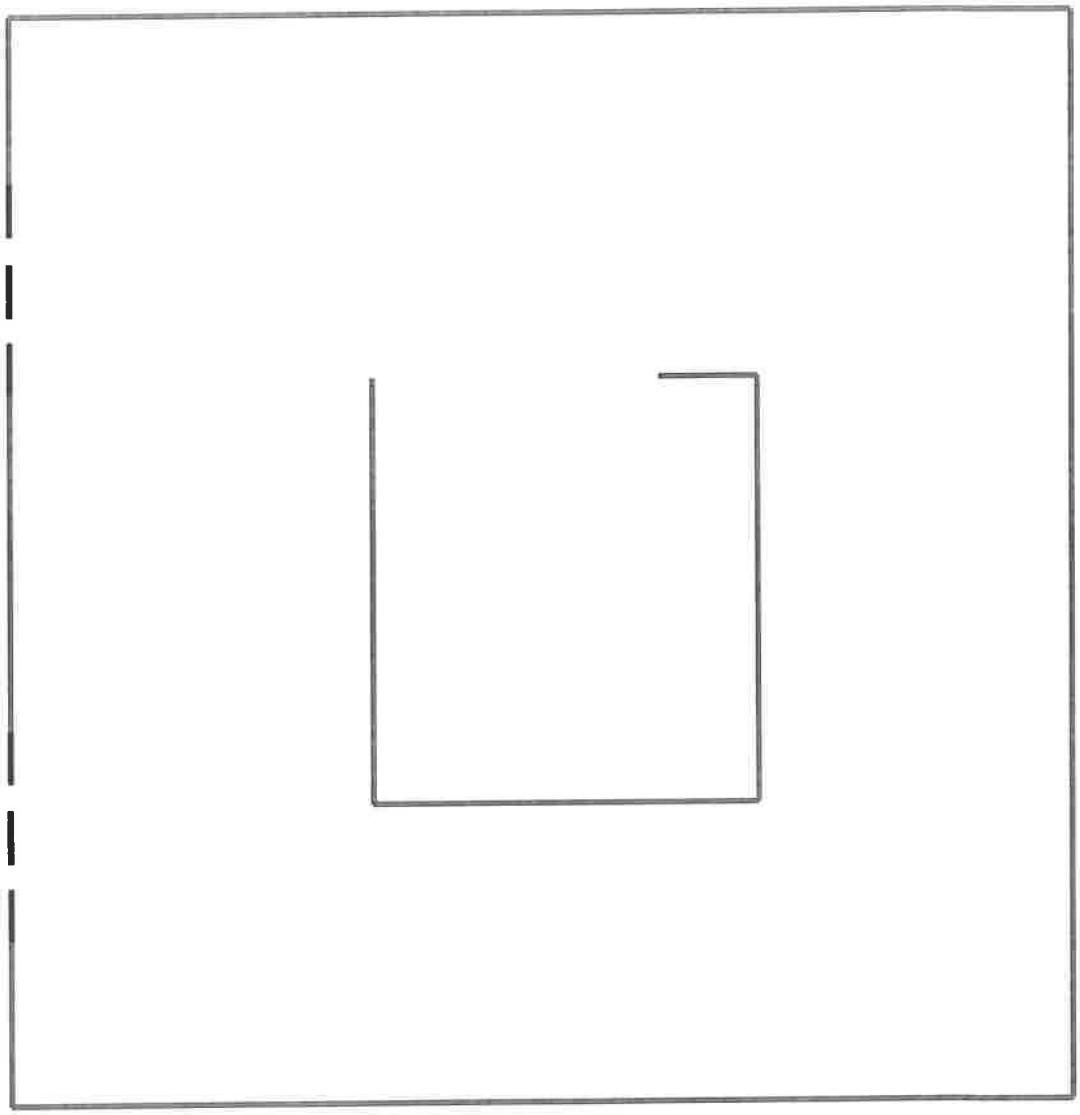



Isolinienstufen = 1.00 cm²/m

Achsabstand erf. Bewehrung: $d'_{so}$ = 31 mm
Achsabstand vorh. Bewehrung: $d'_{so}$ = 31 mm
Grundbewehrung: asg,so = 2.57 cm²/m



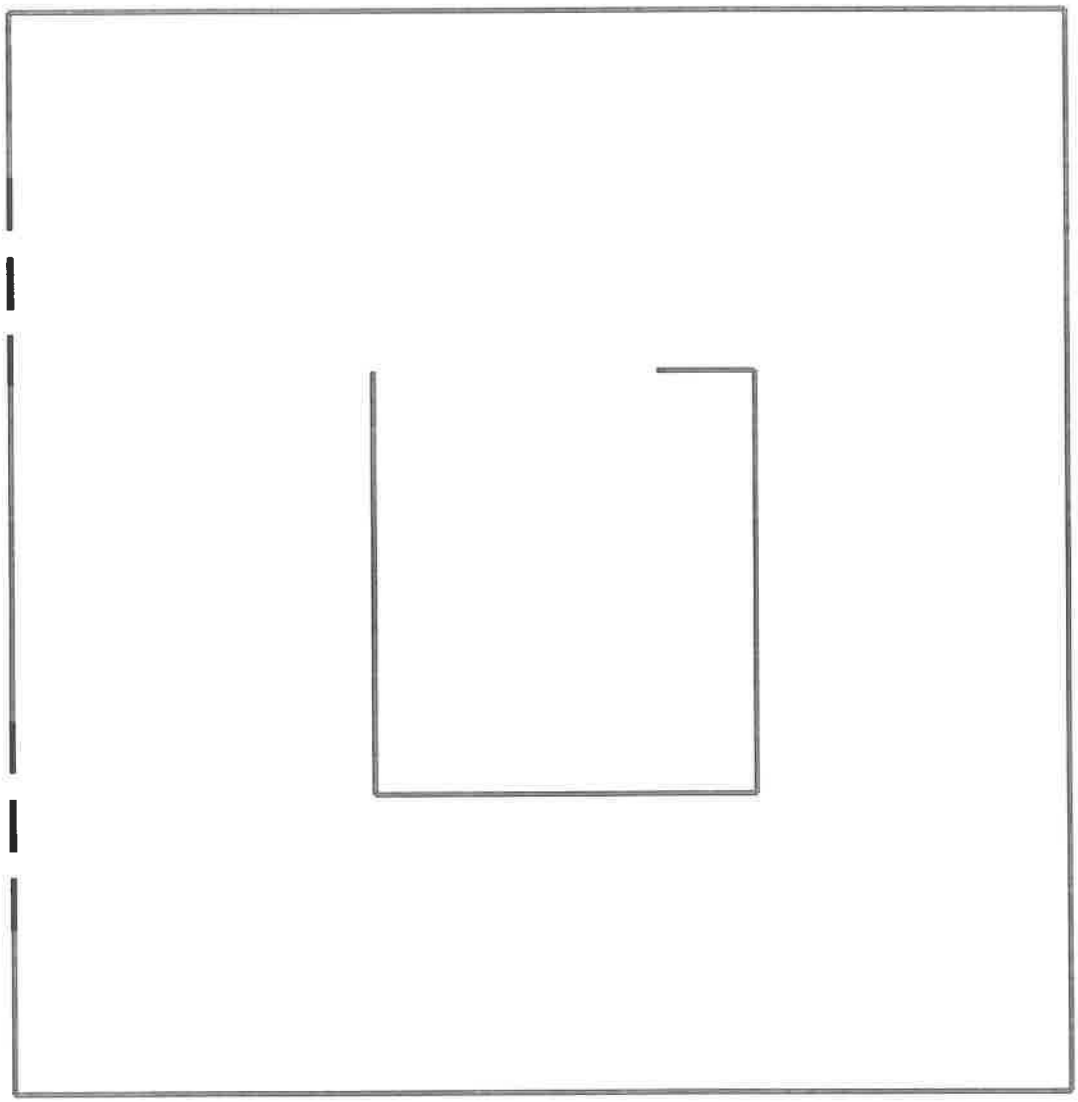
durch Vergleichsrechnung geprüft



| **Flächenbemessung** | Erforderliche Bewehrung as,erf (Differenzbewehrung) | Maßstab: 1:35 |
|---|---|---|
| r/s: Vorh. Bewehrung as,vorh = 2.57 / 2.57 (Grund+Zulagen) | | |
| Beton C 25/30 | aus allen Nachweisen | |
| r/s: Bew.-Abstand d' = 24 / 31 mm | Unterseite in [cm²/m] | |
| Bauteildicke h = 20.00 cm | r/s: Min = 0 / 0, Max = 0 / 0 | |



durch Vergleichsrechnung geprüft



| **Flächenbemessung** | Erforderliche Bewehrung as,erf (Differenzbewehrung) | Maßstab: 1:35 |
|---|---|---|
| r/s: Vorh. Bewehrung as,vorh = 2.57 / 2.57 (Grund+Zulagen) | | |
| Beton C 25/30 | aus allen Nachweisen | |
| r/s: Bew.-Abstand d' = 24 / 31 mm | Oberseite in [cm²/m] | |
| Bauteildicke h = 20.00 cm | r/s: Min = 0 / 0, Max = 0 / 0 | |



durch Vergleichsrechnung geprüft

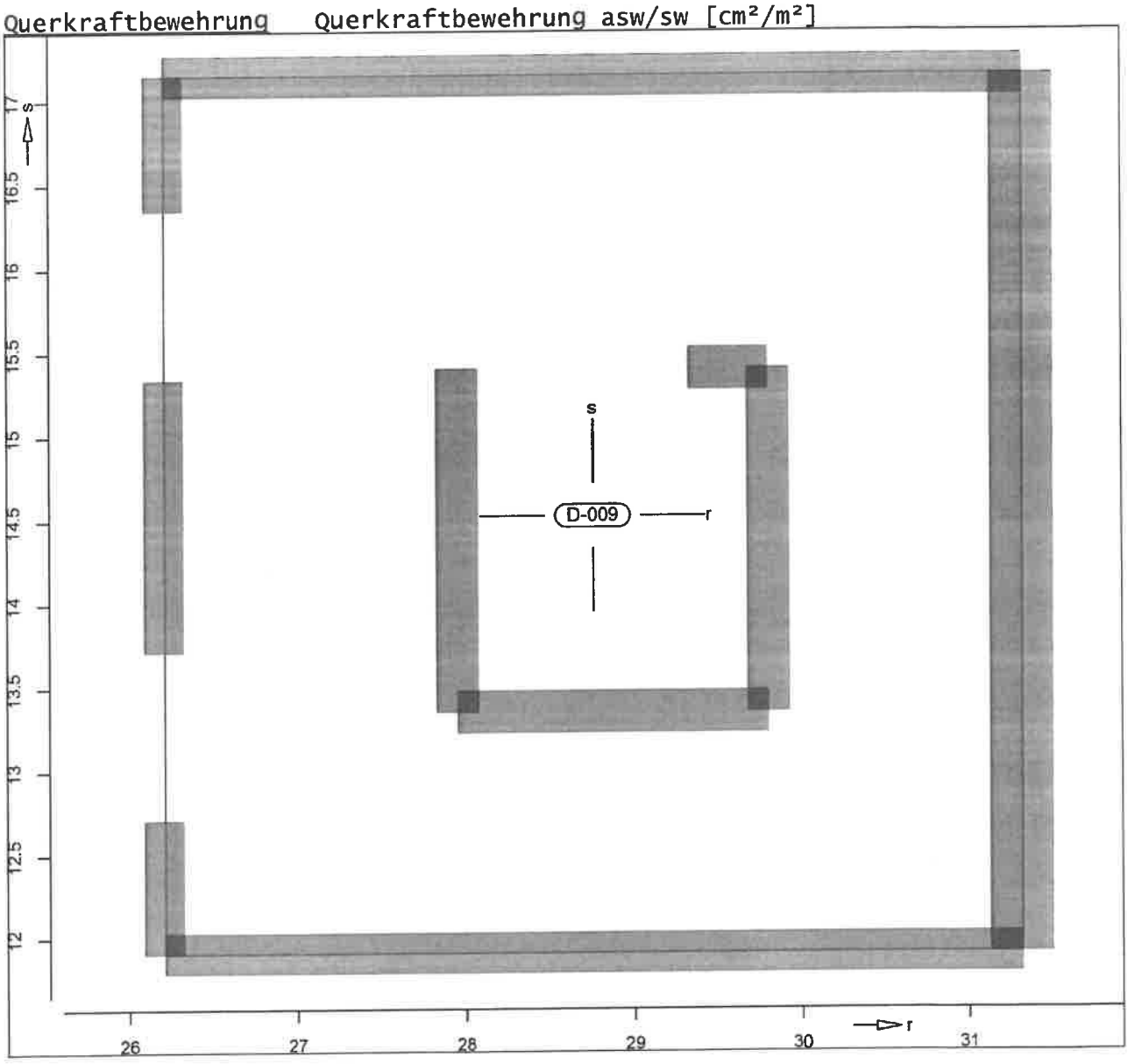
Querkraft Pl-As-Iso  Querkraftbemessung Plattenbereiche

D-009  Querkraftbemessung der Platte (Isolinien)

Querkraftbemessung nach DIN EN 1992-1-1
Beton C 25/30, Betonstahl B 500SA
Gesteinskörnung Quarzit
Druckstrebenneigung wurde vom Programm optimiert.
Mindestbewehrung (9.3.2) wurde nicht ermittelt.

Dicke konstant h = 20.00 cm

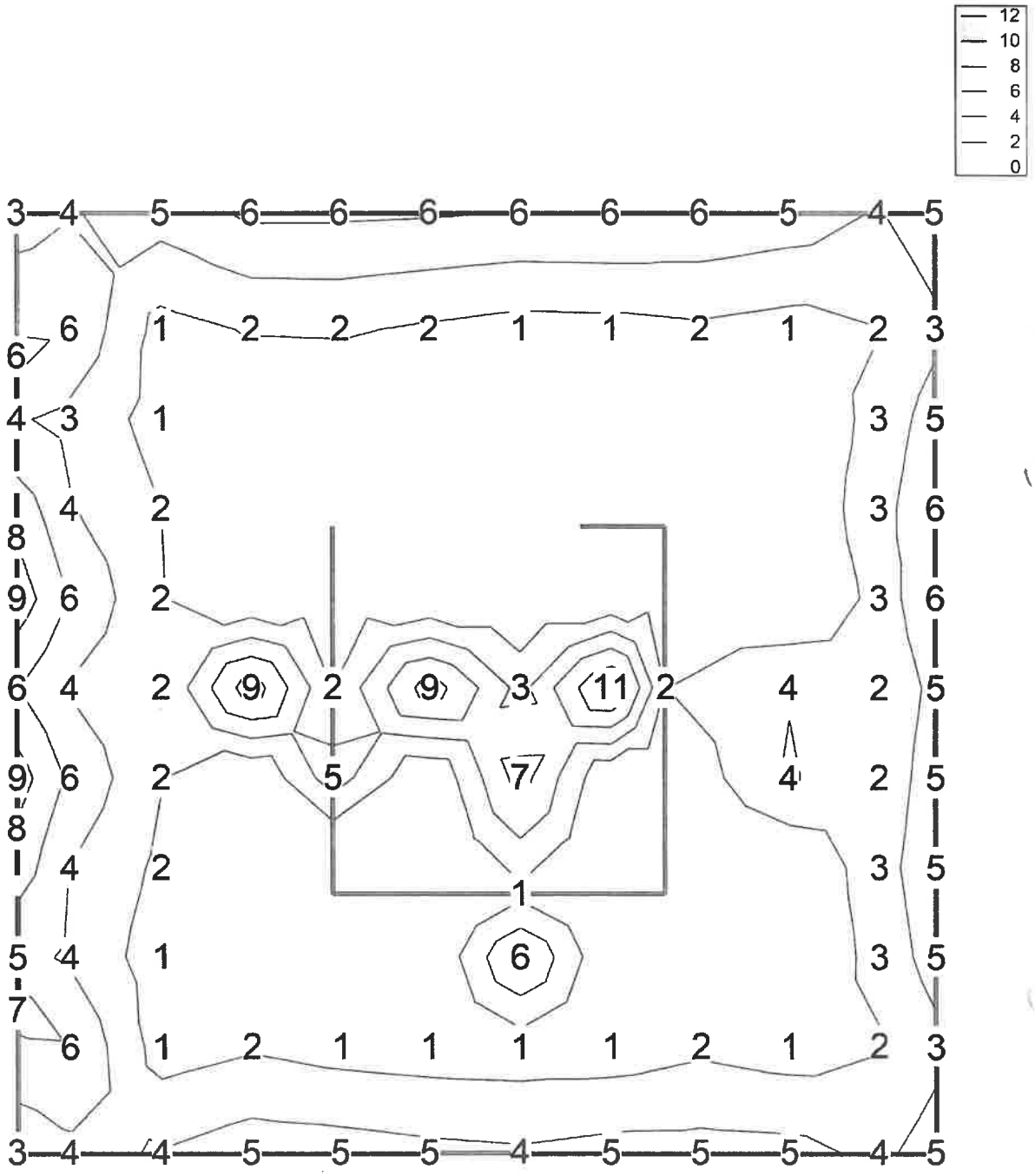
Querkraftbewehrung  Querkraftbewehrung asw/sw [cm²/m²]




Isolinienstufen = 1.00 cm²/m²



durch Vergleichsrechnung geprüft

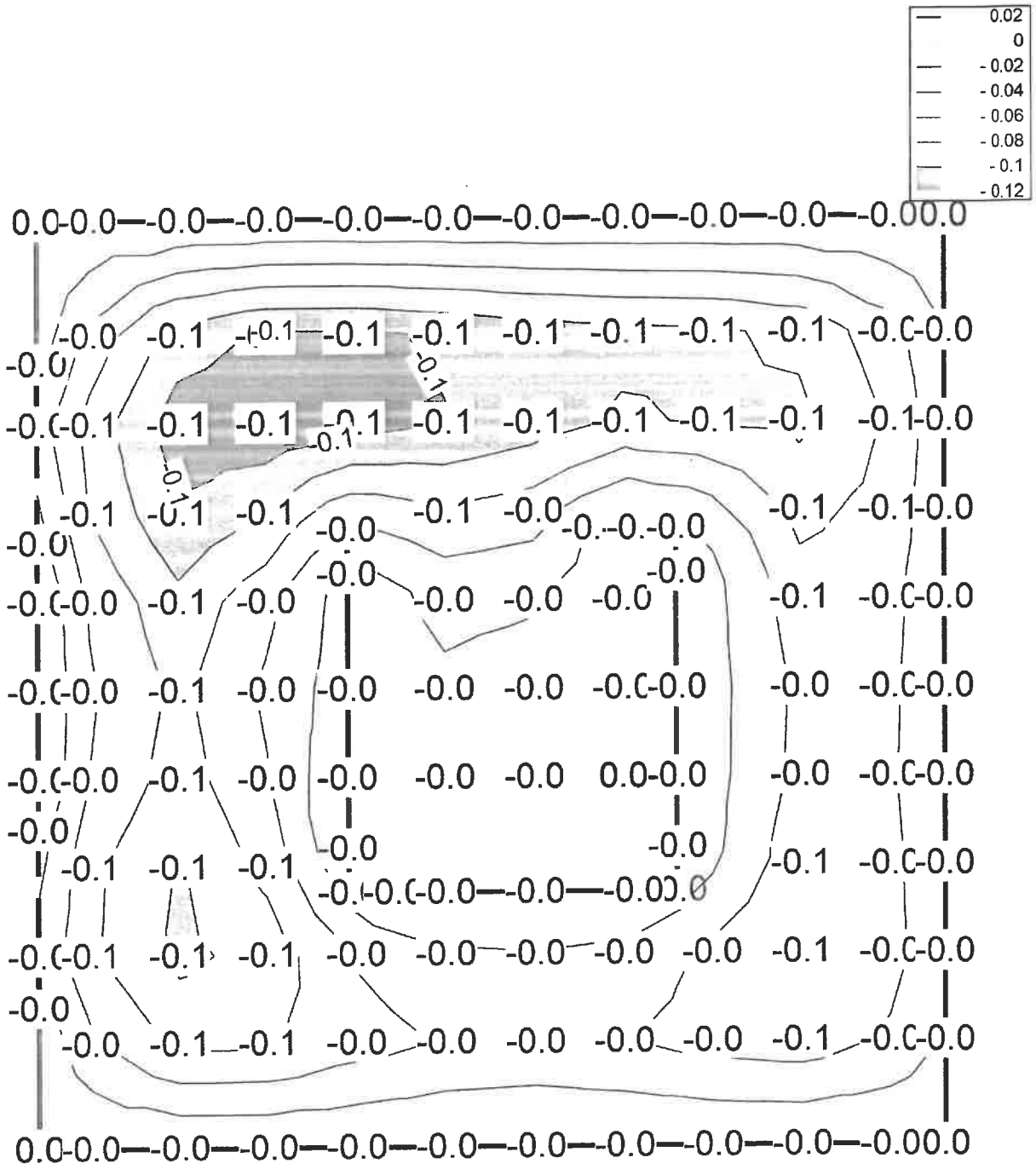



**Querkraftbemessung** Bemessungsquerkraft vEd,res aus Tragfähigkeitsnachweis in [kN/m] Maßstab: 1:35

Max = 11, Min = 0, Step = 2



durch Vergleichsrechnung geprüft

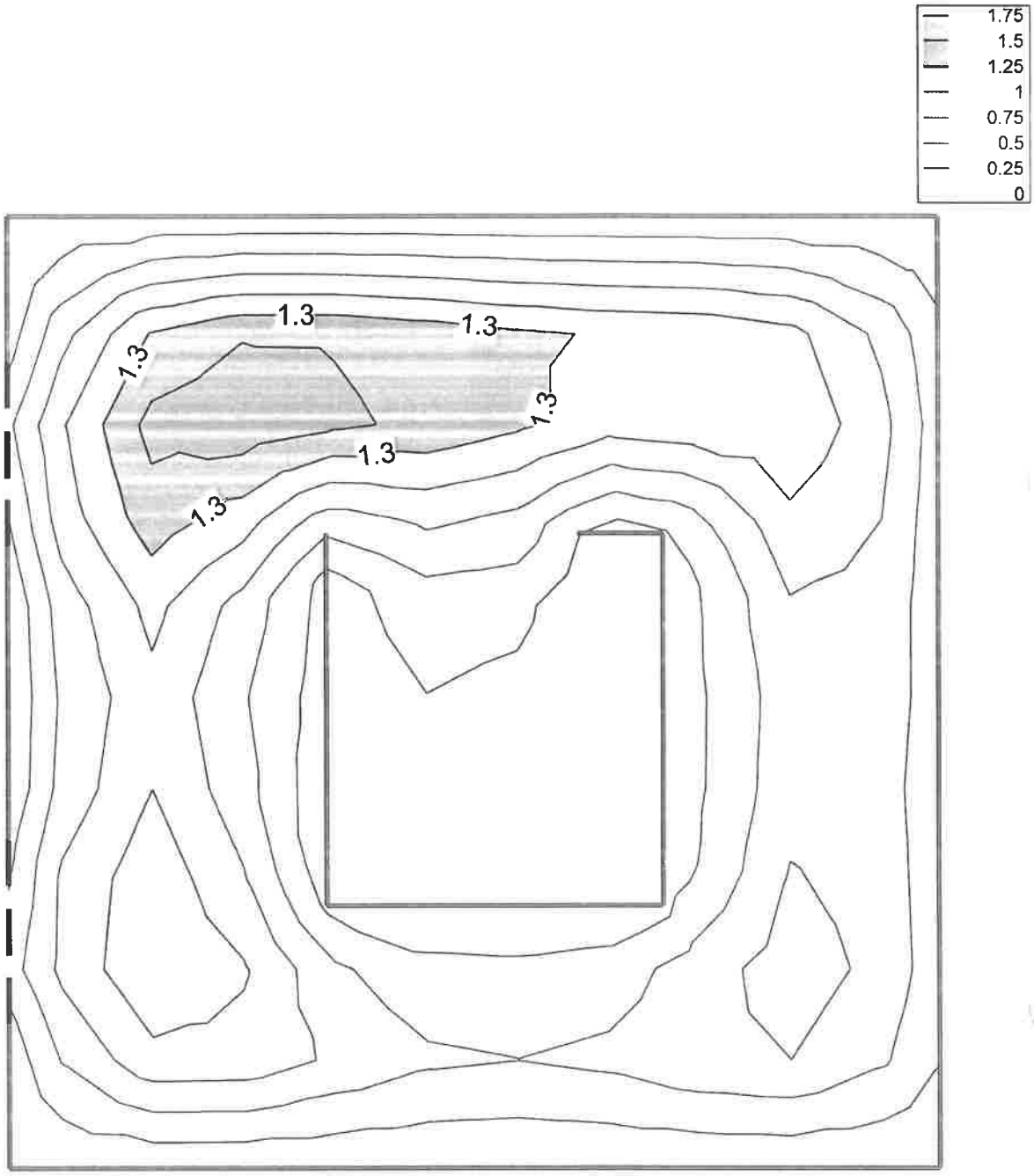



**Verformungsnachweis Zustand II** Endverformung f,oo im Zustand II in [mm] Maßstab: 1:35

Minimum aus Überlagerung über LKN
Max = 0.0 (Kn. 2), Min = -0.1 (Kn. 108), Step = 0.02



durch Vergleichsrechnung geprüft

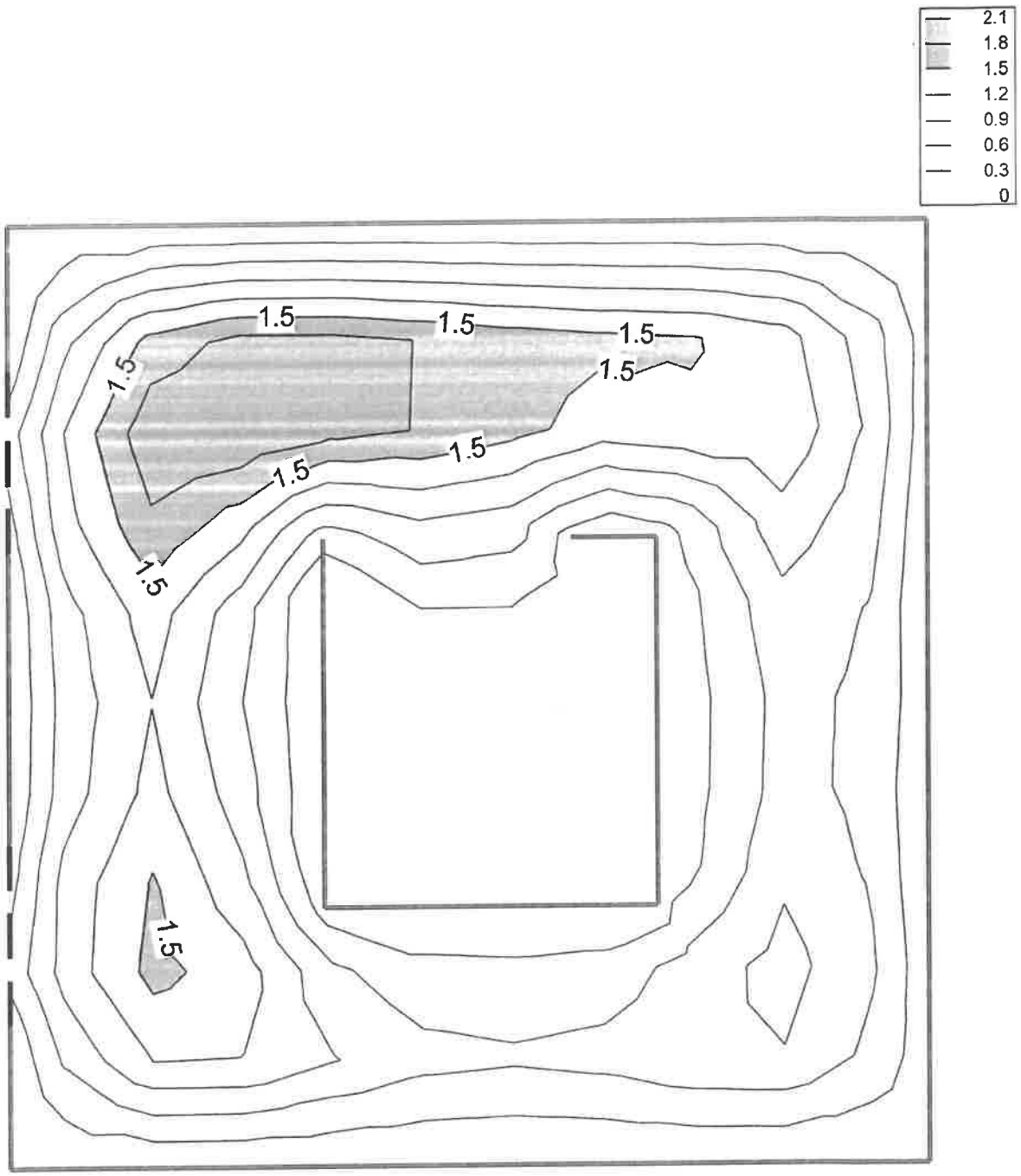



**Verformungsnachweis Zustand II** Ausnutzung der zulässigen Endverformung eta(f,oo) in [%] Maßstab: 1:35

Minimum aus Überlagerung über LKN
Max = 1.7 (Kn. 108), Min = 0 (Kn. 93), Step = 0.25



durch Vergleichsrechnung geprüft

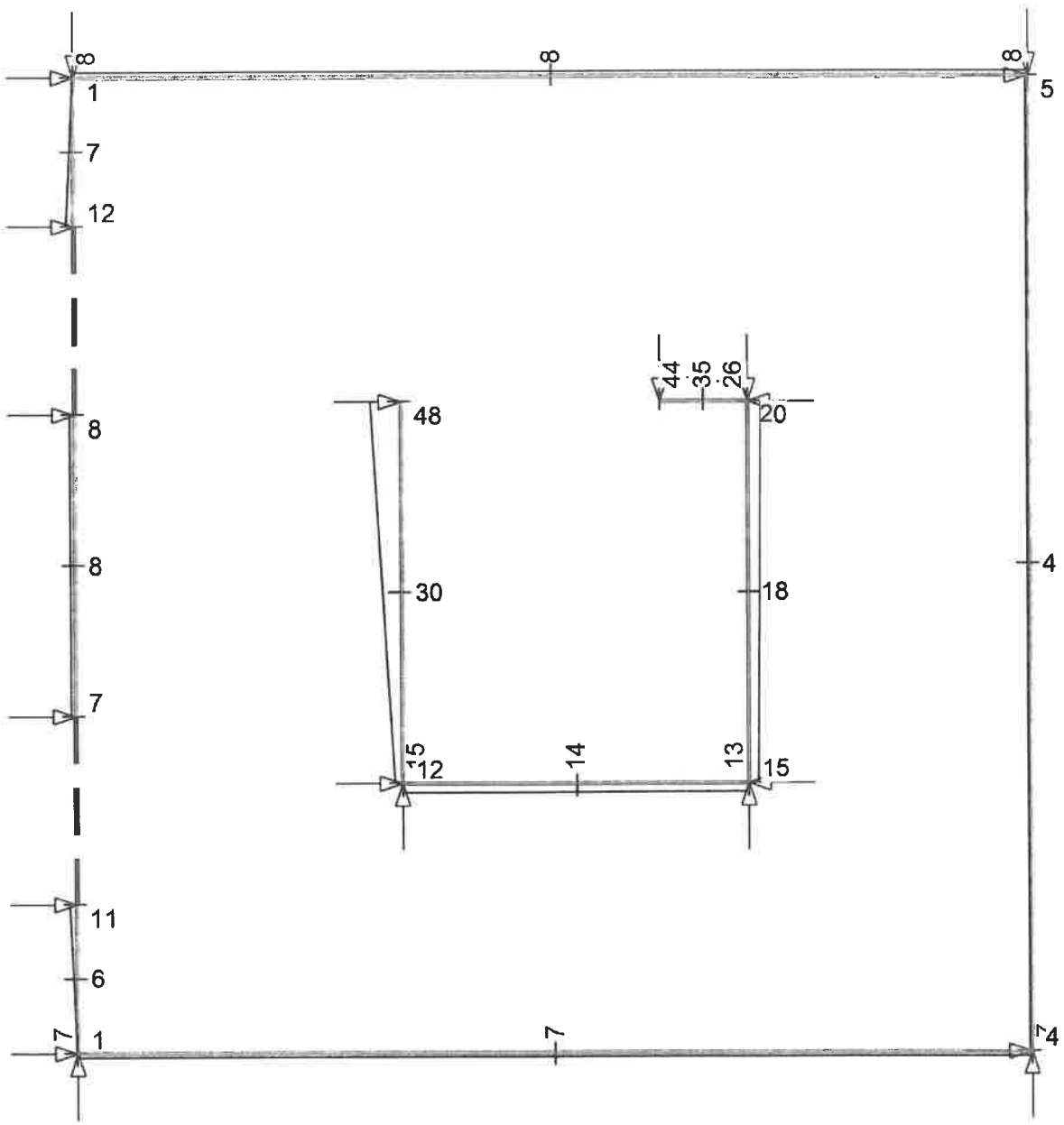



**Verformungsnachweis Zustand II** Ausnutzung der zul. Differenzverformung eta(f,oo-f,0) in [%] Maßstab: 1:35

Minimum aus Überlagerung über LKN
Max = 2.1 (Kn. 108), Min = 0 (Kn. 29), Step = 0.3



durch Vergleichsrechnung geprüft




| **Linienlagerergebnisse** | Lagerkraft in t-Richtung in [kN/m] | Maßstab: 1:35 |
|---|---|---|

lastkombinationsweise dargestellt
aus Lastkombination LK-1
Max = 48, Min = 1



durch Vergleichsrechnung geprüft

Linienlager-EW — Linienlagerkräfte einwirkungsweise

Linienlagerkräfte — Auflagerkräfte des Modells
- charakteristische Auflagerkräfte je Einwirkung
- min/max Überlagerung der Lastfälle je Einwirkung

Positionsgrafik — Übersicht der Linien- und Wandlager-Positionen

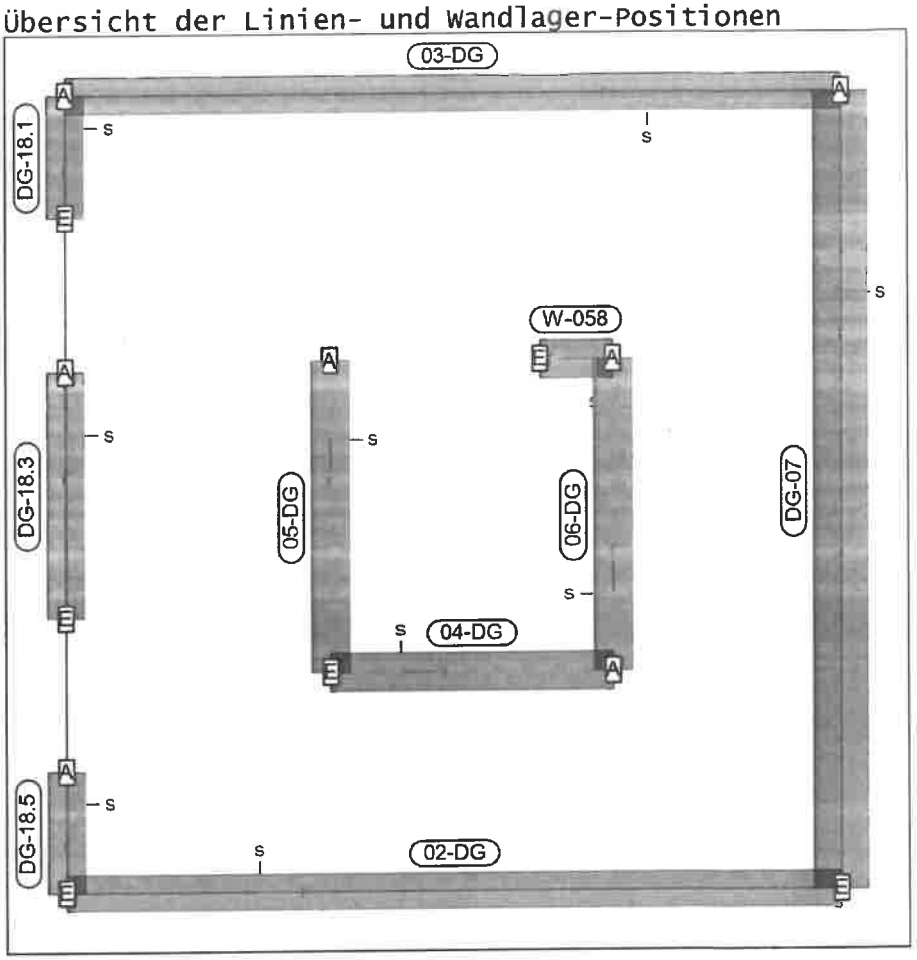



Tabelle — Tabellarische Ausgabe der Auflagerkräfte

lokal, F, t-Achse

| EW | $F_{t,A,min}$ / $F_{t,A,max}$ [kN/m] | $F_{t,M,min}$ / $F_{t,M,max}$ [kN/m] | $F_{t,E,min}$ / $F_{t,E,max}$ [kN/m] | $F_{t,min}$ / $F_{t,max}$ [kN] | $e_{min}$ / $e_{max}$ [m] |
|---|---|---|---|---|---|
| 02-DG (*L = 5.10 m*) | | | | | |
| Gk | 5.03 | 5.25 | 5.48 | 26.80 | 0.04 |
| Qk.N | -0.17 | -0.17 | -0.18 | -0.89 | 0.02 |
| | 0.92 | 0.96 | 1.01 | 4.92 | 0.04 |
| Qk.S | -0.02 | -0.02 | -0.02 | -0.09 | 0.14 |
| | 1.03 | 1.06 | 1.10 | 5.42 | 0.03 |
| Qk.W | 0.00 | 0.00 | 0.00 | 0.00 | 0.00 |
| | 0.03 | 0.01 | -0.02 | 0.03 | -3.32 |
| 03-DG (*L = 5.10 m*) | | | | | |
| Gk | 6.04 | 5.91 | 5.78 | 30.16 | -0.02 |
| Qk.N | -0.09 | -0.08 | -0.06 | -0.39 | -0.14 |
| | 1.10 | 1.08 | 1.05 | 5.50 | -0.02 |
| Qk.S | -0.02 | -0.01 | -0.01 | -0.07 | -0.20 |

| | EW | $F_{t,A,min}$<br>$F_{t,A,max}$<br>[kN/m] | $F_{t,M,min}$<br>$F_{t,M,max}$<br>[kN/m] | $F_{t,E,min}$<br>$F_{t,E,max}$<br>[kN/m] | $F_{t,min}$<br>$F_{t,max}$<br>[kN] | $e_{min}$<br>$e_{max}$<br>[m] |
|---|---|---|---|---|---|---|
| | | 1.10 | 1.06 | 1.03 | 5.43 | -0.03 |
| | Qk.W | -0.02 | 0.00 | 0.02 | 0.00 | -73.77 |
| | | 0.00 | 0.00 | 0.00 | 0.01 | -1.10 |
| 04-DG | *(L = 1.85 m)* | | | | | |
| | Gk | 10.11 | 9.62 | 9.12 | 17.79 | -0.02 |
| | Qk.N | -0.09 | -0.09 | -0.09 | -0.16 | 0.01 |
| | | 4.46 | 4.46 | 4.47 | 8.26 | 0.00 |
| | Qk.S | 0.00 | 0.00 | 0.00 | 0.00 | 0.00 |
| | | 0.15 | 0.14 | 0.13 | 0.26 | -0.02 |
| | Qk.W | -0.12 | -0.18 | -0.24 | -0.33 | 0.10 |
| | | 0.00 | 0.00 | 0.01 | 0.00 | 1.12 |
| 05-DG | *(L = 2.05 m)* | | | | | |
| | Gk | 33.06 | 20.35 | 7.63 | 41.71 | -0.21 |
| | Qk.N | -0.03 | -0.03 | -0.04 | -0.07 | 0.06 |
| | | 12.31 | 7.88 | 3.44 | 16.15 | -0.19 |
| | Qk.S | 0.01 | 0.00 | -0.01 | -0.01 | 1.46 |
| | | 3.09 | 2.04 | 0.98 | 4.17 | -0.18 |
| | Qk.W | -2.78 | -1.81 | -0.84 | -3.71 | -0.18 |
| | | 0.00 | 0.00 | 0.00 | 0.00 | 0.00 |
| 06-DG | *(L = 2.05 m)* | | | | | |
| | Gk | 10.00 | 11.53 | 13.05 | 23.63 | 0.05 |
| | Qk.N | -0.08 | -0.02 | 0.04 | -0.04 | -1.14 |
| | | 4.78 | 5.52 | 6.27 | 11.32 | 0.05 |
| | Qk.S | -0.01 | -0.01 | -0.01 | -0.02 | 0.01 |
| | | 0.13 | 0.19 | 0.26 | 0.40 | 0.11 |
| | Qk.W | -0.02 | -0.02 | -0.03 | -0.05 | 0.10 |
| | | 0.07 | 0.08 | 0.09 | 0.15 | 0.05 |
| DG-07 | *(L = 5.24 m)* | | | | | |
| | Gk | 3.49 | 3.40 | 3.32 | 17.83 | -0.02 |
| | Qk.N | -0.25 | -0.25 | -0.24 | -1.29 | -0.02 |
| | | 0.63 | 0.61 | 0.59 | 3.18 | -0.03 |
| | Qk.S | 0.00 | 0.00 | 0.00 | 0.00 | 0.00 |
| | | 0.11 | 0.12 | 0.12 | 0.61 | 0.01 |
| | Qk.W | -0.04 | -0.04 | -0.04 | -0.19 | 0.00 |
| | | 0.35 | 0.35 | 0.35 | 1.83 | -0.01 |
| DG-18.1 | *(L = 0.80 m)* | | | | | |
| | Gk | 0.27 | 5.61 | 10.94 | 4.48 | 0.13 |
| | Qk.N | 0.07 | -0.11 | -0.29 | -0.09 | 0.21 |
| | | 0.07 | 0.96 | 1.85 | 0.77 | 0.12 |
| | Qk.S | 0.01 | -0.02 | -0.05 | -0.02 | 0.22 |
| | | 0.22 | 0.12 | 0.01 | 0.09 | -0.12 |
| | Qk.W | 0.00 | 0.00 | 0.00 | 0.00 | 0.00 |
| | | -0.01 | 0.02 | 0.05 | 0.02 | 0.22 |
| DG-18.3 | *(L = 1.62 m)* | | | | | |
| | Gk | 7.54 | 7.08 | 6.62 | 11.47 | -0.02 |
| | Qk.N | -0.56 | -0.57 | -0.58 | -0.92 | 0.00 |
| | | 1.31 | 1.22 | 1.13 | 1.98 | -0.02 |
| | Qk.S | -0.10 | -0.09 | -0.08 | -0.15 | -0.02 |
| | | 0.00 | 0.00 | 0.00 | 0.00 | 0.00 |
| | Qk.W | 0.00 | 0.00 | 0.00 | 0.00 | 0.00 |
| | | 0.09 | 0.08 | 0.07 | 0.13 | -0.03 |
| DG-18.5 | *(L =* | | | | | |



durch Vergleichsrechnung geprüft

| EW | $F_{t,A,min}$ $F_{t,A,max}$ [kN/m] | $F_{t,M,min}$ $F_{t,M,max}$ [kN/m] | $F_{t,E,min}$ $F_{t,E,max}$ [kN/m] | $F_{t,min}$ $F_{t,max}$ [kN] | $e_{min}$ $e_{max}$ [m] |
|---|---|---|---|---|---|
| *0.80 m)* | | | | | |
| Gk | 10.03 | 5.36 | 0.68 | 4.28 | -0.12 |
| Qk.N | -0.35 | -0.12 | 0.10 | -0.10 | -0.24 |
| | 1.71 | 0.92 | 0.14 | 0.74 | -0.11 |
| Qk.S | -0.05 | -0.02 | 0.01 | -0.01 | -0.24 |
| | 0.01 | 0.12 | 0.22 | 0.09 | 0.12 |
| Qk.W | 0.00 | 0.00 | 0.00 | 0.00 | 0.00 |
| | 0.04 | 0.02 | -0.01 | 0.01 | -0.24 |
| W-058 *(L = 0.47 m)* | | | | | |
| Gk | 23.52 | 25.43 | 27.35 | 12.08 | 0.01 |
| Qk.N | -0.03 | -0.17 | -0.31 | -0.08 | 0.06 |
| | 2.87 | 9.66 | 16.44 | 4.59 | 0.06 |
| Qk.S | 0.00 | 0.00 | 0.00 | 0.00 | 0.00 |
| | -0.09 | 0.41 | 0.90 | 0.19 | 0.10 |
| Qk.W | 0.20 | -0.54 | -1.27 | -0.25 | 0.11 |
| | 0.00 | 0.00 | 0.01 | 0.00 | 0.18 |

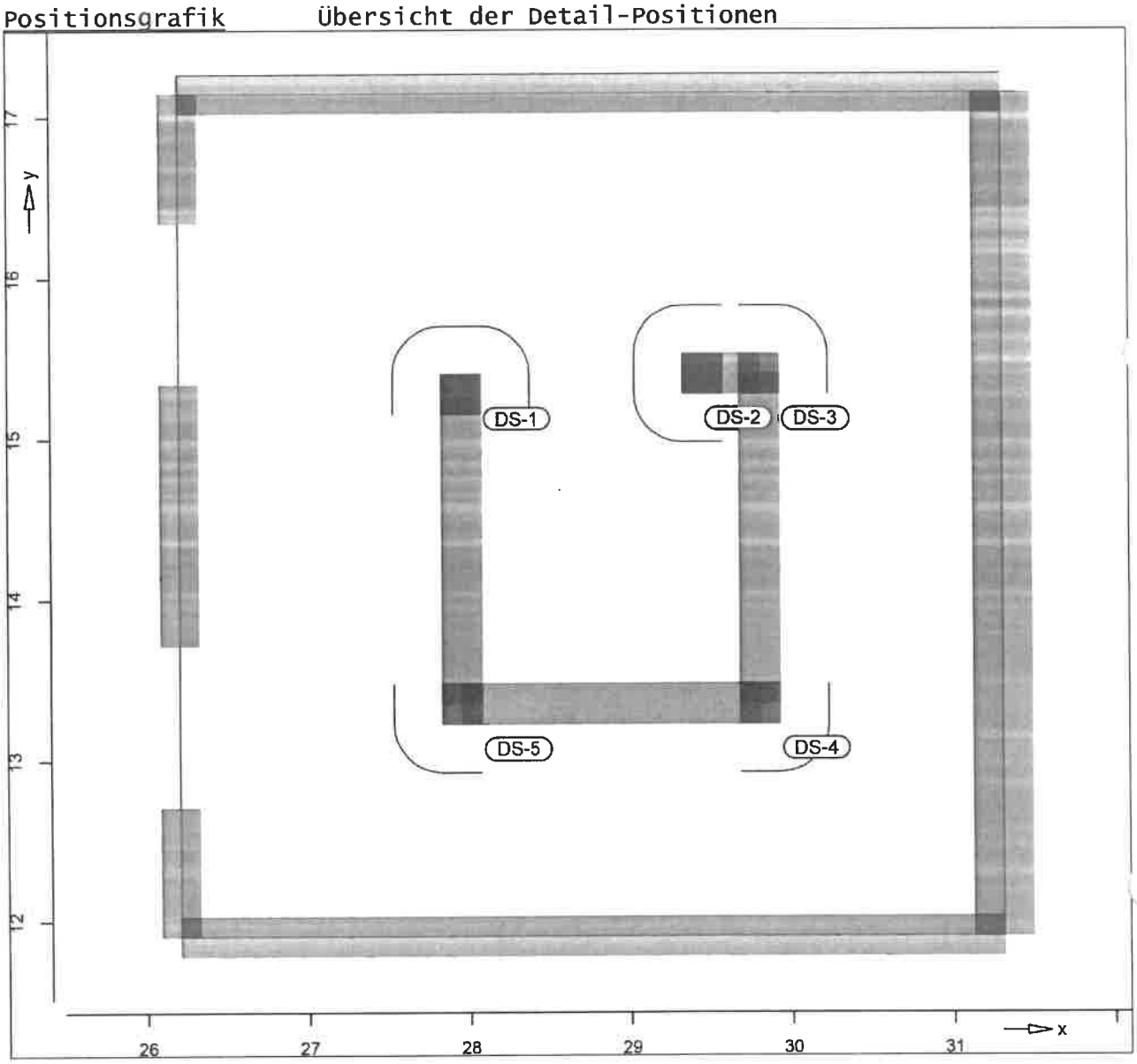


durch Vergleichsrechnung geprüft

Durchstanzstellen-Pos — Detailplan

Details — Detail-Positionen

Positionsgrafik — Übersicht der Detail-Positionen




Durchstanzstellen

| Position | Lel von | MinBew | Rundsch | beta |
|---|---|---|---|---|
| DS-1 | unten | ja | nein | 1.35 |
| DS-2 | unten | ja | nein | 1.35 |
| DS-3 | unten | ja | nein | 1.20 |
| DS-4 | unten | ja | nein | 1.20 |
| DS-5 | unten | ja | nein | 1.20 |

unten: Lasteinleitung erfolgt von unten
MinBew: Mindestbewehrung nach NCI Zu 9.4.3(2)?
Rundsch: Rundschnitt am Rand erweitern?

Geometrie — Geometrie der Lasteinleitungsfläche



durch Vergleichsrechnung geprüft

| Position | Typ | Winkel2 [°] | Winkel [°] | Breite [cm] | Länge [cm] |
|---|---|---|---|---|---|
| DS-1 | We | | 270.00 | 25.0 | 25.0 |
| DS-2 | We | | 0.00 | 25.0 | 25.0 |
| DS-3 | Wk | 180.00 | 270.00 | 25.0 | 25.0 |
| DS-4 | Wk | 180.00 | 90.00 | 25.0 | 25.0 |
| DS-5 | Wk | 0.00 | 90.00 | 25.0 | 25.0 |

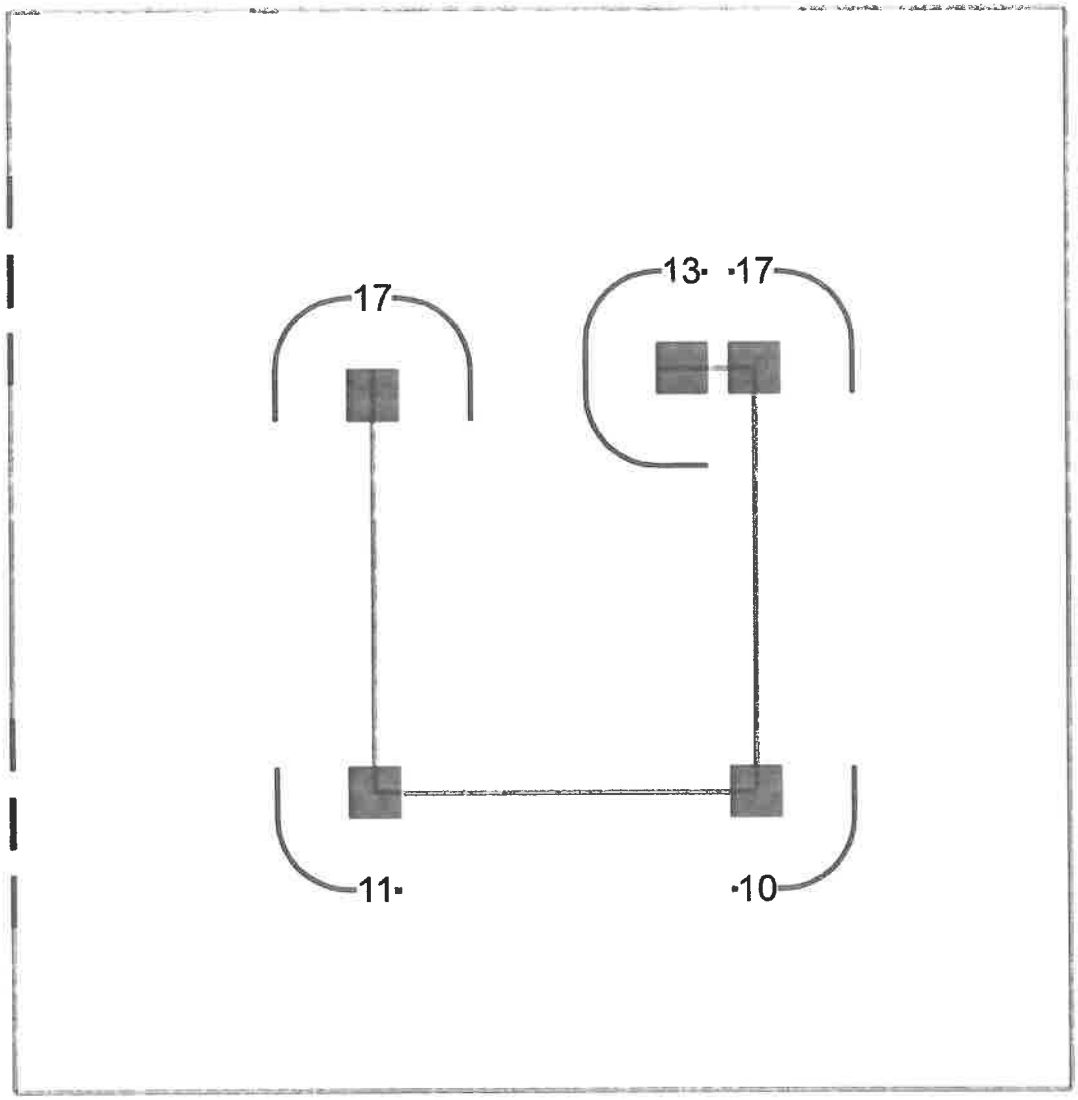
We: Wandende
Wk: Wandecke

## Koordinaten

| Position | X [m] | Y [m] |
|---|---|---|
| DS-1 | 27.96 | 15.40 |
| DS-2 | 29.33 | 15.40 |
| DS-3 | 29.81 | 15.40 |
| DS-4 | 29.81 | 13.35 |
| DS-5 | 27.96 | 13.35 |



durch Vergleichsrechnung geprüft




| **Nachweis der Durchstanzstellen** | Maßgebende Durchstanzkraft VEd in [kN] | Maßstab: 1:35 |
|---|---|---|



durch Vergleichsrechnung geprüft

Durchstanzstellen-Tab DS-1 — Nachweis der Durchstanzstellen

Durchstanznachweis nach DIN EN 1992-1-1

Angaben — Beton C 25/30, Betonstahl B 500MA

Lasteinleitungsfläche: Wandende

| | | | | |
|---|---|---|---|---|
| | a | = | 25.0 | cm |
| | b | = | 25.0 | cm |
| Plattendicke | $h_0$ | = | 20.0 | cm |
| Mittl. statische Nutzhöhe | $d_m$ | = | 17.3 | cm |
| Längsbewehrung | $a_{s,m}$ | = | 2.57 | cm²/m |
| Längsbewehrungsgrad | $\rho_{l,vorh}$ | = | 0.15 | % |
| | $\rho_{l,zul}$ | = | 1.63 | % |
| Maßg. Durchstanzkraft | $V_{Ed}$ | = | 16.7 | kN |
| Lasterhöhungsfaktor | $\beta$ | = | 1.35 | |

Nachweis — Keine Durchstanzbewehrung Asw erforderlich.

Für die maßgebende Belastungssituation wurde die mittlere Längsbewehrung asm an der Oberseite berücksichtigt.
Diese Längsbewehrung ist innerhalb des gesamten äußeren Rundschnitts anzuordnen und außerhalb dieses Rundschnitts zu verankern.
Eine Stützenkopfverstärkung wird nicht berücksichtigt.
Die Durchstanzkraft VEd wurde am Stützenanschnitt ausgewertet.
Mindestbewehrung (NCI Zu 9.4.3(2)) wurde berücksichtigt.

Kombinationen — Maßgebende Kombinationen nach DIN EN 1990

Ew Einwirkungsname
Lkn Lastkombinationsnummer
! vorherrschende veränderliche Einwirkung

Die Beteiligung einzelner Lastfälle innerhalb einer Einwirkung wird mit diesem Ausgabeformat nicht dokumentiert.

| Ew | Gk | Qk.N | Qk.S | Qk.W |
|---|---|---|---|---|
| Lkn | Grundkombination | | | |
| 1 | 1.35 | 1.50! | 0.75 | . |

| Rund-schnitt | Abstand [cm] | u [m] | vEd | | vRd,c | vRd,max [N/mm²] | minAsw | erfAsw [cm²] |
|---|---|---|---|---|---|---|---|---|
| Ucrit | 34.60 | 1.84 | 0.071 | ≤ | 0.495 | | | |



durch Vergleichsrechnung geprüft

DS-2 Durchstanznachweis nach DIN EN 1992-1-1

Angaben Beton C 25/30, Betonstahl B 500MA

Lasteinleitungsfläche:

| | | | | |
|---|---|---|---|---|
| Wandende | a | = | 25.0 | cm |
| | b | = | 25.0 | cm |
| Plattendicke | $h_0$ | = | 20.0 | cm |
| Mittl. statische Nutzhöhe | $d_m$ | = | 17.3 | cm |
| Längsbewehrung | $a_{s,m}$ | = | 2.57 | cm²/m |
| Längsbewehrungsgrad | $\rho_{l,vorh}$ | = | 0.15 | % |
| | $\rho_{l,zul}$ | = | 1.63 | % |
| Maßg. Durchstanzkraft | $V_{Ed}$ | = | 13.0 | kN |
| Lasterhöhungsfaktor | $\beta$ | = | 1.35 | |

Nachweis Keine Durchstanzbewehrung Asw erforderlich.

Für die maßgebende Belastungssituation wurde die mittlere Längsbewehrung asm an der Oberseite berücksichtigt.
Diese Längsbewehrung ist innerhalb des gesamten äußeren Rundschnitts anzuordnen und außerhalb dieses Rundschnitts zu verankern.
Eine Stützenkopfverstärkung wird nicht berücksichtigt.
Die Durchstanzkraft VEd wurde am Stützenanschnitt ausgewertet.
Mindestbewehrung (NCI Zu 9.4.3(2)) wurde berücksichtigt.

Kombinationen Maßgebende Kombinationen nach DIN EN 1990

Ew Einwirkungsname
Lkn Lastkombinationsnummer
! vorherrschende veränderliche Einwirkung

Die Beteiligung einzelner Lastfälle innerhalb einer Einwirkung wird mit diesem Ausgabeformat nicht dokumentiert.

| Ew | Gk | Qk.N | Qk.S | Qk.W |
|---|---|---|---|---|
| Lkn | Grundkombination | | | |
| 1 | 1.35 | 1.50! | 0.75 | . |

| Rund-schnitt | Abstand [cm] | u [m] | vEd | | vRd,c | vRd,max [N/mm²] | minAsw | erfAsw [cm²] |
|---|---|---|---|---|---|---|---|---|
| Ucrit | 34.60 | 1.84 | 0.055 | ≤ | 0.495 | | | |



durch Vergleichsrechnung geprüft

DS-3 Durchstanznachweis nach DIN EN 1992-1-1

Angaben Beton C 25/30, Betonstahl B 500MA

Lasteinleitungsfläche:
Wandecke

| | | | |
|---|---|---|---|
| a | = | 25.0 | cm |
| b | = | 25.0 | cm |
| Plattendicke $h_0$ | = | 20.0 | cm |
| Mittl. statische Nutzhöhe $d_m$ | = | 17.3 | cm |
| Längsbewehrung $a_{s,m}$ | = | 2.57 | cm²/m |
| Längsbewehrungsgrad $\rho_{l,vorh}$ | = | 0.15 | % |
| $\rho_{l,zul}$ | = | 1.63 | % |
| Maßg. Durchstanzkraft $V_{Ed}$ | = | 17.0 | kN |
| Lasterhöhungsfaktor $\beta$ | = | 1.20 | |

Nachweis Keine Durchstanzbewehrung Asw erforderlich.

Für die maßgebende Belastungssituation wurde die mittlere Längsbewehrung asm an der Oberseite berücksichtigt.
Diese Längsbewehrung ist innerhalb des gesamten äußeren Rundschnitts anzuordnen und außerhalb dieses Rundschnitts zu verankern.
Eine Stützenkopfverstärkung wird nicht berücksichtigt.
Die Durchstanzkraft VEd wurde am Stützenanschnitt ausgewertet.
Mindestbewehrung (NCI Zu 9.4.3(2)) wurde berücksichtigt.

Kombinationen Maßgebende Kombinationen nach DIN EN 1990

EW Einwirkungsname
Lkn Lastkombinationsnummer
! vorherrschende veränderliche Einwirkung

Die Beteiligung einzelner Lastfälle innerhalb einer Einwirkung wird mit diesem Ausgabeformat nicht dokumentiert.

| EW | Gk | Qk.N | Qk.S | Qk.W |
|---|---|---|---|---|
| Lkn | Grundkombination | | | |
| 1 | 1.35 | 1.50! | 0.75 | . |

| Rund-schnitt | Abstand [cm] | u [m] | vEd | | vRd,c | vRd,max [N/mm²] | minAsw | erfAsw [cm²] |
|---|---|---|---|---|---|---|---|---|
| Ucrit | 34.60 | 1.04 | 0.113 | ≤ | 0.495 | | | |



durch Vergleichsrechnung geprüft

DS-4 Durchstanznachweis nach DIN EN 1992-1-1

Angaben Beton C 25/30, Betonstahl B 500MA

Lasteinleitungsfläche:

| | | | | |
|---|---|---|---|---|
| Wandecke | a | = | 25.0 | cm |
| | b | = | 25.0 | cm |
| Plattendicke | $h_0$ | = | 20.0 | cm |
| Mittl. statische Nutzhöhe | $d_m$ | = | 17.3 | cm |
| Längsbewehrung | $a_{s,m}$ | = | 2.57 | cm²/m |
| Längsbewehrungsgrad | $\rho_{l,vorh}$ | = | 0.15 | % |
| | $\rho_{l,zul}$ | = | 1.63 | % |
| Maßg. Durchstanzkraft | $V_{Ed}$ | = | 10.1 | kN |
| Lasterhöhungsfaktor | $\beta$ | = | 1.20 | |

Nachweis Keine Durchstanzbewehrung Asw erforderlich.

Für die maßgebende Belastungssituation wurde die mittlere Längsbewehrung asm an der Oberseite berücksichtigt.
Diese Längsbewehrung ist innerhalb des gesamten äußeren Rundschnitts anzuordnen und außerhalb dieses Rundschnitts zu verankern.
Eine Stützenkopfverstärkung wird nicht berücksichtigt.
Die Durchstanzkraft VEd wurde am Stützenanschnitt ausgewertet.
Mindestbewehrung (NCI Zu 9.4.3(2)) wurde berücksichtigt.

Kombinationen Maßgebende Kombinationen nach DIN EN 1990

Ew Einwirkungsname
Lkn Lastkombinationsnummer
! vorherrschende veränderliche Einwirkung

Die Beteiligung einzelner Lastfälle innerhalb einer Einwirkung wird mit diesem Ausgabeformat nicht dokumentiert.

| Ew | Gk | Qk.N | Qk.S | Qk.W |
|---|---|---|---|---|
| Lkn | Grundkombination | | | |
| 1 | 1.35 | 1.50! | . | 0.90 |

| Rund-schnitt | Abstand [cm] | u [m] | vEd | | vRd,c | vRd,max [N/mm²] | minAsw | erfAsw [cm²] |
|---|---|---|---|---|---|---|---|---|
| Ucrit | 34.60 | 1.04 | 0.067 | ≤ | 0.495 | | | |



durch Vergleichsrechnung geprüft

DS-5 Durchstanznachweis nach DIN EN 1992-1-1

Angaben Beton C 25/30, Betonstahl B 500MA

Lasteinleitungsfläche:

| | | | | |
|---|---|---|---|---|
| Wandecke | a | = | 25.0 | cm |
| | b | = | 25.0 | cm |
| Plattendicke | $h_0$ | = | 20.0 | cm |
| Mittl. statische Nutzhöhe | $d_m$ | = | 17.3 | cm |
| Längsbewehrung | $a_{s,m}$ | = | 2.57 | cm²/m |
| Längsbewehrungsgrad | $\rho_{l,vorh}$ | = | 0.15 | % |
| | $\rho_{l,zul}$ | = | 1.63 | % |
| Maßg. Durchstanzkraft | $V_{Ed}$ | = | 11.0 | kN |
| Lasterhöhungsfaktor | $\beta$ | = | 1.20 | |

Nachweis Keine Durchstanzbewehrung Asw erforderlich.

Für die maßgebende Belastungssituation wurde die mittlere Längsbewehrung asm an der Oberseite berücksichtigt.
Diese Längsbewehrung ist innerhalb des gesamten äußeren Rundschnitts anzuordnen und außerhalb dieses Rundschnitts zu verankern.
Eine Stützenkopfverstärkung wird nicht berücksichtigt.
Die Durchstanzkraft VEd wurde am Stützenanschnitt ausgewertet.
Mindestbewehrung (NCI Zu 9.4.3(2)) wurde berücksichtigt.

Kombinationen Maßgebende Kombinationen nach DIN EN 1990

Ew Einwirkungsname
Lkn Lastkombinationsnummer
! vorherrschende veränderliche Einwirkung

Die Beteiligung einzelner Lastfälle innerhalb einer Einwirkung wird mit diesem Ausgabeformat nicht dokumentiert.

| Ew | Gk | Qk.N | Qk.S | Qk.W |
|---|---|---|---|---|
| Lkn | Grundkombination | | | |
| 1 | 1.35 | 1.50! | . | 0.90 |

| Rund-schnitt | Abstand [cm] | u [m] | vEd | | vRd,c | vRd,max [N/mm²] | minAsw | erfAsw [cm²] |
|---|---|---|---|---|---|---|---|---|
| Ucrit | 34.60 | 1.04 | 0.073 | ≤ | 0.495 | | | |



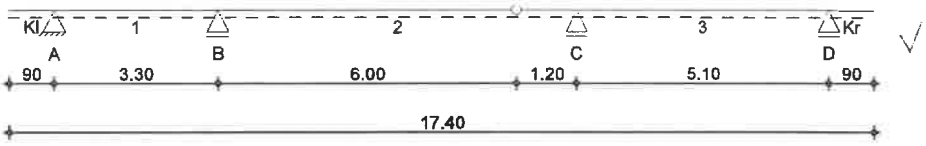
durch Vergleichsrechnung geprüft

HZI-120

## Pos. 2.04 Holz-Mittelpfette

System: Holz-Dreifeldträger mit Kragarmen

M 1:145




Abmessungen / Nutzungsklassen

| Feld | l [m] | $l_{ef,m}$ [m] | NKL |
|---|---|---|---|
| Kl | 0.90 | 1.80 | 1 |
| 1 | 3.30 | 3.30 | 1 |
| 2 | 7.20 | 7.20 | 1 |
| 3 | 5.10 | 5.10 | 1 |
| Kr | 0.90 | 1.80 | 1 |

Auflager

| Aufl. | x [m] | b [cm] | Transl. [kN/m] | Rotat. [kNm/rad] |
|---|---|---|---|---|
| A | 0.90 | 24.00 | starr | frei |
| B | 4.20 | 24.00 | starr | frei |
| C | 11.40 | 24.00 | starr | frei |
| D | 16.50 | 24.00 | starr | frei |

Gelenke

| Feld | a [m] | Transl. [kN/m] | Rotat. [kNm/rad] |
|---|---|---|---|
| 2 | 6.00 | starr | frei |

Material: *BSH GL24h*

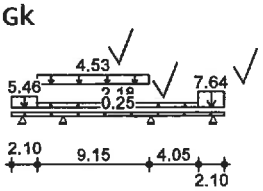
Querschnitt: b/h = 20/34 cm

Belastungen: Belastungen auf das System

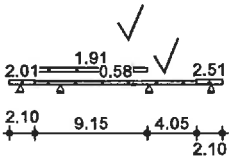
Grafik: Belastungsgrafiken (einwirkungsbezogen)

Einwirkungen

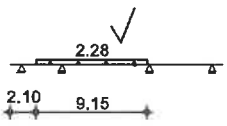
Gk



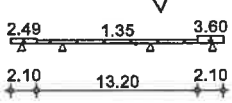

Qk.N



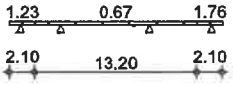

Qk.S



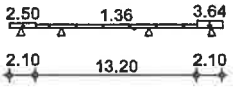

Qk.S.A



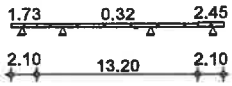

Qk.S.B



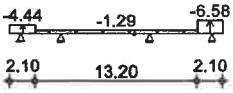

Qk.S.C



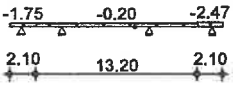

Qk.W.000




Qk.W.090



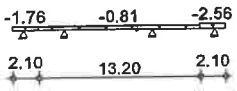

Qk.W.180






durch Vergleichsrechnung geprüft

Qk.W.270




Streckenlasten in z-Richtung

Blocklasten

| | Feld | Komm. | | a [m] | s [m] | $q_{li}$ [kN/m] | $q_{re}$ [kN/m] |
|---|---|---|---|---|---|---|---|
| Einw. *Gk* | Kl | Eigengew | | 0.00 | 17.40 | | 0.25 |
| | Kl | | (a) | 0.00 | 2.10 | | 5.46 |
| | Kl | | (b) | 2.10 | 13.20 | | 2.18 |
| | Kl | | (c) | 15.30 | 2.10 | | 7.64 |
| | Kl | | (d) | 2.10 | 9.15 | | 4.53 |
| Einw. *Qk.N* | Kl | | (a) | 0.00 | 2.10 | | 2.01 |
| | Kl | | (b) | 2.10 | 13.20 | | 0.57 |
| | Kl | | (c) | 15.30 | 2.10 | | 2.51 |
| | Kl | | (d) | 2.10 | 9.15 | | 1.91 |
| Einw. *Qk.S* | Kl | | (d) | 2.10 | 9.15 | | 2.28 |
| Einw. *Qk.S.A* | Kl | | (a) | 0.00 | 2.10 | | 2.49 |
| | Kl | | (b) | 2.10 | 13.20 | | 1.35 |
| | Kl | | (c) | 15.30 | 2.10 | | 3.60 |
| Einw. *Qk.S.B* | Kl | | (a) | 0.00 | 2.10 | | 1.23 |
| | Kl | | (b) | 2.10 | 13.20 | | 0.67 |
| | Kl | | (c) | 15.30 | 2.10 | | 1.76 |
| Einw. *Qk.S.C* | Kl | | (a) | 0.00 | 2.10 | | 2.50 |
| | Kl | | (b) | 2.10 | 13.20 | | 1.36 |
| | Kl | | (c) | 15.30 | 2.10 | | 3.64 |
| Einw. *Qk.W.000* | Kl | | (a) | 0.00 | 2.10 | | 1.73 |
| | Kl | | (b) | 2.10 | 13.20 | | 0.32 |
| | Kl | | (c) | 15.30 | 2.10 | | 2.45 |
| Einw. *Qk.W.090* | Kl | | (a) | 0.00 | 2.10 | | -4.44 |
| | Kl | | (b) | 2.10 | 13.20 | | -1.29 |
| | Kl | | (c) | 15.30 | 2.10 | | -6.58 |
| Einw. *Qk.W.180* | Kl | | (a) | 0.00 | 2.10 | | -1.75 |
| | Kl | | (b) | 2.10 | 13.20 | | -0.20 |
| | Kl | | (c) | 15.30 | 2.10 | | -2.47 |
| Einw. *Qk.W.270* | Kl | | (a) | 0.00 | 2.10 | | -1.76 |
| | Kl | | (b) | 2.10 | 13.20 | | -0.81 |
| | Kl | | (c) | 15.30 | 2.10 | | -2.56 |

(a) aus Pos. '1.01', Lager 'C' (Seite 27)

(b) aus Pos. '1.02', Lager 'A' (Seite 39)

(c) aus Pos. '1.03', Lager 'C' (Seite 55)

(d) aus Pos. '2.01', Lager 'B' (Seite 76)

Kombinationen

Kombinationsbildung nach DIN EN 1990
Darstellung der maßgebenden Kombinationen

| | Ek | KLED | Σ (γ*ψ*EW) | | |
|---|---|---|---|---|---|
| ständig/vorüberg. | 2 | ku/sk | 1.35*Gk | +1.05*Qk.N (Kl,2,Kr) | +1.50*Qk.S.C |
| | | | +0.90*Qk.W.000 | | |
| | 6 | ku/sk | 1.35*Gk | +1.05*Qk.N (Kl,1,3) | +1.50*Qk.S.C |
| | | | +0.90*Qk.W.000 | | |
| | 17 | ku | 1.35*Gk | +1.05*Qk.N (1,2,Kr) | +1.50*Qk.S |



durch Vergleichsrechnung geprüft

| | Ek | KLED | Σ (γ*ψ*EW) | | |
|---|---|---|---|---|---|
| | 22 | ku | 1.35*Gk | +1.05*Qk.N (Kl,2,3) | +1.50*Qk.S |
| | 32 | ku | 1.35*Gk | +1.05*Qk.N (Kl,2,3) | +1.50*Qk.S.C |
| | 45 | ku/sk | 1.35*Gk +0.90*Qk.W.000 | +1.05*Qk.N (1,3,Kr) | +1.50*Qk.S.C |
| | 51 | ku | 1.35*Gk | +1.50*Qk.N (Kl,1,3) | +0.75*Qk.S.C |
| | 58 | ku/sk | 1.35*Gk +0.90*Qk.W.000 | +1.05*Qk.N (Kl,1) | +1.50*Qk.S.C |
| | 59 | ku/sk | 1.35*Gk +0.90*Qk.W.000 | +1.05*Qk.N (Kl,2,3,Kr) | +1.50*Qk.S.C |
| | 64 | ku/sk | 1.35*Gk +0.90*Qk.W.000 | +1.05*Qk.N (1,Kr) | +1.50*Qk.S.C |
| selten | 896 | | 1.00*Gk | +1.00*Qk.N (Kl,2,Kr) | +0.50*Qk.S |
| | 900 | | 1.00*Gk +0.60*Qk.W.000 | +0.70*Qk.N (Kl,2,Kr) | +1.00*Qk.S |
| | 907 | | 1.00*Gk +0.60*Qk.W.090 | +0.70*Qk.N (Kl,2,Kr) | +1.00*Qk.S |
| quasi-ständig | 898 | | 1.00*Gk | +0.30*Qk.N (Kl,2,Kr) | |

ku/sk: kurz/sehr kurz
ku: kurz

Mat./Querschnitt — nach DIN EN 1995-1-1

Materialien

| Holz | $f_{m,k}$ | $f_{t0k}$ | $f_{c0k}$ | $f_{c90k}$ | $f_{vk}$ | $E_{0mean}$ |
|---|---|---|---|---|---|---|
| | [N/mm²] | | | | | |
| *BSH GL24h*[f] | 24.0 | 19.2 | 24.0 | 2.5 | 3.5 | 11500 |

f: Lamellenlage flachkant

Querschnittswerte

| b [cm] | h [cm] | A [cm²] | $I_y$ [cm⁴] |
|---|---|---|---|
| 20.0 | 34.0 | 680.0 | 65506.7 |

Auflagerkräfte — Charakteristische Auflagerkräfte

Char. Auflagerkr.

| | Aufl. | $F_{z,k,min}$ [kN] | $F_{z,k,max}$ [kN] |
|---|---|---|---|
| Einw. *Gk* | A | 8.38 | 8.38 |
| | B | 43.35 | 43.35 |
| | C | 35.53 | 35.53 |
| | D | 14.82 | 14.82 |
| Einw. *Qk.N* | A | -2.56 | 5.48 |
| | B | -0.44 | 15.93 |
| | C | -0.44 | 12.32 |
| | D | -1.77 | 6.01 |
| Einw. *Qk.S* | A | -1.06 | -1.06 |
| | B | 14.11 | 14.11 |
| | C | 9.40 | 9.40 |
| | D | -1.59 | -1.59 |
| Einw. *Qk.S.A* | A | 4.46 | 4.46 |
| | B | 8.45 | 8.45 |



durch Vergleichsrechnung geprüft

| | Aufl. | $F_{z,k,min}$ [kN] | $F_{z,k,max}$ [kN] |
|---|---|---|---|
| | C | 9.35 | 9.35 |
| | D | 8.39 | 8.39 |
| Einw. *Qk.S.B* | A | 2.20 | 2.20 |
| | B | 4.19 | 4.19 |
| | C | 4.64 | 4.64 |
| | D | 4.12 | 4.12 |
| Einw. *Qk.S.C* | A | 4.49 | 4.49 |
| | B | 8.49 | 8.49 |
| | C | 9.39 | 9.39 |
| | D | 8.47 | 8.47 |
| Einw. *Qk.W.000* | A | 3.34 | 3.34 |
| | B | 2.11 | 2.11 |
| | C | 2.29 | 2.29 |
| | D | 5.25 | 5.25 |
| Einw. *Qk.W.090* | A | -8.39 | -8.39 |
| | B | -8.29 | -8.29 |
| | C | -9.12 | -9.12 |
| | D | -14.42 | -14.42 |
| Einw. *Qk.W.180* | A | -3.42 | -3.42 |
| | B | -1.38 | -1.38 |
| | C | -1.47 | -1.47 |
| | D | -5.19 | -5.19 |
| Einw. *Qk.W.270* | A | -3.21 | -3.21 |
| | B | -5.08 | -5.08 |
| | C | -5.61 | -5.61 |
| | D | -5.84 | -5.84 |

## Zusammenfassung

Zusammenfassung der Nachweise

## Nachweise (GZT)

Nachweise im Grenzzustand der Tragfähigkeit

| Nachweis | Feld/Auflager | x [m] | | η [-] |
|---|---|---|---|---|
| Biegung | Feld 2 | 0.00 | OK | 0.89 |
| Querkraft | Feld 2 | 0.46 | OK | 0.62 |
| Auflagerpressung | Auflager B | | OK | 0.93 |

## Nachweise (GZG)

Nachweise im Grenzzust. der Gebrauchstauglichkeit

| Nachweis | Feld | x [m] | | η [-] |
|---|---|---|---|---|
| Anfangsdurchbieg. | Feld 2 | 3.72 | OK | 0.82 |
| gesamte Enddurchb. | Feld 2 | 3.71 | OK | 0.88 |

## Detailnachweis

| Name | Ort | Detail |
|---|---|---|
| G1 | x=10.20 m | Gerbergelenk |



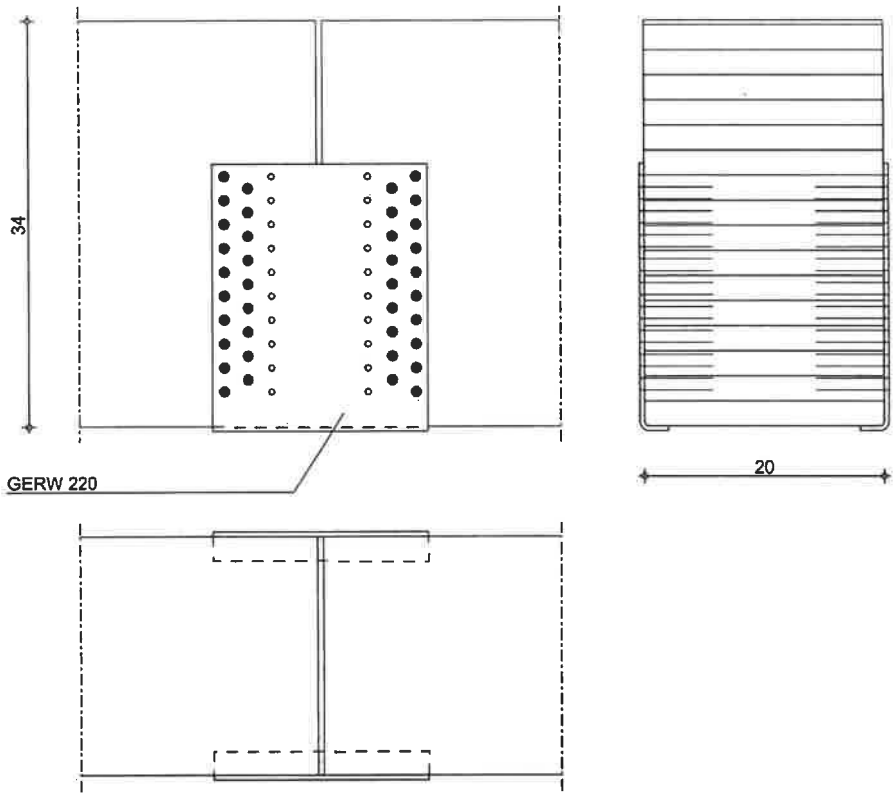
durch Vergleichsrechnung geprüft

## Pos. 2.04.1 Gerbergelenk

Geometrie

Bemessung einer Gerberverbindung mit Stahlblechformteilen

M 1:6




| Mat./Querschnitt | Material | Querschnitt [cm] |
|---|---|---|
| | *BSH GL24h* | 20.0/34.0 |

Nutzungsklasse 1 nach DIN EN 1995-1-1, Abs. 2.3.1.3

| | | |
|---|---|---|
| Gerberverbinder | Gerberverbinder Simpson Strong Tie<br>*CNA Kammnägel 4.0x60mm* | GERW 220 √<br>*(TEILAUSNAGELUNG)* |

Belastungen — Belastungen für den Anschluss

Schnittgrößen

| | | Komm. | $V_z$ [kN] |
|---|---|---|---|
| Einw. *Ed.1* | (a) | G1 | -22.46 |
| Einw. *Ed.2* | (a) | G1 | -16.64 |
| Einw. *Ed.3* | (a) | G1 | -31.62 |
| Einw. *Ed.4* | (a) | G1 | -16.35 |
| Einw. *Ed.5* | (a) | G1 | -37.00 |
| Einw. *Ed.6* | (a) | G1 | -17.57 |
| Einw. *Ed.7* | (a) | G1 | -37.69 √ |
| Einw. *Ed.8* | (a) | G1 | -11.75 |



durch Vergleichsrechnung geprüft

(a) aus Pos. '2.04', Ort 'G1' (Seite 120)

Kombinationen

Kombinationsbildung nach DIN EN 1990
Darstellung der maßgebenden Kombinationen

ständig/vorüberg.

| Ek | KLED | Σ (γ*ψ*EW) |
|---|---|---|
| 5 | ku | 1.00*Ed.5 |
| 6 | ku | 1.00*Ed.6 |

ku: kurz

Zusammenfassung

Zusammenfassung der Nachweise

Nachweise (GZT)

Nachweise im Grenzzustand der Tragfähigkeit

| Nachweis | | η [-] |
|---|---|---|
| Gerberverbinder | OK | 0.98 |
| Querzug | OK | 0.74 |



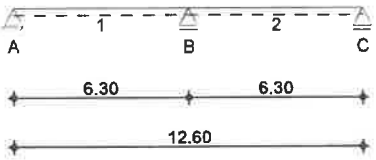

durch Vergleichsrechnung geprüft

## Pos. 2.05 Stb-Ringbalken

**System**

M 1:260

Mehrfeldträger
System




Ansicht




**Abmessungen Mat./Querschnitt**

| Feld | l [m] | Material | b/h [cm] |
|---|---|---|---|
| 1-2 | 6.30 | *C 20/25* | 25.0/28.5 |

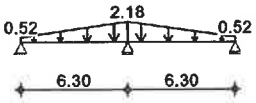
**Auflager**

| Lager | x [m] | b [cm] | Art | $K_{T,z}$ [kN/m] |
|---|---|---|---|---|
| A | 0.00 | 24.0 | Mauerw. | fest |
| B | 6.30 | 24.0 | Mauerw. | fest |
| C | 12.60 | 24.0 | Mauerw. | fest |

**Belastungen** Belastungen auf das System

**Grafik** Belastungsgrafiken (einwirkungsbezogen)

**Einwirkungen** Qk.W




**Streckenlasten in z-Richtung**

Trapezlasten

| | Feld | Komm. | a [m] | s [m] | $q_{li}$ [kN/m] | $q_{re}$ [kN/m] |
|---|---|---|---|---|---|---|
| Einw. *Qk.W* | 1 | (a,b) | 0.00 | 6.30 | 0.52 | 2.18 |
| | 2 | (a,b) | 0.00 | 6.30 | 2.18 | 0.52 |

(a) aus Pos. '0.03' Wind, D, WeD,
Qk.W.000 *(1)

0.518*(1) = 0.52 kN/m

(b) aus Pos. '0.03' Wind, D, WeD,
Qk.W.000 *(4.2)

0.518*(4.2) = 2.18 kN/m

**Kombinationen** gemäß DIN EN 1992-1-1 und DIN EN 1990

| Ek | Σ (γ*ψ*EW) |
|---|---|
| 1 | 1.50*Qk.W |

ständig/vorüberg.

**Bemessung (GZT)** für den Grenzzustand der Tragfähigkeit nach DIN EN 1992-1-1:2011-01

**Mindestmomente 5.3.2.2(3)**

| Kombinat. | Aufl. | min Ml [kNm] | max Ml [kNm] | min Mr [kNm] | max Mr [kNm] |
|---|---|---|---|---|---|
| Grundkomb. | B | -6.45 | 0.00 | -6.45 | 0.00 |




durch Vergleichsrechnung geprüft

## Biegung Abs. 6.1

### Bemessung für Biegebeanspruchung

| | x [m] | Ek | $M_{yd,o}$ / $M_{yd,u}$ [kNm] | $x/d_o$ / $x/d_u$ | $z_o$ / $z_u$ [cm] | $A_{s,o}$ / $A_{s,u}$ [cm²] | $A_{s,o,erf}$ / $A_{s,u,erf}$ [cm²] |
|---|---|---|---|---|---|---|---|
| Feld 1 | *(L = 6.30 m)* | | | | | | |
| | 0.00 | 1 | - | - | - | - | 0.11e |
| | | 1 | - | 0.003 | 25.1 | - | 0.66M |
| | 0.12a | 1 | - | - | - | - | 0.11e |
| | | 1 | 0.40 | 0.014 | 25.0 | 0.04 | 0.66M |
| | 2.63* | 1 | - | - | - | - | - |
| | | 1 | 5.06 | 0.054 | 24.6 | 0.45 | 0.66M |
| | 6.18a | 1 | -9.34 | 0.079 | 24.4 | 0.84 | 0.84 |
| | | 1 | - | - | - | - | 0.16f |
| | 6.30 | 1 | -9.88 | 0.082 | 24.3 | 0.89 | 0.89 |
| | | 1 | - | - | - | - | - |
| Feld 2 | *(L = 6.30 m)* | | | | | | |
| | 0.00 | 1 | -9.88 | 0.082 | 24.3 | 0.89 | 0.89 |
| | | 1 | - | - | - | - | - |
| | 0.12a | 1 | -9.34 | 0.079 | 24.4 | 0.84 | 0.84 |
| | | 1 | - | - | - | - | 0.16f |
| | 1.37 | 1 | -0.58 | 0.017 | 25.0 | 0.05 | 0.66M |
| | | 1 | - | - | - | - | 0.66M |
| | 3.67* | 1 | - | - | - | - | - |
| | | 1 | 5.06 | 0.054 | 24.6 | 0.45 | 0.66M |
| | 6.18a | 1 | - | - | - | - | 0.11e |
| | | 1 | 0.40 | 0.014 | 25.0 | 0.04 | 0.66M |
| | 6.30 | 1 | - | - | - | - | 0.11e |
| | | 1 | - | 0.003 | 25.1 | - | 0.66M |

a: Auflagerrand
*: maximales Feldmoment
e: Endauflagereinspannung nach 9.2.1.2(1)
f: verlängerte Feldbew. nach Abs. 9.2.1.4(1), 9.3.1.2(1)
M: Mindestbewehrung nach Abs. 9.2.1.1

## Querkraft Abs. 6.2

### Bemessung für Querkraftbeanspruchung

| | x [m] | Ek | $V_{Ed}$ [kN] | θ [°] | $V_{Rd,max}$ [kN] | $V_{Rd,c}$ [kN] | $a_{sw,erf}$ [cm²/m] |
|---|---|---|---|---|---|---|---|
| Feld 1 | *(L = 6.30 m)* | | | | | | |
| | 0.00 | 1 | 3.09R | 18.4 | 124.31 | - | - |
| | 0.12a | 1 | 3.09R | 18.4 | 124.31 | - | 1.76M |
| | 0.37v | 1 | 3.09 | 18.4 | 124.31 | 25.57 | 1.76M |
| | 2.63 | 1 | 0.06R | 18.4 | 124.31 | 25.57 | 1.76M |
| | 5.93v | 1 | 8.14 | 18.4 | 124.31 | 25.57 | 1.76M |
| | 6.18a | 1 | 8.14R | 18.4 | 124.31 | - | 1.76M |
| | 6.30 | 1 | 8.14R | 18.4 | 124.31 | - | - |
| Feld 2 | *(L = 6.30 m)* | | | | | | |
| | 0.00 | 1 | 8.14R | 18.4 | 124.31 | - | - |
| | 0.12a | 1 | 8.14R | 18.4 | 124.31 | - | 1.76M |
| | 0.37v | 1 | 8.14 | 18.4 | 124.31 | 25.57 | 1.76M |
| | 3.67 | 1 | 0.06R | 18.4 | 124.31 | 25.57 | 1.76M |
| | 5.93v | 1 | 3.09 | 18.4 | 124.31 | 25.57 | 1.76M |
| | 6.18a | 1 | 3.09R | 18.4 | 124.31 | - | 1.76M |
| | 6.30 | 1 | 3.09R | 18.4 | 124.31 | - | - |

a: Auflagerrand
v: Abstand d vom Auflagerrand
R: Querkraft reduziert
M: Mindestbewehrung nach Abs. 9.2.2




durch Vergleichsrechnung geprüft

## Bewehrungswahl

untere Längsbewehrung

| Feld | | gew. | As [cm²] | a [m] | l [m] | $l_{bd,l}$ [m] | $l_{bd,r}$ [m] | Lage |
|---|---|---|---|---|---|---|---|---|
| 1 | GB | 2ø12 | 2.26 | -0.01 | 12.62 | 0.13 | 0.13 | 1 |

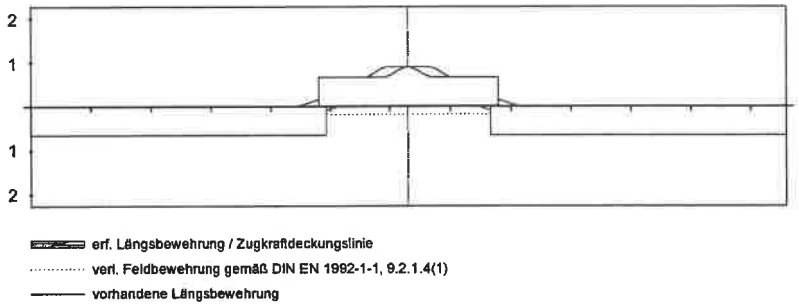
(Längen inkl. Verankerungslängen, ohne Stöße)

obere Längsbewehrung

| Feld | | gew. | As [cm²] | a [m] | l [m] | $l_{bd,l}$ [m] | $l_{bd,r}$ [m] | Lage |
|---|---|---|---|---|---|---|---|---|
| 1 | GB | 2ø12 | 2.26 | -0.06 | 12.72 | 0.18 | 0.18 | 1 |

(Längen inkl. Verankerungslängen, ohne Stöße)

Längsbewehrung M 1:120 — As [cm²]




Querkraftbewehrung (Bügel)

| Feld | $x_a$ [m] | $x_e$ [m] | $d_s$ [mm] | s [cm] | Schn. [-] | $a_{sw}$ [cm²/m] |
|---|---|---|---|---|---|---|
| 1 | 0.12 | 6.18 | ø8 | 17.5 | 2 | 5.74 |
| 2 | 0.12 | 6.18 | ø8 | 17.5 | 2 | 5.74 |

## Auflagerkräfte

Auflagerkräfte Träger

Char. Auflagerkr. — charakteristische Auflagerkräfte (je Einwirkung)

Einw. *Qk.W*

| Aufl. | $F_{z,k,min}$ [kN] | $F_{z,k,max}$ [kN] |
|---|---|---|
| A | 2.27 | 2.27 |
| B | 12.44 | 12.44 |
| C | 2.27 | 2.27 |

## Zusammenfassung

Zusammenfassung der Nachweise

## Nachweise (GZT)

Nachweise im Grenzzustand der Tragfähigkeit

| Nachweis | Ort | η [-] |
|---|---|---|
| Biegung | OK | |
| Querkraft | OK | |
| Bewehrungswahl | OK | |




durch Vergleichsrechnung geprüft

## Pos. 2.07 Stb-Unterzug

konstr. gewählt ohne weiteren Nachweis:

Querschnitt: b/h = 25/20+ ca.50=70 cm
Beton: C25/30
Bewehrung: 2Ø12 oben+unten, Bügel Ø8/15

## Pos. 2.08 Stb-Ringbalken

konstr. gewählt ohne weiteren Nachweis:

Zur horizontalen Halterung für die Wände werden Stb-Ringbalken ausgebildet.

Querschnitt: b/h = 24/25cm
Beton: C 20/25
Bewehrung: 2Ø12 oben+unten (in den Ecken biegesteif ausbilden), Bügel Ø8/15

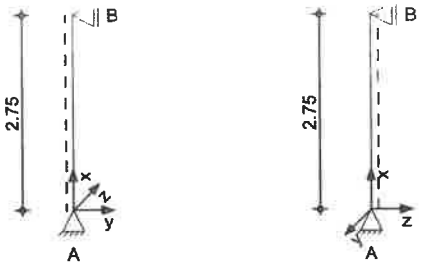


durch Vergleichsrechnung geprüft

## Pos. 2.09 Stahlstütze

System — Stahlstütze, DIN EN 1993-1-1:2010-12

M 1:100




| Abmessungen Mat./Querschnitt | l [m] | Material | Profil |
|---|---|---|---|
| | 2.75 | *S 235* | *HQ 70-4* |

Auflager

| Lager | x [m] | $K_{T,z}$ [kN/m] | $K_{R,y}$ [kNm/rad] | $K_{T,y}$ [kN/m] | $K_{R,z}$ [kNm/rad] | Gabell. |
|---|---|---|---|---|---|---|
| B | 2.75 | fest | frei | fest | frei | fest |
| A | 0.00 | fest | frei | fest | frei | fest |

Knicklängen
$L_{cr,y}$ = 2.75 m
$L_{cr,z}$ = 2.75 m

Kipplänge
$L_{cr,LT}$ = 2.75 m

Lagerung
unten: Gabel, oben: Gabel

Belastungen — Belastungen auf das System

Streckenlasten in x-Richtung

| Komm. | a [m] | s [m] | $q_u$ [kN/m] | $q_o$ [kN/m] |
|---|---|---|---|---|
| Eigengew | 0.00 | 2.75 | | 0.08 |

Punktlasten in x-Richtung — Einzellasten

| Komm. | | a [m] | $F_x$ [kN] | $e_y$ [cm] | $e_z$ [cm] |
|---|---|---|---|---|---|
| Einw. *Gk* | (a) | 2.75 | 43.35 | 0.0 | 0.0 |
| Einw. *Qk.N* | (a) | 2.75 | 15.93 | 0.0 | 0.0 |
| Einw. *Qk.S* | (a) | 2.75 | 14.12 | 0.0 | 0.0 |
| Einw. *Qk.S.A* | (a) | 2.75 | 8.45 | 0.0 | 0.0 |
| Einw. *Qk.S.B* | (a) | 2.75 | 4.19 | 0.0 | 0.0 |
| Einw. *Qk.S.C* | (a) | 2.75 | 8.49 | 0.0 | 0.0 |
| Einw. *Qk.W.000* | (a) | 2.75 | 2.11 | 0.0 | 0.0 |
| Einw. *Qk.W.090* | (a) | 2.75 | -8.29 | 0.0 | 0.0 |
| Einw. *Qk.W.180* | (a) | 2.75 | -1.38 | 0.0 | 0.0 |
| Einw. *Qk.W.270* | (a) | 2.75 | -5.08 | 0.0 | 0.0 |

(a) aus Pos. '2.04', Lager 'B' (Seite 122)

Kombinationen — Kombinationsbildung nach DIN EN 1990
Darstellung der maßgebenden Kombinationen

| | Ek | Σ (γ*ψ*EW) | | |
|---|---|---|---|---|
| ständig/vorüberg. | 1 | 1.35*Gk | | |
| | 2 | 1.35*Gk | +1.05*Qk.N | +1.50*Qk.S |
| | | +0.90*Qk.W.000 | | |



durch Vergleichsrechnung geprüft

## Nachweise (GZT)

Nachweise im Grenzzustand der Tragfähigkeit nach DIN EN 1993

### Quersch.-klasse

Maßgebende Querschnittsklasse: Klasse 1

### c/t-Verhältnis

### Nachweis E-E Abs. 6.2

Nachweis der Biege- und Querkrafttragfähigkeit

| x [m] | Ek | $N_{x,d}$ [kN] | $M_{y,d}$ $M_{z,d}$ [kNm] | $V_{z,d}$ $V_{y,d}$ [kN] | $\sigma_d$ $\tau_d$ $\sigma_{v,d}$ [N/mm²] | η [-] |
|---|---|---|---|---|---|---|
| 2.75 | 2 | -98.32 | 0.00<br>0.00 | 0.00<br>0.00 | 94.53<br>0.00<br>94.53 | 0.40 |
| 0.00 | 2 | -98.62 | 0.00<br>0.00 | 0.00<br>0.00 | 94.83<br>0.00<br>94.83 | 0.40* |

## Stabilität

Nachweis der Stabilität

### Festhaltungen Stab *0*

x-Koordinaten [m] bzgl. Stabanfang
0.00 GL, 2.75 GL
GL: Gabellager

### Globale Beiwerte

Angriffspunkt der Last: $z_p$ = 0.00 cm
Teilsicherheitsbeiwert: $\gamma_{m,1}$ = 1.10

| x [m] | Ek | $N_{x,d}$ $N_{Rd}$ [kN] | $\chi_y$ $\chi_z$ [-] | η [-] |
|---|---|---|---|---|
| *($L_{cr,y}$ = 2.75m, $L_{cr,z}$ = 2.75m)* | | | | |
| 0.00 | 2 | -98.62<br>222.18 | 0.60<br>0.60 | 0.74* |

## Auflagerkräfte

Charakteristische und Bemessungsauflagerkräfte

### Char. Auflagerkr.

| | Aufl. | $F_{x,k}$ [kN] | $F_{z,k}$ [kN] | $F_{y,k}$ [kN] |
|---|---|---|---|---|
| Einw. *Gk* | A | 43.57 | 0.00 | 0.00 |
| | B | 0.00 | 0.00 | 0.00 |
| Einw. *Qk.N* | A | 15.93 | 0.00 | 0.00 |
| | B | 0.00 | 0.00 | 0.00 |
| Einw. *Qk.S* | A | 14.12 | 0.00 | 0.00 |
| | B | 0.00 | 0.00 | 0.00 |
| Einw. *Qk.S.A* | A | 8.45 | 0.00 | 0.00 |
| | B | 0.00 | 0.00 | 0.00 |
| Einw. *Qk.S.B* | A | 4.19 | 0.00 | 0.00 |
| | B | 0.00 | 0.00 | 0.00 |
| Einw. *Qk.S.C* | A | 8.49 | 0.00 | 0.00 |
| | B | 0.00 | 0.00 | 0.00 |
| Einw. *Qk.W.000* | A | 2.11 | 0.00 | 0.00 |
| | B | 0.00 | 0.00 | 0.00 |
| Einw. *Qk.W.090* | A | -8.30 | 0.00 | 0.00 |
| | B | 0.00 | 0.00 | 0.00 |
| Einw. *Qk.W.180* | A | -1.38 | 0.00 | 0.00 |
| | B | 0.00 | 0.00 | 0.00 |
| Einw. *Qk.W.270* | A | -5.08 | 0.00 | 0.00 |
| | B | 0.00 | 0.00 | 0.00 |




durch Vergleichsrechnung geprüft

Bem.-auflagerkräfte ständig/vorüberg.

| Aufl. | $F_{x,d,min}$ $F_{x,d,max}$ [kN] | EK | $F_{z,d,min}$ $F_{z,d,max}$ [kN] | EK | $F_{y,d,min}$ $F_{y,d,max}$ [kN] | EK |
|---|---|---|---|---|---|---|
| A | 31.13 | 3 | 0.00 | 1 | 0.00 | 1 |
| | 98.62 | 2 | 0.00 | 1 | 0.00 | 1 |
| B | 0.00 | 1 | 0.00 | 1 | 0.00 | 1 |
| | 0.00 | 1 | 0.00 | 1 | 0.00 | 1 |

Fuß- u. Kopfplatte — Nachweis der Biege- und Querkrafttragfähigkeit

Material

*Beton C 25/30* $f_{cd}$ = 14.17 N/mm²
*Stahl S 235* $\sigma_{R,d}$ = 235.00 N/mm²
Anschlussbeiwert $\beta_j$ = 0.6667 [-]

Nachweise

| | $A_{pl}$ [cm²] | x=a/t | $t_{erf}$ [mm] | $t_{gew}$ [mm] | $N_{ed}$ [kN] | $N_{Rd}$ [kN] | η |
|---|---|---|---|---|---|---|---|
| | *Fußplatte* | | | | | | |
| Komb. 2 | 244.60 | 2.880 | 15 | 15 | 98.6 | 231.0 | 0.43 |
| | *Kopfplatte* | | | | | | |
| Komb. 2 | 244.60 | 2.880 | 15 | 15 | 98.3 | 231.0 | 0.43 |

Abmessungen — *Bl 200X200X15, Überstand $ü_z$=6.5cm, $ü_y$=6.5cm,*

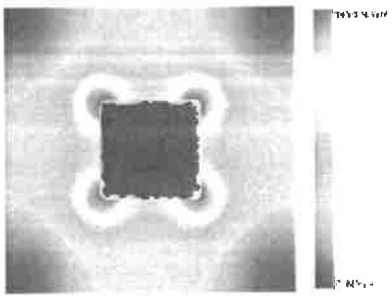
Zusammenfassung — Zusammenfassung der Nachweise

Nachweise (GZT) — Nachweise im Grenzzustand der Tragfähigkeit

| Nachweis | x [m] | | η [-] |
|---|---|---|---|
| Nachweis E-E | 0.00 | OK | 0.40 |
| Stabilität | 0.00 | OK | 0.74 |
| Fußplatte | 0.00 | OK | 0.43 |
| Kopfplatte | 2.75 | OK | 0.43 |

## Ankerplattendicke

**Spannungsverteilung innerhalb der Ankerplatte**



**Ankerplattendetails**

| | | |
|---|---|---|
| Ankerplattendicke (FE-Berechnung) | t = | 15 mm |
| Material der Ankerplatte | | S 235 (St 37) |
| E-Modul | E = | 210.000 N/mm² |
| Streckgrenze | $R_{p0.2}$ = | 235 N/mm² |
| Sicherheitsfaktor | $\gamma_M$ = | 1,0 |
| Querdehnzahl | ν = | 0,3 |
| Ausnutzung | η = | 83 % |
| Profiltyp | | Quadratische Hohlprofile kaltgefertigt (QSH 70x4) |



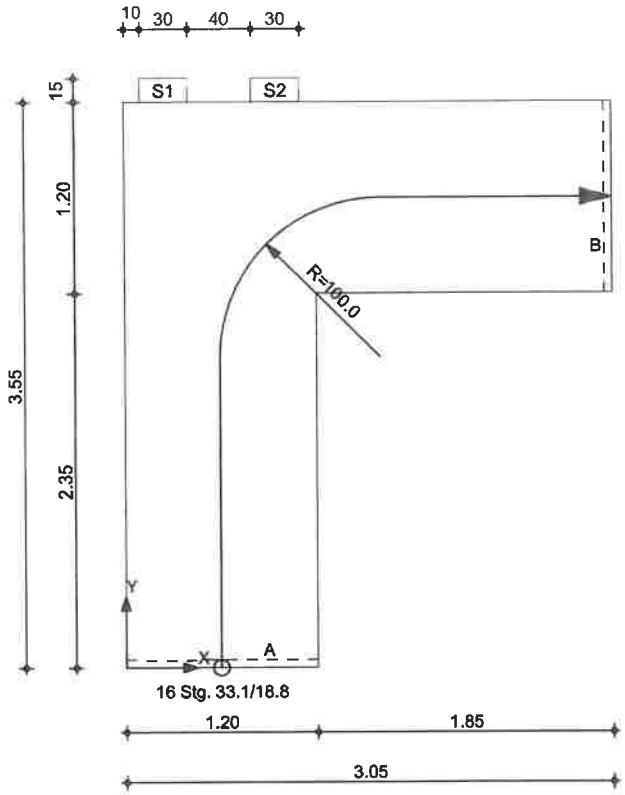
durch Vergleichsrechnung geprüft

# Obergeschoss

## Pos. 3.01 Stb-Treppe

System: viertelgewendelte Treppe

M 1:45




Abmessungen Mat./Querschnitt

| $l_1$ [m] | $l_2$ [m] | $b_1$ [m] | $b_2$ [m] | R [m] |
|---|---|---|---|---|
| 3.55 | 3.05 | 1.20 | 1.20 | 1.00 |

| a [cm] | s [cm] | l [m] | Δh [m] | α [°] | h [cm] | Mat. |
|---|---|---|---|---|---|---|
| 33.1 | 18.8 | 4.97 | 3.00 | 31.1 | 20.0 | *c 25/30* |

Linienlager

| Lager | Bez. | l [m] | Art |
|---|---|---|---|
| A | Antritt | 1.20 | gelenkig |
| B | Austritt | 1.20 | gelenkig |

Punktlager

| Lager | Seite | a [m] | b [cm] | t [cm] | Art |
|---|---|---|---|---|---|
| S1 | oben | 0.25 | 30.0 | 15.0 | gelenkig |
| S2 | oben | 0.95 | 30.0 | 15.0 | gelenkig |

Expositionsklasse XC1



durch Vergleichsrechnung geprüft

## Belastungen

Belastungen auf das System

### Gleichflächenlasten

| | | Komm. | $q_z$ [kN/m²] |
|---|---|---|---|
| Einw. *Gk* | (a) | Eigengew | 5.84 |
| | (b) | Putz | 0.35 |
| | (c) | Stufen | 2.25 |
| | | Belag | 0.30 |
| | | | 3.00 |
| Einw. *Qk.N* | | | |
| (a) | | Laufplatte 0.20*25.0/cos(31.1) = | 5.84 kN/m² |
| (b) | | Putz 0.30/cos(31.1) = | 0.35 kN/m² |
| (c) | | Stufen 0.5*0.188*24.0 = | 2.25 kN/m² |

### Kombinationen

Kombinationsbildung nach DIN EN 1990
Darstellung der maßgebenden Kombinationen

| | Ek | Σ (γ*ψ*EW) | |
|---|---|---|---|
| ständig/vorüberg. | 2 | 1.35*Gk | +1.50*Qk.N |
| | 3 | 1.00*Gk | |

## Mat./Querschnitt

Material- und Querschnittswerte nach DIN EN 1992-1-1:2011-01

### Querschnitt

| QS | Art | h [cm] | b [cm] | A [cm²] | I [cm⁴] |
|---|---|---|---|---|---|
| 1 | PL | 20.0 | 120.0 | 2400 | 2880000 |
| 2 | PL | 20.0 | 120.0 | 2400 | 2880000 |

### Stahlbeton

| Material | $f_{yk}$ [N/mm²] | $f_{ck}$ [N/mm²] | E [N/mm²] |
|---|---|---|---|
| *C 25/30* | | 25.0 | 31000 |
| *B 500SA* | 500.0 | | 200000 |

### Mauerwerk

an Auflagern S1, S2 *SFK 8/DM (Z-17.1-1018)*
Steinart Unipor
Steintyp UNIPOR W08 Novatherm Planziegel
Steindruckfestigkeitsklasse SFK 8
Mörtelgruppe Dünnbettmörtel DM
charakt. Druckfestigkeit $f_k$ = 2.60 N/mm²

### Expositionsklassen Abs. 4.2, 4.4

Expositionsklassen

| Kante | Kl | Kommentar |
|---|---|---|
| umlaufend | XC1 | trocken oder ständig nass |

### Bewehrungsanordnung

Achsabstände, Betondeckungen

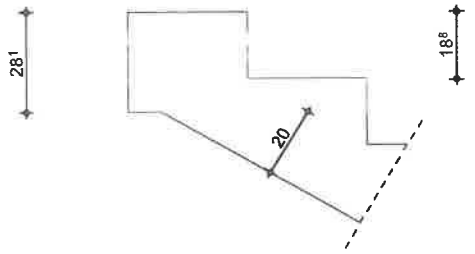
| Ri. | $c_{min,o}$ [mm] | $\Delta c_{dev,o}$ [mm] | $d'_o$ [mm] | $c_{min,u}$ [mm] | $\Delta c_{dev,u}$ [mm] | $d'_u$ [mm] |
|---|---|---|---|---|---|---|
| x | 10 | 10 | 23 | 10 | 10 | 24 |
| y | 10 | 10 | 29 | 10 | 10 | 32 |



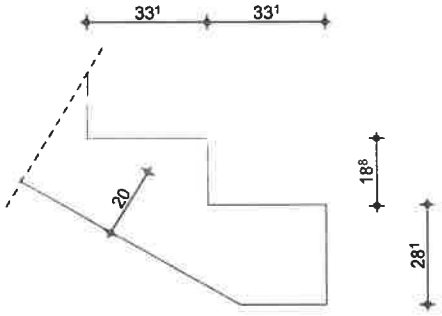

durch Vergleichsrechnung geprüft

Grafik
M 1:20

Austritt




Antritt




Bemessung (GZT)

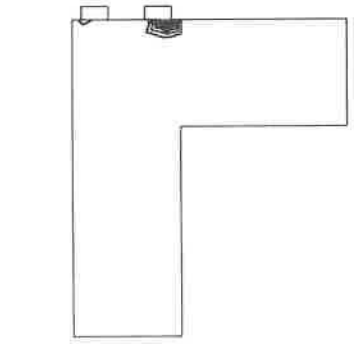
für den Grenzzustand der Tragfähigkeit nach DIN EN 1992-1-1:2011-01
- Die maßgebende Querkraft wird im Abstand d vom Auflagerrand angenommen nach Abs. 6.2.1(8).
- Die Mindestbewehrung für Biegung nach 9.3.1.1 ist berücksichtigt.
- Die Platte wird drillweich angenommen.

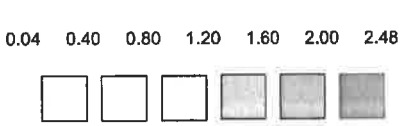
Biegung
Abs. 6.1

Bemessung für Biegebeanspruchung

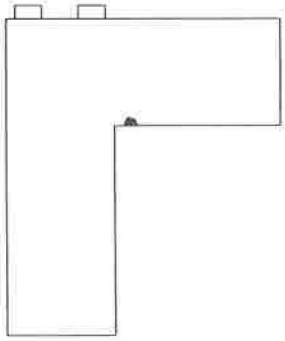
obere Lage

$a_{s,o,x,erf}$ [cm²/m]

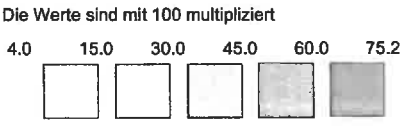





$a_{s,o,y,erf}$ [cm²/m]



Die Werte sind mit 100 multipliziert

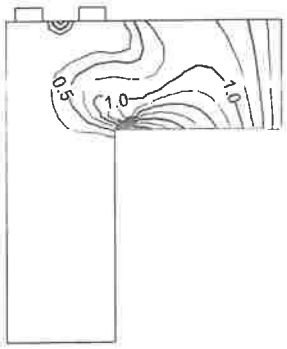




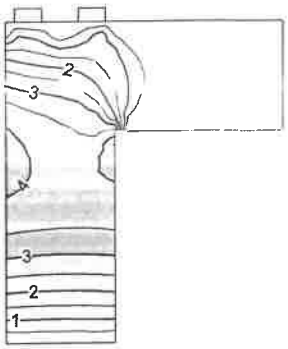

durch Vergleichsrechnung geprüft

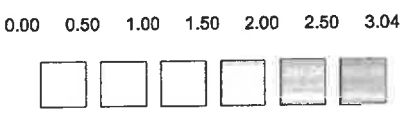
untere Lage

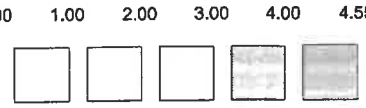
$a_{s,u,x,erf}$ [cm²/m]




$a_{s,u,y,erf}$ [cm²/m]




obere Bewehrung

| Ek | x | y | $m_{x,Ed}$<br>$m_{y,Ed}$ | $z_x$<br>$z_y$ | $a_{s,x}$<br>$a_{s,y}$ | $a_{sm,x}$<br>$a_{sm,y}$ |
|---|---|---|---|---|---|---|
| | [m] | [m] | [kNm/m] | [cm] | [cm²/m] | [cm²/m] |
| *Antritt* 2 | 0.00 | 0.00 | -2.41 | 17.7 | 0.30 | 2.18M |
| 2 | 0.00 | 3.55 | -1.00 | 17.1 | 0.13 | 0.44M |
| *Austritt* 2 | 1.10 | 3.55 | -19.49 | 17.7 | 2.48 | 2.25M |
| 2 | 1.35 | 2.35 | -5.80 | 17.1 | 0.75 | 0.45M |

M: Mindestbewehrung nach Abs. 9.3.1.1

untere Bewehrung

| Ek | x | y | $m_{x,Ed}$<br>$m_{y,Ed}$ | $z_x$<br>$z_y$ | $a_{s,x}$<br>$a_{s,y}$ | $a_{sm,x}$<br>$a_{sm,y}$ |
|---|---|---|---|---|---|---|
| | [m] | [m] | [kNm/m] | [cm] | [cm²/m] | [cm²/m] |
| *Antritt* 2 | 1.20 | 2.35 | 4.39 | 17.6 | 0.55 | 0.78M |
| 2 | 1.20 | 2.19 | 33.32 | 16.8 | 4.55 | 3.88 |
| *Austritt* 2 | 1.35 | 2.35 | 23.70 | 17.6 | 3.04 | 2.29M |
| 3 | 1.20 | 2.35 | 14.29 | 16.8 | 3.61 | 0.84 |

M: Mindestbewehrung nach Abs. 9.3.1.1

Für die Bewehrungswahl wird erf.$a_s$ über ein Drittel der Laufbreite gemittelt ($a_{sm}$).

X und Y sind globale Koordinaten.

Querkraft
Abs. 6.2

Bemessung für Querkraftbeanspruchung

| Ek | x | y | $V_{Ed}$ | $V_{Rd,ct}$ | $a_{s,w}$ |
|---|---|---|---|---|---|
| | [m] | [m] | [kN/m] | [kN/m] | [cm²/m²] |
| *Antritt* 2 | 0.00 | 0.00 | 31.57 | 86.13 | - |
| 2 | 0.00 | 2.35 | 7.61 | 85.14 | - |
| *Austritt* 2 | 1.20 | 2.35 | 43.07 | 85.14 | - |

X und Y sind globale Koordinaten.

Bewehrungswahl

untere Bewehrung

| Lage | gew. längs | $a_s$ [cm²/m] | gew. quer | $a_s$ [cm²/m] |
|---|---|---|---|---|
| Antritt | *Ø8/10* | 5.03 | *Ø6/15* | 1.88 |
| Austritt | *Ø8/15* | 3.35 | *Ø6/15* | 1.88 |



durch Vergleichsrechnung geprüft

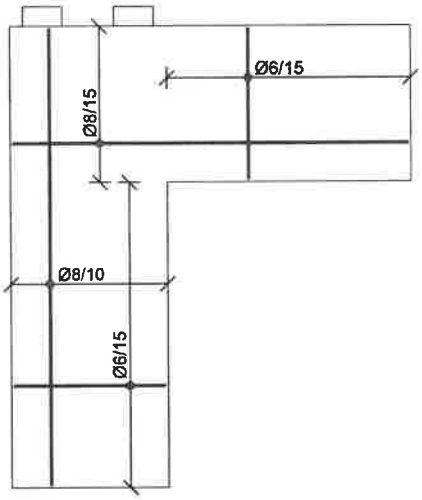
obere Bewehrung

| Lage | gew. längs | $a_s$ [cm²/m] | gew. quer | $a_s$ [cm²/m] |
|---|---|---|---|---|
| Antritt | *Ø6/15* | 1.88 | *Ø6/10* | 2.83 |
| Austritt | *Ø6/10* | 2.83 | *Ø6/15* | 1.88 |

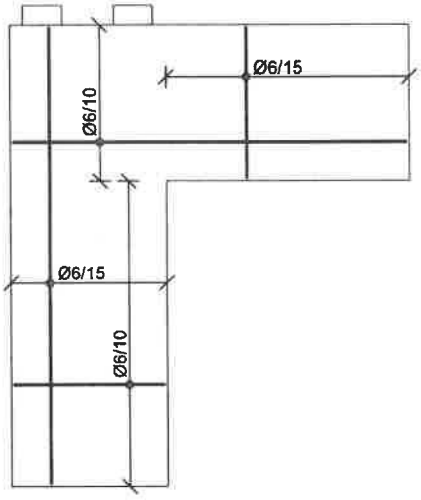
Querkraftbewehrung ist nicht erforderlich.

Grafik
M 1:55

Untere Bewehrung




Obere Bewehrung




Nachweise (GZT)

für den Grenzzustand der Tragfähigkeit nach DIN EN 1992-1-1:2011-01, DIN EN 1996

Mauerwerksauflager
Abs. 6.1.3

| Lager | Ek | β [-] | $A_b$ [cm²] | $f_d$ [N/mm²] | $N_{Ed,c}$ [kN] | $N_{Rd,c}$ [kN] | η [-] |
|---|---|---|---|---|---|---|---|
| S1 | GK | 1.50 | 450.0$_A$ | 1.47 | 20.95 | 99.45 | 0.21 |
| S2 | GK | 1.50 | 450.0$_A$ | 1.47 | 26.69 | 99.45 | 0.27 |

GK: Grundkombination
A: Tragrichtung senkrecht zur Wandrichtung

Auflagerkräfte

Auflagerkräfte Treppe

Char. Auflagerkr.

Charakteristische Auflagerkräfte (je Einwirkung)

Punktlager

| | Aufl. | $F_{z,k}$ [kN] |
|---|---|---|
| Einw. *Gk* | S1 | 11.23 |
| | S2 | 14.31 |
| Einw. *Qk.N* | S1 | 3.86 |
| | S2 | 4.91 |

Linienlager

| | Aufl. | $f_{z,k}$ [kN/m] |
|---|---|---|
| Einw. *Gk* | A | 16.54 |
| | B | 9.37 |
| Einw. *Qk.N* | A | 5.68 |
| | B | 3.22 |



durch Vergleichsrechnung geprüft

Bem.-auflagerkräfte — Bemessungsauflagerkräfte

ständig/vorüberg.

Punktlager

| Aufl. | $F_{z,d,min}$ [kN] | EK | $F_{z,d,max}$ [kN] | EK |
|---|---|---|---|---|
| S1 | 11.23 | 3 | 20.95 | 2 |
| S2 | 14.31 | 3 | 26.69 | 2 |

ständig/vorüberg.

Linienlager

| Aufl. | $f_{z,d,min}$ [kN/m] | EK | $f_{z,d,max}$ [kN/m] | EK |
|---|---|---|---|---|
| A | 16.54 | 3 | 30.84 | 2 |
| B | 9.37 | 3 | 17.48 | 2 |

Zusammenfassung — Zusammenfassung der Nachweise

Nachweise (GZT) — Nachweise im Grenzzustand der Tragfähigkeit

| Nachweis | Ort | | η [-] |
|---|---|---|---|
| Bewehrungswahl | | OK | |
| Mauerwerksauflager | S2 | OK | 0.27 |

Nachweise (GZG) — Nachweise im Grenzzust. der Gebrauchstauglichkeit

| Nachweis | Lage | | η [-] |
|---|---|---|---|
| Biegeschlankheit | links | OK | 0.60 |




durch Vergleichsrechnung geprüft

## Gewählte Schöck-Tronsolen: 2x Schöck Tronsole Typ Z-V-T

| Schöck Tronsole® Typ | Z-V | Z-V+V | Z-VH+VH |
|---|---|---|---|
| Bemessungswerte bei | | Betonfestigkeit ≥ C20/25 | |
| $V_{Rd,z}$ [kN/Element] | 75,0 | 75,0/-15,0 | 75,0/-15,0 |
| $V_{Rd,y}$ [kN/Element] | - | - | ±15,0 |

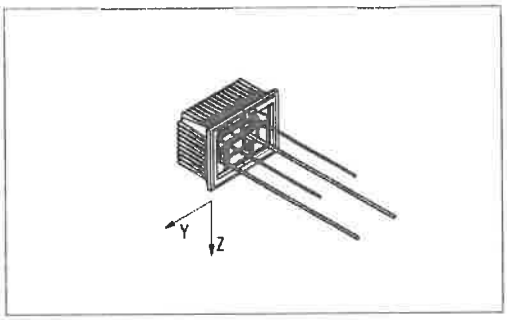



*Abb. 139: Schöck Tronsole® Typ Z: Vorzeichenregel für die Bemessung*

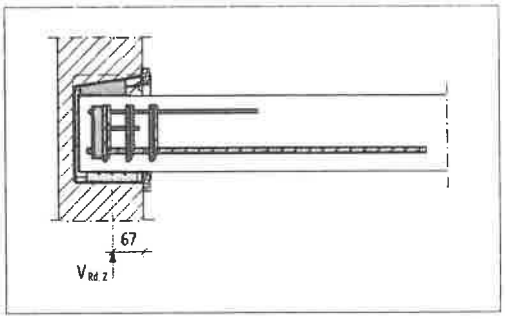



*Abb. 140: Schöck Tronsole® Typ Z: Darstellung der Wirkungslinie der Auflagerkraft in der Wand*

**Bemessung positive Fertigung**

| Schöck Tronsole Typ | T-V2 | T-V4 | T-V6 | T-V7 | T-V8 |
|---|---|---|---|---|---|
| Bemessungswerte bei | | | Betonfestigkeit ≥ C20/25 | | |
| Tronsole®-Höhe H [mm] | | | $V_{Rd,z}$ [kN/Element] | | |
| 160 - 170 | 14,3 | 28,6 | 42,9 | 50,1 | 57,2 |
| 180 - 320 | 17,4 | 34,8 | 52,2 | 60,9 | 69,6 |
| | | | $V_{Rd,y}$ [kN/Element] | | |
| 160 - 320 | ±1,6 | ±3,3 | ±5,0 | ±5,8 | ±6,6 |

**Bemessung negative Fertigung**

| Schöck Tronsole Typ | T-V2-NF | T-V4-NF | T-V6-NF | T-V7-NF | T-V8-NF |
|---|---|---|---|---|---|
| Bemessungswerte bei | Betonfestigkeit Podest ≥ C20/25, Treppenlauf ≥ C30/37 | | | | |
| Tronsole®-Höhe H [mm] | $V_{Rd,z}$ [kN/Element] | | | | |
| 160 - 170 ($h_A$ ≥ 180 mm) | 14,3 | 28,6 | 42,9 | 50,1 | 57,2 |
| 180 - 320 | 17,4 | 34,8 | 52,2 | 60,9 | 69,6 |
| | $V_{Rd,y}$ [kN/Element] | | | | |
| 160 - 320 | ±1,6 | ±3,3 | ±5,0 | ±5,8 | ±6,6 |

| Schöck Tronsole® Typ | T-V2 | T-V4 | T-V6 | T-V7 | T-V8 |
|---|---|---|---|---|---|
| Tronsole®-Höhe H [mm] | 160 - 320 | | | | |
| Tronsole®-Länge L [mm] | 700 - 1300 | 700 - 2000 | 1000 - 2000 | 1150 - 1450 | 1300 - 2000 |
| Dicke t der Tronsole® [mm] | 14 | | | | |

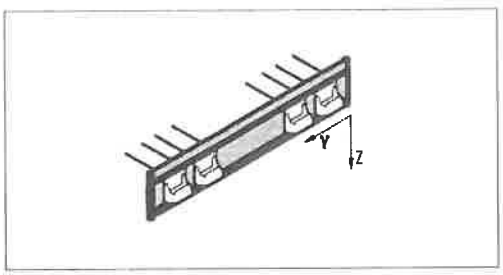



*Abb. 47: Schöck Tronsole® Typ T: Vorzeichenregel für die Bemessung*

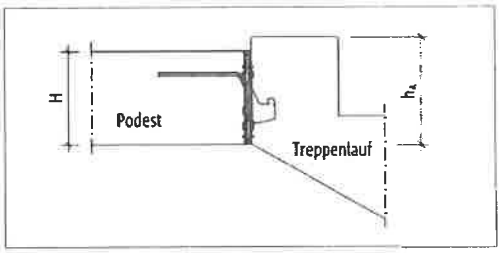



*Abb. 48: Schöck Tronsole® Typ T: Anschlusshöhe $h_A$*



durch Vergleichsrechnung geprüft

# Bauseitige Bewehrung - Ortbetonbauweise

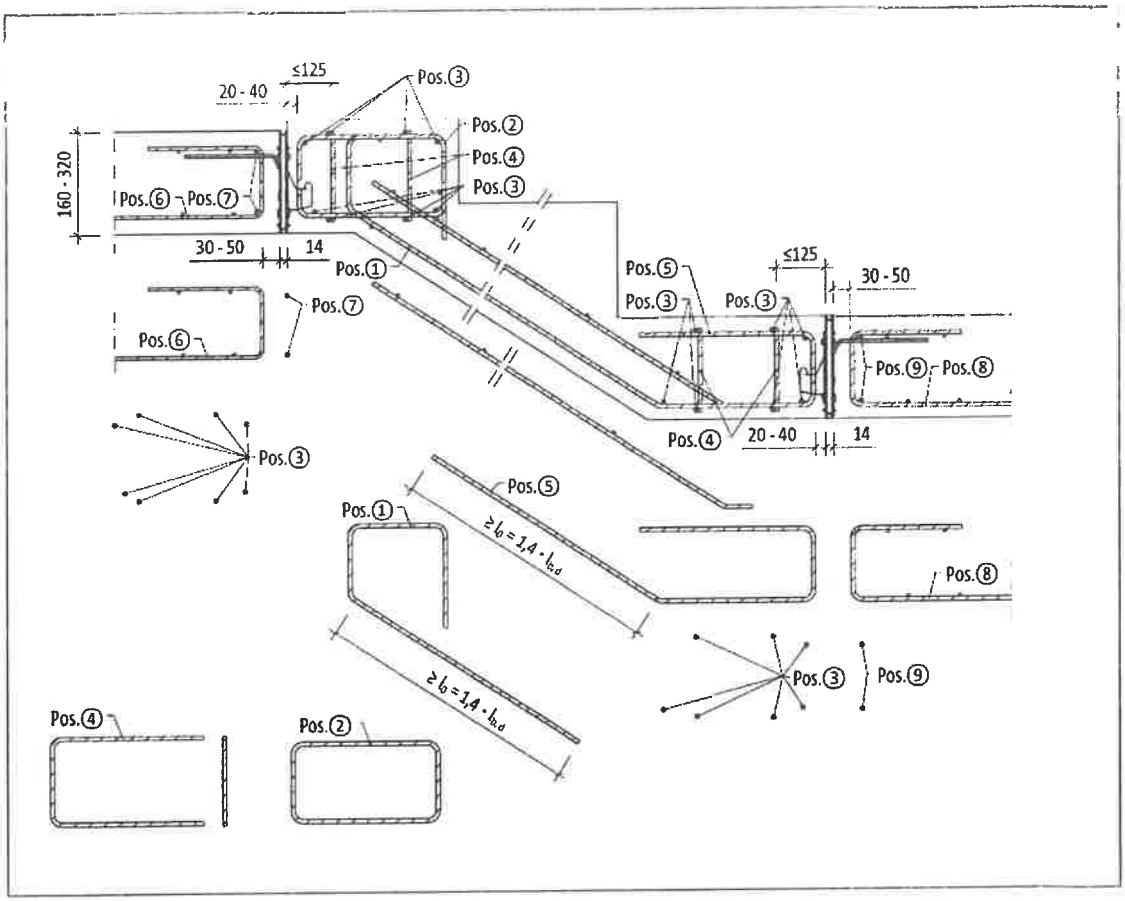



*Abb. 49: Schöck Tronsole® Typ T: Bauseitige Bewehrung*




durch Vergleichsrechnung geprüft

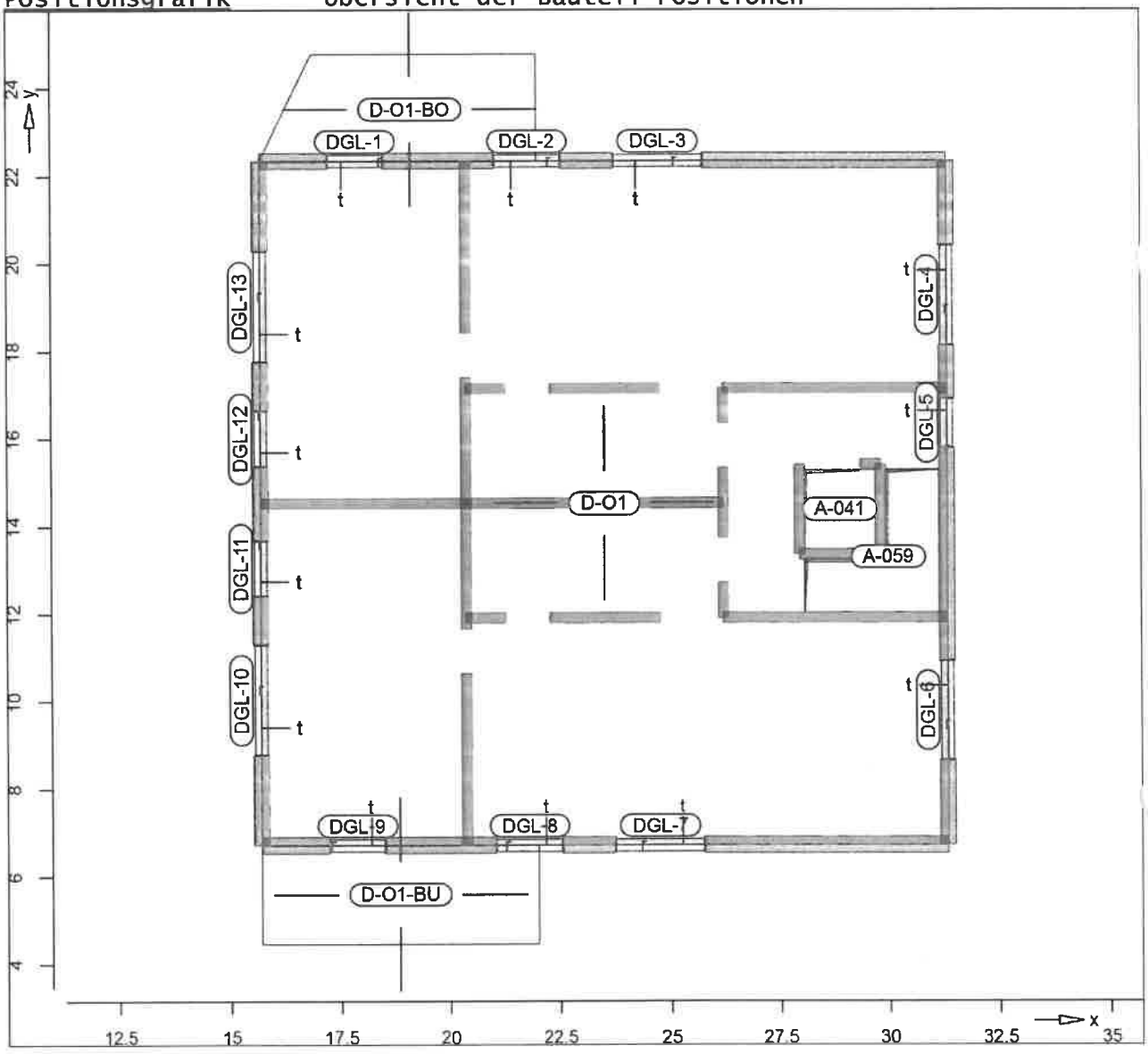
## Pos. 3.02 Stb-Decke

### System

Positionsplan Positionsplan

Bauteile Bauteil-Positionen

Positionsgrafik Übersicht der Bauteil-Positionen




Platten Platten-Positionen

Stahlbeton

| Position | Winkel [°] | Art | Material Längs | Material Quer | Dicke [cm] |
|---|---|---|---|---|---|
| D-O1 | 0.0 | ort | *C 25/30 Q B 500MA* | *B 500SA* | 22.0 |



durch Vergleichsrechnung geprüft

| Position | Winkel [°] | Art | Material Längs | Material Quer | Dicke [cm] |
|---|---|---|---|---|---|
| D-O1-BO, D-O1-BU | 0.0 | iso | *C 25/30* Q<br>*B 500MA* | *B 500SA* | 22.0 |

Winkel: Bewehrungsrichtung r
iso: isotropes Material
ort: orthotropes Material
Q: Gesteinskörnung Quarzit

## Orthotrop

| Position | $\alpha_{E1}$ [°] | E2/E1 |
|---|---|---|
| D-O1 | 0.00 | 1.00 |

## Abminderung

| Position | $F_M$ | $F_S$ | $F_B$ | $F_D$ |
|---|---|---|---|---|
| D-O1 | - | - | 0.00 | 0.25 |

$F_M$: Abminderungsfaktor für die Membransteifigkeit
$F_S$: Abminderungsfaktor für die Schubsteifigkeit Scheibe
$F_B$: Abminderungsfaktor für die Biegesteifigkeit Platte
$F_D$: Abminderungsfaktor für die Drillsteifigkeit Platte

## Expositionsklasse

gemäß DIN EN 1992-1-1, Tab. 4.1

| Position | Seite | | Kl | Kommentar |
|---|---|---|---|---|
| D-O1 | umlaufend | | XC1 | trocken oder ständig nass |
| D-O1-BO | oben | b | XC4 | wechselnd nass und trocken |
| | unten | b | XC3 | mäßige Feuchte |
| D-O1-BU | oben | b | XC4 | wechselnd nass und trocken |
| | unten | b | XC3 | mäßige Feuchte |

b: Verminderung des Vorhaltemaßes um 5 mm nach NDP zu 4.4.1.3(3)

## Koordinaten

| Position | x [m] | y [m] |
|---|---|---|
| D-O1 | 31.31 | 6.71 |
| | 31.31 | 22.34 |
| | 15.69 | 22.34 |
| | 15.69 | 6.71 |
| D-O1-BO | 15.69 | 22.34 |
| | 22.00 | 22.34 |
| | 22.00 | 24.77 |
| | 16.88 | 24.77 |
| D-O1-BU | 15.69 | 4.46 |
| | 22.00 | 4.46 |
| | 22.00 | 6.71 |
| | 15.69 | 6.71 |

## Aussparungen

| Position | x [m] | y [m] |
|---|---|---|
| A-041 | 29.68 | 13.48 |
| | 29.68 | 15.28 |
| | 28.08 | 15.28 |
| | 28.08 | 13.48 |
| A-059 | 31.13 | 12.03 |
| | 31.13 | 15.28 |
| | 29.93 | 15.28 |
| | 29.93 | 13.23 |
| | 28.08 | 13.23 |
| | 28.08 | 12.03 |

## Unterzüge

Unterzug-Positionen




durch Vergleichsrechnung geprüft

## Stahlbeton

| Position | Länge [m] | Betonstahl Längs | Betonstahl Bügel | Beton |
|---|---|---|---|---|
| DGL-1 | 1.26 | B 500SA | B 500SA | C 25/30 Q |
| DGL-2 | 1.51 | B 500SA | B 500SA | C 25/30 Q |
| DGL-3 | 2.01 | B 500SA | B 500SA | C 25/30 Q |
| DGL-4 | 2.26 | B 500SA | B 500SA | C 25/30 Q |
| DGL-5 | 1.11 | B 500SA | B 500SA | C 25/30 Q |
| DGL-6 | 2.26 | B 500SA | B 500SA | C 25/30 Q |
| DGL-7 | 2.01 | B 500SA | B 500SA | C 25/30 Q |
| DGL-8 | 1.51 | B 500SA | B 500SA | C 25/30 Q |
| DGL-9 | 1.26 | B 500SA | B 500SA | C 25/30 Q |
| DGL-10 | 2.51 | B 500SA | B 500SA | C 25/30 Q |
| DGL-11, DGL-12 | 1.26 | B 500SA | B 500SA | C 25/30 Q |
| DGL-13 | 2.51 | B 500SA | B 500SA | C 25/30 Q |

Q: Gesteinskörnung Quarzit

## Querschnitt

| Position | Exz. [cm] | $b_{Pl}$ [cm] | $h_f$ [cm] | $b_w$ [cm] | h [cm] |
|---|---|---|---|---|---|
| DGL-1..DGL-13 | ZB | 28.5 | 0.0 | 28.5 | 22.0 |

ZB: zentrisch angeschlossener Balken

## Expositionsklasse

gemäß DIN EN 1992-1-1, Tab. 4.1

| Position | Seite | Kl | Kommentar |
|---|---|---|---|
| DGL-1..DGL-13 | umlaufend | XC1 | trocken oder ständig nass |

## Koordinaten

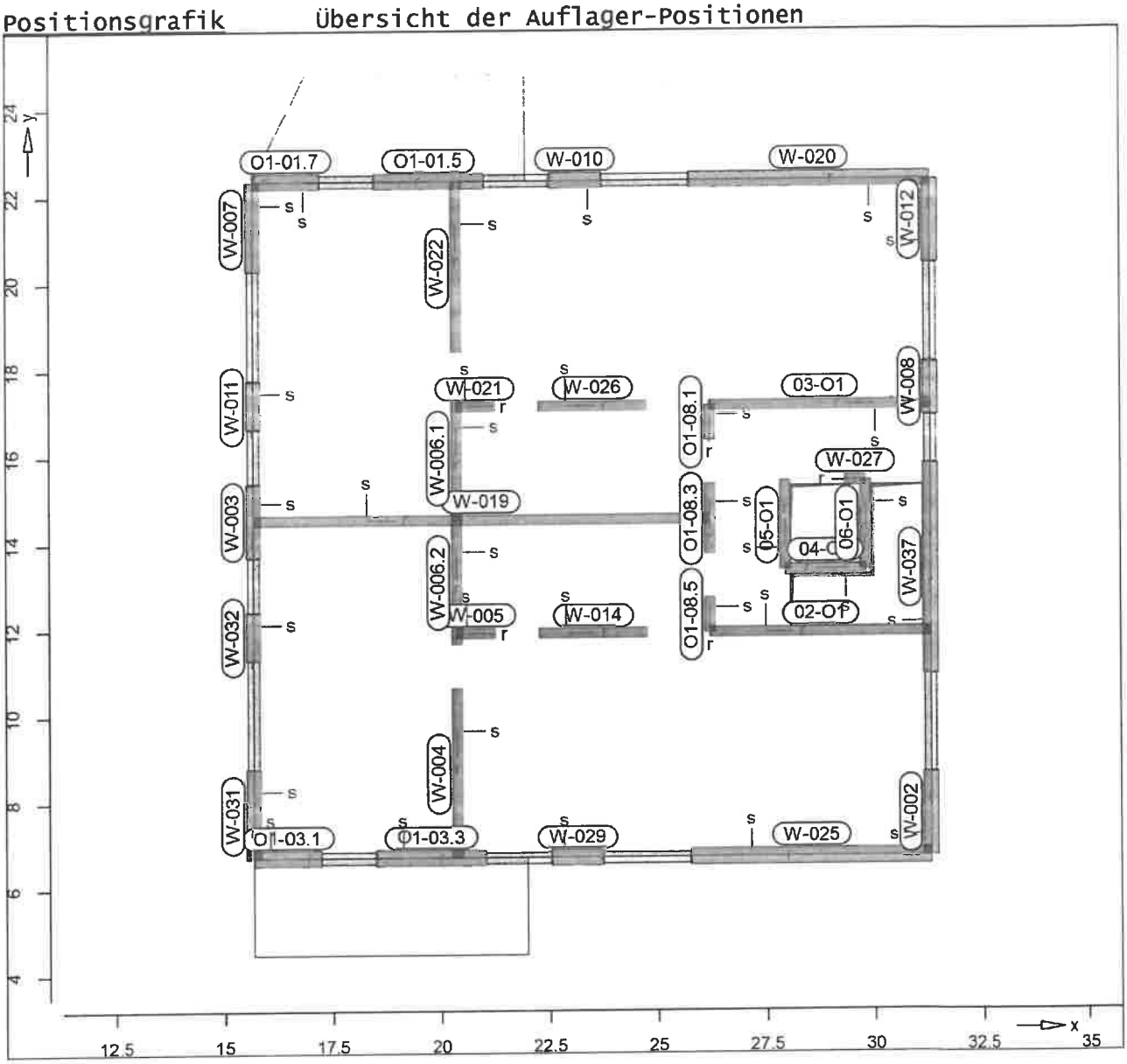
| Position | x [m] | y [m] |
|---|---|---|
| DGL-1 | 17.24 | 22.34 |
| | 18.50 | 22.34 |
| DGL-2 | 21.04 | 22.34 |
| | 22.55 | 22.34 |
| DGL-3 | 23.74 | 22.34 |
| | 25.75 | 22.34 |
| DGL-4 | 31.31 | 20.40 |
| | 31.31 | 18.14 |
| DGL-5 | 31.31 | 16.90 |
| | 31.31 | 15.79 |
| DGL-6 | 31.31 | 10.92 |
| | 31.31 | 8.66 |
| DGL-7 | 25.75 | 6.71 |
| | 23.74 | 6.71 |
| DGL-8 | 22.55 | 6.71 |
| | 21.04 | 6.71 |
| DGL-9 | 18.50 | 6.71 |
| | 17.24 | 6.71 |
| DGL-10 | 15.69 | 8.78 |
| | 15.69 | 11.29 |
| DGL-11 | 15.69 | 12.42 |
| | 15.69 | 13.68 |
| DGL-12 | 15.69 | 15.38 |
| | 15.69 | 16.64 |
| DGL-13 | 15.69 | 17.76 |
| | 15.69 | 20.27 |




durch Vergleichsrechnung geprüft

## Auflager — Auflager-Positionen

### Positionsgrafik — Übersicht der Auflager-Positionen




## Wandlager — Wandlager-Positionen

### Stahlbeton

| Position | Höhe [m] | Länge [m] | Material | Dicke [cm] |
|---|---|---|---|---|
| 04-O1 | 3.00 | 1.85 | *C 25/30 Q B 500MA* | 25.0 |
| 05-O1, 06-O1 | 3.00 | 2.05 | *C 25/30 Q B 500MA* | 25.0 |
| W-027 | 3.00 | 0.48 | *C 25/30 Q B 500MA* | 25.0 |

Q: Gesteinskörnung Quarzit

### Mauerwerk

| Position | Höhe [m] | Länge [m] | Material | Dicke [cm] |
|---|---|---|---|---|
| 02-O1, 03-O1 | 3.00 | 5.10 | *Z-17.1-845-Vn* | 24.0 |



durch Vergleichsrechnung geprüft

| Position | Höhe [m] | Länge [m] | Material | Dicke [cm] |
|---|---|---|---|---|
| O1-01.5 | 3.00 | 2.53 | Z-17.1-844-I 2 DM 20 DM | 36.5 |
| O1-01.7, O1-03.1 | 3.00 | 1.56 | Z-17.1-844-I 2 DM | 36.5 |
| O1-03.3 | 3.00 | 2.53 | Z-17.1-844-I 2 DM | 36.5 |
| O1-08.1 | 3.00 | 0.80 | Z-17.1-845-Vn 20 DM | 24.0 |
| O1-08.3 | 3.00 | 1.62 | Z-17.1-845-Vn 20 DM | 24.0 |
| O1-08.5 | 3.00 | 0.80 | Z-17.1-845-Vn 20 DM | 24.0 |
| W-002 | 3.00 | 1.94 | Z-17.1-844-I 2 DM | 36.5 |
| W-003 | 3.00 | 1.70 | Z-17.1-844-I 2 DM | 36.5 |
| W-004 | 3.00 | 3.93 | Z-17.1-845-Vn 12 DM | 24.0 |
| W-005 | 3.00 | 0.90 | Z-17.1-845-Vn 12 DM | 24.0 |
| W-006.1, W-006.2 | 3.00 | 2.87 | Z-17.1-845-Vn 12 DM | 24.0 |
| W-007 | 3.00 | 2.07 | Z-17.1-844-I 2 DM | 36.5 |
| W-008 | 3.00 | 1.23 | Z-17.1-844-I 2 DM | 36.5 |
| W-010 | 3.00 | 1.19 | Z-17.1-844-I 2 DM | 36.5 |
| W-011 | 3.00 | 1.12 | Z-17.1-844-I 2 DM | 36.5 |
| W-012 | 3.00 | 1.94 | Z-17.1-844-I 2 DM | 36.5 |
| W-014 | 3.00 | 2.49 | Z-17.1-845-Vn 12 DM | 24.0 |
| W-019 | 3.00 | 10.52 | Z-17.1-845-Vn 20 DM | 24.0 |
| W-020 | 3.00 | 5.57 | Z-17.1-844-I 2 DM | 36.5 |
| W-021 | 3.00 | 0.90 | Z-17.1-845-Vn 12 DM | 24.0 |
| W-022 | 3.00 | 3.93 | Z-17.1-845-Vn 12 DM | 24.0 |
| W-025 | 3.00 | 5.57 | Z-17.1-844-I 2 DM | 36.5 |
| W-026 | 3.00 | 2.49 | Z-17.1-845-Vn 12 DM | 24.0 |
| W-029 | 3.00 | 1.19 | Z-17.1-844-I 2 DM | 36.5 |
| W-031 | 3.00 | 2.07 | Z-17.1-844-I 2 DM | 36.5 |
| W-032 | 3.00 | 1.13 | Z-17.1-844-I 2 DM | 36.5 |
| W-037 | 3.00 | 4.87 | Z-17.1-844-I 2 DM | 36.5 |




durch Vergleichsrechnung geprüft

## Federsteifigkeiten

| Position | $K_{R,r}$ [kNm/rad/m] | $K_{R,s}$ [kNm/rad/m] | | $K_{T,t}$ [kN/m/m] |
|---|---|---|---|---|
| 02-01, 03-01 | frei | frei | +/- | 1920000 |
| 04-01, 05-01, 06-01 | frei | frei | +/- | 2583333 |
| 01-01.5, 01-01.7, 01-03.1, 01-03.3 | frei | frei | +/- | 184933 |
| 01-08.1, 01-08.3, 01-08.5 | frei | frei | +/- | 1920000 |
| W-002, W-003 | frei | frei | +/- | 184933 |
| W-004, W-005, W-006.1, W-006.2 | frei | frei | +/- | 1324800 |
| W-007, W-008, W-010..W-012 | frei | frei | +/- | 184933 |
| W-014 | frei | frei | +/- | 1324800 |
| W-019 | frei | frei | +/- | 1920000 |
| W-020 | frei | frei | +/- | 184933 |
| W-021, W-022 | frei | frei | +/- | 1324800 |
| W-025 | frei | frei | +/- | 184933 |
| W-026 | frei | frei | +/- | 1324800 |
| W-027 | frei | frei | +/- | 2583333 |
| W-029, W-031, W-032, W-037 | frei | frei | +/- | 184933 |

## Koordinaten

| Position | x [m] | y [m] |
|---|---|---|
| 02-01 | 26.21 | 11.91 |
| | 31.31 | 11.91 |
| 03-01 | 31.31 | 17.15 |
| | 26.21 | 17.15 |
| 04-01 | 29.81 | 13.35 |
| | 27.96 | 13.35 |
| 05-01 | 27.96 | 13.35 |
| | 27.96 | 15.40 |
| 06-01 | 29.81 | 15.40 |
| | 29.81 | 13.35 |
| 01-01.5 | 21.04 | 22.34 |
| | 18.50 | 22.34 |
| 01-01.7 | 17.24 | 22.34 |
| | 15.69 | 22.34 |
| 01-03.1 | 15.69 | 6.71 |
| | 17.24 | 6.71 |
| 01-03.3 | 18.50 | 6.71 |
| | 21.04 | 6.71 |
| 01-08.1 | 26.21 | 17.15 |
| | 26.21 | 16.35 |
| 01-08.3 | 26.21 | 15.34 |
| | 26.21 | 13.72 |
| 01-08.5 | 26.21 | 12.71 |
| | 26.21 | 11.91 |
| W-002 | 31.31 | 6.71 |



durch Vergleichsrechnung geprüft

| Position | x [m] | y [m] |
|---|---|---|
| | 31.31 | 8.66 |
| W-003 | 15.69 | 15.38 |
| | 15.69 | 13.68 |
| W-004 | 20.38 | 10.65 |
| | 20.38 | 6.71 |
| W-005 | 20.38 | 11.91 |
| | 21.28 | 11.91 |
| W-006.1 | 20.38 | 17.40 |
| | 20.38 | 14.53 |
| W-006.2 | 20.38 | 14.53 |
| | 20.38 | 11.66 |
| W-007 | 15.69 | 22.34 |
| | 15.69 | 20.27 |
| W-008 | 31.31 | 16.90 |
| | 31.31 | 18.14 |
| W-010 | 23.74 | 22.34 |
| | 22.55 | 22.34 |
| W-011 | 15.69 | 17.76 |
| | 15.69 | 16.64 |
| W-012 | 31.31 | 20.40 |
| | 31.31 | 22.34 |
| W-014 | 22.29 | 11.91 |
| | 24.77 | 11.91 |
| W-019 | 15.69 | 14.53 |
| | 26.21 | 14.53 |
| W-020 | 31.31 | 22.34 |
| | 25.75 | 22.34 |
| W-021 | 20.38 | 17.15 |
| | 21.28 | 17.15 |
| W-022 | 20.38 | 22.34 |
| | 20.38 | 18.41 |
| W-025 | 25.75 | 6.71 |
| | 31.31 | 6.71 |
| W-026 | 22.29 | 17.15 |
| | 24.77 | 17.15 |
| W-027 | 29.81 | 15.40 |
| | 29.33 | 15.40 |
| W-029 | 22.55 | 6.71 |
| | 23.74 | 6.71 |
| W-031 | 15.69 | 8.78 |
| | 15.69 | 6.71 |
| W-032 | 15.69 | 12.42 |
| | 15.69 | 11.29 |
| W-037 | 31.31 | 10.92 |
| | 31.31 | 15.79 |

Material

Stahlbeton
DIN EN 1992-1-1

Materialkennwerte

| Position | Material | Wichte [kN/m³] | $E_{cm}$ G [N/mm²] | $f_{ck}$ $f_{ctm}$ [N/mm²] |
|---|---|---|---|---|
| 04-01, 05-01, 06-01, D-01, D-01-BO, D-01-BU, DGL-1..DGL-13, W-027 | C 25/30 Q | 25.00 | 31000 | 25.00 |
| | | | 12900 | 2.60 |

Q: Gesteinskörnung Quarzit



durch Vergleichsrechnung geprüft

## Betonstahl
DIN EN 1992-1-1

| Position | Material | Wichte [kN/m³] | $E_s$ G [N/mm²] | $f_{yk}$ $f_{tk,cal}$ [N/mm²] |
|---|---|---|---|---|
| 04-01, 05-01, 06-01, D-01, D-01-BO, D-01-BU, W-027 | B 500MA | 78.50 | 200000 | 500.00 |
| | | | 77000 | 525.00 |
| D-01, D-01-BO, D-01-BU, DGL-1..DGL-13 | B 500SA | 78.50 | 200000 | 500.00 |
| | | | 77000 | 525.00 |

## Mauerwerk
DIN EN 1996-1-1

| Position | Material | Wichte Dichte [kN/m³] [kg/dm³] | E G [N/mm²] | $f_k$ [N/mm²] |
|---|---|---|---|---|
| 01-01.5, 01-01.7, 01-03.1, 01-03.3, W-002, W-003, W-007, W-008, W-010..W-012, W-020, W-025, W-029, W-031, W-032, W-037 | Z-17.1-844-I 2 DM | 5.50 | 1520 | 1.60 |
| | | 0.45 | 608 | |
| W-004, W-005, W-006.1, W-006.2, W-014, W-021, W-022, W-026 | Z-17.1-845-Vn 12 DM | 18.00 | 16560 | 6.90 |
| | | 1.80 | 6624 | |
| 02-01, 03-01, 01-08.1, 01-08.3, 01-08.5, W-019 | Z-17.1-845-Vn 20 DM | 20.00 | 24000 | 10.00 |
| | | 2.00 | 9600 | |

## Auswertung

Geometrische Auswertung der Positionen

## Flächen

Flächenförmige Bauteil-Positionen

### Stahlbeton

| Position | Dicke [cm] | Fläche [m²] | Volumen [m³] |
|---|---|---|---|
| D-01 | 22.0 | 235.11 | 51.72 |
| D-01-BO | 22.0 | 13.89 | 3.06 |
| D-01-BU | 22.0 | 14.19 | 3.12 |

## Unterzüge

Unterzug-Positionen

### Stahlbeton

| Position | $b_{(t)}$ [cm] | $h_{(s)}$ [cm] | Mantelfl. [m²] | Volumen [m³] |
|---|---|---|---|---|
| DGL-1 | 28.50 | 22.00 | 1.27 | 0.08 |
| DGL-2 | 28.50 | 22.00 | 1.53 | 0.09 |
| DGL-3 | 28.50 | 22.00 | 2.03 | 0.13 |
| DGL-4 | 28.50 | 22.00 | 2.28 | 0.14 |
| DGL-5 | 28.50 | 22.00 | 1.13 | 0.07 |
| DGL-6 | 28.50 | 22.00 | 2.28 | 0.14 |
| DGL-7 | 28.50 | 22.00 | 2.03 | 0.13 |



durch Vergleichsrechnung geprüft

| Position | $b_{(t)}$ [cm] | $h_{(s)}$ [cm] | Mantelfl. [m²] | Volumen [m³] |
|---|---|---|---|---|
| DGL-8 | 28.50 | 22.00 | 1.53 | 0.09 |
| DGL-9 | 28.50 | 22.00 | 1.27 | 0.08 |
| DGL-10 | 28.50 | 22.00 | 2.54 | 0.16 |
| DGL-11, DGL-12 | 28.50 | 22.00 | 1.27 | 0.08 |
| DGL-13 | 28.50 | 22.00 | 2.54 | 0.16 |

Wandlager — Wände der Wandlager-Positionen

Stahlbeton

| Position | Dicke [cm] | Höhe [cm] | Fläche [m²] | Volumen [m³] |
|---|---|---|---|---|
| 04-01 | 25.0 | 300.0 | 5.55 | 1.39 |
| 05-01, 06-01 | 25.0 | 300.0 | 6.15 | 1.54 |
| W-027 | 25.0 | 300.0 | 1.43 | 0.36 |

Mauerwerk

| Position | Dicke [cm] | Höhe [cm] | Fläche [m²] | Volumen [m³] |
|---|---|---|---|---|
| 02-01, 03-01 | 24.0 | 300.0 | 15.31 | 3.67 |
| 01-01.5 | 36.5 | 300.0 | 7.60 | 2.77 |
| 01-01.7, 01-03.1 | 36.5 | 300.0 | 4.67 | 1.70 |
| 01-03.3 | 36.5 | 300.0 | 7.60 | 2.77 |
| 01-08.1 | 24.0 | 300.0 | 2.40 | 0.58 |
| 01-08.3 | 24.0 | 300.0 | 4.86 | 1.17 |
| 01-08.5 | 24.0 | 300.0 | 2.40 | 0.58 |
| W-002 | 36.5 | 300.0 | 5.83 | 2.13 |
| W-003 | 36.5 | 300.0 | 5.10 | 1.86 |
| W-004 | 24.0 | 300.0 | 11.80 | 2.83 |
| W-005 | 24.0 | 300.0 | 2.70 | 0.65 |
| W-006.1, W-006.2 | 24.0 | 300.0 | 8.61 | 2.07 |
| W-007 | 36.5 | 300.0 | 6.20 | 2.26 |
| W-008 | 36.5 | 300.0 | 3.70 | 1.35 |
| W-010 | 36.5 | 300.0 | 3.57 | 1.30 |
| W-011 | 36.5 | 300.0 | 3.37 | 1.23 |
| W-012 | 36.5 | 300.0 | 5.83 | 2.13 |
| W-014 | 24.0 | 300.0 | 7.46 | 1.79 |
| W-019 | 24.0 | 300.0 | 31.57 | 7.58 |
| W-020 | 36.5 | 300.0 | 16.70 | 6.10 |
| W-021 | 24.0 | 300.0 | 2.70 | 0.65 |
| W-022 | 24.0 | 300.0 | 11.80 | 2.83 |
| W-025 | 36.5 | 300.0 | 16.70 | 6.10 |
| W-026 | 24.0 | 300.0 | 7.46 | 1.79 |
| W-029 | 36.5 | 300.0 | 3.57 | 1.30 |
| W-031 | 36.5 | 300.0 | 6.20 | 2.26 |
| W-032 | 36.5 | 300.0 | 3.38 | 1.23 |
| W-037 | 36.5 | 300.0 | 14.62 | 5.34 |

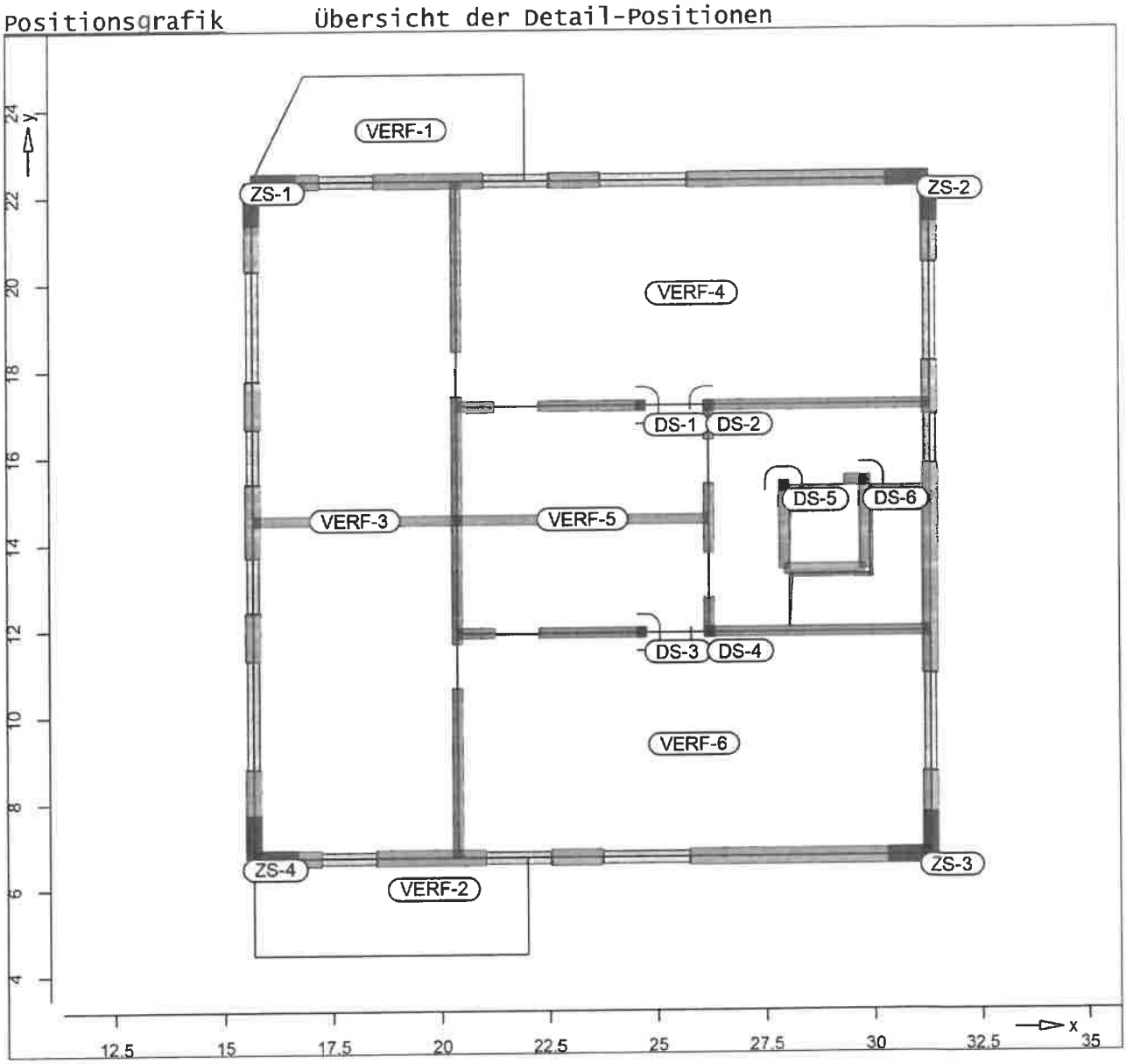


durch Vergleichsrechnung geprüft

Detailplan — Detailplan

Details — Detail-Positionen

Positionsgrafik — Übersicht der Detail-Positionen




Verf.nachw.bereiche

| Position | zul.$f_\infty$ [cm] | zul.$f_\infty$-$f_0$ [cm] |
|---|---|---|
| VERF-1 | 2.4 | |
| VERF-2 | 2.3 | |
| VERF-3 | 1.9 | 0.9 |
| VERF-4 | 2.1 | 1.0 |
| VERF-5 | 1.0 | 0.5 |
| VERF-6 | 2.1 | 1.0 |



**durch Vergleichsrechnung geprüft**

## Koordinaten

| Position | x [m] | y [m] |
|---|---|---|
| VERF-1 | 16.88 | 24.77 |
| | 15.69 | 22.34 |
| | 22.00 | 22.34 |
| | 22.00 | 24.77 |
| VERF-2 | 22.00 | 4.46 |
| | 22.00 | 6.71 |
| | 15.69 | 6.71 |
| | 15.69 | 4.46 |
| VERF-3 | 15.69 | 22.34 |
| | 20.38 | 22.34 |
| | 20.38 | 6.71 |
| | 15.69 | 6.71 |
| VERF-4 | 20.38 | 22.34 |
| | 31.31 | 22.34 |
| | 31.31 | 17.15 |
| | 20.38 | 17.15 |
| VERF-5 | 20.38 | 17.15 |
| | 26.21 | 17.15 |
| | 26.21 | 11.91 |
| | 20.38 | 11.91 |
| VERF-6 | 20.38 | 11.91 |
| | 31.31 | 11.91 |
| | 31.31 | 6.71 |
| | 20.38 | 6.71 |

## Durchstanzstellen

| Position | Lel von | MinBew | Rundsch | beta |
|---|---|---|---|---|
| DS-1 | unten | ja | nein | 1.35 |
| DS-2 | unten | ja | nein | 1.20 |
| DS-3 | unten | ja | nein | 1.35 |
| DS-4 | unten | ja | nein | 1.20 |
| DS-5 | oben | ja | nein | 1.35 |
| DS-6 | unten | ja | nein | 1.20 |

oben: Lasteinleitung erfolgt von oben
unten: Lasteinleitung erfolgt von unten
MinBew: Mindestbewehrung nach NCI Zu 9.4.3(2)?
Rundsch: Rundschnitt am Rand erweitern?

## Geometrie

Geometrie der Lasteinleitungsfläche

| Position | Typ | Winkel2 [°] | Winkel [°] | Breite [cm] | Länge [cm] |
|---|---|---|---|---|---|
| DS-1 | We | | 180.00 | 24.0 | 24.0 |
| DS-2 | Wk | 360.00 | 270.00 | 24.0 | 24.0 |
| DS-3 | We | | 180.00 | 24.0 | 24.0 |
| DS-4 | Wk | 0.00 | 90.00 | 24.0 | 24.0 |
| DS-5 | We | | 270.00 | 25.0 | 25.0 |
| DS-6 | Wk | 270.00 | 180.00 | 25.0 | 25.0 |

We: Wandende
Wk: Wandecke

## Koordinaten

| Position | X [m] | Y [m] |
|---|---|---|
| DS-1 | 24.77 | 17.15 |
| DS-2 | 26.21 | 17.15 |
| DS-3 | 24.77 | 11.91 |
| DS-4 | 26.21 | 11.91 |
| DS-5 | 27.96 | 15.40 |
| DS-6 | 29.81 | 15.40 |

## Zugkraftstellen

| Position | Betonstahl |
|---|---|
| ZS-1..ZS-4 | B 500SA |



durch Vergleichsrechnung geprüft

Koordinaten

| Position | x [m] | y [m] |
|---|---|---|
| ZS-1 | 15.69 | 22.34 |
| ZS-2 | 31.31 | 22.34 |
| ZS-3 | 31.31 | 6.71 |
| ZS-4 | 15.69 | 6.71 |

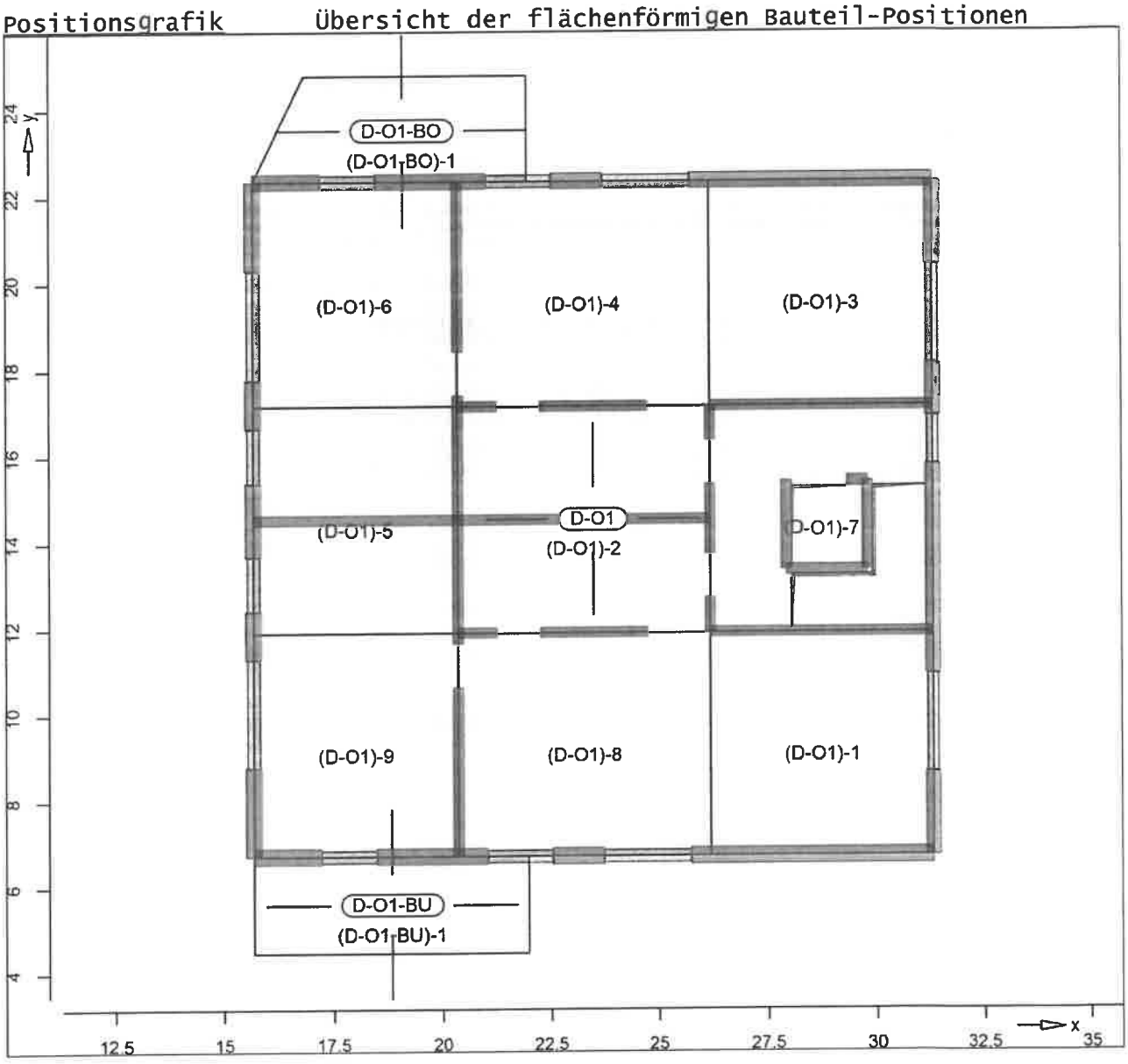
## Belastungen

Lastplan — Lasten des FE-Modells

Bauteillasten — Bauteilbezogene Lasten

Flächenpositionen — Flächenförmige Bauteil-Positionen

Positionsgrafik — Übersicht der flächenförmigen Bauteil-Positionen






durch Vergleichsrechnung geprüft

**Eigengewicht**

| Position | EW | Lastfall | Art | g [kN/m²] |
|---|---|---|---|---|
| D-01, D-01-BO, D-01-BU | Gk | LF-1 | PGr | 5.50 ✓ |

PGr: Gravitationslast; positive Lasten wirken senkrecht nach unten

**Sonstige ständige Last**

| Position | EW | Lastfall | Art | g [kN/m²] |
|---|---|---|---|---|
| D-01, D-01-BO, D-01-BU | Gk | LF-1 | PGr | 1.80* |

PGr: Gravitationslast; positive Lasten wirken senkrecht nach unten

**Nutzlast**

| Position | EW | Lastfall je Lastfeld | Art | p [kN/m²] |
|---|---|---|---|---|
| D-01 | Qk.N | (D-01)-1..(D-01)-9 | PGr | 2.70 ✓ |
| D-01-BO | Qk.N | (D-01-BO)-1 | PGr | 4.00 |
| D-01-BU | Qk.N | (D-01-BU)-1 | PGr | 4.00 ✓ |

PGr: Gravitationslast; positive Lasten wirken senkrecht nach unten

*wird als richtig vorausgesetzt



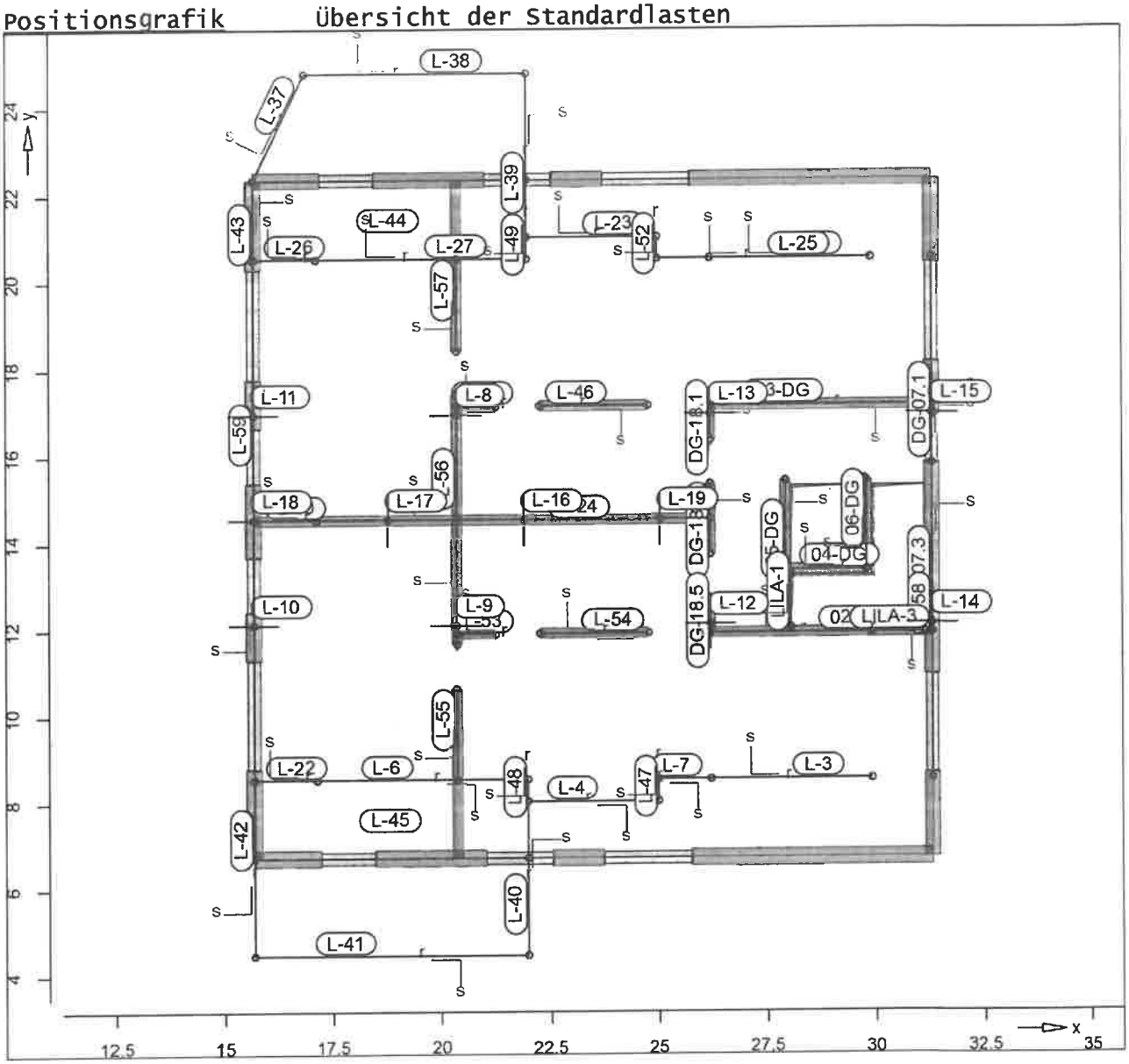
**durch Vergleichsrechnung geprüft**

## Standardlasten

Standardlasten im FE-Modell

### Positionsgrafik

Übersicht der Standardlasten




## Punktlasten

| | Position | EW | Lastfall | Art | P,M [kN],[kNm] |
|---|---|---|---|---|---|
| | L-8 | *Punktlast* | | | |
| (a) | | Gk | BS-Gk | PGr | 43.35 |
| (a) | | Qk.N | BS-Qk.N | PGr | 15.93 |
| (a) | | Qk.S | BS-Qk.S | PGr | 14.11 |
| (a) | | Qk.S | (Qk.S)-A | PGr | 8.45 |
| (a) | | Qk.S | (Qk.S)-B | PGr | 4.19 |
| (a) | | Qk.S | (Qk.S)-C | PGr | 8.49 |
| (a) | | Qk.W | (Qk.W)-000 | PGr | 2.11 |
| (a) | | Qk.W | (Qk.W)-090 | PGr | -8.29 |
| (a) | | Qk.W | (Qk.W)-180 | PGr | -1.38 |
| (a) | | Qk.W | (Qk.W)-270 | PGr | -5.08 |



durch Vergleichsrechnung geprüft

| | Position | EW | Lastfall | Art | P,M [kN],[kNm] |
|---|---|---|---|---|---|
| | L-9 | *Punktlast* | | | |
| (a) | | Gk | BS-Gk | PGr | 43.35 |
| (a) | | Qk.N | BS-Qk.N | PGr | 15.93 |
| (a) | | Qk.S | BS-Qk.S | PGr | 14.11 |
| (a) | | Qk.S | (Qk.S)-A | PGr | 8.45 |
| (a) | | Qk.S | (Qk.S)-B | PGr | 4.19 |
| (a) | | Qk.S | (Qk.S)-C | PGr | 8.49 |
| (a) | | Qk.W | (Qk.W)-000 | PGr | 2.11 |
| (a) | | Qk.W | (Qk.W)-090 | PGr | -8.29 |
| (a) | | Qk.W | (Qk.W)-180 | PGr | -1.38 |
| (a) | | Qk.W | (Qk.W)-270 | PGr | -5.08 |
| | L-10 | *Punktlast* | | | |
| (b) | | Gk | BS-Gk | PGr | 8.38 |
| (b) | | Qk.N | BS-Qk.N | PGr | 5.48 |
| (b) | | Qk.S | BS-Qk.S | PGr | -1.06 |
| (b) | | Qk.S | (Qk.S)-A | PGr | 4.46 |
| (b) | | Qk.S | (Qk.S)-B | PGr | 2.20 |
| (b) | | Qk.S | (Qk.S)-C | PGr | 4.49 |
| (b) | | Qk.W | (Qk.W)-000 | PGr | 3.34 |
| (b) | | Qk.W | (Qk.W)-090 | PGr | -8.39 |
| (b) | | Qk.W | (Qk.W)-180 | PGr | -3.42 |
| (b) | | Qk.W | (Qk.W)-270 | PGr | -3.21 |
| | L-11 | *Punktlast* | | | |
| (b) | | Gk | BS-Gk | PGr | 8.38 |
| (b) | | Qk.N | BS-Qk.N | PGr | 5.48 |
| (b) | | Qk.S | BS-Qk.S | PGr | -1.06 |
| (b) | | Qk.S | (Qk.S)-A | PGr | 4.46 |
| (b) | | Qk.S | (Qk.S)-B | PGr | 2.20 |
| (b) | | Qk.S | (Qk.S)-C | PGr | 4.49 |
| (b) | | Qk.W | (Qk.W)-000 | PGr | 3.34 |
| (b) | | Qk.W | (Qk.W)-090 | PGr | -8.39 |
| (b) | | Qk.W | (Qk.W)-180 | PGr | -3.42 |
| (b) | | Qk.W | (Qk.W)-270 | PGr | -3.21 |
| | L-12 | *Punktlast* | | | |
| (c) | | Gk | BS-Gk | PGr | 35.53 |
| (c) | | Qk.N | BS-Qk.N | PGr | 12.32 |
| (c) | | Qk.S | BS-Qk.S | PGr | 9.40 |
| (c) | | Qk.S | (Qk.S)-A | PGr | 9.35 |
| (c) | | Qk.S | (Qk.S)-B | PGr | 4.64 |
| (c) | | Qk.S | (Qk.S)-C | PGr | 9.39 |
| (c) | | Qk.W | (Qk.W)-000 | PGr | 2.29 |
| (c) | | Qk.W | (Qk.W)-090 | PGr | -9.12 |
| (c) | | Qk.W | (Qk.W)-180 | PGr | -1.47 |
| (c) | | Qk.W | (Qk.W)-270 | PGr | -5.61 |
| | L-13 | *Punktlast* | | | |
| (c) | | Gk | BS-Gk | PGr | 35.53 |
| (c) | | Qk.N | BS-Qk.N | PGr | 12.32 |
| (c) | | Qk.S | BS-Qk.S | PGr | 9.40 |
| (c) | | Qk.S | (Qk.S)-A | PGr | 9.35 |
| (c) | | Qk.S | (Qk.S)-B | PGr | 4.64 |
| (c) | | Qk.S | (Qk.S)-C | PGr | 9.39 |
| (c) | | Qk.W | (Qk.W)-000 | PGr | 2.29 |
| (c) | | Qk.W | (Qk.W)-090 | PGr | -9.12 |
| (c) | | Qk.W | (Qk.W)-180 | PGr | -1.47 |
| (c) | | Qk.W | (Qk.W)-270 | PGr | -5.61 |
| | L-14 | *Punktlast* | | | |
| (d) | | Gk | BS-Gk | PGr | 14.82 |
| (d) | | Qk.N | BS-Qk.N | PGr | 6.01 |
| (d) | | Qk.S | BS-Qk.S | PGr | -1.59 |




durch Vergleichsrechnung geprüft

| | Position | EW | Lastfall | Art | P,M [kN],[kNm] |
|---|---|---|---|---|---|
| (d) | | Qk.S | (Qk.S)-A | PGr | 8.39 |
| (d) | | Qk.S | (Qk.S)-B | PGr | 4.12 |
| (d) | | Qk.S | (Qk.S)-C | PGr | 8.47 |
| (d) | | Qk.W | (Qk.W)-000 | PGr | 5.25 |
| (d) | | Qk.W | (Qk.W)-090 | PGr | -14.42 |
| (d) | | Qk.W | (Qk.W)-180 | PGr | -5.19 |
| (d) | | Qk.W | (Qk.W)-270 | PGr | -5.84 |
| | L-15 | *Punktlast* | | | |
| (d) | | Gk | BS-Gk | PGr | 14.82 |
| (d) | | Qk.N | BS-Qk.N | PGr | 6.01 |
| (d) | | Qk.S | BS-Qk.S | PGr | -1.59 |
| (d) | | Qk.S | (Qk.S)-A | PGr | 8.39 |
| (d) | | Qk.S | (Qk.S)-B | PGr | 4.12 |
| (d) | | Qk.S | (Qk.S)-C | PGr | 8.47 |
| (d) | | Qk.W | (Qk.W)-000 | PGr | 5.25 |
| (d) | | Qk.W | (Qk.W)-090 | PGr | -14.42 |
| (d) | | Qk.W | (Qk.W)-180 | PGr | -5.19 |
| (d) | | Qk.W | (Qk.W)-270 | PGr | -5.84 |
| | L-16 | *Punktlast* | | | |
| (e) | | Gk | BS-Gk | PGr | 9.98 |
| (e) | | Qk.N | BS-Qk.N | PGr | 2.36 |
| (e) | | Qk.S | (Qk.S)-A | PGr | 4.76 |
| (e) | | Qk.S | (Qk.S)-B | PGr | 3.57 |
| (e) | | Qk.S | (Qk.S)-C | PGr | 3.57 |
| (e) | | Qk.W | (Qk.W)-000 | PGr | -0.15 |
| (e) | | Qk.W | (Qk.W)-090 | PGr | -4.34 |
| (e) | | Qk.W | (Qk.W)-180 | PGr | -0.15 |
| (e) | | Qk.W | (Qk.W)-270 | PGr | -2.72 |
| | L-17 | *Punktlast* | | | |
| (f) | | Gk | BS-Gk | PGr | 9.33 |
| (f) | | Qk.N | BS-Qk.N | PGr | 2.34 |
| (f) | | Qk.S | (Qk.S)-A | PGr | 4.46 |
| (f) | | Qk.S | (Qk.S)-B | PGr | 3.34 |
| (f) | | Qk.S | (Qk.S)-C | PGr | 3.34 |
| (f) | | Qk.W | (Qk.W)-000 | PGr | -0.15 |
| (f) | | Qk.W | (Qk.W)-090 | PGr | -4.04 |
| (f) | | Qk.W | (Qk.W)-180 | PGr | -0.15 |
| (f) | | Qk.W | (Qk.W)-270 | PGr | -2.50 |
| | L-18 | *Punktlast* | | | |
| (g) | | Gk | BS-Gk | PGr | 4.37 |
| (g) | | Qk.N | BS-Qk.N | PGr | 1.04 |
| (g) | | Qk.S | (Qk.S)-A | PGr | 2.16 |
| (g) | | Qk.S | (Qk.S)-B | PGr | 1.62 |
| (g) | | Qk.S | (Qk.S)-C | PGr | 1.62 |
| (g) | | Qk.W | (Qk.W)-000 | PGr | -0.19 |
| (g) | | Qk.W | (Qk.W)-090 | PGr | -1.49 |
| (g) | | Qk.W | (Qk.W)-180 | PGr | -0.19 |
| (g) | | Qk.W | (Qk.W)-270 | PGr | -0.51 |
| | L-19 | *Punktlast* | | | |
| (h) | | Gk | BS-Gk | PGr | 9.21 |
| (h) | | Qk.N | BS-Qk.N | PGr | 2.15 |
| (h) | | Qk.S | (Qk.S)-A | PGr | 4.40 |
| (h) | | Qk.S | (Qk.S)-B | PGr | 3.30 |
| (h) | | Qk.S | (Qk.S)-C | PGr | 3.30 |
| (h) | | Qk.W | (Qk.W)-000 | PGr | -0.14 |
| (h) | | Qk.W | (Qk.W)-090 | PGr | -4.06 |
| (h) | | Qk.W | (Qk.W)-180 | PGr | -0.14 |
| (h) | | Qk.W | (Qk.W)-270 | PGr | -2.53 |

PGr: Gravitationslast; positive Lasten wirken senkrecht nach unten



durch Vergleichsrechnung geprüft

(a) aus Pos. '2.04', Lager 'B'

(b) aus Pos. '2.04', Lager 'A'

(c) aus Pos. '2.04', Lager 'C'

(d) aus Pos. '2.04', Lager 'D'

(e) aus Pos. '1.04', Lager 'C'

(f) aus Pos. '1.04', Lager 'B'

(g) aus Pos. '1.04', Lager 'A'

(h) aus Pos. '1.04', Lager 'D'

Linienlasten

| | Position | EW | Lastfall | Art | $p_A, m_A$ [kN/m], | $p_E, m_E$ [kNm/m] |
|---|---|---|---|---|---|---|
| (a) | 02-DG | Gk | #1\|BS-Gk | pGr | 1.71 | 1.82 |
| (a) | | Gk | #1\|LF-1 | pGr | 21.32 | 21.65 |
| (a) | | Qk.N | #SE-LF-2 | pGr | -0.17 | -0.17 |
| (a) | | Qk.N | #1\|BS-Qk.N | pGr | 0.37 | 0.39 |
| (a) | | Qk.N | #1\|(D-009)-1 | pGr | 0.55 | 0.61 |
| (a) | | Qk.S | #1\|BS-Qk.S | pGr | 1.03 | 1.10 |
| (a) | | Qk.S | #1\|(Qk.S)-A | pGr | -0.02 | -0.02 |
| (a) | | Qk.S | #1\|(Qk.S)-B | pGr | -0.01 | -0.02 |
| (a) | | Qk.S | #1\|(Qk.S)-C | pGr | -0.01 | -0.02 |
| (a) | | Qk.W | #1\|(Qk.W)-090 | pGr | 0.03 | -0.02 |
| (a) | | Qk.W | #1\|(Qk.W)-270 | pGr | 0.02 | -0.01 |
| (b) | 03-DG | Gk | #1\|BS-Gk | pGr | 1.84 | 1.72 |
| (b) | | Gk | #1\|LF-1 | pGr | 23.21 | 21.54 |
| (b) | | Qk.N | #SE-LF-2 | pGr | -0.12 | -0.04 |
| (b) | | Qk.N | #1\|BS-Qk.N | pGr | 0.40 | 0.37 |
| (b) | | Qk.N | #1\|(D-009)-1 | pGr | 0.87 | 0.59 |
| (b) | | Qk.S | #1\|BS-Qk.S | pGr | 1.11 | 1.02 |
| (b) | | Qk.S | #1\|(Qk.S)-A | pGr | -0.02 | -0.01 |
| (b) | | Qk.S | #1\|(Qk.S)-B | pGr | -0.01 | -0.01 |
| (b) | | Qk.S | #1\|(Qk.S)-C | pGr | -0.01 | -0.01 |
| (b) | | Qk.W | #1\|(Qk.W)-090 | pGr | -0.01 | 0.02 |
| (c) | 04-DG | Gk | #1\|BS-Gk | pGr | 0.32 | 0.24 |
| (c) | | Gk | #1\|LF-1 | pGr | 28.15 | 28.15 |
| (c) | | Qk.N | #SE-LF-2 | pGr | 2.82 | 2.67 |
| (c) | | Qk.N | #1\|BS-Qk.N | pGr | 0.07 | 0.05 |
| (c) | | Qk.N | #1\|(D-009)-1 | pGr | 1.57 | 1.57 |
| (c) | | Qk.S | #1\|BS-Qk.S | pGr | 0.02 | 0.02 |
| (c) | | Qk.S | #1\|(Qk.S)-A | pGr | 0.14 | 0.10 |
| (c) | | Qk.S | #1\|(Qk.S)-B | pGr | 0.10 | 0.07 |
| (c) | | Qk.S | #1\|(Qk.S)-C | pGr | 0.10 | 0.07 |
| (c) | | Qk.W | #1\|(Qk.W)-090 | pGr | -0.13 | -0.22 |
| (c) | | Qk.W | #1\|(Qk.W)-270 | pGr | -0.08 | -0.12 |
| (d) | 05-DG | Gk | #1\|BS-Gk | pGr | 6.29 | 2.24 |
| (d) | | Gk | #1\|LF-1 | pGr | 45.69 | 23.83 |
| (d) | | Qk.N | #SE-LF-2 | pGr | 6.19 | 2.24 |
| (d) | | Qk.N | #1\|BS-Qk.N | pGr | 1.42 | 0.51 |
| (d) | | Qk.N | #1\|(D-009)-1 | pGr | 4.49 | 0.85 |
| (d) | | Qk.S | #1\|BS-Qk.S | pGr | 0.01 | -0.02 |



durch Vergleichsrechnung geprüft

| | Position | EW | Lastfall | Art | $p_A, m_A$ [kN/m], | $p_E, m_E$ [kNm/m] |
|---|---|---|---|---|---|---|
| (d) | | Qk.S | #1\|(Qk.S)-A | pGr | 2.99 | 1.08 |
| (d) | | Qk.S | #1\|(Qk.S)-B | pGr | 2.24 | 0.81 |
| (d) | | Qk.S | #1\|(Qk.S)-C | pGr | 2.24 | 0.81 |
| (d) | | Qk.W | #1\|(Qk.W)-000 | pGr | -0.10 | -0.04 |
| (d) | | Qk.W | #1\|(Qk.W)-090 | pGr | -2.69 | -0.93 |
| (d) | | Qk.W | #1\|(Qk.W)-180 | pGr | -0.10 | -0.04 |
| (d) | | Qk.W | #1\|(Qk.W)-270 | pGr | -1.69 | -0.59 |
| (e) | 06-DG | Gk | #1\|BS-Gk | pGr | 0.27 | 0.51 |
| (e) | | Gk | #1\|LF-1 | pGr | 27.49 | 32.38 |
| (e) | | Qk.N | #SE-LF-2 | pGr | 3.26 | 3.86 |
| (e) | | Qk.N | #1\|BS-Qk.N | pGr | 0.07 | 0.12 |
| (e) | | Qk.N | #1\|(D-009)-1 | pGr | 1.46 | 2.27 |
| (e) | | Qk.S | #1\|BS-Qk.S | pGr | -0.01 | -0.01 |
| (e) | | Qk.S | #1\|(Qk.S)-A | pGr | 0.14 | 0.25 |
| (e) | | Qk.S | #1\|(Qk.S)-B | pGr | 0.10 | 0.18 |
| (e) | | Qk.S | #1\|(Qk.S)-C | pGr | 0.10 | 0.18 |
| (e) | | Qk.W | #1\|(Qk.W)-000 | pGr | -0.02 | -0.03 |
| (e) | | Qk.W | #1\|(Qk.W)-090 | pGr | 0.04 | 0.11 |
| (e) | | Qk.W | #1\|(Qk.W)-180 | pGr | -0.02 | -0.03 |
| (e) | | Qk.W | #1\|(Qk.W)-270 | pGr | 0.01 | 0.03 |
| (f) | DG-07.1 | Gk | #1\|BS-Gk | pGr | 0.12 | 0.10 |
| (f) | | Gk | #1\|LF-1 | pGr | 7.26 | 8.45 |
| (f) | | Qk.N | #SE-LF-2 | pGr | -0.02 | -0.07 |
| (f) | | Qk.N | #1\|BS-Qk.N | pGr | 0.03 | 0.02 |
| (f) | | Qk.N | #1\|(D-009)-1 | pGr | 0.21 | 0.41 |
| (f) | | Qk.S | #1\|BS-Qk.S | pGr | 0.07 | 0.06 |
| (f) | | Qk.W | #1\|(Qk.W)-090 | pGr | 0.01 | 0.01 |
| (g) | DG-07.3 | Gk | #1\|BS-Gk | pGr | 0.61 | 0.03 |
| (g) | | Gk | #1\|LF-1 | pGr | 11.89 | 7.60 |
| (g) | | Qk.N | #SE-LF-2 | pGr | -0.53 | -0.06 |
| (g) | | Qk.N | #1\|BS-Qk.N | pGr | 0.17 | 0.01 |
| (g) | | Qk.N | #1\|(D-009)-1 | pGr | 0.99 | 0.27 |
| (g) | | Qk.S | #1\|BS-Qk.S | pGr | -0.01 | 0.03 |
| (g) | | Qk.S | #1\|(Qk.S)-A | pGr | 0.29 | 0.00 |
| (g) | | Qk.S | #1\|(Qk.S)-B | pGr | 0.22 | 0.00 |
| (g) | | Qk.S | #1\|(Qk.S)-C | pGr | 0.22 | 0.00 |
| (g) | | Qk.W | #1\|(Qk.W)-000 | pGr | -0.10 | 0.00 |
| (g) | | Qk.W | #1\|(Qk.W)-090 | pGr | 0.94 | -0.01 |
| (g) | | Qk.W | #1\|(Qk.W)-180 | pGr | -0.10 | 0.00 |
| (g) | | Qk.W | #1\|(Qk.W)-270 | pGr | 0.45 | 0.00 |
| (h) | DG-18.1 | Gk | #1\|BS-Gk | pGr | 0.41 | -0.09 |
| (h) | | Gk | #1\|LF-1 | pGr | 17.86 | 29.05 |
| (h) | | Qk.N | #SE-LF-2 | pGr | 0.08 | -0.26 |
| (h) | | Qk.N | #1\|BS-Qk.N | pGr | 0.09 | -0.02 |
| (h) | | Qk.N | #1\|(D-009)-1 | pGr | -0.02 | 1.84 |
| (h) | | Qk.S | #1\|BS-Qk.S | pGr | 0.22 | 0.01 |



durch Vergleichsrechnung geprüft

| | Position | EW | Lastfall | Art | $p_A, m_A$ [kN/m], | $p_E, m_E$ [kNm/m] |
|---|---|---|---|---|---|---|
| (h) | | Qk.S | #1\|(Qk.S)-A | pGr | 0.01 | -0.05 |
| (h) | | Qk.S | #1\|(Qk.S)-B | pGr | 0.01 | -0.04 |
| (h) | | Qk.S | #1\|(Qk.S)-C | pGr | 0.01 | -0.04 |
| (h) | | Qk.W | #1\|(Qk.W)-090 | pGr | -0.01 | 0.05 |
| (h) | | Qk.W | #1\|(Qk.W)-270 | pGr | -0.01 | 0.03 |
| (i) | DG-18.3 | Gk | #1\|BS-Gk | pGr | -0.20 | -0.18 |
| (i) | | Gk | #1\|LF-1 | pGr | 25.72 | 24.82 |
| (i) | | Qk.N | #SE-LF-2 | pGr | -0.50 | -0.54 |
| (i) | | Qk.N | #1\|BS-Qk.N | pGr | -0.04 | -0.04 |
| (i) | | Qk.N | #1\|(D-009)-1 | pGr | 1.29 | 1.14 |
| (i) | | Qk.S | #1\|(Qk.S)-A | pGr | -0.09 | -0.08 |
| (i) | | Qk.S | #1\|(Qk.S)-B | pGr | -0.07 | -0.06 |
| (i) | | Qk.S | #1\|(Qk.S)-C | pGr | -0.07 | -0.06 |
| (i) | | Qk.W | #1\|(Qk.W)-090 | pGr | 0.08 | 0.07 |
| (i) | | Qk.W | #1\|(Qk.W)-270 | pGr | 0.05 | 0.05 |
| (j) | DG-18.5 | Gk | #1\|BS-Gk | pGr | -0.08 | 0.41 |
| (j) | | Gk | #1\|LF-1 | pGr | 28.13 | 18.26 |
| (j) | | Qk.N | #SE-LF-2 | pGr | -0.31 | 0.11 |
| (j) | | Qk.N | #1\|BS-Qk.N | pGr | -0.02 | 0.09 |
| (j) | | Qk.N | #1\|(D-009)-1 | pGr | 1.69 | 0.04 |
| (j) | | Qk.S | #1\|BS-Qk.S | pGr | 0.01 | 0.22 |
| (j) | | Qk.S | #1\|(Qk.S)-A | pGr | -0.05 | 0.01 |
| (j) | | Qk.S | #1\|(Qk.S)-B | pGr | -0.04 | 0.01 |
| (j) | | Qk.S | #1\|(Qk.S)-C | pGr | -0.04 | 0.01 |
| (j) | | Qk.W | #1\|(Qk.W)-090 | pGr | 0.05 | -0.01 |
| (j) | | Qk.W | #1\|(Qk.W)-270 | pGr | 0.03 | -0.01 |
| | L-3 | *Linienlast* | | | | |
| (k) | | Gk | BS-Gk | pGr | 1.85 | 1.85 |
| (l) | | Gk | #SE-LF-1 | pGr | 8.27 | 8.27 |
| (k) | | Qk.N | BS-Qk.N | pGr | 0.40 | 0.40 |
| (k) | | Qk.S | BS-Qk.S | pGr | 1.09 | 1.09 |
| | L-4 | *Linienlast* | | | | |
| (m) | | Gk | BS-Gk | pGr | 2.04 | 2.04 |
| (l) | | Gk | #SE-LF-1 | pGr | 8.27 | 8.27 |
| (m) | | Qk.N | BS-Qk.N | pGr | 0.45 | 0.45 |
| (m) | | Qk.S | BS-Qk.S | pGr | 1.21 | 1.21 |
| | L-5 | *Linienlast* | | | | |
| (k) | | Gk | BS-Gk | pGr | 1.85 | 1.85 |
| (k) | | Qk.N | BS-Qk.N | pGr | 0.40 | 0.40 |
| (k) | | Qk.S | BS-Qk.S | pGr | 1.09 | 1.09 |
| | L-6 | *Linienlast* | | | | |
| (m) | | Gk | BS-Gk | pGr | 2.04 | 2.04 |
| (l) | | Gk | #SE-LF-1 | pGr | 8.27 | 8.27 |
| (m) | | Qk.N | BS-Qk.N | pGr | 0.45 | 0.45 |
| (m) | | Qk.S | BS-Qk.S | pGr | 1.21 | 1.21 |
| | L-7 | *Linienlast* | | | | |
| (m) | | Gk | BS-Gk | pGr | 2.04 | 2.04 |
| (l) | | Gk | #SE-LF-1 | pGr | 8.27 | 8.27 |
| (m) | | Qk.N | BS-Qk.N | pGr | 0.45 | 0.45 |
| (m) | | Qk.S | BS-Qk.S | pGr | 1.21 | 1.21 |
| | L-22 | *Linienlast* | | | | |
| (n) | | Gk | BS-Gk | pGr | 2.70 | 2.70 |
| (o) | | Gk | #SE-LF-1 | pGr | 4.01 | 4.01 |



durch Vergleichsrechnung geprüft

| | Position | EW | Lastfall | Art | $p_A, m_A$ [kN/m], | $p_E, m_E$ [kNm/m] |
|---|---|---|---|---|---|---|
| (n) | | Qk.N | BS-Qk.N | pGr | 0.69 | 0.69 |
| (n) | | Qk.S | (Qk.S)-A | pGr | 1.62 | 1.62 |
| (n) | | Qk.S | (Qk.S)-B | pGr | 0.81 | 0.81 |
| (n) | | Qk.S | (Qk.S)-C | pGr | 1.61 | 1.61 |
| (n) | | Qk.W | (Qk.W)-000 | pGr | 0.10 | 0.10 |
| (n) | | Qk.W | (Qk.W)-090 | pGr | -1.80 | -1.80 |
| (n) | | Qk.W | (Qk.W)-180 | pGr | 0.08 | 0.08 |
| (n) | | Qk.W | (Qk.W)-270 | pGr | -0.85 | -0.85 |
| | L-23 | *Linienlast* | | | | |
| (p) | | Gk | BS-Gk | pGr | 0.14 | 0.14 |
| (l) | | Gk | #SE-LF-1 | pGr | 8.27 | 8.27 |
| (p) | | Qk.S | BS-Qk.S | pGr | -0.03 | -0.03 |
| | L-24 | *Linienlast* | | | | |
| (q) | | Gk | BS-Gk | pGr | 0.66 | 0.66 |
| (l) | | Gk | #SE-LF-1 | pGr | 8.27 | 8.27 |
| (q) | | Qk.N | BS-Qk.N | pGr | 1.55 | 1.55 |
| (q) | | Qk.S | BS-Qk.S | pGr | 0.02 | 0.02 |
| | L-25 | *Linienlast* | | | | |
| (p) | | Gk | BS-Gk | pGr | 0.14 | 0.14 |
| (l) | | Gk | #SE-LF-1 | pGr | 8.27 | 8.27 |
| (p) | | Qk.S | BS-Qk.S | pGr | -0.03 | -0.03 |
| | L-26 | *Linienlast* | | | | |
| (n) | | Gk | BS-Gk | pGr | 2.70 | 2.70 |
| (o) | | Gk | #SE-LF-1 | pGr | 4.01 | 4.01 |
| (n) | | Qk.N | BS-Qk.N | pGr | 0.69 | 0.69 |
| (n) | | Qk.S | (Qk.S)-A | pGr | 1.62 | 1.62 |
| (n) | | Qk.S | (Qk.S)-B | pGr | 0.81 | 0.81 |
| (n) | | Qk.S | (Qk.S)-C | pGr | 1.61 | 1.61 |
| (n) | | Qk.W | (Qk.W)-000 | pGr | 0.10 | 0.10 |
| (n) | | Qk.W | (Qk.W)-090 | pGr | -1.80 | -1.80 |
| (n) | | Qk.W | (Qk.W)-180 | pGr | 0.08 | 0.08 |
| (n) | | Qk.W | (Qk.W)-270 | pGr | -0.85 | -0.85 |
| | L-27 | *Linienlast* | | | | |
| (p) | | Gk | BS-Gk | pGr | 0.14 | 0.14 |
| (l) | | Gk | #SE-LF-1 | pGr | 8.27 | 8.27 |
| (p) | | Qk.S | BS-Qk.S | pGr | -0.03 | -0.03 |
| | L-37 | *Linienlast* | | | | |
| (r) | | Gk | #SE-LF-1 | pGr | 2.36 | 2.36 |
| | L-38 | *Linienlast* | | | | |
| (r) | | Gk | #SE-LF-1 | pGr | 2.36 | 2.36 |
| | L-39 | *Linienlast* | | | | |
| (r) | | Gk | #SE-LF-1 | pGr | 2.36 | 2.36 |
| | L-40 | *Linienlast* | | | | |
| (r) | | Gk | #SE-LF-1 | pGr | 2.36 | 2.36 |
| | L-41 | *Linienlast* | | | | |
| (r) | | Gk | #SE-LF-1 | pGr | 2.36 | 2.36 |
| | L-42 | *Linienlast* | | | | |
| (r) | | Gk | #SE-LF-1 | pGr | 2.36 | 2.36 |
| | L-43 | *Linienlast* | | | | |
| (r) | | Gk | #SE-LF-1 | pGr | 2.36 | 2.36 |
| | L-46 | *Linienlast* | | | | |
| (l) | | Gk | #SE-LF-1 | pGr | 8.27 | 8.27 |
| | L-47 | *Linienlast* | | | | |
| (l) | | Gk | #SE-LF-1 | pGr | 8.27 | 8.27 |
| | L-48 | *Linienlast* | | | | |
| (l) | | Gk | #SE-LF-1 | pGr | 8.27 | 8.27 |
| | L-49 | *Linienlast* | | | | |
| (l) | | Gk | #SE-LF-1 | pGr | 8.27 | 8.27 |



durch Vergleichsrechnung geprüft

| | Position | EW | Lastfall | Art | $p_A, m_A$ [kN/m], | $p_E, m_E$ [kNm/m] |
|---|---|---|---|---|---|---|
| | L-50 | *Linienlast* | | | | |
| (l) | | Gk | #SE-LF-1 | pGr | 8.27 | 8.27 |
| | L-51 | *Linienlast* | | | | |
| (l) | | Gk | #SE-LF-1 | pGr | 8.27 | 8.27 |
| | L-52 | *Linienlast* | | | | |
| (l) | | Gk | #SE-LF-1 | pGr | 8.27 | 8.27 |
| | L-53 | *Linienlast* | | | | |
| (l) | | Gk | #SE-LF-1 | pGr | 8.27 | 8.27 |
| | L-54 | *Linienlast* | | | | |
| (l) | | Gk | #SE-LF-1 | pGr | 8.27 | 8.27 |
| | L-55 | *Linienlast* | | | | |
| (l) | | Gk | #SE-LF-1 | pGr | 8.27 | 8.27 |
| | L-56 | *Linienlast* | | | | |
| (l) | | Gk | #SE-LF-1 | pGr | 8.27 | 8.27 |
| | L-57 | *Linienlast* | | | | |
| (l) | | Gk | #SE-LF-1 | pGr | 8.27 | 8.27 |
| | L-58 | *Linienlast* | | | | |
| (s) | | Gk | #SE-LF-1 | pGr | 9.02 | 9.02 |
| | L-59 | *Linienlast* | | | | |
| (s) | | Gk | #SE-LF-1 | pGr | 9.02 | 9.02 |
| (t) | LILA-1 | Gk | BS-Gk | pGr | 9.37 | 9.37 |
| (t) | | Qk.N | BS-Qk.N | pGr | 3.22 | 3.22 |
| (u) | LILA-3 | Gk | BS-Gk | pGr | 7.77 | 7.77 |
| (v) | | Gk | BS-Gk | pGr | 9.90 | 9.90 |
| (u) | | Qk.N | BS-Qk.N | pGr | 2.67 | 2.67 |
| (v) | | Qk.N | BS-Qk.N | pGr | 3.40 | 3.40 |

pGr: Gravitationslast; positive Lasten wirken senkrecht nach unten
#1: Lastabtrag aus V-Lasten DG

(a) aus Lastmodell 'V-Lasten DG - Dachgeschoss', Strukturelement '02-DG'

(b) aus Lastmodell 'V-Lasten DG - Dachgeschoss', Strukturelement '03-DG'

(c) aus Lastmodell 'V-Lasten DG - Dachgeschoss', Strukturelement '04-DG'

(d) aus Lastmodell 'V-Lasten DG - Dachgeschoss', Strukturelement '05-DG'

(e) aus Lastmodell 'V-Lasten DG - Dachgeschoss', Strukturelement '06-DG'

(f) aus Lastmodell 'V-Lasten DG - Dachgeschoss', Strukturelement 'DG-07.1'

(g) aus Lastmodell 'V-Lasten DG - Dachgeschoss', Strukturelement 'DG-07.3'

(h) aus Lastmodell 'V-Lasten DG - Dachgeschoss', Strukturelement 'DG-18.1'

(i) aus Lastmodell 'V-Lasten DG - Dachgeschoss', Strukturelement 'DG-18.3'

(j) aus Lastmodell 'V-Lasten DG - Dachgeschoss', Strukturelement 'DG-18.5'

(k) aus Pos. '2.02', Lager 'A'




durch Vergleichsrechnung geprüft

| | | | | | |
|---|---|---|---|---|---|
| (l) | DG-MW | 2.6*(0.365*5.5+0.5) | = | 6.52 | |
| | Stb-Ringbalken | 0.28*0.25*25 | = | 1.75 | |
| | | | = | 8.27 | |

(m) aus Pos. '2.01', Lager 'A'

(n) aus Pos. '1.01', Lager 'A'

| | | | | | |
|---|---|---|---|---|---|
| (o) | Drempel-MW | 0.9*(0.365*5.5+0.5) | = | 2.26 | |
| | Stb-Ringbalken | 0.28*0.25*25 | = | 1.75 | |
| | | | = | 4.01 | |

(p) aus Pos. '2.01', Lager 'E'

(q) aus Pos. '2.01', Lager 'C'

| | | | | | |
|---|---|---|---|---|---|
| (r) | Massive Brüstung | 0.175*10*0.85 | = | 1.49 | kN/m |
| | Stb-Ringbalken | 0.175*0.20*25 | = | 0.88 | kN/m |
| | | | = | 2.36 | kN/m |

| | | | | | |
|---|---|---|---|---|---|
| (s) | DG-MW | 2.9*(0.365*5.5+0.5) | = | 7.27 | |
| | Stb-Ringbalken | 0.28*0.25*25 | = | 1.75 | |
| | | | = | 9.02 | |

(t) aus Pos. '3.01', Lager 'B'

(u) aus Pos. '3.01', Lager 'S1', Faktor = 0.83, aus Einzellast mit Lastverteilungslänge s = 1.200 m

(v) aus Pos. '3.01', Lager 'S2', Faktor = 0.83, aus Einzellast mit Lastverteilungslänge s = 1.200 m

Gleichflächenlasten

| | Position | EW | Lastfall | Art | p [kN/m²] |
|---|---|---|---|---|---|
| | L-44 | *Flächenlast* | | | |
| (a) | | Qk.N | #SE-LF-2 | PGr | 1.30 |
| | L-45 | *Flächenlast* | | | |
| (a) | | Qk.N | #SE-LF-2 | PGr | 1.30 |

PGr: Gravitationslast; positive Lasten wirken senkrecht nach unten

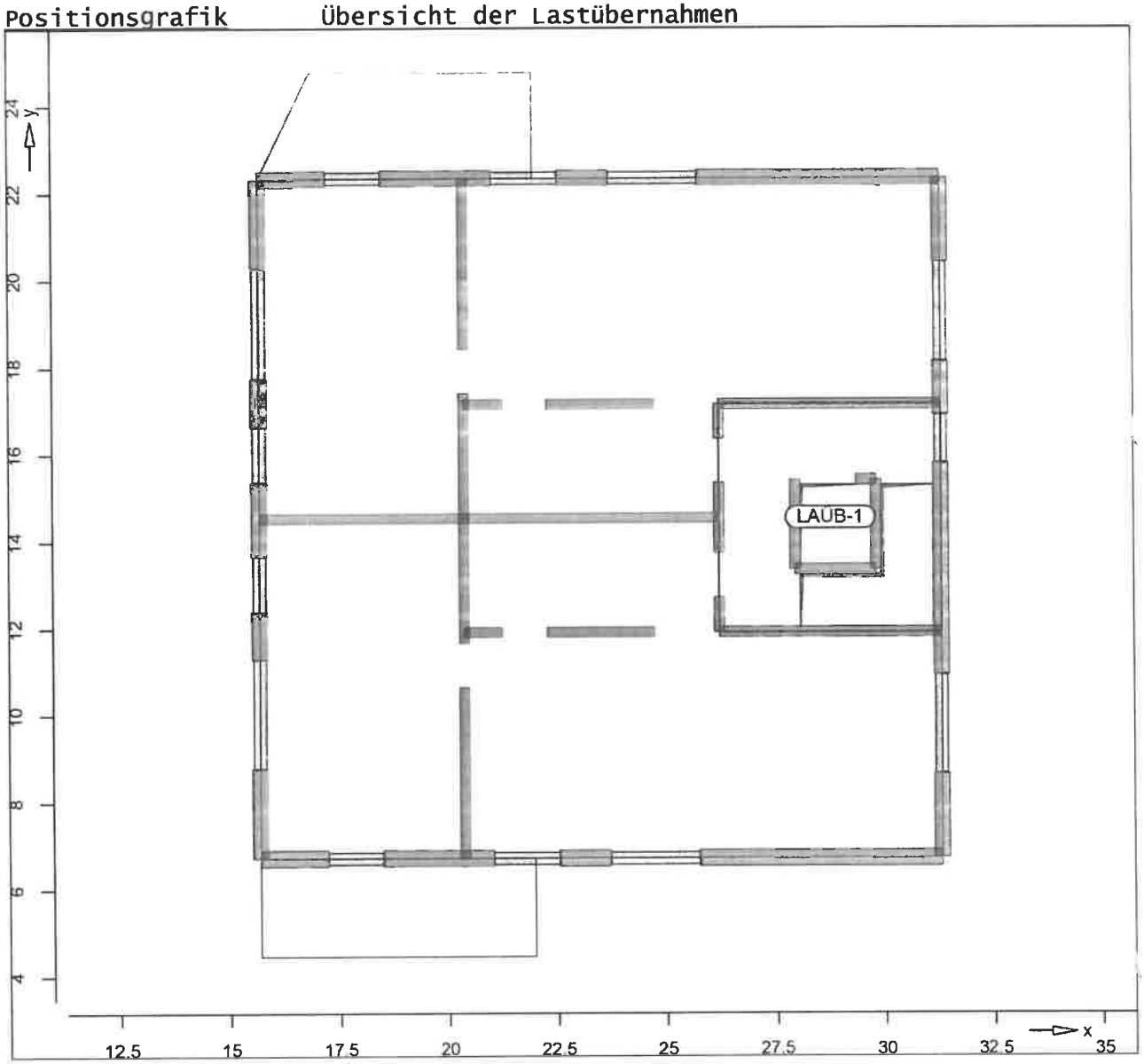
| | | | | | |
|---|---|---|---|---|---|
| (a) | Nutzlast | 4 | = | 4.00 | √ |
| | Abzug | -2.7 | = | -2.70 | |
| | | | = | 1.30 | √ |



durch Vergleichsrechnung geprüft

Lastübernahmen — Lastübernahme aus MicroFe-Modellen

Positionsgrafik — Übersicht der Lastübernahmen




LAÜB-1 — Lastübernahme 'Lastübergabe' aus Modell 'DG'

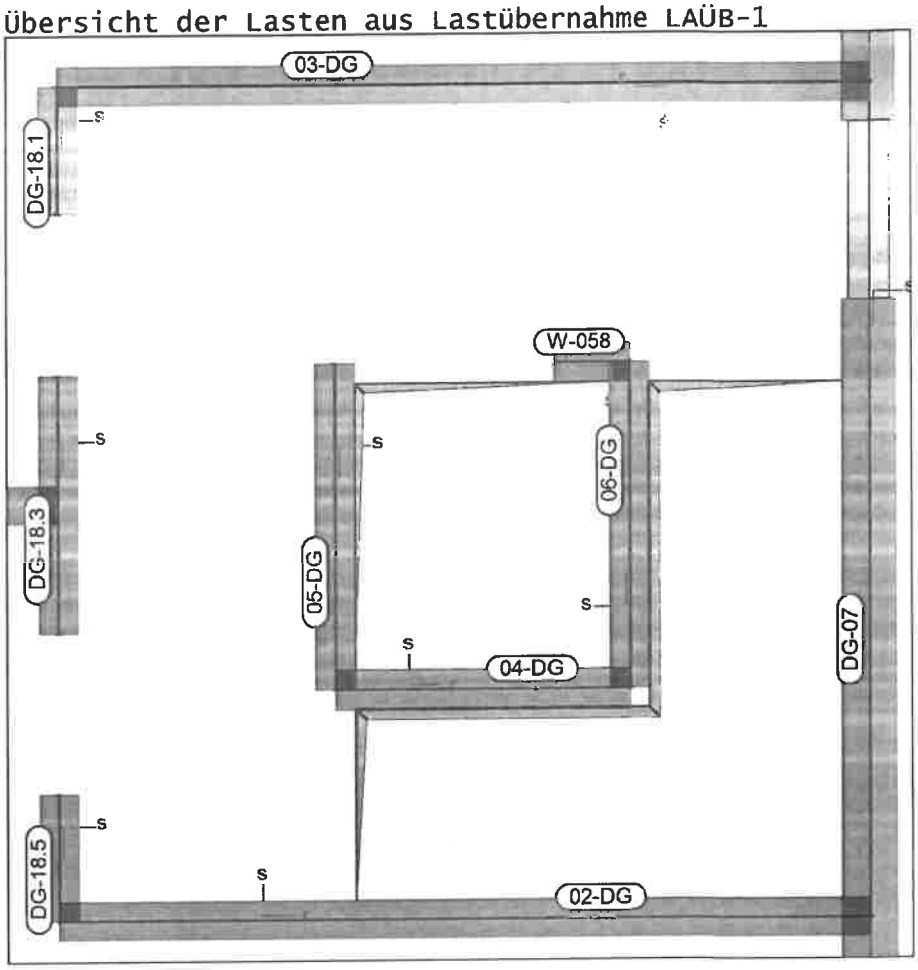
Die Lastübernahme erfolgt lastfalltreu.
Die Lastanteile aus ständigen Lasten der Stützen- und Wandlager werden berücksichtigt.



durch Vergleichsrechnung geprüft

## Positionsgrafik

Übersicht der Lasten aus Lastübernahme LAÜB-1




## Linienlasten

| Position | EW | Lastfall | Art | $p_A$ | $p_E$ [kN/m] |
|---|---|---|---|---|---|
| 02-DG | Gk | #1\|BS-Gk | pGr | 1.71 | 1.82 |
| (g1) | Gk | #1\|LF-1 | pGr | 18.00 | 18.00 |
| | Gk | #1\|LF-1 | pGr | 3.31 | 3.65 |
| | Qk.N | #1\|#SE-LF-2 | pGr | -0.17 | -0.17 |
| | Qk.N | #1\|BS-Qk.N | pGr | 0.37 | 0.39 |
| | Qk.N | #1\|(D-009)-2 | pGr | -0.16 | 0.69 |
| | Qk.N | #1\|(D-009)-4 | pGr | 0.71 | -0.07 |
| | Qk.S | #1\|BS-Qk.S | pGr | 1.03 | 1.10 |
| | Qk.S | #1\|(Qk.S)-A | pGr | -0.02 | -0.02 |
| | Qk.S | #1\|(Qk.S)-B | pGr | -0.01 | -0.02 |
| | Qk.S | #1\|(Qk.S)-C | pGr | -0.01 | -0.02 |
| | Qk.W | #1\|(Qk.W)-090 | pGr | 0.03 | -0.02 |
| | Qk.W | #1\|(Qk.W)-270 | pGr | 0.02 | -0.01 |
| 03-DG | Gk | #1\|BS-Gk | pGr | 1.83 | 1.73 |
| (g1) | Gk | #1\|LF-1 | pGr | 18.00 | 18.00 |
| | Gk | #1\|LF-1 | pGr | 4.21 | 4.06 |
| | Qk.N | #1\|#SE-LF-2 | pGr | -0.08 | -0.06 |
| | Qk.N | #1\|BS-Qk.N | pGr | 0.39 | 0.37 |
| | Qk.N | #1\|(D-009)-1 | pGr | 0.76 | -0.14 |
| | Qk.N | #1\|(D-009)-3 | pGr | -0.05 | 0.82 |
| | Qk.S | #1\|BS-Qk.S | pGr | 1.10 | 1.03 |
| | Qk.S | #1\|(Qk.S)-A | pGr | -0.02 | -0.01 |



durch Vergleichsrechnung geprüft

| Position | EW | Lastfall | Art | $p_A$ | $p_E$ [kN/m] |
|---|---|---|---|---|---|
| | Qk.S | #1\|(Qk.S)-B | pGr | -0.01 | -0.01 |
| | Qk.S | #1\|(Qk.S)-C | pGr | -0.01 | -0.01 |
| | Qk.W | #1\|(Qk.W)-090 | pGr | -0.02 | 0.02 |
| | Qk.W | #1\|(Qk.W)-270 | pGr | -0.01 | 0.01 |
| 04-DG | Gk | #1\|BS-Gk | pGr | 0.30 | 0.26 |
| (g1) | Gk | #1\|LF-1 | pGr | 18.75 | 18.75 |
| | Gk | #1\|LF-1 | pGr | 9.81 | 8.86 |
| | Qk.N | #1\|#SE-LF-2 | pGr | 2.67 | 2.85 |
| | Qk.N | #1\|BS-Qk.N | pGr | 0.07 | 0.06 |
| | Qk.N | #1\|(D-009)-1 | pGr | 0.00 | -0.09 |
| | Qk.N | #1\|(D-009)-2 | pGr | -0.48 | 1.90 |
| | Qk.N | #1\|(D-009)-3 | pGr | -0.08 | 0.00 |
| | Qk.N | #1\|(D-009)-4 | pGr | 2.20 | -0.34 |
| | Qk.S | #1\|BS-Qk.S | pGr | 0.02 | 0.02 |
| | Qk.S | #1\|(Qk.S)-A | pGr | 0.13 | 0.11 |
| | Qk.S | #1\|(Qk.S)-B | pGr | 0.09 | 0.08 |
| | Qk.S | #1\|(Qk.S)-C | pGr | 0.09 | 0.08 |
| | Qk.W | #1\|(Qk.W)-090 | pGr | -0.12 | -0.24 |
| | Qk.W | #1\|(Qk.W)-270 | pGr | -0.08 | -0.13 |
| 05-DG | Gk | #1\|BS-Gk | pGr | 6.50 | 2.02 |
| (g1) | Gk | #1\|LF-1 | pGr | 18.75 | 18.75 |
| | Gk | #1\|LF-1 | pGr | 26.56 | 5.60 |
| | Qk.N | #1\|#SE-LF-2 | pGr | 6.39 | 2.01 |
| | Qk.N | #1\|BS-Qk.N | pGr | 1.47 | 0.46 |
| | Qk.N | #1\|(D-009)-1 | pGr | 0.22 | -0.14 |
| | Qk.N | #1\|(D-009)-2 | pGr | -0.03 | -0.04 |
| | Qk.N | #1\|(D-009)-3 | pGr | 4.54 | -1.43 |
| | Qk.N | #1\|(D-009)-4 | pGr | -0.31 | 2.54 |
| | Qk.S | #1\|BS-Qk.S | pGr | 0.01 | -0.01 |
| | Qk.S | #1\|(Qk.S)-A | pGr | 3.09 | 0.98 |
| | Qk.S | #1\|(Qk.S)-B | pGr | 2.32 | 0.73 |
| | Qk.S | #1\|(Qk.S)-C | pGr | 2.32 | 0.73 |
| | Qk.W | #1\|(Qk.W)-000 | pGr | -0.10 | -0.04 |
| | Qk.W | #1\|(Qk.W)-090 | pGr | -2.78 | -0.84 |
| | Qk.W | #1\|(Qk.W)-180 | pGr | -0.10 | -0.04 |
| | Qk.W | #1\|(Qk.W)-270 | pGr | -1.74 | -0.53 |
| 06-DG | Gk | #1\|BS-Gk | pGr | 0.26 | 0.52 |
| (g1) | Gk | #1\|LF-1 | pGr | 18.75 | 18.75 |
| | Gk | #1\|LF-1 | pGr | 9.75 | 12.53 |
| | Qk.N | #1\|#SE-LF-2 | pGr | 3.00 | 4.10 |
| | Qk.N | #1\|BS-Qk.N | pGr | 0.06 | 0.13 |
| | Qk.N | #1\|(D-009)-1 | pGr | -0.64 | 2.35 |
| | Qk.N | #1\|(D-009)-2 | pGr | 2.35 | -0.30 |
| | Qk.N | #1\|(D-009)-3 | pGr | -0.06 | 0.04 |
| | Qk.N | #1\|(D-009)-4 | pGr | -0.02 | 0.01 |
| | Qk.S | #1\|BS-Qk.S | pGr | -0.01 | -0.01 |
| | Qk.S | #1\|(Qk.S)-A | pGr | 0.13 | 0.26 |
| | Qk.S | #1\|(Qk.S)-B | pGr | 0.10 | 0.19 |
| | Qk.S | #1\|(Qk.S)-C | pGr | 0.10 | 0.19 |
| | Qk.W | #1\|(Qk.W)-000 | pGr | -0.02 | -0.03 |



durch Vergleichsrechnung geprüft

| Position | EW | Lastfall | Art | $p_A$ | $p_E$ [kN/m] |
|---|---|---|---|---|---|
| | Qk.W | #1\|(Qk.W)-090 | pGr | 0.07 | 0.09 |
| | Qk.W | #1\|(Qk.W)-180 | pGr | -0.02 | -0.03 |
| | Qk.W | #1\|(Qk.W)-270 | pGr | 0.02 | 0.02 |
| DG-07 | Gk | #1\|BS-Gk | pGr | 0.24 | 0.25 |
| (g1) | Gk | #1\|LF-1 | pGr | 5.98 | 5.98 |
| | Gk | #1\|LF-1 | pGr | 3.25 | 3.07 |
| | Qk.N | #1\|#SE-LF-2 | pGr | -0.23 | -0.23 |
| | Qk.N | #1\|BS-Qk.N | pGr | 0.07 | 0.07 |
| | Qk.N | #1\|(D-009)-1 | pGr | 0.62 | -0.07 |
| | Qk.N | #1\|(D-009)-2 | pGr | -0.07 | 0.59 |
| | Qk.N | #1\|(D-009)-3 | pGr | -0.02 | 0.00 |
| | Qk.S | #1\|BS-Qk.S | pGr | 0.01 | 0.01 |
| | Qk.S | #1\|(Qk.S)-A | pGr | 0.10 | 0.11 |
| | Qk.S | #1\|(Qk.S)-B | pGr | 0.08 | 0.08 |
| | Qk.S | #1\|(Qk.S)-C | pGr | 0.08 | 0.08 |
| | Qk.W | #1\|(Qk.W)-000 | pGr | -0.04 | -0.04 |
| | Qk.W | #1\|(Qk.W)-090 | pGr | 0.35 | 0.35 |
| | Qk.W | #1\|(Qk.W)-180 | pGr | -0.04 | -0.04 |
| | Qk.W | #1\|(Qk.W)-270 | pGr | 0.17 | 0.17 |
| DG-18.1 | Gk | #1\|BS-Gk | pGr | 0.41 | -0.09 |
| (g1) | Gk | #1\|LF-1 | pGr | 18.00 | 18.00 |
| | Gk | #1\|LF-1 | pGr | -0.14 | 11.03 |
| | Qk.N | #1\|#SE-LF-2 | pGr | 0.08 | -0.26 |
| | Qk.N | #1\|BS-Qk.N | pGr | 0.09 | -0.02 |
| | Qk.N | #1\|(D-009)-3 | pGr | -0.01 | 1.87 |
| | Qk.N | #1\|(D-009)-4 | pGr | 0.00 | -0.03 |
| | Qk.S | #1\|BS-Qk.S | pGr | 0.22 | 0.01 |
| | Qk.S | #1\|(Qk.S)-A | pGr | 0.01 | -0.05 |
| | Qk.S | #1\|(Qk.S)-B | pGr | 0.01 | -0.04 |
| | Qk.S | #1\|(Qk.S)-C | pGr | 0.01 | -0.04 |
| | Qk.W | #1\|(Qk.W)-090 | pGr | -0.01 | 0.05 |
| | Qk.W | #1\|(Qk.W)-270 | pGr | -0.01 | 0.03 |
| DG-18.3 | Gk | #1\|BS-Gk | pGr | -0.20 | -0.17 |
| (g1) | Gk | #1\|LF-1 | pGr | 18.00 | 18.00 |
| | Gk | #1\|LF-1 | pGr | 7.74 | 6.79 |
| | Qk.N | #1\|#SE-LF-2 | pGr | -0.50 | -0.54 |
| | Qk.N | #1\|BS-Qk.N | pGr | -0.05 | -0.04 |
| | Qk.N | #1\|(D-009)-1 | pGr | -0.02 | 0.00 |
| | Qk.N | #1\|(D-009)-3 | pGr | 1.84 | -0.61 |
| | Qk.N | #1\|(D-009)-4 | pGr | -0.54 | 1.74 |
| | Qk.S | #1\|(Qk.S)-A | pGr | -0.09 | -0.08 |
| | Qk.S | #1\|(Qk.S)-B | pGr | -0.07 | -0.06 |
| | Qk.S | #1\|(Qk.S)-C | pGr | -0.07 | -0.06 |
| | Qk.W | #1\|(Qk.W)-090 | pGr | 0.09 | 0.07 |
| | Qk.W | #1\|(Qk.W)-270 | pGr | 0.05 | 0.04 |
| DG-18.5 | Gk | #1\|BS-Gk | pGr | -0.08 | 0.41 |
| (g1) | Gk | #1\|LF-1 | pGr | 18.00 | 18.00 |
| | Gk | #1\|LF-1 | pGr | 10.11 | 0.27 |



durch Vergleichsrechnung geprüft

| Position | EW | Lastfall | Art | $p_A$ | $p_E$ [kN/m] |
|---|---|---|---|---|---|
| | Qk.N | #1\|#SE-LF-2 | pGr | -0.31 | 0.11 |
| | Qk.N | #1\|BS-Qk.N | pGr | -0.02 | 0.09 |
| | Qk.N | #1\|(D-009)-3 | pGr | -0.04 | 0.00 |
| | Qk.N | #1\|(D-009)-4 | pGr | 1.73 | 0.05 |
| | Qk.S | #1\|BS-Qk.S | pGr | 0.01 | 0.22 |
| | Qk.S | #1\|(Qk.S)-A | pGr | -0.05 | 0.01 |
| | Qk.S | #1\|(Qk.S)-B | pGr | -0.04 | 0.01 |
| | Qk.S | #1\|(Qk.S)-C | pGr | -0.04 | 0.01 |
| | Qk.W | #1\|(Qk.W)-090 | pGr | 0.04 | -0.01 |
| | Qk.W | #1\|(Qk.W)-270 | pGr | 0.03 | -0.01 |
| W-058 | Gk | #1\|BS-Gk | pGr | -0.19 | 1.87 |
| (g1) | Gk | #1\|LF-1 | pGr | 18.75 | 18.75 |
| | Gk | #1\|LF-1 | pGr | 23.71 | 25.48 |
| | Qk.N | #1\|#SE-LF-2 | pGr | -1.07 | 11.47 |
| | Qk.N | #1\|BS-Qk.N | pGr | -0.04 | 0.41 |
| | Qk.N | #1\|(D-009)-1 | pGr | 3.69 | 2.10 |
| | Qk.N | #1\|(D-009)-2 | pGr | -0.02 | -0.24 |
| | Qk.N | #1\|(D-009)-3 | pGr | 0.29 | 2.46 |
| | Qk.N | #1\|(D-009)-4 | pGr | -0.01 | -0.08 |
| | Qk.S | #1\|BS-Qk.S | pGr | 0.03 | 0.03 |
| | Qk.S | #1\|(Qk.S)-A | pGr | -0.12 | 0.87 |
| | Qk.S | #1\|(Qk.S)-B | pGr | -0.09 | 0.65 |
| | Qk.S | #1\|(Qk.S)-C | pGr | -0.09 | 0.65 |
| | Qk.W | #1\|(Qk.W)-090 | pGr | 0.20 | -1.27 |
| | Qk.W | #1\|(Qk.W)-270 | pGr | 0.11 | -0.74 |

pGr: Gravitationslast; positive Lasten wirken senkrecht nach unten

(g1) aus Eigengewicht der Wand

Lastsummen

Einwirkungsweise Lastsummen der Punktlasten und Linienlast-Resultierenden, getrennt nach positiven und negativen Anteilen

Lasten aus Lastgruppen werden nicht berücksichtigt.

Linienlasten

| Position | EW | Art | Σpositiv [kN] | Σnegativ [kN] |
|---|---|---|---|---|
| 02-DG | Gk | PGr | 118.65 | |
| | Qk.N | PGr | 4.92 | -0.89 |
| | Qk.S | PGr | 5.42 | 0.00 |
| | Qk.W | PGr | 0.06 | 0.00 |
| 03-DG | Gk | PGr | 122.00 | |
| | Qk.N | PGr | 5.50 | -0.39 |
| | Qk.S | PGr | 5.43 | 0.00 |
| | Qk.W | PGr | 0.01 | 0.00 |
| 04-DG | Gk | PGr | 52.48 | |
| | Qk.N | PGr | 8.26 | -0.16 |
| | Qk.S | PGr | 0.04 | 0.00 |
| | Qk.W | PGr | 0.00 | -0.52 |
| 05-DG | Gk | PGr | 80.15 | |
| | Qk.N | PGr | 16.15 | -0.07 |
| | Qk.S | PGr | 0.00 | -0.01 |
| | Qk.W | PGr | 0.00 | -6.32 |
| 06-DG | Gk | PGr | 62.07 | |
| | Qk.N | PGr | 11.32 | -0.04 |



durch Vergleichsrechnung geprüft

| Position | EW | Art | Σpositiv [kN] | Σnegativ [kN] |
|---|---|---|---|---|
| | Qk.S | PGr | 0.00 | -0.02 |
| | Qk.W | PGr | 0.19 | -0.10 |
| DG-07 | Gk | PGr | 49.18 | |
| | Qk.N | PGr | 3.18 | -1.28 |
| | Qk.S | PGr | 0.05 | 0.00 |
| | Qk.W | PGr | 2.71 | -0.37 |
| DG-18.1 | Gk | PGr | 18.88 | |
| | Qk.N | PGr | 0.77 | -0.09 |
| | Qk.S | PGr | 0.09 | 0.00 |
| | Qk.W | PGr | 0.02 | 0.00 |
| DG-18.3 | Gk | PGr | 40.63 | |
| | Qk.N | PGr | 1.97 | -0.92 |
| | Qk.S | PGr | 0.00 | -0.01 |
| | Qk.W | PGr | 0.21 | 0.00 |
| DG-18.5 | Gk | PGr | 18.68 | |
| | Qk.N | PGr | 0.74 | -0.10 |
| | Qk.S | PGr | 0.09 | 0.00 |
| | Qk.W | PGr | 0.02 | 0.00 |
| W-058 | Gk | PGr | 20.99 | |
| | Qk.N | PGr | 4.59 | -0.08 |
| | Qk.S | PGr | 0.02 | 0.00 |
| | Qk.W | PGr | 0.00 | -0.40 |

PGr: Gravitationslast; positive Lasten wirken senkrecht nach unten

## Einwirkungen

### DIN EN 1990

Einwirkungen nach DIN EN 1990

| Kürzel | Beschreibung<br>Typisierung |
|---|---|
| Gk | Eigenlasten<br>Ständige Einwirkungen |
| Qk.N | Nutzlasten<br>Kategorie A - Wohn- und Aufenthaltsräume |
| Qk.S | Schnee<br>Schnee- und Eislasten für Orte bis NN + 1000 m |
| Qk.W | Wind<br>Windlasten |

### Lastfälle

Lastfälle und deren Zuordnung zu den Einwirkungen

| | |
|---|---|
| Gk | LF-1, BS-Gk, #1\|BS-Gk, #1\|LF-1, #SE-LF-1, #V-Lasten DG\|BS-Gk, #V-Lasten DG\|LF-1 |
| Qk.N | BS-Qk.N, (D-01)-1, (D-01)-2, (D-01)-3, (D-01)-4, (D-01)-5, (D-01)-6, (D-01)-7, (D-01)-8, (D-01)-9, (D-01-BO)-1, (D-01-BU)-1, #1\|#SE-LF-2, #1\|BS-Qk.N, #1\|(D-009)-1, #1\|(D-009)-2, #1\|(D-009)-3, #1\|(D-009)-4, #SE-LF-2, #V-Lasten DG\|BS-Qk.N, #V-Lasten DG\|(D-009)-1 |
| Qk.S | BS-Qk.S, #1\|BS-Qk.S, #V-Lasten DG\|BS-Qk.S, #V-Lasten DG\|(Qk.S)-A, #V-Lasten DG\|(Qk.S)-B, #V-Lasten DG\|(Qk.S)-C<br>*#1\|LG-(Qk.S)* (#1\|(Qk.S)-A, #1\|(Qk.S)-B, #1\|(Qk.S)-C)<br>*LG-(Qk.S)* ((Qk.S)-A, (Qk.S)-B, (Qk.S)-C) |
| Qk.W | (Qk.W)-000, (Qk.W)-090, (Qk.W)-180, (Qk.W)-270, #1\|(Qk.W)-000, #1\|(Qk.W)-090, #1\|(Qk.W)-180, #1\|(Qk.W)-270, #V-Lasten DG\|(Qk.W)-000, #V-Lasten DG\|(Qk.W)-090, #V-Lasten DG\|(Qk.W)-180, #V-Lasten |



durch Vergleichsrechnung geprüft

DG|(Qk.W)-270

## Bemessung (GZT+GZG)

Biegung Pl-As-erf-Iso
D-01-BO

Plattenbiegebemessung nach DIN EN 1992-1-1

Bemessung für Platte (Stahlbeton) D-01-BO

Mat./Querschnitt

Beton *C 25/30*
Gesteinskörnung Quarzit
Betonstahl *B 500MA*

Dicke konstant h = 22.00 cm

Expositionsklasse

gemäß DIN EN 1992-1-1, Tab. 4.1

| Position | Seite | | Kl | Kommentar |
|---|---|---|---|---|
| D-01-BO | oben | b | XC4 | wechselnd nass und trocken |
| | unten | b | XC3 | mäßige Feuchte |

b: Verminderung des Vorhaltemaßes um 5 mm nach NDP zu 4.4.1.3(3)

Bewehrung

Vorgaben zur Bewehrungsdefinition

| | | | | |
|---|---|---|---|---|
| Betondeckung | $c_{min,u}/c_{min,o}$ = | 20/ | 25 | mm |
| | $\Delta c_{def,u}/\Delta c_{def,o}$ = | 10/ | 10 | mm |
| | $c_{nom,u}/c_{nom,o}$ = | 30/ | 35 | mm |
| Bewehrungsabstand | $d'_{ru/su}$ = | 34/ | 42 | mm |
| | $d'_{ro/so}$ = | 39/ | 47 | mm |
| Bewehrungsrichtung | $w_{ru/su}$ = | 0.0/ | 90.0 | ° |
| | $w_{ro/so}$ = | 0.0/ | 90.0 | ° |

Grundbewehrung

| Seite | | Matte, Stäbe Ø[mm]/s[cm] | $d'_r$ [mm] | $a_{sg,r}$ [cm²/m] | $d'_s$ [mm] | $a_{sg,s}$ [cm²/m] |
|---|---|---|---|---|---|---|
| Unten | r | Q 335A | 34 | 3.35 | 42 | 3.35 |
| Oben | r | Q 335A | 39 | 3.35 | 47 | 3.35 |

Nachweisparameter

nach DIN EN 1992-1-1

Mindestbewehrung (9.2.1.1) wurde berücksichtigt.

Kombinationen

Maßgebende Kombinationen nach DIN EN 1990

EW Einwirkungsname
Lkn Lastkombinationsnummer
! vorherrschende veränderliche Einwirkung

Die Beteiligung einzelner Lastfälle innerhalb einer Einwirkung wird mit diesem Ausgabeformat nicht dokumentiert.

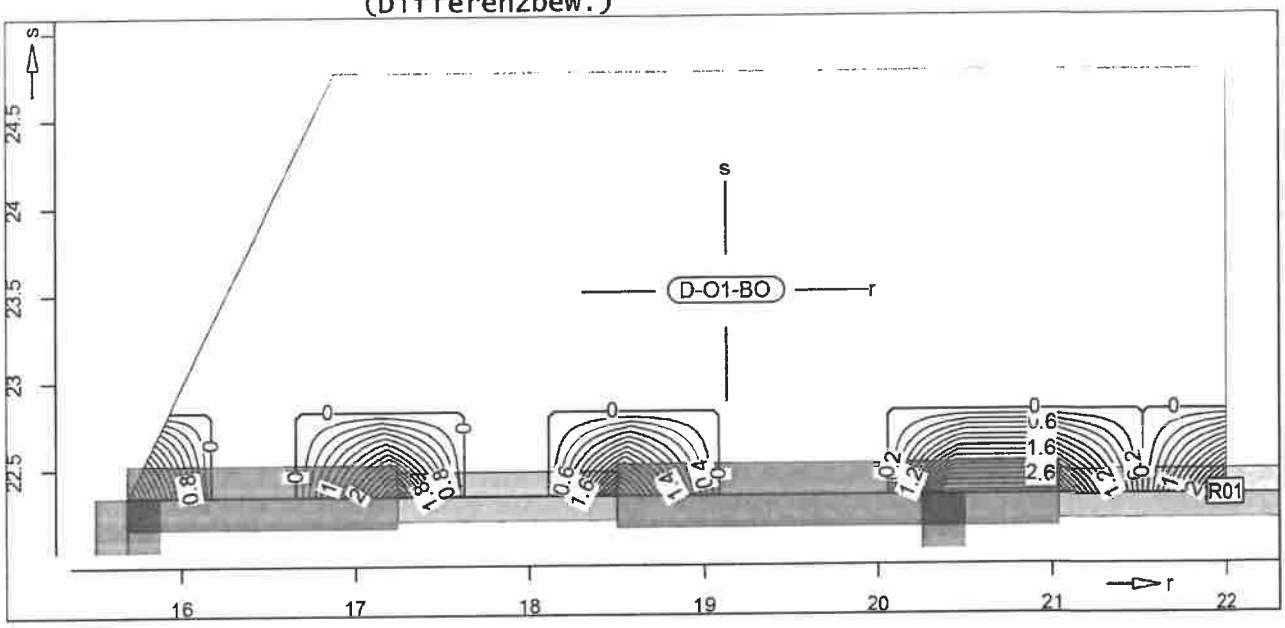
| EW | Gk | Qk.N | Qk.S | Qk.W |
|---|---|---|---|---|
| Lkn | Grundkombination | | | |
| 1-3 | 1.35 | 1.50! | . | 0.90 |
| 4 | 1.35 | 1.50! | 0.75 | . |



durch Vergleichsrechnung geprüft

as,r,unten — Längsbewehrung in r-Richtung in unterer Lage

Erf. Bewehrung — Erforderliche untere Bewehrung as,ru [cm²/m] (Differenzbew.)




Isolinienstufen = 0.20 cm²/m

Achsabstand erf. Bewehrung: $d'_{ru}$ = 34 mm
Achsabstand vorh. Bewehrung: $d'_{ru}$ = 34 mm
Grundbewehrung: asg,ru = 3.35 cm²/m

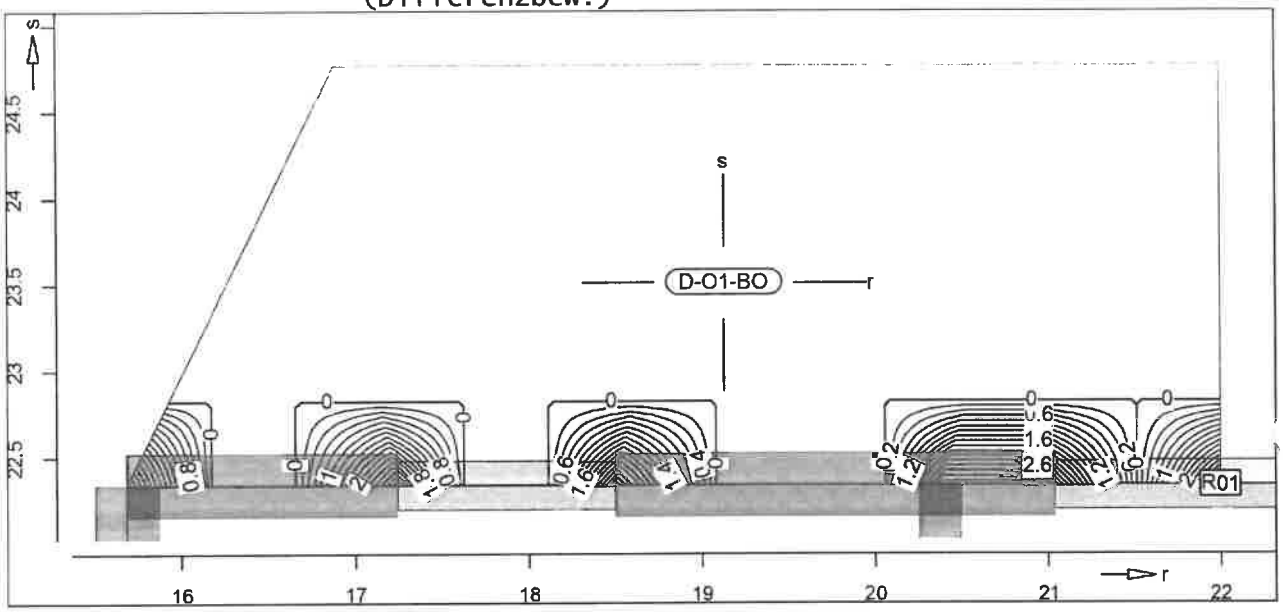
| Punkt | x | y [m] | $m_{r,Ed}$ | $m_{s,Ed}$ | $m_{rs,Ed}$ | $m_{Ed}$ [kNm/m] | $a_{s,ru}$ [cm²/m] | Lkn |
|---|---|---|---|---|---|---|---|---|
| R01 | 22.00 | 22.34 | -6.75 | -108.77 | 12.30 | 0.00 | 3.35 | 1 |



durch Vergleichsrechnung geprüft

as,s,unten — Längsbewehrung in s-Richtung in unterer Lage

Erf. Bewehrung — Erforderliche untere Bewehrung as,su [cm²/m] (Differenzbew.)




Isolinienstufen = 0.20 cm²/m

Achsabstand erf. Bewehrung: $d'_{su}$ = 42 mm
Achsabstand vorh. Bewehrung: $d'_{su}$ = 42 mm
Grundbewehrung: asg,su = 3.35 cm²/m

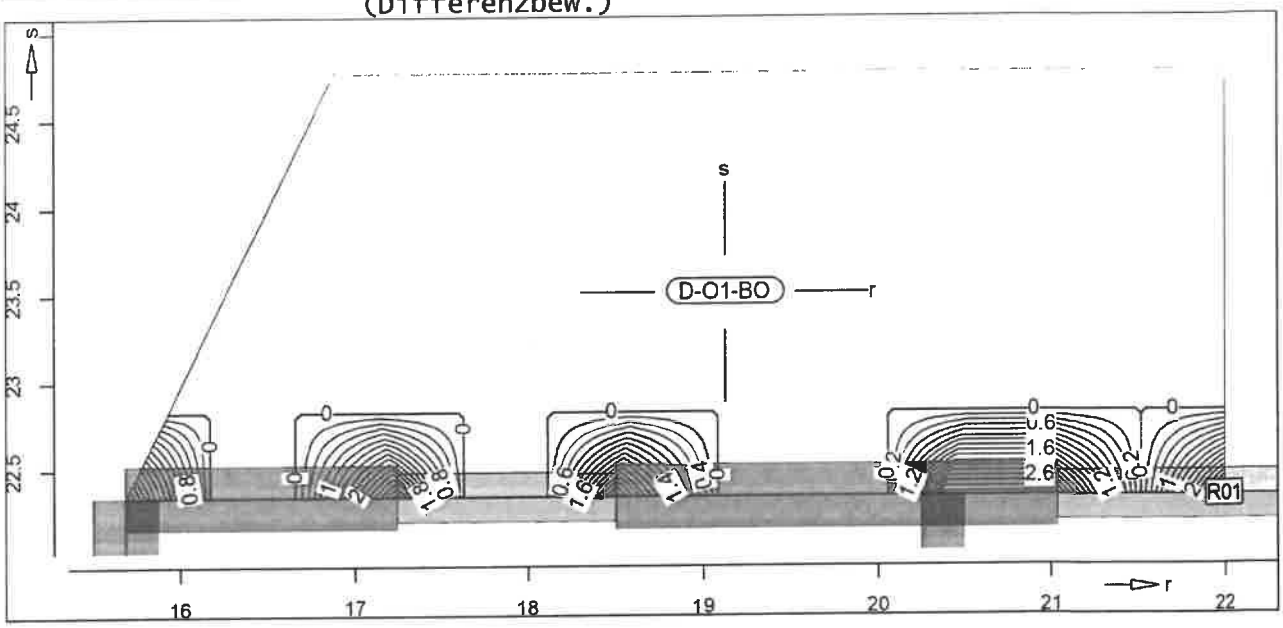
| Punkt | x | y [m] | $m_{r,Ed}$ | $m_{s,Ed}$ | $m_{rs,Ed}$ | $m_{Ed}$ [kNm/m] | $a_{s,su}$ [cm²/m] | Lkn |
|---|---|---|---|---|---|---|---|---|
| R01 | 22.00 | 22.34 | -7.02 | -109.02 | 12.44 | -121.47 | 3.35 | 4 |



durch Vergleichsrechnung geprüft

as,r,oben — Längsbewehrung in r-Richtung in oberer Lage

Erf. Bewehrung — Erforderliche obere Bewehrung as,ro [cm²/m] (Differenzbew.)




Isolinienstufen = 0.20 cm²/m

Achsabstand erf. Bewehrung: $d'_{ro}$ = 39 mm
Achsabstand vorh. Bewehrung: $d'_{ro}$ = 39 mm
Grundbewehrung: asg,ro = 3.35 cm²/m

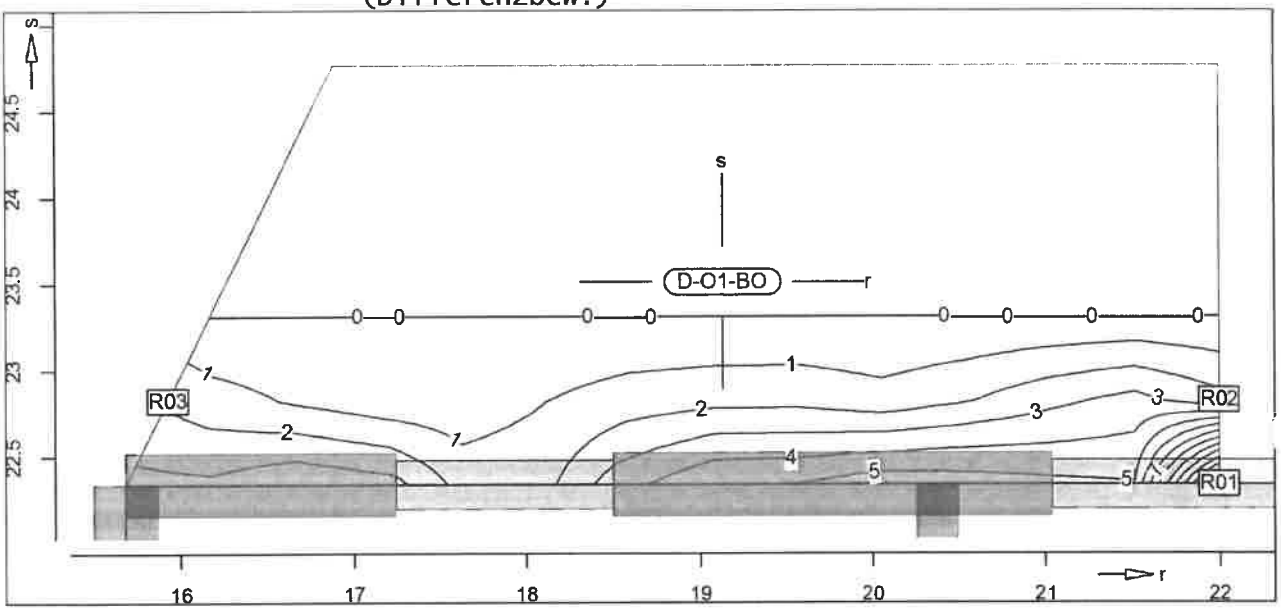
| Punkt | x | y [m] | $m_{r,Ed}$ | $m_{s,Ed}$ | $m_{rs,Ed}$ | $m_{Ed}$ [kNm/m] | $a_{s,ro}$ [cm²/m] | Lkn |
|---|---|---|---|---|---|---|---|---|
| R01 | 22.00 | 22.34 | -6.75 | -108.77 | 12.30 | 0.00 | 3.35 | 1 |



durch Vergleichsrechnung geprüft

as,s,oben — Längsbewehrung in s-Richtung in oberer Lage

Erf. Bewehrung — Erforderliche obere Bewehrung as,so [cm²/m] (Differenzbew.)




Isolinienstufen = 1.00 cm²/m

Achsabstand erf. Bewehrung: $d'_{so}$ = 47 mm
Achsabstand vorh. Bewehrung: $d'_{so}$ = 47 mm
Grundbewehrung: asg,so = 3.35 cm²/m

| Punkt | x | y [m] | $m_{r,Ed}$ | $m_{s,Ed}$ | $m_{rs,Ed}$ | $m_{Ed}$ [kNm/m] | $a_{s,so}$ [cm²/m] | Lkn |
|---|---|---|---|---|---|---|---|---|
| R01 | 22.00 | 22.34 | -6.98 | -109.10 | 12.43 | -121.53 | **15.11** | 2 |
| R02 | 22.00 | 22.82 | -0.77 | -40.36 | -3.02 | -43.38 | **2.30** | 2 |
| R03 | 15.93 | 22.82 | 0.75 | -33.92 | -6.93 | -40.85 | **1.89** | 3 |



durch Vergleichsrechnung geprüft

D-01 — Bemessung für Platte (Stahlbeton) D-01

Mat./Querschnitt

Beton *C 25/30*
Gesteinskörnung Quarzit
Betonstahl *B 500MA*

Dicke konstant h = 22.00 cm

Expositionsklasse

gemäß DIN EN 1992-1-1, Tab. 4.1

| Position | Seite | Kl | Kommentar |
|---|---|---|---|
| D-01 | umlaufend | XC1 | trocken oder ständig nass |

Bewehrung

Vorgaben zur Bewehrungsdefinition

| | | | | |
|---|---|---|---|---|
| Betondeckung | $c_{min,u}/c_{min,o}$ = | 10/ | 10 | mm |
| | $\Delta c_{def,u}/\Delta c_{def,o}$ = | 10/ | 10 | mm |
| | $c_{nom,u}/c_{nom,o}$ = | 20/ | 20 | mm |
| Bewehrungsabstand | $d'_{ru/su}$ = | 24/ | 32 | mm |
| | $d'_{ro/so}$ = | 24/ | 32 | mm |
| Bewehrungsrichtung | $w_{ru/su}$ = | 0.0/ | 90.0 | ° |
| | $w_{ro/so}$ = | 0.0/ | 90.0 | ° |

Grundbewehrung

| Seite | | Matte, Stäbe Ø[mm]/s[cm] | $d'_r$ [mm] | $a_{sg,r}$ [cm²/m] | $d'_s$ [mm] | $a_{sg,s}$ [cm²/m] |
|---|---|---|---|---|---|---|
| Unten | r | Q 335A | 24 | 3.35 | 32 | 3.35 |
| Oben | r | Q 335A | 24 | 3.35 | 32 | 3.35 |

Nachweisparameter

nach DIN EN 1992-1-1 √

Mindestbewehrung (9.2.1.1) wurde berücksichtigt.

Kombinationen

Maßgebende Kombinationen nach DIN EN 1990

Ew Einwirkungsname
Lkn Lastkombinationsnummer
! vorherrschende veränderliche Einwirkung

Die Beteiligung einzelner Lastfälle innerhalb einer Einwirkung wird mit diesem Ausgabeformat nicht dokumentiert.

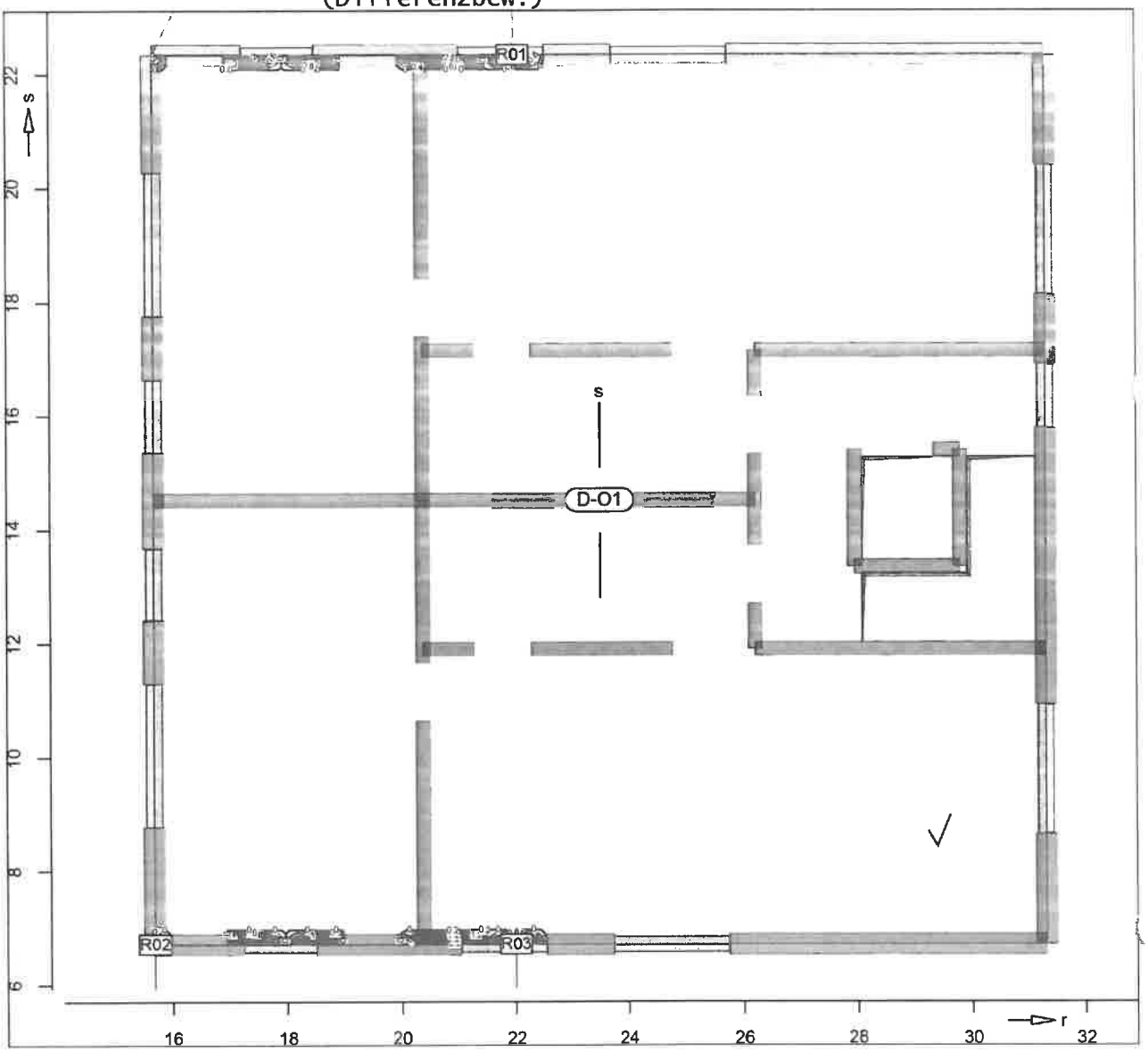
| Ew | Gk | Qk.N | Qk.S | Qk.W |
|---|---|---|---|---|
| Lkn | Grundkombination | | | |
| 1-4 | 1.35 | 1.50! | . | 0.90 |
| 5 | 1.00 | 1.50! | . | 0.90 |
| 6-7 | 1.00 | 1.50! | 0.75 | . |
| 8-20 | 1.35 | 1.50! | 0.75 | . |



durch Vergleichsrechnung geprüft

as,r,unten — Längsbewehrung in r-Richtung in unterer Lage

Erf. Bewehrung — Erforderliche untere Bewehrung as,ru [cm²/m] (Differenzbew.)




Isolinienstufen = 0.20 cm²/m

Achsabstand erf. Bewehrung: $d'_{ru}$ = 24 mm
Achsabstand vorh. Bewehrung: $d'_{ru}$ = 24 mm
Grundbewehrung: asg,ru = 3.35 cm²/m

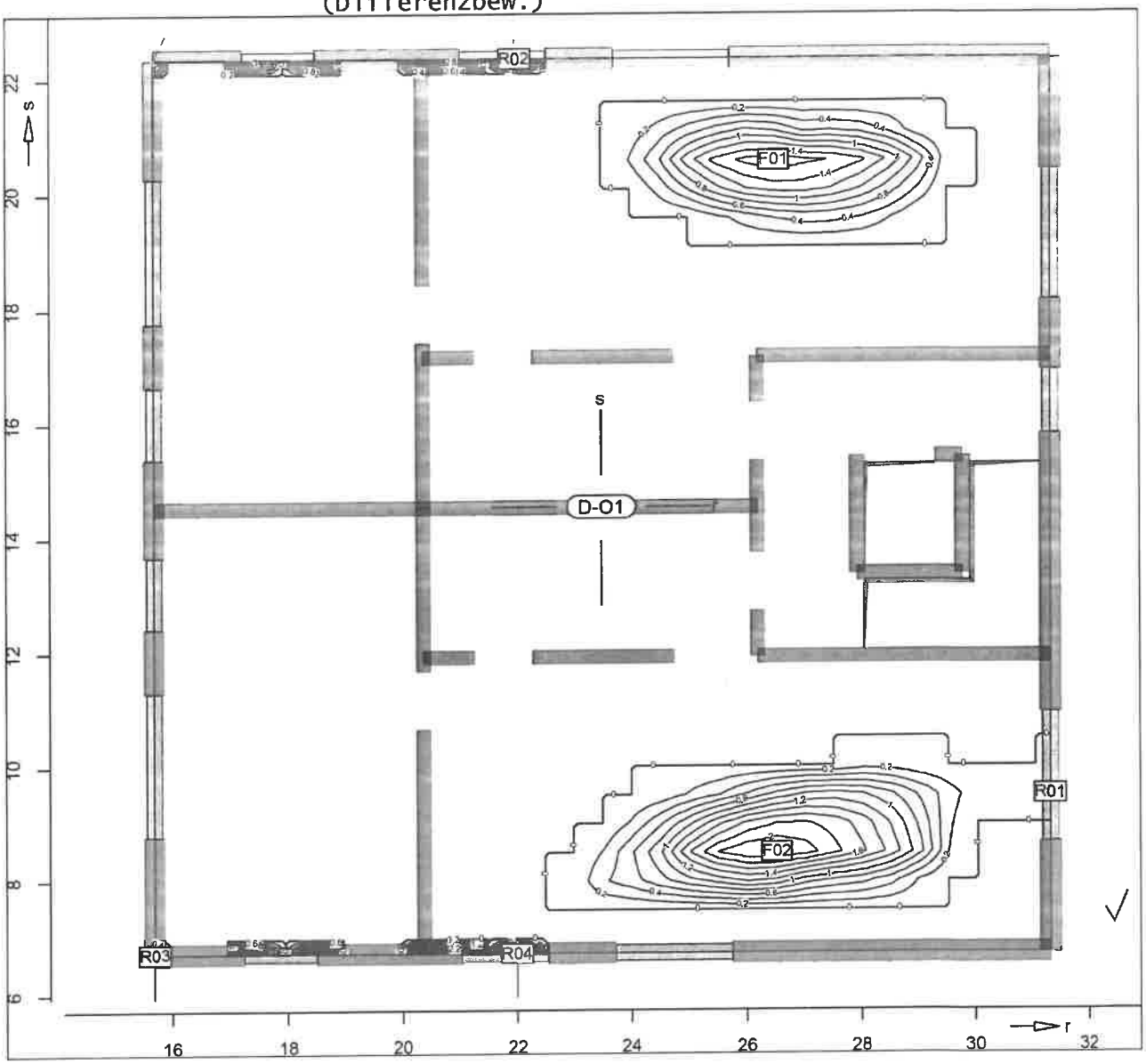
| Punkt | x | y [m] | $m_{r,Ed}$ | $m_{s,Ed}$ | $m_{rs,Ed}$ | $m_{Ed}$ [kNm/m] | $a_{s,ru}$ [cm²/m] | Lkn |
|---|---|---|---|---|---|---|---|---|
| R01 | 22.00 | 22.34 | 20.72 | -38.83 | 20.50 | 31.55 | 3.35 | 1 |
| R02 | 15.69 | 6.71 | 3.15 | -45.69 | 0.74 | 3.17 | 3.35 | 5 |
| R03 | 22.00 | 6.71 | 10.38 | -18.15 | -10.39 | 16.32 | 3.35 | 6 |



durch Vergleichsrechnung geprüft

as,s,unten — Längsbewehrung in s-Richtung in unterer Lage

Erf. Bewehrung — Erforderliche untere Bewehrung as,su [cm²/m] (Differenzbew.)




Isolinienstufen = 0.20 cm²/m

Achsabstand erf. Bewehrung: $d'_{su}$ = 32 mm
Achsabstand vorh. Bewehrung: $d'_{su}$ = 32 mm
Grundbewehrung: asg,su = 3.35 cm²/m

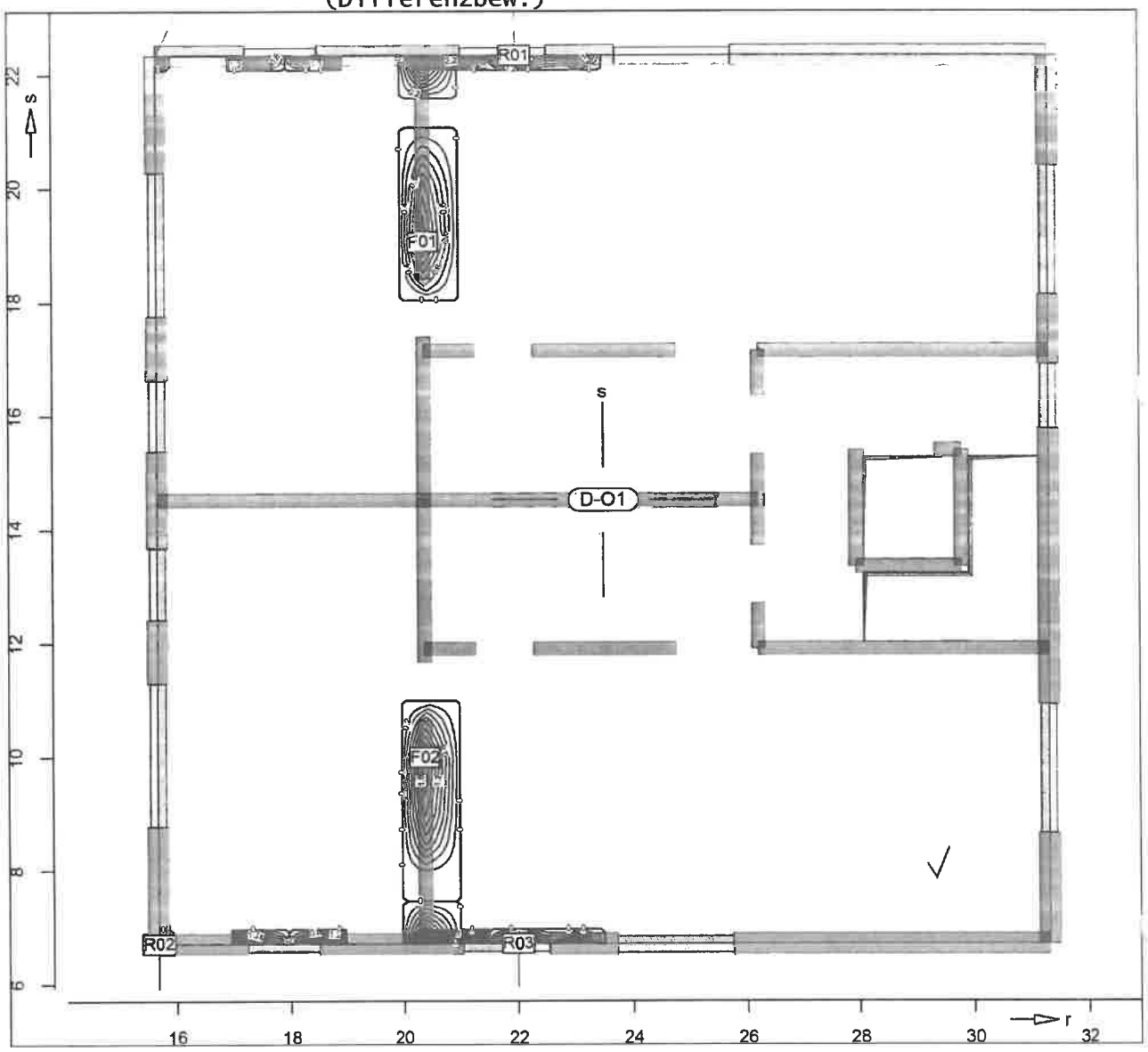
| Punkt | x | y [m] | $m_{r,Ed}$ | $m_{s,Ed}$ | $m_{rs,Ed}$ | $m_{Ed}$ [kNm/m] | $a_{s,su}$ [cm²/m] | Lkn |
|---|---|---|---|---|---|---|---|---|
| F01 | 26.52 | 20.57 | 12.09 | 41.23 | 1.10 | 42.32 | 1.74 | 10 |
| F02 | 26.52 | 8.48 | 12.03 | 44.00 | -1.72 | 45.71 | 2.22 | 11 |
| R01 | 31.31 | 9.49 | 1.20 | 26.49 | -5.39 | 31.88 | 0.30 | 8 |
| R02 | 22.00 | 22.34 | 20.47 | -38.96 | 20.58 | -59.53 | 3.35 | 9 |
| R03 | 15.69 | 6.71 | 3.15 | -45.69 | 0.74 | 0.00 | 3.35 | 5 |
| R04 | 22.00 | 6.71 | 9.33 | -17.09 | -9.98 | 0.00 | 3.35 | 7 |



durch Vergleichsrechnung geprüft

as,r,oben — Längsbewehrung in r-Richtung in oberer Lage

Erf. Bewehrung — Erforderliche obere Bewehrung as,ro [cm²/m] (Differenzbew.)




Isolinienstufen = 0.20 cm²/m

Achsabstand erf. Bewehrung: $d'_{ro}$ = 24 mm
Achsabstand vorh. Bewehrung: $d'_{ro}$ = 24 mm
Grundbewehrung: asg,ro = 3.35 cm²/m

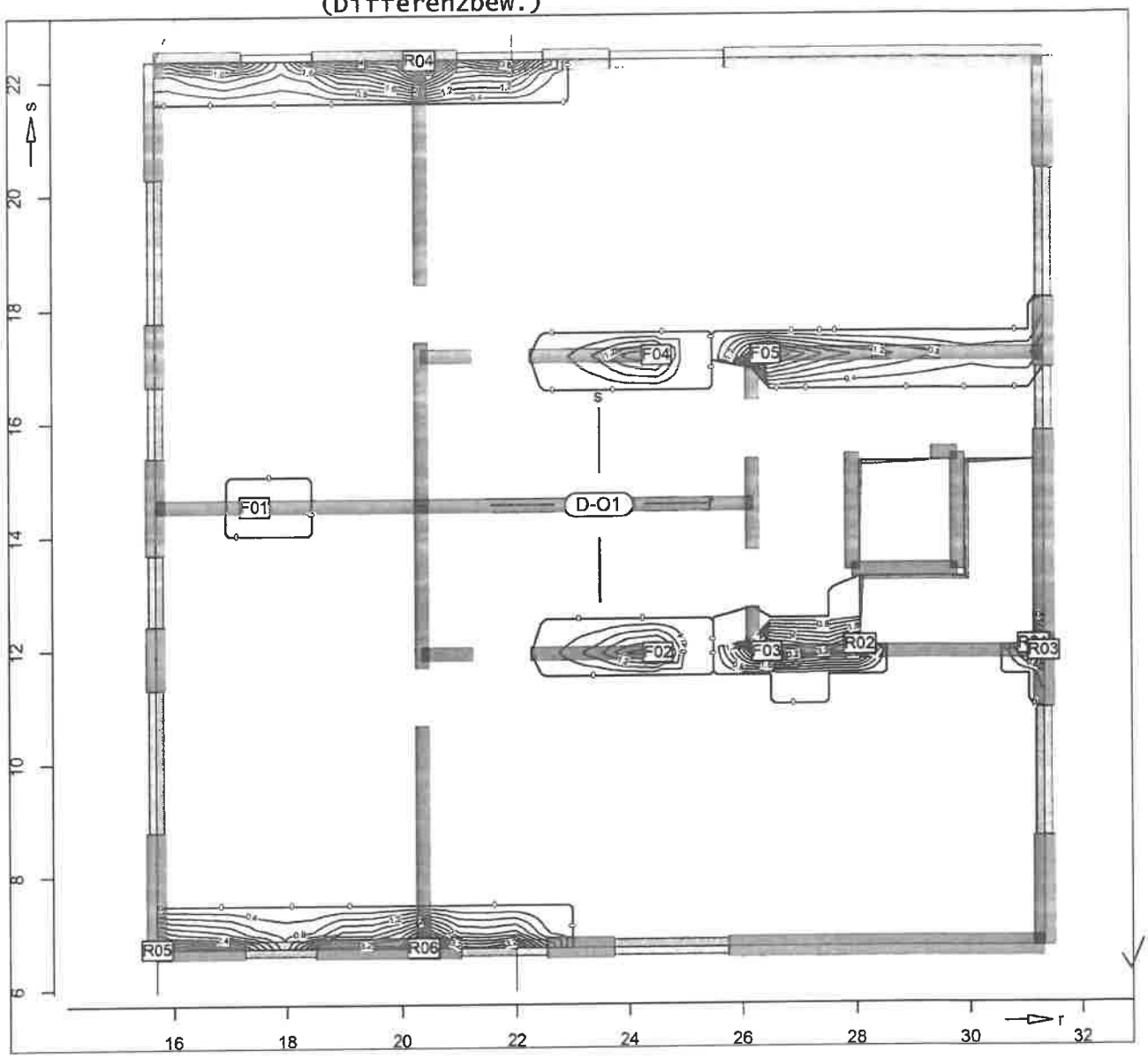
| Punkt | x | y [m] | $m_{r,Ed}$ | $m_{s,Ed}$ | $m_{rs,Ed}$ | $m_{Ed}$ [kNm/m] | $a_{s,ro}$ [cm²/m] | Lkn |
|---|---|---|---|---|---|---|---|---|
| F01 | 20.38 | 19.06 | -41.13 | -11.34 | -2.95 | -44.08 | 1.79 | 12 |
| F02 | 20.38 | 9.99 | -42.67 | -11.77 | 3.08 | -45.75 | 2.00 | 13 |
| R01 | 22.00 | 22.34 | 20.72 | -38.83 | 20.50 | 31.55 | 3.35 | 1 |
| R02 | 15.69 | 6.71 | 3.15 | -45.69 | 0.74 | 3.17 | 3.35 | 5 |
| R03 | 22.00 | 6.71 | 10.38 | -18.15 | -10.39 | 16.32 | 3.35 | 6 |



durch Vergleichsrechnung geprüft

as,s,oben — Längsbewehrung in s-Richtung in oberer Lage

Erf. Bewehrung — Erforderliche obere Bewehrung as,so [cm²/m] (Differenzbew.)




Isolinienstufen = 0.40 cm²/m

Achsabstand erf. Bewehrung: $d'_{so}$ = 32 mm
Achsabstand vorh. Bewehrung: $d'_{so}$ = 32 mm
Grundbewehrung: asg,so = 3.35 cm²/m

| Punkt | x | y [m] | $m_{r,Ed}$ | $m_{s,Ed}$ | $m_{rs,Ed}$ | $m_{Ed}$ [kNm/m] | $a_{s,so}$ [cm²/m] | Lkn |
|---|---|---|---|---|---|---|---|---|
| F01 | 17.45 | 14.53 | -6.21 | -31.17 | 0.00 | -31.18 | 0.21 | 16 |
| F02 | 24.53 | 11.91 | -17.05 | -46.54 | 0.24 | -46.78 | 2.37 | 17 |
| F03 | 26.45 | 11.91 | -19.25 | -57.72 | 2.82 | -60.54 | 4.31 | 18 |
| F04 | 24.53 | 17.15 | -16.40 | -44.61 | -0.17 | -44.78 | 2.09 | 19 |
| F05 | 26.45 | 17.15 | -18.21 | -52.80 | -2.41 | -55.21 | 3.56 | 20 |
| R01 | 31.13 | 12.03 | -0.35 | -30.79 | -21.32 | -52.12 | 3.12 | 2 |
| R02 | 28.08 | 12.03 | 0.57 | -42.36 | 16.30 | -58.66 | 4.05 | 14 |



durch Vergleichsrechnung geprüft

| Punkt | x | y [m] | $m_{r,Ed}$ | $m_{s,Ed}$ | $m_{rs,Ed}$ | $m_{Ed}$ [kNm/m] | $a_{s,so}$ [cm²/m] | Lkn |
|---|---|---|---|---|---|---|---|---|
| R03 | 31.31 | 11.91 | -6.34 | -26.73 | -18.91 | -45.64 | **2.21** | 15 |
| R04 | 20.38 | 22.34 | -41.33 | -72.71 | 2.77 | -75.48 | **6.79** | 3 |
| R05 | 15.69 | 6.71 | 3.74 | -54.99 | 0.41 | -55.04 | **3.77** | 4 |
| R06 | 20.38 | 6.71 | -38.55 | -65.38 | -3.51 | -68.89 | **5.81** | 4 |




durch Vergleichsrechnung geprüft

D-01-BU

Bemessung für Platte (Stahlbeton) D-01-BU

Mat./Querschnitt

Beton *C 25/30*
Gesteinskörnung Quarzit
Betonstahl *B 500MA*

Dicke konstant h = 22.00 cm

Expositionsklasse

gemäß DIN EN 1992-1-1, Tab. 4.1

| Position | Seite | | Kl | Kommentar |
|---|---|---|---|---|
| D-01-BU | oben | b | XC4 | wechselnd nass und trocken |
| | unten | b | XC3 | mäßige Feuchte |

b: Verminderung des Vorhaltemaßes um 5 mm nach NDP Zu 4.4.1.3(3)

Bewehrung

Vorgaben zur Bewehrungsdefinition

| | | | | |
|---|---|---|---|---|
| Betondeckung | $c_{min,u}/c_{min,o}$ = | 20/ | 25 | mm |
| | $\Delta c_{def,u}/\Delta c_{def,o}$ = | 10/ | 10 | mm |
| | $c_{nom,u}/c_{nom,o}$ = | 30/ | 35 | mm |
| Bewehrungsabstand | $d'_{ru/su}$ = | 34/ | 42 | mm |
| | $d'_{ro/so}$ = | 39/ | 47 | mm |
| Bewehrungsrichtung | $w_{ru/su}$ = | 0.0/ | 90.0 | ° |
| | $w_{ro/so}$ = | 0.0/ | 90.0 | ° |

Grundbewehrung

| Seite | | Matte, Stäbe Ø[mm]/s[cm] | $d'_r$ [mm] | $a_{sg,r}$ [cm²/m] | $d'_s$ [mm] | $a_{sg,s}$ [cm²/m] |
|---|---|---|---|---|---|---|
| Unten | r | Q 335A | 34 | 3.35 | 42 | 3.35 |
| Oben | r | Q 335A | 39 | 3.35 | 47 | 3.35 |

Nachweisparameter

nach DIN EN 1992-1-1

Mindestbewehrung (9.2.1.1) wurde berücksichtigt.

Kombinationen

Maßgebende Kombinationen nach DIN EN 1990

Ew Einwirkungsname
Lkn Lastkombinationsnummer
! vorherrschende veränderliche Einwirkung

Die Beteiligung einzelner Lastfälle innerhalb einer Einwirkung wird mit diesem Ausgabeformat nicht dokumentiert.

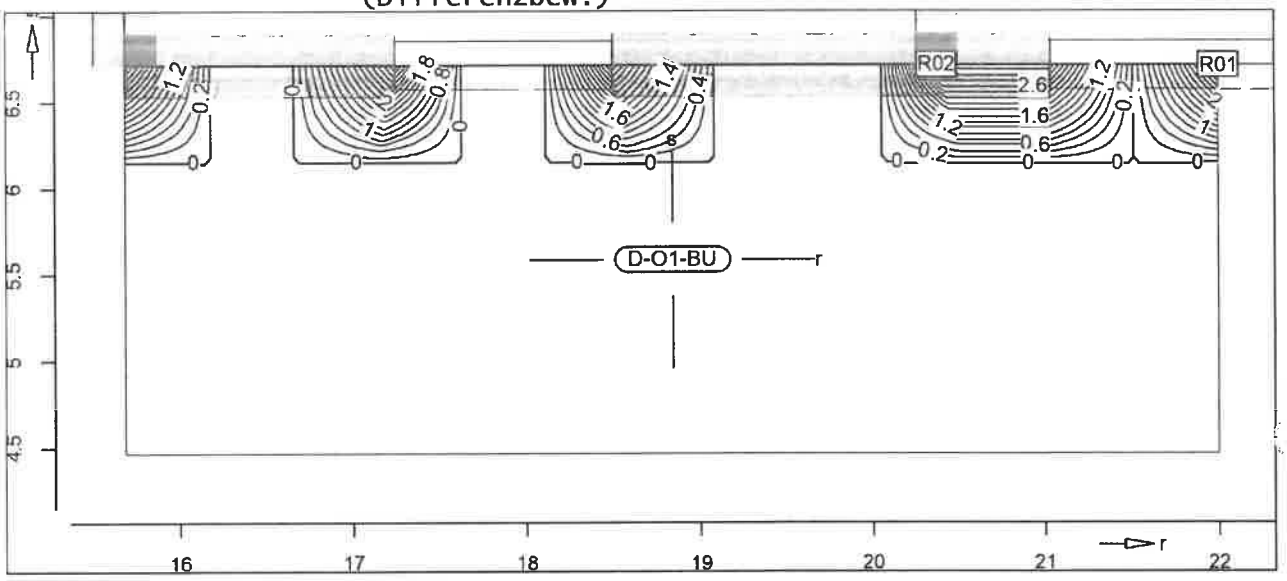
| Ew | Gk | Qk.N | Qk.S | Qk.W |
|---|---|---|---|---|
| Lkn | Grundkombination | | | |
| 1-4 | 1.00 | 1.50! | 0.75 | . |
| 5-6 | 1.35 | 1.50! | 0.75 | . |




durch Vergleichsrechnung geprüft

as,r,unten — Längsbewehrung in r-Richtung in unterer Lage

Erf. Bewehrung — Erforderliche untere Bewehrung as,ru [cm²/m] (Differenzbew.)




Isolinienstufen = 0.20 cm²/m

Achsabstand erf. Bewehrung: $d'_{ru}$ = 34 mm
Achsabstand vorh. Bewehrung: $d'_{ru}$ = 34 mm
Grundbewehrung: asg,ru = 3.35 cm²/m

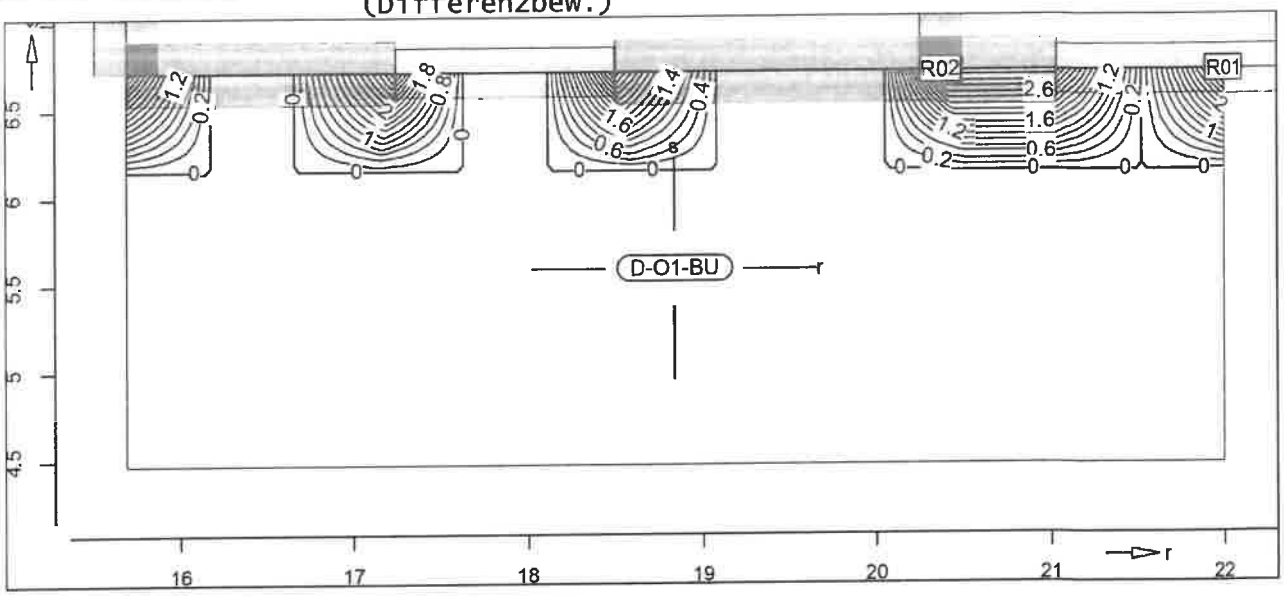
| Punkt | x | y [m] | $m_{r,Ed}$ | $m_{s,Ed}$ | $m_{rs,Ed}$ | $m_{Ed}$ [kNm/m] | $a_{s,ru}$ [cm²/m] | Lkn |
|---|---|---|---|---|---|---|---|---|
| R01 | 22.00 | 6.71 | -3.66 | -49.98 | -6.45 | 0.00 | 3.35 | 1 |
| R02 | 20.38 | 6.71 | -17.18 | -26.42 | -2.03 | 0.00 | 3.35 | 2 |



durch Vergleichsrechnung geprüft

as,s,unten — Längsbewehrung in s-Richtung in unterer Lage

Erf. Bewehrung — Erforderliche untere Bewehrung as,su [cm²/m] (Differenzbew.)




Isolinienstufen = 0.20 cm²/m

Achsabstand erf. Bewehrung: $d'_{su}$ = 42 mm
Achsabstand vorh. Bewehrung: $d'_{su}$ = 42 mm
Grundbewehrung: asg,su = 3.35 cm²/m

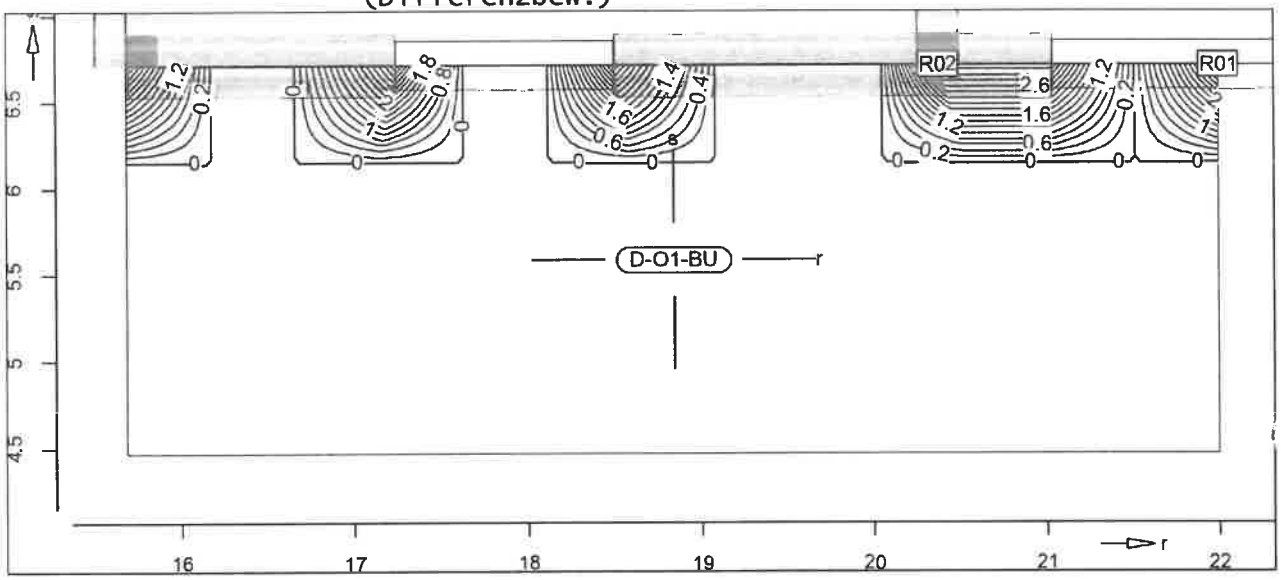
| Punkt | x | y [m] | $m_{r,Ed}$ | $m_{s,Ed}$ | $m_{rs,Ed}$ | $m_{Ed}$ [kNm/m] | $a_{s,su}$ [cm²/m] | Lkn |
|---|---|---|---|---|---|---|---|---|
| R01 | 22.00 | 6.71 | -3.96 | -47.31 | -6.33 | -53.64 | 3.35 | 3 |
| R02 | 20.38 | 6.71 | -17.68 | -25.17 | -0.60 | 0.00 | 3.35 | 4 |



durch Vergleichsrechnung geprüft

as,r,oben — Längsbewehrung in r-Richtung in oberer Lage

Erf. Bewehrung — Erforderliche obere Bewehrung as,ro [cm²/m] (Differenzbew.)




Isolinienstufen = 0.20 cm²/m

Achsabstand erf. Bewehrung: $d'_{ro}$ = 39 mm
Achsabstand vorh. Bewehrung: $d'_{ro}$ = 39 mm
Grundbewehrung: asg,ro = 3.35 cm²/m

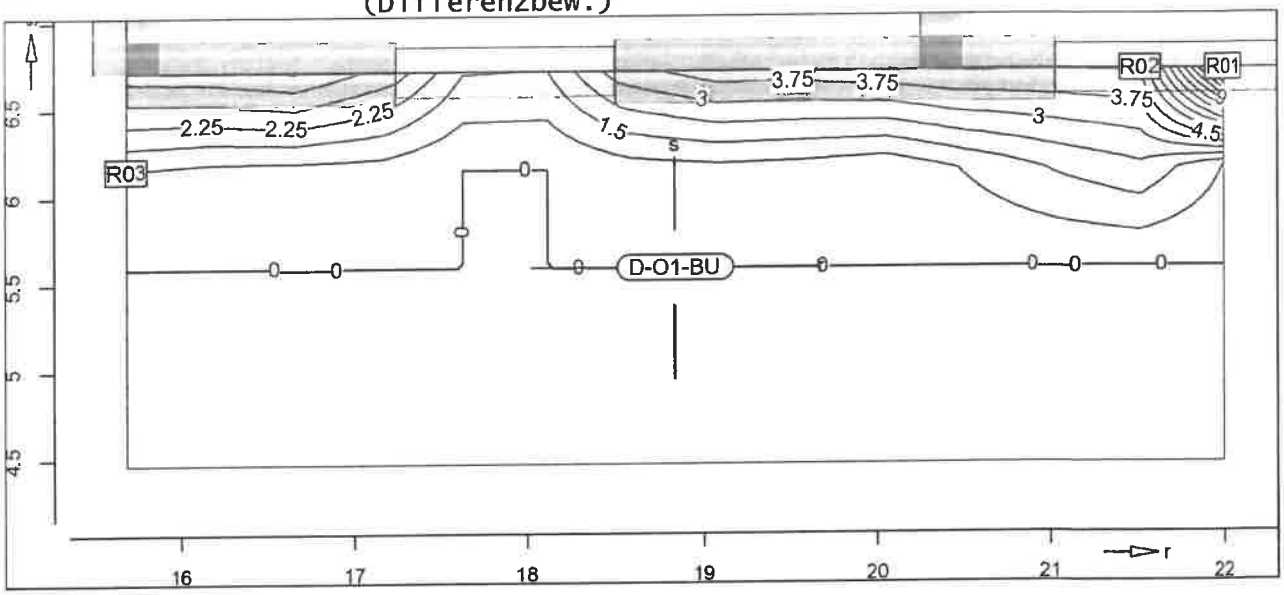
| Punkt | x | y [m] | $m_{r,Ed}$ | $m_{s,Ed}$ | $m_{rs,Ed}$ | $m_{Ed}$ [kNm/m] | $a_{s,ro}$ [cm²/m] | Lkn |
|---|---|---|---|---|---|---|---|---|
| R01 | 22.00 | 6.71 | -3.66 | -49.98 | -6.45 | 0.00 | 3.35 | 1 |
| R02 | 20.38 | 6.71 | -17.18 | -26.42 | -2.03 | 0.00 | 3.35 | 2 |



durch Vergleichsrechnung geprüft

as,s,oben — Längsbewehrung in s-Richtung in oberer Lage

Erf. Bewehrung — Erforderliche obere Bewehrung as,so [cm²/m] (Differenzbew.)



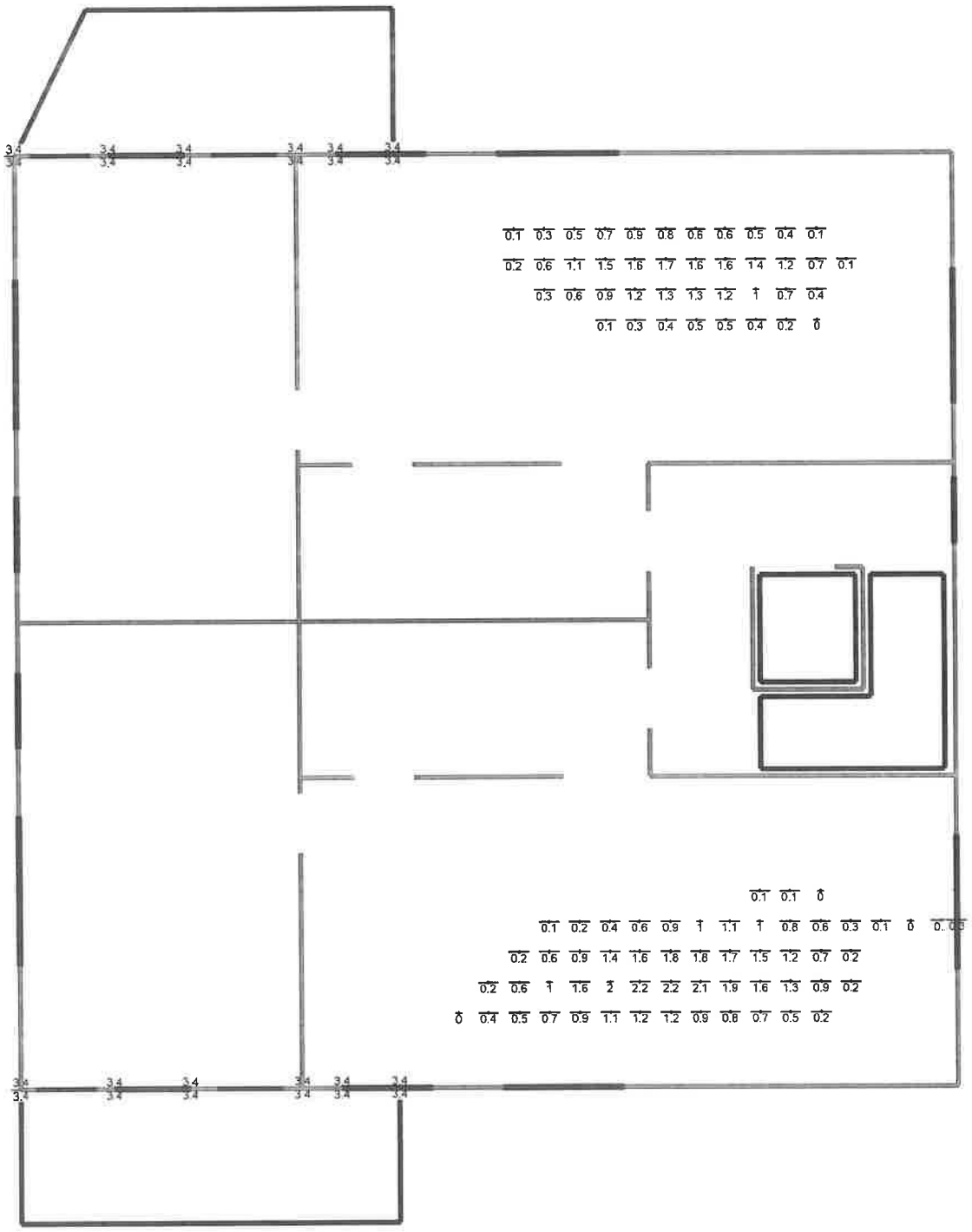

Isolinienstufen = 0.75 cm²/m

Achsabstand erf. Bewehrung: $d'_{so}$ = 47 mm
Achsabstand vorh. Bewehrung: $d'_{so}$ = 47 mm
Grundbewehrung: asg,so = 3.35 cm²/m

| Punkt | x | y [m] | $m_{r,Ed}$ | $m_{s,Ed}$ | $m_{rs,Ed}$ | $m_{Ed}$ [kNm/m] | $a_{s,so}$ [cm²/m] | Lkn |
|---|---|---|---|---|---|---|---|---|
| R01 | 22.00 | 6.71 | -7.43 | -97.97 | -12.82 | -110.79 | 13.20 | 5 |
| R02 | 21.51 | 6.71 | 11.52 | -42.02 | -15.15 | -57.16 | 4.55 | 5 |
| R03 | 15.69 | 6.15 | -1.69 | -29.46 | -4.21 | -33.67 | 0.73 | 6 |



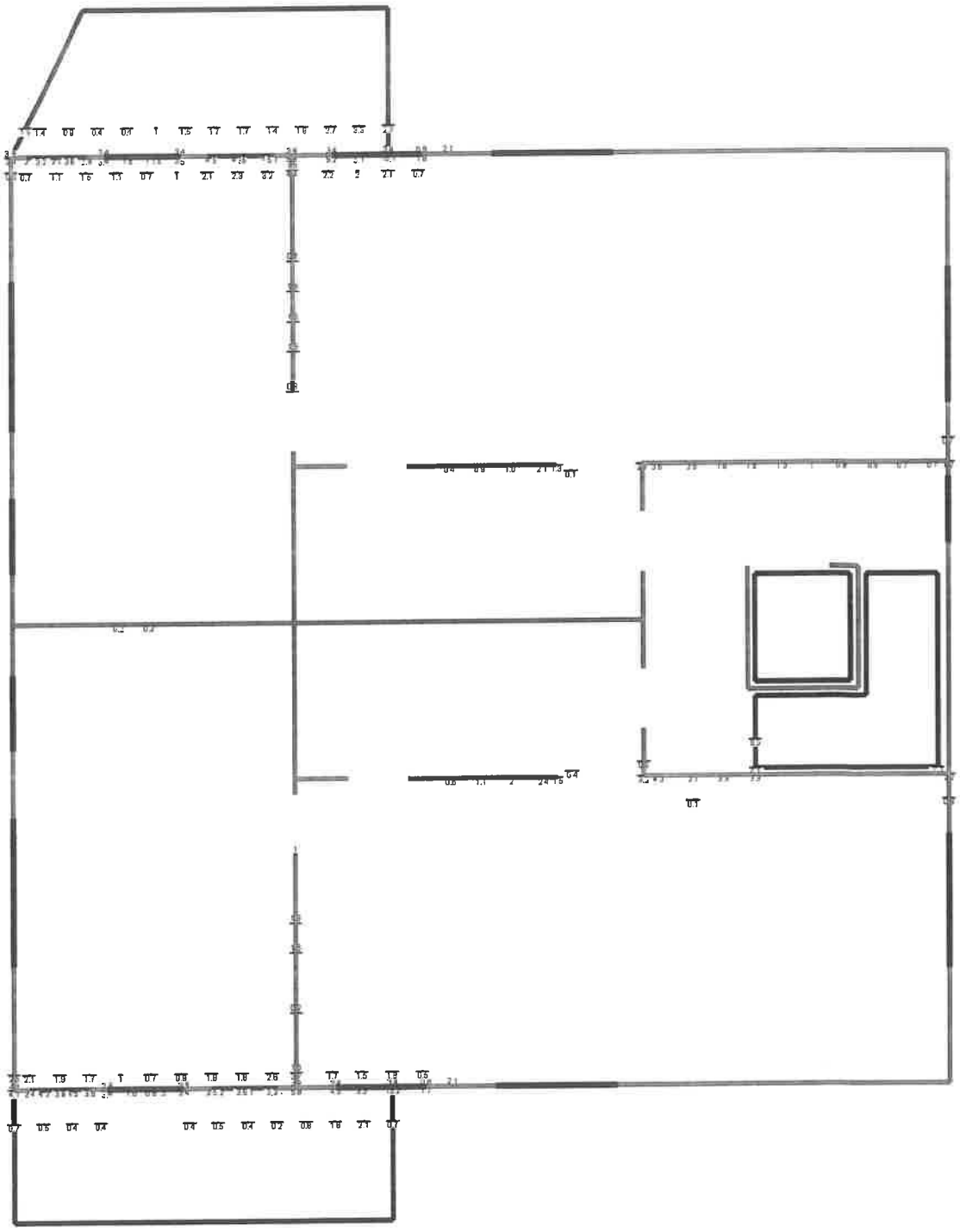
durch Vergleichsrechnung geprüft



| **Flächenbemessung** | Erforderliche Bewehrung as,erf (Differenzbewehrung) | Maßstab: 1:105 |
|---|---|---|
| r/s: Vorh. Bewehrung as,vorh = 3.4 / 3.4 (Grund+Zulagen) | | |
| Beton C 25/30 | aus allen Nachweisen | |
| r/s: Bew.-Abstand d' = 24...34 / 32...42 mm | Unterseite in [cm²/m] | |
| Bauteildicke h = 22.00 cm | r/s: Min = 0 / 0, Max = 3.4 / 3.4 | |



durch Vergleichsrechnung geprüft



| **Flächenbemessung** | Erforderliche Bewehrung as,erf (Differenzbewehrung) | Maßstab: 1:105 |
|---|---|---|
| r/s: Vorh. Bewehrung as,vorh = 3.4 / 3.4 (Grund+Zulagen) | | |
| Beton C 25/30 | aus allen Nachweisen | |
| r/s: Bew.-Abstand d' = 24...39 / 32...47 mm | Oberseite in [cm²/m] | |
| Bauteildicke h = 22.00 cm | r/s: Min = 0 / 0, Max = 3.4 / 15.1 | |



durch Vergleichsrechnung geprüft

Querkraft Pl-As-Iso  Querkraftbemessung Plattenbereiche

D-01-BO  Querkraftbemessung der Platte (Isolinien)

Querkraftbemessung nach DIN EN 1992-1-1
Beton C 25/30, Betonstahl B 500SA
Gesteinskörnung Quarzit
Druckstrebenneigung wurde vom Programm optimiert.
Mindestbewehrung (9.3.2) wurde nicht ermittelt.

Dicke konstant h = 22.00 cm

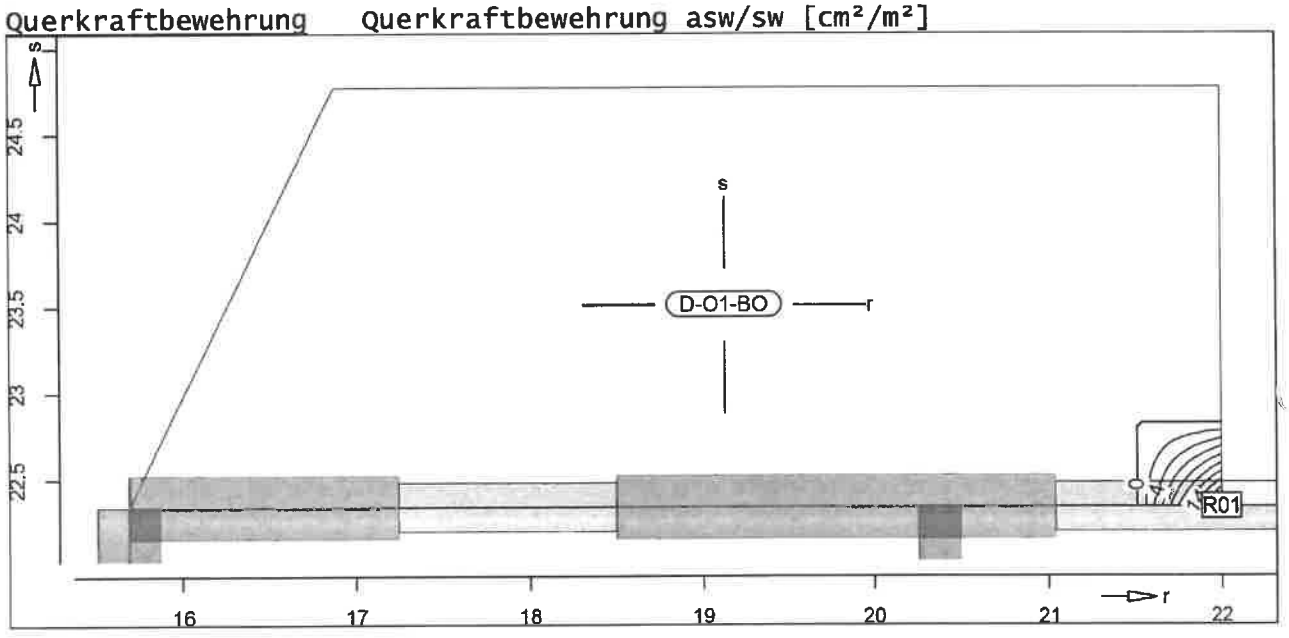
Kombinationen  Maßgebende Kombinationen nach DIN EN 1990

Ew  Einwirkungsname
Lkn  Lastkombinationsnummer
!  vorherrschende veränderliche Einwirkung

Die Beteiligung einzelner Lastfälle innerhalb einer Einwirkung wird mit diesem Ausgabeformat nicht dokumentiert.

| Ew | Gk | Qk.N | Qk.S | Qk.W |
|---|---|---|---|---|
| Lkn | Grundkombination | | | |
| 1 | 1.35 | 1.50! | 0.75 | . |

Querkraftbewehrung  Querkraftbewehrung asw/sw [cm²/m²]




Isolinienstufen = 2.00 cm²/m²

| Punkt | x | y [m] | | vEd | vEd,res | vRd,c | | vRd,max [kN/m] | asw/sw [cm²/m²] | Summe | Lkn |
|---|---|---|---|---|---|---|---|---|---|---|---|
| R01 | 22.00 | 22.34 | r | -162.6 | 203.0 | 89.6 | m | 443.2 | 11.88 | **20.67** | 1 |
| | | | s | 121.5 | | 103.4 | | 337.9 | 8.79 | | |

m: Mindestwert nach DIN EN 1992-1-1, Gl.(6.2.b) maßgebend



durch Vergleichsrechnung geprüft

D-01 Querkraftbemessung der Platte (Isolinien)

Querkraftbemessung nach DIN EN 1992-1-1
Beton C 25/30, Betonstahl B 500SA
Gesteinskörnung Quarzit
Druckstrebenneigung wurde vom Programm optimiert.
Mindestbewehrung (9.3.2) wurde nicht ermittelt.

Dicke konstant h = 22.00 cm

Kombinationen Maßgebende Kombinationen nach DIN EN 1990

Ew Einwirkungsname
Lkn Lastkombinationsnummer
! vorherrschende veränderliche Einwirkung

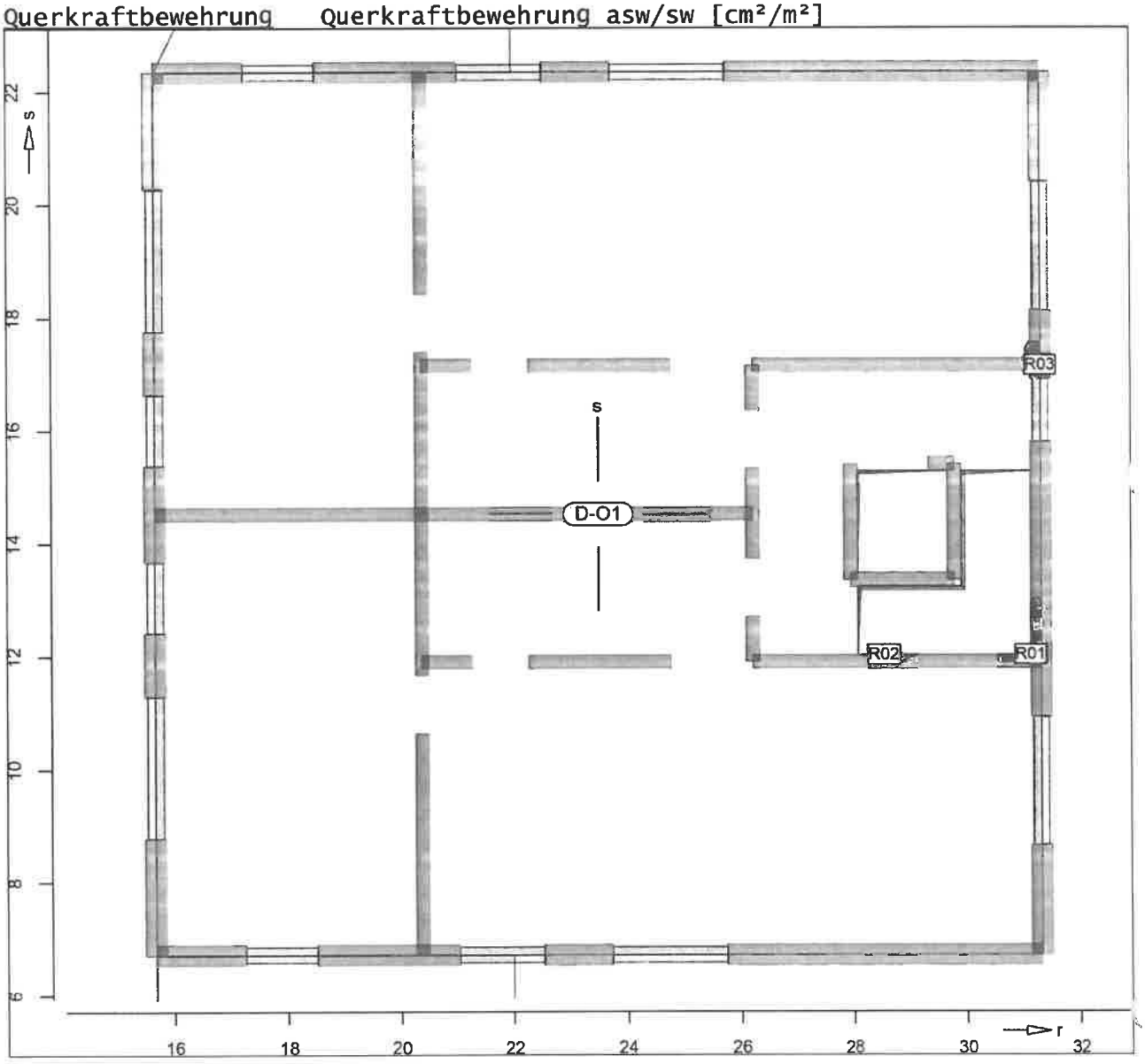
Die Beteiligung einzelner Lastfälle innerhalb einer Einwirkung wird mit diesem Ausgabeformat nicht dokumentiert.

| Ew | Gk | Qk.N | Qk.S | Qk.W |
|---|---|---|---|---|
| Lkn | Grundkombination | | | |
| 1-2 | 1.35 | 1.50! | 0.75 | . |
| 3 | 1.35 | 1.05 | 1.50! | 0.90 |



durch Vergleichsrechnung geprüft

Querkraftbewehrung  Querkraftbewehrung asw/sw [cm²/m²]




Isolinienstufen = 0.40 cm²/m²

| Punkt | x | y [m] | | vEd | vEd,res | vRd,c | vRd,max [kN/m] | asw/sw [cm²/m²] | Summe | Lkn |
|---|---|---|---|---|---|---|---|---|---|---|
| R01 | 31.13 | 12.03 | r | 25.6 | 117.4 | 97.0 m | 503.6 | 0.00 | **6.55** | 1 |
| | | | s | 114.5 | | 93.1 m | 427.1 | 6.55 | | |
| R02 | 28.54 | 12.03 | r | 4.0 | 108.2 | 97.0 m | 503.6 | 0.00 | **6.19** | 2 |
| | | | s | 108.2 | | 93.1 m | 427.1 | 6.19 | | |
| R03 | 31.31 | 17.15 | r | -26.7 | 108.3 | 97.0 m | 503.6 | 0.00 | **6.00** | 3 |
| | | | s | -104.9 | | 93.1 m | 427.1 | 6.00 | | |

m: Mindestwert nach DIN EN 1992-1-1, Gl.(6.2.b)  maßgebend



durch Vergleichsrechnung geprüft

D-O1-BU

Querkraftbemessung der Platte (Isolinien)

Querkraftbemessung nach DIN EN 1992-1-1
Beton C 25/30, Betonstahl B 500SA
Gesteinskörnung Quarzit
Druckstrebenneigung wurde vom Programm optimiert.
Mindestbewehrung (9.3.2) wurde nicht ermittelt.

Dicke konstant h = 22.00 cm

Kombinationen

Maßgebende Kombinationen nach DIN EN 1990

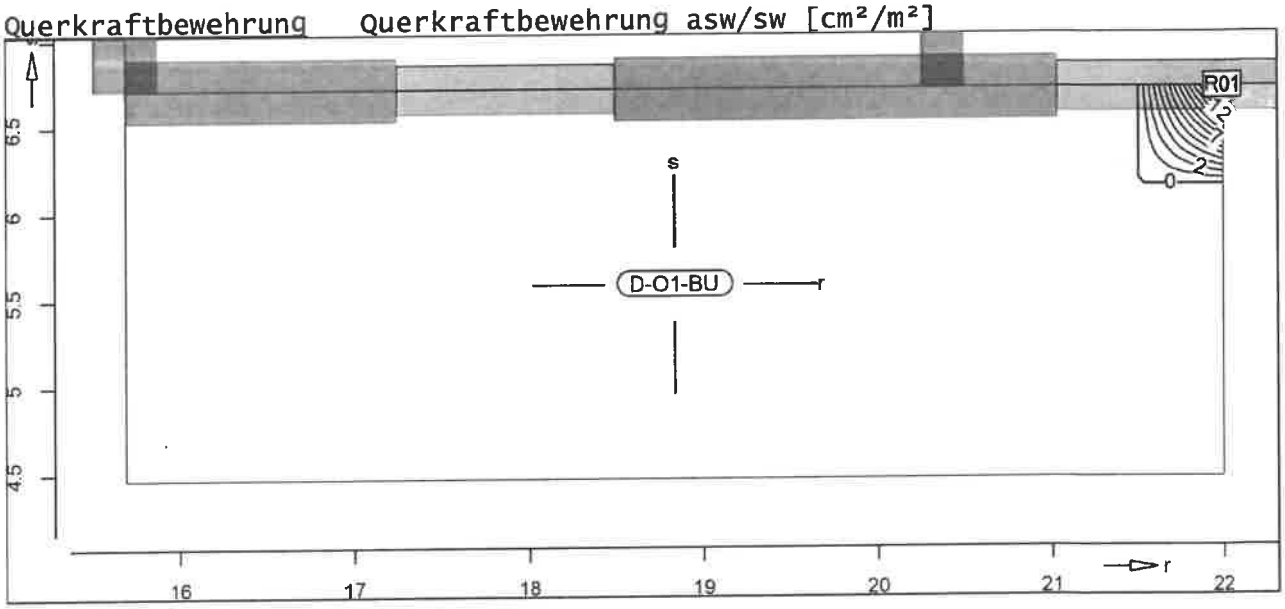
EW Einwirkungsname
Lkn Lastkombinationsnummer
! vorherrschende veränderliche Einwirkung

Die Beteiligung einzelner Lastfälle innerhalb einer Einwirkung wird mit diesem Ausgabeformat nicht dokumentiert.

| EW | Gk | Qk.N | Qk.S | Qk.W |
|---|---|---|---|---|
| Lkn | Grundkombination | | | |
| 1 | 1.35 | 1.50! | 0.75 | . |

Querkraftbewehrung

Querkraftbewehrung asw/sw [cm²/m²]



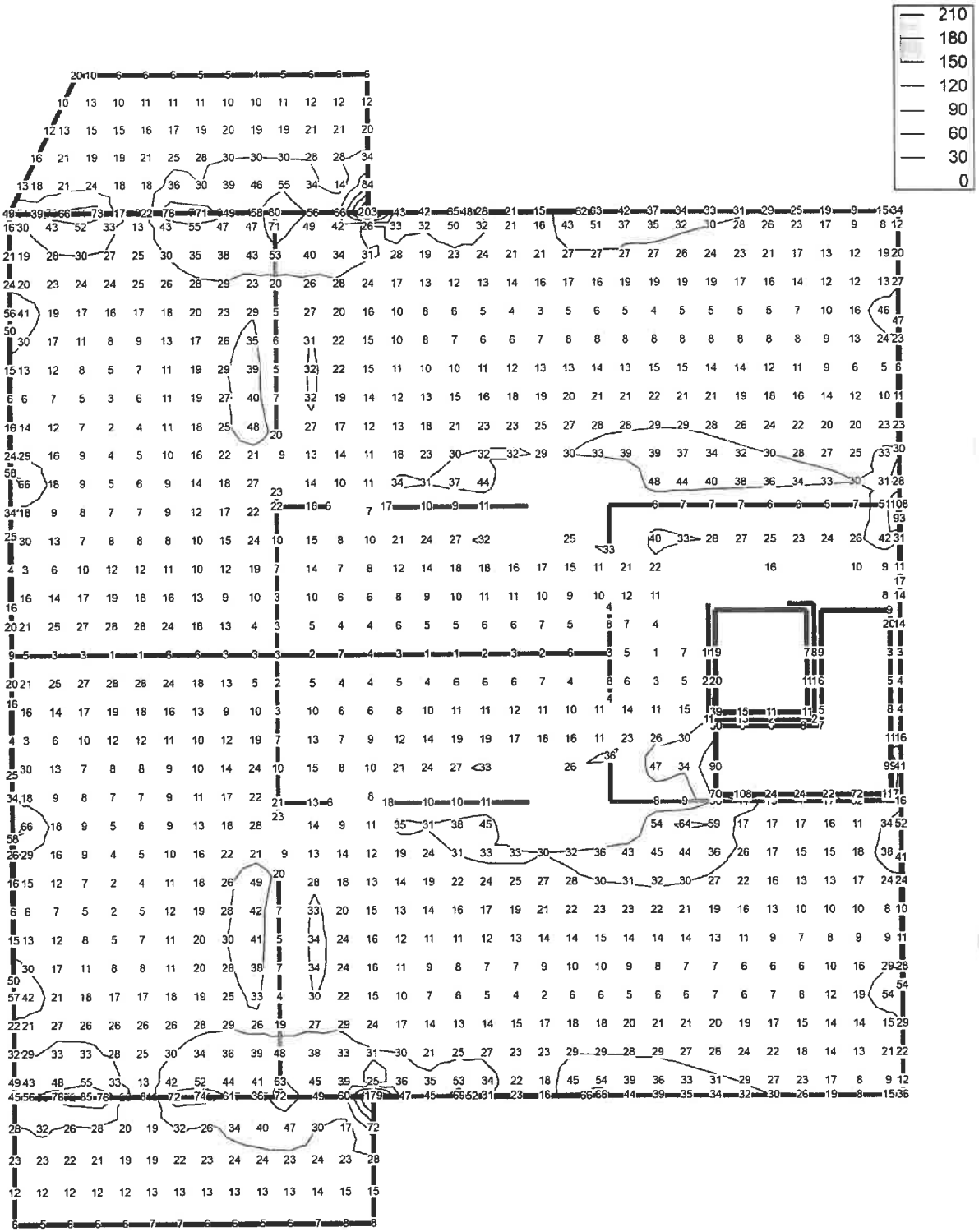

Isolinienstufen = 1.00 cm²/m²

| Punkt | x | y [m] | | vEd | vEd,res | vRd,c | | vRd,max [kN/m] | asw/sw [cm²/m²] | Summe | Lkn |
|---|---|---|---|---|---|---|---|---|---|---|---|
| R01 | 22.00 | 6.71 | r | -148.1 | 179.1 | 89.6 | m | 405.3 | 9.63 | 16.92 | 1 |
| | | | s | -100.8 | | 99.7 | | 337.9 | 7.29 | | |

m: Mindestwert nach DIN EN 1992-1-1, Gl.(6.2.b) maßgebend



durch Vergleichsrechnung geprüft

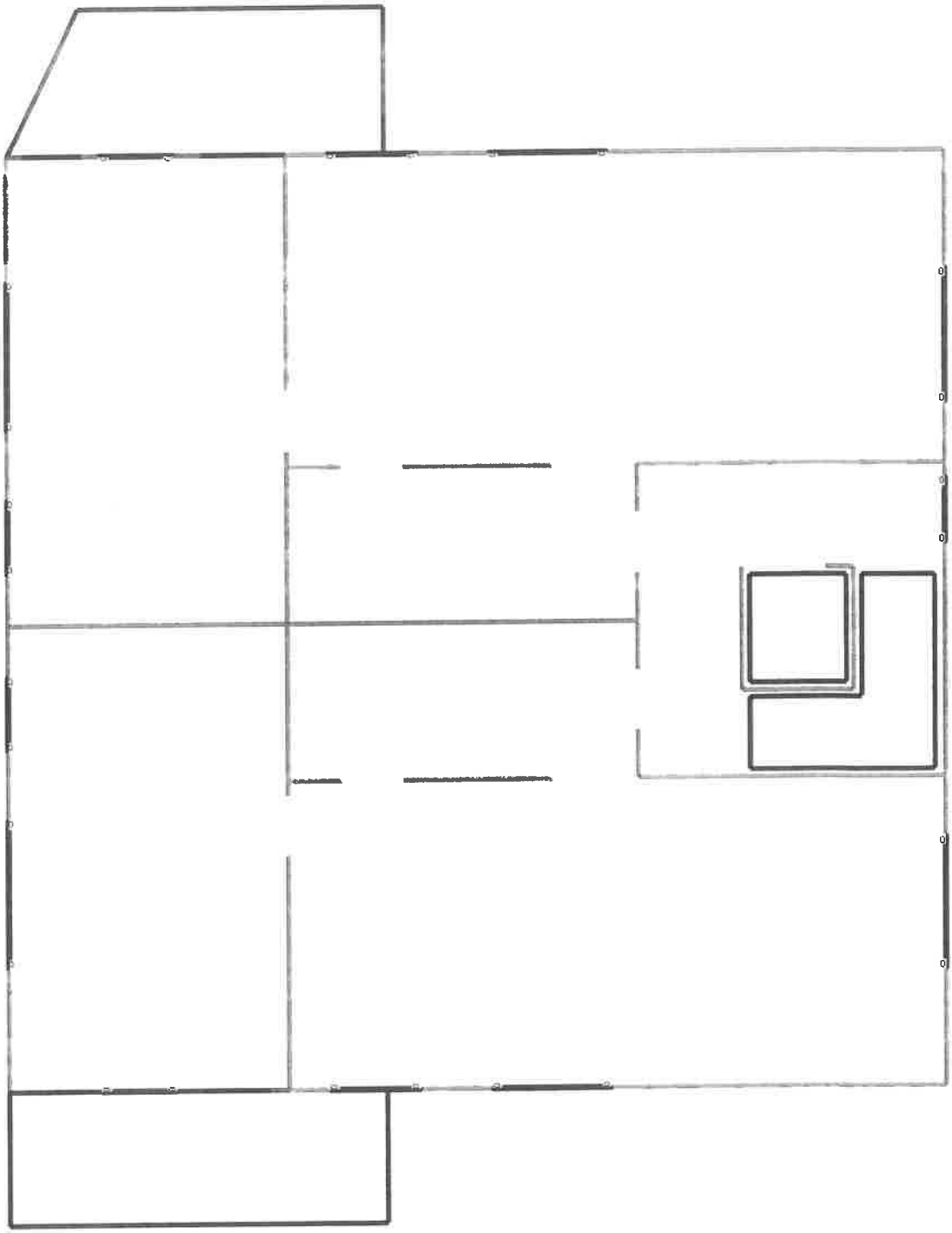



**Querkraftbemessung** Bemessungsquerkraft vEd,res aus Tragfähigkeitsnachweis in [kN/m] Maßstab: 1:105

Max = 203, Min = 0, Step = 30



**durch Vergleichsrechnung geprüft**

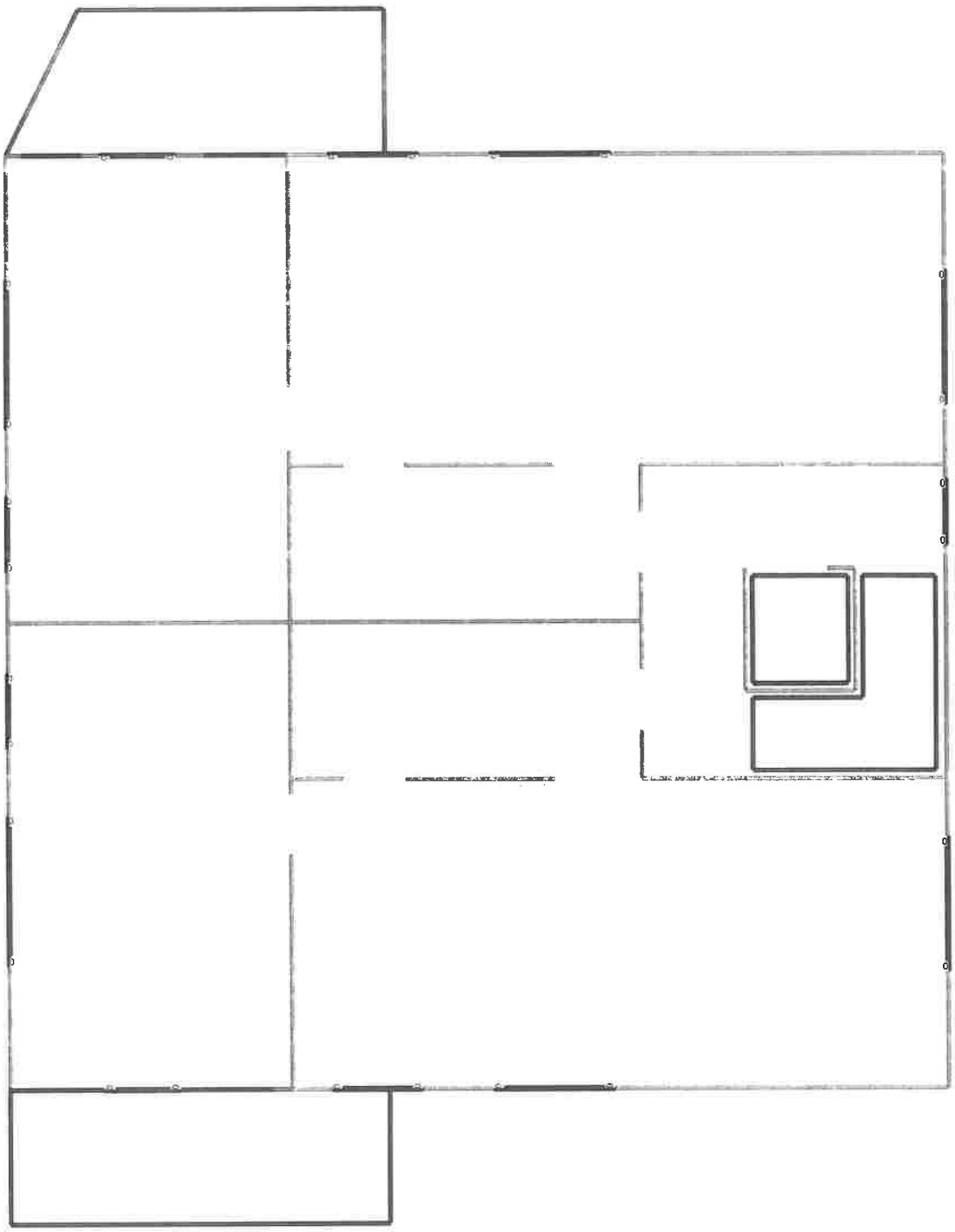


| **Über-/Unterzugbemessung** | Erf. Längsbewehrung As,erf (Differenzbewehrung) | Maßstab: 1:105 |
|---|---|---|

aus allen Nachweisen
Unterseite in [cm²]
Max = 0, Min = 0



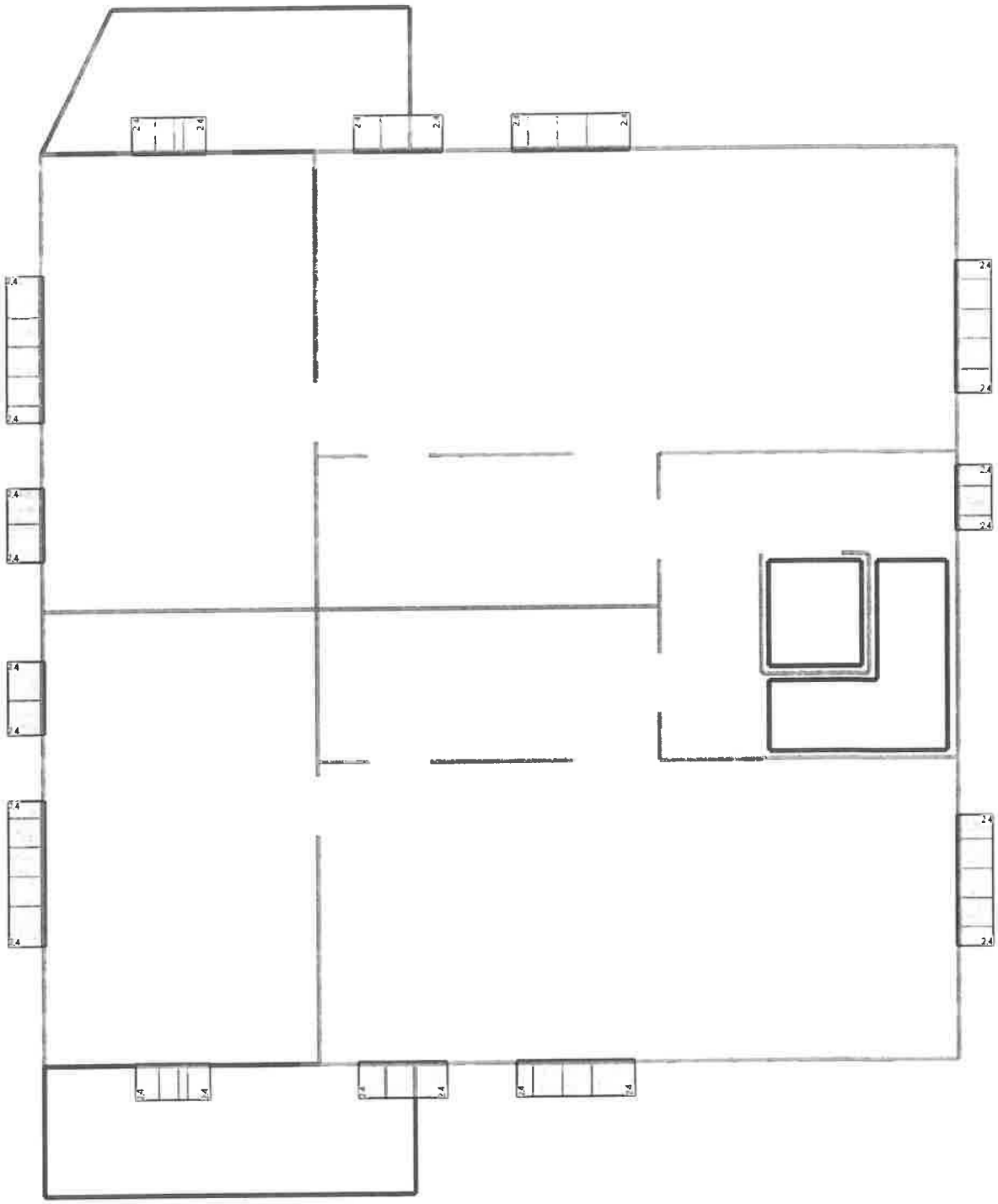
durch Vergleichsrechnung geprüft



| **Über-/Unterzugbemessung** | Erf. Längsbewehrung As,erf (Differenzbewehrung) | Maßstab: 1:105 |
|---|---|---|
| aus allen Nachweisen<br>Oberseite in [cm²]<br>Max = 0, Min = 0 | | |



durch Vergleichsrechnung geprüft

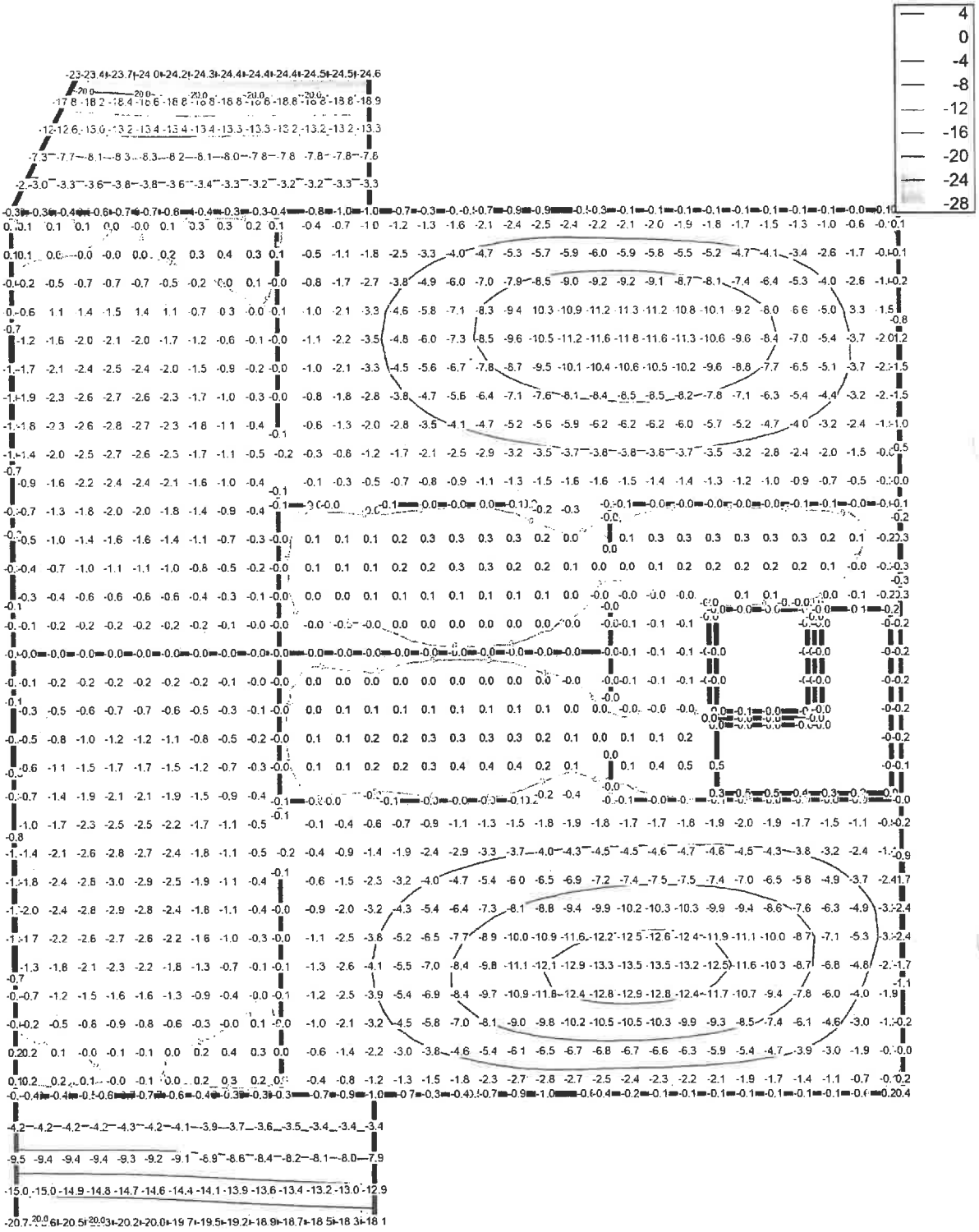


**Über-/Unterzugbemessung** Erf. Querkraftbewehrung asw,erf Maßstab: 1:105

aus allen Nachweisen in [cm²/m]
Max = 2.4, Min = 2.4



durch Vergleichsrechnung geprüft

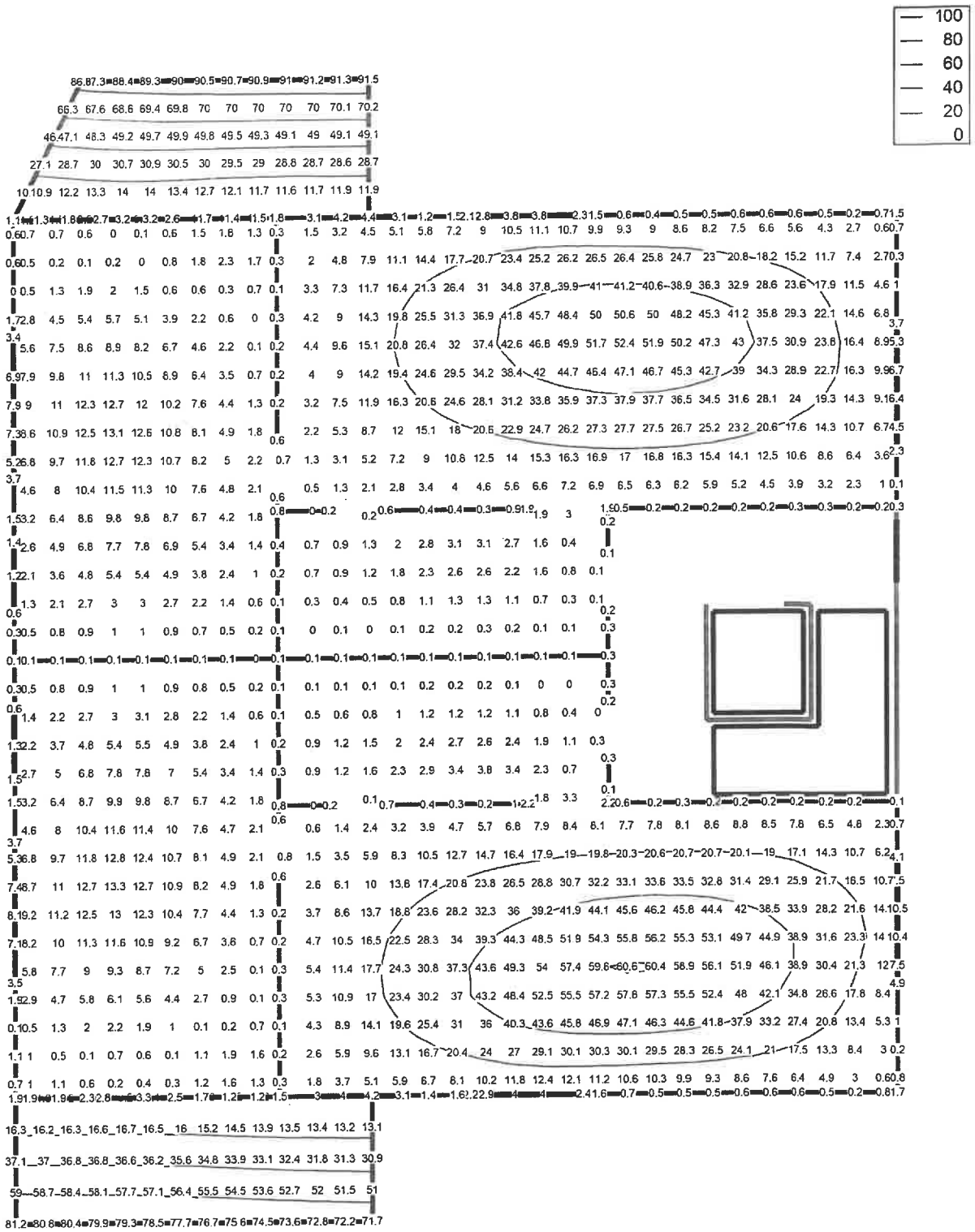



**Verformungsnachweis Zustand II** Endverformung f,oo im Zustand II in [mm] Maßstab: 1:105

Minimum aus Überlagerung über LKN
Max = 0.5 (Kn. 436), Min = -24.6 (Kn. 1108), Step = 4



**durch Vergleichsrechnung geprüft**

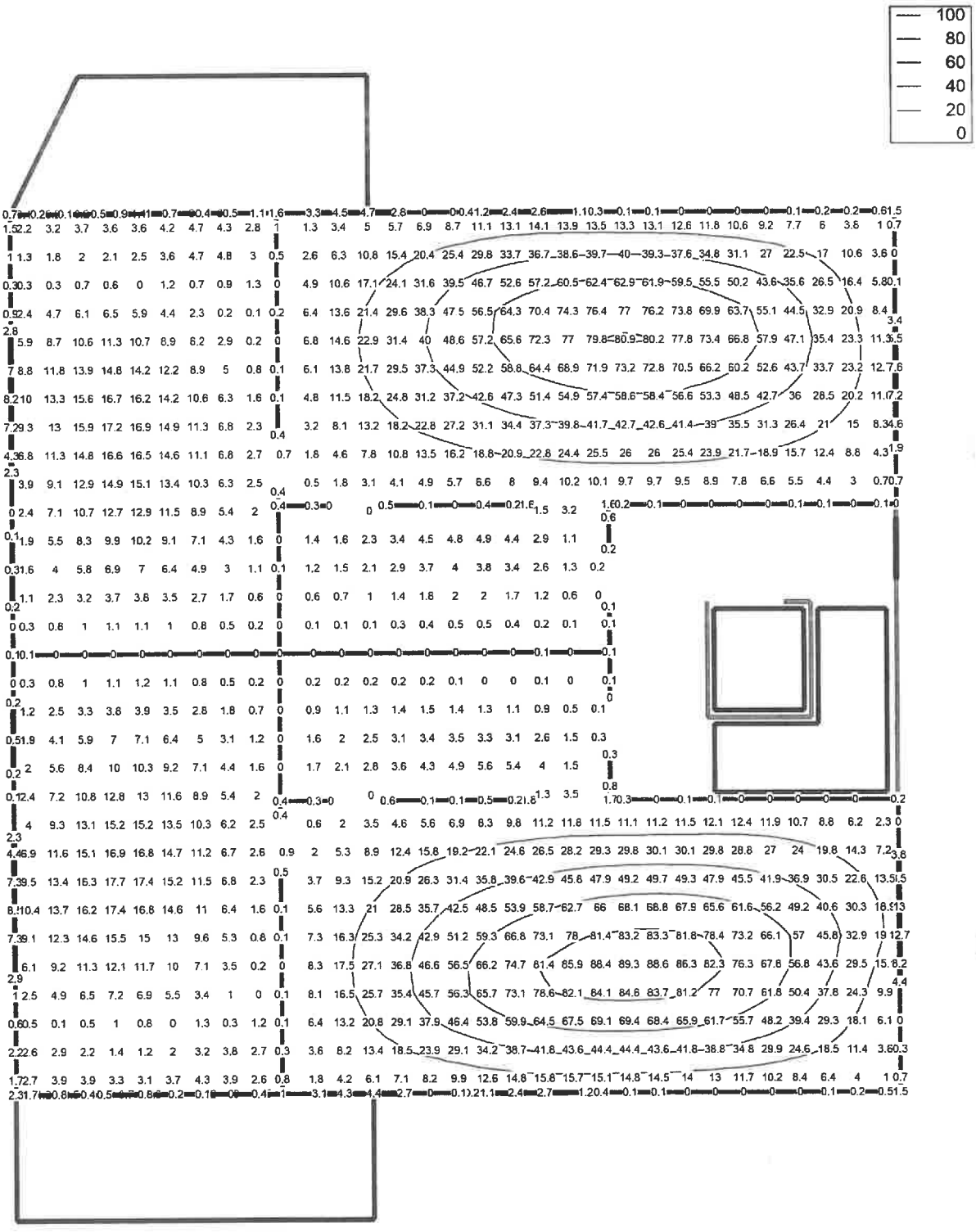



**Verformungsnachweis Zustand II** Ausnutzung der zulässigen Endverformung eta(f,oo) in [%] Maßstab: 1:105

der Plattenpositionen
Minimum aus Überlagerung über LKN
Max = 91.5 (Kn. 1108), Min = 0 (Kn. 14), Step = 20



**durch Vergleichsrechnung geprüft**

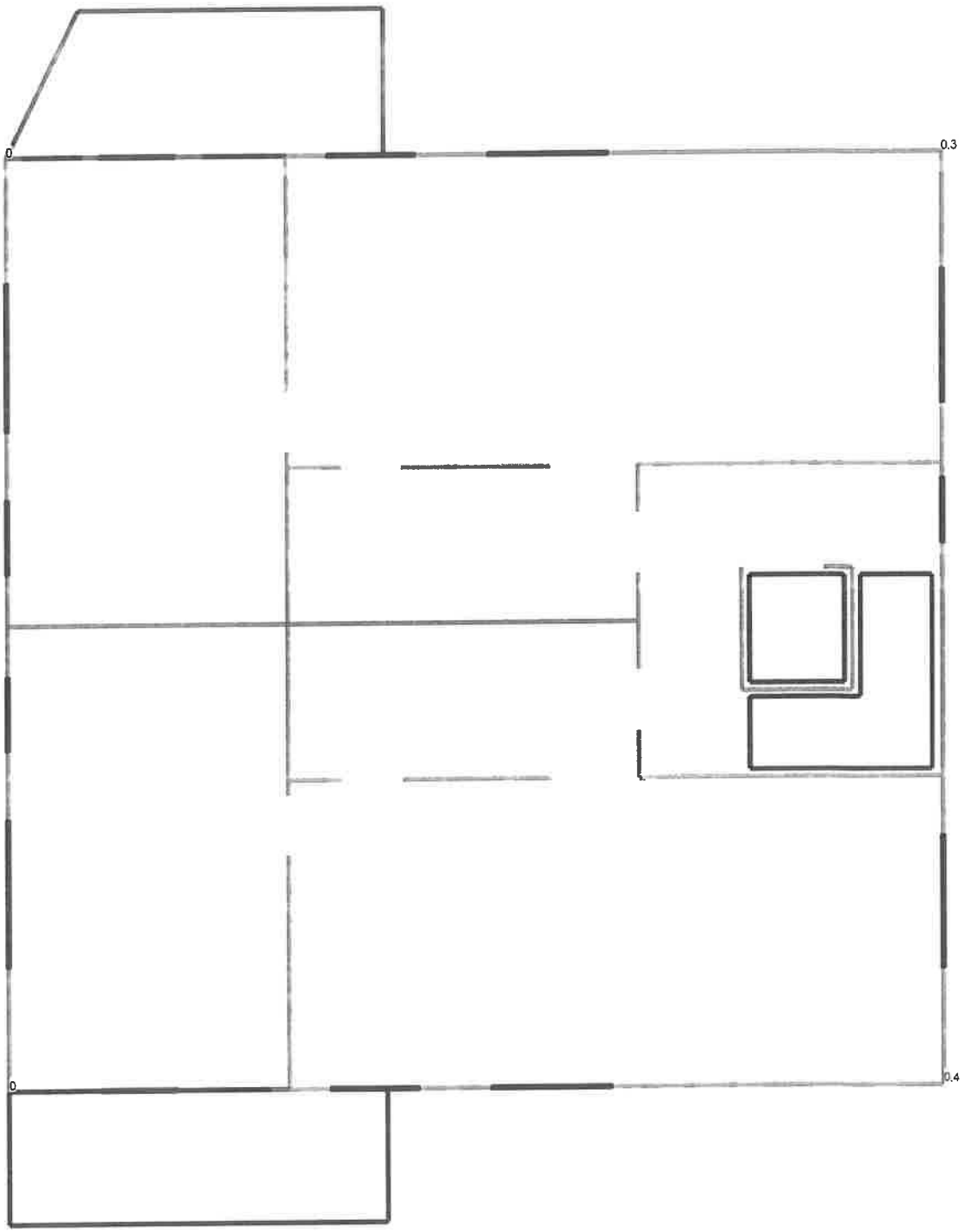



**Verformungsnachweis Zustand II** Ausnutzung der zul. Differenzverformung eta(f,oo-f,0) in [%] Maßstab: 1:105

der Plattenpositionen
Minimum aus Überlagerung über LKN
Max = 89.3 (Kn. 227), Min = 0 (Kn. 1180), Step = 20



durch Vergleichsrechnung geprüft

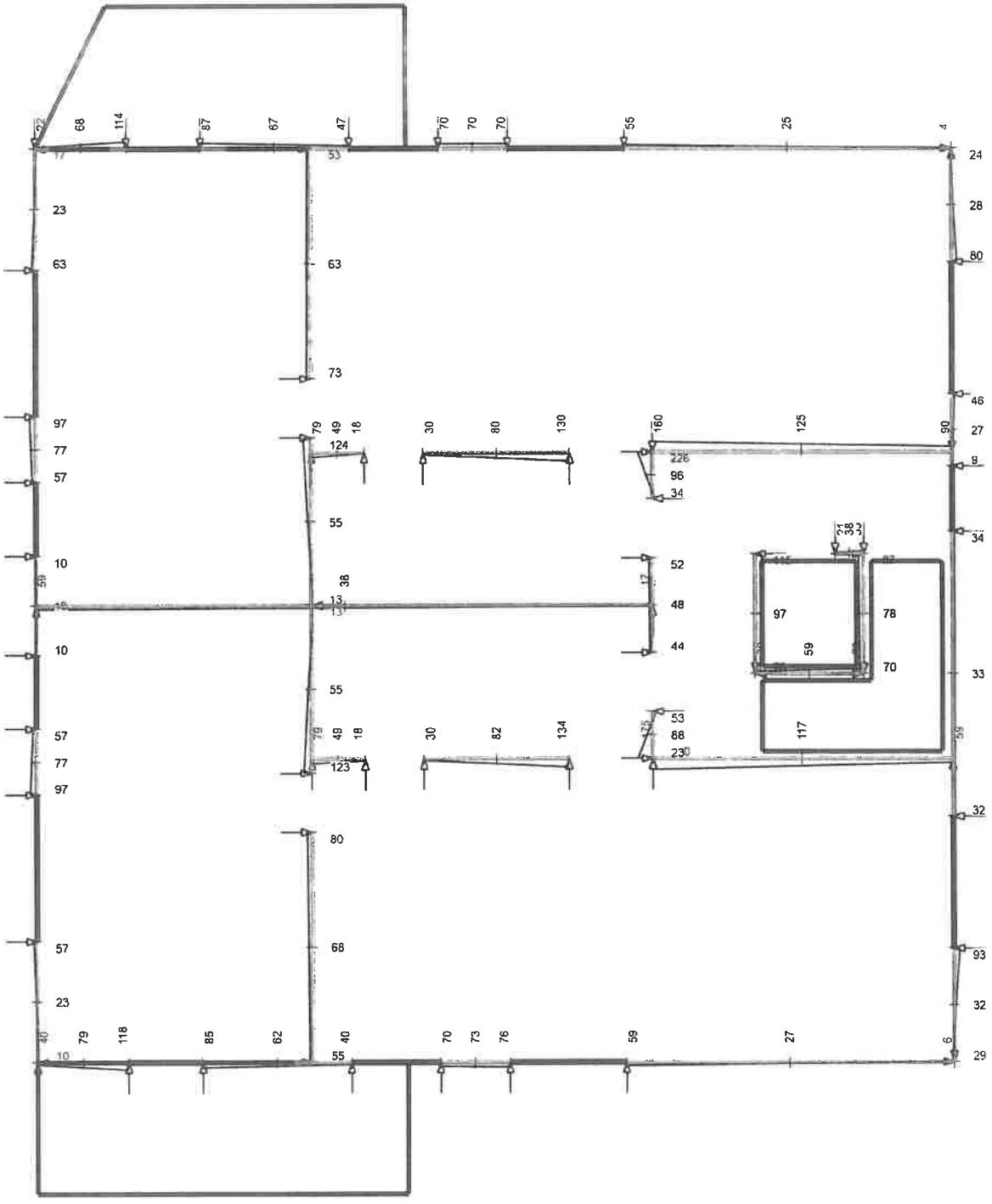



| **Zugkraftbemessung** | erf. Bewehrung As in [cm²] | Maßstab: 1:105 |
|---|---|---|

**KomPlan GmbH - Dr.-Gottfried-Cremer-Allee 29 - 50226 Frechen**

durch Vergleichsrechnung geprüft

| | | | | | |
|---|---|---|---|---|---|
| Proj.Bez | **Neubau eines Mehrfamilienhauses mit 6 WE** | | | Seite HZI-200 | **200** |
| Dokument | **Guido Metzen Vermögensverwaltun** | | | Position | **3.02** |
| Datum | **16.02.2022** | **MicroFe** | **2022.013** | Projekt | **9-21-222** |




| **Linienlagerergebnisse** | Lagerkraft in t-Richtung in [kN/m] | Maßstab: 1:105 |
|---|---|---|

lastkombinationsweise dargestellt
aus Lastkombination LK-1
Max = 230, Min = -53

**KomPlan GmbH - Dr.-Gottfried-Cremer-Allee 29 - 50226 Frechen**

durch Vergleichsrechnung geprüft

Linienlager-EW — Linienlagerkräfte einwirkungsweise

Linienlagerkräfte — Auflagerkräfte des Modells
- charakteristische Auflagerkräfte je Einwirkung
- min/max Überlagerung der Lastfälle je Einwirkung

Positionsgrafik — Übersicht der Linien- und Wandlager-Positionen

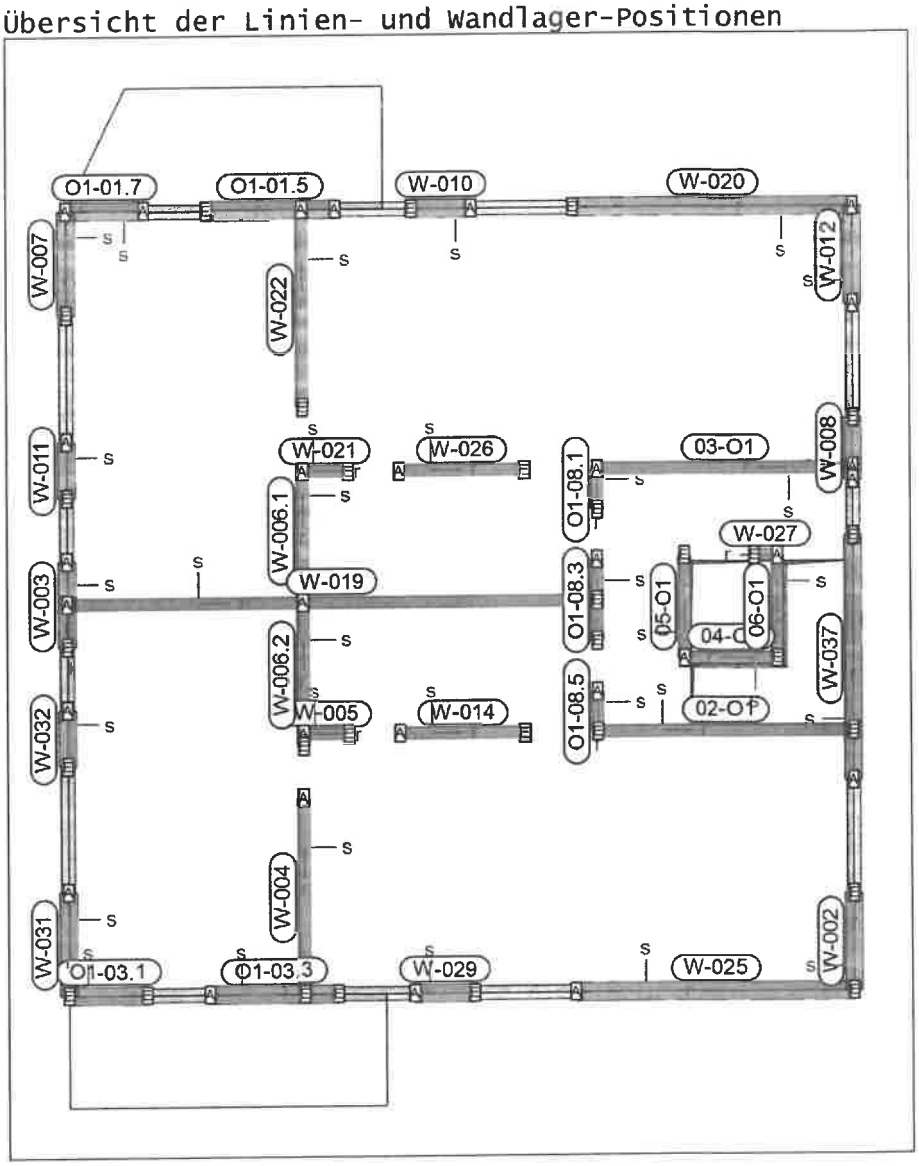



Tabelle — Tabellarische Ausgabe der Auflagerkräfte

lokal, F, t-Achse

| EW | $F_{t,A,min}$ / $F_{t,A,max}$ [kN/m] | $F_{t,M,min}$ / $F_{t,M,max}$ [kN/m] | $F_{t,E,min}$ / $F_{t,E,max}$ [kN/m] | $F_{t,min}$ / $F_{t,max}$ [kN] | $e_{min}$ / $e_{max}$ [m] |
|---|---|---|---|---|---|
| 02-O1 *(L = 5.10 m)* | | | | | |
| Gk | 136.22 | 96.19 | 56.15 | 490.79 | -0.35 |
| Qk.N | -1.20 | -0.65 | -0.09 | -3.30 | -0.73 |
| | 31.25 | 17.38 | 3.52 | 88.71 | -0.68 |
| Qk.S | -0.09 | -0.06 | -0.02 | -0.28 | -0.48 |
| | 7.00 | 4.78 | 2.56 | 24.39 | -0.39 |
| Qk.W | 0.95 | -2.28 | -5.52 | -11.65 | 1.21 |



**durch Vergleichsrechnung geprüft**

| | EW | $F_{t,A,min}$ $F_{t,A,max}$ [kN/m] | $F_{t,M,min}$ $F_{t,M,max}$ [kN/m] | $F_{t,E,min}$ $F_{t,E,max}$ [kN/m] | $F_{t,min}$ $F_{t,max}$ [kN] | $e_{min}$ $e_{max}$ [m] |
|---|---|---|---|---|---|---|
| | | -0.60 | 0.78 | 2.15 | 3.97 | 1.50 |
| 03-01 | *(L = 5.10 m)* | | | | | |
| | Gk | 81.68 | 103.19 | 124.69 | 526.51 | 0.18 |
| | Qk.N | -0.04 | -0.49 | -0.94 | -2.49 | 0.78 |
| | | 8.71 | 18.85 | 29.00 | 96.19 | 0.46 |
| | Qk.S | 0.00 | -0.01 | -0.03 | -0.07 | 0.93 |
| | | 4.16 | 4.81 | 5.46 | 24.56 | 0.11 |
| | Qk.W | -7.28 | -2.72 | 1.84 | -13.87 | -1.43 |
| | | 2.85 | 0.94 | -0.97 | 4.80 | -1.72 |
| 04-01 | *(L = 1.85 m)* | | | | | |
| | Gk | 66.63 | 51.42 | 36.20 | 95.12 | -0.09 |
| | Qk.N | 3.87 | -3.23 | -10.34 | -5.98 | 0.68 |
| | | 7.98 | 10.81 | 13.65 | 20.01 | 0.08 |
| | Qk.S | 0.35 | -0.28 | -0.91 | -0.51 | 0.70 |
| | | -0.01 | 0.74 | 1.48 | 1.36 | 0.31 |
| | Qk.W | -0.18 | -0.46 | -0.75 | -0.85 | 0.19 |
| | | 0.00 | 0.00 | 0.00 | 0.00 | 0.00 |
| 05-01 | *(L = 2.05 m)* | | | | | |
| | Gk | 65.66 | 77.30 | 88.94 | 158.46 | 0.05 |
| | Qk.N | 1.27 | -3.96 | -9.20 | -8.12 | 0.45 |
| | | 9.61 | 20.17 | 30.74 | 41.36 | 0.18 |
| | Qk.S | -0.10 | -0.31 | -0.52 | -0.65 | 0.23 |
| | | 3.41 | 6.65 | 9.88 | 13.62 | 0.17 |
| | Qk.W | -1.65 | -3.34 | -5.03 | -6.85 | 0.17 |
| | | 0.00 | 0.00 | 0.00 | 0.00 | 0.00 |
| 06-01 | *(L = 2.05 m)* | | | | | |
| | Gk | 71.33 | 64.94 | 58.54 | 133.12 | -0.03 |
| | Qk.N | -0.79 | -0.06 | 0.68 | -0.12 | -4.38 |
| | | 14.56 | 12.13 | 9.71 | 24.88 | -0.07 |
| | Qk.S | -0.05 | -0.04 | -0.04 | -0.09 | -0.04 |
| | | 0.80 | 0.69 | 0.57 | 1.41 | -0.06 |
| | Qk.W | -0.10 | -0.06 | -0.03 | -0.13 | -0.17 |
| | | 0.47 | 0.22 | -0.03 | 0.45 | -0.39 |
| 01-01.5 | *(L = 2.53 m)* | | | | | |
| | Gk | 33.05 | 45.91 | 58.77 | 116.27 | 0.12 |
| | Qk.N | 2.19 | -1.18 | -4.55 | -2.99 | 1.20 |
| | | 11.57 | 22.02 | 32.48 | 55.78 | 0.20 |
| | Qk.S | -0.02 | -0.01 | -0.01 | -0.03 | -0.23 |
| | | -0.18 | 0.03 | 0.25 | 0.09 | 2.64 |
| | Qk.W | 0.20 | -0.04 | -0.27 | -0.09 | 2.82 |
| | | 0.00 | 0.00 | 0.01 | 0.01 | 0.91 |
| 01-01.7 | *(L = 1.56 m)* | | | | | |
| | Gk | 79.37 | 47.30 | 15.23 | 73.56 | -0.18 |
| | Qk.N | -1.49 | -0.45 | 0.59 | -0.70 | -0.60 |
| | | 35.74 | 20.95 | 6.16 | 32.57 | -0.18 |
| | Qk.S | -0.01 | 0.00 | 0.00 | 0.00 | -0.47 |
| | | 0.46 | 0.11 | -0.24 | 0.17 | -0.83 |
| | Qk.W | -0.51 | -0.11 | 0.29 | -0.17 | -0.93 |
| | | 0.03 | 0.02 | 0.01 | 0.03 | -0.14 |
| 01-03.1 | *(L = 1.56 m)* | | | | | |
| | Gk | 28.51 | 55.12 | 81.73 | 85.71 | 0.13 |



durch Vergleichsrechnung geprüft

| | EW | $F_{t,A,min}$ $F_{t,A,max}$ [kN/m] | $F_{t,M,min}$ $F_{t,M,max}$ [kN/m] | $F_{t,E,min}$ $F_{t,E,max}$ [kN/m] | $F_{t,min}$ $F_{t,max}$ [kN] | $e_{min}$ $e_{max}$ [m] |
|---|---|---|---|---|---|---|
| | Qk.N | 0.59 | -0.46 | -1.50 | -0.71 | 0.59 |
| | | 11.26 | 24.03 | 36.81 | 37.37 | 0.14 |
| | Qk.S | 0.00 | 0.00 | 0.00 | 0.00 | 0.00 |
| | | -0.52 | 0.24 | 1.01 | 0.38 | 0.81 |
| | Qk.W | 0.29 | -0.11 | -0.50 | -0.17 | 0.95 |
| | | 0.01 | 0.02 | 0.03 | 0.03 | 0.14 |
| 01-03.3 | *(L = 2.53 m)* | | | | | |
| | Gk | 57.10 | 42.90 | 28.71 | 108.65 | -0.14 |
| | Qk.N | -4.55 | -1.19 | 2.17 | -3.01 | -1.19 |
| | | 31.68 | 20.67 | 9.67 | 52.36 | -0.22 |
| | Qk.S | 0.26 | -0.02 | -0.29 | -0.04 | 7.70 |
| | | 0.25 | 0.03 | -0.18 | 0.09 | -2.59 |
| | Qk.W | -0.28 | -0.04 | 0.20 | -0.09 | -2.76 |
| | | 0.01 | 0.00 | 0.00 | 0.01 | -0.92 |
| 01-08.1 | *(L = 0.80 m)* | | | | | |
| | Gk | 165.30 | 68.92 | -27.47 | 55.13 | -0.19 |
| | Qk.N | 25.11 | -7.88 | -40.86 | -6.30 | 0.56 |
| | | 15.03 | 20.01 | 24.99 | 16.01 | 0.03 |
| | Qk.S | -0.11 | -0.02 | 0.08 | -0.01 | -0.81 |
| | | 20.18 | 14.59 | 8.99 | 11.67 | -0.05 |
| | Qk.W | -8.87 | -7.00 | -5.13 | -5.60 | -0.04 |
| | | 2.25 | 1.75 | 1.26 | 1.40 | -0.04 |
| 01-08.3 | *(L = 1.62 m)* | | | | | |
| | Gk | 47.45 | 44.61 | 41.78 | 72.28 | -0.02 |
| | Qk.N | -5.73 | -6.01 | -6.29 | -9.74 | 0.01 |
| | | 10.20 | 9.72 | 9.25 | 15.75 | -0.01 |
| | Qk.S | 0.18 | -0.32 | -0.82 | -0.52 | 0.42 |
| | | 0.20 | 0.14 | 0.08 | 0.23 | -0.11 |
| | Qk.W | -0.16 | -0.13 | -0.09 | -0.20 | -0.08 |
| | | 0.01 | 0.01 | 0.02 | 0.02 | 0.04 |
| 01-08.5 | *(L = 0.80 m)* | | | | | |
| | Gk | -40.57 | 63.69 | 167.94 | 50.95 | 0.22 |
| | Qk.N | -43.15 | -8.88 | 25.38 | -7.11 | -0.51 |
| | | 23.60 | 19.53 | 15.46 | 15.62 | -0.03 |
| | Qk.S | -0.07 | -0.06 | -0.06 | -0.05 | -0.01 |
| | | 6.80 | 14.04 | 21.28 | 11.23 | 0.07 |
| | Qk.W | -5.08 | -6.99 | -8.89 | -5.59 | 0.04 |
| | | 1.27 | 1.76 | 2.24 | 1.41 | 0.04 |
| W-002 | *(L = 1.94 m)* | | | | | |
| | Gk | -23.30 | 25.35 | 74.00 | 49.24 | 0.62 |
| | Qk.N | -0.30 | -0.05 | 0.21 | -0.09 | -1.78 |
| | | -4.91 | 6.20 | 17.31 | 12.05 | 0.58 |
| | Qk.S | 0.07 | -0.06 | -0.19 | -0.11 | 0.71 |
| | | -0.48 | 0.28 | 1.05 | 0.55 | 0.87 |
| | Qk.W | 0.04 | -0.03 | -0.11 | -0.07 | 0.71 |
| | | -0.11 | 0.09 | 0.30 | 0.18 | 0.71 |
| W-003 | *(L = 1.70 m)* | | | | | |
| | Gk | 9.19 | 9.19 | 9.20 | 15.63 | 0.00 |
| | Qk.N | -0.96 | -0.96 | -0.96 | -1.64 | 0.00 |
| | | 1.81 | 1.81 | 1.81 | 3.08 | 0.00 |
| | Qk.S | -0.10 | -0.12 | -0.13 | -0.20 | 0.03 |
| | | 0.73 | 0.73 | 0.73 | 1.23 | 0.00 |



durch Vergleichsrechnung geprüft

| | EW | $F_{t,A,min}$<br>$F_{t,A,max}$<br>[kN/m] | $F_{t,M,min}$<br>$F_{t,M,max}$<br>[kN/m] | $F_{t,E,min}$<br>$F_{t,E,max}$<br>[kN/m] | $F_{t,min}$<br>$F_{t,max}$<br>[kN] | $e_{min}$<br>$e_{max}$<br>[m] |
|---|---|---|---|---|---|---|
| | Qk.W | -0.93 | -0.93 | -0.93 | -1.58 | 0.00 |
| | | 0.24 | 0.24 | 0.24 | 0.42 | 0.00 |
| W-004 | *(L = 3.93 m)* | | | | | |
| | Gk | 64.12 | 51.38 | 38.63 | 202.03 | -0.16 |
| | Qk.N | -13.05 | -2.94 | 7.17 | -11.57 | -2.25 |
| | | 26.63 | 17.39 | 8.15 | 68.40 | -0.35 |
| | Qk.S | 0.00 | 0.00 | 0.00 | 0.00 | 0.00 |
| | | 2.38 | 1.76 | 1.13 | 6.90 | -0.23 |
| | Qk.W | -0.51 | -0.18 | 0.15 | -0.70 | -1.23 |
| | | 0.09 | 0.02 | -0.04 | 0.09 | -1.80 |
| W-005 | *(L = 0.90 m)* | | | | | |
| | Gk | 50.62 | 32.59 | 14.56 | 29.33 | -0.08 |
| | Qk.N | 7.16 | -6.05 | -19.25 | -5.44 | 0.33 |
| | | 8.68 | 15.31 | 21.93 | 13.78 | 0.06 |
| | Qk.S | 0.00 | 0.00 | 0.00 | 0.00 | -0.01 |
| | | 12.60 | 6.70 | 0.79 | 6.03 | -0.13 |
| | Qk.W | -4.68 | -2.36 | -0.03 | -2.12 | -0.15 |
| | | 1.18 | 0.61 | 0.04 | 0.55 | -0.14 |
| W-006.1 | *(L = 2.87 m)* | | | | | |
| | Gk | 81.37 | 38.18 | -5.02 | 109.57 | -0.54 |
| | Qk.N | -4.60 | -2.52 | -0.45 | -7.23 | -0.39 |
| | | 31.35 | 13.93 | -3.50 | 39.96 | -0.60 |
| | Qk.S | 0.00 | 0.00 | 0.00 | 0.00 | -1.02 |
| | | 15.72 | 5.72 | -4.28 | 16.41 | -0.84 |
| | Qk.W | -5.99 | -2.16 | 1.67 | -6.20 | -0.85 |
| | | 1.49 | 0.53 | -0.42 | 1.53 | -0.86 |
| W-006.2 | *(L = 2.87 m)* | | | | | |
| | Gk | -5.09 | 37.98 | 81.06 | 109.01 | 0.54 |
| | Qk.N | -0.42 | -2.56 | -4.69 | -7.34 | 0.40 |
| | | -3.54 | 13.90 | 31.35 | 39.90 | 0.60 |
| | Qk.S | 0.00 | 0.00 | 0.00 | 0.00 | 0.86 |
| | | -4.37 | 5.67 | 15.72 | 16.28 | 0.85 |
| | Qk.W | 1.67 | -2.16 | -5.99 | -6.20 | 0.85 |
| | | -0.42 | 0.53 | 1.49 | 1.53 | 0.86 |
| W-007 | *(L = 2.07 m)* | | | | | |
| | Gk | -14.09 | 19.09 | 52.27 | 39.46 | 0.60 |
| | Qk.N | 1.99 | -4.49 | -10.97 | -9.29 | 0.50 |
| | | -4.65 | 7.60 | 19.86 | 15.72 | 0.56 |
| | Qk.S | 0.01 | -0.01 | -0.02 | -0.01 | 0.78 |
| | | -0.41 | 0.75 | 1.92 | 1.56 | 0.53 |
| | Qk.W | 0.50 | -0.86 | -2.22 | -1.77 | 0.55 |
| | | -0.07 | 0.06 | 0.19 | 0.13 | 0.73 |
| W-008 | *(L = 1.23 m)* | | | | | |
| | Gk | 8.27 | 23.63 | 38.99 | 29.13 | 0.13 |
| | Qk.N | 0.39 | -0.35 | -1.09 | -0.43 | 0.43 |
| | | -0.25 | 4.02 | 8.28 | 4.95 | 0.22 |
| | Qk.S | -0.63 | -0.14 | 0.34 | -0.18 | -0.69 |
| | | 3.07 | 1.15 | -0.77 | 1.41 | -0.34 |
| | Qk.W | -4.63 | -1.71 | 1.22 | -2.11 | -0.35 |
| | | 1.74 | 0.62 | -0.49 | 0.77 | -0.37 |
| W-010 | *(L = 1.19 m)* | | | | | |



durch Vergleichsrechnung geprüft

| | EW | $F_{t,A,min}$ $F_{t,A,max}$ [kN/m] | $F_{t,M,min}$ $F_{t,M,max}$ [kN/m] | $F_{t,E,min}$ $F_{t,E,max}$ [kN/m] | $F_{t,min}$ $F_{t,max}$ [kN] | $e_{min}$ $e_{max}$ [m] |
|---|---|---|---|---|---|---|
| | Gk | 55.97 | 54.86 | 53.75 | 65.28 | 0.00 |
| | Qk.N | -0.75 | -1.92 | -3.09 | -2.29 | 0.12 |
| | | 14.91 | 17.38 | 19.84 | 20.68 | 0.03 |
| | Qk.S | -0.01 | -0.05 | -0.09 | -0.06 | 0.14 |
| | | 0.06 | 0.00 | -0.05 | 0.00 | -4.66 |
| | Qk.W | 0.00 | -0.01 | -0.01 | -0.01 | 0.15 |
| | | 0.02 | 0.06 | 0.10 | 0.07 | 0.14 |
| W-011 | *(L = 1.12 m)* | | | | | |
| | Gk | 78.83 | 62.38 | 45.93 | 70.18 | -0.05 |
| | Qk.N | -3.03 | -1.94 | -0.85 | -2.19 | -0.11 |
| | | 21.53 | 17.47 | 13.41 | 19.65 | -0.04 |
| | Qk.S | -0.57 | -0.79 | -1.01 | -0.89 | 0.05 |
| | | 3.02 | 3.65 | 4.28 | 4.10 | 0.03 |
| | Qk.W | -5.27 | -6.62 | -7.98 | -7.45 | 0.04 |
| | | 1.92 | 2.55 | 3.17 | 2.86 | 0.05 |
| W-012 | *(L = 1.94 m)* | | | | | |
| | Gk | 64.53 | 22.62 | -19.28 | 43.95 | -0.60 |
| | Qk.N | -0.27 | -0.18 | -0.10 | -0.36 | -0.15 |
| | | 15.20 | 5.60 | -4.00 | 10.88 | -0.56 |
| | Qk.S | -0.22 | -0.07 | 0.08 | -0.13 | -0.72 |
| | | 0.85 | 0.24 | -0.37 | 0.47 | -0.81 |
| | Qk.W | -0.12 | -0.04 | 0.04 | -0.07 | -0.71 |
| | | 0.30 | 0.10 | -0.11 | 0.18 | -0.71 |
| W-014 | *(L = 2.49 m)* | | | | | |
| | Gk | 24.90 | 63.58 | 102.27 | 158.01 | 0.25 |
| | Qk.N | -5.57 | -2.47 | 0.62 | -6.14 | -0.52 |
| | | 12.15 | 20.20 | 28.25 | 50.20 | 0.17 |
| | Qk.S | 0.01 | 0.00 | -0.02 | -0.01 | 1.34 |
| | | -1.32 | 0.97 | 3.27 | 2.42 | 0.98 |
| | Qk.W | 0.63 | -0.08 | -0.79 | -0.20 | 3.57 |
| | | -0.15 | 0.02 | 0.19 | 0.06 | 3.02 |
| W-019 | *(L = 10.52 m)* | | | | | |
| | Gk | 44.89 | 28.96 | 13.02 | 304.69 | -0.96 |
| | Qk.N | 0.96 | -1.93 | -4.83 | -20.36 | 2.63 |
| | | 11.46 | 9.72 | 7.98 | 102.31 | -0.31 |
| | Qk.S | 0.08 | -0.11 | -0.30 | -1.16 | 3.09 |
| | | 1.39 | 1.47 | 1.55 | 15.51 | 0.10 |
| | Qk.W | -1.38 | -1.37 | -1.35 | -14.37 | -0.02 |
| | | 0.00 | 0.00 | 0.00 | 0.00 | 0.00 |
| W-020 | *(L = 5.57 m)* | | | | | |
| | Gk | -3.87 | 19.51 | 42.89 | 108.60 | 1.11 |
| | Qk.N | 0.20 | -0.13 | -0.45 | -0.70 | 2.40 |
| | | -0.54 | 5.76 | 12.06 | 32.06 | 1.02 |
| | Qk.S | 0.01 | 0.00 | -0.01 | -0.01 | 5.01 |
| | | 0.05 | 0.32 | 0.60 | 1.81 | 0.79 |
| | Qk.W | 0.00 | 0.00 | -0.01 | 0.00 | 9.68 |
| | | -0.01 | 0.00 | 0.02 | 0.01 | 5.99 |
| W-021 | *(L = 0.90 m)* | | | | | |
| | Gk | 50.82 | 32.63 | 14.44 | 29.37 | -0.08 |
| | Qk.N | 7.16 | -6.04 | -19.24 | -5.43 | 0.33 |
| | | 8.74 | 15.30 | 21.87 | 13.77 | 0.06 |
| | Qk.S | 0.00 | 0.00 | 0.00 | 0.00 | -0.01 |



durch Vergleichsrechnung geprüft

| | EW | $F_{t,A,min}$<br>$F_{t,A,max}$<br>[kN/m] | $F_{t,M,min}$<br>$F_{t,M,max}$<br>[kN/m] | $F_{t,E,min}$<br>$F_{t,E,max}$<br>[kN/m] | $F_{t,min}$<br>$F_{t,max}$<br>[kN] | $e_{min}$<br>$e_{max}$<br>[m] |
|---|---|---|---|---|---|---|
| | | 12.66 | 6.81 | 0.96 | 6.13 | -0.13 |
| | Qk.W | -4.68 | -2.36 | -0.03 | -2.12 | -0.15 |
| | | 1.18 | 0.61 | 0.04 | 0.55 | -0.14 |
| W-022 | *(L = 3.93 m)* | | | | | |
| | Gk | 37.84 | 48.87 | 59.91 | 192.20 | 0.15 |
| | Qk.N | 7.86 | -3.04 | -13.93 | -11.95 | 2.35 |
| | | 7.64 | 16.86 | 26.08 | 66.29 | 0.36 |
| | Qk.S | 0.00 | 0.00 | 0.00 | 0.00 | 0.00 |
| | | -0.37 | 0.20 | 0.76 | 0.78 | 1.86 |
| | Qk.W | 0.16 | -0.18 | -0.51 | -0.70 | 1.23 |
| | | -0.04 | 0.02 | 0.09 | 0.09 | 1.80 |
| W-025 | *(L = 5.57 m)* | | | | | |
| | Gk | 45.12 | 20.18 | -4.76 | 112.36 | -1.15 |
| | Qk.N | -0.38 | -0.10 | 0.17 | -0.58 | -2.45 |
| | | 12.59 | 5.93 | -0.74 | 33.01 | -1.04 |
| | Qk.S | -0.01 | 0.00 | 0.01 | -0.01 | -4.90 |
| | | 1.37 | 0.55 | -0.28 | 3.05 | -1.40 |
| | Qk.W | -0.01 | 0.00 | 0.00 | -0.01 | -4.75 |
| | | 0.02 | 0.00 | -0.01 | 0.02 | -4.68 |
| W-026 | *(L = 2.49 m)* | | | | | |
| | Gk | 24.92 | 62.47 | 100.03 | 155.26 | 0.25 |
| | Qk.N | -5.59 | -2.58 | 0.42 | -6.42 | -0.48 |
| | | 12.18 | 20.02 | 27.85 | 49.75 | 0.16 |
| | Qk.S | 0.02 | -0.01 | -0.04 | -0.03 | 1.12 |
| | | -1.35 | 0.39 | 2.14 | 0.98 | 1.83 |
| | Qk.W | 0.62 | -0.08 | -0.78 | -0.20 | 3.69 |
| | | -0.15 | 0.02 | 0.20 | 0.06 | 3.00 |
| W-027 | *(L = 0.48 m)* | | | | | |
| | Gk | 47.31 | 31.08 | 14.85 | 14.76 | -0.04 |
| | Qk.N | -11.76 | -12.65 | -13.54 | -6.01 | 0.01 |
| | | 18.80 | 19.63 | 20.45 | 9.32 | 0.00 |
| | Qk.S | -0.36 | -0.72 | -1.09 | -0.34 | 0.04 |
| | | 0.87 | 1.16 | 1.46 | 0.55 | 0.02 |
| | Qk.W | -0.20 | -0.58 | -0.96 | -0.28 | 0.05 |
| | | 0.00 | 0.00 | 0.00 | 0.00 | 0.00 |
| W-029 | *(L = 1.19 m)* | | | | | |
| | Gk | 52.97 | 56.17 | 59.37 | 66.84 | 0.01 |
| | Qk.N | -3.04 | -1.92 | -0.80 | -2.29 | -0.12 |
| | | 19.12 | 17.47 | 15.81 | 20.78 | -0.02 |
| | Qk.S | -0.09 | -0.05 | -0.01 | -0.06 | -0.14 |
| | | 0.95 | 1.54 | 2.13 | 1.83 | 0.08 |
| | Qk.W | -0.01 | -0.01 | 0.00 | -0.01 | -0.15 |
| | | 0.10 | 0.06 | 0.02 | 0.07 | -0.14 |
| W-031 | *(L = 2.07 m)* | | | | | |
| | Gk | 47.60 | 19.30 | -9.01 | 39.90 | -0.51 |
| | Qk.N | -13.01 | -4.55 | 3.92 | -9.40 | -0.64 |
| | | 20.10 | 7.74 | -4.63 | 16.00 | -0.55 |
| | Qk.S | 0.00 | 0.00 | 0.00 | 0.00 | 0.00 |
| | | 2.59 | 0.99 | -0.61 | 2.05 | -0.56 |
| | Qk.W | -2.22 | -0.86 | 0.50 | -1.78 | -0.54 |
| | | 0.19 | 0.06 | -0.07 | 0.13 | -0.72 |
| W-032 | *(L =* | | | | | |



durch Vergleichsrechnung geprüft

| EW | $F_{t,A,min}$ $F_{t,A,max}$ [kN/m] | $F_{t,M,min}$ $F_{t,M,max}$ [kN/m] | $F_{t,E,min}$ $F_{t,E,max}$ [kN/m] | $F_{t,min}$ $F_{t,max}$ [kN] | $e_{min}$ $e_{max}$ [m] |
|---|---|---|---|---|---|
| *1.13 m)* | | | | | |
| Gk | 45.97 | 62.39 | 78.82 | 70.19 | 0.05 |
| Qk.N | -0.85 | -2.01 | -3.18 | -2.27 | 0.11 |
| | 13.41 | 17.52 | 21.63 | 19.71 | 0.04 |
| Qk.S | -0.99 | -0.64 | -0.28 | -0.72 | -0.10 |
| | 4.28 | 3.65 | 3.02 | 4.10 | -0.03 |
| Qk.W | -7.98 | -6.62 | -5.27 | -7.45 | -0.04 |
| | 3.17 | 2.55 | 1.92 | 2.86 | -0.05 |
| W-037 *(L = 4.87 m)* | | | | | |
| Gk | 27.21 | 29.37 | 31.52 | 143.08 | 0.06 |
| Qk.N | 0.44 | -0.68 | -1.79 | -3.29 | 1.34 |
| | 4.60 | 3.14 | 1.67 | 15.28 | -0.38 |
| Qk.S | -0.12 | -0.16 | -0.19 | -0.76 | 0.20 |
| | 1.35 | 1.27 | 1.19 | 6.17 | -0.05 |
| Qk.W | -2.37 | -0.87 | 0.63 | -4.25 | -1.39 |
| | 0.83 | 0.48 | 0.13 | 2.33 | -0.60 |

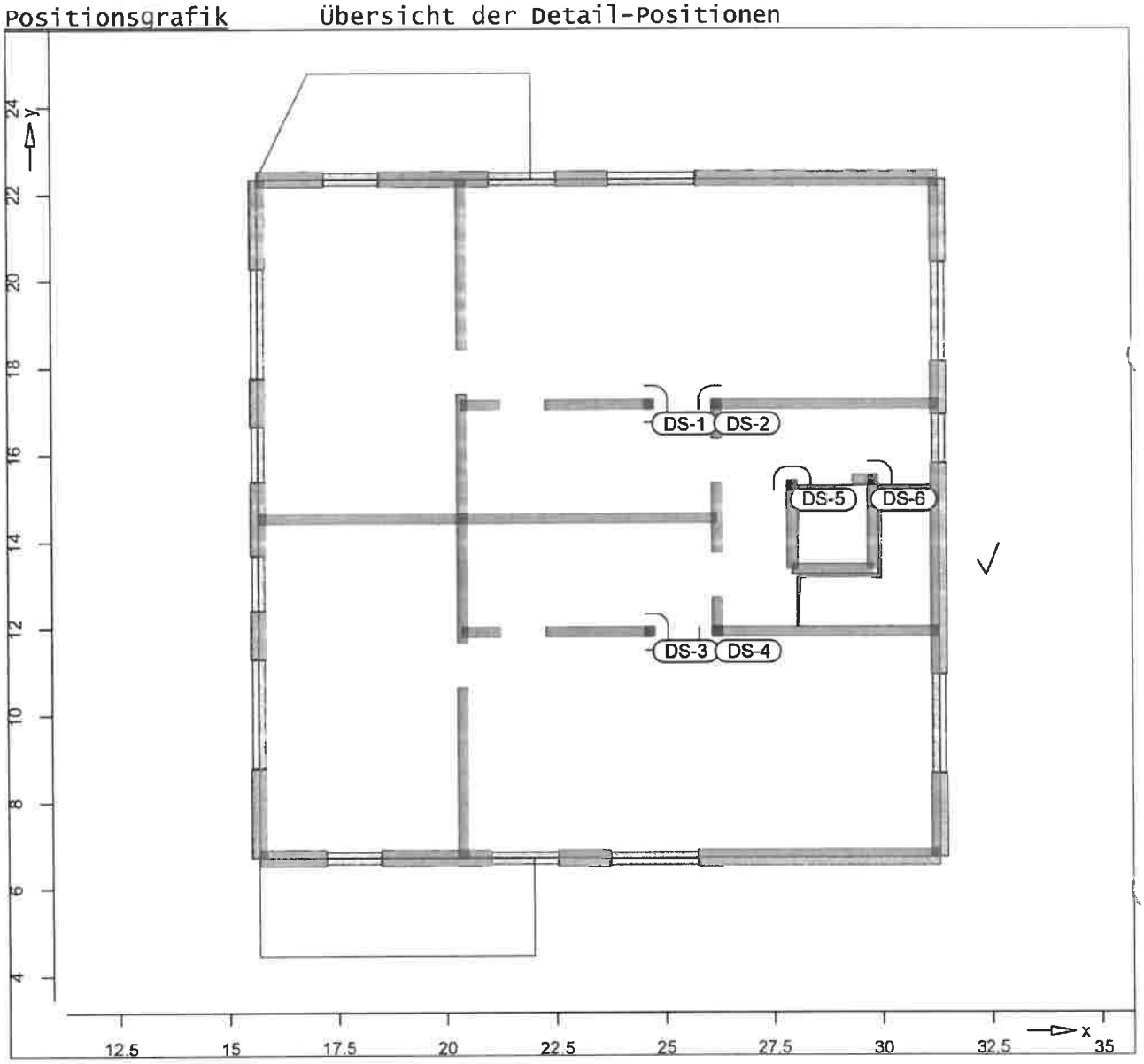


durch Vergleichsrechnung geprüft

Durchstanzstellen-Pos — Detailplan

Details — Detail-Positionen

Positionsgrafik — Übersicht der Detail-Positionen




Durchstanzstellen

| Position | Lel von | MinBew | Rundsch | beta |
|---|---|---|---|---|
| DS-1 | unten | ja | nein | 1.35 |
| DS-2 | unten | ja | nein | 1.20 |
| DS-3 | unten | ja | nein | 1.35 |
| DS-4 | unten | ja | nein | 1.20 |
| DS-5 | oben | ja | nein | 1.35 |
| DS-6 | unten | ja | nein | 1.20 |

oben: Lasteinleitung erfolgt von oben
unten: Lasteinleitung erfolgt von unten
MinBew: Mindestbewehrung nach NCI Zu 9.4.3(2)?
Rundsch: Rundschnitt am Rand erweitern?

Geometrie — Geometrie der Lasteinleitungsfläche



durch Vergleichsrechnung geprüft

| Position | Typ | Winkel2 [°] | Winkel [°] | Breite [cm] | Länge [cm] |
|---|---|---|---|---|---|
| DS-1 | We | | 180.00 | 24.0 | 24.0 |
| DS-2 | Wk | 360.00 | 270.00 | 24.0 | 24.0 |
| DS-3 | We | | 180.00 | 24.0 | 24.0 |
| DS-4 | Wk | 0.00 | 90.00 | 24.0 | 24.0 |
| DS-5 | We | | 270.00 | 25.0 | 25.0 |
| DS-6 | Wk | 270.00 | 180.00 | 25.0 | 25.0 |

We: Wandende
Wk: Wandecke

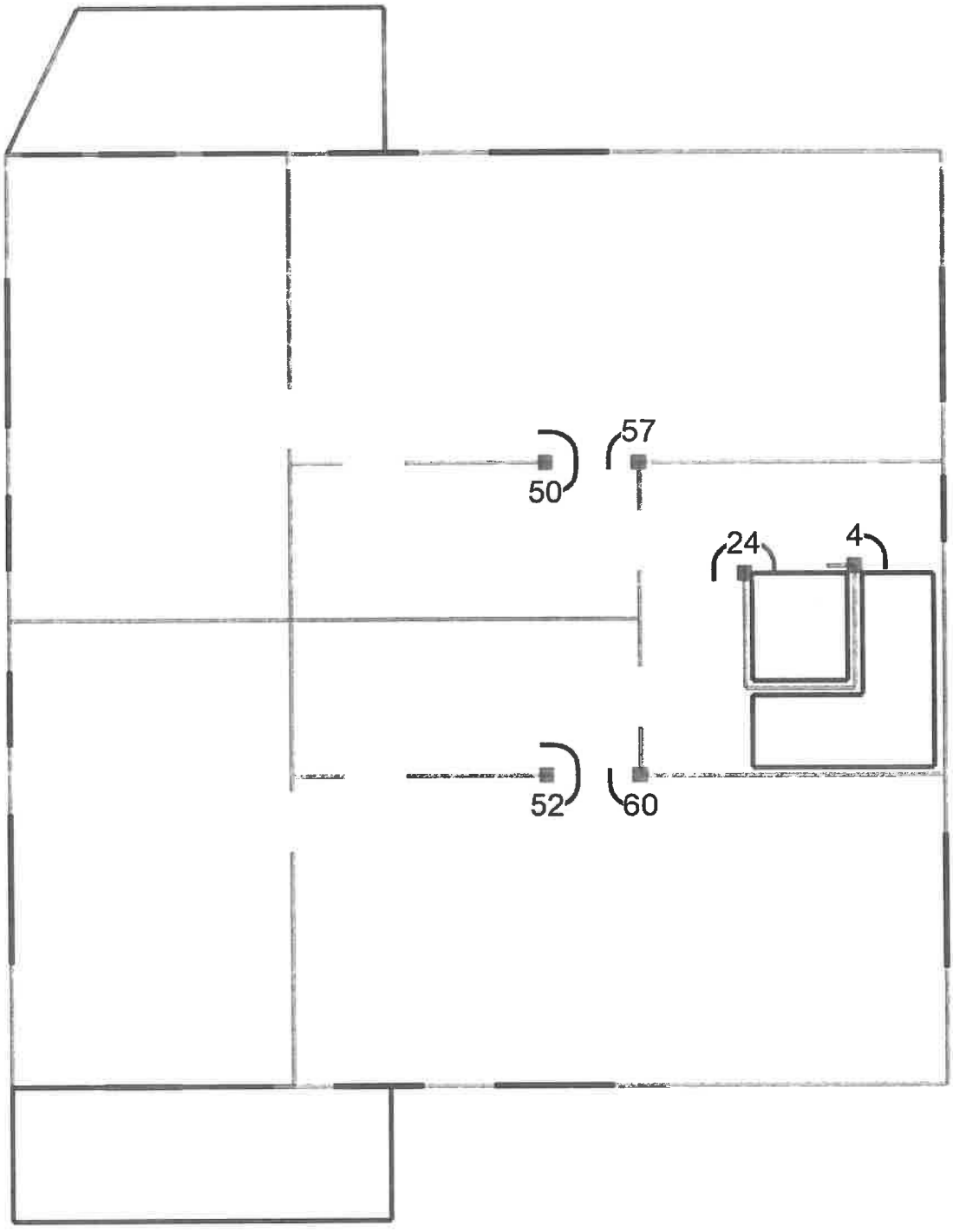
## Koordinaten

| Position | X [m] | Y [m] |
|---|---|---|
| DS-1 | 24.77 | 17.15 |
| DS-2 | 26.21 | 17.15 |
| DS-3 | 24.77 | 11.91 |
| DS-4 | 26.21 | 11.91 |
| DS-5 | 27.96 | 15.40 |
| DS-6 | 29.81 | 15.40 |



durch Vergleichsrechnung geprüft

| | | | | | |
|---|---|---|---|---|---|
| Proj.Bez | **Neubau eines Mehrfamilienhauses mit 6 WE** | | | Seite HZI-210 | **210** |
| Dokument | **Guido Metzen Vermögensverwaltun** | | | Position | **3.02** |
| Datum | **16.02.2022** | **MicroFe** | **2022.013** | Projekt | **9-21-222** |




| **Nachweis der Durchstanzstellen** | Maßgebende Durchstanzkraft VEd in [kN] | Maßstab: 1:105 |
|---|---|---|
| | | |

**KomPlan GmbH - Dr.-Gottfried-Cremer-Allee 29 - 50226 Frechen**

durch Vergleichsrechnung geprüft

Durchstanzstellen-Tab DS-1 √

## Nachweis der Durchstanzstellen

Durchstanznachweis nach DIN EN 1992-1-1

**Angaben**

Beton C 25/30, Betonstahl B 500MA

Lasteinleitungsfläche:

| | | | | |
|---|---|---|---|---|
| Wandende | a | = | 24.0 | cm |
| | b | = | 24.0 | cm |
| Plattendicke | $h_0$ | = | 22.0 | cm |
| Mittl. statische Nutzhöhe | $d_m$ | = | 19.2 | cm |
| Längsbewehrung | $a_{s,m}$ | = | 3.68 | cm²/m |
| Längsbewehrungsgrad | $\rho_{l,vorh}$ | = | 0.19 | % |
| | $\rho_{l,zul}$ | = | 1.63 | % |
| Maßg. Durchstanzkraft | $V_{Ed}$ | = | 50.5 | kN |
| Lasterhöhungsfaktor | $\beta$ | = | 1.35 | |

**Nachweis**

Keine Durchstanzbewehrung Asw erforderlich.

Für die maßgebende Belastungssituation wurde die mittlere Längsbewehrung asm an der Oberseite berücksichtigt.
Diese Längsbewehrung ist innerhalb des gesamten äußeren Rundschnitts anzuordnen und außerhalb dieses Rundschnitts zu verankern.
Eine Stützenkopfverstärkung wird nicht berücksichtigt.
Die Durchstanzkraft VEd wurde am Stützenanschnitt ausgewertet.
Mindestbewehrung (NCI Zu 9.4.3(2)) wurde berücksichtigt.

**Kombinationen**

Maßgebende Kombinationen nach DIN EN 1990

| | |
|---|---|
| Ew | Einwirkungsname |
| Lkn | Lastkombinationsnummer |
| ! | vorherrschende veränderliche Einwirkung |

Die Beteiligung einzelner Lastfälle innerhalb einer Einwirkung wird mit diesem Ausgabeformat nicht dokumentiert.

| Ew | Gk | Qk.N | Qk.S | Qk.W |
|---|---|---|---|---|
| Lkn | Grundkombination | | | |
| 1 | 1.35 | 1.50! | 0.75 | . |

| Rund-schnitt | Abstand [cm] | u [m] | vEd | | vRd,c | vRd,max [N/mm²] | minAsw | erfAsw [cm²] |
|---|---|---|---|---|---|---|---|---|
| Ucrit | 38.40 | 1.93 | 0.184 | ≤ | 0.495 | | | |



durch Vergleichsrechnung geprüft

DS-2 √ Durchstanznachweis nach DIN EN 1992-1-1

Angaben

Beton C 25/30, Betonstahl B 500MA

Lasteinleitungsfläche:

| | | | | |
|---|---|---|---|---|
| Wandecke | a | = | 24.0 | cm |
| | b | = | 24.0 | cm |
| Plattendicke | $h_0$ | = | 22.0 | cm |
| Mittl. statische Nutzhöhe | $d_m$ | = | 19.2 | cm |
| Längsbewehrung | $a_{s,m}$ | = | 3.77 | cm²/m |
| Längsbewehrungsgrad | $\rho_{l,vorh}$ | = | 0.20 | % |
| | $\rho_{l,zul}$ | = | 1.63 | % |
| Maßg. Durchstanzkraft | $V_{Ed}$ | = | 56.8 | kN |
| Lasterhöhungsfaktor | β | = | 1.20 | |

Nachweis

Keine Durchstanzbewehrung Asw erforderlich.

Für die maßgebende Belastungssituation wurde die mittlere Längsbewehrung asm an der Oberseite berücksichtigt.
Diese Längsbewehrung ist innerhalb des gesamten äußeren Rundschnitts anzuordnen und außerhalb dieses Rundschnitts zu verankern.
Eine Stützenkopfverstärkung wird nicht berücksichtigt.
Die Durchstanzkraft VEd wurde am Stützenanschnitt ausgewertet.
Mindestbewehrung (NCI Zu 9.4.3(2)) wurde berücksichtigt.

Kombinationen

Maßgebende Kombinationen nach DIN EN 1990

| | |
|---|---|
| Ew | Einwirkungsname |
| Lkn | Lastkombinationsnummer |
| ! | vorherrschende veränderliche Einwirkung |

Die Beteiligung einzelner Lastfälle innerhalb einer Einwirkung wird mit diesem Ausgabeformat nicht dokumentiert.

| Ew | Gk | Qk.N | Qk.S | Qk.W |
|---|---|---|---|---|
| Lkn | Grundkombination | | | |
| 1 | 1.35 | 1.50! | . | 0.90 |

| Rund-schnitt | Abstand [cm] | u [m] | vEd | | vRd,c | vRd,max [N/mm²] | minAsw | erfAsw [cm²] |
|---|---|---|---|---|---|---|---|---|
| Ucrit | 38.40 | 1.08 | 0.328 | ≤ | 0.495 | | | |



durch Vergleichsrechnung geprüft

DS-3 Durchstanznachweis nach DIN EN 1992-1-1

Angaben Beton C 25/30, Betonstahl B 500MA

Lasteinleitungsfläche:

| | | | | |
|---|---|---|---|---|
| Wandende | a | = | 24.0 | cm |
| | b | = | 24.0 | cm |
| Plattendicke | $h_0$ | = | 22.0 | cm |
| Mittl. statische Nutzhöhe | $d_m$ | = | 19.2 | cm |
| Längsbewehrung | $a_{s,m}$ | = | 3.75 | cm²/m |
| Längsbewehrungsgrad | $\rho_{l,vorh}$ | = | 0.20 | % |
| | $\rho_{l,zul}$ | = | 1.63 | % |
| Maßg. Durchstanzkraft | $V_{Ed}$ | = | 51.9 | kN |
| Lasterhöhungsfaktor | $\beta$ | = | 1.35 | |

Nachweis Keine Durchstanzbewehrung Asw erforderlich.

Für die maßgebende Belastungssituation wurde die mittlere Längsbewehrung asm an der Oberseite berücksichtigt.
Diese Längsbewehrung ist innerhalb des gesamten äußeren Rundschnitts anzuordnen und außerhalb dieses Rundschnitts zu verankern.
Eine Stützenkopfverstärkung wird nicht berücksichtigt.
Die Durchstanzkraft VEd wurde am Stützenanschnitt ausgewertet.
Mindestbewehrung (NCI Zu 9.4.3(2)) wurde berücksichtigt.

Kombinationen Maßgebende Kombinationen nach DIN EN 1990

EW Einwirkungsname
Lkn Lastkombinationsnummer
! vorherrschende veränderliche Einwirkung

Die Beteiligung einzelner Lastfälle innerhalb einer Einwirkung wird mit diesem Ausgabeformat nicht dokumentiert.

| EW | Gk | Qk.N | Qk.S | Qk.W |
|---|---|---|---|---|
| Lkn | Grundkombination | | | |
| 1 | 1.35 | 1.50! | 0.75 | . |

| Rund-schnitt | Abstand [cm] | u [m] | vEd | | vRd,c | vRd,max [N/mm²] | minAsw | erfAsw [cm²] |
|---|---|---|---|---|---|---|---|---|
| Ucrit | 38.40 | 1.93 | 0.189 | ≤ | 0.495 | | | |



durch Vergleichsrechnung geprüft

DS-4 Durchstanznachweis nach DIN EN 1992-1-1

Angaben Beton C 25/30, Betonstahl B 500MA

Lasteinleitungsfläche:

| | | | | |
|---|---|---|---|---|
| Wandecke | a | = | 24.0 | cm |
| | b | = | 24.0 | cm |
| Plattendicke | $h_0$ | = | 22.0 | cm |
| Mittl. statische Nutzhöhe | $d_m$ | = | 19.2 | cm |
| Längsbewehrung | $a_{s,m}$ | = | 3.86 | cm²/m |
| Längsbewehrungsgrad | $\rho_{l,vorh}$ | = | 0.20 | % |
| | $\rho_{l,zul}$ | = | 1.63 | % |
| Maßg. Durchstanzkraft | $V_{Ed}$ | = | 60.3 | kN |
| Lasterhöhungsfaktor | $\beta$ | = | 1.20 | |

Nachweis Keine Durchstanzbewehrung Asw erforderlich.

Für die maßgebende Belastungssituation wurde die mittlere Längsbewehrung asm an der Oberseite berücksichtigt.
Diese Längsbewehrung ist innerhalb des gesamten äußeren Rundschnitts anzuordnen und außerhalb dieses Rundschnitts zu verankern.
Eine Stützenkopfverstärkung wird nicht berücksichtigt.
Die Durchstanzkraft VEd wurde am Stützenanschnitt ausgewertet.
Mindestbewehrung (NCI Zu 9.4.3(2)) wurde berücksichtigt.

Kombinationen Maßgebende Kombinationen nach DIN EN 1990

Ew Einwirkungsname
Lkn Lastkombinationsnummer
! vorherrschende veränderliche Einwirkung

Die Beteiligung einzelner Lastfälle innerhalb einer Einwirkung wird mit diesem Ausgabeformat nicht dokumentiert.

| Ew | Gk | Qk.N | Qk.S | Qk.W |
|---|---|---|---|---|
| Lkn | Grundkombination | | | |
| 1 | 1.35 | 1.50! | . | 0.90 |

| Rund-schnitt | Abstand [cm] | u [m] | vEd | | vRd,c | vRd,max [N/mm²] | minAsw | erfAsw [cm²] |
|---|---|---|---|---|---|---|---|---|
| Ucrit | 38.40 | 1.08 | 0.348 | ≤ | 0.495 | | | |



durch Vergleichsrechnung geprüft

DS-5 Durchstanznachweis nach DIN EN 1992-1-1

Angaben Beton C 25/30, Betonstahl B 500MA

Lasteinleitungsfläche:

| | | | | |
|---|---|---|---|---|
| Wandende | a | = | 25.0 | cm |
| | b | = | 25.0 | cm |
| Plattendicke | $h_0$ | = | 22.0 | cm |
| Mittl. statische Nutzhöhe | $d_m$ | = | 19.2 | cm |
| Längsbewehrung | $a_{s,m}$ | = | 3.35 | cm²/m |
| Längsbewehrungsgrad | $\rho_{l,vorh}$ | = | 0.17 | % |
| | $\rho_{l,zul}$ | = | 1.63 | % |
| Maßg. Durchstanzkraft | $V_{Ed}$ | = | 24.1 | kN |
| Lasterhöhungsfaktor | $\beta$ | = | 1.35 | |

Nachweis Keine Durchstanzbewehrung Asw erforderlich.

Für die maßgebende Belastungssituation wurde die mittlere Längsbewehrung asm an der Unterseite berücksichtigt.
Diese Längsbewehrung ist innerhalb des gesamten äußeren Rundschnitts anzuordnen und außerhalb dieses Rundschnitts zu verankern.
Eine Stützenkopfverstärkung wird nicht berücksichtigt.
Die Durchstanzkraft VEd wurde am Stützenanschnitt ausgewertet.
Mindestbewehrung (NCI Zu 9.4.3(2)) wurde berücksichtigt.

Kombinationen Maßgebende Kombinationen nach DIN EN 1990

| | |
|---|---|
| Ew | Einwirkungsname |
| Lkn | Lastkombinationsnummer |
| ! | vorherrschende veränderliche Einwirkung |

Die Beteiligung einzelner Lastfälle innerhalb einer Einwirkung wird mit diesem Ausgabeformat nicht dokumentiert.

| Ew | Gk | Qk.N | Qk.S | Qk.W |
|---|---|---|---|---|
| Lkn | Grundkombination | | | |
| 1 | 1.35 | 1.50! | 0.75 | . |

| Rund-schnitt | Abstand [cm] | u [m] | vEd | | vRd,c | vRd,max [N/mm²] | minAsw | erfAsw [cm²] |
|---|---|---|---|---|---|---|---|---|
| Ucrit | 38.40 | 1.83 | 0.093 | ≤ | 0.495 | | | |



durch Vergleichsrechnung geprüft

DS-6 Durchstanznachweis nach DIN EN 1992-1-1

Angaben Beton C 25/30, Betonstahl B 500MA

Lasteinleitungsfläche:

| | | | | |
|---|---|---|---|---|
| Wandecke | a | = | 25.0 | cm |
| | b | = | 25.0 | cm |
| Plattendicke | $h_0$ | = | 22.0 | cm |
| Mittl. statische Nutzhöhe | $d_m$ | = | 19.2 | cm |
| Längsbewehrung | $a_{s,m}$ | = | 3.35 | cm²/m |
| Längsbewehrungsgrad | $\rho_{l,vorh}$ | = | 0.17 | % |
| | $\rho_{l,zul}$ | = | 1.63 | % |
| Maßg. Durchstanzkraft | $V_{Ed}$ | = | 4.4 | kN |
| Lasterhöhungsfaktor | $\beta$ | = | 1.20 | |

Nachweis Keine Durchstanzbewehrung Asw erforderlich.

Für die maßgebende Belastungssituation wurde die mittlere Längsbewehrung asm an der Oberseite berücksichtigt.
Diese Längsbewehrung ist innerhalb des gesamten äußeren Rundschnitts anzuordnen und außerhalb dieses Rundschnitts zu verankern.
Eine Stützenkopfverstärkung wird nicht berücksichtigt.
Die Durchstanzkraft VEd wurde am Stützenanschnitt ausgewertet.
Mindestbewehrung (NCI Zu 9.4.3(2)) wurde berücksichtigt.

Kombinationen Maßgebende Kombinationen nach DIN EN 1990

Ew Einwirkungsname
Lkn Lastkombinationsnummer
! vorherrschende veränderliche Einwirkung

Die Beteiligung einzelner Lastfälle innerhalb einer Einwirkung wird mit diesem Ausgabeformat nicht dokumentiert.

| Ew | Gk | Qk.N | Qk.S | Qk.W |
|---|---|---|---|---|
| Lkn | Grundkombination | | | |
| 1 | 1.00 | 1.50! | 0.75 | . |

| Rund-schnitt | Abstand [cm] | u [m] | vEd | | vRd,c | vRd,max [N/mm²] | minAsw | erfAsw [cm²] |
|---|---|---|---|---|---|---|---|---|
| Ucrit | 38.40 | 1.03 | 0.027 | ≤ | 0.495 | | | |



durch Vergleichsrechnung geprüft

## Pos. 3.03 Stb-deckengl. Balken

Bemessung und Querschnittswerte siehe Pos 3.02.

## Pos. 3.04 Stb-Ringbalken

konstr. gewählt ohne weiteren Nachweis:

Zur horizontalen Halterung für die Wand am Treppenloch wird ein Stb-Ringbalken ausgebildet, der in die Decke seitlich einbindet.

Querschnitt: b/h = 28,5/22cm
Beton: C25/30
Bewehrung: 2Ø12 oben+unten zugverankert in Stb-Decke, Bügel Ø8/15

## Pos. 3.05 Stb-Unterzug

konstr. gewählt ohne weiteren Nachweis:

Querschnitt: b/h = 25/22+ca.56=78 cm
Beton: C25/30
Bewehrung: 2Ø12 oben+unten, Bügel Ø8/15



durch Vergleichsrechnung geprüft

## Pos. 3.06 Mauerwerk

**System**

Einschalige Außenwand
2-seitig gehalten

**Abmessungen Mat./Querschnitt**

| Material | l [m] | h [m] | t [cm] | γ [kN/m³] |
|---|---|---|---|---|
| *SFK 4-0.5/DM (Z-17.1-1029)* | 1.19 | 2.75 | 36.5 | 6.0 |

**Massivdecken**

| | Material | $l_f$ [m] | k [-] | h [cm] | a [cm] | b [m] | γ [kN/m³] |
|---|---|---|---|---|---|---|---|
| Rechts Oben | C 25/30 | 3.50 | 0.50 | 22.0 | 36.50 | 1.19 | 25.0 |

**Belastungen**

Streckenlasten vertikal

| | Nr. | EW | $f_x$ [kN/m] |
|---|---|---|---|
| (a) | 1 | Gk | 6.02 |

(a) Wandeigengewicht 6.00*0.36*2.75 = 6.02 kN/m

Momente am Wandkopf

| Nr. | EW | $m_{p,y,o}$ [kNm/m] |
|---|---|---|
| 1 | Gk | -4.07 |
| 2 | Qk.N | -1.26 |
| 3 | Qk.S | -0.11 |
| 4 | Qk.W | 0.00 |

**Punktlasten summiert** am Wandkopf

| | Komm. | $F_x$ [kN] | $F_{s,y}$ [kN] | $F_{p,z}$ [kN] | $M_{p,y}$ [kNm] | $M_{s,z}$ [kNm] |
|---|---|---|---|---|---|---|
| Einw. *Gk* | (a) | 66.84 | 0.00 | 0.00 | 0.00 | 0.67 |
| Einw. *Qk.N* | (a) | 20.79 | 0.00 | 0.00 | 0.00 | -0.42 |
| Einw. *Qk.S* | (a) | 1.83 | 0.00 | 0.00 | 0.00 | 0.15 |
| Einw. *Qk.W* | (a) | 0.07 | 0.00 | 0.00 | 0.00 | -0.01 |

(a) aus Pos. '3.02', Lager 'W-029' (Seite 142)

**Kombinationen**

Kombinationsbildung nach DIN EN 1990
Darstellung der maßgebenden Kombinationen

| | Ek | Σ (γ*ψ*EW) | | |
|---|---|---|---|---|
| ständig/vorüberg. | 5 | 1.35*Gk | +1.50*Qk.N | +0.75*Qk.S |
| häufig | 27 | 1.00*Gk | +0.20*Qk.S | |
| selten | 36 | 1.00*Gk | +0.70*Qk.N | +1.00*Qk.S |

**Mat./Querschnitt**

nach DIBt Zulassung Z-17.1-1029

gewählt *SFK 4-0.5-(365)/DM (Z-17.1-1029)*

| | |
|---|---|
| Steinart | Bisotherm |
| Steintyp | Bisomark mit Dämmstoff WLG 035 |
| Steindruckfestigkeitsklasse | SFK 4 |
| Steinrohdichteklasse | RDK 0.5 |
| Mörtelgruppe | Dünnbettmörtel DM |

Mauerwerk mit unvermörtelten Stoßfugen



durch Vergleichsrechnung geprüft

Materialbeiwerte

| | | | |
|---|---|---|---|
| charakt. Druckfestigkeit | $f_k$ = | 2.00 | N/mm² |
| Teilsicherheitsbeiwert | $\gamma_M$ = | 1.50 | |
| Dauerstandsfaktor | $\zeta$ = | 0.85 | |
| Bemessungswert Druckfestigk. | $f_d$ = | 1.13 | N/mm² |
| Rechenwert der Endkriechzahl | $\phi_\infty$ = | 2.00 | |
| Elastizitätsmodul | E = | 1900 | N/mm² |

Nachweise (GZT)

nach DIN EN 1996-1-1 (12/10) mit genauerer Berechnungsmethode

Tragwiderstand
Abs. 6.1.2

Nachweis des vertikalen Tragwiderstands

| Ek | Stelle | $\Phi_y$ [-] | $\Phi_z$ [-] | $N_{Ed}$ [kN] | $N_{Rd}$ [kN] | η [-] |
|---|---|---|---|---|---|---|
| 5 | Kopf | 0.995 | 0.667 | 122.79 | 326.43 | 0.38 |
| 5 | Mitte | 0.995 | 0.793 | 127.63 | 388.35 | 0.33 |
| 5 | Fuß | 0.995 | 0.900 | 132.47 | 440.86 | 0.30 |

Plattenschub
NCI zu 6.2 (NA.24)

Nachweis der Querkrafttragf. in Plattenrichtung

| Ek | Stelle | $t_{cal}$ [m] | c [-] | $f_{vk}$ [N/mm²] | $V_{Ed,z}$ [kN] | $V_{Rdlt}$ [kN] | η [-] |
|---|---|---|---|---|---|---|---|
| 5 | Kopf | 0.37 | 1.50 | 0.32 | -2.72 | 61.06 | 0.04 |
| 5 | Mitte | 0.37 | 1.50 | 0.32 | -2.72 | 62.35 | 0.04 |
| 5 | Fuß | 0.37 | 1.50 | 0.33 | -2.72 | 63.64 | 0.04 |

Nachweise (GZG)

nach DIN EN 1996-1-1/NA:2019-12, NCI zu 7.2

Ausmitte Plattenri.
NCI zu 7.2 (NA.7)

Nachweis der planmäß. Ausmitte in Plattenrichtung

| Ek | Stelle | $e_{z,L}$ [cm] | $e_{z,D}$ [cm] | $e_h$ [cm] | zul e [cm] | η [-] |
|---|---|---|---|---|---|---|
| 36 | Kopf | 6.1 | 0.0 | 0.0 | 12.2 | 0.50 |
| 36 | Mitte | 2.9 | 0.0 | 0.0 | 12.2 | 0.24 |
| 36 | Fuß | 0.0 | 0.0 | 0.0 | 12.2 | 0.00 |

$e_{z,L}$: Ausmitte infolge Vertikallasten
$e_{z,D}$: Ausmitte infolge Deckenverdrehung
$e_h$: Ausmitte infolge Horizontallasten

Auflagerkräfte

Charakteristische Auflagerkräfte

Char. Auflagerkr.

| | Aufl. | $F_{x,k}$ [kN] | $F_{z,k}$ [kN] | $M_{y,k}$ [kNm] | $F_{y,k}$ [kN] | $M_{z,k}$ [kNm] |
|---|---|---|---|---|---|---|
| Einw. *Gk* | A | 74.01 | -1.48 | 0.00 | 0.00 | 0.67 |
| | B | | 1.48 | 0.77 | | |
| Einw. *Qk.N* | A | 20.79 | -0.46 | 0.00 | 0.00 | -0.42 |
| | B | | 0.46 | 0.24 | | |
| Einw. *Qk.S* | A | 1.83 | -0.04 | 0.00 | 0.00 | 0.15 |
| | B | | 0.04 | 0.02 | | |
| Einw. *Qk.W* | A | 0.07 | 0.00 | 0.00 | 0.00 | -0.01 |
| | B | | 0.00 | 0.00 | | |



durch Vergleichsrechnung geprüft

## Pos. 3.07 Mauerwerk

**System**

Einschalige Außenwand
2-seitig gehalten

**Abmessungen Mat./Querschnitt**

| Material | l [m] | h [m] | t [cm] | γ [kN/m³] |
|---|---|---|---|---|
| *SFK 20-2.0/DM (Z-17.1-845)* | 5.10 | 2.75 | 24.0 | 20.0 |

**Massivdecken**

| | Material | $l_f$ [m] | k [-] | h [cm] | a [cm] | b [m] | γ [kN/m³] |
|---|---|---|---|---|---|---|---|
| Rechts Oben | C 25/30 | 3.50 | 0.50 | 22.0 | 24.00 | 5.10 | 25.0 |

**Belastungen**

Streckenlasten vertikal

| | Nr. | EW | $f_x$ [kN/m] |
|---|---|---|---|
| (a) | 1 | Gk | 13.20 |

(a) Wandeigengewicht 20.00*0.24*2.75 = 13.20 kN/m

**Punktlasten summiert** am Wandkopf

| | Komm. | $F_x$ [kN] | $F_{s,y}$ [kN] | $F_{p,z}$ [kN] | $M_{p,y}$ [kNm] | $M_{s,z}$ [kNm] |
|---|---|---|---|---|---|---|
| Einw. *Gk* | (a) | 490.79 | 0.00 | 0.00 | 0.00 | -171.78 |
| Einw. *Qk.N* | (a) | 88.71 | 0.00 | 0.00 | 0.00 | -60.32 |
| Einw. *Qk.S* | (a) | 24.39 | 0.00 | 0.00 | 0.00 | -9.51 |
| Einw. *Qk.W* | (a) | 3.97 | 0.00 | 0.00 | 0.00 | 5.96 |

(a) aus Pos. '3.02', Lager '02-01' (Seite 142)

**Kombinationen**

Kombinationsbildung nach DIN EN 1990
Darstellung der maßgebenden Kombinationen

| | Ek | Σ (γ*ψ*EW) | | |
|---|---|---|---|---|
| ständig/vorüberg. | 5 | 1.35*Gk | +1.50*Qk.N | +0.75*Qk.S |
| selten | 31 | 1.00*Gk | | |

**Mat./Querschnitt**

nach DIBt Zulassung Z-17.1-845

**gewählt**

*SFK 20-2.0-(240)/DM (Z-17.1-845)*

| | |
|---|---|
| Steinart | Bundesverband Leichtbeton |
| Steintyp | Plan-Vollstein aus Beton |
| Steindruckfestigkeitsklasse | SFK 20 |
| Steinrohdichteklasse | RDK 2.0 |
| Mörtelgruppe | Dünnbettmörtel DM |
| Mauerwerk mit unvermörtelten Stoßfugen | |

**Materialbeiwerte**

| | | | |
|---|---|---|---|
| charakt. Druckfestigkeit | $f_k$ = | 10.00 | N/mm² |
| Teilsicherheitsbeiwert | $\gamma_M$ = | 1.50 | |
| Dauerstandsfaktor | $\zeta$ = | 0.85 | |
| Bemessungswert Druckfestigk. | $f_d$ = | 5.67 | N/mm² |
| Rechenwert der Endkriechzahl | $\phi_\infty$ = | 1.00 | |
| Elastizitätsmodul | E = | 24000 | N/mm² |

**Nachweise (GZT)**

nach DIN EN 1996-1-1 (12/10) mit genauerer Berechnungsmethode



durch Vergleichsrechnung geprüft

Tragwiderstand
Abs. 6.1.2

Nachweis des vertikalen Tragwiderstands

| Ek | Stelle | $\Phi_y$ [-] | $\Phi_z$ [-] | $N_{Ed}$ [kN] | $N_{Rd}$ [kN] | η [-] |
|---|---|---|---|---|---|---|
| 5 | Kopf | 0.841 | 0.900 | 813.92 | 5251.33 | 0.15 |
| 5 | Mitte | 0.850 | 0.820 | 859.36 | 4830.82 | 0.18 |
| 5 | Fuß | 0.857 | 0.900 | 904.80 | 5350.88 | 0.17 |

Nachweise (GZG)

nach DIN EN 1996-1-1/NA:2019-12, NCI zu 7.2

Ausmitte Plattenri.
NCI zu 7.2 (NA.7)

Nachweis der planmäß. Ausmitte in Plattenrichtung

| Ek | Stelle | $e_{z,L}$ [cm] | $e_{z,D}$ [cm] | $e_h$ [cm] | zul e [cm] | η [-] |
|---|---|---|---|---|---|---|
| 31 | Kopf | 0.0 | 0.0 | 0.0 | 8.0 | 0.00 |
| 31 | Mitte | 0.0 | 0.0 | 0.0 | 8.0 | 0.00 |
| 31 | Fuß | 0.0 | 0.0 | 0.0 | 8.0 | 0.00 |

$e_{z,L}$: Ausmitte infolge Vertikallasten
$e_{z,D}$: Ausmitte infolge Deckenverdrehung
$e_h$: Ausmitte infolge Horizontallasten

Auflagerkräfte

Charakteristische Auflagerkräfte

Char. Auflagerkr.

| | Aufl. | $F_{x,k}$ [kN] | $F_{z,k}$ [kN] | $M_{y,k}$ [kNm] | $F_{y,k}$ [kN] | $M_{z,k}$ [kNm] |
|---|---|---|---|---|---|---|
| Einw. *Gk* | A | 558.11 | 0.00 | 0.00 | 0.00 | -171.78 |
| | B | | 0.00 | 0.00 | | |
| Einw. *Qk.N* | A | 88.71 | 0.00 | 0.00 | 0.00 | -60.32 |
| | B | | 0.00 | 0.00 | | |
| Einw. *Qk.S* | A | 24.39 | 0.00 | 0.00 | 0.00 | -9.51 |
| | B | | 0.00 | 0.00 | | |
| Einw. *Qk.W* | A | 3.97 | 0.00 | 0.00 | 0.00 | 5.96 |
| | B | | 0.00 | 0.00 | | |

Zusammenfassung

Zusammenfassung der Nachweise

Nachweise (GZT)

Nachweise im Grenzzustand der Tragfähigkeit

| Nachweis | Ort | | η [-] |
|---|---|---|---|
| vertikaler Tragwiderstand | Mitte | OK | 0.18 |



durch Vergleichsrechnung geprüft

## Pos. 3.08 Mauerwerk

**System**

Einschalige Außenwand
2-seitig gehalten

**Abmessungen Mat./Querschnitt**

| Material | l [m] | h [m] | t [cm] | γ [kN/m³] |
|---|---|---|---|---|
| *SFK 12-1.8/DM (Z-17.1-845)* | 2.49 | 2.75 | 24.0 | 18.0 |

**Massivdecken**

| Material | $l_f$ [m] | k [-] | h [cm] | a [cm] | b [m] | γ [kN/m³] |
|---|---|---|---|---|---|---|
| Rechts Oben | | | | | | |
| C 25/30 | 3.50 | 0.50 | 22.0 | 24.00 | 2.49 | 25.0 |

**Belastungen**

Streckenlasten vertikal

| | Nr. | EW | $f_x$ [kN/m] |
|---|---|---|---|
| (a) | 1 | Gk | 11.88 |

(a) Wandeigengewicht 18.00*0.24*2.75 = 11.88 kN/m

**Punktlasten summiert** am Wandkopf

| | Komm. | $F_x$ [kN] | $F_{s,y}$ [kN] | $F_{p,z}$ [kN] | $M_{p,y}$ [kNm] | $M_{s,z}$ [kNm] |
|---|---|---|---|---|---|---|
| Einw. *Gk* | (a) | 158.01 | 0.00 | 0.00 | 0.00 | 39.50 |
| Einw. *Qk.N* | (a) | 50.20 | 0.00 | 0.00 | 0.00 | 8.53 |
| Einw. *Qk.S* | (a) | 2.42 | 0.00 | 0.00 | 0.00 | 2.37 |
| Einw. *Qk.W* | (a) | 0.06 | 0.00 | 0.00 | 0.00 | 0.17 |

(a) aus Pos. '3.02', Lager 'W-014' (Seite 142)

**Kombinationen**

Kombinationsbildung nach DIN EN 1990
Darstellung der maßgebenden Kombinationen

| | Ek | Σ (γ*ψ*EW) | | |
|---|---|---|---|---|
| ständig/vorüberg. | 5 | 1.35*Gk | +1.50*Qk.N | +0.75*Qk.S |
| selten | 31 | 1.00*Gk | | |

**Mat./Querschnitt** nach DIBt Zulassung Z-17.1-845

gewählt *SFK 12-1.8-(240)/DM (Z-17.1-845)*

| | |
|---|---|
| Steinart | Bundesverband Leichtbeton |
| Steintyp | Plan-Vollstein aus Beton |
| Steindruckfestigkeitsklasse | SFK 12 |
| Steinrohdichteklasse | RDK 1.8 |
| Mörtelgruppe | Dünnbettmörtel DM |

Mauerwerk mit unvermörtelten Stoßfugen

**Materialbeiwerte**

| | | | |
|---|---|---|---|
| charakt. Druckfestigkeit | $f_k$ = | 6.90 | N/mm² |
| Teilsicherheitsbeiwert | $\gamma_M$ = | 1.50 | |
| Dauerstandsfaktor | $\zeta$ = | 0.85 | |
| Bemessungswert Druckfestigk. | $f_d$ = | 3.91 | N/mm² |
| Rechenwert der Endkriechzahl | $\phi_\infty$ = | 1.00 | |
| Elastizitätsmodul | E = | 16560 | N/mm² |

**Nachweise (GZT)** nach DIN EN 1996-1-1 (12/10) mit genauerer Berechnungsmethode



durch Vergleichsrechnung geprüft

Tragwiderstand
Abs. 6.1.2

Nachweis des vertikalen Tragwiderstands

| Ek | Stelle | $\Phi_y$ [-] | $\Phi_z$ [-] | $N_{Ed}$ [kN] | $N_{Rd}$ [kN] | η [-] |
|---|---|---|---|---|---|---|
| 5 | Kopf | 0.812 | 0.900 | 290.43 | 1708.01 | 0.17 |
| 5 | Mitte | 0.824 | 0.820 | 310.40 | 1578.86 | 0.20 |
| 5 | Fuß | 0.835 | 0.900 | 330.37 | 1755.75 | 0.19 |

Nachweise (GZG)

nach DIN EN 1996-1-1/NA:2019-12, NCI zu 7.2

Ausmitte Plattenri.
NCI zu 7.2 (NA.7)

Nachweis der planmäß. Ausmitte in Plattenrichtung

| Ek | Stelle | $e_{z,L}$ [cm] | $e_{z,D}$ [cm] | $e_h$ [cm] | zul e [cm] | η [-] |
|---|---|---|---|---|---|---|
| 31 | Kopf | 0.0 | 0.0 | 0.0 | 8.0 | 0.00 |
| 31 | Mitte | 0.0 | 0.0 | 0.0 | 8.0 | 0.00 |
| 31 | Fuß | 0.0 | 0.0 | 0.0 | 8.0 | 0.00 |

$e_{z,L}$: Ausmitte infolge Vertikallasten
$e_{z,D}$: Ausmitte infolge Deckenverdrehung
$e_h$: Ausmitte infolge Horizontallasten

Auflagerkräfte

Charakteristische Auflagerkräfte

Char. Auflagerkr.

| | Aufl. | $F_{x,k}$ [kN] | $F_{z,k}$ [kN] | $M_{y,k}$ [kNm] | $F_{y,k}$ [kN] | $M_{z,k}$ [kNm] |
|---|---|---|---|---|---|---|
| Einw. *Gk* | A | 187.59 | 0.00 | 0.00 | 0.00 | 39.50 |
| | B | | 0.00 | 0.00 | | |
| Einw. *Qk.N* | A | 50.20 | 0.00 | 0.00 | 0.00 | 8.53 |
| | B | | 0.00 | 0.00 | | |
| Einw. *Qk.S* | A | 2.42 | 0.00 | 0.00 | 0.00 | 2.37 |
| | B | | 0.00 | 0.00 | | |
| Einw. *Qk.W* | A | 0.06 | 0.00 | 0.00 | 0.00 | 0.18 |
| | B | | 0.00 | 0.00 | | |

Zusammenfassung

Zusammenfassung der Nachweise

Nachweise (GZT)

Nachweise im Grenzzustand der Tragfähigkeit

| Nachweis | Ort | | η [-] |
|---|---|---|---|
| vertikaler Tragwiderstand | Mitte | OK | 0.20 |



durch Vergleichsrechnung geprüft

## Pos. 3.09 Stb-Aufzugswände

konstr. gewählt ohne weiteren Nachweis:

Dicke: h=25cm
Beton: C 25/30
Exp-Klasse: XC1
Betondeckung: 2,0cm
Bewehrung: Q335Ai+a geschossübergreifend, in den Ecken 4Ø14 geschossübergreifend , Bügel Ø8/15

## Pos. 3.10 Stb-Zugstütze

konstr. gewählt ohne weiteren Nachweis:

Zur Aufnahme der Zugkräfte in den Gebäudeecken werden Stb-Zugstützen angeordnet.

Querschnitt: b/h = 24/24cm
Beton: C25/30
Bewehrung: 2Ø12 oben+unten zugverankert in Stb-Decke

statisch geprüft

# Erdgeschoss

## Pos. 4.01 Stb-Treppe

Bemessung und Ausführung siehe Pos 3.01

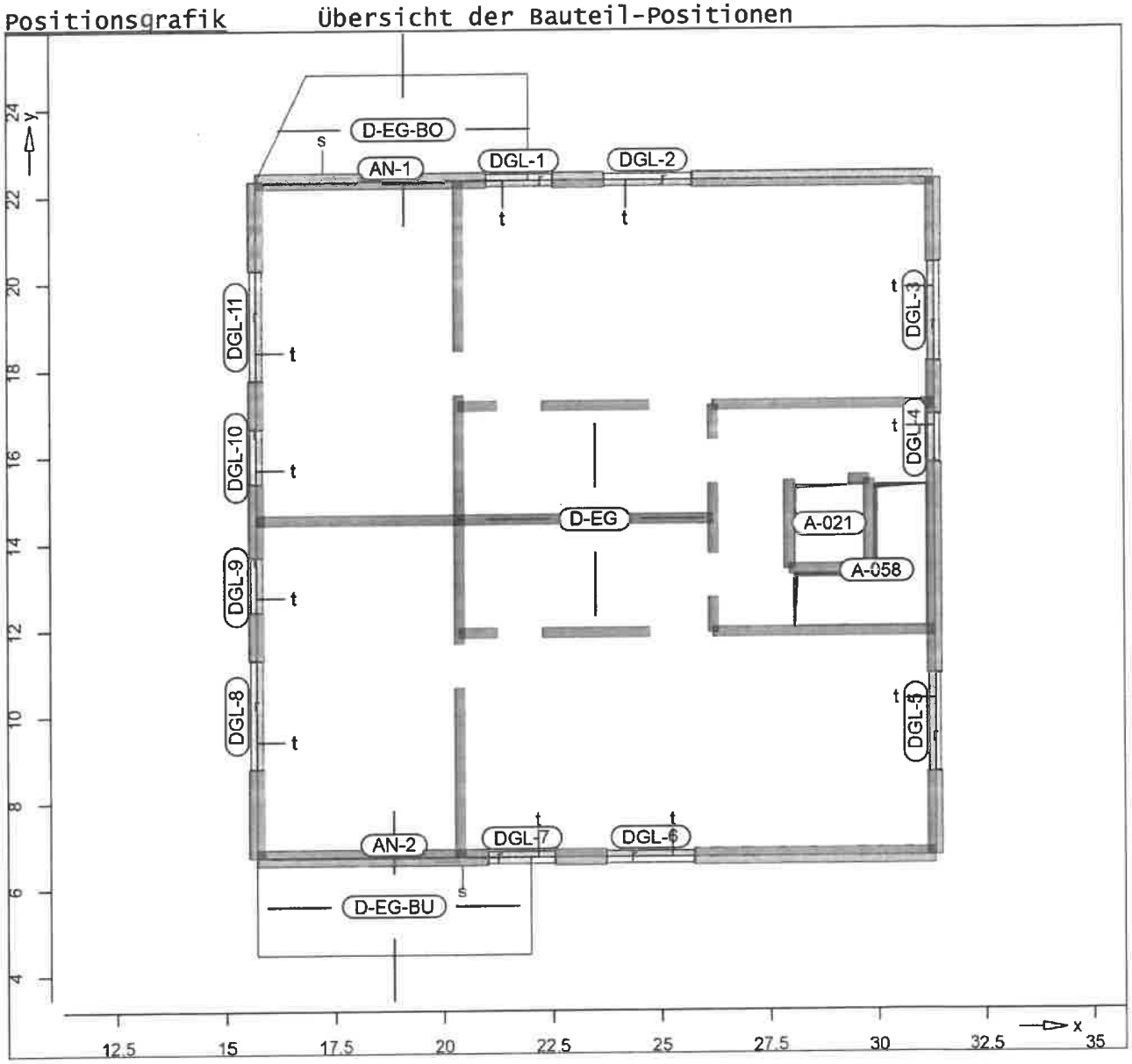
## Pos. 4.02 Stb-Decke

### System

Positionsplan — Positionsplan

Bauteile — Bauteil-Positionen

Positionsgrafik — Übersicht der Bauteil-Positionen




Platten — Platten-Positionen

Stahlbeton

| Position | Winkel [°] | Art | Material Längs | Material Quer | Dicke [cm] |
|---|---|---|---|---|---|
| D-EG | 0.0 | ort | C 25/30 Q B 500MA | B 500SA | 22.0 |

durch Vergleichsrechnung geprüft

| Position | Winkel [°] | Art | Material Längs | Material Quer | Dicke [cm] |
|---|---|---|---|---|---|
| D-EG-BO, D-EG-BU | 0.0 | iso | *C 25/30* Q<br>*B 500MA* | *B 500SA* | 22.0 |

Winkel: Bewehrungsrichtung r
iso: isotropes Material
ort: orthotropes Material
Q: Gesteinskörnung Quarzit

## Orthotrop

| Position | $\alpha_{E1}$ [°] | E2/E1 |
|---|---|---|
| D-EG | 0.00 | 1.00 |

## Abminderung

| Position | $F_M$ | $F_S$ | $F_B$ | $F_D$ |
|---|---|---|---|---|
| D-EG | - | - | 0.00 | 1.00 |

$F_M$: Abminderungsfaktor für die Membransteifigkeit
$F_S$: Abminderungsfaktor für die Schubsteifigkeit Scheibe
$F_B$: Abminderungsfaktor für die Biegesteifigkeit Platte
$F_D$: Abminderungsfaktor für die Drillsteifigkeit Platte

## Expositionsklasse

gemäß DIN EN 1992-1-1, Tab. 4.1

| Position | Seite | | Kl | Kommentar |
|---|---|---|---|---|
| D-EG | umlaufend | | XC1 | trocken oder ständig nass |
| D-EG-BO | oben | b | XC4 | wechselnd nass und trocken |
| | unten | b | XC3 | mäßige Feuchte |
| D-EG-BU | oben | b | XC4 | wechselnd nass und trocken |
| | unten | b | XC3 | mäßige Feuchte |

b: Verminderung des Vorhaltemaßes um 5 mm nach NDP zu 4.4.1.3(3)

## Koordinaten

| Position | x [m] | y [m] |
|---|---|---|
| D-EG | 15.69 | 6.71 |
| | 31.31 | 6.71 |
| | 31.31 | 22.34 |
| | 15.69 | 22.34 |
| D-EG-BO | 15.69 | 22.34 |
| | 21.99 | 22.34 |
| | 21.99 | 24.77 |
| | 16.88 | 24.77 |
| D-EG-BU | 15.69 | 6.71 |
| | 15.69 | 4.46 |
| | 22.00 | 4.46 |
| | 22.00 | 6.71 |

## Aussparungen

| Position | x [m] | y [m] |
|---|---|---|
| A-021 | 28.08 | 13.48 |
| | 29.68 | 13.48 |
| | 29.68 | 15.28 |
| | 28.08 | 15.28 |
| A-056 | 28.08 | 13.23 |
| | 28.08 | 12.03 |
| | 31.13 | 12.03 |
| | 31.13 | 15.28 |
| | 29.93 | 15.28 |
| | 29.93 | 13.23 |
| A-058 | 28.08 | 13.23 |
| | 28.08 | 12.03 |
| | 31.13 | 12.03 |
| | 31.13 | 15.28 |




durch Vergleichsrechnung geprüft

| Position | x [m] | y [m] |
|---|---|---|
| | 29.93 | 15.28 |
| | 29.93 | 13.23 |

## Balkonanschlüsse

Flächengelenke der Balkonanschluss-Positionen

| Position | $K_{R,r}$ [kNm/rad/m] | $K_{R,s}$ [kNm/rad/m] | $K_{T,t}$ [kN/m²] |
|---|---|---|---|
| AN-1, AN-2 | +/- 10000 | +/- frei | +/- 250000 |

## Koordinaten

| Position | x [m] | y [m] |
|---|---|---|
| AN-1 | 15.69 | 22.34 |
| | 21.99 | 22.34 |
| AN-2 | 22.00 | 6.71 |
| | 15.69 | 6.71 |

## Unterzüge

Unterzug-Positionen

### Stahlbeton

| Position | Länge [m] | Betonstahl Längs | Betonstahl Bügel | Beton |
|---|---|---|---|---|
| DGL-1 | 1.51 | *B 500SA* | *B 500SA* | *C 25/30* Q |
| DGL-2 | 2.01 | *B 500SA* | *B 500SA* | *C 25/30* Q |
| DGL-3 | 2.26 | *B 500SA* | *B 500SA* | *C 25/30* Q |
| DGL-4 | 1.12 | *B 500SA* | *B 500SA* | *C 25/30* Q |
| DGL-5 | 2.26 | *B 500SA* | *B 500SA* | *C 25/30* Q |
| DGL-6 | 2.01 | *B 500SA* | *B 500SA* | *C 25/30* Q |
| DGL-7 | 1.51 | *B 500SA* | *B 500SA* | *C 25/30* Q |
| DGL-8 | 2.51 | *B 500SA* | *B 500SA* | *C 25/30* Q |
| DGL-9, DGL-10 | 1.26 | *B 500SA* | *B 500SA* | *C 25/30* Q |
| DGL-11 | 2.51 | *B 500SA* | *B 500SA* | *C 25/30* Q |

Q: Gesteinskörnung Quarzit

### Querschnitt

| Position | Exz. [cm] | $b_{Pl}$ [cm] | $h_f$ [cm] | $b_w$ [cm] | h [cm] |
|---|---|---|---|---|---|
| DGL-1..DGL-11 | ZB | 28.5 | 0.0 | 28.5 | 22.0 |

ZB: zentrisch angeschlossener Balken

### Expositionsklasse

gemäß DIN EN 1992-1-1, Tab. 4.1

| Position | Seite | Kl | Kommentar |
|---|---|---|---|
| DGL-1..DGL-11 | umlaufend | XC1 | trocken oder ständig nass |

### Koordinaten

| Position | x [m] | y [m] |
|---|---|---|
| DGL-1 | 21.04 | 22.34 |
| | 22.55 | 22.34 |
| DGL-2 | 23.74 | 22.34 |
| | 25.75 | 22.34 |
| DGL-3 | 31.31 | 20.40 |
| | 31.31 | 18.14 |
| DGL-4 | 31.31 | 16.90 |
| | 31.31 | 15.79 |
| DGL-5 | 31.31 | 10.92 |
| | 31.31 | 8.66 |
| DGL-6 | 25.75 | 6.71 |
| | 23.74 | 6.71 |
| DGL-7 | 22.55 | 6.71 |
| | 21.04 | 6.71 |
| DGL-8 | 15.69 | 8.78 |
| | 15.69 | 11.29 |
| DGL-9 | 15.69 | 12.42 |

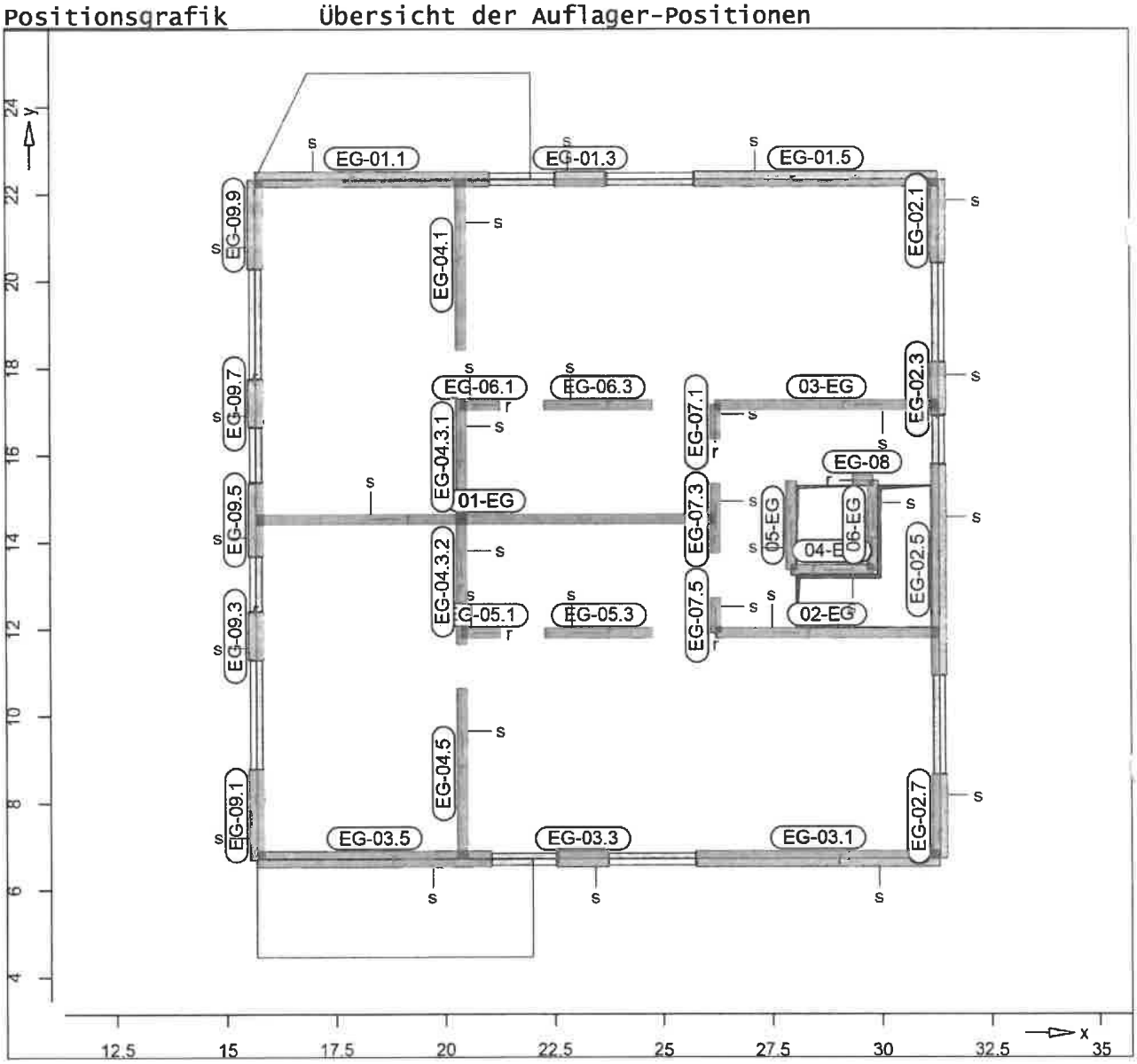


durch Vergleichsrechnung geprüft

| Position | x [m] | y [m] |
|---|---|---|
| | 15.69 | 13.68 |
| DGL-10 | 15.69 | 15.38 |
| | 15.69 | 16.64 |
| DGL-11 | 15.69 | 17.76 |
| | 15.69 | 20.27 |

Auflager — Auflager-Positionen

Positionsgrafik — Übersicht der Auflager-Positionen






**durch Vergleichsrechnung geprüft**

Wandlager

Stahlbeton

Wandlager-Positionen

| Position | Höhe [m] | Länge [m] | Material | Dicke [cm] |
|---|---|---|---|---|
| 04-EG | 2.89 | 1.85 | C 25/30 Q B 500MA | 25.0 |
| 05-EG, 06-EG | 2.89 | 2.05 | C 25/30 Q B 500MA | 25.0 |
| EG-08 | 2.89 | 0.48 | C 20/25 Q B 500MA | 25.0 |

Q: Gesteinskörnung Quarzit

Mauerwerk

| Position | Höhe [m] | Länge [m] | Material | Dicke [cm] |
|---|---|---|---|---|
| 01-EG | 2.89 | 10.52 | Z-17.1-845-Vn 20 DM | 24.0 |
| 02-EG, 03-EG | 2.89 | 5.10 | Z-17.1-845-Vn 20 DM | 24.0 |
| EG-01.1 | 2.89 | 5.35 | Z-17.1-1029 4 DM | 36.5 |
| EG-01.3 | 2.89 | 1.19 | Z-17.1-1029 4 DM | 36.5 |
| EG-01.5 | 2.89 | 5.57 | Z-17.1-1029 4 DM | 36.5 |
| EG-02.1 | 2.89 | 1.94 | Z-17.1-1029 4 DM | 36.5 |
| EG-02.3 | 2.89 | 1.23 | Z-17.1-1029 4 DM | 36.5 |
| EG-02.5 | 2.89 | 4.87 | Z-17.1-1029 4 DM | 36.5 |
| EG-02.7 | 2.89 | 1.94 | Z-17.1-1029 4 DM | 36.5 |
| EG-03.1 | 2.89 | 5.57 | Z-17.1-1029 4 DM | 36.5 |
| EG-03.3 | 2.89 | 1.19 | Z-17.1-1029 4 DM | 36.5 |
| EG-03.5 | 2.89 | 5.35 | Z-17.1-1029 4 DM | 36.5 |
| EG-04.1 | 2.89 | 3.93 | Z-17.1-845-Vn 12 DM | 24.0 |
| EG-04.3.1, EG-04.3.2 | 2.89 | 2.87 | Z-17.1-845-Vn 12 DM | 24.0 |
| EG-04.5 | 2.89 | 3.93 | Z-17.1-845-Vn 12 DM | 24.0 |
| EG-05.1 | 2.89 | 0.90 | Z-17.1-845-Vn 12 DM | 24.0 |
| EG-05.3 | 2.89 | 2.49 | Z-17.1-845-Vn 12 DM | 24.0 |
| EG-06.1 | 2.89 | 0.90 | Z-17.1-845-Vn 12 DM | 24.0 |
| EG-06.3 | 2.89 | 2.49 | Z-17.1-845-Vn 12 DM | 24.0 |
| EG-07.1 | 2.89 | 0.80 | Z-17.1-845-Vn 20 DM | 24.0 |
| EG-07.3 | 2.89 | 1.62 | Z-17.1-845-Vn 20 DM | 24.0 |
| EG-07.5 | 2.89 | 0.80 | Z-17.1-845-Vn 20 DM | 24.0 |
| EG-09.1 | 2.89 | 2.07 | Z-17.1-1029 4 DM | 36.5 |
| EG-09.3 | 2.89 | 1.13 | Z-17.1-1029 4 | 36.5 |



durch Vergleichsrechnung geprüft

| Position | Höhe [m] | Länge [m] | Material | Dicke [cm] |
|---|---|---|---|---|
| EG-09.5 | 2.89 | 1.70 | *Z-17.1-1029* *DM 4 DM* | 36.5 |
| EG-09.7 | 2.89 | 1.12 | *Z-17.1-1029* *DM 4 DM* | 36.5 |
| EG-09.9 | 2.89 | 2.07 | *Z-17.1-1029* *DM 4 DM* | 36.5 |

## Federsteifigkeiten

| Position | $K_{R,r}$ [kNm/rad/m] | $K_{R,s}$ [kNm/rad/m] | | $K_{T,t}$ [kN/m/m] |
|---|---|---|---|---|
| 01-EG, 02-EG, 03-EG | frei | frei | +/- | 1993080 |
| 04-EG, 05-EG, 06-EG | frei | frei | +/- | 2681661 |
| EG-01.1, EG-01.3, EG-01.5, EG-02.1, EG-02.3, EG-02.5, EG-02.7, EG-03.1, EG-03.3, EG-03.5 | frei | frei | +/- | 239965 |
| EG-04.1, EG-04.3.1, EG-04.3.2, EG-04.5, EG-05.1, EG-05.3, EG-06.1, EG-06.3 | frei | frei | +/- | 1375225 |
| EG-07.1, EG-07.3, EG-07.5 | frei | frei | +/- | 1993080 |
| EG-08 | frei | frei | +/- | 2595156 |
| EG-09.1, EG-09.3, EG-09.5, EG-09.7, EG-09.9 | frei | frei | +/- | 239965 |

## Koordinaten

| Position | x [m] | y [m] |
|---|---|---|
| 01-EG | 15.69 | 14.53 |
| | 26.21 | 14.53 |
| 02-EG | 26.21 | 11.91 |
| | 31.31 | 11.91 |
| 03-EG | 31.31 | 17.15 |
| | 26.21 | 17.15 |
| 04-EG | 29.81 | 13.35 |
| | 27.96 | 13.35 |
| 05-EG | 27.96 | 13.35 |
| | 27.96 | 15.40 |
| 06-EG | 29.81 | 15.40 |
| | 29.81 | 13.35 |
| EG-01.1 | 15.69 | 22.34 |
| | 21.04 | 22.34 |
| EG-01.3 | 22.55 | 22.34 |



durch Vergleichsrechnung geprüft

| Position | x [m] | y [m] |
|---|---|---|
| | 23.74 | 22.34 |
| EG-01.5 | 25.75 | 22.34 |
| | 31.31 | 22.34 |
| EG-02.1 | 31.31 | 22.34 |
| | 31.31 | 20.40 |
| EG-02.3 | 31.31 | 18.14 |
| | 31.31 | 16.90 |
| EG-02.5 | 31.31 | 15.79 |
| | 31.31 | 10.92 |
| EG-02.7 | 31.31 | 8.66 |
| | 31.31 | 6.71 |
| EG-03.1 | 31.31 | 6.71 |
| | 25.75 | 6.71 |
| EG-03.3 | 23.74 | 6.71 |
| | 22.55 | 6.71 |
| EG-03.5 | 21.04 | 6.71 |
| | 15.69 | 6.71 |
| EG-04.1 | 20.38 | 22.34 |
| | 20.38 | 18.41 |
| EG-04.3.1 | 20.38 | 17.40 |
| | 20.38 | 14.53 |
| EG-04.3.2 | 20.38 | 14.53 |
| | 20.38 | 11.66 |
| EG-04.5 | 20.38 | 10.65 |
| | 20.38 | 6.71 |
| EG-05.1 | 20.38 | 11.91 |
| | 21.28 | 11.91 |
| EG-05.3 | 22.29 | 11.91 |
| | 24.77 | 11.91 |
| EG-06.1 | 20.38 | 17.15 |
| | 21.28 | 17.15 |
| EG-06.3 | 22.29 | 17.15 |
| | 24.77 | 17.15 |
| EG-07.1 | 26.21 | 17.15 |
| | 26.21 | 16.35 |
| EG-07.3 | 26.21 | 15.34 |
| | 26.21 | 13.72 |
| EG-07.5 | 26.21 | 12.71 |
| | 26.21 | 11.91 |
| EG-08 | 29.81 | 15.40 |
| | 29.33 | 15.40 |
| EG-09.1 | 15.69 | 6.71 |
| | 15.69 | 8.78 |
| EG-09.3 | 15.69 | 11.29 |
| | 15.69 | 12.42 |
| EG-09.5 | 15.69 | 13.68 |
| | 15.69 | 15.38 |
| EG-09.7 | 15.69 | 16.64 |
| | 15.69 | 17.76 |
| EG-09.9 | 15.69 | 20.27 |
| | 15.69 | 22.34 |



durch Vergleichsrechnung geprüft

## Material

Materialkennwerte

### Stahlbeton
DIN EN 1992-1-1

| Position | Material | Wichte [kN/m³] | $E_{cm}$ G [N/mm²] | $f_{ck}$ $f_{ctm}$ [N/mm²] |
|---|---|---|---|---|
| EG-08 | C 20/25 Q | 25.00 | 30000 | 20.00 |
| | | | 12500 | 2.20 |
| 04-EG, 05-EG, 06-EG, D-EG, D-EG-BO, D-EG-BU, DGL-1..DGL-11 | C 25/30 Q | 25.00 | 31000 | 25.00 |
| | | | 12900 | 2.60 |

Q: Gesteinskörnung Quarzit

### Betonstahl
DIN EN 1992-1-1

| Position | Material | Wichte [kN/m³] | $E_s$ G [N/mm²] | $f_{yk}$ $f_{tk,cal}$ [N/mm²] |
|---|---|---|---|---|
| 04-EG, 05-EG, 06-EG, D-EG, D-EG-BO, D-EG-BU, EG-08 | B 500MA | 78.50 | 200000 | 500.00 |
| | | | 77000 | 525.00 |
| D-EG, D-EG-BO, D-EG-BU, DGL-1..DGL-11 | B 500SA | 78.50 | 200000 | 500.00 |
| | | | 77000 | 525.00 |

### Mauerwerk
DIN EN 1996-1-1

| Position | Material | Wichte Dichte [kN/m³] [kg/dm³] | E G [N/mm²] | $f_k$ [N/mm²] |
|---|---|---|---|---|
| EG-01.1, EG-01.3, EG-01.5, EG-02.1, EG-02.3, EG-02.5, EG-02.7, EG-03.1, EG-03.3, EG-03.5, EG-09.1, EG-09.3, EG-09.5, EG-09.7, EG-09.9 | Z-17.1-1029 4 DM | 6.00 | 1900 | 2.00 |
| | | 0.50 | 760 | |
| EG-04.1, EG-04.3.1, EG-04.3.2, EG-04.5, EG-05.1, EG-05.3, EG-06.1, EG-06.3 | Z-17.1-845-Vn 12 DM | 18.00 | 16560 | 6.90 |
| | | 1.80 | 6624 | |
| 01-EG, 02-EG, 03-EG, EG-07.1, EG-07.3, EG-07.5 | Z-17.1-845-Vn 20 DM | 20.00 | 24000 | 10.00 |
| | | 2.00 | 9600 | |



durch Vergleichsrechnung geprüft

Auswertung — Geometrische Auswertung der Positionen

Flächen — Flächenförmige Bauteil-Positionen

Stahlbeton

| Position | Dicke [cm] | Fläche [m²] | Volumen [m³] |
|---|---|---|---|
| D-EG | 22.0 | 235.11 | 51.72 |
| D-EG-BO | 22.0 | 13.88 | 3.05 |
| D-EG-BU | 22.0 | 14.19 | 3.12 |

Unterzüge — Unterzug-Positionen

Stahlbeton

| Position | $b_{(t)}$ [cm] | $h_{(s)}$ [cm] | Mantelfl. [m²] | Volumen [m³] |
|---|---|---|---|---|
| DGL-1 | 28.50 | 22.00 | 1.53 | 0.09 |
| DGL-2 | 28.50 | 22.00 | 2.03 | 0.13 |
| DGL-3 | 28.50 | 22.00 | 2.28 | 0.14 |
| DGL-4 | 28.50 | 22.00 | 1.13 | 0.07 |
| DGL-5 | 28.50 | 22.00 | 2.28 | 0.14 |
| DGL-6 | 28.50 | 22.00 | 2.03 | 0.13 |
| DGL-7 | 28.50 | 22.00 | 1.53 | 0.09 |
| DGL-8 | 28.50 | 22.00 | 2.54 | 0.16 |
| DGL-9, DGL-10 | 28.50 | 22.00 | 1.27 | 0.08 |
| DGL-11 | 28.50 | 22.00 | 2.54 | 0.16 |

Wandlager — Wände der Wandlager-Positionen

Stahlbeton

| Position | Dicke [cm] | Höhe [cm] | Fläche [m²] | Volumen [m³] |
|---|---|---|---|---|
| 04-EG | 25.0 | 289.0 | 5.35 | 1.34 |
| 05-EG, 06-EG | 25.0 | 289.0 | 5.92 | 1.48 |
| EG-08 | 25.0 | 289.0 | 1.37 | 0.34 |

Mauerwerk

| Position | Dicke [cm] | Höhe [cm] | Fläche [m²] | Volumen [m³] |
|---|---|---|---|---|
| 01-EG | 24.0 | 289.0 | 30.41 | 7.30 |
| 02-EG, 03-EG | 24.0 | 289.0 | 14.75 | 3.54 |
| EG-01.1 | 36.5 | 289.0 | 15.45 | 5.64 |
| EG-01.3 | 36.5 | 289.0 | 3.44 | 1.26 |
| EG-01.5 | 36.5 | 289.0 | 16.09 | 5.87 |
| EG-02.1 | 36.5 | 289.0 | 5.61 | 2.05 |
| EG-02.3 | 36.5 | 289.0 | 3.56 | 1.30 |
| EG-02.5 | 36.5 | 289.0 | 14.08 | 5.14 |
| EG-02.7 | 36.5 | 289.0 | 5.61 | 2.05 |
| EG-03.1 | 36.5 | 289.0 | 16.09 | 5.87 |
| EG-03.3 | 36.5 | 289.0 | 3.44 | 1.26 |
| EG-03.5 | 36.5 | 289.0 | 15.45 | 5.64 |
| EG-04.1 | 24.0 | 289.0 | 11.36 | 2.73 |
| EG-04.3.1, EG-04.3.2 | 24.0 | 289.0 | 8.29 | 1.99 |
| EG-04.5 | 24.0 | 289.0 | 11.36 | 2.73 |
| EG-05.1 | 24.0 | 289.0 | 2.60 | 0.62 |
| EG-05.3 | 24.0 | 289.0 | 7.18 | 1.72 |
| EG-06.1 | 24.0 | 289.0 | 2.60 | 0.62 |
| EG-06.3 | 24.0 | 289.0 | 7.18 | 1.72 |
| EG-07.1 | 24.0 | 289.0 | 2.31 | 0.55 |
| EG-07.3 | 24.0 | 289.0 | 4.68 | 1.12 |
| EG-07.5 | 24.0 | 289.0 | 2.31 | 0.55 |
| EG-09.1 | 36.5 | 289.0 | 5.98 | 2.18 |
| EG-09.3 | 36.5 | 289.0 | 3.25 | 1.19 |
| EG-09.5 | 36.5 | 289.0 | 4.91 | 1.79 |



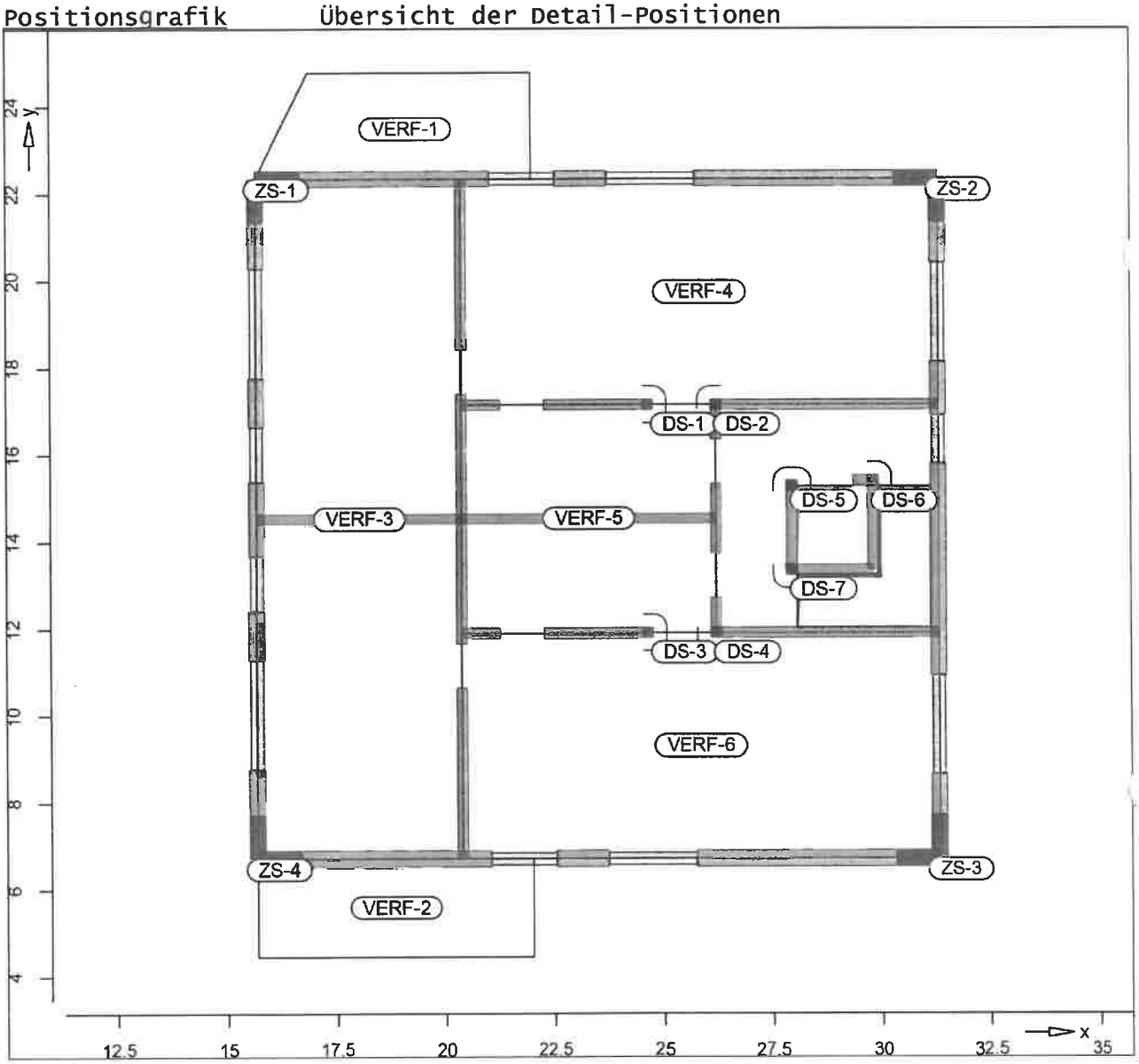
durch Vergleichsrechnung geprüft

| Position | Dicke [cm] | Höhe [cm] | Fläche [m²] | Volumen [m³] |
|---|---|---|---|---|
| EG-09.7 | 36.5 | 289.0 | 3.25 | 1.19 |
| EG-09.9 | 36.5 | 289.0 | 5.98 | 2.18 |

Detailplan — Detailplan

Details — Detail-Positionen

Positionsgrafik — Übersicht der Detail-Positionen




| Verf.nachw.bereiche | Position | zul.$f_\infty$ [cm] | zul.$f_\infty$-$f_0$ [cm] |
|---|---|---|---|
| | VERF-1 | 2.4 | |
| | VERF-2 | 2.3 | |
| | VERF-3 | 1.9 | 0.9 |
| | VERF-4 | 2.1 | 1.0 |
| | VERF-5 | 1.0 | 0.5 |



durch Vergleichsrechnung geprüft

| Position | zul.$f_\infty$ [cm] | zul.$f_\infty$-$f_0$ [cm] |
|---|---|---|
| VERF-6 | 2.1 | 1.0 |

## Koordinaten

| Position | x [m] | y [m] |
|---|---|---|
| VERF-1 | 16.88 | 24.77 |
| | 15.69 | 22.34 |
| | 21.99 | 22.34 |
| | 21.99 | 24.77 |
| VERF-2 | 22.00 | 4.46 |
| | 22.00 | 6.71 |
| | 15.69 | 6.71 |
| | 15.69 | 4.46 |
| VERF-3 | 15.69 | 22.34 |
| | 20.38 | 22.34 |
| | 20.38 | 6.71 |
| | 15.69 | 6.71 |
| VERF-4 | 20.38 | 22.34 |
| | 31.31 | 22.34 |
| | 31.31 | 17.15 |
| | 20.38 | 17.15 |
| VERF-5 | 20.38 | 17.15 |
| | 26.21 | 17.15 |
| | 26.21 | 11.91 |
| | 20.38 | 11.91 |
| VERF-6 | 20.38 | 11.91 |
| | 31.31 | 11.91 |
| | 31.31 | 6.71 |
| | 20.38 | 6.71 |

## Durchstanzstellen

| Position | Lel von | MinBew | Rundsch | beta |
|---|---|---|---|---|
| DS-1 | unten | ja | nein | 1.35 |
| DS-2 | unten | ja | nein | 1.20 |
| DS-3 | unten | ja | nein | 1.35 |
| DS-4 | unten | ja | nein | 1.20 |
| DS-5 | oben | ja | nein | 1.35 |
| DS-6 | unten | ja | nein | 1.20 |
| DS-7 | oben | ja | nein | 1.20 |

oben: Lasteinleitung erfolgt von oben
unten: Lasteinleitung erfolgt von unten
MinBew: Mindestbewehrung nach NCI Zu 9.4.3(2)?
Rundsch: Rundschnitt am Rand erweitern?

## Geometrie

Geometrie der Lasteinleitungsfläche

| Position | Typ | Winkel2 [°] | Winkel [°] | Breite [cm] | Länge [cm] |
|---|---|---|---|---|---|
| DS-1 | We | | 180.00 | 24.0 | 24.0 |
| DS-2 | Wk | 270.00 | 0.00 | 24.0 | 24.0 |
| DS-3 | We | | 180.00 | 24.0 | 24.0 |
| DS-4 | Wk | 0.00 | 90.00 | 24.0 | 24.0 |
| DS-5 | We | | 270.00 | 25.0 | 25.0 |
| DS-6 | Wk | 270.00 | 180.00 | 25.0 | 25.0 |
| DS-7 | Wk | 90.00 | 0.00 | 25.0 | 25.0 |

We: Wandende
Wk: Wandecke

## Koordinaten

| Position | X [m] | Y [m] |
|---|---|---|
| DS-1 | 24.77 | 17.15 |
| DS-2 | 26.21 | 17.15 |
| DS-3 | 24.77 | 11.91 |
| DS-4 | 26.21 | 11.91 |



durch Vergleichsrechnung geprüft

| Position | X [m] | Y [m] |
|---|---|---|
| DS-5 | 27.96 | 15.40 |
| DS-6 | 29.81 | 15.40 |
| DS-7 | 27.96 | 13.35 |

Zugkraftstellen

| Position | Betonstahl |
|---|---|
| ZS-1..ZS-4 | B 500SA |

Koordinaten

| Position | x [m] | y [m] |
|---|---|---|
| ZS-1 | 15.69 | 22.34 |
| ZS-2 | 31.31 | 22.34 |
| ZS-3 | 31.31 | 6.71 |
| ZS-4 | 15.69 | 6.71 |

## Belastungen



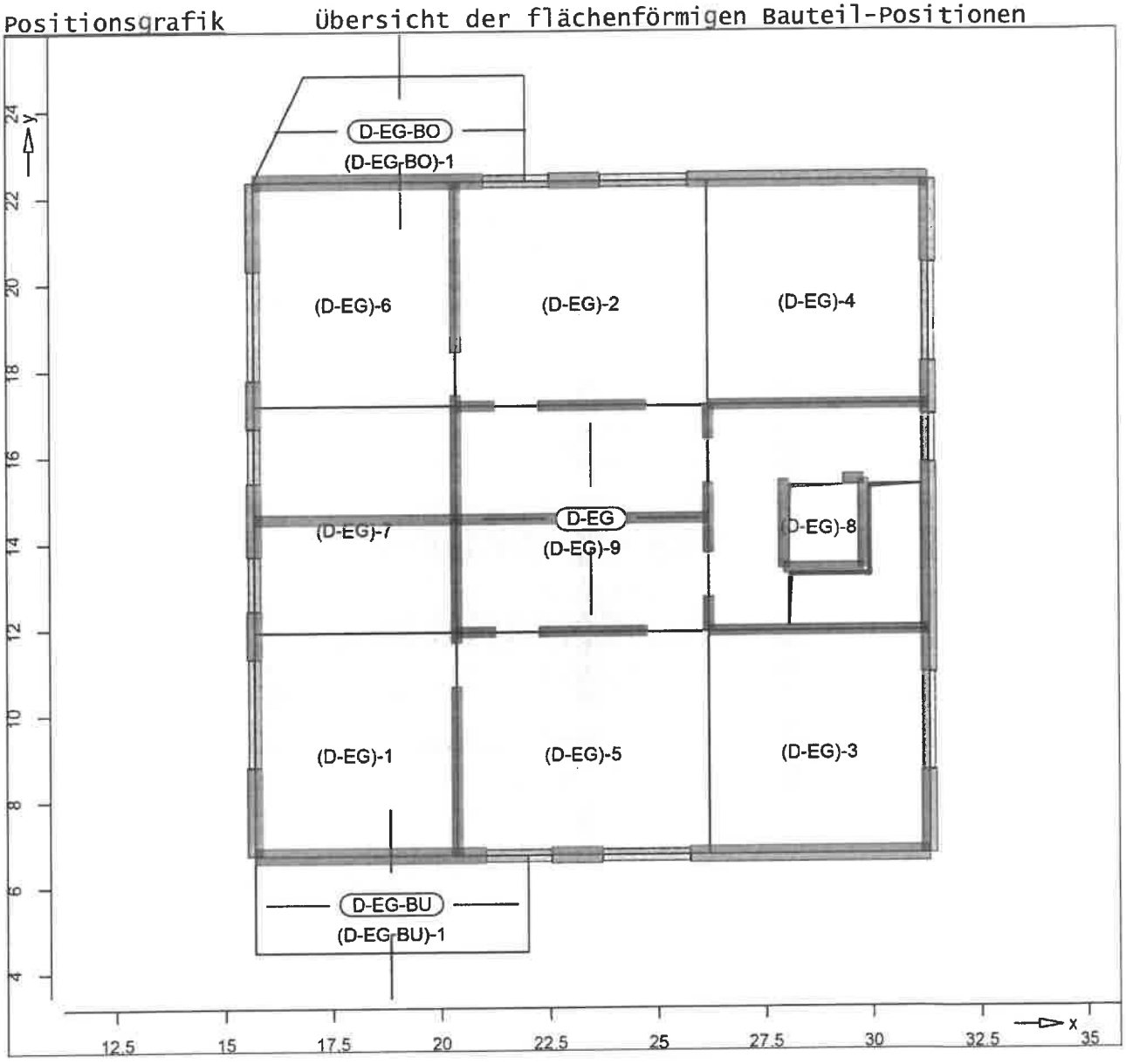
durch Vergleichsrechnung geprüft

Lastplan — Lasten des FE-Modells

Bauteillasten — Bauteilbezogene Lasten

Flächenpositionen — Flächenförmige Bauteil-Positionen

Positionsgrafik — Übersicht der flächenförmigen Bauteil-Positionen




**Eigengewicht**

| Position | EW | Lastfall | Art | g [kN/m²] |
|---|---|---|---|---|
| D-EG, D-EG-BO, D-EG-BU | Gk | LF-1 | PGr | 5.50 |

PGr: Gravitationslast; positive Lasten wirken senkrecht nach unten

**Sonstige ständige Last**

| Position | EW | Lastfall | Art | g [kN/m²] |
|---|---|---|---|---|
| D-EG, D-EG-BO, D-EG-BU | Gk | LF-1 | PGr | 1.80 * |

PGr: Gravitationslast; positive Lasten wirken senkrecht nach unten



*wird als richtig vorausgesetzt

**durch Vergleichsrechnung geprüft**

## Nutzlast

| Position | EW | Lastfall je Lastfeld | Art | p [kN/m²] |
|---|---|---|---|---|
| D-EG | Qk.N | (D-EG)-1..(D-EG)-9 | PGr | 2.70 |
| D-EG-BO | Qk.N | (D-EG-BO)-1 | PGr | 4.00 |
| D-EG-BU | Qk.N | (D-EG-BU)-1 | PGr | 4.00 |

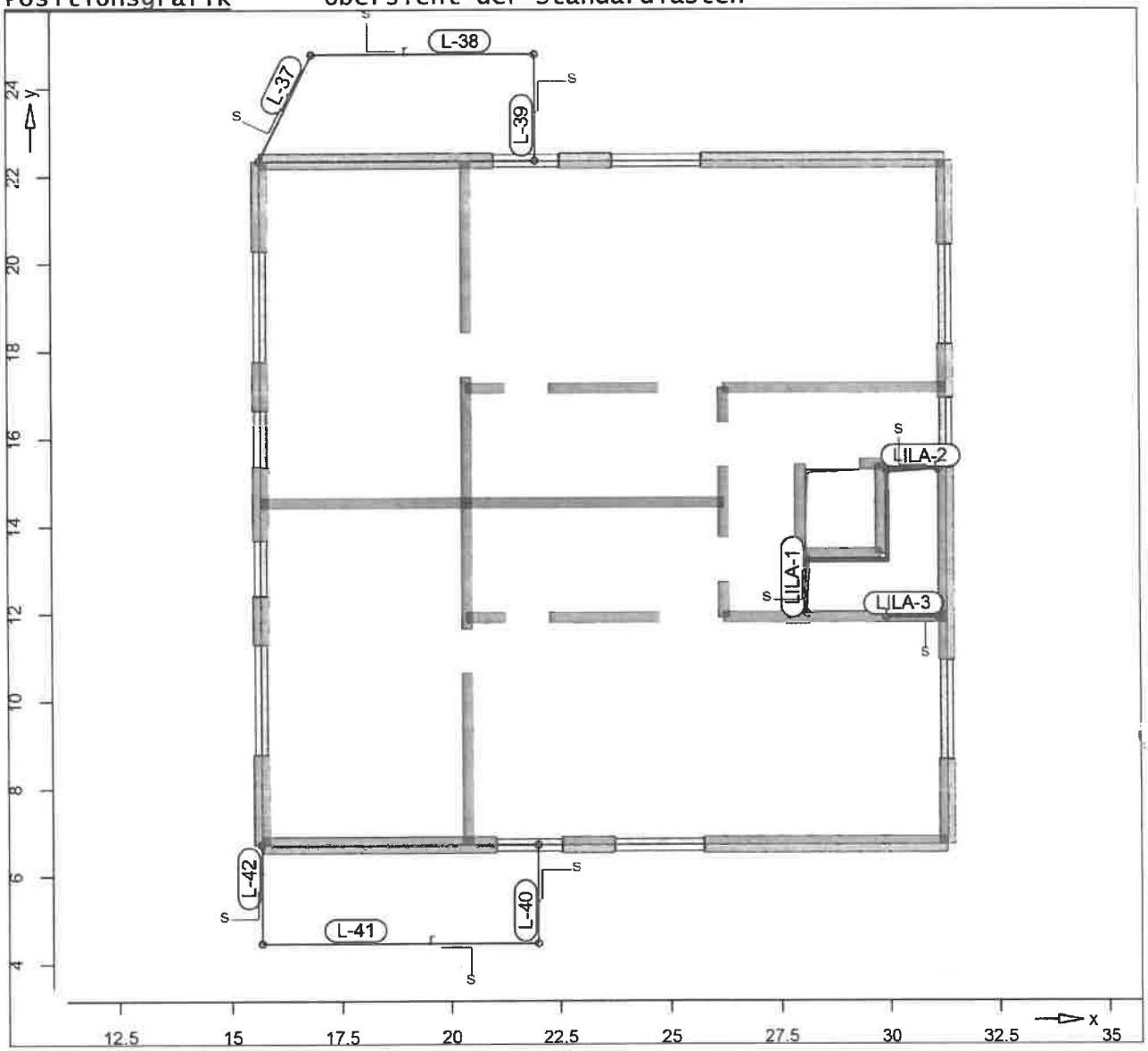
PGr: Gravitationslast; positive Lasten wirken senkrecht nach unten

## Standardlasten

Standardlasten im FE-Modell

## Positionsgrafik

Übersicht der Standardlasten




## Linienlasten

| | Position | EW | Lastfall | Art | $p_A, m_A$ [kN/m], | $p_E, m_E$ [kNm/m] |
|---|---|---|---|---|---|---|
| | L-37 | *Linienlast* | | | | |
| (a) | | Gk | #SE-LF-1 | pGr | 2.36 | 2.36 |
| | L-38 | *Linienlast* | | | | |
| (a) | | Gk | #SE-LF-1 | pGr | 2.36 | 2.36 |



durch Vergleichsrechnung geprüft

| | Position | EW | Lastfall | Art | $p_A, m_A$ [kN/m], | $p_E, m_E$ [kNm/m] | |
|---|---|---|---|---|---|---|---|
| | L-39 | *Linienlast* | | | | | |
| (a) | | Gk | #SE-LF-1 | pGr | 2.36 | 2.36 | |
| | L-40 | *Linienlast* | | | | | |
| (a) | | Gk | #SE-LF-1 | pGr | 2.36 | 2.36 | |
| | L-41 | *Linienlast* | | | | | |
| (a) | | Gk | #SE-LF-1 | pGr | 2.36 | 2.36 | |
| | L-42 | *Linienlast* | | | | | |
| (a) | | Gk | #SE-LF-1 | pGr | 2.36 | 2.36 | |
| (b) | LILA-1 | Gk | BS-Gk | pGr | 9.37 | 9.37 | |
| (b) | | Qk.N | BS-Qk.N | pGr | 3.22 | 3.22 | ✓ |
| (c) | LILA-2 | Gk | BS-Gk | pGr | 16.54 | 16.54 | |
| (c) | | Qk.N | BS-Qk.N | pGr | 5.68 | 5.68 | ✓ |
| (d) | LILA-3 | Gk | BS-Gk | pGr | 7.72 | 7.72 | |
| (e) | | Gk | BS-Gk | pGr | 9.84 | 9.84 | |
| (d) | | Qk.N | BS-Qk.N | pGr | 2.65 | 2.65 | |
| (e) | | Qk.N | BS-Qk.N | pGr | 3.38 | 3.38 | ✓ |

pGr: Gravitationslast; positive Lasten wirken senkrecht nach unten

(a)

| | | | | |
|---|---|---|---|---|
| Massive Brüstung | 0.175*10*0.85 | = | 1.49 | kN/m |
| Stb-Ringbalken | 0.175*0.20*25 | = | 0.88 | kN/m |
| | | = | 2.36 | kN/m |

(b) aus Pos. '3.01', Lager 'B'

(c) aus Pos. '3.01', Lager 'A'

(d) aus Pos. '3.01', Lager 'S1', Faktor = 0.83, aus Einzellast mit Lastverteilungslänge s = 1.208 m

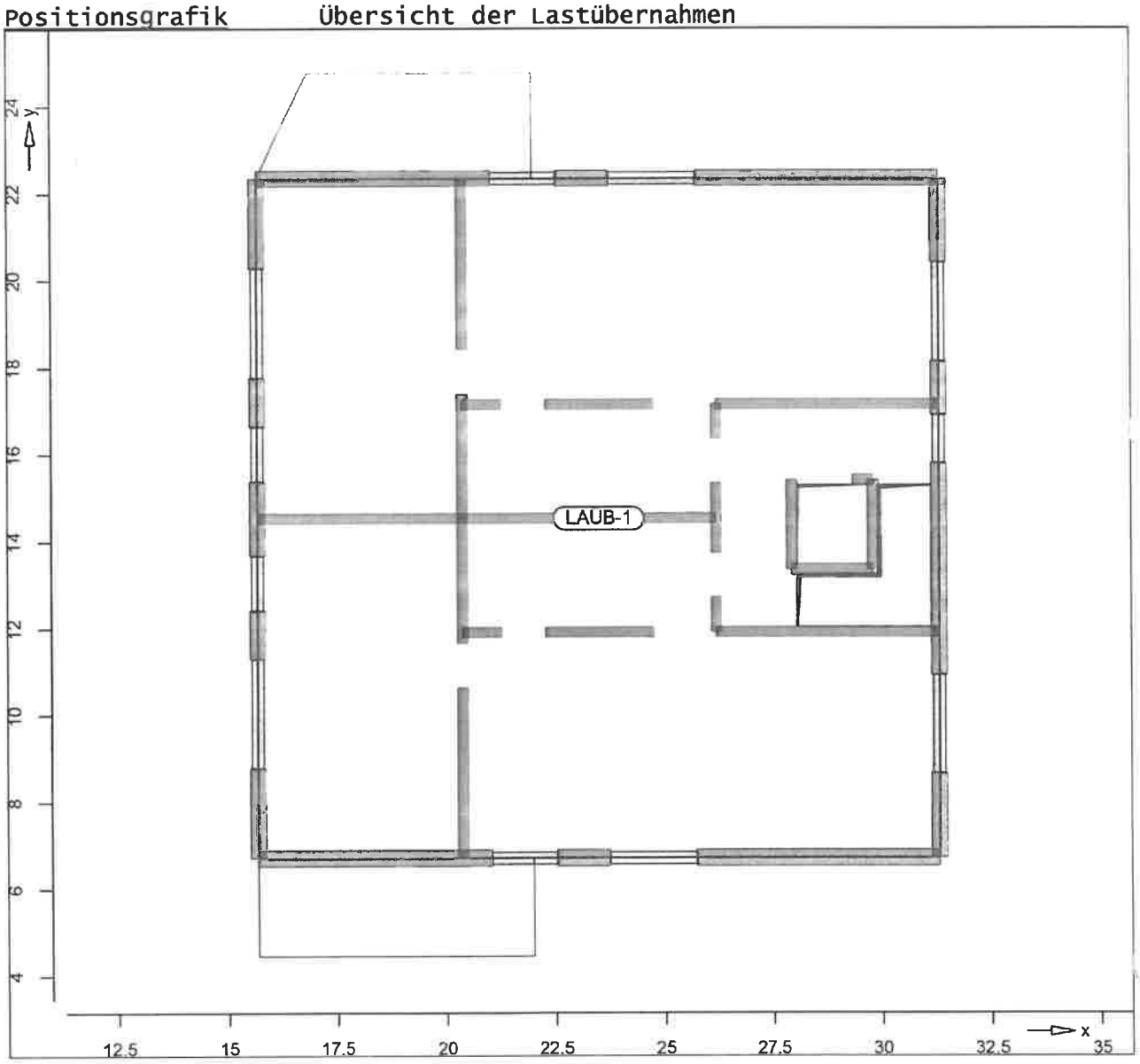
(e) aus Pos. '3.01', Lager 'S2', Faktor = 0.83, aus Einzellast mit Lastverteilungslänge s = 1.208 m




durch Vergleichsrechnung geprüft

Lastübernahmen — Lastübernahme aus MicroFe-Modellen

Positionsgrafik — Übersicht der Lastübernahmen




LAÜB-1 — Lastübernahme 'Lastübergabe' aus Modell 'OG'

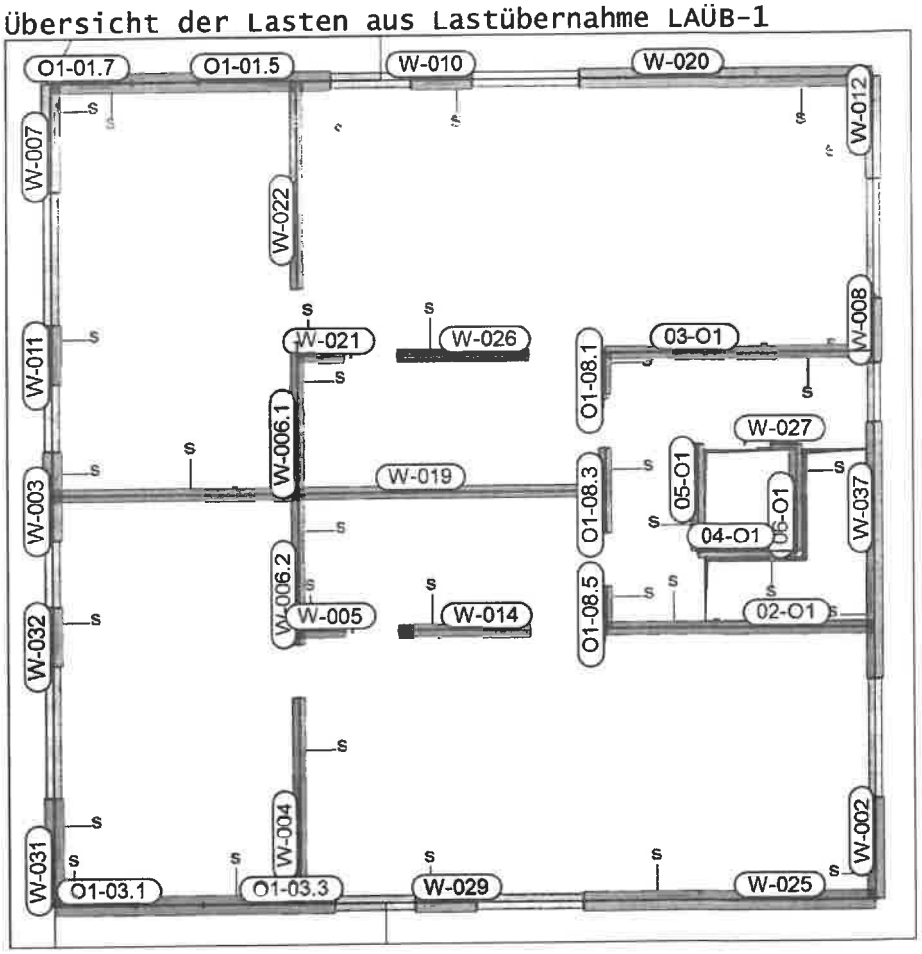
Die Lastübernahme erfolgt lastfalltreu.
Die Lastanteile aus ständigen Lasten der Stützen- und Wandlager werden berücksichtigt.



durch Vergleichsrechnung geprüft

## Positionsgrafik

Übersicht der Lasten aus Lastübernahme LAÜB-1




## Linienlasten

| Position | EW | Lastfall | Art | $p_A$ | $p_E$ [kN/m] |
|---|---|---|---|---|---|
| 02-O1 | Gk | #1\|#SE-LF-1 | pGr | 12.26 | 2.54 |
| | Gk | #1\|BS-Gk | pGr | 6.75 | 14.25 |
| | Gk | #1\|BS-Gk | pGr | 1.54 | 1.82 |
| | Gk | #1\|LF-1 | pGr | 14.40 | 14.40 |
| (g1) | Gk | #1\|LF-1 | pGr | 72.91 | -10.28 |
| | Gk | #1\|LF-1 | pGr | 20.70 | 22.80 |
| | Gk | #2\|BS-Gk | pGr | 1.52 | 1.88 |
| | Gk | #2\|LF-1 | pGr | 20.53 | 23.15 |
| | Qk.N | #1\|#SE-LF-2 | pGr | -0.12 | -0.20 |
| | Qk.N | #1\|BS-Qk.N | pGr | 1.71 | 5.44 |
| | Qk.N | #1\|BS-Qk.N | pGr | 0.33 | 0.39 |
| | Qk.N | #1\|(D-009)-1 | pGr | 0.52 | 0.67 |
| | Qk.N | #1\|(D-01)-1 | pGr | 17.84 | -0.65 |
| | Qk.N | #1\|(D-01)-2 | pGr | -0.36 | 0.10 |
| | Qk.N | #1\|(D-01)-3 | pGr | -0.04 | 0.01 |
| | Qk.N | #1\|(D-01)-4 | pGr | -0.14 | 0.06 |
| | Qk.N | #1\|(D-01)-5 | pGr | -0.01 | 0.01 |
| | Qk.N | #1\|(D-01)-6 | pGr | 0.01 | 0.00 |
| | Qk.N | #1\|(D-01)-7 | pGr | 1.61 | 0.18 |
| | Qk.N | #1\|(D-01)-8 | pGr | 8.39 | -3.67 |
| | Qk.N | #1\|(D-01)-9 | pGr | -0.19 | 0.09 |
| | Qk.N | #1\|(D-01-BU)-1 | pGr | -0.21 | 0.09 |
| | Qk.N | #2\|#SE-LF-2 | pGr | -0.11 | -0.24 |
| | Qk.N | #2\|BS-Qk.N | pGr | 0.32 | 0.41 |



durch Vergleichsrechnung geprüft

| Position | EW | Lastfall | Art | $p_A$ | $p_E$ [kN/m] |
|---|---|---|---|---|---|
| | Qk.N | #2\|(D-009)-1 | pGr | 0.01 | -0.01 |
| | Qk.N | #2\|(D-009)-2 | pGr | -0.20 | 0.80 |
| | Qk.N | #2\|(D-009)-3 | pGr | -0.01 | 0.00 |
| | Qk.N | #2\|(D-009)-4 | pGr | 0.70 | -0.06 |
| | Qk.S | #1\|BS-Qk.S | pGr | 4.69 | -2.46 |
| | Qk.S | #1\|BS-Qk.S | pGr | 0.93 | 1.09 |
| | Qk.S | #1\|(Qk.S)-A | pGr | 0.44 | 2.81 |
| | Qk.S | #1\|(Qk.S)-A | pGr | -0.02 | -0.01 |
| | Qk.S | #1\|(Qk.S)-B | pGr | 0.22 | 1.38 |
| | Qk.S | #1\|(Qk.S)-B | pGr | -0.02 | -0.01 |
| | Qk.S | #1\|(Qk.S)-C | pGr | 0.44 | 2.84 |
| | Qk.S | #1\|(Qk.S)-C | pGr | -0.02 | -0.01 |
| | Qk.S | #2\|BS-Qk.S | pGr | 0.93 | 1.09 |
| | Qk.S | #2\|(Qk.S)-A | pGr | -0.03 | 0.01 |
| | Qk.S | #2\|(Qk.S)-B | pGr | -0.03 | 0.01 |
| | Qk.S | #2\|(Qk.S)-C | pGr | -0.03 | 0.01 |
| | Qk.W | #1\|(Qk.W)-000 | pGr | -0.60 | 2.16 |
| | Qk.W | #1\|(Qk.W)-090 | pGr | 0.96 | -5.62 |
| | Qk.W | #1\|(Qk.W)-090 | pGr | 0.02 | 0.01 |
| | Qk.W | #1\|(Qk.W)-180 | pGr | 0.79 | -2.23 |
| | Qk.W | #1\|(Qk.W)-270 | pGr | -0.09 | -2.06 |
| | Qk.W | #1\|(Qk.W)-270 | pGr | 0.01 | 0.00 |
| | Qk.W | #2\|(Qk.W)-000 | pGr | 0.01 | -0.01 |
| | Qk.W | #2\|(Qk.W)-090 | pGr | -0.03 | 0.09 |
| | Qk.W | #2\|(Qk.W)-270 | pGr | -0.01 | 0.05 |
| 03-01 | Gk | #1\|#SE-LF-1 | pGr | 11.05 | 7.99 |
| | Gk | #1\|BS-Gk | pGr | 4.69 | 6.44 |
| | Gk | #1\|BS-Gk | pGr | 1.86 | 1.56 |
| (g1) | Gk | #1\|LF-1 | pGr | 14.40 | 14.40 |
| | Gk | #1\|LF-1 | pGr | 10.92 | 66.70 |
| | Gk | #1\|LF-1 | pGr | 23.52 | 21.22 |
| | Gk | #2\|BS-Gk | pGr | 1.97 | 1.52 |
| | Gk | #2\|LF-1 | pGr | 27.67 | 19.26 |
| | Qk.N | #1\|#SE-LF-2 | pGr | -0.18 | 0.02 |
| | Qk.N | #1\|BS-Qk.N | pGr | 2.17 | 1.67 |
| | Qk.N | #1\|BS-Qk.N | pGr | 0.40 | 0.34 |
| | Qk.N | #1\|(D-009)-1 | pGr | 0.92 | 0.57 |
| | Qk.N | #1\|(D-01)-1 | pGr | 0.01 | -0.04 |
| | Qk.N | #1\|(D-01)-2 | pGr | 0.09 | -0.36 |
| | Qk.N | #1\|(D-01)-3 | pGr | 3.74 | 15.88 |
| | Qk.N | #1\|(D-01)-4 | pGr | -3.33 | 8.15 |
| | Qk.N | #1\|(D-01)-5 | pGr | 0.01 | -0.01 |
| | Qk.N | #1\|(D-01)-6 | pGr | 0.09 | -0.19 |
| | Qk.N | #1\|(D-01)-7 | pGr | 3.31 | 1.53 |
| | Qk.N | #1\|(D-01)-8 | pGr | 0.05 | -0.14 |
| | Qk.N | #1\|(D-01)-9 | pGr | 0.00 | 0.01 |
| | Qk.N | #1\|(D-01-BO)-1 | pGr | 0.10 | -0.24 |
| | Qk.N | #2\|#SE-LF-2 | pGr | -0.23 | 0.05 |
| | Qk.N | #2\|BS-Qk.N | pGr | 0.43 | 0.32 |




durch Vergleichsrechnung geprüft

| Position | EW | Lastfall | Art | $p_A$ | $p_E$ [kN/m] |
|---|---|---|---|---|---|
| | Qk.N | #2\|(D-009)-1 | pGr | 1.11 | -0.31 |
| | Qk.N | #2\|(D-009)-3 | pGr | -0.04 | 0.82 |
| | Qk.S | #1\|BS-Qk.S | pGr | -2.06 | 3.81 |
| | Qk.S | #1\|BS-Qk.S | pGr | 1.09 | 0.93 |
| | Qk.S | #1\|(Qk.S)-A | pGr | 3.95 | -0.17 |
| | Qk.S | #1\|(Qk.S)-A | pGr | 0.00 | -0.01 |
| | Qk.S | #1\|(Qk.S)-B | pGr | 1.93 | -0.08 |
| | Qk.S | #1\|(Qk.S)-C | pGr | 3.99 | -0.18 |
| | Qk.S | #2\|BS-Qk.S | pGr | 1.08 | 0.94 |
| | Qk.S | #2\|(Qk.S)-A | pGr | 0.06 | -0.04 |
| | Qk.S | #2\|(Qk.S)-B | pGr | 0.04 | -0.03 |
| | Qk.S | #2\|(Qk.S)-C | pGr | 0.04 | -0.03 |
| | Qk.W | #1\|(Qk.W)-000 | pGr | 2.88 | -0.98 |
| | Qk.W | #1\|(Qk.W)-090 | pGr | -7.58 | 2.01 |
| | Qk.W | #1\|(Qk.W)-090 | pGr | 0.07 | -0.04 |
| | Qk.W | #1\|(Qk.W)-180 | pGr | -2.93 | 1.17 |
| | Qk.W | #1\|(Qk.W)-270 | pGr | -2.85 | 0.34 |
| | Qk.W | #1\|(Qk.W)-270 | pGr | 0.03 | -0.02 |
| | Qk.W | #2\|(Qk.W)-000 | pGr | -0.03 | 0.01 |
| | Qk.W | #2\|(Qk.W)-090 | pGr | 0.24 | -0.13 |
| | Qk.W | #2\|(Qk.W)-180 | pGr | -0.02 | 0.01 |
| | Qk.W | #2\|(Qk.W)-270 | pGr | 0.11 | -0.06 |
| 04-01 | Gk | #1\|#SE-LF-1 | pGr | 2.75 | -7.13 |
| | Gk | #1\|BS-Gk | pGr | -2.33 | 6.74 |
| | Gk | #1\|BS-Gk | pGr | -0.02 | 0.93 |
| (gl) | Gk | #1\|LF-1 | pGr | 18.75 | 18.75 |
| | Gk | #1\|LF-1 | pGr | 10.34 | -20.89 |
| | Gk | #1\|LF-1 | pGr | 28.00 | 27.70 |
| | Gk | #2\|BS-Gk | pGr | 0.02 | 0.88 |
| | Gk | #2\|LF-1 | pGr | 27.87 | 27.97 |
| | Qk.N | #1\|#SE-LF-2 | pGr | 2.83 | 2.64 |
| | Qk.N | #1\|BS-Qk.N | pGr | -0.87 | 2.50 |
| | Qk.N | #1\|BS-Qk.N | pGr | -0.01 | 0.21 |
| | Qk.N | #1\|(D-009)-1 | pGr | 1.58 | 1.45 |
| | Qk.N | #1\|(D-01)-1 | pGr | 3.09 | -7.94 |
| | Qk.N | #1\|(D-01)-2 | pGr | 0.02 | -0.02 |
| | Qk.N | #1\|(D-01)-3 | pGr | 0.06 | -0.01 |
| | Qk.N | #1\|(D-01)-7 | pGr | -0.18 | 2.27 |
| | Qk.N | #1\|(D-01)-8 | pGr | 0.86 | -2.09 |
| | Qk.N | #1\|(D-01)-9 | pGr | -0.01 | 0.03 |
| | Qk.N | #1\|(D-01-BU)-1 | pGr | -0.02 | 0.06 |
| | Qk.N | #2\|#SE-LF-2 | pGr | 2.95 | 2.52 |
| | Qk.N | #2\|BS-Qk.N | pGr | 0.00 | 0.20 |
| | Qk.N | #2\|(D-009)-1 | pGr | -0.16 | 0.00 |
| | Qk.N | #2\|(D-009)-2 | pGr | 1.84 | -0.32 |
| | Qk.N | #2\|(D-009)-3 | pGr | 0.08 | -0.30 |
| | Qk.N | #2\|(D-009)-4 | pGr | -0.20 | 2.12 |
| | Qk.S | #1\|BS-Qk.S | pGr | 0.35 | -0.89 |



durch Vergleichsrechnung geprüft

| Position | EW | Lastfall | Art | $p_A$ | $p_E$ [kN/m] |
|---|---|---|---|---|---|
| | Qk.S | #1\|BS-Qk.S | pGr | 0.00 | 0.06 |
| | Qk.S | #1\|(Qk.S)-A | pGr | 0.00 | -0.01 |
| | Qk.S | #1\|(Qk.S)-A | pGr | -0.01 | 0.40 |
| | Qk.S | #1\|(Qk.S)-B | pGr | -0.01 | 0.30 |
| | Qk.S | #1\|(Qk.S)-C | pGr | 0.00 | -0.01 |
| | Qk.S | #1\|(Qk.S)-C | pGr | -0.01 | 0.30 |
| | Qk.S | #2\|BS-Qk.S | pGr | 0.00 | 0.06 |
| | Qk.S | #2\|(Qk.S)-A | pGr | 0.01 | 0.37 |
| | Qk.S | #2\|(Qk.S)-B | pGr | 0.01 | 0.28 |
| | Qk.S | #2\|(Qk.S)-C | pGr | 0.01 | 0.28 |
| | Qk.W | #1\|(Qk.W)-000 | pGr | -0.01 | 0.01 |
| | Qk.W | #1\|(Qk.W)-000 | pGr | 0.01 | -0.01 |
| | Qk.W | #1\|(Qk.W)-090 | pGr | 0.02 | -0.02 |
| | Qk.W | #1\|(Qk.W)-090 | pGr | -0.09 | -0.38 |
| | Qk.W | #1\|(Qk.W)-180 | pGr | 0.01 | -0.02 |
| | Qk.W | #1\|(Qk.W)-180 | pGr | 0.01 | -0.01 |
| | Qk.W | #1\|(Qk.W)-270 | pGr | -0.04 | -0.23 |
| | Qk.W | #2\|(Qk.W)-090 | pGr | -0.10 | -0.35 |
| | Qk.W | #2\|(Qk.W)-180 | pGr | 0.01 | -0.01 |
| | Qk.W | #2\|(Qk.W)-270 | pGr | -0.05 | -0.22 |
| 05-01 | Gk | #1\|#SE-LF-1 | pGr | 0.80 | -6.18 |
| | Gk | #1\|BS-Gk | pGr | 1.61 | -2.31 |
| | Gk | #1\|BS-Gk | pGr | 2.08 | 5.87 |
| (g1) | Gk | #1\|LF-1 | pGr | 18.75 | 18.75 |
| | Gk | #1\|LF-1 | pGr | 5.16 | -0.40 |
| | Gk | #1\|LF-1 | pGr | 27.21 | 42.23 |
| | Gk | #2\|BS-Gk | pGr | 1.91 | 6.09 |
| | Gk | #2\|LF-1 | pGr | 26.89 | 43.64 |
| | Qk.N | #1\|#SE-LF-2 | pGr | 2.63 | 5.53 |
| | Qk.N | #1\|BS-Qk.N | pGr | 0.55 | -0.69 |
| | Qk.N | #1\|BS-Qk.N | pGr | 0.47 | 1.33 |
| | Qk.N | #1\|(D-009)-1 | pGr | 1.30 | 3.99 |
| | Qk.N | #1\|(D-01)-1 | pGr | -3.63 | 2.36 |
| | Qk.N | #1\|(D-01)-2 | pGr | -0.20 | -0.35 |
| | Qk.N | #1\|(D-01)-3 | pGr | 4.57 | -8.76 |
| | Qk.N | #1\|(D-01)-4 | pGr | 1.42 | -2.61 |
| | Qk.N | #1\|(D-01)-6 | pGr | -0.02 | 0.03 |
| | Qk.N | #1\|(D-01)-7 | pGr | 1.12 | 8.27 |
| | Qk.N | #1\|(D-01)-8 | pGr | -1.36 | 0.89 |
| | Qk.N | #1\|(D-01)-9 | pGr | 0.01 | -0.01 |
| | Qk.N | #1\|(D-01-BO)-1 | pGr | -0.05 | 0.08 |
| | Qk.N | #1\|(D-01-BU)-1 | pGr | 0.04 | -0.02 |
| | Qk.N | #2\|#SE-LF-2 | pGr | 2.30 | 6.02 |
| | Qk.N | #2\|BS-Qk.N | pGr | 0.43 | 1.38 |
| | Qk.N | #2\|(D-009)-1 | pGr | -0.11 | 0.24 |
| | Qk.N | #2\|(D-009)-2 | pGr | -0.08 | -0.02 |
| | Qk.N | #2\|(D-009)-3 | pGr | -0.83 | 4.02 |



durch Vergleichsrechnung geprüft

| Position | EW | Lastfall | Art | $p_A$ | $p_E$ [kN/m] |
|---|---|---|---|---|---|
| | Qk.N | #2\|(D-009)-4 | pGr | 2.32 | -0.13 |
| | Qk.S | #1\|BS-Qk.S | pGr | -0.10 | -0.40 |
| | Qk.S | #1\|BS-Qk.S | pGr | -0.02 | 0.02 |
| | Qk.S | #1\|(Qk.S)-A | pGr | -0.01 | -0.13 |
| | Qk.S | #1\|(Qk.S)-A | pGr | 1.01 | 2.78 |
| | Qk.S | #1\|(Qk.S)-B | pGr | -0.01 | -0.07 |
| | Qk.S | #1\|(Qk.S)-B | pGr | 0.76 | 2.09 |
| | Qk.S | #1\|(Qk.S)-C | pGr | 0.00 | -0.12 |
| | Qk.S | #1\|(Qk.S)-C | pGr | 0.76 | 2.09 |
| | Qk.S | #2\|BS-Qk.S | pGr | -0.02 | 0.02 |
| | Qk.S | #2\|(Qk.S)-A | pGr | 0.93 | 2.89 |
| | Qk.S | #2\|(Qk.S)-B | pGr | 0.69 | 2.17 |
| | Qk.S | #2\|(Qk.S)-C | pGr | 0.69 | 2.17 |
| | Qk.W | #1\|(Qk.W)-000 | pGr | 0.01 | -0.03 |
| | Qk.W | #1\|(Qk.W)-000 | pGr | -0.04 | -0.09 |
| | Qk.W | #1\|(Qk.W)-090 | pGr | -0.01 | 0.14 |
| | Qk.W | #1\|(Qk.W)-090 | pGr | -0.86 | -2.54 |
| | Qk.W | #1\|(Qk.W)-180 | pGr | -0.01 | 0.03 |
| | Qk.W | #1\|(Qk.W)-180 | pGr | -0.04 | -0.09 |
| | Qk.W | #1\|(Qk.W)-270 | pGr | 0.00 | 0.08 |
| | Qk.W | #1\|(Qk.W)-270 | pGr | -0.55 | -1.59 |
| | Qk.W | #2\|(Qk.W)-000 | pGr | -0.03 | -0.09 |
| | Qk.W | #2\|(Qk.W)-090 | pGr | -0.79 | -2.63 |
| | Qk.W | #2\|(Qk.W)-180 | pGr | -0.03 | -0.09 |
| | Qk.W | #2\|(Qk.W)-270 | pGr | -0.50 | -1.65 |
| 06-01 | Gk | #1\|#SE-LF-1 | pGr | 1.40 | 0.10 |
| | Gk | #1\|BS-Gk | pGr | -0.03 | -0.12 |
| | Gk | #1\|BS-Gk | pGr | 0.45 | 0.30 |
| (g1) | Gk | #1\|LF-1 | pGr | 18.75 | 18.75 |
| | Gk | #1\|LF-1 | pGr | 5.84 | 1.60 |
| | Gk | #1\|LF-1 | pGr | 26.71 | 30.15 |
| | Gk | #2\|BS-Gk | pGr | 0.56 | 0.24 |
| | Gk | #2\|LF-1 | pGr | 36.40 | 26.26 |
| | Qk.N | #1\|#SE-LF-2 | pGr | 2.85 | 3.64 |
| | Qk.N | #1\|BS-Qk.N | pGr | 0.00 | -0.06 |
| | Qk.N | #1\|BS-Qk.N | pGr | 0.12 | 0.07 |
| | Qk.N | #1\|(D-009)-1 | pGr | 1.88 | 1.66 |
| | Qk.N | #1\|(D-01)-1 | pGr | -0.10 | 0.27 |
| | Qk.N | #1\|(D-01)-3 | pGr | -0.80 | 0.79 |
| | Qk.N | #1\|(D-01)-4 | pGr | 0.08 | 0.02 |
| | Qk.N | #1\|(D-01)-7 | pGr | 3.00 | -0.55 |
| | Qk.N | #1\|(D-01)-8 | pGr | -0.02 | 0.07 |
| | Qk.N | #2\|#SE-LF-2 | pGr | 3.95 | 3.06 |
| | Qk.N | #2\|BS-Qk.N | pGr | 0.14 | 0.06 |
| | Qk.N | #2\|(D-009)-1 | pGr | 2.55 | -0.61 |
| | Qk.N | #2\|(D-009)-2 | pGr | -0.14 | 2.18 |
| | Qk.N | #2\|(D-009)-3 | pGr | 0.26 | -0.16 |



durch Vergleichsrechnung geprüft

| Position | EW | Lastfall | Art | $p_A$ | $p_E$ [kN/m] |
|---|---|---|---|---|---|
| | Qk.N | #2\|(D-009)-4 | pGr | 0.02 | -0.06 |
| | Qk.S | #1\|BS-Qk.S | pGr | -0.03 | 0.07 |
| | Qk.S | #1\|BS-Qk.S | pGr | -0.02 | -0.01 |
| | Qk.S | #1\|(Qk.S)-A | pGr | -0.03 | -0.01 |
| | Qk.S | #1\|(Qk.S)-A | pGr | 0.22 | 0.15 |
| | Qk.S | #1\|(Qk.S)-B | pGr | -0.01 | -0.01 |
| | Qk.S | #1\|(Qk.S)-B | pGr | 0.17 | 0.11 |
| | Qk.S | #1\|(Qk.S)-C | pGr | -0.03 | -0.01 |
| | Qk.S | #1\|(Qk.S)-C | pGr | 0.17 | 0.11 |
| | Qk.S | #2\|BS-Qk.S | pGr | -0.01 | -0.02 |
| | Qk.S | #2\|(Qk.S)-A | pGr | 0.27 | 0.13 |
| | Qk.S | #2\|(Qk.S)-B | pGr | 0.20 | 0.09 |
| | Qk.S | #2\|(Qk.S)-C | pGr | 0.20 | 0.09 |
| | Qk.W | #1\|(Qk.W)-000 | pGr | -0.02 | -0.01 |
| | Qk.W | #1\|(Qk.W)-000 | pGr | -0.04 | -0.01 |
| | Qk.W | #1\|(Qk.W)-090 | pGr | 0.05 | 0.02 |
| | Qk.W | #1\|(Qk.W)-090 | pGr | 0.30 | -0.06 |
| | Qk.W | #1\|(Qk.W)-180 | pGr | 0.02 | 0.01 |
| | Qk.W | #1\|(Qk.W)-180 | pGr | -0.04 | -0.01 |
| | Qk.W | #1\|(Qk.W)-270 | pGr | 0.02 | 0.01 |
| | Qk.W | #1\|(Qk.W)-270 | pGr | 0.13 | -0.05 |
| | Qk.W | #2\|(Qk.W)-000 | pGr | -0.03 | -0.01 |
| | Qk.W | #2\|(Qk.W)-090 | pGr | 0.12 | 0.02 |
| | Qk.W | #2\|(Qk.W)-180 | pGr | -0.04 | -0.01 |
| | Qk.W | #2\|(Qk.W)-270 | pGr | 0.03 | -0.01 |
| O1-01.5 | Gk | #1\|#SE-LF-1 | pGr | 9.55 | 7.52 |
| | Gk | #1\|BS-Gk | pGr | -0.38 | 0.45 |
| (g1) | Gk | #1\|LF-1 | pGr | 6.02 | 6.02 |
| | Gk | #1\|LF-1 | pGr | 23.89 | 50.80 |
| | Qk.N | #1\|#SE-LF-2 | pGr | -0.47 | 2.48 |
| | Qk.N | #1\|BS-Qk.N | pGr | -0.10 | 0.11 |
| | Qk.N | #1\|(D-O1)-2 | pGr | 0.00 | 0.07 |
| | Qk.N | #1\|(D-O1)-3 | pGr | -0.15 | -0.14 |
| | Qk.N | #1\|(D-O1)-4 | pGr | 2.34 | -4.41 |
| | Qk.N | #1\|(D-O1)-5 | pGr | -0.14 | 0.15 |
| | Qk.N | #1\|(D-O1)-6 | pGr | -4.62 | 9.52 |
| | Qk.N | #1\|(D-O1)-8 | pGr | 0.00 | 0.02 |
| | Qk.N | #1\|(D-O1)-9 | pGr | 0.01 | -0.01 |
| | Qk.N | #1\|(D-O1-BO)-1 | pGr | 16.88 | 20.14 |
| | Qk.S | #1\|BS-Qk.S | pGr | -0.02 | 0.00 |
| | Qk.S | #1\|(Qk.S)-A | pGr | -0.18 | 0.25 |
| | Qk.S | #1\|(Qk.S)-B | pGr | -0.09 | 0.12 |
| | Qk.S | #1\|(Qk.S)-C | pGr | -0.18 | 0.25 |
| | Qk.W | #1\|(Qk.W)-000 | pGr | -0.01 | 0.01 |
| | Qk.W | #1\|(Qk.W)- | pGr | 0.20 | -0.27 |



durch Vergleichsrechnung geprüft

| Position | EW | Lastfall | Art | $p_A$ | $p_E$ [kN/m] |
|---|---|---|---|---|---|
| | | 090 | | | |
| | Qk.W | #1\|(Qk.W)-180 | pGr | 0.00 | 0.01 |
| | Qk.W | #1\|(Qk.W)-270 | pGr | 0.10 | -0.13 |
| O1-01.7 | Gk | #1\|#SE-LF-1 | pGr | 14.30 | 5.38 |
| | Gk | #1\|BS-Gk | pGr | 0.84 | -0.46 |
| (g1) | Gk | #1\|LF-1 | pGr | 6.02 | 6.02 |
| | Gk | #1\|LF-1 | pGr | 64.23 | 10.32 |
| | Qk.N | #1\|#SE-LF-2 | pGr | 3.08 | -0.09 |
| | Qk.N | #1\|BS-Qk.N | pGr | 0.20 | -0.13 |
| | Qk.N | #1\|(D-O1)-2 | pGr | 0.03 | -0.01 |
| | Qk.N | #1\|(D-O1)-3 | pGr | -0.06 | 0.04 |
| | Qk.N | #1\|(D-O1)-4 | pGr | -1.58 | 0.77 |
| | Qk.N | #1\|(D-O1)-5 | pGr | 0.15 | -0.22 |
| | Qk.N | #1\|(D-O1)-6 | pGr | 10.24 | -3.31 |
| | Qk.N | #1\|(D-O1)-9 | pGr | -0.01 | 0.02 |
| | Qk.N | #1\|(D-O1-BO)-1 | pGr | 22.19 | 9.68 |
| | Qk.S | #1\|(Qk.S)-A | pGr | 0.46 | -0.24 |
| | Qk.S | #1\|(Qk.S)-B | pGr | 0.23 | -0.12 |
| | Qk.S | #1\|(Qk.S)-C | pGr | 0.46 | -0.24 |
| | Qk.W | #1\|(Qk.W)-000 | pGr | 0.02 | -0.03 |
| | Qk.W | #1\|(Qk.W)-090 | pGr | -0.51 | 0.29 |
| | Qk.W | #1\|(Qk.W)-180 | pGr | 0.03 | 0.01 |
| | Qk.W | #1\|(Qk.W)-270 | pGr | -0.24 | 0.13 |
| O1-03.1 | Gk | #1\|#SE-LF-1 | pGr | 9.61 | 14.28 |
| | Gk | #1\|BS-Gk | pGr | -0.89 | 1.69 |
| (g1) | Gk | #1\|LF-1 | pGr | 6.02 | 6.02 |
| | Gk | #1\|LF-1 | pGr | 19.79 | 65.76 |
| | Qk.N | #1\|#SE-LF-2 | pGr | -0.09 | 3.05 |
| | Qk.N | #1\|BS-Qk.N | pGr | -0.23 | 0.40 |
| | Qk.N | #1\|(D-O1)-1 | pGr | 0.04 | -0.07 |
| | Qk.N | #1\|(D-O1)-2 | pGr | -0.01 | 0.03 |
| | Qk.N | #1\|(D-O1)-5 | pGr | -0.22 | 0.15 |
| | Qk.N | #1\|(D-O1)-6 | pGr | 0.02 | -0.01 |
| | Qk.N | #1\|(D-O1)-8 | pGr | 0.78 | -1.58 |
| | Qk.N | #1\|(D-O1)-9 | pGr | -3.35 | 10.15 |
| | Qk.N | #1\|(D-O1-BU)-1 | pGr | 14.93 | 23.19 |
| | Qk.S | #1\|BS-Qk.S | pGr | -0.28 | 0.55 |
| | Qk.S | #1\|(Qk.S)-A | pGr | -0.24 | 0.46 |
| | Qk.S | #1\|(Qk.S)-B | pGr | -0.12 | 0.23 |
| | Qk.S | #1\|(Qk.S)-C | pGr | -0.24 | 0.45 |
| | Qk.W | #1\|(Qk.W)-000 | pGr | -0.03 | 0.02 |
| | Qk.W | #1\|(Qk.W)-090 | pGr | 0.29 | -0.50 |
| | Qk.W | #1\|(Qk.W)-180 | pGr | 0.01 | 0.03 |
| | Qk.W | #1\|(Qk.W)-270 | pGr | 0.13 | -0.24 |
| O1-03.3 | Gk | #1\|#SE-LF-1 | pGr | 7.04 | 8.96 |
| | Gk | #1\|BS-Gk | pGr | 0.87 | -0.80 |
| (g1) | Gk | #1\|LF-1 | pGr | 6.02 | 6.02 |



durch Vergleichsrechnung geprüft

| Position | EW | Lastfall | Art | $p_A$ | $p_E$ [kN/m] |
|---|---|---|---|---|---|
| | Gk | #1\|LF-1 | pGr | 49.18 | 20.55 |
| | Qk.N | #1\|#SE-LF-2 | pGr | 2.49 | -0.47 |
| | Qk.N | #1\|BS-Qk.N | pGr | 0.21 | -0.19 |
| | Qk.N | #1\|(D-O1)-1 | pGr | -0.14 | -0.16 |
| | Qk.N | #1\|(D-O1)-2 | pGr | 0.07 | 0.00 |
| | Qk.N | #1\|(D-O1)-4 | pGr | 0.02 | 0.00 |
| | Qk.N | #1\|(D-O1)-5 | pGr | 0.15 | -0.14 |
| | Qk.N | #1\|(D-O1)-6 | pGr | -0.01 | 0.01 |
| | Qk.N | #1\|(D-O1)-8 | pGr | -4.41 | 2.33 |
| | Qk.N | #1\|(D-O1)-9 | pGr | 9.54 | -4.60 |
| | Qk.N | #1\|(D-O1-BU)-1 | pGr | 19.21 | 15.06 |
| | Qk.S | #1\|BS-Qk.S | pGr | 0.26 | -0.29 |
| | Qk.S | #1\|(Qk.S)-A | pGr | 0.25 | -0.18 |
| | Qk.S | #1\|(Qk.S)-B | pGr | 0.13 | -0.09 |
| | Qk.S | #1\|(Qk.S)-C | pGr | 0.25 | -0.18 |
| | Qk.W | #1\|(Qk.W)-000 | pGr | 0.01 | -0.01 |
| | Qk.W | #1\|(Qk.W)-090 | pGr | -0.28 | 0.20 |
| | Qk.W | #1\|(Qk.W)-180 | pGr | 0.01 | 0.00 |
| | Qk.W | #1\|(Qk.W)-270 | pGr | -0.13 | 0.10 |
| O1-08.1 | Gk | #1\|#SE-LF-1 | pGr | 14.56 | -27.21 |
| | Gk | #1\|BS-Gk | pGr | 36.40 | 16.25 |
| | Gk | #1\|BS-Gk | pGr | 0.80 | 0.26 |
| (g1) | Gk | #1\|LF-1 | pGr | 14.40 | 14.40 |
| | Gk | #1\|LF-1 | pGr | 71.69 | -66.46 |
| | Gk | #1\|LF-1 | pGr | 20.45 | 24.69 |
| | Gk | #2\|BS-Gk | pGr | 0.80 | 0.27 |
| | Gk | #2\|LF-1 | pGr | 20.60 | 24.73 |
| | Qk.N | #1\|#SE-LF-2 | pGr | -0.06 | -0.08 |
| | Qk.N | #1\|BS-Qk.N | pGr | 12.38 | 6.14 |
| | Qk.N | #1\|BS-Qk.N | pGr | 0.17 | 0.06 |
| | Qk.N | #1\|(D-009)-1 | pGr | 0.57 | 1.19 |
| | Qk.N | #1\|(D-O1)-1 | pGr | -0.03 | 0.46 |
| | Qk.N | #1\|(D-O1)-2 | pGr | 1.99 | 6.70 |
| | Qk.N | #1\|(D-O1)-3 | pGr | 11.04 | -21.68 |
| | Qk.N | #1\|(D-O1)-4 | pGr | 14.27 | -18.82 |
| | Qk.N | #1\|(D-O1)-5 | pGr | -0.01 | 0.07 |
| | Qk.N | #1\|(D-O1)-6 | pGr | -0.26 | 0.83 |
| | Qk.N | #1\|(D-O1)-7 | pGr | -0.16 | 6.49 |
| | Qk.N | #1\|(D-O1)-8 | pGr | -0.08 | 1.02 |
| | Qk.N | #1\|(D-O1)-9 | pGr | 0.00 | -0.09 |
| | Qk.N | #1\|(D-O1-BO)-1 | pGr | -0.37 | 0.66 |
| | Qk.N | #1\|(D-O1-BU)-1 | pGr | 0.00 | -0.02 |
| | Qk.N | #2\|#SE-LF-2 | pGr | -0.10 | -0.07 |
| | Qk.N | #2\|BS-Qk.N | pGr | 0.17 | 0.06 |
| | Qk.N | #2\|(D-009)-1 | pGr | -0.05 | 0.00 |
| | Qk.N | #2\|(D-009)-3 | pGr | 0.65 | 1.30 |
| | Qk.N | #2\|(D-009)-4 | pGr | -0.01 | -0.10 |
| | Qk.S | #1\|BS-Qk.S | pGr | 9.95 | 3.54 |
| | Qk.S | #1\|BS-Qk.S | pGr | 0.51 | 0.13 |
| | Qk.S | #1\|(Qk.S)-A | pGr | 9.16 | 5.20 |
| | Qk.S | #1\|(Qk.S)-A | pGr | -0.03 | 0.02 |
| | Qk.S | #1\|(Qk.S)-B | pGr | 4.55 | 2.60 |



durch Vergleichsrechnung geprüft

| Position | EW | Lastfall | Art | $p_A$ | $p_E$ [kN/m] |
|---|---|---|---|---|---|
| | Qk.S | #1\|(Qk.S)-B | pGr | -0.02 | 0.02 |
| | Qk.S | #1\|(Qk.S)-C | pGr | 9.21 | 5.20 |
| | Qk.S | #1\|(Qk.S)-C | pGr | -0.02 | 0.02 |
| | Qk.S | #2\|BS-Qk.S | pGr | 0.51 | 0.13 |
| | Qk.S | #2\|(Qk.S)-A | pGr | -0.03 | 0.02 |
| | Qk.S | #2\|(Qk.S)-B | pGr | -0.02 | 0.02 |
| | Qk.S | #2\|(Qk.S)-C | pGr | -0.02 | 0.02 |
| | Qk.W | #1\|(Qk.W)-000 | pGr | 2.24 | 1.26 |
| | Qk.W | #1\|(Qk.W)-090 | pGr | -8.93 | -5.10 |
| | Qk.W | #1\|(Qk.W)-090 | pGr | 0.03 | -0.01 |
| | Qk.W | #1\|(Qk.W)-180 | pGr | -1.44 | -0.83 |
| | Qk.W | #1\|(Qk.W)-270 | pGr | -5.50 | -3.12 |
| | Qk.W | #1\|(Qk.W)-270 | pGr | 0.02 | -0.01 |
| | Qk.W | #2\|(Qk.W)-090 | pGr | 0.03 | -0.01 |
| | Qk.W | #2\|(Qk.W)-270 | pGr | 0.02 | -0.01 |
| 01-08.3 | Gk | #1\|#SE-LF-1 | pGr | -1.95 | -2.31 |
| | Gk | #1\|BS-Gk | pGr | 0.32 | -0.28 |
| | Gk | #1\|BS-Gk | pGr | 0.04 | -0.07 |
| (g1) | Gk | #1\|LF-1 | pGr | 14.40 | 14.40 |
| | Gk | #1\|LF-1 | pGr | 5.97 | 4.15 |
| | Gk | #1\|LF-1 | pGr | 21.62 | 20.21 |
| | Gk | #2\|BS-Gk | pGr | 0.03 | -0.08 |
| | Gk | #2\|LF-1 | pGr | 21.42 | 20.17 |
| | Qk.N | #1\|#SE-LF-2 | pGr | -0.21 | -0.35 |
| | Qk.N | #1\|BS-Qk.N | pGr | 0.36 | 0.29 |
| | Qk.N | #1\|BS-Qk.N | pGr | 0.01 | -0.02 |
| | Qk.N | #1\|(D-009)-1 | pGr | 1.16 | 0.94 |
| | Qk.N | #1\|(D-01)-1 | pGr | 3.09 | -6.31 |
| | Qk.N | #1\|(D-01)-2 | pGr | 2.26 | 2.26 |
| | Qk.N | #1\|(D-01)-3 | pGr | -6.02 | 3.06 |
| | Qk.N | #1\|(D-01)-4 | pGr | -6.03 | 3.71 |
| | Qk.N | #1\|(D-01)-6 | pGr | 0.31 | -0.24 |
| | Qk.N | #1\|(D-01)-7 | pGr | 5.10 | 4.70 |
| | Qk.N | #1\|(D-01)-8 | pGr | 3.67 | -5.99 |
| | Qk.N | #1\|(D-01)-9 | pGr | -0.24 | 0.31 |
| | Qk.N | #1\|(D-01-BO)-1 | pGr | 0.20 | -0.12 |
| | Qk.N | #1\|(D-01-BU)-1 | pGr | -0.10 | 0.16 |
| | Qk.N | #2\|#SE-LF-2 | pGr | -0.24 | -0.36 |
| | Qk.N | #2\|BS-Qk.N | pGr | 0.01 | -0.02 |
| | Qk.N | #2\|(D-009)-1 | pGr | -0.01 | -0.01 |
| | Qk.N | #2\|(D-009)-3 | pGr | 1.46 | -0.39 |
| | Qk.N | #2\|(D-009)-4 | pGr | -0.32 | 1.33 |
| | Qk.S | #1\|BS-Qk.S | pGr | 0.17 | -0.76 |
| | Qk.S | #1\|BS-Qk.S | pGr | -0.01 | -0.02 |
| | Qk.S | #1\|(Qk.S)-A | pGr | 0.14 | 0.14 |
| | Qk.S | #1\|(Qk.S)-A | pGr | 0.03 | -0.02 |
| | Qk.S | #1\|(Qk.S)-B | pGr | 0.09 | 0.09 |
| | Qk.S | #1\|(Qk.S)-B | pGr | 0.02 | -0.02 |
| | Qk.S | #1\|(Qk.S)-C | pGr | 0.12 | 0.12 |



durch Vergleichsrechnung geprüft

| Position | EW | Lastfall | Art | $p_A$ | $p_E$ [kN/m] |
|---|---|---|---|---|---|
| | Qk.S | #1\|(Qk.S)-C | pGr | 0.02 | -0.02 |
| | Qk.S | #2\|BS-Qk.S | pGr | -0.01 | -0.02 |
| | Qk.S | #2\|(Qk.S)-A | pGr | 0.02 | -0.03 |
| | Qk.S | #2\|(Qk.S)-B | pGr | 0.02 | -0.02 |
| | Qk.S | #2\|(Qk.S)-C | pGr | 0.02 | -0.02 |
| | Qk.W | #1\|(Qk.W)-000 | pGr | 0.02 | 0.02 |
| | Qk.W | #1\|(Qk.W)-090 | pGr | -0.14 | -0.14 |
| | Qk.W | #1\|(Qk.W)-090 | pGr | -0.01 | 0.03 |
| | Qk.W | #1\|(Qk.W)-180 | pGr | -0.02 | -0.02 |
| | Qk.W | #1\|(Qk.W)-270 | pGr | -0.08 | -0.08 |
| | Qk.W | #1\|(Qk.W)-270 | pGr | -0.01 | 0.02 |
| | Qk.W | #2\|(Qk.W)-090 | pGr | -0.01 | 0.03 |
| | Qk.W | #2\|(Qk.W)-270 | pGr | -0.01 | 0.02 |
| 01-08.5 | Gk | #1\|#SE-LF-1 | pGr | -28.95 | 14.83 |
| | Gk | #1\|BS-Gk | pGr | 14.22 | 37.26 |
| | Gk | #1\|BS-Gk | pGr | 0.17 | 0.83 |
| (g1) | Gk | #1\|LF-1 | pGr | 14.40 | 14.40 |
| | Gk | #1\|LF-1 | pGr | -73.63 | 73.38 |
| | Gk | #1\|LF-1 | pGr | 23.72 | 20.41 |
| | Gk | #2\|BS-Gk | pGr | 0.17 | 0.83 |
| | Gk | #2\|LF-1 | pGr | 23.73 | 20.40 |
| | Qk.N | #1\|#SE-LF-2 | pGr | -0.20 | -0.10 |
| | Qk.N | #1\|BS-Qk.N | pGr | 5.76 | 12.52 |
| | Qk.N | #1\|BS-Qk.N | pGr | 0.04 | 0.18 |
| | Qk.N | #1\|(D-009)-1 | pGr | 1.03 | 0.57 |
| | Qk.N | #1\|(D-01)-1 | pGr | -23.56 | 11.35 |
| | Qk.N | #1\|(D-01)-2 | pGr | 6.72 | 1.98 |
| | Qk.N | #1\|(D-01)-3 | pGr | 0.47 | -0.04 |
| | Qk.N | #1\|(D-01)-4 | pGr | 1.03 | -0.08 |
| | Qk.N | #1\|(D-01)-5 | pGr | 0.07 | -0.01 |
| | Qk.N | #1\|(D-01)-6 | pGr | -0.09 | 0.00 |
| | Qk.N | #1\|(D-01)-7 | pGr | 5.87 | 0.13 |
| | Qk.N | #1\|(D-01)-8 | pGr | -18.93 | 14.28 |
| | Qk.N | #1\|(D-01)-9 | pGr | 0.83 | -0.26 |
| | Qk.N | #1\|(D-01-BO)-1 | pGr | -0.03 | 0.00 |
| | Qk.N | #1\|(D-01-BU)-1 | pGr | 0.55 | -0.32 |
| | Qk.N | #2\|#SE-LF-2 | pGr | -0.18 | -0.11 |
| | Qk.N | #2\|BS-Qk.N | pGr | 0.04 | 0.18 |
| | Qk.N | #2\|(D-009)-2 | pGr | -0.01 | -0.05 |
| | Qk.N | #2\|(D-009)-3 | pGr | -0.14 | 0.00 |
| | Qk.N | #2\|(D-009)-4 | pGr | 1.19 | 0.61 |
| | Qk.S | #1\|BS-Qk.S | pGr | 1.34 | 11.05 |
| | Qk.S | #1\|BS-Qk.S | pGr | 0.12 | 0.51 |
| | Qk.S | #1\|(Qk.S)-A | pGr | 5.22 | 9.16 |
| | Qk.S | #1\|(Qk.S)-A | pGr | -0.02 | -0.02 |
| | Qk.S | #1\|(Qk.S)-B | pGr | 2.61 | 4.54 |
| | Qk.S | #1\|(Qk.S)-B | pGr | -0.01 | -0.01 |
| | Qk.S | #1\|(Qk.S)-C | pGr | 5.22 | 9.20 |
| | Qk.S | #1\|(Qk.S)-C | pGr | -0.01 | -0.01 |




durch Vergleichsrechnung geprüft

| Position | EW | Lastfall | Art | $p_A$ | $p_E$ [kN/m] |
|---|---|---|---|---|---|
| | Qk.S | #2\|BS-Qk.S | pGr | 0.12 | 0.51 |
| | Qk.S | #2\|(Qk.S)-A | pGr | -0.02 | -0.02 |
| | Qk.S | #2\|(Qk.S)-B | pGr | -0.02 | -0.01 |
| | Qk.S | #2\|(Qk.S)-C | pGr | -0.02 | -0.01 |
| | Qk.W | #1\|(Qk.W)-000 | pGr | 1.27 | 2.24 |
| | Qk.W | #1\|(Qk.W)-090 | pGr | -5.13 | -8.93 |
| | Qk.W | #1\|(Qk.W)-090 | pGr | 0.02 | 0.02 |
| | Qk.W | #1\|(Qk.W)-180 | pGr | -0.84 | -1.44 |
| | Qk.W | #1\|(Qk.W)-270 | pGr | -3.13 | -5.50 |
| | Qk.W | #1\|(Qk.W)-270 | pGr | 0.01 | 0.01 |
| | Qk.W | #2\|(Qk.W)-090 | pGr | 0.02 | 0.02 |
| | Qk.W | #2\|(Qk.W)-270 | pGr | 0.01 | 0.01 |
| W-002 | Gk | #1\|#SE-LF-1 | pGr | -8.97 | 26.25 |
| | Gk | #1\|BS-Gk | pGr | -0.60 | 1.24 |
| (g1) | Gk | #1\|LF-1 | pGr | 6.02 | 6.02 |
| | Gk | #1\|LF-1 | pGr | -13.84 | 46.92 |
| | Gk | #1\|LF-1 | pGr | 0.05 | -0.20 |
| | Gk | #2\|LF-1 | pGr | 0.06 | -0.22 |
| | Qk.N | #1\|BS-Qk.N | pGr | -0.10 | 0.19 |
| | Qk.N | #1\|(D-009)-1 | pGr | 0.00 | -0.01 |
| | Qk.N | #1\|(D-01)-1 | pGr | -4.83 | 17.12 |
| | Qk.N | #1\|(D-01)-7 | pGr | 0.04 | -0.08 |
| | Qk.N | #1\|(D-01)-8 | pGr | -0.35 | 0.32 |
| | Qk.N | #2\|(D-009)-2 | pGr | 0.00 | -0.01 |
| | Qk.S | #1\|BS-Qk.S | pGr | -0.47 | 1.04 |
| | Qk.S | #1\|(Qk.S)-A | pGr | 0.07 | -0.18 |
| | Qk.S | #1\|(Qk.S)-B | pGr | 0.03 | -0.09 |
| | Qk.S | #1\|(Qk.S)-C | pGr | 0.07 | -0.18 |
| | Qk.W | #1\|(Qk.W)-000 | pGr | 0.04 | -0.11 |
| | Qk.W | #1\|(Qk.W)-090 | pGr | -0.12 | 0.31 |
| | Qk.W | #1\|(Qk.W)-180 | pGr | -0.04 | 0.11 |
| | Qk.W | #1\|(Qk.W)-270 | pGr | -0.05 | 0.13 |
| W-003 | Gk | #1\|#SE-LF-1 | pGr | 7.19 | 7.22 |
| | Gk | #1\|BS-Gk | pGr | 1.39 | 1.35 |
| (g1) | Gk | #1\|LF-1 | pGr | 6.02 | 6.02 |
| | Gk | #1\|LF-1 | pGr | 0.60 | 0.63 |
| | Qk.N | #1\|#SE-LF-2 | pGr | -0.05 | -0.05 |
| | Qk.N | #1\|BS-Qk.N | pGr | 0.61 | 0.60 |
| | Qk.N | #1\|(D-01)-4 | pGr | 0.04 | 0.08 |
| | Qk.N | #1\|(D-01)-5 | pGr | 0.88 | 0.88 |
| | Qk.N | #1\|(D-01)-6 | pGr | -0.08 | -0.83 |
| | Qk.N | #1\|(D-01)-8 | pGr | 0.08 | 0.04 |
| | Qk.N | #1\|(D-01)-9 | pGr | -0.83 | -0.08 |
| | Qk.N | #1\|(D-01-BO)-1 | pGr | 0.20 | -0.01 |
| | Qk.N | #1\|(D-01-BU)-1 | pGr | -0.01 | 0.21 |



durch Vergleichsrechnung geprüft

| Position | EW | Lastfall | Art | $p_A$ | $p_E$ [kN/m] |
|---|---|---|---|---|---|
| | Qk.S | #1\|BS-Qk.S | pGr | -0.10 | -0.13 |
| | Qk.S | #1\|(Qk.S)-A | pGr | 0.73 | 0.73 |
| | Qk.S | #1\|(Qk.S)-B | pGr | 0.46 | 0.46 |
| | Qk.S | #1\|(Qk.S)-C | pGr | 0.63 | 0.63 |
| | Qk.W | #1\|(Qk.W)-000 | pGr | 0.24 | 0.24 |
| | Qk.W | #1\|(Qk.W)-090 | pGr | -0.93 | -0.93 |
| | Qk.W | #1\|(Qk.W)-180 | pGr | -0.32 | -0.32 |
| | Qk.W | #1\|(Qk.W)-270 | pGr | -0.34 | -0.34 |
| W-004 | Gk | #1\|#SE-LF-1 | pGr | 16.28 | 11.63 |
| | Gk | #1\|BS-Gk | pGr | 4.14 | 1.83 |
| (g1) | Gk | #1\|LF-1 | pGr | 12.96 | 12.96 |
| | Gk | #1\|LF-1 | pGr | 43.71 | 25.18 |
| | Qk.N | #1\|#SE-LF-2 | pGr | 0.28 | 3.47 |
| | Qk.N | #1\|BS-Qk.N | pGr | 1.09 | 0.30 |
| | Qk.N | #1\|(D-01)-1 | pGr | 0.23 | -0.09 |
| | Qk.N | #1\|(D-01)-2 | pGr | -0.59 | 0.17 |
| | Qk.N | #1\|(D-01)-3 | pGr | -0.02 | 0.01 |
| | Qk.N | #1\|(D-01)-4 | pGr | -0.09 | 0.02 |
| | Qk.N | #1\|(D-01)-5 | pGr | 1.43 | -0.65 |
| | Qk.N | #1\|(D-01)-6 | pGr | -0.15 | 0.08 |
| | Qk.N | #1\|(D-01)-8 | pGr | 8.61 | 5.05 |
| | Qk.N | #1\|(D-01)-9 | pGr | 14.98 | 0.08 |
| | Qk.N | #1\|(D-01-BO)-1 | pGr | 0.02 | -0.01 |
| | Qk.N | #1\|(D-01-BU)-1 | pGr | -12.20 | 6.90 |
| | Qk.S | #1\|BS-Qk.S | pGr | 1.92 | 1.27 |
| | Qk.S | #1\|(Qk.S)-A | pGr | 0.46 | -0.14 |
| | Qk.S | #1\|(Qk.S)-B | pGr | 0.23 | -0.07 |
| | Qk.S | #1\|(Qk.S)-C | pGr | 0.46 | -0.14 |
| | Qk.W | #1\|(Qk.W)-000 | pGr | 0.09 | -0.04 |
| | Qk.W | #1\|(Qk.W)-090 | pGr | -0.51 | 0.15 |
| | Qk.W | #1\|(Qk.W)-180 | pGr | -0.04 | 0.03 |
| | Qk.W | #1\|(Qk.W)-270 | pGr | -0.26 | 0.09 |
| W-005 | Gk | #1\|#SE-LF-1 | pGr | 7.61 | 7.68 |
| | Gk | #1\|BS-Gk | pGr | 24.16 | 1.59 |
| (g1) | Gk | #1\|LF-1 | pGr | 12.96 | 12.96 |
| | Gk | #1\|LF-1 | pGr | 18.84 | 5.32 |
| | Gk | #1\|LF-1 | pGr | 0.00 | -0.02 |
| | Gk | #2\|LF-1 | pGr | 0.00 | -0.02 |
| | Qk.N | #1\|#SE-LF-2 | pGr | 0.05 | -0.58 |
| | Qk.N | #1\|BS-Qk.N | pGr | 8.89 | 0.60 |
| | Qk.N | #1\|(D-01)-1 | pGr | -0.11 | -0.07 |
| | Qk.N | #1\|(D-01)-2 | pGr | 0.28 | 5.67 |
| | Qk.N | #1\|(D-01)-3 | pGr | -0.01 | 0.05 |
| | Qk.N | #1\|(D-01)-4 | pGr | -0.06 | 0.23 |
| | Qk.N | #1\|(D-01)-5 | pGr | 1.93 | -4.74 |
| | Qk.N | #1\|(D-01)-6 | pGr | -0.16 | 0.87 |
| | Qk.N | #1\|(D-01)-8 | pGr | -0.04 | 12.31 |
| | Qk.N | #1\|(D-01)-9 | pGr | 5.27 | -13.78 |
| | Qk.N | #1\|(D-01- | pGr | 0.02 | -0.08 |




durch Vergleichsrechnung geprüft

| Position | EW | Lastfall | Art | $p_A$ | $p_E$ [kN/m] |
|---|---|---|---|---|---|
| | | BO)-1 | | | |
| | Qk.N | #1\|(D-O1-BU)-1 | pGr | -0.21 | 2.20 |
| | Qk.S | #1\|BS-Qk.S | pGr | 7.82 | 0.65 |
| | Qk.S | #1\|(Qk.S)-A | pGr | 4.76 | 0.14 |
| | Qk.S | #1\|(Qk.S)-B | pGr | 2.36 | 0.07 |
| | Qk.S | #1\|(Qk.S)-C | pGr | 4.79 | 0.14 |
| | Qk.W | #1\|(Qk.W)-000 | pGr | 1.18 | 0.04 |
| | Qk.W | #1\|(Qk.W)-090 | pGr | -4.68 | -0.03 |
| | Qk.W | #1\|(Qk.W)-180 | pGr | -0.77 | -0.02 |
| | Qk.W | #1\|(Qk.W)-270 | pGr | -2.86 | -0.09 |
| W-006.1 | Gk | #1\|#SE-LF-1 | pGr | 8.40 | 6.77 |
| | Gk | #1\|BS-Gk | pGr | 30.10 | -8.04 |
| (g1) | Gk | #1\|LF-1 | pGr | 12.96 | 12.96 |
| | Gk | #1\|LF-1 | pGr | 42.86 | -3.75 |
| | Qk.N | #1\|#SE-LF-2 | pGr | 0.27 | -0.11 |
| | Qk.N | #1\|BS-Qk.N | pGr | 10.94 | -2.58 |
| | Qk.N | #1\|(D-O1)-1 | pGr | 0.00 | 0.06 |
| | Qk.N | #1\|(D-O1)-2 | pGr | 1.21 | 2.07 |
| | Qk.N | #1\|(D-O1)-3 | pGr | -0.23 | -0.01 |
| | Qk.N | #1\|(D-O1)-4 | pGr | -2.66 | -0.35 |
| | Qk.N | #1\|(D-O1)-5 | pGr | 6.36 | 0.45 |
| | Qk.N | #1\|(D-O1)-6 | pGr | 12.48 | -3.88 |
| | Qk.N | #1\|(D-O1)-8 | pGr | 0.03 | 0.46 |
| | Qk.N | #1\|(D-O1)-9 | pGr | -0.71 | -0.47 |
| | Qk.N | #1\|(D-O1-BO)-1 | pGr | -1.00 | 0.38 |
| | Qk.N | #1\|(D-O1-BU)-1 | pGr | 0.06 | 0.03 |
| | Qk.S | #1\|BS-Qk.S | pGr | 9.67 | -2.61 |
| | Qk.S | #1\|(Qk.S)-A | pGr | 6.04 | -1.66 |
| | Qk.S | #1\|(Qk.S)-B | pGr | 3.01 | -0.82 |
| | Qk.S | #1\|(Qk.S)-C | pGr | 6.06 | -1.67 |
| | Qk.W | #1\|(Qk.W)-000 | pGr | 1.49 | -0.42 |
| | Qk.W | #1\|(Qk.W)-090 | pGr | -5.99 | 1.67 |
| | Qk.W | #1\|(Qk.W)-180 | pGr | -0.98 | 0.28 |
| | Qk.W | #1\|(Qk.W)-270 | pGr | -3.62 | 1.00 |
| W-006.2 | Gk | #1\|#SE-LF-1 | pGr | 6.80 | 8.28 |
| | Gk | #1\|BS-Gk | pGr | -8.17 | 30.10 |
| (g1) | Gk | #1\|LF-1 | pGr | 12.96 | 12.96 |
| | Gk | #1\|LF-1 | pGr | -3.72 | 42.67 |
| | Qk.N | #1\|#SE-LF-2 | pGr | -0.11 | 0.27 |
| | Qk.N | #1\|BS-Qk.N | pGr | -2.61 | 10.94 |
| | Qk.N | #1\|(D-O1)-1 | pGr | -0.01 | -0.23 |
| | Qk.N | #1\|(D-O1)-2 | pGr | 2.07 | 1.21 |
| | Qk.N | #1\|(D-O1)-3 | pGr | 0.06 | 0.00 |
| | Qk.N | #1\|(D-O1)-4 | pGr | 0.46 | 0.03 |
| | Qk.N | #1\|(D-O1)-5 | pGr | 0.45 | 6.36 |
| | Qk.N | #1\|(D-O1)-6 | pGr | -0.47 | -0.71 |
| | Qk.N | #1\|(D-O1)-8 | pGr | -0.35 | -2.66 |
| | Qk.N | #1\|(D-O1)-9 | pGr | -3.88 | 12.48 |



durch Vergleichsrechnung geprüft

| Position | EW | Lastfall | Art | $p_A$ | $p_E$ [kN/m] |
|---|---|---|---|---|---|
| | Qk.N | #1\|(D-01-BO)-1 | pGr | 0.03 | 0.06 |
| | Qk.N | #1\|(D-01-BU)-1 | pGr | 0.40 | -1.09 |
| | Qk.S | #1\|BS-Qk.S | pGr | -2.70 | 9.66 |
| | Qk.S | #1\|(Qk.S)-A | pGr | -1.66 | 6.04 |
| | Qk.S | #1\|(Qk.S)-B | pGr | -0.82 | 3.01 |
| | Qk.S | #1\|(Qk.S)-C | pGr | -1.67 | 6.06 |
| | Qk.W | #1\|(Qk.W)-000 | pGr | -0.42 | 1.49 |
| | Qk.W | #1\|(Qk.W)-090 | pGr | 1.67 | -5.99 |
| | Qk.W | #1\|(Qk.W)-180 | pGr | 0.28 | -0.98 |
| | Qk.W | #1\|(Qk.W)-270 | pGr | 1.00 | -3.62 |
| W-007 | Gk | #1\|#SE-LF-1 | pGr | -5.24 | 24.21 |
| | Gk | #1\|BS-Gk | pGr | -0.75 | 3.34 |
| (g1) | Gk | #1\|LF-1 | pGr | 6.02 | 6.02 |
| | Gk | #1\|LF-1 | pGr | -8.10 | 24.72 |
| | Qk.N | #1\|#SE-LF-2 | pGr | 0.15 | 2.05 |
| | Qk.N | #1\|BS-Qk.N | pGr | -0.24 | 0.93 |
| | Qk.N | #1\|(D-01)-2 | pGr | -0.01 | 0.01 |
| | Qk.N | #1\|(D-01)-3 | pGr | 0.04 | -0.04 |
| | Qk.N | #1\|(D-01)-4 | pGr | 0.65 | -0.98 |
| | Qk.N | #1\|(D-01)-5 | pGr | -0.28 | 0.48 |
| | Qk.N | #1\|(D-01)-6 | pGr | -4.28 | 16.39 |
| | Qk.N | #1\|(D-01)-9 | pGr | 0.02 | -0.01 |
| | Qk.N | #1\|(D-01-BO)-1 | pGr | 1.31 | -9.95 |
| | Qk.S | #1\|BS-Qk.S | pGr | 0.01 | -0.02 |
| | Qk.S | #1\|(Qk.S)-A | pGr | -0.41 | 1.92 |
| | Qk.S | #1\|(Qk.S)-B | pGr | -0.21 | 0.96 |
| | Qk.S | #1\|(Qk.S)-C | pGr | -0.41 | 1.91 |
| | Qk.W | #1\|(Qk.W)-000 | pGr | -0.07 | 0.19 |
| | Qk.W | #1\|(Qk.W)-090 | pGr | 0.50 | -2.22 |
| | Qk.W | #1\|(Qk.W)-180 | pGr | 0.03 | 0.00 |
| | Qk.W | #1\|(Qk.W)-270 | pGr | 0.23 | -1.03 |
| W-008 | Gk | #1\|#SE-LF-1 | pGr | 0.25 | 21.23 |
| | Gk | #1\|BS-Gk | pGr | 4.72 | -0.99 |
| | Gk | #1\|BS-Gk | pGr | 0.19 | 0.03 |
| (g1) | Gk | #1\|LF-1 | pGr | 6.02 | 6.02 |
| | Gk | #1\|LF-1 | pGr | -5.95 | 21.11 |
| | Gk | #1\|LF-1 | pGr | 3.15 | -0.17 |
| | Gk | #2\|BS-Gk | pGr | 0.25 | 0.00 |
| | Gk | #2\|LF-1 | pGr | 5.67 | -2.20 |
| | Qk.N | #1\|#SE-LF-2 | pGr | -0.05 | 0.03 |
| | Qk.N | #1\|BS-Qk.N | pGr | 1.96 | -0.49 |
| | Qk.N | #1\|BS-Qk.N | pGr | 0.04 | 0.00 |
| | Qk.N | #1\|(D-009)-1 | pGr | 0.15 | -0.05 |
| | Qk.N | #1\|(D-01)-3 | pGr | -2.75 | 8.94 |
| | Qk.N | #1\|(D-01)-4 | pGr | -0.06 | -0.16 |
| | Qk.N | #1\|(D-01)-7 | pGr | 0.60 | -1.00 |
| | Qk.N | #2\|#SE-LF-2 | pGr | -0.11 | 0.05 |
| | Qk.N | #2\|BS-Qk.N | pGr | 0.06 | -0.01 |



durch Vergleichsrechnung geprüft

| Position | EW | Lastfall | Art | $p_A$ | $p_E$ [kN/m] |
|---|---|---|---|---|---|
| | Qk.N | #2\|(D-009)-1 | pGr | 0.28 | -0.14 |
| | Qk.N | #2\|(D-009)-2 | pGr | 0.01 | -0.02 |
| | Qk.N | #2\|(D-009)-3 | pGr | -0.01 | 0.00 |
| | Qk.S | #1\|BS-Qk.S | pGr | -0.67 | 0.40 |
| | Qk.S | #1\|BS-Qk.S | pGr | 0.09 | 0.05 |
| | Qk.S | #1\|(Qk.S)-A | pGr | 2.82 | -0.82 |
| | Qk.S | #1\|(Qk.S)-A | pGr | 0.02 | -0.02 |
| | Qk.S | #1\|(Qk.S)-B | pGr | 1.38 | -0.40 |
| | Qk.S | #1\|(Qk.S)-B | pGr | 0.01 | -0.02 |
| | Qk.S | #1\|(Qk.S)-C | pGr | 2.84 | -0.83 |
| | Qk.S | #1\|(Qk.S)-C | pGr | 0.01 | -0.02 |
| | Qk.S | #2\|BS-Qk.S | pGr | 0.09 | 0.04 |
| | Qk.S | #2\|(Qk.S)-A | pGr | 0.04 | -0.03 |
| | Qk.S | #2\|(Qk.S)-B | pGr | 0.03 | -0.03 |
| | Qk.S | #2\|(Qk.S)-C | pGr | 0.03 | -0.03 |
| | Qk.W | #1\|(Qk.W)-000 | pGr | 1.76 | -0.51 |
| | Qk.W | #1\|(Qk.W)-090 | pGr | -4.84 | 1.41 |
| | Qk.W | #1\|(Qk.W)-090 | pGr | 0.05 | -0.08 |
| | Qk.W | #1\|(Qk.W)-180 | pGr | -1.74 | 0.51 |
| | Qk.W | #1\|(Qk.W)-270 | pGr | -1.96 | 0.57 |
| | Qk.W | #1\|(Qk.W)-270 | pGr | 0.03 | -0.04 |
| | Qk.W | #2\|(Qk.W)-000 | pGr | -0.02 | 0.01 |
| | Qk.W | #2\|(Qk.W)-090 | pGr | 0.15 | -0.11 |
| | Qk.W | #2\|(Qk.W)-180 | pGr | -0.01 | 0.01 |
| | Qk.W | #2\|(Qk.W)-270 | pGr | 0.07 | -0.05 |
| W-010 | Gk | #1\|#SE-LF-1 | pGr | 16.45 | 18.10 |
| | Gk | #1\|BS-Gk | pGr | 0.42 | -0.09 |
| (g1) | Gk | #1\|LF-1 | pGr | 6.02 | 6.02 |
| | Gk | #1\|LF-1 | pGr | 39.11 | 35.74 |
| | Gk | #1\|LF-1 | pGr | -0.01 | -0.01 |
| | Qk.N | #1\|#SE-LF-2 | pGr | 0.09 | 0.38 |
| | Qk.N | #1\|BS-Qk.N | pGr | 0.05 | -0.05 |
| | Qk.N | #1\|(D-01)-2 | pGr | -0.14 | -0.08 |
| | Qk.N | #1\|(D-01)-3 | pGr | 1.21 | -0.11 |
| | Qk.N | #1\|(D-01)-4 | pGr | 14.98 | 9.70 |
| | Qk.N | #1\|(D-01)-5 | pGr | -0.05 | -0.12 |
| | Qk.N | #1\|(D-01)-6 | pGr | -0.56 | -2.81 |
| | Qk.N | #1\|(D-01)-7 | pGr | -0.01 | 0.00 |
| | Qk.N | #1\|(D-01)-8 | pGr | -0.03 | -0.02 |
| | Qk.N | #1\|(D-01)-9 | pGr | 0.01 | 0.01 |
| | Qk.N | #1\|(D-01-BO)-1 | pGr | -1.39 | 9.87 |
| | Qk.S | #1\|BS-Qk.S | pGr | 0.06 | -0.05 |
| | Qk.S | #1\|(Qk.S)-A | pGr | -0.01 | -0.09 |
| | Qk.S | #1\|(Qk.S)-B | pGr | -0.01 | -0.04 |
| | Qk.S | #1\|(Qk.S)-C | pGr | -0.01 | -0.08 |
| | Qk.W | #1\|(Qk.W)-090 | pGr | 0.01 | 0.10 |
| | Qk.W | #1\|(Qk.W)- | pGr | 0.01 | 0.05 |



durch Vergleichsrechnung geprüft

| Position | EW | Lastfall | Art | $p_A$ | $p_E$ [kN/m] |
|---|---|---|---|---|---|
| | | 270 | | | |
| W-011 | Gk | #1\|#SE-LF-1 | pGr | 31.77 | 18.08 |
| | Gk | #1\|BS-Gk | pGr | 5.63 | 8.00 |
| (g1) | Gk | #1\|LF-1 | pGr | 6.02 | 6.02 |
| | Gk | #1\|LF-1 | pGr | 41.42 | 19.86 |
| | Qk.N | #1\|#SE-LF-2 | pGr | 0.47 | -0.02 |
| | Qk.N | #1\|BS-Qk.N | pGr | 3.34 | 5.22 |
| | Qk.N | #1\|(D-01)-2 | pGr | -0.01 | -0.01 |
| | Qk.N | #1\|(D-01)-3 | pGr | -0.04 | -0.01 |
| | Qk.N | #1\|(D-01)-4 | pGr | -0.79 | -0.19 |
| | Qk.N | #1\|(D-01)-5 | pGr | 2.71 | 4.19 |
| | Qk.N | #1\|(D-01)-6 | pGr | 14.97 | 3.91 |
| | Qk.N | #1\|(D-01)-8 | pGr | 0.03 | 0.07 |
| | Qk.N | #1\|(D-01)-9 | pGr | -0.23 | -0.64 |
| | Qk.N | #1\|(D-01-BO)-1 | pGr | -1.96 | -0.01 |
| | Qk.N | #1\|(D-01-BU)-1 | pGr | 0.02 | 0.04 |
| | Qk.S | #1\|BS-Qk.S | pGr | -0.57 | -1.01 |
| | Qk.S | #1\|(Qk.S)-A | pGr | 3.00 | 4.25 |
| | Qk.S | #1\|(Qk.S)-B | pGr | 1.48 | 2.10 |
| | Qk.S | #1\|(Qk.S)-C | pGr | 3.02 | 4.28 |
| | Qk.W | #1\|(Qk.W)-000 | pGr | 1.92 | 3.17 |
| | Qk.W | #1\|(Qk.W)-090 | pGr | -5.27 | -7.98 |
| | Qk.W | #1\|(Qk.W)-180 | pGr | -1.91 | -3.25 |
| | Qk.W | #1\|(Qk.W)-270 | pGr | -2.07 | -3.05 |
| W-012 | Gk | #1\|#SE-LF-1 | pGr | 23.89 | -7.99 |
| | Gk | #1\|BS-Gk | pGr | 1.17 | -0.53 |
| (g1) | Gk | #1\|LF-1 | pGr | 6.02 | 6.02 |
| | Gk | #1\|LF-1 | pGr | 40.06 | -10.94 |
| | Gk | #1\|LF-1 | pGr | -0.09 | 0.00 |
| | Gk | #2\|LF-1 | pGr | -0.50 | 0.17 |
| | Qk.N | #1\|BS-Qk.N | pGr | 0.17 | -0.08 |
| | Qk.N | #1\|(D-009)-1 | pGr | -0.01 | 0.00 |
| | Qk.N | #1\|(D-01)-3 | pGr | 15.02 | -3.94 |
| | Qk.N | #1\|(D-01)-4 | pGr | 0.14 | -0.27 |
| | Qk.N | #1\|(D-01)-6 | pGr | 0.01 | 0.00 |
| | Qk.N | #1\|(D-01)-7 | pGr | -0.36 | 0.15 |
| | Qk.N | #2\|(D-009)-1 | pGr | -0.03 | 0.01 |
| | Qk.S | #1\|BS-Qk.S | pGr | 0.83 | -0.36 |
| | Qk.S | #1\|(Qk.S)-A | pGr | -0.19 | 0.07 |
| | Qk.S | #1\|(Qk.S)-B | pGr | -0.10 | 0.04 |
| | Qk.S | #1\|(Qk.S)-C | pGr | -0.20 | 0.07 |
| | Qk.W | #1\|(Qk.W)-000 | pGr | -0.12 | 0.04 |
| | Qk.W | #1\|(Qk.W)-090 | pGr | 0.33 | -0.12 |
| | Qk.W | #1\|(Qk.W)-090 | pGr | -0.01 | 0.00 |
| | Qk.W | #1\|(Qk.W)-180 | pGr | 0.12 | -0.04 |
| | Qk.W | #1\|(Qk.W)-270 | pGr | 0.13 | -0.05 |
| | Qk.W | #2\|(Qk.W)-090 | pGr | -0.02 | 0.01 |



durch Vergleichsrechnung geprüft

| Position | | EW | Lastfall | Art | $p_A$ | $p_E$ [kN/m] |
|---|---|---|---|---|---|---|
| W-014 | | Gk | #1\|#SE-LF-1 | pGr | 8.46 | 20.53 |
| | | Gk | #1\|BS-Gk | pGr | -2.35 | 5.61 |
| | | Gk | #1\|BS-Gk | pGr | -0.01 | 0.02 |
| | (g1) | Gk | #1\|LF-1 | pGr | 12.96 | 12.96 |
| | | Gk | #1\|LF-1 | pGr | 20.07 | 73.97 |
| | | Gk | #1\|LF-1 | pGr | -0.63 | 1.07 |
| | | Gk | #2\|BS-Gk | pGr | -0.01 | 0.02 |
| | | Gk | #2\|LF-1 | pGr | -0.63 | 1.07 |
| | | Qk.N | #1\|#SE-LF-2 | pGr | -0.20 | 0.08 |
| | | Qk.N | #1\|BS-Qk.N | pGr | -0.80 | 1.61 |
| | | Qk.N | #1\|(D-009)-1 | pGr | -0.02 | 0.03 |
| | | Qk.N | #1\|(D-01)-1 | pGr | -2.06 | 5.67 |
| | | Qk.N | #1\|(D-01)-2 | pGr | 4.70 | 4.14 |
| | | Qk.N | #1\|(D-01)-3 | pGr | 0.08 | 0.12 |
| | | Qk.N | #1\|(D-01)-4 | pGr | 0.48 | 0.42 |
| | | Qk.N | #1\|(D-01)-5 | pGr | -1.21 | 0.46 |
| | | Qk.N | #1\|(D-01)-6 | pGr | 0.23 | -0.15 |
| | | Qk.N | #1\|(D-01)-7 | pGr | 0.14 | -0.38 |
| | | Qk.N | #1\|(D-01)-8 | pGr | 9.57 | 16.37 |
| | | Qk.N | #1\|(D-01)-9 | pGr | -4.92 | 1.18 |
| | | Qk.N | #1\|(D-01-BO)-1 | pGr | -0.04 | 0.00 |
| | | Qk.N | #1\|(D-01-BU)-1 | pGr | 0.65 | -0.70 |
| | | Qk.N | #2\|#SE-LF-2 | pGr | 0.01 | -0.01 |
| | | Qk.N | #2\|(D-009)-4 | pGr | -0.02 | 0.04 |
| | | Qk.S | #1\|BS-Qk.S | pGr | -0.69 | 2.42 |
| | | Qk.S | #1\|BS-Qk.S | pGr | -0.01 | 0.02 |
| | | Qk.S | #1\|(Qk.S)-A | pGr | -0.61 | 0.81 |
| | | Qk.S | #1\|(Qk.S)-B | pGr | -0.30 | 0.41 |
| | | Qk.S | #1\|(Qk.S)-C | pGr | -0.62 | 0.81 |
| | | Qk.S | #2\|BS-Qk.S | pGr | -0.01 | 0.02 |
| | | Qk.W | #1\|(Qk.W)-000 | pGr | -0.15 | 0.19 |
| | | Qk.W | #1\|(Qk.W)-090 | pGr | 0.63 | -0.80 |
| | | Qk.W | #1\|(Qk.W)-180 | pGr | 0.09 | -0.13 |
| | | Qk.W | #1\|(Qk.W)-270 | pGr | 0.36 | -0.49 |
| W-019 | | Gk | #1\|#SE-LF-1 | pGr | 14.91 | 2.18 |
| | | Gk | #1\|BS-Gk | pGr | 3.33 | 3.50 |
| | | Gk | #1\|BS-Gk | pGr | 0.03 | -0.06 |
| | (g1) | Gk | #1\|LF-1 | pGr | 14.40 | 14.40 |
| | | Gk | #1\|LF-1 | pGr | 29.09 | 2.30 |
| | | Gk | #1\|LF-1 | pGr | -1.24 | 2.57 |
| | | Gk | #2\|BS-Gk | pGr | 0.03 | -0.06 |
| | | Gk | #2\|LF-1 | pGr | -1.25 | 2.58 |
| | | Qk.N | #1\|#SE-LF-2 | pGr | 0.03 | -0.08 |
| | | Qk.N | #1\|BS-Qk.N | pGr | 1.70 | 2.21 |
| | | Qk.N | #1\|BS-Qk.N | pGr | 0.01 | -0.01 |
| | | Qk.N | #1\|(D-009)-1 | pGr | -0.06 | 0.12 |
| | | Qk.N | #1\|(D-01)-1 | pGr | 0.10 | -0.41 |
| | | Qk.N | #1\|(D-01)-2 | pGr | -1.50 | 8.61 |
| | | Qk.N | #1\|(D-01)-3 | pGr | 0.08 | -0.37 |
| | | Qk.N | #1\|(D-01)-4 | pGr | 0.31 | -1.84 |
| | | Qk.N | #1\|(D-01)-5 | pGr | 9.88 | -2.97 |
| | | Qk.N | #1\|(D-01)-6 | pGr | 0.75 | -0.10 |
| | | Qk.N | #1\|(D-01)-7 | pGr | 0.07 | -0.18 |



durch Vergleichsrechnung geprüft

| Position | EW | Lastfall | Art | $p_A$ | $p_E$ [kN/m] |
|---|---|---|---|---|---|
| | Qk.N | #1\|(D-01)-8 | pGr | 0.32 | -1.85 |
| | Qk.N | #1\|(D-01)-9 | pGr | 0.75 | -0.10 |
| | Qk.N | #1\|(D-01-BO)-1 | pGr | 0.00 | 0.05 |
| | Qk.N | #1\|(D-01-BU)-1 | pGr | 0.01 | 0.03 |
| | Qk.N | #2\|#SE-LF-2 | pGr | 0.04 | -0.08 |
| | Qk.N | #2\|BS-Qk.N | pGr | 0.01 | -0.01 |
| | Qk.N | #2\|(D-009)-3 | pGr | -0.03 | 0.06 |
| | Qk.N | #2\|(D-009)-4 | pGr | -0.03 | 0.06 |
| | Qk.S | #1\|BS-Qk.S | pGr | 0.04 | -0.21 |
| | Qk.S | #1\|(Qk.S)-A | pGr | 1.39 | 1.55 |
| | Qk.S | #1\|(Qk.S)-A | pGr | 0.01 | -0.02 |
| | Qk.S | #1\|(Qk.S)-B | pGr | 0.98 | 1.20 |
| | Qk.S | #1\|(Qk.S)-B | pGr | 0.01 | -0.02 |
| | Qk.S | #1\|(Qk.S)-C | pGr | 1.11 | 1.13 |
| | Qk.S | #1\|(Qk.S)-C | pGr | 0.01 | -0.02 |
| | Qk.S | #2\|(Qk.S)-A | pGr | 0.01 | -0.02 |
| | Qk.S | #2\|(Qk.S)-B | pGr | 0.01 | -0.02 |
| | Qk.S | #2\|(Qk.S)-C | pGr | 0.01 | -0.02 |
| | Qk.W | #1\|(Qk.W)-000 | pGr | 0.11 | -0.13 |
| | Qk.W | #1\|(Qk.W)-090 | pGr | -1.36 | -1.39 |
| | Qk.W | #1\|(Qk.W)-090 | pGr | -0.01 | 0.02 |
| | Qk.W | #1\|(Qk.W)-180 | pGr | -0.25 | 0.05 |
| | Qk.W | #1\|(Qk.W)-270 | pGr | -0.63 | -0.97 |
| | Qk.W | #1\|(Qk.W)-270 | pGr | -0.01 | 0.01 |
| | Qk.W | #2\|(Qk.W)-090 | pGr | -0.01 | 0.02 |
| | Qk.W | #2\|(Qk.W)-270 | pGr | -0.01 | 0.01 |
| W-020 | Gk | #1\|#SE-LF-1 | pGr | -2.83 | 10.64 |
| | Gk | #1\|BS-Gk | pGr | 0.06 | 1.23 |
| (g1) | Gk | #1\|LF-1 | pGr | 6.02 | 6.02 |
| | Gk | #1\|LF-1 | pGr | -1.11 | 31.03 |
| | Gk | #2\|LF-1 | pGr | 0.02 | -0.02 |
| | Qk.N | #1\|BS-Qk.N | pGr | 0.02 | 0.24 |
| | Qk.N | #1\|(D-01)-2 | pGr | 0.03 | -0.06 |
| | Qk.N | #1\|(D-01)-3 | pGr | 1.79 | 6.58 |
| | Qk.N | #1\|(D-01)-4 | pGr | -2.37 | 5.24 |
| | Qk.N | #1\|(D-01)-6 | pGr | 0.01 | 0.00 |
| | Qk.N | #1\|(D-01)-7 | pGr | 0.02 | -0.07 |
| | Qk.N | #1\|(D-01)-8 | pGr | 0.01 | -0.01 |
| | Qk.N | #1\|(D-01-BO)-1 | pGr | 0.14 | -0.30 |
| | Qk.S | #1\|BS-Qk.S | pGr | 0.05 | 0.60 |
| | Qk.W | #1\|(Qk.W)-090 | pGr | -0.01 | 0.02 |
| W-021 | Gk | #1\|#SE-LF-1 | pGr | 7.65 | 7.50 |
| | Gk | #1\|BS-Gk | pGr | 24.25 | 1.84 |
| (g1) | Gk | #1\|LF-1 | pGr | 12.96 | 12.96 |
| | Gk | #1\|LF-1 | pGr | 18.92 | 5.13 |
| | Gk | #1\|LF-1 | pGr | 0.00 | -0.02 |
| | Gk | #2\|LF-1 | pGr | 0.00 | -0.02 |




durch Vergleichsrechnung geprüft

| Position | EW | Lastfall | Art | $p_A$ | $p_E$ [kN/m] |
|---|---|---|---|---|---|
| | Qk.N | #1\|#SE-LF-2 | pGr | 0.05 | -0.58 |
| | Qk.N | #1\|BS-Qk.N | pGr | 8.91 | 0.66 |
| | Qk.N | #1\|(D-O1)-1 | pGr | -0.01 | 0.05 |
| | Qk.N | #1\|(D-O1)-2 | pGr | 0.28 | 5.67 |
| | Qk.N | #1\|(D-O1)-3 | pGr | -0.11 | -0.05 |
| | Qk.N | #1\|(D-O1)-4 | pGr | -0.04 | 12.31 |
| | Qk.N | #1\|(D-O1)-5 | pGr | 1.93 | -4.74 |
| | Qk.N | #1\|(D-O1)-6 | pGr | 5.27 | -13.78 |
| | Qk.N | #1\|(D-O1)-7 | pGr | 0.00 | 0.01 |
| | Qk.N | #1\|(D-O1)-8 | pGr | -0.06 | 0.23 |
| | Qk.N | #1\|(D-O1)-9 | pGr | -0.16 | 0.87 |
| | Qk.N | #1\|(D-O1-BO)-1 | pGr | -0.18 | 2.07 |
| | Qk.N | #1\|(D-O1-BU)-1 | pGr | 0.02 | -0.09 |
| | Qk.S | #1\|BS-Qk.S | pGr | 7.87 | 0.82 |
| | Qk.S | #1\|(Qk.S)-A | pGr | 4.76 | 0.14 |
| | Qk.S | #1\|(Qk.S)-B | pGr | 2.36 | 0.07 |
| | Qk.S | #1\|(Qk.S)-C | pGr | 4.79 | 0.14 |
| | Qk.W | #1\|(Qk.W)-000 | pGr | 1.18 | 0.04 |
| | Qk.W | #1\|(Qk.W)-090 | pGr | -4.68 | -0.03 |
| | Qk.W | #1\|(Qk.W)-180 | pGr | -0.77 | -0.02 |
| | Qk.W | #1\|(Qk.W)-270 | pGr | -2.86 | -0.09 |
| W-022 | Gk | #1\|#SE-LF-1 | pGr | 11.85 | 16.12 |
| | Gk | #1\|BS-Gk | pGr | -0.46 | 1.67 |
| (g1) | Gk | #1\|LF-1 | pGr | 12.96 | 12.96 |
| | Gk | #1\|LF-1 | pGr | 26.46 | 42.12 |
| | Qk.N | #1\|#SE-LF-2 | pGr | 3.47 | 0.28 |
| | Qk.N | #1\|BS-Qk.N | pGr | -0.22 | 0.52 |
| | Qk.N | #1\|(D-O1)-1 | pGr | 0.01 | -0.02 |
| | Qk.N | #1\|(D-O1)-2 | pGr | 0.17 | -0.59 |
| | Qk.N | #1\|(D-O1)-3 | pGr | -0.08 | 0.23 |
| | Qk.N | #1\|(D-O1)-4 | pGr | 5.05 | 8.61 |
| | Qk.N | #1\|(D-O1)-5 | pGr | -0.65 | 1.43 |
| | Qk.N | #1\|(D-O1)-6 | pGr | 0.08 | 14.99 |
| | Qk.N | #1\|(D-O1)-8 | pGr | 0.02 | -0.09 |
| | Qk.N | #1\|(D-O1)-9 | pGr | 0.08 | -0.15 |
| | Qk.N | #1\|(D-O1-BO)-1 | pGr | 7.58 | -13.07 |
| | Qk.N | #1\|(D-O1-BU)-1 | pGr | -0.01 | 0.02 |
| | Qk.S | #1\|BS-Qk.S | pGr | -0.22 | 0.30 |
| | Qk.S | #1\|(Qk.S)-A | pGr | -0.14 | 0.46 |
| | Qk.S | #1\|(Qk.S)-B | pGr | -0.07 | 0.23 |
| | Qk.S | #1\|(Qk.S)-C | pGr | -0.14 | 0.46 |
| | Qk.W | #1\|(Qk.W)-000 | pGr | -0.04 | 0.09 |
| | Qk.W | #1\|(Qk.W)-090 | pGr | 0.16 | -0.51 |
| | Qk.W | #1\|(Qk.W)-180 | pGr | 0.03 | -0.04 |
| | Qk.W | #1\|(Qk.W)-270 | pGr | 0.09 | -0.26 |
| W-025 | Gk | #1\|#SE-LF-1 | pGr | 10.90 | -2.93 |
| | Gk | #1\|BS-Gk | pGr | 2.24 | -0.44 |



durch Vergleichsrechnung geprüft

| Position | EW | Lastfall | Art | $p_A$ | $p_E$ [kN/m] |
|---|---|---|---|---|---|
| (g1) | Gk | #1\|LF-1 | pGr | 6.02 | 6.02 |
| | Gk | #1\|LF-1 | pGr | 31.98 | -1.39 |
| | Qk.N | #1\|BS-Qk.N | pGr | 0.48 | -0.09 |
| | Qk.N | #1\|(D-01)-1 | pGr | 6.84 | 1.72 |
| | Qk.N | #1\|(D-01)-2 | pGr | -0.06 | 0.03 |
| | Qk.N | #1\|(D-01)-4 | pGr | -0.01 | 0.01 |
| | Qk.N | #1\|(D-01)-7 | pGr | -0.03 | 0.01 |
| | Qk.N | #1\|(D-01)-8 | pGr | 5.27 | -2.38 |
| | Qk.N | #1\|(D-01)-9 | pGr | 0.00 | 0.01 |
| | Qk.N | #1\|(D-01-BU)-1 | pGr | -0.26 | 0.13 |
| | Qk.S | #1\|BS-Qk.S | pGr | 1.37 | -0.27 |
| | Qk.S | #1\|(Qk.S)-A | pGr | -0.01 | 0.01 |
| | Qk.S | #1\|(Qk.S)-C | pGr | -0.01 | 0.01 |
| | Qk.W | #1\|(Qk.W)-090 | pGr | 0.02 | -0.01 |
| W-026 | Gk | #1\|#SE-LF-1 | pGr | 8.42 | 20.45 |
| | Gk | #1\|BS-Gk | pGr | -2.51 | 4.18 |
| (g1) | Gk | #1\|LF-1 | pGr | 12.96 | 12.96 |
| | Gk | #1\|LF-1 | pGr | 20.23 | 73.39 |
| | Gk | #1\|LF-1 | pGr | -0.61 | 1.00 |
| | Gk | #2\|LF-1 | pGr | -0.61 | 1.01 |
| | Qk.N | #1\|#SE-LF-2 | pGr | -0.19 | 0.07 |
| | Qk.N | #1\|BS-Qk.N | pGr | -0.85 | 1.29 |
| | Qk.N | #1\|(D-009)-1 | pGr | -0.01 | 0.02 |
| | Qk.N | #1\|(D-01)-1 | pGr | 0.09 | 0.14 |
| | Qk.N | #1\|(D-01)-2 | pGr | 4.70 | 4.14 |
| | Qk.N | #1\|(D-01)-3 | pGr | -1.99 | 5.58 |
| | Qk.N | #1\|(D-01)-4 | pGr | 9.57 | 16.38 |
| | Qk.N | #1\|(D-01)-5 | pGr | -1.21 | 0.46 |
| | Qk.N | #1\|(D-01)-6 | pGr | -4.92 | 1.19 |
| | Qk.N | #1\|(D-01)-7 | pGr | 0.20 | -0.50 |
| | Qk.N | #1\|(D-01)-8 | pGr | 0.48 | 0.42 |
| | Qk.N | #1\|(D-01)-9 | pGr | 0.23 | -0.15 |
| | Qk.N | #1\|(D-01-BO)-1 | pGr | 0.56 | -0.76 |
| | Qk.N | #1\|(D-01-BU)-1 | pGr | -0.03 | 0.00 |
| | Qk.N | #2\|#SE-LF-2 | pGr | 0.01 | -0.03 |
| | Qk.N | #2\|(D-009)-3 | pGr | -0.02 | 0.03 |
| | Qk.S | #1\|BS-Qk.S | pGr | -0.72 | 1.29 |
| | Qk.S | #1\|BS-Qk.S | pGr | -0.01 | 0.01 |
| | Qk.S | #1\|(Qk.S)-A | pGr | -0.61 | 0.82 |
| | Qk.S | #1\|(Qk.S)-A | pGr | 0.01 | -0.01 |
| | Qk.S | #1\|(Qk.S)-B | pGr | -0.30 | 0.41 |
| | Qk.S | #1\|(Qk.S)-C | pGr | -0.62 | 0.82 |
| | Qk.S | #2\|BS-Qk.S | pGr | -0.01 | 0.01 |
| | Qk.S | #2\|(Qk.S)-A | pGr | 0.01 | -0.01 |
| | Qk.W | #1\|(Qk.W)-000 | pGr | -0.15 | 0.20 |
| | Qk.W | #1\|(Qk.W)-090 | pGr | 0.63 | -0.80 |
| | Qk.W | #1\|(Qk.W)-090 | pGr | -0.01 | 0.01 |
| | Qk.W | #1\|(Qk.W)-180 | pGr | 0.09 | -0.13 |
| | Qk.W | #1\|(Qk.W)-270 | pGr | 0.36 | -0.49 |
| | Qk.W | #2\|(Qk.W)- | pGr | -0.01 | 0.01 |



durch Vergleichsrechnung geprüft

| Position | EW | Lastfall | Art | $p_A$ | $p_E$ [kN/m] |
|---|---|---|---|---|---|
| | | 090 | | | |
| W-027 | Gk | #1\|#SE-LF-1 | pGr | -6.51 | -14.14 |
| | Gk | #1\|BS-Gk | pGr | -0.56 | -2.27 |
| | Gk | #1\|BS-Gk | pGr | 0.48 | 0.63 |
| (g1) | Gk | #1\|LF-1 | pGr | 18.75 | 18.75 |
| | Gk | #1\|LF-1 | pGr | -7.86 | -13.51 |
| | Gk | #1\|LF-1 | pGr | 19.13 | 5.34 |
| | Gk | #2\|BS-Gk | pGr | 0.79 | 1.54 |
| | Gk | #2\|LF-1 | pGr | 41.85 | 37.26 |
| | Qk.N | #1\|#SE-LF-2 | pGr | 1.47 | 1.39 |
| | Qk.N | #1\|BS-Qk.N | pGr | 0.01 | -0.62 |
| | Qk.N | #1\|BS-Qk.N | pGr | 0.12 | 0.13 |
| | Qk.N | #1\|(D-009)-1 | pGr | 1.28 | 0.45 |
| | Qk.N | #1\|(D-01)-1 | pGr | -0.08 | 0.13 |
| | Qk.N | #1\|(D-01)-2 | pGr | 0.02 | 0.11 |
| | Qk.N | #1\|(D-01)-3 | pGr | -10.88 | -11.06 |
| | Qk.N | #1\|(D-01)-4 | pGr | -0.84 | -1.59 |
| | Qk.N | #1\|(D-01)-6 | pGr | 0.00 | 0.02 |
| | Qk.N | #1\|(D-01)-7 | pGr | 8.85 | 7.33 |
| | Qk.N | #1\|(D-01)-8 | pGr | 0.00 | 0.01 |
| | Qk.N | #1\|(D-01-BO)-1 | pGr | 0.02 | 0.05 |
| | Qk.N | #2\|#SE-LF-2 | pGr | 3.62 | 6.60 |
| | Qk.N | #2\|BS-Qk.N | pGr | 0.18 | 0.34 |
| | Qk.N | #2\|(D-009)-1 | pGr | 2.73 | 2.15 |
| | Qk.N | #2\|(D-009)-2 | pGr | -0.04 | -0.22 |
| | Qk.N | #2\|(D-009)-3 | pGr | 0.57 | 1.73 |
| | Qk.N | #2\|(D-009)-4 | pGr | -0.02 | -0.05 |
| | Qk.S | #1\|BS-Qk.S | pGr | -0.70 | -0.68 |
| | Qk.S | #1\|BS-Qk.S | pGr | 0.09 | 0.04 |
| | Qk.S | #1\|(Qk.S)-A | pGr | 0.34 | -0.40 |
| | Qk.S | #1\|(Qk.S)-A | pGr | 0.15 | 0.27 |
| | Qk.S | #1\|(Qk.S)-B | pGr | 0.17 | -0.19 |
| | Qk.S | #1\|(Qk.S)-B | pGr | 0.12 | 0.20 |
| | Qk.S | #1\|(Qk.S)-C | pGr | 0.34 | -0.41 |
| | Qk.S | #1\|(Qk.S)-C | pGr | 0.12 | 0.20 |
| | Qk.S | #2\|BS-Qk.S | pGr | 0.11 | 0.06 |
| | Qk.S | #2\|(Qk.S)-A | pGr | 0.28 | 0.69 |
| | Qk.S | #2\|(Qk.S)-B | pGr | 0.21 | 0.52 |
| | Qk.S | #2\|(Qk.S)-C | pGr | 0.21 | 0.52 |
| | Qk.W | #1\|(Qk.W)-000 | pGr | 0.21 | -0.25 |
| | Qk.W | #1\|(Qk.W)-000 | pGr | -0.04 | 0.02 |
| | Qk.W | #1\|(Qk.W)-090 | pGr | -0.58 | 0.68 |
| | Qk.W | #1\|(Qk.W)-090 | pGr | 0.32 | -0.58 |
| | Qk.W | #1\|(Qk.W)-180 | pGr | -0.21 | 0.24 |
| | Qk.W | #1\|(Qk.W)-180 | pGr | -0.04 | 0.02 |
| | Qk.W | #1\|(Qk.W)-270 | pGr | -0.24 | 0.28 |
| | Qk.W | #1\|(Qk.W)-270 | pGr | 0.15 | -0.33 |
| | Qk.W | #2\|(Qk.W)-000 | pGr | -0.03 | 0.01 |
| | Qk.W | #2\|(Qk.W)- | pGr | 0.06 | -1.06 |



durch Vergleichsrechnung geprüft

| Position | EW | Lastfall | Art | $p_A$ | $p_E$ [kN/m] |
|---|---|---|---|---|---|
| | | 090 | | | |
| | Qk.W | #2\|(Qk.W)-180 | pGr | -0.03 | 0.01 |
| | Qk.W | #2\|(Qk.W)-270 | pGr | 0.00 | -0.61 |
| W-029 | Gk | #1\|#SE-LF-1 | pGr | 17.68 | 16.50 |
| | Gk | #1\|BS-Gk | pGr | 1.45 | 3.55 |
| (g1) | Gk | #1\|LF-1 | pGr | 6.02 | 6.02 |
| | Gk | #1\|LF-1 | pGr | 33.85 | 39.33 |
| | Qk.N | #1\|#SE-LF-2 | pGr | 0.38 | 0.09 |
| | Qk.N | #1\|BS-Qk.N | pGr | 0.30 | 0.77 |
| | Qk.N | #1\|(D-01)-1 | pGr | -0.13 | 1.18 |
| | Qk.N | #1\|(D-01)-2 | pGr | -0.08 | -0.14 |
| | Qk.N | #1\|(D-01)-4 | pGr | -0.02 | -0.03 |
| | Qk.N | #1\|(D-01)-5 | pGr | -0.12 | -0.05 |
| | Qk.N | #1\|(D-01)-6 | pGr | 0.01 | 0.01 |
| | Qk.N | #1\|(D-01)-7 | pGr | 0.00 | -0.01 |
| | Qk.N | #1\|(D-01)-8 | pGr | 9.70 | 14.98 |
| | Qk.N | #1\|(D-01)-9 | pGr | -2.81 | -0.56 |
| | Qk.N | #1\|(D-01-BU)-1 | pGr | 8.86 | -1.22 |
| | Qk.S | #1\|BS-Qk.S | pGr | 0.95 | 2.13 |
| | Qk.S | #1\|(Qk.S)-A | pGr | -0.09 | -0.01 |
| | Qk.S | #1\|(Qk.S)-B | pGr | -0.04 | -0.01 |
| | Qk.S | #1\|(Qk.S)-C | pGr | -0.09 | -0.01 |
| | Qk.W | #1\|(Qk.W)-090 | pGr | 0.10 | 0.02 |
| | Qk.W | #1\|(Qk.W)-270 | pGr | 0.05 | 0.01 |
| W-031 | Gk | #1\|#SE-LF-1 | pGr | 22.20 | -3.58 |
| | Gk | #1\|BS-Gk | pGr | 4.41 | -1.06 |
| (g1) | Gk | #1\|LF-1 | pGr | 6.02 | 6.02 |
| | Gk | #1\|LF-1 | pGr | 20.98 | -4.36 |
| | Qk.N | #1\|#SE-LF-2 | pGr | 2.05 | 0.17 |
| | Qk.N | #1\|BS-Qk.N | pGr | 1.17 | -0.31 |
| | Qk.N | #1\|(D-01)-1 | pGr | -0.05 | 0.04 |
| | Qk.N | #1\|(D-01)-2 | pGr | 0.01 | -0.01 |
| | Qk.N | #1\|(D-01)-5 | pGr | 0.48 | -0.28 |
| | Qk.N | #1\|(D-01)-6 | pGr | -0.01 | 0.02 |
| | Qk.N | #1\|(D-01)-8 | pGr | -0.98 | 0.66 |
| | Qk.N | #1\|(D-01)-9 | pGr | 16.39 | -4.21 |
| | Qk.N | #1\|(D-01-BU)-1 | pGr | -11.99 | 3.23 |
| | Qk.S | #1\|BS-Qk.S | pGr | 0.68 | -0.20 |
| | Qk.S | #1\|(Qk.S)-A | pGr | 1.92 | -0.41 |
| | Qk.S | #1\|(Qk.S)-B | pGr | 0.96 | -0.20 |
| | Qk.S | #1\|(Qk.S)-C | pGr | 1.91 | -0.41 |
| | Qk.W | #1\|(Qk.W)-000 | pGr | 0.19 | -0.07 |
| | Qk.W | #1\|(Qk.W)-090 | pGr | -2.22 | 0.50 |
| | Qk.W | #1\|(Qk.W)-180 | pGr | 0.00 | 0.03 |
| | Qk.W | #1\|(Qk.W)-270 | pGr | -1.03 | 0.23 |
| W-032 | Gk | #1\|#SE-LF-1 | pGr | 18.08 | 31.60 |
| | Gk | #1\|BS-Gk | pGr | 8.02 | 6.08 |
| (g1) | Gk | #1\|LF-1 | pGr | 6.02 | 6.02 |
| | Gk | #1\|LF-1 | pGr | 19.87 | 41.15 |




durch Vergleichsrechnung geprüft

| Position | EW | Lastfall | Art | $p_A$ | $p_E$ [kN/m] |
|---|---|---|---|---|---|
| | Qk.N | #1\|#SE-LF-2 | pGr | -0.02 | 0.47 |
| | Qk.N | #1\|BS-Qk.N | pGr | 5.23 | 3.44 |
| | Qk.N | #1\|(D-01)-1 | pGr | -0.01 | -0.04 |
| | Qk.N | #1\|(D-01)-2 | pGr | -0.01 | -0.01 |
| | Qk.N | #1\|(D-01)-4 | pGr | 0.07 | 0.03 |
| | Qk.N | #1\|(D-01)-5 | pGr | 4.19 | 2.71 |
| | Qk.N | #1\|(D-01)-6 | pGr | -0.64 | -0.23 |
| | Qk.N | #1\|(D-01)-8 | pGr | -0.19 | -0.79 |
| | Qk.N | #1\|(D-01)-9 | pGr | 3.91 | 14.97 |
| | Qk.N | #1\|(D-01-BO)-1 | pGr | 0.04 | 0.02 |
| | Qk.N | #1\|(D-01-BU)-1 | pGr | 0.00 | -2.11 |
| | Qk.S | #1\|BS-Qk.S | pGr | -0.99 | -0.28 |
| | Qk.S | #1\|(Qk.S)-A | pGr | 4.25 | 3.00 |
| | Qk.S | #1\|(Qk.S)-B | pGr | 2.10 | 1.48 |
| | Qk.S | #1\|(Qk.S)-C | pGr | 4.28 | 3.02 |
| | Qk.W | #1\|(Qk.W)-000 | pGr | 3.17 | 1.92 |
| | Qk.W | #1\|(Qk.W)-090 | pGr | -7.98 | -5.27 |
| | Qk.W | #1\|(Qk.W)-180 | pGr | -3.25 | -1.91 |
| | Qk.W | #1\|(Qk.W)-270 | pGr | -3.05 | -2.07 |
| W-037 | Gk | #1\|#SE-LF-1 | pGr | 11.08 | 7.41 |
| | Gk | #1\|BS-Gk | pGr | 2.93 | 0.42 |
| | Gk | #1\|BS-Gk | pGr | 0.02 | 0.51 |
| (g1) | Gk | #1\|LF-1 | pGr | 6.02 | 6.02 |
| | Gk | #1\|LF-1 | pGr | 10.46 | -4.10 |
| | Gk | #1\|LF-1 | pGr | 1.57 | 12.96 |
| | Gk | #2\|BS-Gk | pGr | 0.10 | 0.35 |
| | Gk | #2\|LF-1 | pGr | 1.06 | 13.97 |
| | Qk.N | #1\|#SE-LF-2 | pGr | 0.03 | -0.45 |
| | Qk.N | #1\|BS-Qk.N | pGr | 1.12 | 0.22 |
| | Qk.N | #1\|BS-Qk.N | pGr | 0.00 | 0.14 |
| | Qk.N | #1\|(D-009)-1 | pGr | -0.02 | 0.94 |
| | Qk.N | #1\|(D-01)-1 | pGr | 3.85 | -2.13 |
| | Qk.N | #1\|(D-01)-3 | pGr | 0.43 | -0.93 |
| | Qk.N | #1\|(D-01)-4 | pGr | 0.01 | -0.01 |
| | Qk.N | #1\|(D-01)-7 | pGr | -0.40 | 1.56 |
| | Qk.N | #1\|(D-01)-8 | pGr | -0.03 | -0.01 |
| | Qk.N | #2\|#SE-LF-2 | pGr | -0.01 | -0.36 |
| | Qk.N | #2\|BS-Qk.N | pGr | 0.02 | 0.10 |
| | Qk.N | #2\|(D-009)-1 | pGr | -0.15 | 0.53 |
| | Qk.N | #2\|(D-009)-2 | pGr | 0.18 | 0.31 |
| | Qk.N | #2\|(D-009)-3 | pGr | 0.01 | -0.03 |
| | Qk.S | #1\|BS-Qk.S | pGr | -0.12 | -0.19 |
| | Qk.S | #1\|BS-Qk.S | pGr | 0.06 | -0.01 |
| | Qk.S | #1\|(Qk.S)-A | pGr | 1.31 | 0.42 |
| | Qk.S | #1\|(Qk.S)-A | pGr | -0.04 | 0.24 |
| | Qk.S | #1\|(Qk.S)-B | pGr | 0.64 | 0.20 |
| | Qk.S | #1\|(Qk.S)-B | pGr | -0.03 | 0.18 |
| | Qk.S | #1\|(Qk.S)-C | pGr | 1.32 | 0.42 |
| | Qk.S | #1\|(Qk.S)-C | pGr | -0.03 | 0.18 |
| | Qk.S | #2\|BS-Qk.S | pGr | 0.05 | 0.00 |
| | Qk.S | #2\|(Qk.S)-A | pGr | 0.00 | 0.16 |
| | Qk.S | #2\|(Qk.S)-B | pGr | 0.00 | 0.12 |
| | Qk.S | #2\|(Qk.S)-C | pGr | 0.00 | 0.12 |



durch Vergleichsrechnung geprüft

| Position | EW | Lastfall | Art | $p_A$ | $p_E$ [kN/m] |
|---|---|---|---|---|---|
| | Qk.W | #1\|(Qk.W)-000 | pGr | 0.82 | 0.26 |
| | Qk.W | #1\|(Qk.W)-000 | pGr | 0.01 | -0.08 |
| | Qk.W | #1\|(Qk.W)-090 | pGr | -2.25 | -0.72 |
| | Qk.W | #1\|(Qk.W)-090 | pGr | -0.12 | 0.80 |
| | Qk.W | #1\|(Qk.W)-180 | pGr | -0.81 | -0.26 |
| | Qk.W | #1\|(Qk.W)-180 | pGr | 0.01 | -0.08 |
| | Qk.W | #1\|(Qk.W)-270 | pGr | -0.91 | -0.29 |
| | Qk.W | #1\|(Qk.W)-270 | pGr | -0.06 | 0.38 |
| | Qk.W | #2\|(Qk.W)-000 | pGr | 0.00 | -0.05 |
| | Qk.W | #2\|(Qk.W)-090 | pGr | 0.00 | 0.54 |
| | Qk.W | #2\|(Qk.W)-180 | pGr | 0.00 | -0.05 |
| | Qk.W | #2\|(Qk.W)-270 | pGr | 0.00 | 0.26 |

pGr: Gravitationslast; positive Lasten wirken senkrecht nach unten

(g1) aus Eigengewicht der Wand

Lastsummen

Einwirkungsweise Lastsummen der Punktlasten und Linienlast-Resultierenden, getrennt nach positiven und negativen Anteilen

Lasten aus Lastgruppen werden nicht berücksichtigt.

Linienlasten

| Position | EW | Art | Σpositiv [kN] | Σnegativ [kN] |
|---|---|---|---|---|
| 02-01 | Gk | PGr | 564.26 | |
| | Qk.N | PGr | 88.71 | -3.30 |
| | Qk.S | PGr | 16.02 | 0.00 |
| | Qk.W | PGr | 4.35 | -21.04 |
| 03-01 | Gk | PGr | 599.98 | |
| | Qk.N | PGr | 96.18 | -2.49 |
| | Qk.S | PGr | 14.78 | 0.00 |
| | Qk.W | PGr | 5.35 | -25.19 |
| 04-01 | Gk | PGr | 129.81 | |
| | Qk.N | PGr | 20.00 | -5.98 |
| | Qk.S | PGr | 0.11 | -0.50 |
| | Qk.W | PGr | 0.00 | -1.39 |
| 05-01 | Gk | PGr | 196.90 | |
| | Qk.N | PGr | 41.36 | -8.12 |
| | Qk.S | PGr | 0.00 | -0.51 |
| | Qk.W | PGr | 0.24 | -11.91 |
| 06-01 | Gk | PGr | 171.55 | |
| | Qk.N | PGr | 24.87 | -0.11 |
| | Qk.S | PGr | 0.04 | -0.05 |
| | Qk.W | PGr | 0.61 | -0.23 |
| 01-01.5 | Gk | PGr | 131.52 | |
| | Qk.N | PGr | 55.78 | -2.99 |
| | Qk.S | PGr | 0.00 | -0.03 |



durch Vergleichsrechnung geprüft

| Position | EW | Art | Σpositiv [kN] | Σnegativ [kN] |
|---|---|---|---|---|
| | Qk.W | PGr | 0.01 | -0.13 |
| O1-01.7 | Gk | PGr | 82.92 | |
| | Qk.N | PGr | 32.57 | -0.70 |
| | Qk.W | PGr | 0.03 | -0.26 |
| O1-03.1 | Gk | PGr | 95.08 | |
| | Qk.N | PGr | 37.37 | -0.71 |
| | Qk.S | PGr | 0.21 | 0.00 |
| | Qk.W | PGr | 0.03 | -0.26 |
| O1-03.3 | Gk | PGr | 123.90 | |
| | Qk.N | PGr | 52.35 | -3.01 |
| | Qk.S | PGr | 0.00 | -0.04 |
| | Qk.W | PGr | 0.01 | -0.14 |
| O1-08.1 | Gk | PGr | 66.65 | |
| | Qk.N | PGr | 16.01 | -6.30 |
| | Qk.S | PGr | 5.90 | 0.00 |
| | Qk.W | PGr | 1.43 | -9.97 |
| O1-08.3 | Gk | PGr | 95.60 | |
| | Qk.N | PGr | 15.75 | -9.74 |
| | Qk.S | PGr | 0.00 | -0.52 |
| | Qk.W | PGr | 0.06 | -0.39 |
| O1-08.5 | Gk | PGr | 62.47 | |
| | Qk.N | PGr | 15.62 | -7.11 |
| | Qk.S | PGr | 5.46 | 0.00 |
| | Qk.W | PGr | 1.46 | -9.98 |
| W-002 | Gk | PGr | 60.93 | |
| | Qk.N | PGr | 12.05 | -0.09 |
| | Qk.S | PGr | 0.55 | 0.00 |
| | Qk.W | PGr | 0.33 | -0.08 |
| W-003 | Gk | PGr | 25.87 | |
| | Qk.N | PGr | 3.07 | -1.64 |
| | Qk.S | PGr | 0.00 | -0.20 |
| | Qk.W | PGr | 0.42 | -2.71 |
| W-004 | Gk | PGr | 253.00 | |
| | Qk.N | PGr | 68.40 | -11.56 |
| | Qk.S | PGr | 6.27 | 0.00 |
| | Qk.W | PGr | 0.09 | -1.07 |
| W-005 | Gk | PGr | 41.00 | |
| | Qk.N | PGr | 13.77 | -5.44 |
| | Qk.S | PGr | 3.81 | 0.00 |
| | Qk.W | PGr | 0.55 | -3.81 |
| W-006.1 | Gk | PGr | 146.75 | |
| | Qk.N | PGr | 39.96 | -7.23 |
| | Qk.S | PGr | 10.12 | 0.00 |
| | Qk.W | PGr | 1.53 | -10.97 |
| W-006.2 | Gk | PGr | 146.20 | |
| | Qk.N | PGr | 39.90 | -7.34 |
| | Qk.S | PGr | 9.99 | 0.00 |
| | Qk.W | PGr | 1.53 | -10.97 |
| W-007 | Gk | PGr | 51.91 | |
| | Qk.N | PGr | 15.72 | -9.29 |
| | Qk.S | PGr | 0.00 | -0.01 |
| | Qk.W | PGr | 0.16 | -2.60 |
| W-008 | Gk | PGr | 36.55 | |
| | Qk.N | PGr | 4.94 | -0.43 |
| | Qk.S | PGr | 0.17 | -0.16 |
| | Qk.W | PGr | 0.81 | -3.76 |
| W-010 | Gk | PGr | 72.44 | |
| | Qk.N | PGr | 20.68 | -2.28 |
| | Qk.S | PGr | 0.00 | 0.00 |




durch Vergleichsrechnung geprüft

| Position | EW | Art | Σpositiv [kN] | Σnegativ [kN] |
|---|---|---|---|---|
| | Qk.W | PGr | 0.10 | -0.01 |
| W-011 | Gk | PGr | 76.96 | |
| | Qk.N | PGr | 19.65 | -2.19 |
| | Qk.S | PGr | 0.00 | -0.89 |
| | Qk.W | PGr | 2.86 | -13.23 |
| W-012 | Gk | PGr | 55.65 | |
| | Qk.N | PGr | 10.87 | -0.36 |
| | Qk.S | PGr | 0.47 | 0.00 |
| | Qk.W | PGr | 0.36 | -0.10 |
| W-014 | Gk | PGr | 190.22 | |
| | Qk.N | PGr | 50.20 | -6.14 |
| | Qk.S | PGr | 2.17 | 0.00 |
| | Qk.W | PGr | 0.06 | -0.40 |
| W-019 | Gk | PGr | 456.22 | |
| | Qk.N | PGr | 102.31 | -20.35 |
| | Qk.S | PGr | 0.00 | -0.93 |
| | Qk.W | PGr | 0.19 | -24.05 |
| W-020 | Gk | PGr | 142.13 | |
| | Qk.N | PGr | 32.06 | -0.70 |
| | Qk.S | PGr | 1.81 | 0.00 |
| | Qk.W | PGr | 0.02 | 0.00 |
| W-021 | Gk | PGr | 41.03 | |
| | Qk.N | PGr | 13.77 | -5.43 |
| | Qk.S | PGr | 3.91 | 0.00 |
| | Qk.W | PGr | 0.55 | -3.81 |
| W-022 | Gk | PGr | 243.16 | |
| | Qk.N | PGr | 66.29 | -11.94 |
| | Qk.S | PGr | 0.15 | 0.00 |
| | Qk.W | PGr | 0.09 | -1.07 |
| W-025 | Gk | PGr | 145.89 | |
| | Qk.N | PGr | 33.00 | -0.58 |
| | Qk.S | PGr | 3.05 | 0.00 |
| | Qk.W | PGr | 0.03 | -0.01 |
| W-026 | Gk | PGr | 187.47 | |
| | Qk.N | PGr | 49.75 | -6.42 |
| | Qk.S | PGr | 0.73 | 0.00 |
| | Qk.W | PGr | 0.08 | -0.41 |
| W-027 | Gk | PGr | 23.67 | |
| | Qk.N | PGr | 9.32 | -6.01 |
| | Qk.S | PGr | 0.07 | -0.33 |
| | Qk.W | PGr | 0.04 | -0.52 |
| W-029 | Gk | PGr | 74.01 | |
| | Qk.N | PGr | 20.78 | -2.28 |
| | Qk.S | PGr | 1.83 | 0.00 |
| | Qk.W | PGr | 0.10 | -0.01 |
| W-031 | Gk | PGr | 52.35 | |
| | Qk.N | PGr | 15.99 | -9.40 |
| | Qk.S | PGr | 0.49 | 0.00 |
| | Qk.W | PGr | 0.16 | -2.60 |
| W-032 | Gk | PGr | 76.97 | |
| | Qk.N | PGr | 19.71 | -2.27 |
| | Qk.S | PGr | 0.00 | -0.72 |
| | Qk.W | PGr | 2.86 | -13.23 |
| W-037 | Gk | PGr | 172.43 | |
| | Qk.N | PGr | 15.28 | -3.29 |
| | Qk.S | PGr | 0.26 | -0.76 |
| | Qk.W | PGr | 7.05 | -13.37 |

PGr: Gravitationslast; positive Lasten wirken senkrecht nach unten




durch Vergleichsrechnung geprüft

## Einwirkungen

**DIN EN 1990** — Einwirkungen nach DIN EN 1990

| Kürzel | Beschreibung<br>Typisierung |
|---|---|
| Gk | Eigenlasten<br>Ständige Einwirkungen |
| Qk.N | Nutzlasten<br>Kategorie A - Wohn- und Aufenthaltsräume |
| Qk.S | Schnee<br>Schnee- und Eislasten für Orte bis NN + 1000 m |
| Qk.W | Wind<br>Windlasten |

**Lastfälle** — Lastfälle und deren Zuordnung zu den Einwirkungen

| | |
|---|---|
| Gk | LF-1, BS-Gk, #1\|#SE-LF-1, #1\|BS-Gk, #1\|LF-1, #2\|BS-Gk, #2\|LF-1, #SE-LF-1 |
| Qk.N | BS-Qk.N, (D-EG)-1, (D-EG)-2, (D-EG)-3, (D-EG)-4, (D-EG)-5, (D-EG)-6, (D-EG)-7, (D-EG)-8, (D-EG)-9, (D-EG-BO)-1, (D-EG-BU)-1, #1\|#SE-LF-2, #1\|BS-Qk.N, #1\|(D-009)-1, #1\|(D-01)-1, #1\|(D-01)-2, #1\|(D-01)-3, #1\|(D-01)-4, #1\|(D-01)-5, #1\|(D-01)-6, #1\|(D-01)-7, #1\|(D-01)-8, #1\|(D-01)-9, #1\|(D-01-BO)-1, #1\|(D-01-BU)-1, #2\|#SE-LF-2, #2\|BS-Qk.N, #2\|(D-009)-1, #2\|(D-009)-2, #2\|(D-009)-3, #2\|(D-009)-4 |
| Qk.S | #1\|BS-Qk.S, #2\|BS-Qk.S<br>*#1\|LG-(Qk.S)* (#1\|(Qk.S)-A, #1\|(Qk.S)-B, #1\|(Qk.S)-C)<br>*#2\|LG-(Qk.S)* (#2\|(Qk.S)-A, #2\|(Qk.S)-B, #2\|(Qk.S)-C) |
| Qk.W | #1\|(Qk.W)-000, #1\|(Qk.W)-090, #1\|(Qk.W)-180, #1\|(Qk.W)-270, #2\|(Qk.W)-000, #2\|(Qk.W)-090, #2\|(Qk.W)-180, #2\|(Qk.W)-270 |

## Bemessung (GZT+GZG)

**Biegung Pl-As-erf-Iso** — Plattenbiegebemessung nach DIN EN 1992-1-1

**D-EG** — Bemessung für Platte (Stahlbeton) D-EG

**Mat./Querschnitt**

Beton *C 25/30*
Gesteinskörnung Quarzit
Betonstahl *B 500MA*

Dicke konstant h = 22.00 cm

**Expositionsklasse** — gemäß DIN EN 1992-1-1, Tab. 4.1

| Position | Seite | Kl | Kommentar |
|---|---|---|---|
| D-EG | umlaufend | XC1 | trocken oder ständig nass |

**Bewehrung** — Vorgaben zur Bewehrungsdefinition

| | | | | | |
|---|---|---|---|---|---|
| Betondeckung | $c_{min,u}/c_{min,o}$ | = | 10/ | 10 | mm |
| | $\Delta c_{def,u}/\Delta c_{def,o}$ | = | 10/ | 10 | mm |
| | $c_{nom,u}/c_{nom,o}$ | = | 20/ | 20 | mm |
| Bewehrungsabstand | $d'_{ru/su}$ | = | 24/ | 32 | mm |
| | $d'_{ro/so}$ | = | 24/ | 32 | mm |
| Bewehrungsrichtung | $w_{ru/su}$ | = | 0.0/ | 90.0 | ° |
| | $w_{ro/so}$ | = | 0.0/ | 90.0 | ° |



durch Vergleichsrechnung geprüft

## Grundbewehrung

| Seite | | Matte, Stäbe Ø[mm]/s[cm] | $d'_r$ [mm] | $a_{sg,r}$ [cm²/m] | $d'_s$ [mm] | $a_{sg,s}$ [cm²/m] |
|---|---|---|---|---|---|---|
| Unten | r | Q 335A | 24 | 3.35 | 32 | 3.35 |
| Oben | r | Q 335A | 24 | 3.35 | 32 | 3.35 |

## Nachweisparameter

nach DIN EN 1992-1-1

Mindestbewehrung (9.2.1.1) wurde berücksichtigt.

## Kombinationen

Maßgebende Kombinationen nach DIN EN 1990

Ew Einwirkungsname
Lkn Lastkombinationsnummer
! vorherrschende veränderliche Einwirkung

Die Beteiligung einzelner Lastfälle innerhalb einer Einwirkung wird mit diesem Ausgabeformat nicht dokumentiert.

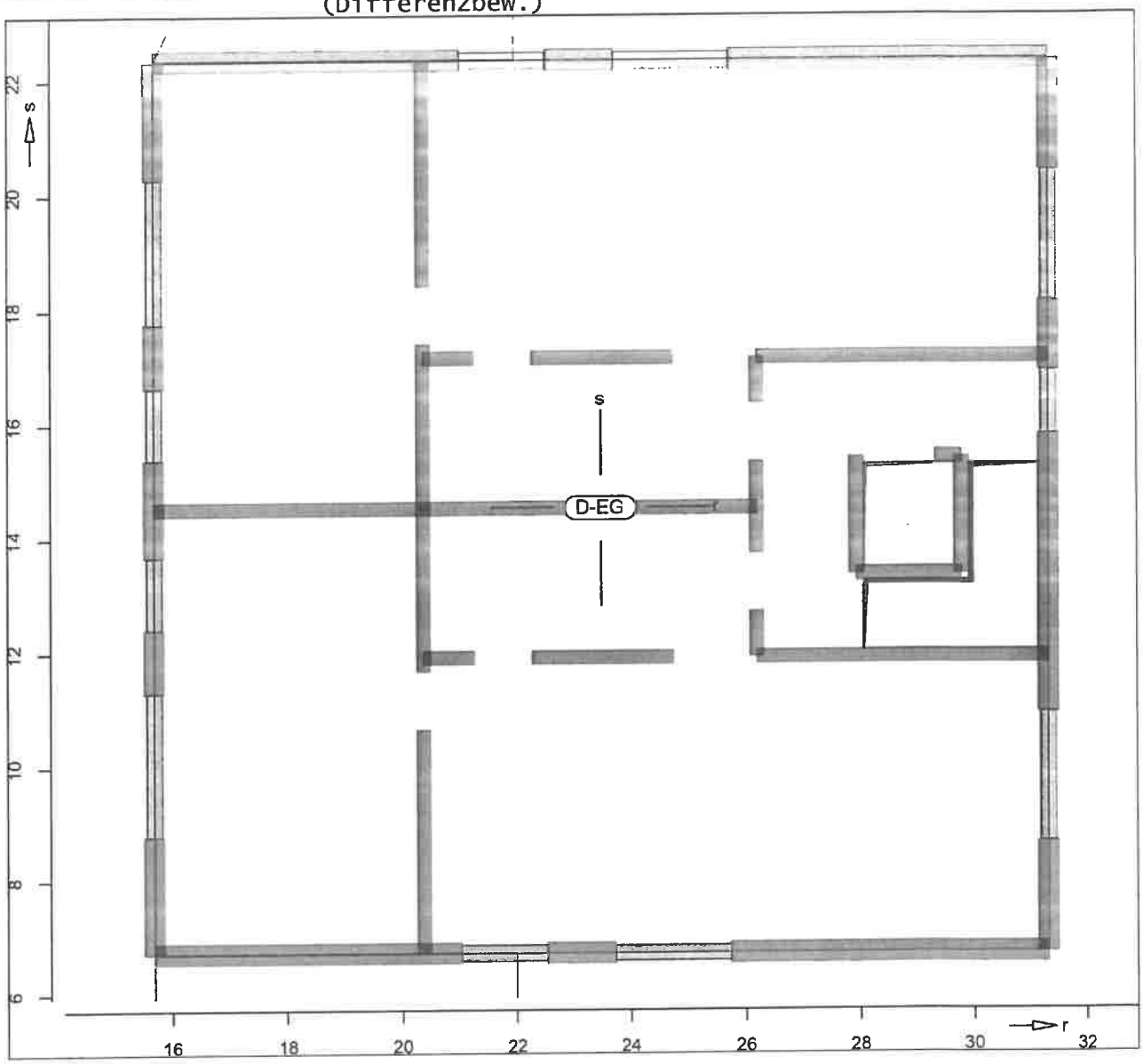
| Ew | Gk | Qk.N | Qk.S | Qk.W |
|---|---|---|---|---|
| Lkn | Grundkombination | | | |
| 1-10 | 1.35 | 1.50! | 0.75 | . |
| 11-15 | 1.35 | 1.50! | . | 0.90 |



durch Vergleichsrechnung geprüft

as,r,unten — Längsbewehrung in r-Richtung in unterer Lage

Erf. Bewehrung — Erforderliche untere Bewehrung as,ru [cm²/m] (Differenzbew.)




Isolinienstufen = 1.00 cm²/m

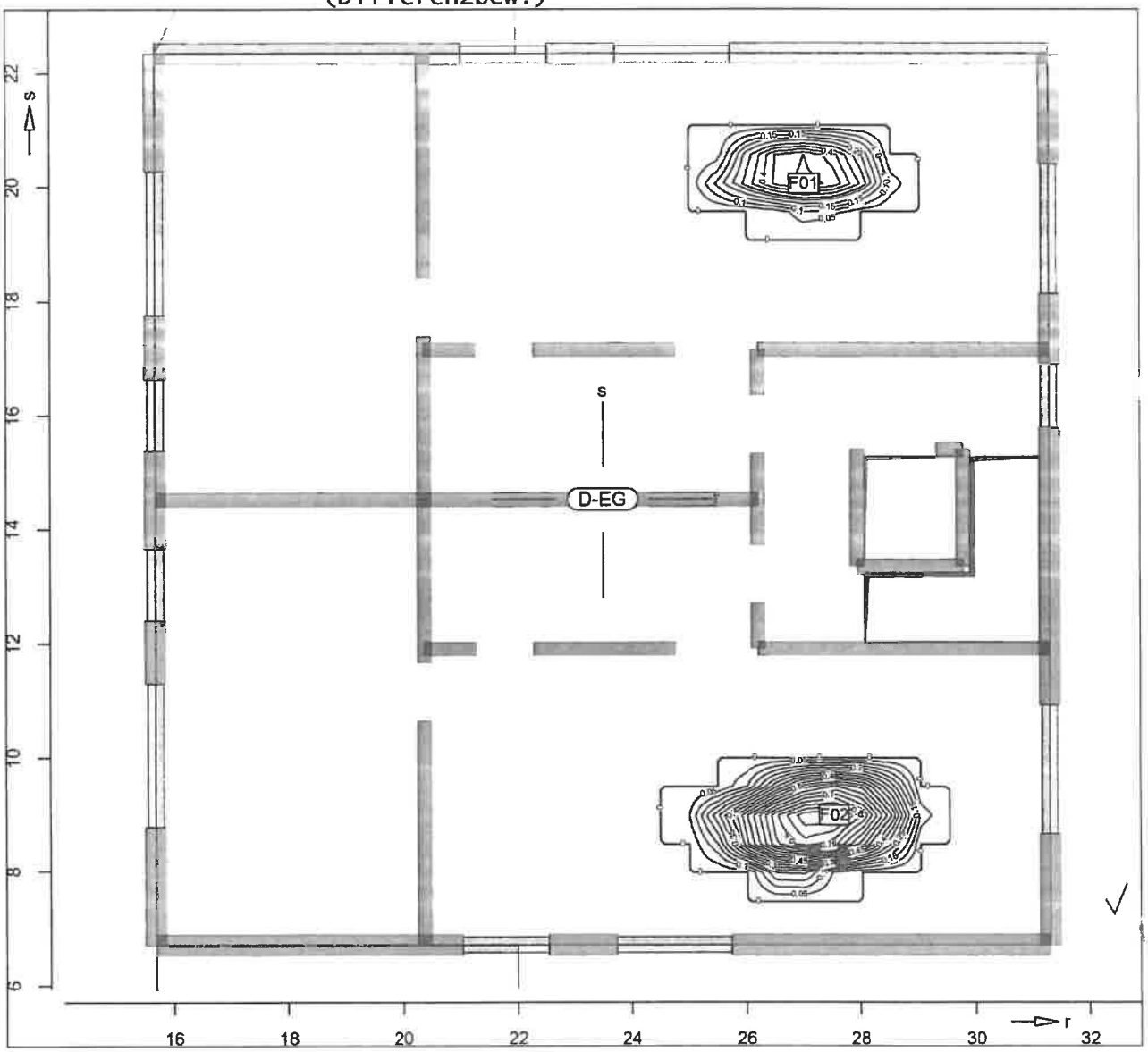
Achsabstand erf. Bewehrung: $d'_{ru}$ = 24 mm
Achsabstand vorh. Bewehrung: $d'_{ru}$ = 24 mm
Grundbewehrung: asg,ru = 3.35 cm²/m



durch Vergleichsrechnung geprüft

as,s,unten — Längsbewehrung in s-Richtung in unterer Lage

Erf. Bewehrung — Erforderliche untere Bewehrung as,su [cm²/m] (Differenzbew.)




Isolinienstufen = 0.05 cm²/m

Achsabstand erf. Bewehrung: $d'_{su}$ = 32 mm
Achsabstand vorh. Bewehrung: $d'_{su}$ = 32 mm
Grundbewehrung: asg,su = 3.35 cm²/m

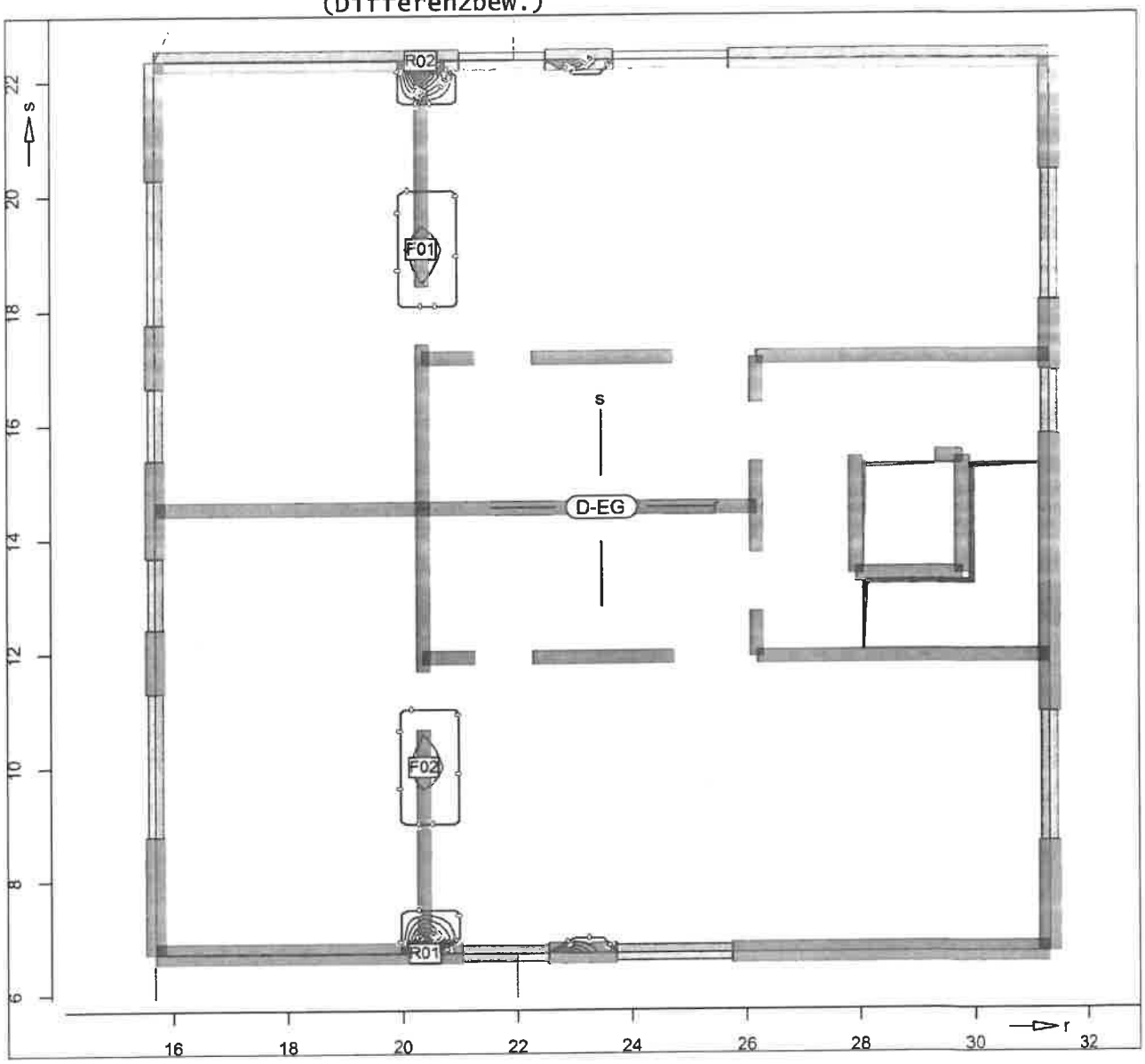
| Punkt | x | y [m] | $m_{r,Ed}$ | $m_{s,Ed}$ | $m_{rs,Ed}$ | $m_{Ed}$ [kNm/m] | $a_{s,su}$ [cm²/m] | Lkn |
|---|---|---|---|---|---|---|---|---|
| F01 | 27.03 | 20.07 | 11.01 | 33.52 | 0.00 | 33.52 | **0.52** | 1 |
| F02 | 27.53 | 8.98 | 12.69 | 36.62 | 0.00 | 36.62 | **0.95** | 2 |




durch Vergleichsrechnung geprüft

as,r,oben — Längsbewehrung in r-Richtung in oberer Lage

Erf. Bewehrung — Erforderliche obere Bewehrung as,ro [cm²/m] (Differenzbew.)




Isolinienstufen = 0.40 cm²/m

Achsabstand erf. Bewehrung: $d'_{ro}$ = 24 mm
Achsabstand vorh. Bewehrung: $d'_{ro}$ = 24 mm
Grundbewehrung: asg,ro = 3.35 cm²/m

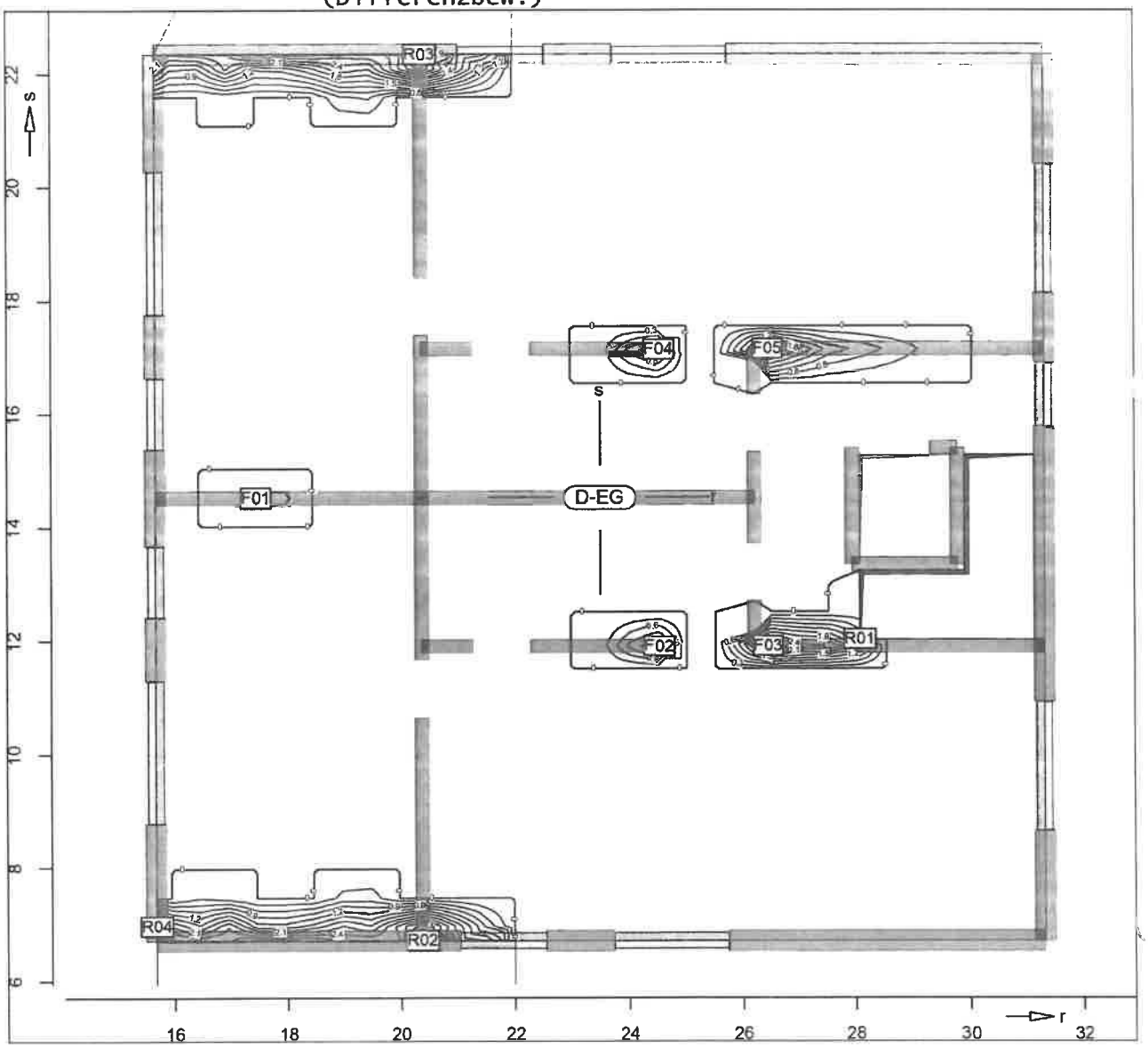
| Punkt | x | y [m] | $m_{r,Ed}$ | $m_{s,Ed}$ | $m_{rs,Ed}$ | $m_{Ed}$ [kNm/m] | $a_{s,ro}$ [cm²/m] | Lkn |
|---|---|---|---|---|---|---|---|---|
| F01 | 20.38 | 19.06 | -36.88 | -10.79 | 0.00 | -36.88 | **0.90** | 3 |
| F02 | 20.38 | 9.99 | -36.73 | -10.68 | 0.00 | -36.73 | **0.88** | 4 |
| R01 | 20.38 | 6.71 | -72.21 | -61.72 | 0.00 | -72.21 | **5.45** | 11 |
| R02 | 20.38 | 22.34 | -77.35 | -65.57 | 0.00 | -77.35 | **6.14** | 12 |



durch Vergleichsrechnung geprüft

as,s,oben — Längsbewehrung in s-Richtung in oberer Lage

Erf. Bewehrung — Erforderliche obere Bewehrung as,so [cm²/m] (Differenzbew.)




Isolinienstufen = 0.30 cm²/m

Achsabstand erf. Bewehrung: $d'_{so}$ = 32 mm
Achsabstand vorh. Bewehrung: $d'_{so}$ = 32 mm
Grundbewehrung: asg,so = 3.35 cm²/m

| Punkt | x | y [m] | $m_{r,Ed}$ | $m_{s,Ed}$ | $m_{rs,Ed}$ | $m_{Ed}$ [kNm/m] | $a_{s,so}$ [cm²/m] | Lkn |
|---|---|---|---|---|---|---|---|---|
| F01 | 17.45 | 14.53 | -6.58 | -32.62 | 0.00 | -32.62 | **0.40** | 6 |
| F02 | 24.53 | 11.91 | -14.72 | -41.01 | -0.02 | -41.03 | **1.56** | 7 |
| F03 | 26.45 | 11.91 | -18.19 | -51.28 | -0.02 | -51.29 | **3.00** | 8 |
| F04 | 24.53 | 17.15 | -14.67 | -40.83 | 0.02 | -40.85 | **1.54** | 9 |
| F05 | 26.45 | 17.15 | -17.73 | -48.96 | 0.02 | -48.98 | **2.68** | 10 |
| R01 | 28.08 | 12.03 | 7.02 | -35.86 | 0.04 | -35.86 | **0.85** | 13 |
| R02 | 20.38 | 6.71 | -71.93 | -61.75 | 0.00 | -61.75 | **4.49** | 14 |



durch Vergleichsrechnung geprüft

| Punkt | x | y [m] | $m_{r,Ed}$ | $m_{s,Ed}$ | $m_{rs,Ed}$ | $m_{Ed}$ [kNm/m] | $a_{s,so}$ [cm²/m] | Lkn |
|---|---|---|---|---|---|---|---|---|
| R03 | 20.38 | 22.34 | -77.08 | -65.61 | 0.00 | -65.61 | 5.04 | 15 |
| R04 | 15.69 | 6.96 | 0.78 | -54.45 | -0.01 | -54.45 | 3.45 | 5 |



durch Vergleichsrechnung geprüft

D-EG-BO

Bemessung für Platte (Stahlbeton) D-EG-BO

Mat./Querschnitt

Beton *C 25/30*
Gesteinskörnung Quarzit
Betonstahl *B 500MA*

Dicke konstant h = 22.00 cm

Expositionsklasse

gemäß DIN EN 1992-1-1, Tab. 4.1

| Position | Seite | | Kl | Kommentar |
|---|---|---|---|---|
| D-EG-BO | oben | b | XC4 | wechselnd nass und trocken |
| | unten | b | XC3 | mäßige Feuchte |

b: Verminderung des Vorhaltemaßes um 5 mm nach NDP zu 4.4.1.3(3)

Bewehrung

Vorgaben zur Bewehrungsdefinition

| | | | | |
|---|---|---|---|---|
| Betondeckung | $c_{min,u}/c_{min,o}$ = | 20/ | 25 | mm |
| | $\Delta c_{def,u}/\Delta c_{def,o}$ = | 10/ | 10 | mm |
| | $c_{nom,u}/c_{nom,o}$ = | 30/ | 35 | mm |
| Bewehrungsabstand | $d'_{ru/su}$ = | 34/ | 42 | mm |
| | $d'_{ro/so}$ = | 39/ | 47 | mm |
| Bewehrungsrichtung | $w_{ru/su}$ = | 0.0/ | 90.0 | ° |
| | $w_{ro/so}$ = | 0.0/ | 90.0 | ° |

Grundbewehrung

| Seite | | Matte, Stäbe Ø[mm]/s[cm] | $d'_r$ [mm] | $a_{sg,r}$ [cm²/m] | $d'_s$ [mm] | $a_{sg,s}$ [cm²/m] |
|---|---|---|---|---|---|---|
| Unten | r | Q 335A | 34 | 3.35 | 42 | 3.35 |
| Oben | r | Q 335A | 39 | 3.35 | 47 | 3.35 |

Nachweisparameter

nach DIN EN 1992-1-1

Mindestbewehrung (9.2.1.1) wurde berücksichtigt.

Kombinationen

Maßgebende Kombinationen nach DIN EN 1990

Ew Einwirkungsname
Lkn Lastkombinationsnummer
! vorherrschende veränderliche Einwirkung

Die Beteiligung einzelner Lastfälle innerhalb einer Einwirkung wird mit diesem Ausgabeformat nicht dokumentiert.

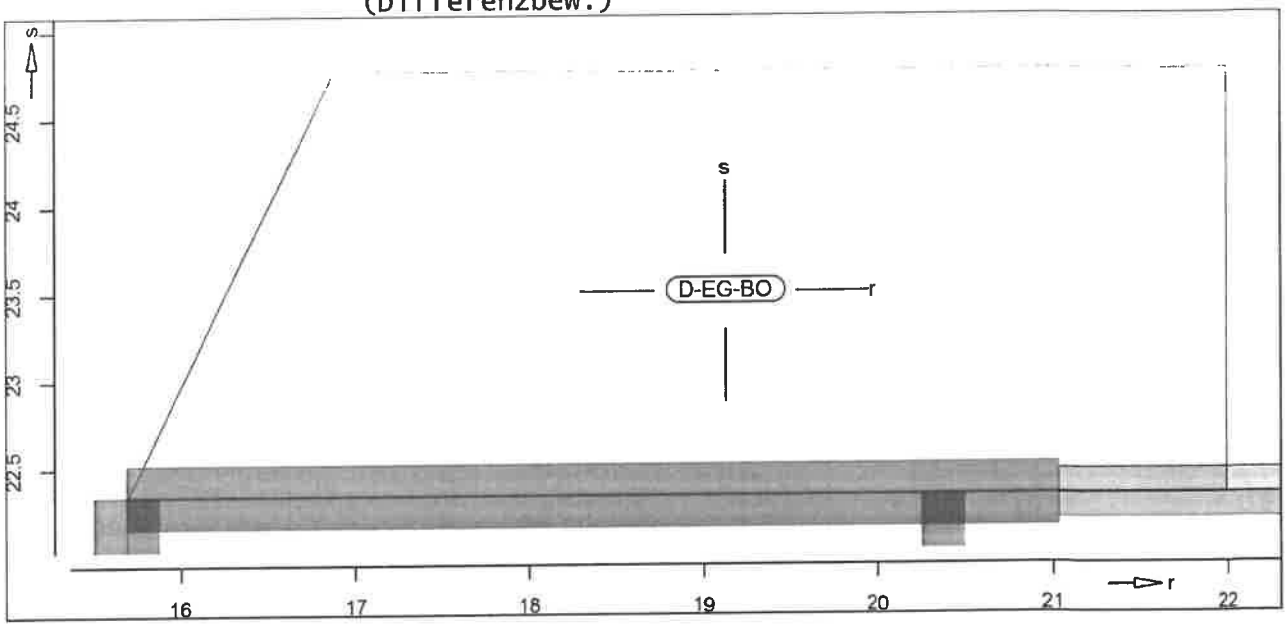
| Ew | Gk | Qk.N | Qk.S | Qk.W |
|---|---|---|---|---|
| Lkn | Grundkombination | | | |
| 1-2 | 1.35 | 1.50! | . | 0.90 |
| 3 | 1.35 | 1.50! | 0.75 | . |



durch Vergleichsrechnung geprüft

as,r,unten — Längsbewehrung in r-Richtung in unterer Lage

Erf. Bewehrung — Erforderliche untere Bewehrung as,ru [cm²/m] (Differenzbew.)




Isolinienstufen = 1.00 cm²/m

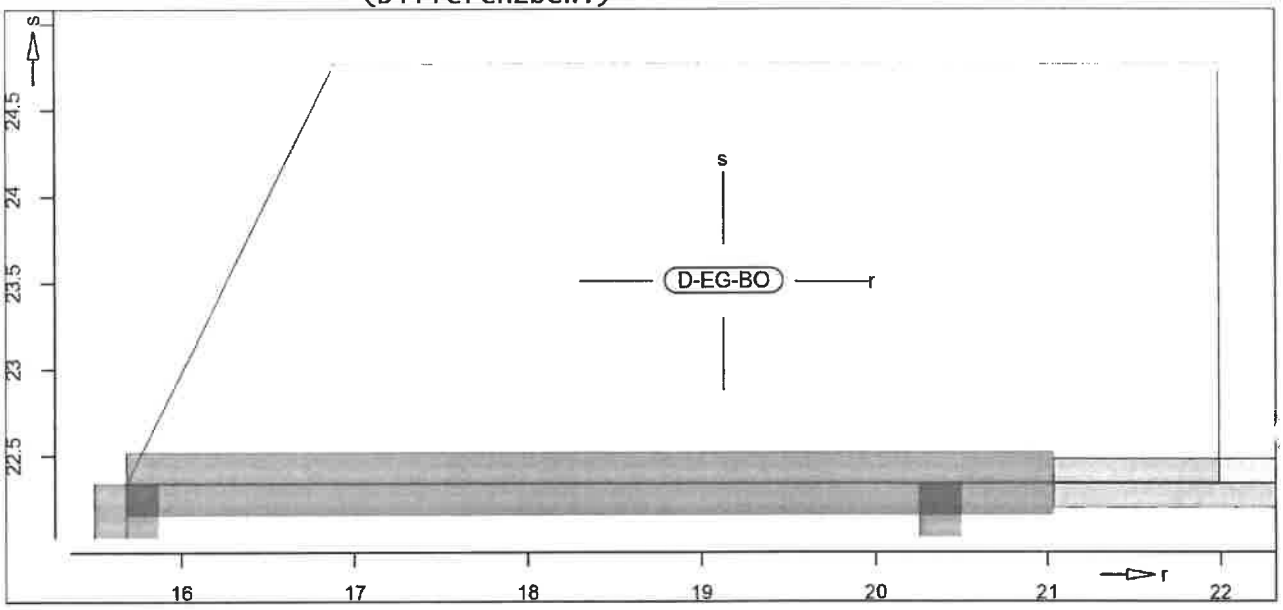
Achsabstand erf. Bewehrung: $d'_{ru}$ = 34 mm
Achsabstand vorh. Bewehrung: $d'_{ru}$ = 34 mm
Grundbewehrung: asg,ru = 3.35 cm²/m



durch Vergleichsrechnung geprüft

as,s,unten — Längsbewehrung in s-Richtung in unterer Lage

Erf. Bewehrung — Erforderliche untere Bewehrung as,su [cm²/m] (Differenzbew.)




Isolinienstufen = 1.00 cm²/m

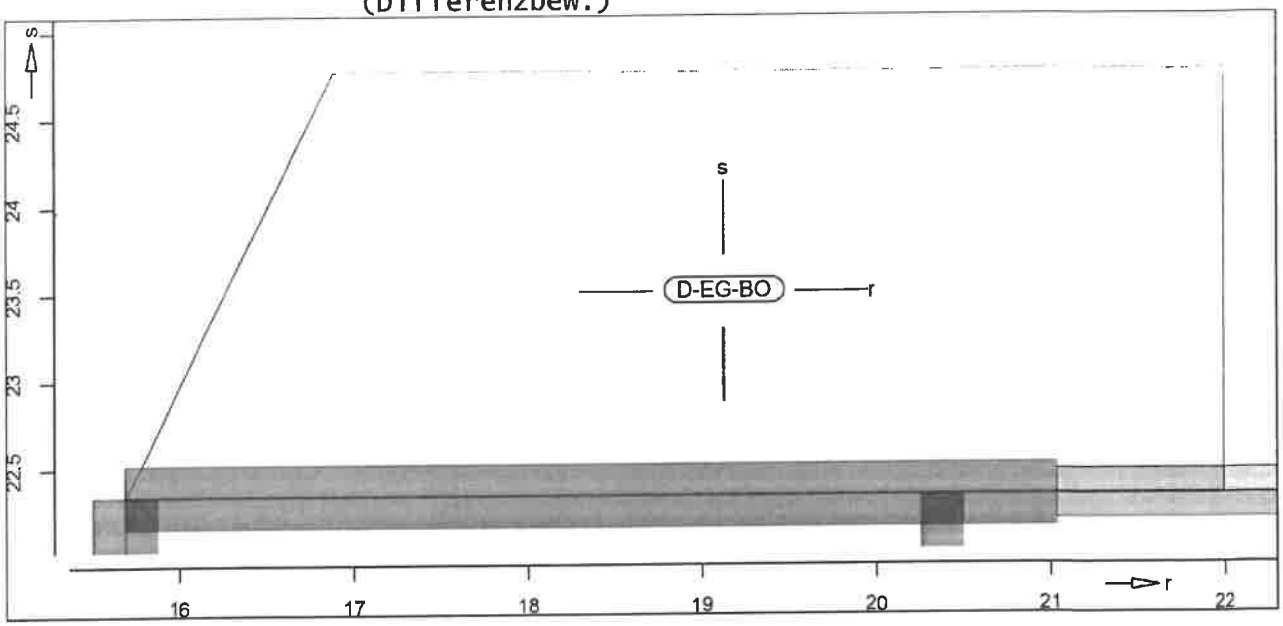
Achsabstand erf. Bewehrung: $d'_{su}$ = 42 mm
Achsabstand vorh. Bewehrung: $d'_{su}$ = 42 mm
Grundbewehrung: asg,su = 3.35 cm²/m



durch Vergleichsrechnung geprüft

as,r,oben — Längsbewehrung in r-Richtung in oberer Lage

Erf. Bewehrung — Erforderliche obere Bewehrung as,ro [cm²/m] (Differenzbew.)




Isolinienstufen = 1.00 cm²/m

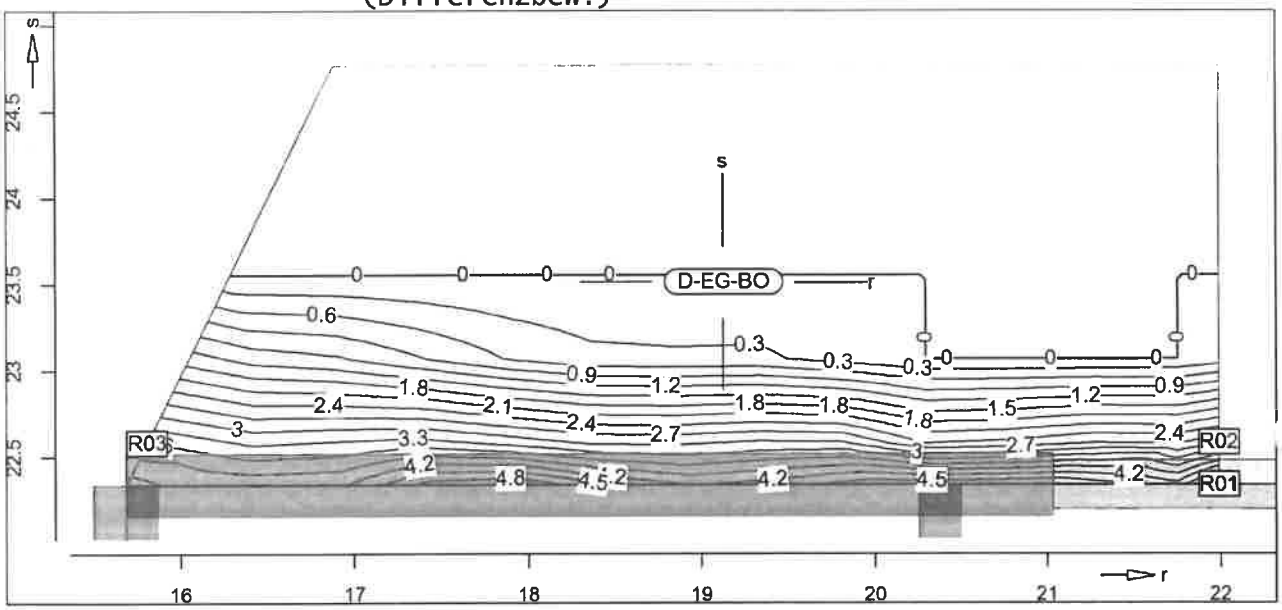
Achsabstand erf. Bewehrung: $d'_{ro}$ = 39 mm
Achsabstand vorh. Bewehrung: $d'_{ro}$ = 39 mm
Grundbewehrung: asg,ro = 3.35 cm²/m



durch Vergleichsrechnung geprüft

as,s,oben — Längsbewehrung in s-Richtung in oberer Lage

Erf. Bewehrung — Erforderliche obere Bewehrung as,so [cm²/m] (Differenzbew.)




Isolinienstufen = 0.30 cm²/m

Achsabstand erf. Bewehrung: $d'_{so}$ = 47 mm
Achsabstand vorh. Bewehrung: $d'_{so}$ = 47 mm
Grundbewehrung: asg,so = 3.35 cm²/m

| Punkt | x | y [m] | $m_{r,Ed}$ | $m_{s,Ed}$ | $m_{rs,Ed}$ | $m_{Ed}$ [kNm/m] | $a_{s,so}$ [cm²/m] | Lkn |
|---|---|---|---|---|---|---|---|---|
| R01 | 21.99 | 22.34 | -0.10 | -60.72 | 0.30 | -61.02 | **5.19** | 1 |
| R02 | 21.99 | 22.58 | 0.03 | -45.61 | -1.61 | -47.22 | **2.92** | 2 |
| R03 | 15.81 | 22.58 | 2.35 | -42.12 | -9.40 | -51.52 | **3.63** | 3 |



durch Vergleichsrechnung geprüft

## D-EG-BU

Bemessung für Platte (Stahlbeton) D-EG-BU

## Mat./Querschnitt

Beton *C 25/30*
Gesteinskörnung Quarzit
Betonstahl *B 500MA*

Dicke konstant h = 22.00 cm

## Expositionsklasse

gemäß DIN EN 1992-1-1, Tab. 4.1

| Position | Seite | | Kl | Kommentar |
|---|---|---|---|---|
| D-EG-BU | oben | b | XC4 | wechselnd nass und trocken |
| | unten | b | XC3 | mäßige Feuchte |

b: Verminderung des Vorhaltemaßes um 5 mm nach NDP zu 4.4.1.3(3)

## Bewehrung

Vorgaben zur Bewehrungsdefinition

| | | | | |
|---|---|---|---|---|
| Betondeckung | $c_{min,u}/c_{min,o}$ | = | 20/ 25 | mm |
| | $\Delta c_{def,u}/\Delta c_{def,o}$ | = | 10/ 10 | mm |
| | $c_{nom,u}/c_{nom,o}$ | = | 30/ 35 | mm |
| Bewehrungsabstand | $d'_{ru/su}$ | = | 34/ 42 | mm |
| | $d'_{ro/so}$ | = | 39/ 47 | mm |
| Bewehrungsrichtung | $w_{ru/su}$ | = | 0.0/ 90.0 | ° |
| | $w_{ro/so}$ | = | 0.0/ 90.0 | ° |

## Grundbewehrung

| Seite | | Matte, Stäbe Ø[mm]/s[cm] | $d'_r$ [mm] | $a_{sg,r}$ [cm²/m] | $d'_s$ [mm] | $a_{sg,s}$ [cm²/m] |
|---|---|---|---|---|---|---|
| Unten | r | Q 335A | 34 | 3.35 | 42 | 3.35 |
| Oben | r | Q 335A | 39 | 3.35 | 47 | 3.35 |

## Nachweisparameter

nach DIN EN 1992-1-1

Mindestbewehrung (9.2.1.1) wurde berücksichtigt.

## Kombinationen

Maßgebende Kombinationen nach DIN EN 1990

Ew Einwirkungsname
Lkn Lastkombinationsnummer
! vorherrschende veränderliche Einwirkung

Die Beteiligung einzelner Lastfälle innerhalb einer Einwirkung wird mit diesem Ausgabeformat nicht dokumentiert.

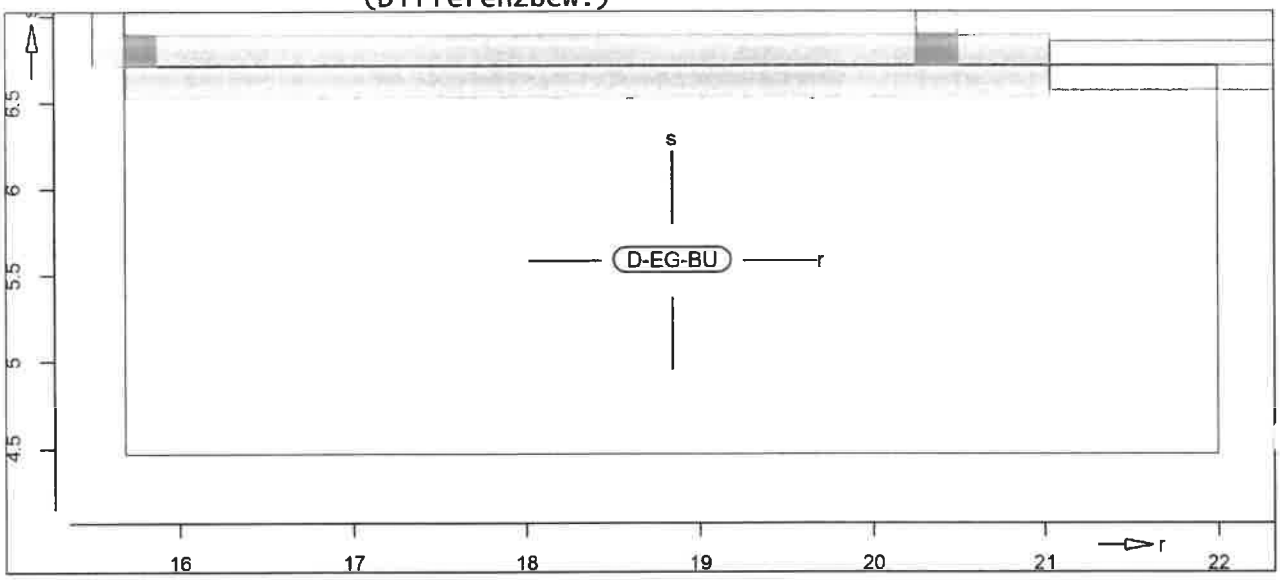
| Ew | Gk | Qk.N | Qk.S | Qk.W |
|---|---|---|---|---|
| Lkn | Grundkombination | | | |
| 1 | 1.35 | 1.50! | 0.75 | . |
| 2-3 | 1.35 | 1.50! | . | 0.90 |



durch Vergleichsrechnung geprüft

as,r,unten — Längsbewehrung in r-Richtung in unterer Lage

Erf. Bewehrung — Erforderliche untere Bewehrung as,ru [cm²/m] (Differenzbew.)




Isolinienstufen = 1.00 cm²/m

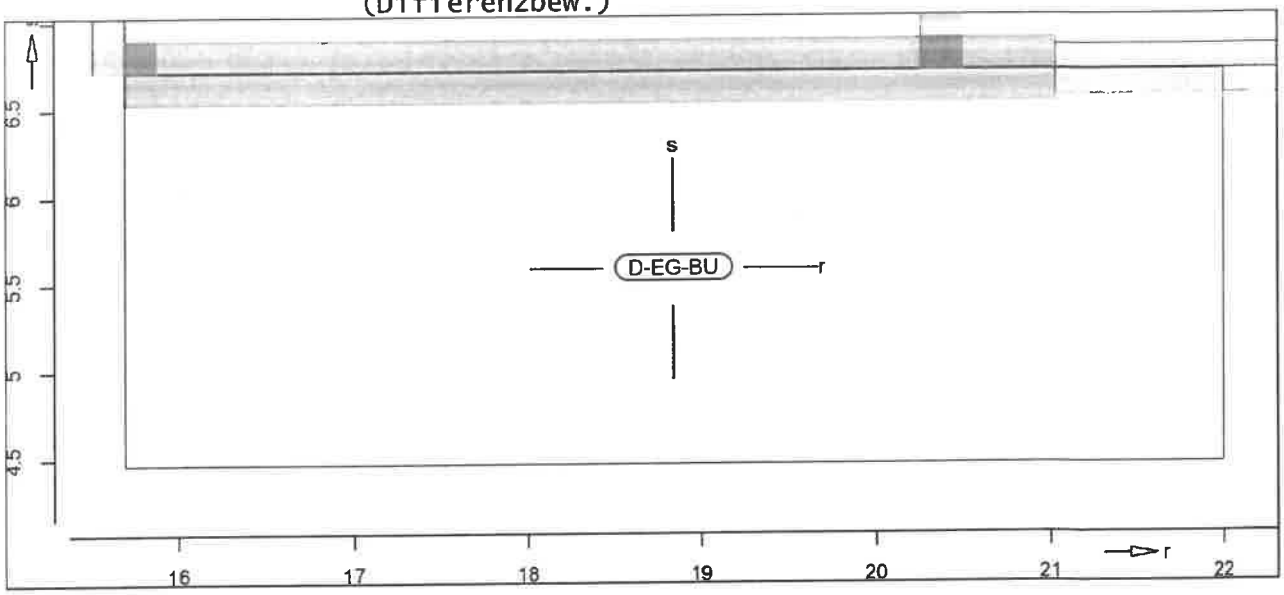
Achsabstand erf. Bewehrung: $d'_{ru}$ = 34 mm
Achsabstand vorh. Bewehrung: $d'_{ru}$ = 34 mm
Grundbewehrung: asg,ru = 3.35 cm²/m




durch Vergleichsrechnung geprüft

as,s,unten — Längsbewehrung in s-Richtung in unterer Lage

Erf. Bewehrung — Erforderliche untere Bewehrung as,su [cm²/m] (Differenzbew.)




Isolinienstufen = 1.00 cm²/m

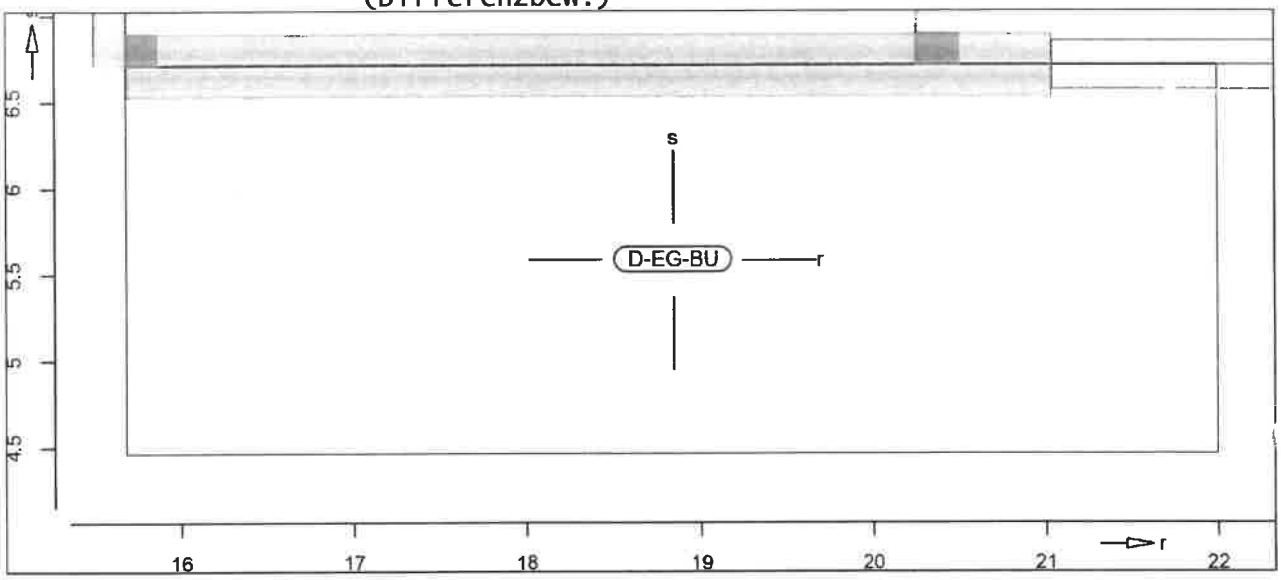
Achsabstand erf. Bewehrung: $d'_{su}$ = 42 mm
Achsabstand vorh. Bewehrung: $d'_{su}$ = 42 mm
Grundbewehrung: asg,su = 3.35 cm²/m



durch Vergleichsrechnung geprüft

as,r,oben — Längsbewehrung in r-Richtung in oberer Lage

Erf. Bewehrung — Erforderliche obere Bewehrung as,ro [cm²/m] (Differenzbew.)




Isolinienstufen = 1.00 cm²/m

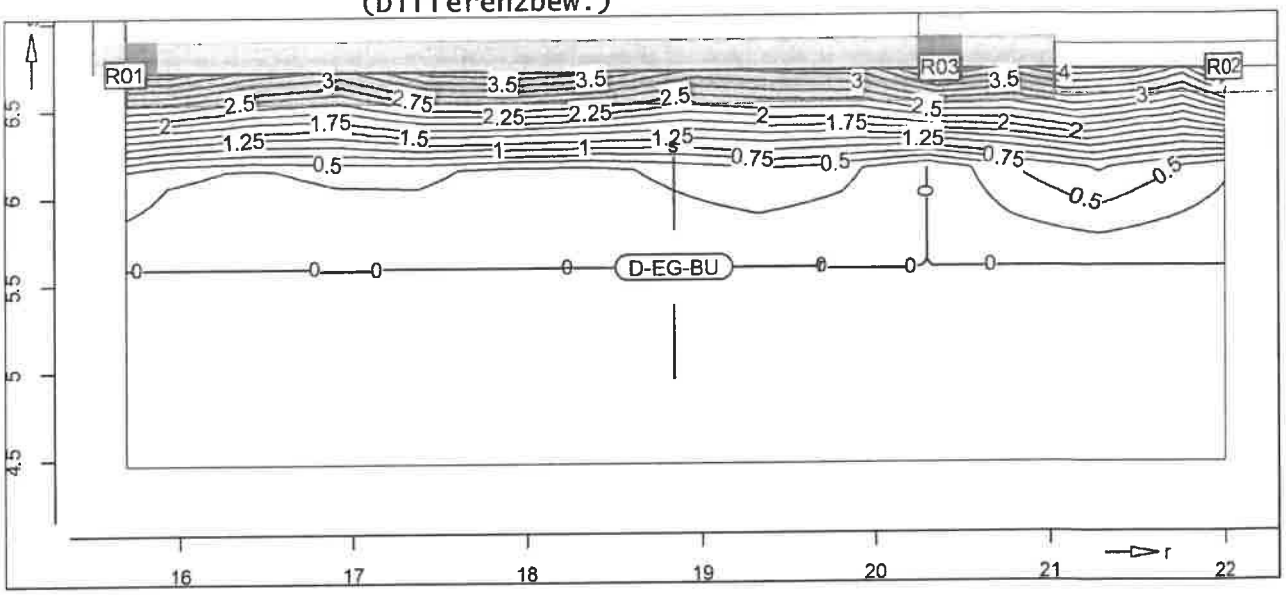
Achsabstand erf. Bewehrung: $d'_{ro}$ = 39 mm
Achsabstand vorh. Bewehrung: $d'_{ro}$ = 39 mm
Grundbewehrung: asg,ro = 3.35 cm²/m




durch Vergleichsrechnung geprüft

as,s,oben — Längsbewehrung in s-Richtung in oberer Lage

Erf. Bewehrung — Erforderliche obere Bewehrung as,so [cm²/m] (Differenzbew.)




Isolinienstufen = 0.25 cm²/m

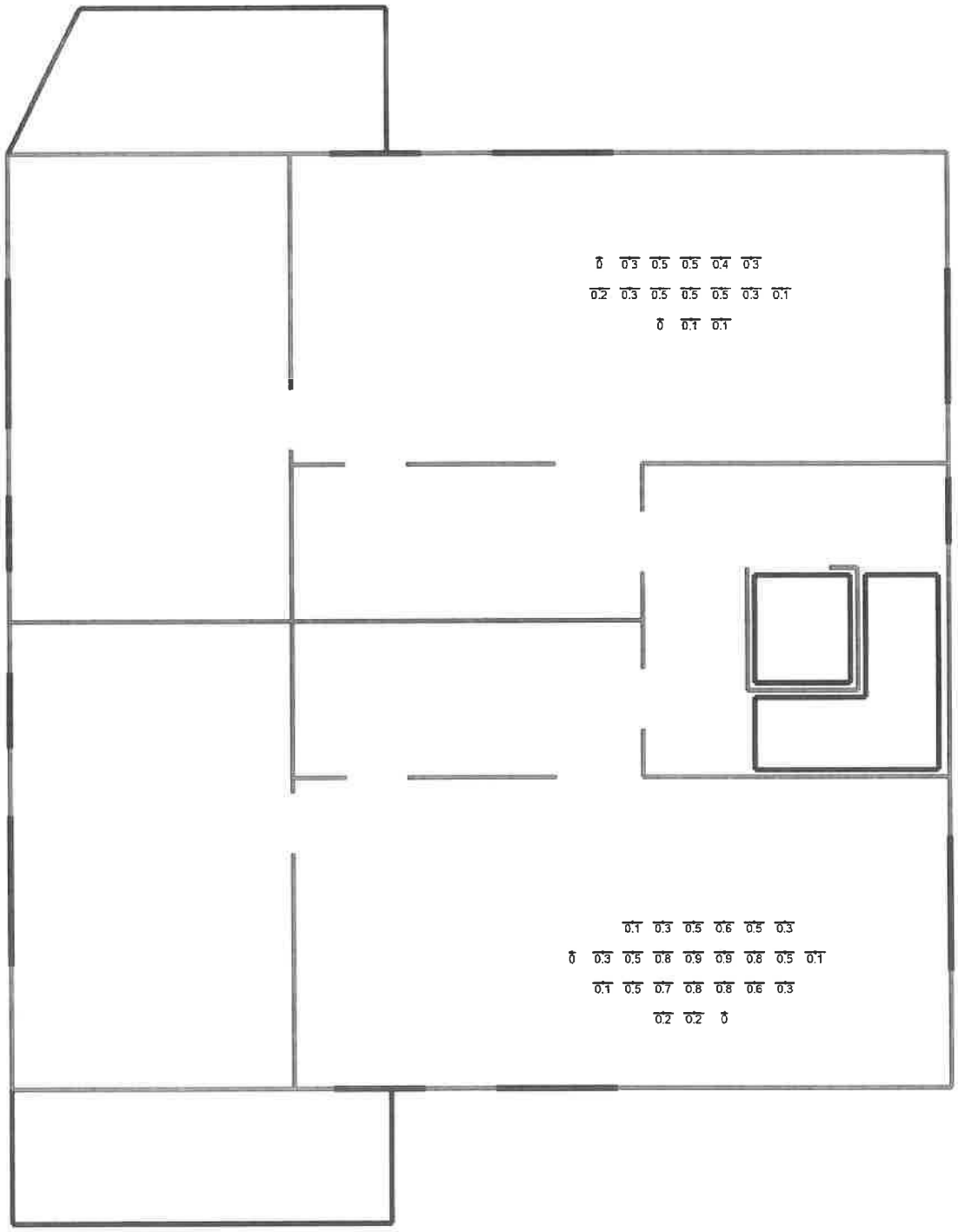
Achsabstand erf. Bewehrung: $d'_{so}$ = 47 mm
Achsabstand vorh. Bewehrung: $d'_{so}$ = 47 mm
Grundbewehrung: asg,so = 3.35 cm²/m

| Punkt | x | y [m] | $m_{r,Ed}$ | $m_{s,Ed}$ | $m_{rs,Ed}$ | $m_{Ed}$ [kNm/m] | $a_{s,so}$ [cm²/m] | Lkn |
|---|---|---|---|---|---|---|---|---|
| R01 | 15.69 | 6.71 | -0.13 | -50.27 | -2.67 | -52.94 | **3.86** | 1 |
| R02 | 22.00 | 6.71 | -0.12 | -55.85 | -1.04 | -56.90 | **4.51** | 2 |
| R03 | 20.38 | 6.71 | -22.26 | -53.19 | -2.05 | -55.24 | **4.24** | 3 |



durch Vergleichsrechnung geprüft

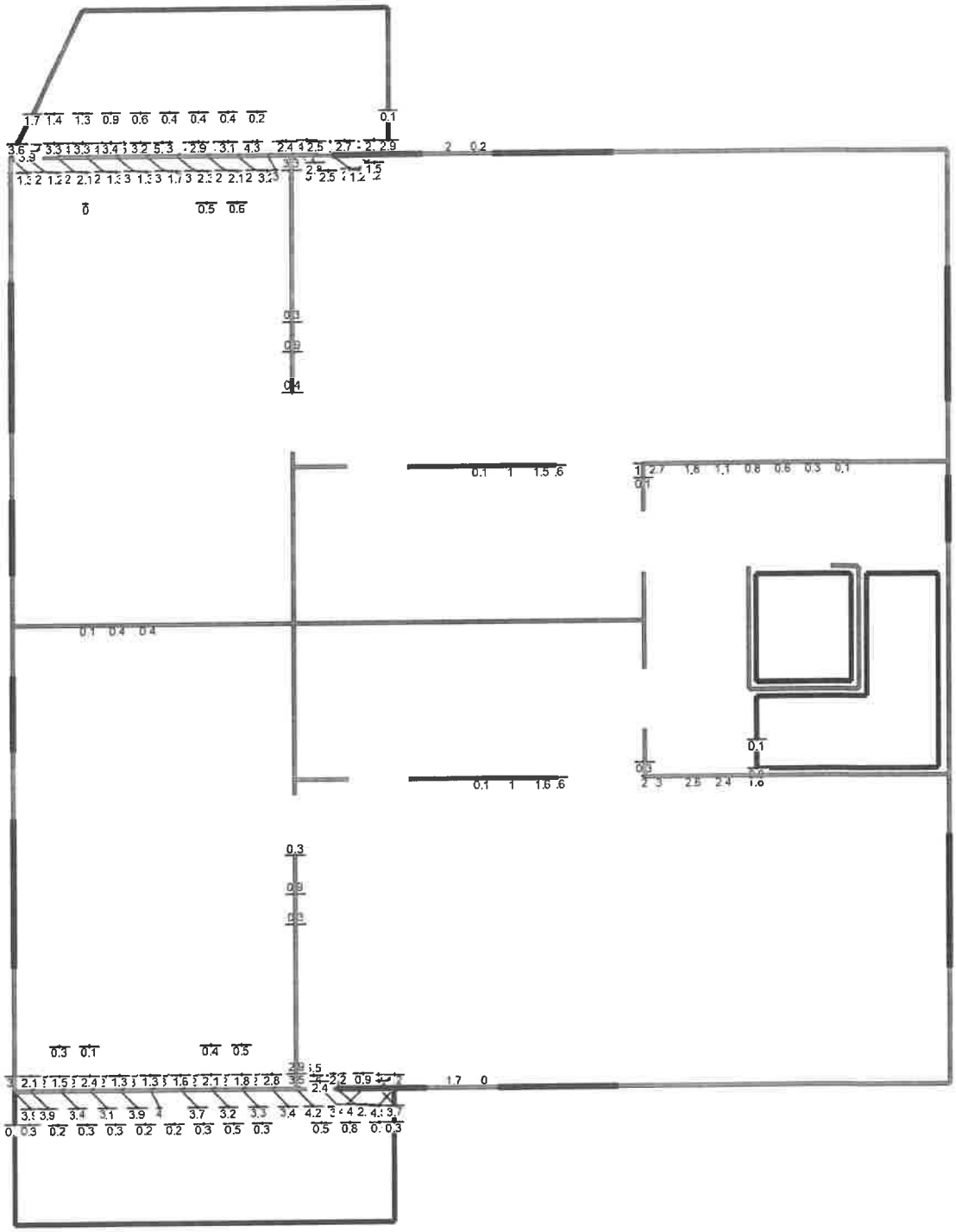
| | | | | | |
|---|---|---|---|---|---|
| Proj.Bez | **Neubau eines Mehrfamilienhauses mit 6 WE** | | | Seite HZI-286 | **286** |
| Dokument | **Guido Metzen Vermögensverwaltun** | | | Position | **4.02** |
| Datum | **16.02.2022** | **MicroFe** | **2022.013** | Projekt | **9-21-222** |




| **Flächenbemessung** | Erforderliche Bewehrung as,erf (Differenzbewehrung) | Maßstab: 1:105 |
|---|---|---|
| r/s: Vorh. Bewehrung as,vorh = 3.4 / 3.4 (Grund+Zulagen) | | |
| Beton C 25/30 | aus allen Nachweisen | |
| r/s: Bew.-Abstand d' = 24...34 / 32...42 mm | Unterseite in [cm²/m] | |
| Bauteildicke h = 22.00 cm | r/s: Min = 0 / 0, Max = 0 / 0.9 | |



durch Vergleichsrechnung geprüft



| **Flächenbemessung** | Erforderliche Bewehrung as,erf (Differenzbewehrung) | Maßstab: 1:105 |
|---|---|---|
| r/s: Vorh. Bewehrung as,vorh = 3.4 / 3.4 (Grund+Zulagen) | | |
| Beton C 25/30 | aus allen Nachweisen | |
| r/s: Bew.-Abstand d' = 24...39 / 32...47 mm | Oberseite in [cm²/m] | |
| Bauteildicke h = 22.00 cm | r/s: Min = 0 / 0, Max = 6.1 / 5.2 | |



durch Vergleichsrechnung geprüft

Querkraft Pl-As-Iso  Querkraftbemessung Plattenbereiche

D-EG  Querkraftbemessung der Platte (Isolinien)

Querkraftbemessung nach DIN EN 1992-1-1
Beton C 25/30, Betonstahl B 500SA
Gesteinskörnung Quarzit
Druckstrebenneigung wurde vom Programm optimiert.
Mindestbewehrung (9.3.2) wurde nicht ermittelt.

Dicke konstant h = 22.00 cm

Kombinationen  Maßgebende Kombinationen nach DIN EN 1990

Ew  Einwirkungsname
Lkn  Lastkombinationsnummer
!  vorherrschende veränderliche Einwirkung

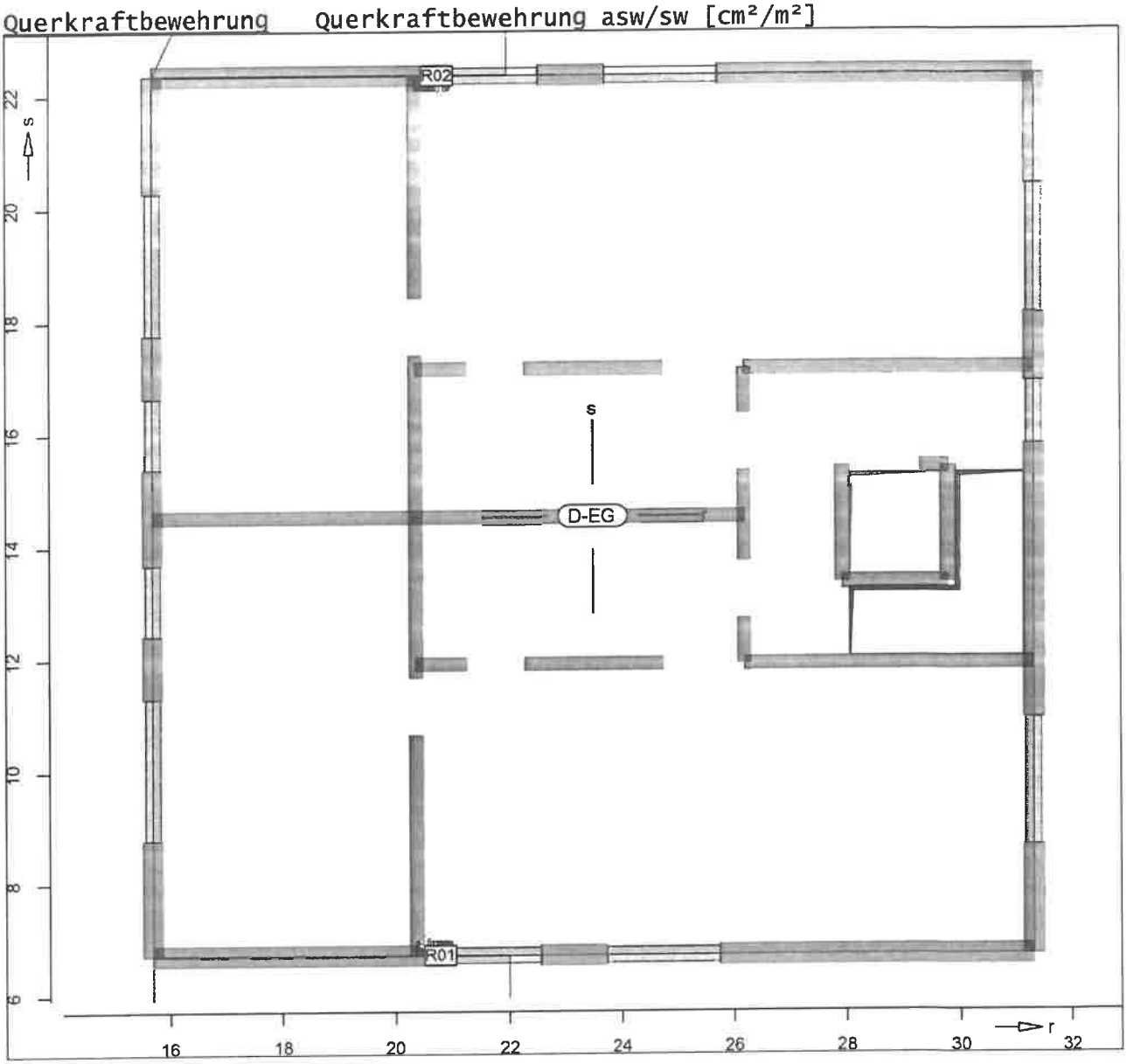
Die Beteiligung einzelner Lastfälle innerhalb einer Einwirkung wird mit diesem Ausgabeformat nicht dokumentiert.

| Ew | Gk | Qk.N | Qk.S | Qk.W |
|---|---|---|---|---|
| Lkn | Grundkombination | | | |
| 1-2 | 1.35 | 1.50! | . | 0.90 |



durch Vergleichsrechnung geprüft

Querkraftbewehrung  Querkraftbewehrung asw/sw [cm²/m²]




Isolinienstufen = 0.40 cm²/m²

| Punkt | x | y [m] | | vEd | vEd,res | vRd,c | vRd,max [kN/m] | asw/sw | Summe [cm²/m²] | Lkn |
|---|---|---|---|---|---|---|---|---|---|---|
| R01 | 20.78 | 6.71 | r | 129.7 | 140.6 | 97.0 m | 503.6 | 6.29 | 6.29 | 1 |
| | | | s | 54.1 | | 93.1 m | 427.1 | 0.00 | | |
| R02 | 20.78 | 22.34 | r | 143.8 | 154.1 | 97.0 m | 503.6 | 6.98 | 6.98 | 2 |
| | | | s | -55.3 | | 93.1 m | 427.1 | 0.00 | | |

m: Mindestwert nach DIN EN 1992-1-1, Gl.(6.2.b)  maßgebend



durch Vergleichsrechnung geprüft

D-EG-BO

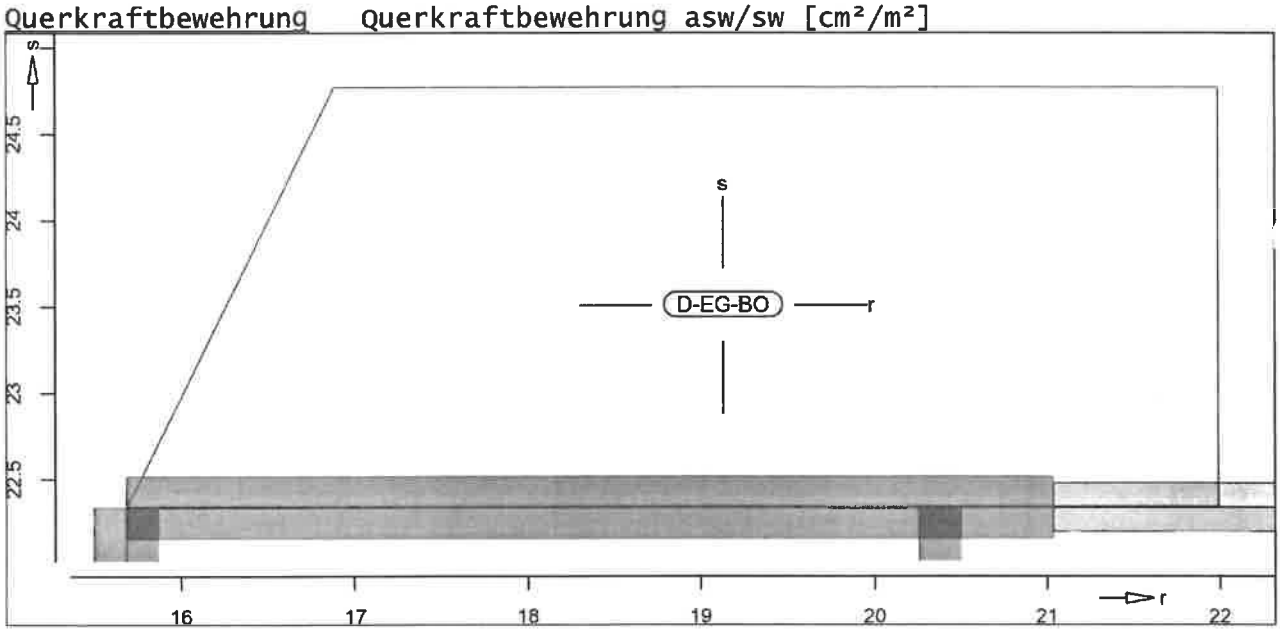
Querkraftbemessung der Platte (Isolinien)

Querkraftbemessung nach DIN EN 1992-1-1
Beton C 25/30, Betonstahl B 500SA
Gesteinskörnung Quarzit
Druckstrebenneigung wurde vom Programm optimiert.
Mindestbewehrung (9.3.2) wurde nicht ermittelt.

Dicke konstant h = 22.00 cm

Querkraftbewehrung

Querkraftbewehrung asw/sw [cm²/m²]




Isolinienstufen = 1.00 cm²/m²



durch Vergleichsrechnung geprüft

D-EG-BU

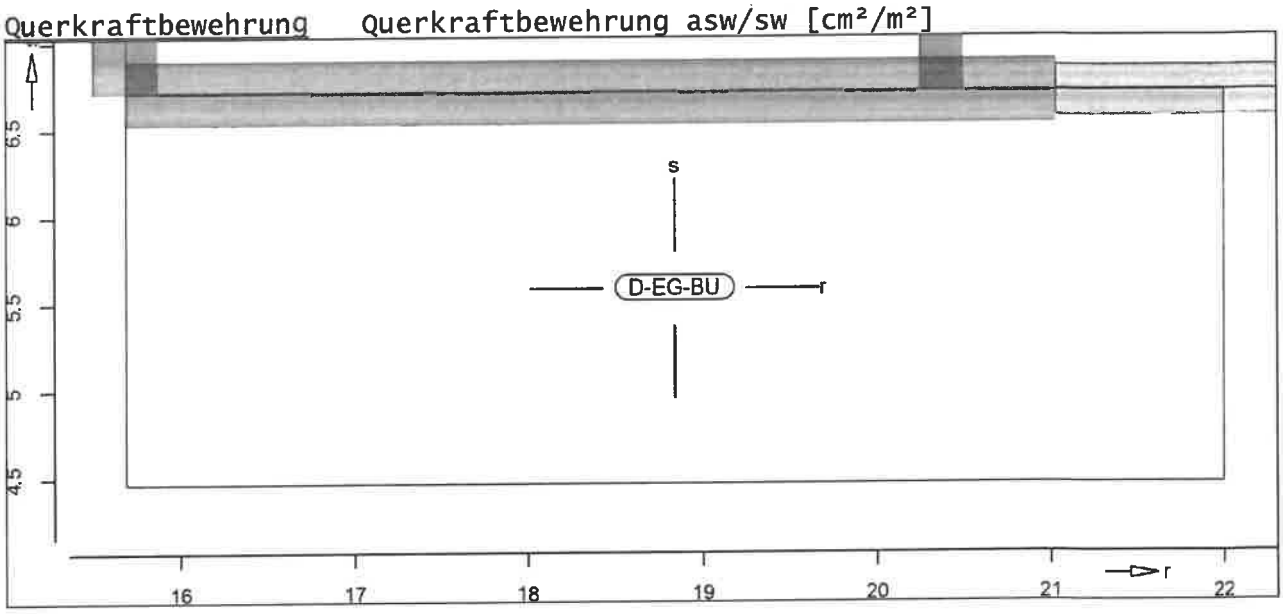
Querkraftbemessung der Platte (Isolinien)

Querkraftbemessung nach DIN EN 1992-1-1
Beton C 25/30, Betonstahl B 500SA
Gesteinskörnung Quarzit
Druckstrebenneigung wurde vom Programm optimiert.
Mindestbewehrung (9.3.2) wurde nicht ermittelt.

Dicke konstant h = 22.00 cm

Querkraftbewehrung

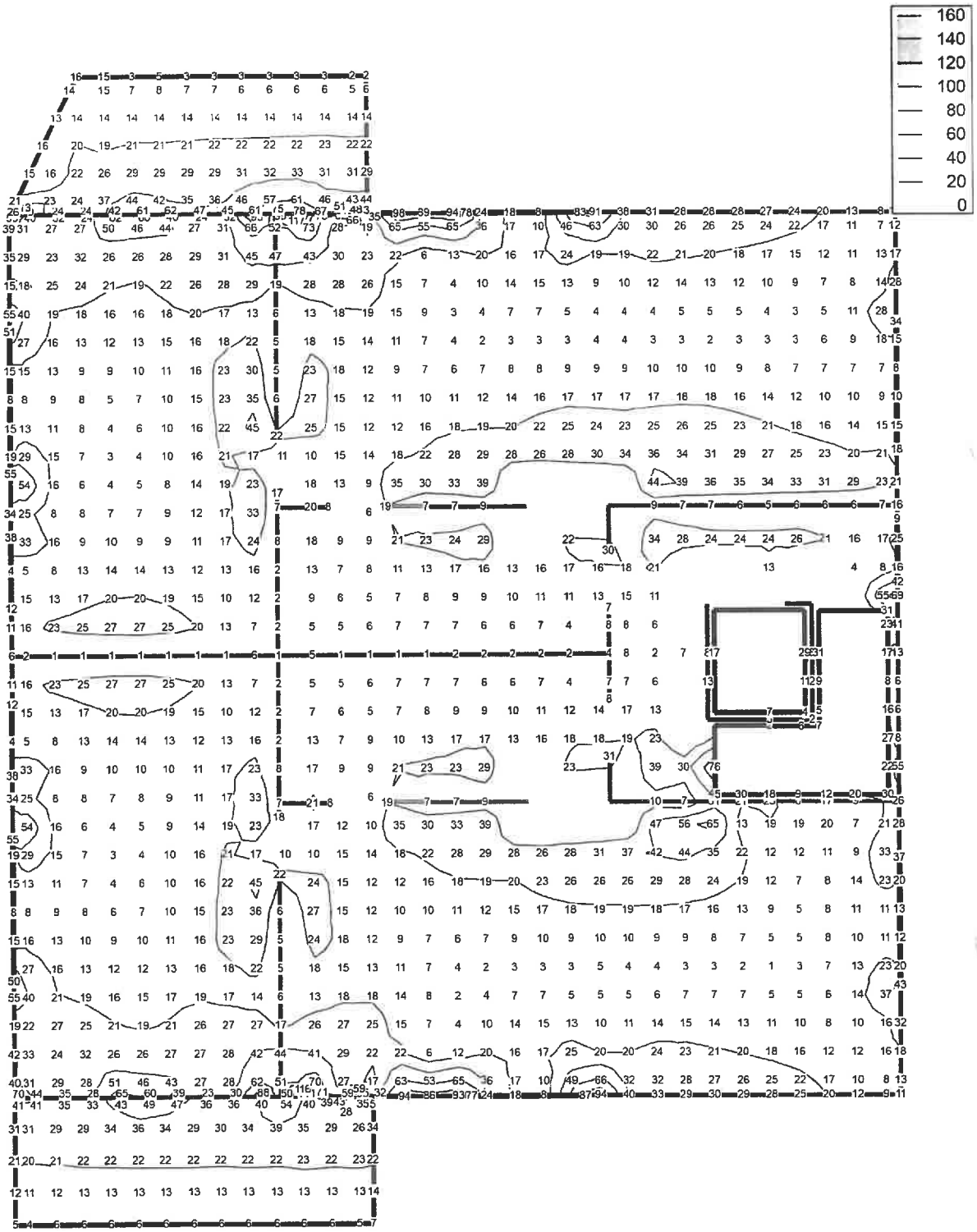
Querkraftbewehrung asw/sw [cm²/m²]




Isolinienstufen = 1.00 cm²/m²



durch Vergleichsrechnung geprüft

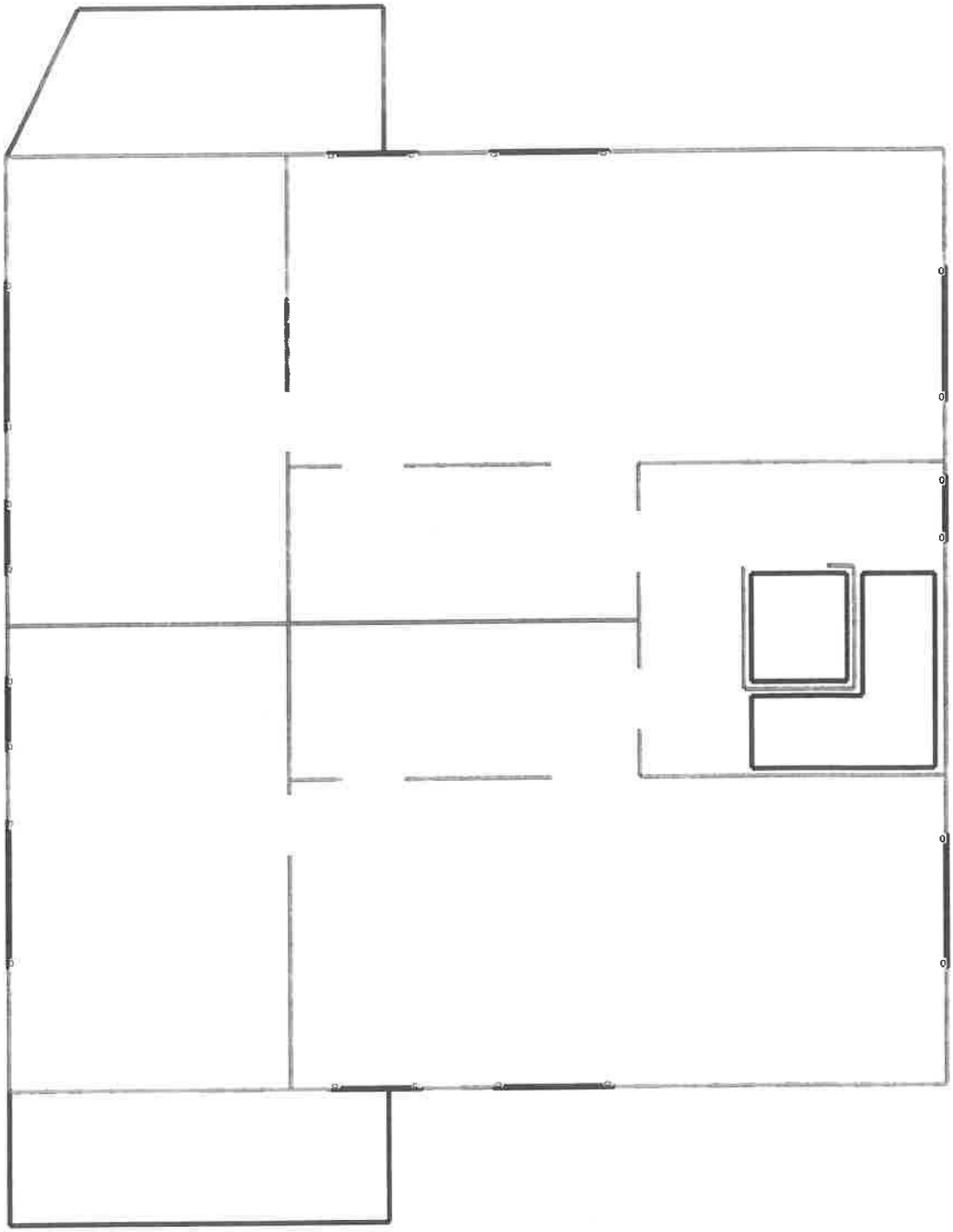



**Querkraftbemessung** Bemessungsquerkraft vEd,res aus Tragfähigkeitsnachweis in [kN/m] Maßstab: 1:105

Max = 154, Min = 0, Step = 20



**durch Vergleichsrechnung geprüft**

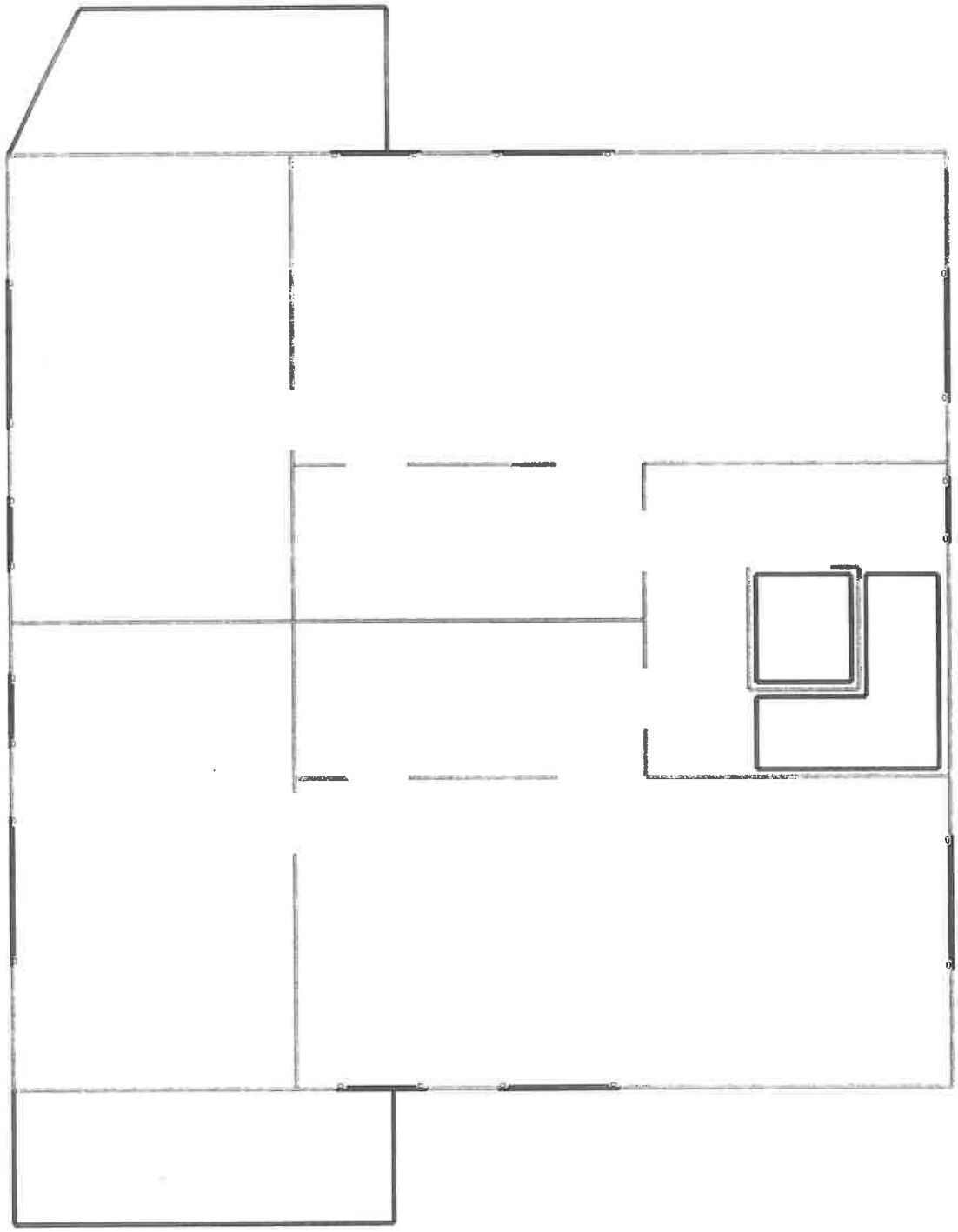


**Über-/Unterzugbemessung** Erf. Längsbewehrung As,erf (Differenzbewehrung) Maßstab: 1:105

aus allen Nachweisen
Unterseite in [cm²]
Max = 0, Min = 0



durch Vergleichsrechnung geprüft

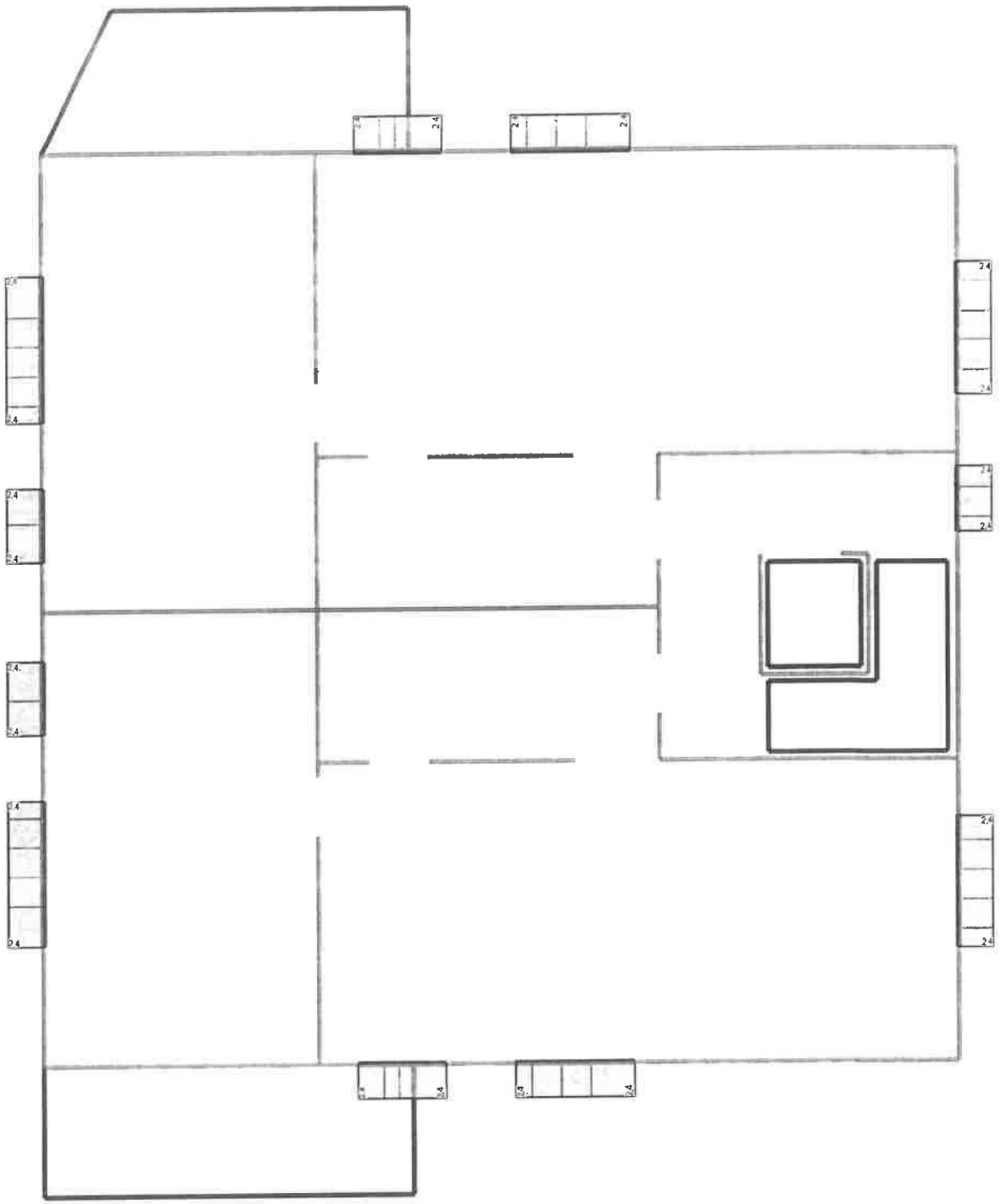


| **Über-/Unterzugbemessung** | Erf. Längsbewehrung As,erf (Differenzbewehrung) | Maßstab: 1:105 |
|---|---|---|

aus allen Nachweisen
Oberseite in [cm²]
Max = 0, Min = 0



durch Vergleichsrechnung geprüft

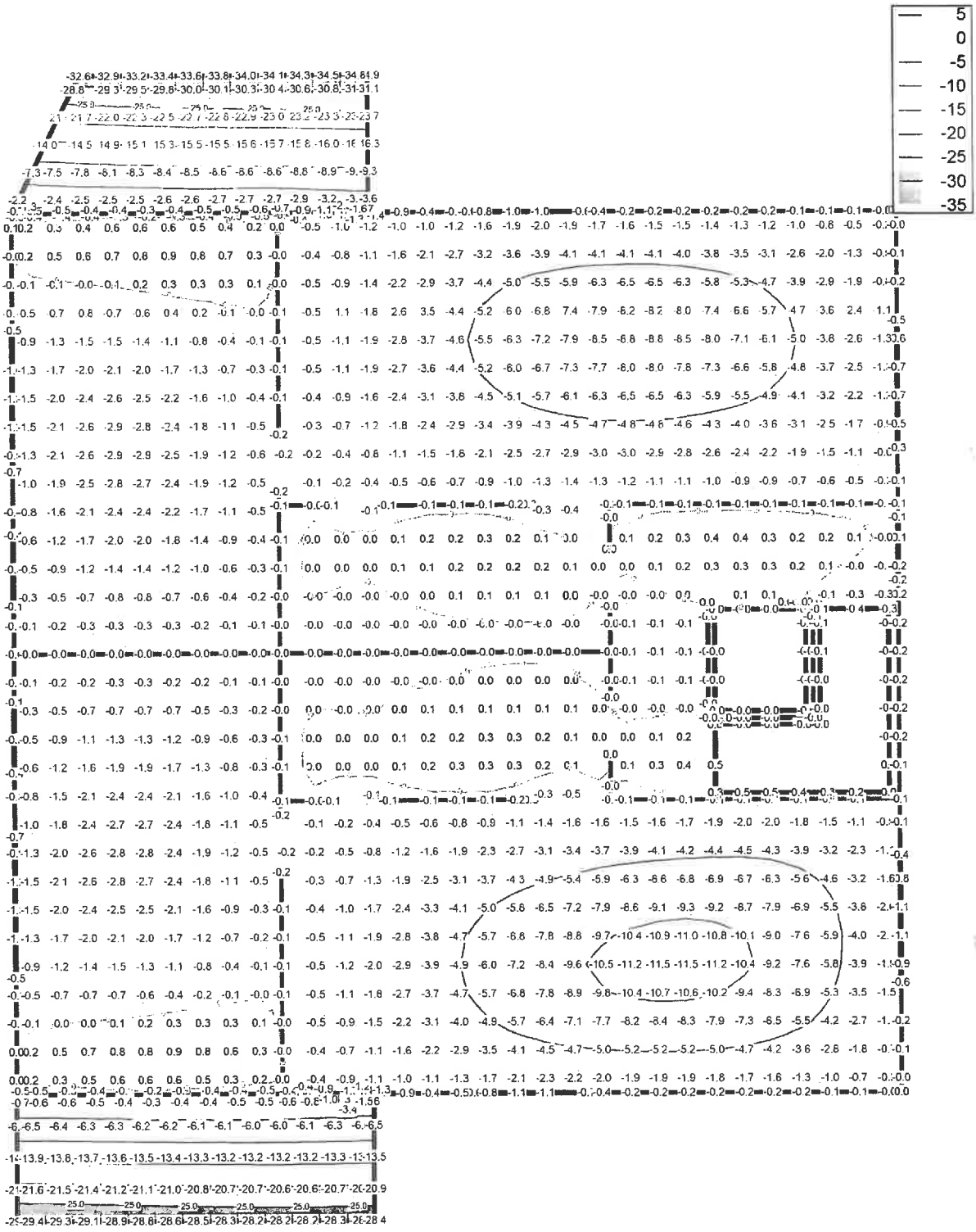


**Über-/Unterzugbemessung** Erf. Querkraftbewehrung asw,erf Maßstab: 1:105

aus allen Nachweisen in [cm²/m]
Max = 2.4, Min = 2.4



durch Vergleichsrechnung geprüft

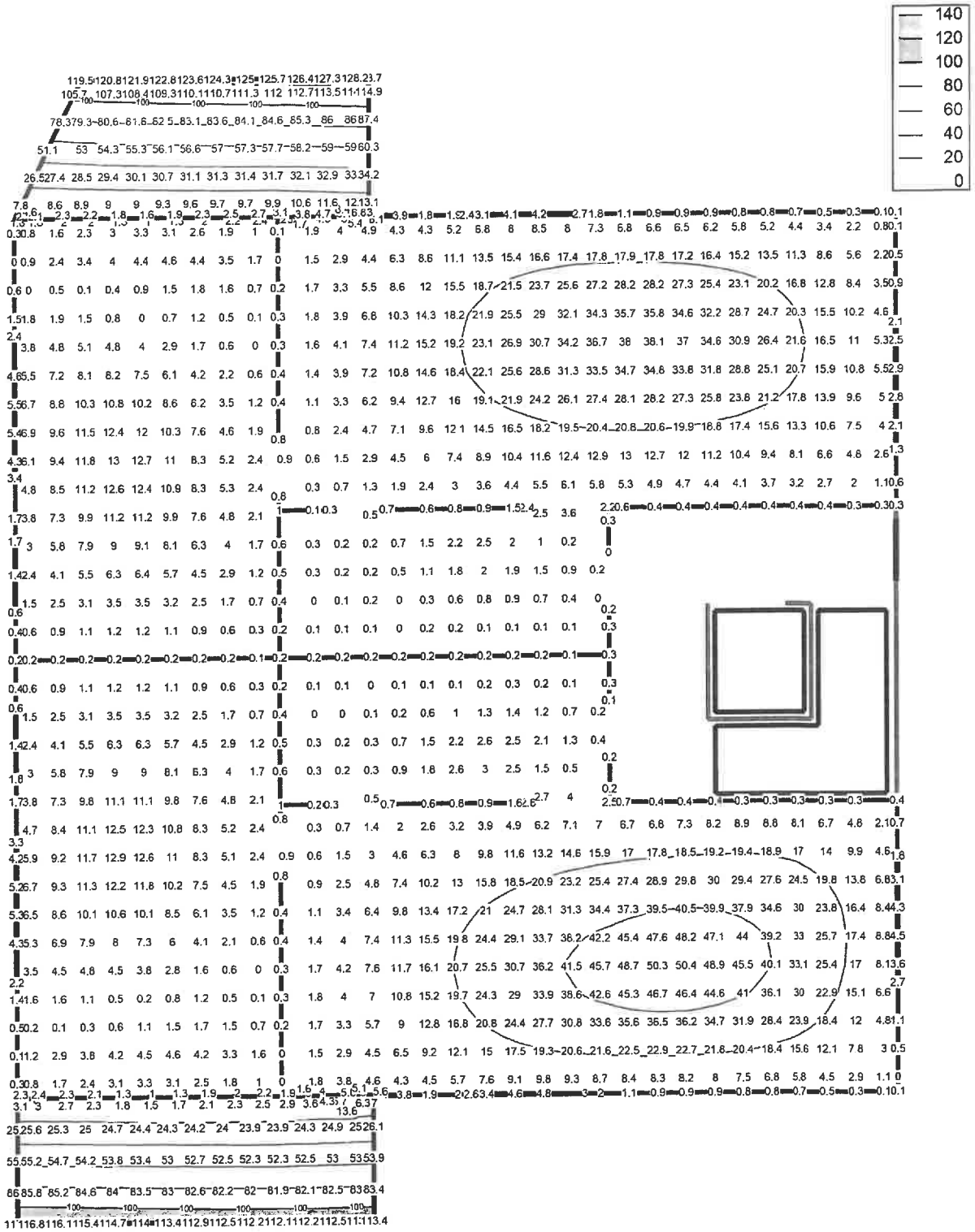



**Verformungsnachweis Zustand II** Endverformung f,oo im Zustand II in [mm] Maßstab: 1:105

Minimum aus Überlagerung über LKN
Max = 0.9 (Kn. 939), Min = -34.9 (Kn. 1120), Step = 5



durch Vergleichsrechnung geprüft

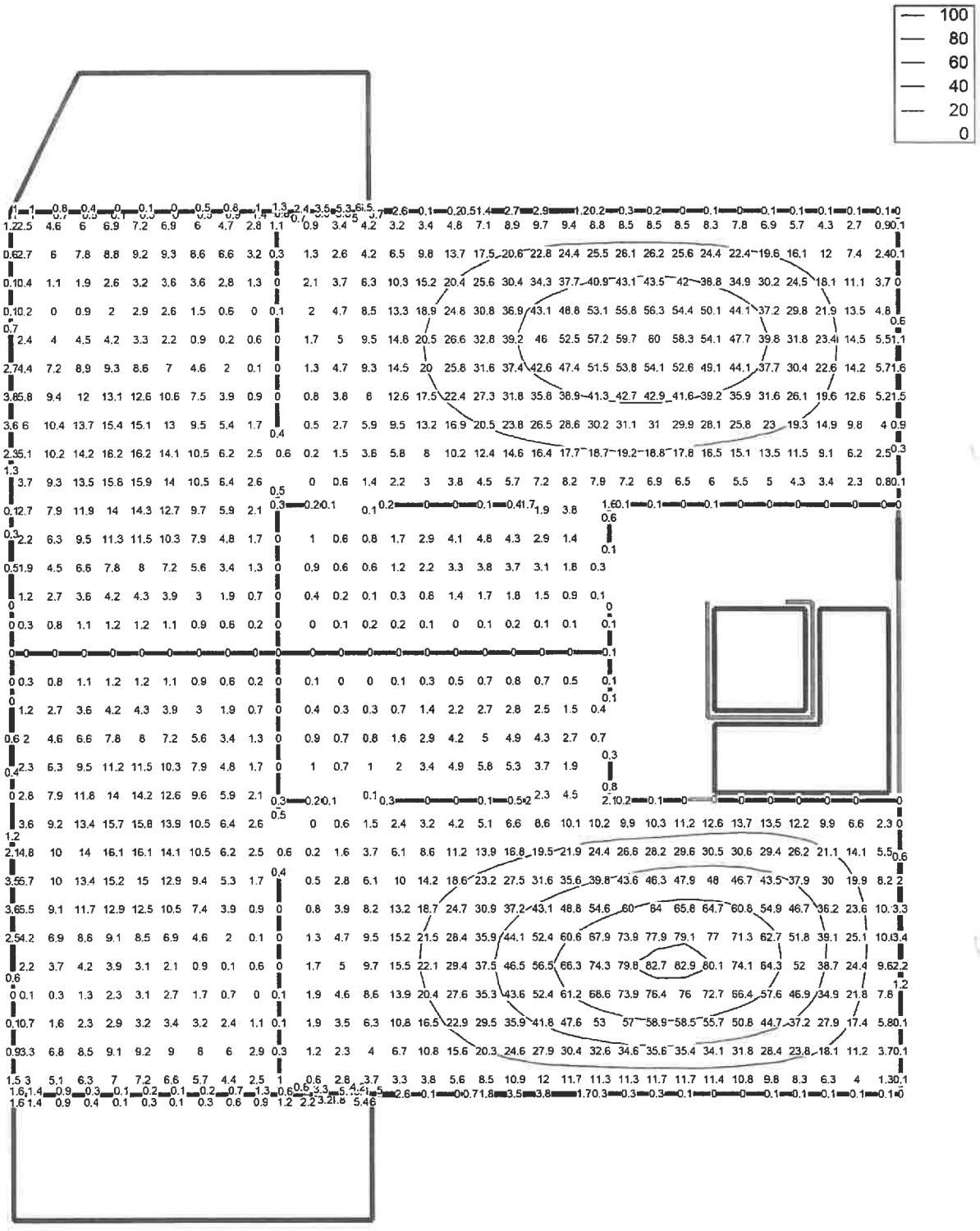



**Verformungsnachweis Zustand II** Ausnutzung der zulässigen Endverformung eta(f,oo) in [%] Maßstab: 1:105

der Plattenpositionen
Minimum aus Überlagerung über LKN
Max = 128.7 (Kn. 1120), Min = 0 (Kn. 10), Step = 20



**durch Vergleichsrechnung geprüft**



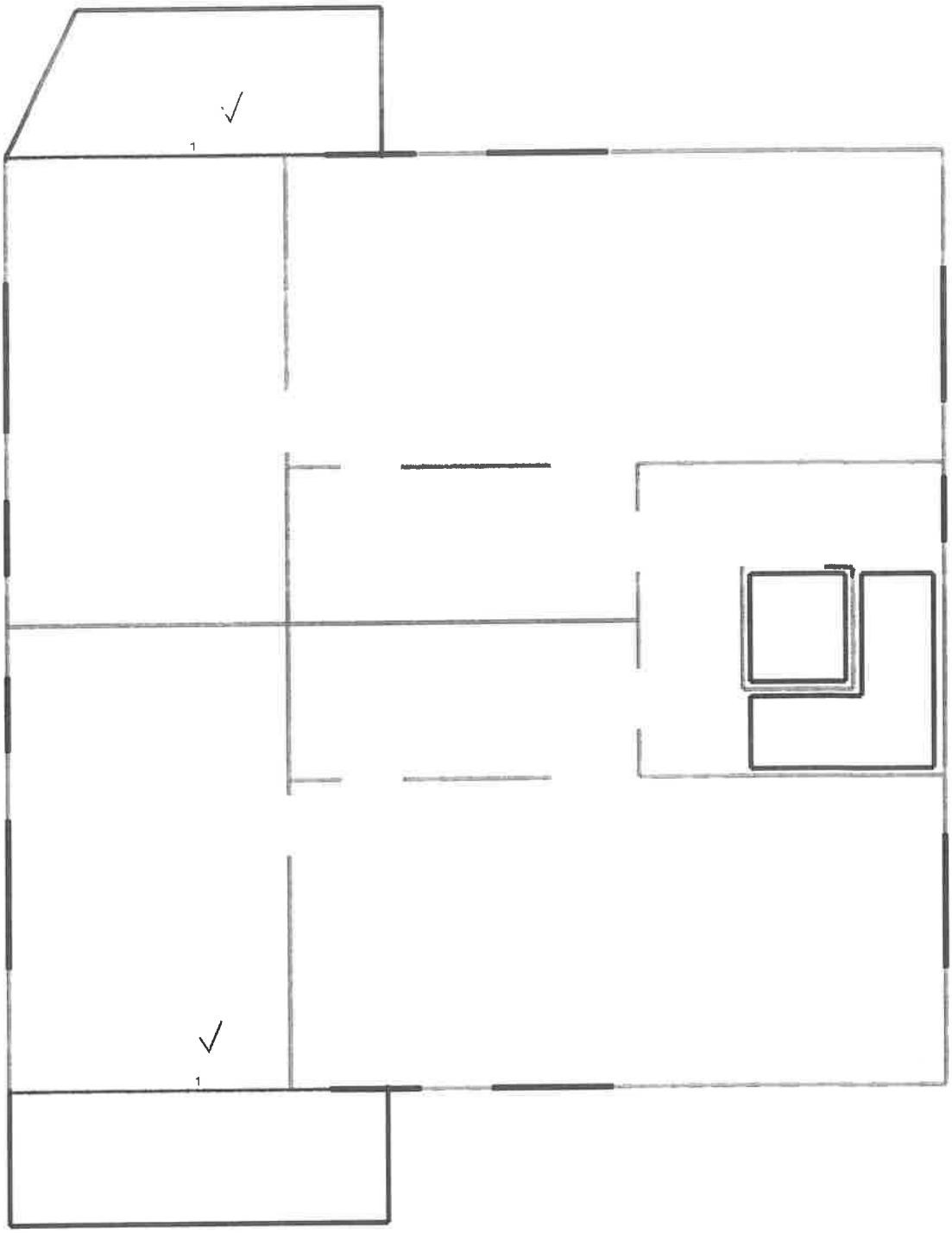

**Verformungsnachweis Zustand II** Ausnutzung der zul. Differenzverformung eta(f,oo-f,0) in [%] Maßstab: 1:105

der Plattenpositionen
Minimum aus Überlagerung über LKN
Max = 82.9 (Kn. 227), Min = 0 (Kn. 1215), Step = 20



durch Vergleichsrechnung geprüft

| | | | | | |
|---|---|---|---|---|---|
| Proj.Bez | **Neubau eines Mehrfamilienhauses mit 6 WE** | | | Seite HZI-299 | **299** |
| Dokument | **Guido Metzen Vermögensverwaltun** | | | Position | **4.02** |
| Datum | **16.02.2022** | | **MicroFe 2022.013** | Projekt | **9-21-222** |




1 Isokorb® XT Typ K-M7-V2-R0-CV35-X120-H220-6.0 √

| **Bemessung Balkonanschluss** | erforderliche Typen Schöck Isokorb® | Maßstab: 1:105 |
|---|---|---|
| | | |

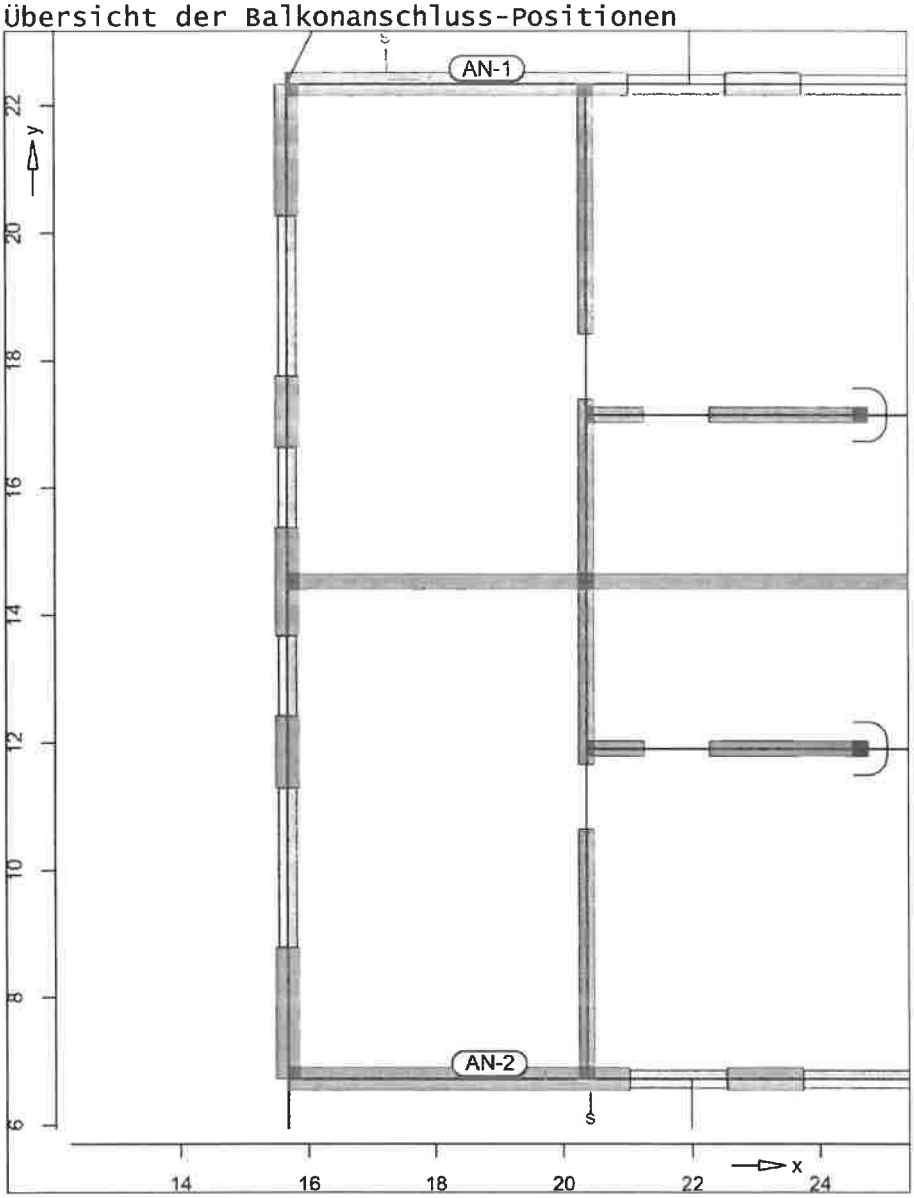
**KomPlan GmbH - Dr.-Gottfried-Cremer-Allee 29 - 50226 Frechen**

**durch Vergleichsrechnung geprüft**

Balkonanschluss-Bem Nachweis von Balkonanschlusselementen

Schöck Isokorb Schöck Isokorb® Anschlusselemente

Positionsgrafik Übersicht der Balkonanschluss-Positionen




Nachweisparameter Eingabedaten

Platte an Platte Eigenschaften Anschluss: Platte an Platte

| Position | Tragfähigkeit | Beton | $H_v$ [mm] | h [mm] | $h_d$ [mm] |
|---|---|---|---|---|---|
| AN-1, AN-2 | M und V | C 25/30 | 0 | 220 | 200 |

| Position | L [mm] | H [mm] | $c_v$ [mm] | Mod | Ausführung | Brand |
|---|---|---|---|---|---|---|
| AN-1 | 6302 | 220 | 35 | XT | Standard | |
| AN-2 | 6307 | 220 | 35 | XT | Standard | |




durch Vergleichsrechnung geprüft

## Koordinaten

| Position | x [m] | y [m] |
|---|---|---|
| AN-1 | 15.69 | 22.34 |
| | 21.99 | 22.34 |
| AN-2 | 22.00 | 6.71 |
| | 15.69 | 6.71 |

## Nachweis

Nachweis der Anschlusselemente

## Kombinationen

Maßgebende Kombinationen nach DIN EN 1990

EW Einwirkungsname
Lkn Lastkombinationsnummer
! vorherrschende veränderliche Einwirkung

Die Beteiligung einzelner Lastfälle innerhalb einer Einwirkung wird mit diesem Ausgabeformat nicht dokumentiert.

| EW | Gk | Qk.N | Qk.S | Qk.W |
|---|---|---|---|---|
| Lkn | Grundkombination | | | |
| 1-2 | 1.35 | 1.50 | . | 0.90 |
| 3-4 | 1.35 | 1.50 | 0.75! | . |

## Anschlusselemente

gewählte Anschlusselemente

| El. | Bezeichnung | Beton | $m_{Rd}$ [kNm/m] | $V_{Rd}$ [kN/m] | Länge [m] |
|---|---|---|---|---|---|
| 1 | Isokorb® XT Typ K-M7-V2-R0-CV35-X120-H220-6.0 √ | C 25/30 | -59.80 | 100.30 | 12.61 |

## Nachweis

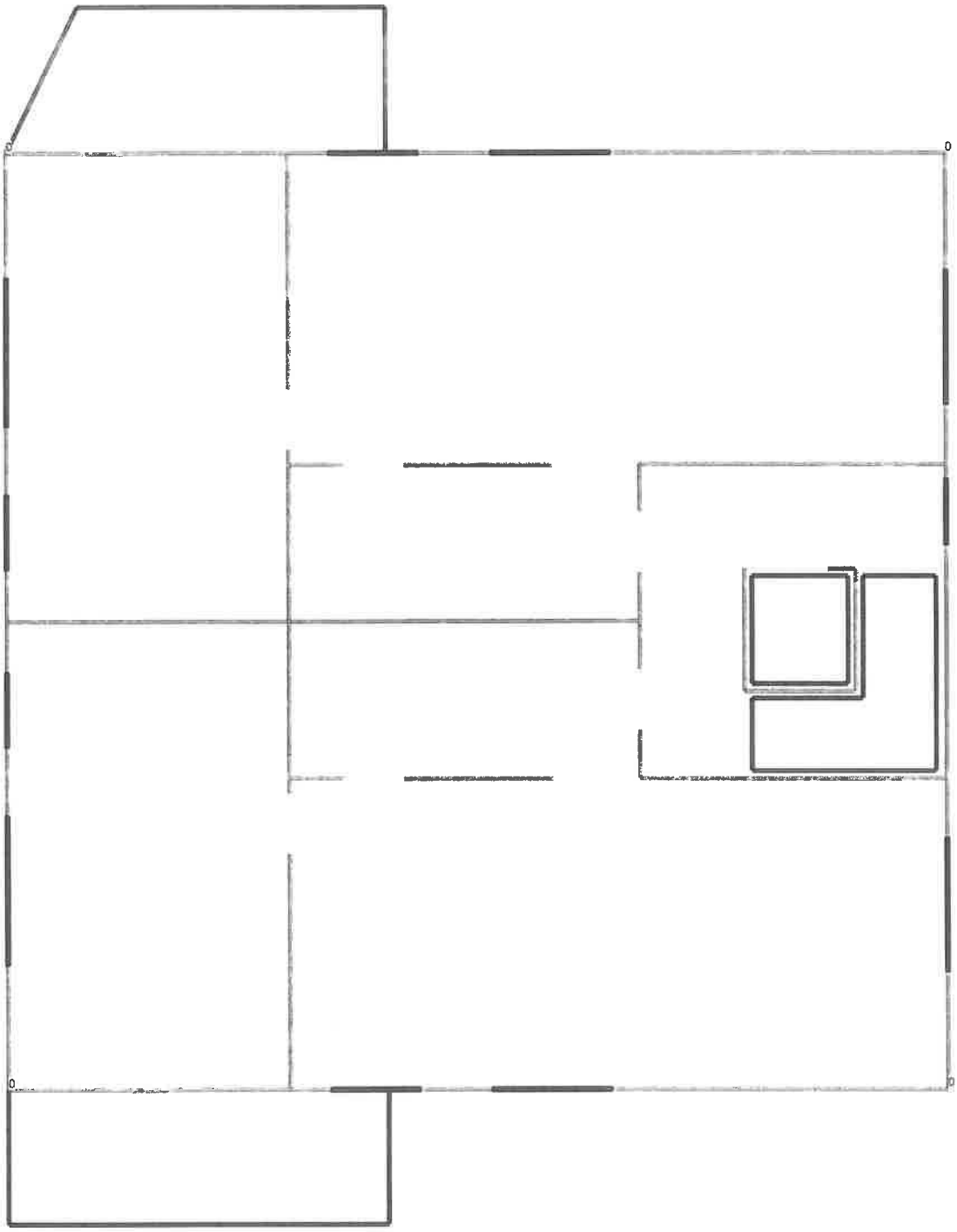
Nachweis der gewählten Anschlusselemente

| Position | El. | Lkn | Sg | Ed [kN/m] [kNm/m] | Rd [kN/m] [kNm/m] | η [%] |
|---|---|---|---|---|---|---|
| AN-1 | 1 | 3 | +V | 83.23 | 100.30 | 82.98 |
| | | 1 | -m | -59.61 | -59.80 | **99.68** |
| AN-2 | 1 | 4 | +V | 77.78 | 100.30 | 77.55 |
| | | 2 | -m | -55.95 | -59.80 | **93.56** |
| | | | | √ | √ | √ |



durch Vergleichsrechnung geprüft

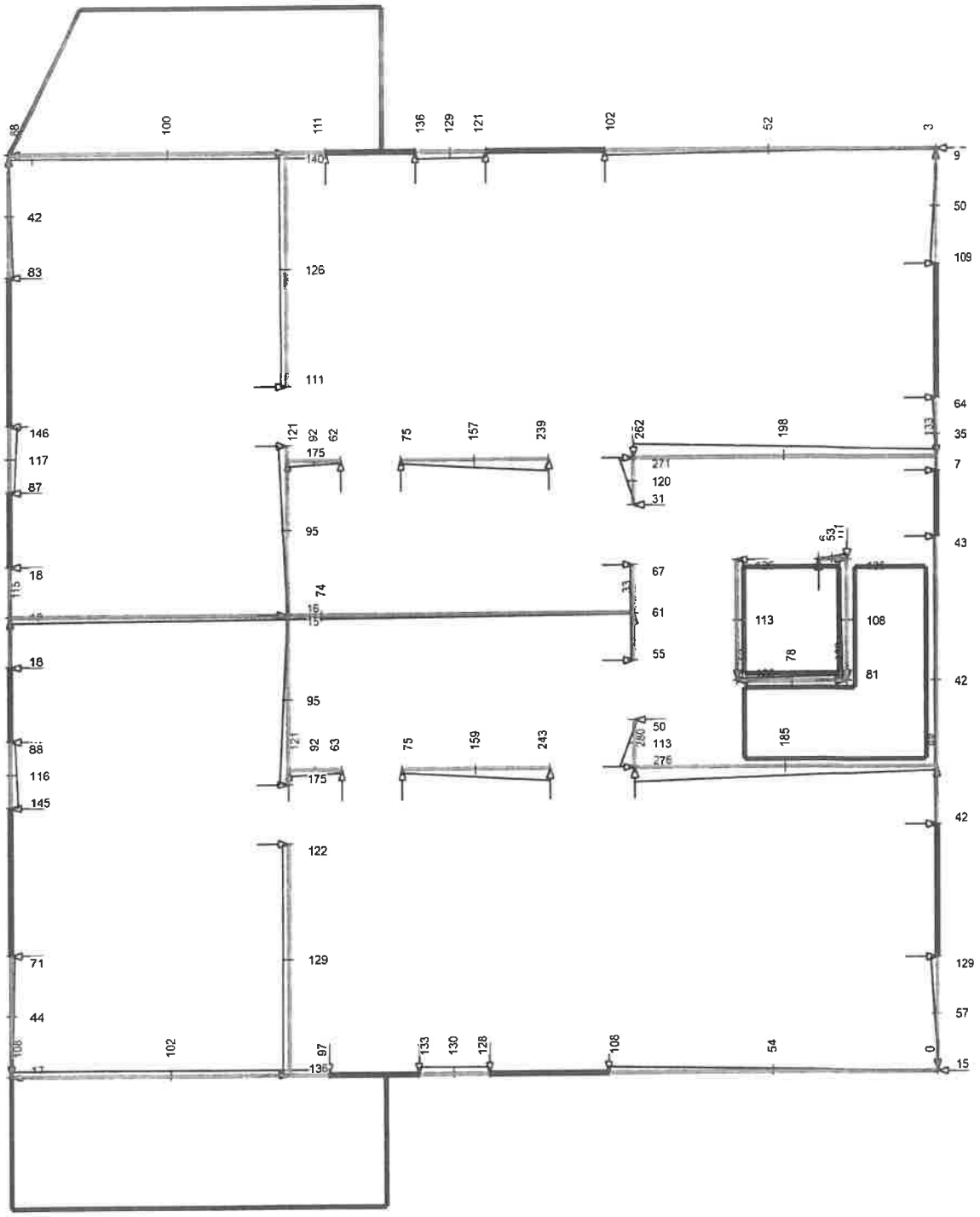
| | | | | | |
|---|---|---|---|---|---|
| Proj.Bez | **Neubau eines Mehrfamilienhauses mit 6 WE** | | | Seite HZI-302 | **302** |
| Dokument | **Guido Metzen Vermögensverwaltun** | | | Position | **4.02** |
| Datum | **16.02.2022** | **MicroFe** | **2022.013** | Projekt | **9-21-222** |



| **Zugkraftbemessung** | erf. Bewehrung As in [cm²] | Maßstab: 1:105 |
|---|---|---|

**KomPlan GmbH - Dr.-Gottfried-Cremer-Allee 29 - 50226 Frechen**

durch Vergleichsrechnung geprüft




| **Linienlagerergebnisse** | Lagerkraft in t-Richtung in [kN/m] | Maßstab: 1:105 |
|---|---|---|

lastkombinationsweise dargestellt
aus Lastkombination LK-1
Max = 280, Min = -50



durch Vergleichsrechnung geprüft

Linienlager-EW — Linienlagerkräfte einwirkungsweise

Linienlagerkräfte — Auflagerkräfte des Modells
- charakteristische Auflagerkräfte je Einwirkung
- min/max Überlagerung der Lastfälle je Einwirkung

Positionsgrafik — Übersicht der Linien- und Wandlager-Positionen

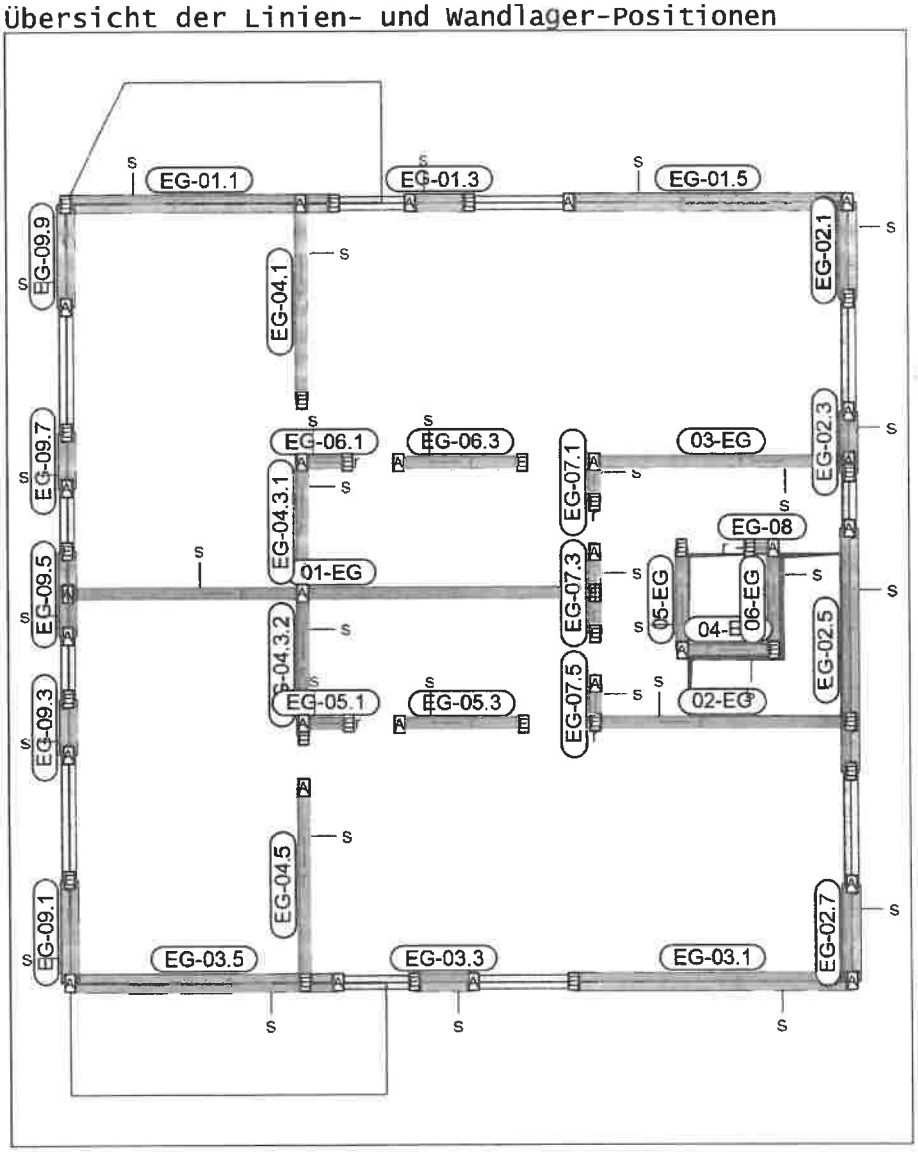



Tabelle — Tabellarische Ausgabe der Auflagerkräfte

lokal, F, t-Achse

| EW | $F_{t,A,min}$ / $F_{t,A,max}$ [kN/m] | $F_{t,M,min}$ / $F_{t,M,max}$ [kN/m] | $F_{t,E,min}$ / $F_{t,E,max}$ [kN/m] | $F_{t,min}$ / $F_{t,max}$ [kN] | $e_{min}$ / $e_{max}$ [m] |
|---|---|---|---|---|---|
| 01-EG *(L = 10.52 m)* | | | | | |
| Gk | 90.26 | 59.43 | 28.60 | 625.39 | -0.91 |
| Qk.N | 2.22 | -4.08 | -10.39 | -42.98 | 2.71 |
| | 20.72 | 17.11 | 13.49 | 179.99 | -0.37 |
| Qk.S | -0.03 | -0.16 | -0.30 | -1.73 | 1.44 |
| | 1.61 | 1.40 | 1.19 | 14.73 | -0.26 |
| Qk.W | -1.73 | -1.35 | -0.96 | -14.16 | -0.50 |



durch Vergleichsrechnung geprüft

| | EW | $F_{t,A,min}$ $F_{t,A,max}$ [kN/m] | $F_{t,M,min}$ $F_{t,M,max}$ [kN/m] | $F_{t,E,min}$ $F_{t,E,max}$ [kN/m] | $F_{t,min}$ $F_{t,max}$ [kN] | $e_{min}$ $e_{max}$ [m] |
|---|---|---|---|---|---|---|
| | | 0.24 | 0.03 | -0.17 | 0.32 | -11.84 |
| 02-EG | *(L = 5.10 m)* | | | | | |
| | Gk | 215.10 | 150.01 | 84.91 | 765.41 | -0.37 |
| | Qk.N | -1.21 | -0.70 | -0.20 | -3.59 | -0.61 |
| | | 57.01 | 31.24 | 5.47 | 159.41 | -0.70 |
| | Qk.S | -0.04 | -0.01 | 0.03 | -0.04 | -3.94 |
| | | 8.04 | 5.22 | 2.39 | 26.61 | -0.46 |
| | Qk.W | 0.14 | -2.72 | -5.59 | -13.90 | 0.89 |
| | | -0.38 | 0.92 | 2.22 | 4.70 | 1.20 |
| 03-EG | *(L = 5.10 m)* | | | | | |
| | Gk | 118.93 | 160.13 | 201.33 | 817.08 | 0.22 |
| | Qk.N | -0.19 | -0.56 | -0.93 | -2.86 | 0.56 |
| | | 14.77 | 34.07 | 53.38 | 173.86 | 0.48 |
| | Qk.S | 0.00 | 0.00 | 0.00 | 0.00 | 0.00 |
| | | 3.85 | 5.29 | 6.72 | 26.99 | 0.23 |
| | Qk.W | -7.25 | -3.18 | 0.90 | -16.21 | -1.09 |
| | | 2.88 | 1.09 | -0.70 | 5.56 | -1.40 |
| 04-EG | *(L = 1.85 m)* | | | | | |
| | Gk | 88.87 | 70.19 | 51.52 | 129.86 | -0.08 |
| | Qk.N | 7.63 | -5.84 | -19.31 | -10.81 | 0.71 |
| | | 6.42 | 13.15 | 19.88 | 24.33 | 0.16 |
| | Qk.S | 0.16 | -0.20 | -0.56 | -0.37 | 0.56 |
| | | -0.08 | 0.50 | 1.07 | 0.92 | 0.36 |
| | Qk.W | -0.07 | -0.51 | -0.96 | -0.95 | 0.27 |
| | | 0.00 | 0.00 | 0.00 | 0.00 | 0.00 |
| 05-EG | *(L = 2.05 m)* | | | | | |
| | Gk | 86.38 | 93.99 | 101.61 | 192.69 | 0.03 |
| | Qk.N | -0.82 | -9.09 | -17.36 | -18.64 | 0.31 |
| | | 12.77 | 24.80 | 36.84 | 50.84 | 0.17 |
| | Qk.S | -0.28 | -0.26 | -0.25 | -0.54 | -0.02 |
| | | 1.90 | 3.60 | 5.31 | 7.39 | 0.16 |
| | Qk.W | -1.66 | -3.24 | -4.83 | -6.65 | 0.17 |
| | | 0.00 | 0.00 | 0.00 | 0.00 | 0.00 |
| 06-EG | *(L = 2.05 m)* | | | | | |
| | Gk | 112.09 | 92.13 | 72.17 | 188.87 | -0.07 |
| | Qk.N | -4.45 | -0.85 | 2.75 | -1.74 | -1.45 |
| | | 25.78 | 15.82 | 5.87 | 32.44 | -0.21 |
| | Qk.S | -0.22 | -0.04 | 0.14 | -0.08 | -1.65 |
| | | 0.60 | 0.38 | 0.17 | 0.79 | -0.19 |
| | Qk.W | -0.04 | -0.05 | -0.06 | -0.11 | 0.06 |
| | | 0.36 | 0.20 | 0.03 | 0.40 | -0.29 |
| EG-01.1 | *(L = 5.35 m)* | | | | | |
| | Gk | 62.81 | 70.88 | 78.95 | 379.04 | 0.10 |
| | Qk.N | -2.10 | -0.96 | 0.17 | -5.14 | -1.05 |
| | | 27.35 | 29.86 | 32.37 | 159.68 | 0.07 |
| | Qk.S | 0.01 | -0.01 | -0.03 | -0.06 | 1.72 |
| | | 0.07 | 0.04 | 0.02 | 0.23 | -0.54 |
| | Qk.W | -0.05 | -0.04 | -0.02 | -0.21 | -0.33 |
| | | 0.03 | 0.01 | 0.00 | 0.06 | -1.13 |
| EG-01.3 | *(L = 1.19 m)* | | | | | |
| | Gk | 102.94 | 98.80 | 94.66 | 117.57 | -0.01 |



durch Vergleichsrechnung geprüft

| | EW | $F_{t,A,min}$ $F_{t,A,max}$ [kN/m] | $F_{t,M,min}$ $F_{t,M,max}$ [kN/m] | $F_{t,E,min}$ $F_{t,E,max}$ [kN/m] | $F_{t,min}$ $F_{t,max}$ [kN] | $e_{min}$ $e_{max}$ [m] |
|---|---|---|---|---|---|---|
| | Qk.N | -4.82 | -3.60 | -2.38 | -4.28 | -0.07 |
| | | 37.68 | 33.42 | 29.16 | 39.77 | -0.03 |
| | Qk.S | -0.09 | -0.07 | -0.04 | -0.08 | -0.07 |
| | | -0.04 | 0.02 | 0.08 | 0.02 | 0.66 |
| | Qk.W | -0.01 | -0.01 | -0.01 | -0.01 | -0.06 |
| | | 0.11 | 0.08 | 0.05 | 0.09 | -0.07 |
| EG-01.5 | *(L = 5.57 m)* | | | | | |
| | Gk | 78.79 | 40.73 | 2.67 | 226.76 | -0.87 |
| | Qk.N | -1.04 | -0.29 | 0.46 | -1.64 | -2.36 |
| | | 23.59 | 11.56 | -0.47 | 64.34 | -0.97 |
| | Qk.S | -0.02 | 0.00 | 0.01 | -0.01 | -7.49 |
| | | 0.61 | 0.31 | 0.02 | 1.75 | -0.88 |
| | Qk.W | -0.01 | 0.00 | 0.01 | 0.00 | -35.15 |
| | | 0.02 | 0.00 | -0.02 | 0.01 | -8.60 |
| EG-02.1 | *(L = 1.94 m)* | | | | | |
| | Gk | -5.91 | 40.20 | 86.30 | 78.08 | 0.37 |
| | Qk.N | -0.52 | -0.95 | -1.38 | -1.85 | 0.15 |
| | | -2.21 | 10.63 | 23.47 | 20.64 | 0.39 |
| | Qk.S | 0.04 | -0.07 | -0.19 | -0.14 | 0.52 |
| | | -0.16 | 0.27 | 0.69 | 0.52 | 0.51 |
| | Qk.W | 0.02 | -0.04 | -0.10 | -0.08 | 0.51 |
| | | -0.05 | 0.10 | 0.25 | 0.20 | 0.50 |
| EG-02.3 | *(L = 1.23 m)* | | | | | |
| | Gk | 51.63 | 29.87 | 8.10 | 36.81 | -0.15 |
| | Qk.N | -2.96 | -0.95 | 1.06 | -1.17 | -0.44 |
| | | 14.96 | 6.55 | -1.87 | 8.07 | -0.26 |
| | Qk.S | 0.20 | -0.01 | -0.21 | -0.01 | 5.00 |
| | | 0.16 | 0.62 | 1.07 | 0.76 | 0.15 |
| | Qk.W | -0.40 | -0.97 | -1.55 | -1.20 | 0.12 |
| | | 0.10 | 0.35 | 0.61 | 0.43 | 0.15 |
| EG-02.5 | *(L = 4.87 m)* | | | | | |
| | Gk | 39.99 | 37.24 | 34.50 | 181.46 | -0.06 |
| | Qk.N | -2.57 | -1.09 | 0.39 | -5.32 | -1.10 |
| | | 3.44 | 5.17 | 6.91 | 25.20 | 0.27 |
| | Qk.S | -0.22 | -0.14 | -0.05 | -0.66 | -0.49 |
| | | 0.95 | 0.96 | 0.97 | 4.68 | 0.01 |
| | Qk.W | 0.31 | -0.72 | -1.75 | -3.51 | 1.16 |
| | | 0.23 | 0.42 | 0.61 | 2.03 | 0.37 |
| EG-02.7 | *(L = 1.94 m)* | | | | | |
| | Gk | 101.23 | 45.50 | -10.23 | 88.38 | -0.40 |
| | Qk.N | -0.62 | -0.68 | -0.75 | -1.33 | 0.03 |
| | | 27.43 | 12.03 | -3.37 | 23.37 | -0.41 |
| | Qk.S | -0.06 | -0.04 | -0.01 | -0.07 | -0.24 |
| | | 0.85 | 0.27 | -0.31 | 0.53 | -0.69 |
| | Qk.W | -0.04 | -0.02 | -0.01 | -0.04 | -0.22 |
| | | 0.08 | 0.05 | 0.02 | 0.10 | -0.18 |
| EG-03.1 | *(L = 5.57 m)* | | | | | |
| | Gk | 1.02 | 41.74 | 82.47 | 232.41 | 0.91 |
| | Qk.N | 0.39 | -0.26 | -0.90 | -1.44 | 2.31 |
| | | -0.88 | 11.84 | 24.56 | 65.92 | 1.00 |
| | Qk.S | 0.01 | 0.00 | -0.01 | -0.02 | 2.79 |
| | | -0.28 | 0.55 | 1.39 | 3.07 | 1.41 |



durch Vergleichsrechnung geprüft

| | EW | $F_{t,A,min}$ $F_{t,A,max}$ [kN/m] | $F_{t,M,min}$ $F_{t,M,max}$ [kN/m] | $F_{t,E,min}$ $F_{t,E,max}$ [kN/m] | $F_{t,min}$ $F_{t,max}$ [kN] | $e_{min}$ $e_{max}$ [m] |
|---|---|---|---|---|---|---|
| | Qk.W | 0.00 | 0.00 | -0.01 | -0.01 | 2.72 |
| | | -0.01 | 0.01 | 0.02 | 0.03 | 2.57 |
| EG-03.3 | *(L = 1.19 m)* | | | | | |
| | Gk | 98.14 | 99.21 | 100.28 | 118.06 | 0.00 |
| | Qk.N | -2.40 | -3.59 | -4.78 | -4.27 | 0.07 |
| | | 30.15 | 33.10 | 36.06 | 39.39 | 0.02 |
| | Qk.S | -0.04 | -0.07 | -0.09 | -0.08 | 0.07 |
| | | 1.83 | 1.47 | 1.12 | 1.76 | -0.05 |
| | Qk.W | -0.01 | -0.01 | -0.01 | -0.01 | 0.04 |
| | | 0.05 | 0.08 | 0.11 | 0.09 | 0.07 |
| EG-03.5 | *(L = 5.35 m)* | | | | | |
| | Gk | 68.88 | 72.73 | 76.58 | 388.91 | 0.05 |
| | Qk.N | 0.16 | -0.96 | -2.09 | -5.16 | 1.04 |
| | | 28.01 | 30.44 | 32.86 | 162.75 | 0.07 |
| | Qk.S | 0.00 | 0.00 | 0.00 | 0.00 | 0.00 |
| | | 0.12 | 0.13 | 0.13 | 0.67 | 0.01 |
| | Qk.W | -0.03 | -0.04 | -0.05 | -0.21 | 0.30 |
| | | 0.00 | 0.01 | 0.03 | 0.06 | 1.14 |
| EG-04.1 | *(L = 3.93 m)* | | | | | |
| | Gk | 103.77 | 97.88 | 91.99 | 384.92 | -0.04 |
| | Qk.N | 3.05 | -4.83 | -12.71 | -19.00 | 1.07 |
| | | 33.82 | 32.22 | 30.61 | 126.70 | -0.03 |
| | Qk.S | 0.00 | 0.00 | 0.00 | 0.00 | 0.73 |
| | | -0.64 | 0.35 | 1.34 | 1.37 | 1.86 |
| | Qk.W | 0.26 | -0.24 | -0.73 | -0.93 | 1.37 |
| | | -0.06 | 0.04 | 0.14 | 0.17 | 1.56 |
| EG-04.3.1 | *(L = 2.87 m)* | | | | | |
| | Gk | 124.85 | 71.01 | 17.17 | 203.80 | -0.36 |
| | Qk.N | -6.96 | -4.18 | -1.40 | -12.00 | -0.32 |
| | | 44.54 | 23.04 | 1.54 | 66.12 | -0.45 |
| | Qk.S | 0.00 | 0.00 | 0.00 | 0.00 | 1.05 |
| | | 12.81 | 5.56 | -1.70 | 15.95 | -0.62 |
| | Qk.W | -4.76 | -2.16 | 0.44 | -6.21 | -0.57 |
| | | 1.22 | 0.50 | -0.21 | 1.44 | -0.68 |
| EG-04.3.2 | *(L = 2.87 m)* | | | | | |
| | Gk | 17.03 | 70.81 | 124.58 | 203.21 | 0.36 |
| | Qk.N | -1.44 | -4.23 | -7.02 | -12.14 | 0.32 |
| | | 1.53 | 23.03 | 44.52 | 66.09 | 0.45 |
| | Qk.S | 0.00 | 0.00 | 0.00 | 0.00 | -1.07 |
| | | -1.79 | 5.52 | 12.83 | 15.85 | 0.63 |
| | Qk.W | 0.44 | -2.16 | -4.76 | -6.21 | 0.57 |
| | | -0.21 | 0.50 | 1.22 | 1.44 | 0.68 |
| EG-04.5 | *(L = 3.93 m)* | | | | | |
| | Gk | 98.58 | 99.42 | 100.26 | 390.97 | 0.01 |
| | Qk.N | -12.11 | -4.81 | 2.48 | -18.92 | -0.99 |
| | | 32.58 | 32.48 | 32.39 | 127.74 | 0.00 |
| | Qk.S | 0.00 | 0.00 | 0.00 | 0.00 | -0.84 |
| | | 3.01 | 1.83 | 0.64 | 7.18 | -0.42 |
| | Qk.W | -0.73 | -0.24 | 0.26 | -0.93 | -1.37 |
| | | 0.14 | 0.04 | -0.06 | 0.17 | -1.55 |
| EG-05.1 | *(L = 0.90 m)* | | | | | |



durch Vergleichsrechnung geprüft

| | EW | $F_{t,A,min}$ $F_{t,A,max}$ [kN/m] | $F_{t,M,min}$ $F_{t,M,max}$ [kN/m] | $F_{t,E,min}$ $F_{t,E,max}$ [kN/m] | $F_{t,min}$ $F_{t,max}$ [kN] | $e_{min}$ $e_{max}$ [m] |
|---|---|---|---|---|---|---|
| | Gk | 86.28 | 67.08 | 47.88 | 60.37 | -0.04 |
| | Qk.N | 11.93 | -8.12 | -28.18 | -7.31 | 0.37 |
| | | 11.88 | 25.21 | 38.54 | 22.69 | 0.08 |
| | Qk.S | 0.00 | 0.00 | 0.00 | 0.00 | 0.19 |
| | | 10.79 | 7.49 | 4.20 | 6.75 | -0.07 |
| | Qk.W | -3.99 | -2.65 | -1.32 | -2.39 | -0.08 |
| | | 1.00 | 0.67 | 0.35 | 0.61 | -0.07 |
| EG-05.3 | *(L = 2.49 m)* | | | | | |
| | Gk | 61.07 | 122.81 | 184.55 | 305.20 | 0.21 |
| | Qk.N | -12.78 | -5.52 | 1.74 | -13.73 | -0.54 |
| | | 27.76 | 40.43 | 53.10 | 100.47 | 0.13 |
| | Qk.S | 0.00 | 0.00 | -0.01 | -0.01 | 1.11 |
| | | -1.18 | 1.09 | 3.36 | 2.70 | 0.86 |
| | Qk.W | 0.65 | -0.13 | -0.90 | -0.31 | 2.58 |
| | | -0.16 | 0.03 | 0.22 | 0.07 | 2.63 |
| EG-06.1 | *(L = 0.90 m)* | | | | | |
| | Gk | 86.34 | 66.99 | 47.64 | 60.29 | -0.04 |
| | Qk.N | 11.94 | -8.09 | -28.11 | -7.28 | 0.37 |
| | | 11.89 | 25.15 | 38.41 | 22.64 | 0.08 |
| | Qk.S | 0.00 | 0.00 | 0.00 | 0.00 | 0.19 |
| | | 10.78 | 7.53 | 4.28 | 6.78 | -0.06 |
| | Qk.W | -3.99 | -2.65 | -1.32 | -2.39 | -0.08 |
| | | 1.00 | 0.67 | 0.35 | 0.61 | -0.07 |
| EG-06.3 | *(L = 2.49 m)* | | | | | |
| | Gk | 61.01 | 121.73 | 182.45 | 302.51 | 0.21 |
| | Qk.N | -12.81 | -5.66 | 1.48 | -14.07 | -0.52 |
| | | 27.79 | 40.29 | 52.78 | 100.11 | 0.13 |
| | Qk.S | 0.01 | -0.01 | -0.02 | -0.02 | 0.98 |
| | | -1.31 | 0.52 | 2.35 | 1.30 | 1.45 |
| | Qk.W | 0.64 | -0.12 | -0.88 | -0.29 | 2.68 |
| | | -0.16 | 0.03 | 0.22 | 0.07 | 2.61 |
| EG-07.1 | *(L = 0.80 m)* | | | | | |
| | Gk | 205.03 | 93.28 | -18.46 | 74.63 | -0.16 |
| | Qk.N | 39.94 | -9.62 | -59.18 | -7.70 | 0.69 |
| | | 13.83 | 24.82 | 35.82 | 19.86 | 0.06 |
| | Qk.S | 0.00 | 0.00 | 0.00 | 0.00 | 0.00 |
| | | 11.51 | 11.23 | 10.96 | 8.99 | 0.00 |
| | Qk.W | -3.70 | -4.54 | -5.38 | -3.63 | 0.02 |
| | | 0.76 | 1.02 | 1.29 | 0.82 | 0.03 |
| EG-07.3 | *(L = 1.62 m)* | | | | | |
| | Gk | 59.69 | 55.47 | 51.26 | 89.87 | -0.02 |
| | Qk.N | -12.61 | -13.45 | -14.29 | -21.79 | 0.02 |
| | | 18.50 | 18.10 | 17.71 | 29.32 | -0.01 |
| | Qk.S | 0.26 | -0.17 | -0.60 | -0.28 | 0.68 |
| | | 0.77 | 0.71 | 0.65 | 1.15 | -0.02 |
| | Qk.W | -0.72 | -0.67 | -0.62 | -1.08 | -0.02 |
| | | 0.06 | 0.06 | 0.06 | 0.09 | 0.00 |
| EG-07.5 | *(L = 0.80 m)* | | | | | |
| | Gk | -32.35 | 88.21 | 208.78 | 70.57 | 0.18 |
| | Qk.N | -62.55 | -11.04 | 40.46 | -8.83 | -0.62 |
| | | 34.72 | 24.35 | 13.99 | 19.48 | -0.06 |
| | Qk.S | 0.00 | -0.01 | -0.03 | -0.01 | 0.15 |



durch Vergleichsrechnung geprüft

| | EW | $F_{t,A,min}$ $F_{t,A,max}$ [kN/m] | $F_{t,M,min}$ $F_{t,M,max}$ [kN/m] | $F_{t,E,min}$ $F_{t,E,max}$ [kN/m] | $F_{t,min}$ $F_{t,max}$ [kN] | $e_{min}$ $e_{max}$ [m] |
|---|---|---|---|---|---|---|
| | | 9.90 | 11.04 | 12.18 | 8.83 | 0.01 |
| | Qk.W | -5.36 | -4.69 | -4.02 | -3.75 | -0.02 |
| | | 1.32 | 1.10 | 0.89 | 0.88 | -0.03 |
| EG-08 | *(L = 0.48 m)* | | | | | |
| | Gk | 94.28 | 47.52 | 0.76 | 22.57 | -0.08 |
| | Qk.N | -18.83 | -21.45 | -24.07 | -10.19 | 0.01 |
| | | 34.66 | 26.39 | 18.13 | 12.54 | -0.02 |
| | Qk.S | -0.38 | -0.45 | -0.53 | -0.22 | 0.01 |
| | | 1.00 | 0.93 | 0.86 | 0.44 | -0.01 |
| | Qk.W | -0.32 | -0.72 | -1.13 | -0.34 | 0.04 |
| | | 0.00 | 0.00 | 0.00 | 0.00 | 0.00 |
| EG-09.1 | *(L = 2.07 m)* | | | | | |
| | Gk | 12.83 | 36.19 | 59.55 | 74.83 | 0.22 |
| | Qk.N | 9.74 | -7.45 | -24.63 | -15.40 | 0.79 |
| | | -5.63 | 14.41 | 34.45 | 29.79 | 0.48 |
| | Qk.S | 0.00 | 0.00 | 0.00 | 0.00 | 0.00 |
| | | -0.36 | 1.02 | 2.40 | 2.11 | 0.47 |
| | Qk.W | 0.38 | -0.92 | -2.22 | -1.90 | 0.48 |
| | | -0.10 | 0.09 | 0.28 | 0.18 | 0.73 |
| EG-09.3 | *(L = 1.13 m)* | | | | | |
| | Gk | 114.70 | 92.61 | 70.52 | 104.18 | -0.04 |
| | Qk.N | -8.07 | -5.09 | -2.10 | -5.72 | -0.11 |
| | | 38.94 | 29.61 | 20.28 | 33.31 | -0.06 |
| | Qk.S | -0.46 | -0.57 | -0.69 | -0.64 | 0.04 |
| | | 3.52 | 3.43 | 3.35 | 3.86 | 0.00 |
| | Qk.W | -6.23 | -6.19 | -6.14 | -6.96 | 0.00 |
| | | 2.32 | 2.35 | 2.39 | 2.65 | 0.00 |
| EG-09.5 | *(L = 1.70 m)* | | | | | |
| | Gk | 15.36 | 15.31 | 15.26 | 26.02 | 0.00 |
| | Qk.N | -0.58 | -0.58 | -0.58 | -0.98 | 0.00 |
| | | 3.29 | 3.28 | 3.26 | 5.57 | 0.00 |
| | Qk.S | -0.10 | -0.10 | -0.09 | -0.16 | -0.02 |
| | | 0.57 | 0.57 | 0.57 | 0.97 | 0.00 |
| | Qk.W | -0.80 | -0.80 | -0.80 | -1.37 | 0.00 |
| | | 0.24 | 0.24 | 0.24 | 0.40 | 0.00 |
| EG-09.7 | *(L = 1.12 m)* | | | | | |
| | Gk | 70.32 | 92.86 | 115.41 | 104.47 | 0.05 |
| | Qk.N | -2.13 | -4.93 | -7.72 | -5.54 | 0.11 |
| | | 20.26 | 29.56 | 38.86 | 33.25 | 0.06 |
| | Qk.S | -0.77 | -0.73 | -0.70 | -0.83 | -0.01 |
| | | 3.35 | 3.43 | 3.52 | 3.86 | 0.00 |
| | Qk.W | -6.14 | -6.19 | -6.23 | -6.96 | 0.00 |
| | | 2.39 | 2.35 | 2.32 | 2.65 | 0.00 |
| EG-09.9 | *(L = 2.07 m)* | | | | | |
| | Gk | 68.24 | 34.68 | 1.13 | 71.70 | -0.33 |
| | Qk.N | -21.18 | -7.99 | 5.21 | -16.51 | -0.57 |
| | | 34.21 | 14.29 | -5.64 | 29.54 | -0.48 |
| | Qk.S | -0.03 | -0.01 | 0.02 | -0.02 | -1.27 |
| | | 1.82 | 0.78 | -0.26 | 1.62 | -0.46 |
| | Qk.W | -2.22 | -0.92 | 0.38 | -1.90 | -0.49 |
| | | 0.28 | 0.09 | -0.10 | 0.18 | -0.73 |

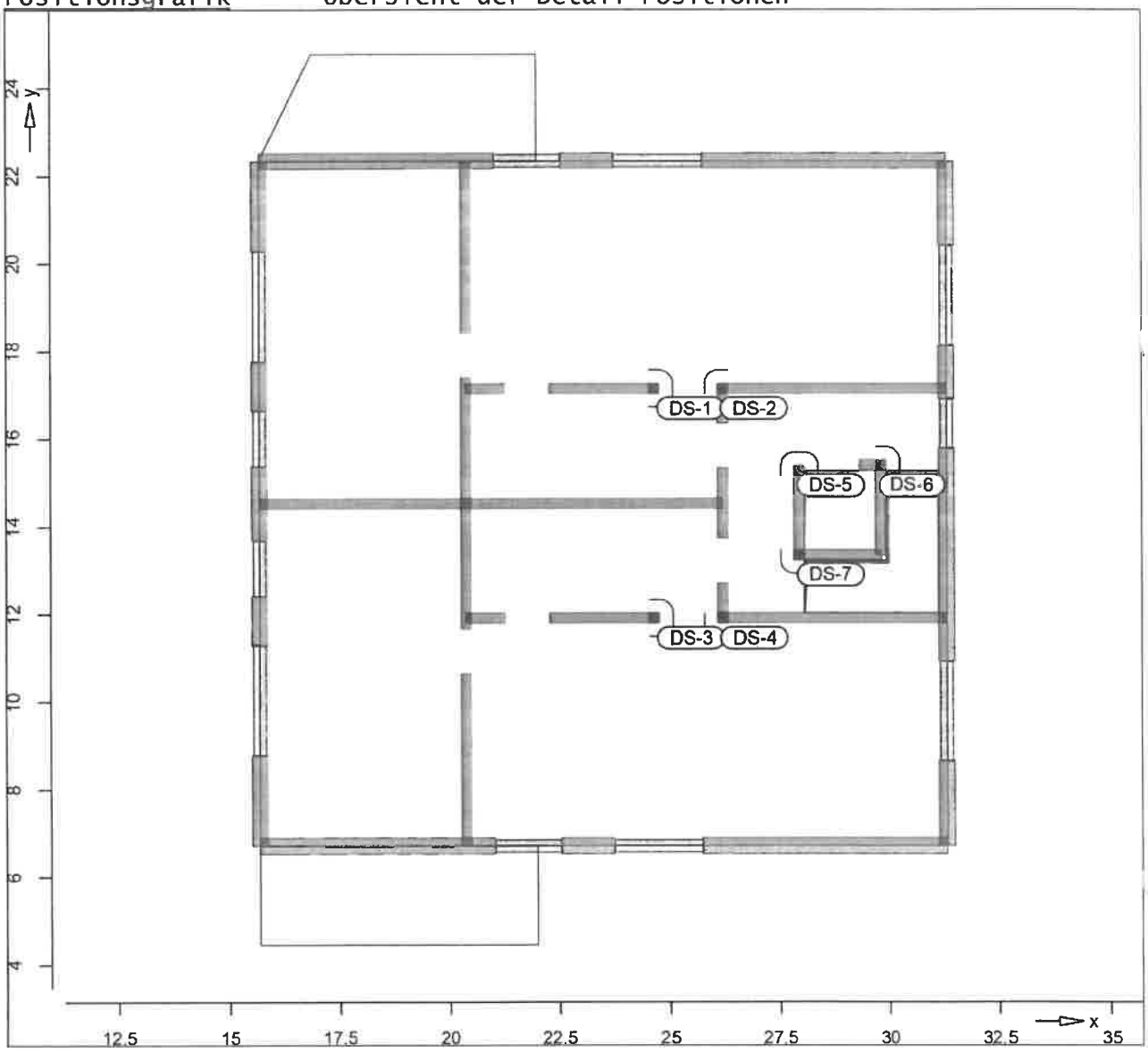


durch Vergleichsrechnung geprüft

Durchstanzstellen-Pos — Detailplan

Details — Detail-Positionen

Positionsgrafik — Übersicht der Detail-Positionen




Durchstanzstellen

| Position | Lel von | MinBew | Rundsch | beta |
|---|---|---|---|---|
| DS-1 | unten | ja | nein | 1.35 |
| DS-2 | unten | ja | nein | 1.20 |
| DS-3 | unten | ja | nein | 1.35 |
| DS-4 | unten | ja | nein | 1.20 |
| DS-5 | oben | ja | nein | 1.35 |
| DS-6 | unten | ja | nein | 1.20 |
| DS-7 | oben | ja | nein | 1.20 |

oben: Lasteinleitung erfolgt von oben
unten: Lasteinleitung erfolgt von unten
MinBew: Mindestbewehrung nach NCI Zu 9.4.3(2)?
Rundsch: Rundschnitt am Rand erweitern?



durch Vergleichsrechnung geprüft

## Geometrie

Geometrie der Lasteinleitungsfläche

| Position | Typ | Winkel2 [°] | Winkel [°] | Breite [cm] | Länge [cm] |
|---|---|---|---|---|---|
| DS-1 | We | | 180.00 | 24.0 | 24.0 |
| DS-2 | Wk | 270.00 | 0.00 | 24.0 | 24.0 |
| DS-3 | We | | 180.00 | 24.0 | 24.0 |
| DS-4 | Wk | 0.00 | 90.00 | 24.0 | 24.0 |
| DS-5 | We | | 270.00 | 25.0 | 25.0 |
| DS-6 | Wk | 270.00 | 180.00 | 25.0 | 25.0 |
| DS-7 | Wk | 90.00 | 0.00 | 25.0 | 25.0 |

We: Wandende
Wk: Wandecke

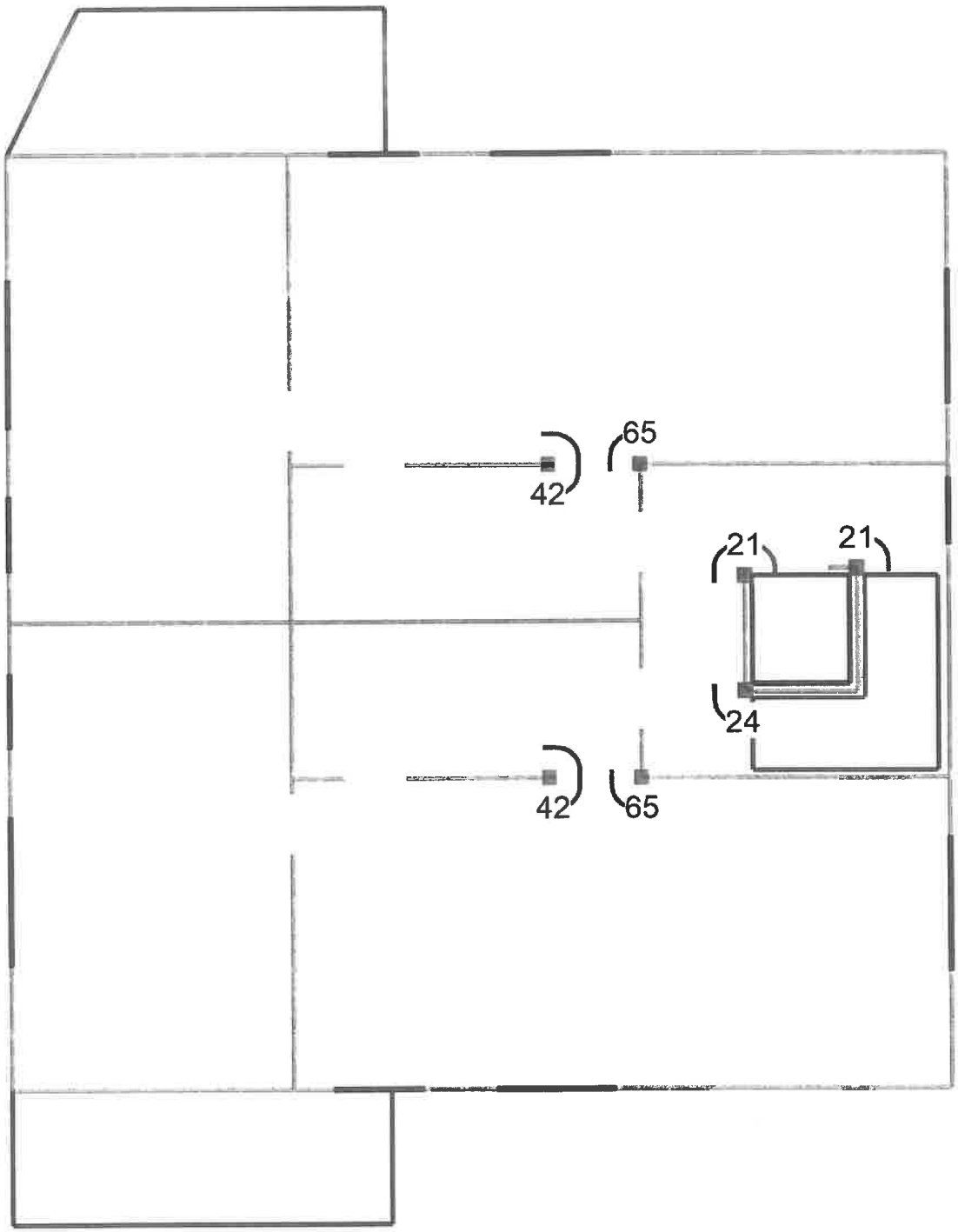
## Koordinaten

| Position | X [m] | Y [m] |
|---|---|---|
| DS-1 | 24.77 | 17.15 |
| DS-2 | 26.21 | 17.15 |
| DS-3 | 24.77 | 11.91 |
| DS-4 | 26.21 | 11.91 |
| DS-5 | 27.96 | 15.40 |
| DS-6 | 29.81 | 15.40 |
| DS-7 | 27.96 | 13.35 |



durch Vergleichsrechnung geprüft

| | | | | | |
|---|---|---|---|---|---|
| Proj.Bez | **Neubau eines Mehrfamilienhauses mit 6 WE** | | | Seite HZI-312 | **312** |
| Dokument | **Guido Metzen Vermögensverwaltun** | | | Position | **4.02** |
| Datum | **16.02.2022** | **MicroFe** | **2022.013** | Projekt | **9-21-222** |




| **Nachweis der Durchstanzstellen** | Maßgebende Durchstanzkraft VEd in [kN] | Maßstab: 1:105 |
|---|---|---|

**KomPlan GmbH - Dr.-Gottfried-Cremer-Allee 29 - 50226 Frechen**

durch Vergleichsrechnung geprüft

Durchstanzstellen-Tab DS-1

Nachweis der Durchstanzstellen

Durchstanznachweis nach DIN EN 1992-1-1

Angaben

Beton C 25/30, Betonstahl B 500MA

Lasteinleitungsfläche:
Wandende

| | | | |
|---|---|---|---|
| a | = | 24.0 | cm |
| b | = | 24.0 | cm |
| Plattendicke $h_0$ | = | 22.0 | cm |
| Mittl. statische Nutzhöhe $d_m$ | = | 19.2 | cm |
| Längsbewehrung $a_{s,m}$ | = | 3.56 | cm²/m |
| Längsbewehrungsgrad $\rho_{l,vorh}$ | = | 0.19 | % |
| $\rho_{l,zul}$ | = | 1.63 | % |
| Maßg. Durchstanzkraft $V_{Ed}$ | = | 41.7 | kN |
| Lasterhöhungsfaktor $\beta$ | = | 1.35 | |

Nachweis

Keine Durchstanzbewehrung Asw erforderlich.

Für die maßgebende Belastungssituation wurde die mittlere Längsbewehrung asm an der Oberseite berücksichtigt.
Diese Längsbewehrung ist innerhalb des gesamten äußeren Rundschnitts anzuordnen und außerhalb dieses Rundschnitts zu verankern.
Eine Stützenkopfverstärkung wird nicht berücksichtigt.
Die Durchstanzkraft VEd wurde am Stützenanschnitt ausgewertet.
Mindestbewehrung (NCI Zu 9.4.3(2)) wurde berücksichtigt.

Kombinationen

Maßgebende Kombinationen nach DIN EN 1990

Ew Einwirkungsname
Lkn Lastkombinationsnummer
! vorherrschende veränderliche Einwirkung

Die Beteiligung einzelner Lastfälle innerhalb einer Einwirkung wird mit diesem Ausgabeformat nicht dokumentiert.

| Ew | Gk | Qk.N | Qk.S | Qk.W |
|---|---|---|---|---|
| Lkn | Grundkombination | | | |
| 1 | 1.35 | 1.50! | 0.75 | . |

| Rund-schnitt | Abstand [cm] | u [m] | vEd | | vRd,c | vRd,max [N/mm²] | minAsw | erfAsw [cm²] |
|---|---|---|---|---|---|---|---|---|
| Ucrit | 38.40 | 1.93 | 0.152 | ≤ | 0.495 | | | |



durch Vergleichsrechnung geprüft

DS-2 Durchstanznachweis nach DIN EN 1992-1-1

Angaben Beton C 25/30, Betonstahl B 500MA

Lasteinleitungsfläche:

| | | | | |
|---|---|---|---|---|
| Wandecke | a | = | 24.0 | cm |
| | b | = | 24.0 | cm |
| Plattendicke | $h_0$ | = | 22.0 | cm |
| Mittl. statische Nutzhöhe | $d_m$ | = | 19.2 | cm |
| Längsbewehrung | $a_{s,m}$ | = | 3.66 | cm²/m |
| Längsbewehrungsgrad | $\rho_{l,vorh}$ | = | 0.19 | % |
| | $\rho_{l,zul}$ | = | 1.63 | % |
| Maßg. Durchstanzkraft | $V_{Ed}$ | = | 64.6 | kN |
| Lasterhöhungsfaktor | $\beta$ | = | 1.20 | |

Nachweis Keine Durchstanzbewehrung Asw erforderlich.

Für die maßgebende Belastungssituation wurde die mittlere Längsbewehrung asm an der Oberseite berücksichtigt.
Diese Längsbewehrung ist innerhalb des gesamten äußeren Rundschnitts anzuordnen und außerhalb dieses Rundschnitts zu verankern.
Eine Stützenkopfverstärkung wird nicht berücksichtigt.
Die Durchstanzkraft VEd wurde am Stützenanschnitt ausgewertet.
Mindestbewehrung (NCI Zu 9.4.3(2)) wurde berücksichtigt.

Kombinationen Maßgebende Kombinationen nach DIN EN 1990

Ew Einwirkungsname
Lkn Lastkombinationsnummer
! vorherrschende veränderliche Einwirkung

Die Beteiligung einzelner Lastfälle innerhalb einer Einwirkung wird mit diesem Ausgabeformat nicht dokumentiert.

| Ew | Gk | Qk.N | Qk.S | Qk.W |
|---|---|---|---|---|
| Lkn | Grundkombination | | | |
| 1 | 1.35 | 1.50! | . | 0.90 |

| Rund-schnitt | Abstand [cm] | u [m] | vEd | | vRd,c | vRd,max [N/mm²] | minAsw | erfAsw [cm²] |
|---|---|---|---|---|---|---|---|---|
| Ucrit | 38.40 | 1.08 | 0.373 | ≤ | 0.495 | | | |



durch Vergleichsrechnung geprüft

## DS-3 Durchstanznachweis nach DIN EN 1992-1-1

### Angaben

Beton C 25/30, Betonstahl B 500MA

Lasteinleitungsfläche:
Wandende

| | | | | |
|---|---|---|---|---|
| | a | = | 24.0 | cm |
| | b | = | 24.0 | cm |
| Plattendicke | $h_0$ | = | 22.0 | cm |
| Mittl. statische Nutzhöhe | $d_m$ | = | 19.2 | cm |
| Längsbewehrung | $a_{s,m}$ | = | 3.56 | cm²/m |
| Längsbewehrungsgrad | $\rho_{l,vorh}$ | = | 0.19 | % |
| | $\rho_{l,zul}$ | = | 1.63 | % |
| Maßg. Durchstanzkraft | $V_{Ed}$ | = | 41.6 | kN |
| Lasterhöhungsfaktor | $\beta$ | = | 1.35 | |

### Nachweis

Keine Durchstanzbewehrung Asw erforderlich.

Für die maßgebende Belastungssituation wurde die mittlere Längsbewehrung asm an der Oberseite berücksichtigt.
Diese Längsbewehrung ist innerhalb des gesamten äußeren Rundschnitts anzuordnen und außerhalb dieses Rundschnitts zu verankern.
Eine Stützenkopfverstärkung wird nicht berücksichtigt.
Die Durchstanzkraft VEd wurde am Stützenanschnitt ausgewertet.
Mindestbewehrung (NCI Zu 9.4.3(2)) wurde berücksichtigt.

### Kombinationen

Maßgebende Kombinationen nach DIN EN 1990

| | |
|---|---|
| Ew | Einwirkungsname |
| Lkn | Lastkombinationsnummer |
| ! | vorherrschende veränderliche Einwirkung |

Die Beteiligung einzelner Lastfälle innerhalb einer Einwirkung wird mit diesem Ausgabeformat nicht dokumentiert.

| Ew | Gk | Qk.N | Qk.S | Qk.W |
|---|---|---|---|---|
| Lkn | Grundkombination | | | |
| 1 | 1.35 | 1.50! | 0.75 | . |

| Rund-schnitt | Abstand [cm] | u [m] | vEd | | vRd,c | vRd,max [N/mm²] | minAsw | erfAsw [cm²] |
|---|---|---|---|---|---|---|---|---|
| Ucrit | 38.40 | 1.93 | 0.152 | ≤ | 0.495 | | | |



durch Vergleichsrechnung geprüft

DS-4 Durchstanznachweis nach DIN EN 1992-1-1

Angaben Beton C 25/30, Betonstahl B 500MA

Lasteinleitungsfläche:

| | | | | |
|---|---|---|---|---|
| Wandecke | a | = | 24.0 | cm |
| | b | = | 24.0 | cm |
| Plattendicke | $h_0$ | = | 22.0 | cm |
| Mittl. statische Nutzhöhe | $d_m$ | = | 19.2 | cm |
| Längsbewehrung | $a_{s,m}$ | = | 3.71 | cm²/m |
| Längsbewehrungsgrad | $\rho_{l,vorh}$ | = | 0.19 | % |
| | $\rho_{l,zul}$ | = | 1.63 | % |
| Maßg. Durchstanzkraft | $V_{Ed}$ | = | 65.3 | kN |
| Lasterhöhungsfaktor | $\beta$ | = | 1.20 | |

Nachweis Keine Durchstanzbewehrung Asw erforderlich.

Für die maßgebende Belastungssituation wurde die mittlere Längsbewehrung asm an der Oberseite berücksichtigt.
Diese Längsbewehrung ist innerhalb des gesamten äußeren Rundschnitts anzuordnen und außerhalb dieses Rundschnitts zu verankern.
Eine Stützenkopfverstärkung wird nicht berücksichtigt.
Die Durchstanzkraft VEd wurde am Stützenanschnitt ausgewertet.
Mindestbewehrung (NCI Zu 9.4.3(2)) wurde berücksichtigt.

Kombinationen Maßgebende Kombinationen nach DIN EN 1990

| | |
|---|---|
| Ew | Einwirkungsname |
| Lkn | Lastkombinationsnummer |
| ! | vorherrschende veränderliche Einwirkung |

Die Beteiligung einzelner Lastfälle innerhalb einer Einwirkung wird mit diesem Ausgabeformat nicht dokumentiert.

| Ew | Gk | Qk.N | Qk.S | Qk.W |
|---|---|---|---|---|
| Lkn | Grundkombination | | | |
| 1 | 1.35 | 1.50! | . | 0.90 |

| Rund-schnitt | Abstand [cm] | u [m] | vEd | | vRd,c | vRd,max [N/mm²] | minAsw | erfAsw [cm²] |
|---|---|---|---|---|---|---|---|---|
| Ucrit | 38.40 | 1.08 | 0.377 | ≤ | 0.495 | | | |



durch Vergleichsrechnung geprüft

DS-5 Durchstanznachweis nach DIN EN 1992-1-1

Angaben Beton C 25/30, Betonstahl B 500MA

Lasteinleitungsfläche:
Wandende

| | | | |
|---|---|---|---|
| a | = | 25.0 | cm |
| b | = | 25.0 | cm |
| Plattendicke $h_0$ | = | 22.0 | cm |
| Mittl. statische Nutzhöhe $d_m$ | = | 19.2 | cm |
| Längsbewehrung $a_{s,m}$ | = | 3.35 | cm²/m |
| Längsbewehrungsgrad $\rho_{l,vorh}$ | = | 0.17 | % |
| $\rho_{l,zul}$ | = | 1.63 | % |
| Maßg. Durchstanzkraft $V_{Ed}$ | = | 21.0 | kN |
| Lasterhöhungsfaktor $\beta$ | = | 1.35 | |

Nachweis Keine Durchstanzbewehrung Asw erforderlich.

Für die maßgebende Belastungssituation wurde die mittlere Längsbewehrung asm an der Unterseite berücksichtigt.
Diese Längsbewehrung ist innerhalb des gesamten äußeren Rundschnitts anzuordnen und außerhalb dieses Rundschnitts zu verankern.
Eine Stützenkopfverstärkung wird nicht berücksichtigt.
Die Durchstanzkraft VEd wurde am Stützenanschnitt ausgewertet.
Mindestbewehrung (NCI Zu 9.4.3(2)) wurde berücksichtigt.

Kombinationen Maßgebende Kombinationen nach DIN EN 1990

Ew Einwirkungsname
Lkn Lastkombinationsnummer
! vorherrschende veränderliche Einwirkung

Die Beteiligung einzelner Lastfälle innerhalb einer Einwirkung wird mit diesem Ausgabeformat nicht dokumentiert.

| Ew | Gk | Qk.N | Qk.S | Qk.W |
|---|---|---|---|---|
| Lkn | Grundkombination | | | |
| 1 | 1.35 | 1.50! | 0.75 | . |

| Rund-schnitt | Abstand [cm] | u [m] | vEd | | vRd,c | vRd,max [N/mm²] | minAsw | erfAsw [cm²] |
|---|---|---|---|---|---|---|---|---|
| Ucrit | 38.40 | 1.83 | 0.081 | ≤ | 0.495 | | | |



durch Vergleichsrechnung geprüft

DS-6 Durchstanznachweis nach DIN EN 1992-1-1

Angaben Beton C 25/30, Betonstahl B 500MA

Lasteinleitungsfläche:

| | | | | |
|---|---|---|---|---|
| Wandecke | a | = | 25.0 | cm |
| | b | = | 25.0 | cm |
| Plattendicke | $h_0$ | = | 22.0 | cm |
| Mittl. statische Nutzhöhe | $d_m$ | = | 19.2 | cm |
| Längsbewehrung | $a_{s,m}$ | = | 3.35 | cm²/m |
| Längsbewehrungsgrad | $\rho_{l,vorh}$ | = | 0.17 | % |
| | $\rho_{l,zul}$ | = | 1.63 | % |
| Maßg. Durchstanzkraft | $V_{Ed}$ | = | 21.3 | kN |
| Lasterhöhungsfaktor | $\beta$ | = | 1.20 | |

Nachweis Keine Durchstanzbewehrung Asw erforderlich.

Für die maßgebende Belastungssituation wurde die mittlere Längsbewehrung asm an der Oberseite berücksichtigt.
Diese Längsbewehrung ist innerhalb des gesamten äußeren Rundschnitts anzuordnen und außerhalb dieses Rundschnitts zu verankern.
Eine Stützenkopfverstärkung wird nicht berücksichtigt.
Die Durchstanzkraft VEd wurde am Stützenanschnitt ausgewertet.
Mindestbewehrung (NCI Zu 9.4.3(2)) wurde berücksichtigt.

Kombinationen Maßgebende Kombinationen nach DIN EN 1990

Ew Einwirkungsname
Lkn Lastkombinationsnummer
! vorherrschende veränderliche Einwirkung

Die Beteiligung einzelner Lastfälle innerhalb einer Einwirkung wird mit diesem Ausgabeformat nicht dokumentiert.

| Ew | Gk | Qk.N | Qk.S | Qk.W |
|---|---|---|---|---|
| Lkn | Grundkombination | | | |
| 1 | 1.35 | 1.50! | 0.75 | . |

| Rund-schnitt | Abstand [cm] | u [m] | vEd | | vRd,c | vRd,max [N/mm²] | minAsw | erfAsw [cm²] |
|---|---|---|---|---|---|---|---|---|
| Ucrit | 38.40 | 1.03 | 0.129 | ≤ | 0.495 | | | |



durch Vergleichsrechnung geprüft

DS-7 Durchstanznachweis nach DIN EN 1992-1-1

Angaben Beton C 25/30, Betonstahl B 500MA

Lasteinleitungsfläche:

| | | | | |
|---|---|---|---|---|
| Wandecke | a | = | 25.0 | cm |
| | b | = | 25.0 | cm |
| Plattendicke | $h_0$ | = | 22.0 | cm |
| Mittl. statische Nutzhöhe | $d_m$ | = | 19.2 | cm |
| Längsbewehrung | $a_{s,m}$ | = | 3.35 | cm²/m |
| Längsbewehrungsgrad | $\rho_{l,vorh}$ | = | 0.17 | % |
| | $\rho_{l,zul}$ | = | 1.63 | % |
| Maßg. Durchstanzkraft | $V_{Ed}$ | = | 24.1 | kN |
| Lasterhöhungsfaktor | $\beta$ | = | 1.20 | |

Nachweis Keine Durchstanzbewehrung Asw erforderlich.

Für die maßgebende Belastungssituation wurde die mittlere Längsbewehrung asm an der Unterseite berücksichtigt.
Diese Längsbewehrung ist innerhalb des gesamten äußeren Rundschnitts anzuordnen und außerhalb dieses Rundschnitts zu verankern.
Eine Stützenkopfverstärkung wird nicht berücksichtigt.
Die Durchstanzkraft VEd wurde am Stützenanschnitt ausgewertet.
Mindestbewehrung (NCI Zu 9.4.3(2)) wurde berücksichtigt.

Kombinationen Maßgebende Kombinationen nach DIN EN 1990

Ew Einwirkungsname
Lkn Lastkombinationsnummer
! vorherrschende veränderliche Einwirkung

Die Beteiligung einzelner Lastfälle innerhalb einer Einwirkung wird mit diesem Ausgabeformat nicht dokumentiert.

| Ew | Gk | Qk.N | Qk.S | Qk.W |
|---|---|---|---|---|
| Lkn | Grundkombination | | | |
| 1 | 1.35 | 1.50! | . | 0.90 |

| Rund-schnitt | Abstand [cm] | u [m] | vEd | | vRd,c | vRd,max [N/mm²] | minAsw | erfAsw [cm²] |
|---|---|---|---|---|---|---|---|---|
| Ucrit | 38.40 | 1.03 | 0.146 | ≤ | 0.495 | | | |



durch Vergleichsrechnung geprüft

## Pos. 4.03 Stb-deckengl. Balken

Bemessung und Querschnittswerte siehe Pos 4.02.

## Pos. 4.04 Stb-Ringbalken

konstr. gewählt ohne weiteren Nachweis:

Zur horizontalen Halterung für die Wand am Treppenloch wird ein Stb-Ringbalken ausgebildet, der in die Decke seitlich einbindet.

Querschnitt: b/h = 28,5/22cm
Beton: C25/30
Bewehrung: 2Ø12 oben+unten zugverankert in Stb-Decke, Bügel Ø8/15

## Pos. 4.05 Stb-Unterzug

konstr. gewählt ohne weiteren Nachweis:

Querschnitt: b/h = 25/22+ca.56=78 cm
Beton: C25/30
Bewehrung: 2Ø12 oben+unten, Bügel Ø8/15



durch Vergleichsrechnung geprüft

## Pos. 4.06 Mauerwerk

**System**

Einschalige Außenwand
2-seitig gehalten

**Abmessungen Mat./Querschnitt**

| Material | l [m] | h [m] | t [cm] | γ [kN/m³] |
|---|---|---|---|---|
| *SFK 4-0.5/DM (Z-17.1-1029)* | 1.19 | 2.75 | 36.5 | 6.0 |

**Massivdecken**

**Rechts Oben**

| Material | $l_f$ [m] | k [-] | h [cm] | a [cm] | b [m] | γ [kN/m³] |
|---|---|---|---|---|---|---|
| C 25/30 | 3.50 | 0.50 | 22.0 | 36.50 | 1.19 | 25.0 |

**Belastungen**

Streckenlasten vertikal

| | Nr. | EW | $f_x$ [kN/m] |
|---|---|---|---|
| (a) | 1 | Gk | 6.02 |

(a) Wandeigengewicht 6.00*0.36*2.75 = 6.02 kN/m

Momente am Wandkopf

| Nr. | EW | $m_{p,y,o}$ [kNm/m] |
|---|---|---|
| 1 | Gk | -7.18 |
| 2 | Qk.N | -2.40 |
| 3 | Qk.S | -0.11 |
| 4 | Qk.W | -0.01 |

**Punktlasten summiert** am Wandkopf

| Komm. | | $F_x$ [kN] | $F_{s,y}$ [kN] | $F_{p,z}$ [kN] | $M_{p,y}$ [kNm] | $M_{s,z}$ [kNm] |
|---|---|---|---|---|---|---|
| Einw. *Gk* | (a) | 118.06 | 0.00 | 0.00 | 0.00 | 0.00 |
| Einw. *Qk.N* | (a) | 39.40 | 0.00 | 0.00 | 0.00 | 0.79 |
| Einw. *Qk.S* | (a) | 1.75 | 0.00 | 0.00 | 0.00 | -0.09 |
| Einw. *Qk.W* | (a) | 0.09 | 0.00 | 0.00 | 0.00 | 0.01 |

(a) aus Pos. '4.02', Lager 'EG-03.3' (Seite 227)

**Kombinationen**

Kombinationsbildung nach DIN EN 1990
Darstellung der maßgebenden Kombinationen

| | Ek | Σ (γ*ψ*EW) | | |
|---|---|---|---|---|
| ständig/vorüberg. | 5 | 1.35*Gk | +1.50*Qk.N | +0.75*Qk.S |
| häufig | 26 | 1.00*Gk | +0.50*Qk.N | |
| selten | 33 | 1.00*Gk | +1.00*Qk.S | |

**Mat./Querschnitt**

nach DIBt Zulassung Z-17.1-1029

gewählt *SFK 4-0.5-(365)/DM (Z-17.1-1029)*

| | |
|---|---|
| Steinart | Bisotherm |
| Steintyp | Bisomark mit Dämmstoff WLG 035 |
| Steindruckfestigkeitsklasse | SFK 4 |
| Steinrohdichteklasse | RDK 0.5 |
| Mörtelgruppe | Dünnbettmörtel DM |

Mauerwerk mit unvermörtelten Stoßfugen



durch Vergleichsrechnung geprüft

Materialbeiwerte

| | | | |
|---|---|---|---|
| charakt. Druckfestigkeit | $f_k$ = | 2.00 | N/mm² |
| Teilsicherheitsbeiwert | $\gamma_M$ = | 1.50 | |
| Dauerstandsfaktor | $\zeta$ = | 0.85 | |
| Bemessungswert Druckfestigk. | $f_d$ = | 1.13 | N/mm² |
| Rechenwert der Endkriechzahl | $\phi_\infty$ = | 2.00 | |
| Elastizitätsmodul | E = | 1900 | N/mm² |

Nachweise (GZT) — nach DIN EN 1996-1-1 (12/10) mit genauerer Berechnungsmethode

Tragwiderstand Abs. 6.1.2 — Nachweis des vertikalen Tragwiderstands

| Ek | Stelle | $\Phi_y$ [-] | $\Phi_z$ [-] | $N_{Ed}$ [kN] | $N_{Rd}$ [kN] | η [-] |
|---|---|---|---|---|---|---|
| 5 | Kopf | 0.991 | 0.667 | 219.79 | 325.37 | 0.68 |
| 5 | Mitte | 0.992 | 0.790 | 224.63 | 385.57 | 0.58 |
| 5 | Fuß | 0.992 | 0.900 | 229.46 | 439.42 | 0.52 |

Plattenschub NCI zu 6.2 (NA.24) — Nachweis der Querkrafttragf. in Plattenrichtung

| Ek | Stelle | $t_{cal}$ [m] | c [-] | $f_{vk}$ [N/mm²] | $V_{Ed,z}$ [kN] | $V_{Rdlt}$ [kN] | η [-] |
|---|---|---|---|---|---|---|---|
| 5 | Kopf | 0.37 | 1.50 | 0.45 | -4.86 | 86.92 | 0.06 |
| 5 | Mitte | 0.37 | 1.50 | 0.46 | -4.86 | 88.21 | 0.06 |
| 5 | Fuß | 0.37 | 1.50 | 0.46 | -4.86 | 89.50 | 0.05 |

Nachweise (GZG) — nach DIN EN 1996-1-1/NA:2019-12, NCI zu 7.2

Ausmitte Plattenri. NCI zu 7.2 (NA.7) — Nachweis der planmäß. Ausmitte in Plattenrichtung

| Ek | Stelle | $e_{z,L}$ [cm] | $e_{z,D}$ [cm] | $e_h$ [cm] | zul e [cm] | η [-] |
|---|---|---|---|---|---|---|
| 33 | Kopf | 6.1 | 0.0 | 0.0 | 12.2 | 0.50 |
| 33 | Mitte | 3.0 | 0.0 | 0.0 | 12.2 | 0.24 |
| 33 | Fuß | 0.0 | 0.0 | 0.0 | 12.2 | 0.00 |

$e_{z,L}$: Ausmitte infolge Vertikallasten
$e_{z,D}$: Ausmitte infolge Deckenverdrehung
$e_h$: Ausmitte infolge Horizontallasten

Auflagerkräfte — Charakteristische Auflagerkräfte

Char. Auflagerkr.

| | Aufl. | $F_{x,k}$ [kN] | $F_{z,k}$ [kN] | $M_{y,k}$ [kNm] | $F_{y,k}$ [kN] | $M_{z,k}$ [kNm] |
|---|---|---|---|---|---|---|
| Einw. *Gk* | A | 125.23 | -2.61 | 0.00 | 0.00 | 0.00 |
| | B | | 2.61 | 1.36 | | |
| Einw. *Qk.N* | A | 39.40 | -0.87 | 0.00 | 0.00 | 0.79 |
| | B | | 0.87 | 0.46 | | |
| Einw. *Qk.S* | A | 1.76 | -0.04 | 0.00 | 0.00 | -0.09 |
| | B | | 0.04 | 0.02 | | |
| Einw. *Qk.W* | A | 0.09 | 0.00 | 0.00 | 0.00 | 0.01 |
| | B | | 0.00 | 0.00 | | |



durch Vergleichsrechnung geprüft

## Pos. 4.07 Mauerwerk

**System**

Einschalige Außenwand
2-seitig gehalten

**Abmessungen Mat./Querschnitt**

| Material | √ | l [m] | h [m] | t [cm] | γ [kN/m³] |
|---|---|---|---|---|---|
| *SFK 20-2.0/DM (Z-17.1-845)* | | 5.10 | 2.75 | 24.0 | 20.0 |

**Massivdecken**

| Material | $l_f$ [m] | k [-] | h [cm] | a [cm] | b [m] | γ [kN/m³] |
|---|---|---|---|---|---|---|
| C 25/30 | 3.50 | 0.50 | 22.0 | 24.00 | 5.10 | 25.0 |

Rechts Oben

**Belastungen**

Streckenlasten vertikal

| | Nr. | EW | $f_x$ [kN/m] |
|---|---|---|---|
| (a) | 1 | Gk | 13.20 |

(a) Wandeigengewicht 20.00*0.24*2.75 = 13.20 kN/m

**Punktlasten summiert** am Wandkopf

| | Komm. | $F_x$ [kN] | $F_{s,y}$ [kN] | $F_{p,z}$ [kN] | $M_{p,y}$ [kNm] | $M_{s,z}$ [kNm] |
|---|---|---|---|---|---|---|
| Einw. *Gk* | (a) | 765.41 | 0.00 | 0.00 | 0.00 | -283.20 |
| Einw. *Qk.N* | (a) | 159.41 | 0.00 | 0.00 | 0.00 | -111.59 |
| Einw. *Qk.S* | (a) | 26.61 | 0.00 | 0.00 | 0.00 | -12.24 |
| Einw. *Qk.W* | (a) | 4.70 | 0.00 | 0.00 | 0.00 | 5.64 |

(a) aus Pos. '4.02', Lager '02-EG' (Seite 227)

**Kombinationen**

Kombinationsbildung nach DIN EN 1990
Darstellung der maßgebenden Kombinationen

| | Ek | Σ (γ*ψ*EW) | | |
|---|---|---|---|---|
| ständig/vorüberg. | 5 | 1.35*Gk | +1.50*Qk.N | +0.75*Qk.S |
| selten | 31 | 1.00*Gk | | |

**Mat./Querschnitt** nach DIBt Zulassung Z-17.1-845

gewählt *SFK 20-2.0-(240)/DM (Z-17.1-845)*

| | |
|---|---|
| Steinart | Bundesverband Leichtbeton |
| Steintyp | Plan-Vollstein aus Beton |
| Steindruckfestigkeitsklasse | SFK 20 |
| Steinrohdichteklasse | RDK 2.0 |
| Mörtelgruppe | Dünnbettmörtel DM |

Mauerwerk mit unvermörtelten Stoßfugen

**Materialbeiwerte**

| | | | |
|---|---|---|---|
| charakt. Druckfestigkeit | $f_k$ = | 10.00 | N/mm² |
| Teilsicherheitsbeiwert | $\gamma_M$ = | 1.50 | |
| Dauerstandsfaktor | $\zeta$ = | 0.85 | |
| Bemessungswert Druckfestigk. | $f_d$ = | 5.67 | N/mm² |
| Rechenwert der Endkriechzahl | $\phi_\infty$ = | 1.00 | |
| Elastizitätsmodul | E = | 24000 | N/mm² |

**Nachweise (GZT)** nach DIN EN 1996-1-1 (12/10) mit genauerer Berechnungsmethode



durch Vergleichsrechnung geprüft

Tragwiderstand
Abs. 6.1.2

Nachweis des vertikalen Tragwiderstands

| Ek | Stelle | $\Phi_y$ [-] | $\Phi_z$ [-] | $N_{Ed}$ [kN] | $N_{Rd}$ [kN] | η [-] |
|---|---|---|---|---|---|---|
| 5 | Kopf | 0.830 | 0.900 | 1292.37 | 5183.77 | 0.25 |
| 5 | Mitte | 0.836 | 0.820 | 1337.82 | 4754.30 | 0.28 |
| 5 | Fuß | 0.842 | 0.900 | 1383.26 | 5253.32 | 0.26 |

Nachweise (GZG)

nach DIN EN 1996-1-1/NA:2019-12, NCI zu 7.2

Ausmitte Plattenri.
NCI zu 7.2 (NA.7)

Nachweis der planmäß. Ausmitte in Plattenrichtung

| Ek | Stelle | $e_{z,L}$ [cm] | $e_{z,D}$ [cm] | $e_h$ [cm] | zul e [cm] | η [-] |
|---|---|---|---|---|---|---|
| 31 | Kopf | 0.0 | 0.0 | 0.0 | 8.0 | 0.00 |
| 31 | Mitte | 0.0 | 0.0 | 0.0 | 8.0 | 0.00 |
| 31 | Fuß | 0.0 | 0.0 | 0.0 | 8.0 | 0.00 |

$e_{z,L}$: Ausmitte infolge Vertikallasten
$e_{z,D}$: Ausmitte infolge Deckenverdrehung
$e_h$: Ausmitte infolge Horizontallasten

Auflagerkräfte

Charakteristische Auflagerkräfte

Char. Auflagerkr.

| | Aufl. | $F_{x,k}$ [kN] | $F_{z,k}$ [kN] | $M_{y,k}$ [kNm] | $F_{y,k}$ [kN] | $M_{z,k}$ [kNm] |
|---|---|---|---|---|---|---|
| Einw. *Gk* | A | 832.73 | 0.00 | 0.00 | 0.00 | -283.20 |
| | B | | 0.00 | 0.00 | | |
| Einw. *Qk.N* | A | 159.41 | 0.00 | 0.00 | 0.00 | -111.59 |
| | B | | 0.00 | 0.00 | | |
| Einw. *Qk.S* | A | 26.61 | 0.00 | 0.00 | 0.00 | -12.24 |
| | B | | 0.00 | 0.00 | | |
| Einw. *Qk.W* | A | 4.70 | 0.00 | 0.00 | 0.00 | 5.65 |
| | B | | 0.00 | 0.00 | | |

Zusammenfassung

Zusammenfassung der Nachweise

Nachweise (GZT)

Nachweise im Grenzzustand der Tragfähigkeit

| Nachweis | Ort | | η [-] |
|---|---|---|---|
| vertikaler Tragwiderstand | Mitte | OK | 0.28 |



durch Vergleichsrechnung geprüft

## Pos. 4.08 Mauerwerk

**System**

Einschalige Außenwand
2-seitig gehalten

**Abmessungen Mat./Querschnitt**

| Material | l [m] | h [m] | t [cm] | γ [kN/m³] |
|---|---|---|---|---|
| *SFK 12-1.8/DM (Z-17.1-845)* | 2.49 | 2.75 | 24.0 | 18.0 |

**Massivdecken**

| Material | $l_f$ [m] | k [-] | h [cm] | a [cm] | b [m] | γ [kN/m³] |
|---|---|---|---|---|---|---|
| C 25/30 | 3.50 | 0.50 | 22.0 | 24.00 | 2.49 | 25.0 |

Rechts Oben

**Belastungen**

Streckenlasten vertikal

| | Nr. | EW | $f_x$ [kN/m] |
|---|---|---|---|
| (a) | 1 | Gk | 11.88 |

(a) Wandeigengewicht 18.00*0.24*2.75 = 11.88 kN/m

**Punktlasten summiert** am Wandkopf

| | Komm. | $F_x$ [kN] | $F_{s,y}$ [kN] | $F_{p,z}$ [kN] | $M_{p,y}$ [kNm] | $M_{s,z}$ [kNm] |
|---|---|---|---|---|---|---|
| Einw. *Gk* | (a) | 305.20 | 0.00 | 0.00 | 0.00 | 64.09 |
| Einw. *Qk.N* | (a) | 100.47 | 0.00 | 0.00 | 0.00 | 13.06 |
| Einw. *Qk.S* | (a) | 2.70 | 0.00 | 0.00 | 0.00 | 2.33 |
| Einw. *Qk.W* | (a) | 0.07 | 0.00 | 0.00 | 0.00 | 0.20 |

(a) aus Pos. '4.02', Lager 'EG-05.3' (Seite 227)

**Kombinationen**

Kombinationsbildung nach DIN EN 1990
Darstellung der maßgebenden Kombinationen

| | Ek | Σ (γ*ψ*EW) | | |
|---|---|---|---|---|
| ständig/vorüberg. | 5 | 1.35*Gk | +1.50*Qk.N | +0.75*Qk.S |
| selten | 31 | 1.00*Gk | | |

**Mat./Querschnitt** nach DIBt Zulassung Z-17.1-845

**gewählt** *SFK 12-1.8-(240)/DM (Z-17.1-845)*

| | |
|---|---|
| Steinart | Bundesverband Leichtbeton |
| Steintyp | Plan-Vollstein aus Beton |
| Steindruckfestigkeitsklasse | SFK 12 |
| Steinrohdichteklasse | RDK 1.8 |
| Mörtelgruppe | Dünnbettmörtel DM |

Mauerwerk mit unvermörtelten Stoßfugen

**Materialbeiwerte**

| | | | |
|---|---|---|---|
| charakt. Druckfestigkeit | $f_k$ = | 6.90 | N/mm² |
| Teilsicherheitsbeiwert | $\gamma_M$ = | 1.50 | |
| Dauerstandsfaktor | $\zeta$ = | 0.85 | |
| Bemessungswert Druckfestigk. | $f_d$ = | 3.91 | N/mm² |
| Rechenwert der Endkriechzahl | $\phi_\infty$ = | 1.00 | |
| Elastizitätsmodul | E = | 16560 | N/mm² |

**Nachweise (GZT)** nach DIN EN 1996-1-1 (12/10) mit genauerer Berechnungsmethode



durch Vergleichsrechnung geprüft

**Tragwiderstand Abs. 6.1.2**

Nachweis des vertikalen Tragwiderstands

| Ek | Stelle | $\Phi_y$ [-] | $\Phi_z$ [-] | $N_{Ed}$ [kN] | $N_{Rd}$ [kN] | η [-] |
|---|---|---|---|---|---|---|
| 5 | Kopf | 0.847 | 0.900 | 564.75 | 1780.36 | 0.32 |
| 5 | Mitte | 0.852 | 0.820 | 584.72 | 1631.64 | 0.36 |
| 5 | Fuß | 0.857 | 0.900 | 604.69 | 1801.66 | 0.34 |

**Nachweise (GZG)**

nach DIN EN 1996-1-1/NA:2019-12, NCI zu 7.2

**Ausmitte Plattenri. NCI zu 7.2 (NA.7)**

Nachweis der planmäß. Ausmitte in Plattenrichtung

| Ek | Stelle | $e_{z,L}$ [cm] | $e_{z,D}$ [cm] | $e_h$ [cm] | zul e [cm] | η [-] |
|---|---|---|---|---|---|---|
| 31 | Kopf | 0.0 | 0.0 | 0.0 | 8.0 | 0.00 |
| 31 | Mitte | 0.0 | 0.0 | 0.0 | 8.0 | 0.00 |
| 31 | Fuß | 0.0 | 0.0 | 0.0 | 8.0 | 0.00 |

$e_{z,L}$: Ausmitte infolge Vertikallasten
$e_{z,D}$: Ausmitte infolge Deckenverdrehung
$e_h$: Ausmitte infolge Horizontallasten

**Auflagerkräfte**

Charakteristische Auflagerkräfte

Char. Auflagerkr.

| | Aufl. | $F_{x,k}$ [kN] | $F_{z,k}$ [kN] | $M_{y,k}$ [kNm] | $F_{y,k}$ [kN] | $M_{z,k}$ [kNm] |
|---|---|---|---|---|---|---|
| Einw. *Gk* | A | 334.78 | 0.00 | 0.00 | 0.00 | 64.09 |
| | B | | 0.00 | 0.00 | | |
| Einw. *Qk.N* | A | 100.47 | 0.00 | 0.00 | 0.00 | 13.06 |
| | B | | 0.00 | 0.00 | | |
| Einw. *Qk.S* | A | 2.70 | 0.00 | 0.00 | 0.00 | 2.33 |
| | B | | 0.00 | 0.00 | | |
| Einw. *Qk.W* | A | 0.07 | 0.00 | 0.00 | 0.00 | 0.20 |
| | B | | 0.00 | 0.00 | | |

**Zusammenfassung**

Zusammenfassung der Nachweise

**Nachweise (GZT)**

Nachweise im Grenzzustand der Tragfähigkeit

| Nachweis | Ort | | η [-] |
|---|---|---|---|
| vertikaler Tragwiderstand | Mitte | OK | 0.36 |



durch Vergleichsrechnung geprüft

## Pos. 4.09 Stb-Aufzugswände

konstr. gewählt ohne weiteren Nachweis:

Dicke: h=25cm
Beton: C 25/30
Exp-Klasse: XC1
Betondeckung: 2,0cm
Bewehrung: Q335Ai+a geschossübergreifend, in den Ecken 4Ø14 geschossübergreifend , Bügel Ø8/15

√

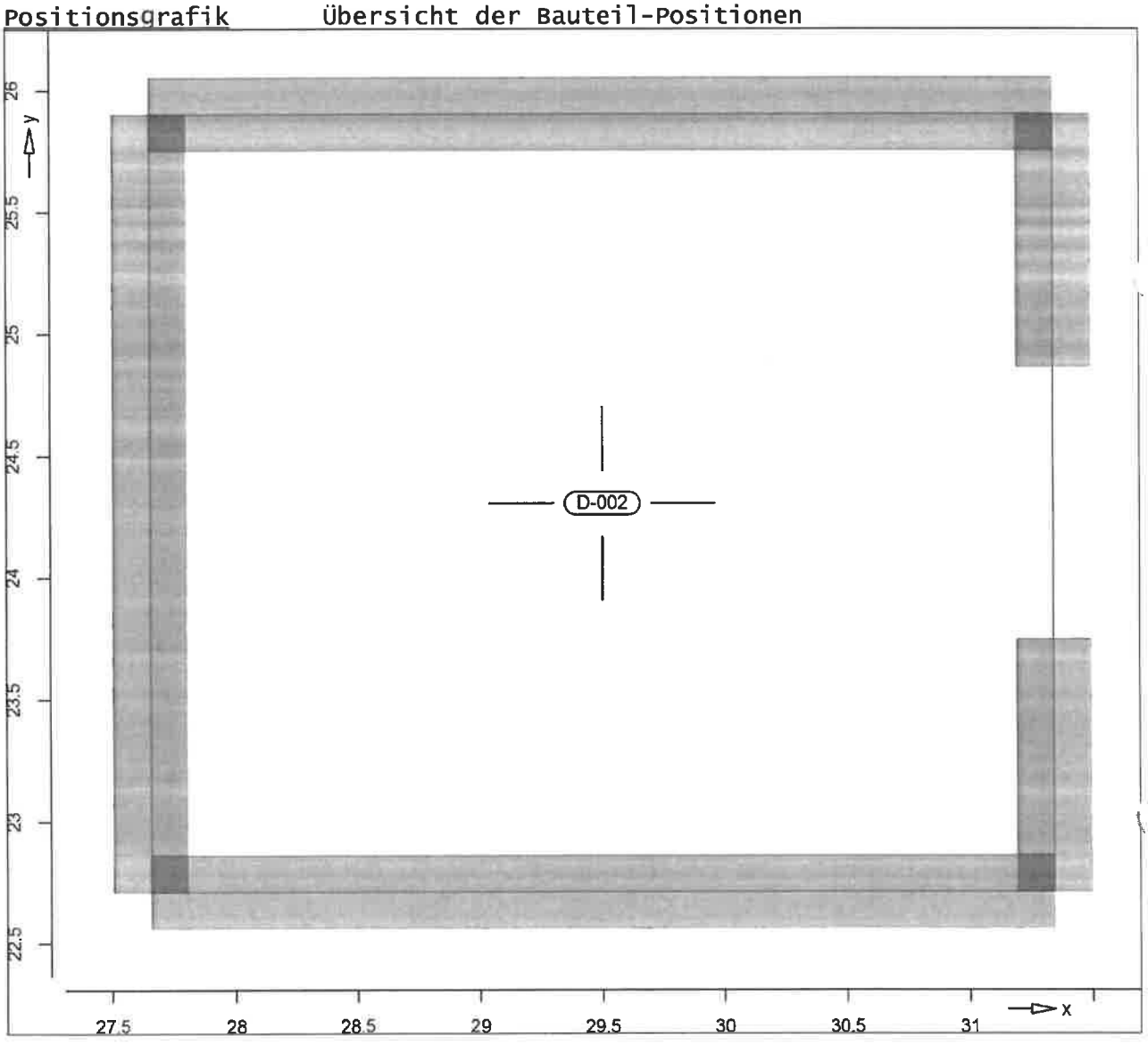
## Pos. 4.10 Stb-Decke

### System

Positionsplan — Positionsplan

Bauteile — Bauteil-Positionen

Positionsgrafik — Übersicht der Bauteil-Positionen




Platten — Platten-Positionen

Stahlbeton

| Position | Winkel [°] | Art | Material Längs | Material Quer | Dicke [cm] |
|---|---|---|---|---|---|
| D-002 | 0.0 | ort | *C 25/30* Q *B 500MA* | *B 500SA* | 16.0 |

Winkel: Bewehrungsrichtung r
ort: orthotropes Material
Q: Gesteinskörnung Quarzit



durch Vergleichsrechnung geprüft

**Orthotrop**

| Position | $\alpha_{E1}$ [°] | E2/E1 |
|---|---|---|
| D-002 | 90.00 | 0.97 |

**Abminderung**

| Position | $F_M$ | $F_S$ | $F_B$ | $F_D$ |
|---|---|---|---|---|
| D-002 | - | - | 0.00 | 1.00 |

$F_M$: Abminderungsfaktor für die Membransteifigkeit
$F_S$: Abminderungsfaktor für die Schubsteifigkeit Scheibe
$F_B$: Abminderungsfaktor für die Biegesteifigkeit Platte
$F_D$: Abminderungsfaktor für die Drillsteifigkeit Platte

**Expositionsklasse**

gemäß DIN EN 1992-1-1, Tab. 4.1

| Position | Seite | Kl | Kommentar |
|---|---|---|---|
| D-002 | umlaufend | XC1 | trocken oder ständig nass |

**Koordinaten**

| Position | x [m] | y [m] |
|---|---|---|
| D-002 | 31.35 | 22.71 |
| | 31.35 | 25.90 |
| | 27.66 | 25.90 |
| | 27.66 | 22.71 |

**Auflager**

Auflager-Positionen

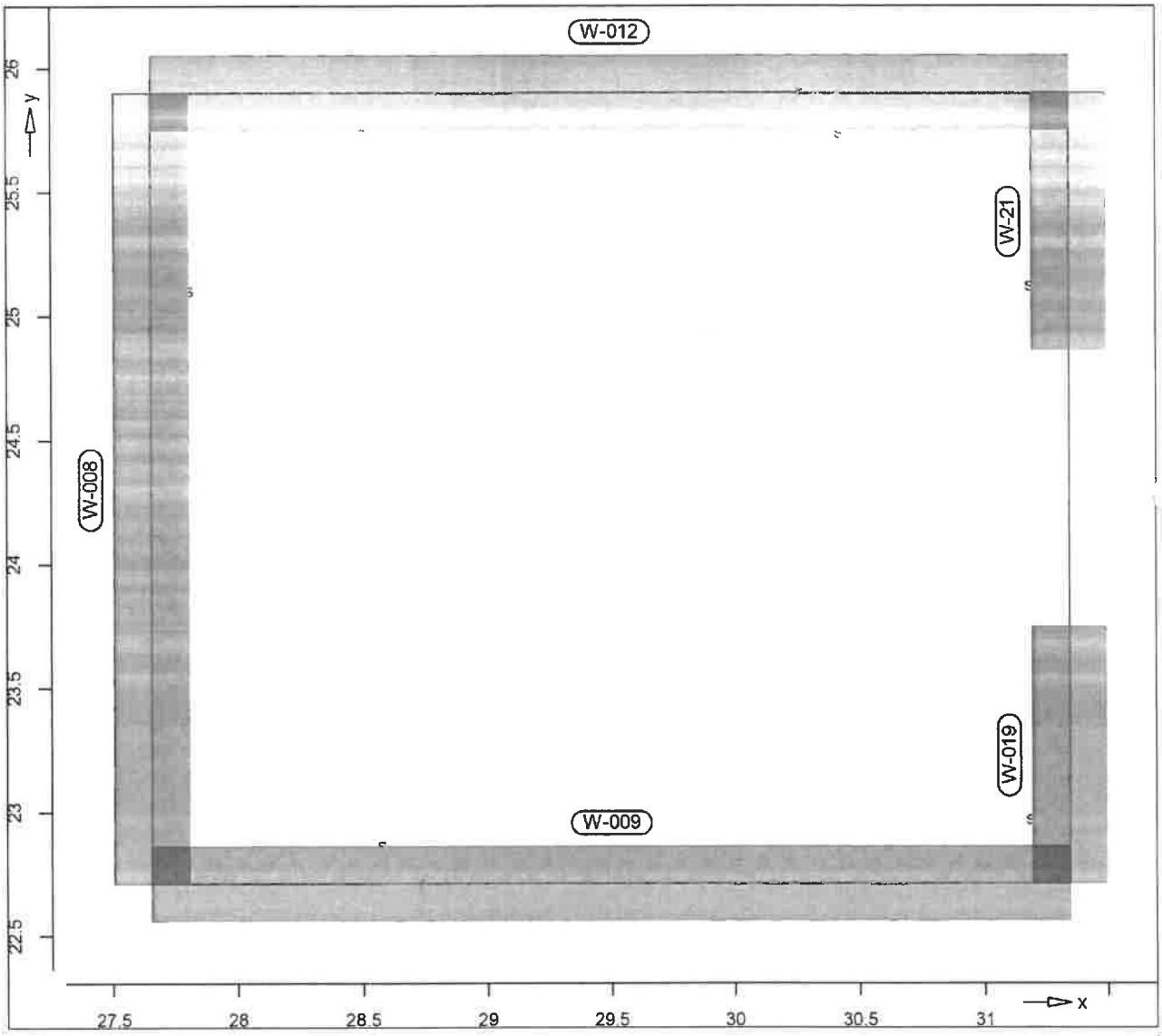
**Positionsgrafik**

Übersicht der Auflager-Positionen

mikado.de Version 2022 - © Version 2021 - mit AGT - Software GmbH



durch Vergleichsrechnung geprüft




Wandlager — Wandlager-Positionen

Mauerwerk

| Position | Höhe [m] | Länge [m] | Material | Dicke [cm] |
|---|---|---|---|---|
| W-21 | 2.88 | 1.04 | *Z-17.1-844-I 4 DM* | 30.0 |
| W-008 | 2.88 | 3.19 | *Z-17.1-844-I 4 DM* | 30.0 |
| W-009, W-012 | 2.88 | 3.69 | *Z-17.1-844-I 4 DM* | 30.0 |
| W-019 | 2.88 | 1.04 | *Z-17.1-844-I 4 DM* | 30.0 |

Federsteifigkeiten

| Position | $K_{R,r}$ [kNm/rad/m] | $K_{R,s}$ [kNm/rad/m] | | $K_{T,t}$ [kN/m/m] |
|---|---|---|---|---|
| W-21, W-008, W-009, W-012, W-019 | frei | frei | +/- | 247826 |



durch Vergleichsrechnung geprüft

## Koordinaten

| Position | x [m] | y [m] |
|---|---|---|
| W-21 | 31.35 | 24.86 |
| | 31.35 | 25.90 |
| W-008 | 27.66 | 25.90 |
| | 27.66 | 22.71 |
| W-009 | 27.66 | 22.71 |
| | 31.35 | 22.71 |
| W-012 | 31.35 | 25.90 |
| | 27.66 | 25.90 |
| W-019 | 31.35 | 22.71 |
| | 31.35 | 23.75 |

## Material

Materialkennwerte

### Stahlbeton DIN EN 1992-1-1

| Position | Material | Wichte [kN/m³] | $E_{cm}$ G [N/mm²] | $f_{ck}$ $f_{ctm}$ [N/mm²] |
|---|---|---|---|---|
| D-002 | C 25/30 Q | 25.00 | 31000 | 25.00 |
| | | | 12900 | 2.60 |

Q: Gesteinskörnung Quarzit

### Betonstahl DIN EN 1992-1-1

| Position | Material | Wichte [kN/m³] | $E_s$ G [N/mm²] | $f_{yk}$ $f_{tk,cal}$ [N/mm²] |
|---|---|---|---|---|
| D-002 | B 500MA | 78.50 | 200000 | 500.00 |
| | | | 77000 | 525.00 |
| D-002 | B 500SA | 78.50 | 200000 | 500.00 |
| | | | 77000 | 525.00 |

### Mauerwerk DIN EN 1996-1-1

| Position | Material | Wichte Dichte [kN/m³] [kg/dm³] | E G [N/mm²] | $f_k$ [N/mm²] |
|---|---|---|---|---|
| W-21, W-008, W-009, W-012, W-019 | Z-17.1-844-I 4 DM | 10.00 | 2375 | 2.50 |
| | | 0.90 | 950 | |

## Auswertung

Geometrische Auswertung der Positionen

### Flächen

Flächenförmige Bauteil-Positionen

#### Stahlbeton

| Position | Dicke [cm] | Fläche [m²] | Volumen [m³] |
|---|---|---|---|
| D-002 | 16.0 | 11.77 | 1.88 |

### Wandlager

Wände der Wandlager-Positionen

#### Mauerwerk

| Position | Dicke [cm] | Höhe [cm] | Fläche [m²] | Volumen [m³] |
|---|---|---|---|---|
| W-21 | 30.0 | 287.5 | 2.98 | 0.89 |
| W-008 | 30.0 | 287.5 | 9.17 | 2.75 |
| W-009, W-012 | 30.0 | 287.5 | 10.61 | 3.18 |
| W-019 | 30.0 | 287.5 | 2.98 | 0.89 |

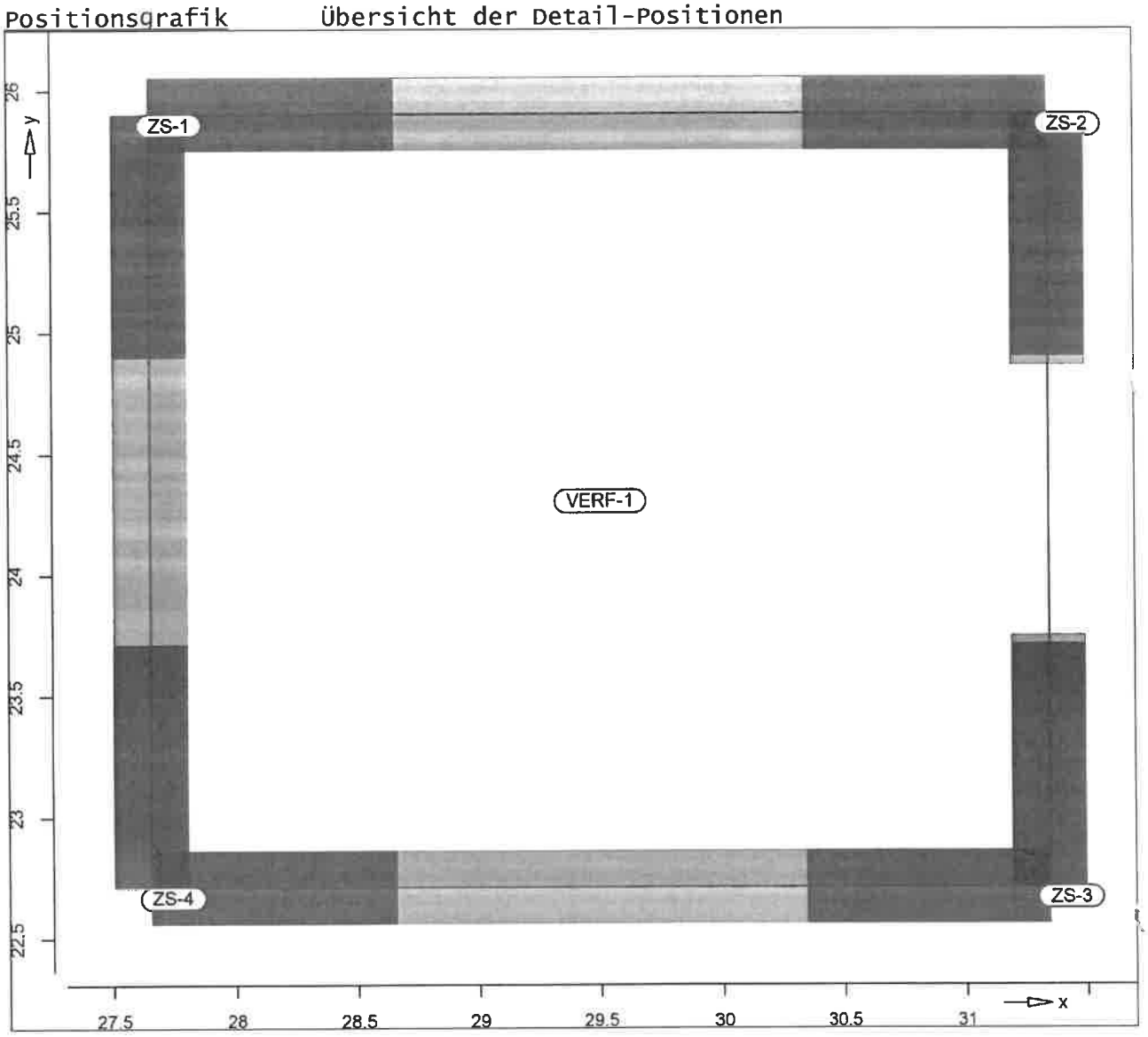


durch Vergleichsrechnung geprüft

Detailplan Detailplan

Details Detail-Positionen

Positionsgrafik Übersicht der Detail-Positionen




Verf.nachw.bereiche

| Position | zul.$f_\infty$ [cm] | zul.$f_\infty$-$f_0$ [cm] |
|---|---|---|
| VERF-1 | 1.3 | 0.6 |

Koordinaten

| Position | x [m] | y [m] |
|---|---|---|
| VERF-1 | 27.66 | 25.90 |
| | 31.35 | 25.90 |
| | 31.35 | 22.71 |
| | 27.66 | 22.71 |

Zugkraftstellen

| Position | Betonstahl |
|---|---|
| ZS-1..ZS-4 | B 500SA |



durch Vergleichsrechnung geprüft

Koordinaten

| Position | x [m] | y [m] |
|---|---|---|
| ZS-1 | 27.66 | 25.90 |
| ZS-2 | 31.35 | 25.90 |
| ZS-3 | 31.35 | 22.71 |
| ZS-4 | 27.66 | 22.71 |

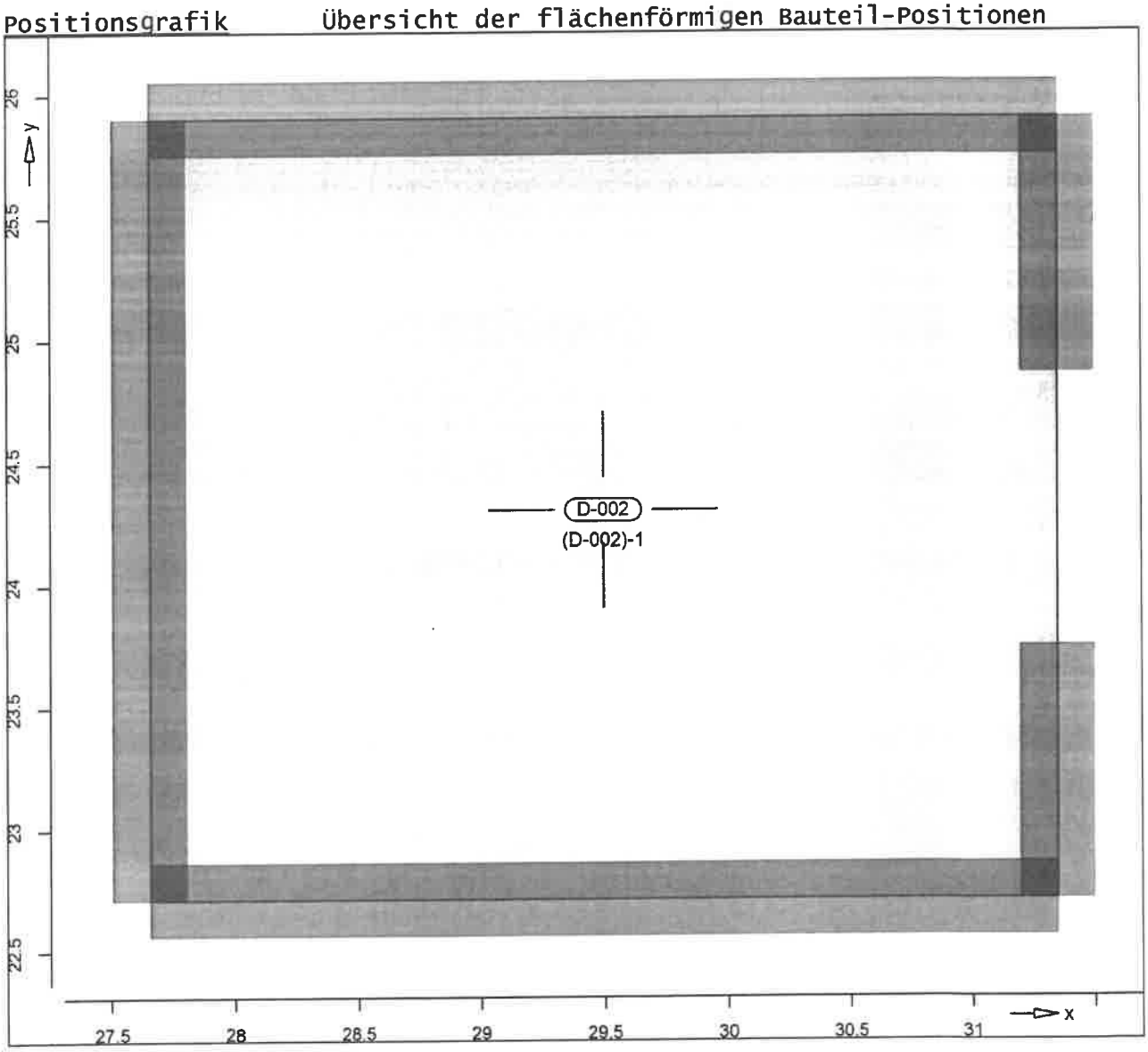
## Belastungen

Lastplan — Lasten des FE-Modells

Bauteillasten — Bauteilbezogene Lasten

Flächenpositionen — Flächenförmige Bauteil-Positionen

Positionsgrafik — Übersicht der flächenförmigen Bauteil-Positionen






durch Vergleichsrechnung geprüft

**Eigengewicht**

| Position | EW | Lastfall | Art | g [kN/m²] |
|---|---|---|---|---|
| D-002 | Gk | LF-1 | PGr | 4.00 |

PGr: Gravitationslast; positive Lasten wirken senkrecht nach unten

**Sonstige ständige Last**

| Position | EW | Lastfall | Art | g [kN/m²] |
|---|---|---|---|---|
| D-002 | Gk | LF-1 | PGr | 1.50 |

PGr: Gravitationslast; positive Lasten wirken senkrecht nach unten

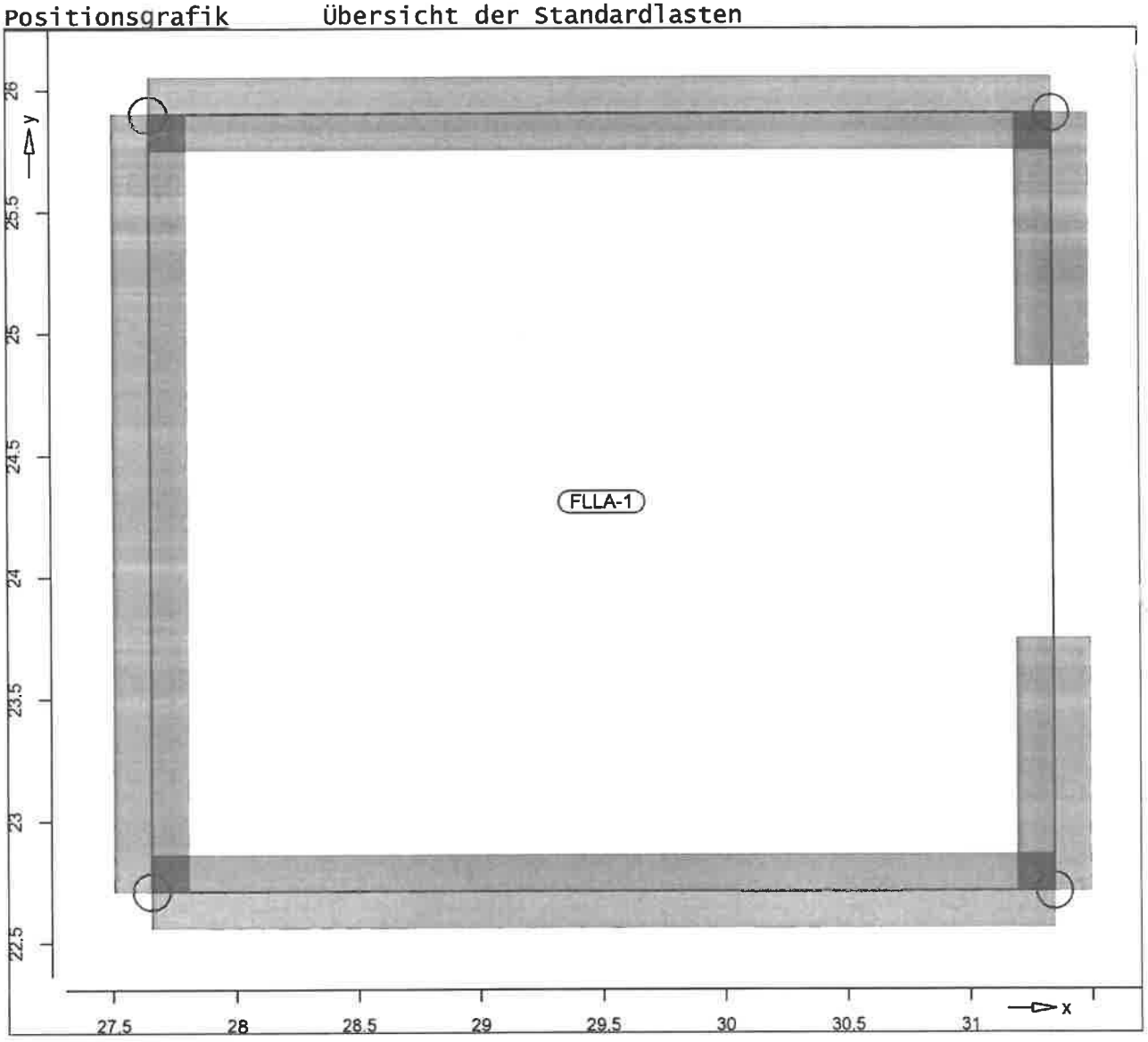
**Nutzlast**

| Position | EW | Lastfall je Lastfeld | Art | p [kN/m²] |
|---|---|---|---|---|
| D-002 | Qk.N | (D-002)-1 | PGr | 0.25 |

PGr: Gravitationslast; positive Lasten wirken senkrecht nach unten

**Standardlasten** Standardlasten im FE-Modell

**Positionsgrafik** Übersicht der Standardlasten






durch Vergleichsrechnung geprüft

**Gleichflächenlasten**

| | Position | EW | Lastfall | Art | p [kN/m²] |
|---|---|---|---|---|---|
| (a) | FLLA-1 | Qk.S | LF-4 | PGr | 1.70 |

PGr: Gravitationslast; positive Lasten wirken senkrecht nach unten

(a) aus Pos. '0.03' Schnee, Verwehung, pA, Qk.S

1.700 = 1.70 kN/m²

**Einwirkungen**

DIN EN 1990 — Einwirkungen nach DIN EN 1990

| Kürzel | Beschreibung<br>Typisierung |
|---|---|
| Gk | Eigenlasten<br>Ständige Einwirkungen |
| Qk.N | Nutzlasten<br>Kategorie A - Wohn- und Aufenthaltsräume |
| Qk.S | Schnee<br>Schnee- und Eislasten für Orte bis NN + 1000 m |

**Lastfälle** — Lastfälle und deren Zuordnung zu den Einwirkungen

| | |
|---|---|
| Gk | LF-1 |
| Qk.N | (D-002)-1 |
| Qk.S | LF-4 |

## Bemessung (GZT+GZG)

**Biegung Pl-As-erf-Iso D-002** — Plattenbiegebemessung nach DIN EN 1992-1-1

Bemessung für Platte (Stahlbeton) D-002

**Mat./Querschnitt**

Beton *C 25/30*
Gesteinskörnung Quarzit
Betonstahl *B 500MA*

Dicke konstant h = 16.00 cm

**Expositionsklasse** — gemäß DIN EN 1992-1-1, Tab. 4.1

| Position | Seite | Kl | Kommentar |
|---|---|---|---|
| D-002 | umlaufend | XC1 | trocken oder ständig nass |

**Bewehrung** — Vorgaben zur Bewehrungsdefinition

| | | | | | |
|---|---|---|---|---|---|
| Betondeckung | $c_{min,u}/c_{min,o}$ = | 10/ | 10 | mm |
| | $\Delta c_{def,u}/\Delta c_{def,o}$ = | 10/ | 10 | mm |
| | $c_{nom,u}/c_{nom,o}$ = | 20/ | 20 | mm |
| Bewehrungsabstand | $d'_{ru/su}$ = | 24/ | 31 | mm |
| | $d'_{ro/so}$ = | 24/ | 31 | mm |
| Bewehrungsrichtung | $w_{ru/su}$ = | 0.0/ | 90.0 | ° |
| | $w_{ro/so}$ = | 0.0/ | 90.0 | ° |

**Grundbewehrung**

| Seite | | Matte, Stäbe Ø[mm]/s[cm] | $d'_r$ [mm] | $a_{sg,r}$ [cm²/m] | $d'_s$ [mm] | $a_{sg,s}$ [cm²/m] |
|---|---|---|---|---|---|---|
| Unten | r | Q 257A | 24 | 2.57 | 31 | 2.57 |
| Oben | r | Q 257A | 24 | 2.57 | 31 | 2.57 |



durch Vergleichsrechnung geprüft

Nachweisparameter nach DIN EN 1992-1-1

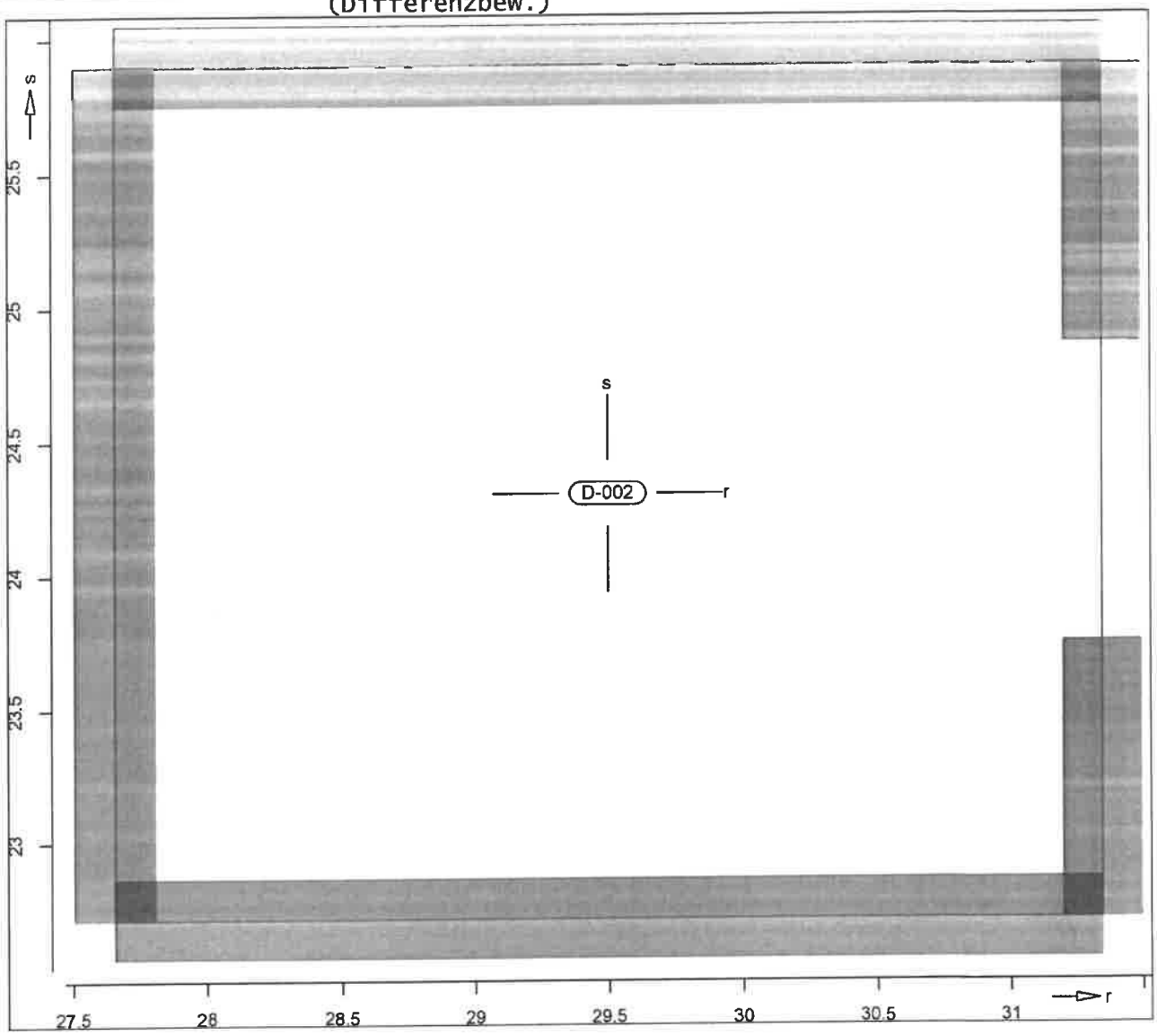
Mindestbewehrung (9.2.1.1) wurde berücksichtigt.



durch Vergleichsrechnung geprüft

as,r,unten — Längsbewehrung in r-Richtung in unterer Lage

Erf. Bewehrung — Erforderliche untere Bewehrung as,ru [cm²/m] (Differenzbew.)




Isolinienstufen = 1.00 cm²/m

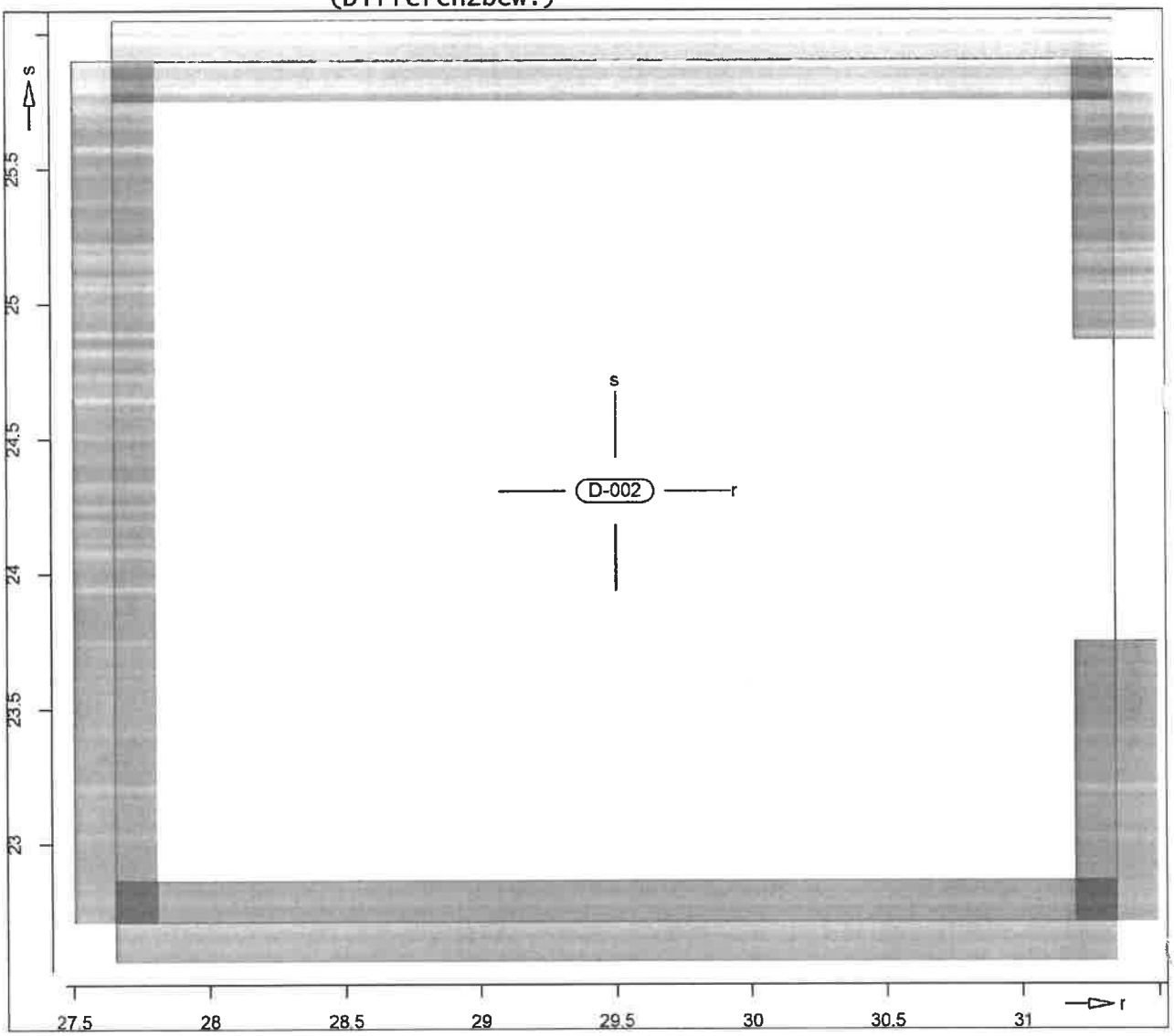
Achsabstand erf. Bewehrung: $d'_{ru}$ = 24 mm
Achsabstand vorh. Bewehrung: $d'_{ru}$ = 24 mm
Grundbewehrung: asg,ru = 2.57 cm²/m



durch Vergleichsrechnung geprüft

as,s,unten — Längsbewehrung in s-Richtung in unterer Lage

Erf. Bewehrung — Erforderliche untere Bewehrung as,su [cm²/m] (Differenzbew.)




Isolinienstufen = 1.00 cm²/m

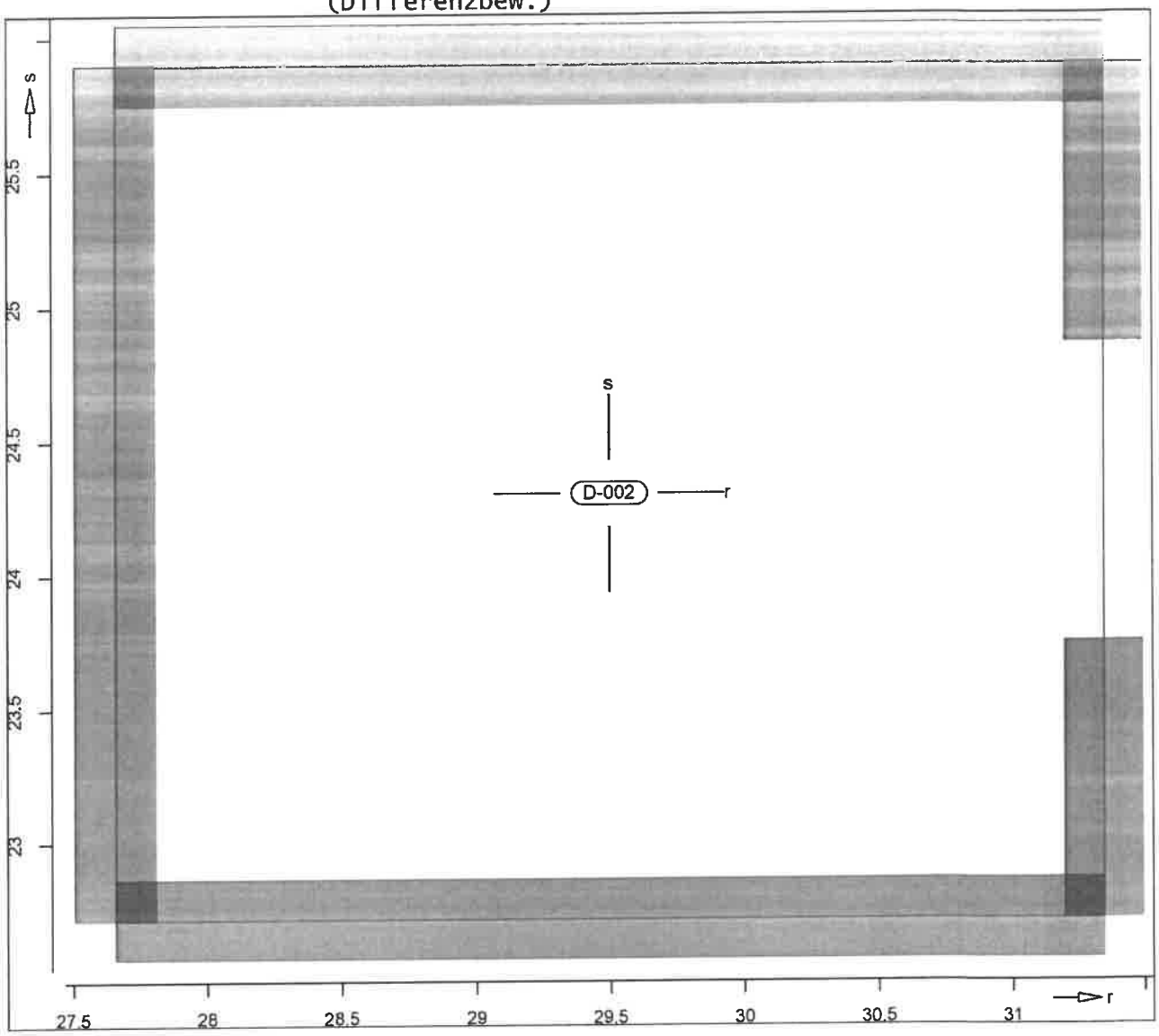
Achsabstand erf. Bewehrung: $d'_{su}$ = 31 mm
Achsabstand vorh. Bewehrung: $d'_{su}$ = 31 mm
Grundbewehrung: asg,su = 2.57 cm²/m



durch Vergleichsrechnung geprüft

as,r,oben — Längsbewehrung in r-Richtung in oberer Lage

Erf. Bewehrung — Erforderliche obere Bewehrung as,ro [cm²/m] (Differenzbew.)




Isolinienstufen = 1.00 cm²/m

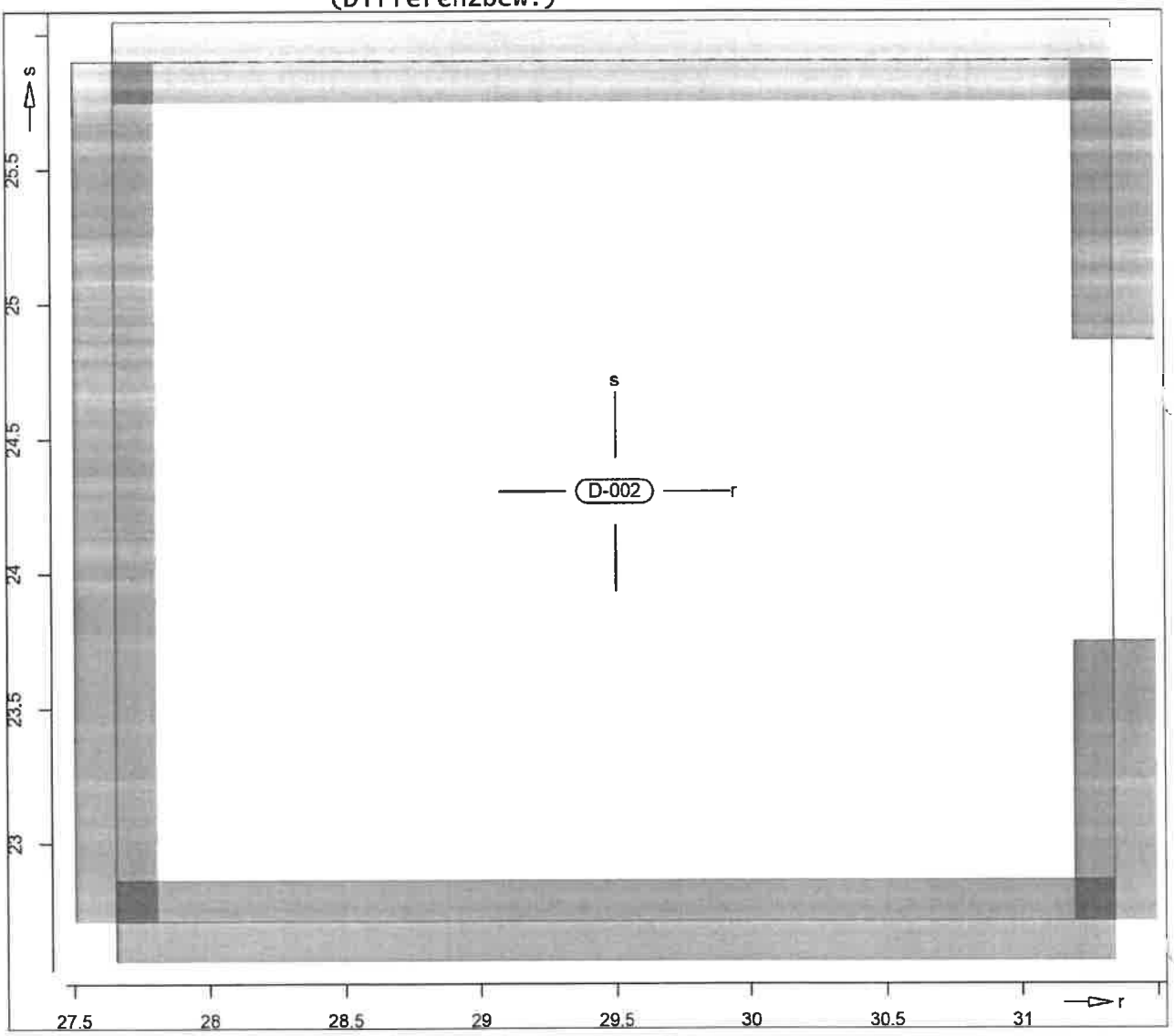
Achsabstand erf. Bewehrung: $d'_{ro}$ = 24 mm
Achsabstand vorh. Bewehrung: $d'_{ro}$ = 24 mm
Grundbewehrung: asg,ro = 2.57 cm²/m



durch Vergleichsrechnung geprüft

as,s,oben — Längsbewehrung in s-Richtung in oberer Lage

Erf. Bewehrung — Erforderliche obere Bewehrung as,so [cm²/m] (Differenzbew.)




Isolinienstufen = 1.00 cm²/m

Achsabstand erf. Bewehrung: $d'_{so}$ = 31 mm
Achsabstand vorh. Bewehrung: $d'_{so}$ = 31 mm
Grundbewehrung: asg,so = 2.57 cm²/m



durch Vergleichsrechnung geprüft

Querkraft Pl-As-Iso  Querkraftbemessung Plattenbereiche

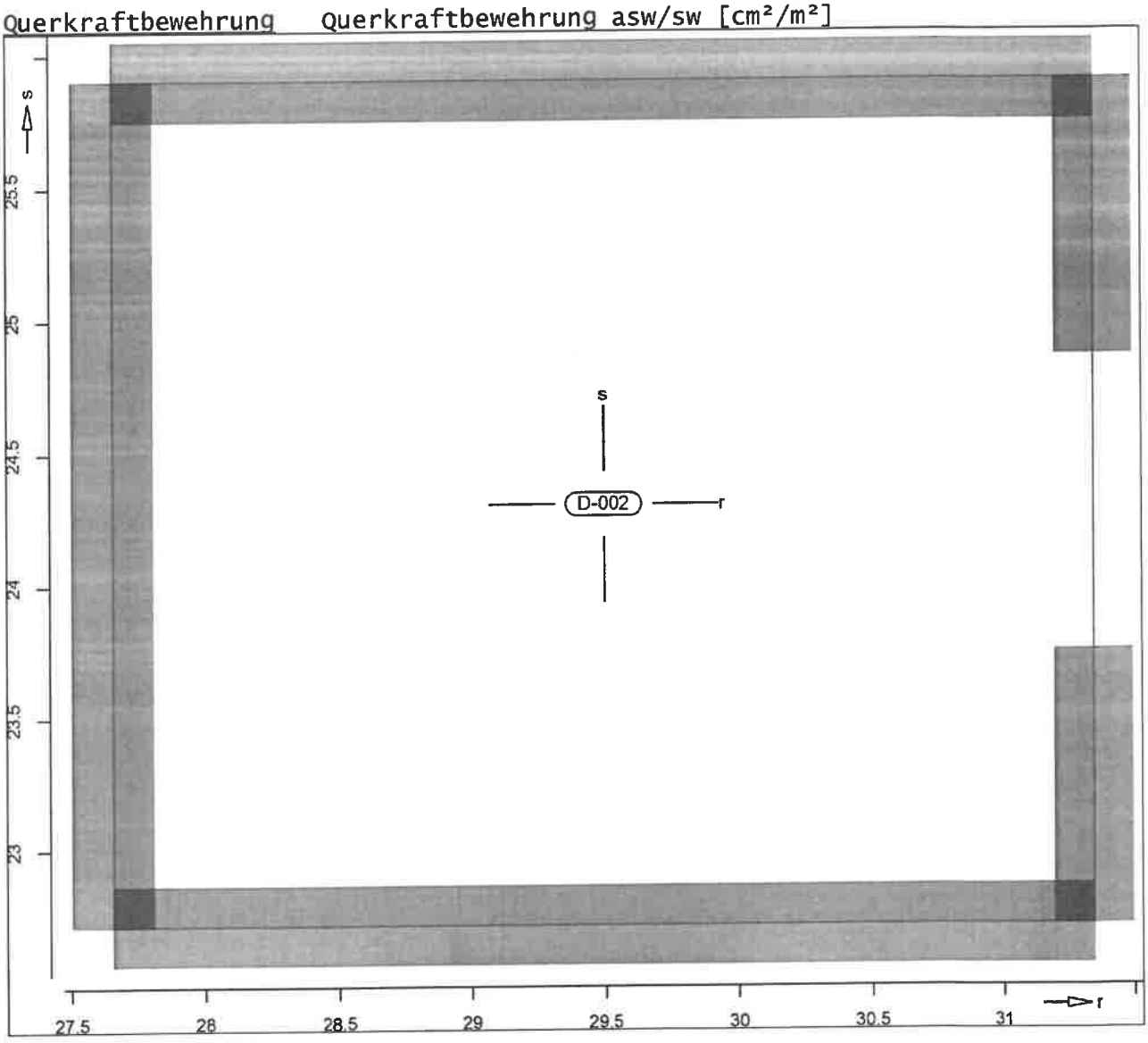
D-002  Querkraftbemessung der Platte (Isolinien)

Querkraftbemessung nach DIN EN 1992-1-1
Beton C 25/30, Betonstahl B 500SA
Gesteinskörnung Quarzit
Druckstrebenneigung wurde vom Programm optimiert.
Mindestbewehrung (9.3.2) wurde nicht ermittelt.

Dicke konstant h = 16.00 cm

**** HINWEIS ****
Die Mindestdicke einer Vollplatte aus Ortbeton mit Querkraftbewehrung (Bügel) beträgt 200 mm, vgl. NCI Zu 9.3.2(1).

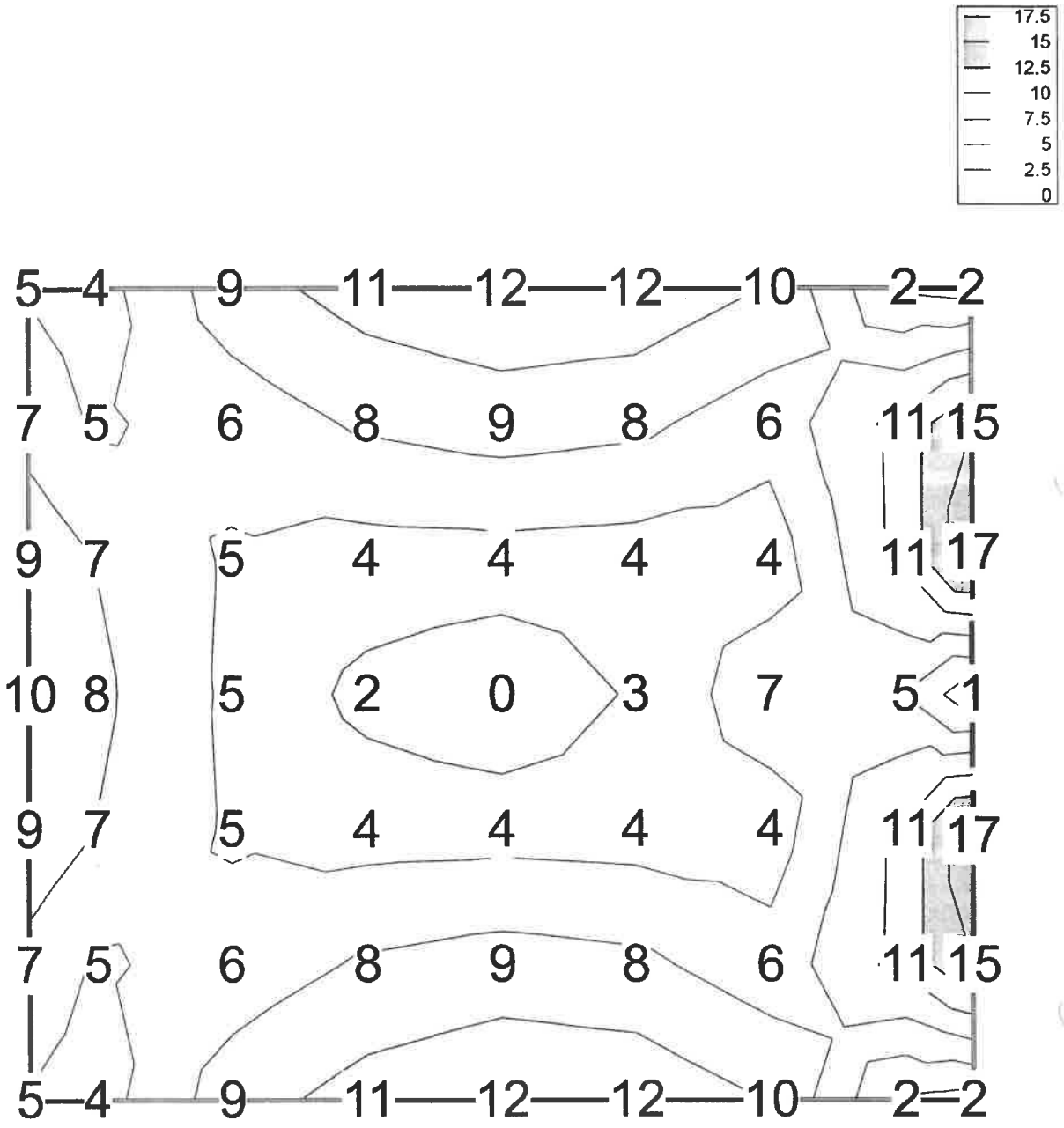
Querkraftbewehrung  Querkraftbewehrung asw/sw [cm²/m²]




Isolinienstufen = 1.00 cm²/m²



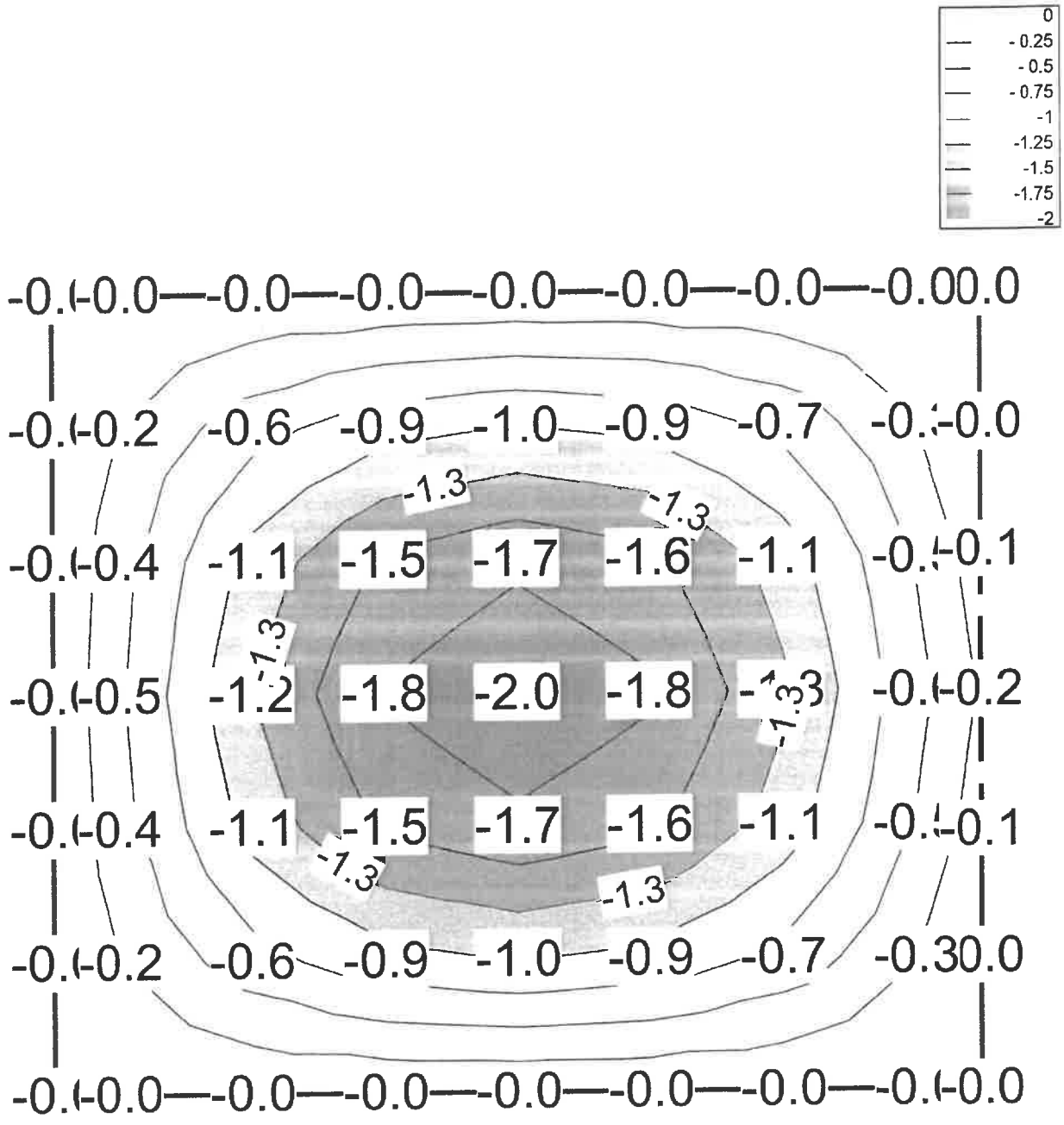
durch Vergleichsrechnung geprüft




| **Querkraftbemessung** | Bemessungsquerkraft vEd,res aus Tragfähigkeitsnachweis in [kN/m] | Maßstab: 1:25 |
|---|---|---|
| Max = 17, Min = 0, Step = 2.5 | | |



durch Vergleichsrechnung geprüft

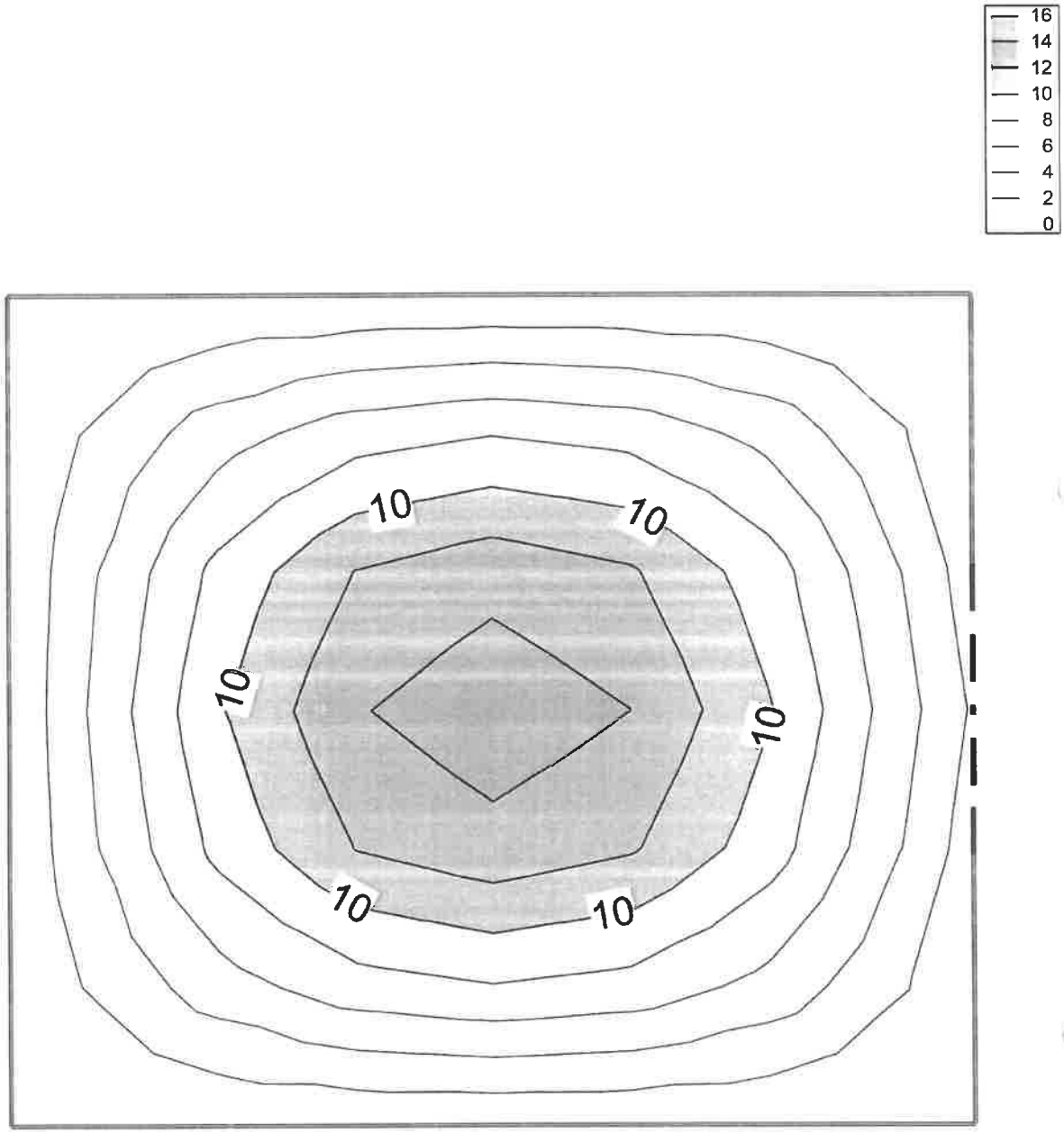



| | | |
|---|---|---|
| **Verformungsnachweis Zustand II** | Endverformung f,oo im Zustand II in [mm] | Maßstab: 1:25 |

Minimum aus Überlagerung über LKN
Max = -0.0 (Kn. 4), Min = -2.0 (Kn. 31), Step = 0.25



durch Vergleichsrechnung geprüft

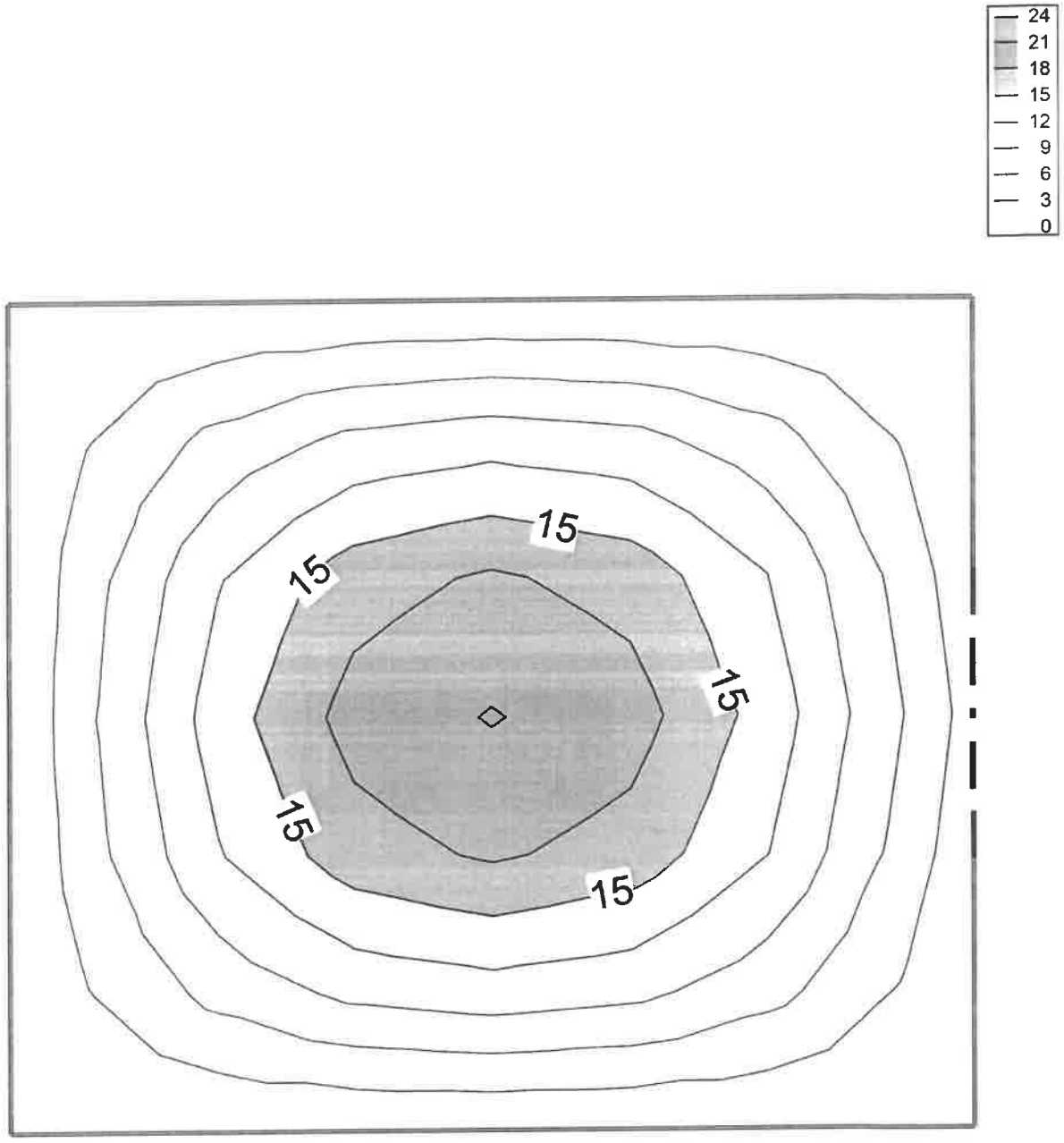



**Verformungsnachweis Zustand II** Ausnutzung der zulässigen Endverformung eta(f,oo) in [%] Maßstab: 1:25

Minimum aus Überlagerung über LKN
Max = 15.3 (Kn. 31), Min = 0 (Kn. 4), Step = 2



durch Vergleichsrechnung geprüft

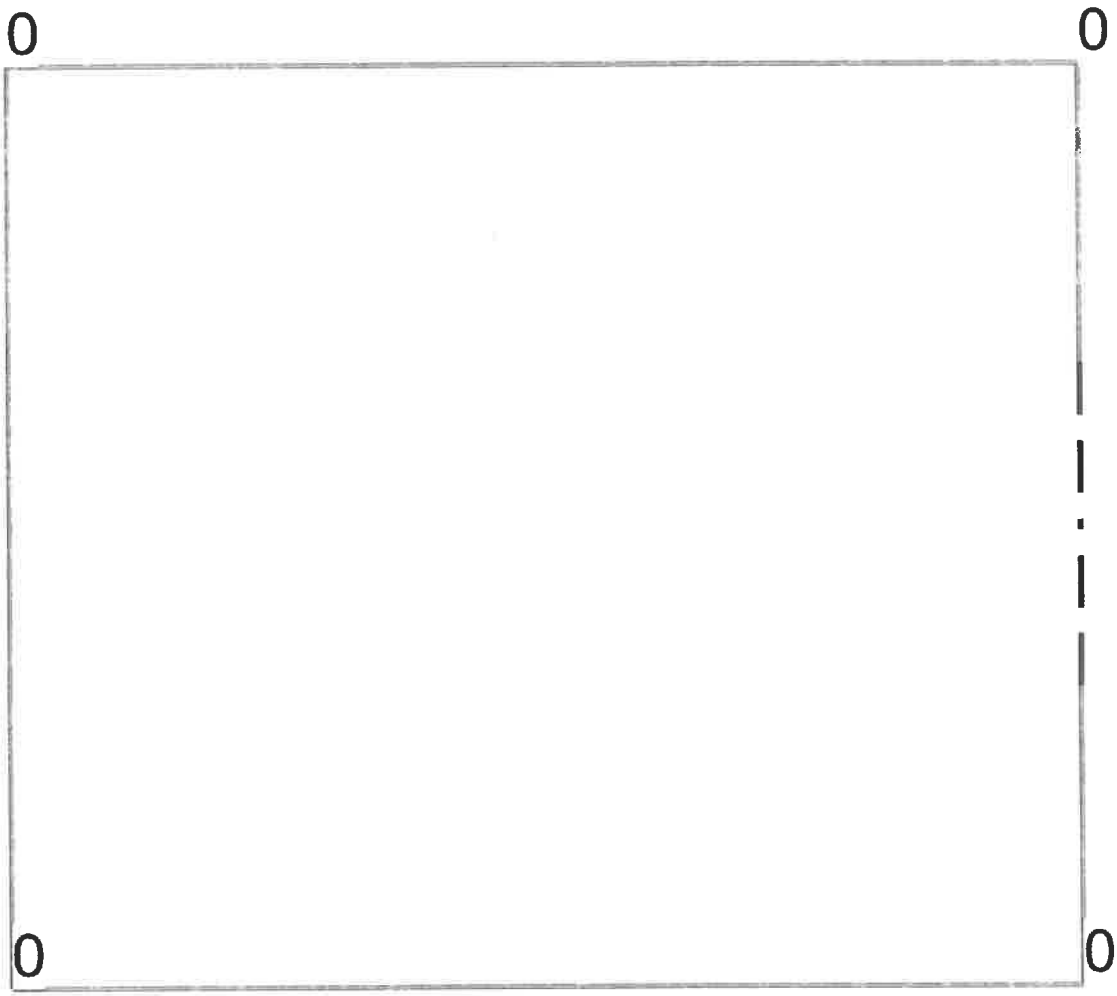



| **Verformungsnachweis Zustand II** | Ausnutzung der zul. Differenzverformung eta(f,oo-f,0) in [%] | Maßstab: 1:25 |
|---|---|---|

Minimum aus Überlagerung über LKN
Max = 21.2 (Kn. 31), Min = 0 (Kn. 54), Step = 3



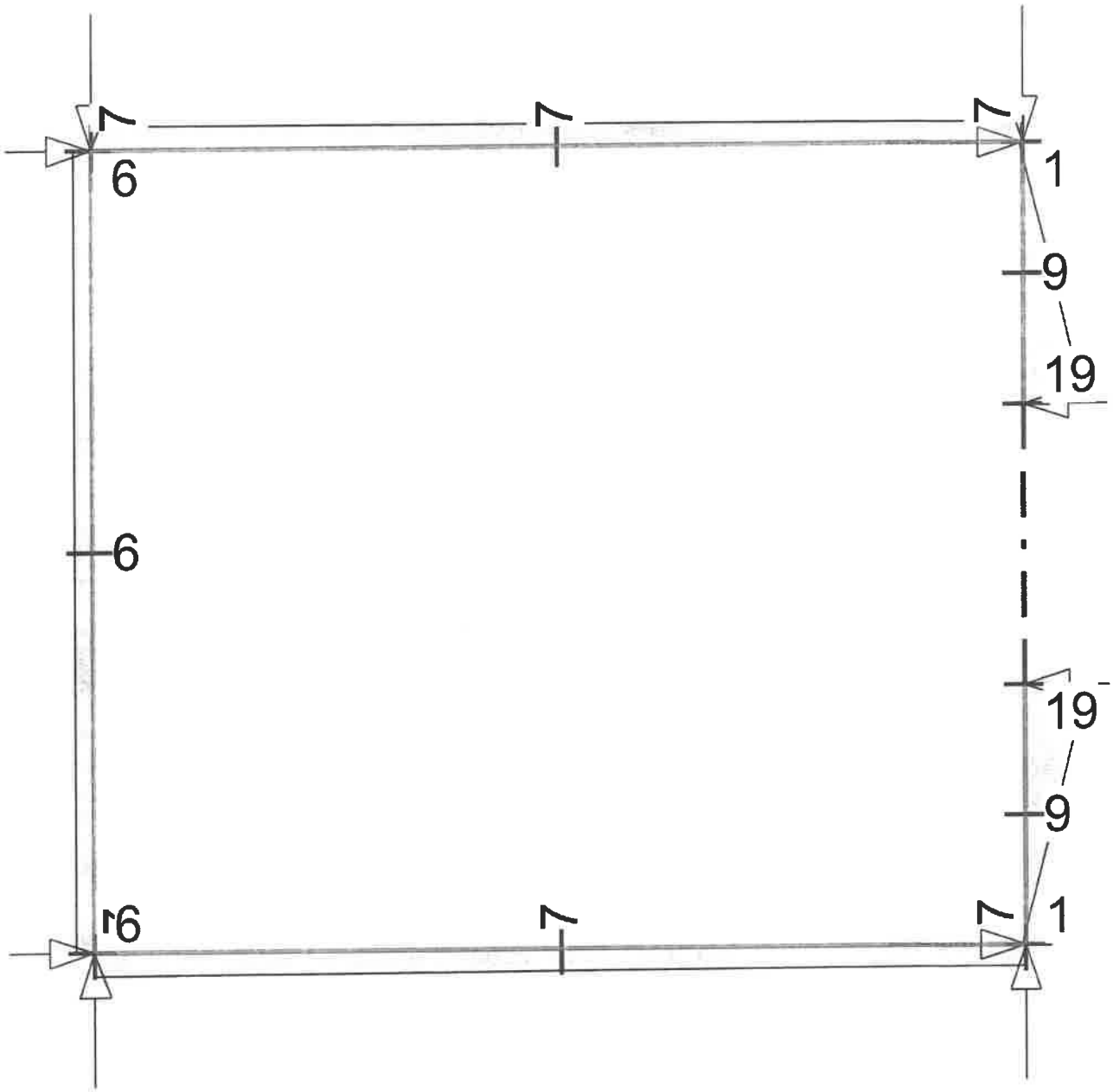
durch Vergleichsrechnung geprüft




| **Zugkraftbemessung** | erf. Bewehrung As in [cm²] | Maßstab: 1:25 |
|---|---|---|



durch Vergleichsrechnung geprüft




| **Linienlagerergebnisse** | Lagerkraft in t-Richtung in [kN/m] | Maßstab: 1:25 |
|---|---|---|

lastkombinationsweise dargestellt
aus Lastkombination LK-1
Max = 19, Min = -1



durch Vergleichsrechnung geprüft

Linienlager-EW — Linienlagerkräfte einwirkungsweise

Linienlagerkräfte — Auflagerkräfte des Modells
- charakteristische Auflagerkräfte je Einwirkung
- min/max Überlagerung der Lastfälle je Einwirkung

Positionsgrafik — Übersicht der Linien- und Wandlager-Positionen

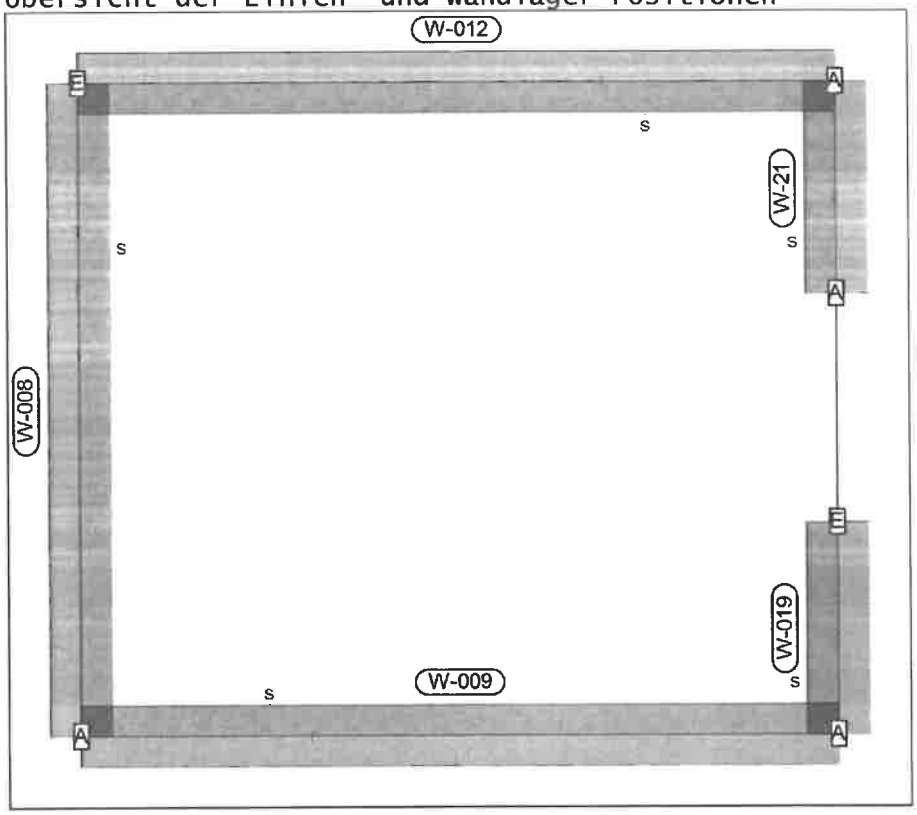



Tabelle — Tabellarische Ausgabe der Auflagerkräfte

lokal, F, t-Achse

| EW | $F_{t,A,min}$ / $F_{t,A,max}$ [kN/m] | $F_{t,M,min}$ / $F_{t,M,max}$ [kN/m] | $F_{t,E,min}$ / $F_{t,E,max}$ [kN/m] | $F_{t,min}$ / $F_{t,max}$ [kN] | $e_{min}$ / $e_{max}$ [m] |
|---|---|---|---|---|---|
| W-21 (L = 1.04 m) | | | | | |
| Gk | 14.13 | 6.69 | -0.76 | 6.94 | -0.19 |
| Qk.N | 0.00 | 0.00 | 0.00 | 0.00 | 0.00 |
| | 0.64 | 0.30 | -0.03 | 0.32 | -0.19 |
| Qk.S | 0.00 | 0.00 | 0.00 | 0.00 | 0.00 |
| | 4.37 | 2.07 | -0.23 | 2.14 | -0.19 |
| W-008 (L = 3.19 m) | | | | | |
| Gk | 4.13 | 4.13 | 4.13 | 13.17 | 0.00 |
| Qk.N | 0.00 | 0.00 | 0.00 | 0.00 | 0.00 |
| | 0.19 | 0.19 | 0.19 | 0.60 | 0.00 |
| Qk.S | 0.00 | 0.00 | 0.00 | 0.00 | 0.00 |
| | 1.28 | 1.28 | 1.28 | 4.07 | 0.00 |
| W-009 (L = 3.69 m) | | | | | |
| Gk | 5.39 | 5.11 | 4.83 | 18.85 | -0.03 |
| Qk.N | 0.00 | 0.00 | 0.00 | 0.00 | 0.00 |
| | 0.24 | 0.23 | 0.22 | 0.86 | -0.03 |



durch Vergleichsrechnung geprüft

| | EW | $F_{t,A,min}$<br>$F_{t,A,max}$<br>[kN/m] | $F_{t,M,min}$<br>$F_{t,M,max}$<br>[kN/m] | $F_{t,E,min}$<br>$F_{t,E,max}$<br>[kN/m] | $F_{t,min}$<br>$F_{t,max}$<br>[kN] | $e_{min}$<br>$e_{max}$<br>[m] |
|---|---|---|---|---|---|---|
| | Qk.S | 0.00 | 0.00 | 0.00 | 0.00 | 0.00 |
| | | 1.67 | 1.58 | 1.49 | 5.83 | -0.03 |
| W-012 | *(L = 3.69 m)* | | | | | |
| | Gk | 4.83 | 5.11 | 5.39 | 18.85 | 0.03 |
| | Qk.N | 0.00 | 0.00 | 0.00 | 0.00 | 0.00 |
| | | 0.22 | 0.23 | 0.24 | 0.86 | 0.03 |
| | Qk.S | 0.00 | 0.00 | 0.00 | 0.00 | 0.00 |
| | | 1.49 | 1.58 | 1.67 | 5.83 | 0.03 |
| W-019 | *(L = 1.04 m)* | | | | | |
| | Gk | -0.76 | 6.69 | 14.13 | 6.94 | 0.19 |
| | Qk.N | 0.00 | 0.00 | 0.00 | 0.00 | 0.00 |
| | | -0.03 | 0.30 | 0.64 | 0.32 | 0.19 |
| | Qk.S | 0.00 | 0.00 | 0.00 | 0.00 | 0.00 |
| | | -0.23 | 2.07 | 4.37 | 2.14 | 0.19 |

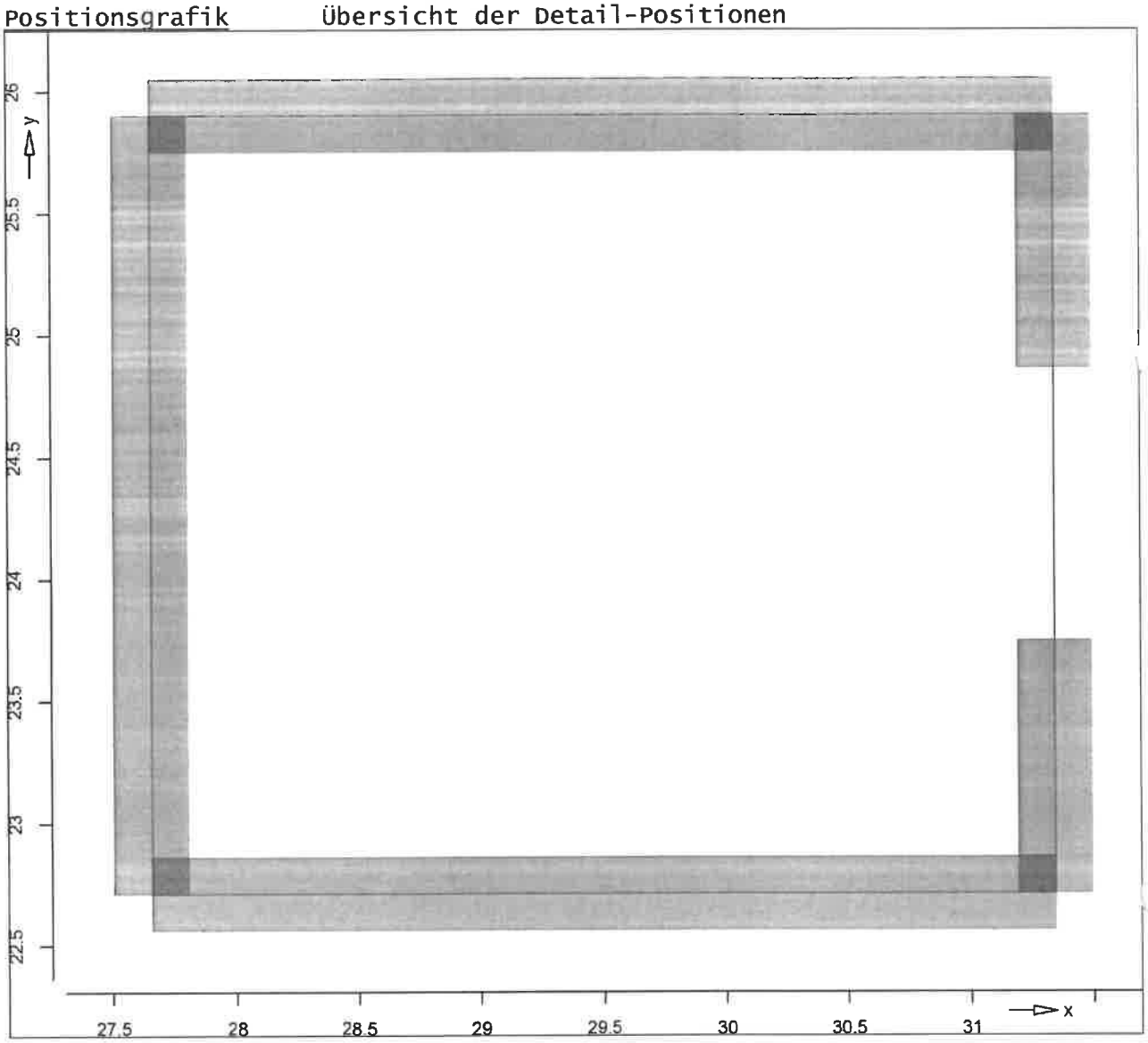


durch Vergleichsrechnung geprüft

Durchstanzstellen-Pos Detailplan

Details Detail-Positionen

Positionsgrafik Übersicht der Detail-Positionen






durch Vergleichsrechnung geprüft

Durchstanzstellen-Tab

Nachweis der Durchstanzstellen

Es wurden keine Nachweise aktiviert, oder die Durchstanzstellen wurden nicht generiert.



durch Vergleichsrechnung geprüft

## Pos. 4.11 Mauerwerk

**System**

Einschalige Außenwand
2-seitig gehalten

**Abmessungen Mat./Querschnitt**

| Material | l [m] | h [m] | t [cm] | γ [kN/m³] |
|---|---|---|---|---|
| *SFK 4-1.0/DM (Z-17.1-844)* | 1.03 | 2.75 | 30.0 | 11.0 |

**Massivdecken**

| | Material | $l_f$ [m] | k [-] | h [cm] | a [cm] | b [m] | γ [kN/m³] |
|---|---|---|---|---|---|---|---|
| Rechts Oben | C 25/30 | 3.50 | 0.50 | 16.0 | 30.00 | 1.03 | 25.0 |

**Belastungen**

Streckenlasten vertikal

| | Nr. | EW | $f_x$ [kN/m] |
|---|---|---|---|
| (a) | 1 | Gk | 9.08 |

(a) Wandeigengewicht 11.00*0.30*2.75 = 9.07 kN/m

**Punktlasten summiert** am Wandkopf

| | | Komm. | $F_x$ [kN] | $F_{s,y}$ [kN] | $F_{p,z}$ [kN] | $M_{p,y}$ [kNm] | $M_{s,z}$ [kNm] |
|---|---|---|---|---|---|---|---|
| Einw. *Gk* | (a) | | 6.94 | 0.00 | 0.00 | 0.00 | 1.32 |
| Einw. *Qk.N* | (a) | | 0.32 | 0.00 | 0.00 | 0.00 | 0.06 |
| Einw. *Qk.S* | (a) | | 2.15 | 0.00 | 0.00 | 0.00 | 0.41 |

(a) aus Pos. '4.10', Lager 'W-019' (Seite 328)

**Kombinationen**

Kombinationsbildung nach DIN EN 1990
Darstellung der maßgebenden Kombinationen

| | Ek | Σ (γ*ψ*EW) | | |
|---|---|---|---|---|
| ständig/vorüberg. | 5 | 1.35*Gk | +1.05*Qk.N | +1.50*Qk.S |
| häufig | 14 | 1.00*Gk | +0.30*Qk.N | +0.20*Qk.S |
| selten | 15 | 1.00*Gk | | |

**Mat./Querschnitt**

nach DIBt Zulassung Z-17.1-844

**gewählt**

*SFK 4-1.0-(300)/DM (Z-17.1-844)*

| | |
|---|---|
| Steinart | Bundesverband Leichtbeton |
| Steintyp | Plan-Hohlblock aus Leichtbeton, Typ I |
| Steindruckfestigkeitsklasse | SFK 4 |
| Steinrohdichteklasse | RDK 1.0 |
| Mörtelgruppe | Dünnbettmörtel DM |

Mauerwerk mit unvermörtelten Stoßfugen

**Materialbeiwerte**

| | | | |
|---|---|---|---|
| charakt. Druckfestigkeit | $f_k$ = | 2.50 | N/mm² |
| Teilsicherheitsbeiwert | $\gamma_M$ = | 1.50 | |
| Dauerstandsfaktor | $\zeta$ = | 0.85 | |
| Bemessungswert Druckfestigk. | $f_d$ = | 1.42 | N/mm² |
| Rechenwert der Endkriechzahl | $\phi_\infty$ = | 2.00 | |
| Elastizitätsmodul | E = | 2375 | N/mm² |

**Nachweise (GZT)**

nach DIN EN 1996-1-1 (12/10) mit genauerer Berechnungsmethode



durch Vergleichsrechnung geprüft

Tragwiderstand
Abs. 6.1.2

Nachweis des vertikalen Tragwiderstands

| Ek | Stelle | $\Phi_y$ [-] | $\Phi_z$ [-] | $N_{Ed}$ [kN] | $N_{Rd}$ [kN] | η [-] |
|---|---|---|---|---|---|---|
| 5 | Kopf | 0.631 | 0.900 | 12.91 | 248.59 | 0.05 |
| 5 | Mitte | 0.752 | 0.861 | 19.22 | 283.47 | 0.07 |
| 5 | Fuß | 0.813 | 0.900 | 25.53 | 320.44 | 0.08 |

Nachweise (GZG)

nach DIN EN 1996-1-1/NA:2019-12, NCI zu 7.2

Ausmitte Plattenri.
NCI zu 7.2 (NA.7)

Nachweis der planmäß. Ausmitte in Plattenrichtung

| Ek | Stelle | $e_{z,L}$ [cm] | $e_{z,D}$ [cm] | $e_h$ [cm] | zul e [cm] | η [-] |
|---|---|---|---|---|---|---|
| 15 | Kopf | 0.0 | 0.0 | 0.0 | 10.0 | 0.00 |
| 15 | Mitte | 0.0 | 0.0 | 0.0 | 10.0 | 0.00 |
| 15 | Fuß | 0.0 | 0.0 | 0.0 | 10.0 | 0.00 |

$e_{z,L}$: Ausmitte infolge Vertikallasten
$e_{z,D}$: Ausmitte infolge Deckenverdrehung
$e_h$: Ausmitte infolge Horizontallasten

Auflagerkräfte

Charakteristische Auflagerkräfte

Char. Auflagerkr.

| | Aufl. | $F_{x,k}$ [kN] | $F_{z,k}$ [kN] | $M_{y,k}$ [kNm] | $F_{y,k}$ [kN] | $M_{z,k}$ [kNm] |
|---|---|---|---|---|---|---|
| Einw. *Gk* | A | 16.29 | 0.00 | 0.00 | 0.00 | 1.32 |
| | B | | 0.00 | 0.00 | | |
| Einw. *Qk.N* | A | 0.32 | 0.00 | 0.00 | 0.00 | 0.06 |
| | B | | 0.00 | 0.00 | | |
| Einw. *Qk.S* | A | 2.15 | 0.00 | 0.00 | 0.00 | 0.41 |
| | B | | 0.00 | 0.00 | | |

Zusammenfassung

Zusammenfassung der Nachweise

Nachweise (GZT)

Nachweise im Grenzzustand der Tragfähigkeit

| Nachweis | Ort | | η [-] |
|---|---|---|---|
| vertikaler Tragwiderstand | Fuß | OK | 0.08 |

Nachweise (GZG)

Nachweise im Grenzzust. der Gebrauchstauglichkeit

| Nachweis | Ort | | η [-] |
|---|---|---|---|
| Ausmitte in Scheibenrichtung | Fuß | OK | 0.25 |



durch Vergleichsrechnung geprüft

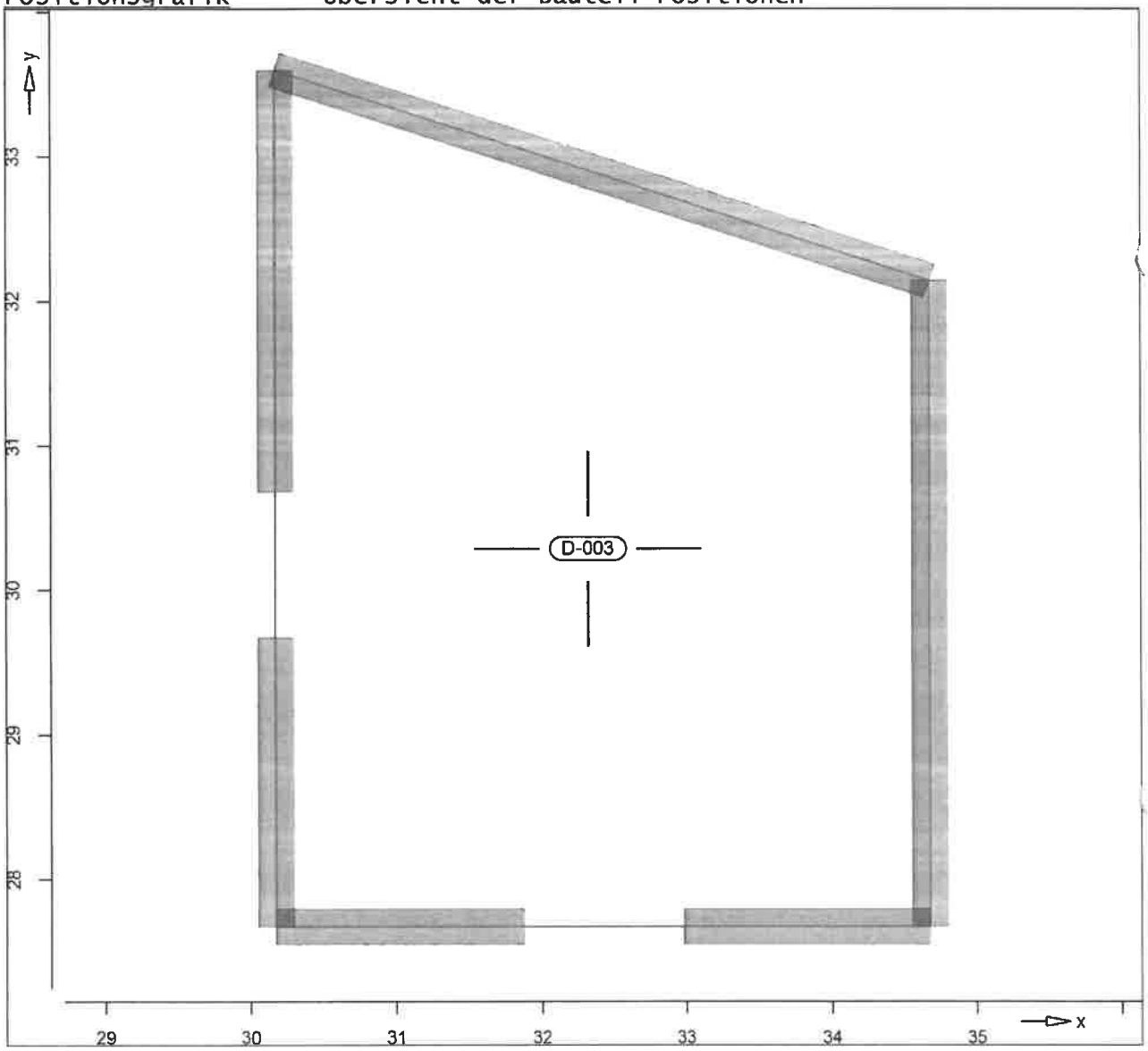
## Pos. 4.12 Stb-Decke

### System

Positionsplan Positionsplan

Bauteile Bauteil-Positionen

Positionsgrafik Übersicht der Bauteil-Positionen




Platten Platten-Positionen

Stahlbeton

| Position | Winkel [°] | Art | Material Längs | Material Quer | Dicke [cm] |
|---|---|---|---|---|---|
| D-003 | 0.0 | ort | *C 25/30* Q *B 500MA* | *B 500SA* | 20.0 |

Winkel: Bewehrungsrichtung r
ort: orthotropes Material
Q: Gesteinskörnung Quarzit



durch Vergleichsrechnung geprüft

## Orthotrop

| Position | $\alpha_{E1}$ [°] | E2/E1 |
|---|---|---|
| D-003 | 90.00 | 0.97 |

## Abminderung

| Position | $F_M$ | $F_S$ | $F_B$ | $F_D$ |
|---|---|---|---|---|
| D-003 | - | - | 0.00 | 1.00 |

$F_M$: Abminderungsfaktor für die Membransteifigkeit
$F_S$: Abminderungsfaktor für die Schubsteifigkeit Scheibe
$F_B$: Abminderungsfaktor für die Biegesteifigkeit Platte
$F_D$: Abminderungsfaktor für die Drillsteifigkeit Platte

## Expositionsklasse

gemäß DIN EN 1992-1-1, Tab. 4.1

| Position | Seite | Kl | Kommentar |
|---|---|---|---|
| D-003 | umlaufend | XC1 | trocken oder ständig nass |

## Koordinaten

| Position | x [m] | y [m] |
|---|---|---|
| D-003 | 34.67 | 27.67 |
| | 34.67 | 32.14 |
| | 30.17 | 33.60 |
| | 30.17 | 27.67 |

## Auflager

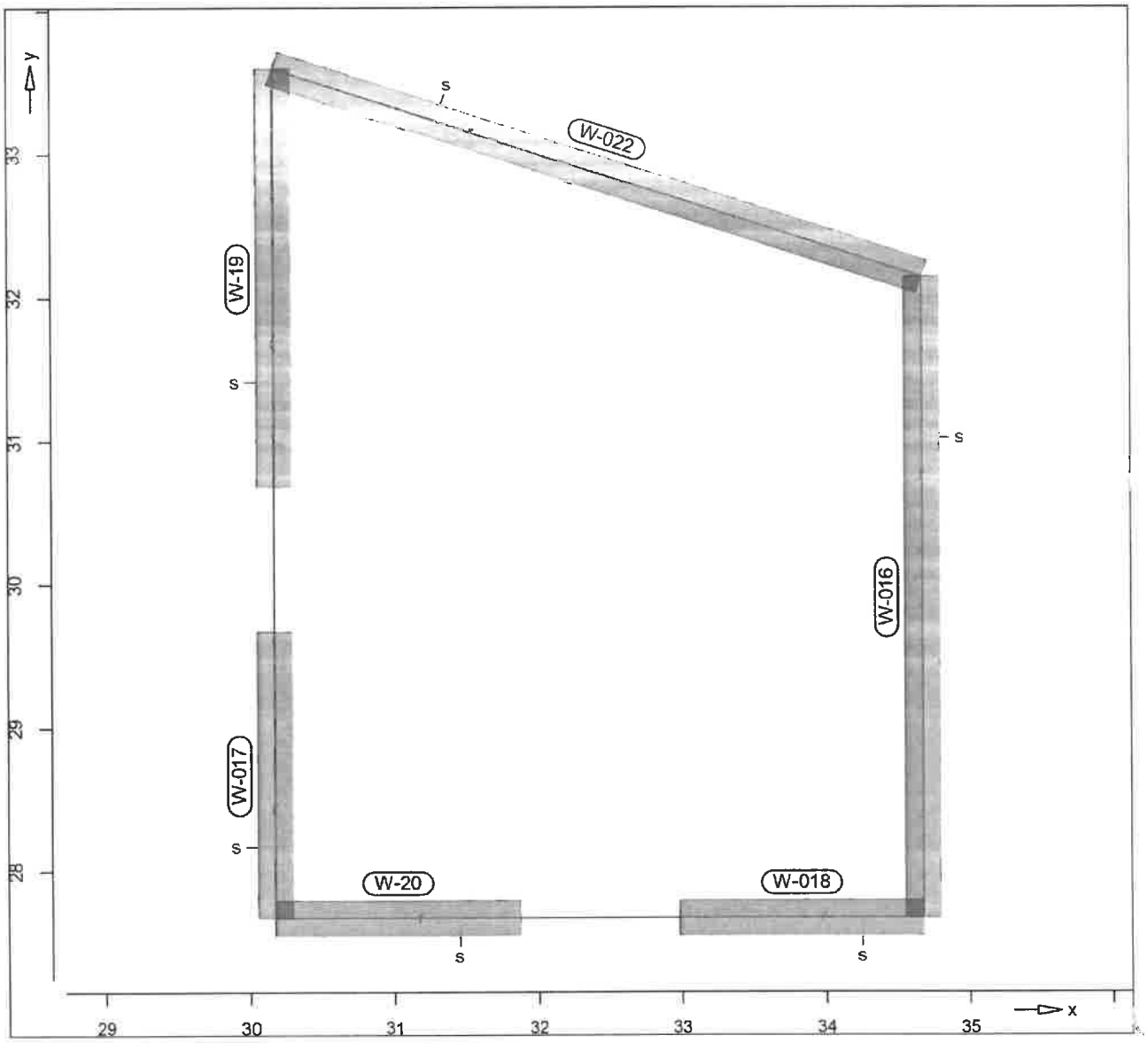
Auflager-Positionen

## Positionsgrafik

Übersicht der Auflager-Positionen



durch Vergleichsrechnung geprüft




Wandlager

Mauerwerk

Wandlager-Positionen

| Position | Höhe [m] | Länge [m] | Material | Dicke [cm] |
|---|---|---|---|---|
| W-19 | 2.54 | 2.92 | *Z-17.1-844-I 4 DM* | 24.0 |
| W-20 | 2.54 | 1.69 | *Z-17.1-844-I 4 DM* | 24.0 |
| W-016 | 2.54 | 4.47 | *Z-17.1-844-I 4 DM* | 24.0 |
| W-017 | 2.54 | 2.00 | *Z-17.1-844-I 4 DM* | 24.0 |
| W-018 | 2.54 | 1.69 | *Z-17.1-844-I 4 DM* | 24.0 |
| W-022 | 2.54 | 4.73 | *Z-17.1-844-I 4 DM* | 24.0 |



durch Vergleichsrechnung geprüft

## Federsteifigkeiten

| Position | $K_{R,r}$ [kNm/rad/m] | $K_{R,s}$ [kNm/rad/m] | | $K_{T,t}$ [kN/m/m] |
|---|---|---|---|---|
| W-19, W-20, W-016..W-018, W-022 | frei | frei | +/- | 224409 |

## Koordinaten

| Position | x [m] | y [m] |
|---|---|---|
| W-19 | 30.17 | 30.68 |
| | 30.17 | 33.60 |
| W-20 | 31.87 | 27.67 |
| | 30.17 | 27.67 |
| W-016 | 34.67 | 32.14 |
| | 34.67 | 27.67 |
| W-017 | 30.17 | 27.67 |
| | 30.17 | 29.67 |
| W-018 | 34.67 | 27.67 |
| | 32.98 | 27.67 |
| W-022 | 30.17 | 33.60 |
| | 34.67 | 32.14 |

## Material

Materialkennwerte

### Stahlbeton DIN EN 1992-1-1

| Position | Material | Wichte [kN/m³] | $E_{cm}$ G [N/mm²] | $f_{ck}$ $f_{ctm}$ [N/mm²] |
|---|---|---|---|---|
| D-003 | C 25/30 Q | 25.00 | 31000 | 25.00 |
| | | | 12900 | 2.60 |

Q: Gesteinskörnung Quarzit

### Betonstahl DIN EN 1992-1-1

| Position | Material | Wichte [kN/m³] | $E_s$ G [N/mm²] | $f_{yk}$ $f_{tk,cal}$ [N/mm²] |
|---|---|---|---|---|
| D-003 | B 500MA | 78.50 | 200000 | 500.00 |
| | | | 77000 | 525.00 |
| D-003 | B 500SA | 78.50 | 200000 | 500.00 |
| | | | 77000 | 525.00 |

### Mauerwerk DIN EN 1996-1-1

| Position | Material | Wichte Dichte [kN/m³] [kg/dm³] | E G [N/mm²] | $f_k$ [N/mm²] |
|---|---|---|---|---|
| W-19, W-20, W-016..W-018, W-022 | Z-17.1-844-I 4 DM | 11.00 | 2375 | 2.50 |
| | | 1.00 | 950 | |

## Auswertung

Geometrische Auswertung der Positionen

### Flächen

Flächenförmige Bauteil-Positionen

#### Stahlbeton

| Position | Dicke [cm] | Fläche [m²] | Volumen [m³] |
|---|---|---|---|
| D-003 | 20.0 | 23.39 | 4.68 |

### Wandlager

Wände der Wandlager-Positionen

#### Mauerwerk

| Position | Dicke [cm] | Höhe [cm] | Fläche [m²] | Volumen [m³] |
|---|---|---|---|---|
| W-19 | 24.0 | 254.0 | 7.41 | 1.78 |



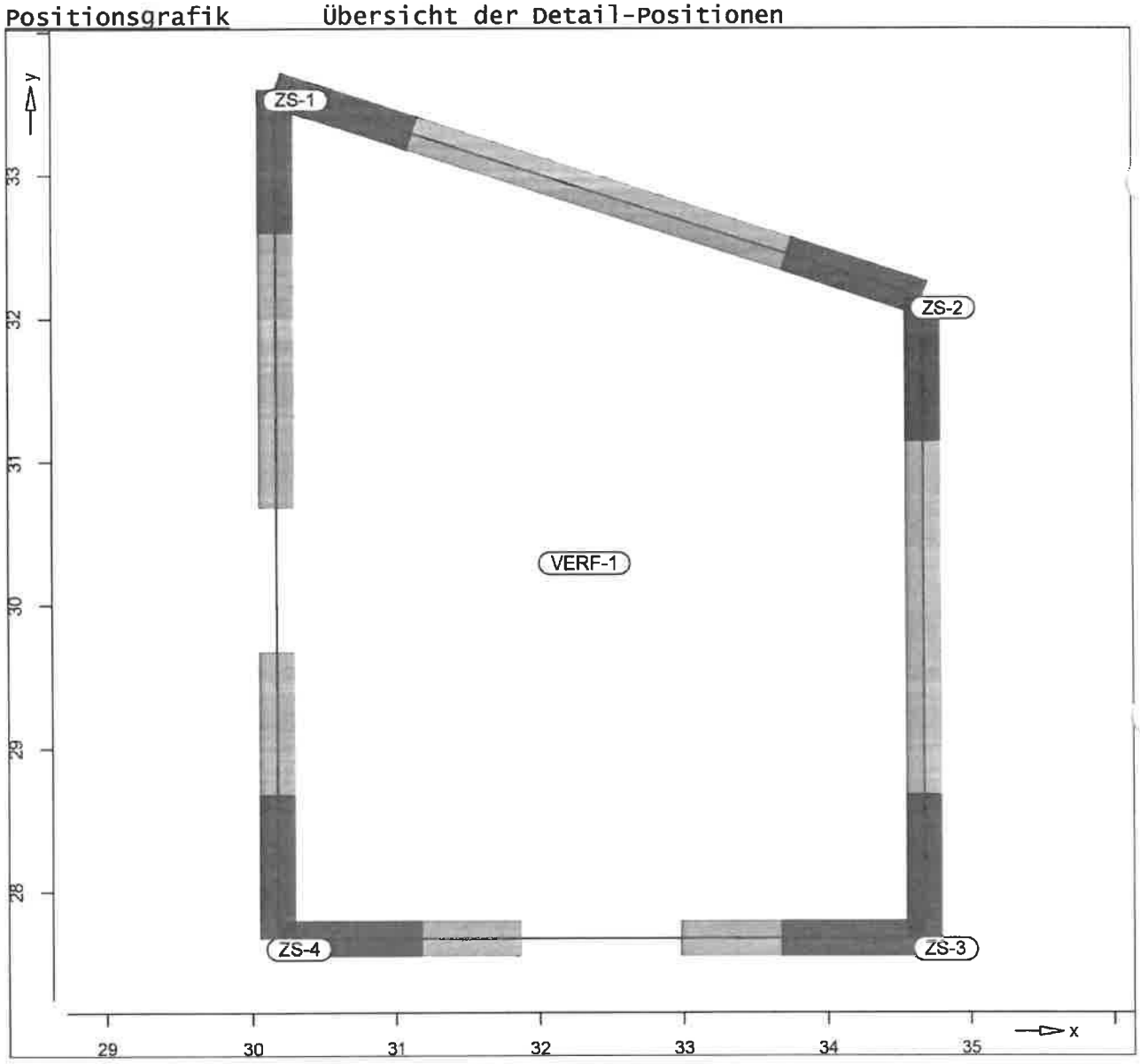
durch Vergleichsrechnung geprüft

| Position | Dicke [cm] | Höhe [cm] | Fläche [m²] | Volumen [m³] |
|---|---|---|---|---|
| W-20 | 24.0 | 254.0 | 4.30 | 1.03 |
| W-016 | 24.0 | 254.0 | 11.35 | 2.72 |
| W-017 | 24.0 | 254.0 | 5.08 | 1.22 |
| W-018 | 24.0 | 254.0 | 4.30 | 1.03 |
| W-022 | 24.0 | 254.0 | 12.02 | 2.88 |

Detailplan — Detailplan

Details — Detail-Positionen

Positionsgrafik — Übersicht der Detail-Positionen




Verf.nachw.bereiche

| Position | zul.$f_\infty$ [cm] | zul.$f_\infty$-$f_0$ [cm] |
|---|---|---|
| VERF-1 | 1.8 | 0.9 |



durch Vergleichsrechnung geprüft

Koordinaten

| Position | x [m] | y [m] |
|---|---|---|
| VERF-1 | 30.17 | 27.67 |
| | 34.67 | 27.67 |
| | 34.67 | 32.14 |
| | 30.17 | 33.60 |

Zugkraftstellen

| Position | Betonstahl |
|---|---|
| ZS-1..ZS-4 | B 500SA |

Koordinaten

| Position | x [m] | y [m] |
|---|---|---|
| ZS-1 | 30.17 | 33.60 |
| ZS-2 | 34.67 | 32.14 |
| ZS-3 | 34.67 | 27.67 |
| ZS-4 | 30.17 | 27.67 |

**Belastungen**



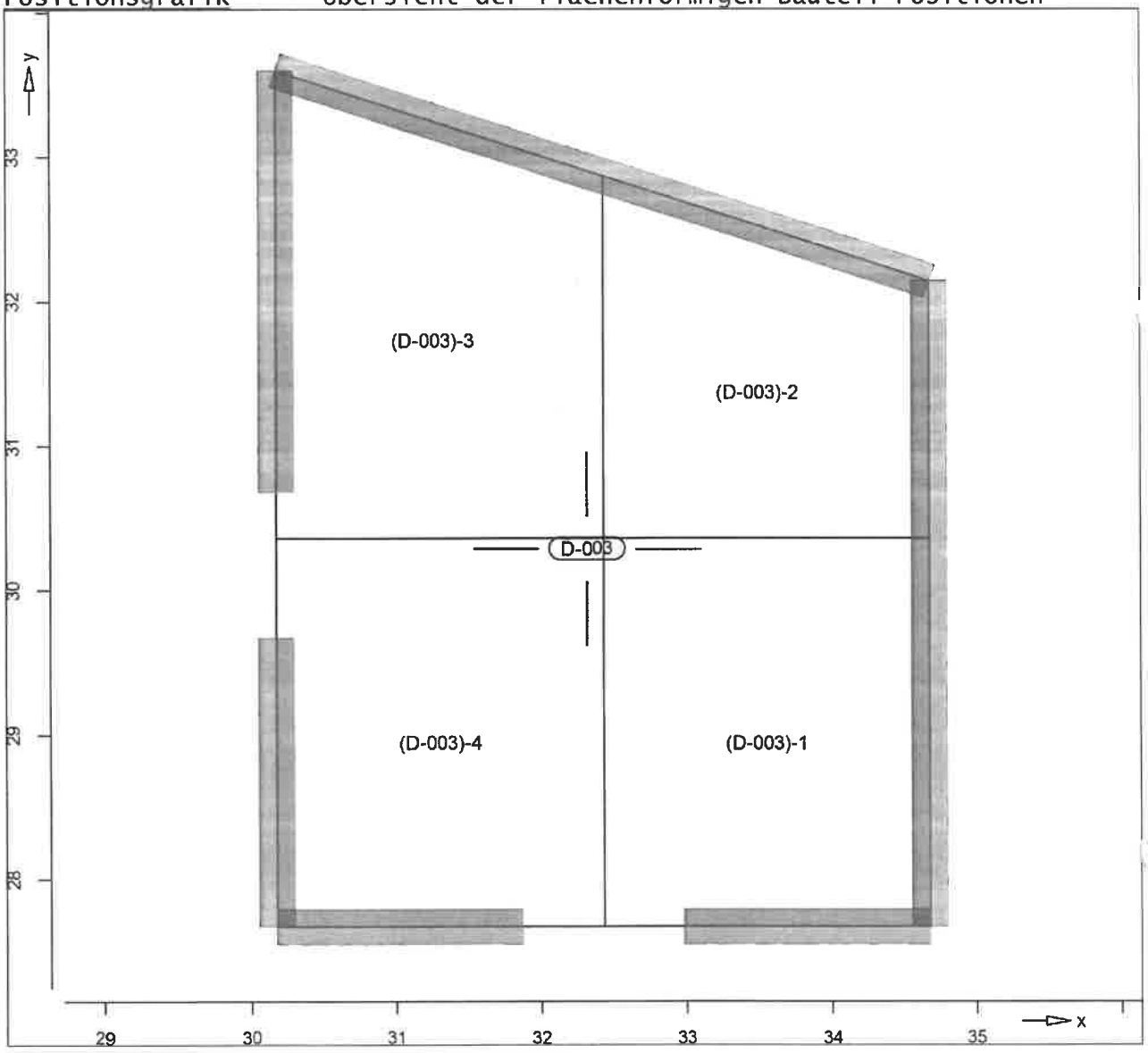
durch Vergleichsrechnung geprüft

Lastplan — Lasten des FE-Modells

Bauteillasten — Bauteilbezogene Lasten

Flächenpositionen — Flächenförmige Bauteil-Positionen

Positionsgrafik — Übersicht der flächenförmigen Bauteil-Positionen




Eigengewicht

| Position | EW | Lastfall | Art | g [kN/m²] |
|---|---|---|---|---|
| D-003 | Gk | LF-1 | PGr | 5.00 |

PGr: Gravitationslast; positive Lasten wirken senkrecht nach unten

Sonstige ständige Last

| Position | EW | Lastfall | Art | g [kN/m²] |
|---|---|---|---|---|
| D-003 | Gk | LF-1 | PGr | 1.50 |

PGr: Gravitationslast; positive Lasten wirken senkrecht nach unten



durch Vergleichsrechnung geprüft

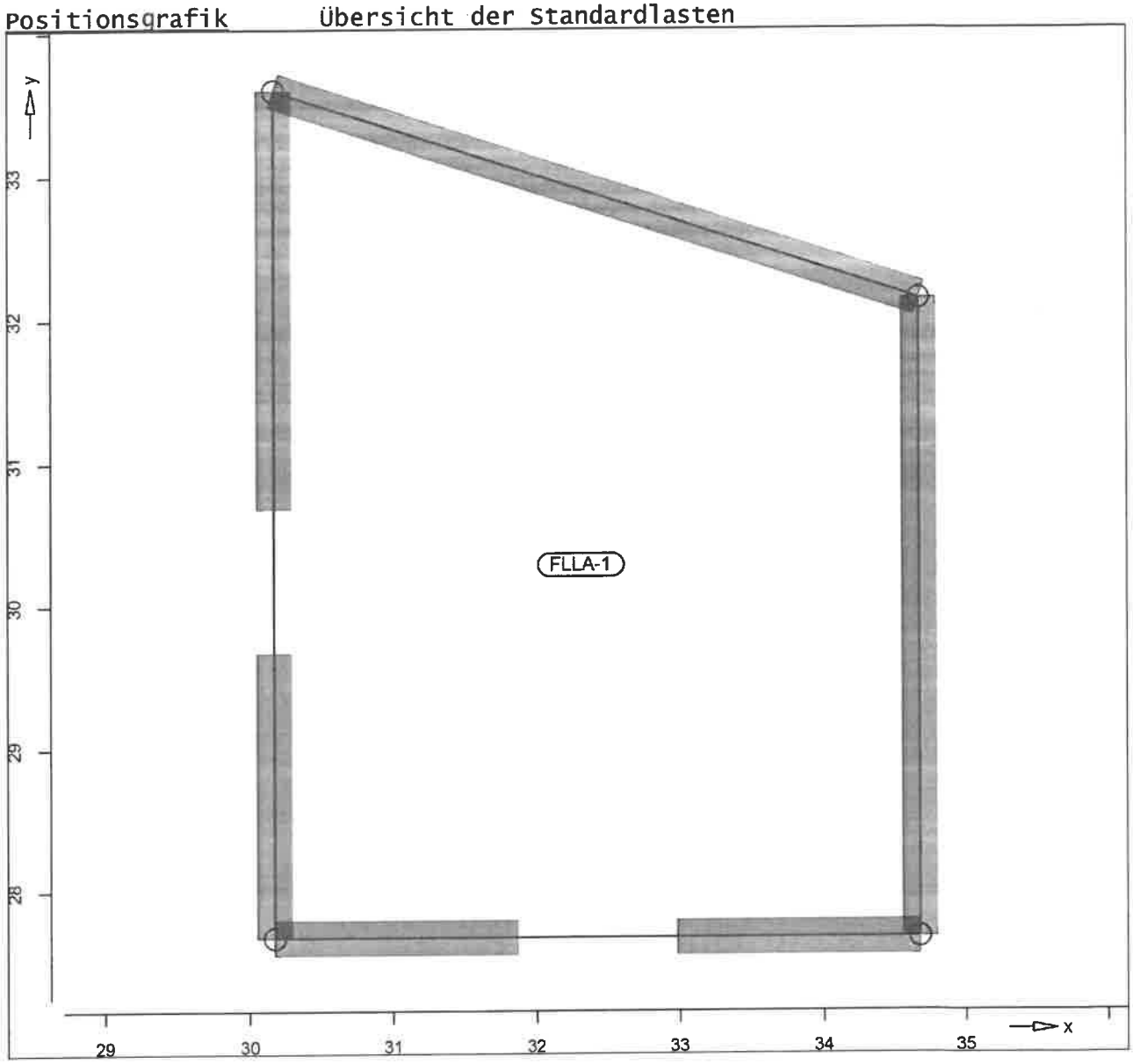
**Nutzlast**

| Position | EW | Lastfall je Lastfeld | Art | p [kN/m²] |
|---|---|---|---|---|
| D-003 | Qk.N | (D-003)-1..(D-003)-4 | PGr | 0.25 |

PGr: Gravitationslast; positive Lasten wirken senkrecht nach unten

**Standardlasten** Standardlasten im FE-Modell

**Positionsgrafik** Übersicht der Standardlasten




**Gleichflächenlasten**

| | Position | EW | Lastfall | Art | p [kN/m²] |
|---|---|---|---|---|---|
| (a) | FLLA-1 | Qk.S | LF-4 | PGr | 0.68 |

PGr: Gravitationslast; positive Lasten wirken senkrecht nach unten

(a) aus Pos. '0.03' Schnee, Dach, pL, Qk.S

0.680 = 0.68 kN/m²




durch Vergleichsrechnung geprüft

## Einwirkungen

**DIN EN 1990** — Einwirkungen nach DIN EN 1990

| Kürzel | Beschreibung<br>Typisierung |
|---|---|
| Gk | Eigenlasten<br>Ständige Einwirkungen |
| Qk.N | Nutzlasten<br>Kategorie A - Wohn- und Aufenthaltsräume |
| Qk.S | Schnee<br>Schnee- und Eislasten für Orte bis NN + 1000 m |

**Lastfälle** — Lastfälle und deren Zuordnung zu den Einwirkungen

| | |
|---|---|
| Gk | LF-1 |
| Qk.N | (D-003)-1, (D-003)-2, (D-003)-3, (D-003)-4 |
| Qk.S | LF-4 |

## Bemessung (GZT+GZG)

**Biegung Pl-As-erf-Iso** — Plattenbiegebemessung nach DIN EN 1992-1-1

**D-003** — Bemessung für Platte (Stahlbeton) D-003

**Mat./Querschnitt**

Beton *C 25/30*
Gesteinskörnung Quarzit
Betonstahl *B 500MA*

Dicke konstant h = 20.00 cm

**Expositionsklasse** — gemäß DIN EN 1992-1-1, Tab. 4.1

| Position | Seite | Kl | Kommentar |
|---|---|---|---|
| D-003 | umlaufend | XC1 | trocken oder ständig nass |

**Bewehrung** — Vorgaben zur Bewehrungsdefinition

| | | | | | |
|---|---|---|---|---|---|
| Betondeckung | $c_{min,u}/c_{min,o}$ | = | 10/ | 10 | mm |
| | $\Delta c_{def,u}/\Delta c_{def,o}$ | = | 10/ | 10 | mm |
| | $c_{nom,u}/c_{nom,o}$ | = | 20/ | 20 | mm |
| Bewehrungsabstand | $d'_{ru/su}$ | = | 24/ | 31 | mm |
| | $d'_{ro/so}$ | = | 24/ | 31 | mm |
| Bewehrungsrichtung | $w_{ru/su}$ | = | 0.0/ | 90.0 | ° |
| | $w_{ro/so}$ | = | 0.0/ | 90.0 | ° |

**Grundbewehrung**

| Seite | | Matte, Stäbe ø[mm]/s[cm] | $d'_r$ [mm] | $a_{sg,r}$ [cm²/m] | $d'_s$ [mm] | $a_{sg,s}$ [cm²/m] |
|---|---|---|---|---|---|---|
| Unten | r | Q 257A | 24 | 2.57 | 31 | 2.57 |
| Oben | r | Q 257A | 24 | 2.57 | 31 | 2.57 |

**Nachweisparameter** — nach DIN EN 1992-1-1

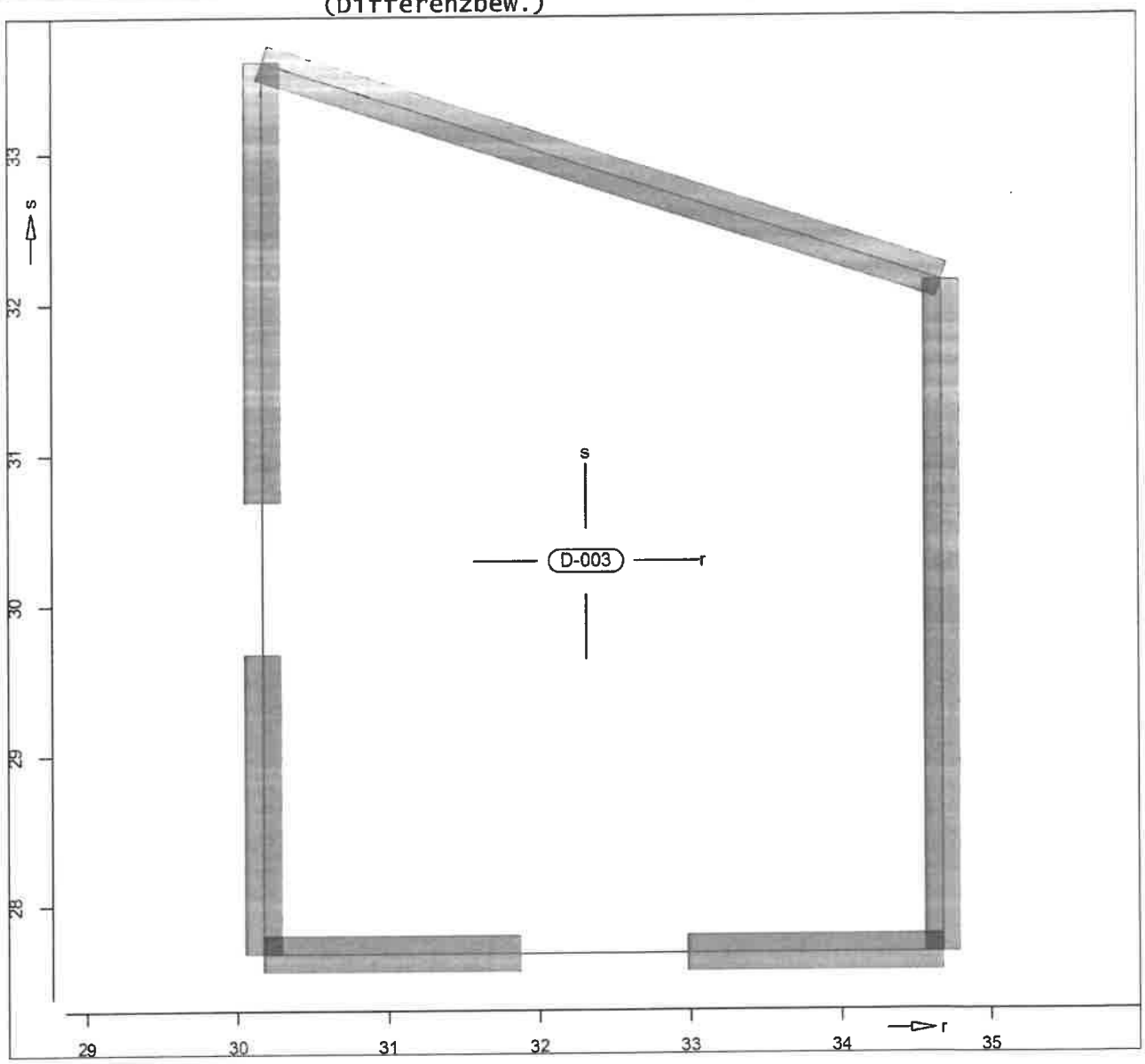
Mindestbewehrung (9.2.1.1) wurde berücksichtigt.



durch Vergleichsrechnung geprüft

as,r,unten — Längsbewehrung in r-Richtung in unterer Lage

Erf. Bewehrung — Erforderliche untere Bewehrung as,ru [cm²/m] (Differenzbew.)




Isolinienstufen = 1.00 cm²/m

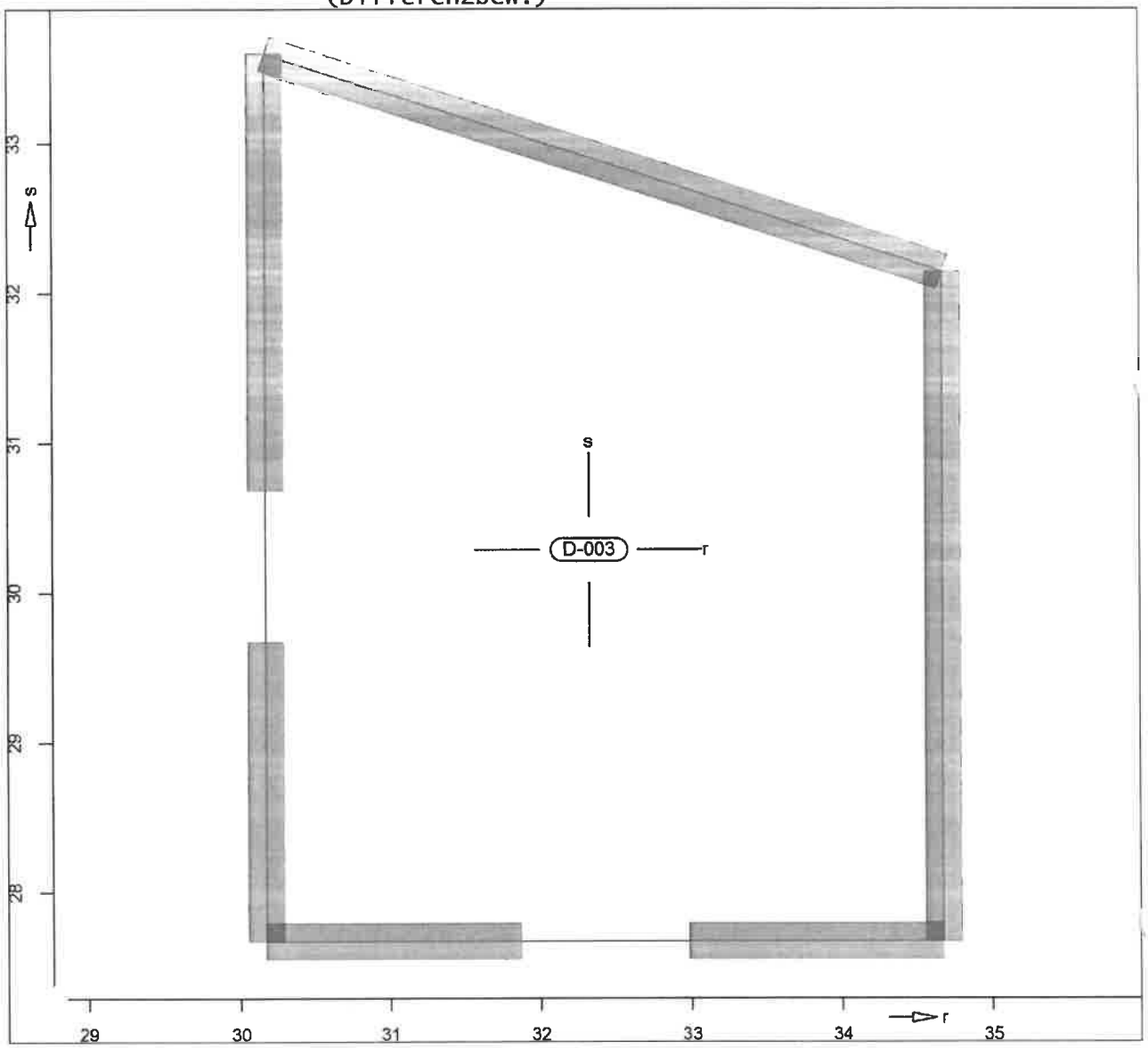
Achsabstand erf. Bewehrung: $d'_{ru}$ = 24 mm
Achsabstand vorh. Bewehrung: $d'_{ru}$ = 24 mm
Grundbewehrung: asg,ru = 2.57 cm²/m



**durch Vergleichsrechnung geprüft**

as,s,unten — Längsbewehrung in s-Richtung in unterer Lage

Erf. Bewehrung — Erforderliche untere Bewehrung as,su [cm²/m] (Differenzbew.)




Isolinienstufen = 1.00 cm²/m

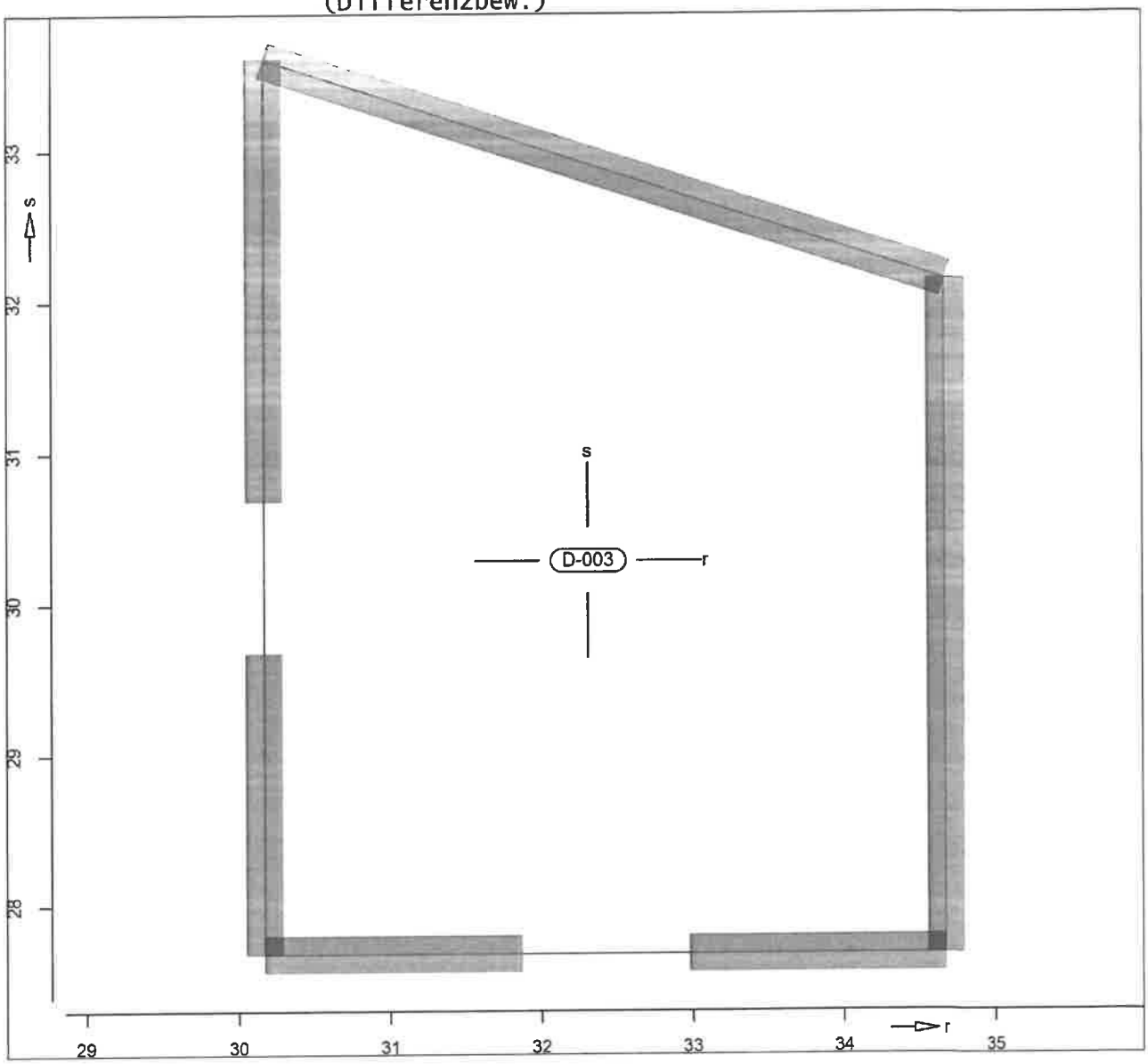
Achsabstand erf. Bewehrung: $d'_{su}$ = 31 mm
Achsabstand vorh. Bewehrung: $d'_{su}$ = 31 mm
Grundbewehrung: asg,su = 2.57 cm²/m



durch Vergleichsrechnung geprüft

as,r,oben — Längsbewehrung in r-Richtung in oberer Lage

Erf. Bewehrung — Erforderliche obere Bewehrung as,ro [cm²/m] (Differenzbew.)




Isolinienstufen = 1.00 cm²/m

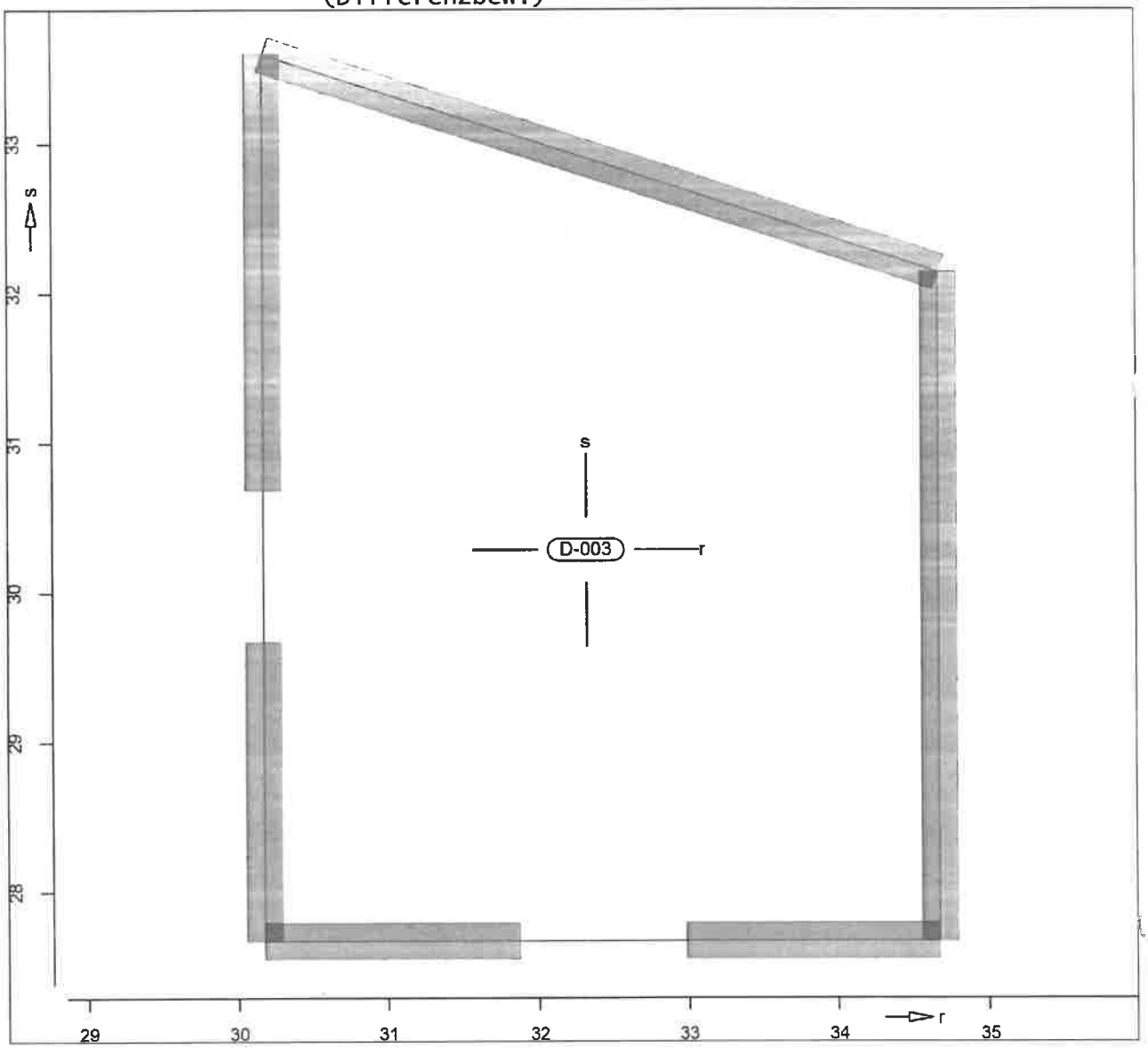
Achsabstand erf. Bewehrung: $d'_{ro}$ = 24 mm
Achsabstand vorh. Bewehrung: $d'_{ro}$ = 24 mm
Grundbewehrung: asg,ro = 2.57 cm²/m



durch Vergleichsrechnung geprüft

as,s,oben — Längsbewehrung in s-Richtung in oberer Lage

Erf. Bewehrung — Erforderliche obere Bewehrung as,so [cm²/m] (Differenzbew.)




Isolinienstufen = 1.00 cm²/m

Achsabstand erf. Bewehrung: $d'_{so}$ = 31 mm
Achsabstand vorh. Bewehrung: $d'_{so}$ = 31 mm
Grundbewehrung: asg,so = 2.57 cm²/m



**durch Vergleichsrechnung geprüft**

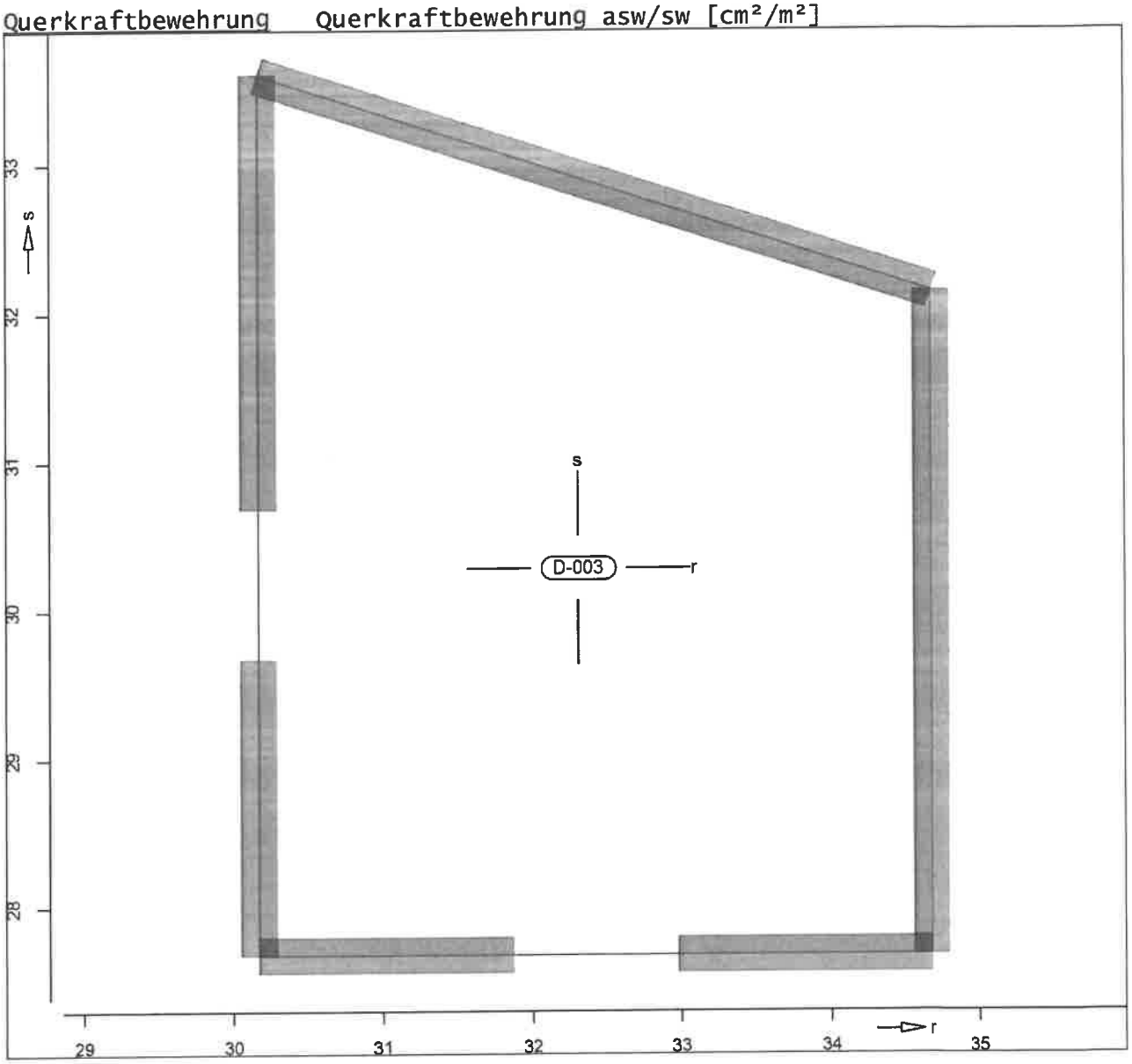
Querkraft Pl-As-Iso  Querkraftbemessung Plattenbereiche

D-003  Querkraftbemessung der Platte (Isolinien)

Querkraftbemessung nach DIN EN 1992-1-1
Beton C 25/30, Betonstahl B 500SA
Gesteinskörnung Quarzit
Druckstrebenneigung wurde vom Programm optimiert.
Mindestbewehrung (9.3.2) wurde nicht ermittelt.

Dicke konstant h = 20.00 cm

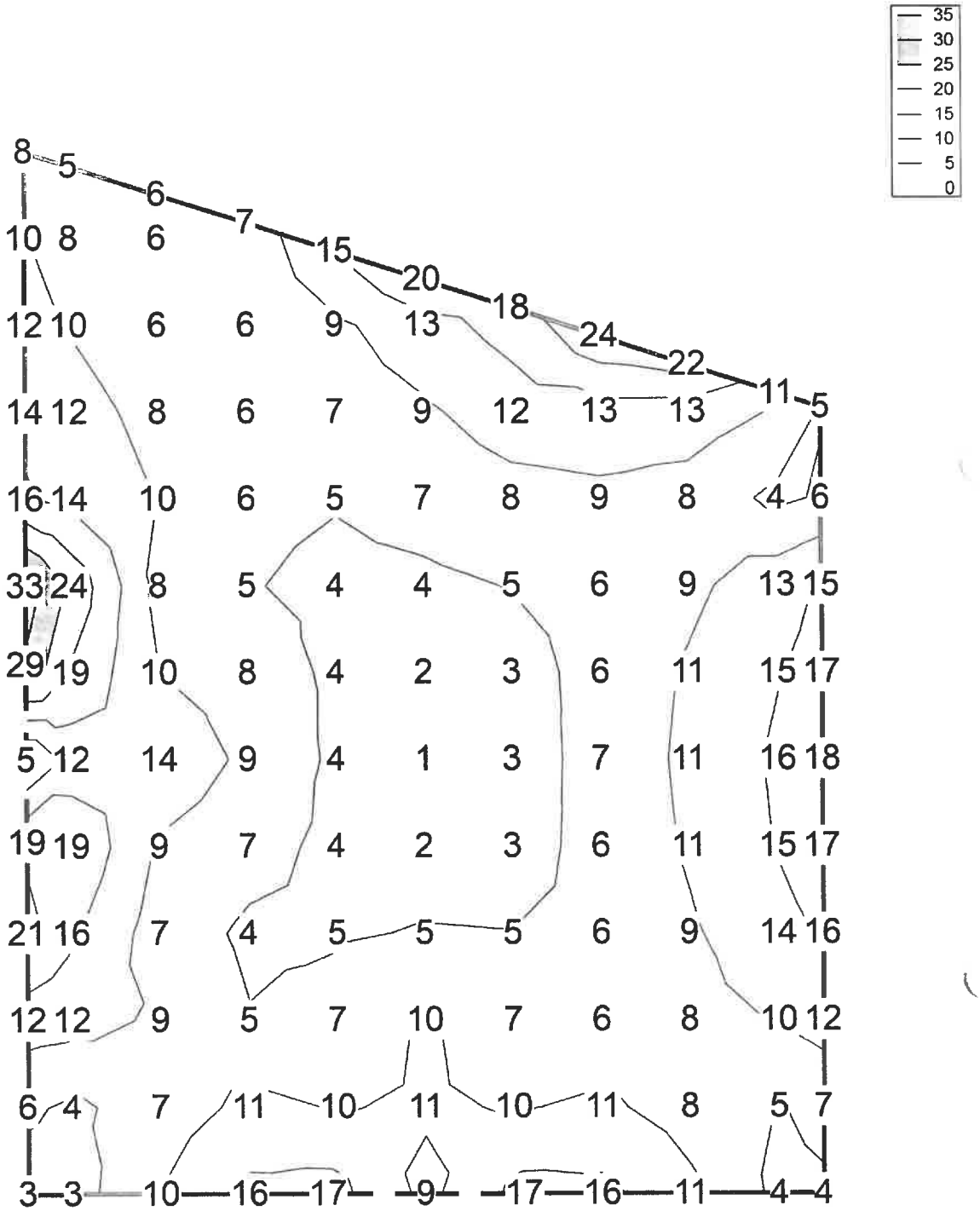
Querkraftbewehrung  Querkraftbewehrung asw/sw [cm²/m²]




Isolinienstufen = 1.00 cm²/m²



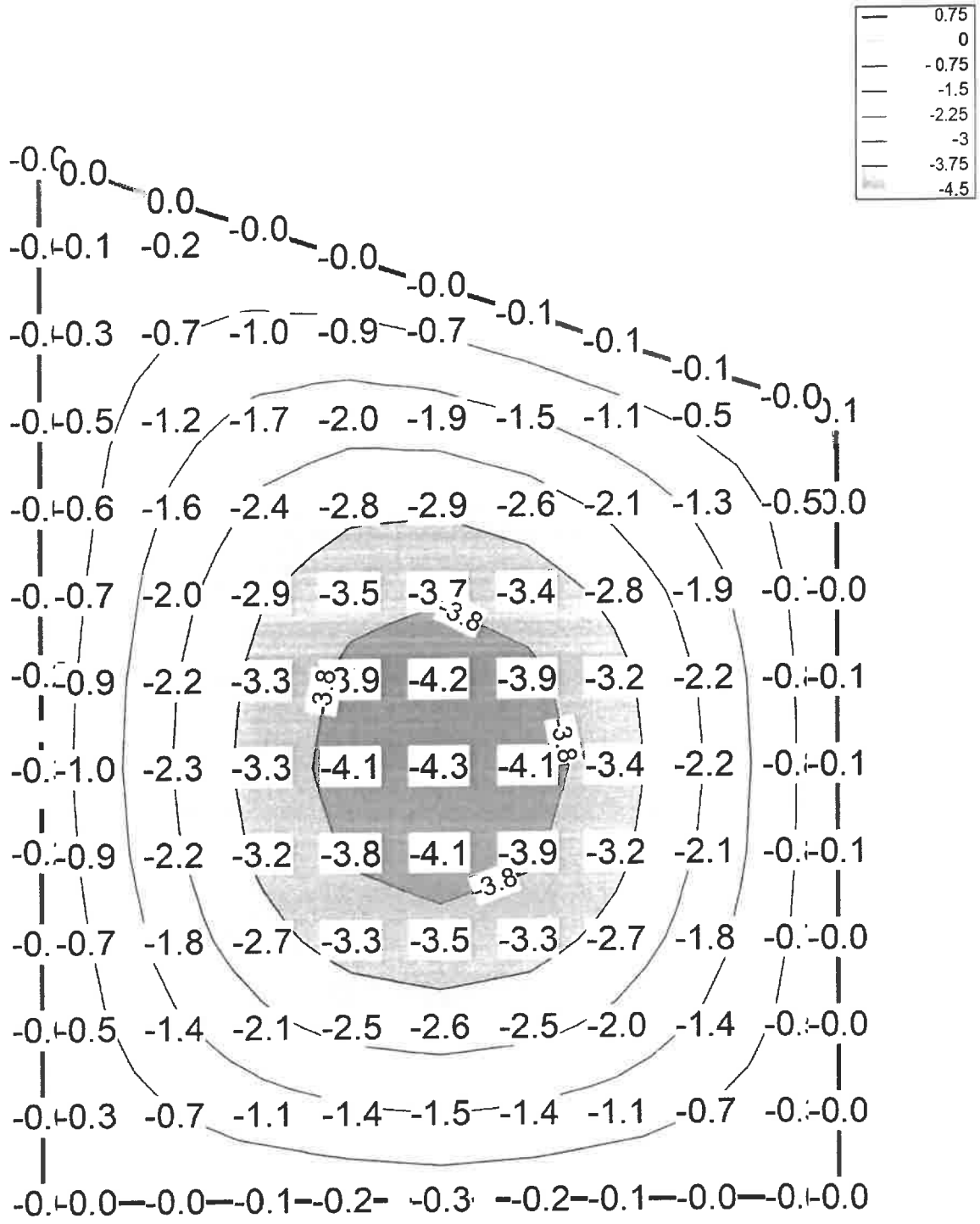
durch Vergleichsrechnung geprüft




| **Querkraftbemessung** | Bemessungsquerkraft vEd,res aus Tragfähigkeitsnachweis in [kN/m] | Maßstab: 1:35 |
|---|---|---|
| Max = 33, Min = 1, Step = 5 | | |



durch Vergleichsrechnung geprüft

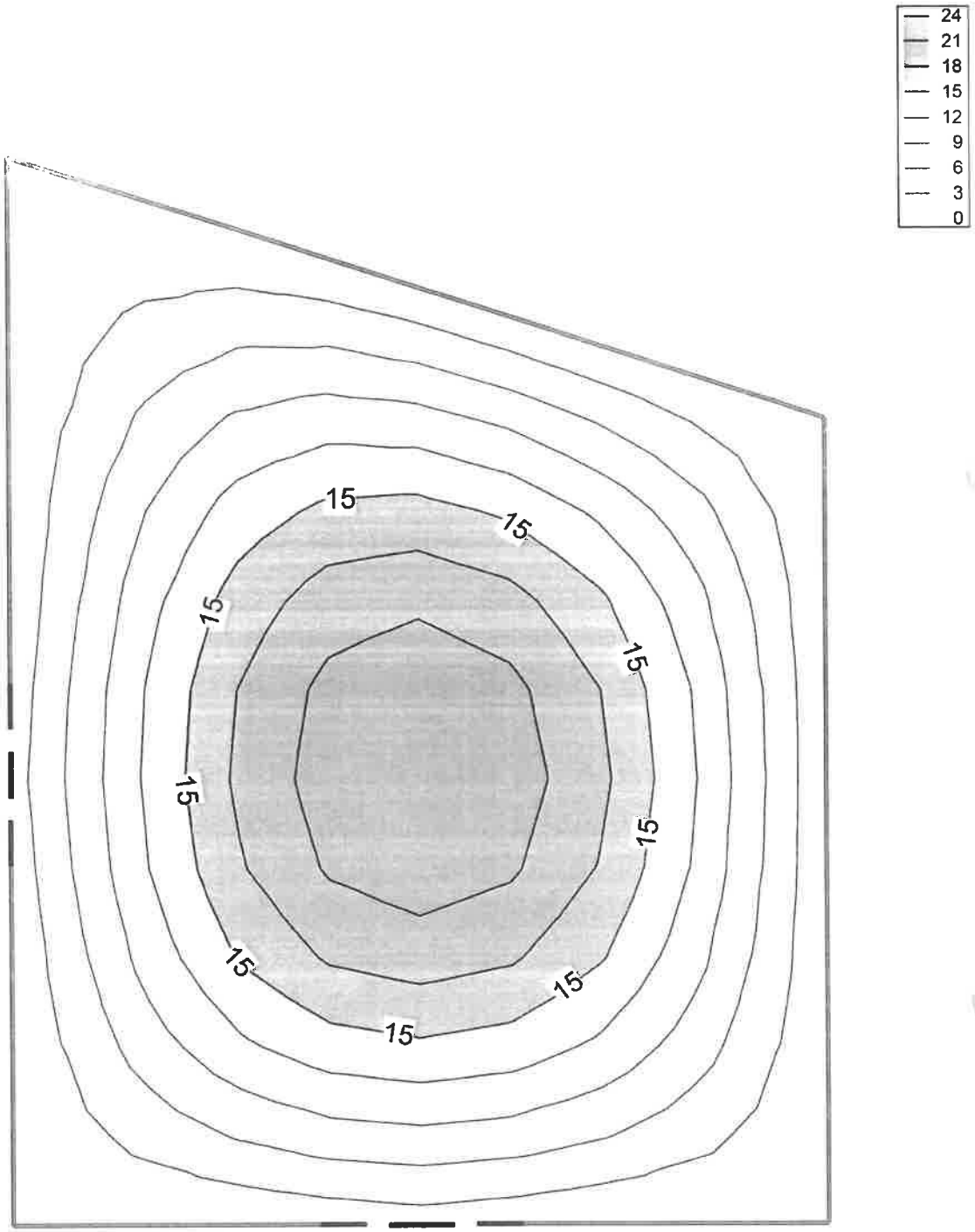



| **Verformungsnachweis Zustand II** | Endverformung f,oo im Zustand II in [mm] | Maßstab: 1:35 |
|---|---|---|

Minimum aus Überlagerung über LKN
Max = 0.1 (Kn. 2), Min = -4.3 (Kn. 56), Step = 0.75



**durch Vergleichsrechnung geprüft**

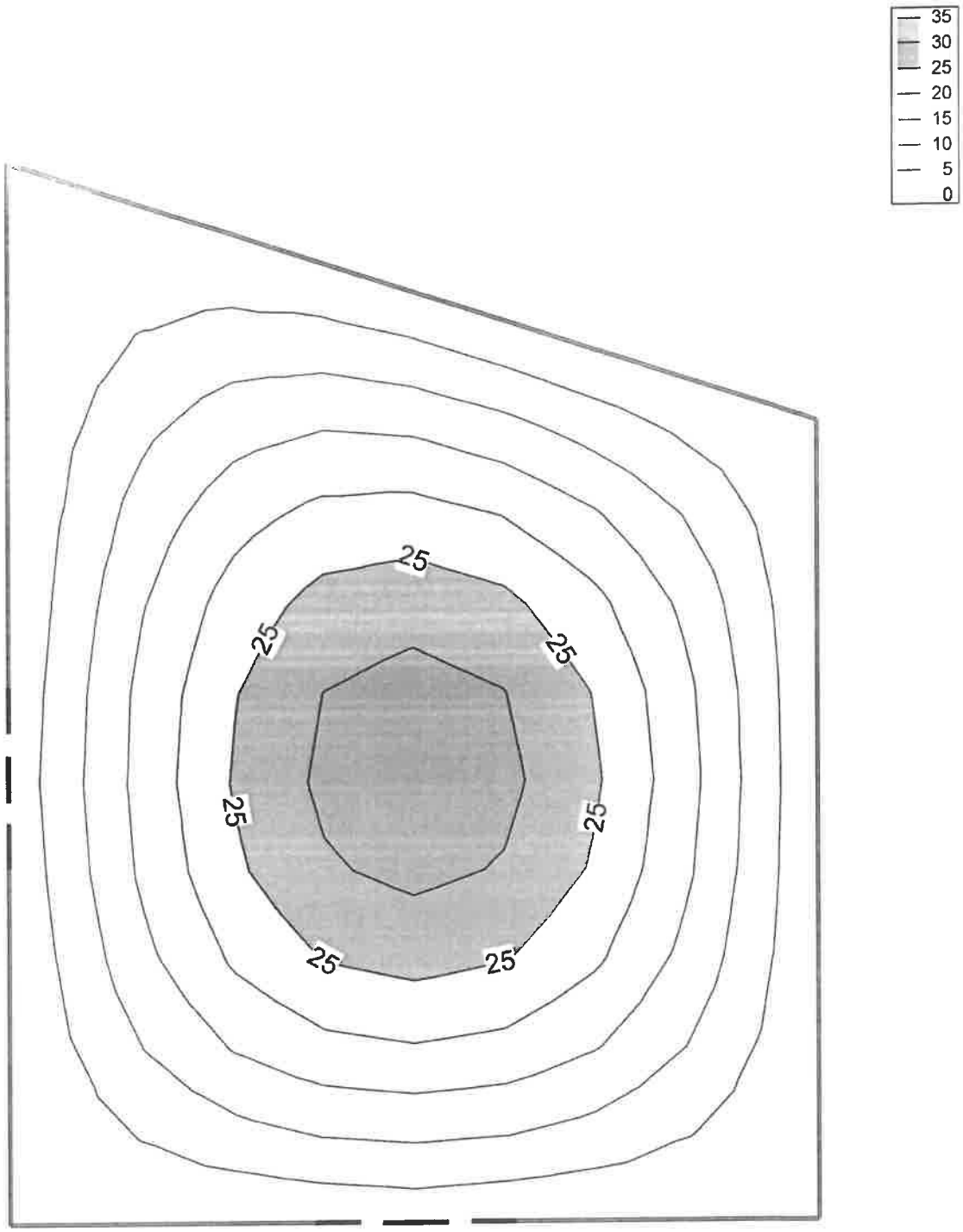



**Verformungsnachweis Zustand II** Ausnutzung der zulässigen Endverformung eta(f,oo) in [%] Maßstab: 1:35

Minimum aus Überlagerung über LKN
Max = 23.9 (Kn. 56), Min = 0 (Kn. 1), Step = 3



durch Vergleichsrechnung geprüft

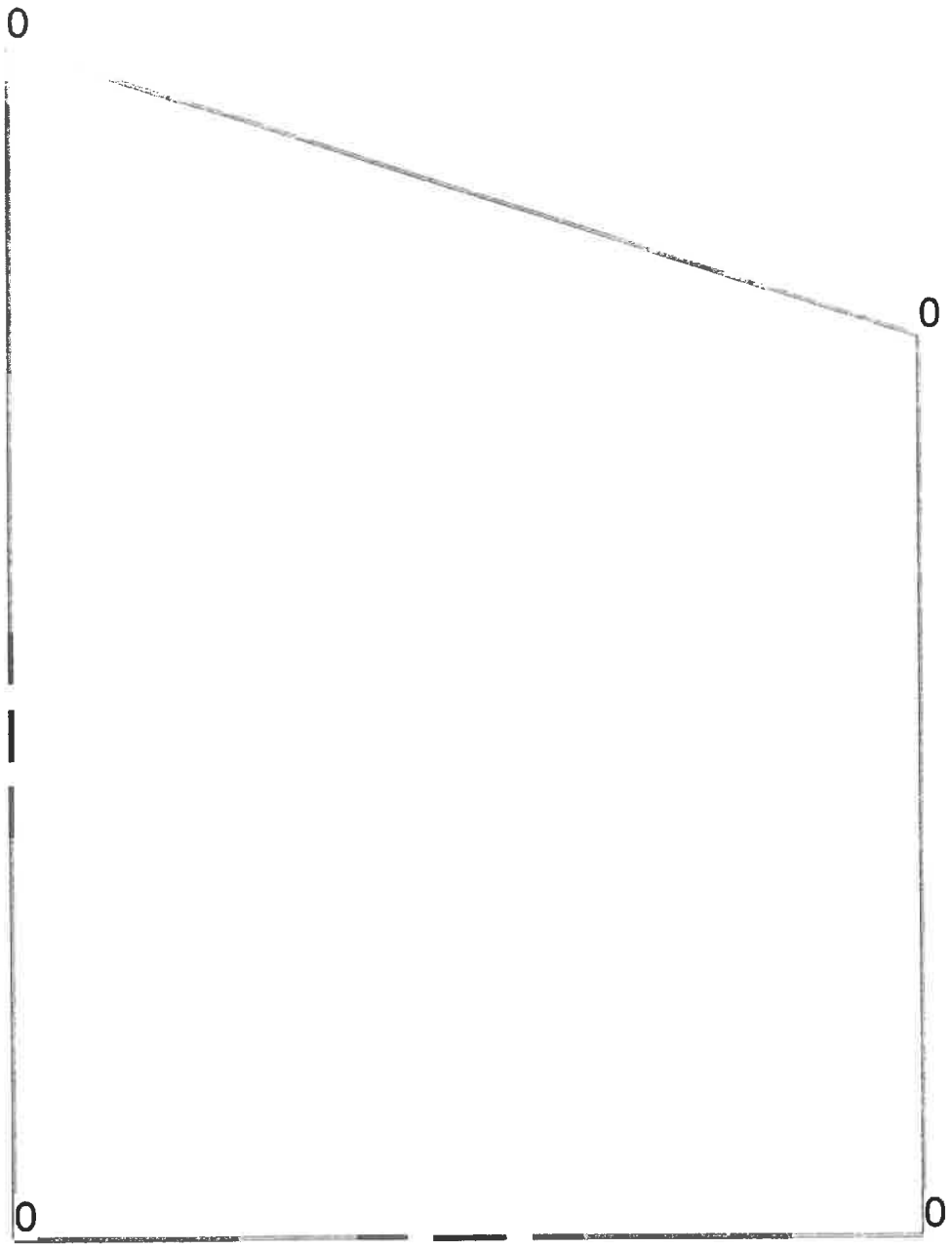



**Verformungsnachweis Zustand II** Ausnutzung der zul. Differenzverformung eta(f,oo-f,0) in [%] Maßstab: 1:35

Minimum aus Überlagerung über LKN
Max = 33 (Kn. 56), Min = 0 (Kn. 15), Step = 5



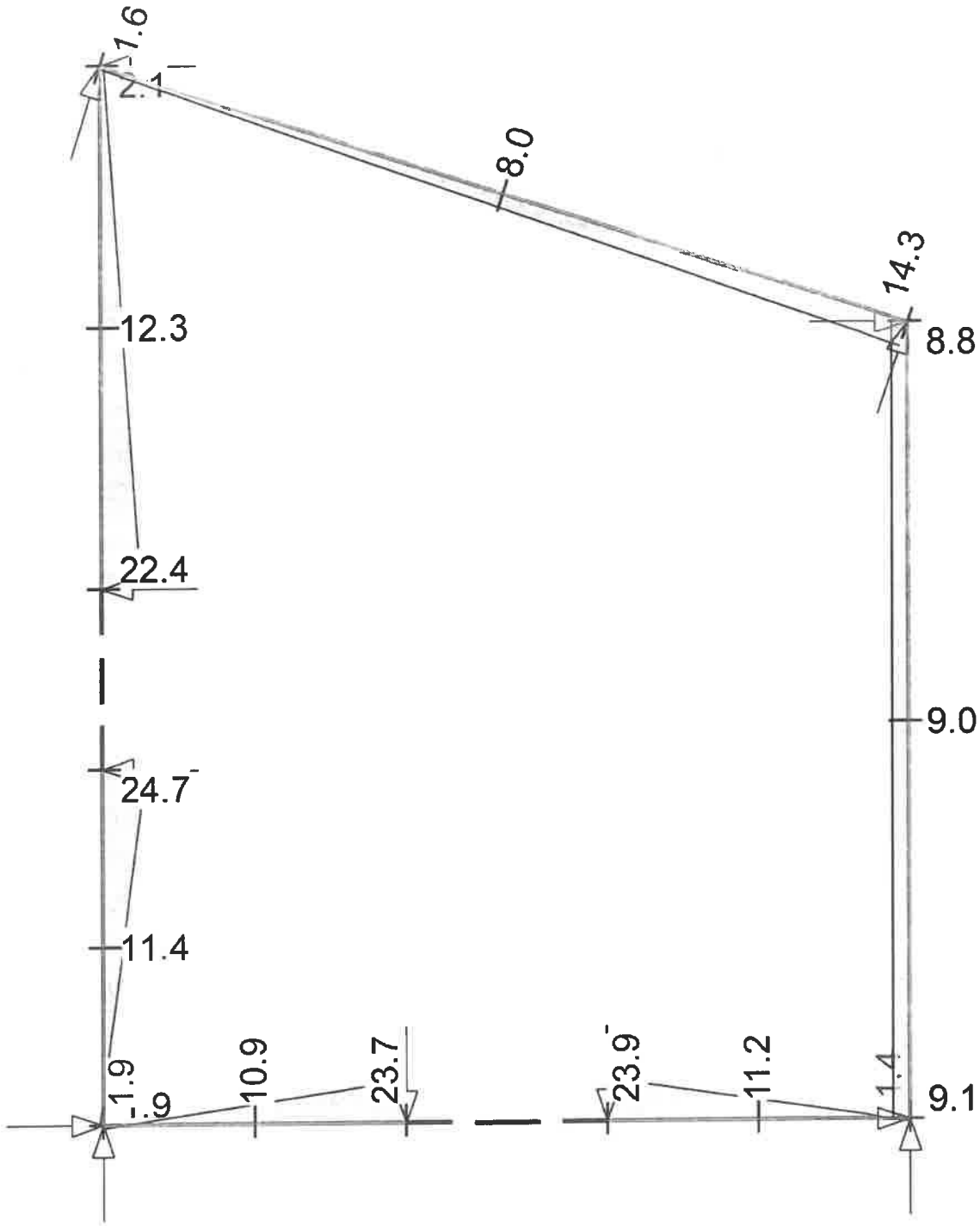
durch Vergleichsrechnung geprüft




| **Zugkraftbemessung** | erf. Bewehrung As in [cm²] | Maßstab: 1:35 |
|---|---|---|



durch Vergleichsrechnung geprüft




| **Linienlagerergebnisse** | Lagerkraft in t-Richtung in [kN/m] | Maßstab: 1:35 |
|---|---|---|

lastkombinationsweise dargestellt
aus Lastkombination LK-1
Max = 24.7, Min = -1.9



durch Vergleichsrechnung geprüft

Linienlager-EW — Linienlagerkräfte einwirkungsweise

Linienlagerkräfte — Auflagerkräfte des Modells
- charakteristische Auflagerkräfte je Einwirkung
- min/max Überlagerung der Lastfälle je Einwirkung

Positionsgrafik — Übersicht der Linien- und Wandlager-Positionen

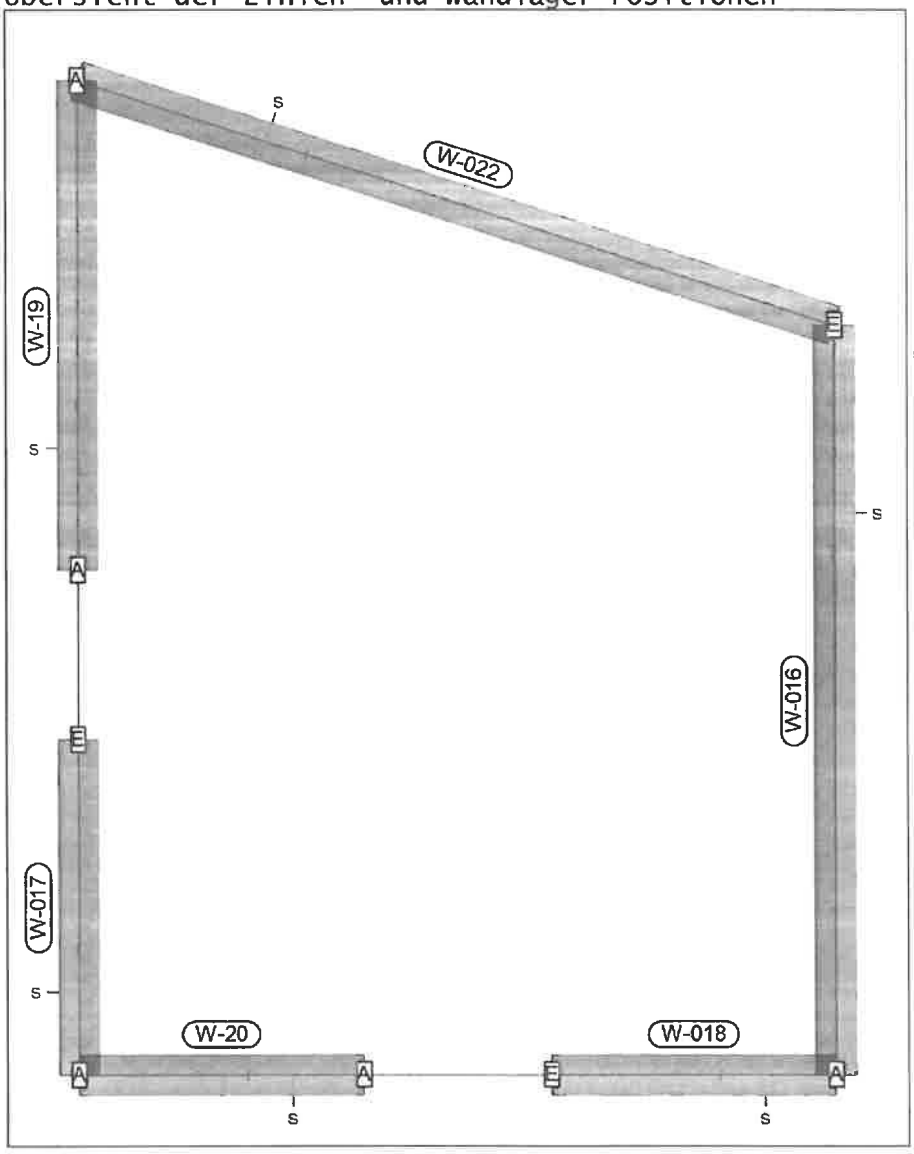



Tabelle — Tabellarische Ausgabe der Auflagerkräfte

lokal, F, t-Achse

| EW | $F_{t,A,min}$ / $F_{t,A,max}$ [kN/m] | $F_{t,M,min}$ / $F_{t,M,max}$ [kN/m] | $F_{t,E,min}$ / $F_{t,E,max}$ [kN/m] | $F_{t,min}$ / $F_{t,max}$ [kN] | $e_{min}$ / $e_{max}$ [m] |
|---|---|---|---|---|---|
| W-19 (*L = 2.92 m*) | | | | | |
| Gk | 19.59 | 10.73 | 1.86 | 31.29 | -0.40 |
| Qk.N | 0.00 | 0.00 | 0.00 | 0.00 | 0.00 |
| | 0.75 | 0.41 | 0.07 | 1.20 | -0.40 |
| Qk.S | 0.00 | 0.00 | 0.00 | 0.00 | 0.00 |
| | 2.05 | 1.12 | 0.19 | 3.27 | -0.40 |



durch Vergleichsrechnung geprüft

| | EW | $F_{t,A,min}$ $F_{t,A,max}$ [kN/m] | $F_{t,M,min}$ $F_{t,M,max}$ [kN/m] | $F_{t,E,min}$ $F_{t,E,max}$ [kN/m] | $F_{t,min}$ $F_{t,max}$ [kN] | $e_{min}$ $e_{max}$ [m] |
|---|---|---|---|---|---|---|
| W-20 | *(L = 1.69 m)* | | | | | |
| | Gk | 20.78 | 9.54 | -1.70 | 16.14 | -0.33 |
| | Qk.N | 0.00 | 0.00 | 0.00 | 0.00 | 0.00 |
| | | 0.80 | 0.37 | -0.07 | 0.62 | -0.33 |
| | Qk.S | 0.00 | 0.00 | 0.00 | 0.00 | 0.00 |
| | | 2.17 | 1.00 | -0.18 | 1.69 | -0.33 |
| W-016 | *(L = 4.47 m)* | | | | | |
| | Gk | 7.68 | 7.84 | 8.00 | 35.03 | 0.01 |
| | Qk.N | 0.00 | 0.00 | 0.00 | 0.00 | 0.00 |
| | | 0.30 | 0.30 | 0.31 | 1.35 | 0.01 |
| | Qk.S | 0.00 | 0.00 | 0.00 | 0.00 | 0.00 |
| | | 0.80 | 0.82 | 0.84 | 3.66 | 0.01 |
| W-017 | *(L = 2.00 m)* | | | | | |
| | Gk | -1.63 | 9.99 | 21.61 | 19.98 | 0.39 |
| | Qk.N | 0.00 | 0.00 | 0.00 | 0.00 | 0.00 |
| | | -0.06 | 0.38 | 0.83 | 0.77 | 0.39 |
| | Qk.S | 0.00 | 0.00 | 0.00 | 0.00 | 0.00 |
| | | -0.17 | 1.04 | 2.26 | 2.09 | 0.39 |
| W-018 | *(L = 1.69 m)* | | | | | |
| | Gk | -1.24 | 9.82 | 20.88 | 16.62 | 0.32 |
| | Qk.N | 0.00 | 0.00 | 0.00 | 0.00 | 0.00 |
| | | -0.05 | 0.38 | 0.80 | 0.64 | 0.32 |
| | Qk.S | 0.00 | 0.00 | 0.00 | 0.00 | 0.00 |
| | | -0.13 | 1.03 | 2.18 | 1.74 | 0.32 |
| W-022 | *(L = 4.73 m)* | | | | | |
| | Gk | 1.40 | 6.97 | 12.53 | 32.96 | 0.63 |
| | Qk.N | 0.00 | 0.00 | 0.00 | 0.00 | 0.00 |
| | | 0.05 | 0.27 | 0.48 | 1.27 | 0.63 |
| | Qk.S | 0.00 | 0.00 | 0.00 | 0.00 | 0.00 |
| | | 0.15 | 0.73 | 1.31 | 3.45 | 0.63 |

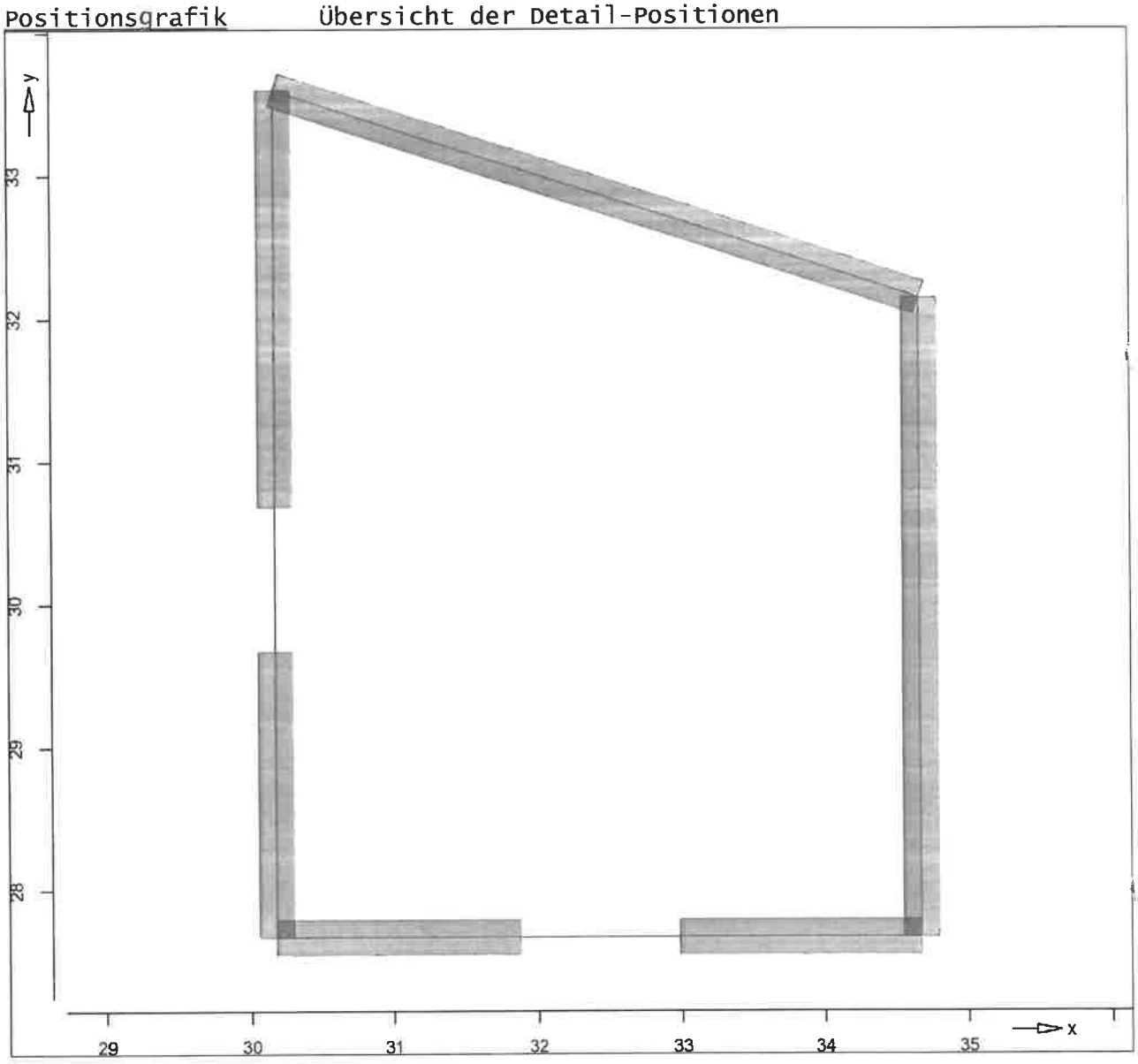


durch Vergleichsrechnung geprüft

Durchstanzstellen-Pos — Detailplan

Details — Detail-Positionen

Positionsgrafik — Übersicht der Detail-Positionen






durch Vergleichsrechnung geprüft

Durchstanzstellen-Tab

Nachweis der Durchstanzstellen

Es wurden keine Nachweise aktiviert, oder die Durchstanzstellen wurden nicht generiert.

## Pos. 4.13 Mauerwerk

**System**

Einschalige Außenwand
2-seitig gehalten

**Abmessungen Mat./Querschnitt**

| Material | l [m] | h [m] | t [cm] | γ [kN/m³] |
|---|---|---|---|---|
| *SFK 4-0.9/DM (Z-17.1-844)* | 2.91 | 2.75 | 24.0 | 10.0 |

**Massivdecken**

| | Material | $l_f$ [m] | k [-] | h [cm] | a [cm] | b [m] | γ [kN/m³] |
|---|---|---|---|---|---|---|---|
| Rechts Oben | C 25/30 | 3.50 | 0.50 | 20.0 | 24.00 | 2.91 | 25.0 |

**Belastungen**

Streckenlasten vertikal

| | Nr. | EW | $f_x$ [kN/m] |
|---|---|---|---|
| (a) | 1 | Gk | 6.60 |

(a) Wandeigengewicht 10.00*0.24*2.75 = 6.60 kN/m

**Punktlasten summiert** am Wandkopf

| Komm. | | $F_x$ [kN] | $F_{s,y}$ [kN] | $F_{p,z}$ [kN] | $M_{p,y}$ [kNm] | $M_{s,z}$ [kNm] |
|---|---|---|---|---|---|---|
| Einw. *Gk* | (a) | 31.29 | 0.00 | 0.00 | 0.00 | -12.52 |
| Einw. *Qk.N* | (a) | 1.20 | 0.00 | 0.00 | 0.00 | -0.48 |
| Einw. *Qk.S* | (a) | 3.27 | 0.00 | 0.00 | 0.00 | -1.31 |

(a) aus Pos. '4.12', Lager 'W-19' (Seite 354)

**Kombinationen**

Kombinationsbildung nach DIN EN 1990
Darstellung der maßgebenden Kombinationen

| | Ek | Σ (γ*ψ*EW) | | |
|---|---|---|---|---|
| ständig/vorüberg. | 5 | 1.35*Gk | +1.05*Qk.N | +1.50*Qk.S |
| selten | 15 | 1.00*Gk | | |

**Mat./Querschnitt**

nach DIBt Zulassung Z-17.1-844

**gewählt**

*SFK 4-0.9-(240)/DM (Z-17.1-844)*
Steinart Bundesverband Leichtbeton
Steintyp Plan-Hohlblock aus Leichtbeton, Typ I
Steindruckfestigkeitsklasse SFK 4
Steinrohdichteklasse RDK 0.9
Mörtelgruppe Dünnbettmörtel DM
Mauerwerk mit unvermörtelten Stoßfugen

**Materialbeiwerte**

| | | | |
|---|---|---|---|
| charakt. Druckfestigkeit | $f_k$ = | 2.50 | N/mm² |
| Teilsicherheitsbeiwert | $\gamma_M$ = | 1.50 | |
| Dauerstandsfaktor | $\zeta$ = | 0.85 | |
| Bemessungswert Druckfestigk. | $f_d$ = | 1.42 | N/mm² |
| Rechenwert der Endkriechzahl | $\phi_\infty$ = | 2.00 | |
| Elastizitätsmodul | E = | 2375 | N/mm² |

**Nachweise (GZT)**

nach DIN EN 1996-1-1 (12/10) mit genauerer Berechnungsmethode



durch Vergleichsrechnung geprüft

Tragwiderstand
Abs. 6.1.2

Nachweis des vertikalen Tragwiderstands

| Ek | Stelle | $\Phi_y$ [-] | $\Phi_z$ [-] | $N_{Ed}$ [kN] | $N_{Rd}$ [kN] | η [-] |
|---|---|---|---|---|---|---|
| 5 | Kopf | 0.725 | 0.900 | 48.41 | 645.67 | 0.07 |
| 5 | Mitte | 0.783 | 0.820 | 61.38 | 635.19 | 0.10 |
| 5 | Fuß | 0.821 | 0.900 | 74.34 | 731.05 | 0.10 |

Nachweise (GZG)

nach DIN EN 1996-1-1/NA:2019-12, NCI zu 7.2

Ausmitte Plattenri.
NCI zu 7.2 (NA.7)

Nachweis der planmäß. Ausmitte in Plattenrichtung

| Ek | Stelle | $e_{z,L}$ [cm] | $e_{z,D}$ [cm] | $e_h$ [cm] | zul e [cm] | η [-] |
|---|---|---|---|---|---|---|
| 15 | Kopf | 0.0 | 0.0 | 0.0 | 8.0 | 0.00 |
| 15 | Mitte | 0.0 | 0.0 | 0.0 | 8.0 | 0.00 |
| 15 | Fuß | 0.0 | 0.0 | 0.0 | 8.0 | 0.00 |

$e_{z,L}$: Ausmitte infolge Vertikallasten
$e_{z,D}$: Ausmitte infolge Deckenverdrehung
$e_h$: Ausmitte infolge Horizontallasten

Auflagerkräfte

Charakteristische Auflagerkräfte

Char. Auflagerkr.

| | Aufl. | $F_{x,k}$ [kN] | $F_{z,k}$ [kN] | $M_{y,k}$ [kNm] | $F_{y,k}$ [kN] | $M_{z,k}$ [kNm] |
|---|---|---|---|---|---|---|
| Einw. *Gk* | A | 50.49 | 0.00 | 0.00 | 0.00 | -12.52 |
| | B | | 0.00 | 0.00 | | |
| Einw. *Qk.N* | A | 1.20 | 0.00 | 0.00 | 0.00 | -0.48 |
| | B | | 0.00 | 0.00 | | |
| Einw. *Qk.S* | A | 3.27 | 0.00 | 0.00 | 0.00 | -1.31 |
| | B | | 0.00 | 0.00 | | |

Zusammenfassung

Zusammenfassung der Nachweise

Nachweise (GZT)

Nachweise im Grenzzustand der Tragfähigkeit

| Nachweis | Ort | | η [-] |
|---|---|---|---|
| vertikaler Tragwiderstand | Fuß | OK | 0.10 |



durch Vergleichsrechnung geprüft

# Gründung

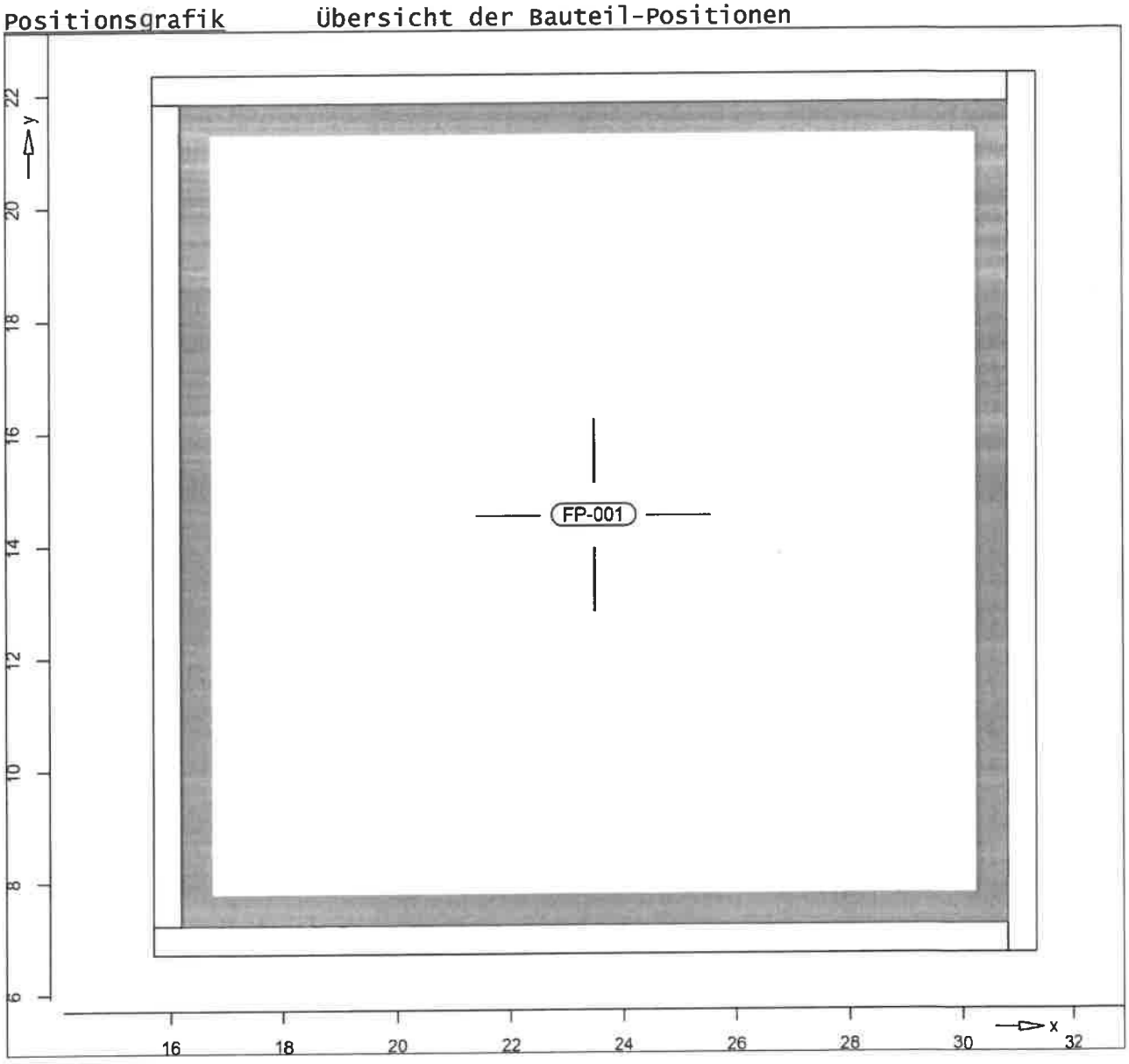
## Pos. 5.01 Stb-Bodenplatte

### System

Positionsplan — Positionsplan

Bauteile — Bauteil-Positionen

Positionsgrafik — Übersicht der Bauteil-Positionen




Platten — Platten-Positionen

Stahlbeton

| Position | Winkel [°] | Art | Material Längs | Material Quer | Dicke [cm] |
|---|---|---|---|---|---|
| FP-001 | 0.0 | iso | C 25/30 Q | | 30.0 |
| | | | B 500MA | B 500SA | |

Winkel: Bewehrungsrichtung r
iso: isotropes Material
Q: Gesteinskörnung Quarzit



durch Vergleichsrechnung geprüft

Expositionsklasse — gemäß DIN EN 1992-1-1, Tab. 4.1

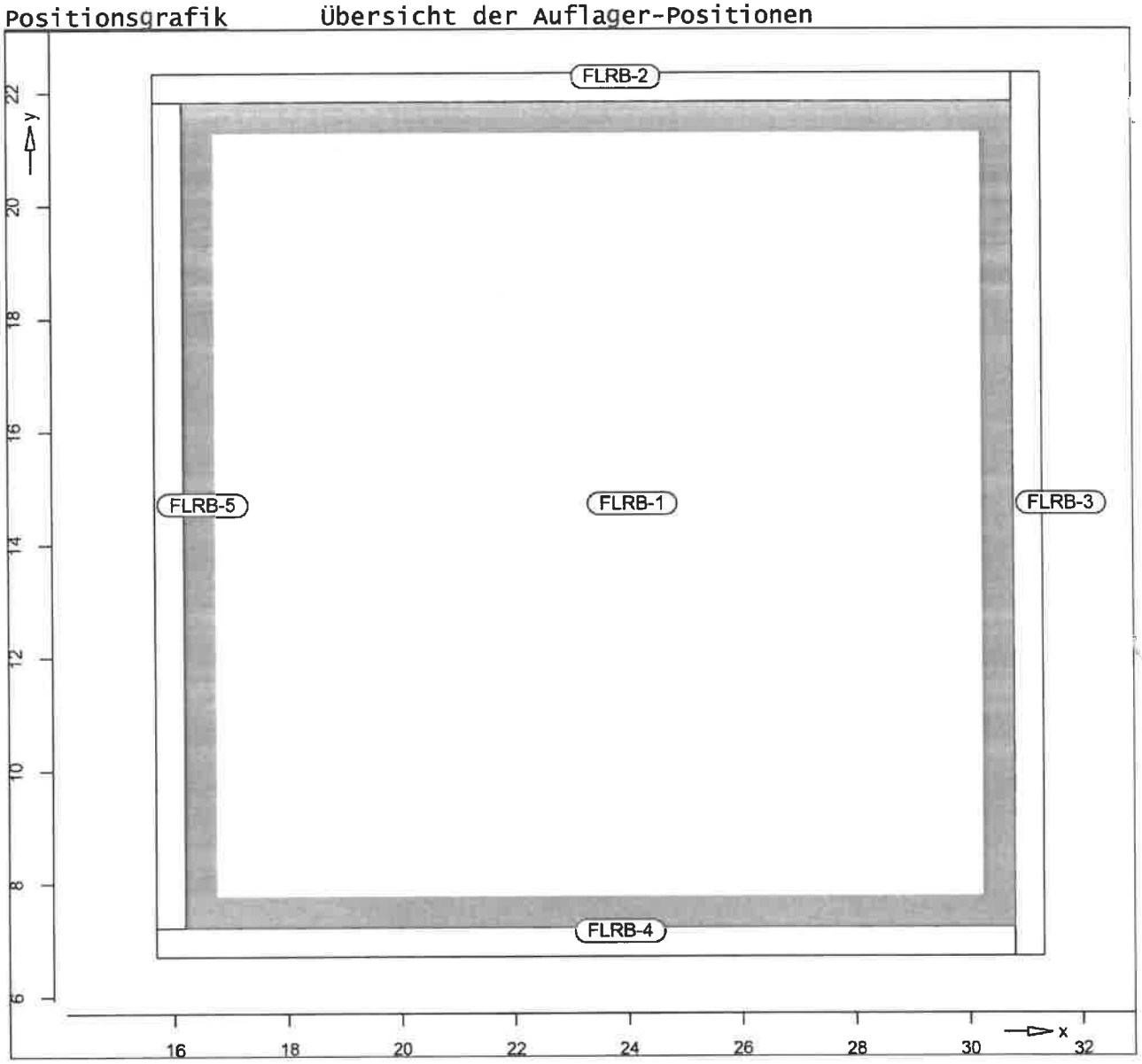
| Position | Seite | Kl | Kommentar |
|---|---|---|---|
| FP-001 | oben | XC1 | trocken oder ständig nass |
| | unten | XC2 | nass, selten trocken |

Koordinaten — Position

| Position | x [m] | y [m] |
|---|---|---|
| FP-001 | 15.69 | 6.71 |
| | 31.31 | 6.71 |
| | 31.31 | 22.34 |
| | 15.69 | 22.34 |

Auflager — Auflager-Positionen

Positionsgrafik — Übersicht der Auflager-Positionen




Flächenlager — Flächenlager-Positionen



durch Vergleichsrechnung geprüft

## Flächenbettung (Bettungsziffer)

| Position | | $K_{T,z}$ [kN/m³] |
|---|---|---|
| FLRB-1 | +/- | 10000 |
| FLRB-2..FLRB-5 | +/- | 20000 |

## Koordinaten

| Position | x [m] | y [m] |
|---|---|---|
| FLRB-1 | 16.19 | 21.84 |
| | 16.19 | 7.21 |
| | 30.81 | 7.21 |
| | 30.81 | 21.84 |
| FLRB-2 | 15.69 | 22.34 |
| | 30.81 | 22.34 |
| | 30.81 | 21.84 |
| | 15.69 | 21.84 |
| FLRB-3 | 30.81 | 22.34 |
| | 31.31 | 22.34 |
| | 31.31 | 6.71 |
| | 30.81 | 6.71 |
| FLRB-4 | 30.81 | 7.21 |
| | 15.69 | 7.21 |
| | 15.69 | 6.71 |
| | 30.81 | 6.71 |
| FLRB-5 | 15.69 | 7.21 |
| | 16.19 | 7.21 |
| | 16.19 | 21.84 |
| | 15.69 | 21.84 |

## Material

Materialkennwerte

### Stahlbeton DIN EN 1992-1-1

| Position | Material | Wichte [kN/m³] | $E_{cm}$ G [N/mm²] | $f_{ck}$ $f_{ctm}$ [N/mm²] |
|---|---|---|---|---|
| FP-001 | C 25/30 Q | 25.00 | 31000 | 25.00 |
| | | | 12900 | 2.60 |

Q: Gesteinskörnung Quarzit

### Betonstahl DIN EN 1992-1-1

| Position | Material | Wichte [kN/m³] | $E_s$ G [N/mm²] | $f_{yk}$ $f_{tk,cal}$ [N/mm²] |
|---|---|---|---|---|
| FP-001 | B 500MA | 78.50 | 200000 | 500.00 |
| | | | 77000 | 525.00 |
| FP-001 | B 500SA | 78.50 | 200000 | 500.00 |
| | | | 77000 | 525.00 |

## Auswertung

Geometrische Auswertung der Positionen

### Flächen

Flächenförmige Bauteil-Positionen

### Stahlbeton

| Position | Dicke [cm] | Fläche [m²] | Volumen [m³] |
|---|---|---|---|
| FP-001 | 30.0 | 244.14 | 73.24 |

## Belastungen



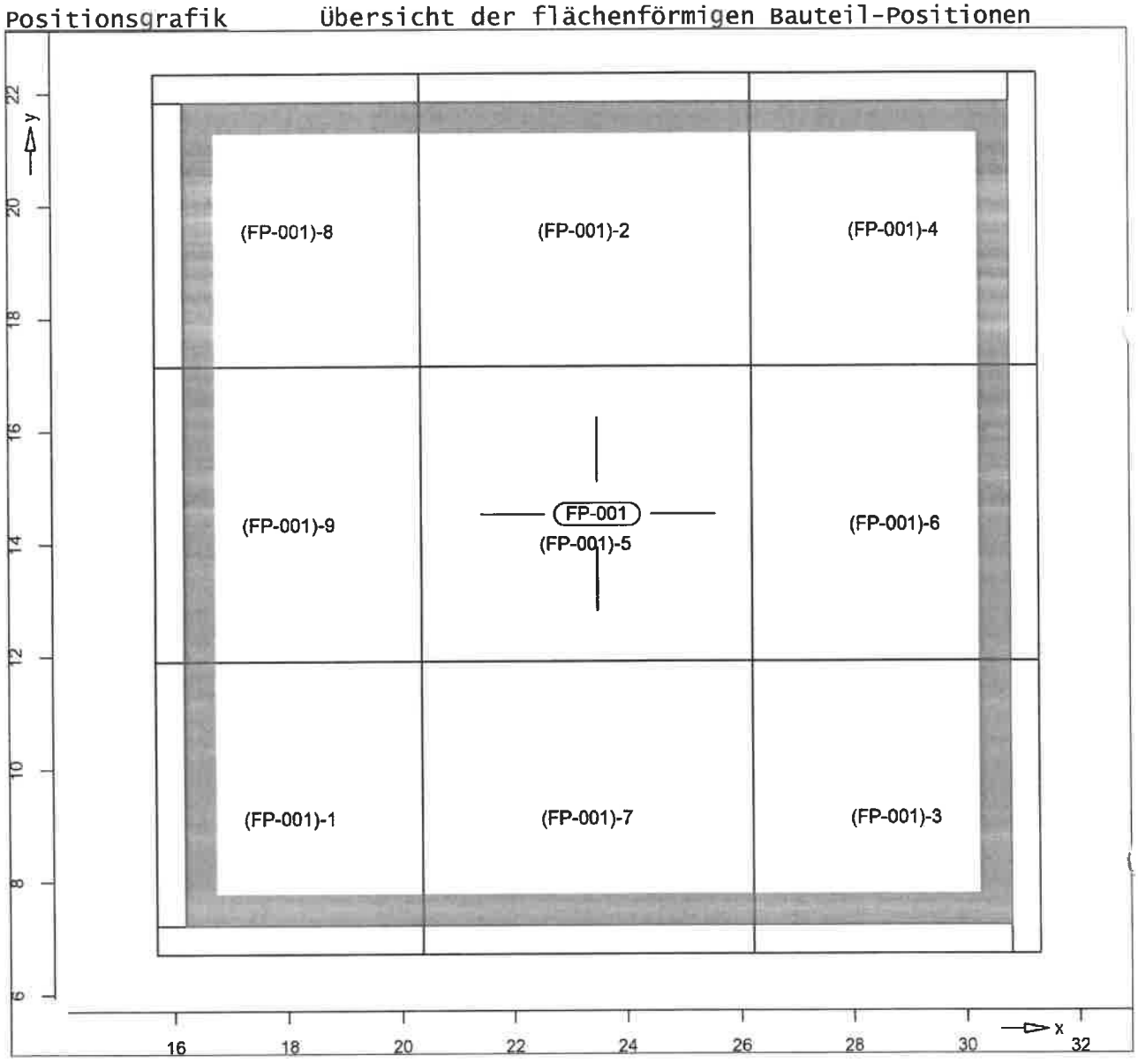

durch Vergleichsrechnung geprüft

Lastplan — Lasten des FE-Modells

Bauteillasten — Bauteilbezogene Lasten

Flächenpositionen — Flächenförmige Bauteil-Positionen

Positionsgrafik — Übersicht der flächenförmigen Bauteil-Positionen




Eigengewicht

| Position | EW | Lastfall | Art | g [kN/m²] |
|---|---|---|---|---|
| FP-001 | Gk | LF-1 | PGr | 7.50 |

PGr: Gravitationslast; positive Lasten wirken senkrecht nach unten

Sonstige ständige Last

| Position | EW | Lastfall | Art | g [kN/m²] |
|---|---|---|---|---|
| FP-001 | Gk | LF-1 | PGr | 1.80 |

PGr: Gravitationslast; positive Lasten wirken senkrecht nach unten




durch Vergleichsrechnung geprüft

## Nutzlast

| Position | EW | Lastfall je Lastfeld | Art | p [kN/m²] |
|---|---|---|---|---|
| FP-001 | Qk.N | (FP-001)-1..(FP-001)-9 | PGr | 2.70 |

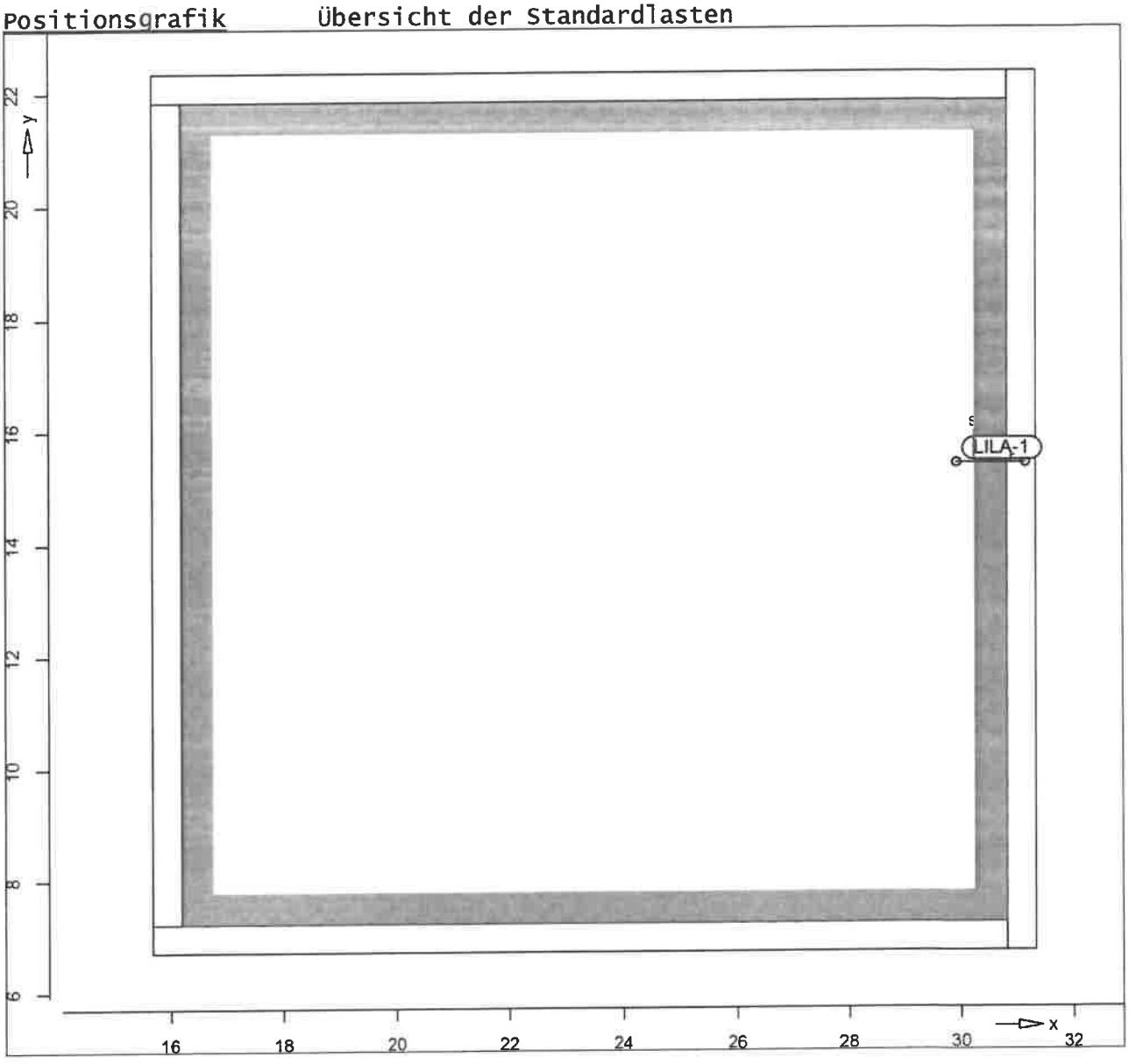
PGr: Gravitationslast; positive Lasten wirken senkrecht nach unten

## Standardlasten

Standardlasten im FE-Modell

## Positionsgrafik

Übersicht der Standardlasten




## Linienlasten

| | Position | EW | Lastfall | Art | $p_A, m_A$ [kN/m], | $p_E, m_E$ [kNm/m] |
|---|---|---|---|---|---|---|
| (a) | LILA-1 | Gk | BS-Gk | pGr | 16.54 | 16.54 |
| (a) | | Qk.N | BS-Qk.N | pGr | 5.68 | 5.68 |
| | | Qk.N | LF-2 | pGr | 20.00 | 20.00 |

pGr: Gravitationslast; positive Lasten wirken senkrecht nach unten

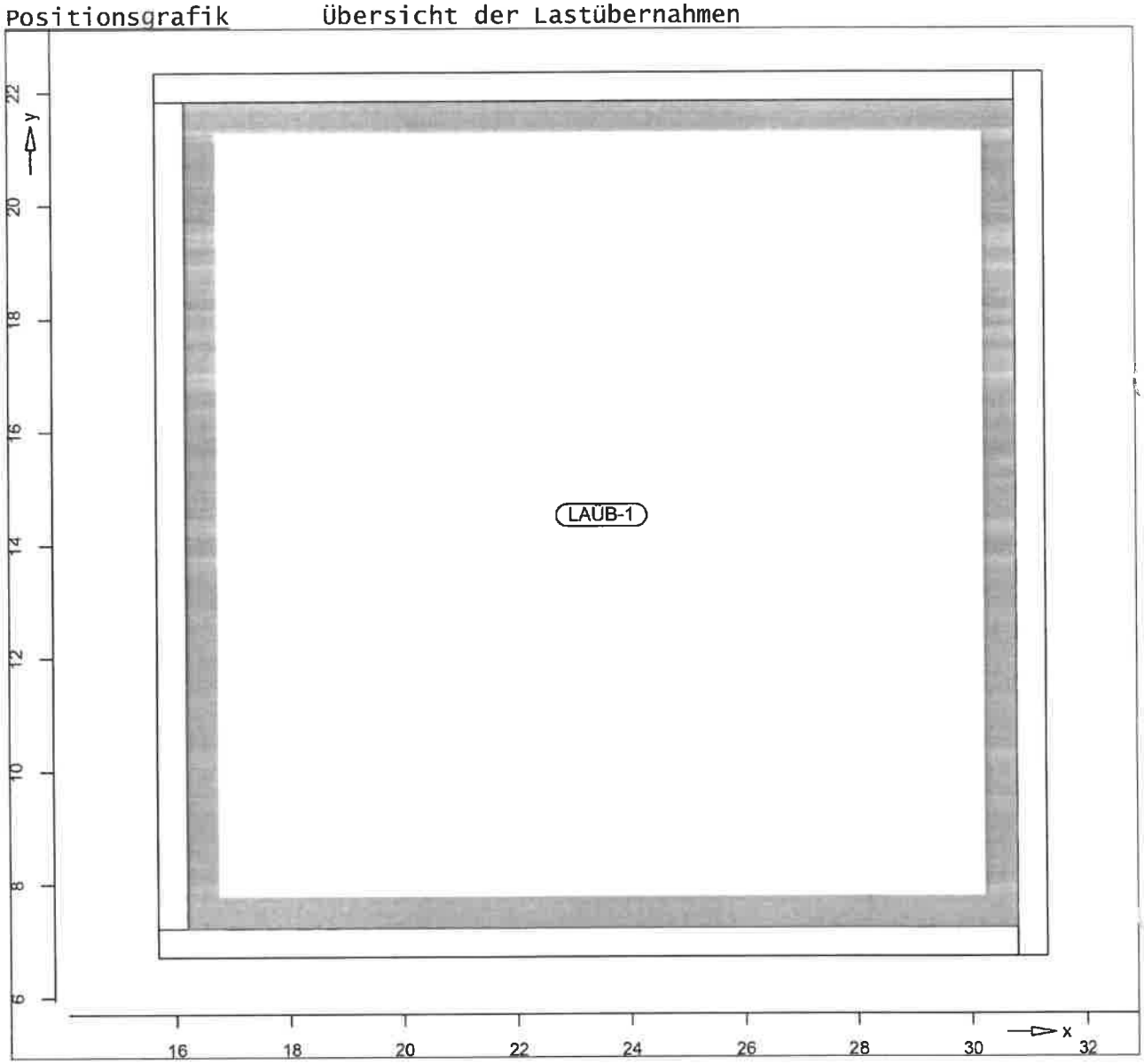



durch Vergleichsrechnung geprüft

(a) aus Pos. '3.01', Lager 'A'

Lastübernahmen Lastübernahme aus MicroFe-Modellen

Positionsgrafik Übersicht der Lastübernahmen




LAÜB-1 Lastübernahme 'Lastübergabe' aus Modell 'EG'

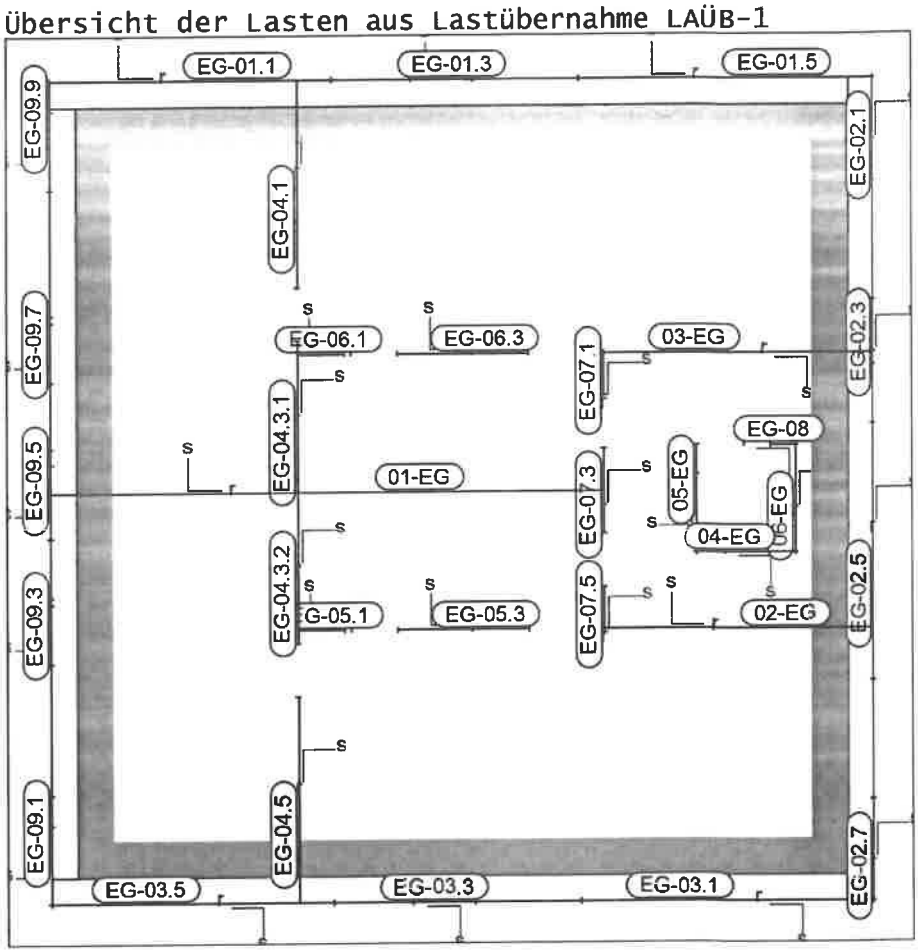
Die Lastübernahme erfolgt lastfalltreu.
Die Lastanteile aus ständigen Lasten der Stützen- und Wandlager werden berücksichtigt.




durch Vergleichsrechnung geprüft

## Positionsgrafik

Übersicht der Lasten aus Lastübernahme LAÜB-1




## Linienlasten

| Position | EW | Lastfall | Art | $p_A$ | $p_E$ [kN/m] |
|---|---|---|---|---|---|
| 01-EG | Gk | #1\|#SE-LF-1 | pGr | 0.23 | -0.09 |
| | Gk | #1\|BS-Gk | pGr | 0.02 | -0.05 |
| (gl) | Gk | #1\|LF-1 | pGr | 13.87 | 13.87 |
| | Gk | #1\|LF-1 | pGr | 29.10 | 0.85 |
| | Gk | #2\|#SE-LF-1 | pGr | 17.36 | 0.74 |
| | Gk | #2\|BS-Gk | pGr | 3.64 | 2.61 |
| | Gk | #2\|LF-1 | pGr | 41.91 | 20.42 |
| | Gk | #3\|BS-Gk | pGr | 0.04 | -0.09 |
| | Gk | #3\|LF-1 | pGr | -2.04 | 4.23 |
| | Qk.N | #1\|BS-Qk.N | pGr | 0.01 | -0.02 |
| | Qk.N | #1\|(D-EG)-1 | pGr | 0.50 | 0.07 |
| | Qk.N | #1\|(D-EG)-2 | pGr | 0.45 | -2.29 |
| | Qk.N | #1\|(D-EG)-3 | pGr | 0.10 | -0.35 |
| | Qk.N | #1\|(D-EG)-4 | pGr | 0.08 | -0.32 |
| | Qk.N | #1\|(D-EG)-5 | pGr | 0.45 | -2.30 |
| | Qk.N | #1\|(D-EG)-6 | pGr | 0.50 | 0.07 |
| | Qk.N | #1\|(D-EG)-7 | pGr | 9.88 | -2.92 |
| | Qk.N | #1\|(D-EG)-8 | pGr | 0.10 | -0.26 |
| | Qk.N | #1\|(D-EG)-9 | pGr | -1.50 | 8.70 |
| | Qk.N | #1\|(D-EG-BO)-1 | pGr | 0.16 | -0.06 |
| | Qk.N | #1\|(D-EG-BU)-1 | pGr | 0.16 | -0.07 |
| | Qk.N | #2\|#SE-LF-2 | pGr | 0.02 | -0.12 |
| | Qk.N | #2\|BS-Qk.N | pGr | 1.88 | 1.81 |



durch Vergleichsrechnung geprüft

| Position | EW | Lastfall | Art | $p_A$ | $p_E$ [kN/m] |
|---|---|---|---|---|---|
| | Qk.N | #2\|(D-009)-1 | pGr | -0.10 | 0.20 |
| | Qk.N | #2\|(D-01)-1 | pGr | 0.19 | -0.58 |
| | Qk.N | #2\|(D-01)-2 | pGr | -1.19 | 8.04 |
| | Qk.N | #2\|(D-01)-3 | pGr | 0.16 | -0.52 |
| | Qk.N | #2\|(D-01)-4 | pGr | 0.30 | -1.74 |
| | Qk.N | #2\|(D-01)-5 | pGr | 9.59 | -2.76 |
| | Qk.N | #2\|(D-01)-6 | pGr | 0.52 | -0.10 |
| | Qk.N | #2\|(D-01)-7 | pGr | -0.17 | 0.33 |
| | Qk.N | #2\|(D-01)-8 | pGr | 0.30 | -1.75 |
| | Qk.N | #2\|(D-01)-9 | pGr | 0.52 | -0.10 |
| | Qk.N | #2\|(D-01-BO)-1 | pGr | 0.03 | 0.06 |
| | Qk.N | #2\|(D-01-BU)-1 | pGr | 0.04 | 0.04 |
| | Qk.N | #3\|#SE-LF-2 | pGr | 0.06 | -0.13 |
| | Qk.N | #3\|BS-Qk.N | pGr | 0.01 | -0.02 |
| | Qk.N | #3\|(D-009)-3 | pGr | -0.05 | 0.10 |
| | Qk.N | #3\|(D-009)-4 | pGr | -0.05 | 0.10 |
| | Qk.S | #2\|BS-Qk.S | pGr | -0.05 | -0.26 |
| | Qk.S | #2\|(Qk.S)-A | pGr | 1.61 | 1.19 |
| | Qk.S | #2\|(Qk.S)-B | pGr | 1.11 | 0.95 |
| | Qk.S | #2\|(Qk.S)-C | pGr | 1.30 | 0.84 |
| | Qk.S | #3\|BS-Qk.S | pGr | 0.00 | -0.01 |
| | Qk.S | #3\|(Qk.S)-A | pGr | 0.01 | -0.03 |
| | Qk.S | #3\|(Qk.S)-B | pGr | 0.01 | -0.02 |
| | Qk.S | #3\|(Qk.S)-C | pGr | 0.01 | -0.02 |
| | Qk.W | #2\|(Qk.W)-000 | pGr | 0.24 | -0.17 |
| | Qk.W | #2\|(Qk.W)-090 | pGr | -1.71 | -0.99 |
| | Qk.W | #2\|(Qk.W)-180 | pGr | -0.40 | 0.12 |
| | Qk.W | #2\|(Qk.W)-270 | pGr | -0.75 | -0.76 |
| | Qk.W | #3\|(Qk.W)-090 | pGr | -0.01 | 0.03 |
| | Qk.W | #3\|(Qk.W)-270 | pGr | -0.01 | 0.02 |
| 02-EG | Gk | #1\|#SE-LF-1 | pGr | -0.04 | 0.01 |
| | Gk | #1\|BS-Gk | pGr | -2.15 | 12.70 |
| (g1) | Gk | #1\|LF-1 | pGr | 13.87 | 13.87 |
| | Gk | #1\|LF-1 | pGr | 76.18 | -12.69 |
| | Gk | #2\|#SE-LF-1 | pGr | 8.70 | 8.09 |
| | Gk | #2\|BS-Gk | pGr | 11.06 | 15.03 |
| | Gk | #2\|LF-1 | pGr | 99.55 | 36.35 |
| | Gk | #3\|BS-Gk | pGr | 1.41 | 1.89 |
| | Gk | #3\|LF-1 | pGr | 20.39 | 23.52 |
| | Qk.N | #1\|BS-Qk.N | pGr | -0.74 | 4.36 |
| | Qk.N | #1\|(D-EG)-1 | pGr | -0.14 | 0.08 |
| | Qk.N | #1\|(D-EG)-2 | pGr | -0.16 | 0.06 |
| | Qk.N | #1\|(D-EG)-3 | pGr | 18.76 | -1.74 |
| | Qk.N | #1\|(D-EG)-4 | pGr | -0.04 | 0.02 |
| | Qk.N | #1\|(D-EG)-5 | pGr | 8.61 | -3.58 |
| | Qk.N | #1\|(D-EG)-6 | pGr | 0.02 | -0.01 |
| | Qk.N | #1\|(D-EG)-8 | pGr | 1.45 | 0.37 |
| | Qk.N | #1\|(D-EG)-9 | pGr | -0.28 | 0.07 |
| | Qk.N | #1\|(D-EG-BU)-1 | pGr | -0.06 | 0.02 |
| | Qk.N | #2\|#SE-LF-2 | pGr | -0.11 | -0.22 |



durch Vergleichsrechnung geprüft

| Position | EW | Lastfall | Art | $p_A$ | $p_E$ [kN/m] |
|---|---|---|---|---|---|
| | Qk.N | #2\|BS-Qk.N | pGr | 3.07 | 5.46 |
| | Qk.N | #2\|(D-009)-1 | pGr | 0.52 | 0.70 |
| | Qk.N | #2\|(D-01)-1 | pGr | 15.03 | 1.71 |
| | Qk.N | #2\|(D-01)-2 | pGr | 0.13 | -0.14 |
| | Qk.N | #2\|(D-01)-3 | pGr | -0.06 | 0.10 |
| | Qk.N | #2\|(D-01)-4 | pGr | -0.08 | 0.03 |
| | Qk.N | #2\|(D-01)-7 | pGr | 1.64 | 0.15 |
| | Qk.N | #2\|(D-01)-8 | pGr | 7.89 | -3.26 |
| | Qk.N | #2\|(D-01)-9 | pGr | -0.17 | 0.08 |
| | Qk.N | #2\|(D-01-BU)-1 | pGr | -0.17 | 0.07 |
| | Qk.N | #3\|#SE-LF-2 | pGr | -0.10 | -0.26 |
| | Qk.N | #3\|BS-Qk.N | pGr | 0.30 | 0.41 |
| | Qk.N | #3\|(D-009)-1 | pGr | 0.01 | -0.03 |
| | Qk.N | #3\|(D-009)-2 | pGr | -0.21 | 0.85 |
| | Qk.N | #3\|(D-009)-3 | pGr | -0.02 | 0.00 |
| | Qk.N | #3\|(D-009)-4 | pGr | 0.71 | -0.06 |
| | Qk.S | #2\|BS-Qk.S | pGr | 5.98 | -1.49 |
| | Qk.S | #2\|(Qk.S)-A | pGr | 1.17 | 2.77 |
| | Qk.S | #2\|(Qk.S)-B | pGr | 0.58 | 1.35 |
| | Qk.S | #2\|(Qk.S)-C | pGr | 1.17 | 2.81 |
| | Qk.S | #3\|BS-Qk.S | pGr | 0.88 | 1.08 |
| | Qk.S | #3\|(Qk.S)-A | pGr | -0.04 | 0.03 |
| | Qk.S | #3\|(Qk.S)-B | pGr | -0.03 | 0.02 |
| | Qk.S | #3\|(Qk.S)-C | pGr | -0.03 | 0.02 |
| | Qk.W | #2\|(Qk.W)-000 | pGr | -0.39 | 2.24 |
| | Qk.W | #2\|(Qk.W)-090 | pGr | 0.18 | -5.73 |
| | Qk.W | #2\|(Qk.W)-180 | pGr | 0.64 | -2.33 |
| | Qk.W | #2\|(Qk.W)-270 | pGr | -0.54 | -2.04 |
| | Qk.W | #3\|(Qk.W)-000 | pGr | 0.01 | -0.02 |
| | Qk.W | #3\|(Qk.W)-090 | pGr | -0.04 | 0.14 |
| | Qk.W | #3\|(Qk.W)-180 | pGr | 0.01 | -0.01 |
| | Qk.W | #3\|(Qk.W)-270 | pGr | -0.02 | 0.07 |
| 03-EG | Gk | #1\|#SE-LF-1 | pGr | 0.01 | -0.04 |
| | Gk | #1\|BS-Gk | pGr | 0.62 | -0.28 |
| (g1) | Gk | #1\|LF-1 | pGr | 13.87 | 13.87 |
| | Gk | #1\|LF-1 | pGr | 12.17 | 68.54 |
| | Gk | #2\|#SE-LF-1 | pGr | 15.44 | 5.37 |
| | Gk | #2\|BS-Gk | pGr | 6.02 | 10.51 |
| | Gk | #2\|LF-1 | pGr | 54.88 | 96.32 |
| | Gk | #3\|BS-Gk | pGr | 1.97 | 1.44 |
| | Gk | #3\|LF-1 | pGr | 27.82 | 19.47 |
| | Qk.N | #1\|BS-Qk.N | pGr | 0.21 | -0.10 |
| | Qk.N | #1\|(D-EG)-1 | pGr | -0.01 | 0.02 |
| | Qk.N | #1\|(D-EG)-2 | pGr | -3.43 | 8.48 |
| | Qk.N | #1\|(D-EG)-3 | pGr | 0.04 | -0.04 |
| | Qk.N | #1\|(D-EG)-4 | pGr | 4.47 | 15.98 |
| | Qk.N | #1\|(D-EG)-5 | pGr | 0.06 | -0.16 |
| | Qk.N | #1\|(D-EG)-6 | pGr | 0.11 | -0.15 |
| | Qk.N | #1\|(D-EG)-8 | pGr | 3.16 | 1.58 |
| | Qk.N | #1\|(D-EG)-9 | pGr | 0.07 | -0.30 |



durch Vergleichsrechnung geprüft

| Position | EW | Lastfall | Art | $p_A$ | $p_E$ [kN/m] |
|---|---|---|---|---|---|
| | Qk.N | #1\|(D-EG-BO)-1 | pGr | 0.02 | -0.07 |
| | Qk.N | #2\|#SE-LF-2 | pGr | -0.19 | 0.03 |
| | Qk.N | #2\|BS-Qk.N | pGr | 2.39 | 2.94 |
| | Qk.N | #2\|(D-009)-1 | pGr | 0.93 | 0.58 |
| | Qk.N | #2\|(D-01)-1 | pGr | -0.12 | 0.05 |
| | Qk.N | #2\|(D-01)-2 | pGr | -0.15 | 0.12 |
| | Qk.N | #2\|(D-01)-3 | pGr | 5.29 | 13.69 |
| | Qk.N | #2\|(D-01)-4 | pGr | -2.95 | 7.70 |
| | Qk.N | #2\|(D-01)-6 | pGr | 0.08 | -0.17 |
| | Qk.N | #2\|(D-01)-7 | pGr | 3.17 | 1.66 |
| | Qk.N | #2\|(D-01)-8 | pGr | 0.02 | -0.08 |
| | Qk.N | #2\|(D-01-BO)-1 | pGr | 0.08 | -0.19 |
| | Qk.N | #3\|#SE-LF-2 | pGr | -0.22 | 0.06 |
| | Qk.N | #3\|BS-Qk.N | pGr | 0.44 | 0.31 |
| | Qk.N | #3\|(D-009)-1 | pGr | 1.12 | -0.28 |
| | Qk.N | #3\|(D-009)-2 | pGr | 0.02 | -0.02 |
| | Qk.N | #3\|(D-009)-3 | pGr | -0.03 | 0.83 |
| | Qk.N | #3\|(D-009)-4 | pGr | 0.00 | -0.02 |
| | Qk.S | #2\|BS-Qk.S | pGr | -1.21 | 5.23 |
| | Qk.S | #2\|(Qk.S)-A | pGr | 3.88 | 0.64 |
| | Qk.S | #2\|(Qk.S)-B | pGr | 1.90 | 0.32 |
| | Qk.S | #2\|(Qk.S)-C | pGr | 3.92 | 0.64 |
| | Qk.S | #3\|BS-Qk.S | pGr | 1.07 | 0.89 |
| | Qk.S | #3\|(Qk.S)-A | pGr | 0.07 | -0.03 |
| | Qk.S | #3\|(Qk.S)-B | pGr | 0.05 | -0.03 |
| | Qk.S | #3\|(Qk.S)-C | pGr | 0.05 | -0.03 |
| | Qk.W | #2\|(Qk.W)-000 | pGr | 2.91 | -0.72 |
| | Qk.W | #2\|(Qk.W)-090 | pGr | -7.52 | 1.03 |
| | Qk.W | #2\|(Qk.W)-180 | pGr | -3.01 | 0.98 |
| | Qk.W | #2\|(Qk.W)-270 | pGr | -2.76 | -0.20 |
| | Qk.W | #3\|(Qk.W)-000 | pGr | -0.03 | 0.01 |
| | Qk.W | #3\|(Qk.W)-090 | pGr | 0.27 | -0.14 |
| | Qk.W | #3\|(Qk.W)-180 | pGr | -0.03 | 0.01 |
| | Qk.W | #3\|(Qk.W)-270 | pGr | 0.13 | -0.07 |
| 04-EG | Gk | #1\|#SE-LF-1 | pGr | -0.01 | 0.02 |
| | Gk | #1\|BS-Gk | pGr | -4.07 | 9.81 |
| (g1) | Gk | #1\|LF-1 | pGr | 18.06 | 18.06 |
| | Gk | #1\|LF-1 | pGr | 13.65 | -23.44 |
| | Gk | #2\|#SE-LF-1 | pGr | 1.23 | -4.73 |
| | Gk | #2\|BS-Gk | pGr | -1.32 | 6.41 |
| | Gk | #2\|LF-1 | pGr | 51.88 | 34.14 |
| | Gk | #3\|BS-Gk | pGr | -0.06 | 1.17 |
| | Gk | #3\|LF-1 | pGr | 27.57 | 28.14 |
| | Qk.N | #1\|BS-Qk.N | pGr | -1.40 | 3.37 |
| | Qk.N | #1\|(D-EG)-1 | pGr | 0.02 | -0.03 |
| | Qk.N | #1\|(D-EG)-2 | pGr | 0.01 | -0.02 |
| | Qk.N | #1\|(D-EG)-3 | pGr | 4.54 | -9.38 |
| | Qk.N | #1\|(D-EG)-4 | pGr | -0.02 | -0.01 |
| | Qk.N | #1\|(D-EG)-5 | pGr | 0.88 | -1.72 |



durch Vergleichsrechnung geprüft

| Position | EW | Lastfall | Art | $p_A$ | $p_E$ [kN/m] |
|---|---|---|---|---|---|
| | Qk.N | #1\|(D-EG)-8 | pGr | -0.46 | 2.59 |
| | Qk.N | #1\|(D-EG)-9 | pGr | 0.09 | -0.13 |
| | Qk.N | #1\|(D-EG-BU)-1 | pGr | -0.01 | 0.02 |
| | Qk.N | #2\|#SE-LF-2 | pGr | 2.96 | 2.58 |
| | Qk.N | #2\|BS-Qk.N | pGr | -0.48 | 2.17 |
| | Qk.N | #2\|(D-009)-1 | pGr | 1.59 | 1.44 |
| | Qk.N | #2\|(D-01)-1 | pGr | 1.67 | -5.94 |
| | Qk.N | #2\|(D-01)-2 | pGr | 0.05 | -0.13 |
| | Qk.N | #2\|(D-01)-3 | pGr | -0.22 | 0.81 |
| | Qk.N | #2\|(D-01)-4 | pGr | -0.12 | 0.26 |
| | Qk.N | #2\|(D-01)-7 | pGr | -0.10 | 2.04 |
| | Qk.N | #2\|(D-01)-8 | pGr | 0.55 | -1.63 |
| | Qk.N | #2\|(D-01)-9 | pGr | -0.01 | 0.02 |
| | Qk.N | #2\|(D-01-BU)-1 | pGr | -0.01 | 0.04 |
| | Qk.N | #3\|#SE-LF-2 | pGr | 2.99 | 2.47 |
| | Qk.N | #3\|BS-Qk.N | pGr | -0.02 | 0.26 |
| | Qk.N | #3\|(D-009)-1 | pGr | -0.21 | 0.00 |
| | Qk.N | #3\|(D-009)-2 | pGr | 1.79 | -0.23 |
| | Qk.N | #3\|(D-009)-3 | pGr | 0.05 | -0.33 |
| | Qk.N | #3\|(D-009)-4 | pGr | -0.10 | 2.04 |
| | Qk.S | #2\|BS-Qk.S | pGr | 0.16 | -0.56 |
| | Qk.S | #2\|(Qk.S)-A | pGr | -0.05 | 0.50 |
| | Qk.S | #2\|(Qk.S)-B | pGr | -0.03 | 0.38 |
| | Qk.S | #2\|(Qk.S)-C | pGr | -0.04 | 0.37 |
| | Qk.S | #3\|BS-Qk.S | pGr | -0.01 | 0.08 |
| | Qk.S | #3\|(Qk.S)-A | pGr | -0.02 | 0.50 |
| | Qk.S | #3\|(Qk.S)-B | pGr | -0.02 | 0.37 |
| | Qk.S | #3\|(Qk.S)-C | pGr | -0.02 | 0.37 |
| | Qk.W | #2\|(Qk.W)-090 | pGr | -0.02 | -0.49 |
| | Qk.W | #2\|(Qk.W)-180 | pGr | 0.01 | -0.03 |
| | Qk.W | #2\|(Qk.W)-270 | pGr | -0.01 | -0.30 |
| | Qk.W | #3\|(Qk.W)-000 | pGr | 0.00 | -0.01 |
| | Qk.W | #3\|(Qk.W)-090 | pGr | -0.05 | -0.47 |
| | Qk.W | #3\|(Qk.W)-180 | pGr | 0.01 | -0.01 |
| | Qk.W | #3\|(Qk.W)-270 | pGr | -0.02 | -0.29 |
| 05-EG | Gk | #1\|#SE-LF-1 | pGr | 0.00 | 0.01 |
| | Gk | #1\|BS-Gk | pGr | 2.32 | -3.47 |
| (g1) | Gk | #1\|LF-1 | pGr | 18.06 | 18.06 |
| | Gk | #1\|LF-1 | pGr | 4.11 | -0.74 |
| | Gk | #2\|#SE-LF-1 | pGr | -1.16 | -5.99 |
| | Gk | #2\|BS-Gk | pGr | 4.48 | 3.14 |
| | Gk | #2\|LF-1 | pGr | 46.61 | 60.22 |
| | Gk | #3\|BS-Gk | pGr | 1.87 | 5.82 |
| | Gk | #3\|LF-1 | pGr | 28.14 | 42.62 |
| | Qk.N | #1\|BS-Qk.N | pGr | 0.80 | -1.19 |
| | Qk.N | #1\|(D-EG)-1 | pGr | -0.05 | 0.03 |
| | Qk.N | #1\|(D-EG)-2 | pGr | 1.01 | -1.93 |
| | Qk.N | #1\|(D-EG)-3 | pGr | -4.33 | 3.02 |
| | Qk.N | #1\|(D-EG)-4 | pGr | 5.16 | -9.85 |
| | Qk.N | #1\|(D-EG)-5 | pGr | -1.07 | 0.67 |



durch Vergleichsrechnung geprüft

| Position | EW | Lastfall | Art | $p_A$ | $p_E$ [kN/m] |
|---|---|---|---|---|---|
| | Qk.N | #1\|(D-EG)-6 | pGr | 0.04 | -0.07 |
| | Qk.N | #1\|(D-EG)-8 | pGr | 0.98 | 8.26 |
| | Qk.N | #1\|(D-EG)-9 | pGr | -0.22 | -0.40 |
| | Qk.N | #1\|(D-EG-BO)-1 | pGr | -0.01 | 0.03 |
| | Qk.N | #1\|(D-EG-BU)-1 | pGr | 0.01 | -0.01 |
| | Qk.N | #2\|#SE-LF-2 | pGr | 2.77 | 5.20 |
| | Qk.N | #2\|BS-Qk.N | pGr | 1.35 | 0.49 |
| | Qk.N | #2\|(D-009)-1 | pGr | 1.51 | 3.71 |
| | Qk.N | #2\|(D-01)-1 | pGr | -4.48 | 2.45 |
| | Qk.N | #2\|(D-01)-2 | pGr | -0.14 | -0.38 |
| | Qk.N | #2\|(D-01)-3 | pGr | 3.17 | -8.01 |
| | Qk.N | #2\|(D-01)-4 | pGr | 1.15 | -2.64 |
| | Qk.N | #2\|(D-01)-5 | pGr | 0.01 | 0.03 |
| | Qk.N | #2\|(D-01)-6 | pGr | -0.02 | 0.03 |
| | Qk.N | #2\|(D-01)-7 | pGr | 1.70 | 7.99 |
| | Qk.N | #2\|(D-01)-8 | pGr | -1.77 | 0.99 |
| | Qk.N | #2\|(D-01)-9 | pGr | 0.02 | -0.02 |
| | Qk.N | #2\|(D-01-BO)-1 | pGr | -0.03 | 0.08 |
| | Qk.N | #2\|(D-01-BU)-1 | pGr | 0.05 | -0.03 |
| | Qk.N | #3\|#SE-LF-2 | pGr | 2.45 | 5.78 |
| | Qk.N | #3\|BS-Qk.N | pGr | 0.42 | 1.31 |
| | Qk.N | #3\|(D-009)-1 | pGr | -0.10 | 0.26 |
| | Qk.N | #3\|(D-009)-2 | pGr | -0.09 | -0.04 |
| | Qk.N | #3\|(D-009)-3 | pGr | -0.52 | 3.71 |
| | Qk.N | #3\|(D-009)-4 | pGr | 2.17 | 0.00 |
| | Qk.S | #2\|BS-Qk.S | pGr | -0.28 | -0.25 |
| | Qk.S | #2\|(Qk.S)-A | pGr | 1.01 | 2.53 |
| | Qk.S | #2\|(Qk.S)-B | pGr | 0.74 | 1.91 |
| | Qk.S | #2\|(Qk.S)-C | pGr | 0.77 | 1.88 |
| | Qk.S | #3\|BS-Qk.S | pGr | -0.01 | 0.02 |
| | Qk.S | #3\|(Qk.S)-A | pGr | 0.90 | 2.76 |
| | Qk.S | #3\|(Qk.S)-B | pGr | 0.67 | 2.07 |
| | Qk.S | #3\|(Qk.S)-C | pGr | 0.67 | 2.07 |
| | Qk.W | #2\|(Qk.W)-000 | pGr | 0.00 | -0.12 |
| | Qk.W | #2\|(Qk.W)-090 | pGr | -0.89 | -2.29 |
| | Qk.W | #2\|(Qk.W)-180 | pGr | -0.06 | -0.04 |
| | Qk.W | #2\|(Qk.W)-270 | pGr | -0.55 | -1.45 |
| | Qk.W | #3\|(Qk.W)-000 | pGr | -0.03 | -0.09 |
| | Qk.W | #3\|(Qk.W)-090 | pGr | -0.77 | -2.54 |
| | Qk.W | #3\|(Qk.W)-180 | pGr | -0.03 | -0.09 |
| | Qk.W | #3\|(Qk.W)-270 | pGr | -0.48 | -1.59 |
| 06-EG | Gk | #1\|BS-Gk | pGr | 21.15 | -9.00 |
| (g1) | Gk | #1\|LF-1 | pGr | 18.06 | 18.06 |
| | Gk | #1\|LF-1 | pGr | 6.10 | 0.71 |
| | Gk | #2\|#SE-LF-1 | pGr | -0.51 | 1.23 |
| | Gk | #2\|BS-Gk | pGr | 0.44 | -0.14 |
| | Gk | #2\|LF-1 | pGr | 45.70 | 53.58 |



durch Vergleichsrechnung geprüft

| Position | EW | Lastfall | Art | $p_A$ | $p_E$ [kN/m] |
|---|---|---|---|---|---|
| | Gk | #3\|BS-Gk | pGr | 0.65 | 0.17 |
| | Gk | #3\|LF-1 | pGr | 38.56 | 25.63 |
| | Qk.N | #1\|BS-Qk.N | pGr | 7.26 | -3.09 |
| | Qk.N | #1\|(D-EG)-2 | pGr | 0.09 | -0.02 |
| | Qk.N | #1\|(D-EG)-3 | pGr | -0.01 | -0.04 |
| | Qk.N | #1\|(D-EG)-4 | pGr | -1.06 | 1.04 |
| | Qk.N | #1\|(D-EG)-5 | pGr | 0.01 | -0.01 |
| | Qk.N | #1\|(D-EG)-8 | pGr | 3.25 | -0.70 |
| | Qk.N | #2\|#SE-LF-2 | pGr | 2.53 | 3.68 |
| | Qk.N | #2\|BS-Qk.N | pGr | 0.17 | -0.13 |
| | Qk.N | #2\|(D-009)-1 | pGr | 1.79 | 1.69 |
| | Qk.N | #2\|(D-01)-1 | pGr | -0.51 | 0.76 |
| | Qk.N | #2\|(D-01)-2 | pGr | 0.02 | -0.01 |
| | Qk.N | #2\|(D-01)-3 | pGr | -3.22 | 1.72 |
| | Qk.N | #2\|(D-01)-4 | pGr | -0.17 | 0.13 |
| | Qk.N | #2\|(D-01)-7 | pGr | 4.19 | -0.97 |
| | Qk.N | #2\|(D-01)-8 | pGr | -0.07 | 0.18 |
| | Qk.N | #3\|#SE-LF-2 | pGr | 4.03 | 3.05 |
| | Qk.N | #3\|BS-Qk.N | pGr | 0.16 | 0.04 |
| | Qk.N | #3\|(D-009)-1 | pGr | 2.55 | -0.50 |
| | Qk.N | #3\|(D-009)-2 | pGr | -0.03 | 2.06 |
| | Qk.N | #3\|(D-009)-3 | pGr | 0.35 | -0.16 |
| | Qk.N | #3\|(D-009)-4 | pGr | 0.01 | -0.07 |
| | Qk.S | #2\|BS-Qk.S | pGr | -0.23 | 0.17 |
| | Qk.S | #2\|(Qk.S)-A | pGr | 0.30 | 0.06 |
| | Qk.S | #2\|(Qk.S)-B | pGr | 0.21 | 0.07 |
| | Qk.S | #2\|(Qk.S)-C | pGr | 0.24 | 0.03 |
| | Qk.S | #3\|BS-Qk.S | pGr | 0.01 | -0.02 |
| | Qk.S | #3\|(Qk.S)-A | pGr | 0.30 | 0.10 |
| | Qk.S | #3\|(Qk.S)-B | pGr | 0.23 | 0.08 |
| | Qk.S | #3\|(Qk.S)-C | pGr | 0.23 | 0.08 |
| | Qk.W | #2\|(Qk.W)-000 | pGr | 0.00 | -0.05 |
| | Qk.W | #2\|(Qk.W)-090 | pGr | 0.24 | 0.03 |
| | Qk.W | #2\|(Qk.W)-180 | pGr | -0.09 | 0.04 |
| | Qk.W | #2\|(Qk.W)-270 | pGr | 0.11 | -0.01 |
| | Qk.W | #3\|(Qk.W)-000 | pGr | -0.04 | -0.01 |
| | Qk.W | #3\|(Qk.W)-090 | pGr | 0.13 | 0.00 |
| | Qk.W | #3\|(Qk.W)-180 | pGr | -0.04 | -0.01 |
| | Qk.W | #3\|(Qk.W)-270 | pGr | 0.03 | -0.01 |
| EG-01.1 | Gk | #1\|#SE-LF-1 | pGr | 5.20 | 9.86 |
| (g1) | Gk | #1\|LF-1 | pGr | 6.33 | 6.33 |
| | Gk | #1\|LF-1 | pGr | 23.23 | 37.98 |
| | Gk | #2\|#SE-LF-1 | pGr | 5.41 | 5.49 |
| | Gk | #2\|BS-Gk | pGr | 0.12 | 0.00 |
| | Gk | #2\|LF-1 | pGr | 28.85 | 25.62 |
| | Qk.N | #1\|(D-EG)-1 | pGr | 0.02 | 0.00 |
| | Qk.N | #1\|(D-EG)-2 | pGr | -1.04 | 0.45 |
| | Qk.N | #1\|(D-EG)-4 | pGr | 0.02 | -0.04 |
| | Qk.N | #1\|(D-EG)-6 | pGr | 3.26 | 0.60 |
| | Qk.N | #1\|(D-EG)-7 | pGr | -0.10 | -0.01 |
| | Qk.N | #1\|(D-EG)-9 | pGr | 0.02 | 0.01 |



durch Vergleichsrechnung geprüft

| Position | EW | Lastfall | Art | $p_A$ | $p_E$ [kN/m] |
|---|---|---|---|---|---|
| | Qk.N | #1\|(D-EG-BO)-1 | pGr | 9.52 | 19.31 |
| | Qk.N | #2\|#SE-LF-2 | pGr | 1.16 | 0.69 |
| | Qk.N | #2\|(D-01)-2 | pGr | 0.00 | 0.03 |
| | Qk.N | #2\|(D-01)-3 | pGr | 0.01 | -0.12 |
| | Qk.N | #2\|(D-01)-4 | pGr | -0.94 | -0.08 |
| | Qk.N | #2\|(D-01)-5 | pGr | -0.04 | -0.02 |
| | Qk.N | #2\|(D-01)-6 | pGr | 2.95 | 1.32 |
| | Qk.N | #2\|(D-01-BO)-1 | pGr | 10.40 | 10.38 |
| | Qk.S | #2\|BS-Qk.S | pGr | 0.01 | -0.03 |
| | Qk.S | #2\|(Qk.S)-A | pGr | 0.07 | 0.02 |
| | Qk.S | #2\|(Qk.S)-B | pGr | 0.03 | 0.01 |
| | Qk.S | #2\|(Qk.S)-C | pGr | 0.07 | 0.02 |
| | Qk.W | #2\|(Qk.W)-000 | pGr | -0.02 | 0.00 |
| | Qk.W | #2\|(Qk.W)-090 | pGr | -0.05 | -0.02 |
| | Qk.W | #2\|(Qk.W)-180 | pGr | 0.03 | 0.00 |
| | Qk.W | #2\|(Qk.W)-270 | pGr | -0.03 | -0.01 |
| EG-01.3 | Gk | #1\|#SE-LF-1 | pGr | 10.21 | -3.04 |
| (g1) | Gk | #1\|LF-1 | pGr | 6.33 | 6.33 |
| | Gk | #1\|LF-1 | pGr | 38.60 | 35.39 |
| | Gk | #2\|#SE-LF-1 | pGr | 15.94 | 16.99 |
| | Gk | #2\|BS-Gk | pGr | -0.05 | 0.36 |
| | Gk | #2\|LF-1 | pGr | 38.23 | 44.94 |
| | Qk.N | #1\|(D-EG)-1 | pGr | 0.00 | 0.01 |
| | Qk.N | #1\|(D-EG)-2 | pGr | 7.77 | 14.80 |
| | Qk.N | #1\|(D-EG)-4 | pGr | -0.25 | 2.16 |
| | Qk.N | #1\|(D-EG)-5 | pGr | -0.01 | -0.03 |
| | Qk.N | #1\|(D-EG)-6 | pGr | -1.92 | -0.82 |
| | Qk.N | #1\|(D-EG)-7 | pGr | -0.04 | -0.07 |
| | Qk.N | #1\|(D-EG)-8 | pGr | 0.00 | -0.04 |
| | Qk.N | #1\|(D-EG)-9 | pGr | -0.04 | -0.10 |
| | Qk.N | #1\|(D-EG-BO)-1 | pGr | 12.99 | -4.16 |
| | Qk.N | #2\|#SE-LF-2 | pGr | 0.22 | 0.17 |
| | Qk.N | #2\|BS-Qk.N | pGr | -0.05 | 0.03 |
| | Qk.N | #2\|(D-01)-1 | pGr | -0.01 | -0.01 |
| | Qk.N | #2\|(D-01)-2 | pGr | -0.09 | -0.13 |
| | Qk.N | #2\|(D-01)-3 | pGr | 0.02 | 1.39 |
| | Qk.N | #2\|(D-01)-4 | pGr | 10.28 | 13.31 |
| | Qk.N | #2\|(D-01)-5 | pGr | -0.12 | -0.07 |
| | Qk.N | #2\|(D-01)-6 | pGr | -2.52 | -1.08 |
| | Qk.N | #2\|(D-01)-7 | pGr | 0.00 | -0.02 |
| | Qk.N | #2\|(D-01)-8 | pGr | -0.02 | -0.03 |
| | Qk.N | #2\|(D-01)-9 | pGr | 0.01 | 0.01 |
| | Qk.N | #2\|(D-01-BO)-1 | pGr | 6.64 | 1.46 |
| | Qk.S | #2\|BS-Qk.S | pGr | -0.04 | 0.08 |
| | Qk.S | #2\|(Qk.S)-A | pGr | -0.09 | -0.04 |
| | Qk.S | #2\|(Qk.S)-B | pGr | -0.05 | -0.02 |
| | Qk.S | #2\|(Qk.S)-C | pGr | -0.09 | -0.04 |
| | Qk.W | #2\|(Qk.W)-000 | pGr | -0.01 | -0.01 |
| | Qk.W | #2\|(Qk.W)-090 | pGr | 0.11 | 0.05 |




durch Vergleichsrechnung geprüft

| Position | EW | Lastfall | Art | $p_A$ | $p_E$ [kN/m] |
|---|---|---|---|---|---|
| | Qk.W | #2\|(Qk.W)-270 | pGr | 0.05 | 0.02 |
| EG-01.5 | Gk | #1\|#SE-LF-1 | pGr | -0.19 | 0.09 |
| | Gk | #1\|BS-Gk | pGr | -0.02 | 0.02 |
| (g1) | Gk | #1\|LF-1 | pGr | 6.33 | 6.33 |
| | Gk | #1\|LF-1 | pGr | 29.37 | 1.41 |
| | Gk | #2\|#SE-LF-1 | pGr | 10.90 | -3.18 |
| | Gk | #2\|BS-Gk | pGr | 1.23 | 0.02 |
| | Gk | #2\|LF-1 | pGr | 37.53 | 4.28 |
| | Gk | #3\|LF-1 | pGr | -0.03 | 0.03 |
| | Qk.N | #1\|(D-EG)-2 | pGr | 5.24 | -2.10 |
| | Qk.N | #1\|(D-EG)-4 | pGr | 6.07 | 2.42 |
| | Qk.N | #1\|(D-EG)-5 | pGr | -0.02 | 0.01 |
| | Qk.N | #1\|(D-EG)-6 | pGr | -0.13 | 0.08 |
| | Qk.N | #1\|(D-EG)-7 | pGr | -0.01 | 0.01 |
| | Qk.N | #1\|(D-EG)-8 | pGr | -0.06 | 0.01 |
| | Qk.N | #1\|(D-EG)-9 | pGr | -0.06 | 0.02 |
| | Qk.N | #1\|(D-EG-BO)-1 | pGr | -0.25 | 0.12 |
| | Qk.N | #2\|BS-Qk.N | pGr | 0.23 | 0.01 |
| | Qk.N | #2\|(D-01)-2 | pGr | -0.06 | 0.02 |
| | Qk.N | #2\|(D-01)-3 | pGr | 6.73 | 1.35 |
| | Qk.N | #2\|(D-01)-4 | pGr | 5.31 | -2.17 |
| | Qk.N | #2\|(D-01)-6 | pGr | -0.01 | 0.02 |
| | Qk.N | #2\|(D-01)-7 | pGr | -0.08 | 0.03 |
| | Qk.N | #2\|(D-01)-8 | pGr | -0.01 | 0.00 |
| | Qk.N | #2\|(D-01-BO)-1 | pGr | -0.32 | 0.14 |
| | Qk.S | #2\|BS-Qk.S | pGr | 0.61 | 0.02 |
| | Qk.S | #2\|(Qk.S)-A | pGr | -0.02 | 0.01 |
| | Qk.S | #2\|(Qk.S)-C | pGr | -0.02 | 0.01 |
| | Qk.W | #2\|(Qk.W)-090 | pGr | 0.02 | -0.02 |
| EG-02.1 | Gk | #1\|BS-Gk | pGr | 0.08 | -0.22 |
| (g1) | Gk | #1\|LF-1 | pGr | 6.33 | 6.33 |
| | Gk | #1\|LF-1 | pGr | -3.03 | 26.00 |
| | Gk | #2\|#SE-LF-1 | pGr | -4.48 | 20.55 |
| | Gk | #2\|BS-Gk | pGr | -0.22 | 0.90 |
| | Gk | #2\|LF-1 | pGr | 1.59 | 39.66 |
| | Gk | #3\|LF-1 | pGr | 0.15 | -0.59 |
| | Qk.N | #1\|BS-Qk.N | pGr | 0.03 | -0.08 |
| | Qk.N | #1\|(D-EG)-2 | pGr | 0.17 | -0.96 |
| | Qk.N | #1\|(D-EG)-4 | pGr | -1.35 | 10.75 |
| | Qk.N | #1\|(D-EG)-6 | pGr | -0.01 | 0.03 |
| | Qk.N | #1\|(D-EG)-8 | pGr | 0.08 | -0.25 |
| | Qk.N | #1\|(D-EG)-9 | pGr | 0.00 | 0.03 |
| | Qk.N | #1\|(D-EG-BO)-1 | pGr | 0.00 | 0.01 |
| | Qk.N | #2\|BS-Qk.N | pGr | -0.03 | 0.12 |
| | Qk.N | #2\|(D-009)-1 | pGr | 0.01 | -0.02 |
| | Qk.N | #2\|(D-01)-1 | pGr | -0.01 | 0.02 |
| | Qk.N | #2\|(D-01)-2 | pGr | 0.01 | 0.00 |
| | Qk.N | #2\|(D-01)-3 | pGr | -0.88 | 12.51 |
| | Qk.N | #2\|(D-01)-4 | pGr | -0.92 | 0.33 |
| | Qk.N | #2\|(D-01)-6 | pGr | 0.00 | 0.01 |
| | Qk.N | #2\|(D-01)-7 | pGr | 0.10 | -0.35 |
| | Qk.N | #2\|(D-01-BO)-1 | pGr | 0.05 | -0.02 |
| | Qk.N | #3\|(D-009)-1 | pGr | 0.01 | -0.04 |



durch Vergleichsrechnung geprüft

| Position | EW | Lastfall | Art | $p_A$ | $p_E$ [kN/m] |
|---|---|---|---|---|---|
| | Qk.S | #2\|BS-Qk.S | pGr | -0.15 | 0.68 |
| | Qk.S | #2\|(Qk.S)-A | pGr | 0.04 | -0.18 |
| | Qk.S | #2\|(Qk.S)-B | pGr | 0.02 | -0.09 |
| | Qk.S | #2\|(Qk.S)-C | pGr | 0.04 | -0.18 |
| | Qk.S | #3\|BS-Qk.S | pGr | 0.00 | 0.01 |
| | Qk.S | #3\|(Qk.S)-A | pGr | 0.00 | -0.01 |
| | Qk.W | #2\|(Qk.W)-000 | pGr | 0.02 | -0.11 |
| | Qk.W | #2\|(Qk.W)-090 | pGr | -0.06 | 0.28 |
| | Qk.W | #2\|(Qk.W)-180 | pGr | -0.02 | 0.11 |
| | Qk.W | #2\|(Qk.W)-270 | pGr | -0.02 | 0.11 |
| | Qk.W | #3\|(Qk.W)-090 | pGr | 0.01 | -0.02 |
| | Qk.W | #3\|(Qk.W)-270 | pGr | 0.00 | -0.01 |
| EG-02.3 | Gk | #1\|BS-Gk | pGr | -1.46 | 0.48 |
| (g1) | Gk | #1\|LF-1 | pGr | 6.33 | 6.33 |
| | Gk | #1\|LF-1 | pGr | 18.11 | -3.77 |
| | Gk | #2\|#SE-LF-1 | pGr | 14.52 | 0.65 |
| | Gk | #2\|BS-Gk | pGr | 0.57 | 1.56 |
| | Gk | #2\|LF-1 | pGr | 20.58 | 4.60 |
| | Gk | #3\|BS-Gk | pGr | 0.08 | 0.25 |
| | Gk | #3\|LF-1 | pGr | -0.78 | 4.34 |
| | Qk.N | #1\|BS-Qk.N | pGr | -0.50 | 0.16 |
| | Qk.N | #1\|(D-EG)-2 | pGr | -0.78 | 0.20 |
| | Qk.N | #1\|(D-EG)-3 | pGr | -0.02 | 0.01 |
| | Qk.N | #1\|(D-EG)-4 | pGr | 8.38 | -2.20 |
| | Qk.N | #1\|(D-EG)-6 | pGr | 0.02 | -0.01 |
| | Qk.N | #1\|(D-EG)-8 | pGr | -0.94 | 0.61 |
| | Qk.N | #1\|(D-EG)-9 | pGr | 0.02 | -0.01 |
| | Qk.N | #1\|(D-EG-BO)-1 | pGr | 0.01 | 0.00 |
| | Qk.N | #2\|#SE-LF-2 | pGr | 0.04 | -0.04 |
| | Qk.N | #2\|BS-Qk.N | pGr | 0.15 | 0.63 |
| | Qk.N | #2\|(D-009)-1 | pGr | -0.06 | 0.16 |
| | Qk.N | #2\|(D-01)-1 | pGr | 0.17 | -0.09 |
| | Qk.N | #2\|(D-01)-3 | pGr | 6.29 | -0.63 |
| | Qk.N | #2\|(D-01)-4 | pGr | -0.21 | -0.33 |
| | Qk.N | #2\|(D-01)-6 | pGr | 0.01 | 0.01 |
| | Qk.N | #2\|(D-01)-7 | pGr | -0.57 | 0.51 |
| | Qk.N | #2\|(D-01-BO)-1 | pGr | 0.01 | 0.01 |
| | Qk.N | #3\|#SE-LF-2 | pGr | 0.03 | -0.06 |
| | Qk.N | #3\|BS-Qk.N | pGr | 0.01 | 0.06 |
| | Qk.N | #3\|(D-009)-1 | pGr | -0.06 | 0.19 |
| | Qk.N | #3\|(D-009)-2 | pGr | -0.04 | 0.02 |
| | Qk.S | #2\|BS-Qk.S | pGr | 0.22 | -0.23 |
| | Qk.S | #2\|(Qk.S)-A | pGr | 0.08 | 0.94 |
| | Qk.S | #2\|(Qk.S)-B | pGr | 0.03 | 0.47 |
| | Qk.S | #2\|(Qk.S)-C | pGr | 0.08 | 0.95 |
| | Qk.S | #3\|BS-Qk.S | pGr | 0.08 | 0.12 |
| | Qk.S | #3\|(Qk.S)-A | pGr | -0.02 | 0.02 |
| | Qk.S | #3\|(Qk.S)-B | pGr | -0.02 | 0.01 |
| | Qk.S | #3\|(Qk.S)-C | pGr | -0.02 | 0.01 |
| | Qk.W | #2\|(Qk.W)-000 | pGr | 0.09 | 0.62 |




durch Vergleichsrechnung geprüft

| Position | EW | Lastfall | Art | $p_A$ | $p_E$ [kN/m] |
|---|---|---|---|---|---|
| | Qk.W | #2\|(Qk.W)-090 | pGr | -0.31 | -1.62 |
| | Qk.W | #2\|(Qk.W)-180 | pGr | -0.07 | -0.63 |
| | Qk.W | #2\|(Qk.W)-270 | pGr | -0.13 | -0.63 |
| | Qk.W | #3\|(Qk.W)-090 | pGr | -0.08 | 0.08 |
| | Qk.W | #3\|(Qk.W)-270 | pGr | -0.04 | 0.04 |
| EG-02.5 | Gk | #1\|BS-Gk | pGr | 5.57 | -2.09 |
| (g1) | Gk | #1\|LF-1 | pGr | 6.33 | 6.33 |
| | Gk | #1\|LF-1 | pGr | -3.03 | 10.98 |
| | Gk | #2\|#SE-LF-1 | pGr | 7.57 | 7.87 |
| | Gk | #2\|BS-Gk | pGr | 1.06 | 2.63 |
| | Gk | #2\|LF-1 | pGr | 15.03 | 13.86 |
| | Gk | #3\|BS-Gk | pGr | 0.33 | 0.13 |
| | Gk | #3\|LF-1 | pGr | 13.46 | 1.11 |
| | Qk.N | #1\|BS-Qk.N | pGr | 1.91 | -0.72 |
| | Qk.N | #1\|(D-EG)-1 | pGr | -0.01 | 0.01 |
| | Qk.N | #1\|(D-EG)-2 | pGr | 0.04 | -0.02 |
| | Qk.N | #1\|(D-EG)-3 | pGr | -2.14 | 4.51 |
| | Qk.N | #1\|(D-EG)-4 | pGr | -0.86 | 0.38 |
| | Qk.N | #1\|(D-EG)-5 | pGr | 0.12 | -0.26 |
| | Qk.N | #1\|(D-EG)-8 | pGr | 1.74 | -0.58 |
| | Qk.N | #2\|#SE-LF-2 | pGr | -0.42 | 0.03 |
| | Qk.N | #2\|BS-Qk.N | pGr | 0.42 | 0.97 |
| | Qk.N | #2\|(D-009)-1 | pGr | 0.90 | -0.02 |
| | Qk.N | #2\|(D-01)-1 | pGr | -1.81 | 3.01 |
| | Qk.N | #2\|(D-01)-3 | pGr | -1.03 | 0.40 |
| | Qk.N | #2\|(D-01)-4 | pGr | -0.03 | 0.02 |
| | Qk.N | #2\|(D-01)-7 | pGr | 1.48 | -0.33 |
| | Qk.N | #2\|(D-01)-8 | pGr | 0.04 | -0.18 |
| | Qk.N | #3\|#SE-LF-2 | pGr | -0.35 | 0.00 |
| | Qk.N | #3\|BS-Qk.N | pGr | 0.09 | 0.03 |
| | Qk.N | #3\|(D-009)-1 | pGr | 0.51 | -0.13 |
| | Qk.N | #3\|(D-009)-2 | pGr | 0.31 | 0.14 |
| | Qk.N | #3\|(D-009)-3 | pGr | -0.03 | 0.01 |
| | Qk.S | #2\|BS-Qk.S | pGr | -0.22 | -0.05 |
| | Qk.S | #2\|(Qk.S)-A | pGr | 0.80 | 0.89 |
| | Qk.S | #2\|(Qk.S)-B | pGr | 0.45 | 0.43 |
| | Qk.S | #2\|(Qk.S)-C | pGr | 0.75 | 0.91 |
| | Qk.S | #3\|BS-Qk.S | pGr | 0.00 | 0.08 |
| | Qk.S | #3\|(Qk.S)-A | pGr | 0.15 | 0.00 |
| | Qk.S | #3\|(Qk.S)-B | pGr | 0.11 | 0.00 |
| | Qk.S | #3\|(Qk.S)-C | pGr | 0.11 | 0.00 |
| | Qk.W | #2\|(Qk.W)-000 | pGr | 0.28 | 0.61 |
| | Qk.W | #2\|(Qk.W)-090 | pGr | -0.22 | -1.73 |
| | Qk.W | #2\|(Qk.W)-180 | pGr | -0.43 | -0.58 |
| | Qk.W | #2\|(Qk.W)-270 | pGr | -0.03 | -0.70 |
| | Qk.W | #3\|(Qk.W)-000 | pGr | -0.05 | 0.00 |
| | Qk.W | #3\|(Qk.W)-090 | pGr | 0.53 | -0.02 |
| | Qk.W | #3\|(Qk.W)- | pGr | -0.05 | 0.00 |



durch Vergleichsrechnung geprüft

| Position | EW | Lastfall | Art | $p_A$ | $p_E$ [kN/m] |
|---|---|---|---|---|---|
| | | 180 | | | |
| | Qk.W | #3\|(Qk.W)-270 | pGr | 0.25 | -0.01 |
| EG-02.7 | Gk | #1\|BS-Gk | pGr | -0.14 | 0.03 |
| (g1) | Gk | #1\|LF-1 | pGr | 6.33 | 6.33 |
| | Gk | #1\|LF-1 | pGr | 33.04 | -5.20 |
| | Gk | #2\|#SE-LF-1 | pGr | 22.20 | -4.81 |
| | Gk | #2\|BS-Gk | pGr | 1.20 | -0.50 |
| | Gk | #2\|LF-1 | pGr | 45.05 | 0.27 |
| | Gk | #3\|LF-1 | pGr | -0.14 | 0.00 |
| | Qk.N | #1\|BS-Qk.N | pGr | -0.05 | 0.01 |
| | Qk.N | #1\|(D-EG)-1 | pGr | 0.04 | -0.01 |
| | Qk.N | #1\|(D-EG)-3 | pGr | 13.09 | -2.08 |
| | Qk.N | #1\|(D-EG)-5 | pGr | -0.89 | 0.15 |
| | Qk.N | #1\|(D-EG)-8 | pGr | -0.06 | 0.02 |
| | Qk.N | #1\|(D-EG)-9 | pGr | 0.03 | 0.00 |
| | Qk.N | #2\|BS-Qk.N | pGr | 0.22 | -0.11 |
| | Qk.N | #2\|(D-009)-1 | pGr | -0.01 | 0.00 |
| | Qk.N | #2\|(D-01)-1 | pGr | 14.02 | -1.22 |
| | Qk.N | #2\|(D-01)-2 | pGr | -0.01 | 0.01 |
| | Qk.N | #2\|(D-01)-3 | pGr | 0.03 | -0.01 |
| | Qk.N | #2\|(D-01)-7 | pGr | -0.09 | 0.03 |
| | Qk.N | #2\|(D-01)-8 | pGr | 0.49 | -0.97 |
| | Qk.N | #2\|(D-01)-9 | pGr | 0.01 | 0.00 |
| | Qk.N | #2\|(D-01-BU)-1 | pGr | -0.02 | 0.05 |
| | Qk.N | #3\|(D-009)-1 | pGr | -0.01 | 0.00 |
| | Qk.S | #2\|BS-Qk.S | pGr | 0.85 | -0.30 |
| | Qk.S | #2\|(Qk.S)-A | pGr | -0.06 | -0.01 |
| | Qk.S | #2\|(Qk.S)-B | pGr | -0.03 | 0.00 |
| | Qk.S | #2\|(Qk.S)-C | pGr | -0.06 | -0.01 |
| | Qk.W | #2\|(Qk.W)-000 | pGr | -0.04 | -0.01 |
| | Qk.W | #2\|(Qk.W)-090 | pGr | 0.09 | 0.02 |
| | Qk.W | #2\|(Qk.W)-180 | pGr | 0.04 | 0.01 |
| | Qk.W | #2\|(Qk.W)-270 | pGr | 0.04 | 0.01 |
| EG-03.1 | Gk | #1\|#SE-LF-1 | pGr | 0.08 | -0.18 |
| | Gk | #1\|BS-Gk | pGr | 0.00 | -0.05 |
| (g1) | Gk | #1\|LF-1 | pGr | 6.33 | 6.33 |
| | Gk | #1\|LF-1 | pGr | 0.93 | 30.60 |
| | Gk | #2\|#SE-LF-1 | pGr | -3.33 | 11.21 |
| | Gk | #2\|BS-Gk | pGr | -0.46 | 2.26 |
| | Gk | #2\|LF-1 | pGr | 3.80 | 38.61 |
| | Qk.N | #1\|BS-Qk.N | pGr | 0.00 | -0.02 |
| | Qk.N | #1\|(D-EG)-1 | pGr | 0.08 | -0.13 |
| | Qk.N | #1\|(D-EG)-2 | pGr | 0.01 | -0.02 |
| | Qk.N | #1\|(D-EG)-3 | pGr | 2.26 | 6.46 |
| | Qk.N | #1\|(D-EG)-5 | pGr | -2.11 | 5.26 |
| | Qk.N | #1\|(D-EG)-7 | pGr | 0.01 | -0.01 |
| | Qk.N | #1\|(D-EG)-8 | pGr | 0.00 | -0.03 |
| | Qk.N | #1\|(D-EG)-9 | pGr | 0.02 | -0.06 |
| | Qk.N | #1\|(D-EG-BU)-1 | pGr | 0.11 | -0.22 |
| | Qk.N | #2\|BS-Qk.N | pGr | -0.10 | 0.48 |
| | Qk.N | #2\|(D-01)-1 | pGr | 1.22 | 7.03 |
| | Qk.N | #2\|(D-01)-2 | pGr | 0.02 | -0.06 |



durch Vergleichsrechnung geprüft

| Position | EW | Lastfall | Art | $p_A$ | $p_E$ [kN/m] |
|---|---|---|---|---|---|
| | Qk.N | #2\|(D-O1)-4 | pGr | 0.00 | -0.01 |
| | Qk.N | #2\|(D-O1)-7 | pGr | 0.01 | -0.04 |
| | Qk.N | #2\|(D-O1)-8 | pGr | -2.19 | 5.35 |
| | Qk.N | #2\|(D-O1)-9 | pGr | 0.02 | -0.01 |
| | Qk.N | #2\|(D-O1-BU)-1 | pGr | 0.12 | -0.29 |
| | Qk.S | #2\|BS-Qk.S | pGr | -0.28 | 1.38 |
| | Qk.S | #2\|(Qk.S)-A | pGr | 0.01 | -0.01 |
| | Qk.S | #2\|(Qk.S)-C | pGr | 0.01 | -0.01 |
| | Qk.W | #2\|(Qk.W)-090 | pGr | -0.01 | 0.02 |
| EG-03.3 | Gk | #1\|#SE-LF-1 | pGr | -2.90 | 9.79 |
| | Gk | #1\|BS-Gk | pGr | -0.04 | 0.00 |
| (g1) | Gk | #1\|LF-1 | pGr | 6.33 | 6.33 |
| | Gk | #1\|LF-1 | pGr | 36.39 | 36.30 |
| | Gk | #2\|#SE-LF-1 | pGr | 16.95 | 15.64 |
| | Gk | #2\|BS-Gk | pGr | 2.99 | 1.71 |
| | Gk | #2\|LF-1 | pGr | 44.74 | 36.82 |
| | Qk.N | #1\|BS-Qk.N | pGr | -0.01 | 0.00 |
| | Qk.N | #1\|(D-EG)-1 | pGr | -0.82 | -1.93 |
| | Qk.N | #1\|(D-EG)-2 | pGr | -0.03 | -0.01 |
| | Qk.N | #1\|(D-EG)-3 | pGr | 2.26 | -0.32 |
| | Qk.N | #1\|(D-EG)-5 | pGr | 14.80 | 7.78 |
| | Qk.N | #1\|(D-EG)-6 | pGr | 0.01 | 0.00 |
| | Qk.N | #1\|(D-EG)-7 | pGr | -0.07 | -0.04 |
| | Qk.N | #1\|(D-EG)-8 | pGr | -0.02 | 0.00 |
| | Qk.N | #1\|(D-EG)-9 | pGr | -0.10 | -0.04 |
| | Qk.N | #1\|(D-EG-BU)-1 | pGr | -3.79 | 11.83 |
| | Qk.N | #2\|#SE-LF-2 | pGr | 0.17 | 0.22 |
| | Qk.N | #2\|BS-Qk.N | pGr | 0.64 | 0.35 |
| | Qk.N | #2\|(D-O1)-1 | pGr | 1.40 | -0.01 |
| | Qk.N | #2\|(D-O1)-2 | pGr | -0.13 | -0.09 |
| | Qk.N | #2\|(D-O1)-3 | pGr | -0.01 | -0.01 |
| | Qk.N | #2\|(D-O1)-4 | pGr | -0.03 | -0.02 |
| | Qk.N | #2\|(D-O1)-5 | pGr | -0.07 | -0.12 |
| | Qk.N | #2\|(D-O1)-6 | pGr | 0.01 | 0.01 |
| | Qk.N | #2\|(D-O1)-7 | pGr | -0.01 | 0.00 |
| | Qk.N | #2\|(D-O1)-8 | pGr | 13.31 | 10.28 |
| | Qk.N | #2\|(D-O1)-9 | pGr | -1.08 | -2.52 |
| | Qk.N | #2\|(D-O1-BU)-1 | pGr | 1.34 | 5.91 |
| | Qk.S | #2\|BS-Qk.S | pGr | 1.83 | 1.12 |
| | Qk.S | #2\|(Qk.S)-A | pGr | -0.04 | -0.09 |
| | Qk.S | #2\|(Qk.S)-B | pGr | -0.02 | -0.05 |
| | Qk.S | #2\|(Qk.S)-C | pGr | -0.04 | -0.09 |
| | Qk.W | #2\|(Qk.W)-000 | pGr | -0.01 | -0.01 |
| | Qk.W | #2\|(Qk.W)-090 | pGr | 0.05 | 0.11 |
| | Qk.W | #2\|(Qk.W)-270 | pGr | 0.02 | 0.05 |
| EG-03.5 | Gk | #1\|#SE-LF-1 | pGr | 8.71 | 7.09 |
| (g1) | Gk | #1\|LF-1 | pGr | 6.33 | 6.33 |
| | Gk | #1\|LF-1 | pGr | 33.40 | 28.52 |
| | Gk | #2\|#SE-LF-1 | pGr | 4.43 | 7.19 |
| | Gk | #2\|BS-Gk | pGr | 0.21 | 0.19 |
| | Gk | #2\|LF-1 | pGr | 22.13 | 33.59 |
| | Qk.N | #1\|(D-EG)-1 | pGr | 0.61 | 3.26 |



durch Vergleichsrechnung geprüft

| Position | EW | Lastfall | Art | $p_A$ | $p_E$ [kN/m] |
|---|---|---|---|---|---|
| | Qk.N | #1\|(D-EG)-3 | pGr | -0.05 | 0.02 |
| | Qk.N | #1\|(D-EG)-5 | pGr | 0.45 | -1.04 |
| | Qk.N | #1\|(D-EG)-6 | pGr | 0.00 | 0.02 |
| | Qk.N | #1\|(D-EG)-7 | pGr | -0.01 | -0.10 |
| | Qk.N | #1\|(D-EG)-9 | pGr | 0.01 | 0.02 |
| | Qk.N | #1\|(D-EG-BU)-1 | pGr | 16.80 | 12.42 |
| | Qk.N | #2\|#SE-LF-2 | pGr | 0.70 | 1.15 |
| | Qk.N | #2\|BS-Qk.N | pGr | 0.05 | 0.02 |
| | Qk.N | #2\|(D-O1)-1 | pGr | -0.13 | 0.01 |
| | Qk.N | #2\|(D-O1)-2 | pGr | 0.03 | 0.00 |
| | Qk.N | #2\|(D-O1)-5 | pGr | -0.02 | -0.04 |
| | Qk.N | #2\|(D-O1)-8 | pGr | -0.08 | -0.93 |
| | Qk.N | #2\|(D-O1)-9 | pGr | 1.35 | 2.90 |
| | Qk.N | #2\|(D-O1-BU)-1 | pGr | 8.44 | 13.07 |
| | Qk.S | #2\|BS-Qk.S | pGr | 0.11 | 0.06 |
| | Qk.S | #2\|(Qk.S)-A | pGr | 0.02 | 0.07 |
| | Qk.S | #2\|(Qk.S)-B | pGr | 0.01 | 0.03 |
| | Qk.S | #2\|(Qk.S)-C | pGr | 0.02 | 0.07 |
| | Qk.W | #2\|(Qk.W)-000 | pGr | 0.00 | -0.02 |
| | Qk.W | #2\|(Qk.W)-090 | pGr | -0.03 | -0.05 |
| | Qk.W | #2\|(Qk.W)-180 | pGr | 0.00 | 0.03 |
| | Qk.W | #2\|(Qk.W)-270 | pGr | -0.01 | -0.03 |
| EG-04.1 | Gk | #1\|#SE-LF-1 | pGr | -0.71 | -6.12 |
| (g1) | Gk | #1\|LF-1 | pGr | 12.48 | 12.48 |
| | Gk | #1\|LF-1 | pGr | 20.27 | 40.90 |
| | Gk | #2\|#SE-LF-1 | pGr | 18.26 | 12.90 |
| | Gk | #2\|BS-Gk | pGr | -1.01 | 2.78 |
| | Gk | #2\|LF-1 | pGr | 66.96 | 41.55 |
| | Gk | #3\|LF-1 | pGr | 0.00 | -0.02 |
| | Qk.N | #1\|(D-EG)-1 | pGr | 0.10 | -0.22 |
| | Qk.N | #1\|(D-EG)-2 | pGr | 5.15 | 7.47 |
| | Qk.N | #1\|(D-EG)-3 | pGr | 0.00 | -0.01 |
| | Qk.N | #1\|(D-EG)-4 | pGr | -0.15 | -0.26 |
| | Qk.N | #1\|(D-EG)-5 | pGr | 0.01 | -0.09 |
| | Qk.N | #1\|(D-EG)-6 | pGr | 1.04 | 14.45 |
| | Qk.N | #1\|(D-EG)-7 | pGr | -0.65 | 1.63 |
| | Qk.N | #1\|(D-EG)-9 | pGr | 0.09 | -0.47 |
| | Qk.N | #1\|(D-EG-BO)-1 | pGr | 2.82 | -10.96 |
| | Qk.N | #2\|#SE-LF-2 | pGr | 3.33 | 0.38 |
| | Qk.N | #2\|BS-Qk.N | pGr | -0.40 | 0.92 |
| | Qk.N | #2\|(D-O1)-1 | pGr | 0.00 | -0.02 |
| | Qk.N | #2\|(D-O1)-2 | pGr | 0.08 | -0.43 |
| | Qk.N | #2\|(D-O1)-3 | pGr | -0.20 | 0.25 |
| | Qk.N | #2\|(D-O1)-4 | pGr | 5.08 | 8.43 |
| | Qk.N | #2\|(D-O1)-5 | pGr | -0.59 | 1.43 |
| | Qk.N | #2\|(D-O1)-6 | pGr | 0.35 | 14.40 |
| | Qk.N | #2\|(D-O1)-8 | pGr | 0.01 | -0.07 |
| | Qk.N | #2\|(D-O1)-9 | pGr | 0.08 | -0.19 |
| | Qk.N | #2\|(D-O1-BO)-1 | pGr | 20.72 | -18.79 |
| | Qk.N | #2\|(D-O1-BU)-1 | pGr | -0.01 | 0.03 |



durch Vergleichsrechnung geprüft

| Position | EW | Lastfall | Art | $p_A$ | $p_E$ [kN/m] |
|---|---|---|---|---|---|
| | Qk.S | #2\|BS-Qk.S | pGr | -0.39 | 0.65 |
| | Qk.S | #2\|(Qk.S)-A | pGr | -0.25 | 0.68 |
| | Qk.S | #2\|(Qk.S)-B | pGr | -0.12 | 0.34 |
| | Qk.S | #2\|(Qk.S)-C | pGr | -0.25 | 0.69 |
| | Qk.W | #2\|(Qk.W)-000 | pGr | -0.06 | 0.14 |
| | Qk.W | #2\|(Qk.W)-090 | pGr | 0.26 | -0.73 |
| | Qk.W | #2\|(Qk.W)-180 | pGr | 0.04 | -0.08 |
| | Qk.W | #2\|(Qk.W)-270 | pGr | 0.15 | -0.40 |
| EG-04.3.1 | Gk | #1\|#SE-LF-1 | pGr | -0.86 | 0.30 |
| (g1) | Gk | #1\|LF-1 | pGr | 12.48 | 12.48 |
| | Gk | #1\|LF-1 | pGr | 46.34 | -2.65 |
| | Gk | #2\|#SE-LF-1 | pGr | 8.61 | 6.39 |
| | Gk | #2\|BS-Gk | pGr | 24.52 | -2.97 |
| | Gk | #2\|LF-1 | pGr | 46.28 | 15.98 |
| | Gk | #3\|LF-1 | pGr | -0.04 | 0.13 |
| | Qk.N | #1\|(D-EG)-1 | pGr | -0.91 | -0.24 |
| | Qk.N | #1\|(D-EG)-2 | pGr | -1.90 | -0.39 |
| | Qk.N | #1\|(D-EG)-4 | pGr | -0.03 | 0.03 |
| | Qk.N | #1\|(D-EG)-5 | pGr | 0.07 | 0.29 |
| | Qk.N | #1\|(D-EG)-6 | pGr | 13.45 | -3.66 |
| | Qk.N | #1\|(D-EG)-7 | pGr | 6.31 | 0.64 |
| | Qk.N | #1\|(D-EG)-9 | pGr | 1.05 | 2.04 |
| | Qk.N | #1\|(D-EG-BO)-1 | pGr | -1.37 | 0.44 |
| | Qk.N | #1\|(D-EG-BU)-1 | pGr | 0.04 | 0.02 |
| | Qk.N | #2\|#SE-LF-2 | pGr | 0.16 | -0.05 |
| | Qk.N | #2\|BS-Qk.N | pGr | 8.90 | -0.68 |
| | Qk.N | #2\|(D-O1)-1 | pGr | 0.02 | 0.01 |
| | Qk.N | #2\|(D-O1)-2 | pGr | 1.30 | 2.10 |
| | Qk.N | #2\|(D-O1)-3 | pGr | -0.17 | -0.07 |
| | Qk.N | #2\|(D-O1)-4 | pGr | -0.73 | -1.14 |
| | Qk.N | #2\|(D-O1)-5 | pGr | 4.17 | 1.97 |
| | Qk.N | #2\|(D-O1)-6 | pGr | 8.80 | -1.34 |
| | Qk.N | #2\|(D-O1)-7 | pGr | 0.01 | -0.01 |
| | Qk.N | #2\|(D-O1)-8 | pGr | 0.19 | 0.13 |
| | Qk.N | #2\|(D-O1)-9 | pGr | -0.63 | -0.47 |
| | Qk.N | #2\|(D-O1-BO)-1 | pGr | -1.24 | 0.46 |
| | Qk.N | #2\|(D-O1-BU)-1 | pGr | 0.08 | 0.05 |
| | Qk.S | #2\|BS-Qk.S | pGr | 8.00 | -1.30 |
| | Qk.S | #2\|(Qk.S)-A | pGr | 4.82 | -0.40 |
| | Qk.S | #2\|(Qk.S)-B | pGr | 2.36 | -0.10 |
| | Qk.S | #2\|(Qk.S)-C | pGr | 4.86 | -0.51 |
| | Qk.W | #2\|(Qk.W)-000 | pGr | 1.22 | -0.21 |
| | Qk.W | #2\|(Qk.W)-090 | pGr | -4.76 | 0.43 |
| | Qk.W | #2\|(Qk.W)-180 | pGr | -0.78 | 0.11 |
| | Qk.W | #2\|(Qk.W)-270 | pGr | -2.90 | 0.27 |
| EG-04.3.2 | Gk | #1\|#SE-LF-1 | pGr | 0.32 | -0.94 |
| (g1) | Gk | #1\|LF-1 | pGr | 12.48 | 12.48 |



durch Vergleichsrechnung geprüft

| Position | EW | Lastfall | Art | $p_A$ | $p_E$ [kN/m] |
|---|---|---|---|---|---|
| | Gk | #1\|LF-1 | pGr | -2.63 | 46.32 |
| | Gk | #2\|#SE-LF-1 | pGr | 6.39 | 8.52 |
| | Gk | #2\|BS-Gk | pGr | -3.10 | 24.55 |
| | Gk | #2\|LF-1 | pGr | 15.93 | 46.18 |
| | Gk | #3\|LF-1 | pGr | 0.13 | -0.04 |
| | Qk.N | #1\|(D-EG)-1 | pGr | -3.66 | 13.45 |
| | Qk.N | #1\|(D-EG)-2 | pGr | 0.29 | 0.07 |
| | Qk.N | #1\|(D-EG)-3 | pGr | 0.03 | -0.01 |
| | Qk.N | #1\|(D-EG)-5 | pGr | -0.39 | -1.90 |
| | Qk.N | #1\|(D-EG)-6 | pGr | -0.24 | -0.91 |
| | Qk.N | #1\|(D-EG)-7 | pGr | 0.64 | 6.31 |
| | Qk.N | #1\|(D-EG)-9 | pGr | 2.04 | 1.05 |
| | Qk.N | #1\|(D-EG-BO)-1 | pGr | 0.02 | 0.03 |
| | Qk.N | #1\|(D-EG-BU)-1 | pGr | 0.45 | -1.41 |
| | Qk.N | #2\|#SE-LF-2 | pGr | -0.05 | 0.16 |
| | Qk.N | #2\|BS-Qk.N | pGr | -0.71 | 8.91 |
| | Qk.N | #2\|(D-O1)-1 | pGr | -0.08 | -0.17 |
| | Qk.N | #2\|(D-O1)-2 | pGr | 2.10 | 1.30 |
| | Qk.N | #2\|(D-O1)-3 | pGr | 0.01 | 0.02 |
| | Qk.N | #2\|(D-O1)-4 | pGr | 0.14 | 0.19 |
| | Qk.N | #2\|(D-O1)-5 | pGr | 1.97 | 4.17 |
| | Qk.N | #2\|(D-O1)-6 | pGr | -0.47 | -0.63 |
| | Qk.N | #2\|(D-O1)-7 | pGr | -0.01 | 0.01 |
| | Qk.N | #2\|(D-O1)-8 | pGr | -1.14 | -0.73 |
| | Qk.N | #2\|(D-O1)-9 | pGr | -1.34 | 8.81 |
| | Qk.N | #2\|(D-O1-BO)-1 | pGr | 0.04 | 0.07 |
| | Qk.N | #2\|(D-O1-BU)-1 | pGr | 0.45 | -1.28 |
| | Qk.S | #2\|BS-Qk.S | pGr | -1.38 | 8.01 |
| | Qk.S | #2\|(Qk.S)-A | pGr | -0.40 | 4.82 |
| | Qk.S | #2\|(Qk.S)-B | pGr | -0.10 | 2.36 |
| | Qk.S | #2\|(Qk.S)-C | pGr | -0.51 | 4.86 |
| | Qk.W | #2\|(Qk.W)-000 | pGr | -0.21 | 1.22 |
| | Qk.W | #2\|(Qk.W)-090 | pGr | 0.43 | -4.76 |
| | Qk.W | #2\|(Qk.W)-180 | pGr | 0.11 | -0.78 |
| | Qk.W | #2\|(Qk.W)-270 | pGr | 0.27 | -2.90 |
| EG-04.5 | Gk | #1\|#SE-LF-1 | pGr | -6.04 | -1.00 |
| (g1) | Gk | #1\|LF-1 | pGr | 12.48 | 12.48 |
| | Gk | #1\|LF-1 | pGr | 41.96 | 19.19 |
| | Gk | #2\|#SE-LF-1 | pGr | 13.27 | 17.59 |
| | Gk | #2\|BS-Gk | pGr | 5.32 | 0.96 |
| | Gk | #2\|LF-1 | pGr | 44.08 | 63.51 |
| | Gk | #3\|LF-1 | pGr | -0.02 | 0.00 |
| | Qk.N | #1\|(D-EG)-1 | pGr | 14.45 | 1.04 |
| | Qk.N | #1\|(D-EG)-2 | pGr | -0.09 | 0.01 |
| | Qk.N | #1\|(D-EG)-3 | pGr | -0.29 | -0.18 |
| | Qk.N | #1\|(D-EG)-4 | pGr | -0.01 | 0.00 |
| | Qk.N | #1\|(D-EG)-5 | pGr | 7.47 | 5.15 |
| | Qk.N | #1\|(D-EG)-6 | pGr | -0.22 | 0.10 |
| | Qk.N | #1\|(D-EG)-7 | pGr | 1.63 | -0.65 |
| | Qk.N | #1\|(D-EG)-9 | pGr | -0.47 | 0.09 |
| | Qk.N | #1\|(D-EG- | pGr | -10.32 | 2.29 |



durch Vergleichsrechnung geprüft

| Position | EW | Lastfall | Art | $p_A$ | $p_E$ [kN/m] |
|---|---|---|---|---|---|
| | | BU)-1 | | | |
| | Qk.N | #2\|#SE-LF-2 | pGr | 0.37 | 3.33 |
| | Qk.N | #2\|BS-Qk.N | pGr | 1.51 | 0.05 |
| | Qk.N | #2\|(D-O1)-1 | pGr | 0.25 | -0.21 |
| | Qk.N | #2\|(D-O1)-2 | pGr | -0.43 | 0.08 |
| | Qk.N | #2\|(D-O1)-3 | pGr | -0.02 | 0.00 |
| | Qk.N | #2\|(D-O1)-4 | pGr | -0.07 | 0.01 |
| | Qk.N | #2\|(D-O1)-5 | pGr | 1.43 | -0.59 |
| | Qk.N | #2\|(D-O1)-6 | pGr | -0.19 | 0.08 |
| | Qk.N | #2\|(D-O1)-8 | pGr | 8.43 | 5.08 |
| | Qk.N | #2\|(D-O1)-9 | pGr | 14.38 | 0.37 |
| | Qk.N | #2\|(D-O1-BO)-1 | pGr | 0.03 | -0.01 |
| | Qk.N | #2\|(D-O1-BU)-1 | pGr | -17.39 | 18.84 |
| | Qk.S | #2\|BS-Qk.S | pGr | 2.32 | 0.89 |
| | Qk.S | #2\|(Qk.S)-A | pGr | 0.68 | -0.25 |
| | Qk.S | #2\|(Qk.S)-B | pGr | 0.33 | -0.12 |
| | Qk.S | #2\|(Qk.S)-C | pGr | 0.69 | -0.25 |
| | Qk.W | #2\|(Qk.W)-000 | pGr | 0.14 | -0.06 |
| | Qk.W | #2\|(Qk.W)-090 | pGr | -0.73 | 0.26 |
| | Qk.W | #2\|(Qk.W)-180 | pGr | -0.08 | 0.04 |
| | Qk.W | #2\|(Qk.W)-270 | pGr | -0.40 | 0.15 |
| EG-05.1 | Gk | #1\|#SE-LF-1 | pGr | -0.30 | 1.64 |
| | Gk | #1\|BS-Gk | pGr | 0.00 | 0.01 |
| (g1) | Gk | #1\|LF-1 | pGr | 12.48 | 12.48 |
| | Gk | #1\|LF-1 | pGr | 18.97 | 4.58 |
| | Gk | #2\|#SE-LF-1 | pGr | 8.07 | 7.50 |
| | Gk | #2\|BS-Gk | pGr | 20.66 | 8.09 |
| | Gk | #2\|LF-1 | pGr | 38.87 | 26.16 |
| | Gk | #3\|LF-1 | pGr | 0.01 | -0.10 |
| | Qk.N | #1\|(D-EG)-1 | pGr | 5.17 | -15.58 |
| | Qk.N | #1\|(D-EG)-2 | pGr | -0.04 | 0.38 |
| | Qk.N | #1\|(D-EG)-3 | pGr | -0.03 | -0.18 |
| | Qk.N | #1\|(D-EG)-4 | pGr | 0.00 | 0.03 |
| | Qk.N | #1\|(D-EG)-5 | pGr | 0.43 | 14.06 |
| | Qk.N | #1\|(D-EG)-6 | pGr | -0.20 | 1.07 |
| | Qk.N | #1\|(D-EG)-7 | pGr | 1.75 | -5.61 |
| | Qk.N | #1\|(D-EG)-8 | pGr | 0.00 | 0.02 |
| | Qk.N | #1\|(D-EG)-9 | pGr | 0.24 | 5.88 |
| | Qk.N | #1\|(D-EG-BO)-1 | pGr | 0.01 | -0.03 |
| | Qk.N | #1\|(D-EG-BU)-1 | pGr | -0.45 | 2.43 |
| | Qk.N | #2\|#SE-LF-2 | pGr | 0.03 | -0.33 |
| | Qk.N | #2\|BS-Qk.N | pGr | 7.54 | 2.97 |
| | Qk.N | #2\|(D-O1)-1 | pGr | -0.11 | -0.32 |
| | Qk.N | #2\|(D-O1)-2 | pGr | 1.60 | 3.77 |
| | Qk.N | #2\|(D-O1)-3 | pGr | 0.00 | 0.03 |
| | Qk.N | #2\|(D-O1)-4 | pGr | 0.06 | 0.11 |
| | Qk.N | #2\|(D-O1)-5 | pGr | 2.60 | -1.84 |
| | Qk.N | #2\|(D-O1)-6 | pGr | -0.28 | 0.59 |
| | Qk.N | #2\|(D-O1)-7 | pGr | 0.00 | 0.02 |
| | Qk.N | #2\|(D-O1)-8 | pGr | 1.06 | 7.90 |
| | Qk.N | #2\|(D-O1)-9 | pGr | 5.08 | -6.02 |



durch Vergleichsrechnung geprüft

| Position | EW | Lastfall | Art | $p_A$ | $p_E$ [kN/m] |
|---|---|---|---|---|---|
| | Qk.N | #2\|(D-01-BO)-1 | pGr | 0.03 | -0.10 |
| | Qk.N | #2\|(D-01-BU)-1 | pGr | -0.68 | 1.13 |
| | Qk.S | #2\|BS-Qk.S | pGr | 6.70 | 2.76 |
| | Qk.S | #2\|(Qk.S)-A | pGr | 4.07 | 1.43 |
| | Qk.S | #2\|(Qk.S)-B | pGr | 2.02 | 0.71 |
| | Qk.S | #2\|(Qk.S)-C | pGr | 4.08 | 1.44 |
| | Qk.W | #2\|(Qk.W)-000 | pGr | 1.00 | 0.35 |
| | Qk.W | #2\|(Qk.W)-090 | pGr | -3.99 | -1.32 |
| | Qk.W | #2\|(Qk.W)-180 | pGr | -0.65 | -0.22 |
| | Qk.W | #2\|(Qk.W)-270 | pGr | -2.44 | -0.86 |
| EG-05.3 | Gk | #1\|#SE-LF-1 | pGr | 0.70 | -0.31 |
| | Gk | #1\|BS-Gk | pGr | 0.08 | -0.16 |
| (g1) | Gk | #1\|LF-1 | pGr | 12.48 | 12.48 |
| | Gk | #1\|LF-1 | pGr | 17.97 | 76.99 |
| | Gk | #2\|#SE-LF-1 | pGr | 9.69 | 18.40 |
| | Gk | #2\|BS-Gk | pGr | -2.11 | 5.79 |
| | Gk | #2\|LF-1 | pGr | 35.79 | 81.95 |
| | Gk | #3\|BS-Gk | pGr | -0.02 | 0.04 |
| | Gk | #3\|LF-1 | pGr | -1.01 | 1.84 |
| | Qk.N | #1\|BS-Qk.N | pGr | 0.03 | -0.05 |
| | Qk.N | #1\|(D-EG)-1 | pGr | -5.47 | 1.07 |
| | Qk.N | #1\|(D-EG)-2 | pGr | 0.64 | 0.55 |
| | Qk.N | #1\|(D-EG)-3 | pGr | -2.47 | 6.22 |
| | Qk.N | #1\|(D-EG)-4 | pGr | 0.06 | 0.10 |
| | Qk.N | #1\|(D-EG)-5 | pGr | 9.54 | 16.75 |
| | Qk.N | #1\|(D-EG)-6 | pGr | 0.24 | -0.20 |
| | Qk.N | #1\|(D-EG)-7 | pGr | -1.36 | 0.52 |
| | Qk.N | #1\|(D-EG)-8 | pGr | 0.13 | -0.34 |
| | Qk.N | #1\|(D-EG)-9 | pGr | 4.64 | 4.12 |
| | Qk.N | #1\|(D-EG-BU)-1 | pGr | 1.03 | -0.46 |
| | Qk.N | #2\|#SE-LF-2 | pGr | -0.20 | 0.06 |
| | Qk.N | #2\|BS-Qk.N | pGr | -0.75 | 1.71 |
| | Qk.N | #2\|(D-009)-1 | pGr | -0.03 | 0.05 |
| | Qk.N | #2\|(D-01)-1 | pGr | -1.21 | 4.75 |
| | Qk.N | #2\|(D-01)-2 | pGr | 4.72 | 4.07 |
| | Qk.N | #2\|(D-01)-3 | pGr | 0.07 | 0.15 |
| | Qk.N | #2\|(D-01)-4 | pGr | 0.38 | 0.41 |
| | Qk.N | #2\|(D-01)-5 | pGr | -1.36 | 0.42 |
| | Qk.N | #2\|(D-01)-6 | pGr | 0.32 | -0.15 |
| | Qk.N | #2\|(D-01)-7 | pGr | 0.01 | -0.20 |
| | Qk.N | #2\|(D-01)-8 | pGr | 10.63 | 14.96 |
| | Qk.N | #2\|(D-01)-9 | pGr | -5.11 | 0.92 |
| | Qk.N | #2\|(D-01-BO)-1 | pGr | -0.06 | 0.00 |
| | Qk.N | #2\|(D-01-BU)-1 | pGr | 0.58 | -0.61 |
| | Qk.N | #3\|#SE-LF-2 | pGr | 0.01 | -0.03 |
| | Qk.N | #3\|(D-009)-3 | pGr | 0.00 | -0.01 |
| | Qk.N | #3\|(D-009)-4 | pGr | -0.04 | 0.07 |
| | Qk.S | #2\|BS-Qk.S | pGr | -0.53 | 2.38 |
| | Qk.S | #2\|(Qk.S)-A | pGr | -0.63 | 0.95 |
| | Qk.S | #2\|(Qk.S)-B | pGr | -0.31 | 0.48 |



durch Vergleichsrechnung geprüft

| Position | EW | Lastfall | Art | $p_A$ | $p_E$ [kN/m] |
|---|---|---|---|---|---|
| | Qk.S | #2\|(Qk.S)-C | pGr | -0.64 | 0.95 |
| | Qk.S | #3\|BS-Qk.S | pGr | -0.02 | 0.03 |
| | Qk.W | #2\|(Qk.W)-000 | pGr | -0.16 | 0.22 |
| | Qk.W | #2\|(Qk.W)-090 | pGr | 0.66 | -0.91 |
| | Qk.W | #2\|(Qk.W)-180 | pGr | 0.10 | -0.14 |
| | Qk.W | #2\|(Qk.W)-270 | pGr | 0.38 | -0.57 |
| EG-06.1 | Gk | #1\|#SE-LF-1 | pGr | -0.28 | 1.52 |
| (g1) | Gk | #1\|LF-1 | pGr | 12.48 | 12.48 |
| | Gk | #1\|LF-1 | pGr | 18.98 | 4.65 |
| | Gk | #2\|#SE-LF-1 | pGr | 8.09 | 7.37 |
| | Gk | #2\|BS-Gk | pGr | 20.66 | 8.18 |
| | Gk | #2\|LF-1 | pGr | 38.88 | 26.00 |
| | Gk | #3\|LF-1 | pGr | 0.01 | -0.09 |
| | Qk.N | #1\|(D-EG)-1 | pGr | -0.20 | 1.07 |
| | Qk.N | #1\|(D-EG)-2 | pGr | 0.43 | 14.06 |
| | Qk.N | #1\|(D-EG)-3 | pGr | 0.00 | 0.03 |
| | Qk.N | #1\|(D-EG)-4 | pGr | -0.03 | -0.13 |
| | Qk.N | #1\|(D-EG)-5 | pGr | -0.04 | 0.38 |
| | Qk.N | #1\|(D-EG)-6 | pGr | 5.17 | -15.58 |
| | Qk.N | #1\|(D-EG)-7 | pGr | 1.75 | -5.61 |
| | Qk.N | #1\|(D-EG)-8 | pGr | 0.00 | 0.02 |
| | Qk.N | #1\|(D-EG)-9 | pGr | 0.24 | 5.88 |
| | Qk.N | #1\|(D-EG-BO)-1 | pGr | -0.44 | 2.38 |
| | Qk.N | #1\|(D-EG-BU)-1 | pGr | 0.01 | -0.03 |
| | Qk.N | #2\|#SE-LF-2 | pGr | 0.03 | -0.33 |
| | Qk.N | #2\|BS-Qk.N | pGr | 7.54 | 2.99 |
| | Qk.N | #2\|(D-O1)-1 | pGr | 0.00 | 0.03 |
| | Qk.N | #2\|(D-O1)-2 | pGr | 1.60 | 3.77 |
| | Qk.N | #2\|(D-O1)-3 | pGr | -0.10 | -0.30 |
| | Qk.N | #2\|(D-O1)-4 | pGr | 1.06 | 7.90 |
| | Qk.N | #2\|(D-O1)-5 | pGr | 2.60 | -1.84 |
| | Qk.N | #2\|(D-O1)-6 | pGr | 5.08 | -6.02 |
| | Qk.N | #2\|(D-O1)-7 | pGr | 0.00 | 0.03 |
| | Qk.N | #2\|(D-O1)-8 | pGr | 0.06 | 0.11 |
| | Qk.N | #2\|(D-O1)-9 | pGr | -0.28 | 0.59 |
| | Qk.N | #2\|(D-O1-BO)-1 | pGr | -0.69 | 1.00 |
| | Qk.N | #2\|(D-O1-BU)-1 | pGr | 0.03 | -0.11 |
| | Qk.S | #2\|BS-Qk.S | pGr | 6.70 | 2.84 |
| | Qk.S | #2\|(Qk.S)-A | pGr | 4.07 | 1.43 |
| | Qk.S | #2\|(Qk.S)-B | pGr | 2.02 | 0.71 |
| | Qk.S | #2\|(Qk.S)-C | pGr | 4.08 | 1.44 |
| | Qk.W | #2\|(Qk.W)-000 | pGr | 1.00 | 0.35 |
| | Qk.W | #2\|(Qk.W)-090 | pGr | -3.99 | -1.32 |
| | Qk.W | #2\|(Qk.W)-180 | pGr | -0.65 | -0.22 |
| | Qk.W | #2\|(Qk.W)-270 | pGr | -2.44 | -0.86 |
| EG-06.3 | Gk | #1\|#SE-LF-1 | pGr | 0.64 | -0.31 |
| | Gk | #1\|BS-Gk | pGr | 0.00 | 0.02 |



durch Vergleichsrechnung geprüft

| Position | EW | Lastfall | Art | $p_A$ | $p_E$ [kN/m] |
|---|---|---|---|---|---|
| (g1) | Gk | #1\|LF-1 | pGr | 12.48 | 12.48 |
| | Gk | #1\|LF-1 | pGr | 18.27 | 76.76 |
| | Gk | #2\|#SE-LF-1 | pGr | 9.64 | 18.32 |
| | Gk | #2\|BS-Gk | pGr | -2.40 | 4.55 |
| | Gk | #2\|LF-1 | pGr | 35.86 | 81.36 |
| | Gk | #3\|BS-Gk | pGr | -0.01 | 0.01 |
| | Gk | #3\|LF-1 | pGr | -0.98 | 1.75 |
| | Qk.N | #1\|(D-EG)-1 | pGr | 0.24 | -0.20 |
| | Qk.N | #1\|(D-EG)-2 | pGr | 9.53 | 16.76 |
| | Qk.N | #1\|(D-EG)-3 | pGr | 0.06 | 0.11 |
| | Qk.N | #1\|(D-EG)-4 | pGr | -2.38 | 6.22 |
| | Qk.N | #1\|(D-EG)-5 | pGr | 0.64 | 0.55 |
| | Qk.N | #1\|(D-EG)-6 | pGr | -5.47 | 1.07 |
| | Qk.N | #1\|(D-EG)-7 | pGr | -1.36 | 0.52 |
| | Qk.N | #1\|(D-EG)-8 | pGr | 0.18 | -0.44 |
| | Qk.N | #1\|(D-EG)-9 | pGr | 4.63 | 4.12 |
| | Qk.N | #1\|(D-EG-BO)-1 | pGr | 1.00 | -0.49 |
| | Qk.N | #2\|#SE-LF-2 | pGr | -0.19 | 0.04 |
| | Qk.N | #2\|BS-Qk.N | pGr | -0.82 | 1.44 |
| | Qk.N | #2\|(D-009)-1 | pGr | -0.03 | 0.04 |
| | Qk.N | #2\|(D-01)-1 | pGr | 0.08 | 0.16 |
| | Qk.N | #2\|(D-01)-2 | pGr | 4.72 | 4.08 |
| | Qk.N | #2\|(D-01)-3 | pGr | -1.16 | 4.68 |
| | Qk.N | #2\|(D-01)-4 | pGr | 10.63 | 14.96 |
| | Qk.N | #2\|(D-01)-5 | pGr | -1.36 | 0.42 |
| | Qk.N | #2\|(D-01)-6 | pGr | -5.11 | 0.92 |
| | Qk.N | #2\|(D-01)-7 | pGr | 0.06 | -0.32 |
| | Qk.N | #2\|(D-01)-8 | pGr | 0.38 | 0.42 |
| | Qk.N | #2\|(D-01)-9 | pGr | 0.32 | -0.15 |
| | Qk.N | #2\|(D-01-BO)-1 | pGr | 0.47 | -0.66 |
| | Qk.N | #2\|(D-01-BU)-1 | pGr | -0.06 | 0.01 |
| | Qk.N | #3\|#SE-LF-2 | pGr | 0.02 | -0.04 |
| | Qk.N | #3\|(D-009)-3 | pGr | -0.04 | 0.06 |
| | Qk.N | #3\|(D-009)-4 | pGr | 0.00 | -0.01 |
| | Qk.S | #2\|BS-Qk.S | pGr | -0.66 | 1.38 |
| | Qk.S | #2\|(Qk.S)-A | pGr | -0.63 | 0.93 |
| | Qk.S | #2\|(Qk.S)-B | pGr | -0.30 | 0.46 |
| | Qk.S | #2\|(Qk.S)-C | pGr | -0.64 | 0.94 |
| | Qk.S | #3\|BS-Qk.S | pGr | -0.02 | 0.03 |
| | Qk.S | #3\|(Qk.S)-A | pGr | 0.01 | -0.02 |
| | Qk.S | #3\|(Qk.S)-B | pGr | 0.01 | -0.02 |
| | Qk.S | #3\|(Qk.S)-C | pGr | 0.01 | -0.02 |
| | Qk.W | #2\|(Qk.W)-000 | pGr | -0.16 | 0.22 |
| | Qk.W | #2\|(Qk.W)-090 | pGr | 0.65 | -0.90 |
| | Qk.W | #2\|(Qk.W)-180 | pGr | 0.10 | -0.13 |
| | Qk.W | #2\|(Qk.W)-270 | pGr | 0.37 | -0.56 |
| | Qk.W | #3\|(Qk.W)-090 | pGr | -0.01 | 0.02 |
| | Qk.W | #3\|(Qk.W)-270 | pGr | 0.00 | 0.01 |
| EG-07.1 | Gk | #1\|#SE-LF-1 | pGr | -0.07 | 0.10 |
| | Gk | #1\|BS-Gk | pGr | 0.05 | 0.13 |




durch Vergleichsrechnung geprüft

| Position | EW | Lastfall | Art | $p_A$ | $p_E$ [kN/m] |
|---|---|---|---|---|---|
| (g1) | Gk | #1\|LF-1 | pGr | 13.87 | 13.87 |
| | Gk | #1\|LF-1 | pGr | 78.86 | -75.79 |
| | Gk | #2\|#SE-LF-1 | pGr | 4.74 | -10.53 |
| | Gk | #2\|BS-Gk | pGr | 20.44 | 20.00 |
| | Gk | #2\|LF-1 | pGr | 80.07 | 24.30 |
| | Gk | #3\|BS-Gk | pGr | 0.94 | 0.53 |
| | Gk | #3\|LF-1 | pGr | 19.99 | 22.79 |
| | Qk.N | #1\|BS-Qk.N | pGr | 0.02 | 0.05 |
| | Qk.N | #1\|(D-EG)-1 | pGr | 0.00 | -0.13 |
| | Qk.N | #1\|(D-EG)-2 | pGr | 15.46 | -19.91 |
| | Qk.N | #1\|(D-EG)-3 | pGr | -0.05 | 0.57 |
| | Qk.N | #1\|(D-EG)-4 | pGr | 12.28 | -23.07 |
| | Qk.N | #1\|(D-EG)-5 | pGr | -0.03 | 1.20 |
| | Qk.N | #1\|(D-EG)-6 | pGr | -0.35 | 0.66 |
| | Qk.N | #1\|(D-EG)-7 | pGr | -0.01 | 0.04 |
| | Qk.N | #1\|(D-EG)-8 | pGr | -0.17 | 6.27 |
| | Qk.N | #1\|(D-EG)-9 | pGr | 2.13 | 6.21 |
| | Qk.N | #1\|(D-EG-BO)-1 | pGr | -0.12 | 0.17 |
| | Qk.N | #2\|#SE-LF-2 | pGr | -0.05 | 0.02 |
| | Qk.N | #2\|BS-Qk.N | pGr | 6.74 | 7.10 |
| | Qk.N | #2\|(D-009)-1 | pGr | 0.65 | 1.02 |
| | Qk.N | #2\|(D-O1)-1 | pGr | 0.02 | 0.75 |
| | Qk.N | #2\|(D-O1)-2 | pGr | 2.19 | 4.58 |
| | Qk.N | #2\|(D-O1)-3 | pGr | 6.44 | -8.96 |
| | Qk.N | #2\|(D-O1)-4 | pGr | 6.04 | -6.88 |
| | Qk.N | #2\|(D-O1)-5 | pGr | 0.05 | 0.03 |
| | Qk.N | #2\|(D-O1)-6 | pGr | 0.05 | 0.56 |
| | Qk.N | #2\|(D-O1)-7 | pGr | 1.75 | 4.15 |
| | Qk.N | #2\|(D-O1)-8 | pGr | 0.11 | 0.98 |
| | Qk.N | #2\|(D-O1)-9 | pGr | -0.02 | -0.09 |
| | Qk.N | #2\|(D-O1-BO)-1 | pGr | -0.13 | 0.20 |
| | Qk.N | #2\|(D-O1-BU)-1 | pGr | 0.00 | -0.02 |
| | Qk.N | #3\|#SE-LF-2 | pGr | -0.06 | 0.00 |
| | Qk.N | #3\|BS-Qk.N | pGr | 0.20 | 0.11 |
| | Qk.N | #3\|(D-009)-1 | pGr | -0.12 | -0.03 |
| | Qk.N | #3\|(D-009)-3 | pGr | 0.78 | 1.15 |
| | Qk.N | #3\|(D-009)-4 | pGr | -0.02 | -0.11 |
| | Qk.S | #2\|BS-Qk.S | pGr | 6.50 | 5.15 |
| | Qk.S | #2\|(Qk.S)-A | pGr | 4.42 | 5.53 |
| | Qk.S | #2\|(Qk.S)-B | pGr | 2.19 | 2.78 |
| | Qk.S | #2\|(Qk.S)-C | pGr | 4.44 | 5.52 |
| | Qk.S | #3\|BS-Qk.S | pGr | 0.60 | 0.24 |
| | Qk.S | #3\|(Qk.S)-A | pGr | -0.03 | 0.05 |
| | Qk.S | #3\|(Qk.S)-B | pGr | -0.03 | 0.04 |
| | Qk.S | #3\|(Qk.S)-C | pGr | -0.03 | 0.04 |
| | Qk.W | #2\|(Qk.W)-000 | pGr | 0.76 | 1.29 |
| | Qk.W | #2\|(Qk.W)-090 | pGr | -3.68 | -5.33 |
| | Qk.W | #2\|(Qk.W)-180 | pGr | -0.29 | -0.82 |
| | Qk.W | #2\|(Qk.W)-270 | pGr | -2.58 | -3.30 |
| | Qk.W | #3\|(Qk.W)-090 | pGr | -0.02 | -0.05 |
| | Qk.W | #3\|(Qk.W)- | pGr | -0.01 | -0.03 |



durch Vergleichsrechnung geprüft

| | Position | EW | Lastfall | Art | $p_A$ | $p_E$ [kN/m] |
|---|---|---|---|---|---|---|
| | | | 270 | | | |
| | EG-07.3 | Gk | #1\|#SE-LF-1 | pGr | 0.02 | 0.01 |
| | | Gk | #1\|BS-Gk | pGr | 0.07 | 0.76 |
| (g1) | | Gk | #1\|LF-1 | pGr | 13.87 | 13.87 |
| | | Gk | #1\|LF-1 | pGr | 5.14 | 2.22 |
| | | Gk | #2\|#SE-LF-1 | pGr | -1.93 | -2.55 |
| | | Gk | #2\|BS-Gk | pGr | 1.77 | 1.08 |
| | | Gk | #2\|LF-1 | pGr | 36.02 | 32.37 |
| | | Gk | #3\|BS-Gk | pGr | 0.13 | 0.00 |
| | | Gk | #3\|LF-1 | pGr | 18.48 | 17.36 |
| | | Qk.N | #1\|BS-Qk.N | pGr | 0.02 | 0.26 |
| | | Qk.N | #1\|(D-EG)-1 | pGr | -0.20 | 0.25 |
| | | Qk.N | #1\|(D-EG)-2 | pGr | -6.29 | 3.74 |
| | | Qk.N | #1\|(D-EG)-3 | pGr | 3.70 | -7.47 |
| | | Qk.N | #1\|(D-EG)-4 | pGr | -6.86 | 3.35 |
| | | Qk.N | #1\|(D-EG)-5 | pGr | 3.75 | -6.28 |
| | | Qk.N | #1\|(D-EG)-6 | pGr | 0.26 | -0.21 |
| | | Qk.N | #1\|(D-EG)-8 | pGr | 5.22 | 5.11 |
| | | Qk.N | #1\|(D-EG)-9 | pGr | 2.30 | 2.30 |
| | | Qk.N | #1\|(D-EG-BO)-1 | pGr | 0.05 | -0.03 |
| | | Qk.N | #1\|(D-EG-BU)-1 | pGr | -0.02 | 0.05 |
| | | Qk.N | #2\|#SE-LF-2 | pGr | -0.07 | -0.22 |
| | | Qk.N | #2\|BS-Qk.N | pGr | 0.98 | 0.88 |
| | | Qk.N | #2\|(D-009)-1 | pGr | 1.02 | 0.82 |
| | | Qk.N | #2\|(D-O1)-1 | pGr | 2.64 | -6.21 |
| | | Qk.N | #2\|(D-O1)-2 | pGr | 3.44 | 3.45 |
| | | Qk.N | #2\|(D-O1)-3 | pGr | -5.81 | 2.56 |
| | | Qk.N | #2\|(D-O1)-4 | pGr | -5.67 | 2.59 |
| | | Qk.N | #2\|(D-O1)-5 | pGr | -0.46 | -0.46 |
| | | Qk.N | #2\|(D-O1)-6 | pGr | 0.31 | -0.24 |
| | | Qk.N | #2\|(D-O1)-7 | pGr | 4.21 | 3.85 |
| | | Qk.N | #2\|(D-O1)-8 | pGr | 2.57 | -5.66 |
| | | Qk.N | #2\|(D-O1)-9 | pGr | -0.24 | 0.31 |
| | | Qk.N | #2\|(D-O1-BO)-1 | pGr | 0.17 | -0.08 |
| | | Qk.N | #2\|(D-O1-BU)-1 | pGr | -0.06 | 0.14 |
| | | Qk.N | #3\|#SE-LF-2 | pGr | -0.11 | -0.23 |
| | | Qk.N | #3\|BS-Qk.N | pGr | 0.03 | 0.00 |
| | | Qk.N | #3\|(D-009)-1 | pGr | -0.01 | -0.01 |
| | | Qk.N | #3\|(D-009)-3 | pGr | 1.19 | -0.23 |
| | | Qk.N | #3\|(D-009)-4 | pGr | -0.19 | 1.07 |
| | | Qk.S | #2\|BS-Qk.S | pGr | 0.27 | -0.58 |
| | | Qk.S | #2\|(Qk.S)-A | pGr | 0.70 | 0.64 |
| | | Qk.S | #2\|(Qk.S)-B | pGr | 0.45 | 0.41 |
| | | Qk.S | #2\|(Qk.S)-C | pGr | 0.59 | 0.55 |
| | | Qk.S | #3\|BS-Qk.S | pGr | -0.01 | -0.01 |
| | | Qk.S | #3\|(Qk.S)-A | pGr | 0.07 | 0.01 |
| | | Qk.S | #3\|(Qk.S)-B | pGr | 0.05 | 0.01 |
| | | Qk.S | #3\|(Qk.S)-C | pGr | 0.05 | 0.01 |
| | | Qk.W | #2\|(Qk.W)-000 | pGr | 0.06 | 0.06 |
| | | Qk.W | #2\|(Qk.W)-090 | pGr | -0.67 | -0.62 |
| | | Qk.W | #2\|(Qk.W)-180 | pGr | -0.06 | -0.06 |
| | | Qk.W | #2\|(Qk.W)- | pGr | -0.42 | -0.39 |




durch Vergleichsrechnung geprüft

| Position | EW | Lastfall | Art | $p_A$ | $p_E$ [kN/m] |
|---|---|---|---|---|---|
| | | 270 | | | |
| | Qk.W | #3\|(Qk.W)-090 | pGr | -0.05 | 0.00 |
| | Qk.W | #3\|(Qk.W)-270 | pGr | -0.03 | 0.00 |
| EG-07.5 | Gk | #1\|#SE-LF-1 | pGr | 0.09 | -0.06 |
| | Gk | #1\|BS-Gk | pGr | 0.21 | -0.68 |
| (g1) | Gk | #1\|LF-1 | pGr | 13.87 | 13.87 |
| | Gk | #1\|LF-1 | pGr | -82.01 | 80.39 |
| | Gk | #2\|#SE-LF-1 | pGr | -11.44 | 6.06 |
| | Gk | #2\|BS-Gk | pGr | 18.99 | 20.73 |
| | Gk | #2\|LF-1 | pGr | 19.54 | 81.17 |
| | Gk | #3\|BS-Gk | pGr | 0.41 | 0.96 |
| | Gk | #3\|LF-1 | pGr | 21.87 | 20.22 |
| | Qk.N | #1\|BS-Qk.N | pGr | 0.07 | -0.23 |
| | Qk.N | #1\|(D-EG)-1 | pGr | 0.65 | -0.35 |
| | Qk.N | #1\|(D-EG)-2 | pGr | 1.21 | -0.03 |
| | Qk.N | #1\|(D-EG)-3 | pGr | -25.10 | 12.62 |
| | Qk.N | #1\|(D-EG)-4 | pGr | 0.58 | -0.05 |
| | Qk.N | #1\|(D-EG)-5 | pGr | -19.98 | 15.46 |
| | Qk.N | #1\|(D-EG)-6 | pGr | -0.13 | 0.00 |
| | Qk.N | #1\|(D-EG)-7 | pGr | 0.04 | -0.01 |
| | Qk.N | #1\|(D-EG)-8 | pGr | 6.07 | 0.04 |
| | Qk.N | #1\|(D-EG)-9 | pGr | 6.22 | 2.12 |
| | Qk.N | #1\|(D-EG-BU)-1 | pGr | 0.14 | -0.10 |
| | Qk.N | #2\|#SE-LF-2 | pGr | -0.14 | -0.13 |
| | Qk.N | #2\|BS-Qk.N | pGr | 6.92 | 6.80 |
| | Qk.N | #2\|(D-009)-1 | pGr | 0.86 | 0.61 |
| | Qk.N | #2\|(D-01)-1 | pGr | -9.90 | 6.91 |
| | Qk.N | #2\|(D-01)-2 | pGr | 4.60 | 2.19 |
| | Qk.N | #2\|(D-01)-3 | pGr | 0.77 | 0.02 |
| | Qk.N | #2\|(D-01)-4 | pGr | 0.99 | 0.11 |
| | Qk.N | #2\|(D-01)-5 | pGr | 0.03 | 0.05 |
| | Qk.N | #2\|(D-01)-6 | pGr | -0.09 | -0.02 |
| | Qk.N | #2\|(D-01)-7 | pGr | 3.78 | 1.75 |
| | Qk.N | #2\|(D-01)-8 | pGr | -6.93 | 6.11 |
| | Qk.N | #2\|(D-01)-9 | pGr | 0.56 | 0.05 |
| | Qk.N | #2\|(D-01-BO)-1 | pGr | -0.03 | 0.00 |
| | Qk.N | #2\|(D-01-BU)-1 | pGr | 0.16 | -0.12 |
| | Qk.N | #3\|#SE-LF-2 | pGr | -0.14 | -0.13 |
| | Qk.N | #3\|BS-Qk.N | pGr | 0.09 | 0.21 |
| | Qk.N | #3\|(D-009)-2 | pGr | -0.03 | -0.08 |
| | Qk.N | #3\|(D-009)-3 | pGr | -0.14 | -0.03 |
| | Qk.N | #3\|(D-009)-4 | pGr | 1.03 | 0.71 |
| | Qk.S | #2\|BS-Qk.S | pGr | 4.14 | 6.92 |
| | Qk.S | #2\|(Qk.S)-A | pGr | 5.52 | 4.64 |
| | Qk.S | #2\|(Qk.S)-B | pGr | 2.76 | 2.30 |
| | Qk.S | #2\|(Qk.S)-C | pGr | 5.52 | 4.66 |
| | Qk.S | #3\|BS-Qk.S | pGr | 0.24 | 0.60 |
| | Qk.S | #3\|(Qk.S)-A | pGr | 0.00 | -0.03 |
| | Qk.S | #3\|(Qk.S)-B | pGr | 0.00 | -0.02 |
| | Qk.S | #3\|(Qk.S)-C | pGr | 0.00 | -0.02 |
| | Qk.W | #2\|(Qk.W)-000 | pGr | 1.32 | 0.89 |
| | Qk.W | #2\|(Qk.W)-090 | pGr | -5.36 | -4.03 |



durch Vergleichsrechnung geprüft

| Position | EW | Lastfall | Art | $p_A$ | $p_E$ [kN/m] |
|---|---|---|---|---|---|
| | Qk.W | #2\|(Qk.W)-180 | pGr | -0.85 | -0.43 |
| | Qk.W | #2\|(Qk.W)-270 | pGr | -3.31 | -2.72 |
| EG-08 | Gk | #1\|#SE-LF-1 | pGr | 0.01 | 0.01 |
| | Gk | #1\|BS-Gk | pGr | 28.41 | -27.28 |
| (g1) | Gk | #1\|LF-1 | pGr | 18.06 | 18.06 |
| | Gk | #1\|LF-1 | pGr | -8.63 | -15.94 |
| | Gk | #2\|#SE-LF-1 | pGr | -3.63 | -12.34 |
| | Gk | #2\|BS-Gk | pGr | 0.47 | -1.08 |
| | Gk | #2\|LF-1 | pGr | 37.31 | 20.14 |
| | Gk | #3\|BS-Gk | pGr | 0.90 | 1.67 |
| | Gk | #3\|LF-1 | pGr | 39.44 | 35.59 |
| | Qk.N | #1\|BS-Qk.N | pGr | 9.75 | -9.37 |
| | Qk.N | #1\|(D-EG)-2 | pGr | -0.19 | -1.23 |
| | Qk.N | #1\|(D-EG)-3 | pGr | -0.06 | 0.02 |
| | Qk.N | #1\|(D-EG)-4 | pGr | -12.05 | -11.31 |
| | Qk.N | #1\|(D-EG)-5 | pGr | 0.00 | -0.02 |
| | Qk.N | #1\|(D-EG)-6 | pGr | -0.05 | -0.04 |
| | Qk.N | #1\|(D-EG)-8 | pGr | 9.15 | 6.59 |
| | Qk.N | #1\|(D-EG)-9 | pGr | 0.01 | 0.07 |
| | Qk.N | #1\|(D-EG-BO)-1 | pGr | 0.01 | 0.02 |
| | Qk.N | #2\|#SE-LF-2 | pGr | 1.83 | 2.15 |
| | Qk.N | #2\|BS-Qk.N | pGr | 0.24 | -0.37 |
| | Qk.N | #2\|(D-009)-1 | pGr | 1.48 | 0.85 |
| | Qk.N | #2\|(D-01)-1 | pGr | -0.40 | 0.84 |
| | Qk.N | #2\|(D-01)-2 | pGr | 0.04 | -0.05 |
| | Qk.N | #2\|(D-01)-3 | pGr | -6.19 | -9.60 |
| | Qk.N | #2\|(D-01)-4 | pGr | -0.57 | -1.19 |
| | Qk.N | #2\|(D-01)-5 | pGr | 0.00 | -0.01 |
| | Qk.N | #2\|(D-01)-7 | pGr | 5.72 | 7.15 |
| | Qk.N | #2\|(D-01)-8 | pGr | -0.01 | 0.05 |
| | Qk.N | #2\|(D-01-BO)-1 | pGr | 0.02 | 0.04 |
| | Qk.N | #3\|#SE-LF-2 | pGr | 3.91 | 5.78 |
| | Qk.N | #3\|BS-Qk.N | pGr | 0.21 | 0.37 |
| | Qk.N | #3\|(D-009)-1 | pGr | 2.41 | 2.06 |
| | Qk.N | #3\|(D-009)-2 | pGr | 0.02 | -0.24 |
| | Qk.N | #3\|(D-009)-3 | pGr | 0.56 | 1.53 |
| | Qk.N | #3\|(D-009)-4 | pGr | -0.01 | -0.05 |
| | Qk.S | #2\|BS-Qk.S | pGr | -0.38 | -0.53 |
| | Qk.S | #2\|(Qk.S)-A | pGr | 0.56 | 0.04 |
| | Qk.S | #2\|(Qk.S)-B | pGr | 0.33 | 0.13 |
| | Qk.S | #2\|(Qk.S)-C | pGr | 0.51 | -0.07 |
| | Qk.S | #3\|BS-Qk.S | pGr | 0.12 | 0.09 |
| | Qk.S | #3\|(Qk.S)-A | pGr | 0.33 | 0.73 |
| | Qk.S | #3\|(Qk.S)-B | pGr | 0.25 | 0.55 |
| | Qk.S | #3\|(Qk.S)-C | pGr | 0.25 | 0.55 |
| | Qk.W | #2\|(Qk.W)-000 | pGr | 0.19 | -0.20 |
| | Qk.W | #2\|(Qk.W)-090 | pGr | -0.33 | -0.13 |
| | Qk.W | #2\|(Qk.W)-180 | pGr | -0.27 | 0.21 |
| | Qk.W | #2\|(Qk.W)-270 | pGr | -0.12 | -0.16 |
| | Qk.W | #3\|(Qk.W)-000 | pGr | -0.03 | 0.00 |



durch Vergleichsrechnung geprüft

| Position | EW | Lastfall | Art | $p_A$ | $p_E$ [kN/m] |
|---|---|---|---|---|---|
| | Qk.W | #3\|(Qk.W)-090 | pGr | 0.01 | -1.00 |
| | Qk.W | #3\|(Qk.W)-180 | pGr | -0.03 | 0.00 |
| | Qk.W | #3\|(Qk.W)-270 | pGr | -0.03 | -0.59 |
| EG-09.1 | Gk | #1\|#SE-LF-1 | pGr | 2.11 | -8.03 |
| (g1) | Gk | #1\|LF-1 | pGr | 6.33 | 6.33 |
| | Gk | #1\|LF-1 | pGr | -5.72 | 22.72 |
| | Gk | #2\|#SE-LF-1 | pGr | 2.39 | 19.02 |
| | Gk | #2\|BS-Gk | pGr | -0.68 | 4.18 |
| | Gk | #2\|LF-1 | pGr | 14.74 | 21.68 |
| | Qk.N | #1\|(D-EG)-1 | pGr | -3.09 | 15.38 |
| | Qk.N | #1\|(D-EG)-5 | pGr | 0.25 | -0.66 |
| | Qk.N | #1\|(D-EG)-6 | pGr | 0.03 | -0.06 |
| | Qk.N | #1\|(D-EG)-7 | pGr | -0.28 | 0.70 |
| | Qk.N | #1\|(D-EG-BU)-1 | pGr | 1.44 | -10.32 |
| | Qk.N | #2\|#SE-LF-2 | pGr | 0.44 | 1.81 |
| | Qk.N | #2\|BS-Qk.N | pGr | -0.26 | 1.22 |
| | Qk.N | #2\|(D-O1)-1 | pGr | 0.03 | -0.04 |
| | Qk.N | #2\|(D-O1)-5 | pGr | -0.29 | 0.57 |
| | Qk.N | #2\|(D-O1)-6 | pGr | 0.03 | -0.03 |
| | Qk.N | #2\|(D-O1)-8 | pGr | 0.53 | -0.91 |
| | Qk.N | #2\|(D-O1)-9 | pGr | -2.14 | 14.75 |
| | Qk.N | #2\|(D-O1-BU)-1 | pGr | 7.43 | -12.61 |
| | Qk.S | #2\|BS-Qk.S | pGr | -0.10 | 0.58 |
| | Qk.S | #2\|(Qk.S)-A | pGr | -0.25 | 1.82 |
| | Qk.S | #2\|(Qk.S)-B | pGr | -0.13 | 0.91 |
| | Qk.S | #2\|(Qk.S)-C | pGr | -0.26 | 1.82 |
| | Qk.W | #2\|(Qk.W)-000 | pGr | -0.10 | 0.28 |
| | Qk.W | #2\|(Qk.W)-090 | pGr | 0.38 | -2.22 |
| | Qk.W | #2\|(Qk.W)-180 | pGr | 0.09 | -0.11 |
| | Qk.W | #2\|(Qk.W)-270 | pGr | 0.16 | -1.00 |
| EG-09.3 | Gk | #1\|#SE-LF-1 | pGr | -2.21 | 0.16 |
| (g1) | Gk | #1\|LF-1 | pGr | 6.33 | 6.33 |
| | Gk | #1\|LF-1 | pGr | 42.17 | 14.72 |
| | Gk | #2\|#SE-LF-1 | pGr | 27.64 | 20.07 |
| | Gk | #2\|BS-Gk | pGr | 6.93 | 6.39 |
| | Gk | #2\|LF-1 | pGr | 40.16 | 29.20 |
| | Qk.N | #1\|(D-EG)-1 | pGr | 16.39 | 2.39 |
| | Qk.N | #1\|(D-EG)-2 | pGr | 0.03 | 0.08 |
| | Qk.N | #1\|(D-EG)-5 | pGr | -0.87 | -0.37 |
| | Qk.N | #1\|(D-EG)-6 | pGr | -0.32 | -0.57 |
| | Qk.N | #1\|(D-EG)-7 | pGr | 2.49 | 3.74 |
| | Qk.N | #1\|(D-EG)-9 | pGr | 0.00 | 0.03 |
| | Qk.N | #1\|(D-EG-BO)-1 | pGr | 0.01 | 0.01 |
| | Qk.N | #1\|(D-EG-BU)-1 | pGr | -3.14 | 0.19 |
| | Qk.N | #2\|#SE-LF-2 | pGr | 0.44 | 0.08 |
| | Qk.N | #2\|BS-Qk.N | pGr | 4.05 | 4.02 |
| | Qk.N | #2\|(D-O1)-1 | pGr | -0.03 | -0.02 |
| | Qk.N | #2\|(D-O1)-2 | pGr | -0.01 | -0.02 |



durch Vergleichsrechnung geprüft

| Position | EW | Lastfall | Art | $p_A$ | $p_E$ [kN/m] |
|---|---|---|---|---|---|
| | Qk.N | #2\|(D-01)-4 | pGr | 0.04 | 0.07 |
| | Qk.N | #2\|(D-01)-5 | pGr | 3.17 | 3.33 |
| | Qk.N | #2\|(D-01)-6 | pGr | -0.39 | -0.64 |
| | Qk.N | #2\|(D-01)-8 | pGr | -0.72 | -0.32 |
| | Qk.N | #2\|(D-01)-9 | pGr | 12.27 | 6.49 |
| | Qk.N | #2\|(D-01-BO)-1 | pGr | 0.04 | 0.05 |
| | Qk.N | #2\|(D-01-BU)-1 | pGr | -2.57 | -0.36 |
| | Qk.S | #2\|BS-Qk.S | pGr | -0.46 | -0.69 |
| | Qk.S | #2\|(Qk.S)-A | pGr | 3.49 | 3.34 |
| | Qk.S | #2\|(Qk.S)-B | pGr | 1.72 | 1.66 |
| | Qk.S | #2\|(Qk.S)-C | pGr | 3.52 | 3.35 |
| | Qk.W | #2\|(Qk.W)-000 | pGr | 2.32 | 2.39 |
| | Qk.W | #2\|(Qk.W)-090 | pGr | -6.23 | -6.14 |
| | Qk.W | #2\|(Qk.W)-180 | pGr | -2.32 | -2.45 |
| | Qk.W | #2\|(Qk.W)-270 | pGr | -2.43 | -2.36 |
| EG-09.5 | Gk | #1\|#SE-LF-1 | pGr | 0.08 | 0.07 |
| (g1) | Gk | #1\|LF-1 | pGr | 6.33 | 6.33 |
| | Gk | #1\|LF-1 | pGr | 2.74 | 2.73 |
| | Gk | #2\|#SE-LF-1 | pGr | 4.86 | 4.83 |
| | Gk | #2\|BS-Gk | pGr | 1.10 | 1.11 |
| | Gk | #2\|LF-1 | pGr | 6.65 | 6.59 |
| | Gk | #3\|LF-1 | pGr | -0.08 | -0.08 |
| | Qk.N | #1\|(D-EG)-1 | pGr | 0.33 | -0.59 |
| | Qk.N | #1\|(D-EG)-2 | pGr | 0.12 | -0.11 |
| | Qk.N | #1\|(D-EG)-5 | pGr | -0.11 | 0.12 |
| | Qk.N | #1\|(D-EG)-6 | pGr | -0.59 | 0.33 |
| | Qk.N | #1\|(D-EG)-7 | pGr | 1.18 | 1.18 |
| | Qk.N | #1\|(D-EG-BO)-1 | pGr | -0.07 | 0.18 |
| | Qk.N | #1\|(D-EG-BU)-1 | pGr | 0.18 | -0.07 |
| | Qk.N | #2\|#SE-LF-2 | pGr | -0.03 | -0.03 |
| | Qk.N | #2\|BS-Qk.N | pGr | 0.57 | 0.57 |
| | Qk.N | #2\|(D-01)-2 | pGr | -0.09 | -0.09 |
| | Qk.N | #2\|(D-01)-4 | pGr | 0.08 | 0.02 |
| | Qk.N | #2\|(D-01)-5 | pGr | 1.17 | 1.17 |
| | Qk.N | #2\|(D-01)-6 | pGr | -0.80 | 0.60 |
| | Qk.N | #2\|(D-01)-8 | pGr | 0.02 | 0.08 |
| | Qk.N | #2\|(D-01)-9 | pGr | 0.60 | -0.80 |
| | Qk.N | #2\|(D-01-BO)-1 | pGr | -0.01 | 0.12 |
| | Qk.N | #2\|(D-01-BU)-1 | pGr | 0.14 | -0.01 |
| | Qk.S | #2\|BS-Qk.S | pGr | -0.10 | -0.09 |
| | Qk.S | #2\|(Qk.S)-A | pGr | 0.57 | 0.57 |
| | Qk.S | #2\|(Qk.S)-B | pGr | 0.34 | 0.34 |
| | Qk.S | #2\|(Qk.S)-C | pGr | 0.51 | 0.51 |
| | Qk.W | #2\|(Qk.W)-000 | pGr | 0.24 | 0.24 |
| | Qk.W | #2\|(Qk.W)-090 | pGr | -0.80 | -0.80 |
| | Qk.W | #2\|(Qk.W)-180 | pGr | -0.29 | -0.29 |




durch Vergleichsrechnung geprüft

| Position | EW | Lastfall | Art | $p_A$ | $p_E$ [kN/m] |
|---|---|---|---|---|---|
| | Qk.W | #2\|(Qk.W)-270 | pGr | -0.31 | -0.31 |
| EG-09.7 | Gk | #1\|#SE-LF-1 | pGr | 0.14 | -2.07 |
| (g1) | Gk | #1\|LF-1 | pGr | 6.33 | 6.33 |
| | Gk | #1\|LF-1 | pGr | 14.68 | 42.25 |
| | Gk | #2\|#SE-LF-1 | pGr | 20.07 | 27.95 |
| | Gk | #2\|BS-Gk | pGr | 6.26 | 6.55 |
| | Gk | #2\|LF-1 | pGr | 29.17 | 40.71 |
| | Qk.N | #1\|(D-EG)-1 | pGr | -0.57 | -0.32 |
| | Qk.N | #1\|(D-EG)-2 | pGr | -0.37 | -0.87 |
| | Qk.N | #1\|(D-EG)-5 | pGr | 0.08 | 0.03 |
| | Qk.N | #1\|(D-EG)-6 | pGr | 2.39 | 16.39 |
| | Qk.N | #1\|(D-EG)-7 | pGr | 3.74 | 2.49 |
| | Qk.N | #1\|(D-EG)-9 | pGr | 0.03 | 0.00 |
| | Qk.N | #1\|(D-EG-BO)-1 | pGr | 0.18 | -3.09 |
| | Qk.N | #1\|(D-EG-BU)-1 | pGr | 0.01 | 0.01 |
| | Qk.N | #2\|#SE-LF-2 | pGr | 0.08 | 0.44 |
| | Qk.N | #2\|BS-Qk.N | pGr | 3.99 | 3.97 |
| | Qk.N | #2\|(D-O1)-2 | pGr | -0.02 | -0.01 |
| | Qk.N | #2\|(D-O1)-3 | pGr | -0.02 | -0.03 |
| | Qk.N | #2\|(D-O1)-4 | pGr | -0.32 | -0.72 |
| | Qk.N | #2\|(D-O1)-5 | pGr | 3.33 | 3.17 |
| | Qk.N | #2\|(D-O1)-6 | pGr | 6.49 | 12.27 |
| | Qk.N | #2\|(D-O1)-8 | pGr | 0.07 | 0.04 |
| | Qk.N | #2\|(D-O1)-9 | pGr | -0.64 | -0.39 |
| | Qk.N | #2\|(D-O1-BO)-1 | pGr | -0.37 | -2.27 |
| | Qk.N | #2\|(D-O1-BU)-1 | pGr | 0.05 | 0.04 |
| | Qk.S | #2\|BS-Qk.S | pGr | -0.77 | -0.70 |
| | Qk.S | #2\|(Qk.S)-A | pGr | 3.34 | 3.49 |
| | Qk.S | #2\|(Qk.S)-B | pGr | 1.66 | 1.72 |
| | Qk.S | #2\|(Qk.S)-C | pGr | 3.35 | 3.52 |
| | Qk.W | #2\|(Qk.W)-000 | pGr | 2.39 | 2.32 |
| | Qk.W | #2\|(Qk.W)-090 | pGr | -6.14 | -6.23 |
| | Qk.W | #2\|(Qk.W)-180 | pGr | -2.45 | -2.32 |
| | Qk.W | #2\|(Qk.W)-270 | pGr | -2.36 | -2.43 |
| EG-09.9 | Gk | #1\|#SE-LF-1 | pGr | -6.68 | 0.79 |
| (g1) | Gk | #1\|LF-1 | pGr | 6.33 | 6.33 |
| | Gk | #1\|LF-1 | pGr | 25.10 | -8.93 |
| | Gk | #2\|#SE-LF-1 | pGr | 21.02 | 0.19 |
| | Gk | #2\|BS-Gk | pGr | 3.24 | -0.49 |
| | Gk | #2\|LF-1 | pGr | 25.55 | 9.56 |
| | Qk.N | #1\|(D-EG)-1 | pGr | -0.06 | 0.03 |
| | Qk.N | #1\|(D-EG)-2 | pGr | -0.65 | 0.25 |
| | Qk.N | #1\|(D-EG)-6 | pGr | 15.37 | -3.09 |
| | Qk.N | #1\|(D-EG)-7 | pGr | 0.70 | -0.28 |
| | Qk.N | #1\|(D-EG-BO)-1 | pGr | -9.01 | -0.31 |
| | Qk.N | #2\|#SE-LF-2 | pGr | 1.81 | 0.43 |
| | Qk.N | #2\|BS-Qk.N | pGr | 1.01 | -0.22 |
| | Qk.N | #2\|(D-O1)-3 | pGr | -0.04 | 0.03 |
| | Qk.N | #2\|(D-O1)-4 | pGr | -0.91 | 0.52 |



durch Vergleichsrechnung geprüft

| Position | EW | Lastfall | Art | $p_A$ | $p_E$ [kN/m] |
|---|---|---|---|---|---|
| | Qk.N | #2\|(D-01)-5 | pGr | 0.57 | -0.29 |
| | Qk.N | #2\|(D-01)-6 | pGr | 14.73 | -2.18 |
| | Qk.N | #2\|(D-01)-9 | pGr | -0.03 | 0.03 |
| | Qk.N | #2\|(D-01-BO)-1 | pGr | -10.48 | 4.66 |
| | Qk.S | #2\|BS-Qk.S | pGr | -0.03 | 0.02 |
| | Qk.S | #2\|(Qk.S)-A | pGr | 1.82 | -0.26 |
| | Qk.S | #2\|(Qk.S)-B | pGr | 0.91 | -0.13 |
| | Qk.S | #2\|(Qk.S)-C | pGr | 1.82 | -0.26 |
| | Qk.W | #2\|(Qk.W)-000 | pGr | 0.28 | -0.10 |
| | Qk.W | #2\|(Qk.W)-090 | pGr | -2.22 | 0.38 |
| | Qk.W | #2\|(Qk.W)-180 | pGr | -0.11 | 0.09 |
| | Qk.W | #2\|(Qk.W)-270 | pGr | -1.00 | 0.16 |

pGr: Gravitationslast; positive Lasten wirken senkrecht nach unten

(g1) aus Eigengewicht der Wand

Lastsummen

Einwirkungsweise Lastsummen der Punktlasten und Linienlast-Resultierenden, getrennt nach positiven und negativen Anteilen

Lasten aus Lastgruppen werden nicht berücksichtigt.

Linienlasten

| Position | EW | Art | Σpositiv [kN] | Σnegativ [kN] |
|---|---|---|---|---|
| 01-EG | Gk | PGr | 771.36 | |
| | Qk.N | PGr | 179.99 | -42.97 |
| | Qk.S | PGr | 0.00 | -1.64 |
| | Qk.W | PGr | 0.46 | -23.68 |
| 02-EG | Gk | PGr | 836.19 | |
| | Qk.N | PGr | 159.41 | -3.59 |
| | Qk.S | PGr | 16.45 | 0.00 |
| | Qk.W | PGr | 5.11 | -25.08 |
| 03-EG | Gk | PGr | 887.86 | |
| | Qk.N | PGr | 173.86 | -2.85 |
| | Qk.S | PGr | 15.26 | 0.00 |
| | Qk.W | PGr | 6.09 | -29.36 |
| 04-EG | Gk | PGr | 163.27 | |
| | Qk.N | PGr | 24.33 | -10.81 |
| | Qk.S | PGr | 0.06 | -0.37 |
| | Qk.W | PGr | 0.00 | -1.56 |
| 05-EG | Gk | PGr | 229.72 | |
| | Qk.N | PGr | 50.84 | -18.63 |
| | Qk.S | PGr | 0.01 | -0.54 |
| | Qk.W | PGr | 0.00 | -11.30 |
| 06-EG | Gk | PGr | 225.90 | |
| | Qk.N | PGr | 32.43 | -1.73 |
| | Qk.S | PGr | 0.00 | -0.08 |
| | Qk.W | PGr | 0.53 | -0.21 |
| EG-01.1 | Gk | PGr | 412.88 | |
| | Qk.N | PGr | 159.68 | -5.14 |
| | Qk.S | PGr | 0.00 | -0.06 |
| | Qk.W | PGr | 0.06 | -0.35 |
| EG-01.3 | Gk | PGr | 125.10 | |
| | Qk.N | PGr | 39.77 | -4.28 |



durch Vergleichsrechnung geprüft

| Position | EW | Art | Σpositiv [kN] | Σnegativ [kN] |
|---|---|---|---|---|
| | Qk.S | PGr | 0.02 | 0.00 |
| | Qk.W | PGr | 0.14 | -0.01 |
| EG-01.5 | Gk | PGr | 261.99 | |
| | Qk.N | PGr | 64.33 | -1.64 |
| | Qk.S | PGr | 1.75 | 0.00 |
| | Qk.W | PGr | 0.02 | 0.00 |
| EG-02.1 | Gk | PGr | 90.37 | |
| | Qk.N | PGr | 20.64 | -1.85 |
| | Qk.S | PGr | 0.52 | 0.00 |
| | Qk.W | PGr | 0.38 | -0.10 |
| EG-02.3 | Gk | PGr | 44.61 | |
| | Qk.N | PGr | 8.06 | -1.17 |
| | Qk.S | PGr | 0.12 | -0.01 |
| | Qk.W | PGr | 0.44 | -2.10 |
| EG-02.5 | Gk | PGr | 212.30 | |
| | Qk.N | PGr | 25.20 | -5.32 |
| | Qk.S | PGr | 0.21 | -0.66 |
| | Qk.W | PGr | 3.99 | -9.24 |
| EG-02.7 | Gk | PGr | 100.67 | |
| | Qk.N | PGr | 23.37 | -1.32 |
| | Qk.S | PGr | 0.53 | 0.00 |
| | Qk.W | PGr | 0.19 | -0.05 |
| EG-03.1 | Gk | PGr | 267.65 | |
| | Qk.N | PGr | 65.91 | -1.44 |
| | Qk.S | PGr | 3.07 | 0.00 |
| | Qk.W | PGr | 0.05 | -0.01 |
| EG-03.3 | Gk | PGr | 125.59 | |
| | Qk.N | PGr | 39.39 | -4.27 |
| | Qk.S | PGr | 1.75 | 0.00 |
| | Qk.W | PGr | 0.14 | -0.01 |
| EG-03.5 | Gk | PGr | 422.75 | |
| | Qk.N | PGr | 162.75 | -5.16 |
| | Qk.S | PGr | 0.45 | 0.00 |
| | Qk.W | PGr | 0.06 | -0.35 |
| EG-04.1 | Gk | PGr | 434.01 | |
| | Qk.N | PGr | 126.69 | -19.00 |
| | Qk.S | PGr | 0.52 | 0.00 |
| | Qk.W | PGr | 0.17 | -1.51 |
| EG-04.3.1 | Gk | PGr | 239.63 | |
| | Qk.N | PGr | 66.12 | -11.99 |
| | Qk.S | PGr | 9.61 | 0.00 |
| | Qk.W | PGr | 1.44 | -10.95 |
| EG-04.3.2 | Gk | PGr | 239.05 | |
| | Qk.N | PGr | 66.09 | -12.14 |
| | Qk.S | PGr | 9.51 | 0.00 |
| | Qk.W | PGr | 1.44 | -10.95 |
| EG-04.5 | Gk | PGr | 440.07 | |
| | Qk.N | PGr | 127.74 | -18.92 |
| | Qk.S | PGr | 6.33 | 0.00 |
| | Qk.W | PGr | 0.17 | -1.51 |
| EG-05.1 | Gk | PGr | 71.61 | |
| | Qk.N | PGr | 22.69 | -7.31 |
| | Qk.S | PGr | 4.26 | 0.00 |
| | Qk.W | PGr | 0.61 | -4.26 |
| EG-05.3 | Gk | PGr | 336.22 | |
| | Qk.N | PGr | 100.47 | -13.73 |
| | Qk.S | PGr | 2.31 | 0.00 |
| | Qk.W | PGr | 0.08 | -0.60 |
| EG-06.1 | Gk | PGr | 71.53 | |



durch Vergleichsrechnung geprüft

| Position | EW | Art | Σpositiv [kN] | Σnegativ [kN] |
|---|---|---|---|---|
| | Qk.N | PGr | 22.63 | -7.28 |
| | Qk.S | PGr | 4.29 | 0.00 |
| | Qk.W | PGr | 0.61 | -4.26 |
| EG-06.3 | Gk | PGr | 333.54 | |
| | Qk.N | PGr | 100.10 | -14.07 |
| | Qk.S | PGr | 0.91 | 0.00 |
| | Qk.W | PGr | 0.10 | -0.58 |
| EG-07.1 | Gk | PGr | 85.72 | |
| | Qk.N | PGr | 19.86 | -7.70 |
| | Qk.S | PGr | 4.99 | 0.00 |
| | Qk.W | PGr | 0.82 | -6.44 |
| EG-07.3 | Gk | PGr | 112.34 | |
| | Qk.N | PGr | 29.32 | -21.79 |
| | Qk.S | PGr | 0.00 | -0.28 |
| | Qk.W | PGr | 0.10 | -1.86 |
| EG-07.5 | Gk | PGr | 81.67 | |
| | Qk.N | PGr | 19.48 | -8.83 |
| | Qk.S | PGr | 4.76 | 0.00 |
| | Qk.W | PGr | 0.88 | -6.68 |
| EG-08 | Gk | PGr | 31.15 | |
| | Qk.N | PGr | 12.53 | -10.19 |
| | Qk.S | PGr | 0.05 | -0.22 |
| | Qk.W | PGr | 0.00 | -0.59 |
| EG-09.1 | Gk | PGr | 87.92 | |
| | Qk.N | PGr | 29.79 | -15.40 |
| | Qk.S | PGr | 0.49 | 0.00 |
| | Qk.W | PGr | 0.18 | -2.81 |
| EG-09.3 | Gk | PGr | 111.31 | |
| | Qk.N | PGr | 33.31 | -5.72 |
| | Qk.S | PGr | 0.00 | -0.64 |
| | Qk.W | PGr | 2.65 | -12.33 |
| EG-09.5 | Gk | PGr | 36.78 | |
| | Qk.N | PGr | 5.57 | -0.98 |
| | Qk.S | PGr | 0.00 | -0.16 |
| | Qk.W | PGr | 0.40 | -2.37 |
| EG-09.7 | Gk | PGr | 111.59 | |
| | Qk.N | PGr | 33.25 | -5.54 |
| | Qk.S | PGr | 0.00 | -0.83 |
| | Qk.W | PGr | 2.65 | -12.33 |
| EG-09.9 | Gk | PGr | 84.79 | |
| | Qk.N | PGr | 29.53 | -16.51 |
| | Qk.S | PGr | 0.00 | -0.02 |
| | Qk.W | PGr | 0.18 | -2.80 |

PGr: Gravitationslast; positive Lasten wirken senkrecht nach unten

## Einwirkungen

### DIN EN 1990

Einwirkungen nach DIN EN 1990

| Kürzel | Beschreibung<br>Typisierung |
|---|---|
| Gk | Eigenlasten<br>Ständige Einwirkungen |
| Qk.N | Nutzlasten<br>Kategorie A - Wohn- und Aufenthaltsräume |
| Qk.S | Schnee<br>Schnee- und Eislasten für Orte bis NN + 1000 m |
| Qk.W | Wind |



durch Vergleichsrechnung geprüft

| | Kürzel | Beschreibung |
|---|---|---|
| | | Typisierung |
| | | Windlasten |

**Lastfälle** Lastfälle und deren Zuordnung zu den Einwirkungen

| | |
|---|---|
| Gk | LF-1, BS-Gk, #1\|#SE-LF-1, #1\|BS-Gk, #1\|LF-1, #2\|#SE-LF-1, #2\|BS-Gk, #2\|LF-1, #3\|BS-Gk, #3\|LF-1 |
| Qk.N | BS-Qk.N, LF-2, (FP-001)-1, (FP-001)-2, (FP-001)-3, (FP-001)-4, (FP-001)-5, (FP-001)-6, (FP-001)-7, (FP-001)-8, (FP-001)-9, #1\|BS-Qk.N, #1\|(D-EG)-1, #1\|(D-EG)-2, #1\|(D-EG)-3, #1\|(D-EG)-4, #1\|(D-EG)-5, #1\|(D-EG)-6, #1\|(D-EG)-7, #1\|(D-EG)-8, #1\|(D-EG)-9, #1\|(D-EG-BO)-1, #1\|(D-EG-BU)-1, #2\|#SE-LF-2, #2\|BS-Qk.N, #2\|(D-009)-1, #2\|(D-01)-1, #2\|(D-01)-2, #2\|(D-01)-3, #2\|(D-01)-4, #2\|(D-01)-5, #2\|(D-01)-6, #2\|(D-01)-7, #2\|(D-01)-8, #2\|(D-01)-9, #2\|(D-01-BO)-1, #2\|(D-01-BU)-1, #3\|#SE-LF-2, #3\|BS-Qk.N, #3\|(D-009)-1, #3\|(D-009)-2, #3\|(D-009)-3, #3\|(D-009)-4 |
| Qk.S | #2\|BS-Qk.S, #3\|BS-Qk.S |
| | *#2\|LG-(Qk.S)* (#2\|(Qk.S)-A, #2\|(Qk.S)-B, #2\|(Qk.S)-C) |
| | *#3\|LG-(Qk.S)* (#3\|(Qk.S)-A, #3\|(Qk.S)-B, #3\|(Qk.S)-C) |
| Qk.W | #2\|(Qk.W)-000, #2\|(Qk.W)-090, #2\|(Qk.W)-180, #2\|(Qk.W)-270, #3\|(Qk.W)-000, #3\|(Qk.W)-090, #3\|(Qk.W)-180, #3\|(Qk.W)-270 |

## Bemessung (GZT+GZG)

**Biegung Pl-As-erf-Iso** Plattenbiegebemessung nach DIN EN 1992-1-1

**FP-001** Bemessung für Platte (Stahlbeton) FP-001

**Mat./Querschnitt**

Beton *C 25/30*
Gesteinskörnung Quarzit
Betonstahl *B 500MA*

Dicke konstant h = 30.00 cm

**Expositionsklasse** gemäß DIN EN 1992-1-1, Tab. 4.1

| Position | Seite | Kl | Kommentar |
|---|---|---|---|
| FP-001 | oben | XC1 | trocken oder ständig nass |
| | unten | XC2 | nass, selten trocken |

**Bewehrung** Vorgaben zur Bewehrungsdefinition

| | | | | | |
|---|---|---|---|---|---|
| Betondeckung | $c_{min,u}/c_{min,o}$ | = | 20/ | 10 | mm |
| | $\Delta c_{def,u}/\Delta c_{def,o}$ | = | 15/ | 10 | mm |
| | $c_{nom,u}/c_{nom,o}$ | = | 35/ | 20 | mm |
| Bewehrungsabstand | $d'_{ru/su}$ | = | 40/ | 50 | mm |
| | $d'_{ro/so}$ | = | 25/ | 35 | mm |
| Bewehrungsrichtung | $w_{ru/su}$ | = | 0.0/ | 90.0 | ° |
| | $w_{ro/so}$ | = | 0.0/ | 90.0 | ° |

**Grundbewehrung**

| Seite | | Matte, Stäbe Ø[mm]/s[cm] | $d'_r$ [mm] | $a_{sg,r}$ [cm²/m] | $d'_s$ [mm] | $a_{sg,s}$ [cm²/m] |
|---|---|---|---|---|---|---|
| Unten | r | Q 524A | 40 | 5.24 | 50 | 5.24 |
| Oben | r | Q 524A | 25 | 5.24 | 35 | 5.24 |

**Nachweisparameter** nach DIN EN 1992-1-1



durch Vergleichsrechnung geprüft

Mindestbewehrung (9.2.1.1) wurde berücksichtigt.

Kombinationen

Maßgebende Kombinationen nach DIN EN 1990

Ew Einwirkungsname
Lkn Lastkombinationsnummer
! vorherrschende veränderliche Einwirkung

Die Beteiligung einzelner Lastfälle innerhalb einer Einwirkung wird mit diesem Ausgabeformat nicht dokumentiert.

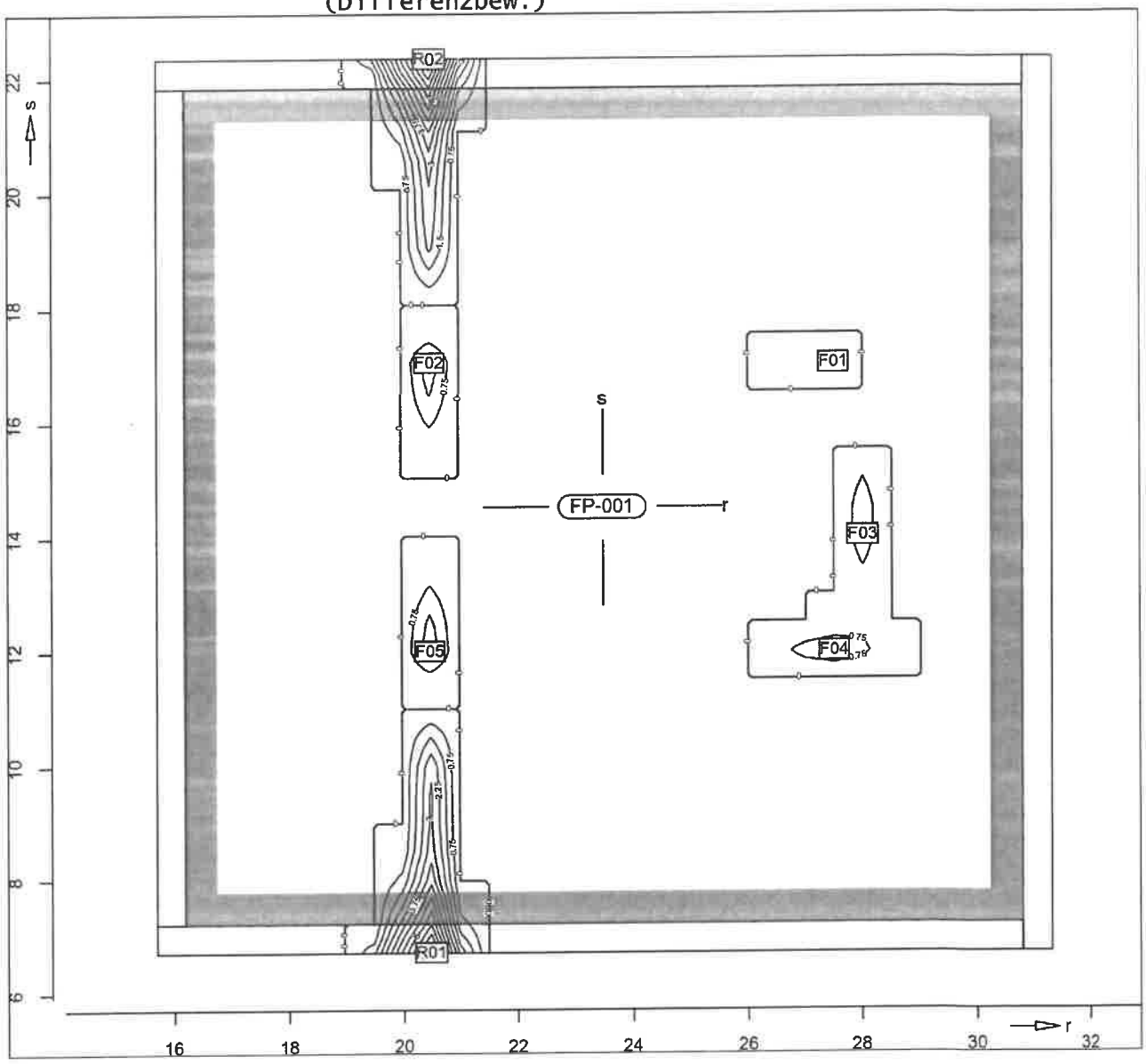
| Ew | Gk | Qk.N | Qk.S | Qk.W |
|---|---|---|---|---|
| Lkn | Grundkombination | | | |
| 1-23 | 1.35 | 1.50! | 0.75 | . |
| 24 | 1.35 | 1.50! | . | 0.90 |



durch Vergleichsrechnung geprüft

as,r,unten — Längsbewehrung in r-Richtung in unterer Lage

Erf. Bewehrung — Erforderliche untere Bewehrung as,ru [cm²/m] (Differenzbew.)




Isolinienstufen = 0.75 cm²/m

Achsabstand erf. Bewehrung: $d'_{ru}$ = 40 mm
Achsabstand vorh. Bewehrung: $d'_{ru}$ = 40 mm
Grundbewehrung: asg,ru = 5.24 cm²/m

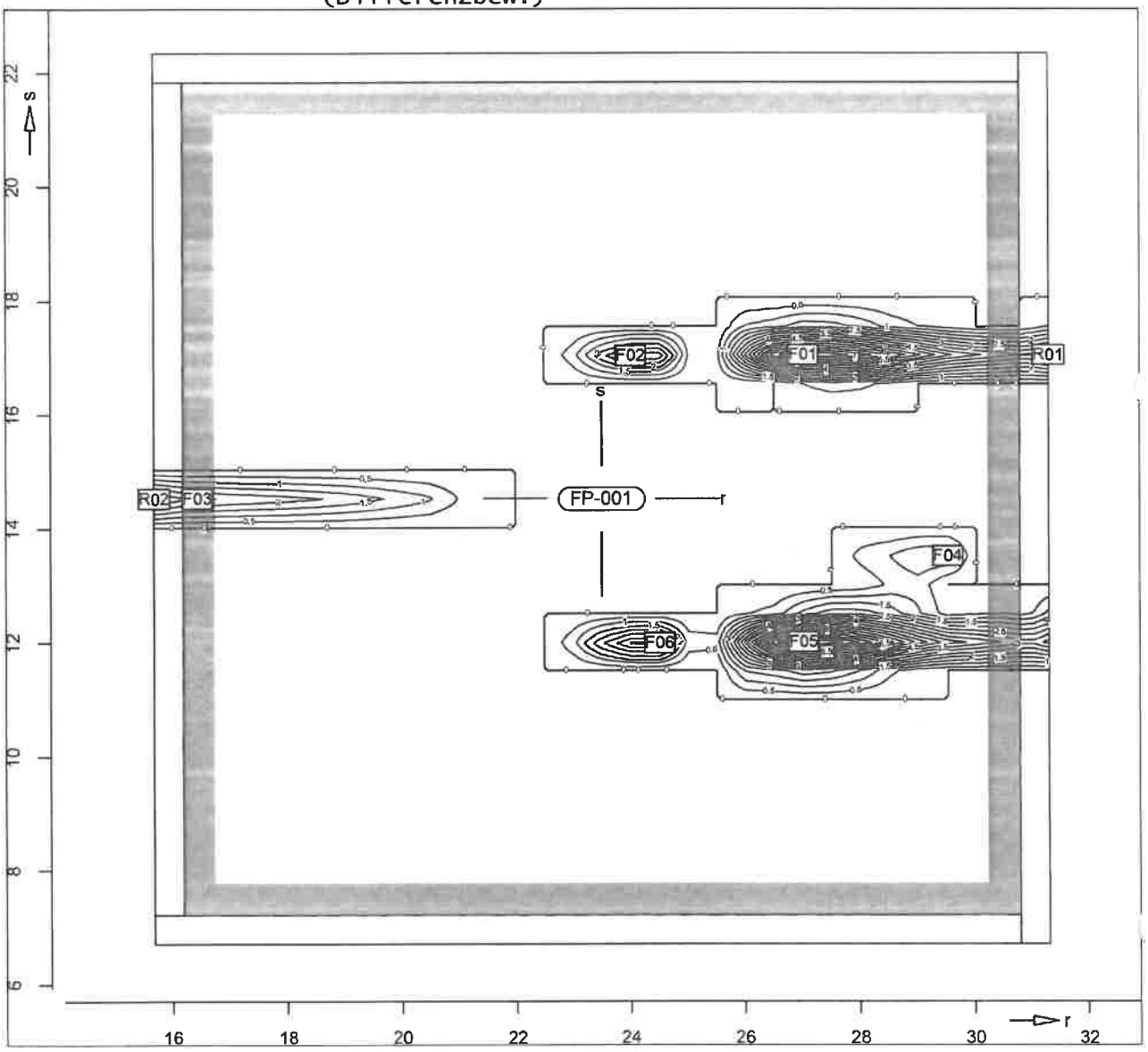
| Punkt | x | y [m] | $m_{r,Ed}$ | $m_{s,Ed}$ | $m_{rs,Ed}$ | $m_{Ed}$ [kNm/m] | $a_{s,ru}$ [cm²/m] | Lkn |
|---|---|---|---|---|---|---|---|---|
| F01 | 27.53 | 17.05 | 57.58 | 125.33 | 6.23 | 63.80 | 0.34 | 2 |
| F02 | 20.48 | 17.05 | 79.26 | 37.16 | -3.33 | 82.58 | 2.07 | 3 |
| F03 | 28.04 | 14.02 | 68.65 | 48.31 | 4.27 | 72.92 | 1.17 | 4 |
| F04 | 27.53 | 12.01 | 62.66 | 130.74 | -10.94 | 73.61 | 1.24 | 5 |
| F05 | 20.48 | 12.01 | 79.12 | 37.10 | 3.46 | 82.58 | 2.07 | 6 |
| R01 | 20.48 | 6.71 | 112.70 | 1.03 | -40.85 | 153.56 | 8.95 | 1 |
| R02 | 20.48 | 22.34 | 125.32 | 1.00 | 39.09 | 164.42 | 10.06 | 24 |



durch Vergleichsrechnung geprüft

as,s,unten — Längsbewehrung in s-Richtung in unterer Lage

Erf. Bewehrung — Erforderliche untere Bewehrung as,su [cm²/m] (Differenzbew.)




Isolinienstufen = 0.50 cm²/m

Achsabstand erf. Bewehrung: $d'_{su}$ = 50 mm
Achsabstand vorh. Bewehrung: $d'_{su}$ = 50 mm
Grundbewehrung: asg,su = 5.24 cm²/m

| Punkt | x | y [m] | $m_{r,Ed}$ | $m_{s,Ed}$ | $m_{rs,Ed}$ | $m_{Ed}$ [kNm/m] | $a_{s,su}$ [cm²/m] | Lkn |
|---|---|---|---|---|---|---|---|---|
| F01 | 27.03 | 17.05 | 52.96 | 126.18 | 9.10 | 135.28 | **7.93** | 9 |
| F02 | 24.00 | 17.05 | 16.77 | 83.93 | 8.21 | 92.14 | **3.37** | 10 |
| F03 | 16.44 | 14.53 | 0.26 | 83.99 | -0.85 | 84.84 | **2.62** | 11 |
| F04 | 29.55 | 13.52 | 44.51 | 66.84 | -7.30 | 74.14 | **1.52** | 12 |
| F05 | 27.03 | 12.01 | 58.57 | 134.51 | -11.28 | 145.79 | **9.07** | 13 |
| F06 | 24.51 | 12.01 | 12.08 | 83.70 | -10.66 | 94.36 | **3.60** | 14 |
| R01 | 31.31 | 17.05 | 2.28 | 87.47 | -10.49 | 97.96 | **3.98** | 7 |



durch Vergleichsrechnung geprüft

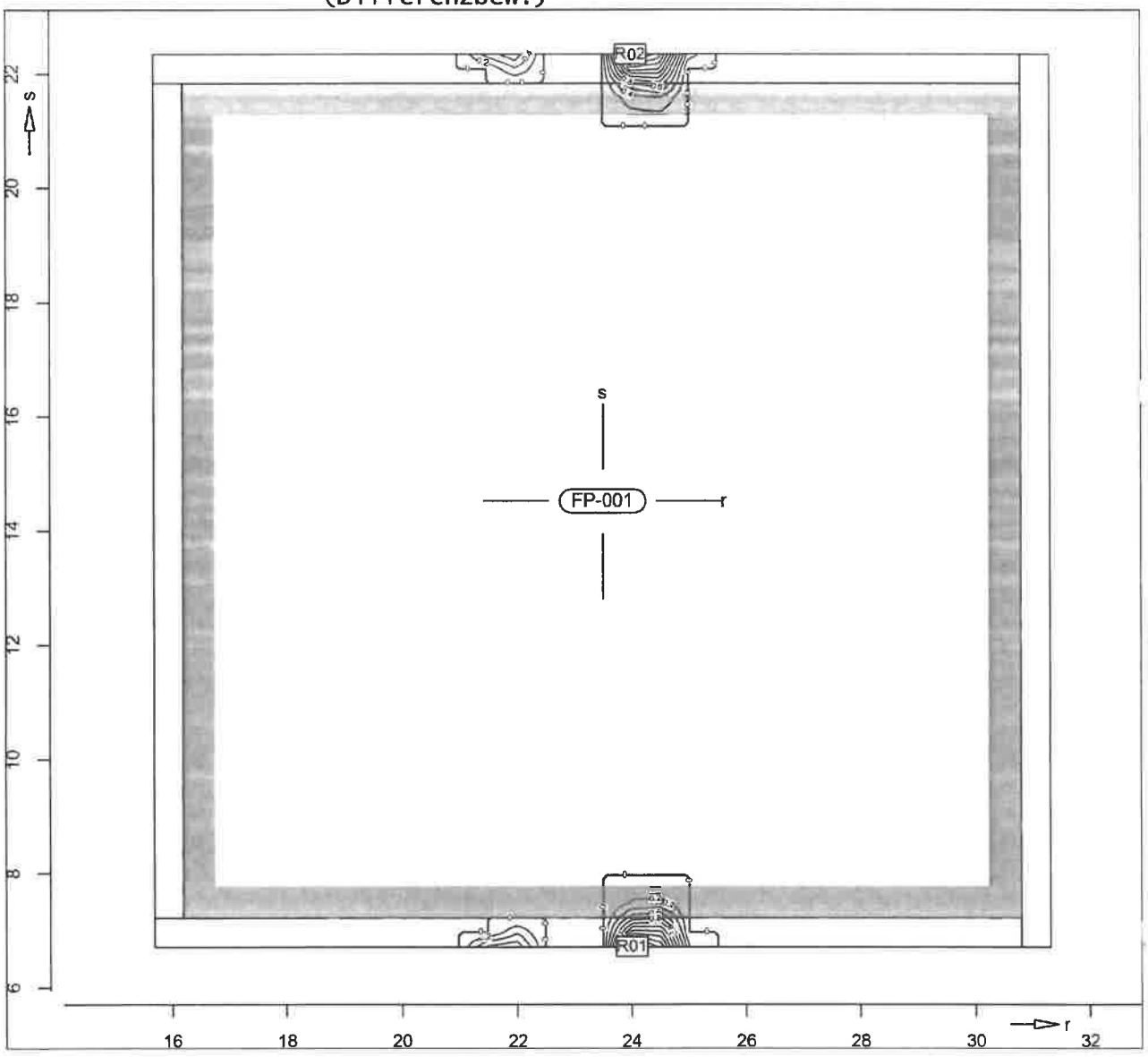
| Punkt | x | y [m] | $m_{r,Ed}$ | $m_{s,Ed}$ | $m_{rs,Ed}$ | $m_{Ed}$ [kNm/m] | $a_{s,su}$ [cm²/m] | Lkn |
|---|---|---|---|---|---|---|---|---|
| R02 | 15.69 | 14.53 | 2.77 | 90.41 | -0.16 | 90.57 | 3.21 | 8 |



**durch Vergleichsrechnung geprüft**

as,r,oben — Längsbewehrung in r-Richtung in oberer Lage

Erf. Bewehrung — Erforderliche obere Bewehrung as,ro [cm²/m] (Differenzbew.)




Isolinienstufen = 0.20 cm²/m

Achsabstand erf. Bewehrung: $d'_{ro}$ = 25 mm
Achsabstand vorh. Bewehrung: $d'_{ro}$ = 25 mm
Grundbewehrung: asg,ro = 5.24 cm²/m

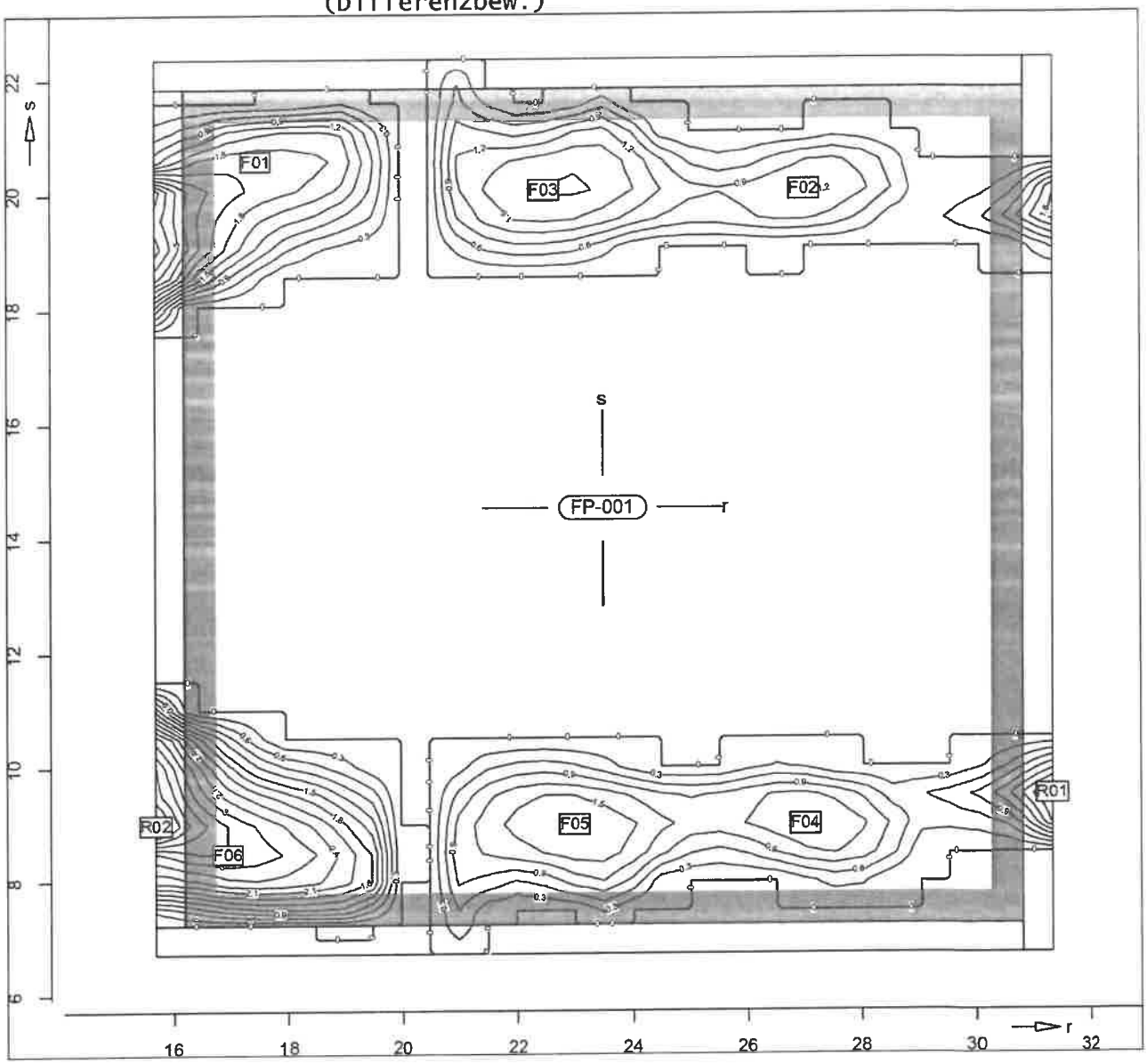
| Punkt | x | y [m] | $m_{r,Ed}$ | $m_{s,Ed}$ | $m_{rs,Ed}$ | $m_{Ed}$ [kNm/m] | $a_{s,ro}$ [cm²/m] | Lkn |
|---|---|---|---|---|---|---|---|---|
| R01 | 24.00 | 6.71 | -58.88 | -0.41 | -33.52 | -92.40 | 2.44 | 15 |
| R02 | 24.00 | 22.34 | -59.71 | -0.40 | 34.24 | -93.95 | 2.58 | 16 |



durch Vergleichsrechnung geprüft

as,s,oben — Längsbewehrung in s-Richtung in oberer Lage

Erf. Bewehrung — Erforderliche obere Bewehrung as,so [cm²/m] (Differenzbew.)




Isolinienstufen = 0.30 cm²/m

Achsabstand erf. Bewehrung: $d'_{so}$ = 35 mm
Achsabstand vorh. Bewehrung: $d'_{so}$ = 35 mm
Grundbewehrung: asg,so = 5.24 cm²/m

| Punkt | x | y [m] | $m_{r,Ed}$ | $m_{s,Ed}$ | $m_{rs,Ed}$ | $m_{Ed}$ [kNm/m] | $a_{s,so}$ [cm²/m] | Lkn |
|---|---|---|---|---|---|---|---|---|
| F01 | 17.45 | 20.57 | -30.78 | -83.08 | 2.92 | -86.00 | **2.06** | 19 |
| F02 | 27.03 | 20.07 | -10.42 | -71.41 | 6.37 | -77.78 | **1.24** | 20 |
| F03 | 22.49 | 20.07 | -26.39 | -62.46 | 21.40 | -83.85 | **1.85** | 21 |
| F04 | 27.03 | 8.98 | -10.00 | -73.99 | -6.56 | -80.56 | **1.51** | 22 |
| F05 | 23.00 | 8.98 | -31.84 | -63.14 | -20.22 | -83.35 | **1.79** | 23 |
| F06 | 16.95 | 8.48 | -31.39 | -90.17 | -8.11 | -98.29 | **3.30** | 18 |
| R01 | 31.31 | 9.49 | -0.48 | -75.77 | 14.66 | -90.43 | **2.51** | 17 |

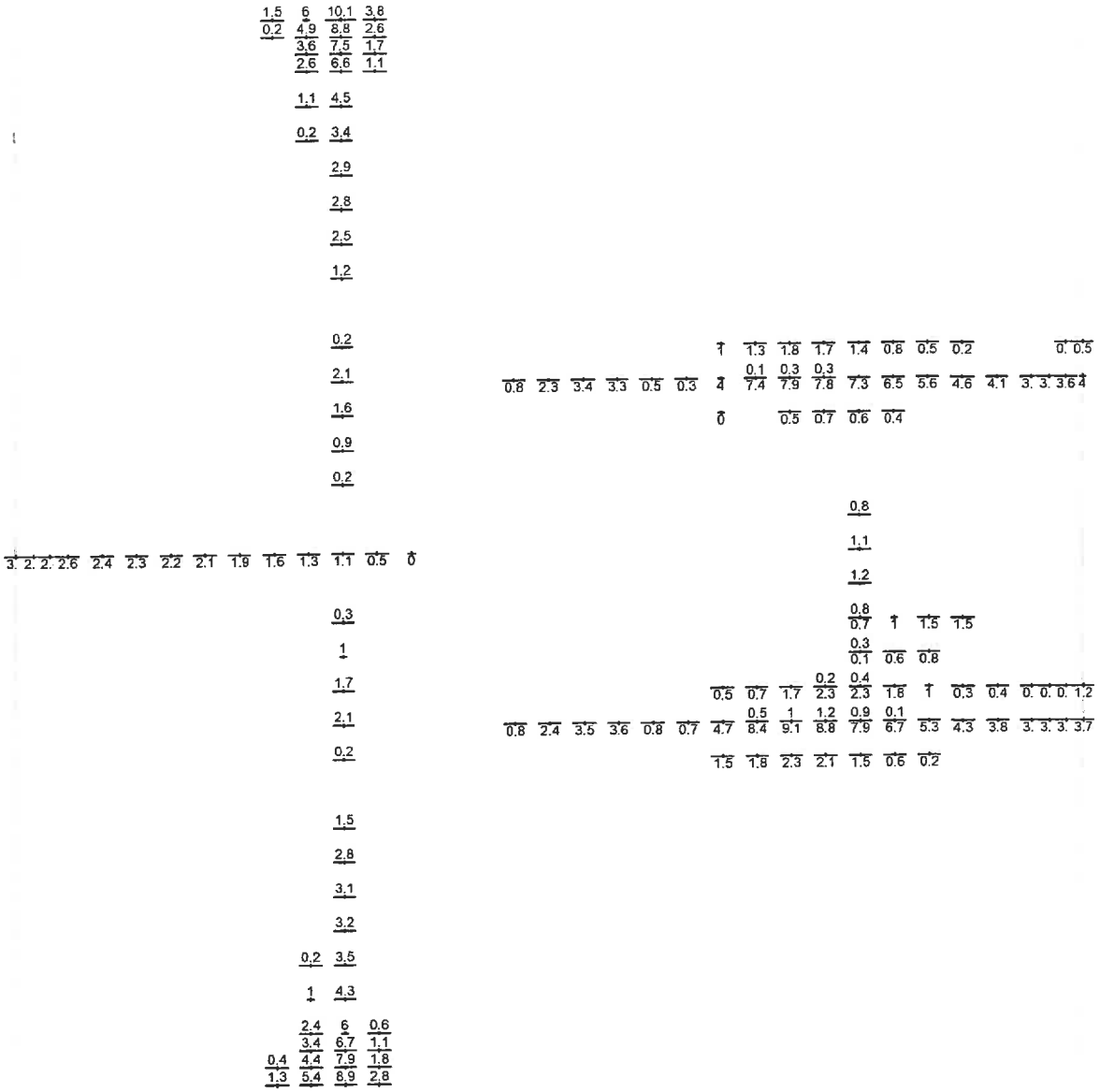


durch Vergleichsrechnung geprüft

| Punkt | x | y [m] | $m_{r,Ed}$ | $m_{s,Ed}$ | $m_{rs,Ed}$ | $m_{Ed}$ [kNm/m] | $a_{s,so}$ [cm²/m] | Lkn |
|---|---|---|---|---|---|---|---|---|
| R02 | 15.69 | 8.98 | -0.51 | -102.74 | -13.47 | -116.21 | **5.13** | 18 |



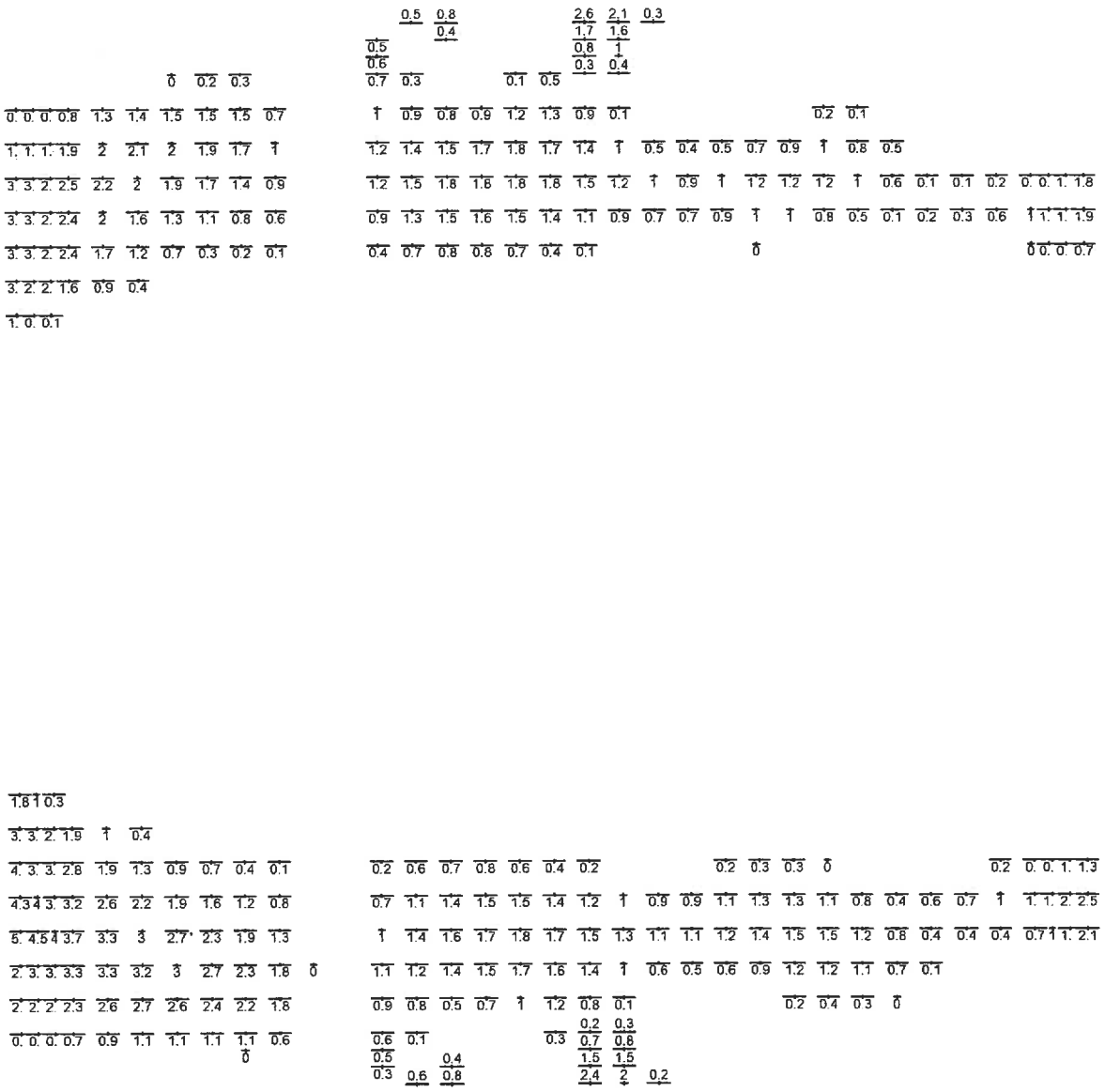
durch Vergleichsrechnung geprüft



| **Flächenbemessung** | Erforderliche Bewehrung as,erf (Differenzbewehrung) | Maßstab: 1:100 |
|---|---|---|
| r/s: Vorh. Bewehrung as,vorh = 5.2 / 5.2 (Grund+Zulagen) | | |
| Beton C 25/30 | aus allen Nachweisen | |
| r/s: Bew.-Abstand d' = 40 / 50 mm | Unterseite in [cm²/m] | |
| Bauteildicke h = 30.00 cm | r/s: Min = 0 / 0, Max = 10.1 / 9.1 | |



durch Vergleichsrechnung geprüft



| **Flächenbemessung** | Erforderliche Bewehrung as,erf (Differenzbewehrung) | Maßstab: 1:100 |
|---|---|---|
| r/s: Vorh. Bewehrung as,vorh = 5.2 / 5.2 (Grund+Zulagen) | | |
| Beton C 25/30 | aus allen Nachweisen | |
| r/s: Bew.-Abstand d' = 25 / 35 mm | Oberseite in [cm²/m] | |
| Bauteildicke h = 30.00 cm | r/s: Min = 0 / 0, Max = 2.6 / 5.1 | |



durch Vergleichsrechnung geprüft

Querkraft Pl-As-Iso  Querkraftbemessung Plattenbereiche

FP-001  Querkraftbemessung der Platte (Isolinien)

Querkraftbemessung nach DIN EN 1992-1-1
Beton C 25/30, Betonstahl B 500SA
Gesteinskörnung Quarzit
Druckstrebenneigung wurde vom Programm optimiert.
Mindestbewehrung (9.3.2) wurde nicht ermittelt.

Dicke konstant h = 30.00 cm

Kombinationen  Maßgebende Kombinationen nach DIN EN 1990

Ew  Einwirkungsname
Lkn  Lastkombinationsnummer
!  vorherrschende veränderliche Einwirkung

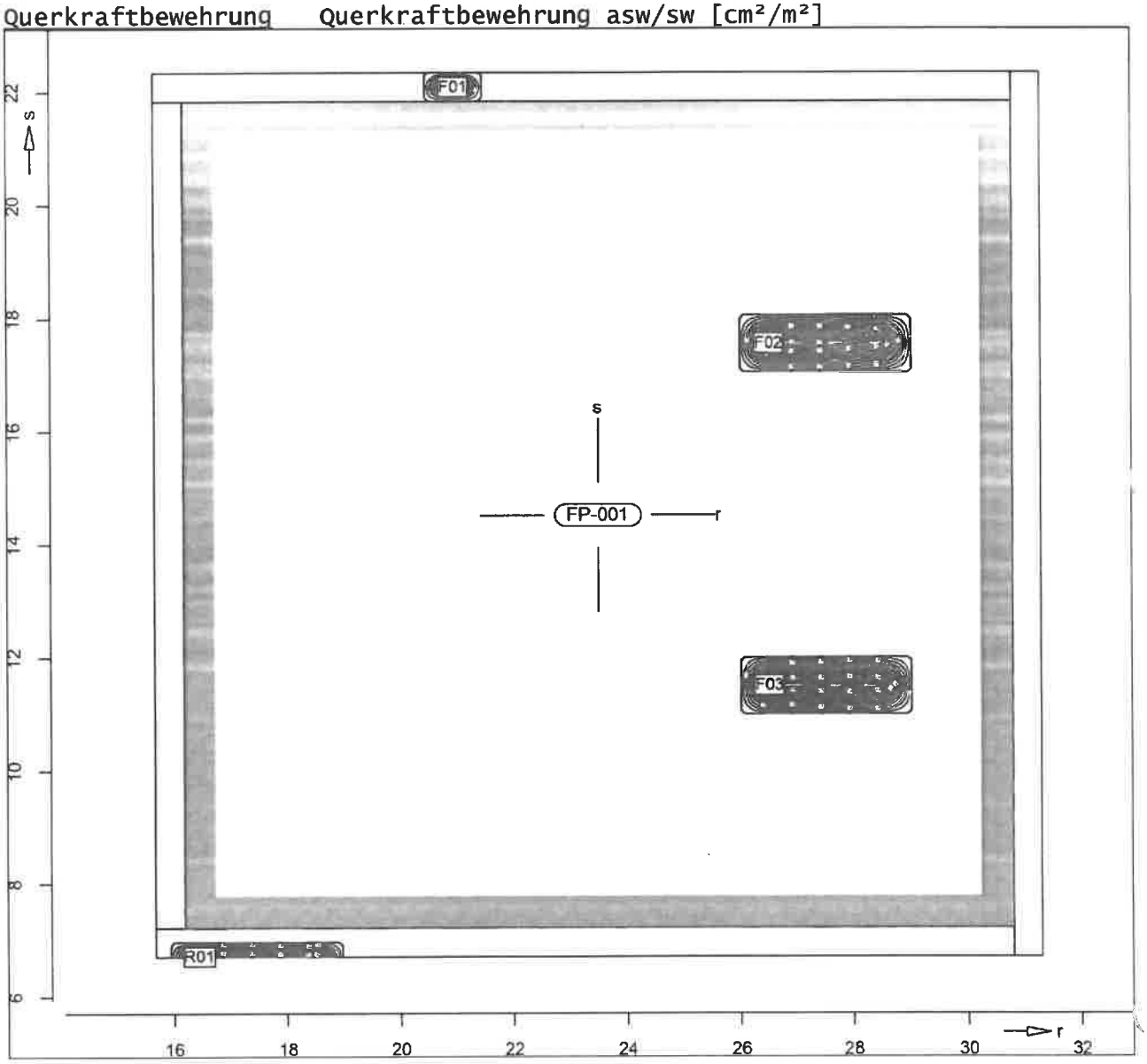
Die Beteiligung einzelner Lastfälle innerhalb einer Einwirkung wird mit diesem Ausgabeformat nicht dokumentiert.

| Ew | Gk | Qk.N | Qk.S | Qk.W |
|---|---|---|---|---|
| Lkn | Grundkombination | | | |
| 1-2 | 1.35 | 1.50! | . | 0.90 |
| 3-4 | 1.35 | 1.50! | 0.75 | . |



durch Vergleichsrechnung geprüft

Querkraftbewehrung  Querkraftbewehrung asw/sw [cm²/m²]



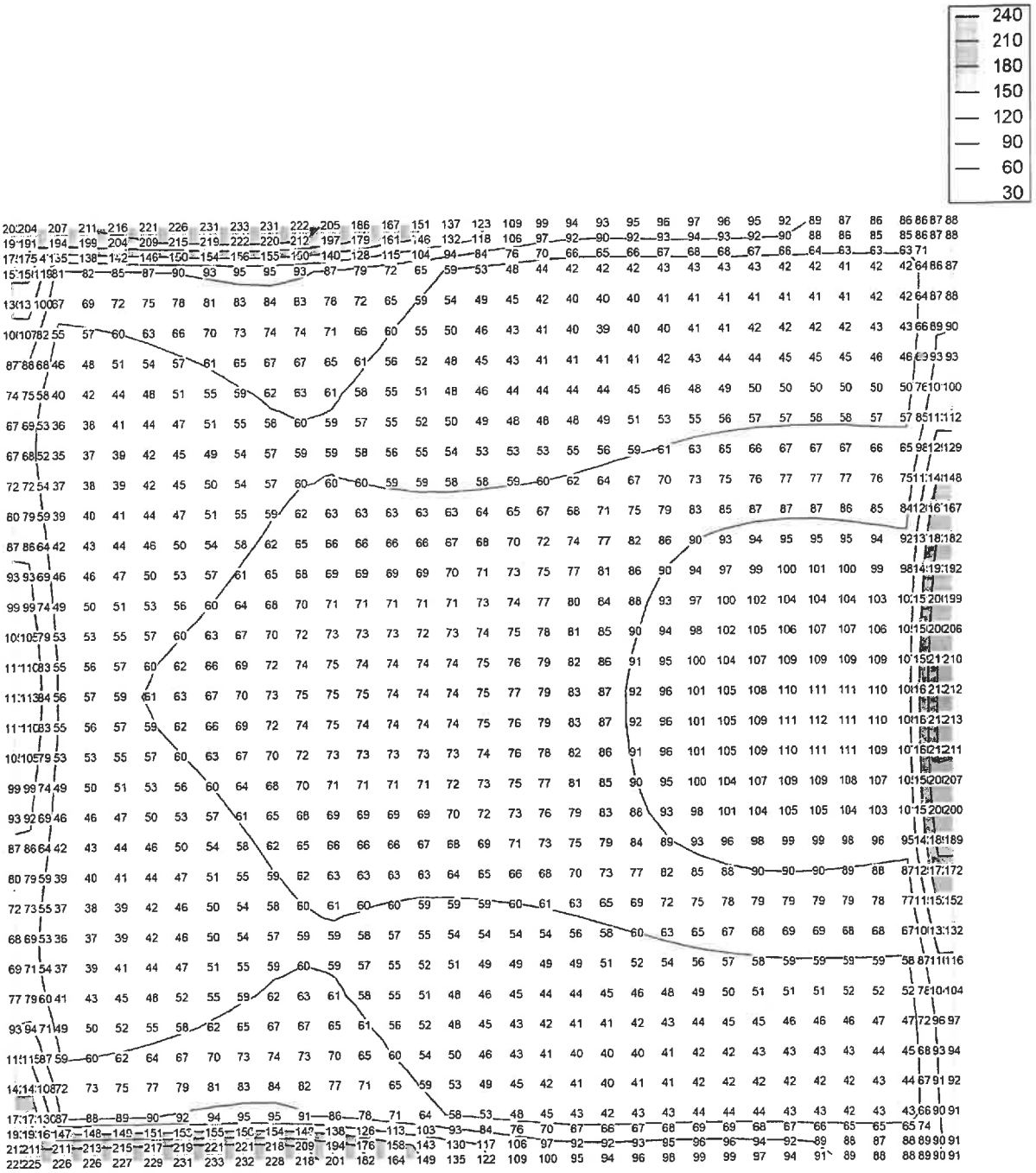

Isolinienstufen = 0.30 cm²/m²

| Punkt | x | y [m] | | vEd | vEd,res | vRd,c | | vRd,max [kN/m] | asw/sw | Summe [cm²/m²] | Lkn |
|---|---|---|---|---|---|---|---|---|---|---|---|
| F01 | 20.98 | 22.09 | r | -123.2 | 136.0 | 117.0 | m | 701.2 | 4.29 | **4.29** | 2 |
| | | | s | 57.5 | | 118.5 | m | 605.6 | 0.00 | | |
| F02 | 26.52 | 17.55 | r | 42.7 | 140.2 | 117.0 | m | 701.2 | 0.00 | **5.39** | 3 |
| | | | s | -133.6 | | 114.1 | m | 605.6 | 5.39 | | |
| F03 | 26.52 | 11.50 | r | 45.9 | 148.2 | 117.0 | m | 701.2 | 0.00 | **5.68** | 4 |
| | | | s | 140.9 | | 114.1 | m | 605.6 | 5.68 | | |
| R01 | 16.44 | 6.71 | r | -22.3 | 132.9 | 121.4 | m | 669.4 | 0.00 | **5.29** | 1 |
| | | | s | -131.1 | | 118.5 | m | 605.6 | 5.29 | | |

m: Mindestwert nach DIN EN 1992-1-1, Gl.(6.2.b)  maßgebend



durch Vergleichsrechnung geprüft




| **Flächenpressungen** | Lagerkraft in z-Richtung in [kN/m²] | Maßstab: 1:105 |
|---|---|---|

lastkombinationsweise dargestellt
aus Lastkombination LK-1
Max = 233 (Kn. 1043), Min = 35 (Kn. 1151), Step = 30



durch Vergleichsrechnung geprüft

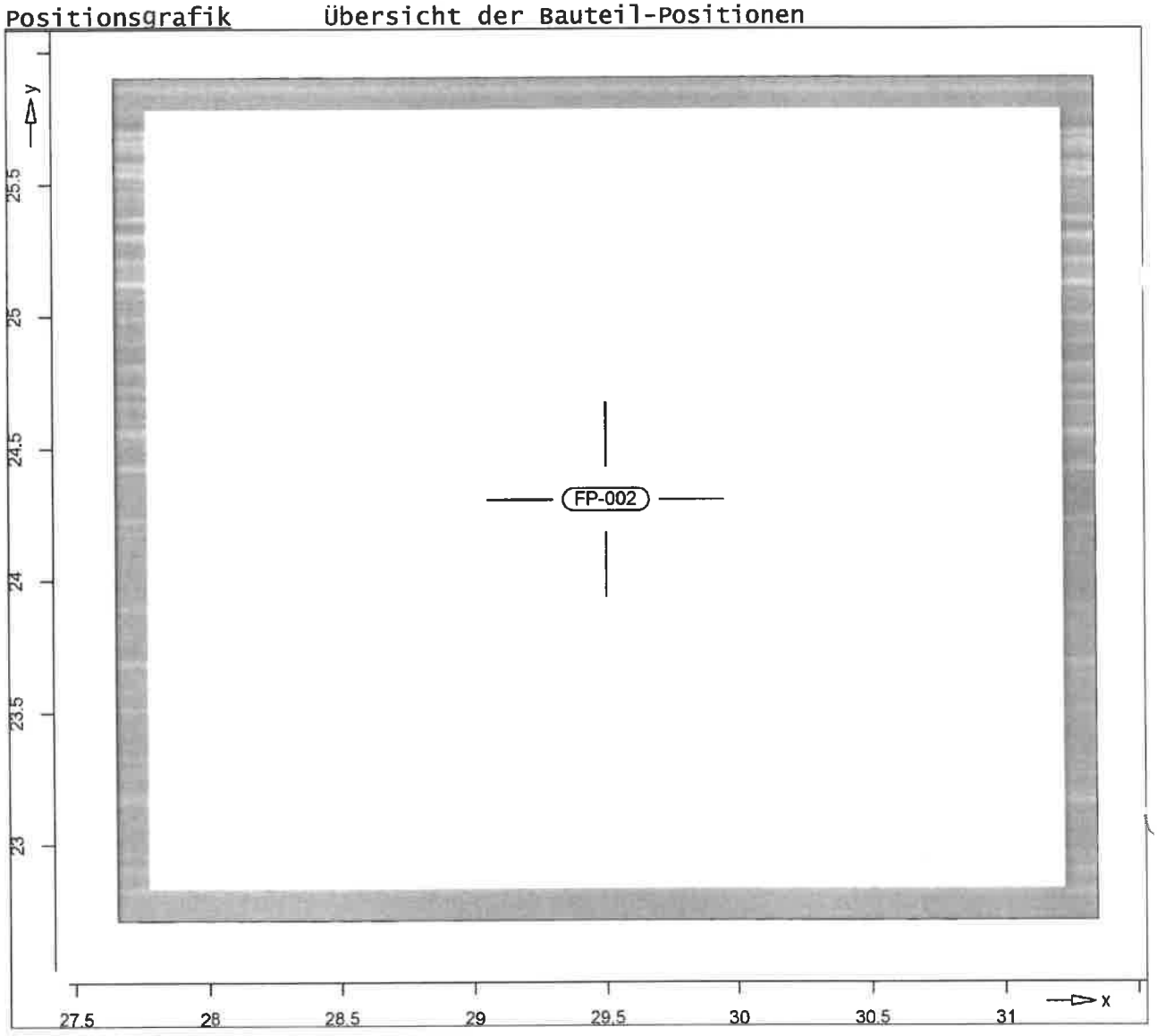
## Pos. 5.02 Stb-Bodenplatte

### System

Positionsplan Positionsplan

Bauteile Bauteil-Positionen

Positionsgrafik Übersicht der Bauteil-Positionen




Platten Platten-Positionen

Stahlbeton

| Position | Winkel [°] | Art | Material Längs | Material Quer | Dicke [cm] |
|---|---|---|---|---|---|
| FP-002 | 0.0 | iso | *C 25/30* Q<br>*B 500MA* | *B 500SA* | 20.0 |

Winkel: Bewehrungsrichtung r
iso: isotropes Material
Q: Gesteinskörnung Quarzit



durch Vergleichsrechnung geprüft

**Expositionsklasse** gemäß DIN EN 1992-1-1, Tab. 4.1

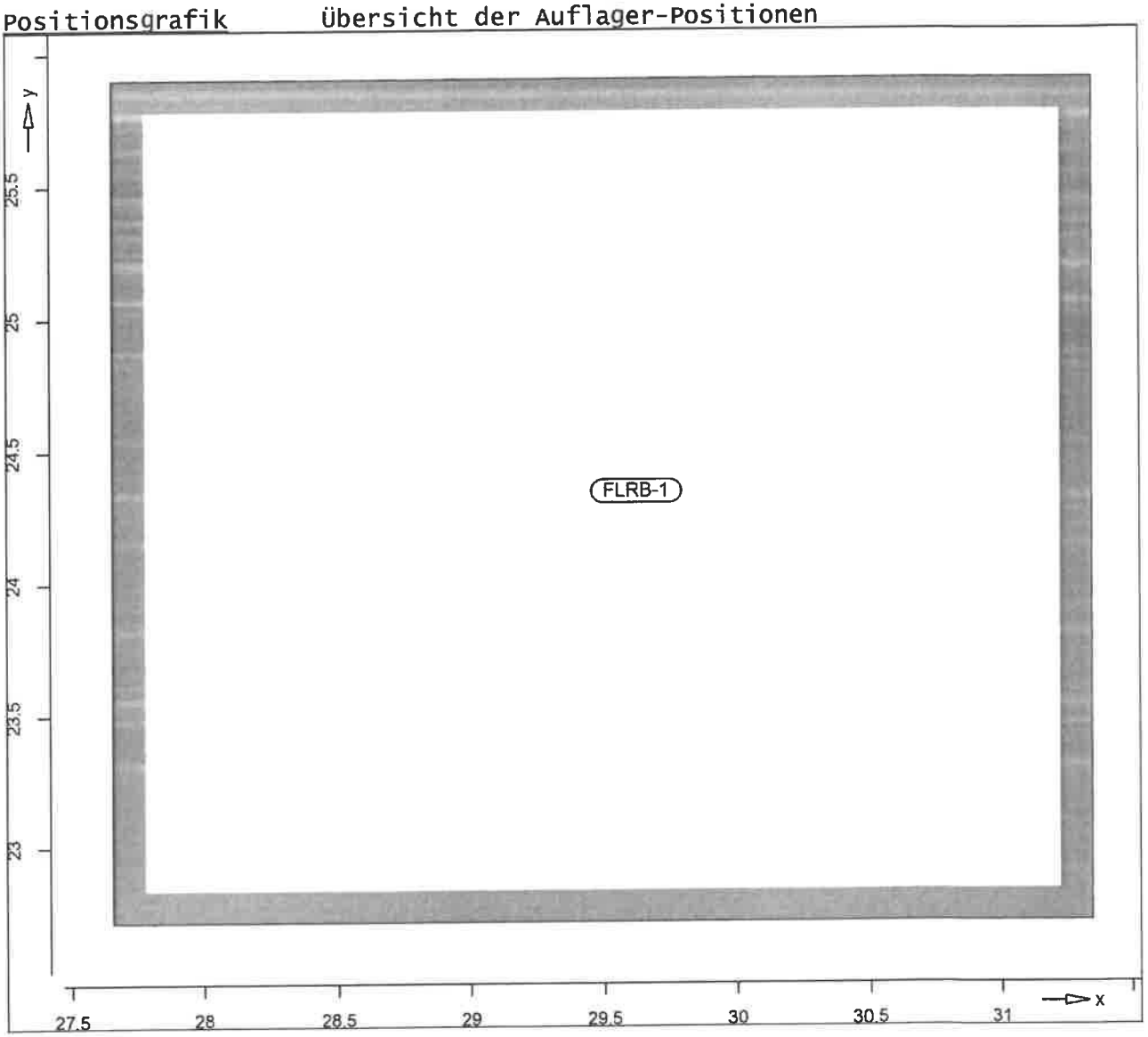
| Position | Seite | Kl | Kommentar |
|---|---|---|---|
| FP-002 | oben | XC1 | trocken oder ständig nass |
| | unten | XC2 | nass, selten trocken |

**Koordinaten**

| Position | x [m] | y [m] |
|---|---|---|
| FP-002 | 27.66 | 22.71 |
| | 31.35 | 22.71 |
| | 31.35 | 25.90 |
| | 27.66 | 25.90 |

**Auflager** Auflager-Positionen

**Positionsgrafik** Übersicht der Auflager-Positionen




**Flächenlager** Flächenlager-Positionen



durch Vergleichsrechnung geprüft

Flächenbettung (Bettungsziffer)

| Position | | $K_{T,z}$ [kN/m³] |
|---|---|---|
| FLRB-1 | +/- | 10000 |

Koordinaten

| Position | x [m] | y [m] |
|---|---|---|
| FLRB-1 | 27.66 | 25.90 |
| | 31.35 | 25.90 |
| | 31.35 | 22.71 |
| | 27.66 | 22.71 |

Material

Materialkennwerte

Stahlbeton
DIN EN 1992-1-1

| Position | Material | Wichte [kN/m³] | $E_{cm}$ G [N/mm²] | $f_{ck}$ $f_{ctm}$ [N/mm²] |
|---|---|---|---|---|
| FP-002 | C 25/30 Q | 25.00 | 31000 | 25.00 |
| | | | 12900 | 2.60 |

Q: Gesteinskörnung Quarzit

Betonstahl
DIN EN 1992-1-1

| Position | Material | Wichte [kN/m³] | $E_s$ G [N/mm²] | $f_{yk}$ $f_{tk,cal}$ [N/mm²] |
|---|---|---|---|---|
| FP-002 | B 500MA | 78.50 | 200000 | 500.00 |
| | | | 77000 | 525.00 |
| FP-002 | B 500SA | 78.50 | 200000 | 500.00 |
| | | | 77000 | 525.00 |

Auswertung

Geometrische Auswertung der Positionen

Flächen

Flächenförmige Bauteil-Positionen

Stahlbeton

| Position | Dicke [cm] | Fläche [m²] | Volumen [m³] |
|---|---|---|---|
| FP-002 | 20.0 | 11.77 | 2.35 |

**Belastungen**



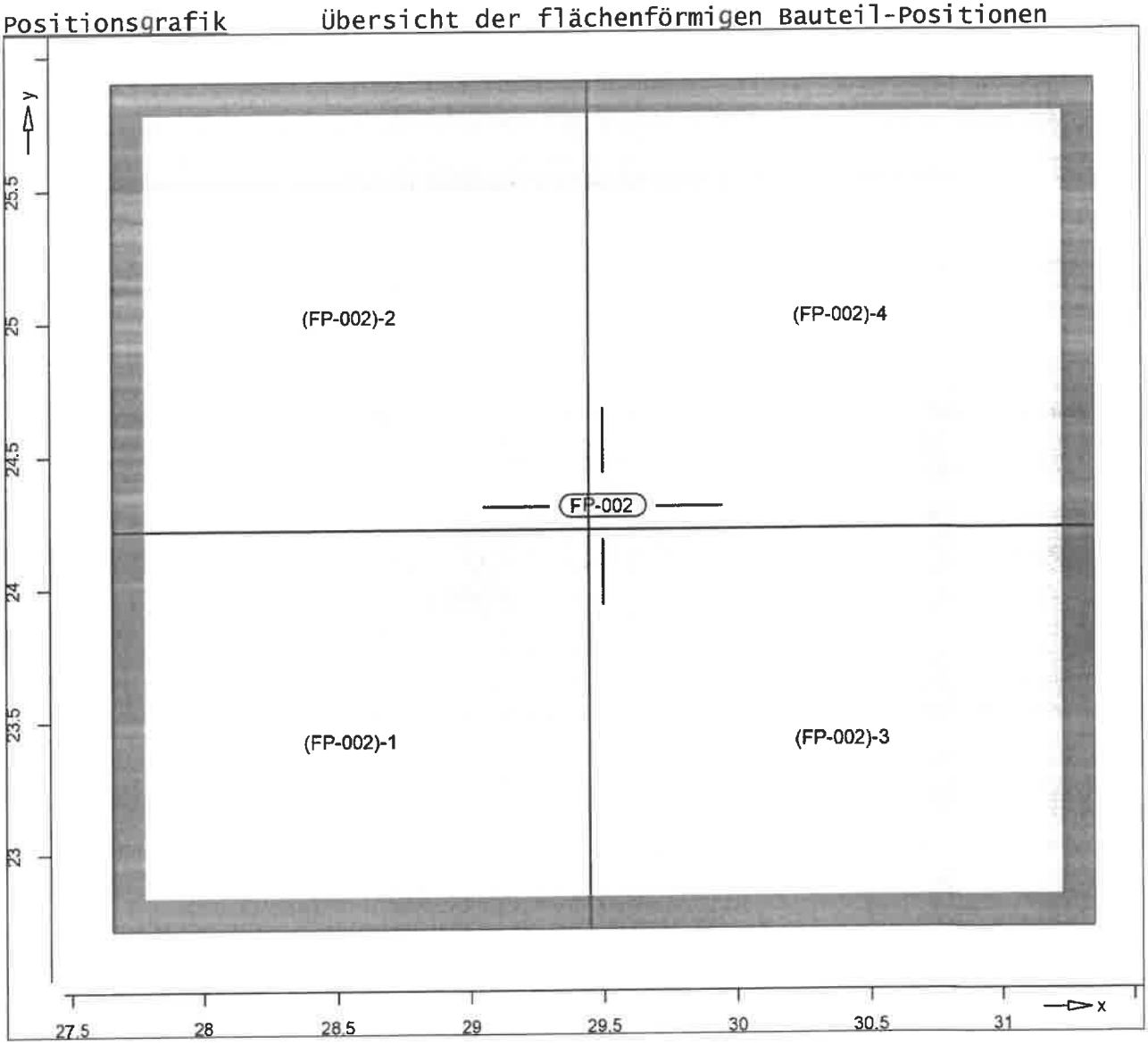
durch Vergleichsrechnung geprüft

Lastplan — Lasten des FE-Modells

Bauteillasten — Bauteilbezogene Lasten

Flächenpositionen — Flächenförmige Bauteil-Positionen

Positionsgrafik — Übersicht der flächenförmigen Bauteil-Positionen




Eigengewicht

| Position | EW | Lastfall | Art | g [kN/m²] |
|---|---|---|---|---|
| FP-002 | Gk | LF-1 | PGr | 5.00 |

PGr: Gravitationslast; positive Lasten wirken senkrecht nach unten

Sonstige ständige Last

| Position | EW | Lastfall | Art | g [kN/m²] |
|---|---|---|---|---|
| FP-002 | Gk | LF-1 | PGr | 1.50 |

PGr: Gravitationslast; positive Lasten wirken senkrecht nach unten



durch Vergleichsrechnung geprüft

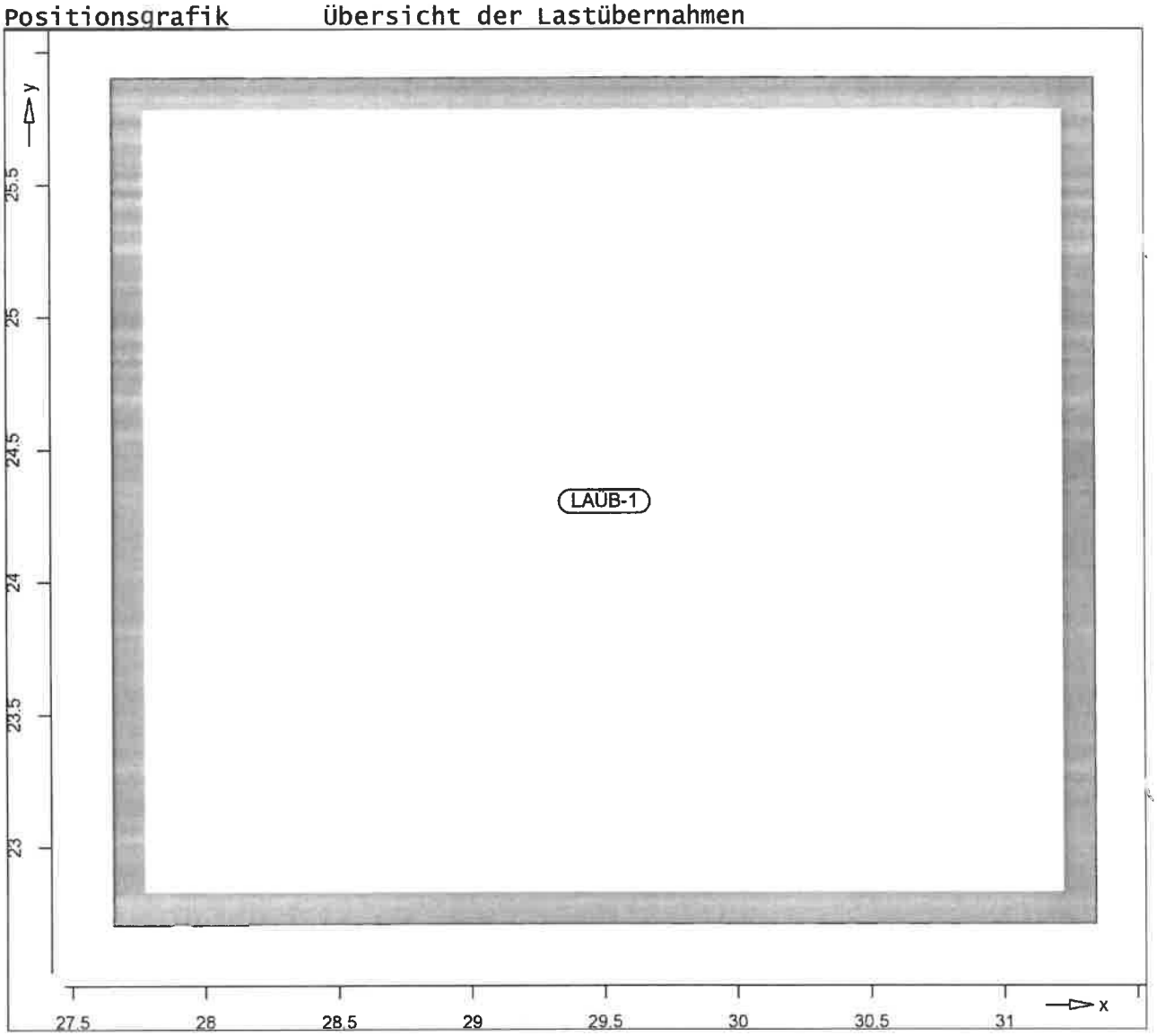
**Nutzlast**

| Position | EW | Lastfall je Lastfeld | Art | p [kN/m²] |
|---|---|---|---|---|
| FP-002 | Qk.N | (FP-002)-1..(FP-002)-4 | PGr | 1.50 |

PGr: Gravitationslast; positive Lasten wirken senkrecht nach unten

**Lastübernahmen** Lastübernahme aus MicroFe-Modellen

**Positionsgrafik** Übersicht der Lastübernahmen




**LAÜB-1** Lastübernahme 'Lastübergabe' aus Modell 'EG-HWR'

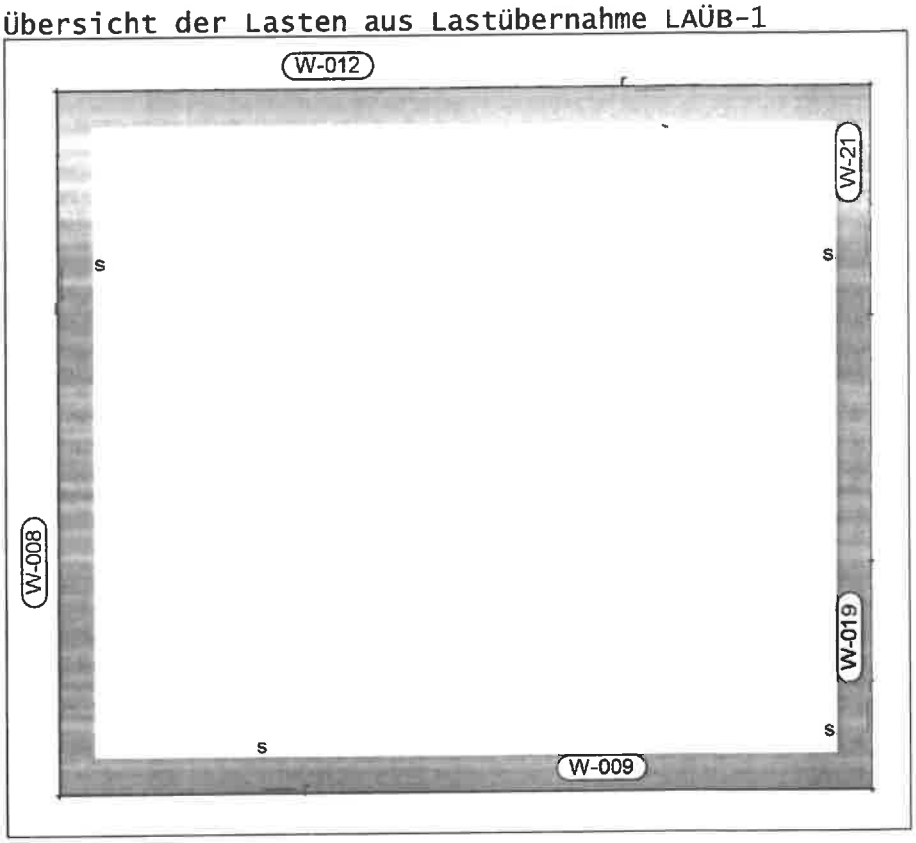
Die Lastübernahme erfolgt lastfalltreu.
Die Lastanteile aus ständigen Lasten der Stützen- und Wandlager werden berücksichtigt.



durch Vergleichsrechnung geprüft

Positionsgrafik

Übersicht der Lasten aus Lastübernahme LAÜB-1




Linienlasten

| | Position | EW | Lastfall | Art | $p_A$ | $p_E$ [kN/m] |
|---|---|---|---|---|---|---|
| (g1) | W-21 | Gk | #1\|LF-1 | pGr | 8.63 | 8.63 |
| | | Gk | #1\|LF-1 | pGr | 14.13 | -0.76 |
| | | Qk.N | #1\|(D-002)-1 | pGr | 0.64 | -0.03 |
| | | Qk.S | #1\|LF-4 | pGr | 4.37 | -0.23 |
| (g1) | W-008 | Gk | #1\|LF-1 | pGr | 8.63 | 8.63 |
| | | Gk | #1\|LF-1 | pGr | 4.13 | 4.13 |
| | | Qk.N | #1\|(D-002)-1 | pGr | 0.19 | 0.19 |
| | | Qk.S | #1\|LF-4 | pGr | 1.28 | 1.28 |
| (g1) | W-009 | Gk | #1\|LF-1 | pGr | 8.63 | 8.63 |
| | | Gk | #1\|LF-1 | pGr | 5.39 | 4.83 |
| | | Qk.N | #1\|(D-002)-1 | pGr | 0.24 | 0.22 |
| | | Qk.S | #1\|LF-4 | pGr | 1.67 | 1.49 |
| (g1) | W-012 | Gk | #1\|LF-1 | pGr | 8.63 | 8.63 |
| | | Gk | #1\|LF-1 | pGr | 4.83 | 5.39 |
| | | Qk.N | #1\|(D-002)-1 | pGr | 0.22 | 0.24 |
| | | Qk.S | #1\|LF-4 | pGr | 1.49 | 1.67 |
| (g1) | W-019 | Gk | #1\|LF-1 | pGr | 8.63 | 8.63 |
| | | Gk | #1\|LF-1 | pGr | -0.76 | 14.13 |
| | | Qk.N | #1\|(D-002)-1 | pGr | -0.03 | 0.64 |
| | | Qk.S | #1\|LF-4 | pGr | -0.23 | 4.37 |

pGr: Gravitationslast; positive Lasten wirken senkrecht nach unten

(g1) aus Eigengewicht der Wand



durch Vergleichsrechnung geprüft

## Lastsummen

Einwirkungsweise Lastsummen der Punktlasten und Linienlast-Resultierenden, getrennt nach positiven und negativen Anteilen

Lasten aus Lastgruppen werden nicht berücksichtigt.

Linienlasten

| Position | EW | Art | Σpositiv [kN] | Σnegativ [kN] |
|---|---|---|---|---|
| W-21 | Gk | PGr | 15.89 | |
| | Qk.N | PGr | 0.32 | 0.00 |
| | Qk.S | PGr | 2.14 | 0.00 |
| W-008 | Gk | PGr | 40.69 | |
| | Qk.N | PGr | 0.60 | 0.00 |
| | Qk.S | PGr | 4.07 | 0.00 |
| W-009 | Gk | PGr | 50.67 | |
| | Qk.N | PGr | 0.86 | 0.00 |
| | Qk.S | PGr | 5.83 | 0.00 |
| W-012 | Gk | PGr | 50.67 | |
| | Qk.N | PGr | 0.86 | 0.00 |
| | Qk.S | PGr | 5.83 | 0.00 |
| W-019 | Gk | PGr | 15.89 | |
| | Qk.N | PGr | 0.32 | 0.00 |
| | Qk.S | PGr | 2.14 | 0.00 |

PGr: Gravitationslast; positive Lasten wirken senkrecht nach unten

## Einwirkungen

### DIN EN 1990

Einwirkungen nach DIN EN 1990

| Kürzel | Beschreibung<br>Typisierung |
|---|---|
| Gk | Eigenlasten<br>Ständige Einwirkungen |
| Qk.N | Nutzlasten<br>Kategorie A - Wohn- und Aufenthaltsräume |
| Qk.S | Schnee<br>Schnee- und Eislasten für Orte bis NN + 1000 m |

### Lastfälle

Lastfälle und deren Zuordnung zu den Einwirkungen

| | |
|---|---|
| Gk | LF-1, #1\|LF-1 |
| Qk.N | (FP-002)-1, (FP-002)-2, (FP-002)-3, (FP-002)-4, #1\|(D-002)-1 |
| Qk.S | #1\|LF-4 |

## Bemessung (GZT+GZG)

### Biegung Pl-As-erf-Iso

Plattenbiegebemessung nach DIN EN 1992-1-1

### FP-002

Bemessung für Platte (Stahlbeton) FP-002

### Mat./Querschnitt

Beton *C 25/30*
Gesteinskörnung Quarzit
Betonstahl *B 500MA*

Dicke konstant h = 20.00 cm



durch Vergleichsrechnung geprüft

## Expositionsklasse

gemäß DIN EN 1992-1-1, Tab. 4.1

| Position | Seite | Kl | Kommentar |
|---|---|---|---|
| FP-002 | oben | XC1 | trocken oder ständig nass |
| | unten | XC2 | nass, selten trocken |

## Bewehrung

Vorgaben zur Bewehrungsdefinition

| | | | | | |
|---|---|---|---|---|---|
| Betondeckung | $c_{min,u}/c_{min,o}$ | = | 20/ | 10 | mm |
| | $\Delta c_{def,u}/\Delta c_{def,o}$ | = | 15/ | 10 | mm |
| | $c_{nom,u}/c_{nom,o}$ | = | 35/ | 20 | mm |
| Bewehrungsabstand | $d'_{ru/su}$ | = | 39/ | 46 | mm |
| | $d'_{ro/so}$ | = | 24/ | 31 | mm |
| Bewehrungsrichtung | $w_{ru/su}$ | = | 0.0/ | 90.0 | ° |
| | $w_{ro/so}$ | = | 0.0/ | 90.0 | ° |

## Grundbewehrung

| Seite | | Matte, Stäbe Ø[mm]/s[cm] | $d'_r$ [mm] | $a_{sg,r}$ [cm²/m] | $d'_s$ [mm] | $a_{sg,s}$ [cm²/m] |
|---|---|---|---|---|---|---|
| Unten | r | Q 257A | 39 | 2.57 | 46 | 2.57 |
| Oben | r | Q 257A | 24 | 2.57 | 31 | 2.57 |

## Nachweisparameter

nach DIN EN 1992-1-1

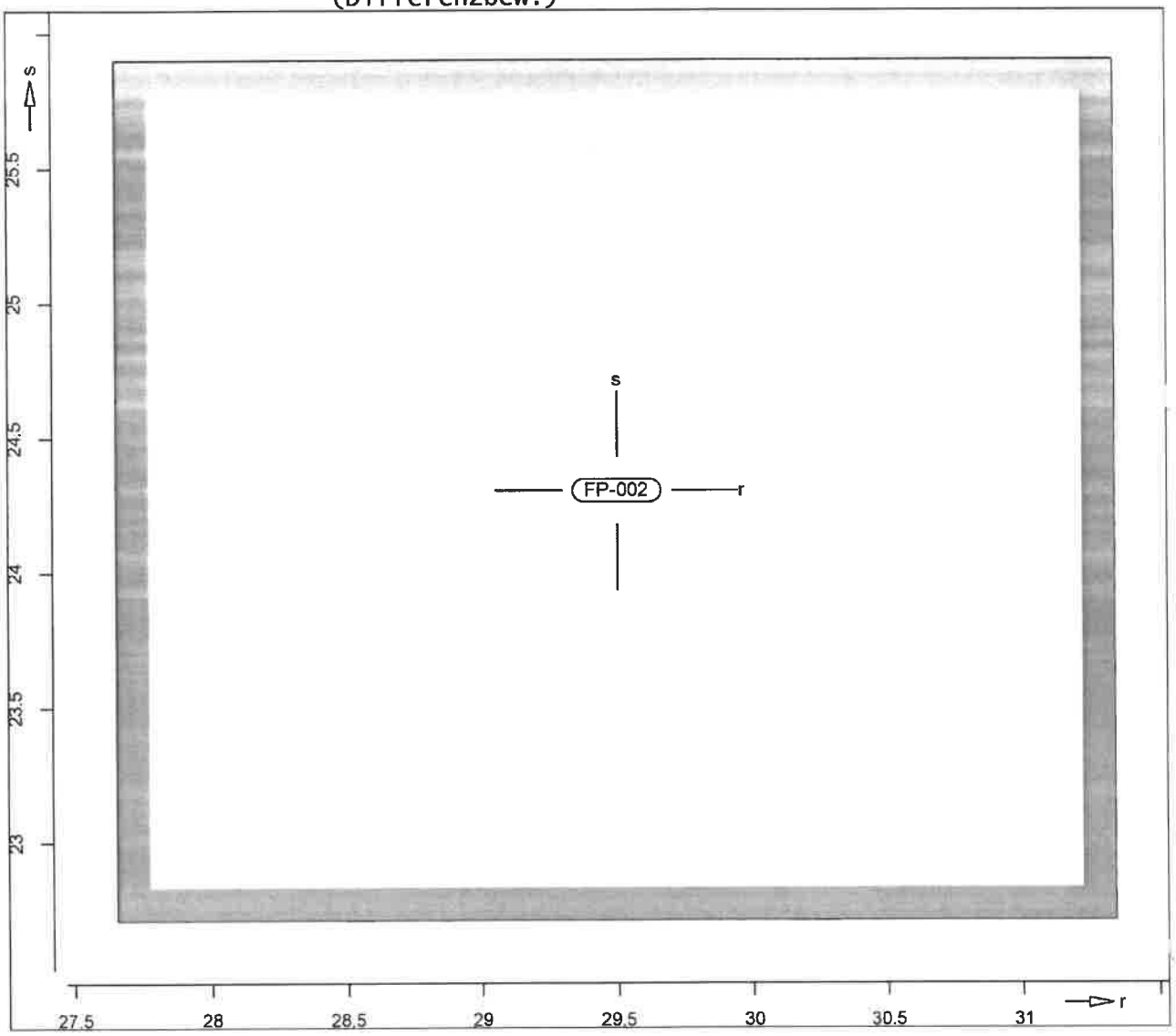
Mindestbewehrung (9.2.1.1) wurde berücksichtigt.



durch Vergleichsrechnung geprüft

as,r,unten — Längsbewehrung in r-Richtung in unterer Lage

Erf. Bewehrung — Erforderliche untere Bewehrung as,ru [cm²/m] (Differenzbew.)




Isolinienstufen = 1.00 cm²/m

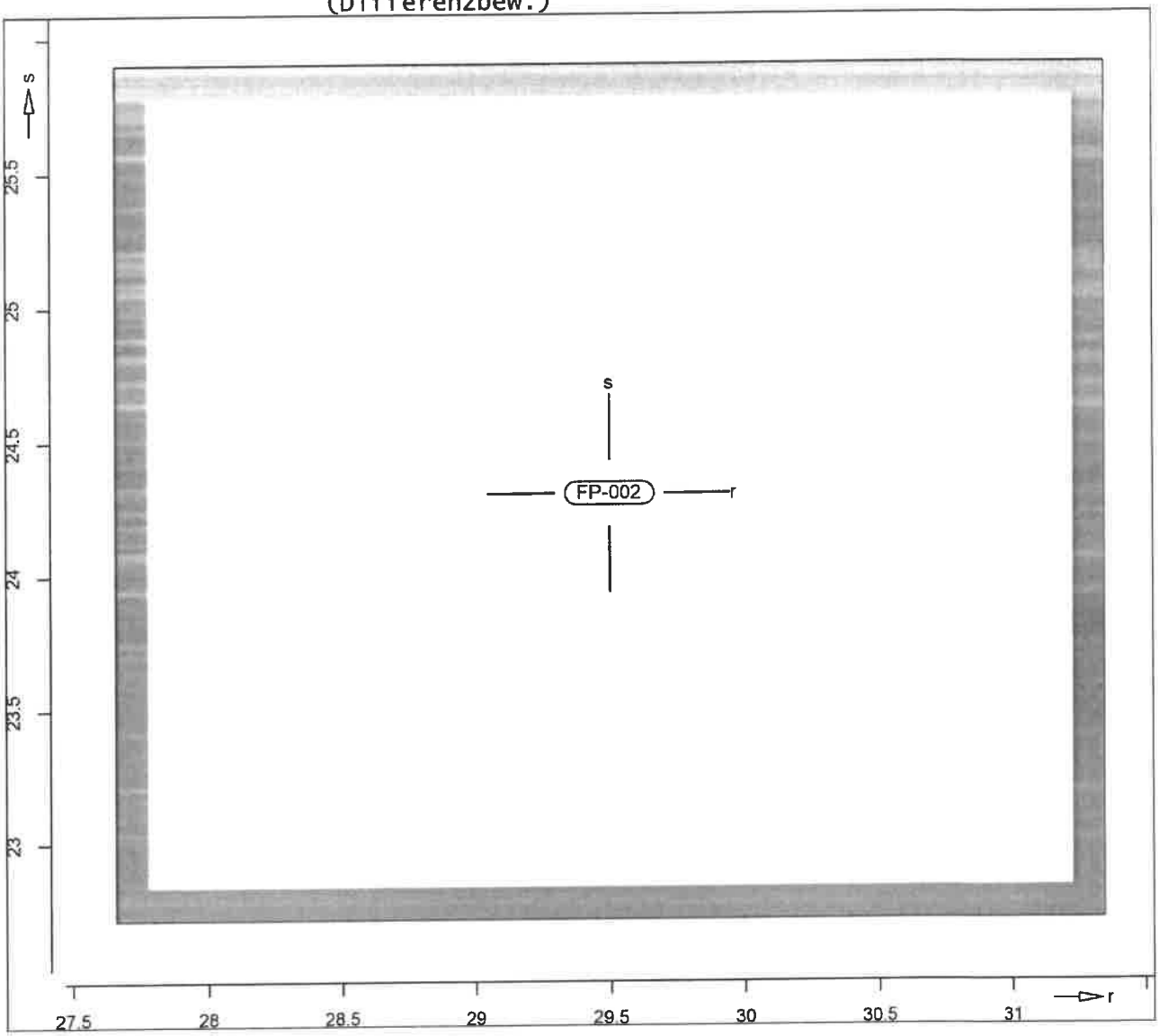
Achsabstand erf. Bewehrung: $d'_{ru}$ = 39 mm
Achsabstand vorh. Bewehrung: $d'_{ru}$ = 39 mm
Grundbewehrung: asg,ru = 2.57 cm²/m



durch Vergleichsrechnung geprüft

as,s,unten Längsbewehrung in s-Richtung in unterer Lage

Erf. Bewehrung Erforderliche untere Bewehrung as,su [cm²/m] (Differenzbew.)




Isolinienstufen = 1.00 cm²/m

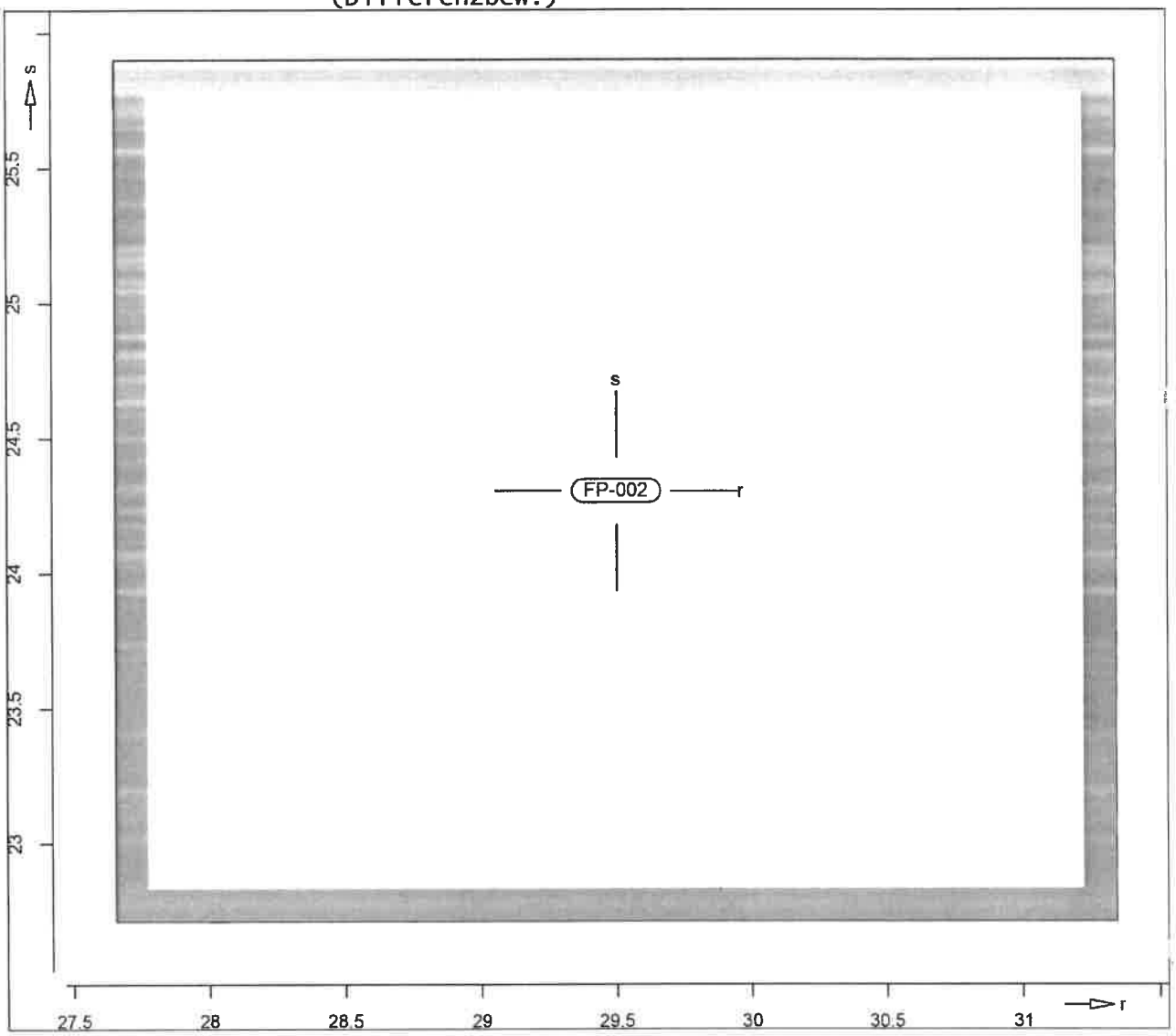
Achsabstand erf. Bewehrung: $d'_{su}$ = 46 mm
Achsabstand vorh. Bewehrung: $d'_{su}$ = 46 mm
Grundbewehrung: asg,su = 2.57 cm²/m



durch Vergleichsrechnung geprüft

as,r,oben — Längsbewehrung in r-Richtung in oberer Lage

Erf. Bewehrung — Erforderliche obere Bewehrung as,ro [cm²/m] (Differenzbew.)




Isolinienstufen = 1.00 cm²/m

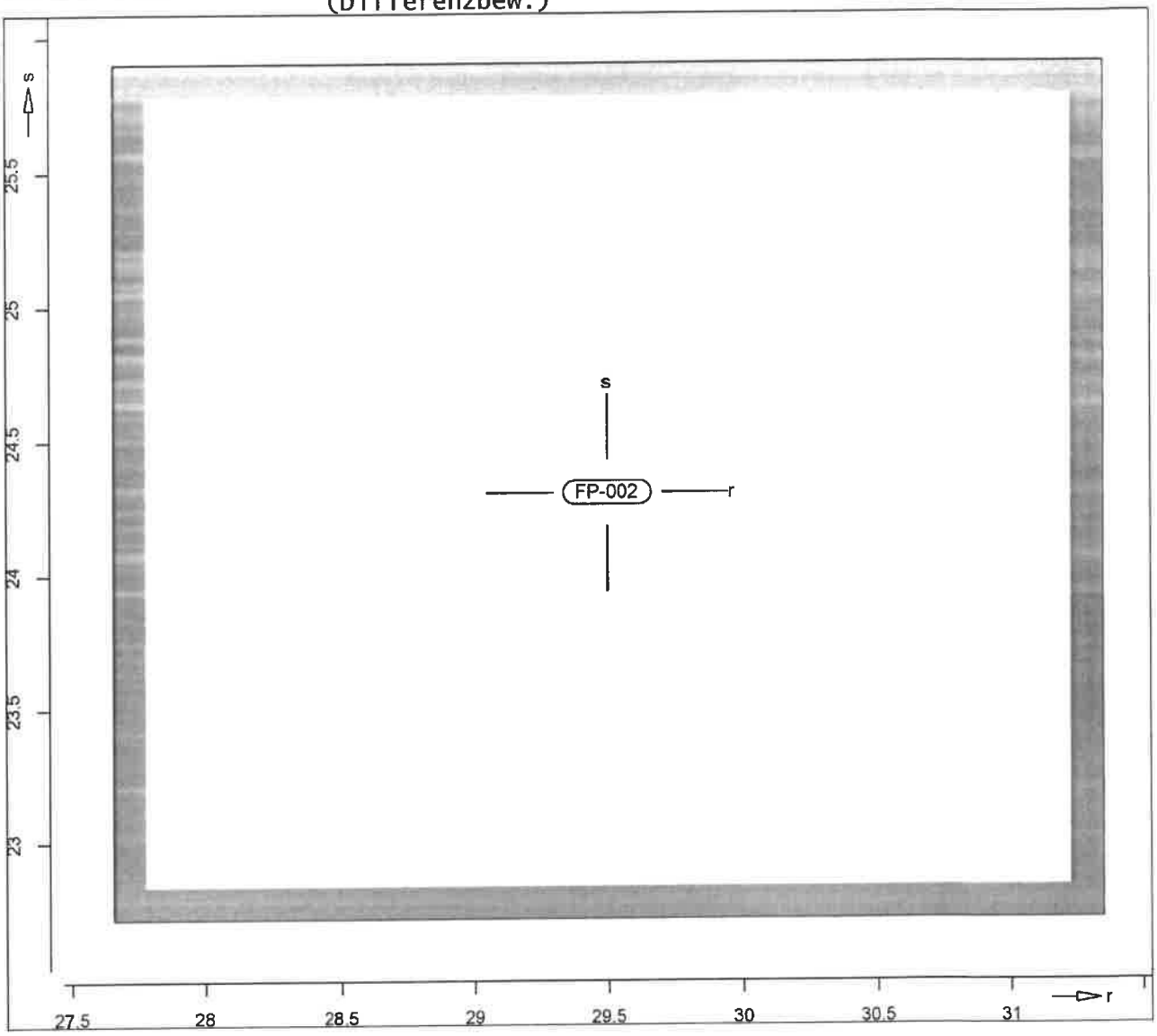
Achsabstand erf. Bewehrung: $d'_{ro}$ = 24 mm
Achsabstand vorh. Bewehrung: $d'_{ro}$ = 24 mm
Grundbewehrung: asg,ro = 2.57 cm²/m



durch Vergleichsrechnung geprüft

as,s,oben — Längsbewehrung in s-Richtung in oberer Lage

Erf. Bewehrung — Erforderliche obere Bewehrung as,so [cm²/m] (Differenzbew.)




Isolinienstufen = 1.00 cm²/m

Achsabstand erf. Bewehrung: $d'_{so}$ = 31 mm
Achsabstand vorh. Bewehrung: $d'_{so}$ = 31 mm
Grundbewehrung: asg,so = 2.57 cm²/m



durch Vergleichsrechnung geprüft

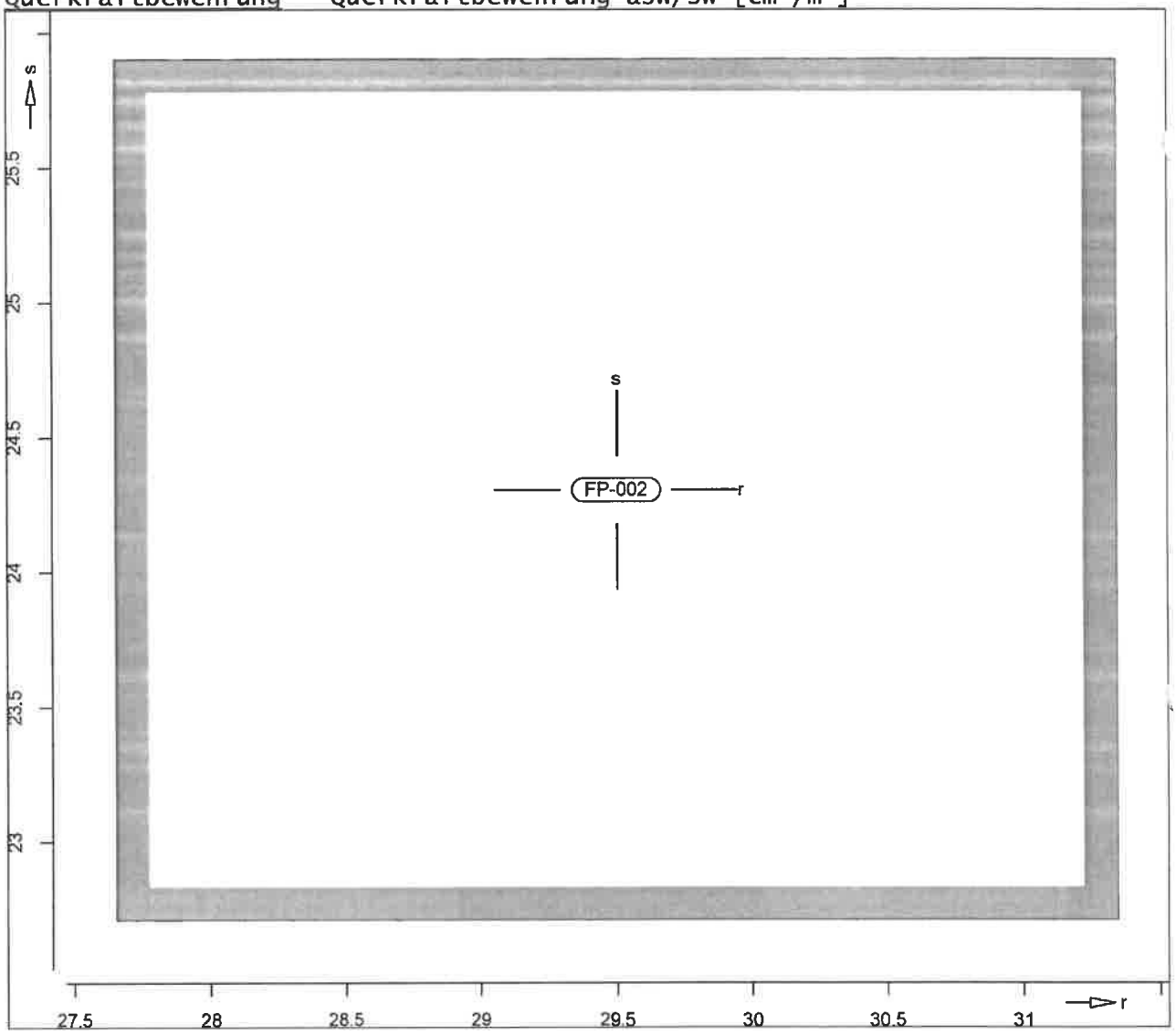
Querkraft Pl-As-Iso  Querkraftbemessung Plattenbereiche

FP-002  Querkraftbemessung der Platte (Isolinien)

Querkraftbemessung nach DIN EN 1992-1-1
Beton C 25/30, Betonstahl B 500SA
Gesteinskörnung Quarzit
Druckstrebenneigung wurde vom Programm optimiert.
Mindestbewehrung (9.3.2) wurde nicht ermittelt.

Dicke konstant h = 20.00 cm

Querkraftbewehrung  Querkraftbewehrung asw/sw [cm²/m²]

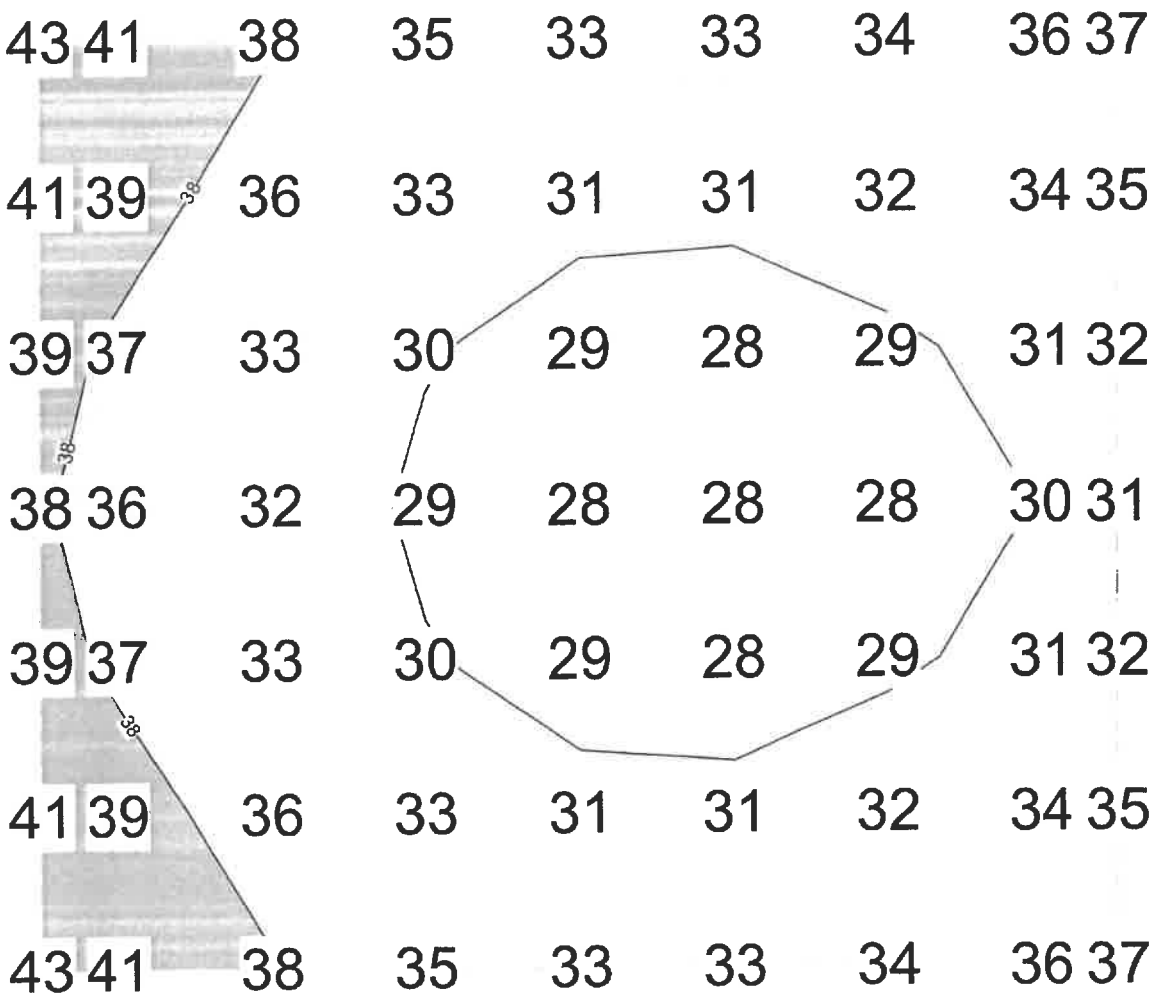



Isolinienstufen = 1.00 cm²/m²



durch Vergleichsrechnung geprüft

45
37.5
30
22.5




| **Flächenpressungen** | Lagerkraft in z-Richtung in [kN/m²] | Maßstab: 1:25 |
|---|---|---|

lastkombinationsweise dargestellt
aus Lastkombination LK-1
Max = 43 (Kn. 1), Min = 28 (Kn. 30), Step = 7.5



durch Vergleichsrechnung geprüft

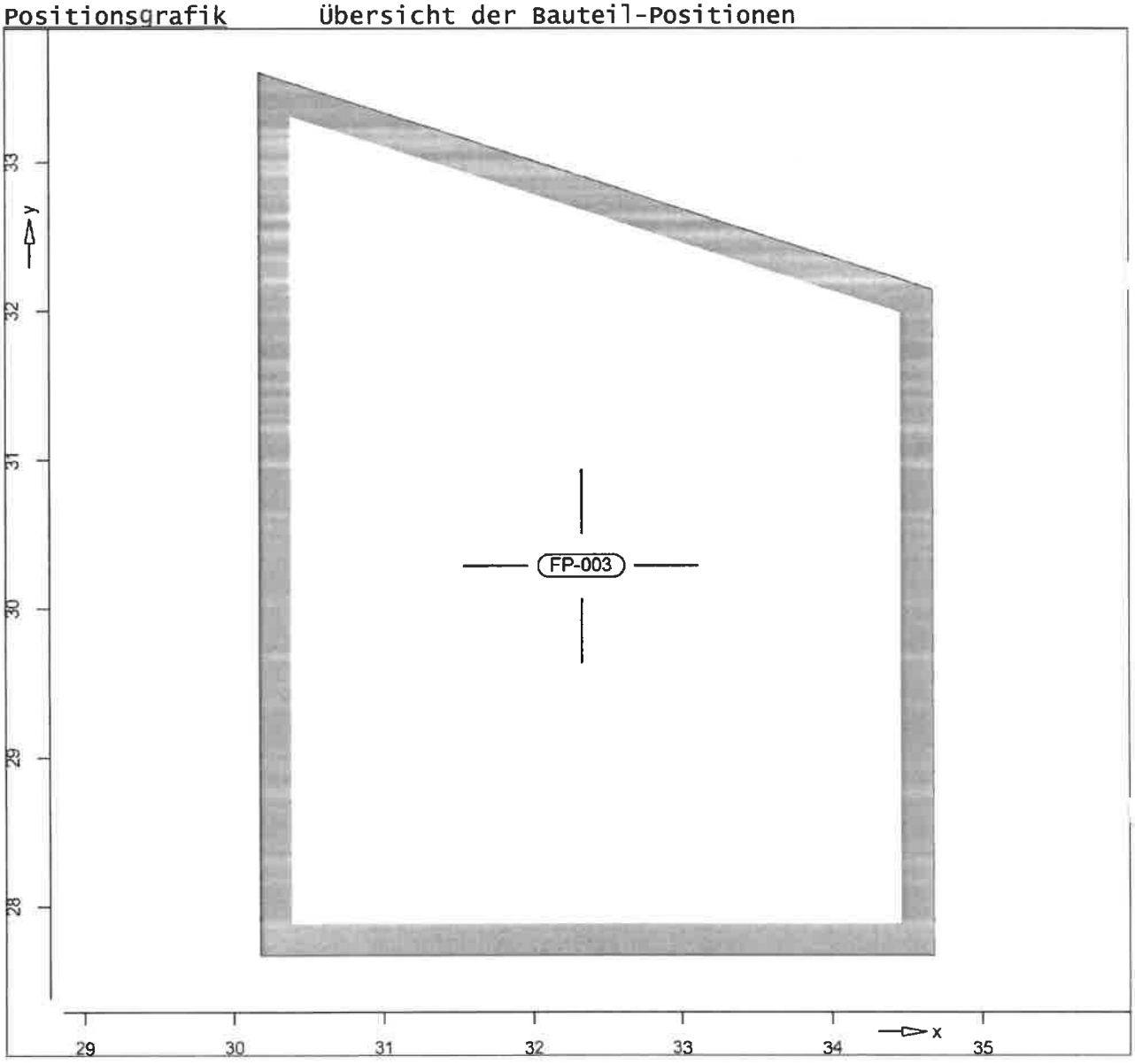
## Pos. 5.03 Stb-Bodenplatte

### System

Positionsplan Positionsplan

Bauteile Bauteil-Positionen

Positionsgrafik Übersicht der Bauteil-Positionen




Platten Platten-Positionen

Stahlbeton

| Position | Winkel [°] | Art | Material Längs | Material Quer | Dicke [cm] |
|---|---|---|---|---|---|
| FP-003 | 0.0 | iso | *C 25/30* Q | | 20.0 |
| | | | *B 500MA* | *B 500SA* | |

Winkel: Bewehrungsrichtung r
iso: isotropes Material
Q: Gesteinskörnung Quarzit



durch Vergleichsrechnung geprüft

Expositionsklasse — gemäß DIN EN 1992-1-1, Tab. 4.1

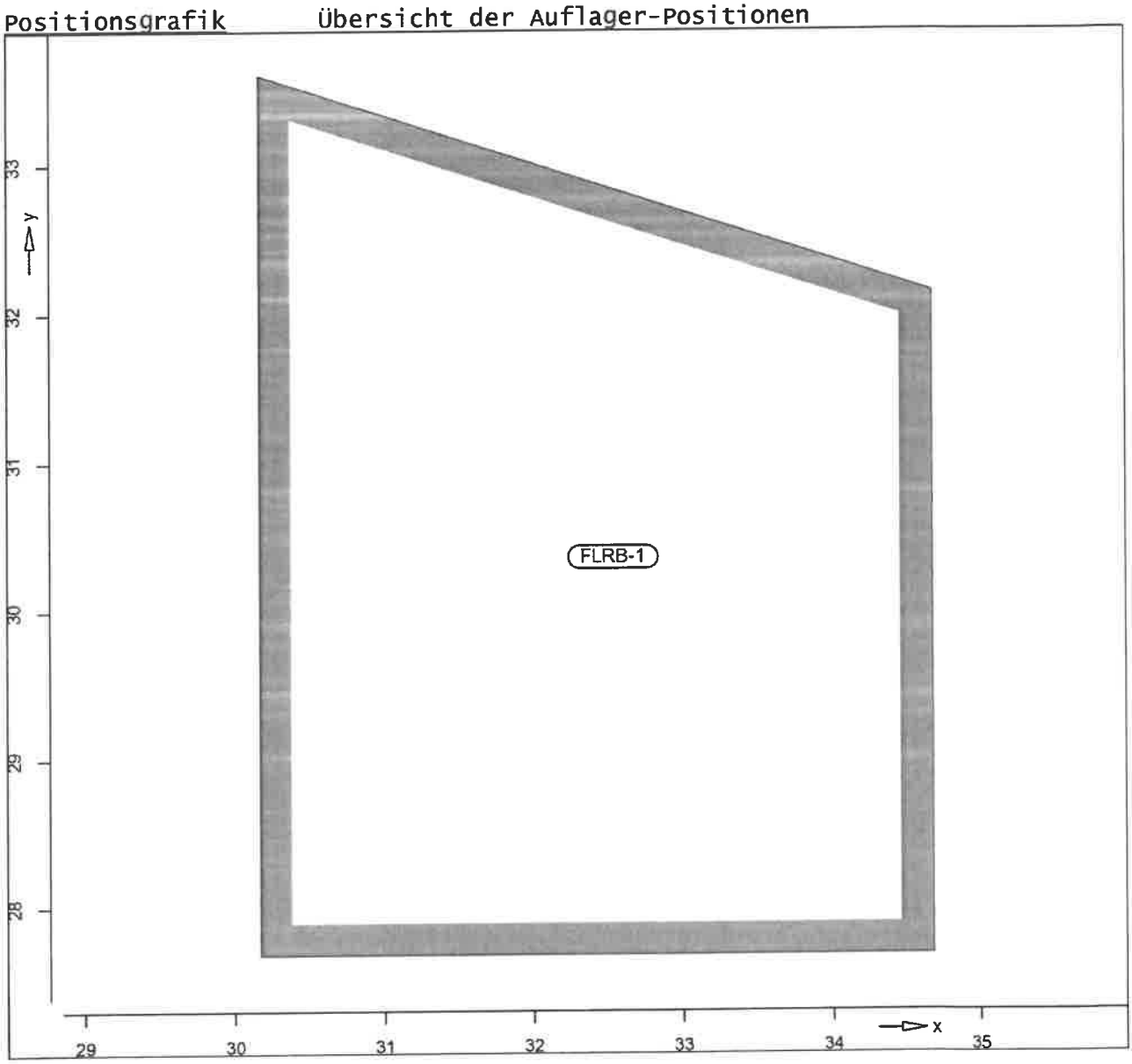
| Position | Seite | Kl | Kommentar |
|---|---|---|---|
| FP-003 | oben | XC1 | trocken oder ständig nass |
| | unten | XC2 | nass, selten trocken |

Koordinaten — Position

| | x [m] | y [m] |
|---|---|---|
| FP-003 | 30.17 | 33.60 |
| | 30.17 | 27.67 |
| | 34.67 | 27.67 |
| | 34.67 | 32.14 |

Auflager — Auflager-Positionen

Positionsgrafik — Übersicht der Auflager-Positionen




Flächenlager — Flächenlager-Positionen



durch Vergleichsrechnung geprüft

**Flächenbettung (Bettungsziffer)**

| Position | | $K_{T,z}$ [kN/m³] |
|---|---|---|
| FLRB-1 | +/- | 10000 |

**Koordinaten**

| Position | x [m] | y [m] |
|---|---|---|
| FLRB-1 | 30.17 | 27.67 |
| | 34.67 | 27.67 |
| | 34.67 | 32.14 |
| | 30.17 | 33.60 |

**Material**

Materialkennwerte

**Stahlbeton** DIN EN 1992-1-1

| Position | Material | Wichte [kN/m³] | $E_{cm}$ G [N/mm²] | $f_{ck}$ $f_{ctm}$ [N/mm²] |
|---|---|---|---|---|
| FP-003 | C 25/30 Q | 25.00 | 31000 | 25.00 |
| | | | 12900 | 2.60 |

Q: Gesteinskörnung Quarzit

**Betonstahl** DIN EN 1992-1-1

| Position | Material | Wichte [kN/m³] | $E_s$ G [N/mm²] | $f_{yk}$ $f_{tk,cal}$ [N/mm²] |
|---|---|---|---|---|
| FP-003 | B 500MA | 78.50 | 200000 | 500.00 |
| | | | 77000 | 525.00 |
| FP-003 | B 500SA | 78.50 | 200000 | 500.00 |
| | | | 77000 | 525.00 |

**Auswertung**

Geometrische Auswertung der Positionen

**Flächen**

Flächenförmige Bauteil-Positionen

**Stahlbeton**

| Position | Dicke [cm] | Fläche [m²] | Volumen [m³] |
|---|---|---|---|
| FP-003 | 20.0 | 23.39 | 4.68 |

**Belastungen**



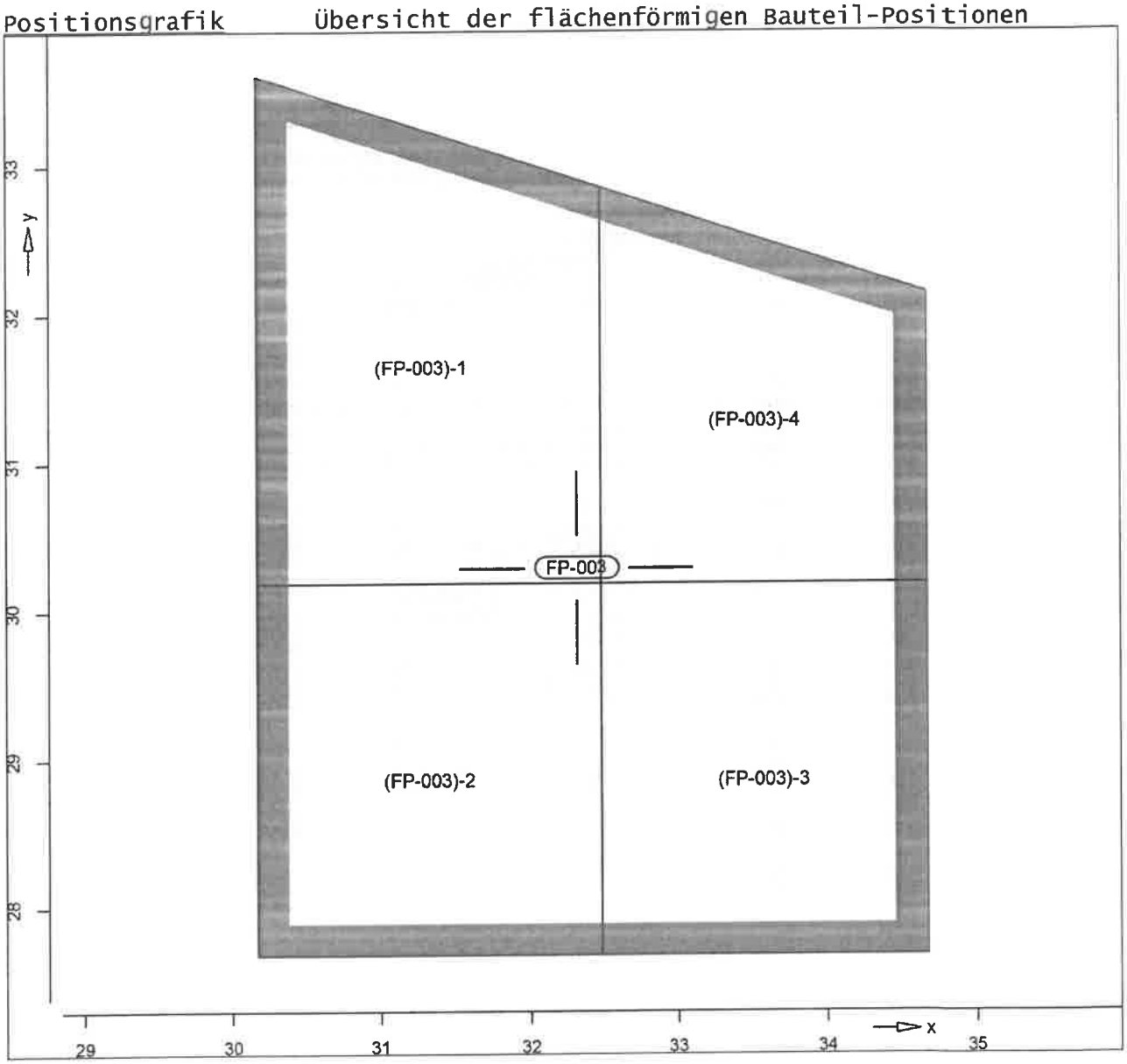

durch Vergleichsrechnung geprüft

Lastplan — Lasten des FE-Modells

Bauteillasten — Bauteilbezogene Lasten

Flächenpositionen — Flächenförmige Bauteil-Positionen

Positionsgrafik — Übersicht der flächenförmigen Bauteil-Positionen




Eigengewicht

| Position | EW | Lastfall | Art | g [kN/m²] |
|---|---|---|---|---|
| FP-003 | Gk | LF-1 | PGr | 5.00 |

PGr: Gravitationslast; positive Lasten wirken senkrecht nach unten

Sonstige ständige Last

| Position | EW | Lastfall | Art | g [kN/m²] |
|---|---|---|---|---|
| FP-003 | Gk | LF-1 | PGr | 1.50 |

PGr: Gravitationslast; positive Lasten wirken senkrecht nach unten




durch Vergleichsrechnung geprüft

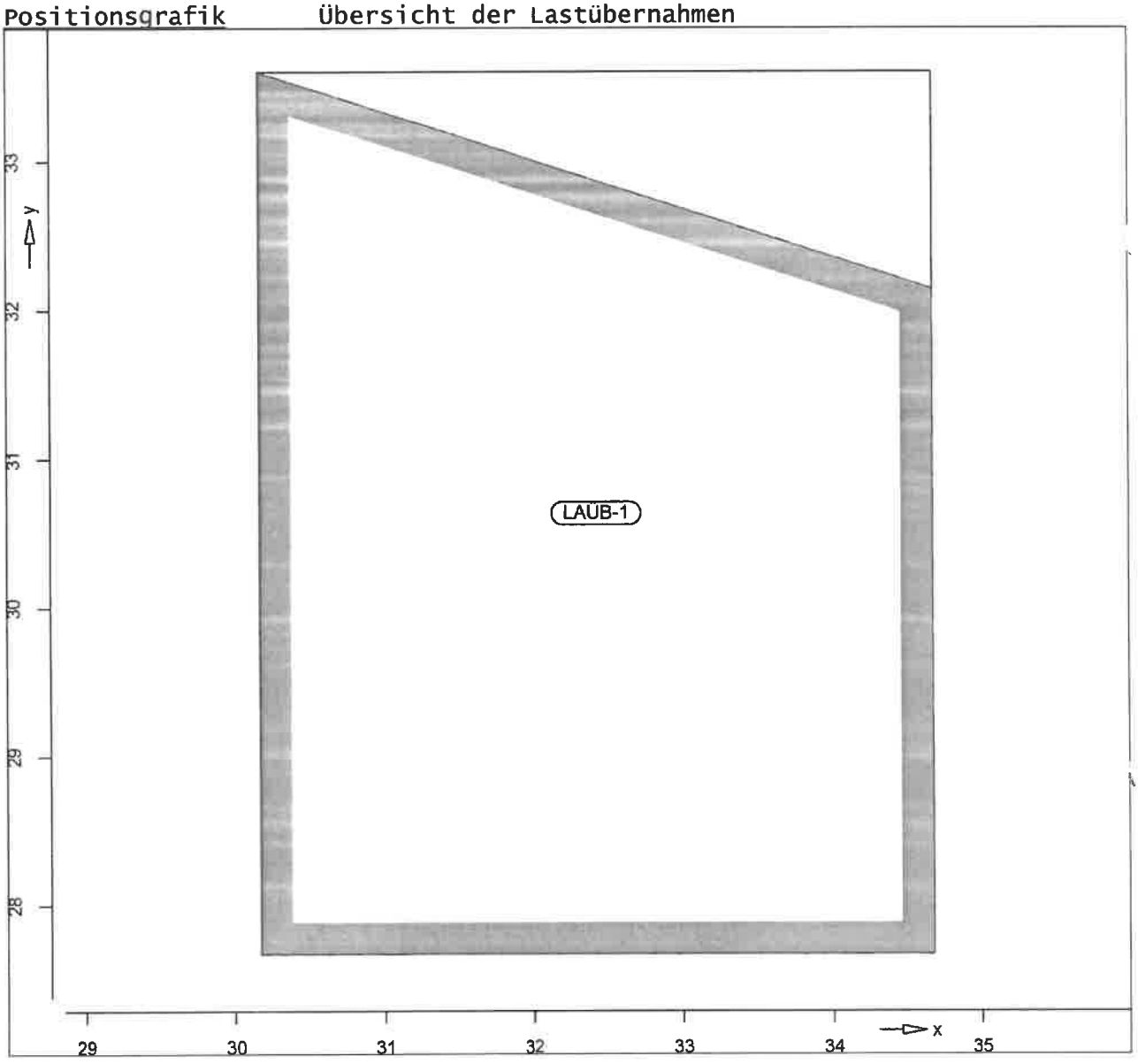
Nutzlast

| Position | EW | Lastfall je Lastfeld | Art | p [kN/m²] |
|---|---|---|---|---|
| FP-003 | Qk.N | (FP-003)-1..(FP-003)-4 | PGr | 1.50 |

PGr: Gravitationslast; positive Lasten wirken senkrecht nach unten

Lastübernahmen — Lastübernahme aus MicroFe-Modellen

Positionsgrafik — Übersicht der Lastübernahmen




LAÜB-1 — Lastübernahme 'Lastübergabe' aus Modell 'EG-Fahrradraum'

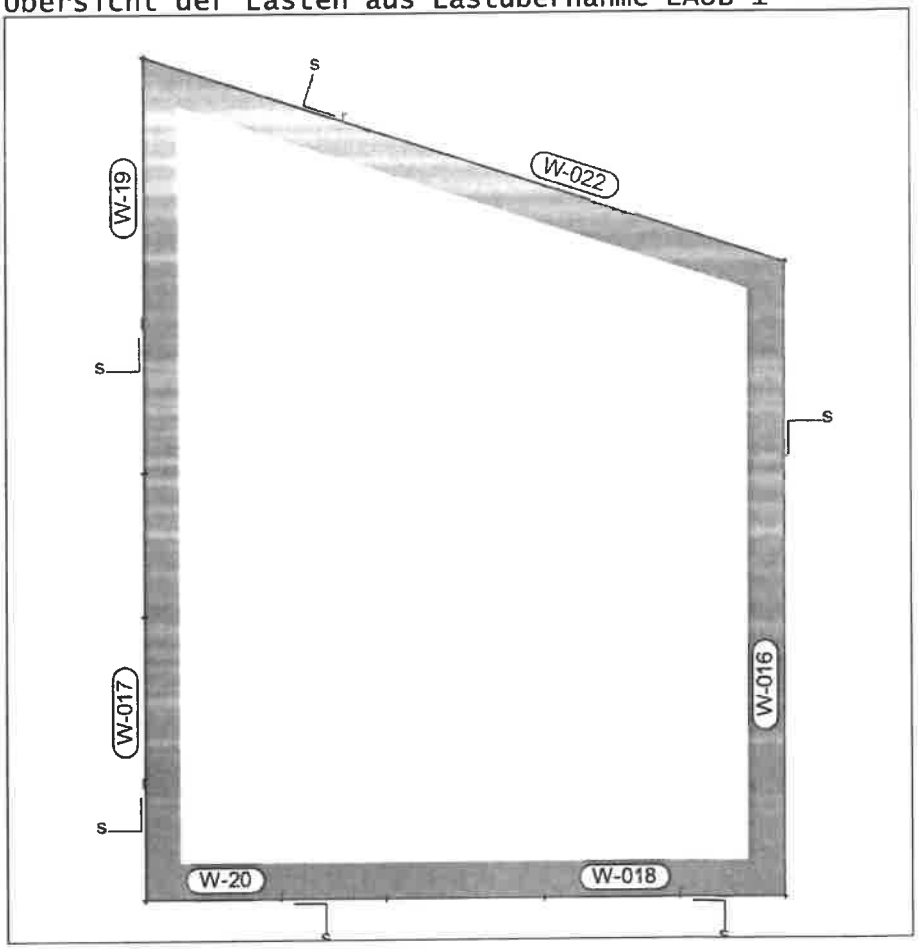
Die Lastübernahme erfolgt lastfalltreu.
Die Lastanteile aus ständigen Lasten der Stützen- und Wandlager werden berücksichtigt.




durch Vergleichsrechnung geprüft

Positionsgrafik

Übersicht der Lasten aus Lastübernahme LAÜB-1




Linienlasten

| Position | EW | Lastfall | Art | $p_A$ | $p_E$ [kN/m] |
|---|---|---|---|---|---|
| (g1) W-19 | Gk | #1 \| LF-1 | pGr | 6.71 | 6.71 |
| | Gk | #1 \| LF-1 | pGr | 19.59 | 1.86 |
| | Qk.N | #1 \| (D-003)-1 | pGr | 0.06 | 0.01 |
| | Qk.N | #1 \| (D-003)-2 | pGr | 0.05 | 0.02 |
| | Qk.N | #1 \| (D-003)-3 | pGr | 0.45 | 0.09 |
| | Qk.N | #1 \| (D-003)-4 | pGr | 0.19 | -0.05 |
| | Qk.S | #1 \| LF-4 | pGr | 2.05 | 0.19 |
| (g1) W-20 | Gk | #1 \| LF-1 | pGr | 6.71 | 6.71 |
| | Gk | #1 \| LF-1 | pGr | 20.78 | -1.70 |
| | Qk.N | #1 \| (D-003)-1 | pGr | 0.27 | -0.07 |
| | Qk.N | #1 \| (D-003)-2 | pGr | 0.04 | 0.00 |
| | Qk.N | #1 \| (D-003)-3 | pGr | 0.02 | -0.02 |
| | Qk.N | #1 \| (D-003)-4 | pGr | 0.47 | 0.02 |
| | Qk.S | #1 \| LF-4 | pGr | 2.17 | -0.18 |
| (g1) W-016 | Gk | #1 \| LF-1 | pGr | 6.71 | 6.71 |
| | Gk | #1 \| LF-1 | pGr | 7.68 | 8.00 |
| | Qk.N | #1 \| (D-003)-1 | pGr | 0.05 | 0.23 |
| | Qk.N | #1 \| (D-003)-2 | pGr | 0.22 | 0.02 |
| | Qk.N | #1 \| (D-003)-3 | pGr | -0.01 | 0.04 |
| | Qk.N | #1 \| (D-003)-4 | pGr | 0.03 | 0.00 |
| | Qk.S | #1 \| LF-4 | pGr | 0.80 | 0.84 |
| (g1) W-017 | Gk | #1 \| LF-1 | pGr | 6.71 | 6.71 |
| | Gk | #1 \| LF-1 | pGr | -1.63 | 21.61 |
| | Qk.N | #1 \| (D-003)-1 | pGr | -0.03 | 0.06 |



durch Vergleichsrechnung geprüft

| | Position | EW | Lastfall | Art | $p_A$ | $p_E$ [kN/m] |
|---|---|---|---|---|---|---|
| | | Qk.N | #1\|(D-003)-2 | pGr | 0.00 | 0.07 |
| | | Qk.N | #1\|(D-003)-3 | pGr | -0.07 | 0.26 |
| | | Qk.N | #1\|(D-003)-4 | pGr | 0.04 | 0.45 |
| | | Qk.S | #1\|LF-4 | pGr | -0.17 | 2.26 |
| (g1) | W-018 | Gk | #1\|LF-1 | pGr | 6.71 | 6.71 |
| | | Gk | #1\|LF-1 | pGr | -1.24 | 20.88 |
| | | Qk.N | #1\|(D-003)-1 | pGr | 0.03 | 0.46 |
| | | Qk.N | #1\|(D-003)-2 | pGr | -0.01 | 0.02 |
| | | Qk.N | #1\|(D-003)-3 | pGr | 0.00 | 0.04 |
| | | Qk.N | #1\|(D-003)-4 | pGr | -0.07 | 0.28 |
| | | Qk.S | #1\|LF-4 | pGr | -0.13 | 2.18 |
| (g1) | W-022 | Gk | #1\|LF-1 | pGr | 6.71 | 6.71 |
| | | Gk | #1\|LF-1 | pGr | 1.40 | 12.53 |
| | | Qk.N | #1\|(D-003)-1 | pGr | -0.02 | 0.03 |
| | | Qk.N | #1\|(D-003)-2 | pGr | -0.04 | 0.29 |
| | | Qk.N | #1\|(D-003)-3 | pGr | 0.15 | 0.12 |
| | | Qk.N | #1\|(D-003)-4 | pGr | -0.03 | 0.05 |
| | | Qk.S | #1\|LF-4 | pGr | 0.15 | 1.31 |

pGr: Gravitationslast; positive Lasten wirken senkrecht nach unten

(g1) aus Eigengewicht der Wand

Lastsummen

Einwirkungsweise Lastsummen der Punktlasten und Linienlast-Resultierenden, getrennt nach positiven und negativen Anteilen

Lasten aus Lastgruppen werden nicht berücksichtigt.

Linienlasten

| Position | EW | Art | Σpositiv [kN] | Σnegativ [kN] |
|---|---|---|---|---|
| W-19 | Gk | PGr | 50.84 | |
| | Qk.N | PGr | 1.20 | 0.00 |
| | Qk.S | PGr | 3.27 | 0.00 |
| W-20 | Gk | PGr | 27.49 | |
| | Qk.N | PGr | 0.62 | 0.00 |
| | Qk.S | PGr | 1.69 | 0.00 |
| W-016 | Gk | PGr | 64.98 | |
| | Qk.N | PGr | 1.35 | 0.00 |
| | Qk.S | PGr | 3.66 | 0.00 |
| W-017 | Gk | PGr | 33.39 | |
| | Qk.N | PGr | 0.77 | 0.00 |
| | Qk.S | PGr | 2.09 | 0.00 |
| W-018 | Gk | PGr | 27.97 | |
| | Qk.N | PGr | 0.64 | 0.00 |
| | Qk.S | PGr | 1.74 | 0.00 |
| W-022 | Gk | PGr | 64.68 | |
| | Qk.N | PGr | 1.27 | 0.00 |
| | Qk.S | PGr | 3.45 | 0.00 |

PGr: Gravitationslast; positive Lasten wirken senkrecht nach unten

Einwirkungen

DIN EN 1990

Einwirkungen nach DIN EN 1990

| Kürzel | Beschreibung<br>Typisierung |
|---|---|
| Gk | Eigenlasten<br>Ständige Einwirkungen |
| Qk.N | Nutzlasten<br>Kategorie A - Wohn- und Aufenthaltsräume |



durch Vergleichsrechnung geprüft

| Kürzel | Beschreibung<br>Typisierung |
|---|---|
| Qk.S | Schnee<br>Schnee- und Eislasten für Orte bis NN + 1000 m |

Lastfälle — Lastfälle und deren Zuordnung zu den Einwirkungen

| | |
|---|---|
| Gk | LF-1, #1\|LF-1 |
| Qk.N | (FP-003)-1, (FP-003)-2, (FP-003)-3, (FP-003)-4, #1\|(D-003)-1, #1\|(D-003)-2, #1\|(D-003)-3, #1\|(D-003)-4 |
| Qk.S | #1\|LF-4 |

## Bemessung (GZT+GZG)

Biegung Pl-As-erf-Iso — Plattenbiegebemessung nach DIN EN 1992-1-1

FP-003 — Bemessung für Platte (Stahlbeton) FP-003

Mat./Querschnitt
Beton *C 25/30*
Gesteinskörnung Quarzit
Betonstahl *B 500MA*

Dicke konstant h = 20.00 cm

Expositionsklasse — gemäß DIN EN 1992-1-1, Tab. 4.1

| Position | Seite | Kl | Kommentar |
|---|---|---|---|
| FP-003 | oben | XC1 | trocken oder ständig nass |
| | unten | XC2 | nass, selten trocken |

Bewehrung — Vorgaben zur Bewehrungsdefinition

| | | | | | |
|---|---|---|---|---|---|
| Betondeckung | $c_{min,u}/c_{min,o}$ | = | 20/ | 10 | mm |
| | $\Delta c_{def,u}/\Delta c_{def,o}$ | = | 15/ | 10 | mm |
| | $c_{nom,u}/c_{nom,o}$ | = | 35/ | 20 | mm |
| Bewehrungsabstand | $d'_{ru/su}$ | = | 39/ | 46 | mm |
| | $d'_{ro/so}$ | = | 24/ | 31 | mm |
| Bewehrungsrichtung | $w_{ru/su}$ | = | 0.0/ | 90.0 | ° |
| | $w_{ro/so}$ | = | 0.0/ | 90.0 | ° |

Grundbewehrung

| Seite | | Matte, Stäbe Ø[mm]/s[cm] | $d'_r$ [mm] | $a_{sg,r}$ [cm²/m] | $d'_s$ [mm] | $a_{sg,s}$ [cm²/m] |
|---|---|---|---|---|---|---|
| Unten | r | Q 257A | 39 | 2.57 | 46 | 2.57 |
| Oben | r | Q 257A | 24 | 2.57 | 31 | 2.57 |

Nachweisparameter — nach DIN EN 1992-1-1

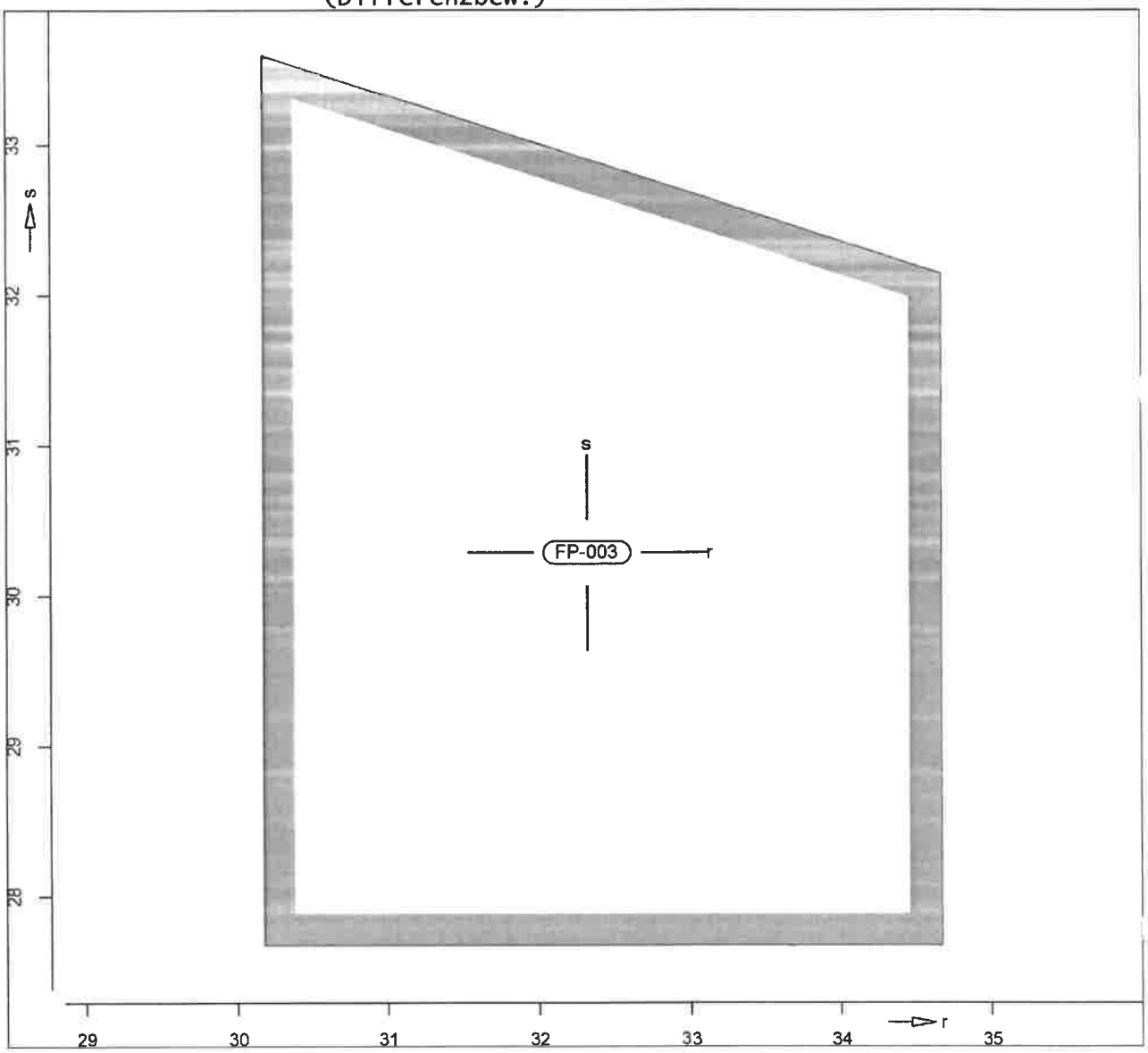
Mindestbewehrung (9.2.1.1) wurde berücksichtigt.



durch Vergleichsrechnung geprüft

as,r,unten — Längsbewehrung in r-Richtung in unterer Lage

Erf. Bewehrung — Erforderliche untere Bewehrung as,ru [cm²/m] (Differenzbew.)




Isolinienstufen = 1.00 cm²/m

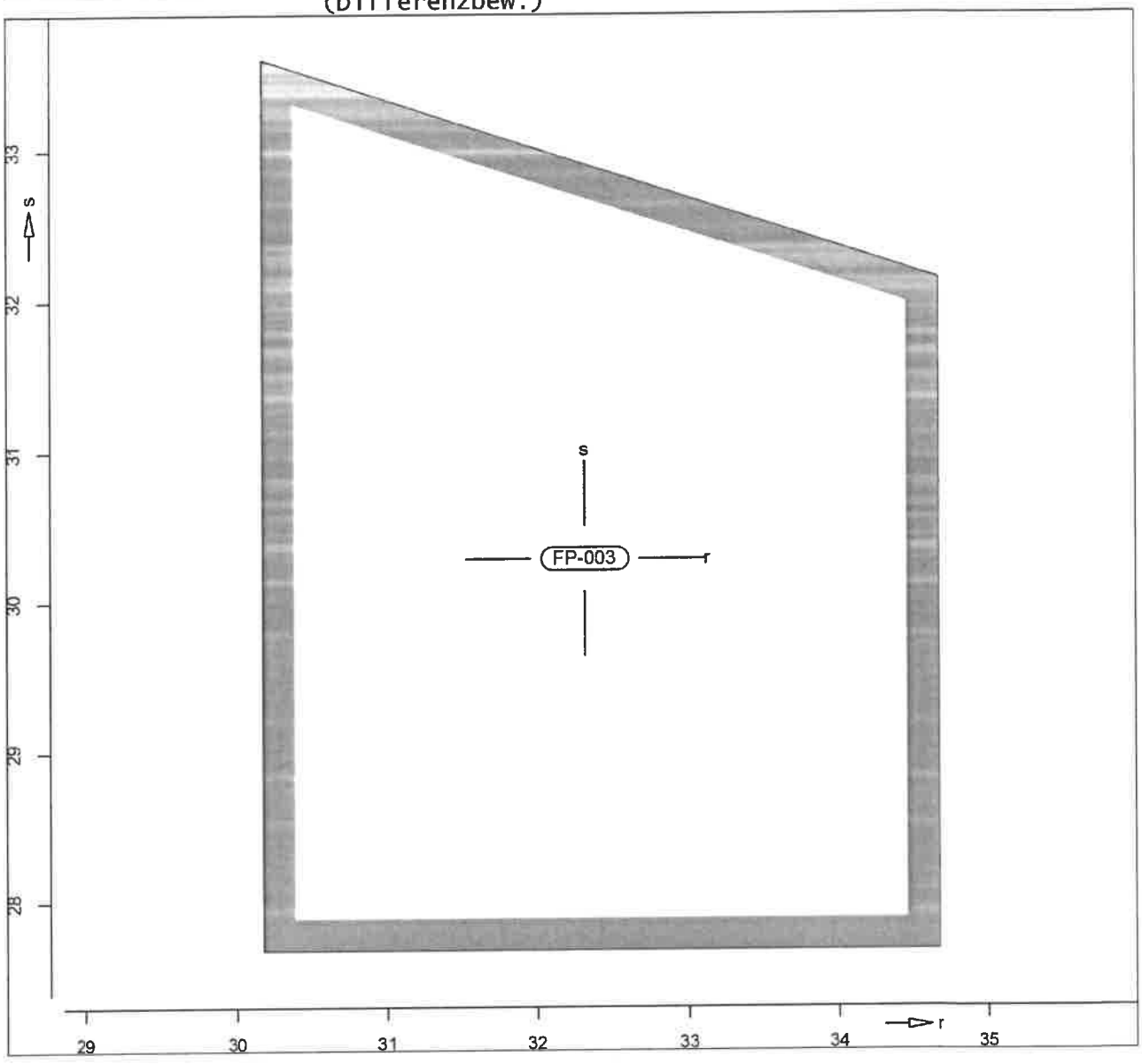
Achsabstand erf. Bewehrung: $d'_{ru}$ = 39 mm
Achsabstand vorh. Bewehrung: $d'_{ru}$ = 39 mm
Grundbewehrung: asg,ru = 2.57 cm²/m



durch Vergleichsrechnung geprüft

as,s,unten — Längsbewehrung in s-Richtung in unterer Lage

Erf. Bewehrung — Erforderliche untere Bewehrung as,su [cm²/m] (Differenzbew.)




Isolinienstufen = 1.00 cm²/m

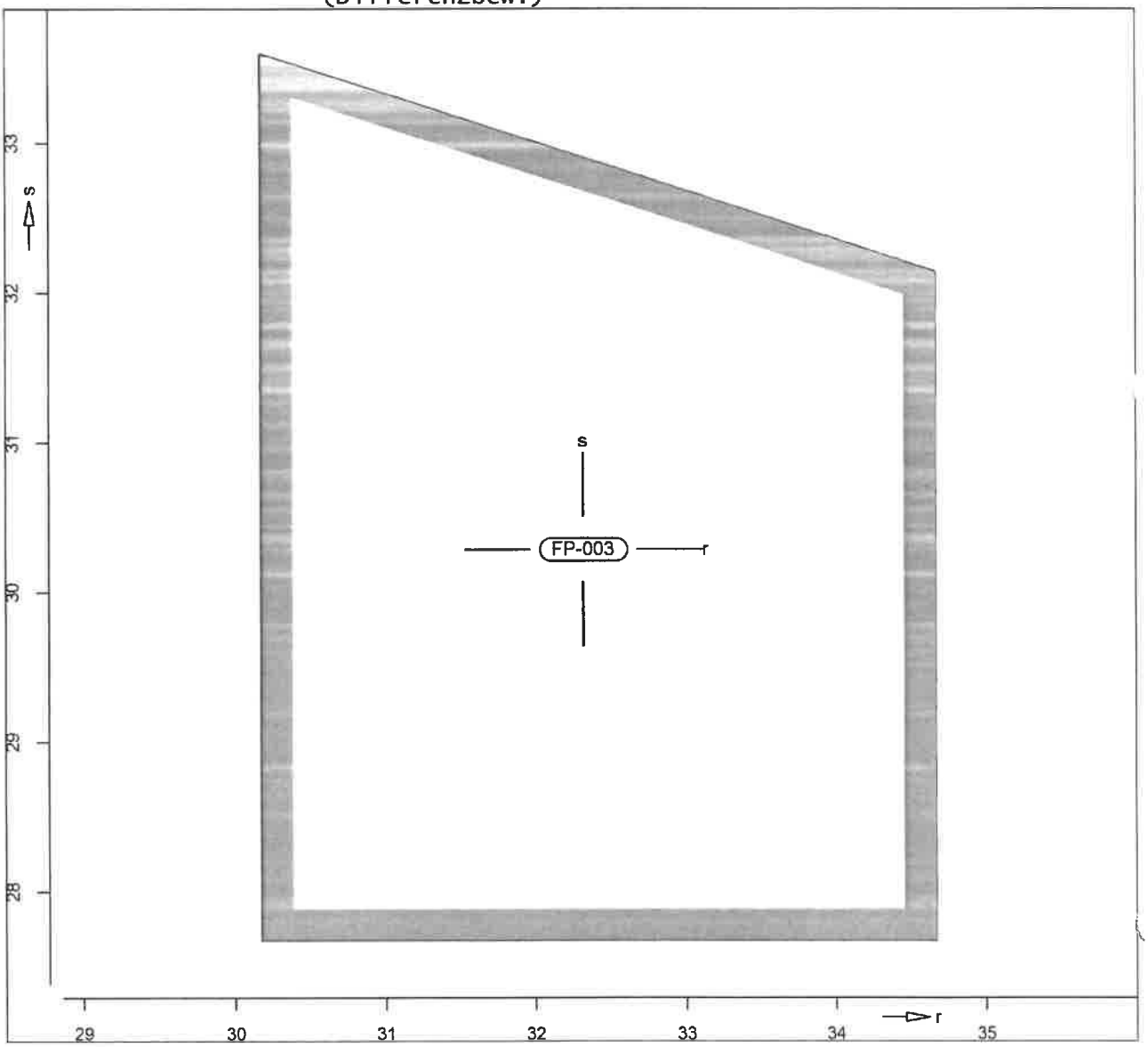
Achsabstand erf. Bewehrung: $d'_{su}$ = 46 mm
Achsabstand vorh. Bewehrung: $d'_{su}$ = 46 mm
Grundbewehrung: asg,su = 2.57 cm²/m



durch Vergleichsrechnung geprüft

as,r,oben — Längsbewehrung in r-Richtung in oberer Lage

Erf. Bewehrung — Erforderliche obere Bewehrung as,ro [cm²/m] (Differenzbew.)




Isolinienstufen = 1.00 cm²/m

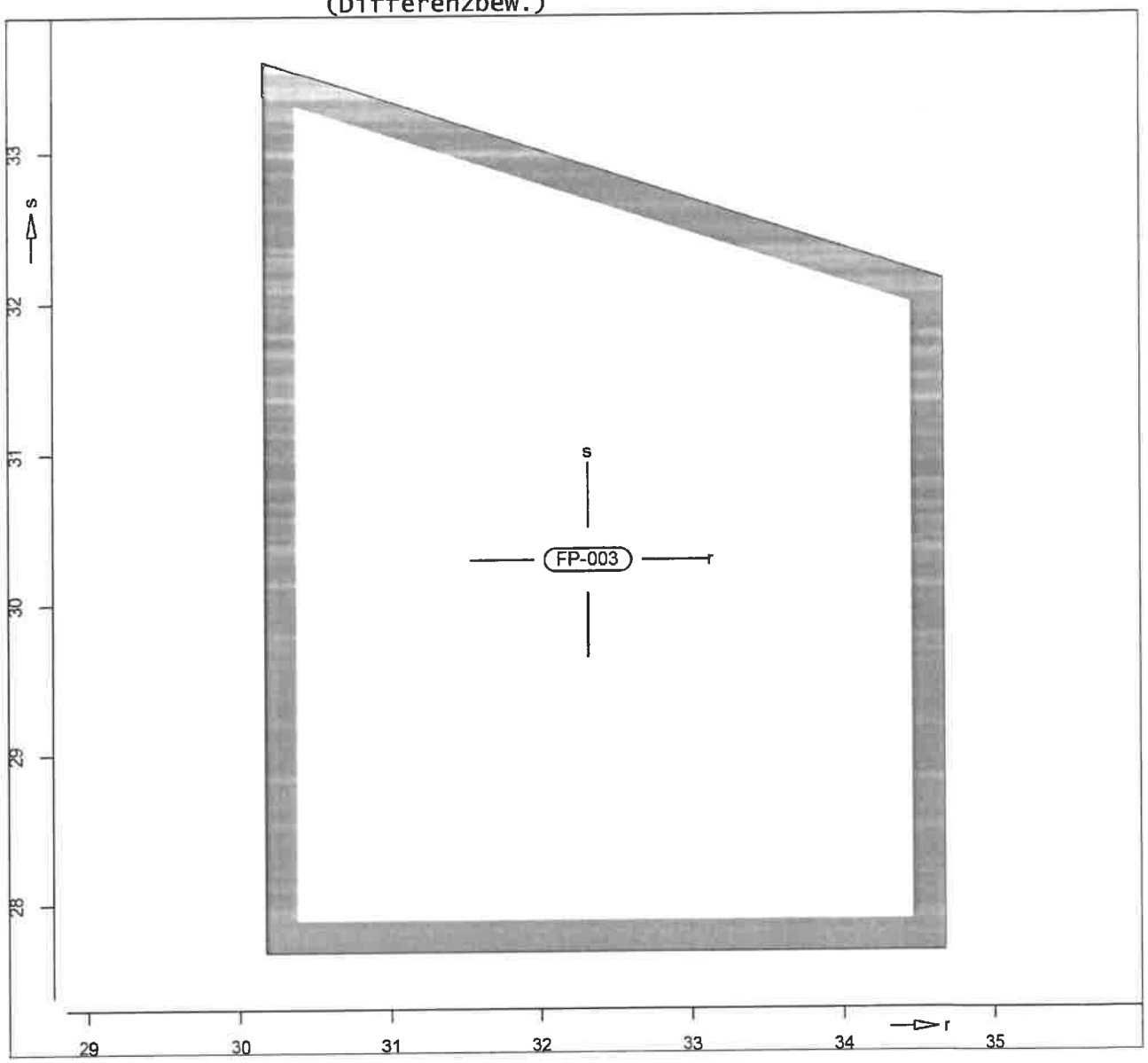
Achsabstand erf. Bewehrung: $d'_{ro}$ = 24 mm
Achsabstand vorh. Bewehrung: $d'_{ro}$ = 24 mm
Grundbewehrung: asg,ro = 2.57 cm²/m



durch Vergleichsrechnung geprüft

as,s,oben — Längsbewehrung in s-Richtung in oberer Lage

Erf. Bewehrung — Erforderliche obere Bewehrung as,so [cm²/m] (Differenzbew.)




Isolinienstufen = 1.00 cm²/m

Achsabstand erf. Bewehrung: $d'_{so}$ = 31 mm
Achsabstand vorh. Bewehrung: $d'_{so}$ = 31 mm
Grundbewehrung: asg,so = 2.57 cm²/m



durch Vergleichsrechnung geprüft

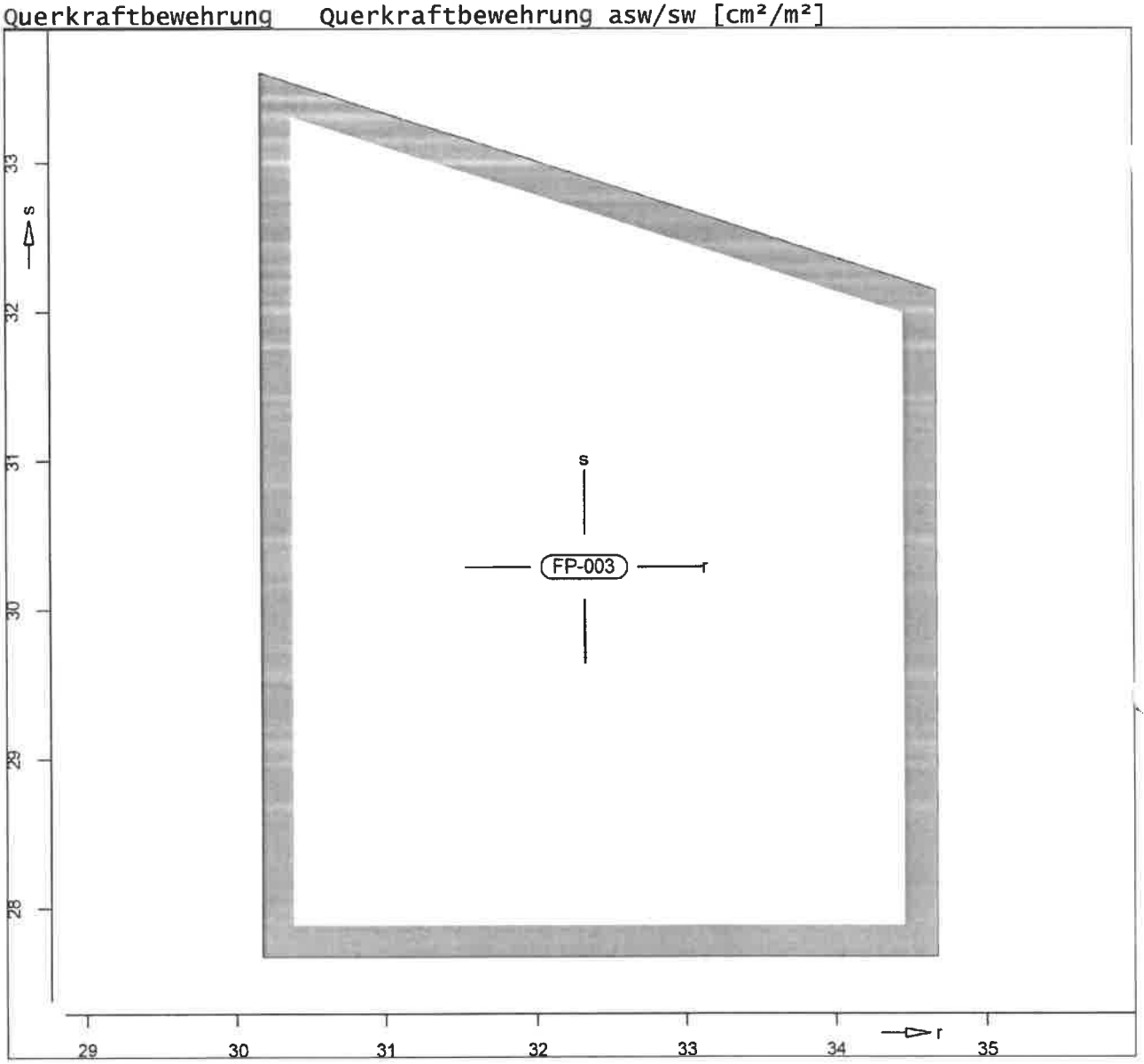
Querkraft Pl-As-Iso  Querkraftbemessung Plattenbereiche

FP-003  Querkraftbemessung der Platte (Isolinien)

Querkraftbemessung nach DIN EN 1992-1-1
Beton C 25/30, Betonstahl B 500SA
Gesteinskörnung Quarzit
Druckstrebenneigung wurde vom Programm optimiert.
Mindestbewehrung (9.3.2) wurde nicht ermittelt.

Dicke konstant h = 20.00 cm

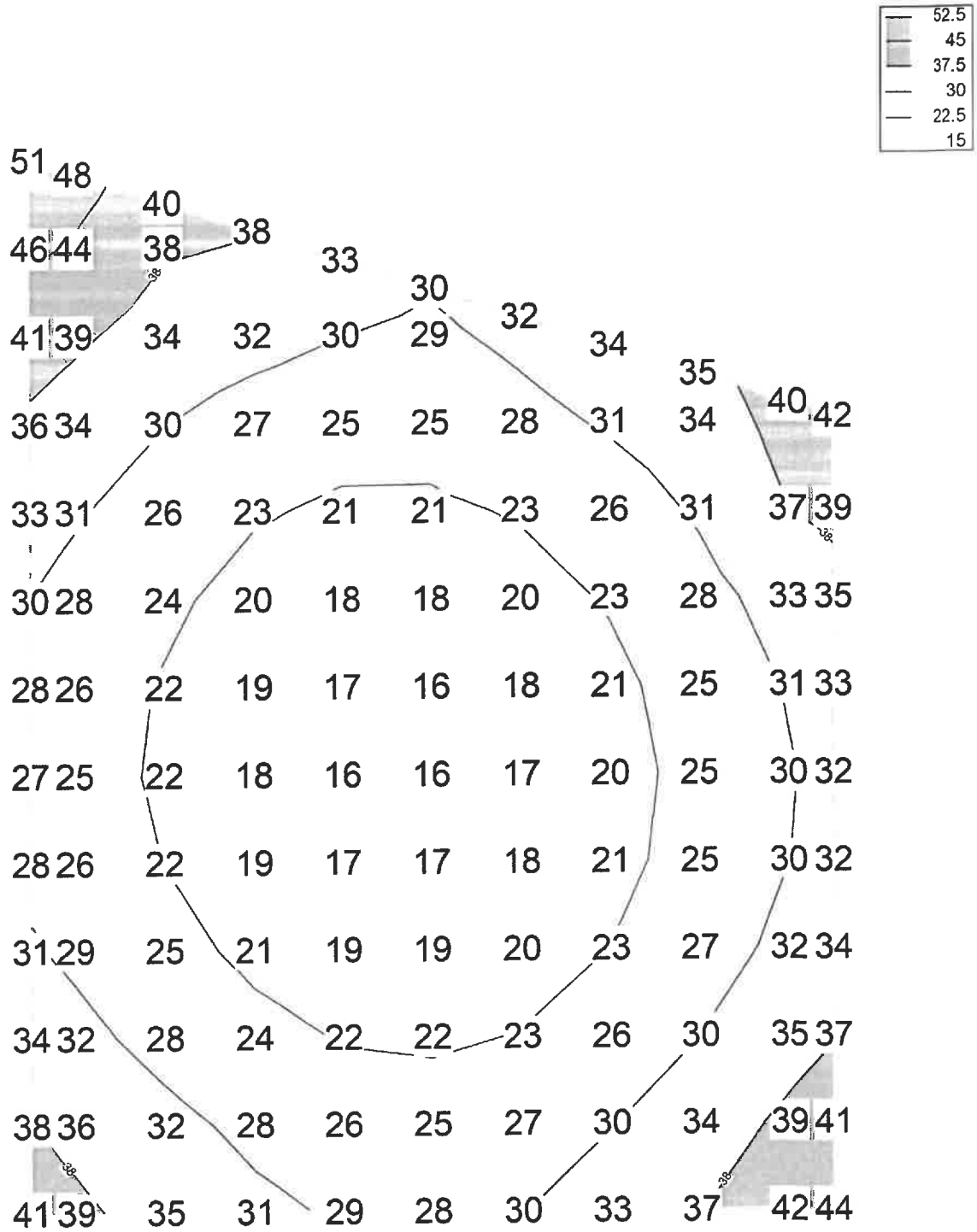
Querkraftbewehrung  Querkraftbewehrung asw/sw [cm²/m²]




Isolinienstufen = 1.00 cm²/m²



durch Vergleichsrechnung geprüft




| **Flächenpressungen** | Lagerkraft in z-Richtung in [kN/m²] | Maßstab: 1:35 |
|---|---|---|

lastkombinationsweise dargestellt
aus Lastkombination LK-1
Max = 51 (Kn. 1), Min = 16 (Kn. 54), Step = 7.5



durch Vergleichsrechnung geprüft

## Pos. SB Schlussblatt

**Urheberrechte:**

Diese bautechnischen Unterlagen gelten für die einmalige Ausführung des o.e. Bauvorhabens und sind standortbezogen. Die Übernahme dieser Unterlagen für andere Bauvorhaben oder Standorte bedarf der Genehmigung des Aufstellers.

**Unterschriften:**

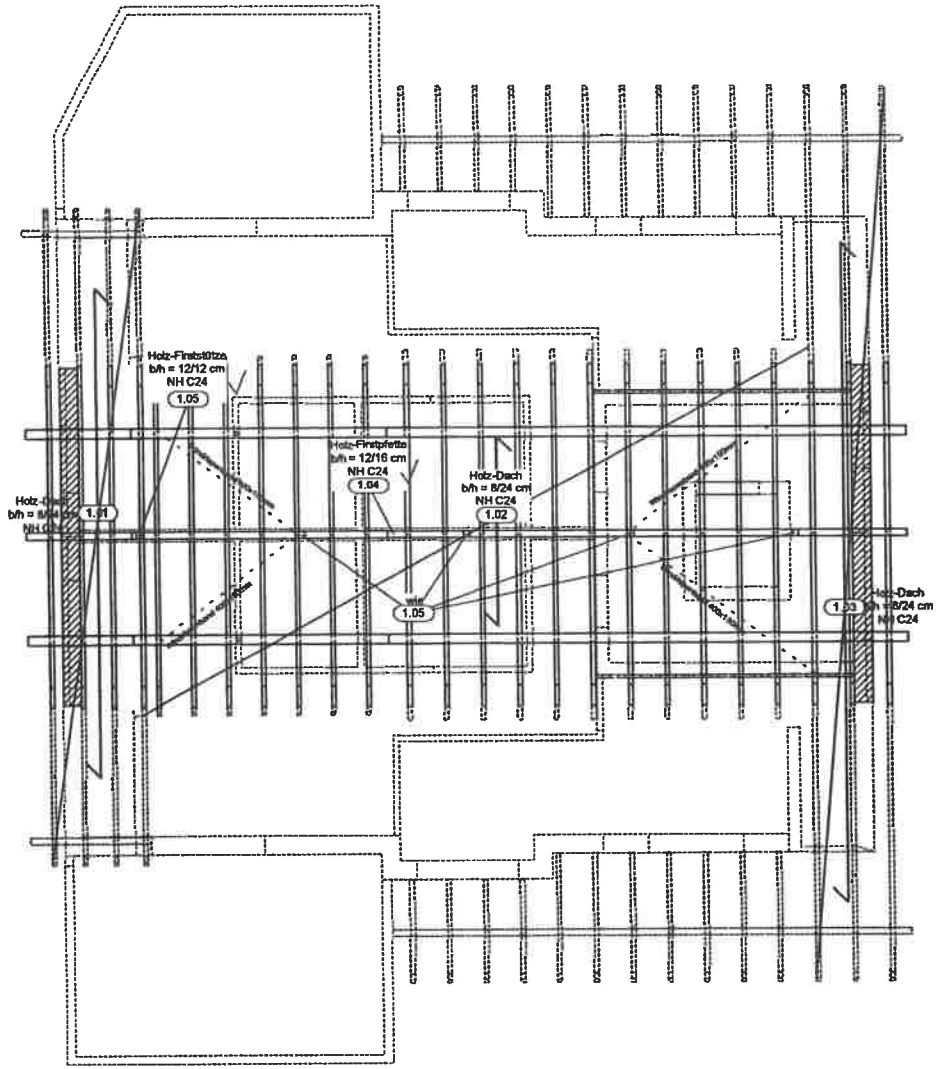
aufgestellt:

Frechen, den 16.02.2022



---

(Joachim Komsthöft)




**Positionsliste**

| Pos-Nr. | Positionstext | |
|---|---|---|
| 1.01 | Holz-Dach, b/h = 8/24 cm NH C24* | *e=0,75m |
| 1.02 | Holz-Dach, b/h = 8/24 cm NH C24 * | |
| 1.03 | Holz-Dach, b/h = 8/24 cm NH C24 * | |
| 1.04 | Holz-Firstpfette, b/h = 12/16 cm NH C24 | |
| 1.05 | Holz-Firststütze, b/h = 12/12 cm NH C24 | |

Anschlüsse siehe jeweilige Positionen in der Statik

**Legende:**

- Bims-Mauerwerk, SFK 4-0,9/DM (Z-17.1-844)
- Bims- Bisomark, SFK 4-0,5/DM (Z-17.1-1029)
- Bims-Mauerwerk, SFK12-1.80/DM (Z-17.1-844)
- Bims-Mauerwerk, SFK 20-2,0/DM (Z-17.1-845)
- Stb.-Wand, C25/30
- Nicht tragende Wand (Gewicht < 5 kN/m)

FS. = Fertigsturz

Anlage
zur geprüften statischen Berechnung
Prüf-Nr.: 211566 01PS
zum Prüfverzeichnis von 21
Zugehöriger Prüfbericht Nr.: 1
Bonn, den 10.06.2022

Prüfingenieur für Baustatik
Staatlich anerkannter Sachverständiger
Dr.-Ing. Wulf Zillinger

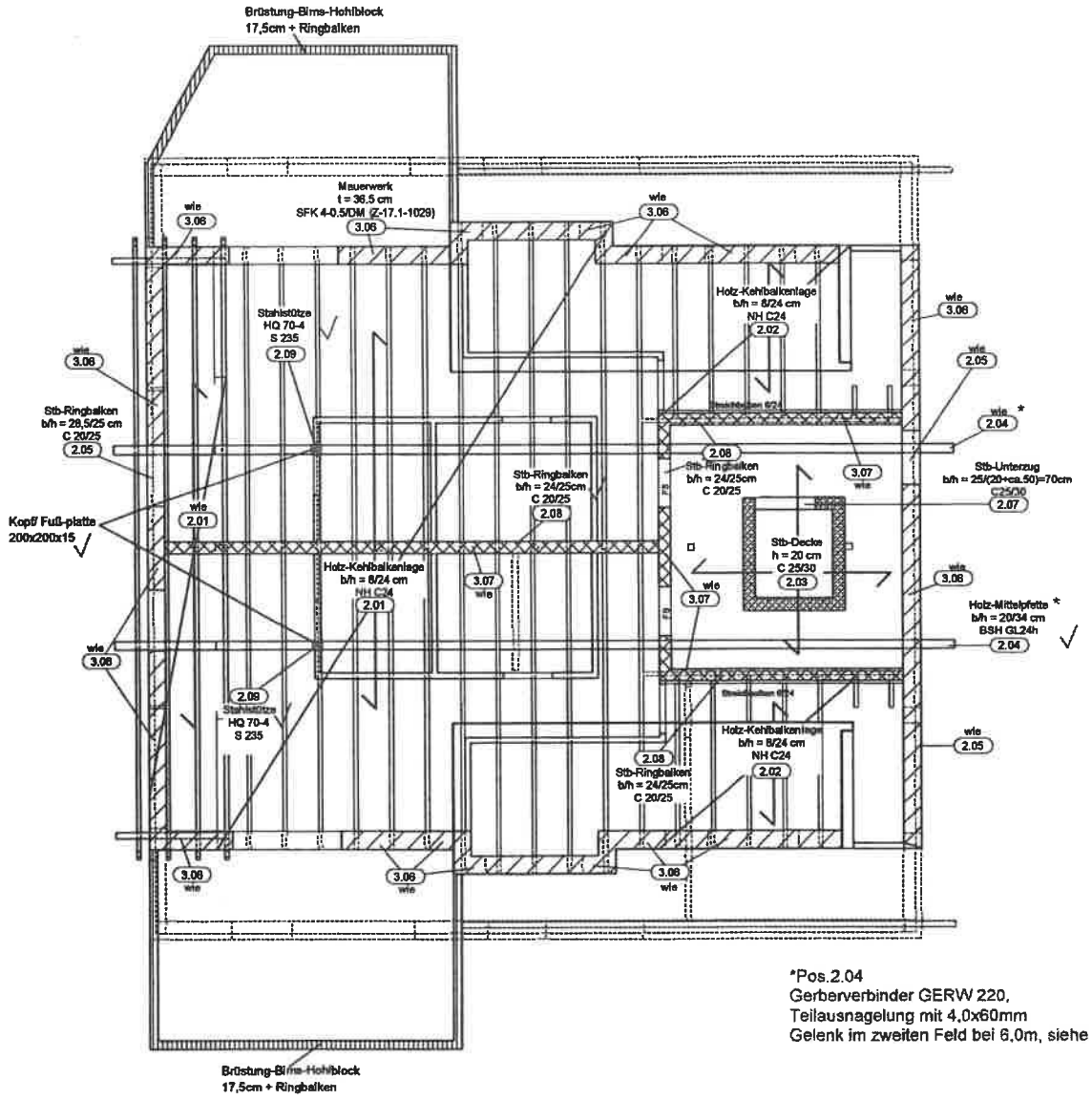
# POSITIONSPLAN

Planung:
KomPlan GmbH
Ingenieurbüro für Tragwerksplanung
Dr.-Gottfried-Cremer-Allee 29
50226 Frechen
Tel.:+49 2234 99013-10
Fax:+49 2234 99013-99
E-Mail:info@komplan.koeln
Internet: www.komplan.koeln

Bauherr*in/Bauvorhaben:
Guido Metzen
Neubau eines Mehrfamilienhauses mit 6 WE
Bauort:
Boenerstraße 36,
53879 Euskirchen

Planinhalt:
Dach

| Datum: | Maßstab: | | |
|---|---|---|---|
| 16.02.2022 | 1:100 | | |
| Projekt-Nr.: | Plan-Nr.: | Index: | * |
| 9-21-222 | P-01 | - | |




*Pos.2.04
Gerberverbinder GERW 220,
Teilausnagelung mit 4,0x60mm
Gelenk im zweiten Feld bei 6,0m, siehe Seite 120

**Positionsliste**

| Pos-Nr. | Positionstext |
|---|---|
| 2.01 | Holz-Kehlbalkenlage, b/h = 8/24 cm NH C24 ,e=0,75m |
| 2.02 | Holz-Kehlbalkenlage, b/h = 8/24 cm NH C24 ,e=0,75m |
| 2.03 | Stb-Decke, h = 20 cm C 25/30 |
| 2.04 | Holz-Mittelpfette, b/h = 20/34 cm BSH GL24h |
| 2.05 | Stb-Ringbalken, b/h = 28,5/25 cm C 20/25 |
| 2.07 | Stb-Unterzug, b/h = 25/(20+ca.50)=70cm C25/30 |
| 2.08 | Stb-Ringbalken, b/h = 24/25cm C 20/25 |
| 2.09 | Stahlstütze, HQ 70-4 S 235 |
| 3.06 | Mauerwerk, t = 36.5 cm SFK 4-0.5/DM (Z-17.1-1029) |
| 3.07 | Mauerwerk, t = 24 cm SFK 20-2.0/DM (Z-17.1-845) |

Anschlüsse Holzkonstruktion siehe jeweilige Positionen in der Statik

**Legende:**

- Bims-Mauerwerk, SFK 4-0,9/DM (Z-17.1-844)
- Bims- Bisomark, SFK 4-0,5/DM (Z-17.1-1029)
- Bims-Mauerwerk, SFK12-1.80/DM (Z-17.1-844)
- Bims-Mauerwerk, SFK 20-2,0/DM (Z-17.1-845)
- Stb.-Wand, C25/30
- Nicht tragende Wand (Gewicht < 5 kN/m)

FS. = Fertigsturz

Anlage
zur geprüften statischen Berechnung
Prüf-Nr.: 211566 01PS
zum Prüfverzeichnis von 21
Zugehöriger Prüfbericht Nr.: 1
Bonn, den 10.03.2022
Prüfingenieur für Baustatik
Staatlich anerkannter Sachverständiger
Dr.-Ing. Wulf Zillinger

# POSITIONSPLAN

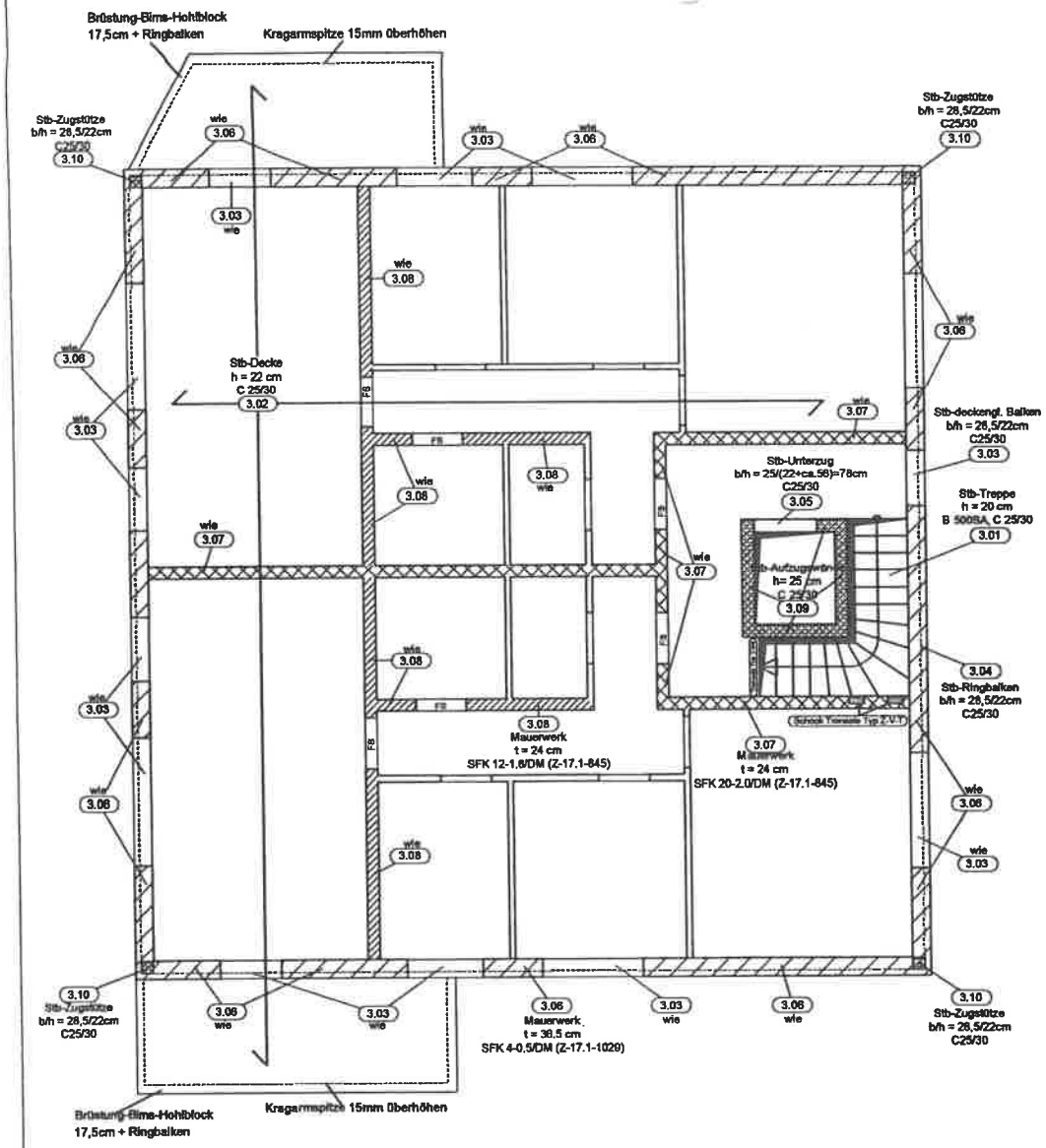
Planung:
KomPlan GmbH
Ingenieurbüro für Tragwerksplanung
Dr.-Gottfried-Cremer-Allee 29
50226 Frechen
Tel.:+49 2234 99013-10
Fax:+49 2234 99013-99
E-Mail:info@komplan.koeln
Internet: www.komplan.koeln

Bauherr*in/Bauvorhaben:
Guido Metzen
Neubau eines Mehrfamilienhauses mit 6 WE
Bauort:
Boenerstraße 36,
53879 Euskirchen

Planinhalt:
Dachgeschoss

| Datum: | Massstab: |
|---|---|
| 16.02.2022 | 1:100 |

| Projekt-Nr: | Plan-Nr: | Index: |
|---|---|---|
| 9-21-222 | P-02 | - * |




## Positionsliste

| Pos-Nr. | Positionstext |
|---|---|
| 3.01 | Stb-Treppe, h = 20 cm B 500SA, C 25/30 |
| 3.02 | Stb-Decke, h = 22 cm C 25/30 |
| 3.03 | Stb-deckengl. Balken, b/h = 28,5/22cm C25/30 |
| 3.04 | Stb-Ringbalken, b/h = 28,5/22cm C25/30 |
| 3.05 | Stb-Unterzug, b/h = 25/(22+ca.56)=78cm C25/30 |
| 3.06 | Mauerwerk, t = 36.5 cm SFK 4-0.5/DM (Z-17.1-1029) |
| 3.07 | Mauerwerk, t = 24 cm SFK 20-2.0/DM (Z-17.1-845) |
| 3.08 | Mauerwerk, t = 24 cm SFK 12-1.8/DM (Z-17.1-845) |
| 3.09 | Stb-Aufzugswände, h= 25 cm C 25/30 |
| 3.10 | Stb-Zugstütze, b/h = 28,5/22cm C25/30 |

**Legende:**

- Bims-Mauerwerk, SFK 4-0,9/DM (Z-17.1-844)
- Bims- Bisomark, SFK 4-0,5/DM (Z-17.1-1029)
- Bims-Mauerwerk, SFK12-1.80/DM (Z-17.1-844)
- Bims-Mauerwerk, SFK 20-2,0/DM (Z-17.1-845)
- Stb.-Wand, C25/30
- Nicht tragende Wand (Gewicht < 5 kN/m)

FS. = Fertigsturz

Anlage
zur geprüften statischen Berechnung
Prüf-Nr.: 211566 01PS
zum Prüfverzeichnis von 21
Zugehöriger Prüfbericht Nr.: 1
Bonn, den 10.03.2022

Prüfingenieur für Baustatik
Staatlich anerkannter Sachverständiger
Dr.-Ing. Wulf Zillinger

# POSITIONSPLAN


Planung:

KomPlan GmbH

Ingenieurbüro für Tragwerksplanung

Dr.-Gottfried-Cremer-Allee 29
50226 Frechen
Tel.:+49 2234 99013-10
Fax:+49 2234 99013-99
E-Mail:info@komplan.koeln
Internet: www.komplan.koeln


Bauherr*in/Bauvorhaben:

Guido Metzen
Neubau eines Mehrfamilienhauses mit 6 WE

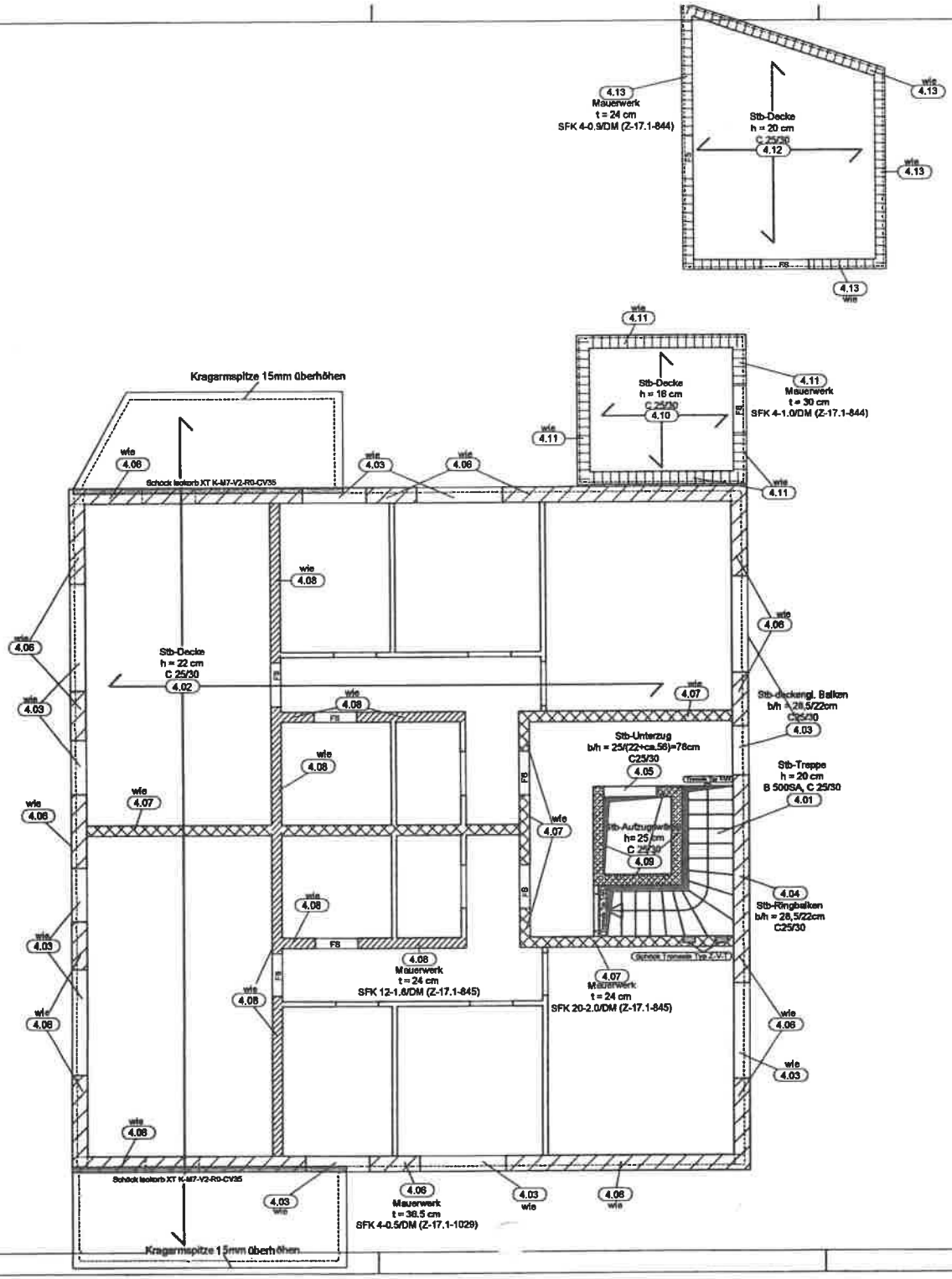
Bauort:

Boenerstraße 36,
53879 Euskirchen

Planinhalt:

**Obergeschoss**

| Datum: | Massstab: | |
|---|---|---|
| 16.02.2022 | 1:100 | |
| Projekt-Nr.: | Plan-Nr.: | Index: |
| 9-21-222 | P-03 | - ✓ |




## Positionsliste

| Pos-Nr. | Positionstext |
|---|---|
| 4.01 | Stb-Treppe, h = 20 cm B 500SA, C 25/30 |
| 4.02 | Stb-Decke, h = 22 cm C 25/30 |
| 4.03 | Stb-deckengl. Balken, b/h = 28,5/22cm C25/30 |
| 4.04 | Stb-Ringbalken, b/h = 28,5/22cm C25/30 |
| 4.05 | Stb-Unterzug, b/h = 25/(22+ca.56)=78cm C25/30 |
| 4.06 | Mauerwerk, t = 36.5 cm SFK 4-0.5/DM (Z-17.1-1029) |
| 4.07 | Mauerwerk, t = 24 cm SFK 20-2.0/DM (Z-17.1-845) |
| 4.08 | Mauerwerk, t = 24 cm SFK 12-1.8/DM (Z-17.1-845) |
| 4.09 | Stb-Aufzugswände, h= 25 cm C 25/30 |
| 4.10 | Stb-Decke, h = 16 cm C 25/30 |
| 4.11 | Mauerwerk, t = 30 cm SFK 4-1.0/DM (Z-17.1-844) |
| 4.12 | Stb-Decke, h = 20 cm C 25/30 |
| 4.13 | Mauerwerk, t = 24 cm SFK 4-0.9/DM (Z-17.1-844) |

**Legende:**

- Bims-Mauerwerk, SFK 4-0,9/DM (Z-17.1-844)
- Bims- Bisomark, SFK 4-0,5/DM (Z-17.1-1029)
- Bims-Mauerwerk, SFK12-1.80/DM (Z-17.1-844)
- Bims-Mauerwerk, SFK 20-2,0/DM (Z-17.1-845)
- Stb.-Wand, C25/30
- Nicht tragende Wand (Gewicht < 5 kN/m)

FS. = Fertigsturz

Anlage
zur geprüften statischen Berechnung
Prüf-Nr.: 211566 01PS
zum Prüfverzeichnis von 21
Zugehöriger Prüfbericht Nr.: 1
Bonn, den 10.03.2022
Prüfingenieur für Baustatik
Staatlich anerkannter Sachverständiger
Dr.-Ing. Wulf Zillinger

# POSITIONSPLAN


Planung:

KomPlan GmbH

Ingenieurbüro für Tragwerksplanung

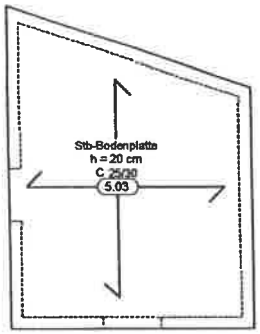
Dr.-Gottfried-Cremer-Allee 29
50226 Frechen
Tel.:+49 2234 99013-10
Fax:+49 2234 99013-99
E-Mail:info@komplan.koeln
Internet: www.komplan.koeln

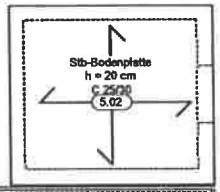

Bauherr*in/Bauvorhaben:
Guido Metzen
Neubau eines Mehrfamilienhauses mit 6 WE

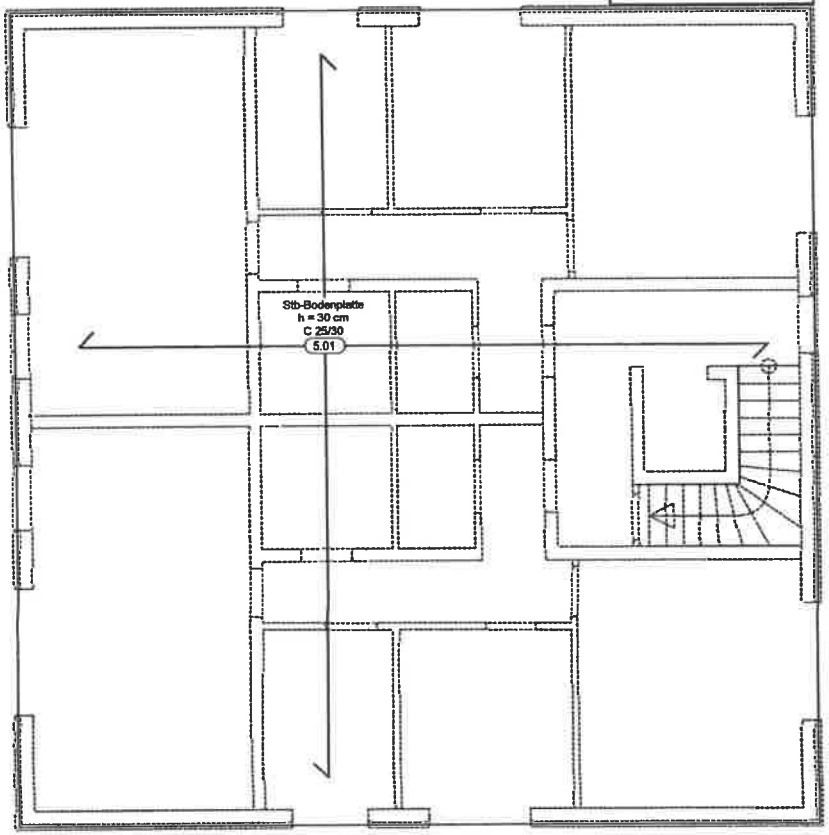
Bauort:
Boenerstraße 36,
53879 Euskirchen

Planinhalt:
Erdgeschoss

| Datum: | Massstab: | | |
|---|---|---|---|
| 16.02.2022 | 1:100 | | |
| Projekt-Nr: | Plan-Nr: | Index: | |
| 9-21-222 | P-04 | - | √ |




**Positionsliste**

| Pos-Nr. | Positionstext |
|---|---|
| 5.01 | Stb-Bodenplatte, h = 30 cm C 25/30 |
| 5.02 | Stb-Bodenplatte, h = 20 cm C 25/30 |
| 5.03 | Stb-Bodenplatte, h = 20 cm C 25/30 |

Anlage
zur geprüften statischen Berechnung
Prüf-Nr.: 211566 01PS
zum Prüfverzeichnis von 21
Zugehöriger Prüfbericht Nr.: 1
Bonn, den 10.03.2022

Prüfingenieur für Baustatik
Staatlich anerkannter Sachverständiger
Dr.-Ing. Wulf Zillinger

# POSITIONSPLAN

Planung:

KomPlan GmbH

Ingenieurbüro für Tragwerksplanung

Dr.-Gottfried-Cremer-Allee 29
50226 Frechen
Tel.: +49 2234 99013-10
Fax: +49 2234 99013-99
E-Mail: info@komplan.koeln
Internet: www.komplan.koeln

Bauherr*in/Bauvorhaben:
Guido Metzen
Neubau eines Mehrfamilienhauses mit 6 WE

Bauort:
Boenerstraße 36,
53879 Euskirchen

Planinhalt:
Gründung

| Datum: | Massstab: |
|---|---|
| 16.02.2022 | 1:100 |

| Projekt-Nr: | Plan-Nr: | Index: |
|---|---|---|
| 9-21-222 | P-05 | - √ |

Durch Erlass des Ministeriums für Verkehr NRW - 59.73.08.02-000038 - vom 19.01.2021 in Nordrhein-Westfalen und durch die Bundesanstalt für Straßenwesen für die Fachgebiete / Prüfungsarten A1, A3, A4, D0, D3, D4, E3, E4, F2, F3, F4, G3, G4, H1, H3, H4, I1, I2, I3 und I4 gem. RAP Stra 15 bundesweit anerkannt.

GfB BAUSTOFFPRÜFSTELLE
ERFT-LABOR GMBH

Erft-Labor · Heinrich-Barth-Str. 4 · 53881 Euskirchen

info@erft-labor.de

www.erft-labor.de

**Hauptsitz Euskirchen**
Heinrich-Barth-Straße 4
53881 Euskirchen
Tel. 0 22 51 - 1 28 39-00
Fax 0 22 51 - 1 28 39-29

**Niederlassung Aachen**
An den Wurmquellen 4
52076 Aachen
Tel. 02 41 - 1 57 01 56
Fax 02 41 - 1 57 01 58

**Labor- und Feldversuche**
Asphalt · Beton · AKR · Boden · Deponie
Mineralstoffe · Recycling · Bohrungen
Sondierungen · Probenahme Baustoffe, Boden, Wasser

**Bautechnik und Geologie**
Gutachten und Beratung:
im Bahn- / Hoch- / Straßen- / Tiefbau ·
Baugrund · Lagerstättenbewertung ·
Umweltanalytik

**Guido Metzen Vermögensverwaltung GmbH**
**Unter den Linden 11**

**53902 Bad Münstereifel**

# Geotechnischer Bericht

Nr.: 010-22-4 Datum 31. Jan. 2022

## I Angaben des Auftragschreibens

Auftraggeber: **Siehe Anschriftenfeld**

Prüfungsanlass: **Geotechnischer Bericht anhand von Untersuchungsergebnissen aus Kleinrammbohrungen (KRB, ∅ 60/50/40 mm) und Rammsondierungen**

Prüfungsobjekt: **Neubau eines nicht unterkellerten Mehrfamilienhauses**
**Boenerstraße 36**
**Euskirchen**

Ausführender Unternehmer: -

Anlage
zur geprüften statischen Berechnung
Prüf-Nr.: 211566 01PS
zum Prüfverzeichnis von 21
Zugehöriger Prüfbericht Nr.: 1
Bonn, den 10.03.2022
Prüfingenieur für Baustatik
Staatlich anerkannter Sachverständiger
Dr.-Ing. Wulf Zillinger

| Prüfungs-Nr. | Art der Probe | Körnung mm | Bez. der Probe | Probenahme am | Probeneingang am | Entnahmestelle |
|---|---|---|---|---|---|---|
| **010-22-4** | **2 Kleinrammbohrungen**<br>**4 Rammsondierungen**<br>**9 Bodenproben** | **∅ 60/50/40 mm DPH** | **s.Text** | **13. Jan. 2022** | **13. Jan. 2022** | **s. Text** |

**Dieser geotechnische Bericht umfasst 15 Seiten und 3 Anlagen.**

Dieses Prüfungszeugnis darf nur ungekürzt vervielfältigt werden; auszugsweise Wiedergabe und jede Veröffentlichung bedarf unserer Zustimmung.

## II Inhaltsverzeichnis


| | | |
|---|---|---|
| I | Angaben des Auftragschreibens | 1 |
| II | Inhaltsverzeichnis | 2 |
| III | Anlagenverzeichnis | 2 |
| IV | Veranlassung, Bauvorhaben, Unterlagen, Untersuchungen | 3 |
| IV.1 | Unterlagen | 3 |
| IV.2 | Veranlassung/Bauvorhaben | 4 |
| IV.3 | Durchgeführte Untersuchungen (Art und Umfang) | 4 |
| IV.4 | Untersuchungsstellen | 4 |
| V | Darstellung der geotechnischen Untersuchungsergebnisse | 5 |
| V.1 | Geologie | 5 |
| V.2 | Baugrundschichtung | 5 |
| V.3 | Hydrogeologische Verhältnisse | 8 |
| V.4 | Homogenbereiche | 9 |
| V.5 | Bodenkennwerte | 10 |
| V.6 | Erdbebensicherheit | 11 |
| VI | Bewertung der geotechnischen Erkundungsergebnisse | 12 |
| VI.1 | Gründung | 12 |
| VI.2 | Hinweise zur Bauausführung | 14 |
| VI.3 | Radon im Boden | 15 |


## III Anlagenverzeichnis


| | | |
|---|---|---|
| 1 | Lageskizze der Untersuchungspunkte | 1 Seite |
| 2 | Bohr- und Sondierprofile | 1 Seite |
| 3.1 – 3.2 | Schichtenverzeichnisse | 3 Seiten |

# IV Veranlassung, Bauvorhaben, Unterlagen, Untersuchungen

## IV.1 Unterlagen

- DIN EN 1997-1 / 1997-2
- DIN 1054 / 1055-2
- DIN 4020 / DIN 4023 / DIN 4123 / DIN 4124
- DIN EN ISO 14688-1 / 14688-2 / 14689-1
- DIN EN ISO 22475-1
- DIN EN ISO 22476-2
- DIN EN 1998-1/NA:2011-01, Erdbebenzonenkarte
- DIN 18195, DIN 18533
- DIN 18196
- DIN 18300 / DIN 18303 / DIN 18304
- ZTVA-StB 97/06
- ZTVA-StB 12
- ZTVE-StB 17
- ZTVE-StB 17, Kommentar und Leitlinien mit Kompendium Erd- und Felsbau (5. Auflage, 2019)
- Geologische Karte von NRW, Blatt 5306 Euskirchen, M. 1:25.000
- Karte der Grundwassergleichen von NRW, Blatt L5306 Euskirchen, M. 1:50.000
- Angebot der GfB Baustoffprüfstelle Erft-Labor GmbH vom 23. Dez. 2021
- Auftrag vom 10. Jan. 2022

Zur Ausarbeitung des Berichtes wurden uns vom Auftraggeber folgende Planunterlagen zur Verfügung gestellt:

- Lageplan, M. 1:200, vom 08. Dez. 2021, Vermessungsbüro Dipl.-Ing. Andreas Kluß

## IV.2 Veranlassung/Bauvorhaben

Die GfB Baustoffprüfstelle Erft-Labor GmbH (nachfolgend Prüfstelle) erhielt von der Guido Metzen Vermögensverwaltung GmbH den Auftrag zur Durchführung von Untersuchungen im Rahmen eines Geotechnischen Berichts für die geplante Errichtung eines nicht unterkellerten Mehrfamilienhauses in der Boenerstraße 36 in Eukirchen.
Das Grundstück war vormals mit einem Gebäude bebaut, welches inzwischen abgebrochen wurde. Nach Auskunft des Auftraggebers war dieses Haus unterkellert; die Baugrube wurde mit RCL-Material verfüllt.
Das neue Gebäude ist nicht unterkellert. Es liegt mit der Grundfläche etwa zur Hälfte im Bereich der ehemaligen Bebauung.
Weitere Grundlagen des Auftrages sind die Angaben in Abschnitt I dieses Berichts.

## IV.3 Durchgeführte Untersuchungen (Art und Umfang)

Am 12. Jan. 2022 wurden zur Beurteilung der Untergrundverhältnisse auftragsgemäß folgende Untersuchungen durchgeführt:

- 2 Kleinrammbohrungen (KRB) nach DIN EN ISO 22475-1 bis 7,0 m Tiefe (∅ 60/50/40 mm) zur Ermittlung des Bodenprofils
- 4 schwere Rammsondierungen (DPH) nach DIN EN ISO 22476-2 (Sondierspitzenquerschnitt: 15 cm²) bis 7,0 m Tiefe zur Ermittlung der Lagerungsdichte des Untergrunds
- 9 Probenahmen aus den abgeteuften Kleinrammbohrungen
- 4-mal Einmessen der Untersuchungsstellen nach Lage und Höhe
- 4-mal Messen des Grundwasserstandes mit dem Kabelakustiklot

## IV.4 Untersuchungsstellen

Eine Lageskizze mit der Lage der Untersuchungsstellen ist in der Anlage 1 dargestellt. Für das Nivellement der Untersuchungsstellen wurde der im Lageplan dargestellte Höhenfestpunkt (Nagel) verwendet (siehe Anlage 1), der nach den vorliegenden Unterlagen eine Höhe von 175,57 mNN besitzt.

Bei den Untersuchungsstellen handelt es sich um stichpunktartige Aufschlüsse, so dass der jeweils angetroffene Aufbau lediglich für die Untersuchungsstelle gilt. Ein abweichender Schichtenaufbau zwischen den Untersuchungsstellen kann nicht ausgeschlossen werden. Die Ansprache und Benennung der Schichten wurden für die angetroffenen Böden im Rahmen der Feldarbeiten vorgenommen. Dies erfolgte visuell bzw. in Feldversuchen nach DIN 4022 bzw. DIN EN ISO 14688-1 und DIN EN ISO 14689-1 und ist mit den üblichen methodischen Ungenauigkeiten verbunden. Dadurch können sich in der Einstufung nach DIN 18196 Doppelbenennungen (z.B. UL/SU*) ergeben. Eine exakte Ansprache nach DIN 18196 kann nur durch weitere Laboruntersuchungen erfolgen.

## V Darstellung der geotechnischen Untersuchungsergebnisse

### V.1 Geologie

Das Untersuchungsgebiet befindet sich geologisch am Nordrand der aus paläozoischen Sedimentgesteinen aufgebauten Eifel (Rheinisches Schiefergebirge) im Grenzbereich zur südlichen Niederrheinischen Bucht.
Das Rheinische Schiefergebirge wird im Wesentlichen aus paläozoischen Sedimentgesteinen aufgebaut, südlich von Euskirchen durch den Billigerwald-Quarzit sowie den aus milden Schiefern und graugrünen Sandsteinen bestehenden Klerfer Schichten des Unterdevons. Dagegen ist die Niederrheinische Bucht durch mächtige Terrassensedimente des Quartärs und braunkohleführende Schichten des Tertiärs geprägt.

Gemäß der amtlichen geologischen Karte stehen im Untersuchungsbereich pleistozäne Eifelschotter an. Unter den Eifelschottern folgen die für diese Gegend typischen tertiären Sedimente des Eozän/Paläozän bestehen aus Wechsellagerungen von Quarzkiesen, Kaolinsanden und Tonen.

### V.2 Baugrundschichtung

Auf dem Grundstück wurde das Bodenprofil an zwei Untersuchungsstellen mittels Kleinrammbohrungen (KRB) nach DIN EN ISO 22475-1 bis 7,0 m Tiefe erkundet. Ergänzend dazu wurde die Lagerungsdichte des Untergrunds mittels schweren Rammsondierungen (DPH) an vier Untersuchungsstellen nach DIN EN ISO 22476-2 bis ebenfalls 7,0 m Tiefe ermittelt.

Die Ergebnisse der Kleinrammbohrungen und der Rammsondierungen sind in Anlage 2 in Form von Bodenprofilen und Rammdiagrammen dargestellt. Die Schichtenverzeichnisse der Kleinrammbohrungen enthalten die Anlagen 3.1 und 3.2.

Bei den Sondierprofilen ist der Untergrund aufgrund des Sondierwiderstands und in Abhängigkeit des Materials erfahrungsgemäß folgendermaßen gelagert:

**Tabelle 1: Sondierwiderstand DPH bei bindigen Böden**

| Sondierwiderstand (Schlagzahlen pro 10 cm) schwere Rammsondierung **(DPH)** | Konsistenz bei bindigen Böden | Undränierte Scherfestigkeit $c_u$ [kN/m²] |
|---|---|---|
| 0 – 2 | breiig | < 20 |
| 2 – 5 | weich | 20 – 60 |
| 5 – 9 | steif | 60 – 200 |
| 9 – 17 | halbfest | > 200 |
| > 17 | fest | > 400 |

**Tabelle 2: Sondierwiderstand DPH bei ungleichförmigen nichtbindigen Böden $C_u > 3$**

| Sondierwiderstand (Schlagzahlen pro 10 cm) schwere Rammsondierung **(DPH)** | Lagerungsdichte bei nichtbindigen Böden ($C_u > 3$) | Bei $C_u > 3$ D |
|---|---|---|
| < 5 | sehr locker | < 0,2 |
| 3 – 10 | locker | 0,2 – 0,45 |
| 7 – 23 | mitteldicht | 0,45 – 0,65 |
| 20 - > 40 | dicht | > 0,65 |

**Tabelle 3: Sondierwiderstand DPH bei gleichförmigen nichtbindigen Böden $C_u \leq 3$, über Grundwasser**

| Sondierwiderstand (Schlagzahlen pro 10 cm) schwere Rammsondierung **(DPH)** | Lagerungsdichte bei nichtbindigen Böden ($C_u < 3$) | Bei $C_u \leq 3$ D |
|---|---|---|
| 0 - 1 | sehr locker | < 0,15 |
| 1 – 5 | locker | 0,15 – 0,30 |
| 3 – 15 | mitteldicht | 0,30 – 0,50 |
| 13 – 25 | dicht | 0,50 – 0,75 |

Der ermittelte Schichtenaufbau ist in der nachfolgenden Tabelle 4 zusammengefasst:

**Tabelle 4: Schichtenaufbau**

| KRB 1 | Tiefe unter GOK bis [m] | Bodengruppe nach DIN 18196 aus Feldversuch | Lagerung / Konsistenz aus Feldversuch |
|---|---|---|---|
| Schicht 1: RC-Baustoffgemisch | 0,6 | GI/GU | knapp mitteldicht |
| Schicht 2: Sand/Kies, stark schluffig, tonig (Eifelschotter) | 2,4 | SU*/GU* | mitteldicht |
| Schicht 3: Ton, feinsandig | 4,7 | TM | steif – halbfest |
| Schicht 4: Ton, feinsandig, mit einzelnen Feinsandlagen | 6,4 | TM | steif |
| Schicht 5: Feinsand, tonig | 7,0 | ST | dicht |
| KRB 2 | Tiefe unter GOK bis [m] | Bodengruppe nach DIN 18196 aus Feldversuch | Lagerung / Konsistenz aus Feldversuch |
| Schicht 1: RC-Baustoffgemisch | 1,6 | GI/GU | mitteldicht |
| Schicht 2: Sand, kiesig, tonig, schluffig (Eifelschotter) | 2,5 | SU | mitteldicht |
| Schicht 3: Ton, feinsandig | 4,7 | TM | steif – halbfest |
| Schicht 4: Ton, feinsandig | 7,0 | TM | steif |

Wie vor Ort erkennbar war, liegt zunächst an allen vier Untersuchungspunkten ein RC-Baustoffgemisch vor.

Bei Böden mit erhöhtem Feinkornanteil (<0,063 mm > 15 %) ist zu beachten, dass es sich hierbei um wasserempfindliche Böden handelt, die bei zu hoher Durchnässung in eine weiche bis breiige Konsistenz übergehen und dann nicht wiederverwendet werden können. Bei einer eventuellen Zwischenlagerung sind solche Böden auf jeden Fall vor Wasserzutritt zu schützen. Aufgrund ihrer bodenmechanischen Eigenschaften eignen sich derartige Böden hinsichtlich der Wiederverwendung nur dann, wenn ihr Einbau bei trockener Witterung mit Einbauwassergehalten im Bereich des optimalen Wassergehaltes erfolgt und sie nicht nachträglich aufweichen. Die Beurteilung der Wiederverwendbarkeit dieser Böden für einen möglichen Wiedereinbau sollte im Zuge der Baumaßnahme anhand des ausgehobenen Materials erfolgen.

## V.3 Hydrogeologische Verhältnisse

Nach Abschluss der Bohrarbeiten wurde der Wasserstand im offenen Bohrloch der Kleinrammbohrungen bzw. Rammsondierungen mittels Kabelakustiklot gemessen. Dabei wurde in den Rammsondierungen DPH 2 und 4 kein Wasser gemessen; diese waren bis zur erkundeten Tiefe trocken. In der Bohrung KRB 1 wurde bis 6,6 m Tiefe kein Wasser gemessen, jedoch war die Spitze des Kabelakustiklots nass. Von 6,6 – 7,0 m Tiefe war das Bohrloch zugefallen. In der Bohrung KRB 3 wurde nach Beendigung der Bohrungen ein Wasserstand bei 1,2 m unter Gelände festgestellt.

Die nasse Spitze des Kabelakustiklots bei 6,6 m Tiefe in KRB 1 deutet auf einen lokalen Grundwasserhorizont in den tertiären Feinsanden hin. Gemäß der Karte der Grundwassergleichen von NRW, Blatt L5306 Euskirchen (Stand: April 1988), muss im Bereich des untersuchten Grundstücks mit Grundwasser etwas unter 170 m ü. NN gerechnet werden. Dabei ist zu bedenken, dass der in der Karte genannte Wasserspiegel die großräumigen Verhältnisse wieder gibt und das Grundwasser im April 1988 landesweit einen Hochstand erreichte. Diese Größenordnung belegt auch die Grundwassermessstelle „Euskirchen I/26" in vergleichbarer Höhenlage ca. 300 m nordöstlich des Grundstücks. Gemäß dem ELWAS-WEB wurde dabei im Messzeitraum 1949 – 2021 ein mittlerer Wasserspiegel bei ca. 168,35 – 168,95 mNN gemessen. Die mit dem Lichtlot festgestellte Feuchtigkeit spricht daher für Grundwasser etwa bei ca. 168 – 169 m ü. NN.

Der hohe Wasserstand in KRB 3 ist durch eine starke Durchfeuchtung des RC-Materials durch Niederschlagswasser bedingt. Bei KRB 3 war das Material deutlich feucht bis nass. In den dichter gelagerten Eifelschottern konnte das Wasser noch nicht ablaufen, so dass es zu einem Aufstau in der RC-Packung kam. Dafür sprechen auch die zurückgehenden Schlagzahlen der Rammsondierung DPH 3 bei etwa 1,0 – 1,6 m unter Gelände.

Wasserstandsmessungen am offenen Bohrloch können nur als Anhaltswerte für den Wasserspiegel dienen, der sich bis zum Abschluss der Bohrarbeiten einstellt. Genaue Messungen des Ruhewasserstandes und längerfristige Beobachtungen der Grundwasserganglinie sind nur an entsprechend ausgebauten Grundwassermessstellen möglich. Genauere Angaben zu den zu erwartenden Wassermengen können daher nur durch weitere Untersuchungen gemacht werden. Es sind die jahreszeitlichen und witterungsbedingten Schwankungen zu berücksichtigen.

Von Grundwasser i.e.S. wird das nicht unterkellerte Gebäude nicht beeinflusst werden.

## V.4 Homogenbereiche

Nach den uns vorliegenden Informationen kann das Bauvorhaben nach DIN EN 1997-1 bzw. DIN 4020 und DIN 1054 in die geotechnische Kategorie GK 2 eingestuft werden.

Da Erdarbeiten lediglich bis maximal ca. 1 bis 2 m unter Gelände zu erwarten sind, schlagen wir die nachfolgend genannten 2 Homogenbereiche vor. Die darunter anstehenden Böden werden in die Betrachtungen nach DIN 18300 bzw. DIN 18303 mit DIN 18304 nicht mit einbezogen, da dies nach derzeitigem Planungsstand nicht erforderlich ist. Diese Einstufung und die daraus resultierenden Angaben sind im Zuge der weiteren Projektbearbeitung in Abhängigkeit des vorgesehenen Bauverfahrens zu überprüfen und ggf. in Abstimmung mit dem Planer anzupassen.

Der Homogenbereich A umfasst das vor Ort eingebaute RC-Baustoffgemisch. Zum Homogenbereich B werden die darunter folgenden Eifelschotter zusammengefasst. Die tertiären Tone werden nicht betrachtet (siehe Erläuterungen oben).

Die Kennwerte der Homogenbereiche nach DIN 18300 (Erdarbeiten), DIN 18303 (Verbauarbeiten) und DIN 18304 (Ramm-, Rüttel- und Pressarbeiten) sowie die Bodenklassen nach DIN 18300:2012, die Frostempfindlichkeitsklassen nach ZTVE-StB 17 sowie die Verdichtbarkeitsklassen nach ZTVA-StB 97 wurden aus Erfahrungswerten über Korrelationen abgeleitet bzw. der Literatur entnommen (Quelle: Technische Universität München, Zentrum Geotechnik, Lehrstuhl für Ingenieurgeologie sowie EAU – Empfehlungen des Arbeitsausschusses Ufereinfassungen) und sind nachfolgend für die geotechnische Kategorie GK 2 angegeben:

**Tabelle 5: Kennwerte für Boden nach DIN 18300, 18303, 18304**

| Nr. | Kennwerte | Homogenbereich A | Homogenbereich B |
|---|---|---|---|
| 1 | Ortsübliche Bezeichnung | Auffüllung | Eifelschotter |
| 2 | Korngrößenverteilung/ Kornkennzahl [M.-%] (Ton/Schluff/ Sand/Kies) | 0-5/0-15/ 15-60/20-80 | 0-10/5-30/ 40-80/40-80 |
| 3 | Anteil Steine Blöcke | n.b. ** | n.b. ** |
| 4 | Dichte [g/cm³] | 1,7 – 2,0 | 1,6 – 1,9 |
| 5 | undrainierte Scherfestigkeit [kN/m²] | - | - |
| 6 | Wassergehalt [M.-%] | 3 – 20 | 5 – 15 |
| 7 | Konsistenz – Konsistenzzahl $I_C$ / Plastizität | - | - |
| 8 | bezogene Lagerungsdichte / $I_D$ [%] | knapp mitteldicht bis mitteldicht/ 30 – 50 *** | mitteldicht/ 35 – 60 *** |
| 9 | organischer Anteil | nicht organisch | nicht organisch |
| 10 | Bodengruppe nach DIN 18196 | GI, GU | SU, SU*, GU* |
| zusätzliche Angaben gemäß DIN 18300:2012, ZTVE-StB 17 und ZTVA-StB 97 | | | |
| 11 | Bodenklasse nach DIN 18300:2012 | 3 | 3 bis 4 |
| 12 | Frostempfindlichkeit nach ZTVE-StB 17 | F 1 – F 2 | F 2 – F 3 |
| 13 | Verdichtbarkeit nach ZTVA-StB 97 | V 1 | V 1 – V 2 |

n.b. = nicht ermittelt, für eine Normgerechte Bestimmung sind umfangreiche Baggerschürfe notwendig

** In den Auffüllungen und den Eifelschottern kann das Auftreten von Steinen und Blöcken nicht ausgeschlossen werden.

*** abgeleitet über Korrelationen aus Daten der schweren Rammsondierungen

## V.5 Bodenkennwerte

Nach Beurteilung der durchgeführten geotechnischen Untersuchungen und anhand unserer örtlichen Erfahrungen über die anstehenden Böden sowie aufgrund von Literaturangaben (Quelle: EAU – Empfehlungen des Arbeitsausschusses Ufereinfassungen) können für die hier angetroffenen Böden für erdstatische Berechnungen grundsätzlich folgende Bodenkennwerte angegeben werden:

**Tabelle 6: Rechenwerte der Bodenkennwerte**

| Schicht | Wichte (erdf.) $\gamma$ (kN/m³) | Wichte (Auftr.) $\gamma'$ (kN/m³) | Reibungs-winkel $\varphi'$ (Grad) | Kohäsion $c'$ (kN/m²) | Steifemodul $Es$ (MN/m²) |
|---|---|---|---|---|---|
| RC-Baustoffgemisch (GI/GU), mitteldicht | 19,0 | 10,5 | 32,5 | 0 | 50 |
| Eifelschotter: Sand/Kies, schluffig-tonig, mitteldicht (SU-SU*/GU*) | 18,0 – 20,0 | 9,5 – 11,0 | 30,0 | 0 | 75 |
| Ton, feinsandig, steif-halbfest (TM) | 20,0 | 10,0 | 25,0 | 10 | 10 |
| Bodenaustauschmaterial (GI/GW) | 20,0 | 12,0 | 32,5 | 0 | 50 – 150 |

## V.6 Erdbebensicherheit

Vom Geologen können für die Anwendung der DIN 4149:2005-04 „Bauten in deutschen Erdbebengebieten – Lastannahmen, Bemessung und Ausführung üblicher Hochbauten" bzw. des Nationalen Anhangs (DIN EN 1998-1/NA:2010-08) zum Eurocode 8: Auslegung von Bauwerken gegen Erdbeben – Teil 1: Grundlagen, Erdbebeneinwirkungen und Regeln für Hochbauten; Deutsche Fassung EN 1998-1:2004 + AC:2009, folgende Angaben gemacht werden:

Erdbebenzone: 2

geologische Untergrundklasse: T

Baugrundklasse: C

Die Erdbebenzone 2 umfasst Gebiete, denen gemäß des zugrunde gelegten Gefährdungsniveaus ein Intensitätsintervall von 7,0 bis < 7,5 zugeordnet ist. Der zugehörige Bemessungswert der Bodenbeschleunigung $a_g$ beträgt in dieser Erdbebenzone 0,6 m/s².

# VI Bewertung der geotechnischen Erkundungsergebnisse

## VI.1 Gründung

Nach den vorliegenden Unterlagen liegt die Erdgeschoss-Fußbodenhöhe bei 175,80 m NN. Damit liegt dieses Niveau noch ca. 60 cm (bei DPH 4 sogar gut 70 cm) über dem bestehenden Gelände.

Aufgrund der festgestellten Untersuchungsergebnisse schlagen wir zur Vermeidung von bauwerksschädlichen Setzungen und Setzungsdifferenzen vor, das Gebäude über eine biegesteife Bodenplatte auf einem Bettungspolster zu gründen, um somit die Lasten auf einer möglichst großen Fläche zu verteilen. Es ist grundsätzlich auf eine frostsichere Gründung (mind. 0,8 m unter späterer Geländeoberkante im Bereich der Gründung) zu achten.

Vor Ort wurde festgestellt, dass an allen vier Untersuchungspunkten – d.h. im gesamten Gebäudebereich – ein RC-Baustoffgemisch vorliegt. Dieses wurde nach den Ergebnissen der Rammsondierungen zwar verdichtet eingebaut. Jedoch liegt der Verdichtungsgrad nach den Ergebnissen der Sondierungen bereichsweise an der Untergrenze mitteldichter Lagerung. Zudem muss auf der Fläche – bedingt durch die Vornutzung – mit unterschiedlichen Dicken des RC-Materials gerechnet werden (siehe KRB 1 und KRB 3). Weiterhin zeigen die Untersuchungen, dass das Material augenscheinlich einen etwas höheren Feinkornanteil aufweist und empfindlich auf den Zutritt von Niederschlagswasser reagiert.

Daher schlagen wir die nachfolgend erläuterten Erdbaumaßnahmen vor Gründung der Bodenplatte vor:

Grundsätzlich sollten diese Arbeiten bei weitgehend trockener Witterung geplant werden. Das vorhandene Gelände wird zunächst bis auf das Niveau 174,80 mNN abgetragen. Anfallendes RC-Gemisch kann für Auffüllungen in anderen Bereichen, z.B. Arbeitsräume im Bereich von Garagen, Zuwegungen, Stellplätzen, Terrassen usw. verwendet werden. Falls das Zwischenniveau von 174,80 mNN nach dem Aushub noch deutlich feucht oder nass ist, sollte eine Abtrocknung ermöglicht werden, um anschließend eine Nachverdichtung annähernd bei dem optimalen Wassergehalt (Proctor-Wassergehalt) durchzuführen. Diese Nachverdichtung sollte in jedem Fall durchgeführt werden; falls der Wassergehalt weiterhin relativ hoch ist, sollte nur statisch verdichtet werden. Wir empfehlen die Nachverdichtung dieser Fläche dann nochmals zu überprüfen.

Auf die vorhandene, nachverdichtete Schicht wird ein Geogitter zur Tragschichtstabilisierung (z.B. Tensar® TriAx® TX oder ein gleichwertiges Produkt) aufgebracht. Darauf erfolgt bis zur geplanten Sauberkeitsschicht der lagenweise Einbau einer Schicht aus grobkörnigem, gebrochenem, gut abgestuftem und raumbeständigem Material mit einem Gehalt an Feinanteilen ≤ 5 M.-% (z.B. Sand-Splitt-Schotter Gemisch der Körnung 0/32 oder 0/45). Voraussetzung ist weiterhin, dass ein Baustoffgemisch eingebaut wird, welches einen Steifemodul von $Es' \geq 150$ MN/m² aufweist. Dies sind in der Regel Baustoffgemische aus gebrochenem Naturstein, die die Anforderungen an eine Schottertragschicht nach den TL SoB- StB erfüllen. Das Material ist lagenweise mit mindestens 98 % der einfachen Proctordichte einzubauen. Es ist ein Lastausbreitungswinkel ab UK Bodenplatte von 45° zu berücksichtigen.

Auf Oberkante dieser oberen Tragschicht ist über statische Plattendruckversuche nach DIN 18134 ein Verformungsmodul von $E_{v2} \geq 80$ MN/m² nachzuweisen sowie in Anlehnung an die ZTVE-StB ein $E_{v2}/E_{v1}$-Verhältniswert von ≤ 2,5. Alternativ ist über dynamische Plattendruckversuche ein Verformungsmodul von $E_{vd} \geq 40$ MN/m² nachzuweisen, wobei der Untersuchungsumfang zu verdoppeln ist.

Für die Bemessung der Gründung mit einer Bodenplatte können die in Tabelle 6 angegebenen Steifemodule $E_s'$ [MN/m²] eingesetzt werden, wobei unter Berücksichtigung der vorgeschlagenen Gründungsmaßnahmen folgendes Bodenmodell berücksichtigt werden kann:

| | | |
|---|---|---|
| - Bettungspolster/RC-Gemisch, ca. 60-80 cm | Steifeziffer | cal.E* = 50 MN/m², darunter: |
| - Eifelschotter, bis rund 2,5 m Tiefe | Steifeziffer | cal.E* = 75 MN/m², darunter: |
| - Ton, steif bis halbfest, bis Ende Einflusstiefe | Steifeziffer | cal.E* = 10 MN/m² |

Bei einer Dimensionierung der Bodenplatte über ein Ersatzstreifenfundament darf ein maximal zulässiger Bemessungswert $\sigma_{R,d}$ des Sohlwiderstands von 200 kN/m² nicht überschritten werden. Bei ordnungsgemäßer Bauausführung werden nur geringe Setzungen in einer Größenordnung von bis zu 2 cm auftreten. Eine Grundbruchgefahr besteht für eine Plattengründung nicht.

Sollte die Bodenplatte nach dem Bettungsmodulverfahren berechnet werden, so kann der Bettungsmodul $k_s$ durch die Formel $k_s = \sigma_0 / s$ (in MN/m³), mit $\sigma_0$ = Sohlspannung (in MN/m²) und s = Setzung (in m) berechnet werden. Aus Erfahrungen ist bekannt, dass bei Ansatz dieser Formel Bettungsmoduli berechnet werden, die sehr viel geringer als die tatsächlich in

der Praxis bestätigten und angewendeten Werte sind. Üblicherweise werden zur besseren Näherung nicht die Setzungen s, sondern die Setzungsdifferenzen Δs in die o.g. Formel eingesetzt.

Der Bettungsmodul ist keine Baugrundkonstante, sondern unter anderem von der Größe der belasteten Fläche und der Größe der Last abhängig. Bettungsziffern können daher erst nach Kenntnis der genauen Gründungsgeometrie und der Bauwerkslasten angegeben werden. Vorbemessungen können auf Grundlage überschlägiger Setzungsberechnungen bei Einhaltung der gründungstechnischen Empfehlungen im vorliegenden Fall mit einem Bettungsmodul von $k_s$ = 10 MN/m³ erfolgen. Die Verwendung dieser Bettungsziffer für Setzungsberechnungen ist nicht zulässig. Hierfür sind die o.g. Steifemoduli $E_s$' zu verwenden.

### VI.2 Hinweise zur Bauausführung

Generell sind bei der Bauausführung die DIN 18300, die ZTVE-StB 17 und die darin zitierten Normen und technischen Lieferbedingungen zu berücksichtigen. Während möglicher Aushub- und Verbauarbeiten sind die DIN 4124 bzw. DIN 18303 und die darin zitierten Normen und technischen Lieferbedingungen zu beachten. Angrenzend zu bestehenden Gebäuden und Bauwerken ist außerdem die DIN 4123 zu beachten. Die Abdichtung von möglichen erdberührten Bauteilen ist gemäß DIN 18533-1 (Abdichtung von erdberührten Bauteilen – Teil 1: Anforderungen, Planungs- und Ausführungsgrundsätze) zu planen.

Wie die Untersuchungen zeigen, reagiert das vorhandene RC-Gemisch empfindlich auf Witterungseinflüsse (Niederschläge). Daher sollte nach Einbau der oberen Tragschicht unmittelbar die Sauberkeitsschicht bzw. die Bodenplatte eingebaut werden.

Arbeitsräume, die später überbaut werden, etwa im Bereich von geplanten Garagen, Zuwegungen, Stellplätzen, Terrassen usw., sind mit frostsicherem, gut abgestuftem und verdichtungsfähigem grobkörnigem Material zu verfüllen und lagenweise mit mind. $D_{Pr} \geq 98$ % zu verdichten. Es wird empfohlen, die Verdichtung der oberen Tragschicht nochmals mit Lastplattendruckversuchen zu überprüfen.

Im Hinblick auf die Baudurchführung wird auf die Wasser- und Bewegungsempfindlichkeit von Böden mit erhöhtem Feinkornanteil, insbesondere auf die Einwirkungen durch das Befahren eines ungeschützten Planums mit Arbeitsgeräten / LKW, hingewiesen. Dies hat auch Auswirkungen auf die Wahl der zum Einsatz kommenden Baugeräte und die Arbeitsvorbereitung.

### VI.3 Radon im Boden

Radon liegt regional in unterschiedlicher Konzentration im Boden vor. Wie sich Radon im Erdreich ausbreitet, hängt vor allem davon ab, wie durchlässig der Boden ist. Bis zu einer Tiefe von 1 m kann außerdem die Witterung die Ausbreitung beeinflussen. Radonkonzentrationen an einem bestimmten Standort können nur durch Messungen der bodennahen Luft sowie durch Raumluftmessungen ermittelt werden.

Das Bundesamt für Strahlenschutz (BfS) stellt Karten zur regionalen Verbreitung von Radon im Boden bereit. Eine landeseigene Karte für NRW liegt derzeit noch nicht vor. Nach der Karte des BfS ist für den vorliegenden Standort mit einer geringen bis mittleren Konzentration in der Bodenluft bis 1 m Tiefe zu rechnen (etwa 36,9 kBq/m³). Das Radon-Potenzial beschreibt das Potenzial, wie stark Radon aus dem Boden entweichen und potenziell in Innenräume gelangen kann. Aufgrund der genannten Hintergrundkonzentration ist das Potenzial als eher gering einzuschätzen.

Geologische Untersuchungen des Bundesamtes für Strahlenschutz sowie vom MAGS (Ministerium für Arbeit, Gesundheit und Soziales des Landes Nordrhein - Westfalen) beauftragte Messungen im Boden haben gezeigt, dass keine Gemeinde von Nordrhein - Westfalen als Vorsorgegebiet ausgewiesen werden muss. Außerhalb von Radonvorsorgegebieten gilt: Wer ein Gebäude mit Aufenthaltsräumen oder Arbeitsplätzen errichtet, hat geeignete Maßnahmen zu treffen, um den Zutritt von Radon aus dem Baugrund zu verhindern oder erheblich zu erschweren (§ 123, Abs. 1, StrlSchG). Diese Pflicht gilt als erfüllt, wenn die nach den allgemein anerkannten Regeln der Technik erforderlichen Maßnahmen zum Feuchtigkeitsschutz eingehalten werden. Diese sind insbesondere erfüllt, wenn die Vorgaben der DIN 18195 (Abdichtung von Bauwerken – Begriffe) im Zusammenhang mit den DIN-Normen 18531 bis 18535) beachtet werden.

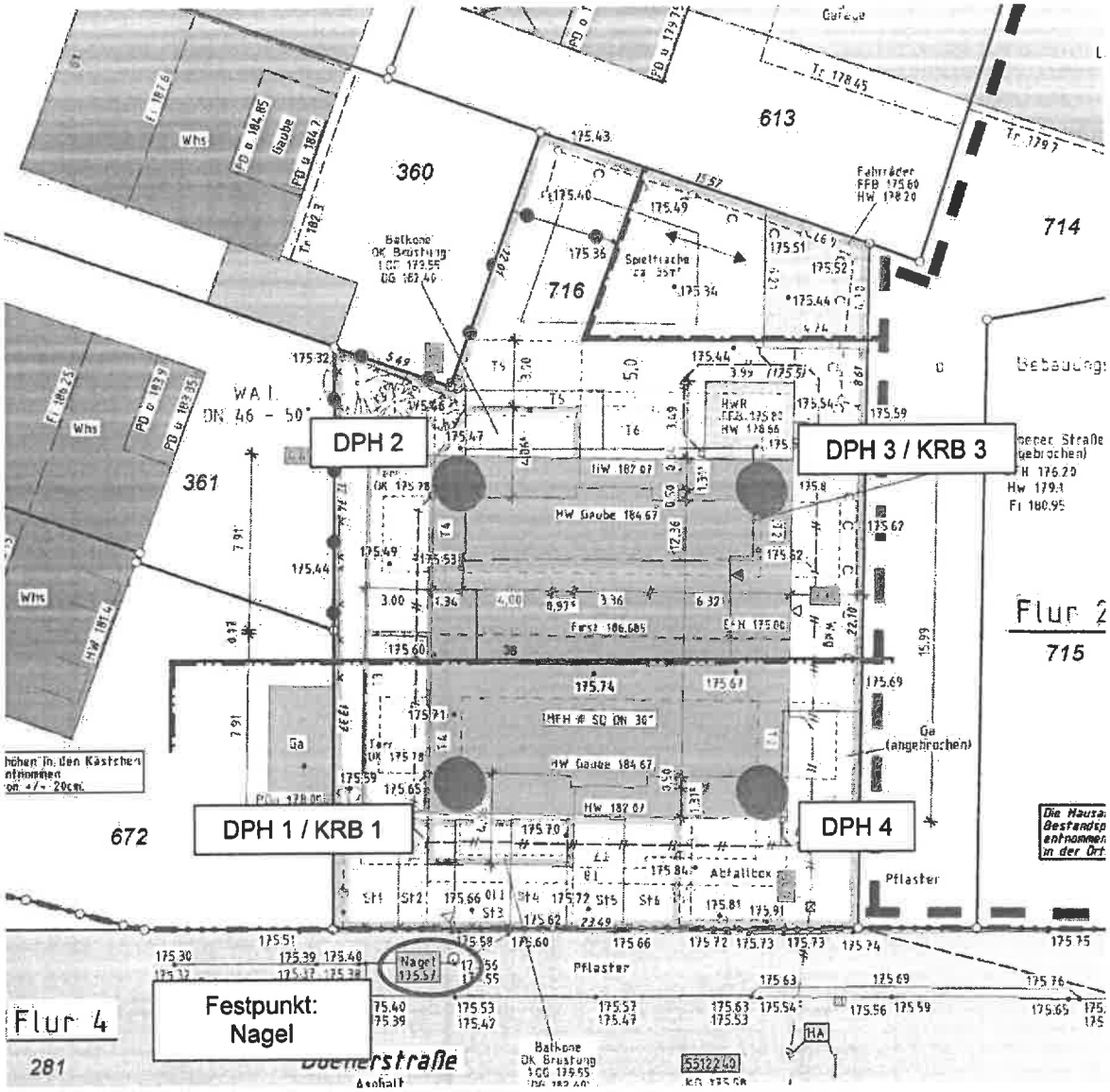
Dr.-Ing. L. Gundert
Prüfstellenleiter

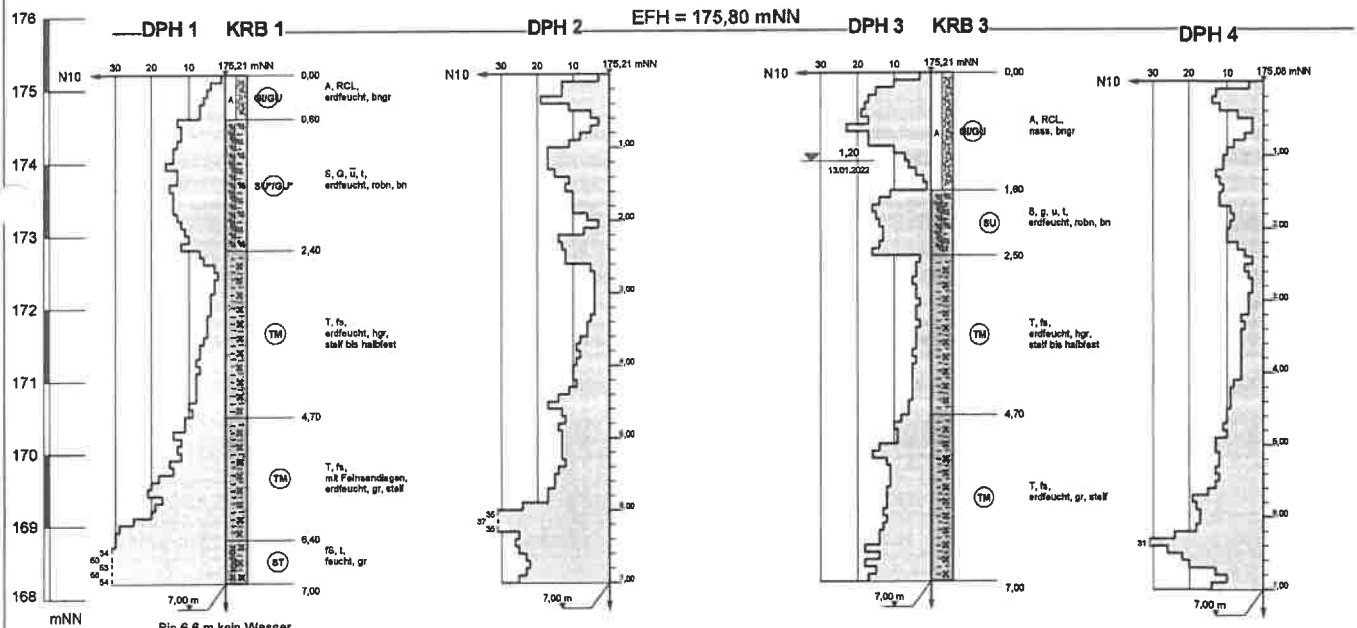
Dipl.-Geol. A. Voß
stellv. Prüfstellenleiterin

Dipl.-Geol. W. Jooß
Sachbearbeiter

ANERKANNTE PRÜFSTELLE
GfB
Baustoffprüfstelle
Erft-Labor GmbH
STAATLICH

**Abbildung 1:** Lageskizze der Untersuchungsstellen






## Zeichenerklärung

| | |
|---|---|
| A | Anschüttung |
| fS | Feinsand |
| S | Sand |
| G | Kies |
| T | Ton |
| RCL | Recycling-Material |
| u | schluffig |
| fs | feinsandig |
| g | kiesig |
| t | tonig |

| | |
|---|---|
| Ruhewasserstand muGOK | |
| gr | grau |
| hgr | hellgrau |
| bngr | braungrau |
| robn, bn | rotbraun, braun |
| SU | Sand-Schluff-Gemische (<0,063 mm: 5-15%) |
| ST | Sand-Ton-Gemische (<0,063 mm: 5-15%) |
| TM | mittelplastische Tone |
| SI*GU | intermittierend gestufte Kies-Sand-Gemische - Kies-Schluff-Gemische (<0,063 mm: 5-15%) |
| U*GU | Sand-Schluff- bzw. Kies-Schluff-Gemische (<0,063 mm: 15-40%) |
| ' / s' / s'' | stark, schwach, sehr schwach (sandig) |

**schwere Rammsondierung**

| | |
|---|---|
| Bärgewicht | 0,5 kN |
| Fallhöhe | 50 cm |
| Spitzenquerschnitt | 15 cm² |
| N10 = Schlagzahl/10cm Eindringtiefe | |

**GfB Baustoffprüfstelle Erft-Labor GmbH**
Heinrich-Barth-Straße 4
53881 Euskirchen

| | | |
|---|---|---|
| Auftraggeber: | Guido Metzen<br>Vermögensverwaltung GmbH | Projekt-Nr.<br>010-22-4 |
| Projekt: | Euskirchen<br>Boenerstraße 36 | Anlage-Nr.<br>2 |
| Bauvorhaben: | Neubau Mehrfamilienhaus | |

| Maßstab | Höhen-Maßstab | Gezeichnet: | Geprüft: | Bearbeiter: | Datum |
|---|---|---|---|---|---|
| 1 : 100 | 1 : 50 | Jooß | | Jooß | 14.01.2022 |

W:\Pz2022\P001_100\P010_224\A02_Labor_Feld\P010_224_Blatt1.wbfx

| GfB Baustoffprüfstelle<br>Erft-Labor GmbH<br>Heinrich-Barth-Straße 4<br>53881 Euskirchen | **Schichtenverzeichnis**<br>für Bohrungen ohne durchgehende Gewinnung von gekernten Proben | Proj. Nr.:<br>010-22-4<br>Anlage:<br>3.1 |
|---|---|---|

**Bauvorhaben: Neubau Mehrfamilienhaus**

| RKS: KRB 1 | Blatt: 1<br>Geländehöhe: 175,21 mNN | Datum:<br>14.01.2022 |
|---|---|---|

| 1 | 2 | | | | 3 | 4 | 5 | 6 |
|---|---|---|---|---|---|---|---|---|
| Bis ...m unter Ans.-punkt | a) Benennung der Bodenart und Beimengungen<br>b) Ergänzende Bemerkung 1)<br>c) Beschaffenheit nach Bohrgut / d) Beschaffenheit nach Bohrvorgang / e) Farbe<br>f) Übliche Benennung / g) Geologische Benennung / h) Gruppe 1) / i) Kalkgehalt | | | | Bemerkungen<br>Sonderprobe<br>Wasserführung<br>Bohrwerkzeug<br>Kernverlust | Entnommene Proben<br>Art | Nr | Tiefe in m<br>von:<br>bis: |
| 0,60 | Anschüttung, Recycling-Material<br>erdfeucht | | braungrau | | | | | |
| 2,40 | Sand, Kies<br>stark schluffig, tonig<br>erdfeucht | | rotbraun, braun | | | | | |
| 4,70 | Ton<br>feinsandig<br>erdfeucht | | hellgrau | | steif bis halbfest | | | |
| 6,40 | Ton<br>feinsandig<br>mit Feinsandlagen<br>erdfeucht | | grau | | steif | | | |
| 7,00 | Feinsand<br>tonig<br>feucht | | grau | | | | | |

1) Eintragung nimmt wissenschaftlicher Berater vor

| GfB Baustoffprüfstelle<br>Erft-Labor GmbH<br>Heinrich-Barth-Straße 4<br>53881 Euskirchen | **Schichtenverzeichnis**<br>für Bohrungen ohne durchgehende Gewinnung von gekernten Proben | Proj. Nr.:<br>010-22-4<br>Anlage:<br>3.2 |
|---|---|---|

Bauvorhaben: Neubau Mehrfamilienhaus

RKS: KRB 3 | Blatt: 1 | Geländehöhe: 175,21 mNN | Datum: 14.01.2022

| 1 | 2 | | | | 3 | 4 | 5 | 6 |
|---|---|---|---|---|---|---|---|---|
| Bis ...m unter Ans.-punkt | a) Benennung der Bodenart und Beimengungen<br>b) Ergänzende Bemerkung 1)<br>c) Beschaffenheit nach Bohrgut / d) Beschaffenheit nach Bohrvorgang / e) Farbe<br>f) Übliche Benennung / g) Geologische Benennung / h) Gruppe 1) / i) Kalkgehalt | | | | Bemerkungen<br>Sonderprobe Wasserführung Bohrwerkzeug Kernverlust | Entnommene Proben | | |
| | | | | | | Art | Nr | Tiefe in m von: bis: |
| 1,60 | Anschüttung, Recycling-Material | | | | | | | |
| | nass | | braungrau | | | | | |
| 2,50 | Sand<br>kiesig, schluffig, tonig | | | | | | | |
| | erdfeucht | | rotbraun, braun | | | | | |
| 4,70 | Ton<br>feinsandig | | | | steif bis halbfest | | | |
| | erdfeucht | | hellgrau | | | | | |
| 7,00 | Ton<br>feinsandig | | | | steif | | | |
| | erdfeucht | | grau | | | | | |

| GfB Baustoffprüfstelle<br>Erft-Labor GmbH<br>Heinrich-Barth-Straße 4<br>53881 Euskirchen | **Schichtenverzeichnis**<br>für Bohrungen ohne durchgehende Gewinnung von gekernten Proben | Proj. Nr.:<br>010-22-4<br>Anlage:<br>3.2 |
|---|---|---|
| Bauvorhaben: Neubau Mehrfamilienhaus | | |
| RKS: KRB 3 | Blatt: 2<br>Geländehöhe: 175,21 mNN | Datum:<br>14.01.2022 |

## Zusatzangaben

| Bezeichnung: | von: | bis: | Datum: | Zeitdiff.: |
|---|---|---|---|---|
| Ruhewasserstand | 1,20 | | 13.01.2022 | |

1) Eintragung nimmt wissenschaftlicher Berater vor

Henneker Zillinger Ingenieure

**Dr.-Ing. Wulf Zillinger**

Prüfingenieur für Baustatik (Massivbau) – Staatlich anerkannter
Sachverständiger für die Prüfung der Standsicherheit (S 0459)
Staatlich anerkannter Sachverständiger für Schall- und Wärmeschutz (W 2263)

Königswinterer Str. 329, 53227 Bonn
Fon: (0228) 97194-0
Fax: (0228) 97194-99

www.hzi-bonn.de
e-Mail: info@hzi-bonn.de

# Prüfnummer: 21156601PS
# Prüfbericht Nr.: 1

vom 09.03.2022 DJ / KA

**Auftraggeber**

Guido Metzen Vermögensverwaltung GmbH
Unter den Linden 11
53902 Bad Münstereifel

**Bauherr (wie Auftraggeber)**

**Bauvorhaben**

Neubau eines Mehrfamilienhauses mit 6 WE

**Standort**

53879 Euskirchen, Boenerstraße 36

**Entwurfsverfasser**

Architekt
Dipl.-Ing. (FH) Horst Belter
Bendengasse 22
53879 Euskirchen

**Tragwerksplaner**

KomPlan GmbH
Dr.-Gottfried-Cremer-Allee 29
50226 Frechen

**Unterlagen**

- Statische Berechnung vom 16.02.222, Seiten HZI-1 bis HZI-458
- 5 Positionspläne, Nr. P01 bis 05

**Baustoffe**

| | |
|---|---|
| Stahlbeton | : C20/25, C25/30; B 500 |
| Baustahl | : S 235 |
| Bauholz | : C24, GI24h |
| Mauerwerk | : 4-0,9/ DM, 4-0,5/ DM, 12-1,8/ DM, 20-2,0/ DM |

**Verkehrslasten**

| | |
|---|---|
| Wind- und Schneelasten | : gemäß DIN EN 1991-1-4 und DIN EN 1991-1-3 |
| Dach (PV Anlage) | : q = 0,25 kN/m² |
| Geschossdecken | : q = 1,50 kN/m² + 1,20 kN/m² TWZ |
| Treppenläufe und -podeste | : q = 3,00 kN/m² |
| Balkone | : q = 4,00 kN/m² |
| Bodenplatte | : q = 1,50 kN/m² + 1,20 kN/m² TWZ |

**Baugrund**

siehe Bodengutachten der GfB Baustoffprüfstelle Erft-Labor, Heinrich-Barth-Str.4, 53881 Euskirchen vom 31.01.2022

**Größte rechnerisch ermittelte Bodenpressung: $\sigma_{R,d}$ = 233,00 kN/m²**

**Prüfbemerkungen**

Die statische Berechnung umfasst die erforderlichen Nachweise und ist bei Berücksichtigung der Prüfeintragungen in Ordnung.
Auf einen rechnerischen Nachweis zum Schutz gegen Erdbeben wurde verzichtet, da die Bedingungen der DIN 4149, 7.1 (4) eingehalten werden (Bauwerk Bedeutungskategorie II ).
Die mittels einer EDV-Anlage aufgestellten Teile der statischen Berechnung wurden durch unabhängige Vergleichsrechnungen geprüft.
Ich bitte, den Nachweis des absturzsicheren Geländers, die Ausführungspläne sowie die Bewehrungspläne rechtzeitig vor Baubeginn zur Prüfung vorzulegen.
Die statische Berechnung stimmt mit den von mir gekennzeichneten Bauantragsplänen Nr. HZI-1 bis HZI-6 vom 10.11.2021 überein.
Die Nachweise des konstruktiven Brandschutzes wurden ebenfalls geprüft und sind richtig.
Die Prüfeintragungen sind zu beachten.

Die Prüfung der Statik ist mit Ausnahme der Geländer abgeschlossen und wird ansonsten fortgesetzt.

**Zur Durchführung der Baukontrollen bin ich beauftragt. Diese Kontrollen sind Voraussetzung zur Ausstellung der Bescheinigung nach § 12 Abs. 2 SV-VO über die stichprobenhaften Kontrollen der Standsicherheit während der Bauausführung. Ich bitte um eine rechtzeitige Information zu den jeweiligen Baukontrollen.**

**Verteiler**
Stadt Euskirchen
Guido Metzen Vermögensverwaltung GmbH
KomPlan GmbH
Architekt Dipl.-Ing. (FH) Horst Belter
z.d.A.